



This is a digital copy of a book that was preserved for generations on library shelves before it was carefully scanned by Google as part of a project to make the world's books discoverable online.

It has survived long enough for the copyright to expire and the book to enter the public domain. A public domain book is one that was never subject to copyright or whose legal copyright term has expired. Whether a book is in the public domain may vary country to country. Public domain books are our gateways to the past, representing a wealth of history, culture and knowledge that's often difficult to discover.

Marks, notations and other marginalia present in the original volume will appear in this file - a reminder of this book's long journey from the publisher to a library and finally to you.

### **Usage guidelines**

Google is proud to partner with libraries to digitize public domain materials and make them widely accessible. Public domain books belong to the public and we are merely their custodians. Nevertheless, this work is expensive, so in order to keep providing this resource, we have taken steps to prevent abuse by commercial parties, including placing technical restrictions on automated querying.

We also ask that you:

- + *Make non-commercial use of the files* We designed Google Book Search for use by individuals, and we request that you use these files for personal, non-commercial purposes.
- + *Refrain from automated querying* Do not send automated queries of any sort to Google's system: If you are conducting research on machine translation, optical character recognition or other areas where access to a large amount of text is helpful, please contact us. We encourage the use of public domain materials for these purposes and may be able to help.
- + *Maintain attribution* The Google "watermark" you see on each file is essential for informing people about this project and helping them find additional materials through Google Book Search. Please do not remove it.
- + *Keep it legal* Whatever your use, remember that you are responsible for ensuring that what you are doing is legal. Do not assume that just because we believe a book is in the public domain for users in the United States, that the work is also in the public domain for users in other countries. Whether a book is still in copyright varies from country to country, and we can't offer guidance on whether any specific use of any specific book is allowed. Please do not assume that a book's appearance in Google Book Search means it can be used in any manner anywhere in the world. Copyright infringement liability can be quite severe.

### **About Google Book Search**

Google's mission is to organize the world's information and to make it universally accessible and useful. Google Book Search helps readers discover the world's books while helping authors and publishers reach new audiences. You can search through the full text of this book on the web at <http://books.google.com/>



## Über dieses Buch

Dies ist ein digitales Exemplar eines Buches, das seit Generationen in den Regalen der Bibliotheken aufbewahrt wurde, bevor es von Google im Rahmen eines Projekts, mit dem die Bücher dieser Welt online verfügbar gemacht werden sollen, sorgfältig gescannt wurde.

Das Buch hat das Urheberrecht überdauert und kann nun öffentlich zugänglich gemacht werden. Ein öffentlich zugängliches Buch ist ein Buch, das niemals Urheberrechten unterlag oder bei dem die Schutzfrist des Urheberrechts abgelaufen ist. Ob ein Buch öffentlich zugänglich ist, kann von Land zu Land unterschiedlich sein. Öffentlich zugängliche Bücher sind unser Tor zur Vergangenheit und stellen ein geschichtliches, kulturelles und wissenschaftliches Vermögen dar, das häufig nur schwierig zu entdecken ist.

Gebrauchsspuren, Anmerkungen und andere Randbemerkungen, die im Originalband enthalten sind, finden sich auch in dieser Datei – eine Erinnerung an die lange Reise, die das Buch vom Verleger zu einer Bibliothek und weiter zu Ihnen hinter sich gebracht hat.

## Nutzungsrichtlinien

Google ist stolz, mit Bibliotheken in partnerschaftlicher Zusammenarbeit öffentlich zugängliches Material zu digitalisieren und einer breiten Masse zugänglich zu machen. Öffentlich zugängliche Bücher gehören der Öffentlichkeit, und wir sind nur ihre Hüter. Nichtsdestotrotz ist diese Arbeit kostspielig. Um diese Ressource weiterhin zur Verfügung stellen zu können, haben wir Schritte unternommen, um den Missbrauch durch kommerzielle Parteien zu verhindern. Dazu gehören technische Einschränkungen für automatisierte Abfragen.

Wir bitten Sie um Einhaltung folgender Richtlinien:

- + *Nutzung der Dateien zu nichtkommerziellen Zwecken* Wir haben Google Buchsuche für Endanwender konzipiert und möchten, dass Sie diese Dateien nur für persönliche, nichtkommerzielle Zwecke verwenden.
- + *Keine automatisierten Abfragen* Senden Sie keine automatisierten Abfragen irgendwelcher Art an das Google-System. Wenn Sie Recherchen über maschinelle Übersetzung, optische Zeichenerkennung oder andere Bereiche durchführen, in denen der Zugang zu Text in großen Mengen nützlich ist, wenden Sie sich bitte an uns. Wir fördern die Nutzung des öffentlich zugänglichen Materials für diese Zwecke und können Ihnen unter Umständen helfen.
- + *Beibehaltung von Google-Markenelementen* Das "Wasserzeichen" von Google, das Sie in jeder Datei finden, ist wichtig zur Information über dieses Projekt und hilft den Anwendern weiteres Material über Google Buchsuche zu finden. Bitte entfernen Sie das Wasserzeichen nicht.
- + *Bewegen Sie sich innerhalb der Legalität* Unabhängig von Ihrem Verwendungszweck müssen Sie sich Ihrer Verantwortung bewusst sein, sicherzustellen, dass Ihre Nutzung legal ist. Gehen Sie nicht davon aus, dass ein Buch, das nach unserem Dafürhalten für Nutzer in den USA öffentlich zugänglich ist, auch für Nutzer in anderen Ländern öffentlich zugänglich ist. Ob ein Buch noch dem Urheberrecht unterliegt, ist von Land zu Land verschieden. Wir können keine Beratung leisten, ob eine bestimmte Nutzung eines bestimmten Buches gesetzlich zulässig ist. Gehen Sie nicht davon aus, dass das Erscheinen eines Buchs in Google Buchsuche bedeutet, dass es in jeder Form und überall auf der Welt verwendet werden kann. Eine Urheberrechtsverletzung kann schwerwiegende Folgen haben.

## Über Google Buchsuche

Das Ziel von Google besteht darin, die weltweiten Informationen zu organisieren und allgemein nutzbar und zugänglich zu machen. Google Buchsuche hilft Lesern dabei, die Bücher dieser Welt zu entdecken, und unterstützt Autoren und Verleger dabei, neue Zielgruppen zu erreichen. Den gesamten Buchtext können Sie im Internet unter <http://books.google.com> durchsuchen.

Sci 1085.57

Harvard College Library



FROM THE BEQUEST OF

DANIEL TREADWELL

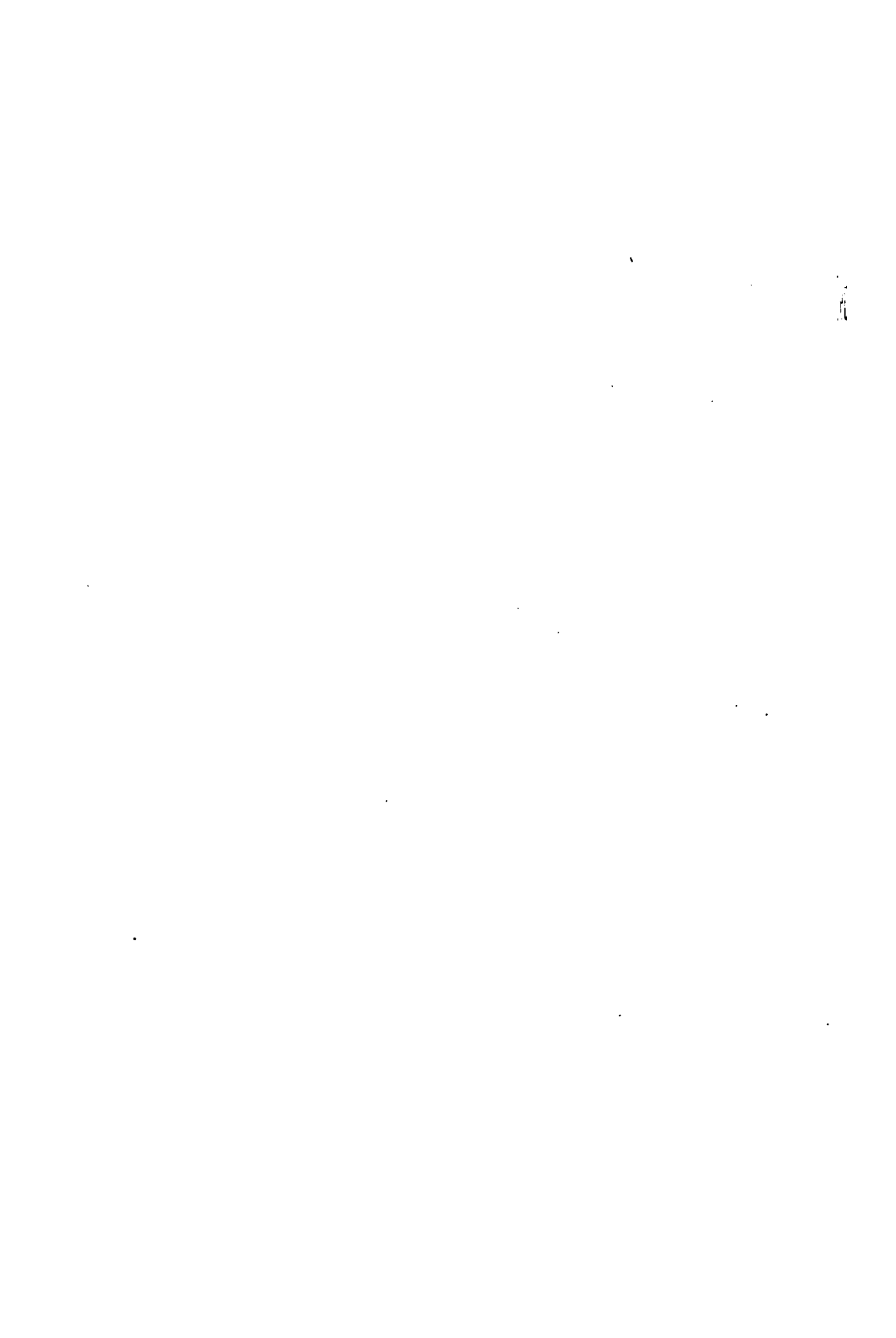
Rumford Professor and Lecturer on the Application  
of Science to the Useful Arts  
1834-1845

SCIENCE CENTER LIBRARY









**Berichte**  
der  
**Deutschen Physikalischen Gesellschaft**

**im Jahre 1908**

enthaltend

**Verhandlungen**

der Deutschen Physikalischen Gesellschaft  
im Auftrage der Gesellschaft herausgegeben

von

**Karl Scheel**

und

**Halbmonatliches Literaturverzeichnis**

der „Fortschritte der Physik“, dargestellt von der  
Deutschen Physikalischen Gesellschaft

redigiert von

**Karl Scheel**

für reine Physik

**Richard Assmann**

für kosmische Physik

**Sechster Jahrgang**

---

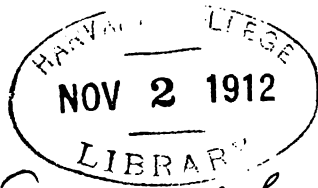
**Braunschweig**

**Druck und Verlag von Friedrich Vieweg und Sohn**

**1908**



Sci 1085.57



*Treadwell fund*



Verhandlungen  
der  
**Deutschen Physikalischen Gesellschaft**  
im Jahre 1908

-----  
Zehnter Jahrgang  
-----

Im Auftrage der Gesellschaft herausgegeben

von

**Karl Scheel**

---

**Braunschweig**  
Druck und Verlag von Friedrich Vieweg und Sohn  
1908



# Inhalt \*).

|   | Seite |         |
|---|-------|---------|
| EDGAR MEYER und ERICH REGENER. Über Schwankungen der radioaktiven Strahlung und eine Methode zur Bestimmung des elektrischen Elementarquantums . . . . .                    | 1     |         |
| J. STARK. Bemerkung zu Herrn KAUFMANNs Antwort auf einen Einwand von Herrn PLANCK . . . . .   | 18    | 14      |
| ADOLF PAALZOW† . . . . .  | 17,   | 449 451 |
| H. RUBENS und ERICH LADENBURG. Über die lichtelektrische Erscheinung an dünnen Goldblättchen . . . . .  | 18    |         |
| A. STOCK. Poröse Materialien als Ersatz von Hähnen beim Arbeiten mit Gasen . . . . .  | 18    | 19      |
| H. BARKHAUSEN. Das Problem der Schwingungserzeugung . . . . .   | 18    |         |
| PAUL ASTEROTH. Der Einfluß der thermischen und mechanischen Vorgeschichte auf die magnetischen Eigenschaften, insbesondere die Hysterese HEUSLERscher Legierungen . . . . . | 18    | 21      |
| H. ERFLE. Zur anomalen Dispersion der Metaldämpfe . . . . .   | 18    | 35      |
| A. BYK. Zur Berechnung photochemischer Reaktionen . . . . .   | 33    | 67      |
| J. FRANCK und R. POHL. Zur Frage nach der Geschwindigkeit der Röntgenstrahlen . . . . .   | 33    | 117     |
| ERICH MARX. Theorie der Vorgänge im Nullapparat zur Geschwindigkeitsmessung der Röntgenstrahlen . . . . .   | 33    | 137     |
| — — Zur Frage der Geschwindigkeit der Röntgenstrahlen. Erwiderung auf die gleichlautende Arbeit der Herren FRANCK und POHL . . . . .  | 33    | 157     |
| BR. GLATZEL. Die Quecksilberfunkenstrecke und ihre Verwendung zur Erzeugung schwach gedämpfter elektrischer Wellen . . . . .  | 85    | 54      |
| — — Nachtrag dazu . . . . .   |       | 242     |
| ERICH REGENER. Über Zählung der $\alpha$ -Teilchen durch die Szintillation und die Größe des elektrischen Elementarquantums . . . . .                                       | 86,   | 115 78  |
| E. GEHECKE und O. REICHENHEIM. Anodenstrahlen. Fünfte Mitteilung . . . . .  | 85    | 217     |
| H. G. MÖLLER. Zur Theorie der Überspannungen . . . . .  | 85    |         |
| KARL SCHEL und RUDOLF SCHMIDT. Über das Lichtbrechungsvermögen des Heliums . . . . .  | 85,   | 622 207 |

\*) An den durch die fett gedruckten Seitenzahlen bezeichneten Stellen finden sich ausführlichere Mitteilungen über den betreffenden Gegenstand.

|   | Seite      |
|---|------------|
| WILHELM FELGENTRÄGER. Der Einfluß der Schneiden auf die Bestimmung der Schwerebeschleunigung mit dem Reversionspendel . . . . .   | 86 87      |
| O. v. BAYER. Über langsame Kathodenstrahlen . . . . .   | 86, 301 96 |
| W. KAUFMANN. Erwiderung an Herrn STARK . . . . .  | 86 91      |
| R. BÖRNSTEIN. Pilotbeobachtungen für meteorologische Zwecke . . . . .   | 115 228    |
| H. RUBENS und ERICH LADENBURG. Das Reflexionsvermögen des Wassers . . . . .   | 115 226    |
| F. GRÜNBAUM. Die räumliche Kontrastwirkung der Farben . . . . .   | 115 234    |
| PAUL NORDMEYER. Die spezifische Wärme einiger Elemente und Salze zwischen der Temperatur der flüssigen Luft und Zimmertemperatur . . . . .  | 116 202    |
| HEINRICH FASSBENDER. Magnetische Messungen an Mangan-Zinn- und Mangan-Antimonlegierungen mit Beschreibung eines verbesserten Magnetoskops . . . . .   | 116 256    |
| KURT HERRMANN. Die Brechung und Dispersion des Heliums . . . . .  | 244 211    |
| H. STARKE. Einige Versuche über die Sekundärstrahlen des Radiums — — Akustische Notizen. I. Über die Erzeugung von Tönen durch künstliche Schwebungen. II. Zur Erklärung der sogenannten Reflexionstöne . . . . . | 243 267    |
| G. LEITHÄUSER und E. WARBURG. Über die Analyse der Stickoxyde mit Hilfe ihrer Absorptionsspektren im Ultrarot . . . . .   | 243 249    |
| — — und R. POHL. Über den Einfluß des Ozons auf die Kondensation von Wasserdampf . . . . .  | 243 249    |
| W. KAUFMANN. Bunsenklemme . . . . .   | 244        |
| H. DIESELHORST. Demonstrationsapparate zur Analyse elektrischer Schwingungen . . . . .  | 244 306    |
| ADOLF HEYDWEILLER. Über die Oberflächenspannung verdünnter wässriger Salzlösungen . . . . .   | 244 245    |
| HANS BOAS. Bemerkungen zu der Arbeit von Herrn BR. GLATZEL: „Die Quecksilberfunkenstrecke und ihre Verwendung zur Erzeugung schwach gedämpfter elektrischer Wellen“ . . . . .                                     | 244 298    |
| BR. GLATZEL. Anordnung zur Demonstration der Eigenschaften elektrischer Strahlen unter Benutzung der Quecksilberfunkenstrecke . . . . .   | 301        |
| E. LAMPE. Über zwei elementare Aufgaben aus der Mechanik über eine gewisse Klasse von Körpern . . . . .   | 301 303    |
| EILHARD WIEDEMANN. Über das Al Bérúnische Gefäß zur spezifischen Gewichtsbestimmung . . . . .   | 301 339    |
| WALTHER WOLFF † . . . . .   | 315        |
| A. KOEPEL. Ein neues Verfahren zur Übertragung von Bewegungen geringer Energie . . . . .  | 317 395    |
| H. KREUSLER. Über reines Eisen . . . . .  | 317 344    |
| ERICH REGENER. Beobachtung szintillierender Fluoreszenz, hervorgerufen durch $\beta$ -Strahlen. . . . .   | 317 351    |
| O. v. BAYER. Über den Zeemaneffekt in schwachen Magnetfeldern . . . . .   | 318 357    |
| H. ERPLE. Anzahl der quasielastisch gebundenen Elektronen im Heliumatom . . . . .   | 318 331    |
| O. LEHMANN. Flüssige Kristalle, Myelinformen und Muskelkraft . . . . .  | 318 321    |

|  | Seite        |
|--|--------------|
| H. DU BOIS und G. J. ELIAS. Der Einfluß von Temperatur und Magnetisierung bei selektiven Absorptions- und Fluoreszenzspektren . . . . .  | 355 429      |
| F. KIEBITZ. Eine vereinfachte DRUDEsche Anordnung zur Demonstration gekoppelter Systeme . . . . .  | 355 386      |
| C. FISCHER. Elektrische Kraftfelder in nächster Umgebung von Antennen . . . . .  | 355 366      |
| E. GÜMLICH. Über die magnetischen Eigenschaften einer von Herrn Dr. KREUSLER hergestellten Probe reinen Eisens . .   | 355 371      |
| E. GERLAND. Zur Geschichte der Magnetisierung von Kompaßnadeln mit Hilfe von natürlichen Magneten . . . . .  | 356 377      |
| E. BARKOW und E. PRINGAL. Bemerkungen zu der Replik der Herren LEITHÄUSER und POHL . . . . .   | 356          |
| F. KÜHNEN und PH. FURTWÄNGLER. Erwiderung auf den Vortrag des Herrn W. FELGENTRÄGER: Der Einfluß der Schneiden auf die Bestimmung der Schwerebeschleunigung mit dem Reversionspendel . . . . . | 394 389      |
| ERICH MARX. Nachtrag zu meiner Arbeit: Theorie der Vorgänge im Nullapparat zur Geschwindigkeitsmessung der Röntgenstrahlen . . . . .   | 394 391      |
| E. REGENER. Die OTTO VON GUERICKEschen Originalapparate . .  | 393          |
| H. DIESELHORST. Erzeugung phasenverschobener Hochfrequenzströme . . . . .  | 393, 450 546 |
| FELIX JENTZSCH. Über die Elektronenemission glühender Metalloxyde . . . . .  | 393 398      |
| WILHELM WESTPHAL. Potentialmessungen an glühenden Oxydkathoden . . . . .   | 393 401      |
| O. LEHMANN. Künstliche Zellen mit flüssig-kristallinen Wänden  | 394 406      |
| WILH. FELGENTRÄGER. Bemerkungen zu der Erwiderung der Herren F. KÜHNEN und PH. FURTWÄNGLER auf meinen Vortrag vom 7. Februar 1908 . . . . .  | 394 418      |
| G. LEITHÄUSER und R. POHL. Nachtrag zu unserer Arbeit: Über den Einfluß des Ozons auf die Kondensation von Wasserdampf   | 394 420      |
| ERICH LADENBURG u. KARL MARKAU. Über die Anfangsgeschwindigkeit lichtelektrischer Elektronen . . . . .   | 394, 621 562 |
| M. THIESEN. Die Zustandsgleichung der Metalle . . . . .  | 422 410      |
| — — Bemerkungen zu vorstehendem Aufsatz . . . . .  | 422 415      |
| — — Berichtigung dazu . . . . .  | 832 604      |
| ERICH LADENBURG† . . . . .   | 421          |
| BR. GLATZEL. Das Verhalten der Quecksilberfunkenstrecke bei verschiedenen Entladespannungen und Koppelungen . . . .  | 421 464      |
| E. JACOBS. Das Berliner Exemplar von GUERICKEs Luftpumpe   | 421 473      |
| O. v. BAAYER u. E. GEHRCKE. Über den Zeemaneffekt in schwachen Magnetfeldern . . . . .   | 422 423      |
| ERNST HOCHHEIM. Bestimmung der Dielektrizitätskonstante von Helium . . . . .   | 422 446      |
| F. SCHÖN. Erwiderung auf Herrn ERFLES Abhandlung: „Zur anomalen Dispersion der Metaldämpfe“ . . . . .  | 422 434      |
| KURT HERMANN. Nachtrag zu der Arbeit über die Brechung und Dispersion des Heliums . . . . .  | 422 476      |

|  | Seite   |
|--|---------|
| H. RUBENS. Gedächtnisrede auf A. PAALZOW . . . . .   | 449 451 |
| RUDOLF LADENBURG. Über die Absorption des Lichtes in leuchtendem Wasserstoff . . . . .   | 449 550 |
| ADOLF KOEPEL. Über eine neue Methode zur fortlaufenden Analyse von Gasgemischen auf elektrischem Wege mit Anwendung auf die Bestimmung der Strömungsgeschwindigkeit von Gasen . . . . .        | 449 814 |
| MAX v. WOGAU. Über die Berechnung der Diffusionskonstanten von Nichtelektrolyten in flüssiger Lösung . . . . .   | 449 542 |
| K. v. WSENDONK. Bemerkungen zu der Erklärung der kritischen Opaleszenzerscheinungen aus der kinetischen Gastheorie . .   | 450 483 |
| P. GRUNER. Über eine Erweiterung der LORENTZschen Elektronentheorie der Metalle . . . . .  | 450 509 |
| J. FRANCK und R. POHL. Zur Frage nach der Geschwindigkeit der Röntgenstrahlen. II. Mitteilung . . . . .  | 450 489 |
| ALBERT WIGAND. Die elektrische Leitfähigkeit des flüssigen Schwefels . . . . .   | 450 495 |
| K. KILCHELING und J. KOENIGSBERGER. Über die Abhängigkeit der selektiven Absorption von der Temperatur und das Verhalten der ersten Elektronen eines Moleküls im Innern der Substanz . . . . . | 832 537 |
| H. GÖRGES und H. RUBENS. Begriffsbestimmung für Potential, Potentialdifferenz, elektromotorische Kraft, Spannung, Spannungsdifferenz . . . . .   | 578     |
| J. TRICHMÜLLER und M. WIEN. Leitfähigkeit und Leitwert . . .   | 581     |
| KARL SCHRELL und R. LUTHER. Der Wert des mechanischen Wärmeäquivalents . . . . .   | 584     |
| HEINRICH ERFLE. Bemerkungen zu der Arbeit von Herrn FR. SCHÖN: „Beiträge zur Kenntnis der anomalen Dispersion von Metalldämpfen“ . . . . .   | 832 591 |
| ERICH MARX. Antwort auf die zweite Mitteilung der Herren FRANCK und POHL, betreffend die Frage der Geschwindigkeit der Röntgenstrahlen . . . . .   | 832 597 |
| A. WEHNELT und F. JENTZSCH. Über die bei der Elektronenemission glühender Körper auftretenden Temperaturänderungen . . . . .   | 832 605 |
| G. QUINCKE. Flüssige Metalle, Myelinformen und künstliche Zellen mit flüssig-kristallinen Wänden . . . . .   | 832 615 |
| ERICH MARX. Einfluß der Röntgenstrahlen auf das Einsetzen der Glimmentladung . . . . .   | 619 627 |
| A. KOHN. Über die Lösung der Grundprobleme der Elastizitätstheorie . . . . .   | 619     |
| PAUL LIESEGANG. Konstruktionstypen des Kinematographen . . .   | 619 630 |
| A. L. BERNOULLI. Atomzerfall und Serienspektren . . . . .  | 619 636 |
| EDGAR MEYER. Über Lumineszenzerscheinungen an blauem Flußspat  | 619 643 |
| G. BERNDT. Über Hysteresis bei einigen Eisenverbindungen . . .   | 620 662 |
| WIESSNER. Beitrag zur Bestimmung der Bahn des Lichtes . . .  | 620     |
| A. BESTELMEYER. Demonstration eines Luftdruckvariometers zur Messung der Vertikalgeschwindigkeit im Luftballon . . . .   | 620     |

|  | Seite   |
|--|---------|
| HERM. TH. SIMON. Über neuere Methoden zur Erzeugung elektrischer Schwingungen und Bedeutung derselben für die drahtlose Telegraphie . . . . .  | 620     |
| H. LIEHMANN. Über die ultraroten Spektren und noch nicht beobachteten Serienlinien von 20 Metallen . . . . .                                   | 620     |
| — — Über einen neuen Schirm mit metallischer Oberfläche zur Projektion farbiger und lichtschwacher Bilder . . . . .                            | 620     |
| FR. KLINGELFUSS. Neuerungen an Induktoren, insbesondere für Strom- und Spannungsmessungen . . . . .  | 620     |
| — — Über ein neues Verfahren zur kontinuierlichen Ablesung der Härte einer Röntgenröhre . . . . .  | 620     |
| — — Über ein neues Meßverfahren zur Dosierung der Röntgenstrahlen mittels Strom- und Spannungsmessungen an der gedämpften Welle . . . . .      | 620     |
| R. GANS. Etalon für die magnetische Feldstärke . . . . .   | 620     |
| J. DRECKER. Über Gnomone und Sonnenuhren, ihre Geschichte und Literatur . . . . .  | 620 667 |
| F. LÖWE. Gitterspektroskop mit nach Wellenlängen bezifferter Mikrometerschraube . . . . .  | 620 671 |
| F. HENNING und L. HOLBORN. Der Sättigungsdruck des Wasserdampfes zwischen 50 und 200° C . . . . .  | 620     |
| HEINRICH WILLY SCHMIDT und PAUL CERMAK. Beitrag zur Frage über den Einfluß der Temperatur auf die Umwandlung radioaktiver Substanzen . . . . . | 621 675 |
| A. H. BUCHERER. Messungen an Becquerelstrahlen. Die experimentelle Bestätigung der LORENTZ-EINSTEINschen Theorie . . . . .                     | 621 688 |
| J. CLASSEN. Eine Neubestimmung von $\epsilon/\mu$ für Kathodenstrahlen . . . . .   | 621 700 |
| W. WIEN. Über positive Strahlen . . . . .  | 621 705 |
| H. RUBENS. Änderung des Emissionsvermögens der Metalle mit der Temperatur. Nach gemeinsam mit Herrn E. HAGEN ausgeführten Versuchen . . . . .  | 621 710 |
| J. STARK. Neue Beobachtungen an Kanalstrahlen in Beziehung zur Lichtquantenhypothese . . . . .   | 621 713 |
| RUDOLF LADENBURG und STANIŠLAW LORJA. Über die Dispersion des leuchtenden Wasserstoffs . . . . .   | 621 858 |
| MATHIAS CANTOR. Über eine neue Wirkung des elektrischen Stromes . . . . .  | 621 726 |
| O. v. BAEYER. Reflexion und Sekundärstrahlung langsamer Kathodenstrahlen . . . . .   | 621 953 |
| CHR. FÜCHTBAUER. Versuche über die Sekundärstrahlen, die von sehr langsamen Kathodenstrahlen ausgehen . . . . .                                | 622     |
| MAX PLANCK. Bemerkungen zum Prinzip der Aktion und Reaktion in der allgemeinen Dynamik . . . . .   | 622 728 |
| O. v. BAEYER. Über den Einfluß der Dispersion auf den Gangunterschied beim Interferenzspektroskop nach LUMMER-GEHECKE . . . . .                | 622 733 |
| CL. SCHAEFFER. Beugung elektromagnetischer Wellen an zylindrischen Hindernissen . . . . .  | 622     |
| P. DEBYE. Das elektromagnetische Feld um einen Zylinder und die Theorie des Regenbogens . . . . .  | 622 741 |



|   | Seite   |
|---|---------|
| G. F. C. SEARLE. Über elektrische Untersuchungen . . . . .  | 622     |
| P. ZERMAN. Spektralanalytische Untersuchung der magnetischen<br>Felder auf der Sonne . . . . .  | 622 750 |
| M. LAUE. Über das Additionstheorem der Entropie . . . . .   | 622     |
| CHR. FREDENHAGEN. Temperaturstrahlung und Reaktionsstrahlung<br>und ihre Bedeutung für die Spektroskopie und Photochemie . . . . .  | 622     |
| GEORG MEYER. Demonstration einer neuen Saug- und Druckluft-<br>pumpe nach GAEDE . . . . .   | 622 753 |
| KARL T. FISCHER. Fixpunkte für tiefe Temperaturen . . . . .   | 622     |
| W. VOIGT. Eine Einwirkung natürlich aktiver Körper auf das an<br>ihnen reflektierte Licht (nach Beobachtungen von K. FÖRSTER-<br>LING) . . . . .                            | 622 757 |
| W. FELGENTRAEGER. Die Verzeichnungsfehler von Mikroskop-<br>objektiven . . . . .  | 622     |
| P. NORDMEYER. Über Funkenpotentiale bei zwei hintereinander<br>geschalteten Funkenstrecken . . . . .  | 623 763 |
| KARL SCHEEL und WILHELM HEUSE. Über scheinbare Abweichungen<br>vom MARIOTTESchen Gesetz und deren Einfluß auf die Mes-<br>sung kleiner Drucke . . . . .                     | 623 785 |
| W. KÖNIG. Über Demonstration langsamer elektrischer Schwin-<br>gungen . . . . .   | 623 794 |
| O. WIENER. Über Farbenphotographie und verwandte naturwissen-<br>schaftliche Fragen . . . . .   | 623     |
| H. MINKOWSKI. Raum und Zeit . . . . .   | 623     |
| G. HAMEL. Über die Grundlagen der Mechanik . . . . .  | 623     |
| E. TIMEBING. Die historische Entwicklung des Kraftbegriffes . . . . .   | 623     |
| P. STÄCKEL. Ausgezeichnete Kreisbewegungen . . . . .  | 623     |
| R. v. MISES. Probleme der technischen Hydromechanik . . . . .   | 623     |
| H. REISSNER. Wissenschaftliche Probleme der Flugtechnik . . . . .   | 624     |
| F. S. ARCHENHOLD. Über eine mit dem großen Treptower Fern-<br>rohr beobachtete Veränderung der Mondoberfläche . . . . .   | 624     |
| HÄNEL. Die Vergrößerung der Gestirne am Horizont . . . . .  | 624     |
| ERNST STEPHANI. Bahnen der Sonnenflecke 1906 und 1907 . . . . .   | 624     |
| J. F. H. SCHULZ. Die Sonnenflecke als Abkühlungsprodukte erup-<br>tiver Protuberanzen . . . . .   | 624     |
| A. KORN. Neue Resultate der Teleautographie . . . . .   | 624     |
| CORSEPIUS. Die Fehlerquellen des ULBRICHTSchen Kugelphoto-<br>meters und ihre Vermeidung mit Berücksichtigung einer<br>neuen Anordnung für hemisphärische Messung . . . . . | 624     |
| J. STARK. Spektrale Beobachtungen über die Fluoreszenz organi-<br>scher Körper . . . . .  | 624     |
| RUD. FABINYI. Beiträge zur Frage über Eigenschaftsänderungen<br>des Chlors . . . . .  | 625     |
| F. COHEN. Neues über die Zinnpest: die Museumskrankheit . . . . .   | 625     |
| H. STRACHE. Die Erklärung des periodischen Systems der Elemente<br>mit Hilfe der Elektronentheorie . . . . .  | 625 798 |
| A. REMELÉ. Über chemisch wirkende elektrische Strahlungen . . . . .   | 625 804 |
| W. KREBS. Das meteorologische Jahr 1907/1908 . . . . .  | 625     |
| — — Vulkanismus im Planetensystem . . . . .   | 625     |

|  | Seite   |
|--|---------|
| W. KREBS. Die Beobachtung der Sonnenfinsternis im Dezember 1908 und die Erforschung des Bouvet-Meeress . . . . .                                     | 625     |
| — — Das Bild der Erde in Mondentfernung . . . . .  | 625     |
| P. POLIS. Bedeutung der drahtlosen Telegraphie für die moderne Witterungskunde . . . . .   | 625     |
| — — Wanderung der Tiefdruckgebiete über den Atlantischen Ozean . . . . .   | 625     |
| ERNST STEPHANI. Sonnenflecke. Störungen der Magnetnadel und Witterung . . . . .  | 625     |
| H. WEHNER. Das Innere der Erde und der Planeten . . . . .  | 626     |
| E. VAN EVERDINGEN. Über die Ermittlung des Winkels zwischen Gradient und Windrichtung . . . . .  | 626 806 |
| W. KREBS. Demonstration von Photographien der Nachdämmerung des 30. Juni 1908 und einer BISHOPSchen Aureole . . . . .                                | 626     |
| — — Demonstrationen einiger Vereinfachungen des meteorologischen Instrumentariums . . . . .  | 626     |
| F. S. ARCHENHOLD. Stereoskopische Aufnahmen von dunklen Blitzen  | 626     |
| ECKART. Über die Änderung des Klimas in der geologischen Vergangenheit und der historischen Gegenwart . . . . .                                      | 626     |
| A. WÜLFING. Demonstration an großen Kaleidoskopen und anderen neuen Vorlesungsapparaten zur Erläuterung der kristallographischen Symmetrie . . . . . | 626     |
| EDGAR MEYER. Notiz über ein einfaches Phosphoroskop . . . . .  | 832 658 |
| JOSEF ROSENTHAL. Über einige Versuche mit lichtelektrischen Gaszellen bei großen Stromstärken . . . . .  | 832 828 |
| A. WÜLLNER † . . . . .   | 831     |
| E. BOLLÉ. Über eine selbstregulierende Bogenlampe von großer Intensität mit horizontal rotierender positiver Kohle . . . . .                         | 831 833 |
| E. ASCHKINASS. Wirkungsbereich und Absorption der $\alpha$ -Strahlen   | 831     |
| M. LAUR. Die Wellenstrahlung einer bewegten Punktladung nach dem Relativitätsprinzip . . . . .   | 832 838 |
| RICHARD THÖLDTE. Die Ursache der Leitfähigkeit eines Kohärens infolge mechanischer Erschütterungen . . . . .   | 832 845 |
| G. COSTANZO. Über die Natriumemanation . . . . .   | 832 854 |
| I. TRAUBE. Der Haftdruck. Beitrag zur Theorie der Lösungen . . . . .   | 867 880 |
| F. DOLEZALEK. Theorie der binären Gemische und konzentrierten Lösungen . . . . .   | 867     |
| E. GERLAND. Bemerkung zu E. JACOBS' das Berliner Exemplar von GUERICKEs Luftpumpe behandelnder Mitteilung . . . . .                                  | 867 877 |
| G. J. ELIAS. Über anomale Dispersion der magnetischen Rotationspolarisation . . . . .  | 867 880 |
| FRANZ KIEBITZ. Gerichtete drahtlose Telegraphie . . . . .  | 932 934 |
| JAMES MOSER † . . . . .  | 933     |
| H. RUBENS und ERICH LADENBURG. Über das ultrarote Absorptionsspektrum des Wassers . . . . .  | 933     |
| H. RUBENS. Über Apparate zur Untersuchung des ultraroten Spektrums . . . . .   | 933     |
| G. BODE. Vorlesungsversuche . . . . .  | 933     |
| ROBERT FÜRSTENAU. Über die Abhängigkeit des Verhältnisses der spezifischen Wärmen der Gase von der Temperatur . . . . .                              | 933 96  |

|  | Seite    |
|--|----------|
| ERICH LEHMANN. Über das ultraviolette Ende des Sonnenspektrums                                       | 945      |
| O. HAHN. Über eine neue Erscheinung bei der Aktivierung des Aktiniums                                | 945      |
| O. REICHENHEIM. Über die Fluoreszenzfarben von Glas und Quarz unter dem Einfluß von Kathodenstrahlen | 945      |
| EDGAR MEYER. Zur Deutung der Versuche des Herrn CANTOR   | 945 980  |
| M. THIESEN. Über die spezifische Wärme fester Körper   | 945 947  |
| R. LINDEMANN. Über Dämpfungsmessungen mittels ungedämpfter elektrischer Schwingungen                 | 945      |
| — — —  |          |
| 80. Versammlung Deutscher Naturforscher und Ärzte zu Cöln 1908                                       | 619      |
| Ausschuß für Einheiten und Formelgrößen  | 578      |
| Preis Ausschreiben der Deutschen Meteorologischen Gesellschaft                                       | 830      |
| — — —  |          |
| Geschäftliches   | 315, 931 |
| Wahlen des Vorstandes, des Beirats und des Wissenschaftlichen Ausschusses                            | 316, 831 |
| Vermögensbilanz der Deutschen Physikalischen Gesellschaft am 31. Dezember 1907                       | 319      |
| Gewinn- und Verlustkonto am 31. Dezember 1907  | 320      |
| — — —  |          |
| Aufnahme von Mitgliedern 18, 33, 34, 86, 116, 244, 302, 318, 356, 394, 422, 868, 932, 933, 946       | 983      |
| Mitgliederliste  | 983      |
| — — —  |          |
| Alphabetisches Namenregister   | 995      |

# Berichte der Deutschen Physikalischen Gesellschaft

enthaltend

## Verhandlungen

der Deutschen Physikalischen Gesellschaft  
im Auftrage der Gesellschaft herausgegeben

von

Karl Scheel

und

## Halbmonatliches Literaturverzeichnis

der „Fortschritte der Physik“, dargestellt von der  
Deutschen Physikalischen Gesellschaft

redigiert von

Karl Scheel

für reine Physik

Richard Assmann

für kosmische Physik

### Inhalt.

1. Verhandlungen der Deutschen Physikalischen Gesellschaft. Edgar Meyer und Erich Regener, Über Schwankungen der radioaktiven Strahlung und eine Methode zur Bestimmung des elektrischen Elementarquantums. Vorläufige Mitteilung. (Vorgetragen in der Sitzung vom 13. Dezember 1907.) S. 1. — J. Stark, Bemerkung zu Herrn Kaufmanns Antwort auf einen Einwand von Herrn Planck. (Vorgelegt in der Sitzung vom 10. Januar 1908.) S. 14. — 2. Halbmonatliches Literaturverzeichnis der Fortschritte der Physik. I. Allgemeine Physik. S. 1. — II. Akustik. S. 4. — III. Physikalische Chemie. S. 4. — IV. Elektrizität und Magnetismus. S. 7. — V. Optik des gesamten Spektrums. S. 11. — VI. Wärme. S. 13. — VII. Kosmische Physik. S. 15.


---

Braunschweig

Druck und Verlag von Friedrich Vieweg und Sohn

1908

**Photometer**  
**Spektral - Apparate**  
**Projektions - Apparate**  
**Glas - Photogramme**  
**Physik. Apparate n. Prof. Grimsehl**  
**Optisches Institut von A. Krüss**  
 Inhaber: Dr. Hugo Krüss. HAMBURG.

|   |  |
|---|--|
|  <p> <b>Präzisions-Reißzeuge (Rundsystem)</b><br/> <b>Nickelstahl - Kompensationspendel</b><br/> <b>Astronomische Uhren.</b><br/> <b>Paris 1900 Grand Prix.</b> </p> | <p> <b>Clemens Riefler</b><br/>                 Fabrik mathemat. Instrumente<br/> <b>Nesselwang u. München</b><br/>                 Bayern.             </p> <p style="font-size: small;">Illustrierte Preislisten gratis.</p> |
|---|--|

Verlag von Friedr. Vieweg & Sohn in Braunschweig.

## Wissenschaftliche Luftfahrten.

Ausgeführt vom Deutschen Verein zur Förderung der Luftschiff-  
 fahrt in Berlin. Unter Mitwirkung von *O. Baschin, W. von*  
*Bezold, R. Börnstein, H. Gross, V. Kremser, H. Stade* und  
*R. Süring* herausgegeben von **Richard Assmann** und **Arthur**  
**Berson**. In drei Bänden. Mit zahlreichen Tabellen und Tafeln  
 graphischer Darstellungen, farbigen Vollbildern und Textabbil-  
 dungen. gr. 4<sup>o</sup>. Preis *M* 100.—; herabgesetzter Preis *M* 60.—.

Nach jahrelangen Vorbereitungen ist das von der naturwissenschaftlichen  
 Welt mit Spannung erwartete große Berichtswerk über die im letzten Jahr-  
 zehnt des 19. Jahrhunderts mit großen Mitteln neu aufgenommenen Forschungen  
 in der Atmosphäre mittelst des Luftballons erschienen.

Dieses Fundamentalwerk ist für alle **Meteorologen, Physiker, Astro-**  
**nomen, Geodäten usw.**, ja fast für die ganzen Naturwissenschaften wegen des  
 darin niedergelegten wertvollen Materials für die Physik der Atmosphäre  
 von der höchsten Bedeutung und kann als ein „*standard work*“ bezeichnet  
 werden, wie es bisher noch nicht existiert, sowohl was die Zahl und Sicher-  
 heit der Beobachtungen selbst, wie auch die strenge Methode der Bearbeitung  
 der Ergebnisse anlangt.

Zu beziehen durch alle Buchhandlungen.

# Verhandlungen der Deutschen Physikalischen Gesellschaft

Im Auftrage der Gesellschaft herausgegeben

von

**Karl Scheel**

---

10. Jahrg.

15. Januar 1908.

Nr. 1.

---

*Über Schwankungen der radioaktiven Strahlung  
und eine Methode zur Bestimmung des elektrischen  
Elementarquantums;*

*von Edgar Meyer und Erich Regener.*

(Vorläufige Mitteilung.)

(Vorgetragen in der Sitzung vom 13. Dezember 1907.)

(Vgl. diese Verh. 9, 739, 1907.)

---

§ 1. In einer Abhandlung „Über Schwankungen der radioaktiven Umwandlung“ hat Herr E. v. SCHWEIDLER<sup>1)</sup> die Gesetze der Wahrscheinlichkeitsrechnung auf den radioaktiven Zerfall angewandt. Es ergibt sich, daß das bekannte Exponentialgesetz für den Zerfall einer (einheitlichen) radioaktiven Substanz:  $n = Ne^{-\lambda t}$  ( $n$  = Anzahl Atome zur Zeit  $t$ ,  $N$  diejenige zur Zeit 0,  $\lambda$  Abklingungskonstante) streng nur dann erfüllt sein kann, wenn  $N$  eine sehr große Zahl ist. Ist die Zahl  $N$  der Atome, deren Zerfall man beobachtet, nicht sehr groß, so zerfallen in einer gewissen Zeit nicht immer gleichviel Atome, sondern bald mehr, bald weniger, so daß die Aktivität eines Präparates Schwankungen unterworfen sein wird. Herr v. SCHWEIDLER findet, indem

---

<sup>1)</sup> E. v. SCHWEIDLER: Über Schwankungen der radioaktiven Umwandlung. Premier Congrès international pour l'étude de la radiologie et de l'ionisation, Liège 1905.

er für die Wahrscheinlichkeit, daß ein bestimmtes Atom in der Zeit  $\delta$  zerfällt,  $1 - e^{-\lambda\delta}$ , für diejenige, daß es nicht zerfällt,  $e^{-\lambda\delta}$  einsetzt, daß die Schwankungen nach dem Fehlergesetz verteilt sind. Die Größe der Schwankungen in einer gewissen Zeit steht im Zusammenhange mit der Zahl der Atome, die im Mittel in dieser Zeit zerfallen, und zwar ist nach Herrn v. SCHWEIDLER  $\bar{\varepsilon} = \frac{1}{\sqrt{Z}}$ , d. h. die mittlere Schwankung (ausgedrückt in Bruchteilen des Normalwertes) ist nur abhängig von der Zahl  $Z$ , der Anzahl von Atomen, die bei strenger Gültigkeit des Gesetzes  $n = Ne^{-\lambda t}$  innerhalb der Zeit  $\delta$  zur Umwandlung gelangen würden, und zwar gleich der reziproken Wurzel aus dieser Zahl.

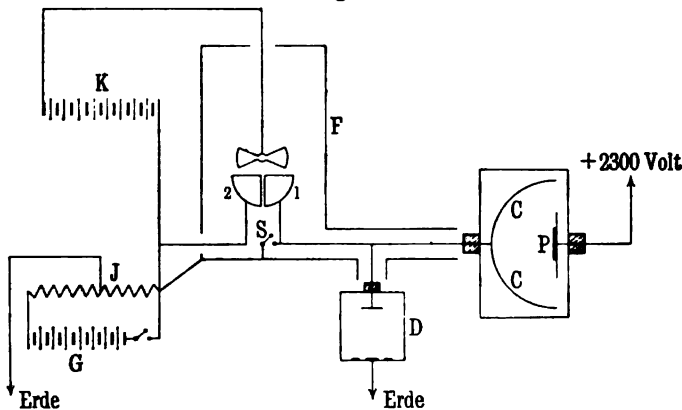
§ 2. Dieses Gesetz hat Herr K. W. FRITZ KOHLRAUSCH<sup>1)</sup> zuerst einer experimentellen Prüfung unterzogen. Zwei Messingkästen waren mit den Enden einer Akkumulatorenbatterie verbunden, deren Mitte geerdet war. Auf den Böden der Kästen befanden sich zwei nahezu gleich starke Poloniumpräparate. In die Kästen ragten Elektroden hinein, die untereinander und mit dem einen Quadrantenpaare eines Dolezalekelektrometers verbunden waren. Da die Poloniumpräparate nicht gleich stark waren, zeigte das Elektrometer langsame Aufladung an. Die Aufladung, die das Elektrometer in einer Minute erfuhr, war nun bei verschiedenen Beobachtungen ganz verschieden, damit Schwankungen der Strahlung der Poloniumpräparate in den Messingkästen anzeigend. Aus einer größeren Anzahl von Beobachtungen rechnet Herr KOHLRAUSCH die mittlere Abweichung nach der bekannten Formel  $\varepsilon = \sqrt{\frac{\sum \Delta^2}{n-1}}$  aus. Herr KOHLRAUSCH zeigt, daß diese Abweichungen und damit die mittlere Schwankung der Strahlung der Poloniumpräparate von der an die Messingkästen angelegten Spannung in der Weise abhängig ist, daß die Schwankungen am kleinsten ausfallen bei der kleinsten an die Kästen angelegten Spannung, um bei höheren Spannungen einem Grenzwerte zuzustreben. Das Aussehen der Kurve, die die Abhängigkeit der Schwankungen von der Spannung wiedergibt, ist also das

<sup>1)</sup> K. W. FRITZ KOHLRAUSCH, Über Schwankungen der radioaktiven Umwandlung. Wien. Ber. 115 [2a], 673, 1906.

gleiche, welches die Abhängigkeit des durch die Kästen fließenden Stromes von der Spannung zeigt. Einen Vergleich der beobachteten Schwankungen mit den nach der Theorie des Herrn v. SCHWEIDLER berechneten lassen die Beobachtungen des Herrn KOHLRAUSCH nur in beschränktem Maße zu, da aus den Beobachtungen nur ein Wert zum Vergleich herangezogen werden kann, nämlich der bei Sättigungsstrom. Um nun die SCHWEIDLERSche Beziehung allgemein zu prüfen, wurden die folgenden Versuche unternommen. Die Verfasser konnten mit Hilfe einer empfindlichen Versuchsanordnung die Schwankungen leicht nachweisen und die Beziehung  $\bar{\epsilon} = \frac{1}{\sqrt{Z}}$  durch Variieren von  $Z$  bestätigen. Auch wurde der Einfluß der Versuchsbedingungen auf die Schwankungen untersucht.

§ 3. Die benutzte Versuchsanordnung ist in Fig. 1 schematisch dargestellt. Das Poloniumpräparat, an dem die Schwankungen untersucht wurden, war ein Niederschlag auf einer Kupfer-

Fig. 1.



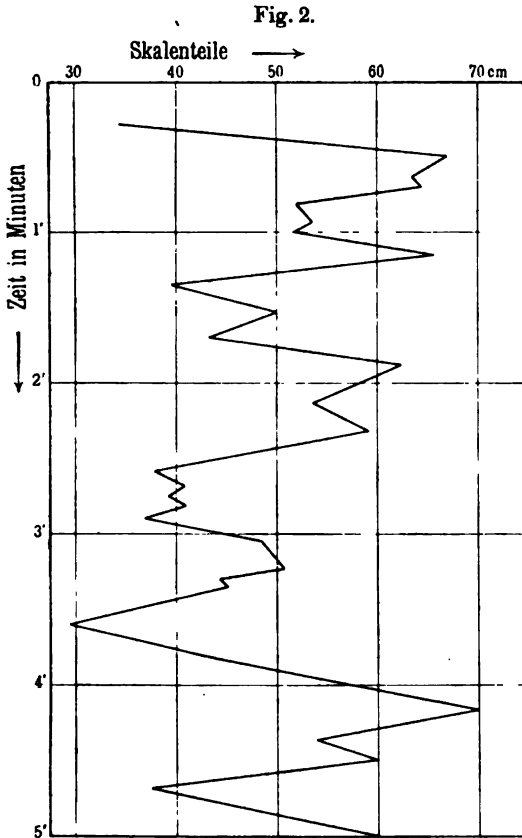
platte von 4 cm Durchmesser ( $P$ , Fig. 1, rechts). Die von demselben ausgehenden  $\alpha$ -Strahlen haben in Luft eine Reichweite von ungefähr 4 cm, d. h. sie sind in einer Entfernung von 4 cm vollständig absorbiert. Um die durch die Absorption der Strahlen hervorgerufene Ionisation vollständig zur Messung zu bringen, befand sich der Poloniumplatte  $P$  gegenüber die Elektrode  $C$  in Form einer Halbkugel. Der Durchmesser der Halbkugel betrug



13 cm, so daß die Entfernung der Halbkugel von der Poloniumplatte überall größer als 4 cm, die Reichweite der  $\alpha$ -Strahlen, war. Dadurch wurde auch erreicht, daß Schwankungen von Druck und Temperatur, die die Reichweite der  $\alpha$ -Strahlen verändern, ohne Einfluß auf den mit dieser Anordnung gemessenen Ionisationsstrom blieben. Die Messungen wurden immer bei Sättigungsstrom angestellt. Um diesen herzustellen, genügte es, an die Poloniumplatte  $P$  2300 Volt, die einer Hochspannungsbatterie entnommen wurden, anzulegen. Der durch die Poloniumzelle fließende Strom selbst wurde in der Weise gemessen, daß die Elektrode  $CC$  durch einen großen Widerstand mit der Erde verbunden wurde und das Potential bestimmt wurde, das sich an dem nicht geerdeten Ende des Widerstandes ausbildete. Als großer Widerstand wurde nach BRONSON<sup>1)</sup> eine ionisierte Luftstrecke benutzt und zwar diente dazu die Messingbüchse  $D$ , auf deren Boden Poloniumpräparate ausgebreitet waren. Dieser „Bronsonwiderstand“ verhielt sich, wie durch Aufnahme der Sättigungsstromkurve festgestellt werden konnte, innerhalb der Spannungen, bei denen er bei diesen Versuchen gebraucht wurde, als „Ohmscher“ Widerstand, so daß die Ströme proportional den Spannungen an dem nicht geerdeten Ende des Bronsonwiderstandes waren. Dieses letztere war verbunden mit dem Quadranten 1 des Dolezalelektrometers  $F$ . Um nun Änderungen des Stromes und mithin des Potentials des Quadranten 1 genau messen zu können, wurde eine Kompensationsmethode gebraucht. Mit Hilfe der Akkumulatorenatterie  $G$  und des Abzweigwiderstandes  $J$  wurde dem Quadrantenpaare 2 des Dolezalelektrometers ein mit dem Quadranten 1 gleich hohes Potential zur Kompensation erteilt. Es konnte dann ein Elektrometer von hoher Empfindlichkeit gebraucht werden. War z. B. die Empfindlichkeit des Elektrometers 2000 mm pro 1 Volt und war die Kompensationsspannung 50 Volt, so entsprach ein Ausschlag des Elektrometers von 1 mm einer Änderung der Spannung des Quadranten 1, mithin des Stromes um  $\frac{1}{2000 \cdot 50} = 0,001$  Proz. Um die Empfindlichkeit des Elektrometers nicht dadurch herabzusetzen, daß das Potential der Quadranten gegen die Nadelladung

<sup>1)</sup> BRONSON, Phil. Mag. (6) 11, 143, 1906.

in Betracht kam, wurde das Elektrometergehäuse sowie der zweite Pol der Batterie  $K$ , die die Nadel auflud, auf das Potential der Kompensationsspannung aufgeladen. Bei der Einstellung der Kompensationsspannung blieb dann der Schlüssel  $S$  zunächst geschlossen. Beim vorsichtigen Öffnen zeigte es sich dann, ob die Kompensationsspannung zu hoch oder zu niedrig war. Durch Änderung des Abzweigwiderstandes  $J$  ließ sich die Kompensationsspannung dann leicht einstellen.



§ 4. Wurde nun, wie eben beschrieben, die Kompensationsspannung eingestellt, so sollte, falls der Strom durch die Poloniumzelle konstant war, auch das Potential des Quadranten 1 und

damit die Stellung der Elektrometernadel konstant bleiben. Da aber die Strahlung des Poloniums Schwankungen zeigte, so war die Elektrometernadel in ständiger und zwar unregelmäßiger Bewegung. Zur Aufzeichnung der Schwankungen wurden die Umkehrpunkte der Elektrometernadel mit den dazugehörigen Zeiten abgelesen. Fig. 2 gibt als Beispiel ein auf diese Weise erhaltenes Bild der Schwankungen. Das Bild ist nur ein angenähertes, da die Umkehrpunkte der Elektrometernadel durch gerade Linien verbunden sind, während in Wirklichkeit die Bewegung der Nadel ungleichförmig war. Aus einer größeren Anzahl von Umkehrpunkten, die durch Beobachtung der Schwankungen über eine längere Zeit (8—15 Minuten) erhalten wurden, wurde die mittlere

Schwankung nach der Formel  $\varepsilon = \sqrt{\frac{\sum \Delta^2}{n-1}}$  berechnet. Wurde die so erhaltene mittlere Schwankung in Skalenteilen mit der Elektrometerempfindlichkeit multipliziert und durch die Kompensationsspannung dividiert, so ergab dies die mittlere prozentische Schwankung, die mit  $\bar{\varepsilon}$  bezeichnet werden soll.

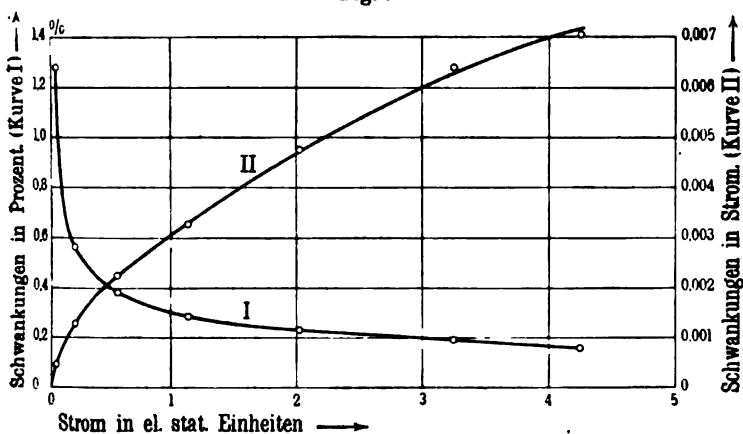
§ 5. Zur Prüfung der SCHWEIDLERSchen Beziehung  $\bar{\varepsilon} = \frac{1}{\sqrt{Z}}$

wurde in folgender Weise verfahren. Das Poloniumpräparat wurde mit Blenden aus Messingblech bedeckt, die in der Mitte verschieden große kreisförmige Öffnungen freiließen. Dadurch trat von demselben Präparat nur ein Bruchteil der zerfallenden Atome in Wirksamkeit, man konnte also  $Z$  variieren und die Abhängigkeit der mittleren Schwankung davon feststellen. Die folgende Tabelle gibt die erhaltenen Resultate:

| 1      | 2                   | 3                                       | 4   | 5  |
|--------|---------------------|---|---|--|
| Blende | $\varepsilon$ stat. | $\bar{\varepsilon}$ Schwankung<br>Proz. | $\bar{\varepsilon} \sqrt{\varepsilon} \cdot 10^4$ | $\varepsilon$ Schwankung<br>in Strom (stat.) |
| 1      | 0,04                | 1,28                                    | 25,6  | 0,0005                                       |
| 2      | 0,22                | 0,57                                    | 26,7  | 0,0013                                       |
| 3      | 0,58                | 0,38                                    | 29,2  | 0,0023                                       |
| 4      | 1,14                | 0,29                                    | 30,4  | 0,0033                                       |
| 5      | 2,02                | 0,23                                    | 33,1  | 0,0048                                       |
| 6      | 3,25                | 0,20                                    | 35,1  | 0,0065                                       |
| 0      | 4,25                | 0,16                                    | 33,0  | 0,0070                                       |

In dieser Tabelle bedeutet Blende 1 die kleinste Blende (6 mm Durchmesser), Blende 6 die größte, Blende 0, daß das Präparat unbedeckt war. Die zweite Reihe gibt die (Sättigungs-) Ströme (in stat. Einheiten), die bei diesen Blenden durch die Poloniumzelle flossen. Dieselben wurden bei Blende 0 galvanometrisch gemessen, bei den übrigen Blenden aus der Kompensationsspannung berechnet. Der Strom bei kleinster Blende entspricht ungefähr 1000, der bei unbedecktem Präparat ungefähr 100 000 in der Sekunde zerfallenden Atomen. Die dritte Reihe gibt die

Fig. 3.



mittlere prozentische Schwankung, die für jede Blende aus zwei bis drei Beobachtungsreihen von je acht Minuten erhalten wurde. Nach der v. SCHWEIDLERSchen Theorie soll  $\bar{\epsilon} \cdot \sqrt{Z}$ , oder, da  $Z$  proportional dem Sättigungsstrom  $i$  ist,  $\bar{\epsilon} \cdot \sqrt{i}$  konstant sein. Wie aus der vierten Reihe ersichtlich, ist dies ziemlich gut der Fall. Der noch vorhandene Gang erklärt sich aus Versuchsfehlern. Zu diesen gehört unter anderen der Einfluß des Bronsonwiderstandes, in dem sich ja Poloniumpräparate, die auch Schwankungen zeigten, befanden. Diese Schwankungen kommen aber nur in sehr geringem Maße mit zur Beobachtung, da der Bronsonwiderstand bei Spannungen gebraucht wurde, die sehr weit von denen, bei welchen Sättigungsstrom fließt, entfernt waren. Dementsprechend verkleinern sich auch die Schwankungen. Unter Zuhilfenahme

der Messungen des Herrn K. W. F. KOHLRAUSCH<sup>1)</sup> konnte ausgerechnet werden, daß die Schwankungen des Bronsonwiderstandes diejenigen des Poloniumpräparates bei unbedecktem Präparate nur um einige Prozente vergrößerten. Bei kleineren Blenden kamen die Schwankungen des Bronsonwiderstandes gar nicht in Betracht. In der letzten Spalte der obigen Tabelle sind noch die Absolutwerte der mittleren Schwankungen in Strom, wie sie wirklich auftraten, angegeben. Dieselben sind gleichzeitig mit den prozentischen Schwankungen in den Kurven Fig. 3 (I prozentische Schwankung, II absolute Schwankung) in Abhängigkeit von  $i$  wiedergegeben. Es ist aus diesen Kurven zu ersehen, daß die prozentischen Schwankungen am größten bei kleinster Blende, die absoluten am größten bei unbedecktem Präparat sind. Obgleich also die prozentischen Schwankungen bei starken Präparaten kleiner sind, so werden sie sich doch bei diesen, falls man nur eine Kompensationsmethode anwendet, am leichtesten beobachten lassen.

§ 6. Die Schwankungen lassen sich vorausberechnen, wenn man in der v. SCHWEIDLERschen Formel  $\bar{\epsilon} = \frac{1}{\sqrt{Z}}$  an Stelle von  $Z$   $i$ , den Sättigungsstrom, einführt. Bei dem Zerfall eines jeden Atomes wird ja ein  $\alpha$ -Teilchen ausgesandt, das auf seinem Wege in Luft eine gewisse Anzahl Ionen erzeugt. Nach RUTHERFORD<sup>2)</sup> erzeugt ein  $\alpha$ -Teilchen, das von Radium selbst im Zustande seiner Minimalaktivität fortgeschleudert wird, bei seiner Absorption in Luft 86 000 Ionenpaare. Unter Berücksichtigung der etwas größeren Reichweite der Poloniumstrahlen muß man hier etwa 94 000 Ionenpaare setzen. Dann ist der durch Zerfall von  $Z$  Atomen in der Sekunde entstehende Strom  $i = Z \cdot 94\,000 \cdot e$ , wo  $e$  die Ladung eines Ions bedeutet. Ist  $Z$  nicht die in der Sekunde zerfallende Anzahl, sondern die in der Zeit  $\delta$ , so ist  $i = \frac{Z \cdot 94\,000 \cdot e}{\delta}$  oder  $Z = \frac{i \cdot \delta}{94\,000 \cdot e}$ . Wird dies in die Formel  $\bar{\epsilon} = \frac{1}{\sqrt{Z}}$  eingesetzt, so ergibt sich:

<sup>1)</sup> l. c.

<sup>2)</sup> RUTHERFORD, Phil. Mag. (6) 10, 207, 1905.

$$\bar{\varepsilon} = \frac{\sqrt{94000 \cdot 3,4 \cdot 10^{-10}}}{\sqrt{i \cdot \delta}} = \frac{5,66 \cdot 10^{-3}}{\sqrt{i \cdot \delta}}.$$

Die Zeit  $\delta$  ist offenbar die Zeit, über die die Elektrometernadel die Schwankungen vermöge ihrer Trägheit integriert. Hat man eine aperiodische Elektrometernadel, so kann für diese Zeit höchstens die Schwingungsdauer der Nadel in Betracht kommen. Betrachtet man nämlich den Ausschlag der Elektrometernadel zu einer gewissen Zeit  $t_1$ , so wird ein Impuls, den die Elektrometernadel zu einer Zeit erhalten hat, die zeitlich weiter zurückliegt als die Schwingungsdauer der Nadel, ohne Einfluß auf den Ausschlag der Nadel zu der Zeit  $t_1$  bleiben. Die Elektrometernadel integriert aber auch nicht über die Zeit ihrer Schwingungsdauer gleichmäßig, da, wie man leicht sieht, die Impulse, die die Elektrometernadel eine halbe Schwingungsdauer früher empfangen hat, am meisten Einfluß auf den Ausschlag zu einer gewissen Zeit haben. Unter Verzicht auf die theoretische Behandlung wurde bei den vorliegenden Beobachtungen für  $\delta$  zunächst die Schwingungsdauer der Nadel eingesetzt. Man erhält dann für die nach der Formel  $\bar{\varepsilon} = \frac{5,66 \cdot 10^{-3}}{\sqrt{i \cdot \delta}}$  berechnete Schwankung einen Grenzwert, und zwar den unteren Wert, indem  $\delta$  in dieser Formel zu groß eingesetzt ist.

Die im § 5 mitgeteilten Beobachtungen sind nun wenig zu einem derartigen Vergleich geeignet, indem das dort benutzte Elektrometer nicht aperiodisch war, sondern erst nach etwa 4 bis 5 Schwingungen zur Ruhe kam. Für ein solches kann man auch nicht die Schwingungsdauer der Nadel als Grenzwert für die Zeit, über die das Elektrometer die Schwankungen integriert, einsetzen. Es sei nur erwähnt, daß die dort beobachteten Werte etwa drei- bis viermal größer waren als die berechneten, bei denen für  $\delta$  die Schwingungsdauer der Nadel eingesetzt wurde.

Es wurden deshalb Versuche mit einem Dolezalelektrometer gemacht, das durch Benutzung einer sehr leichten Nadel und durch Luftdämpfung mit Glimmerblättchen aperiodisch gemacht worden war. Die erhaltenen Resultate sind in folgender Tabelle zusammengestellt:

| 1      | 2                             | 3                       | 4   |
|--------|-------------------------------|-------------------------|---|
| Blende | $\delta$ (statische Einheit.) | $\bar{\delta}$ in Proz. | $\bar{\delta} = \frac{5,66 \cdot 10^{-8}}{\sqrt{i \cdot \delta}}$ |
| 3      | 0,45                          | 0,144                   | 0,108   |
| 4      | 0,84                          | 0,113                   | 0,075   |
| 5      | 1,37                          | 0,087                   | 0,059   |
| 6      | 2,02                          | 0,076                   | 0,049   |

Wie aus Spalte 3 und 4 ersichtlich, sind die beobachteten Werte nur verhältnismäßig wenig größer als die berechneten, bei denen für  $\delta$  die ganze Schwingungsdauer der Nadel (67'') eingesetzt wurde. Da in Wirklichkeit für  $\delta$  ein Bruchteil dieser Zeit einzusetzen ist, so werden dann wahrscheinlich die berechneten Werte größer ausfallen als die beobachteten. Aber auch dies würde noch in Einklang mit den beobachteten Werten stehen, denn, wie im nächsten Paragraphen gezeigt werden wird, sind die beobachteten Werte wegen der Kapazität des Elektrometers um ungefähr 50 Proz. zu klein gefunden worden.

§ 7. Die Kapazität des Elektrometers wird deswegen einen Einfluß auf die mit dem Elektrometer beobachteten Schwankungen haben, weil die Schwankungen, wenn auch nicht immer, so doch häufig so schnell aufeinander folgen können, daß das Elektrometer sich nicht zu dem vollen Potential, das jeder Schwankung entspricht (die Schwankung wird ja durch die Spannungsänderung am Bronsonwiderstand gemessen), auflädt. Die Schwankungen werden also vermöge der Kapazität des Elektrometers zu klein ausfallen. Es wurden deshalb die Schwankungen mit einem Goldblattelektrometer nach HANKEL beobachtet, das eine sehr kleine Kapazität besitzt. Die Kapazität desselben wurde dann dadurch vergrößert, daß zu dem Hankelelektrometer noch die Kapazität des Dolezalekelektrometers hinzugeschaltet wurde, das schätzungsweise eine sechs- bis zehnfach so große Kapazität besaß. Es ergab sich, daß, wenn die Schwankungen an dem Hankelelektrometer allein beobachtet wurden, sie fast doppelt so groß ausfielen, als wenn mit dem Hankelelektrometer noch die Kapazität des Dolezalekelektrometers verbunden war. Es wurde z. B. in einem Versuche die prozentige Schwankung mit dem Hankel-

elektrometer zu 0,17 Proz. beobachtet; wurde zu dem Hankelelektrometer noch das Dolezalelektrometer hinzugeschaltet, so ergab sich die prozentige Schwankung zu 0,089 Proz. Die im vorigen Paragraphen erwähnten Beobachtungen mit dem aperiodischen Dolezalelektrometer sind infolge dieses Resultates auch um 50 Proz. zu vergrößern, um noch mehr, wenn auf die Kapazität 0 extrapoliert werden würde.

§ 8. Fassen wir die erhaltenen Resultate zusammen, so hat sich ergeben:

1. Die v. SCHWEIDLERsche Beziehung  $\bar{\varepsilon} = \frac{1}{\sqrt{Z}}$  konnte durch Variieren von  $Z$  im Verhältnisse 1:100 bestätigt werden.

2. Verkleinerung der Kapazität des angewandten Elektrometers vergrößert die mit demselben beobachteten Schwankungen.

3. Berechnet man die zu erwartenden Schwankungen aus dem Sättigungsstrom, so stimmen die beobachteten Werte insofern mit den berechneten überein, als die beobachteten größer ausfallen als der kleinste nach der Theorie mögliche, nämlich der, bei dem für die Zeit, über die das Elektrometer die Schwankungen integriert, die Schwingungsdauer des (aperiodischen) Elektrometers eingesetzt wird.

§ 9. Nimmt man die von Herrn v. SCHWEIDLER aufgestellte Beziehung  $\bar{\varepsilon} = \frac{1}{\sqrt{Z}}$  durch die vorliegenden Versuche für bestätigt an, so ergibt sich daraus eine einfache Methode zur Bestimmung des elektrischen Elementarquantums. Wurde an Stelle von  $Z$  der Sättigungsstrom  $i$  eingeführt, so ergab sich (§ 6)

$$\bar{\varepsilon} = \frac{\sqrt{e \cdot 94000}}{\sqrt{i \delta}}.$$

Diese Gleichung ergibt für das Elementarquantum  $e$  die Beziehung  $e = \frac{\bar{\varepsilon}^2 i \delta}{94000}$ . Die beschriebenen Versuche reichen nun noch nicht aus, um daraus einen Wert für  $e$  ausrechnen zu können. Einerseits hat die Zeit  $\delta$ , über die das Elektrometer die Schwankungen integriert, noch nicht genau bestimmt werden können, andererseits sind die Schwankungen wegen der Kapazität



der benutzten Elektrometer zu klein ausgefallen. Um aber zu sehen, ob schon jetzt für  $e$  wenigstens die richtige Größenordnung herauskommt, wurde aus den Versuchen mit dem Hankelelektrometer  $e$ , das Elementarquantum, ausgerechnet.  $\delta$  wurde dabei = 1 Sekunde gesetzt. Es ergab sich  $e = 1,3 \cdot 10^{-10}$  stat. Einh. Das ist in der Tat ein Wert, der in der Größenordnung sehr gut mit den von anderen Beobachtern gefundenen stimmt. RICHARZ fand aus der Elektrolyse  $1,29 \cdot 10^{-10}$ , THOMSON  $3,4 \cdot 10^{-10}$ , PLANCK aus der Strahlungstheorie  $4,69 \cdot 10^{-10}$ . Wenn auch auf den oben mitgeteilten Zahlenwert kein Gewicht zu legen ist, so scheint die Übereinstimmung doch zu zeigen, daß die Methode zur Bestimmung des Elementarquantums brauchbar ist.

Diese von uns angegebene Methode hat mit der THOMSONSchen Methode den Vorzug, daß bei ihr die LOSCHMIDTSche Zahl nicht verwandt wird. Gegenüber der THOMSONSchen Bestimmungsweise aber zeichnet sie sich dadurch aus, daß sie erstens einfacher ist, und zweitens die Versuche in einem vollkommen trockenen Gase angestellt werden.

§ 10. Es sei uns noch folgende Bemerkung gestattet. Ebenso wie man aus der SCHWEIDLERSchen Beziehung das elektrische Elementarquantum erhalten kann (§ 9), kann man natürlich auch die Konstante berechnen, die angibt, wieviel Ionenpaare von einem  $\alpha$ -Teilchen während seiner ganzen Flugbahn in einem Gase erzeugt werden (vgl. § 6). Selbstverständlich muß man dann das elektrische Elementarquantum als bekannt voraussetzen.

Nun ergibt sich aber jene Konstante auch noch durch folgende Überlegung. Bringt man z. B. eine Platte bezogen mit RaF in ein sehr gutes Vakuum und mißt den Strom, den die  $\alpha$ -Teilchen befördern, so ist dieser

$$i_0 = Ne,$$

worin  $N$  die Anzahl der pro Sekunde ausgesandten  $\alpha$ -Teilchen bedeutet,  $e$  das Elementarquantum. Mißt man jetzt den Sättigungsstrom der RaF-Platte, wenn dieselbe sich in Luft befindet, so ist derselbe  $i_1 = Ne \cdot C$ , wobei  $C$  die zu bestimmende Konstante ist. Dabei ist die Ladung  $Ne$  der  $\alpha$ -Teile selbst gegenüber  $NeC$  vernachlässigt. Durch Division beider Gleichungen erhält man<sup>1)</sup>:

<sup>1)</sup> RUTHERFORD, l. c.

$$C = \frac{i_1}{i_0}.$$

Setzt man diesen Wert nun in die SCHWEIDLERSche Beziehung ein, so ergibt sich, daß, falls sie erfüllt ist, die Gleichung  $i_0 = Ne$  zu Recht besteht. Das würde aber besagen, daß jedes  $\alpha$ -Teilchen nur die Ladung eines Elementarquantums trägt. Auf diese Weise kann man die Anzahl der Hypothesen über das  $\alpha$ -Teilchen, ob es besteht aus einem Wasserstoffmolekül in Verbindung mit einem elektrischen Elementarquantum oder aus einem zwei Elementarquanta mit sich führenden Heliumatom, oder endlich aus einem halben Heliumatom verbunden mit einem Elementarquantum, einschränken oder sogar bestimmt zwischen ihnen entscheiden. Letzteres wäre dann der Fall, wenn sich aus derartigen Versuchen die Gleichung

$$i_0 = N \cdot 2 e$$

ergeben würde.

Leider reichen unsere Versuche bis jetzt nicht dazu aus, hier zu entscheiden.

Die Versuche mußten durch den Weggang des einen von uns<sup>1)</sup> abgebrochen werden. Sie sollen von dem anderen speziell auch zur genaueren Bestimmung des Elementarquantums fortgesetzt werden.

---

<sup>1)</sup> EDGAR MEYER.

**Bemerkung zu Herrn Kaufmanns Antwort auf  
einen Einwand von Herrn Planck;  
von J. Stark.**

(Vorgelegt in der Sitzung vom 10. Januar 1908.)

(Vgl. weiter unten.)

Herr KAUFMANN hat die Auswertung seiner Beobachtungen über die elektromagnetische Ablenkung der  $\beta$ -Strahlen auf die Annahme basiert, daß das elektrische Feld in dem von ihm verwendeten Plattenkondensator homogen und seine Stärke gleich dem Quotienten aus der Potentialdifferenz und dem Abstand zwischen den Platten gewesen sei. Gegen diese Annahme hat Herr PLANCK<sup>1)</sup> den Einwand erhoben, daß infolge der ionisierenden Wirkung der  $\beta$ -Strahlen des Radiums der lineare Verlauf des Potentials zwischen den Platten gestört gewesen sein und eine kleinere Feldstärke als die angenommene auf die  $\beta$ -Strahlen gewirkt haben könne. Diesen Einwand hat Herr KAUFMANN<sup>2)</sup> durch eine Rechnung zu entkräften versucht, gemäß welcher die von Herrn PLANCK vermutete Verkleinerung der Feldstärke im Verhältnis zu dem von ihm in Rechnung gesetzten Werte nur von der Ordnung  $10^{-8}$  gewesen sein könne. Im Nachstehenden ist indes dargelegt, daß die Rechnung des Herrn KAUFMANN auf unzulässige Annahmen gegründet ist und darum als eine Widerlegung des Einwandes von Herrn PLANCK nicht anerkannt werden kann.

Herr KAUFMANN legt seiner Rechnung J. J. THOMSONS Theorie der unselbständigen Strömung in einem sekundär ionisierten Gase zugrunde. In dieser Theorie werden die Geschwindigkeiten der Ionen proportional der elektrischen Feldstärke gesetzt, es wird also die Gültigkeit des OHMSchen Gesetzes angenommen. Auf diese Annahme basiert also auch Herr KAUFMANN seine Rechnung; nun ist sie zwar für viele Fälle, besonders bei höheren Gasdrucken (größer als 10 mm), zutreffend, sie ist indes unzulässig in dem bei den KAUFMANNschen Beobachtungen vorliegenden Falle. In diesem war der Gasdruck kleiner als 1 mm, nach Herrn KAUFMANN etwa

<sup>1)</sup> M. PLANCK, Verh. d. D. Phys. Ges. 9, 301, 1907.

<sup>2)</sup> W. KAUFMANN, ebenda 9, 667, 1907.

0,1 mm. Schon bei 1 mm Druck gilt indes bei größeren Feldstärken das OHMSche Gesetz<sup>1)</sup> für Ströme in ionisierten Gasen, insbesondere in den Querschnitten vor der Kathode nicht mehr, wie durch Beobachtung des Potentialabfalles<sup>2)</sup> an der Kathode des Glimmstromes von mehreren Seiten festgestellt worden ist. Die Behandlung dieses Falles auf Grund der THOMSONSchen Theorie entspricht darum nicht den wirklichen Verhältnissen.

Außer mit der Annahme der Gültigkeit des OHMSchen Gesetzes macht Herr KAUFMANN stillschweigend noch eine zweite Annahme, die ebenfalls nicht den wirklichen Vorgängen gerecht wird. Er nimmt nämlich an, daß in dem Raum zwischen den Platten des von ihm benutzten Kondensators Ionen lediglich dadurch entstehen, daß das restierende Gas durch die  $\alpha$ -Strahlen proportional seinem Drucke ionisiert werde. Außer dieser Ionisierung des Gases durch die  $\alpha$ -Strahlen ist indes erstens in Rechnung zu setzen, daß diejenigen  $\alpha$ - und  $\beta$ -Strahlen, welche die Kondensatorplatten treffen, langsame sekundäre Kathodenstrahlen<sup>3)</sup> unabhängig vom Druck des restierenden Gases zur Emission bringen. Zweitens ist aber auch zu beachten, daß die durch Gasionisierung oder Sekundärstrahlung erzeugten Ionen im elektrischen Felde des Kondensators bei dem niedrigen Gasdruck beträchtliche Potentialdifferenzen frei durchlaufen, dadurch eine große kinetische Energie gewinnen und dann als Kathoden- oder Kanalstrahlen durch ihren Stoß beim Auftreffen auf Moleküle des Gases<sup>4)</sup> oder der Kondensatorplatten<sup>5)</sup> neue positive und negative Ionen erzeugen können. Daß ein solcher Effekt in dem gegebenen Falle eintreten konnte, lehrt der Vergleich folgender Zahlen. Ein negatives Elektron muß ungefähr 30 Volt<sup>6)</sup>, ein positives Ion ungefähr 400 Volt<sup>7)</sup> frei durchlaufen haben, wenn es ein Gasatom durch seinen Stoß ionisieren soll; bei Herrn KAUFMANNs Beobachtungen betrug die Potentialdifferenz zwischen den Platten 2400 Volt, der Gasdruck etwa 0,1 mm.

Es gibt nun keine Theorie, welche für die Komplikation des

<sup>1)</sup> Vgl. J. STARK, Die Elektrizität in Gasen, Leipzig 1903, S. 294.

<sup>2)</sup> Vgl. A. WEHNELT, Ann. d. Phys. (4) 7, 237, 1902; 10, 542, 1903.

<sup>3)</sup> Vgl. P. EWERTS, Jahrb. d. Rad. u. El. 4, 78, 1907.

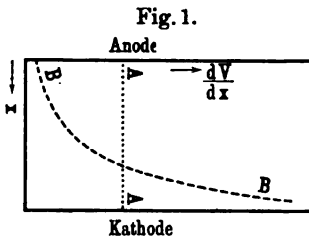
<sup>4)</sup> J. S. TOWNSEND, Phil. Mag. (6) 1, 198, 1901; 5, 389, 1903; 6, 598, 1903.

<sup>5)</sup> CHR. FÜCHTBAUER, Ann. d. Phys. (4) 23, 301, 1907.

<sup>6)</sup> J. STARK, Phys. ZS. 5, 81, 1904.

<sup>7)</sup> Ders., Verh. d. D. Phys. Ges. 6, 104, 1904.

Falles der Ungültigkeit des OHMSchen Gesetzes mit dem Falle der Stoßionisierung im Gasraum und der Sekundärstrahlung aus den Elektroden den Potentialverlauf zwischen den Elektroden darzustellen gestattet. Alles, was wir über diesen auf Grund unserer bisherigen Erfahrungen aussagen können, betrifft zwei Grenzfälle des Potentialgefälles  $dV/dx$  zwischen zwei Platten-



elektroden (vgl. Fig. 1).

Ist erstens der Gasdruck sehr niedrig und die Sekundärstrahlung aus den Elektroden gering, so ist das Potentialgefälle konstant (punktierte Linie *AA*) in der Weise, wie es Herr KAUFMANN für seinen Fall angenommen hat.

Ist zweitens der Gasdruck so groß ( $p_m$ ), daß die Länge des Kathodendunkelraumes eines Glimmstromes zwischen den Platten von der Ordnung des Plattenabstandes wird, dann wird der Potentialverlauf des Potentialgefälles durch eine Kurve von der Art der in der Figur gestrichelten Linie *BB* dargestellt.

Wird der Gasdruck unter  $p_m$  erniedrigt, so ändert sich die Kurve des Potentialgefälles (Feldstärke) in dem Sinne, daß sie mit sinkendem Druck von dem Typus *BB* sich entfernt und dem Typus *AA* sich nähert. Herr KAUFMANN hat bei seinen Beobachtungen den Gasdruck auf etwa 0,1 mm unter denjenigen Wert  $p_m$  erniedrigt, bei welchem sich für die gegebene Potentialdifferenz der Glimmstrom (Typus *BB*) gerade noch herstellen konnte. Es ist indes aus seinen Angaben nicht zu ersehen, ob der Druck 0,1 mm, den er übrigens nur geschätzt, nicht gemessen zu haben scheint, von  $p_m$  bereits soweit entfernt war, daß er für die gegebene Potentialdifferenz und die gegebene Intensität der  $\alpha$ - und  $\beta$ -Strahlung mit Recht den Typus *AA* als den wirklich vorhandenen annehmen durfte.

Aus dem Vorstehenden dürfte hervorgehen, daß Herr KAUFMANN den Einwand des Herrn PLANCK keineswegs entkräftet hat und daß nur durch eine spezielle experimentelle Untersuchung über den wirklichen Potentialverlauf in den KAUFMANNschen Beobachtungen sicherer Aufschluß gewonnen werden kann.

Greifswald, 21. Dezember 1907.

Verlag von Friedr. Vieweg & Sohn in Braunschweig.

Müller-Pouillet's  
**Lehrbuch der Physik**  
==== **und Meteorologie.** ====

In vier Bänden.

Zehnte umgearbeitete und vermehrte Auflage

herausgegeben von

Professor Dr. **Leopold Pfaundler**, Graz.

Unter Mitwirkung von

Prof. Dr. **O. Lummer**-Breslau (Optik und strahlende Wärme),  
Dr. **K. Drucker**-Leipzig (Molekularphysik), Prof. Dr. **A. Wassmuth**-Graz  
(Thermodynamik und Wärmeleitung), Hofrat Prof. Dr. **J. Hann**-Wien  
(Meteorologie), Prof. Dr. **W. Kaufmann**-Bonn (Elektrizitätslehre),  
Prof. Dr. **A. Coehn**-Göttingen (Elektrochemie), Dr. **A. Nippoldt**-  
Potadam (Erdmagnetismus und Erdelektrizität).

Mit über 3000 Abbildungen und Tafeln, zum Teil in Farbendruck.

- I. Band: **Mechanik und Akustik** von Prof. Dr.  
**Leopold Pfaundler**. Gr. 8. Preis geh. *M* 10.50, geb.  
in Halbfrz. *M* 12.50.
- II. Band, 1. Abteilung: **Die Lehre von der  
strahlenden Energie (Optik)** von Prof. Dr.  
**Otto Lummer**. Preis *M* 15.—.
- III. Band: **Wärmelehre, Chemische Physik,  
Thermodynamik und Meteorologie** von  
Prof. Dr. **L. Pfaundler**, Privatdozent Dr. **K. Drucker**,  
Prof. Dr. **A. Wassmuth**, Hofrat Prof. Dr. **J. Hann**.  
Preis geh. *M* 16.—, geb. in Halbfrz. *M* 18.—.

Das altherühmte Buch genießt längst den Ruf, das beste populäre Lehrbuch der Physik zu sein, dem anerkanntermaßen keine andere Nation ein gleichartiges Werk zur Seite zu stellen vermag. Es ist seit seinem ersten Erscheinen in den Kreisen der Physiker, Astronomen, Naturhistoriker, Mediziner, Pharmazeuten, Lehrer, Techniker, Elektrotechniker, Mechaniker, Optiker, Agronomen, Industriellen, sowie Forst-, Berg- und Hüttenleute und aller Liebhaber der Physik so eingebürgert, daß es einer weiteren Empfehlung nicht bedarf.

Es ist Vorsorge getroffen, daß die übrigen Bände des Werkes baldmöglichst nachfolgen werden.

==== Zu beziehen durch alle Buchhandlungen. ====

**Photometer**  
**Spektral-Apparate**  
**Projektions-Apparate**  
**Glas-Photogramme**  
**Physik. Apparate n. Prof. Grimsehl**  
**Optisches Institut von A. Krüss**  
Inhaber: Dr. Hugo Krüss. HAMBURG.

Verlag von Friedr. Vieweg & Sohn in Braunschweig.

## Technologie und Naturkunde.

Ein Lern- und Lehrbuch für Haus und Schule

besonders zum Gebrauche beim Unterricht in Wirtschaftskunde  
und Handelsgeographie in kaufmännischen Fortbildungsschulen, Handels-  
schulen und verwandten Lehranstalten.

Bearbeitet von

**A. Sattler,**

Schulinspektor.

Mit 176 eingedruckten Abbildungen. gr. 8. Preis geh. 3,50 *M.*, geb. 4 *M.*

Verlag von Friedr. Vieweg & Sohn in Braunschweig.

## Handbuch der Erdbebenkunde.

Von August Sieberg,

I. Assistent am Meteorologischen Observatorium in Aachen.

Mit 118 Abbildungen und Karten im Text. Gr. 8°. XVIII u. 362 S.

Preis geh. *M.* 7.50, geb. *M.* 8.50.

Ein Buch, das den Lesern dieser Zeitschrift zur Beachtung und Förderung ganz besonders warm empfohlen werden kann. — Früher waren es meist mehr vereinzelte Gelehrte, meist Geologen, oder kleine Vereinigungen, die sich dem Studium der Erdbeben widmeten, und heute besteht eine internationale Erdbebenkommission mit einem weit verzweigten Netz von Beobachtungsstationen, und weite Volkskreise sollen zur Mitarbeit herangezogen werden. Für diesen weitesten Leserkreis ist das neue Handbuch der Erdbebenkunde bestimmt. Ihm soll es die Entwicklung der modernen Erdbebenforschung vorführen, bei ihm das Interesse und das Verständnis für die Ziele dieser jüngsten Wissenschaft der Seismologie erwecken, um so möglichst viele zur Mitarbeit anzuregen und zu befähigen. Zu diesem Zwecke wurden in dem Handbuche, das in gedrängter Kürze einen vortrefflichen Überblick über das gewaltige, in einer ausgedehnten und weit verstreuten Literatur aufgespeicherte Beobachtungsmaterial an Stoffmenge sowohl als theoretischen Erörterungen gibt, möglichst geringe Vorkenntnisse vorausgesetzt, und überall sowohl die praktischen wie die theoretischen Forschungsmethoden an gut gewählten Beispielen erläutert und dabei besonders eingehend die Verwendung der mannigfachen seismologischen Instrumente erörtert. Aber nicht nur für Laienkreise ist das neue Handbuch bestimmt. Auch der Fachgelehrte wird es stets mit großem Nutzen zur Hand nehmen, wenn er sich bei manchen Fragen schnell über wesentliche Punkte unterrichten will.

# Verhandlungen der Deutschen Physikalischen Gesellschaft

Im Auftrage der Gesellschaft herausgegeben

von

**Karl Scheel**

---

16. Jahrg.

30. Januar 1908.

Nr. 2.

---

**Sitzung vom 10. Januar 1908.**

Vorsitzender: Hr. M. PLANCK.

Vor dem Eintritt in die Tagesordnung gedenkt der Vorsitzende des schmerzlichen Verlustes, welchen die Gesellschaft am 2. d. Mts. durch das Ableben ihres ältesten Mitgliedes,

**Dr. Adolf Paalzow,**

Geheimen Regierungsrats und Professors an der Technischen Hochschule in Charlottenburg, erlitten hat. Mit dem nun Verewigten ist der Letzte aus der Generation, welche die Gründung unserer Gesellschaft bewirkte, dahingegangen. Seine Persönlichkeit und seine Verdienste um die Wissenschaft werden noch in besonderer Weise von berufener Seite an dieser Stelle gewürdigt werden.

Die Anwesenden ehren das Andenken an den Verewigten durch Erheben von ihren Sitzen.

Sodann macht Hr. H. Rubens einige nachträgliche Bemerkungen zu der von ihm in Gemeinschaft mit Hrn. Erich Ladenburg veröffentlichten Mitteilung (diese Verh. 9, 699, 749—752,



1907): „Über die lichtelektrische Erscheinung an dünnen Goldblättchen“.

---

Ferner spricht **Hr. A. Stock** (a. G.) über:  
Poröse Materialien als Ersatz von Hähnen  
beim Arbeiten mit Gasen.

---

Weiter berichtet **Hr. H. Barkhausen** über:  
Das Problem der Schwingungserzeugung.

---

Endlich legen **Hr. M. Planck** eine Mitteilung von **Hrn. J. Stark**:

Bemerkung zu **Hrn. KAUFMANN'S** Antwort auf einen Einwand von **Hrn. PLANCK** (schon abgedruckt, vgl. diese Verh. 10, 14—16, 1908),

sowie **Hr. Karl Scheel** zwei zur Veröffentlichung in den Verhandlungen der Gesellschaft eingegangene Arbeiten vor:

1. von **Hrn. Paul Asteroth**: Der Einfluß der thermischen und mechanischen Vorgeschichte auf die magnetischen Eigenschaften, insbesondere die Hysterese **HEUSLERSCHER** Legierungen;
  2. von **Hrn. H. Erfle**: Zur anomalen Dispersion der Metaldämpfe.
- 

Als Mitglieder wurden in die Gesellschaft aufgenommen:

**Hr. Dr. HEINRICH FASSBENDER**, Marburg, Renthofstr. 26.

(Vorgeschlagen durch **Hrn. E. TAKE**.)

**Hr. CARL MÜLLER**, Berlin NW., Alt-Moabit 14, und

**Hr. ERIK LIEBREICH**, Berlin W. 15, Meinekestr. 22.

(Beide vorgeschlagen durch **Hrn. ERICH LADENBURG**.)

---

**Poröse Materialien**  
**als Ersatz von Hähnen beim Arbeiten mit Gasen;**  
**von Alfred Stock.**

(Aus dem Chemischen Institut der Universität Berlin.)

(Vorgetragen in der Sitzung am 10. Januar 1908.)

(Vgl. oben S. 18.)

Vor wenigen Jahren zeigte K. PRYTZ<sup>1)</sup>, daß sich Platten aus porösem Material, welches Luft, aber (bei einem Überdruck von einer Atmosphäre) kein Quecksilber hindurchläßt, mit großem Vorteile als Hähnersatz verwenden lassen. Die mit ihrer Hilfe gefertigten Ventile haben vor den gewöhnlichen Hähnen den Vorzug, stets gebrauchsfähig, dabei dauernd absolut dicht zu sein und kein Fett u. dgl. zu enthalten, welches Gas absorbieren oder Dämpfe abgeben könnte. Zudem sind sie leicht und billig herzustellen. Auf die Einzelheiten und die zahlreichen Anwendungen der Methode bei Arbeiten mit evakuierten Apparaten aller Art soll hier nicht eingegangen werden.

Herr PRYTZ machte die Ventile aus Schamotteplättchen, welche er mit Siegelack in Glasröhren einkittete. Es ist mir nun gelungen, durch Brennen einer Mischung von Ton mit Wasserglas und Gummilösung zu einem für die Anfertigung der Ventile besonders geeigneten Material zu kommen. Seine Porosität ist fünfmal größer als bei den PRYTZschen Versuchen, es ist völlig widerstandsfähig gegen Säuren und siedendes Wasser und läßt sich ohne weiteres Dichtungsmittel mit Glas verschmelzen. Die Brauchbarkeit des eleganten PRYTZschen Verfahrens ist durch diese Neuerung sehr erweitert. Auf meine Veranlassung hat eine hiesige Firma<sup>2)</sup> die Fabrikation der porösen Platten übernommen.

<sup>1)</sup> Ann. d. Phys. (4) 18, 617, 1905.

<sup>2)</sup> BLECKMANN und BURGER, Berlin N. 24, Auguststraße 3a.

Sie fertigt daraus eine Anzahl einfacher Ventilarten an und ist auch bereit, mit ihrer Hilfe andere Apparate nach Wunsch herzustellen. Ein näheres Eingehen auf die Ausführungsform der Ventile erscheint mir hier überflüssig, weil ausführlichere Mitteilungen über den Gegenstand bereits an anderer Stelle erschienen sind (Berichte der Deutschen Chemischen Gesellschaft 40, 4956, 1907 und Chemikerzeitung 32, 30, 1908).

---

***Der Einfluss der thermischen und mechanischen Vorgeschichte auf die magnetischen Eigenschaften, insbesondere die Hysterese Heuslerscher Legierungen;***

***von Paul Asteroth.***

VI. Mitteilung über magnetische Legierungen aus dem Physikalischen Institut der Universität Marburg i. H. und aus dem Laboratorium der Isabellenhütte zu Dillenburg<sup>1)</sup>.

[(Anzug aus der Marburger Inauguraldissertation vom 11. Juni 1907, ergänzt durch neue Versuche.)

(Vorgelegt in der Sitzung vom 10. Januar 1908.)

(Vgl. oben S. 18.)

Die von HEUSLER im Jahre 1903 entdeckte Tatsache, daß Mangan mit sozusagen unmagnetisierbaren Metallen zu ferromagnetisierbaren Legierungen zusammentreten kann, gab den Anstoß zu einer großen Reihe von Untersuchungen, die zum Teil sehr interessante Resultate gezeitigt haben. Nach den Untersuchungen von W. STARCK und E. HAUPT ergab sich, daß eine besonders große Magnetisierbarkeit die Aluminium-Manganbronzen besitzen, deren höchster Sättigungswert etwa  $\frac{2}{3}$  von dem des Gußeisens beträgt, und deren Magnetisierung ein Maximum erreicht für den Fall, daß das Atomverhältnis von Mangan zu Aluminium gleich eins wird. Vor kurzem hat jedoch Herr PREUSSER im Physikalischen Institut zu Marburg die Beobachtung gemacht, daß sich für die kupferreicheren Aluminium-Manganbronzen die

<sup>1)</sup> I. FR. HEUSLER, Verh. d. D. Phys. Ges. 5, 219 (1901), 1903. II. FR. HEUSLER, W. STARCK und E. HAUPT, ebenda 5, 220—232, 1903. III. FR. HEUSLER, F. RICHARZ, W. STARCK und E. HAUPT, Schriften Naturf. Ges. Marburg 13 [5], 237—300, 1904. N. G. Elwerts Verlag, Marburg; vgl. FR. HEUSLER, Verh. Gewerbeleiß, S. 277, 1903 und ZS. angew. Chemie, S. 260, 1904, sowie E. HAUPT, Naturw. Rundsch. 21, 69—71, 1906. IV. E. TAKE, Naturf. Ges. Marburg, Sitz. v. 13. Aug. 1904, und Verh. d. D. Phys. Ges. 7, 133—145, 1905. V. E. TAKE, Schriften d. Naturf. Ges. Marburg 13 [6], 299—404, 1906, N. G. Elwerts Verlag, Marburg, und Ann. d. Phys. (4) 20, 849—893, 1906, sowie Naturw. Rundsch. 22, 209—211, 221—223, 1907.

Lage der maximalen Magnetisierung ziemlich beträchtlich verschiebt.

Durch qualitative Versuche HEUSLERS war das Vorhandensein von magnetischen Umwandlungspunkten nachgewiesen, die von E. TAKE durch ballistische und dilatometrische Messungen exakt bestimmt wurden.

Diese im Physikalischen Institut zu Marburg gemachten Beobachtungen sind zum Teil ohne oder mit nicht genügender Erwähnung von deren Priorität bestätigt bzw. erweitert worden durch die Arbeiten der Herren AUSTIN, GÜMLICH, WEDEKIND, HADFIELD, FLEMING, GRAY, DU JASSONEIX, GUTHE, ZAHN und SCHMIDT<sup>1)</sup>.

Der Hauptzweck meiner Untersuchungen war nun der, festzustellen, welchen Einfluß die thermische und mechanische Vorbehandlung auf die magnetischen Eigenschaften der HEUSLERschen Legierungen hat.

In der Marburger Gesellschaftsschrift 1904 (S. 36 bzw. 272) von FR. HEUSLER, F. RICHARZ, W. STARCK und E. HAUPT findet sich eine Notiz, wonach Herr WILH. STARCK für zwei Proben Induktionskurven fand, die nur aus einer einzigen Linie bestanden, bei denen also die Hysteresefläche gleich Null war. Ferner ist daselbst angegeben, daß die Größe der Hysterese dieser Legierungen nicht allein durch die chemische Zusammensetzung, sondern wesentlich durch die thermische Vorgeschichte bestimmt wird, wie sich aus den vollständigen magnetischen Kreisprozessen, denen sämtliche Legierungen unterworfen wurden, ergab.

Weiterhin hatte HEUSLER die ersten schmiedbaren und zugleich noch magnetisierbaren Aluminium-Manganbronzen aufgefunden. Er sagt darüber in einer vorläufigen Mitteilung<sup>2)</sup>:

„Ich habe die sehr wichtige Beobachtung gemacht, daß gewisse kupferreiche Mangan-Aluminiumbronzen von relativ noch hoher Magnetisierbarkeit sich schmieden lassen. Die Schmiedestücke sind in Wasser abgelöscht fast unmagnetisch, werden aber beim Altern magnetisierbar. Hiermit ist ein Material gefunden, welches außerordentlich geeignet für das Studium der Umwandlungserschei-

<sup>1)</sup> Zitate und kritische Besprechung siehe in meiner Inauguraldissert., S. 6—18.

<sup>2)</sup> Ber. d. Ges. z. Bef. d. ges. Naturw. zu Marburg, Nr. 7, Nov. 1905.

nungen ist. Die wertvollen von Herrn TAKE erhaltenen diesbezüglichen Resultate werden dadurch noch wesentlich erweitert. Es wäre aber verfrüht, wenn ich die vorliegenden Beobachtungen, welche Herr P. ASTEROTH durch genaue Messungen ergänzen wird, schon heute veröffentlichen wollte.“

Über das magnetische Verhalten einer dieser geschmiedeten Aluminium-Manganbronzen machte HEUSLER vor Beginn meiner Versuche vorläufige Beobachtungen, über welche er folgendes mitteilt:

„Erhitzt man das Schmiedestück auf Rotglut und schreckt es im Wasser ab, so ist es praktisch unmagnetisch. Altert man die abgeschreckte Probe, so ist sie magnetisierbar, zeigt aber kleine Polarität. Erhitzt man das gealterte abgeschreckte Schmiedestück in siedendem Naphtalin oder Diphenylamin (also auf 210 bis 300°) und läßt darin erkalten, so ist das Material ziemlich stark polar. Da die Erkaltung in der Nähe eiserner Stative und dergleichen erfolgte, so konnte der Einfluß dieser die Polarität gewissermaßen im Entstehungszustande beeinflußt haben. In der Tat wurde die Probe stärker polar (soweit dies ohne quantitative Messungen festzustellen war), als ich sie mit einem Stabmagneten verbunden in siedendem Anilin auf 184° erhitzte und in dem Bade erkalten ließ.“

Es war von erheblichem Interesse, diese Verhältnisse durch exakte Messungen aufzuklären, und ich habe daher auf Veranlassung von Herrn F. RICHARZ Versuche angestellt, um geeignete Bedingungen dafür zu finden, eine möglichst kleine Hystereseschleife zu erhalten.

Es standen mir zunächst zwei kupferreiche Proben zur Verfügung, die aus einer einzigen Schmelzung herrührten und deshalb chemisch identisch waren (16,9 Proz. Mn, etwa 9 Proz. Al, der Rest Kupfer und Spuren von Verunreinigungen). Die beiden Proben unterschieden sich jedoch dadurch, daß die eine in dem Zustande vorlag, wie sie aus der Schmelze erstarrt war, während die andere rotwarm geschmiedet, dann ausgeglüht und in Wasser abgelöscht war. In diesem Zustande wurden mir die beiden Bronzen von Herrn HEUSLER zugeschickt. Ich stellte nun mit den beiden Proben eine Reihe von Versuchen an, indem ich sie beide über ihren Umwandlungspunkt hinaus erhitzte und fest-

stellte, welchen Einfluß verschiedene Arten des Erkaltes auf die Gestalt der Induktionskurve hatten. Der Umwandlungspunkt des Gusses lag bei einer Temperatur von etwa  $195^{\circ}$ , derjenige der Schmiedeprobe bei einer solchen von etwa  $220^{\circ}$ . Doch war es nötig, daß ich mich bei jedem einzelnen Versuche überzeuge, ob der Umwandlungspunkt auch wirklich überschritten war, da er, ganz wie TAKE fand, nicht jedesmal genau an derselben Stelle lag.

Nachdem ich die beiden Stücke das erstemal bis zur magnetischen Umwandlung erhitzt hatte, schreckte ich sie in kaltem Wasser ab. Der magnetische Zustand war dadurch ein so schlechter geworden, daß es nicht möglich war, von den beiden Proben mit der DU BOISSCHEN Wage Induktionskurven aufzunehmen; sie wurden deshalb zwölf Stunden lang in siedendem Xylol gealtert und erst dann einem magnetischen Kreisprozesse unterworfen (vgl. Nr. 3 in Fig. 1 bzw. 2 und in Tab. I bzw. II).

Bei einem Felde  $\mathcal{H} = 150$  war jetzt die Induktion  $\mathcal{B}$  für den Guß  $= 2300$ , für die Schmiedeprobe  $2500$  CGS.

Wie nach den Vorversuchen zu erwarten war, wurde die Hysterese als klein gefunden; bei der Gußprobe betrug die Koerzitivkraft  $\mathcal{H}_0 = 3,0$ , die Remanenz  $\mathcal{B}_0 = 650$  abs. Einh., bei der Schmiedeprobe traf der Fall ein, wie ihn W. STARCK bei zwei anderen Bronzen gefunden hatte: die Hystereseschleife bestand annähernd aus einer einzigen Linie, so daß auf- und absteigender Ast der Induktionskurve sehr nahe zusammenfielen; Koerzitivkraft und Remanenz waren demgemäß nahezu gleich Null.

Diese magnetischen Messungen wurden mit der magnetischen Wage von H. DU BOIS ausgeführt, die mit einem in der Physikalisch-Technischen Reichsanstalt untersuchten Stabe zuvor geeicht wurde. Da die Möglichkeit vorlag, daß bei dem zuletzt besprochenen Versuche bei Anwendung einer speziell in ganz schwachen Feldern empfindlicheren Meßmethode sich eine, wenn auch minimale, Hystereseschleife ergeben würde, so wurde später (vgl. Tab. II, 8) eine Messung mit dem Magnetometer zur Bestimmung der Remanenz ausgeführt, und in der Tat zeigte sich jetzt eine kleine Remanenz, die höchstens  $10$  CGS, und eine Koerzitivkraft, die höchstens  $0,29$  betrug. Nunmehr wurde auf Vorschlag von Herrn TAKE die Schmiedeprobe wieder über ihren Umwand-

lungspunkt hinaus erhitzt und diesmal in Quecksilber abgeschreckt (vgl. Tab. II, 9). Nachdem die Probe noch 15 Stunden bei  $140^{\circ}$  gealtert war, führte ich die Messung mit dem Magnetometer aus; es war noch eine Remanenz von höchstens 9,25 und eine Koerzitivkraft von höchstens 0,1 CGS vorhanden. Die Hysterese war also nahezu gleich Null. Bei einem Felde  $\mathfrak{H} = 288$  Gauss betrug die Induktion  $\mathfrak{B} = 2168$  abs. Einh.

Weiterhin erhitzte ich beide Proben dreimal über ihren Umwandlungspunkt hinaus, ließ sie aber jedesmal langsam abkühlen. (Das erstemal ließ ich diese Abkühlung in einem Magnetfelde stattfinden, was aber — wie sich bald herausstellte — keinen Einfluß auf die Gestalt der Induktionskurven hatte.) Die Abkühlungsdauer betrug etwa  $\frac{3}{4}$  Stunden. Nachdem beide Proben bei  $140^{\circ}$  gealtert waren, wurden sie einem magnetischen Kreisprozeß unterworfen. Die Hysterese war bei beiden Proben stets gewachsen, bei dem Guß betrug zum Schluß die Koerzitivkraft  $\mathfrak{H}_0 = 9,25$ , die Remanenz  $\mathfrak{B}_0 = 800$ , und auch die Schmiedeprobe hatte jetzt eine etwas größere Hysterese; es war die Koerzitivkraft  $\mathfrak{H}_0 = 2,25$  und die Remanenz  $\mathfrak{B}_0 = 600$  CGS (vgl. Nr. 4 bis 6 in Fig. 1 bzw. 2 und in Tab. I bzw. II).

Dieser letzte Versuch wurde alsdann wiederholt mit der Abänderung, daß die Abkühlungsdauer jetzt auf etwa drei Stunden erhöht wurde. Der Erfolg war der, daß bei ungefähr gleichgebliebener Maximalinduktion jetzt die Hysterese noch um ein bedeutendes Stück gewachsen war; die Koerzitivkraft für den Guß betrug 18,0, die Remanenz 820; für die Schmiedeprobe betrug die Koerzitivkraft 3,5, die Remanenz 600 CGS (vgl. Nr. 7 in Fig. 1 bzw. 2 und in Tab. I bzw. II).

Die Resultate dieser Untersuchungen sind zusammengestellt in den beiden folgenden Tabellen, worin ich der Übersichtlichkeit wegen nur einige Hauptzahlenwerte der jungfräulichen Kurve, sowie den Wert der Koerzitivkraft  $\mathfrak{H}_0$  und der Remanenz  $\mathfrak{B}_0$  angegeben habe. Eine graphische Darstellung findet sich in den Figuren 1 und 2.

Aus diesen Tabellen und Kurven ist deutlich zu ersehen, daß Koerzitivkraft und Remanenz und mit ihnen die ganze Hystereseschleife beträchtlich zunehmen, wenn nach dem Erhitzen über die Temperatur des magnetischen Umwandlungspunktes die Ab-



Tabelle I (vgl. Fig. 1).

Guß Nr. 104 (Analyse: 16,9 Proz. Mn, etwa 9 Proz. Al).

| Thermische Vorgeschichte   | B für $\phi$<br>der jungfräulichen Kurve |              |      |      |      |      | $\phi_0$ | $\mathfrak{B}_0$ |
|--|--|--------------|------|------|------|------|----------|------------------|
|  | 5  | 10           | 20   | 40   | 100  | 150  |          |                  |
|  | 1. Ursprünglicher Zustand . . . . .      | nicht meßbar |      |      |      |      |          |                  |
| 2. Nach achtstündigem Erhitzen in Xylol (140°) . . . . .   | —  | —            | 2220 | 2330 | 2620 | 3190 | —        | —                |
| 3. Über den Umwandlungspunkt (etwa 195°) erhitzt, in Wasser abgeschreckt und bei 140° gealtert .                       | 1080                                     | 1350         | 1500 | 1620 | 2050 | 2300 | 3,0      | 650              |
| 4. Über den Umwandlungspunkt erhitzt, in etwa $\frac{1}{2}$ bis $\frac{3}{4}$ Stunden erkaltet und bei 140° gealtert . | 730                                      | 1080         | 1400 | 1550 | 2030 | 2370 | 8,0      | 700              |
| 5. Über den Umwandlungspunkt erhitzt, in etwa $\frac{3}{4}$ Stunden erkaltet und bei 140° gealtert . . . . .           | 500                                      | 800          | 1100 | 1400 | 1900 | 2200 | 10,0     | 700              |
| 6. Nochmals über den Umwandlungspunkt erhitzt, in etwa $\frac{3}{4}$ Stunden erkaltet und bei 140° gealtert .          | 730                                      | 1100         | 1320 | 1420 | 2000 | 2280 | 9,25     | 800              |
| 7. Über den Umwandlungspunkt erhitzt, sehr langsam (etwa 3 Stdn.) erkaltet und bei 140° gealtert .                     | 400                                      | 680          | 1000 | 1300 | 1880 | 2200 | 18,0     | 820              |

Mit der nu Borschen Wage gemessen.

kühlung auf Zimmertemperatur möglichst langsam erfolgt. Wir sehen ferner, daß die Hysterese verhältnismäßig klein wird und sogar fast verschwinden kann, wenn nach dem Erhitzen über den Umwandlungspunkt hinaus die Abkühlung möglichst plötzlich, durch Abschrecken in Wasser oder Quecksilber, erfolgt.

Um zu sehen, inwieweit die besprochenen Prozesse umkehrbar sind, erhitze ich zum Schlusse nochmals die beiden Proben über den Umwandlungspunkt hinaus und schreckte die erhitzten Proben in kaltem Wasser ab; ich erhielt wieder kleine Hysterese. Ich wiederholte dann auch nochmals den letzten Versuch (7 in den Tabellen), der ebenfalls den früheren Versuch bestätigte. Wir haben es also bei den beiden Proben in der Hand, die Größe der Hysterese innerhalb gewisser Grenzen ganz nach Belieben zu vergrößern oder zu verkleinern.

Wenn wir die beiden untersuchten Bronzen miteinander ver-

Tabelle II (vgl. Fig. 2).

Schmiedeprobe Nr. 105 (chemisch identisch mit Guß Nr. 104).

| Thermische Vorgeschichte  | B für $\Phi$<br>der jungfräulichen Kurve |      |      |      |      |      | $\Phi_0$ | $\mathfrak{B}_0$ |
|---|--|------|------|------|------|------|----------|------------------|
|   | 5  | 10   | 20   | 40   | 100  | 150  |          |                  |
| 1. Ursprünglicher Zustand . . . . .   | —  | —    | 1040 | 1100 | 1120 | 1130 | —        | —                |
| 2. Nach dem Altern ( $7\frac{1}{2}$ Stunden $140^\circ$ ,<br>34 Stunden $110^\circ$ , 8 Stunden $140^\circ$ )                         | —  | —    | 1840 | 2070 | 2510 | 2800 | —        | —                |
| 3. Über den Umwandlungspunkt (etwa<br>$220^\circ$ ) erhitzt, in Wasser abge-<br>schreckt und bei $140^\circ$ gealtert .               | 1400                                     | 1600 | 1620 | 1800 | 2230 | 2500 | —        | —                |
| 4. Über den Umwandlungspunkt erh-<br>itzt, in etwa $\frac{1}{2}$ bis $\frac{3}{4}$ Stunden<br>erkaltet und bei $140^\circ$ gealtert . | 1320                                     | 1480 | 1500 | 1630 | 2200 | 2500 | 1,0      | 550              |
| 5. Über den Umwandlungspunkt erh-<br>itzt, in etwa $\frac{2}{3}$ Stunden erkaltet<br>und bei $140^\circ$ gealtert . . . . .           | 1020                                     | 1430 | 1620 | 1800 | 2150 | 2480 | 2,0      | 650              |
| 6. Nochmals über den Umwande-<br>lungspunkt erhitzt, in etwa $\frac{2}{3}$ Stunden<br>erkaltet und bei $140^\circ$ gealtert .         | 940                                      | 1340 | 1700 | 1800 | 2150 | 2500 | 2,25     | 600              |
| 7. Über den Umwandlungspunkt erh-<br>itzt, sehr langsam (etwa 3 Stun-<br>den) erkaltet und bei $140^\circ$ ge-<br>altert . . . . .    | 880                                      | 1250 | 1550 | 1700 | 2200 | 2500 | 3,5      | 600              |
| 8. Wiederholt über den Umwande-<br>lungspunkt erhitzt, in Wasser ab-<br>geschreckt und bei $140^\circ$ gealtert                       | 200                                      | 390  | 770  | 1500 | —    | 2100 | 0,29     | 10               |
| 9. Über den Umwandlungspunkt erh-<br>itzt, in Quecksilber abgeschreckt<br>und bei $140^\circ$ gealtert . . . . .                      | 200                                      | 360  | 740  | 1500 | —    | 2000 | 0,10     | 9,25             |

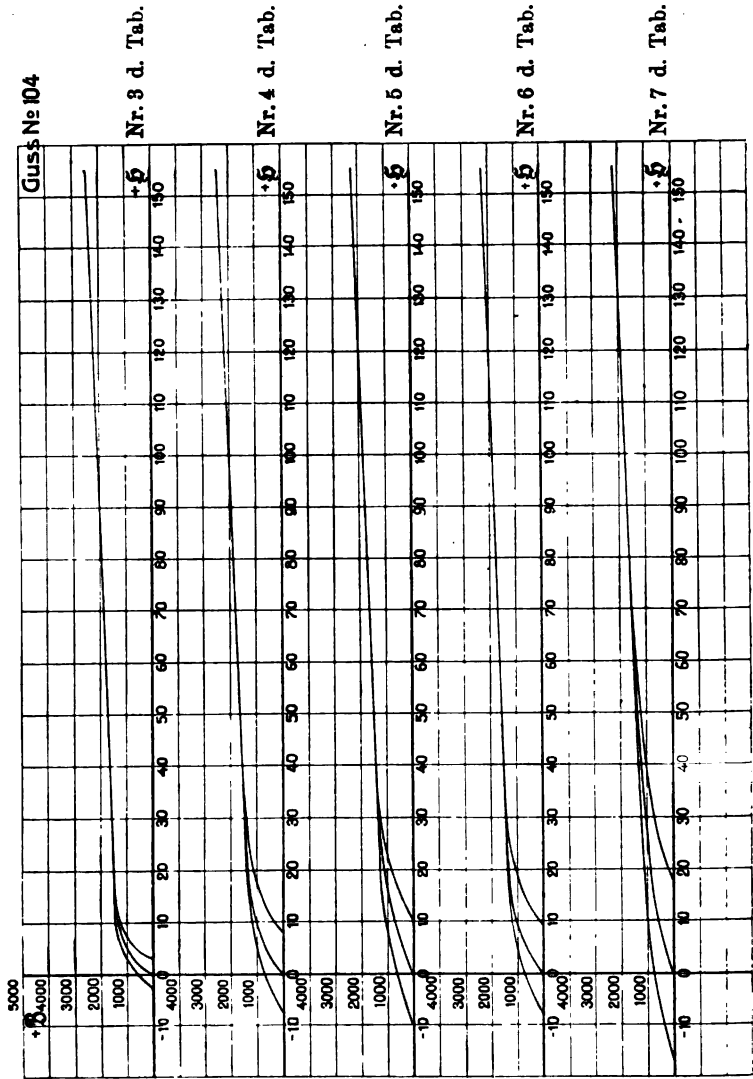
Mit der von Borsichen Wage gemessen.

Magnetometrisch  
gemessen.

gleichen, so fällt uns auf, daß die Schmiedeprobe in sämtlichen Einzelfällen bedeutend geringere Hysterese und Koerzitivkraft zeigt, als die in chemischer Beziehung gleich zusammengesetzte Gußprobe, während die Remanenz nur wenig geringer ist.

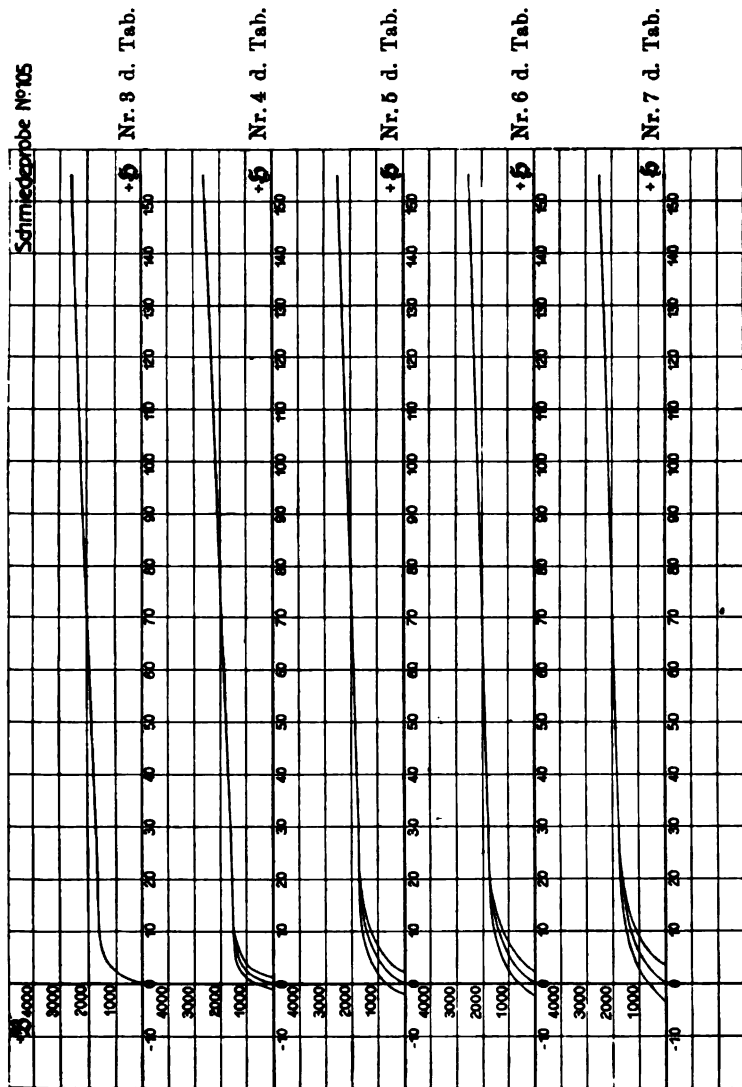
Bei einer anderen, des hohen Mangengehaltes wegen nicht mehr schmiedbaren Probe (26,5 Proz. Mn, 14,6 Proz. Al) wurden die vorher beobachteten Erscheinungen in nur sehr geringem Maße wiedergefunden. Sie scheinen also an die weicheren schmiedbaren Bronzen gebunden zu sein.

Fig. 1 (vgl. Tabelle I).



Es wäre von Interesse, eine Erklärung für diese Resultate zu haben; die folgenden Erklärungsmöglichkeiten hat mir Herr Prof. RICHARZ angegeben.

Fig. 2 (vgl. Tabelle II).



Die Hysterese kann erklärt werden dadurch, daß man annimmt, die Richtung der WILHELM WEBERSchen Molekularmagnete geschehe nur unter Überwindung eines reibungsähnlichen Wider-

standes. Der Unterschied, daß Molekeln gewisser Körper molekularen Magnetismus haben, andere nicht, muß in gewissen konstitutiven Eigenschaften der Molekeln, bzw. ihrer Aggregation beruhen. Wenn ferromagnetische Körper oberhalb ihres magnetischen Umwandlungspunktes keine magnetischen Eigenschaften mehr zeigen, so hat man sich eine molekulare Umwandlung aus der bei niedriger Temperatur stabilen, magnetisierbaren Phase in die bei höherer Temperatur stabile, unmagnetisierbare vorzustellen. Wie man sich im einzelnen diese Umwandlung denken soll, wollen wir hier nicht erörtern. Die HEUSLERSchen Legierungen, über ihren Umwandlungspunkt hinaus erhitzt, dann abgekühlt und gealtert, befinden sich je nach der Schnelligkeit des Abkühlens in verschiedenem Zustande. Man kann sich vorstellen, daß je nach den speziellen Verhältnissen bei der Abkühlung mehr oder weniger komplizierte Molekularaggregate gebildet werden. Kühle ich sehr schnell ab, d. h. schrecke ich die über den magnetischen Umwandlungspunkt erhitzte Legierung in kaltem Wasser oder Quecksilber ab, so kann man annehmen, daß jetzt die Molekeln nicht die Zeit haben, alle zu komplizierteren Aggregaten zusammenzutreten, wie sie es bei langsamem Erkalten tun würden. Daß diese Abhängigkeit von der Erhaltungsgeschwindigkeit besteht, ist auch sonst bekannt; z. B. gehen manche Schmelzflüsse bei schnellem Abkühlen in den amorphen Zustand über, während sie nach langsamem Abkühlen eine kristalline Struktur erhalten. Der letztere Zustand ist aber gegenüber dem ersteren derjenige mit den komplizierteren Molekularaggregaten. Die Bildung komplizierterer Aggregate beim langsamen Abkühlen wird Molekeln hervorrufen, die nur mit größerer „Reibung“ den magnetischen Kräften folgen, also stärkere Hysterese aufweisen. Die nach dem Abschrecken existierenden einfacheren Molekeln werden mit geringerer oder gar keiner „Reibung“ den Feldkräften folgen.

Der Zustand der abgeschreckten und danach gealterten Legierungen ist demjenigen vollkommen elastischer Körper vergleichbar; der Zustand der langsam abgekühlten um so mehr den unvollkommen elastischen Körpern, je langsamer die Abkühlung war. Hieraus ist auch verständlich, daß die geschmiedeten Legierungen in magnetischer Beziehung vollkommener elastisch sind als die nach dem Guß nicht geschmiedeten. Durch das

Schmieden wird der mit unregelmäßigen Spannungen und Lagerungszuständen behaftete Guß durchknetet. Vollkommene Elastizität in magnetischer Beziehung wäre dabei das völlige Fehlen der Hysterese; unvollkommene Elastizität, im eigentlichen Sinne ebenfalls durch molekulare „Reibung“ zu erklären, bedeutet, auf die magnetischen Eigenschaften übertragen, Hysterese. Es soll untersucht werden, ob ein Parallelismus zwischen hysteretischer und elastischer Nachwirkung besteht.

Auch darüber, wie man sich den reibungsähnlichen Vorgang denken könnte, der die Ursache der Hysterese ist, sollen wenigstens einige Worte gesagt werden, die im Zusammenhange mit dem Vorhergehenden stehen.

Man kann die WILHELM WEBERSche Theorie ungezwungen dahin erweitern, daß durch den Einfluß eines Feldes nicht nur Richtung der Molekularmagnete stattfindet, sondern auch Verstärkung der einzelnen Molekularmagnete. Diese Verstärkung würde in einer Entfernung der molekularen Pole voneinander bestehen; die letzteren kann man sich unter Umständen ruckweise nachgebend denken; der Zustand bei Feldverstärkung vor einem solchen Ruck bedeutet dann Hysterese; und der Ruck selbst bedeutet Verwandlung von magnetischer in thermische Molekularenergie in dem Augenblicke, in dem er erfolgt. Auch hier sieht man wieder, daß komplizierterer Bau der Molekeln diese reibungsähnlich wirkenden „Rucke“ begünstigen wird.

Endlich gewinnen manche der vorstehenden Anschauungen noch größere Bestimmtheit, wenn man mit F. RICHARZ<sup>1)</sup> annimmt, daß der molekulare Magnetismus auf dem Vorhandensein rotierender elektrischer Elementarquanten beruht. Dann könnte ein und dieselbe Molekel magnetisierbar oder nicht magnetisierbar sein, je nachdem infolge konstitutiver innerer Änderungen derselben einzelne der elektrischen Elementarquanten, die sie enthält, rotieren oder nicht.

Zum Schlusse sei nochmals darauf hingewiesen, daß es ein Fehler wäre, diese theoretischen Erörterungen für sicher zu halten, bevor zahlreiche andere Untersuchungen eine breitere

---

<sup>1)</sup> F. RICHARZ, Sitzungsberichte d. Niederrhein. Gesellschaft Bonn 47, 113, 114, 1890 u. ff. Wied. Ann. 52, 410, 1894.

und festere Grundlage zum Aufbau einer Theorie geschaffen haben. Sie sollen nur eine Erklärungsmöglichkeit darlegen.

Diese fast völlig hysteresefreien Legierungen bieten die Möglichkeit, sicherer als bisher die theoretischen Schlußfolgerungen zu prüfen, die man anknüpfen kann an reversible Prozesse mit mehreren unabhängigen Variablen, von denen eine die magnetische Feldstärke ist. Versuche in dieser Richtung sollen demnächst im hiesigen Physikalischen Institute ausgeführt werden.

Marburg i. H., den 8. Januar 1908.

Verlag von Friedr. Vieweg & Sohn in Braunschweig.

# Die Telegraphie ohne Draht.

Von

**Augusto Righi,**

Professor an der Universität Bologna

und

**Bernhard Dessau,**

Professor an der Universität Perugia.

Zweite vervollständigte Auflage. — Mit 312 Abbildungen.

Preis geh. # 15. —, geb. # 16.50.

Die zweite Auflage des Buches über drahtlose Telegraphie von A. Righi und B. Dessau, welche hiermit dem Publikum dargeboten wird, weist gegen die erste mannigfache Veränderungen und Erweiterungen auf. Der Grundcharakter des Buches, welches eine dem großen Kreise der allgemein gebildeten Leser zugängliche und doch zugleich gründliche Darstellung des wissenschaftlich und technisch gleich interessanten Gebietes gewähren soll, ist auch in der neuen Auflage derselbe geblieben wie früher. Aber schon in dem theoretischen Teil mußte der kurze Abschnitt, welcher in der ersten Auflage den Elektronen gewidmet war, zu einem besonderen Kapitel erweitert werden; zu dem Kapitel über Kohärer und Antikohärer, welches auf Grund der neueren Forschungen ergänzt wurde, gesellten sich zwei neue Abschnitte über den magnetischen und den elektrolytischen Wellenindikator. Die weitestgehende Umgestaltung hat naturgemäß der dritte, der Technik der drahtlosen Telegraphie gewidmete Teil erfahren. Hier galt es, Veraltetes auszumerzen und dafür dem zahlreichen Neuen, wie z. B. den Mitteln zur Übertragung von Signalen auf große Entfernungen, dem heutigen Stande der abgestimmten Telegraphie und den Versuchen über gerichtete Telegraphie, den gebührenden Platz anzuweisen. Dementsprechend ist auch der Umfang gerade dieses Teiles bedeutend angewachsen. Ein Anhang enthält die gesetzlichen und administrativen Bestimmungen, sowie die Beschlüsse der Berliner Konferenz über drahtlose Telegraphie; ein Nachtrag ist einer während des Druckes bekannt gewordenen Erfindung des dänischen Ingenieurs Poulsen gewidmet, welche für die weitere Entwicklung der drahtlosen Telegraphie von der größten Bedeutung zu werden verspricht.

Zu beziehen durch alle Buchhandlungen.



# E. Leybold's Nachfolger

»»»»»»»»»» Cöln a. Rh. ««««««««««

Neu!

Neu!

## Gaede-Pumpe

mit neuer Porzellantrommel

D. R. - P. angemeldet.

**Unzerbrechlich bei plötzlichem Eintreten von Luft.**

(Vergl. Physikalische Zeitschrift. 8. Jahrgang. No. 23, p. 852.)

-----  
**Garantierte Luftleere  $\frac{1}{100000}$  mm.**  
-----

Während die Pumpe unter **hohem Vakuum** steht, kann man durch Abreißen des Schliffes **plötzlich** Luft einlassen, ohne daß die Trommel Schaden leidet.

**Dieser Versuch kann beliebig oft wiederholt werden.**

Unsere neuen Ventiltrommeln haben vor Metalltrommeln den großen Vorzug, daß sie mit ätzenden Substanzen gereinigt werden können, was bei Metalltrommeln nicht zulässig ist.

»»»» Die neue Gaede-Pumpe ««««  
ist nur direkt von uns zu beziehen.

-----  
Diesem Hefte ist beigegeben: Ein Prospekt aus dem Verlage von B. G. Teubner in Leipzig und Berlin, betr. *Wüllners* Lehrbuch der Experimentalphysik. Sechste Auflage. Erster Band.

**Berichte**  
der  
**Deutschen Physikalischen Gesellschaft**

enthaltend

**Verhandlungen**

der Deutschen Physikalischen Gesellschaft  
im Auftrage der Gesellschaft herausgegeben

von

**Karl Scheel**

und

**Halbmonatliches Literaturverzeichnis**

der „Fortschritte der Physik“, dargestellt von der  
Deutschen Physikalischen Gesellschaft

redigiert von

**Karl Scheel**

für reine Physik

**Richard Assmann**

für kosmische Physik

---

**Braunschweig**

Druck und Verlag von Friedrich Vieweg und Sohn

1908

# Inhalt.

## 1. Verhandlungen der Deutschen Physikalischen Gesellschaft.

|   | Seite |
|---|-------|
| Bericht über die Sitzung vom 24. Januar 1908. . . . .   | 33    |
| H. Erfle, Zur anomalen Dispersion der Metaldämpfe. (Vorgelegt in der Sitzung vom 10. Januar 1908.) . . . . .  | 35    |
| Br. Glatzel, Die Queckalberfunkenstrecke und ihre Verwendung zur Erzeugung schwach gedämpfter elektrischer Wellen. Vorläufige Mitteilung. (Vorgetragen in der Sitzung vom 7. Februar 1908; eingegangen am 30. Januar 1908.) . . . . . | 54    |
| A. Byk, Zur Berechnung photochemischer Reaktionen. Vorläufige Mitteilung. (Vorgetragen in der Sitzung vom 24. Januar 1908.) . . . . .   | 67    |
| Erich Begener, Über Zählung der $\alpha$ -Teilchen durch die Szintillation und die Größe des elektrischen Elementarquantums. Vorläufige Mitteilung. (Vorgelegt in der Sitzung vom 7. Februar 1908.) . . . . .                         | 78    |

## 2. Halbmonatliches Literaturverzeichnis der Fortschritte der Physik.

I. Allgemeine Physik. S. 39. — II. Akustik. S. 41. — III. Physikalische Chemie. S. 41. — IV. Elektrizität und Magnetismus. S. 43. — V. Optik des gesamten Spektrums. S. 46. — VI. Wärme. S. 47. — VII. Kosmische Physik. S. 49.

---

Verlag von Friedr. Vieweg & Sohn in Braunschweig.

## Lehrbuch der Physik.

Von O. D. Chwolson,

Prof. ord. an der Kaiserl. Universität zu St. Petersburg.

**Erster Band. Einleitung. — Mechanik. — Einige Meßinstrumente und Meßmethoden. — Die Lehre von den Gasen, Flüssigkeiten und festen Körpern.** Übersetzt von **H. Pflaum**, Oberlehrer in Riga. Mit 412 Abbildungen. gr. 8. Preis geh. 12 *M.*, geb. 14 *M.*

**Zweiter Band. Lehre vom Schall (Akustik). — Lehre von der strahlenden Energie.** Übersetzt von **H. Pflaum**. Mit 658 Abbildungen und 3 Stereokopfbildern. gr. 8. Preis geh. 18 *M.*, geb. 20 *M.*

**Dritter Band. Die Lehre von der Wärme.** Übersetzt von **E. Berg**. Mit 259 Abbildungen. gr. 8. Preis geh. 16 *M.*, geb. 18 *M.*

**Vierter Band. Erste Hälfte.** Preis geh. 16 *M.*, geb. 18 *M.*

---

## Lehrbuch der Physik

von Andrew Gray,

Professor der Physik an der Universität Glasgow.

**Autorisierte deutsche Ausgabe von**

**Dr. Felix Auerbach,**

Professor an der Universität Jena.

**Erster Band. Allgemeine und spezielle Mechanik.** Mit 400 eingedruckten Abbildungen. gr. 8. Preis geh. 20 *M.*, geb. 21 *M.*

**Verhandlungen**  
der  
**Deutschen Physikalischen Gesellschaft**

---

Im Auftrage der Gesellschaft herausgegeben

von

**Karl Scheel**

---

10. Jahrg.

15. Februar 1908.

Nr. 3.

---

**Sitzung vom 24. Januar 1908.**

---

Vorsitzender: Hr. M. PLANCK.

---

Hr. A. Byk spricht

zur Berechnung photochemischer Reaktionen.

---

Ferner berichtet Hr. B. Pohl

über die MARXsche Methode zur Bestimmung der  
Geschwindigkeit der Röntgenstrahlen

(nach gemeinsam mit Hrn. J. Franck angestellten Versuchen),

worauf Hr. E. Marx entgegnet.

---

Als Mitglieder wurden in die Gesellschaft aufgenommen :

Hr. Dipl.-Ing. L. HEIS, Assistent am physikalischen Institut der  
Technischen Hochschule München, Mozartstr. 23.

(Vorgeschlagen durch Hrn. H. ERFLE.)

Hr. Prof. Dr. AUGUST BECKER, Heidelberg, Bergstr. 70 und

Hr. Prof. Dr. F. POCKELS, Heidelberg, Bergstr. 3.

(Vorgeschlagen durch Hrn. E. MÜLLER.)

Hr. Dr. AYAO KUWAKI, Charlottenburg 2, Uhlandstr. 194.

(Vorgeschlagen durch Hrn. M. LAUE.)

Hr. Dr. FRITZ GRÜNBAUM, Charlottenburg, Cauerstr. 35.

(Vorgeschlagen durch Hrn. G. GEHLHOFF.)

---

**Zur anomalen Dispersion der Metalldämpfe;  
von H. Erfle.**

(Vorgelegt in der Sitzung vom 10. Januar 1908.)

(Vgl. oben S. 18.)

**§ 1. Einleitung.**

Nachdem KUNDT<sup>1)</sup> und WINKELMANN<sup>2)</sup> beim Natriumdampf und beim Kaliumdampf die anomale Dispersion qualitativ nachgewiesen hatten, gelang es H. BECQUEREL<sup>3)</sup>, Messungen der anomalen Dispersion des Natriumdampfes auszuführen. Und seit den BECQUERELSchen Untersuchungen ist eine Reihe von Arbeiten<sup>4)</sup> erschienen, welche erstens das Auftreten der anomalen Dispersion an vielen Linien von Metalldämpfen (bei geeigneten Versuchsbedingungen!) nachwiesen, und zweitens einen mehr oder weniger tiefen Einblick in die dabei auftretenden quantitativen Verhältnisse gaben. Das Resultat dieser Untersuchungen ist: Geht man von einer Absorptionslinie, welche anomale Dispersion zeigt, aus nach der Seite der kleineren Wellenlängen, so gelangt man zu Brechungsexponenten kleiner als 1; auf der Seite der größeren Wellenlängen sind die Brechungsexponenten größer als 1. Alle diese Arbeiten zeigten, daß quantitative Bestimmungen der ano-

<sup>1)</sup> A. KUNDT, Wied. Ann. 10, 321—325, 1880.

<sup>2)</sup> A. WINKELMANN, Wied. Ann. 32, 439—442, 1887.

<sup>3)</sup> H. BECQUEREL, C. R. 127, 899—904, 1898 u. 128, 145—151, 1899.

<sup>4)</sup> W. H. JULIUS, Phys. ZS. 2, 348—353, 357—360, 1901; Astrophys. Journ. 25, 95—115, 1907 und zahlreiche andere Arbeiten. — R. W. WOOD, Phil. Mag. (6) 3, 128—144, 359, 360, 1902 u. 8, 293—324, 1904. — H. EBERT, Astr. Nachr. 155, 177—182, 1901; 162, 193—196, 1903; 164, 65—78, 1903; Phys. ZS. 4, 473—476, 1903; BOLTZMANN-Festschrift, S. 448—454, 1904; Vierteljahrsschr. d. astron. Ges. 41, 246—261, 1906. — L. PUCCIANI, Mem. d. Soc. d. Spett. Ital. 33, 133—138, 1904; Cim. (5) 9, 1—85, 1905; Reale Acc. d. Lincei (5) 6, 27—35, 1906; Phys. ZS. 8, 463—471, 1907. — LUMMER und PRINGSHEIM, Phys. ZS. 4, 430—431, 1903. — FRANZ SCHÖN, Beiträge zur Kenntnis der anomalen Dispersion von Metalldämpfen, Jenae Diss. 1907 (Auszug im November- und Dezemberheft der ZS. f. wissenschaftl. Photographie). — E. PRINGSHEIM, Arch. d. Mathematik u. Physik (3) 4, 316—330, 1902. — J. HARTMANN, Astr. Nachr. 175, 341—368, 1907.

malen Dispersion der Metaldämpfe schon außerhalb der Absorptionsstreifen sehr schwierig, im Absorptionsstreifen selbst praktisch fast unmöglich sind. Ich will daher hier zeigen, welche Folgerungen die Dispersionstheorien, und zwar die von DRUDE, PLANCK und LORENTZ, bezüglich der Dispersion und Absorption eines Metaldampfes im Innern und in der Umgebung eines Absorptionsstreifens ergeben. Veranlaßt wurde ich zu dieser theoretischen Untersuchung durch eine Bemerkung, die WOOD bei der Darstellung seiner Messungen am Natriumdampf durch die SELLMIEERSche Dispersionsformel machte.

## § 2. Bemerkung zu den Arbeiten von R. W. Wood und Fr. Schön.

R. W. WOOD<sup>1)</sup> benutzt bei seinen absoluten Bestimmungen der Dispersion des Natriumdampfes bei 644° zur Darstellung seiner Messungen die Dispersionsformel<sup>2)</sup>

$$n^2 = 1 + \frac{m \lambda^2}{\lambda^2 - \lambda_k^2} \quad 1)$$

und bemerkt<sup>3)</sup>, daß auf der blauen Seite der Absorptionslinie (d. h. für  $\lambda < \lambda_k$ ) bei genügend kleiner Differenz  $|\lambda^2 - \lambda_k^2|$  imaginäre  $n$  folgen würden. Wie ich nachher zeigen werde, ergeben sich keine imaginären  $n$  mehr, wenn man zur Vornahme von Berechnungen bei kleiner Differenz  $|\lambda^2 - \lambda_k^2|$  die vollständigen Dispersionsformeln benutzt, in denen auch noch die „Reibungskonstanten“  $g_k$  und der Extinktionsindex<sup>4)</sup>  $\kappa$  bzw. der Extinktionsmodul  $\kappa' = n\kappa$  vorkommen. Die Formel 1), ebenso die allgemeinere Formel

$$n^2 = 1 + \sum \frac{m_k \lambda^2}{\lambda^2 - \lambda_k^2} \quad 2)$$

<sup>1)</sup> R. W. Wood, Phil. Mag. (6) 8, 293—324, 1904.

<sup>2)</sup> Spezialfall der von mir mit 2) bezeichneten SELLMIEER-KETTELER-HELMHOLTZschen Dispersionsformel.

<sup>3)</sup> WOOD, l. c., S. 322; vgl. auch Lord KELVIN, Baltimore Lectures on Molecular Dynamics and the Wave Theory of Light, S. 176—184. (London 1904.) Nach 1) ist für  $\lambda = \lambda_k$ :  $n^2 = \pm \infty$ .

<sup>4)</sup> Bezeichnung „Extinktionsindex“ und „Extinktionsmodul“ nach KAYSERS Handbuch der Spektroskopie 3, 15, 1905. Der Extinktionsmodul  $n\kappa$  ist dadurch definiert, daß ein im Medium fortschreitender Strahl von der auf das Vakuum bezogenen Wellenlänge  $\lambda$  nach Zurücklegung der Strecke  $z$  auf den Bruchteil  $e^{-4\pi n\kappa z}$  seiner Intensität gekommen ist.

für mehrere Absorptionsstreifen gilt ja bekanntlich nur für Spektralbereiche, in denen  $\kappa \lambda$  klein gegen  $\kappa$  ist.  $m_h$  ist die Dielektrizitätskonstante der  $h$ ten Elektronengattung,  $1 + \sum m_h$  die Dielektrizitätskonstante der Substanz für die gleiche Temperatur, bei der die Brechungsindices  $n$  (Wellenlängen  $\lambda$ ) gemessen wurden.

Nach der DRUDESchen Theorie <sup>1)</sup> ist die Dielektrizitätskonstante der  $h$ ten Elektronengattung

$$m_h = \mathfrak{N}_h \vartheta_h = \mathfrak{N}_h \lambda_h^2 \cdot \frac{e_h^2}{\pi m_h}. \quad 3)$$

$\vartheta_h$  ist die „Beweglichkeit“ eines Elektrons der  $h$ ten Gattung,  $\mathfrak{N}_h$  die Zahl der Elektronen der Gattung  $h$  in 1 ccm,  $\lambda_h$  die Wellenlänge der Eigenschwingung dieser Elektronen,  $e_h$  die elektromagnetisch gemessene Ladung und  $m_h$  die Masse eines Elektrons.

Wie man aus 3) erkennt, ist  $m_h$  nach der DRUDESchen Dispersionstheorie immer positiv <sup>2)</sup>.

Ich erwähne dies hier ausdrücklich, weil SCHÖN in seiner Dissertation für die Dämpfe von Lithium, Kalium, Thallium, Silber negative  $m_h$  gefunden hat.  $m_h$  ist durch die von SCHÖN mit  $D_m$  und  $\lambda_m$  bezeichneten Konstanten bestimmt:

$$m_h = \frac{D_m}{\lambda_m^2}. \quad 4)$$

Daß SCHÖN negative  $m_h$  (d. h. auch  $D_m$ ) findet, rührt offenbar davon her, daß bei seinen Messungen die Lage der brechenden Kante des Dampfprismas unbekannt war. Für Lithium zeigte jedoch SCHÖN, daß auch eine Darstellung seiner Messungen durch positives  $D_m$  möglich ist und auch für Natrium und Rubidium fand er  $D_m$  positiv, wie es nach der Theorie auch sein muß, denn negative  $m_h$  haben nach der Dispersionstheorie keinen Sinn. Wie auch schon SCHÖN <sup>3)</sup> bemerkte, wurde  $D_m$  jedesmal dann negativ, wenn der von ihm mit  $a$  bezeichnete Proportionalitäts-

<sup>1)</sup> Vgl. den Anzug aus meiner Dissertation in Ann. d. Phys. (4) 24, 675, 678, 679, 1907. Für  $m_h = 55 \cdot 10^{-6}$  folgt aus 3) mit  $\frac{e_h^2}{\pi m_h} = 5,4 \cdot 10^{-14}$ :  $\mathfrak{N}_h = 10^{+18}$  (bei  $\lambda_h = 589 \cdot 10^{-7}$ ).

<sup>2)</sup> Auch nach der PLANCKschen Dispersionstheorie; vgl. nachher § 4.

<sup>3)</sup> F. SCHÖN, Diss., S. 60 oben.



faktor negativ war. Aus der von SCHÖN getroffenen Festsetzung des Vorzeichens von  $y - y_0$ <sup>1)</sup> geht mit Benutzung der Gleichung<sup>2)</sup>

$$a(n-1) = y - y_0 \quad 5)$$

hervor, daß bei negativem  $a$  auf der roten Seite einer Absorptionslinie (d. h.  $\lambda > \lambda_h$ ) die Brechungsexponenten kleiner als 1 wären, was sicher nicht der Fall ist. Denn wenn SCHÖN  $y - y_0$  positiv annimmt<sup>1)</sup> für  $\lambda > \lambda_h$ , so müßte bei negativem  $a$  auch  $n - 1$  negativ oder  $n$  kleiner als 1 sein. SCHÖN hätte also zur Darstellung seiner Messungen nur Konstantensysteme mit positivem  $a$  und positivem  $D_m$ , d. h. auch positivem  $m_h$  zulassen sollen. Der von SCHÖN<sup>3)</sup> für Natriumdampf bei  $588,29 \mu\mu$  angegebene Brechungsexponent  $0,194$  ist wohl der kleinste bei Dämpfen beobachtete Brechungsexponent und  $1,781$  bei  $590,06 \mu\mu$  der größte bei Dämpfen beobachtete Brechungsexponent. SCHÖN berechnet<sup>4)</sup>, daß die Dichte des von ihm untersuchten Natriumdampfes etwa 68 mal größer ist als die Dichte des Natriumdampfes, den WOOD bei seinen absoluten Messungen benutzt hat. Man kann diesen Vergleich der Dichten auch in folgender Weise durchführen: WOOD fand für die Summe<sup>5)</sup> der Dielektrizitätskonstanten der den beiden  $D$ -Linien entsprechenden Elektronengattungen  $55 \cdot 10^{-6}$ , d. h. als mittleren Wert für eine dieser Gattungen  $27,5 \cdot 10^{-6}$ , während ich aus den von SCHÖN<sup>6)</sup> angegebenen Konstanten  $D_1$  und  $D_2$  als mittleren Wert von  $m_h$  finde:  $1765 \cdot 10^{-6}$ . Da nach 3) die Dielektrizitätskonstante  $m_h$  einer Elektronengattung<sup>7)</sup> der Dichte proportional (d. h. proportional  $\mathcal{R}_h$ ) ist, so ist das Verhältnis der Dichten  $1765:27,5 = 64$ , also nahe der von SCHÖN gefundenen Zahl.

In § 3 werde ich zeigen, was für beispiellos große Werte des Brechungsexponenten  $n$  und des Extinktionsmoduls  $n\kappa$  in

<sup>1)</sup> l. c., S. 59.

<sup>2)</sup> l. c., S. 62 unten.

<sup>3)</sup> l. c., S. 69.

<sup>4)</sup> l. c., S. 95—97.

<sup>5)</sup> WOOD, l. c., S. 322.

<sup>6)</sup> SCHÖN, l. c., S. 68.

<sup>7)</sup>  $\lambda_h$  wird bei diesem Vergleich der Dichten als von der Dichte unabhängig angenommen; in Wirklichkeit ändert sich  $\lambda_h$  etwas mit der Dichte; vgl. H. ERPLE, Ann. d. Phys. (4) 24, 682—689, 1907.

einem Absorptionsstreifen bei einem Metaldampf und bei gasförmigen Körpern überhaupt vorkommen, und zwar gehe ich aus von den DRUDESchen Dispersionsformeln<sup>1)</sup>, welche mit den von VOIGT<sup>2)</sup> angegebenen identisch sind.

### § 3. Folgerungen aus der Drudeschen Dispersionstheorie.

Die Elektronentheorie in der von DRUDE gegebenen Form liefert die Dispersionsformeln<sup>3)</sup>:

$$n^2 - x'^2 = n^2(1 - x^2) = 1 + \sum_h \frac{m_h (\lambda^2 - \lambda_h^2) \lambda^2}{(\lambda^2 - \lambda_h^2)^2 + g_h^2 \lambda^2} \quad 6)$$

und

$$2n x' = 2n^2 x = \sum_h \frac{m_h g_h \lambda^3}{(\lambda^2 - \lambda_h^2)^2 + g_h^2 \lambda^2}, \quad 7)$$

$n$ ,  $x$ ,  $n x' = x'$ ,  $\lambda$ ,  $m_h$ ,  $\lambda_h$  wurden schon in § 2 definiert. Die „Reibungskonstante“  $g_h$  hängt mit dem im Reibungsglied der Bewegungsgleichung des Elektrons (der Gattung  $h$ ) vorkommenden Koeffizienten  $r_h$  zusammen durch den Ausdruck<sup>3)</sup>:

$$g_h = \frac{c}{2} r_h \vartheta_h, \quad 8)$$

wo  $c = 3 \cdot 10^{10}$  cm/sec.

Der Unterschied zwischen festen und flüssigen Körpern einerseits und Gasen und Dämpfen andererseits besteht in der verschiedenen Größenordnung von  $m_h$ <sup>4)</sup> bzw.  $g_h$ . Bezüglich der Verschiedenheit des  $m_h$  bei beiden Körperklassen verweise ich auf meine im Juli in den Ann. d. Phys. erschienene Arbeit<sup>4)</sup>. Um auch die Größenordnung von  $g_h$  bei Dämpfen, was sich aus Dispersionsmessungen schwer bestimmen läßt, zu ermitteln, habe ich das folgende Verfahren benutzt:

<sup>1)</sup> Abgeleitet aus Formel 18) in DRUDES Lehrbuch der Optik, 2. Aufl. 1906, S. 368.

<sup>2)</sup> W. VOIGT, Ann. d. Phys. (4) 6, 461, 1901 und der Auszug aus meiner Diss. in den Ann. d. Phys. (4) 24, 688, 1907.

<sup>3)</sup> Vgl. H. ERFLE, Ann. d. Phys. (4) 24, 676, 1907.

<sup>4)</sup> Die verschiedene Größenordnung von  $m_h$  ist bedingt durch die Verschiedenheit der Größenordnung von  $\mathfrak{R}_h$ ; vgl. die Größen  $\mathfrak{R}_v$ ,  $\mathfrak{S}_v$  in meiner Arbeit in den Ann. d. Phys. (4) 23, 594—598, 1907.

Bei festen und flüssigen Körpern ist  $g_h$  von der Größenordnung  $10^{-6}$  cm nach HESSE, PULFRICH, PFLÜGER und KETTELER. Nach DRUDE<sup>1)</sup> ist  $r_h$  in Gasen und Dämpfen von der Größenordnung  $10^{+1}$  [ $\text{cm}^{-3} \text{sec}^{+1}$ ] und nach meinen Rechnungen<sup>2)</sup> für feste und flüssige Körper von der Größenordnung  $10^{+6}$  [ $\text{cm}^{-3} \text{sec}^{+1}$ ], also  $10^5$  mal größer. Daraus folgt, daß bei gleichem  $\vartheta_h$ <sup>3)</sup>, d. h. bei gleicher Eigenwellenlänge  $\lambda_h$ , die Größen  $g_h$  sich verhalten wie die „Reibungskoeffizienten“  $r_h$ . Hieraus ergibt sich für  $g_h$  bei Gasen und Dämpfen die Größenordnung  $10^{-6} \cdot 10^{-5} = 10^{-11}$  cm, d. h.  $10^{-7} \mu$ ,  $10^{-4} \mu\mu$ .

Nachdem nun die Größenordnung von  $g_h$  bekannt ist, betrachte ich die Dispersion und Absorption eines Metaldampfes unter Zugrundelegung der Formeln:

$$A = n^2(1 - x^2) = 1 + \frac{m_h \lambda^2}{\lambda^2 - \lambda_h^2 + \frac{g_h^2 \cdot \lambda^2}{\lambda^2 - \lambda_h^2}} \quad 9)$$

$$B = 2n x' = 2n^2 x = \frac{m_h g_h \lambda^3}{(\lambda^2 - \lambda_h^2)^2 + g_h^2 \lambda^2} \quad 10)$$

9) und 10) folgen aus 6) und 7), wenn nur eine Elektronengattung vorhanden ist. Sind mehrere Elektronengattungen vorhanden, dann gilt die folgende von 9) und 10) ausgehende Betrachtung immer noch, aber dann nur in der Nähe und im Absorptionsstreifen  $\lambda_h$ , in dem man den Verlauf von  $n$  und  $x$  untersuchen will.

<sup>1)</sup> P. DRUDE, Lehrb. der Optik, 2. Aufl., S. 524—527, 1906; auch S. 382.

<sup>2)</sup> H. ERPLE, Ann. d. Phys. (4) 23, 595, Anm. 1, 1907 [Gleichung

$g_h = \frac{c}{2} r_h \vartheta_h$ , wo  $\vartheta_h = 5,4 \cdot 10^{-14} \cdot \lambda_h^2$  und  $\lambda_h^2 = 0,4 \cdot 10^{-8}$  qcm]. Für festes Cyanin ist nach PFLÜGER  $g_h$  0,019 bis 0,037  $\mu$  (Wied. Ann. 65, 209, 210, 1898), für Cyaninlösungen nach KETTELER (Wied. Ann. 12, 517, 1881)  $g_h^2 = 0,00231$ , d. h.  $g_h = 0,048 \mu$ , für Cyaninlösungen nach C. PULFRICH (Wied. Ann. 14, 214, 1881)  $g_h = 0,046 \mu$ , für Lösungen von Anilinblau nach PULFRICH (l. c., S. 216)  $g_h = 0,114$  und  $0,107 \mu$ , für Lösungen von Anilinblau und von Cyanin nach HESSE (Wied. Ann. 11, 901—904, 1880)  $g_h = 0,037$  bis  $0,085 \mu$ .

<sup>3)</sup>  $\vartheta_h = \lambda_h^2 \cdot \frac{e^2}{\pi m}$ , wo  $e$  die elektromagnetisch gemessene Ladung und  $m$  die Masse des Elektrons. Man kann auch  $g_h$  direkt aus 8) berechnen mit  $r_h = 10$ .

Zur Rechnung (vgl. die folgende Tabelle und die Zeichnung S. 45) nach 9) und 10) benutze ich die Konstanten:

$$\lambda_h = 589,00 \mu\mu, m_h = 0,000055^1), g_h = 10^{-4} \mu\mu.$$

Da  $m_h$  nach 3) immer positiv ist, ebenso  $g_h$ , so ist  $A$  nach 9) positiv und größer als 1 für  $\lambda > \lambda_h$ , dagegen  $A < 1$ , eventuell negativ für  $\lambda < \lambda_h$ , während  $B$  nach 10) immer positiv ist. Daraus und aus 2)

$$n^2 = \frac{1}{2} (+\sqrt{A^2 + B^2} + A), \quad 11)$$

$$x = \frac{+\sqrt{A^2 + B^2} - A}{B} \quad 12)$$

folgt, daß  $n^2$  positiv ist für  $\lambda \geq \lambda_h$ , selbst dann noch, wenn bei  $\lambda < \lambda_h$   $A$  eventuell negativ wird, da doch  $+\sqrt{A^2 + B^2} - A$  positiv bleibt, d. h.  $n$  bleibt immer reell.

Speziell für  $\lambda = \lambda_h$  wird 2)

$$A = 1, B = \frac{m_h \cdot \lambda_h}{g_h} = \frac{55 \cdot 10^{-6} \cdot 589}{10^{-4}} = 324.$$

Aus 11) und 12):

$$n^2 = \frac{1}{2} \cdot 325 = 162,5; x = 0,997.$$

$$n = 12,75.$$

Ein so hoher Wert für  $n$  ist bei festen und flüssigen Körpern wegen der größeren Werte  $g_h$  ( $10^{+1} \mu\mu = 10^{-6}$  cm) überhaupt nicht möglich (ausgenommen der Fall, daß  $m_h$  sehr groß, etwa  $m_h = 10$ ,  $g_h = 10 \mu\mu$ ). Tatsächlich sind auch im sichtbaren und ultravioletten Spektrum die größten bei festen Körpern ge-

<sup>1)</sup> Wood fand, daß die Formel 1) mit  $m_h = 0,000055$  seine Messungen sehr gut darstellte; er ersetzte also die zwei Absorptionslinien  $D_1$  und  $D_2$  des Natriumdampfes durch eine (Wood, l. c., S. 319—322). Ich habe  $m_h$  gleich dem von Wood gefundenen  $m$  gesetzt, betrachte aber zur Vereinfachung den Idealfall eines Metaldampfes mit nur einem Absorptionsstreifen  $589,00 \mu\mu$ .  $m_h$  ist natürlich für die verschiedenen Absorptionslinien der Metaldämpfe auch verschieden.

<sup>2)</sup> 11) und 12) folgen aus  $n^2 = \frac{A}{1-x^2}$  und  $Bx^2 + 2Ax - B = 0$ .

11) und 12) sind angegeben in WINKELMANN'S Handb., 2. Aufl., 6, 1324, 1906.

<sup>3)</sup> Wäre  $g_h$  größer als  $10^{-4} \mu\mu$ , etwa  $10^{-3} \mu\mu$ , dann wird für  $\lambda = \lambda_h$  dementsprechend  $B$  und auch  $n$ ,  $x$  kleiner. Außerdem ist  $g_h$  bzw.  $r_h$  für die einzelnen Absorptionslinien eines Dampfes wahrscheinlich verschieden groß. Solche Unterschiede könnten aber nur gefunden werden aus Messungen der Absorption bei  $\lambda = \lambda_h$ .

messenen Werte von  $n$  5,17 und 4,49 nach DRUDE<sup>1)</sup>, für Antimonglanz (bei Na-Licht), 4,99 nach KUNDT<sup>2)</sup> für ein Gemenge von Platin und Platinoxyd bei rotem Licht und die von HORN<sup>3)</sup> bestimmten Brechungsexponenten des Bleiglanzes:

4,015 für C bis 3,383 für G<sup>4)</sup>.

Aber nicht nur abnorm große Brechungsexponenten  $n$  folgen aus 9) und 10) für Metaldämpfe, sondern auch sehr kleine Brechungsexponenten  $n$ : das Minimum von  $n$  ist

0,00475 für  $\lambda = 588,988 \mu\mu$ .

Dieser Wert für  $n$  kommt in der Größenordnung dem von DRUDE<sup>5)</sup> am flüssigen Natrium für Natriumlicht beobachteten Brechungsexponenten 0,0045 gleich.  $n = 0,00475$  entspricht einer Phasengeschwindigkeit<sup>6)</sup> gleich dem 211fachen der Lichtgeschwindigkeit  $c$  (im Vakuum).

$n^2(1 - x^2)$  wird ein Maximum bzw. ein Minimum, wenn<sup>7)</sup>

$$\lambda_1^2 = \lambda_h^2 \cdot \frac{1}{1 - g_h/\lambda_h} \text{ bzw. } \lambda_2^2 = \lambda_h^2 \cdot \frac{1}{1 + g_h/\lambda_h}; \quad (13)$$

d. h.  $\lambda_1^2 = \lambda_h^2(1 + 1,7 \cdot 10^{-7})$  bzw.  $\lambda_2^2 = \lambda_h^2(1 - 1,7 \cdot 10^{-7})$ .

Die strengen Bedingungen 13) für das Maximum und Minimum von  $n^2(1 - x^2)$  können durch die Näherungsgleichungen 13a) ersetzt werden:

<sup>1)</sup> P. DRUDE, Wied. Ann. 34, 523, 1888.

<sup>2)</sup> A. KUNDT, Wied. Ann. 34, 485, 1888.

<sup>3)</sup> G. HORN, Neues Jahrb. f. Mineralogie, Beilagebd. 12, 330, 331, 1898; auch P. DRUDE, Wied. Ann. 36, 592, 1889, hat bei Bleiglanz für Natriumlicht  $n = 4,30$  an einer und 4,18 an einer zweiten Fläche gemessen.

<sup>4)</sup> Im ultraroten Spektrum kommen bei einigen Flüssigkeiten sehr große Brechungsexponenten vor, z. B. bei Wasser ist  $n_\infty = 9$ .

$$(\text{=} \sqrt{1 + \Sigma n_h})$$

<sup>5)</sup> P. DRUDE, Wied. Ann. 64, 160, 1898, findet für flüssiges Natrium bei Natriumlicht  $n = 0,0045$ ,  $nx = 2,61$ ,  $x = 580$  und gibt S. 161 an, daß  $n$  sicher kleiner ist als 0,054.

<sup>6)</sup> Über den Unterschied zwischen „Phasengeschwindigkeit“ und „Signalgeschwindigkeit“, vgl. A. SOMMERFELD, diese Verh. 9, 642–643, 1907.

<sup>7)</sup>  $\lambda_1$  ist im allgemeinen reell, da selbst bei festen und flüssigen Körpern immer noch  $g_h$  höchstens die Größenordnung  $10^{+1} \mu\mu$  erreicht.  $\lambda_1$  würde dagegen imaginär, wenn z. B.  $g_h = 10 \mu\mu$ , aber dabei  $\lambda_h$  sehr klein ( $< 10 \mu\mu$ ) wäre. Es ist allerdings fraglich, ob für sehr kleine  $\lambda$  (nahe bei 0) die Dispersionstheorien überhaupt noch gelten. (Hierzu PLANCK, Berl. Ber. 1902, S. 479.)

$\lambda_1^2 - \lambda_k^2 = +\lambda_k \cdot g_k$  und  $\lambda_2^2 - \lambda_k^2 = -\lambda_k \cdot g_k$ , 13a)  
aus denen für das Minimum von  $n^2(1-x^2)$  der Wert

$$1 - \frac{m_k \cdot \lambda_k}{2g_k} = -161$$

und für das Maximum  $1 + \frac{m_k \cdot \lambda_k}{2g_k} = 163$

folgt, wo  $B$  in beiden Fällen

$$= \frac{m_k \cdot \lambda_k}{2g_k}.$$

Die folgende Tabelle zeigt, daß in dem kleinen Intervall zwischen  $(589 - 0,5 \cdot 10^{-4}) \mu\mu$  und  $(589 + 0,5 \cdot 10^{-4}) \mu\mu$   $A = n^2(1-x^2)$  von  $-161^1)$  auf  $+163$  springt.

324 ist angenähert der Maximalwert von  $B = 2n\kappa'$ , der für eine Wellenlänge erreicht wird, die <sup>2)</sup> praktisch fast mit  $\lambda_k$  zusammenfällt für so kleines  $g_k$ , wie es bei Dämpfen vorkommt.

Die folgende Fig. 1 (S. 45) gibt eine Darstellung der Dispersion in dem Spektralbereich 588,95 bis 589,05  $\mu\mu$ ; das Minimum von  $n$  ist nicht gleich 0, sondern gleich dem in der Tabelle angegebenen Wert 0,00475 (für  $\lambda = 589 - 0,012 \mu\mu$ ).

Außerdem geht aus der Tabelle hervor, daß in dem kleinen Spektralbezirk von 588,99 bis 589,00  $\mu\mu$  die Dispersion des Metaldampfes sehr viel größer ist als bei irgend einem festen oder flüssigen Körper, z. B. auch viel größer als die des festen Fuchsin, dessen Exponenten nach PFLÜGER <sup>3)</sup> von 0,83 auf 2,64 wachsen zwischen 461 und 589  $\mu\mu$ .

Ferner fällt der große Extinktionsmodul  $n\kappa = 13,9$  auf (für  $\lambda = 589 - 5 \cdot 10^{-5} \mu\mu$ ), der viel größer ist als sämtliche bei festen Metallen <sup>4)</sup> erhaltenen Werte des Extinktionsmoduls; der bei diesen beobachtete größte Extinktionsmodul scheint der für Zink (bei Na-Licht) gefundene zu sein:  $n\kappa = 5,48$ .

<sup>1)</sup> Auch bei den festen Metallen, bei denen fast immer  $x > 1$ , ist  $n^2(1-x^2)$  negativ, vgl. z. B. P. DRUDE, Phys. ZS. 1, 161-165, 1900. Dagegen wird beim festen Cyanin nach PFLÜGER, Wied. Ann. 65, 228, 1898,  $x$  nicht größer als 0,51. (PFLÜGER gibt  $x' = n\kappa$  an.)

<sup>2)</sup> Die Bedingung für das Maximum von  $B$  ist nämlich:  $(\lambda^2 - \lambda_k^2)(\lambda^2 + 3\lambda_k^2) = g_k^2 \lambda^2$  oder  $(\lambda^2 + \lambda_k^2)^2 = 4\lambda_k^2 + g_k^2 \lambda^2$ ; hieraus  $\lambda = \lambda_k + 2 \cdot 10^{-12} \mu\mu$ .

<sup>3)</sup> A. PFLÜGER, Wied. Ann. 56, 424, 1895.

<sup>4)</sup> Man vergleiche z. B.  $n\kappa$  für feste Metalle nach DRUDE in WINKELMANN'S Handb., 2. Aufl., 6, 1309, 1906; auch S. 1296, Anm. 7.

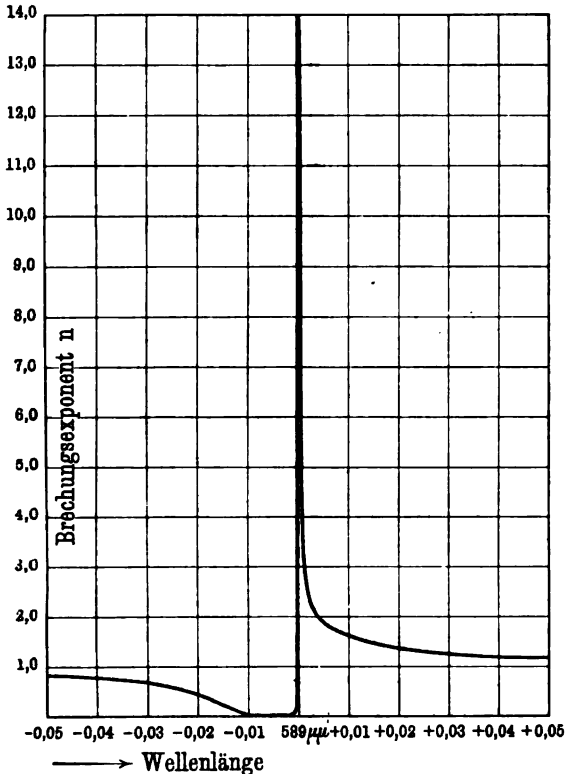
Brechungs exponent  $n$ , Extinktionsindex  $x$ , Extinktionsmodul  $x' = nx$  nach 9) und 10) im Intervall 588,95 bis 589,05  $\mu\mu$  1).

| $\lambda$ in $\mu\mu$      | $A = n^2(1-x^2)$ | $B = 2n^2x$               | $n^2$                   | $x$                      | $n$         | $x' = nx$                |
|----------------------------|------------------|---------------------------|-------------------------|--------------------------|-------------|--------------------------|
| 0                          | 1                | 0                         | 1                       | 0                        | 1           | 0                        |
| 400                        | 0,999 963        | 19,75 · 10 <sup>-12</sup> | 0,999 963               | 6,9 · 10 <sup>-12</sup>  | 0,999 976   | 6,9 · 10 <sup>-12</sup>  |
| 588,95                     | 0,676 7          | 0,92 · 10 <sup>-8</sup>   | 0,676 7                 | 0,24 · 10 <sup>-3</sup>  | 0,823       | 0,20 · 10 <sup>-3</sup>  |
| 588,96                     | 0,594 1          | 0,51 · 10 <sup>-8</sup>   | 0,594 1                 | 0,43 · 10 <sup>-3</sup>  | 0,771       | 0,38 · 10 <sup>-3</sup>  |
| 588,97                     | 0,454 9          | 0,92 · 10 <sup>-3</sup>   | 0,454 9                 | 1,01 · 10 <sup>-3</sup>  | 0,674       | 0,68 · 10 <sup>-3</sup>  |
| 588,98                     | 0,205 0          | 1,95 · 10 <sup>-3</sup>   | 0,205 0                 | 4,76 · 10 <sup>-3</sup>  | 0,453       | 2,16 · 10 <sup>-3</sup>  |
| 588,988                    | — 0,325          | 5,42 · 10 <sup>-3</sup>   | 22,6 · 10 <sup>-6</sup> | 120                      | 0,004 75    | 0,57                     |
| 588,99                     | — 0,590          | 7,80 · 10 <sup>-3</sup>   | 25,8 · 10 <sup>-6</sup> | 151                      | 0,005 1     | 0,77                     |
| 588,992 06                 | — 1,087          | 12,8 · 10 <sup>-3</sup>   | 39,5 · 10 <sup>-6</sup> | 162                      | 0,006 3     | 1,02                     |
| 589 — 5 · 10 <sup>-5</sup> | — 161            | 162                       | 39,5                    | 2,401                    | 5,79        | 13,9                     |
| 589,00                     | 1                | 324                       | 162,5                   | 0,997                    | 12,75       | 12,71                    |
| 589 + 5 · 10 <sup>-5</sup> | 163              | 162                       | 196,5                   | 0,414                    | 14,02       | 5,80                     |
| 589,01                     | 2,590            | 7,80 · 10 <sup>-3</sup>   | 2,590                   | 1,5 · 10 <sup>-3</sup>   | 1,609       | 2,41 · 10 <sup>-3</sup>  |
| 589,02                     | 1,829 6          | 2,12 · 10 <sup>-3</sup>   | 1,829 6                 | 0,58 · 10 <sup>-3</sup>  | 1,953       | 0,78 · 10 <sup>-3</sup>  |
| 589,03                     | 1,545 2          | 0,92 · 10 <sup>-3</sup>   | 1,545 2                 | 0,3 · 10 <sup>-3</sup>   | 1,243       | 0,37 · 10 <sup>-3</sup>  |
| 589,04                     | 1,406 0          | 0,51 · 10 <sup>-3</sup>   | 1,406 0                 | 0,18 · 10 <sup>-3</sup>  | 1,186       | 0,21 · 10 <sup>-3</sup>  |
| 589,05                     | 1,323 5          | 0,32 · 10 <sup>-3</sup>   | 1,323 5                 | 0,12 · 10 <sup>-3</sup>  | 1,150       | 0,14 · 10 <sup>-3</sup>  |
| 800                        | 1,000 120        | 32,8 · 10 <sup>-12</sup>  | 1,000 120               | 16,4 · 10 <sup>-12</sup> | 1,000 060   | 16,4 · 10 <sup>-12</sup> |
| $\infty$                   | 1,000 055        | 0                         | 1,000 055               | 0                        | 1,000 027 5 | 0                        |

1) Ist  $B$  klein relativ zu  $A$ , dann gilt bei positivem  $A$ :  $n^2 = A$ ,  $x = \frac{B}{2A}$ . Ist  $B$  klein relativ zu  $|A|$ , wo  $A$  negativ, dann ist  $n^2 = \frac{B^2}{4|A|}$ ,  $x = \frac{2|A|}{B}$ ,  $nx = \sqrt{|A|}$ . Wenn  $|A|$  oder auch  $A$  klein relativ zu  $B$ , dann ist  $n^2 = \frac{1}{2}(A+B)$ ,  $x = 1 - \frac{A}{B}$ .

Allerdings wird die direkte Messung einer so großen Dispersion und Absorption, wie sie hiernach in unmittelbarer Nähe der Absorptionslinien der Metaldämpfe auftreten kann, fast unmöglich sein, wie ja überhaupt eine quantitative Bestimmung der Dispersion und noch mehr der Absorption der Metaldämpfe sehr schwierig ist.

Fig. 1.



Ehe ich zu meinen Folgerungen aus den PLANCKSchen Dispersionstheorien übergehe, will ich noch auf eine Besonderheit im Verlauf des Maximums des Brechungsexponenten und des Extinktionsmoduls hinweisen:

Beim Maximum des Brechungsexponenten  $n$  ist der Verlauf der Kurve auf der Seite der längeren Wellen weniger steil als auf der Seite der kürzeren, während beim Maximum der Kurve



des Extinktionsmoduls  $n\kappa$  die Seite der längeren Wellen die steilere ist. Dieser Verlauf ist aus der nach den DRUDESchen Formeln berechneten Tabelle zu ersehen, folgt aber auch nach PLANCK aus der PLANCKschen Dispersionstheorie<sup>1)</sup>.

#### § 4. Folgerungen aus der Planckschen Dispersionstheorie.

Da die Voraussetzungen der PLANCKschen Dispersionstheorie am besten für gasförmige Körper zutreffen<sup>2)</sup>, so ist die Anwendung derselben auf einen Metaldampf von besonderem Interesse. Würde man die PLANCKsche Theorie auch auf feste und flüssige Körper anwenden, so würden sich etwas andere Folgerungen bezüglich der Eigenwellenlänge und der Absorption überhaupt ergeben als nach der DRUDESchen Dispersionstheorie<sup>3)</sup>. Jedenfalls ist die Dispersionstheorie von LORENTZ und die von PLANCK strenger als die von DRUDE<sup>4)</sup>.

<sup>1)</sup> M. PLANCK, Berl. Ber. 1905, S. 390.

<sup>2)</sup> Derselbe, ebenda 1903, S. 480 u. 1905, S. 382, 386 oben.

<sup>3)</sup> Derselbe, ebenda 1903, S. 490—492 und DRUDES Lehrb. d. Optik, 2. Aufl., S. 368—371, 376 unten, 1906. Das Maximum von  $n\kappa$  liegt nach der PLANCKschen Theorie (Berl. Ber. 1903, S. 486 oben; vgl. hierzu Anm. 1,

S. 48, § 4 meiner Arbeit) dicht bei  $\lambda_h = \frac{\lambda_0}{\sqrt{1-g}}$ , wo  $g$  der Dichte proportional ist, und verschiebt sich dementsprechend bei einer Änderung der Dichte. Auch nach der DRUDESchen Dispersionstheorie liegt das Maximum von  $n\kappa$  dicht bei  $\lambda_h$ , wie man aus dem von mir S. 48 angegebenen Vergleich der DRUDESchen mit den PLANCKschen Formeln erkennt. Nach der LORENTZ-PLANCKschen Theorie verschiebt sich  $\lambda_h$  nach dem Gesetz  $\lambda_h = \frac{\lambda_0}{\sqrt{1-g}}$ , während die Abhängigkeit des  $\lambda_h$  von der Dichte nach der DRUDESchen Dispersionstheorie zunächst unbestimmt ist, aber aus der Veränderung von  $\frac{n^2-1}{d}$  mit der Dichte (vgl. meine Diss., S. 25—40 und Ann. d. Phys. (4) 24, 682—689, 1907) gefolgert werden kann. Es ergibt sowohl die LORENTZ-PLANCKsche als die DRUDESche Theorie (bei Gasen und Flüssigkeiten) eine Verschiebung der Wellenlänge  $\lambda_h$  des Absorptionsmaximums nach Seite der längeren Wellen mit wachsender Dichte. Eine Entscheidung zwischen den Theorien von LORENTZ-PLANCK und DRUDE wäre möglich, sobald quantitative Messungen über die Änderung von  $\lambda_h$  mit der Dichte vorliegen; es müßten dann die beobachteten Änderungen von  $\lambda_h$  verglichen werden mit den aus  $\frac{\lambda_0}{\sqrt{1-g}}$  ( $\lambda_0$  von der Dichte unabhängig) und den aus der DRUDESchen Theorie folgenden.

<sup>4)</sup> DRUDES Lehrb. d. Optik, 2. Aufl., S. 368, 1906.

Nach der PLANCK'schen Dispersionstheorie gelten folgende Formeln für die Dispersion und Absorption<sup>1)</sup>:

$$n^2(1 - x^2) = 1 + \frac{\frac{3g}{1-g} \left( \lambda^2 - \frac{\lambda_0^2}{1-g} \right) \lambda^2}{\left( \lambda^2 - \frac{\lambda_0^2}{1-g} \right)^2 + \left\{ \frac{\sigma \lambda_0}{\pi(1-g)} \right\}^2 \lambda^2} \quad 14)$$

$$2n^2x = 2nx' = \frac{\frac{3g}{1-g} \cdot \frac{\sigma \lambda_0}{\pi(1-g)} \cdot \lambda^3}{\left( \lambda^2 - \frac{\lambda_0^2}{1-g} \right)^2 + \left\{ \frac{\sigma \lambda_0}{\pi(1-g)} \right\}^2 \lambda^2} \quad 15)$$

Hierin ist  $\lambda_0$  die Wellenlänge der Eigenschwingung des einzelnen isoliert gedachten Resonators<sup>2)</sup>,  $\sigma$  das als klein vorausgesetzte logarithmische Dekrement der Schwingungsamplitude eines einzelnen isolierten Resonators<sup>3)</sup>,  $g$  eine Größe kleiner als 1, welche bestimmt ist durch den Ausdruck:

$$g = \frac{\sigma N \lambda_0^3}{4 \pi^3}, \quad 16)$$

$N$  die Anzahl der Moleküle in 1 ccm,  $\Gamma = \sigma \lambda_0 / \pi$  ist unter gewissen Voraussetzungen eine  $\pi$  universelle Konstante<sup>4)</sup>, nämlich

$$\Gamma = 2 \pi \varrho, \quad 17)$$

wo  $\varrho$  der Radius des kugelförmig gedachten Elektrons (mit Oberflächenladung) ist. Mit  $\varrho = 10^{-13}$  cm wird die Größenordnung<sup>5)</sup> von  $\Gamma = 10^{-12}$  cm.

<sup>1)</sup> Abgeleitet aus der von PLANCK in den Berl. Ber. 1902, S. 488 angegebenen Formel.  $x$  bei PLANCK wurde in meiner Arbeit durch die Bezeichnung  $nx = x'$  ersetzt.

<sup>2)</sup> M. PLANCK, Berl. Ber. 1902, S. 490, Formel 28); Berl. Ber. 1903, S. 483 oben. Durch die Bedingung  $g < 1$  ist der Verteilungsdichtigkeit  $N$  der Moleküle von vornherein eine gewisse obere Grenze gesetzt. (PLANCK, Berl. Ber. 1902, S. 486 und 1903, S. 486 unten.)

<sup>3)</sup> M. PLANCK, Berl. Ber. 1902, S. 476 (§1), 485 und 491 oben und 1906, S. 483.

<sup>4)</sup> PLANCK gibt Berl. Ber. 1902, S. 491 für die dort erwähnten Voraussetzungen die Gleichung:  $\varrho = \frac{\sigma \lambda_0}{2 \pi^3}$  an.

<sup>5)</sup> Diese Größenordnung von  $\Gamma$  hat schon NATANSON angegeben: L. NATANSON, Bulletin de l'Académie des Sciences de Cracovie 1907, S. 316—354, bes. S. 324, 325 (dieselbe Arbeit in ZS. f. phys. Chem. 61, 321—355, 1907). NATANSON behandelt die Dispersionstheorien von LORENTZ, PLANCK

Durch Vergleich von 14) und 15) mit 9) und 10) erkennt man, daß

$$\frac{3g}{1-g}, \frac{\lambda_0}{\sqrt{1-g}}, \frac{\sigma\lambda_0}{\pi(1-g)} = \frac{\Gamma}{1-g} \text{ in 14) und 15)}$$

bzw. entsprechen

$$m_h, \lambda_h, g_h \text{ in 9) und 10).}$$

Sobald also  $m_h$  bekannt ist, kann die Konstante  $g$  der PLANCK'schen Theorie bestimmt werden: aus diesem  $g$  und aus der Wellenlänge  $\lambda_h$  des Maximums<sup>1)</sup> von  $\pi x$  kann  $\lambda_0$  berechnet werden nach

$$\lambda_0 = \lambda_h \cdot \sqrt{1-g} \quad (18)$$

$\sigma$  ist entweder durch die spezielle Voraussetzungen enthaltende Formel 17)  $\frac{\sigma\lambda_0}{\pi} = 2\pi\varrho$  bestimmt oder kann aus 16) berechnet werden, sobald man außer  $g$  und  $\lambda_0$  noch  $N$  kennt<sup>2)</sup>.

Nach den vorhergehenden Bemerkungen erhält man aus den in § 3, S. 41 angegebenen Konstanten

$$m_h = 0,000055 \text{ und } \lambda_h = 589,00 \mu\mu$$

die folgenden numerischen Werte für die Konstanten der PLANCK'schen Theorie:

$$\text{Aus } m_h = \frac{3g}{1-g} \text{ folgt } g = \frac{\frac{m_h}{3}}{1 + \frac{m_h}{3}} = 1,8 \cdot 10^{-5}; \text{ 18) ergibt}$$

$$\lambda_0 = \lambda_h - 0,9 \cdot 10^{-5} \cdot \lambda_h = 588,9947 \mu\mu.$$

$$\frac{\sigma\lambda_0}{\pi} = 10^{-12} \text{ ergibt } \sigma = 5,3 \cdot 10^{-8}.$$

und DRUDE, besonders eingehend die von H. A. LORENTZ, und gibt (§ 11, S. 327) einen übersichtlichen Vergleich zwischen den drei Dispersions-theorien.

<sup>1)</sup> Nach PLANCK ist die Wellenlänge  $\lambda_m$  des Maximums von  $\pi x$  (Berl. Ber. 1903, S. 485) bestimmt durch

$$\lambda_m^2 = \frac{\lambda_0^2}{1-g} \left( 1 - \frac{\sigma}{\pi \sqrt{3(1-g)}} \right); \lambda_m \text{ ist also nahe gleich } \lambda_h = \frac{\lambda_0}{\sqrt{1-g}}$$

<sup>2)</sup> PLANCK, Berl. Ber. 1902, S. 491 hat  $\sigma$  für  $\lambda_0 = 8,31 \cdot 10^{-6}$  cm berechnet aus bekanntem  $N$  und  $g$ . Umgekehrt berechne ich mit den von mir für den betrachteten Metaldampf gefundenen Konstanten  $\sigma = 5,3 \cdot 10^{-8}$  und  $g = 1,8 \cdot 10^{-5}$  aus 16) unter der speziellen Voraussetzung 17) die Zahl  $N = 2,1 \cdot 10^{17}$ .

$$\frac{g}{\sigma} = 340; \frac{\Gamma}{1-g} \text{ ist praktisch gleich } \Gamma = 10^{-12} \text{ cm.}$$

Der allgemeine Verlauf von  $n$  und  $n\kappa$  nach 14) und 15) ist der gleiche wie nach den DRUDESchen Formeln 9) und 10)<sup>1)</sup>, da ja insbesondere auch die Größenordnung von  $\Gamma = 10^{-12}$  cm ziemlich gut mit dem von mir nach der DRUDESchen Dispersions-  
theorie erhaltenen  $g_h = 10^{-11}$  cm übereinstimmt. Nur die Werte für das Maximum von  $n$  und  $n\kappa$ , sowie für das Minimum von  $n$  nach der PLANCKschen Dispersions-  
theorie differieren von den in der Tabelle (§ 3) angegebenen.

Nach den von PLANCK gegebenen Formeln<sup>2)</sup> ist das Minimum von  $n = 0,00047$  (bei  $\lambda = 588,988 \mu\mu$ ); das Maximum von  $n = 45,6$  (bei  $\lambda = \lambda_h + 2,9 \cdot 10^{-6} \mu\mu$ ) und das Maximum von  $n\kappa = 45,6$  (bei  $\lambda = \lambda_h - 2,9 \cdot 10^{-6} \mu\mu$ ).

Die Dispersion und Absorption in der Gegend von  $\lambda_h$  ist also nach der PLANCKschen Theorie noch größer als nach der DRUDESchen, da  $g_h$  nach der PLANCKschen Theorie  $= 10^{-12}$  cm kleiner ist als  $g_h$  nach der DRUDESchen Theorie. Das Gebiet der metallischen Absorption (d. h.  $n\kappa \geq 1$ ) erstreckt sich nach den PLANCKschen Formeln<sup>2)</sup> von 588,992 05 bis 589,000  $\mu\mu$ .

<sup>1)</sup> Vgl. die Tabelle in § 3.

<sup>2)</sup> Für das Gebiet um  $\lambda_h$  ergibt die erste PLANCKsche Theorie (Berl. Ber. 1902, S. 470—494 und 1903, S. 430—498) genau den gleichen Verlauf von  $n$  und  $n\kappa$  wie die zweite PLANCKsche Theorie, bei welcher an Stelle einer in der ersten Theorie benutzten Näherungsdifferentialgleichung die genaue Differentialgleichung benutzt wird (Berl. Ber. 1904, S. 740—750 und 1905, S. 382—394). Die Formel für das Minimum von  $n$  und dessen Wellenlänge findet man bei PLANCK, Berl. Ber. 1905, S. 388, die Formel für das Maximum von  $n$  und  $n\kappa$  bei PLANCK, Berl. Ber. 1905, S. 389. Die Wellenlänge für das Maximum von  $n\kappa$  wurde berechnet nach PLANCK, Berl. Ber. 1903, S. 485 und die Wellenlänge für das Maximum von  $n$  aus der bei PLANCK, Berl. Ber. 1905, S. 389 gegebenen Bedingung  $\alpha = -\frac{\beta}{\sqrt{3}}$ , aus

$$\text{welcher mit Vernachlässigung von Größen höherer Ordnung } \lambda^2 = \lambda_h^2 \left(1 + \frac{\alpha}{\pi \sqrt{3}}\right)$$

folgt.

<sup>3)</sup> Die „metallische Absorption“ ist definiert durch einen Extinktionsmodul  $n\kappa > 1$ ; das Gebiet der metallischen Absorption erstreckt sich von  $\lambda^2 = \frac{\lambda_0^2}{1+g}$  bis  $\lambda^2 = \frac{\lambda_0^2}{1-g}$ , mit Vernachlässigung von Größen höherer

Aus der strengeren Form der PLANCK'schen Dispersions-  
theorie<sup>1)</sup> leite ich das folgende Formelpaar ab:

$$n^2(1 - x^2) = 1 - \frac{3g \left( \lambda^2 - \frac{\lambda_0^2}{1-g} \right) \lambda^2}{\left( \lambda^2 - \frac{\lambda_0^2}{1-g} \right)^2 + \frac{\Gamma^2 \lambda^2}{(1-g)^2} \cdot \frac{\lambda_0^4}{\lambda^4}} \quad 19)$$

$$2n^2x = \frac{3g \cdot \frac{\sigma \lambda_0}{\pi(1-g)} \cdot \lambda^2}{\left( \lambda^2 - \frac{\lambda_0^2}{1-g} \right)^2 + \frac{\Gamma^2 \lambda^2}{(1-g)^2} \cdot \frac{\lambda_0^4}{\lambda^4}} \cdot \left( \frac{\lambda_0^2}{\lambda^2} \right), \quad 20)$$

wobei wie vorher  $\Gamma = \frac{\sigma \lambda_0}{\pi}$ .

Nach PLANCK ist bei seiner strengeren Theorie der Verlauf der Dispersionskurve im wesentlichen derselbe wie nach seiner 1902 aufgestellten Theorie [14) und 15)]. Dagegen differieren die mit 20) außerhalb des Absorptionsgebietes berechneten Werte des Extinktionsmoduls  $\pi x$  stark von den nach 15) berechneten, weil in 20) der Faktor  $\frac{\lambda_0^2}{\lambda^2}$  hinzugekommen ist, dessen Einfluß um so größer wird, je mehr  $\frac{\lambda_0}{\lambda}$  von 1 verschieden ist<sup>2)</sup>.

Ordnung (PLANCK, Berl. Ber. 1902, S. 493, 494 und 1903, S. 486 und 1905, S. 394). Ich bemerke hierzu, daß die Grenze des Streifens metallischer Absorption nach Seite der längeren Wellen bei etwas größerem  $\lambda$  als  $\frac{\lambda_0}{\sqrt{1-g}}$  liegt. Man ersieht dies aus der in § 3 von mir gegebenen Tabelle und aus der von PLANCK, Berl. Ber. 1903, S. 485, angegebenen Formel für den Extinktionsmodul bei  $\lambda^2 = \frac{\lambda_0^2}{1-g}$ .

<sup>1)</sup> Aus der Formel bei PLANCK, Berl. Ber. 1904, S. 747. In den Berl. Ber. 1905, S. 382—394 diskutiert PLANCK die normale und anomale Dispersion in nichtleitenden Medien auf Grund seiner strengeren Theorie, wobei er drei Fälle unterscheidet:  $\frac{g}{\sigma}$  groß gegen 1,  $\frac{g}{\sigma}$  klein,  $\frac{g}{\sigma}$  von mittlerer Größe.

Für den von mir betrachteten Fall ist  $\frac{g}{\sigma}$  groß gegen 1. ( $\frac{g}{\sigma} = 340$ ).

<sup>2)</sup> Im Gebiet der normalen Dispersion ist nach der ersten PLANCK'schen Theorie der Extinktionsmodul  $\pi x$  (PLANCK gebraucht hierfür die Bezeichnung Extinktionskoeffizient  $\pi$ ; Berl. Ber. 1902, S. 492 und 1903, S. 484):

$$\pi x = \frac{\sigma \lambda_0}{6\pi g \lambda} \frac{(n^2 - 1)^2}{n} = \frac{3 \sigma g \lambda_0 \lambda^2}{2\pi [\lambda^2(1-g) - \lambda_0^2]^2 \cdot [\lambda^2(1+2g) - \lambda_0^2]^2}$$

Dagegen stimmen die Formeln 19) und 20) überein mit 14) und 15) im Absorptionsstreifen, da in diesem  $\frac{\lambda_0}{\lambda}$  sehr nahe gleich 1 ist.

Die PLANCKsche und die DRUDEsche Theorie stimmen also bezüglich der Dispersionskurve und der Absorptionskurve eines Metaldampfes im Absorptionsstreifen fast vollkommen überein.

Der Vollständigkeit halber habe ich auch noch untersucht, welchen Wert der Größe  $g_h$  in 9) und 10) die LORENTZsche Theorie der Dispersion und Absorption ergibt. Die LORENTZsche Theorie ist die allgemeinste und ist ebenso wie die PLANCKsche Theorie strenger<sup>1)</sup> als die DRUDEsche Theorie. Die bei NATANSON<sup>2)</sup> angegebenen Formeln für die Dispersion und Absorption nach der LORENTZschen Theorie, in welchen die Frequenz der Schwingungen  $\left(= \frac{2\pi c}{\lambda}\right)$  vorkommt, habe ich auf die Form von 9) und 10) gebracht, welche die im Vakuum gemessenen Wellenlängen  $\lambda$  enthalten.

während nach der strengeren PLANCKschen Theorie für das Gebiet der normalen Dispersion die Ausdrücke gelten (Berl. Ber. 1904, S. 748 und 1905, S. 387):

$$n^2 = \frac{\sigma \lambda_0^2}{6\pi g \lambda^2} \frac{(n^2 - 1)^2}{n} = \frac{3 \sigma g \lambda_0^2 \lambda}{2\pi [\lambda^2(1 - g) - \lambda_0^2]^{\frac{1}{2}} \cdot [\lambda^2(1 + 2g) - \lambda_0^2]^{\frac{1}{2}}}$$

<sup>1)</sup> Wegen der Unterscheidung zwischen der elektrischen Feldstärke im Äther und der erregenden elektrischen Kraft. Ein Vergleich zwischen der LORENTZschen und der PLANCKschen Theorie findet sich z. B. bei PLANCK, Berl. Ber. 1902, S. 470—475, 490.

<sup>2)</sup> L. NATANSON, Bull. de l'Acad. d. Sciences de Cracovie 1907, S. 316—354, bes. S. 327, § 11, Gleichungen 1) bis 8). Für die von NATANSON mit  $F$  bezeichnete Größe berechne ich mit Berücksichtigung der Gleichung 23) meiner Arbeit:

$$F = \frac{4\pi^2 c^2}{\lambda_0^2 \lambda^2} \left\{ 1 + \frac{C^2 \lambda_0^2}{4\pi^2 c^2} - g(1 + \sigma) \right\} (\lambda^2 - \lambda_h^2).$$

Die Konstante  $\sigma$  in den von mir mit 21), 22), 23) bezeichneten Gleichungen ist definiert bei NATANSON, l. c. S. 319, § 4, Gl. 3) nach LORENTZ. Über die Konstante  $C$  vgl. die Angaben von NATANSON, S. 325, 326, § 10 und S. 353, 354, § 27. Wie ich durch Vergleich der von NATANSON, S. 319, § 4, Formel 2), angegebenen Gleichung mit der von mir in Ann. d. Phys. (4) 24, 675, Gl. 3), 1907, nach DRUDE angegebenen Bewegungsgleichung eines Elektrons fand, kann man den „Reibungskoeffizienten“  $r_h$  der DRUDEschen Theorie folgendermaßen durch  $C$  und die elektrostatisch gemessene Ladung  $e$  ausdrücken:

$$r_h = 2 C \cdot \frac{m}{e^2}.$$

$m_h$ ,  $g_h$  und  $\lambda_h$  in 9) und 10) können nach meinen Rechnungen, die ich hier nicht ausführlich wiedergeben will, in folgender Weise durch die Konstanten der LORENTZschen Theorie ausgedrückt werden:

$$m_h = \frac{3g}{1 - g(1 + \sigma) + \frac{\lambda_0^2 C^2}{4\pi^2 c^2}}, \quad (21)$$

$$g_h = \frac{C\lambda_0^2}{\pi c \left\{ 1 - g(1 + \sigma) + \frac{\lambda_0^2 C^2}{4\pi^2 c^2} \right\}}, \quad (22)$$

$$\lambda_h^2 = \frac{\lambda_0^2}{1 - g(1 + \sigma) + \frac{\lambda_0^2 C^2}{4\pi^2 c^2}}, \quad (23)$$

wobei

$$g = \frac{e^2 N \lambda_0^2}{3 \pi m c^2} \quad (e \text{ hier elektrostatisch gemessen.}) \quad (24)$$

Für den Metalldampf, dessen Dispersion und Absorption ich betrachtet habe, ist  $C^1)$  sicher kleiner als der von NATANSON angegebene Wert  $\sqrt{90} \cdot 10^9 \text{ sec}^{-1}$ , woraus dann folgt nach 22), daß  $g_h$  sicher kleiner ist als  $35 \cdot 10^{-11} \text{ cm}$ . Und dies stimmt mit der DRUDESchen und PLANCKschen Theorie überein.

### § 5. Zusammenfassung der Resultate.

An dem Beispiel eines Metalldampfes mit einem Absorptionsstreifen wurde gezeigt, daß sowohl nach der DRUDESchen als auch nach der PLANCKschen und LORENTZschen Theorie in den Absorptionsstreifen der Metalldämpfe der Brechungsexponent und der Extinktionsmodul Werte annehmen können, welche sämtliche bisher an festen und flüssigen Körpern beobachteten an Größe übertreffen. Außerdem können aber auch sehr kleine Brechungsexponenten (kleiner als 1) auftreten. Die Dispersion im Absorptionsstreifen übertrifft die Dispersion sämtlicher festen und flüssigen Körper. So springt z. B. nach der PLANCKschen Theorie

<sup>1)</sup> Nach NATANSON, l. c. S. 325, 326, § 10 ist  $C = 2\sqrt{2}\pi MR^2\alpha$  ( $\alpha$  the modulus of velocity,  $M$  the number of molecules per unit volume  $R$  the radius of the molecular „sphere of action“). Die numerischen Werte bei NATANSON, l. c. S. 354, beziehen sich auf  $H_2$  und  $CO_2$  bei  $0^\circ$  und 760 mm.

der Brechungsexponent in dem kleinen Intervall von  $588,988 \mu\mu$  bis  $589,00 + 2,9 \cdot 10^{-6} \mu\mu$  von  $0,00047$  auf  $45,6$  und das Maximum des Extinktionsmoduls bei der Wellenlänge  $(589 - 2,9) 10^{-6} \mu\mu$  ist  $45,6^1$ ).

---

<sup>1)</sup> Ein Extinktionsmodul  $nx = 45,6$  bedeutet: Die Intensität des einfallenden Lichtes wird nach Durchlaufen der Strecke  $\lambda = 589,00 \mu\mu$  auf das  $1/10^{45,6}$  fache ihres ursprünglichen Wertes geschwächt.  $nx = 13,9$  würde einem größeren Durchlässigkeitsfaktor entsprechen:  $1/10^6$ . Aber auch dieser ist verschwindend klein (für die Schichtdicke  $589 \mu\mu$ !). Also schon für Schichtdicken von der Größenordnung  $589 \mu\mu$  ist die Intensität des durchgegangenen Lichtes von der Wellenlänge, welche genau dem Absorptionsmaximum des Dampfes entspricht, praktisch gleich Null.

München, Physikalisches Institut der Technischen Hochschule, 4. Januar 1908.



**Die Quecksilberfunkenstrecke  
und ihre Verwendung zur Erzeugung schwach  
gedämpfter elektrischer Wellen;**

**von Br. Glatzel.**

(Vorläufige Mitteilung.)

(Vorgetragen in der Sitzung vom 7. Febr. 1908; eingegangen am 30. Jan. 1908.)

(Vgl. weiter unten.)

Das Ziel zahlreicher neuerer Untersuchungen auf dem Gebiete der Erzeugung elektrischer Schwingungen ist ungedämpfte oder sehr schwach gedämpfte Wellen herzustellen. Zur Erreichung desselben sind die verschiedensten Wege vorgeschlagen worden. In der vorliegenden Arbeit, welche die Erzeugung schwach gedämpfter Schwingungen behandelt, wird zu diesem Zweck die von COOPER HEWITT angegebene Quecksilberfunkenstrecke benutzt. Mit ihrer Hilfe ist es nämlich möglich, den Fall der elektrischen Stoßerregung eines sekundären Schwingungskreises fast vollkommen zu verwirklichen. Die hierbei sich ergebenden Verhältnisse sind folgende:

In einem primären Erregerkreise wird Schwingungsenergie so erzeugt, daß sie sich nicht in Form einer mehr oder weniger stark abklingenden Schwingung ausgleicht, sondern so, daß die Schwingung sofort nach der ersten Viertelperiode wieder erlischt. Der sekundäre mit dem Erregerkreis gekoppelte Sendekreis erhält in diesem Falle nur einen einzigen kräftigen Anstoß. Er gerät infolgedessen in Schwingungen, welche gleich seinen Eigenschwingungen und ebenso wie diese gedämpft sind. Stellt man sich nun diesen sekundären Schwingungskreis mit einer sehr geringen Dämpfung her, was ja ohne Schwierigkeit möglich ist, da er keine Funkenstrecke enthält, so kann man auf diese Weise außerordentlich schwach gedämpfte Wellen erzeugen. Die Kopplung zwischen Primär- und Sekundärkreis kann in diesem Falle sehr eng gewählt werden, um die volle Stoßenergie in den Sekundärkreis zu übertragen, ohne daß eine Rückwanderung der

Energie stattfindet, da ja der primäre Kreis offen ist. Bei diesem idealen Falle der Stoßerregung ist eine Abstimmung der beiden Kreise weder mehr möglich noch erforderlich.

Auch die WIENSche Theorie der gekoppelten Kreise<sup>1)</sup> ergibt das gleiche Resultat. Nach dieser ist das Dekrement der in einem Sekundärkreis erzeugten Schwingung bei stark gedämpftem Erregerkreis

$$\delta_2 = \delta_{o_2} + \frac{\pi^2 k^2}{\delta_{o_1} - \delta_{o_2}},$$

wo  $\delta_{o_1}$  und  $\delta_{o_2}$  die Eigendämpfungen der beiden Kreise,  $k$  den Koppelungskoeffizienten bedeuten. Macht man nun, wie oben angegeben, die Dämpfung des Primärkreises  $\infty$ , so verschwindet das zweite Glied der Gleichung auch bei engster Koppelung, und man erhält im Sekundärkreis eine Schwingung von der Eigendämpfung  $\delta_{o_2}$  dieses Kreises.

Die gewünschte Stoßerregung war nun entweder so zu versuchen, daß man künstlich den Primärkreis stark dämpft, etwa durch Einschalten von Widerstand<sup>2)</sup>, oder aber einen Oszillator benutzt, welcher nicht imstande ist, die Oszillationen zu unterhalten. Diese letztere Bedingung erfüllt unter bestimmten Verhältnissen die Quecksilberfunkenstrecke<sup>3)</sup>. Eine solche bleibt für den elektrischen Strom und damit auch für die Schwingungen nur so lange leitend, als durch den Strom noch genügende Mengen Quecksilberdampf entwickelt werden, welche die Gasstrecke ausfüllen und leitend machen. Sinkt die Stromstärke unter ein gewisses Maß, so daß die Elektroden nicht mehr kräftig genug erhitzt werden, so hört die Entwicklung der Quecksilberdämpfe auf und die Funkenstrecke verliert fast augenblicklich ihre Leitfähigkeit. Die Funkenstrecke setzt erst dann wieder ein, wenn sie von neuem gezündet wird. Die erforderliche Zündspannung ist außerordentlich abhängig von dem Vakuum und ändert sich innerhalb sehr weiter Grenzen. Die bei meinen Vakuumfunkenstrecken

<sup>1)</sup> M. WIEN, Wied. Ann. 61, 151, 1897. In der obigen Gleichung sind die neuerdings von WIEN benutzten übersichtlicheren Bezeichnungen gewählt.

<sup>2)</sup> M. WIEN, Phys. ZS. 9, 49, 1908.

<sup>3)</sup> Wie mir in den letzten Tagen von der Gesellschaft für drahtlose Telegraphie (Telefunken) mitgeteilt wurde, ist dieses Verfahren auch in deren Laboratorium auf Anregung von A. RENDAHL ausprobiert worden und bildet den Gegenstand einer demnächst zu veröffentlichenden Patentanmeldung.

benötigten Zündspannungen lagen zwischen 2000 und 8000 Volt, wobei das verwendete Vakuum vor Inbetriebsetzung der Funkenstrecken durchschnittlich 0,0003 mm betrug. Um nun dem Falle der Stoßerregung so nahe wie möglich zu kommen, muß man dafür sorgen, daß die Stromstärke in der Quecksilberfunkenstrecke, bzw. ihr quadratischer Mittelwert, schnell unter den erforderlichen Mindestbetrag sinkt. Dies läßt sich z. B. durch starke Energieentziehung bei enger Koppelung des Primär- und Sekundärkreises erreichen, und soll im folgenden eingehender untersucht werden.

Eine Bemerkung über das Verschwinden der Leitfähigkeit in einer Quecksilberlampe bzw. Funkenstrecke möge an dieser Stelle noch angefügt werden, obwohl die hierüber schwebenden Untersuchungen zurzeit noch nicht zum Abschluß gelangt sind. Wenn man von besonderen Anordnungen absieht, so ist es nicht möglich, eine Quecksilberlampe mit Wechselstrom etwa von 50 Perioden zu brennen, da stets in dem Augenblick, in welchem der Strom durch Null geht, die Lampe erlischt, weil der Gasraum seine Leitfähigkeit verliert. Die Zeit, welche bis zum völligen Verschwinden der Leitfähigkeit vergeht, ist eine sehr kurze, insbesondere im Verhältnis zu der Änderungsgeschwindigkeit der Momentanwerte des Stromes bei 50 Perioden und Sinusform; der Strom hat noch nicht wieder einen genügend hohen Wert erreicht, wenn die Leitfähigkeit bereits verschwunden ist. Eine langsame Stromschwingung kann also nie in der Lampe bestehen bleiben. Ganz anders dagegen liegen die Verhältnisse bei den schnellen Schwingungen. Bei diesen ist die Rückkehrzeit der Leitfähigkeit gegenüber der Änderungsgeschwindigkeit der Momentanwerte des Stromes und der Periodenzahl ziemlich groß; infolgedessen hat der Strom bereits wieder einen genügend hohen Wert erreicht, bevor die Leitfähigkeit vollkommen verschwunden ist, die Lampe erlischt nicht. Daher können auch in einer Quecksilberlampe in diesem Falle stets Schwingungen bestehen. Ein Erlöschen der Lampe tritt hier erst dann ein, wenn infolge der Dämpfung der Schwingungen der quadratische Mittelwert des Stromes unter den erforderlichen Mindestwert gesunken ist. Eine andere Erklärung für das Bestehen schneller Schwingungen, bei welcher man keine Trägheit der Lampe anzunehmen braucht, wäre die, daß in jeder Halbperiode Neuzündungen eintreten.

Welche von beiden Anschauungen die richtige ist, konnten die bisherigen Beobachtungen mit dem GEHRCKESchen Glimmlichtoszillographen noch nicht sicher entscheiden.

Bevor ich nun zu den Versuchen in den Schwingungskreisen selbst übergehe, mögen einige Bemerkungen über die Konstruktion der verwendeten Quecksilberfunkenstrecken vorausgeschickt werden.

### **Die Konstruktion der Funkenstrecken.**

Im Prinzip war die Form der Vakuumfunkenstrecken dieselbe, wie sie bereits COOPER HEWITT angegeben: An eine größere Kühlkammer von 180 mm Durchmesser waren unten die beiden mit Quecksilber gefüllten Elektrodengefäße angesetzt. Die ersten Funkenstrecken, welche ich benutzte, waren aus gewöhnlichem Thüringer Glas hergestellt. Es zeigte sich jedoch bald, daß derartige Röhren bereits nach kurzer Betriebszeit, insbesondere bei starker Strombeanspruchung, so hart wurden, daß keine Entladungen mehr hindurchgingen. Als wesentlich konstanter in bezug auf das Vakuum erwiesen sich Funkenstrecken, welche vollständig aus Bleiglas hergestellt waren. Allerdings änderten sie sich ebenfalls bei längerer Betriebsdauer, jedoch wurden sie im Gegensatz zu den Funkenstrecken aus Thüringer Glas dauernd weicher. Im allgemeinen dürfte es sich daher empfehlen, für Quecksilberfunkenstrecken stets Bleiglas zu verwenden. Um diese für längeren Betrieb brauchbar zu machen, habe ich sie dann noch mit einer Vakuumregulierung versehen, weil auch die Vergrößerung der Kühlkammer in bezug auf die Konstanz des Vakuums wenig Erfolg zeitigte. Von den zahlreichen bei Röntgenröhren benutzten Regulierungen erwies sich keine als besonders zweckmäßig, insbesondere durfte keine Vorrichtung, welche Aluminiumelektroden enthielt, verwendet werden, da das Quecksilber sich mit dem Aluminium zu einem weißen, faserigen Körper verband, welcher das Quecksilber in den Elektrodengefäßen verunreinigte. Als günstigste Vakuumregulierung dieser Art erwies sich ein dünner Kohlestift in Platinfassung als Anode und ein Platinblech als Kathode. Beide befanden sich in einer kleinen Nebenröhre und wurden nach Bedarf mit den entsprechenden Polen in Verbindung gebracht. Die Kohle gibt dann, zum Teil wohl infolge der Er-

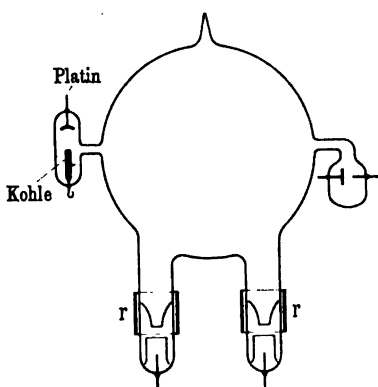
wärmung durch den Strom, Luft ab, das eventuell zum Glühen gebrachte Platinblech nimmt dieselbe auf. Eine andere günstigere, weil weitgehende, Vakuumregulierung bestand darin, daß mit der Kühlkammer ein nach DEWAR mit Kokosnußkohle gefülltes Gefäß in Verbindung gebracht wurde. Erwärmte man dieses, so wurde Luft frei, kühlte man es mit flüssiger Luft ab, so wurde Luft absorbiert und das Vakuum stieg. Natürlich ist diese Art der Vakuumregulierung im allgemeinen nur im Laboratorium anwendbar, leistet aber stets dann angenehme Dienste, wenn man sich von der dauernden Verwendung einer Quecksilberluftpumpe frei machen will.

Eine dritte Methode zur Regulierung des Entladungspotentials der Quecksilberfunkenstrecke wird weiter unten beschrieben werden.

Neben der starken Änderung des Vakuums mit längerer Betriebszeit zeigte sich an den Röhren auch noch folgender Nachteil:

Die Entladung in der Funkenstrecke geht stets von einem Punkte der Quecksilberoberfläche, ihrem Fußpunkte, aus. Ist das

Fig. 1.



Quecksilber vollkommen rein, so springt die Entladung fortwährend auf der ganzen Oberfläche herum. Erwärmt sich nun die Röhre mehr und mehr infolge des Stromdurchganges, so bilden sich insbesondere an der Berührungslinie von Glaswandung und Quecksilber Verunreinigungen, was zur Folge hat, daß der Fußpunkt der Entladung sich sofort an einer solchen Stelle festsetzt und dauernd dort verbleibt. Nach kurzer Zeit ist das Glas an dieser

Stelle so stark erhitzt, daß es entweder springt oder schmilzt. Um nun einerseits dieses Zerstören der Glaswandung zu verhindern, andererseits auch ein häufiges Erneuern der Quecksilberoberfläche zu ermöglichen, habe ich die in Fig. 1 dargestellte Anordnung gewählt, welche sich bisher recht bewährt hat<sup>1)</sup> und auch eine für

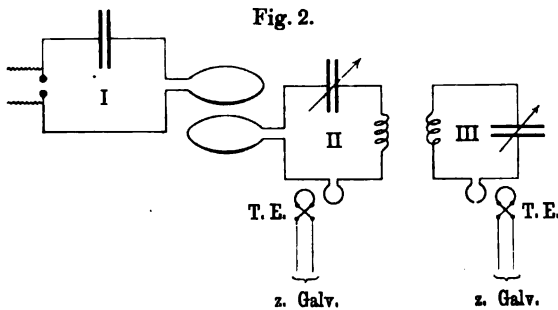
<sup>1)</sup> Der Glasbläser KESSLER, Charlottenburg, Marchstr. 11, fertigt diese Quecksilberfunkenstrecken an.

Meßzwecke gute Konstanz der Energie der Funkenstrecke für längere Zeit gewährleistet. In die Elektrodengefäße sind kleine Becher eingeschmolzen, in deren Inneres der Zuführungsplatin-draht hineinragt. Etwas oberhalb der Becher befinden sich kleine Trichter, welche seitlich an der Wand noch ein Loch haben. Will man nun das Quecksilber in die Becher der Elektrodengefäße hineinbringen, so kippt man zunächst die Röhre um; das Quecksilber fließt zum Teil durch die Trichter, zum Teil durch die seitlichen Öffnungen in die Kühlkammer und kann dann von dort durch Zurückkippen in der gewünschten Menge in die Becher der Elektrodengefäße hineingebracht werden. Dieses Verfahren wiederholt man, sobald eine Erneuerung der Oberfläche des Quecksilbers erforderlich ist.

Derartige Funkenstrecken hatte ich oft wochenlang in Betrieb, ohne daß sie zerstört wurden. Allerdings bietet selbst die obige Anordnung, deren Zweck natürlich auch durch andere Formen der Elektrodengefäße erreicht werden kann, beim Durchsenden sehr großer Energiemengen, wie es z. B. in der Praxis der drahtlosen Telegraphie geschieht, keine durchaus sichere Gewähr gegen ein Zerspringen der Röhren.

### Versuchs-anordnung.

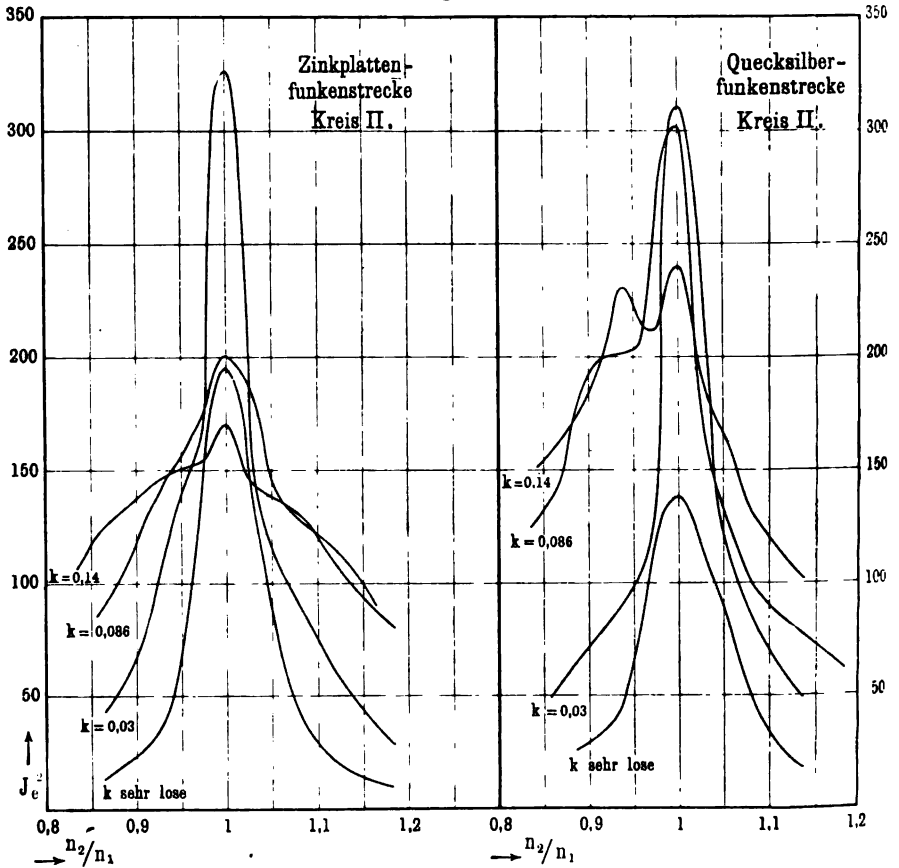
Die Quecksilberfunkenstrecke befand sich in einem Primärkreis I, welcher je nach Bedarf induktiv oder galvanisch mit dem



zweiten Kreise, der einen regulierbaren Plattenkondensator mit Paraffinölfüllung enthielt, gekoppelt wurde. Die Koppelung beider Kreise I und II konnte innerhalb weiter Grenzen verändert werden. Zur Feststellung der Zahl und des Verlaufs der Wellen in

den gekoppelten Kreisen I und II wurde ein mit II sehr lose gekoppelter Meßkreis III benutzt. In den Kreisen II und III befanden sich induktiv gekoppelt je ein empfindliches Thermo-

Fig. 3.



element, das seinerseits wieder mit einem DEPREZ-Spiegelgalvanometer von SIEMENS und HALSKE in Verbindung stand. Die Quecksilberfunkenstrecke konnte auch durch eine Zinkplattenfunkenstrecke ersetzt werden. Die Aufnahme der Resonanzkurven, welche in der üblichen Weise mittels der Kreise II und III erfolgte, geschah stets bei den einzelnen Koppelungen nacheinander für die beiden Funkenstrecken, um deren verschiedenes Verhalten darzulegen.

Fig. 3 gibt den Verlauf der Resonanzkurven, aufgenommen mit Kreis II für magnetische Koppelung der Kreise I und II. Aus den Kurven folgt zunächst in bezug auf die Energieaufnahme des Kreises II, daß es wie für die Luftfunkenstrecke, so auch für die Quecksilberfunkenstrecke eine günstigste Koppelung gibt ( $K=0,03$ ). Diese ist ungefähr dann erreicht, wenn gerade im Kreise II zwei Wellen auftreten. Bei einer weiteren Verstärkung der Koppelung ergibt sich wieder eine schwache Verringerung der Energieaufnahme, während die Form der Resonanzkurven stark verzerrt wird, so daß bei  $k=0,14$  sogar zwei Maxima auftreten. Aus der Tatsache des Vorhandenseins einer günstigsten Koppelung geht hervor, daß im Kreise I doch noch einige Oszillationen auftreten, der Kreis also nicht sofort nach dem ersten Anstoß geöffnet wird. Auch der Umstand, daß sich mit Kreis II überhaupt Resonanzkurven aufnehmen lassen, zeigt, daß die Quecksilberfunkenstrecke noch keine ganz reine Stoßerregung gibt. Entsprechend ergaben die Beobachtungen mit dem Glimmlichtoszillographen <sup>1)</sup> folgendes:

Bei loser Koppelung der Kreise I und II war eine größere Anzahl Oszillationen in I zu beobachten. Je enger dann die Koppelung gemacht und je mehr Energie durch Kreis II entnommen wurde, um so geringer wurde die Zahl der Oszillationen und um so kürzer damit auch die Zeit, welche vom Einsetzen der Oszillationen bis zur Öffnung des Kreises I verging.

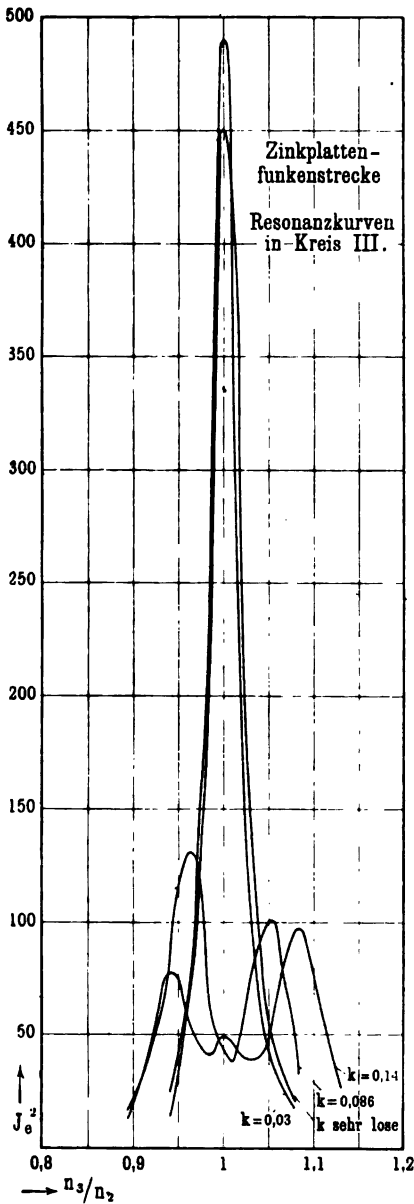
Über die im Kreise II entstehenden Schwingungen geben nun Fig. 4 und 5 Aufschluß. Diese mit dem Meßkreis III aufgenommenen Resonanzkurven lassen das gänzlich andere Verhalten einer Quecksilberfunkenstrecke im Vergleich zu einer Luftfunkenstrecke deutlich hervortreten. Es sind wiederum für die verschiedenen Koppelungen zwischen den Kreisen I und II die Resonanzkurven angegeben. Bei sehr loser Koppelung ist bei beiden Funkenstrecken im Kreise II nur eine einzige Welle vorhanden. Verstärkt man nun die Koppelung, so treten bei der Luftfunkenstrecke, wie es auch der Theorie entspricht, zwei Wellen im Kreise II auf, deren Schwingungszahlen immer weiter auseinander-

---

<sup>1)</sup> Dank dem lebenswürdigen Entgegenkommen des Herrn H. DIESSELHORST von der Physikalisch-Technischen Reichsanstalt war es mir möglich, diese Beobachtungen mit dem dortigen Glimmlichtoszillographen vorzunehmen.



Fig. 4.



rücken. Die Quecksilberfunkenstrecke dagegen ergibt wenigstens bei den bisher von mir verwendeten engsten Koppelungen stets nur eine einzige Welle. Ihre Dämpfung ist nahezu konstant und gleich der Eigendämpfung des Kreises II, eine Tatsache, welche wiederum durch die Beobachtungen mit dem Glimmlichtoszillographen ihre Bestätigung fand. In Übereinstimmung mit obigem konnten auch bei engster Koppelung nie Schwebungen beobachtet werden, wie sie z. B. bei Luftfunkenstrecken stets auftreten<sup>1)</sup>.

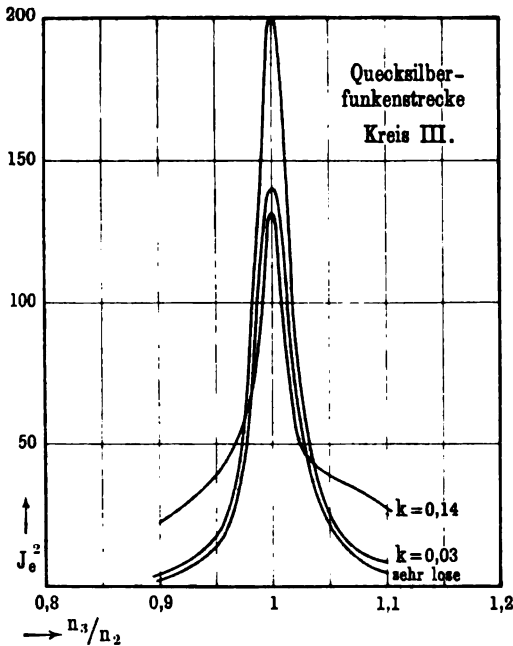
Die gleichen Resultate ergaben die Messungen bei galvanischer Koppelung, bei welcher es möglich war, zu noch größeren Koppelungskoeffizienten zu kommen ( $k = 0,24$ ). Bei diesen habe ich dann auch neben dem Hauptmaximum der Resonanzkurve noch zwei ganz schwache Nebenmaxima erhalten, welche den beiden Wellen bei der Luftfunkenstrecke entsprachen, so daß diese letzteren sich also bei sehr enger Koppelung auch

<sup>1)</sup> H. DIESELHORST, Verh. d. D. Phys. Ges. 8, 318—320, 1907.

bei der Quecksilberfunkenstrecke, wenn auch außerordentlich schwach, bemerkbar machen. Die Hauptwelle hatte wiederum eine Dämpfung nahezu gleich der Eigendämpfung des Kreises II.

Aus dem Vorstehenden ergibt sich also, daß die Quecksilberfunkenstrecke die Möglichkeit bietet, die volle Schwingungsenergie eines primären Kreises auf einen sekundären Sendekreis zu übertragen, so, daß sie sich in dem letzteren mit der Eigendämpfung

Fig. 5.



dieses Kreises ausschwingt. Die von dem Sendekreis in den Raum gesandten elektrischen Wellen besitzen daher ebenfalls eine sehr schwache Dämpfung und eignen sich in besonders hohem Maße für die Verwendung in der drahtlosen Telegraphie. Hierzu kommt dann noch die Eigenschaft der Quecksilberfunkenstrecke, eine wesentlich größere Zahl von Partialentladungen zu geben, so daß infolgedessen auch die ausgesandte Energiemenge gegenüber derjenigen bei einer Luftfunkenstrecke beträchtlich höher ist.

Für Messungen, welche die Ermittlung der Eigendämpfung einer Quecksilberfunkenstrecke zum Ziel haben, ergibt sich ferner als erste Vorbedingung, daß dem primären Kreise durch den Meßkreis keine nennenswerte Energie entzogen werden darf, weil hierdurch die Zahl der primären Oszillationen und damit die scheinbare Dämpfung der Funkenstrecke verändert wird. Es ist sehr wohl möglich, daß sich auf die nicht genügend strenge Beachtung dieser Tatsache die zum Teil sich widersprechenden Angaben verschiedener Forscher über die Dämpfung der Quecksilberfunkenstrecke zurückführen lassen. Die Dämpfung bei stärkeren Koppelungen aber, welche ja nach den obigen Untersuchungen für die Erzeugung schwach gedämpfter Wellen von weit größerem Interesse ist, läßt sich durch Aufnahme von Resonanzkurven nicht mehr recht bestimmen. Man wird daher hierfür zweckmäßiger zu der von DIESELHORST angegebenen photographischen Aufnahme des Schwingungsverlaufes mit dem GEHRCKESchen Glimmlichtoszillographen übergehen.

Es mögen ferner einige Messungen mitgeteilt werden, welche den Einfluß eines elektrostatischen Feldes auf das Entladepotential in der Quecksilberfunkenstrecke darstellen:

Um den geraden Teil der Elektrodengefäße wurden außen zwei in den Vertikalen geschlitzte Messingringe  $rr$  (Fig. 1) herumgelegt. Dieselben konnten durch Verschieben mit ihrer Unterkante der Oberfläche des Quecksilbers genähert oder von derselben entfernt werden. Es wurden dann mit einem BRAUNschen Elektrometer die Entladungspotentiale für den Eintritt von Schwingungen gemessen:

- I. wenn beide Außenbelegungen  $rr$  miteinander verbunden,
- II. wenn sie auf dasselbe Potential wie die zugehörige Quecksilberelektrode,
- III. wenn sie auf das entgegengesetzte Potential wie die zugehörige Elektrode geladen waren.

Die nachfolgende Tabelle ergibt die in den verschiedenen Fällen gemessenen Potentiale:

- A. wenn der untere Rand der Außenbelegung sich in gleicher Höhe mit der Quecksilberoberfläche,
- B. wenn derselbe in einem Abstand von etwa 2 mm sich befand.

| A           | B           |
|-------------|-------------|
| I 2100 Volt | I 2100 Volt |
| II 3400 "   | II 2850 "   |
| III 1250 "  | III 1500 "  |

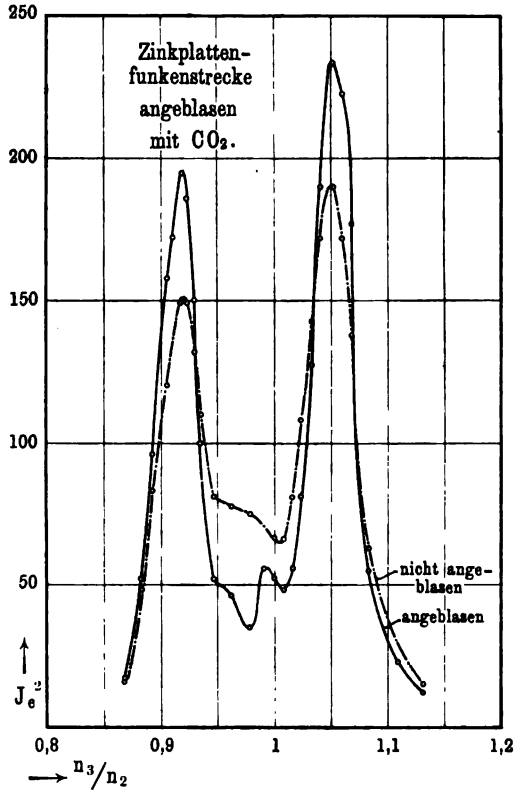
Hieraus ergibt sich die Möglichkeit, das Entladungspotential einer Quecksilberfunkenstrecke innerhalb ziemlich weiter Grenzen zu verändern. Trifft man dann noch zu diesem Zwecke die Anordnung so, daß die Außenbelegungen von einem besonderen regulierbaren Spannungstransformator, welcher mit dem Haupttransformator in Reihe liegt, geladen werden, so kann man sich verhältnismäßig leicht das gewünschte Entladungspotential herstellen, ohne von dem jeweiligen Vakuum abhängig zu sein.

Zum Schluß will ich noch einen Versuch erwähnen, welchen ich mit der Zinkplattenfunkenstrecke vorgenommen habe, um festzustellen, ob ein schnelleres Beseitigen der in der Funkenstrecke nach jeder Entladung befindlichen leitenden Gase das Auftreten der Eigenschwingung des Kreises II begünstigt in Analogie mit der Quecksilberfunkenstrecke. Dieses mußte sich dadurch zeigen, daß außer den beiden Wellen, welche in Kreis II bei enger Koppelung vorhanden sind, noch eine Welle der Eigenschwingung entsprechend auftritt, wie es WIEN<sup>1)</sup> z. B. in besonders starkem Maße bei den Zischfunkenstrecken beobachtet hat. Es wurde zu dem Zwecke gegen die Funkenstrecke ein sehr kräftiger Kohlensäurestrom geblasen. Die Aufnahme der Resonanzkurven mit Kreis III geschah dann in der Weise, daß für jede Kondensatoreinstellung der Ausschlag am Galvanometer ermittelt wurde nacheinander für die angeblasene und nicht angeblasene Funkenstrecke. Die beiden Kurven der Fig. 6 zeigen, daß deutlich die Eigenschwingung des Kreises II auftritt. Ob nun der Grund hierfür in dem schnelleren Nichtleitendwerden der Funkenstrecke zu suchen ist oder aber darin, daß die Oszillationen des Funkens und damit die Schwingungen des Primärkreises lediglich reiner werden, möchte ich vorläufig noch nicht entscheiden.

<sup>1)</sup> M. WIEN, Phys. ZS., 7, 871, 1906.

Bei weiteren Koppelungen ( $K = 0,03$ ), bei welchen ich sonst stets nur eine Welle erhielt, konnte ich durch das Anblasen noch zwei eng nebeneinander liegende Wellen erhalten.

Fig. 6.



Die vorstehenden Untersuchungen wurden im Privatlaboratorium des Herrn Ministerialdirektor Dr. MICKE ausgeführt. Es sei mir auch an dieser Stelle gestattet, diesem für die große Liebenswürdigkeit, mit der er mir alle erforderlichen Apparate zur Verfügung stellte, meinen verbindlichsten Dank auszusprechen.

**Zur Berechnung photochemischer Reaktionen;  
von A. Byk.**

(Vorläufige Mitteilung<sup>1)</sup>).

(Vorgetragen in der Sitzung vom 24. Januar 1906.)

(Vgl. oben S. 33.)

Zur Ableitung von experimentell prüfbareren Gleichungen für die Reaktionsgeschwindigkeit und das Gleichgewicht im Lichte kann man von der durch die elektromagnetische Lichttheorie nahegelegten Auffassung der photochemischen Wirkung als einer Art Elektrolyse<sup>2)</sup> ausgehen. Dabei soll zunächst ein rein thermodynamischer Ansatz gemacht werden, indem man nach Analogie des Reststromes in der gewöhnlichen Elektrolyse annimmt, daß die vom Strom geleistete chemische Arbeit einfach proportional der verbrauchten Energie des Lichtes sei<sup>3)</sup>. Die chemische Arbeit werde im einzelnen Falle in üblicher Weise unter Anwendung der osmotischen Gesetze berechnet. Dies führt bei Anwendung auf die Versuche von LUTHER und WEIGERT<sup>4)</sup> über die Photopolymerisation des Anthracens in verdünnter Lösung für den Gleichgewichtszustand zu einer Beziehung zwischen den Konzentrationen des Anthracens und Dianthracens im Lichte, welche außer Größen, die sich auf den Dunkelzustand beziehen, nur den Ausdruck  $\alpha E_A$ , denjenigen Bruchteil der gesamten vom Anthracen in der Zeiteinheit absorbierten strahlenden Energie  $E_A$ <sup>5)</sup> enthält, welcher in chemische Arbeit verwandelt wird.

<sup>1)</sup> Die Arbeit erscheint demnächst ausführlich in der ZS. f. phys. Chem.

<sup>2)</sup> Siehe z. B. NERNST, Theoretische Chemie, 5. Aufl., S. 765 und J. ROSENTHAL, Berl. Ber. 1903, S. 26.

<sup>3)</sup> Eine Berücksichtigung der Strahlungstemperatur nach WARBURG (Diese Verh. 9, 753, 1907) ist hier nicht erforderlich, weil bei allen später zu vergleichenden Versuchen die Strahlungstemperatur die gleiche ist.

<sup>4)</sup> ZS. f. phys. Chem. 51, 297, 1905 und 53, 385, 1905. Diese Arbeiten sind im folgenden nur mit Bandnummer und Seitenzahl zitiert.

<sup>5)</sup> Er läßt sich mit der gesamten absorbierten Energie in Beziehung setzen, da LUTHER u. WEIGERT (53, 407) die Extinktionskoeffizienten von Anthracen, Dianthracen und Lösungsmittel (Phenetol) bestimmt haben.

Die Gleichung lautet:

$$kDV \left[ \varepsilon + RT \ln \left( \frac{D}{A} \right) \right] = \alpha E_A. \quad 1)$$

Dabei ist  $k$  die Geschwindigkeitskonstante der praktisch im Dunkeln unumkehrbaren <sup>1)</sup> Dunkelreaktion erster Ordnung  $C_{28}H_{20} \rightarrow 2C_{14}H_{10}$ ,  $D$  und  $A$  die Konzentrationen des Dianthracens und Anthracens in Grammolekülen per Cubikcentimeter,  $V$  das Gesamtvolumen der Lösung,  $\varepsilon$  die Arbeit, welche erforderlich ist, um 2 g-Mol. Anthracen von der Konzentration 1 g-Mol. in 1 ccm überzuführen in 1 g-Mol. Dianthracen der Konzentration von ebenfalls 1 g-Mol. in 1 ccm,  $R$  die Gaskonstante ( $82,6 \cdot 10^6$  in absolutem Maß),  $T$  die absolute Temperatur. Alle Größen seien in absolutem Maße gemessen. An unbekanntem Größen tritt in der Gleichung 1) außer  $\alpha E_A$  nur noch  $\varepsilon$  auf. Aus zwei Wertepaaren von  $D$  und  $A$  (Gleichgewichtskonzentrationen des Dianthracens und Anthracens) für die gleiche Lichtmenge und das gleiche Gesamtvolumen <sup>2)</sup> mögen die beiden Größen ermittelt werden. Es ergibt sich  $\varepsilon = 72,68 \cdot 10^{10}$  Erg = 17206 g-cal, bezogen auf konstanten osmotischen Druck; für konstantes Volumen bekommt man  $\varepsilon_v = 70,16 \cdot 10^{10}$  Erg = 16610 g-cal. Dieser Wert läßt sich mit Hilfe seiner physikalischen Bedeutung in der Weise kontrollieren, daß man aus den Bindungsverhältnissen des Dianthracens und Anthracens thermochemisch einen Wert für die Größenordnung der Umwandlungsarbeit herleitet. Unter vorläufiger Annahme der Umwandlung von Äthylen- in Acetylenbindungen bei der Polymerisation erhält man dafür den Wert 26540 g-cal <sup>3)</sup> (bezogen auf konstantes Volumen), welcher zeigt, daß die errechnete Umwandlungsarbeit einen vernünftigen Sinn hat. Das will um so mehr besagen, als der rechenmäßig ermittelte Wert von  $\varepsilon$  zunächst jeden beliebigen Betrag annehmen

<sup>1)</sup> 51, 306.

<sup>2)</sup> Es sind dies die der Versuchsreihe Tab. I auf S. 386 (LUTHER u. WEIGERT, ZS. f. phys. Chem. 53) entsprechenden Mittelwerte von Lichtmenge und Volumen. Dabei ist gesetzt:  $d$  (Entfernung der Vorderwand des Belichtungsgefäßes von der Bogenlampe) = 16 cm, der Radius des Bestrahlungsgefäßes = 1 cm, das Gewicht der Flüssigkeit  $g = 26,0$  g, die Höhe des Flüssigkeitszylinders  $h = 5$  cm, die Temperatur = 167° C.

<sup>3)</sup> Positiv muß die bei der Polymerisation zu leistende Arbeit jedenfalls sein, da Dianthracen freiwillig vollständig in Anthracen zurückgeht.

könnte. Zur weiteren Kontrolle wird aus  $\epsilon$  noch das Dunkelgleichgewicht nach der Formel  $\epsilon = RT \ln \left( \frac{A^2}{D} \right)$  berechnet und in Übereinstimmung mit Versuchen von LUTHER und WEIGERT <sup>1)</sup> gefunden, daß es praktisch vollständig nach der Seite des Anthracens verschoben sein muß. Für eine Temperatur von 170° C und  $A = 5,5 \cdot 10^{-5}$  g-Mol./ccm erhält man dabei aus der Formel  $\frac{D}{A} = 1,3 \cdot 10^{-13}$ . Bei genauerer Durcharbeitung dürfte sich hier nach vielleicht die Untersuchung photochemischer Prozesse als eine neue Methode zur chemischen Affinitätsbestimmung bzw. zur Berechnung gewöhnlicher chemischer Dunkelgleichgewichte bei stark einseitig begünstigten Reaktionen darstellen.

Für  $\alpha E_A$  ergibt sich unter den früher (S. 68, Anmerkung 2) angegebenen Beleuchtungsverhältnissen  $1,31 \cdot 10^{-3}$  Watt. Dies führt unter Berücksichtigung des Wattverbrauches der benutzten Bogenlampe und der geometrischen Bedingungen des Versuches dazu, daß etwa  $\frac{1}{1000}$  der im Stromkreise der Lampe aufgewandten Energie in chemische Arbeit übergeführt wird. In Wirklichkeit wird diese Ausnutzung natürlich außerordentlich viel besser sein, weil das Absorptionsgebiet des Anthracens ( $320 \mu\mu$  bis  $380 \mu\mu$ ) nur einen kleinen Teil der Gesamtenergie der Strahlung enthält und ihm hiervon noch ein Teil durch Dianthracen und Lösungsmittel entzogen wird, weil die Strahlungsenergie auch jedenfalls nicht dem ganzen Wattverbrauch entspricht und weil durch mehrmalige Reflexion an dem Strahlungsgefäß auch noch Verluste entstehen. Doch gibt das Resultat insofern eine Kontrolle, als ja die Möglichkeit vorlag, daß die errechnete Energieausnutzung mehr als 100 Proz. betragen hätte. Dieses würde (siehe Gleichung 1) für große Werte von  $\epsilon$  (geringe Veränderlichkeit von  $D$  mit  $A$ ) haben eintreten können.

Die Anwendung der Gleichung 1) auf die Gleichgewichtsversuche von LUTHER und WEIGERT ergibt entsprechend ihren Erfahrungen <sup>2)</sup> für konstante Lichtmenge und konstantes Gesamtvolumen ein anfängliches Ansteigen der Dianthracen- mit der

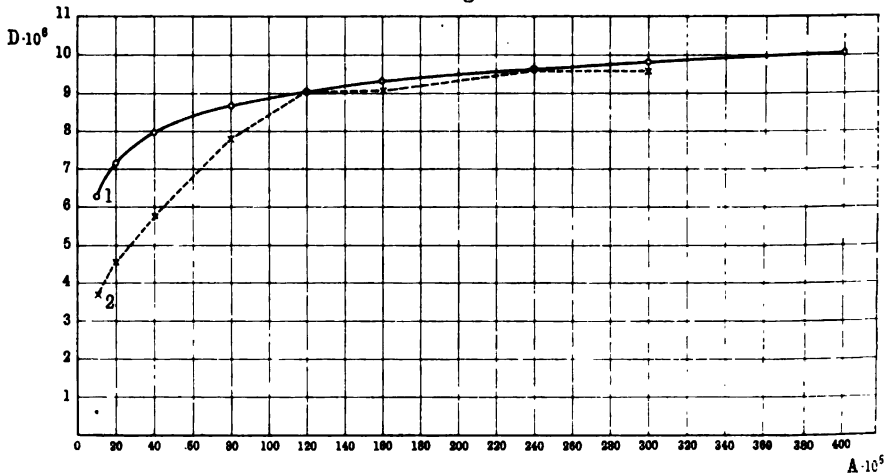
<sup>1)</sup> 51, 300.

<sup>2)</sup> 53, 386.



Anthracenkonzentration, wobei sich die erstere von einem gewissen Wert der letzteren an praktisch asymptotisch einem Grenzwerte nähert. Dieses Resultat wird hier im Gegensatz zu LUTHER und WEIGERT ohne Einführung hypothetischer Zwischenkörper gewonnen. Fig. 1 stellt die mit Hilfe der oben ermittelten Konstanten rechenmäßig bestimmte Abhängigkeit der  $D$  von den  $A$

Fig. 1.



- 1 (ausgezogene Linie): Berechnete Anthracen-Dianthracen-Kurve; die Biuret-  
werte sind durch  $\circ$  markiert.  
2 (gestrichelte Linie): Gefundene Anthracen-Dianthracen-Kurve (LUTHER und  
WEIGERT); die Biuret-  
werte sind durch  $\times$  markiert.

dar<sup>1)</sup> (Kurve 1), Kurve 2 in Fig. 1 die von LUTHER und WEIGERT gefundenen und auf die oben (S. 68) angegebenen Normalbedingungen bezogenen Werte. Die den Kurven zugrunde gelegten berechneten und gefundenen Einzelwerte zeigt folgende Tabelle:

|                             |      |      |      |      |       |      |       |      |       |
|-----------------------------|------|------|------|------|-------|------|-------|------|-------|
| $A \cdot 10^5$ . . . . .    | 10   | 20   | 40   | 80   | 120   | 160  | 240   | 300  | 400   |
| $D \cdot 10^6$ ber. . . . . | 6,24 | 7,15 | 7,95 | 8,64 | 9,01* | 9,27 | 9,62* | 9,82 | 10,07 |
| $D \cdot 10^6$ gef. . . . . | 3,72 | 4,59 | 5,71 | 7,80 | 9,01  | 9,09 | 9,62  | 9,57 | —     |

Die mit \* bezeichneten Werte sind zur Berechnung der Konstanten benutzt.

Der Grund, aus welchem mit wachsender Anthracenkonzentration die des Dianthracens relativ so außerordentlich viel weniger stark ansteigt, läßt sich anschaulich machen, wenn man

<sup>1)</sup> Das Gesamtvolumen entspricht den Bedingungen von S. 68, Anm. 2.

bedenkt, daß die osmotische Arbeit, welche die Veränderlichkeit der Dianthracen- mit der Anthracenkonzentration überhaupt bedingt, von den Konzentrationsverhältnissen und nicht den Konzentrationsdifferenzen abhängig ist. (Es sei in dieser Beziehung nur an die Konzentrationsketten erinnert.) Infolgedessen werden näherungsweise die Dianthracenkonzentrationen in arithmetischer Reihe steigen, während die des Anthracens dies in geometrischer tun. Für kleine  $A$ -Werte bleibt die gefundene hinter der berechneten Dianthracenkonzentration zurück, worauf bei der genaueren elektromagnetischen Behandlung einzugehen sein wird.

Gleichung 1) ergibt, daß bei Vervielfachung der Lichtmenge die Vervielfachung der Gleichgewichtskonzentration  $D$  hinter derjenigen der Lichtmenge zurückbleiben muß, weil auf der linken Seite der Gleichung neben der ersten Potenz von  $D$  diese Größe außerdem noch in logarithmischer Form erscheint. Ein solches Zurückbleiben hat in der Tat die Erfahrung gezeigt<sup>1)</sup>. Daß die gefundenen und die nach Gleichung 1) berechneten Werte recht gut übereinstimmen<sup>2)</sup>, lehrt folgende Tabelle:

| $A \cdot 10^6$ | Verhältnis der Lichtmengen | Verhältnis der $D$ -Werte (gefunden) | Verhältnis der $D$ -Werte (berechnet) |
|----------------|----------------------------|--------------------------------------|---------------------------------------|
| 40             | 1,52 : 1                   | 1,43 : 1                             | 1,46 : 1                              |
| 40             | 4 : 1                      | 3,7 : 1                              | 3,6 : 1                               |
| 40             | 9 : 1                      | 7,8 : 1                              | 7,7 : 1                               |
| 10             | 9 : 1                      | 7,6 : 1                              | 7,3 : 1                               |

Der Einfluß des reziproken Volumens ist nach Gleichung 1) theoretisch derselbe wie der der Lichtmenge, wie man durch Vertauschung von  $\frac{1}{V}$  und  $\alpha E_A$  leicht einsieht. In der Tat bleiben auch hier die gefundenen<sup>3)</sup> Konzentrationsänderungen hinter den Änderungen des reziproken Volumens zurück. Es ist für

<sup>1)</sup> 53, 414.

<sup>2)</sup> Die weitgehende quantitative Übereinstimmung mag indes vielleicht zum Teil auf Zufall beruhen.

<sup>3)</sup> 51, 311.

$$\frac{1}{V_1} : \frac{1}{V_2} = 0,626 : 1 \quad D_1 : D_2 \text{ (gefunden)} = 0,678 : 1,$$

$$D_1 : D_2 \text{ (berechnet)} = 0,642 : 1,$$

$$\frac{1}{V_1} : \frac{1}{V_2} = 0,66 : 1^1) \quad D_1 : D_2 \text{ (gefunden)} = 0,71 : 1,$$

$$D_1 : D_2 \text{ (berechnet)} = 0,69 : 1.$$

Bezüglich des Einflusses der Temperatur auf das Gleichgewicht erweist sich die Ergänzung des vorläufigen thermodynamischen Ansatzes durch den elektromagnetischen (siehe unten) als erforderlich. Vorläufig ist nur zu sagen, daß bei Temperaturänderungen  $D$  nach Gleichung 1) hauptsächlich durch die Variation von  $k$  beeinflusst wird, so daß wegen des Auftretens des Faktors  $k \cdot D$  sich  $D$  in erster Annäherung umgekehrt proportional mit  $k$  ändern muß. In der Tat ist<sup>2)</sup>

$$\frac{k_{T+10}}{k_T} = 2,8, \quad \frac{D_{T+10}}{D_T} = 0,34,$$

also

$$\frac{k_{T+10} \cdot D_{T+10}}{k_T \cdot D_T} = 0,95.$$

Für die Reaktionsgeschwindigkeit ergibt sich aus der Grundhypothese die Gleichung:

$$\frac{dD}{dt} = \frac{\alpha E_A}{V \left[ \varepsilon + RT \ln \left( \frac{D}{A^2} \right) \right]} - kD \quad 2)$$

wobei  $t$  die Zeit bedeutet.

Würde man die praktisch (S. 68) zu vernachlässigende Bildung des Dianthracens im Dunkeln, deren Konstante  $k'$  sei, mit berücksichtigen, so würde die Gleichung lauten:

$$\frac{dD}{dt} = \frac{\alpha E_A}{V \left[ \varepsilon + RT \ln \left( \frac{D}{A^2} \right) \right]} + k' A^2 - kD.$$

Aus dieser Form des Ansatzes sieht man deutlich, daß die Lichtreaktion nach der zugrunde gelegten Anschauung nicht in

<sup>1)</sup> LUTHER und WEIGERT geben, wohl infolge eines Druck- oder Rechenfehlers, den Wert 0,69 : 1 an (51, 311), während sich tatsächlich aus ihren Versuchen 0,66 : 1 berechnet.

<sup>2)</sup> 51, 327.

irgend einer Modifikation des Dunkelprozesses besteht, sondern sich als ein toto genere davon verschiedener, elektrolytischer Vorgang über die unveränderte elektrisch neutrale Dunkelreaktion superponiert. Berechnet man  $k'$  aus  $k$  und  $\varepsilon$ , so stellt sich heraus, daß die Polymerisation im Dunkeln auch unter den günstigsten Bedingungen noch mehr als 10000000mal langsamer als die Depolymerisation verläuft, so daß ihre Vernachlässigung auch von diesem Standpunkt gerechtfertigt erscheint.

Die Beziehung 2) kann mit Hilfe von 1) umgeformt werden zu

$$\frac{dD}{dt} = k D_g \left[ \frac{\varepsilon + RT \ln \left( \frac{D_g}{A^2} \right)}{\varepsilon + RT \ln \left( \frac{D}{A^2} \right)} \right] - k D,$$

wobei  $D_g$  die dem jeweiligen Wert von  $A$  bei den Versuchsbedingungen zugehörige Gleichgewichtskonzentration des Dianthracens bezeichnet. Der Faktor  $Q$  wird in erster Annäherung gleich Eins, so daß man schreiben kann:

$$\frac{dD}{dt} = k D_g - k D. \quad 3)$$

Gleichung 3) lehrt, daß sich die Lichtreaktion <sup>1)</sup> formell wie eine solche erster Ordnung verhält, deren Konstante diejenige der Dunkelreaktion ist. In dieser Beziehung tritt aber nicht die Konzentration des Anthracens in der ersten Potenz auf, sondern diejenige Dianthracenkonzentration, die im Gleichgewicht bei der gerade vorhandenen Lichtmenge pro Zeiteinheit und Volumeneinheit der augenblicklichen Anthracenkonzentration entsprechen würde. Daraus folgt, daß in Übereinstimmung mit den Versuchen von LUTHER und WEIGERT <sup>2)</sup> die Reaktionsgeschwindigkeit von Lichtstärke <sup>3)</sup>, Oberfläche und Gesamtvolumen ebenso abhängt wie das Gleichgewicht und daß dies, wieder im Einklang mit der

<sup>1)</sup> Die Dunkelreaktion bleibt im Lichte unverändert und überlagert sich als Gegenreaktion der Polymerisation im Lichte, wie dies theoretisch das zweite Glied der rechten Seite von 3) und experimentell Versuche von LUTHER und WEIGERT (51, 322) zeigen.

<sup>2)</sup> 51, 318.

<sup>3)</sup> Lichtstärke nennen LUTHER und WEIGERT die in der Zeiteinheit auf die Flächeneinheit fallende Lichtmenge.

Erfahrung<sup>1)</sup>, für die Temperatur, die im Gegensatz zu den vorher genannten Variablen den Faktor  $k$  beeinflußt, nicht der Fall ist. Es läßt weiter ableiten, daß die Reaktion eine mit der Konzentration veränderliche zwischen 0 und 1 liegende „scheinbare Ordnung“ in bezug auf das Anthracen besitzt und daß diese bei großer Anthracenkonzentration merklich gleich Null wird; beides haben die genannten Autoren experimentell gefunden<sup>2)</sup>.

Zur Erklärung einzelner quantitativer Abweichungen kann man weiterhin die elektromagnetische Auffassung spezialisieren. Es wird auf Grund anderweitiger, zum Teil rein chemischer Erfahrungen unter Anknüpfung an die Resonanztheorie der optischen Absorption<sup>3)</sup> ein Bild des Mechanismus der Elektrolyse entworfen, bei welchem die Bildung des dimolekularen Dianthracens aus dem monomolekularen Anthracen analog der Bildung des zweiatomigen Wasserstoffmoleküls aus dem einatomigen Wasserstoffion bei der gewöhnlichen Elektrolyse erscheint. In thermodynamischer Beziehung wird von diesem Standpunkt aus nunmehr die bisher nicht beachtete Stromwärme beim Energieverbrauch berücksichtigt. Diese drückt, wenn sie anwächst, den Prozentsatz der chemisch ausnutzbaren Strahlungsenergie, und zwar steigt sie um so mehr, je größer die Weglänge der Ionen in der Flüssigkeit bis zu ihrer Neutralisation an den entgegengesetzten Ladungen des Nachbarmoleküls, d. h. je niedriger die Konzentration ist und je größer der Reibungskoeffizient der Ionen, d. h. je niedriger die Temperatur ist. So werden die Abweichungen der gefundenen Gleichgewichtsbeziehungen zwischen Dianthracen und Anthracen bei konstanter Lichtmenge und konstantem Gesamtvolumen (siehe oben, S. 70—71) von den vorher berechneten erklärt.

Da alle Umstände, welche den Betrag der Reibungsarbeit erhöhen, die Veränderlichkeit derselben mit irgendwelchen Variablen mit wachsender Deutlichkeit in Erscheinung treten lassen, so muß der Temperaturkoeffizient der photochemischen Reaktionsgeschwindigkeit um so größer sein, je niedriger die

<sup>1)</sup> 51, 319.

<sup>2)</sup> 51, 318 und 51, 320.

<sup>3)</sup> Bezüglich deren prinzipieller Anwendbarkeit auf photochemische Prozesse siehe ROLOFF, ZS. f. phys. Chem. 26, 348, 1898; NERNST, Theoretische Chemie, 5. Aufl., S. 767; EDER, Photochemie, 3. Aufl., S. 43.

Temperatur und die Konzentration ist. Daß sich das so verhält, geht aus folgender Tabelle hervor, die die Temperaturkoeffizienten bei verschiedenen Temperaturen ( $\bar{\theta}$  bezeichnet die mittlere Temperatur des Intervalles, in dem der Koeffizient bestimmt wurde) und Konzentrationen zeigt<sup>1)</sup>:

|   |       | A. 10° |        |
|---|-------|--------|--------|
|   |       | 44,7   | 91,3   |
| s | 157,5 | 1,51   | ← 1,21 |
|   | 164,0 | ↑ 1,24 | ↑ 0,98 |

Aus ähnlichen Gründen muß auch die Abhängigkeit der Reaktionsgeschwindigkeit von der Anthracenkonzentration, die „scheinbare Reaktionsordnung“, soweit sie durch Änderung der JOULEschen Wärme bedingt wird, mit abnehmender Temperatur wachsen. In der Tat ist die scheinbare Reaktionsordnung für<sup>2)</sup>:

|                  |      |
|------------------|------|
| 167,5° . . . . . | 0,04 |
| 160,5° . . . . . | 0,28 |
| 154,5° . . . . . | 0,50 |

Sofern die Temperaturkoeffizienten der photochemischen Reaktionsgeschwindigkeiten von dem gewählten Standpunkte aus im wesentlichen die Bedeutung solcher der elektrolytischen Wanderungsgeschwindigkeiten besitzen, müssen beide von derselben Größenordnung sein. Das trifft zu; die ersteren liegen, wie man von einem beträchtlichen Material her weiß, im allgemeinen zwischen 0 Proz. und 50 Proz.<sup>3)</sup> für 10° Temperaturerhöhung, die letzteren für das gleiche Intervall zwischen 15 Proz. und 24 Proz.<sup>4)</sup>. Das ist um so bemerkenswerter, als die Temperaturkoeffizienten gewöhnlicher chemischer Reaktionsgeschwindigkeiten

<sup>1)</sup> Die Werte sind aus den Versuchen der Tabelle 11 (LUTHER und WEIGERT 51, 319) entnommen.

<sup>2)</sup> Ebenda.

<sup>3)</sup> Siehe die Zusammenstellung von GOLDBERG, ZS. f. phys. Chem. 41, 9, 1902 und LUTHER und WEIGERT, ZS. f. phys. Chem. 51, 319, 1905.

<sup>4)</sup> NERNST, a. a. O., S. 365.

bekanntlich von einer ganz anderen Größenordnung sind <sup>1)</sup>. Zur Ableitung dieser Tatsachen bedarf man an sich nicht eines genaueren Bildes vom Mechanismus der Elektrolyse oder der Annahme von Zwischenkörpern, sondern nur der Vorstellung, daß überhaupt durch das Licht JOULESche Wärme erzeugt wird.

Endlich läßt sich der Einfluß der Wellenlänge von dem gewonnenen Standpunkte aus auf einen solchen des Brechungsexponenten, nicht aber des Absorptionskoeffizienten zurückführen, da der erstere in näherer Beziehung zu der für die elektrolytische Aufspaltung der Moleküle maßgebenden Amplitude der Resonanzschwingung steht. Dabei sei auf das überwiegende Vorkommen violett- und ultraviolett empfindlicher photochemischer Prozesse exemplifiziert und auf den Zusammenhang der wenigen bekannten Prozesse, die für lange Wellen empfindlich sind, mit der anomalen Dispersion <sup>2)</sup> (dem ungewöhnlich hohen Brechungsexponenten) der betreffenden Substanzen hingewiesen. Die Verschiebung des Maximums der Sensibilisierung bei farbenempfindlichen Bromsilberplatten gegenüber dem Absorptionsmaximum nach der roten Seite hin <sup>3)</sup> und die Depression der Empfindlichkeit unter den normalen Wert auf der violetten Seite des Absorptionsmaximums <sup>4)</sup> entspricht dem typischen Verhalten <sup>5)</sup> des Brechungsexponenten in einem Gebiete starker Absorption.

Der Kernpunkt der gegebenen Betrachtungsweise scheint mir zu sein, daß, während sonst wohl bei photochemischen Theorien die Lichtreaktion als irgendwie modifizierte Dunkelreaktion aufgefaßt wird, hier die Dunkelreaktion als solche im Lichte, und zwar, wenn sie umkehrbar ist, sogar nach beiden Seiten hin, unverändert fortbesteht <sup>6)</sup>. Der Dunkelreaktion, dem elektrisch neutralen Prozeß, superponiert sich die Lichtreaktion als eine

---

<sup>1)</sup> Die Reaktionsgeschwindigkeit wächst für 10° Temperaturerhöhung im allgemeinen auf das 2- bis 3fache (VAN'T HOFF, Vorlesungen über theoretische und physikalische Chemie I, S. 223).

<sup>2)</sup> VOGEL, Ber. d. D. chem. Ges. 7, 978, 1874.

<sup>3)</sup> ACWORTH, Wied. Ann. 42, 371, 1891.

<sup>4)</sup> VOGEL, a. a. O.

<sup>5)</sup> DRUDE, Lehrbuch der Optik, S. 362, Leipzig 1900.

<sup>6)</sup> Das bezieht sich natürlich nur auf umkehrbare photochemische Prozesse, die aber für die Theorie die weitaus größere Bedeutung als die katalytischen haben.

von ihr durchaus unabhängige Elektrolyse. Vom photochemischen Standpunkte wird diese Auffassung vor allem dadurch begründet, daß der Prozeß der Depolymerisation des Dianthracens im Lichte wie im Dunkeln nach der gleichen Ordnung und mit der gleichen Konstante verläuft. Von elektrochemischer Seite her erscheint die Unabhängigkeit beider Prozesse vorgebildet beim Reststrom, wo sich der gesamte Vorgang durch unabhängige Superposition der Ionendiffusion unter dem Einfluß elektrischer und elektrisch-neutraler, osmotischer Kräfte darstellt.

Da die benutzten Versuche ursprünglich nicht von dem hier gewählten Gesichtspunkte aus angestellt worden sind, so bedürfen sie vielfach noch einer experimentellen Ergänzung. Es wird deshalb beabsichtigt, die teilweise durch das Experiment bisher nur angedeuteten Beziehungen der photochemischen Prozesse zu thermischen, elektrischen und optischen Größen weiter zu verfolgen.

Berlin, Januar 1908.



**Über Zählung der  $\alpha$ -Teilchen durch die Szintillation  
und die Größe des elektrischen Elementar-  
quantums;**

**von Erich Regener.**

(Vorläufige Mitteilung.)

(Vorgelegt in der Sitzung vom 7. Februar 1908.)

(Vgl. weiter unten.)

Läßt man  $\alpha$ -Strahlen von Radium oder Polonium einen Schirm aus SIDOTScher Blende (phosphoreszierendes kristallisiertes Zinksulfid) treffen, so beobachtet man die bekannte schöne Erscheinung der Szintillation. Auf dem Schirme blitzen zahlreiche Lichtpünktchen in stetem Wechsel an verschiedenen Stellen auf, die den Eindruck erwecken, als ob der Schirm dem Bombardement von Geschossen unterworfen ist, die beim Auftreffen die Lichtblitze erzeugen<sup>1)</sup>. Daß wirklich die  $\alpha$ -Strahlen die Ursache dieser Erscheinung sind, ist mehrfach bestätigt worden. Bedeckt man nämlich das Radium mit einer absorbierenden Metallfolie von solcher Dicke, daß alle  $\alpha$ -Teilchen absorbiert werden, so hört die flackernde Lumineszenz auf. Die maximale Entfernung, bis zu der sich die Wirkung von der Strahlungsquelle erstreckt, ist dieselbe, bis zu der sich die ionisierende Wirkung der  $\alpha$ -Strahlen nachweisen läßt<sup>2)</sup>. Es ist meines Wissens indessen noch nicht die Zahl der aufblitzenden Lichtpunkte zu dem Zwecke bestimmt worden, um zu sehen, ob sie derjenigen der auftreffenden  $\alpha$ -Teile entspricht. Ich habe einige, vorläufig noch rohe Versuche darüber angestellt, die indessen schon ein annehmbares Resultat gaben, so daß ich darüber kurz referieren möchte.

Zu den Versuchen diente als Strahlungsquelle Polonium, das auf dünnem Kupferblech niedergeschlagen war, aus dem ein kleines Scheibchen von etwa 2 mm Durchmesser geschnitten wurde. Dasselbe wurde auf einer Messingplatte befestigt, auf welche, konzen-

<sup>1)</sup> RUTHERFORD-ASCHKINAS, Die Radioaktivität, S. 162, 1907.

<sup>2)</sup> Ebenda, S. 561.

trisch zum Präparat, Messingringe von variabler Höhe aufgesetzt wurden, welche als Unterlage für den Leuchtschirm dienten. Derselbe bestand aus einem Objektträger, auf den mittels eines Klebemittels das Zinksulfid aufgetragen war. Von mehreren von der Chininfabrik BUCHLER und Co. in Braunschweig bezogenen Zinksulfidpräparaten erwies sich ein, nach Angabe der Fabrik Kupfer enthaltendes Präparat besonders wirksam. Wurde dasselbe fein gepulvert, so ließen sich Leuchtschirme auf Glas herstellen, an denen sich die Erscheinung von der Rückseite, durch das Glas hindurch, beobachten ließ und welche fast ohne Löcher waren. Zur Beobachtung, bei der also der Leuchtschirm mit der Schichtseite dem Präparat zugekehrt auf die obenerwähnten Messingringe aufgelegt wurde, diente ein ZEISS'sches Mikroskop mit einem Achromatobjektiv ( $f = 8$  mm) und dem zweimal vergrößernden Sucherokular. Es ist zweckmäßig, ein möglichst schwaches Okular zu nehmen, um ein möglichst helles Bild der immerhin lichtschwachen Erscheinung zu erhalten. Die obige Objektiv- und Okularkombination erfüllte die Bedingung, daß bei 5 mm weiter Augenpupille (wegen der Beobachtung im Dunkeln ist die Augenpupille so groß zu nehmen) die „Normalvergrößerung“, bei der das Bild in natürlicher Helligkeit erscheint, nicht überschritten wurde<sup>1)</sup>. Die numerische Apertur des Objektivs betrug 0,65, die Vergrößerung 62mal. In das Okular konnten Blenden eingelegt werden, mit deren Hilfe erreicht wurde, daß im Durchschnitt<sup>2)</sup> nicht mehr als ein Lichtpunkt in 1 bis 2 Sekunden gezählt wurde. Zur bequemen Zählung war es vorteilhaft, mittels einer in der Helligkeit regulierbaren Glühlampe den Zinksulfidschirm ganz schwach zu beleuchten, damit das Auge die auszählende Fläche gut fixieren kann. Die Zählung der Lichtpunkte geschah mit einem Morseapparat und einer Stoppuhr. Die Zählung wurde stets erst dann begonnen, wenn das Auge mindestens 5 Minuten in dem vollkommen verdunkelten Zimmer ausgeruht war.

<sup>1)</sup> DRUDE, Lehrbuch der Optik, S. 83, 1900.

<sup>2)</sup> Infolge der SCHWEIDLER'schen Schwankungen (siehe EDGAR MEYER und ERICH REGENER, Verhandl. d. Deutsch. Phys. Gesellsch. 10, 1, 1906) ist natürlich die Zahl der pro Sekunde aufblitzenden Lichtpunkte sehr verschieden. Die SCHWEIDLER'sche Beziehung  $\epsilon = \frac{1}{\sqrt{Z}}$  (siehe l. c.) läßt sich natürlich durch Zählung der Lichtpunkte sehr bequem prüfen.

Die auf dem durch die Okularblende begrenzten Stück der Zinkblende gefundene Zahl der Lichtpunkte wurde benutzt zu der Ausrechnung, wieviel Lichtpunkte erzeugende  $\alpha$ -Teilchen im ganzen von dem Präparat ausgesandt wurden. Dabei wurde angenommen, daß die ausgestrahlten  $\alpha$ -Teilchen sich gleichmäßig über eine Halbkugel verteilen<sup>1)</sup>, in deren Mitte sich das Präparat befindet.

Folgende Tabelle gibt einige auf diese Weise erhaltene Resultate:

| Entfernung des<br>Zinkblende-<br>schirmes vom<br>Präparat<br>mm | Ausgezählte<br>Fläche<br>mm <sup>2</sup> | Lichtpunkte  | Gesamtzahl der<br>pro Sekunde vom<br>Präparat aus-<br>gehenden<br>$\alpha$ -Teilchen |
|---|--|--------------|--|
| 21  | 0,582                                    | 285 in 593'' | 2281   |
| 10  | 0,325                                    | 398 in 462'' | 1665   |
| 10  | 0,325                                    | 344 in 400'' | 1511   |
| 10  | 0,325                                    | 449 in 440'' | 1996   |
| 10  | 0,325                                    | 447 in 430'' | 2010   |
| 10  | 0,141                                    | 138 in 350'' | 1762   |

Nach der Zahl der auf dem Zinkblendeschirm beobachteten Lichtblitze sollte also das Präparat pro Sekunde rund 1800  $\alpha$ -Teilchen aussenden.

Es wurde nun der Sättigungsstrom des Präparates durch Vergleichung mit einem stärkeren Poloniumpräparat bestimmt, dessen Sättigungsstrom durch frühere Versuche genau bekannt war. Der Vergleich geschah in der Weise, daß das Präparat in eine Zelle zur Messung der Ionisation gelegt wurde, deren eine halbkugelförmige Elektrode<sup>2)</sup> mit einem BRAUNSchen Elektrometer verbunden war. In bekannter Weise wurde dann der Spannungsabfall (unter Berücksichtigung des kleinen Verlustes durch mangelnde Isolation) in einer gewissen Zeit einmal mit dem zu untersuchenden Präparat, das zweite Mal mit dem Standardpräparat beobachtet. Das Standardpräparat gab einen Sättigungsstrom von 1,81 elektrostatischen Einheiten, das zu untersuchende einen solchen

<sup>1)</sup> RUTHERFORD, Phil. Mag. (6) 12, 152, 1906.

<sup>2)</sup> Siehe darüber EDGAR MEYER und ERICH REGENER, Verhandl. d. Deutsch. Phys. Gesellsch. 10, 3, 1908.

von 0,14 statischen Einheiten. Bezeichnet man mit  $Z$  die Anzahl der sekundlich von dem Präparate ausgesandten  $\alpha$ -Teilchen, mit  $e$  das elektrische Elementarquantum, so ist der Sättigungsstrom durch die Gleichung:

$$i = Z \cdot e \cdot C$$

gegeben.  $C$  ist eine Konstante, welche angibt, wieviel Ionenpaare von einem  $\alpha$ -Teilchen bei seiner vollkommenen Absorption in Luft erzeugt werden. Dieselbe ist von RUTHERFORD<sup>1)</sup> für Radium im Zustande seiner Minimalaktivität dadurch bestimmt worden, daß der von dem Präparate erzeugte Sättigungsstrom einmal in Luft gemessen wurde — es ist also dabei:  $i_1 = Z \cdot e \cdot C$  — das zweite Mal im Vakuum. Hierbei ist  $i_0 = Z \cdot e$ , wenn man annimmt, daß das  $\alpha$ -Teilchen nur eine Ladung transportiert. Nimmt man, wie das nach neueren Versuchen von RUTHERFORD auch möglich ist, die Ladung des  $\alpha$ -Teilchens zu zwei Elementarquanten an, so wird  $i_0 = Z \cdot 2 \cdot e$ . Nach der ersten Annahme wird die Konstante

$$C = \frac{i_1}{i_0}, \text{ nach der zweiten } C = 2 \cdot \frac{i_1}{i_0}. \text{ Aus RUTHERFORDS Messungen}$$

ergibt sich  $\frac{i_1}{i_0}$  zu 86000. Wegen der etwas größeren Reichweite

der  $\alpha$ -Strahlen des Poloniums muß hier  $\frac{i_1}{i_0}$  auf 94000 korrigiert

werden. Die Konstante  $C$ , die Anzahl der von einem  $\alpha$ -Teilchen erzeugten Ionenpaare ist also 94000, wenn man das  $\alpha$ -Teilchen die Ladung eines Elementarquantums mit sich führen läßt, sie ist 188000, wenn das  $\alpha$ -Teilchen zwei Ladungen transportiert. Demgemäß ergibt sich für die Zahl der  $\alpha$ -Teilchen, die dem Sättigungsstrom des Präparates entspricht:

$$Z = \frac{i}{e \cdot C} \text{ bez. } \frac{i}{e \cdot C'}$$

wenn  $C'$  die Konstante für die doppelte Ladung des  $\alpha$ -Teilchens bedeutet.

Wurde für das Elementarquantum der Wert<sup>2)</sup>  $e = 3,4 \cdot 10^{-10}$  gesetzt, so ergab sich für die Zahl der pro Sekunde von dem bei den obigen Zählungen benutzten Präparat ausgesandten  $\alpha$ -Teilchen

<sup>1)</sup> RUTHERFORD, Phil. Mag. (6) 10, 207, 1905.

<sup>2)</sup> Nach THOMSON. Bei Einsetzung des PLANCK'schen Wertes  $e = 4,69 \cdot 10^{-10}$  wird die Übereinstimmung nicht schlechter.

$Z = 4400$ , wenn ein  $\alpha$ -Teilchen mit einem Elementarquantum geladen angenommen wird. Führt das  $\alpha$ -Teilchen zwei Ladungen mit sich, so ergibt sich  $Z = 2200$   $\alpha$ -Teilchen. Die obigen Zählversuche ergaben rund 1800  $\alpha$ -Teilchen, sie stimmen also mit der Annahme, daß das  $\alpha$ -Teilchen aus einem Heliumatom besteht und zwei Ladungen mit sich führt. Es ist indessen wohl nicht erlaubt, aus den oben mitgeteilten Versuchen eine Entscheidung zwischen den beiden Annahmen für die Ladung des  $\alpha$ -Teilchens herbeiführen zu wollen, denn wie man leicht sieht, sind die Versuche auch mit der Annahme, daß das  $\alpha$ -Teilchen eine Ladung führt, verträglich, wenn man die allerdings etwas unwahrscheinliche Möglichkeit zugibt, daß bei der Zählung der Lichtpunkte auf dem Zinksulfidschirm etwas mehr als die Hälfte der  $\alpha$ -Teilchen so schwache Lichtblitze hervorgerufen hat, daß sie nicht zur Beobachtung gelangten. Immerhin dürfte, wenn noch andere Gründe für die Annahme, daß das  $\alpha$ -Teilchen zwei Elementarladungen führt, vorliegen, diese Annahme auch durch die obigen Versuche eine Stütze finden.

Dagegen ist durch die Versuche wohl der Nachweis erbracht, daß die Zahl der auf einem geeigneten Zinksulfidschirm beobachteten Lichtblitze sicher nur wenig von der Zahl der auftreffenden  $\alpha$ -Teilchen abweicht. Die Zählung der Lichtpunkte gibt daher wohl eine brauchbare Methode zur Beobachtung des Verhaltens der  $\alpha$ -Teilchen in gewissen Fällen ab. So konnte ich auf diese Weise nachweisen, daß beim Durchgang der  $\alpha$ -Teilchen durch Metallfolie sich die Zahl derselben nicht ändert<sup>1)</sup>. Es blieb z. B. bei einem Versuch, bei dem das Polonium mit dünnen Aluminiumfolien bedeckt wurde, die Zahl der Lichtpunkte auf dem Zinkblendeschirm bis zur Bedeckung mit 16 Folien merklich konstant, um erst bei 18 und 20 Folien rapide abzunehmen.

Wie leicht ersichtlich, läßt sich auch die Größe des elektrischen Elementarquantums aus obigen Versuchen berechnen. Läßt man das  $\alpha$ -Teilchen mit einem Elementarquantum geladen sein, so ergibt sich  $e$  rund zu

$$8 \cdot 10^{-10} \text{ elektrostat. Einh.};$$

<sup>1)</sup> BRAGG, Phil. Mag. (6) 10, 318, 1905. EDGAR MEYER, Phys. ZS. 7, 917, 1906.

führt das  $\alpha$ -Teilchen zwei Elementarquanta mit sich, so ergibt sich  
$$e = 4 \cdot 10^{-10} \text{ elektrostat. Einh.}$$

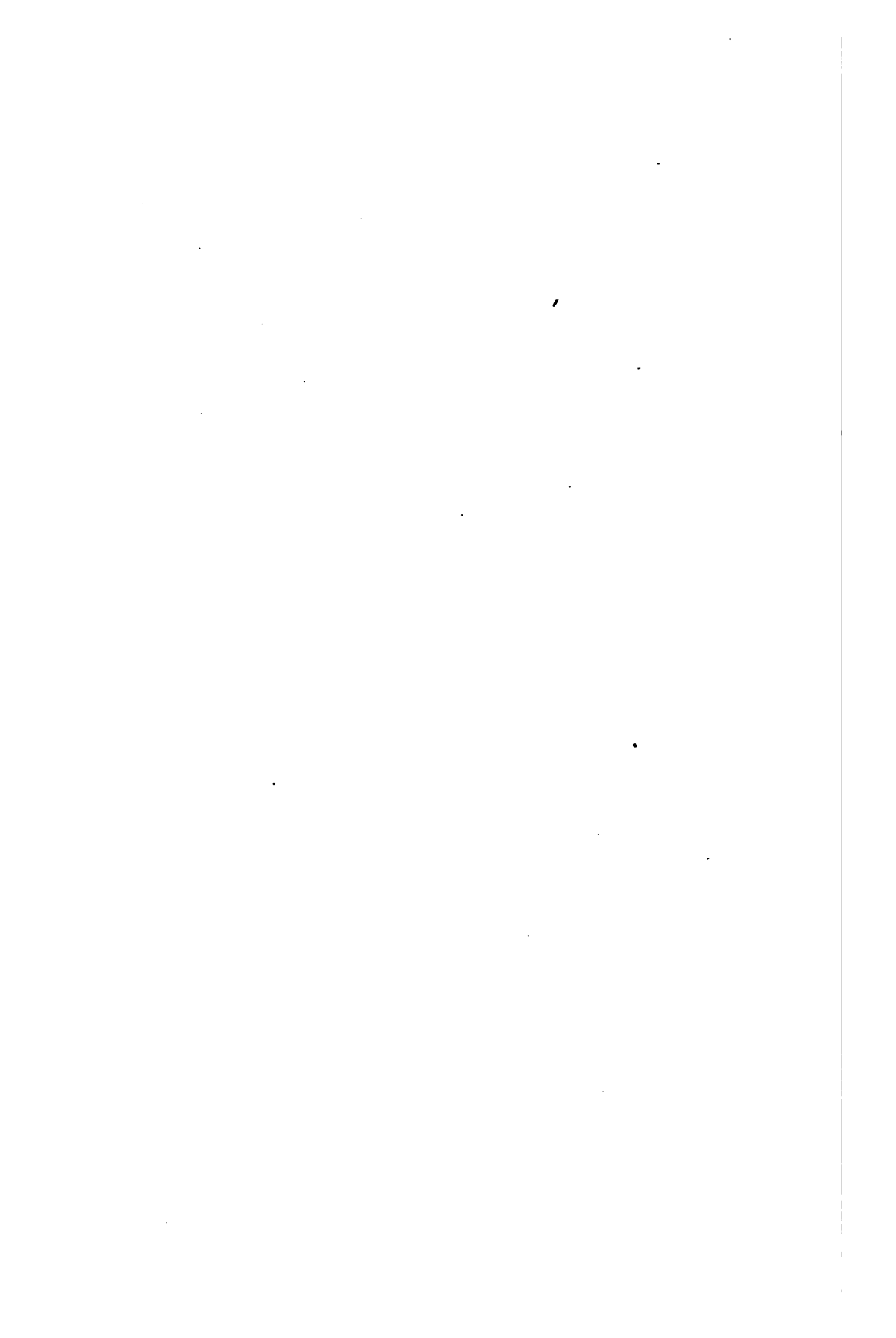
Die Versuche werden fortgesetzt. Insbesondere soll auch versucht werden, die  $\alpha$ -Teilchen elektrisch zu zählen. Die Möglichkeit hiervon ergibt folgende Betrachtung. Die durch ein  $\alpha$ -Teilchen und die von ihm erzeugten Ionen auf ein Elektrometer aufgeladene Elektrizitätsmenge ist:

$$3,4 \cdot 10^{-10} \cdot 9,4 \cdot 10^{-4} = 3,2 \cdot 10^{-5} \text{ stat. Einh.}$$

Ein Elektrometer von 1 cm Kapazität würde sich also auf  $3,2 \cdot 10^{-5}$  stat. Einh. oder rund  $1 \cdot 10^{-2}$  Volt aufladen. Hat das Elektrometer 10 cm Kapazität, so würde sich immer noch eine Aufladung von  $\frac{1}{1000}$  Volt ergeben. Hat das  $\alpha$ -Teilchen die Ladung von zwei Elementarquanten, so werden die Verhältnisse doppelt so günstig. Die neuen Saitenelektrometer vereinigen große Empfindlichkeit mit kleiner Kapazität und es ist zu erwarten, daß sich mit diesen eine Zählung der  $\alpha$ -Teilchen bewerkstelligen läßt.

Die Anregung zu diesen Versuchen verdanke ich Herrn Geheimrat Professor RUBENS. Es sei mir gestattet, ihm hierfür meinen herzlichsten Dank auszusprechen.

Berlin, Physikalisches Institut der Universität.



Verlag von Friedr. Vieweg & Sohn in Braunschweig.

# Die Erdströme

im Deutschen Reichstelegraphengebiet  
und ihr Zusammenhang mit den erdmagnetischen Erscheinungen.  
Auf Veranlassung und mit Unterstützung des Reichs-Postamts sowie mit  
Unterstützung der Königlich preussischen Akademie der Wissenschaften  
im Auftrage des Erdstrom-Comités des Elektrotechnischen Vereins

bearbeitet und herausgegeben von

**Dr. B. Weinstein,**

Kaiserlicher Regierungsrath und Universitäts-Professor.

Mit einem Atlas, enthaltend 19 lithographirte Tafeln. gr. 8. Preis geh. 4 *M*

Verlag von Friedr. Vieweg & Sohn, Braunschweig.

# Thermodynamik und Kinetik der Körper von Professor Dr. B. Weinstein.

**Erster Band. Allgemeine Thermodynamik und Kinetik und  
Theorie der idealen und wirklichen Gase und Dämpfe.  
Mit eingedruckten Abbildungen. gr. 8. (XVIII u. 484 Seiten.)  
Preis geh. *M* 12.—.**

**Zweiter Band. Absolute Temperatur. — Die Flüssigkeiten.  
— Die festen Körper. — Thermodynamische Statik und  
Kinetik. — Die (nicht verdünnten) Lösungen. (XVIII  
und 586 Seiten.) gr. 8. Preis geh. *M* 16.—.**

**Dritter Band, 1. Halbband. Die verdünnten Lösungen. —  
Die Dissociation. — Thermodynamik der Elektrizität  
und des Magnetismus. (Erster Teil.) (XVI und 464 Sei-  
ten.) gr. 8. Preis geh. *M* 12.—.**

**Dritter Band, 2. Halbband. Thermodynamik der Elektrizität  
und des Magnetismus. (Zweiter Teil.) — Elektrochemie.  
gr. 8. Preis geh. *M* 24.—.**

Zu beziehen durch alle Buchhandlungen.



# Max Kohl \* Chemnitz i. S.

Werkstätten für Präzisions-Mechanik

liefert als Spezialität:

**Komplette Einrichtungen f. physikalische  
und chemische Laboratorien.**

**Physikalische und chemische Apparate  
und Gerätschaften.**

**Elektrotechnische Abteilung.**

**Notiz:** Außer den in meinem Etablissement vorhandenen modern eingerichteten **Mechaniker-Werkstätten** habe ich auch eigene **Dampfschlerei, Holz-, Metall- und Fein-Lackiererei, Klempnerei, Schlosserei, 2 Präzisions-Teilmaschinen** usw. in meiner Fabrik und bin deshalb in der Lage, alle vorkommenden Arbeiten durch mein eigenes Personal ausführen zu lassen. Meine Herren Abnehmer haben dadurch Gewähr, zu mäßigen Preisen solid ausgeführte Apparate zu erhalten, bei deren Konstruktion stets die neuesten auf dem Gebiete der Wissenschaft gemachten Fortschritte Berücksichtigung finden! 230 Arbeiter, 80 Beamte, 6600 qm Arbeitsfläche, etwa 130 Arbeitsmaschinen.

**Einrichtungen kompl. Röntgenkabinette**  
mit **Funkeninduktoren** aller Größen und für jede Betriebsart. (Die Kohl'schen Funkeninduktoren werden allseitig als die preiswertesten und leistungsfähigsten anerkannt.)

**Neu! Spinthariskope,** mit Fluoreszenz-Schirm und einer kleinen Menge Radium auf beweglichem Zeiger, um die außerordentlichen radioaktiven Eigenschaften des Radiums zu zeigen.  
Preis **₤ 24.—**

Preislisten mit ausführlichen Beschreibungen, Referenzen usw. **kostenfrei.**

Verlag von Friedr. Vieweg & Sohn in Braunschweig.

## Vorlesungen über die Wellentheorie des Lichtes.

Von **É. Verdet.**

Deutsche Bearbeitung von

**Dr. Karl Exner.**

Zwei Bände. Mit Holzstichen. gr. 8. geh. Preis **26 ₤**

## Das Licht. Sechs Vorlesungen von John Tyndall.

Autorisierte deutsche Ausgabe bearbeitet von **Clara Wiedemann.**

Mit einem Vorwort von **G. Wiedemann.**

Zweite Auflage. Mit einem Porträt von **Thomas Young** und 57 Abbildungen. 8. Preis geh. **6 ₤**, geb. **7,50 ₤**

Diesem Hefte liegt bei: Ein Prospekt von **Siemens & Halske A. G.,** Wernerwerk — Berlin-Nonnendamm. Nachricht Nr. 12 vom 26. 12. 1907.

# Berichte der Deutschen Physikalischen Gesellschaft

enthaltend

## Verhandlungen

der Deutschen Physikalischen Gesellschaft  
im Auftrage der Gesellschaft herausgegeben

von

Karl Scheel

und

## Halbmonatliches Literaturverzeichnis

der „Fortschritte der Physik“, dargestellt von der  
Deutschen Physikalischen Gesellschaft

redigiert von

Karl Scheel

Richard Assmann

für reine Physik

für kosmische Physik

## Inhalt.

1. **Verhandlungen der Deutschen Physikalischen Gesellschaft.** Bericht über die Sitzung vom 7. Februar 1908. S. 85. — Wilhelm Felgentraeger, Der Einfluß der Schneiden auf die Bestimmung der Schwerebeschleunigung mit dem Reversionspendel. (Vorgetragen in der Sitzung vom 7. Februar 1908.) S. 87. — W. Kaufmann, Erwiderung an Herrn Stark. (Vorgelegt in der Sitzung vom 7. Februar 1908.) S. 91. — O. v. Baeyer, Über langsame Kathodenstrahlen. (Vorgelegt in der Sitzung vom 7. Februar 1908; eingegangen am 3. Februar 1908.) S. 96. — 2. **Halbmonatliches Literaturverzeichnis der Fortschritte der Physik.** I. Allgemeine Physik. S. 55. — II. Akustik. S. 58. — III. Physikalische Chemie. S. 58. — IV. Elektrizität und Magnetismus. S. 61. — V. Optik des gesamten Spektrums. S. 65. — VI. Wärme. S. 67. — VII. Kosmische Physik. S. 69.

**Braunschweig**

Druck und Verlag von Friedrich Vieweg und Sohn

1908

**Photometer**  
**Spektral-Apparate**  
**Projektions-Apparate**  
**Glas-Photogramme**  
**Physik. Apparate n. Prof. Grimsehl**  
**Optisches Institut von A. Krüss**  
Inhaber: Dr. Hugo Krüss. HAMBURG.

**Ferdinand Gruecke, Werkstätten f. Präzisions-Mechanik**

Hoflieferant Sr. Majestät des deutschen Kaisers

**BERLIN-TEMPELHOF, Ringbahnstrasse 4**

.....

**Physikalische Demonstrationsapparate**  
**Funkeninduktoren neuester Konstruktion**  
**Demonstrations- und Versuchs-Funkeninduktor**  
Nr. 2112, D. R. G. M.

**- Beschreibung steht zu Diensten -**

Alle Arten **Projektionsapparate** für Projektion von Bildern und physikalischen Versuchen. — Broschüre über den **Universal-Projektionsapparat, Type NOR**, umfassend 95 Seiten mit 85 Holzschnitten, dritte Auflage, steht zu Diensten

**Einrichtung physikalischer und chemischer Kabinette und Laboratorien**

Verlag von Friedr. Vieweg & Sohn in Braunschweig.

**Gesammelte Abhandlungen**  
aus den Gebieten der  
**Meteorologie und des Erdmagnetismus**  
von **Wilhelm von Bezold**.  
In Gemeinschaft mit **A. Coym** herausgegeben  
vom Verfasser.

Mit 66 Abbildungen im Text und drei Tafeln.  
gr. 8. Preis geh. 14 *M.*, geb. 16 *M.*

**Verhandlungen**  
der  
**Deutschen Physikalischen Gesellschaft**

---

Im Auftrage der Gesellschaft herausgegeben

von

**Karl Scheel**

---

10. Jahrg.

29. Februar 1908.

Nr. 4.

---

**Sitzung vom 7. Februar 1908.**

---

Vorsitzender: Hr. M. PLANCK.

---

Hr. Br. Glatzel berichtet über  
die Quecksilberfunkenstrecke und ihre Verwendung zur  
Erzeugung schwach gedämpfter elektrischer Wellen.  
(Schon abgedruckt in diesen Verh., Heft 3, S. 54—66.)

---

Ferner spricht Hr. O. Reichenheim über  
Anodenstrahlen (5. Mitteilung),  
nach gemeinsam mit Hrn. E. Gehrcke ausgeführten Versuchen.

---

Weiter trägt Hr. H. G. Möller über das Thema:  
Zur Theorie der Überspannungen  
vor.

---

Sodann berichtet Hr. Karl Scheel:  
Über das Lichtbrechungsvermögen des Heliums,  
nach gemeinsam mit Hrn. Rudolf Schmidt angestellten Versuchen.

---

Endlich schildert Hr. **Wilhelm Felgentraeger** den Einfluß der Schneiden auf die Bestimmung der Schwerkraft mit dem Reversionspendel.

---

Die Aufnahme folgender Mitteilungen in die Verhandlungen der Gesellschaft wird beschlossen:

**O. v. Baeyer:** Über langsame Kathodenstrahlen.

**W. Kaufmann:** Erwiderung an Hrn. STARK.  
(Vorgelegt von Hrn. M. PLANCK.)

**Erich Regener:** Über Zählung der  $\alpha$ -Teilchen durch die Szintillation und die Größe des elektrischen Elementarquantums. (Vgl. diese Verh. Heft 3, S. 78—83.)

---

Als Mitglieder wurden in die Gesellschaft aufgenommen:

Hr. Prof. Dr. A. SCHWEITZER, Zürich.

(Vorgeschlagen durch Hrn. H. F. WEBER.)

Hr. Dr. H. G. MÖLLER, Assistent am physikalischen Institut der Technischen Hochschule, Charlottenburg 2.

(Vorgeschlagen durch Hrn. F. DOLEZALEK.)

Hr. Dr. W. MEISSNER, Berlin W 15, Joachimsthalerstr. 36.

(Vorgeschlagen durch Hrn. M. LAUE.)

Hr. Dr. A. WIGAND, Assistent am physikalischen Institut der Technischen Hochschule, Dresden.

(Vorgeschlagen durch Hrn. W. HALLWACHS.)

Hr. stud. phil. ULFILAS MEYER, Friedenau bei Berlin, Fregestr. 66.

(Vorgeschlagen durch Hrn. ERICH LADENBURG.)

Hr. stud. techn. WERNER HAKEN, Charlottenburg 2, Schlüterstr. 70.

Hr. stud. rer. nat. CARL HEIDERICH, Charlottenburg 2, Grolmannstraße 64.

(Beide vorgeschlagen durch Hrn. WILHELM H. WESTPHAL.)

---

***Der Einfluß der Schneiden auf die Bestimmung der Schwerebeschleunigung mit dem Reversionspendel;***  
***von Wilhelm Felgentraeger.***

(Vorgetragen in der Sitzung vom 7. Februar 1906.)

(Vgl. oben S. 86.)

In der Einleitung zu ihrem für die Bestimmung der Schwerkraft grundlegenden Werke bedauern die Herren KÜHNEN und FURTWÄNGLER<sup>1)</sup>, daß über den Einfluß der Schneide auf die Bewegung des Pendels keine sicheren Erfahrungen vorliegen und man deshalb auf Hypothesen angewiesen sei. Sie schlagen daher Untersuchungen an Pendeln von geringem Abstand zwischen Schneide und Schwerpunkt vor, da bei solchen dieser Einfluß viel stärker hervortreten werde als beim Sekundenpendel.

Sie haben dabei übersehen, daß ich mehrere Jahre vorher eine Theorie des Einflusses der Pendelschneide auf die Schwingungsdauer nebst ihrer bestätigenden Prüfung gerade durch Versuche an solchen nahezu astatischen Pendeln veröffentlicht<sup>2)</sup> habe.

Es besteht in dieser Hinsicht keine Lücke mehr, da die Ergebnisse der gesamten Untersuchung die wesentlichen Punkte völlig aufgeklärt haben.

Wenn ich es damals unterließ, diese Ergebnisse auf die Theorie des Reversionspendels anzuwenden, so bestimmt mich dazu hauptsächlich das Bedenken, ob aus Beobachtungen bei einer Schwingungsdauer von 22 bis 95 sec Schlüsse auf das Sekundenpendel erlaubt seien. Sodann aber zeigte eine einfache Rechnung mir, daß bei Beobachtungen am Reversionspendel aus dem Resultat für die Schwerebeschleunigung gerade der Einfluß der Schneide völlig herausfällt.

<sup>1)</sup> F. KÜHNEN u. PH. FURTWÄNGLER, Bestimmung der absoluten Größe der Schwerkraft zu Potsdam. Veröff. d. Kgl. Preuß. Geodät. Instituts. Neue Folge. Nr. 27, S. XIII. Berlin 1906.

<sup>2)</sup> W. FELGENTRAEGER, Über den Einfluß der Schneide auf die Schwingungsdauer des Pendels und der Wage. Wissensch. Abhandl. d. Kaiserl. Norm.-Eich.-Kommiss. 4, 155, 1902.

Nur die Reduktion auf kleinste Bogen erleidet eine Modifikation, die aber auch beim Sekundenpendel kaum die siebente Dezimale der Schwingungsdauer beeinflussen kann, also ganz zu vernachlässigen ist.

Dies nachzuweisen, ist der Zweck der folgenden Zeilen. Ich muß dazu auf die Resultate meiner damaligen Untersuchungen kurz zurückkommen.

An einem sehr starren Messingpendel, das mit einer Stahlschneide auf einem Planachat schwang und bei dem ich die Masse von 1,7 kg bis 2,7 kg, das Trägheitsmoment direkt meßbar von 594 bis 1445 · 10<sup>3</sup> cm<sup>2</sup>g, und die durch eine statische Methode gemessene Direktionskraft von 12093 bis 688 cm<sup>2</sup>g sec<sup>-2</sup> variierte, so daß eigentlich nur Schneide und Pfanne unverändert blieben, bestimmte ich durch 12 Versuche die jedesmal zusammengehörigen Werte der Schwingungsdauer, Dämpfung, Reduktion auf kleinste Bogen und Direktionskraft.

Die Bestimmungen ergaben, daß die früher theoretisch entwickelte Differentialgleichung<sup>1)</sup>:

$$K \frac{d^2 \varphi}{dt^2} + 2C \frac{d\varphi}{dt} + S_1 \sin \varphi = S_1 \varphi + S_2 \varphi^2 + S_3 \varphi^3$$

an Stelle der gewöhnlich für das Pendel aufgestellten treten muß.

Berücksichtigt man die aus dem zweiten Gliede der linken Seite entstehende Dämpfung in der üblichen Weise und vernachlässigt  $S_3$ , da dies Glied aus Symmetriegründen klein ist und nur einen Einfluß zweiter Ordnung<sup>2)</sup> auf die Schwingungsdauer ausübt, so erhält man für die Schwingungsdauer  $T_0$  bei unendlich kleinem Bogen und  $T_\psi$  bei der Schwingungselongation  $\psi$ :

$$T_0 = T_\psi \left[ 1 - \frac{3}{8} \left( \frac{1}{6} + \frac{S_2}{S_1 + S_1'} \right) \psi^2 \right] = \pi \sqrt{\frac{K}{S_1 + S_1'}}$$

Für das untersuchte Pendel war nun  $S_1' = +96,4$  cm<sup>2</sup>g sec<sup>-2</sup> unabhängig von  $K$ ,  $S_1$  und der Schwere des Pendels, also dem

<sup>1)</sup> Es ist in dieser Formel  $K$  das Trägheitsmoment,  $S_1$  die Direktionskraft,  $\varphi$  der Winkel des Pendels gegen die Ruhelage,  $t$  die Zeit.  $S_1$ ,  $S_2$ ,  $S_3$  sind von dem Einfluß der Schneide herrührende Konstanten.

<sup>2)</sup> Vgl. F. R. HELMBERT, Beiträge z. Theorie d. Reversionspendels, S. 78, 1898, und F. A. SCHULZE, Die Schwingungsdauer und Dämpfung asymmetrischer Schwingungen. Ann. d. Phys. (4) 9, 111, 1902.

Druck auf die Schneide. Ebenso war <sup>1)</sup>  $S'_2 = + 121\,545 \text{ cm}^2 \text{ g} \text{ sec}^{-2}$  unabhängig von den genannten Größen.

Aus den obigen Formeln folgt nun, wenn man

$$S_1 = h M g$$

setzt<sup>2)</sup>, daß beim Reversionspendel  $S'_1$ , falls diese Größe in beiden Pendellagen identisch ist,  $g$  unabhängig von  $S_1$  gefunden wird, ebenso wie dies mit dem Lufteinfluß und der Schneidenabrundung der Fall ist. Indem man zur völligen Elimination der letzten beiden Größen die Schneiden oder die Gewichte vertauscht, eliminiert man auch  $S'_1$  völlig aus dem Endresultat für  $g$ .

Bei meinen Versuchen war ferner stets  $\frac{S'_2}{S_1 + S'_1} > 10$  und daher überwog der Einfluß dieser Größe das aus der Entwicklung des  $\sin \varphi$  herrührende Glied  $1/6$  um mindestens das Sechzigfache und kam daher allein in Betracht.

Bei einem geodätischen Pendel ist das natürlich ganz anders.

Nimmt man dessen Gewicht zu 5000 g, den Abstand  $h$  für „schweres Gewicht oben“ zu 20 cm und  $g$  zu  $981 \text{ cm sec}^{-1}$  an, so würde sich bei der Benutzung meiner Schneide

$$\frac{S'_2}{S_1} = \frac{122 \cdot 10^3}{98\,100 \cdot 10^3}$$

finden, und damit eine Berücksichtigung von  $S'_2$  die Reduktion auf unendlich kleine Bogen nur um etwa 1 Proz. ändern.

Diese Änderung ist fast stets zu vernachlässigen, sie würde bei den Beobachtungen der Herren KÜHNEN und FURTWÄNGLER nie eine Einheit der letzten (siebenten!) noch angegebenen Dezimale von  $T$  betragen haben.

Es könnte noch die Frage diskutiert werden, ob man wirklich berechtigt sei, die Direktionskraft  $S_1$  proportional der Größe  $h$  zu setzen oder ob zwischen Schneide und Pfanne elastische Kräfte auftreten könnten, die man nicht wohl bestimmen kann, da man

<sup>1)</sup> In meiner Abhandlung (l. c. S. 183 u. 184) kam es auf den absoluten Wert von  $S'_2$  nicht an, es sind dort nur die Werte angegeben (1,16 u. 1,06), die man erhält, wenn man den Schwingungsbogen in Skalenteilen mißt. Ein solcher Skalenteil betrug in Bogenmaß 0,003022, durch Division mit dem Quadrat dieser Zahl erhält man im Mittel den obigen Wert.

<sup>2)</sup>  $h$  ist der Abstand des Schwerpunktes von der Drehungsachse,  $M$  die Masse des Pendels,  $g$  die Schwerkraftbeschleunigung.



$h$  nicht direkt messen kann. Über diese Frage geben meine Versuche keinen direkten Aufschluß. Man wird aber wohl annehmen dürfen, daß diese Kräfte nur vom Drucke auf die Unterlage und von der Schwingungsdauer abhängen, wenigstens bei kleinen Bogen. Daß solche Kräfte von merklichem Betrag nicht vorhanden sind, beweisen meine Versuche mit unveränderter Belastung und stark variiertem Trägheitsmoment. Sind sie aber vorhanden, so gehen auch sie in das Endresultat für  $g$  ebenso wenig ein wie  $S'$ .

So wichtig nach dem Angeführten die Untersuchungen der Schneidenreaktion in vielen Fällen sind, das schließliche Resultat der Schwerkraftbeschleunigung beeinflussen die gefundenen Zahlen nie in merkbarer Weise.

---

**Erwiderung an Herrn Stark;  
von W. Kaufmann.**

(Vorgelegt in der Sitzung vom 7. Februar 1908.)

(Vgl. oben S. 86.)

Nachdem vor einigen Monaten Herr PLANCK<sup>1)</sup> versucht hatte, die Abweichungen meiner Messungen über die magnetische und elektrische Ablenkung der  $\beta$ -Strahlen von den Ergebnissen der Relativtheorie dadurch zu erklären, daß er eine Verminderung des elektrischen Feldes infolge Ionisation der Gasreste annahm, habe ich<sup>2)</sup> gezeigt, daß eine Ionisation von dem Grade, wie sie die geringe Radiummenge in meinem Apparate erzeugen konnte, keinesfalls eine genügend große Feldverzerrung hervorbringen könne.

Diese Beweisführung hat Herr STARK<sup>3)</sup> kürzlich als unrichtig hinzustellen versucht, indem er folgende Einwände gegen meine Berechnung erhob:

1. Die Ionengeschwindigkeit sei falsch berechnet, weil bei dem niedrigen Drucke in meinem Apparate „das OHMSche Gesetz nicht mehr gelte“.

2. Die Ionisierung des Gases sei zu klein angenommen, da ich die Wirkung der Sekundärstrahlen und diejenige des Ionenstoßes außer acht gelassen habe.

3. Die angegebene Größe von 0,1 mm für den Druck des Gases beruhe nur auf Schätzung.

Ich habe gegen die tatsächliche Richtigkeit der angeführten Punkte gar nichts einzuwenden, werde jedoch zeigen, daß dadurch an dem Hauptresultat, daß nämlich die Feldverzerrung von viel kleinerer Größenordnung ist, als sie nach Herrn PLANCKs Annahme sein müßte, nichts wesentliches geändert wird.

<sup>1)</sup> Diese Verhdl. 9, 301, 1907.

<sup>2)</sup> Ebenda 9, 667, 1907.

<sup>3)</sup> Ebenda 10. 14, 1908.

Was zunächst den Gasdruck anbetrifft, dessen Größe für die anderen Annahmen wesentlich mitbestimmend ist, so ist der Wert von 0,1 mm, wie leicht zu sehen, eine obere Grenze, also für meine Beweisführung denkbar ungünstig. Der Grenzwert des Gasdruckes folgt aus der Tatsache, daß Spannungsdifferenzen von etwa  $\pm 2000$  Volt zwischen den Kondensatorplatten und den im Maximum etwa 1,5 cm entfernten geerdeten Wänden des Apparates keine Entladung erzeugten. Die Länge des CROOKESSchen Dunkelraumes betrug also sicher mehr als etwa 1,5 cm, was nach den Messungen von Herrn EBERT<sup>1)</sup> einem Drucke von etwa 0,1 mm entspricht.

Das Ausbleiben der Entladung bei niederem Drucke und engem Elektrodenabstand (HITTORFSches Phänomen<sup>2)</sup>) erklärt sich bekanntlich dadurch, daß infolge der gegen den Elektrodenabstand großen mittleren Weglänge der spontan, oder durch äußere Ursache erzeugten Ionen Zusammenstöße mit Gasmolekülen und damit eine Stoßionisierung nicht mehr in genügender Menge eintreten, um die Ionendichte wesentlich zu vermehren und damit eine selbständige Strömung im Gase zu veranlassen. Dadurch erledigt sich zugleich auch der Einwand des Herrn STARK, daß ich die Stoßionisierung vernachlässigt hätte.

Daß die Sekundärstrahlung an der Größenordnung der Ionisation nichts wesentliches ändern kann, ist wohl ohne weiteres klar. Die von der Kathode allein ausgehenden langsamen Elektronen ( $\delta$ -Strahlen) können höchstens die Polarisationswirkung des Überschusses an  $+$  Ionen und damit die Feldverzerrung vermindern. Eine obere Grenze für die Ionisation im Gase erhält man aus den in meinen Beobachtungsprotokollen<sup>3)</sup> mitgeteilten Isolationsverlusten meines Apparates. Bei trockenem Wetter, also möglichstem Ausschluß von Leitung über die isolierenden Stützen, betrug der Verlust des sich selbst überlassenen Apparates weniger als 2 Volt pro Sekunde, was bei einer Kapazität der dem Kondensator parallel geschalteten Leidener Flaschen von etwa 1000 cm einem Strome von etwa sieben elektrostatischen Einheiten pro Sekunde entspricht. Es ist also rund  $q = 7$  als obere Grenze

<sup>1)</sup> Wied. Ann. 69, 200, 372, 1899.

<sup>2)</sup> Ebenda 21, 96, 1884.

<sup>3)</sup> Ann. d. Phys. (4) 19, 540, 1906.

für die Ionisation zu betrachten. In meiner Rechnung hatte ich dagegen  $q = 10^{-4}$  angenommen. Nach meiner damaligen Annahme einer der Kraft proportionalen Geschwindigkeit ändert sich die Feldverzerrung proportional  $\sqrt{q}$ , es würde also das Resultat mit  $100 \cdot \sqrt{7} =$  rund 250 zu multiplizieren sein. Dann wäre die relative Feldverzerrung nicht  $10^{-6}$ , sondern etwa  $10^{-6}$  an Stelle der von Herrn PLANCK verlangten  $10^{-1}$ .

Ich lasse endlich möglichst noch die Berechnung der Feldverzerrung unter der Annahme einer von Zusammenstößen freien Bewegung der Ionen folgen. Die Buchstaben haben dieselbe Bedeutung wie früher; es werden zunächst die Ionendichten  $\rho$  und  $\rho'$  unter der Annahme konstanter Feldstärke  $X$  berechnet, dann mittels der POISSONSchen Gleichung  $\partial X / \partial x = 4\pi \cdot (\rho - \rho')$  die am Feldverlaufe anzubringenden Korrekturen. Da diese sich als sehr klein gegen den Mittelwert von  $X$  ergeben, so ist eine weitere Korrektur der Ionendichten unnötig. Ferner ergibt sich daraus die Berechtigung, bei der Integration  $X$  als konstanten Faktor zu behandeln.

Ein im Abstände  $\xi$  von der Anode erzeugtes und seine Bewegung mit der Anfangsgeschwindigkeit 0 beginnendes  $+ \text{Ion}^1$ ) hat im Punkte  $x$  die Geschwindigkeit

$$v_{x,\xi} = \sqrt{2v'(x - \xi)}, \quad 1)$$

wobei die Beschleunigung  $v'$  gegeben ist durch

$$v' = eX/m \quad 2)$$

( $e =$  Ladung,  $m =$  Masse eines  $+ \text{Ions}$ ).

Wir betrachten einen parallelepipedischen Raum von 1 qcm Grundfläche und dem Abstände  $L$  der beiden Kondensatorplatten als Höhe.

Zwischen  $\xi$  und  $\xi + d\xi$  werden pro Sekunde  $q \cdot d\xi$  Ionen erzeugt; die Dichte dieser Ionen bei  $x$  ist also:

$$dq_x = \frac{q d\xi}{v_{x,\xi}} \quad 3)$$

und die Gesamtdichte im Punkte  $x$  ist:

---

<sup>1)</sup> Die molekulare Eigengeschwindigkeit infolge der Temperaturbewegung kann vernachlässigt werden.

$$\varrho_x = \int_0^x \frac{q \, d\xi}{v_{x_1} \xi} = q \sqrt{\frac{m}{2eX}} \int_0^x \frac{d\xi}{\sqrt{x-\xi}} = q \sqrt{\frac{2m}{eX}} x. \quad 4)$$

In ganz ähnlicher Weise erhält man für die — Ionen:

$$\varrho'_x = q \sqrt{\frac{2m'}{eX}} (L-x). \quad 5)$$

Somit ist:

$$dX/dx = 4\pi(\varrho - \varrho') = 4\pi q \sqrt{\frac{2m}{eX}} \left\{ \sqrt{x} - \sqrt{\frac{m'}{m}(L-x)} \right\}. \quad 6)$$

Ein Minimum  $X_0$  liegt also bei  $x_0$ , wenn:

$$x_0/(L-x_0) = m'/m. \quad 7)$$

Somit ist die größte Differenz der Feldstärken:

$$X_L - X_0 = \int_{x_0}^L \frac{dX}{dx} = 4\pi q \sqrt{\frac{2m}{eX}} \int_{x_0}^L \left\{ \sqrt{x} - \sqrt{\frac{x_0(L-x)}{L-x_0}} \right\} dx. \quad 8)$$

Der Wert des Integrals ist:

$$J = \frac{2}{3} L \left\{ L^{\frac{3}{2}} - x_0^{\frac{3}{2}} \right\}. \quad 9)$$

Dieser Ausdruck wird um so größer, je kleiner  $x_0$ , d. h. je kleiner  $m'/m$ . Nehmen wir den ungünstigsten Fall, daß  $m'/m$  sehr klein, daß also etwa  $m'$  ein Elektron und  $m$  ein Molion, so können wir  $x_0$  gegen  $L$  vernachlässigen und erhalten  $J = 2/3 \cdot L^{\frac{3}{2}}$ , also:

$$X_L - X_0 = 4\pi q \cdot \sqrt{\frac{2mL^3}{eX}}. \quad 10)$$

Für ein Wasserstoffatom ist  $e/m = 10^4 \cdot 3 \cdot 10^{10}$  elektrostatische Einheiten. Ich will die recht ungünstige Annahme machen, daß die positiven Ionen aus relativ großen Molekülkomplexen bestehen und etwa das Molekulargewicht 100 haben. Dann ist  $e/m = 3 \cdot 10^{12}$ . Ferner ist  $X = 67$  und  $L = 0,12$ . Somit wird, nach oben abgerundet:

$$X_L - X_0 = 10^{-7} \cdot q. \quad 11)$$

Selbst wenn man hierin für  $q$  seine oben berechnete obere Grenze, nämlich rund  $q = 10$  einsetzt, so ergibt sich immer noch ein  $10^{-5}$  mal kleinerer Wert für die Feldverzerrung, als nach der PLANCKSchen Annahme erforderlich.

Es bleibt also wohl das Resultat bestehen, daß die Abweichungen meiner Messungen von der Relativtheorie größer sind, als die von bekannten Fehlerquellen herrührenden wahrscheinlichen Fehler. Damit ist natürlich nicht ausgeschlossen, daß noch unbekannte Fehlerquellen existieren, die einmal zur Erklärung der Abweichungen dienen können. Solange diese aber nicht aufgefunden sind, bleibt der Widerspruch gegen die Relativtheorie bestehen. Weitere Aufklärung dürfte wohl von den neuen experimentellen Untersuchungen über  $\beta$ -Strahlen zu erwarten sein, die mehrere Beobachter unabhängig voneinander augenblicklich über die Ablenkung rascher Elektronen ausführen.

Bonn, den 3. Febr. 1908. Phys. Inst. d. Univ.

**Über langsame Kathodenstrahlen;  
von O. v. Baeyer.**

(Vorgelegt in der Sitzung vom 7. Febr. 1908; eingegangen am 3. Febr. 1908.)

(Vgl. oben S. 86.)

Für die spezifische Ladung der Elektronen haben die Messungen an langsamen Kathodenstrahlen gegenüber den Bestimmungen an Strahlen großer Geschwindigkeit wenig übereinstimmende Resultate ergeben. Besonders gilt dies von der von J. J. THOMSON <sup>1)</sup> angegebenen Methode der Bestimmungen der Reichweite von Elektronen, die sich in einem homogenen elektrischen und einem zur elektrischen Feldwirkung senkrechten magnetischen Felde bewegen. Im folgenden habe ich die Eigenschaften langsamer Kathodenstrahlen untersucht, um den Grund dieser Abweichungen zu ermitteln. Und zwar wurden speziell die folgenden Punkte einer näheren Untersuchung unterzogen:

1. Die Herstellung möglichst homogener langsamer Kathodenstrahlen großer Intensität mittels glühender Oxydkathode.
2. Das Ionisationsvermögen.
3. Die Bestimmung ihrer Geschwindigkeit (in Volt).
4. Sekundärstrahlung bzw. Reflexion.

Die durch lichtelektrische Wirkung hervorgebrachten langsamen Kathodenstrahlen hat LENARD <sup>2)</sup> eingehend untersucht. Die von ultraviolett bestrahlten Elektroden entweichenden Kathodenstrahlen haben nach seinen Untersuchungen beträchtliche Anfangsgeschwindigkeiten, und zwar haben etwa 70 Proz. der gesamten Menge über 0 liegende Anfangsgeschwindigkeit.

Man kann also auf diese Weise eine einigermaßen homogene Strahlung bei kleinen Geschwindigkeiten nicht erhalten.

<sup>1)</sup> J. J. THOMSON, Phil. Mag. (5) 48, 547, 1899.

<sup>2)</sup> LENARD, Ann. d. Phys. (4) 2, 355, 1900; 8, 149, 1902; 12, 449, 714, 1903; 15, 485, 1904.

## I.

Dagegen eignet sich für diesen Zweck offenbar die von WEHNELT<sup>1)</sup> angegebene Erzeugungsweise an glühenden Oxydkathoden besser. Allerdings besitzen die von glühenden Elektroden ausgehenden Elektronen auch Anfangsgeschwindigkeiten, wie dies schon ELSTER und GEITEL<sup>2)</sup> gezeigt haben. Die Betrachtung der Sättigungskurven an solchen Elektroden zeigt aber, daß die Menge der mit merklicher Anfangsgeschwindigkeit entweichenden Elektronen verschwindend klein ist gegenüber der gesamten Menge.

Nach Analogie mit den LENARDSchen Anschauungen erhält man die Menge der mit Anfangsgeschwindigkeit entweichenden Teilchen durch Messung des Stromes, der von der glühenden Kathode ohne Ladung nach der Umgebung abfließt. Alle Sättigungskurven dieser Art zeigen einen steilen Abfall nach 0 zu. Eine genauere Untersuchung an diesem Punkte ist aber ohne weiteres unmöglich. Verwendet man z. B. einen elektrisch geglühten Draht innerhalb eines koaxialen Zylinders, und mißt den von dem Draht nach dem Zylinder fließenden Strom durch ein Galvanometer, so wird der Zylinder, je nachdem man den positiven oder negativen Zuleitungsdraht des Heizstromes mit dem Galvanometer und dadurch mit dem Zylinder verbindet, ein positives oder negatives Potential erhalten, das der auf dem Draht herrschenden Potentialdifferenz entspricht<sup>3)</sup>. Außerdem wird aber auch das durch den beträchtlichen Heizstrom an der Oberfläche des glühenden Drahtes hervorgerufene Magnetfeld eventuell die ganz langsamen Kathodenstrahlen beeinflussen. Um diesen Übelstand zu beseitigen, habe ich für alle Messungen<sup>4)</sup> eine durch Motor betriebene Quecksilberwippe verwendet, die in fortwährendem Wechsel (5- bis 10 mal in der Sekunde) einmal den Heizstrom, und, wenn dieser ausgeschaltet ist, das Galvanometer einschaltet. Auf diese Weise wird nur die Elektronenmenge gemessen, die entsteht, wenn der Draht zwar noch glüht, aber nicht mehr stromdurchflossen ist.

<sup>1)</sup> WEHNELT, Ann. d. Phys. (4) 14, 425, 1904.

<sup>2)</sup> Wien. Ber. 97 [2a], 1175, 1888.

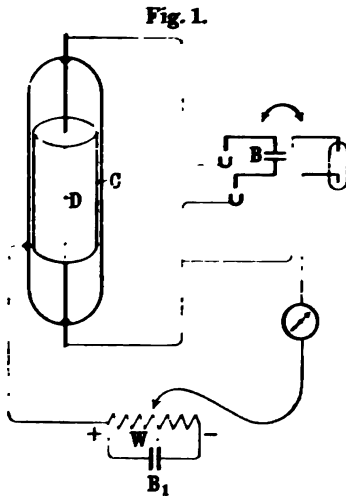
<sup>3)</sup> Es ist dies der sogenannte „Edison-effekt“ an Glühlampen.

<sup>4)</sup> Auch in den Fällen, wo es in der Versuchsanordnung nicht erwähnt ist.



Die Anordnung für die Aufnahme einer Sättigungskurve ist in folgender Fig. 1 gegeben.

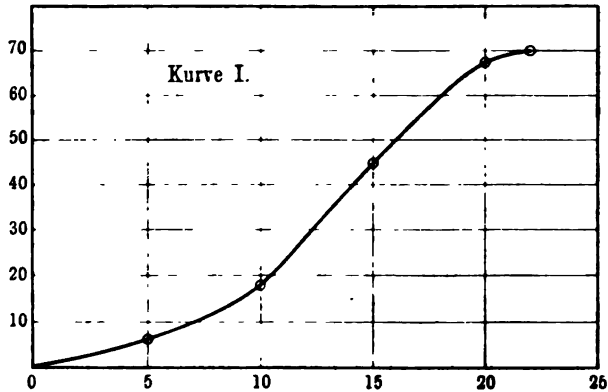
*C* ist der in einer evakuierten Glasröhre angebrachte Zylinder, *D* der mit Calciumoxyd überzogene Heizdraht. Die Zuleitung des



Heizstromes von der Batterie *B* geht über die zwei Kontakte der Wippe. Die andere Seite der Wippe verbindet den einen Zuleitungsdraht des Heizstromes mit dem Galvanometer, von wo der Strom über die Spannungsquelle, einen variablen Abzweigungswiderstand *W*, dessen Enden an Batterie *B*<sub>1</sub> liegen, nach *C* fließt. Das richtige Funktionieren der Wippe kann dadurch konstatiert werden, daß ein Kommutieren des Heizstromes keinen Einfluß auf die Ausschläge im Galvanometer haben darf. Zur Ausführung

der Messungen diente ein SIEMENS u. HALSKE-Galvanometer (Empfindlichkeit  $5 \cdot 10^{-10}$  Amp. pro Skt.), das bei Messung größerer

Fig. 2.



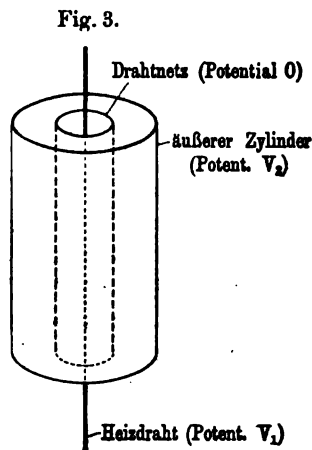
Ströme im Nebenschluß zu einem bekannten Widerstand gelegt werden konnte. Der Verlauf der „Sättigungskurve“ ist durch die

Kurve 1 (Fig. 2) gegeben. Der Strom für  $V = 0$  wurde besonders geprüft. Es fand sich durchweg ein Wert unter  $\frac{1}{2}$  Proz. des Wertes bei 22 Volt, wo der Sättigungsstrom annähernd erreicht war. Die Anordnung gestattet auch die Menge der Elektronen, die bei positiver Ladung von  $D$  entweicht, zu bestimmen. Man kann hier eine Wirkung von 0 bis herab zu 2 Volt etwa erhalten, wie nach den Versuchen von ELSTER und GEITEL an glühenden Drähten ohne Calciumoxydüberzug zu erwarten war. Diese Versuche wurden natürlich zur Vermeidung des Einflusses der Ionisation in möglichst hohem Vakuum ausgeführt. Zur Evakuation wurde eine KAUFMANNsche Pumpe verwendet und außerdem noch zur Beseitigung der Quecksilber- und Fettdämpfe ein U-förmiger Teil der Zuleitung zum Entladungsrohr mit flüssiger Luft gekühlt.

Immerhin schien es wünschenswert, die Größe der bei solchen Versuchen auftretenden Ionisation festzustellen.

## II. Ionisation langsamer Kathodenstrahlen.

LENARD<sup>1)</sup> hat für die lichtelektrisch erzeugten Elektronen eine Grenzgeschwindigkeit der Ionisation nachgewiesen, die bei etwa 10 Volt liegt. Es erschien nun ohne weiteres nicht sicher, daß bei den hier angewandten, sehr viel intensiveren Strahlen gleiche Verhältnisse vorliegen. Die Untersuchung wurde in analoger Weise wie bei LENARD an- gestellt. Der glühende Draht war von einem coaxialen Zylinder (Fig. 3) von 1 cm Durchmesser aus Messingdraht- netz umgeben (Drahtstärke 0,1 mm, Maschenweite 0,3 mm); dieser von einem zweiten Messingzylinder von 2 cm Durch- messer. Zwischen Draht und Draht- netz wurden durch eine variable Po- tentialdifferenz  $V_1$  Kathodenstrahlen verschiedener Geschwindigkeit erzeugt. Diese traten durch das Netz, erreichten aber den zweiten Zylinder nicht, da derselbe sich



<sup>1)</sup> LENARD, l. c.

auf negativem Potential ( $V_2 = 20$  Volt) gegenüber dem Drahtnetz befand, das über dem Potential des Heizdrahtes lag. Tritt nun Ionisation des Gasvolumens zwischen Zylinder und Netz ein, so muß positive Ladung vom Netz zum Zylinder transportiert werden. Ist die Ionisation im Verhältnis zu den durchtretenden Elektronen einigermaßen beträchtlich, so muß dieser Strom durch ein zwischen Zylinder und Netz eingeschaltetes Galvanometer nachweisbar sein. Von  $V_1 = 0$  bis  $V_1 = 10$  ließ sich zwischen dem äußersten Zylinder und dem Drahtnetz kein Strom nachweisen. Überschritt aber  $V_1$  10 Volt, so trat ein positiver, vom Zylinder zum Netz fließender Strom auf, der rasch mit wachsendem  $V_1$  anstieg. Dieser positive Strom wurde bei Vergrößern des negativen Potentials  $V_2$  nicht größer, woraus hervorgeht, daß bereits Sättigung eingetreten war. Es zeigt sich also ein ganz analoges Verhalten wie bei den außerordentlich viel schwächeren lichtelektrisch erzeugten Kathodenstrahlen. Um die Menge der pro Elektron erzeugten positiven Ionen zu bestimmen, war es nötig, die Menge der in den Raum zwischen Netz und äußerem Zylinder eintretenden Elektronen zu messen. Zu dem Zweck habe ich gleichzeitig den Strom zwischen äußerstem Zylinder und Drahtnetz gemessen, wenn beide auf gleichem Potential waren, d. h.  $V_2 = 0$ . Das Verhältnis des Stromes zwischen Netz und Zylinder bei  $V_2 = 20$  Volt und  $V_2 = 0$  Volt ergibt die von einem Elektron auf dem Wege vom Drahtnetz zum Zylinder und zurück zum Drahtnetz erzeugte Menge positiver Ionen. Die Messungen sind in folgender Tabelle I (S. 101) zusammengestellt.

Der Druck war bei diesem Versuch etwa 0,01 mm. Jedoch ist eine exakte Druckbestimmung bei Anwendung des glühenden Drahtes ausgeschlossen. Aus demselben Grunde mußte ich auch darauf verzichten, verschiedene Gase zu untersuchen, da Angaben über die Zusammensetzung des Gasinhaltes bei der ständigen Entwicklung von Gas aus dem Draht, und der andererseits immer auftretenden Okklusion wohl kaum zu machen sind. Wenn die Messungen ergaben, daß mit der hier angewendeten Meßmethode eine Ionisation unter 10 Volt nicht nachweisbar war, so ist es natürlich nicht nötig, unterhalb dieser Grenze das Fehlen einer noch schwächeren Ionisation anzunehmen.

Tabelle I.

| Spannung<br>zwischen Heiz-<br>draht und<br>Drahtnetz $V_1$ | Menge der vom Draht-<br>netz nach dem äußeren<br>Zylinder gehenden<br>Elektronen (gemessen<br>durch die Größe des<br>Stromes bei $V_2 = 0$ ) | Menge der zwischen<br>Drahtnetz u. Zylinder<br>gebildeten + Ionen<br>(gemessen durch den<br>Strom bei $V_2 = 20$ ) | Zahl der pro<br>Elektron gebildeten<br>+ Ionen<br>$\frac{i_+}{i_-}$ |
|--|--|--|---|
| Volt   | $i_-$  | $i_+$  |   |
| 14   | 20 000 <sup>1)</sup>   | 16   | 0,0008  |
| 13   | 16 000   | 7  | 0,0004  |
| 12   | 13 000   | 4  | 0,0003  |
| 11   | 9 000  | 3  | 0,0003  |

Nach den Anschauungen von STARK<sup>2)</sup> entspricht die Grenzgeschwindigkeit von 10 Volt dem Ionisationsbeginn im Quecksilberdampf. Dies zu entscheiden war von Wichtigkeit, da man durch Beseitigung des Quecksilberdampfes bei allen Untersuchungen, bei denen eine möglichst geringfügige Ionisation Bedingung ist, höhere Geschwindigkeiten hätte verwenden können. Es gelang mir jedoch nicht, durch Kondensation des Quecksilberdampfes, was durch Kühlen eines U-förmigen Teiles der Zuleitung mit flüssiger Luft erreicht wurde, die Ionisation beträchtlich zu verringern.

So wurde z. B. die Entladungsröhre auf einen Druck von 0,005 mm mit der Quecksilberpumpe ausgepumpt und dann durch einen Hahn abgeschlossen. Es ergab sich dann bei einer Geschwindigkeit der das Drahtnetz verlassenden Strahlen von 14 Volt für den durch positive Ionen bedingten Strom (wobei  $V_2 = 20$ ):

$$i_+ = 50 \text{ Skt.},$$

während der negative durch Elektronen hervorgerufene Strom (bei  $V_2 = 0$ )

$$i_- = 86 000 \text{ Skt.}$$

betrug.

Bei Kühlung des U-Rohres mit flüssiger Luft war entsprechend

$$i_+ = 85, \quad i_- = 106 000 \text{ Skt.}$$

<sup>1)</sup> Diese großen Ausschläge sind nicht direkt beobachtet, sondern aus den Ausschlägen bei passend gewähltem Nebenschlußwiderstand berechnet.

<sup>2)</sup> STARK, Phys. ZS. 5, 51, 1904.

Wie man sieht, ist in beiden Fällen die Zahl der pro Elektron gebildeten positiven Ionen annähernd gleich.

Wurde das Vakuum durch Anwendung von mit flüssiger Luft gekühlter Kohle möglichst erhöht, so ließ sich leicht erreichen, daß die Ionisation bei nicht zu hoher Geschwindigkeit mit den hier angegebenen Methoden nicht mehr meßbar wurde.

### III. Geschwindigkeit der erzeugten Kathodenstrahlen.

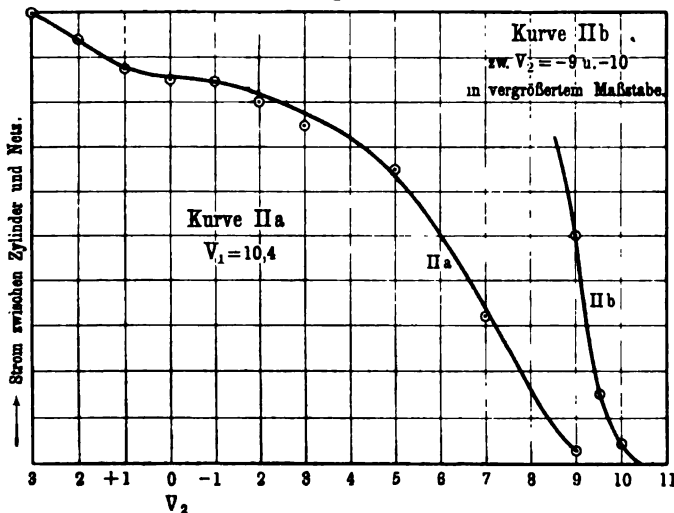
Mit derselben Anordnung wurde nun versucht, über die Geschwindigkeit der erzeugten Kathodenstrahlen (ausgedrückt in Volt) Aufschluß zu erhalten. Nimmt man an, daß die vom glühenden Draht ausgehenden Elektronen aus dem Drahtnetz mit einer Geschwindigkeit austreten, die dem Potentialgefälle zwischen Heizdraht und Drahtnetz entspricht, so kann den äußersten Zylinder kein Elektron mehr erreichen, wenn dieser dem Netz gegenüber dasselbe negative Potential, wie der glühende Draht besitzt. Sinkt nun das negative Potential  $V_2$  des Zylinders um einen beliebig kleinen Teil, so sollte eigentlich die gesamte durch das Netz tretende Menge den Zylinder erreichen. Es müßte also die auffallende Menge in der Umgebung dieses Potentials außerordentlich rasch ansteigen und diesen Wert behalten bei weiterem Sinken des Potentials. Hierbei ist allerdings vorausgesetzt, daß die Elektronen aus dem Drahtnetz senkrecht zu dessen Oberfläche entweichen. Die Ausführung des Versuches ergab folgendes:

Bei sehr sorgfältigem Auspumpen mit der KAUFMANNschen Pumpe und Kühlung des in die Zuleitung eingeschalteten U-Rohres mit flüssiger Luft erhielt man bei  $V_1 = 10,4$ , zwischen  $V_2 = 10,4$  und  $V_2 = 9$  für den Strom  $i$  zwischen Zylinder und Drahtnetz, ein sehr rasches Ansteigen. Die Kurve II b (Fig. 4) stellt den Verlauf von  $i$  von  $V_2 = 9$  bis  $V_2 = 10,5$  dar. Auffallend war, daß der Strom  $i$  gerade in der Nähe von  $V_2 = 10$  durch die Art des Evakuierens bedeutend beeinflusst wird. So ergab sich z. B. für  $V_1 = 10,4$ ,  $V_2 = 10$  bei Evakuierung mit der Quecksilberpumpe allein ein Ausschlag von 6 Skt., während die Kühlung des U-Rohres mit flüssiger Luft den Ausschlag auf 50 Skt. steigen ließ, wobei der vom glühenden Draht ausgehende Strom annähernd konstant blieb. Dies zeigt, daß die Elektronen, die in diesem Falle in der Nähe des Zylinders sehr kleine Geschwindig-

keiten besitzen, durch die leicht kondensierbaren Teile des Gasinhaltes, also vor allem wohl Quecksilberdampf und Fettdämpfe, aufgehalten bzw. aus ihrer Richtung gebracht werden, ohne daß dabei eine Ionisation nachweisbar gewesen wäre.

Bei weiter sinkendem, negativem Potential des Zylinders stieg die aufgefangene Elektronenmenge nun aber in demselben Maße immer weiter an; ein Konstantwerden konnte auch bei positivem Potential von etwa 4 Volt noch nicht erreicht werden. Der Verlauf ist in Kurve IIa

Fig. 4.



(Fig. 4) in dem Bereich von  $V_2 = -9$  bis  $V_2 = +3$  dargestellt. Man kann also aus diesen Versuchen nur schließen, daß ein kleiner Teil der Gesamtstrahlung senkrecht zum Drahtnetz mit der Geschwindigkeit  $V_1$  austritt.

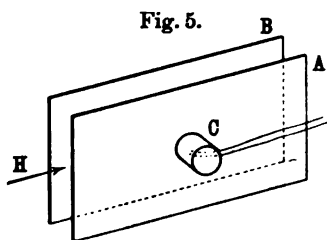
Das Ansteigen des Effektes zwischen  $V_2 = 10$  und  $V_2 = 0$  kann nun verschieden gedeutet werden. Entweder kann man annehmen, daß ein beträchtlicher Teil der Elektronen bei dem Durchgang durch das Netz durch den komplizierten Verlauf des Feldes in der Nähe der Netzdrähte eine Richtungsänderung erfährt. Ein Teil der Elektronen, der bei großem, verzögerndem Feld zwischen Zylinder und Netz an die Drähte des Netzes getrieben wurde, wird bei kleinerem, verzögerndem oder bei beschleunigendem Feld

durch die Maschen durchtreten, ohne die Netzdrähte zu treffen, an den Zylinder gelangen und dadurch die Steigerung des Stromes erklären.

Eine andere Möglichkeit wäre, daß die durch das Netz tretenden Teilchen nicht gleiche Geschwindigkeit besitzen. Dazu müßten diese Teilchen nicht von der Oxydkathode, sondern von den dazwischen liegenden Gasresten ausgegangen sein, wie dies vielfach bei sichtbaren Kathodenstrahlen angenommen wird. In unserem Falle ist dies sehr unwahrscheinlich, da sich ja dann eine Ionisation hätte bemerkbar machen müssen.

Endlich könnte man Geschwindigkeitsverluste der Elektronen durch Kollision mit Gasteilchen annehmen. LENARD<sup>1)</sup> hat Beobachtungen analoger Art auf diese Weise erklärt. Im Gegensatz zu seinen Versuchen, wo die Strahllänge groß (7,7 cm) und das Vakuum nicht sehr hoch war (0,0025 mm), ist bei den hier beschriebenen Versuchen die Strahllänge nur 1 cm und das Vakuum mit flüssiger Luft möglichst hoch getrieben, so daß sich die Abweichungen jedenfalls nicht allein durch diese Annahme deuten lassen.

Um nun den Einfluß des Drahtnetzes möglichst zu eliminieren, wurde dasselbe durch ein Diaphragma ersetzt, bei dem die Neigung der Strahlen gegen die Diaphragmenoberfläche möglichst gut definiert war.



Zu diesem Zwecke wurde die glühende Elektrode in ein zylindrisches Hohlgefäß *C* (Fig. 5) eingesetzt, der Boden dieses Gefäßes war 2 mm stark und durch einige 1 mm große Löcher durchbrochen. Dieser Boden lag in der Mitte einer viermal 8 cm großen Messingplatte *A* und zwar in der Ebene dieser Platte. Letzterer gegenüber stand in 4 mm Entfernung eine ebensogroße Messingplatte *B*, die dem Auffangzylinder in der vorigen Anordnung entsprach. Die Versuche ergaben bei Veränderung des Potentials der Platte *B* dieselben Ergebnisse wie in dem vorigen Teile. Bei dieser Anordnung konnten die aus dem

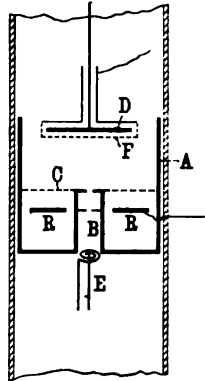
<sup>1)</sup> LENARD, ANN. d. Phys. (4) 12, 726, 1902.

Diaphragma austretenden Strahlen, falls sie durch das Diaphragma nicht beeinflußt wurden, höchstens in einem Kegel von etwa  $54^\circ$  Winkel austreten. Nimmt man an, daß die Strahlen größter Neigung ebenfalls die Geschwindigkeit, die der Potentialdifferenz  $V_1$  zwischen Heizdraht und Zylinder  $C$  entspricht, besitzen, so wäre die normale Geschwindigkeitskomponente dieser Strahlen  $v \cdot \cos 27^\circ$ . Daraus würde folgen, daß auch diese Strahlen die Platte  $B$  erreichen müssen, falls  $V_2$  (das negative Potential von  $B$  gegen  $A$ ) unter  $0,8 V_1$  liegt.

#### IV. Sekundärstrahlung bzw. Reflexion.

Bei der letzten Anordnung traten noch andere störende Erscheinungen auf, die sich ebenso wie die bisher beschriebenen Versuche erklären lassen, wenn man eine diffuse Zerstreung der Strahlen an den getroffenen Metallteilen annimmt. So fand sich immer eine aus dem Raume zwischen den Platten  $A$  und  $B$  austretende diffuse Strahlung. Endlich gehört hierher der Effekt, der schon von THOMSON<sup>1)</sup> beschrieben wurde, daß nämlich ein schwaches Magnetfeld in Richtung des Pfeiles (s. Fig. 5), das die primären Strahlen noch nicht merklich beeinflussen kann, eine Verstärkung des von  $B$  abfließenden Stromes hervorruft. Nimmt man eine Zerstreung der Strahlen bei dem Auftreffen auf  $B$  an, so erklärt sich die beobachtete Erscheinung einfach durch das Zurückbiegen der zerstreuten Strahlen, die senkrecht zur bestrahlten Fläche wenigstens teilweise kleinere Geschwindigkeit als die auftreffenden besitzen und dadurch leichter beeinflußbar sind. Allerdings ist für so langsame Strahlen bisher eine Sekundärstrahlung bzw. Reflexion an Metallteilen, die sich auf Anodenpotential befinden, noch nicht bekannt gewesen<sup>2)</sup>. LENARD hat solche Sekundär-

Fig. 6.



<sup>1)</sup> J. J. THOMSON, l. c.

<sup>2)</sup> Die bekannte Erscheinung, daß ein Kathodenstrahl als solcher von einer Platte zurückgeworfen wird, hat hiermit nichts zu tun. Sie tritt nur ein, wenn die Platte Kathodenpotential besitzt und ist durch elektrostatische Ablenkung zu erklären.



strahlen bei Geschwindigkeiten von 100 Volt aufwärts gefunden, und es ergab sich ein Maximum der Wirkung bei 400 Volt.

Es war deshalb nötig, eine Versuchsanordnung zu treffen, die die Anwesenheit dieser Sekundärstrahlung bzw. Reflexion mit Sicherheit nachweisen läßt. Die Versuchsanordnung ist in Fig. 6 dargestellt. In einer zylindrischen Entladungsröhre, die in Richtung des Erdfeldes aufgestellt war, war ein Messingrohr *A* angebracht. Dies Rohr war unten durch ein Messingblech verschlossen, in dessen Mitte ein engeres Messingrohr *B* (von 5 mm Durchmesser) eingesetzt war. Der ringförmige Hohlraum zwischen *A* und *B* enthielt einen Ring aus Messingblech, der isoliert darin befestigt war. Nach oben war der ringförmige Hohlraum durch ein Drahtnetz *C* verschlossen. Dies ermöglicht, dem Ringe ein beliebiges Potential gegenüber der Umgebung zu erteilen. *D* ist eine kreisförmige Messingscheibe, die gehoben und gesenkt werden konnte. Die Kathodenstrahlen gehen von dem spiralförmig aufgewickelten Platindraht *E* aus, treten durch *B*<sup>1)</sup> hindurch und fallen auf *D*. Der Reflektor *D* und der zylindrische Teil *A* sind auf gleichem positiven Potential gegen den Heizdraht. Der Ring *R* erhielt, um möglichst alle durch das Netz *C* tretenden Strahlen an ihn gelangen zu lassen, gegen *C* ein positives Potential von derselben Größe wie das zwischen *A* und *E* herrschende. Ist eine Sekundärstrahlung oder Reflexion vorhanden, so muß durch Nähern des Reflektors an das Drahtnetz ein Anwachsen der vom Ringe *R* aufgefangenen Menge nachzuweisen sein<sup>2)</sup>.

Gemessen wurde einmal der Strom zwischen Ring *R* und *A*, im anderen Falle zwischen *D* und *A*. War nach mehrstündigem Pumpen und dauernder Anwendung von flüssiger Luft der Druck äußerst erniedrigt und die Strahlung einigermaßen konstant geworden, so ergab die Messung der auf den Reflektor und

<sup>1)</sup> Die in der Figur gezeichneten Blenden innerhalb der Röhre *B* mußten zur Erzielung genügender Intensität hier weggelassen werden.

<sup>2)</sup> Die Anordnung ist ähnlich der von STARKÉ [Ann. d. Phys. (4) 3, 75, 1900] angewandten. Während aber bei STARKÉ durch Verschieben des Reflektors nur der durch Zerstreung bedingte Teil der Strahlung beeinflusst wird, während die reflektierte Menge konstant bleibt, ist bei obiger Anordnung eine Änderung der vom Ringe *R* abfließenden Elektrizitätsmenge bei Veränderung der Lage von *D* nur durch die Anwesenheit einer Sekundärstrahlung bzw. Reflexion zu erklären.

auf den Ring auffallenden Menge bei zwei Abständen des Reflektors vom Netze *C* von etwa 17 und 7 mm folgende Zahlen:

Tabelle II.

| Geschwindigkeit der Primärstrahlen in Volt (Potentialdiff. zwischen <i>E</i> und <i>A</i> ) | Strom in Skt. zwischen <i>D</i> und <i>A</i> | Strom in Skt. zwischen <i>E</i> und <i>A</i> | Abstand <i>D—C</i> mm |
|---|--|--|-----------------------|
| 8   | { 82 84                                      | 74 74  | 7                     |
|   | { 85 89                                      | 62 67  | 17                    |
| 4   | { 66 65                                      | 98 93  | 7                     |
|   | { 68 66                                      | 77 78  | 17                    |
| 2 <sup>1)</sup>   | { 14 —                                       | 38 —   | 5                     |
|   | { 19 —                                       | 19 —   | 10                    |

Aus dieser Tabelle ersieht man folgendes: Der an den Reflektor gelangende Teil der Strahlen ist in den untersuchten Abständen annähernd konstant. Dies zeigt, daß keine merkliche Streuung der Strahlen durch Gasreste vorhanden ist. Allerdings könnte trotzdem der Verlust durch Streuung bei größeren Reflektorabständen ausgeglichen werden durch die Zustrahlung von der umgebenden Röhre *A*. Daß dies aber in beträchtlichem Maße nicht der Fall sein kann, geht daraus hervor, daß die an *D* auffallende Menge auch bei sehr viel größeren Abständen bis 4 cm keine bedeutende Abnahme zeigte.

Der von dem Ringe *R* abfließende Strom wird in allen Fällen durch Annähern des Reflektors *D* vergrößert. Dies beweist, daß der Reflektor der Ausgangspunkt einer Strahlung ist<sup>2)</sup>.

Wurde der Abstand zwischen Reflektor *D* und Netz *C* noch mehr vergrößert, so nahm der von *R* abfließende Strom nicht mehr beträchtlich ab. Da dies allein durch diffuse Zerstreung

<sup>1)</sup> Die Messungen bei zwei Volt Geschwindigkeit mußten wegen der geringen Intensität bei kleineren Abständen ausgeführt werden.

<sup>2)</sup> Durch besondere Kontrollversuche wurde festgestellt, daß das Hilfsfeld zwischen dem Ringe *R* und Netze *C* durch seine Wirkung außerhalb des Netzes keine Fehlerquelle bedingt. Zu dem Zwecke wurde das Netz *C* ganz entfernt und dem Ringe *R* dasselbe Potential wie der Umgebung *A* gegeben. Die Messungen ergaben qualitativ dieselben Ergebnisse.

der Strahlen an Gasresten wohl kaum zu erklären ist, so muß man annehmen, daß in diesem Falle die aus  $B$  austretenden Strahlen, die durch Reflexion an der inneren Wand von  $B$  beträchtlich diffus werden, in ihrem weiteren Verlauf auf die Wandung  $A$  treffen, hier reflektiert werden und dadurch an  $R$  gelangen.

Ob man es mit einer Sekundärstrahlung oder diffusen Reflexion zu tun hat, läßt sich bis jetzt nicht entscheiden. Es muß auch dahin gestellt bleiben, ob der hier beobachtete Vorgang vom Metall selbst oder einer anhaftenden Gasschicht ausgeht. Jedoch ließ sich feststellen, daß die am Ringe auftreffende Strahlung der Größenordnung nach die gleiche Geschwindigkeit wie die ursprüngliche besitzt.

Die Zunahme des von  $R$  abfließenden Stromes ist im Verhältnis zu dem von  $D$  abfließenden größer bei kleiner Primärgeschwindigkeit der Strahlen, was darauf hindeutet, daß die reflektierte Menge mit abnehmender Primärgeschwindigkeit zunimmt. Vergleicht man hiermit die Ergebnisse von LENARD<sup>1)</sup>, der für die Sekundärstrahlung ein Maximum für Primärgeschwindigkeiten von etwa 400 Volt findet, so scheinen meine Versuche dafür zu sprechen, daß man es hier mit einer anderen Erscheinung zu tun hat. Es scheint, daß hier eine Art diffuser Reflexion, d. h. Richtungsänderung der fliegenden Teilchen bei dem Aufprall auf Moleküle stattfindet. — Bei den letzten Versuchen traten die Kathodenstrahlen in einen von elektrischen Kräften freien Raum ein, so daß die zurückgeworfenen Strahlen sich ohne weiteres vom Reflektor fortbewegen können. Jedoch auch bei Anwesenheit eines elektrischen Feldes, das die reflektierte Strahlung zurückzuhalten sucht, kann unter Umständen die reflektierte Menge Störungen hervorrufen.

Stellen wir z. B. einer auf negativem Potential befindlichen glühenden Oxydkathode eine positiv geladene Platte gegenüber, so werden die von der positiven Platte reflektierten Strahlen allerdings nicht an die Kathode zurückgelangen können, da sie ja höchstens die der Potentialdifferenz Kathode — Anode entsprechende Geschwindigkeit besitzen. Ist jedoch die Umgebung, z. B. die

<sup>1)</sup> LENARD, Ann. d. Phys. (4) 15, 485, 1904.

Wände des Gefäßes, auf einem gegen die Kathode positiven Potential, so wird hier ein Teil der reflektierten Menge aufgenommen werden können und sich dadurch der Beobachtung entziehen. Dies ist der Grund, daß man eigentliche Sättigungskurven nur erhält, wenn man das seitliche Entweichen verhindert. So konnten die Messungen an glühenden Drähten immer nur so ausgeführt werden, daß der glühende Draht axial in einem zylindrischen Rohre angeordnet war, wobei seitliches Entweichen verhältnismäßig gering ist.

LENARD hat bei seinen Messungen zur Vermeidung seitlicher Ausstrahlung ein magnetisches Feld in Richtung der Strahlen benutzt. Wie man sieht, wird dadurch der Einfluß der hier beschriebenen Reflexion auf das seitliche Entweichen gleichzeitig eingeschränkt. Allerdings liegt bei den lichtelektrischen Versuchen die Sache etwas verwickelter, da die so erzeugten Elektronen in beträchtlicher Menge merkbare Anfangsgeschwindigkeiten besitzen. Es wird also ein Teil der von der Anode reflektierten Menge auch bei beschleunigendem äußeren Feld von der Kathode wieder aufgenommen werden können.

Bedeutende Abweichungen muß die Reflexion ergeben in allen den Fällen, wo die Primärstrahlung durch ein äußeres Feld verzögert wird, da hier das Entweichen der reflektierten Menge unterstützt wird. Dadurch glaube ich die Abweichung von den zu erwartenden Resultaten, wie sie in Teil III beschrieben wurden, genügend erklären zu können.

### V. Vermeidung der Reflexion.

Es tritt nun die Frage auf, wie diese Reflexion zu vermeiden ist. Es sind da wohl vor allem drei Möglichkeiten vorhanden.

1. Anwendung eines Hilfsfeldes zur Zurückhaltung der reflektierten Menge.
2. Anwendung des Faradaykäfigs.
3. Auswahl eines geeigneten Materials.

Ich habe den hier unter 1. angegebenen Weg eingeschlagen, indem 2 mm vor dem Reflektor *D* (Fig. 6) ein feines Drahtnetz *F* (0,15 mm Drahtstärke, 1,5 mm Maschenweite) angeordnet wurde, das mit dem Reflektor zugleich bewegt werden konnte. Während das Drahtnetz das Potential der Umgebung *A* erhielt, konnte

der Reflektor auf beliebiges positives Potential gebracht werden. Es war zu erwarten, daß mit steigendem positiven Potential des Reflektors  $D$  gegen das Drahtnetz  $F$  der vom Reflektor nach  $A$  abfließende Strom ansteigt, und zwar so lange, bis das Hilfsfeld genügt, um die an  $D$  reflektierte Menge zurückzuhalten. In der Tat ergaben die Messungen ein bedeutendes Ansteigen des Stromes bis zu einer Potentialdifferenz von 40 Volt zwischen Reflektor und Drahtnetz. Daß hierbei nicht etwa Ionisation in dem Raume zwischen Drahtnetz und Reflektor eintrat, konnte einfach dadurch festgestellt werden, daß bei negativer Ladung des Reflektors auf 40 Volt gegen das Drahtnetz kein vom Reflektor abfließender Strom nachgewiesen werden konnte.

Aus der Messung des von  $D$  abfließenden Stromes mit und ohne Hilfsfeld läßt sich annähernd das Verhältnis der reflektierten zur ankommenden Menge bestimmen. Es sei  $i$  der vom Reflektor abfließende Strom ohne Feld zwischen Netz und Reflektor,  $i_1$  der Strom bei Anwesenheit eines Feldes von solcher Größe, daß weiteres Verstärken ein Anwachsen des Stromes nicht mehr bewirkt. Der Bruchteil der durch das Netz gehenden Strahlung, der vom Reflektor ohne Feld zurückgeworfen wird, ist dann

$$\frac{i_1 - i}{i} = r.$$

Die Messungen ergaben:

Tabelle III.

| Geschwindigkeit<br>der<br>Primärstrahlen | $i$  | $i_1$ | $r$  |  |
|--|------|-------|------|--|
| 6 Volt                                   | { 9  | 52    | 0,83 | Pot. zwischen Platte<br>$D$ und Netz<br>= 40 Volt. |
|  | { 10 | 68    | 0,85 |  |
| 8 "                                      | { 31 | 144   | 0,78 |  |
|  | { 28 | 129   | 0,78 |  |
| 16 "                                     | { 54 | 185   | 0,71 |  |
|  | { 48 | 173   | 0,72 |  |
|  | { 40 | 158   | 0,75 |  |

Aus diesen Messungen ergibt sich, daß eine sehr beträchtliche Menge der ankommenden Strahlen von  $D$  reflektiert wird. Die für den Reflexionsfaktor  $r$  ge-

fundenen Zahlen geben einen Anhalt für die Größe der Reflexion. Quantitativ richtig werden sie wohl kaum sein, da in diese Messungen zwei Fehlerquellen eingehen.

1. Der Reflexionsfaktor  $r$  gibt in diesem Falle das Verhältnis der an  $D$  reflektierten Menge zu der durch das Netz durchtretenden. Man wird also nur dann richtige Werte für  $r$  erhalten, wenn der Teil der Gesamtmenge, der vom Netz absorbiert wird, mit und ohne Hilfsfeld gleich ist. Dies ist nun nicht der Fall, da ein Teil der Elektronen, der ohne Feld die Drähte des Netzes trifft, bei Anwesenheit des Hilfsfeldes von den Netzdrähten abgelenkt wird, und durch die Maschen an den Reflektor gelangt. Dadurch wird  $r$  scheinbar zu groß ausfallen. Der so entstehende Fehler kann aber nicht groß sein. Denn aus der Drahtstärke und Maschenweite des Netzes läßt sich angenähert der Teil der von der glühenden Kathode kommenden Gesamtstrahlung berechnen, der auf das Netz trifft. Er beträgt in diesem Falle etwa  $\frac{1}{5}$  der ankommenden Menge. Nimmt man nun im ungünstigsten Falle an, daß dieser Teil bei Anwesenheit des Hilfsfeldes vollständig an  $D$  gelangt, so wird  $\frac{i}{i_1} = 1 - r$  um  $\frac{1}{5}$  zu klein ausfallen. Für  $r$  selbst ergibt diese Korrektur in der Tabelle III z. B.:

für 6-Volt-Strahlen  $r = 0,80$  statt  $0,83$ ,

„ 16- „ „ „  $r = 0,68$  „  $0,73$ .

2. Als zweite Fehlerquelle ist das Streufeld zu berücksichtigen, das dadurch entsteht, daß von dem Felde zwischen Reflektor und Netz Kraftlinien in den Raum außerhalb des Netzes austreten.

Dieses Feld wird bewirken, daß Strahlen, die ohne Anwesenheit des Feldes durch diffuse Zerstreung an Metallteilen oder an Gasresten oder auch durch Trägerbildung an die Röhrenwand gelangen, auf das Netz und den Reflektor treffen. Um diesen Fehler möglichst zu verkleinern, waren in die Röhre  $B$  zwei Diaphragmen von 2 mm Öffnung und 5 mm Abstand eingesetzt worden. Der Erfolg war, daß die diffuse Strahlung, die am Ringe  $R$  ankommt, auf den zehnten Teil der am Reflektor aufgefangenen Menge reduziert wurde, während bei den früheren Versuchen beide Mengen etwa von gleicher Größenordnung waren. Immerhin war es nötig, durch Versuche die Größe dieses Fehlers zu bestimmen.

Zu dem Zwecke wurde der Reflexionsfaktor bei verschiedenen Abständen des Reflektors bestimmt, wobei das Netz mit dem Reflektor gleichzeitig bewegt wurde.

Die Messungen ergaben für 10-Volt-Strahlen:

Tabelle IV.

| Abstand zwischen<br>Netz<br>und Diaphragma | $\frac{i_1 - i}{i_1}$ | $i_1$   |
|--|-----------------------|---------|
| 3 mm                                       | 0,74                  | 88 Skt. |
| 8 "  | 0,70                  | 97 "    |
| 16 "                                       | 0,79                  | 72 "    |

Aus diesen Zahlen folgt, daß die Größe  $\frac{i_1 - i}{i_1}$  im großen und ganzen innerhalb der untersuchten Abstände konstant ist. Immerhin erkennt man, daß bei sehr kleinen Abständen das Streufeld Strahlen aus dem Raume unterhalb des Diaphragmas hervorholt, wodurch der Reflexionsfaktor scheinbar vergrößert wird. Mit zunehmender Entfernung nimmt diese Wirkung ab. Zugleich aber ergibt sich mit noch weiter wachsendem Abstand wieder eine Zunahme von  $r$ , die sich dadurch erklärt, daß bei Anlegen des Feldes zwischen Netz und Reflektor Strahlen, die ohne Feld das Netz nicht erreichen, durch die aus dem Netz austretenden Kraftlinien herangezogen werden, was im Effekt natürlich wieder ein scheinbares Anwachsen von  $r$  bedingt. Die Zahlen in Tabelle III beziehen sich auf den Abstand von etwa 8 mm.

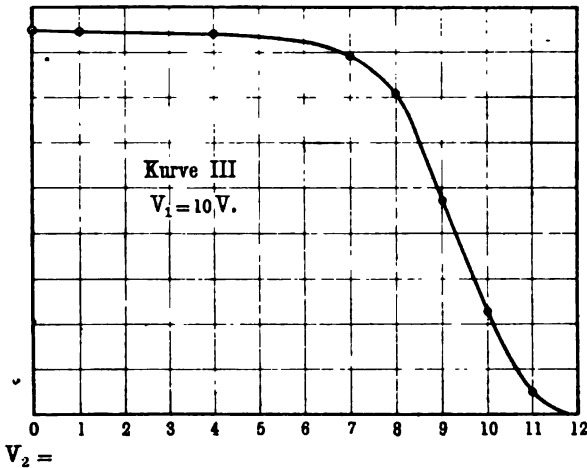
Die Geschwindigkeit der Strahlen konnte bei diesen Versuchen nicht unter 6 Volt gebracht werden, da dann die Intensität wegen der Blenden in *B* (Fig. 6) nicht mehr zur Messung ausreichte. In dem untersuchten Intervall zwischen 6 und 16 Volt ergaben sich verschiedene Werte, die einen deutlichen Gang zeigen: für kleinere Geschwindigkeiten größere Reflexionsfaktoren. Nach den obigen Betrachtungen könnte man dies auf stärker auftretende diffuse Strahlung bei kleineren Geschwindigkeiten zurückführen. Aus den früheren Versuchen, die in dieser Beziehung einwandfreier sind, geht aber ebenfalls hervor, daß die reflektierte Menge mit abnehmender Geschwindigkeit zunimmt,

so daß ein solches Anwachsen wohl nicht in Frage gestellt ist. Wie schon oben erwähnt, ist dies im Einklang mit der Auffassung, daß man es hier nicht mit einer Sekundärstrahlung, wie bei den LENARDSchen Versuchen, sondern mit einer einfachen diffusen Zerstreuung, wie sie auch für Gase nachgewiesen ist, zu tun hat.

### VI. Wiederholung der Versuche unter III bei Vermeidung der Reflexion.

Bei den unter III gegebenen Messungen der Geschwindigkeit der Kathodenstrahlen war schon erwähnt, daß das Vorhandensein einer Reflexion die Messungen beeinträchtigen würde. Es war deshalb interessant, an einem solchen Beispiel den Einfluß zu

Fig. 7.



untersuchen, den die Verhinderung der Reflexion bedingt. Ein solcher Versuch wurde mit der zuletzt beschriebenen Anordnung angestellt, wobei nur noch zwischen Netz und dem Austrittsdiaphragma ein variables verzögerndes Potential anzulegen war. Während in den früheren Versuchen bei wachsendem, verzögerndem Feld eine vom Felde 0 ab eintretende ständige Abnahme des von der Auffangplatte abfließenden Stromes konstatiert wurde, trat jetzt ein ganz anderer Verlauf der Kurve ein. In Kurve 3 (Fig. 7) ist die ursprüngliche Geschwindigkeit der Strahlen zehn Volt. Wie man erkennt, bleibt die Menge der den Reflektor

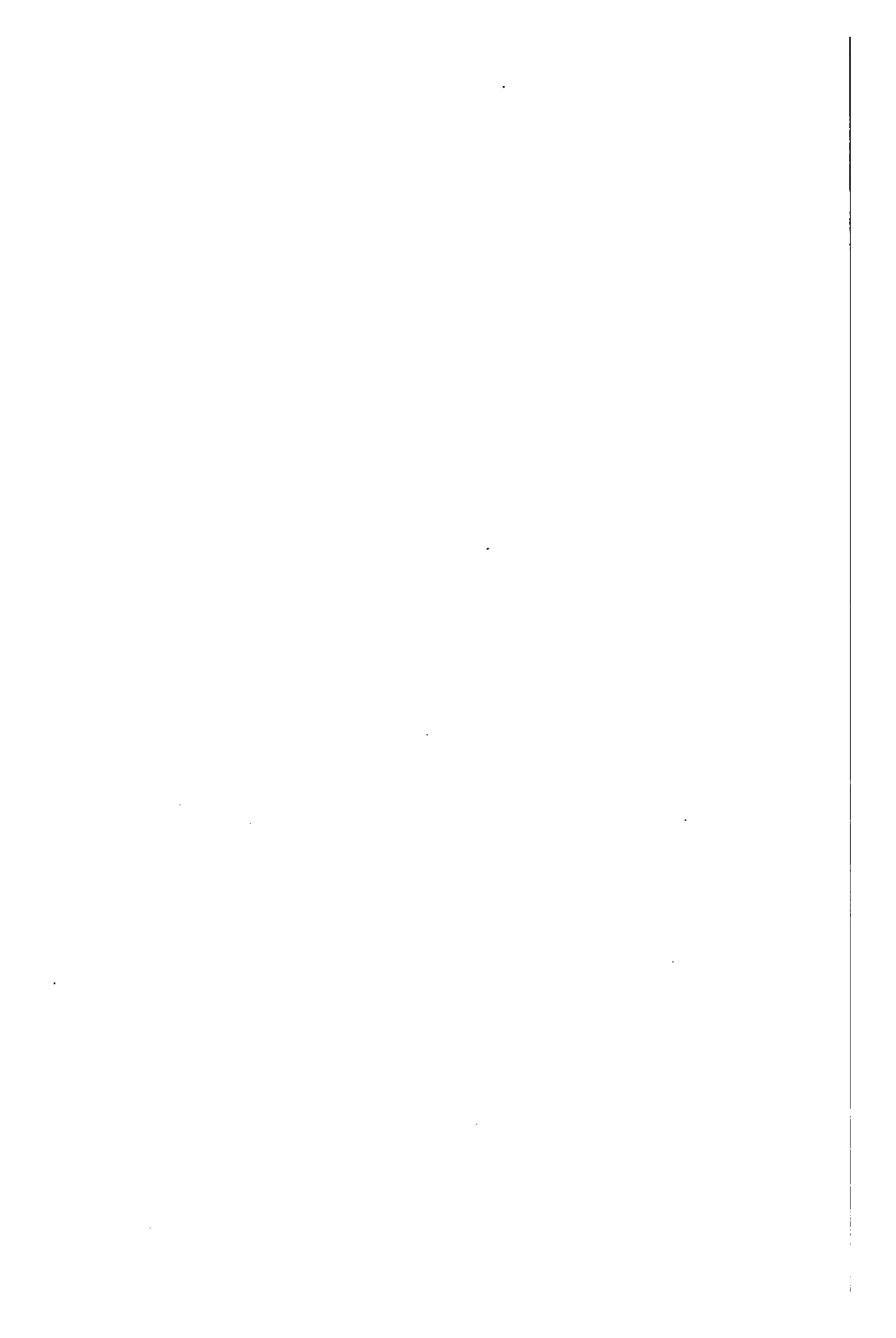


treffenden Strahlen konstant, wenn das negative Potential des Netzes  $V_2$  gegen das Diaphragma von 0 bis 8 Volt steigt. Erst hier beginnt ein rapider Abfall der Intensität bis zu  $V_2 = 11$  Volt. Dies immerhin noch beträchtliche Intervall, in dem die Geschwindigkeit der Strahlen zu liegen scheint, braucht nicht auf eine tatsächliche Inhomogenität von solcher Größe zurückgeführt zu werden. Vielmehr genügt zur Erklärung dieser Erscheinung der Umstand, daß bei dieser Versuchsanordnung die auffangende Platte  $D$  bzw. das Netz nicht hinreichend groß ist. Es können dadurch Strahlen, die nicht vollkommen senkrecht zum Diaphragma austreten, aber bei schwachen verzögernden Feldern zwischen Netz und Diaphragma noch in den Bereich des Netzes gelangen, bei stärker verzögernden Feldern abgedrängt werden und dadurch seitlich entweichen.

Die hier beschriebenen Versuche haben die Anwesenheit einer reflexionsähnlichen Erscheinung bei langsamen Kathodenstrahlen ergeben. Es bedarf noch eingehender Untersuchung, wie diese Reflexion vom Material, vom Einfallswinkel und vor allem der Primärgeschwindigkeit der Strahlen abhängig ist. Die Bestimmung von Geschwindigkeit und spezifischer Ladung langsamer Kathodenstrahlen wird sich auf Grund der hier gegebenen Anschauungen verbessern lassen.

Berlin, Physikalisches Institut der Universität.





Verlag von Friedr. Vieweg & Sohn in Braunschweig.

# Leitfaden der Physik und Chemie

mit Berücksichtigung der  
**Mineralogie und der Lehre vom Menschen.**

Für die oberen Klassen von Bürgerschulen, höheren Töchterschulen  
und anderen höheren Lehranstalten in zwei Kursen bearbeitet

von

**H. Sattler,**  
Schulinspektor.

Einunddreißigste verbesserte und vermehrte Auflage.  
Mit 291 eingedruckten Abbildungen und einer Tafel.

**Preis geheftet 1.35 Mark, gebunden 1.50 Mark.**

Der vorliegende Leitfaden ist für die oberen Klassen von Bürgerschulen, höheren Töchterschulen und anderen höheren Lehranstalten bestimmt. In methodischer Anordnung bietet er dem Schüler ein Gesamtbild von dem in der Schule Gehörten und Gesehenen, dem Lehrer sichere Anhaltspunkte zur Erteilung eines ersprießlichen Unterrichts.

Die Form der Darstellung ist durchweg die entwickelnde; es wird von Beobachtungen und Versuchen ausgegangen, daraus das Gesetz abgeleitet und den Anwendungen Rechnung getragen.

Eingestreute Fragen regen den Schüler zu weiterem Nachdenken an. Die zahlreichen und guten Holzsätze werden die Klarheit und Sicherheit in der Auffassung der Erscheinungen und Gesetze zweifellos in der nachhaltigsten Weise unterstützen.

Die gegenwärtig vorliegende 31. Auflage des Buches entspricht den für das Königreich Preußen festgesetzten hygienischen Anforderungen in bezug auf Typengröße und Zeilendurchschuß und ist auch sonst vielfach vervollständigt und verbessert, insbesondere ist der Kleindruck vollständig beseitigt. Leider mußte, da durch diese Verbesserungen der Umfang des Buches ein größerer geworden ist, der Preis desselben etwas erhöht werden; doch dürfte, wenn die gediegene Ausstattung in Betracht gezogen wird, der Preis des Buches immer noch ein sehr mäßiger genannt werden können.

Zu beziehen durch alle Buchhandlungen.

# E. Leybold's Nachfolger

»»»»»»»»»» Cöln a. Rh. ««««««««««

Neu!

Neu!

## Gaede-Pumpe

mit neuer Porzellantrommel

D. R. - P. angemeldet.

Unzerbrechlich bei plötzlichem Eintreten von Luft.  
(Vergl. Physikalische Zeitschrift. 8. Jahrgang. No. 23, p. 852.)

Garantierte Luftleere  $1/100000$  mm.

Während die Pumpe unter **hohem Vakuum** steht, kann man durch Abreißen des Schliffes **plötzlich** Luft einlassen, ohne daß die Trommel Schaden leidet.

**Dieser Versuch kann beliebig oft wiederholt werden.**

Unsere neuen Ventiltrommeln haben vor Metalltrommeln den großen Vorzug, daß sie mit ätzenden Substanzen gereinigt werden können, was bei Metalltrommeln nicht zulässig ist.

»»»» Die neue Gaede-Pumpe ««««  
ist nur direkt von uns zu beziehen.

**Berichte**  
der  
**Deutschen Physikalischen Gesellschaft**

enthaltend

**Verhandlungen**

der Deutschen Physikalischen Gesellschaft  
im Auftrage der Gesellschaft herausgegeben

von

**Karl Scheel**

und

**Halbmonatliches Literaturverzeichnis**

der „Fortschritte der Physik“, dargestellt von der  
Deutschen Physikalischen Gesellschaft

redigiert von

**Karl Scheel**

für reine Physik

**Richard Assmann**

für kosmische Physik

---

**Braunschweig**

Druck und Verlag von Friedrich Vieweg und Sohn

1908

# Inhalt.

| <b>1. Verhandlungen der Deutschen Physikalischen Gesellschaft.</b>   |              |
|--|--------------|
|  | <b>Seite</b> |
| Bericht über die Sitzung vom 21. Februar 1908. . . . .   | 115          |
| J. Franck und R. Pohl, Zur Frage nach der Geschwindigkeit der Röntgenstrahlen. Eingegangen am 18. Januar 1908. (Vorgetragen in der Sitzung vom 24. Januar 1908.) . . . . .   | 117          |
| Erich Marx, Theorie der Vorgänge im Nullapparat zur Geschwindigkeitsmessung der Röntgenstrahlen. (Vorgetragen in der Sitzung vom 24. Januar 1908; eingegangen am 13. Februar 1908.) . . . . .                                    | 137          |
| Erich Marx, Zur Frage der Geschwindigkeit der Röntgenstrahlen. Erwiderung auf die gleichlautende Arbeit der Herren Franck und Pohl. (Vorgetragen in der Sitzung vom 24. Januar 1908; eingegangen am 13. Februar 1908.) . . . . . | 157          |
| Paul Nordmeyer, Die spezifische Wärme einiger Elemente und Salze zwischen der Temperatur der flüssigen Luft und Zimmertemperatur. (Vorgelegt in der Sitzung vom 21. Februar 1908.) . . . . .                                     | 202          |
| Karl Scheel und Rudolf Schmidt, Über das Lichtbrechungsvermögen des Heliums. Mitteilung aus der Physikalisch-Technischen Reichsanstalt. (Vorgetragen in der Sitzung vom 7. Februar 1908.) . . . . .                              | 207          |
| Kurt Herrmann, Die Brechung und Dispersion des Heliums. (Vorgelegt in der Sitzung vom 6. März 1908; eingegangen am 28. Februar 1908.) . . . . .  | 211          |
| E. Gehrcke und O. Reichenheim, Anodenstrahlen. Fünfte Mitteilung. Mitteilung aus der Physikalisch-Technischen Reichsanstalt. (Vorgetragen in der Sitzung vom 7. Februar 1908.) . . . . .   | 217          |
| H. Rubens und Erich Ladenburg, Das Reflexionsvermögen des Wassers. (Vorgetragen in der Sitzung vom 21. Februar 1908.) . . . . .  | 226          |
| R. Börnstein, Pilotbeobachtungen für meteorologische Zwecke. (Vorgetragen in der Sitzung vom 21. Februar 1908.) . . . . .  | 228          |
| F. Grünbaum, Die räumliche Kontrastwirkung der Farben. (Vorgetragen in der Sitzung vom 21. Februar 1908.) . . . . .  | 234          |
| Br. Glatzel, Nachtrag zu der Mitteilung: „Die Quecksilberfunkenstrecke und ihre Verwendung zur Erzeugung schwach gedämpfter elektrischer Wellen.“ . . . . .  | 242          |
| <b>2. Halbmonatliches Literaturverzeichnis der Fortschritte der Physik.</b>  |              |
| I. Allgemeine Physik. S. 75. — II. Akustik. S. 77. — III. Physikalische Chemie. S. 77. — IV. Elektrizität und Magnetismus. S. 79. — V. Optik des gesamten Spektrums. S. 83. — VI. Wärme. S. 84. — VII. Kosmische Physik. S. 86.  |              |

---

Verlag von Friedr. Vieweg & Sohn in Braunschweig.

## Die Anwendung der Interferenzen in der Spektroskopie und Metrologie.

Von Dr. E. Gehrcke,

Privatdozent an der Universität Berlin, technischer Hilfsarbeiter an der Physikalisch-Technischen Reichsanstalt.

Mit 73 eingedruckten Abbildungen. gr. 8. Preis geh. 5,50 M., geb. 6,20 M

**Verhandlungen**  
der  
**Deutschen Physikalischen Gesellschaft**

Im Auftrage der Gesellschaft herausgegeben

von

**Karl Scheel**

---

10. Jahrg.

15. März 1906.

Nr. 5.

---

**Sitzung vom 21. Februar 1906.**

Vorsitzender: Hr. M. PLANCK.

Hr. **Erich Regener** berichtet:

Über Zählung der  $\alpha$ -Teilchen durch die Szintillation  
und die Größe des elektrischen Elementarquantums.

(Schon abgedruckt in diesen Verh., S. 78—83.)

Ferner spricht Hr. **R. Börnstein** über:

Pilotbeobachtungen für meteorologische Zwecke.

Weiter trägt Hr. **E. Ladenburg** über

das Reflexionsvermögen des Wassers  
nach gemeinsam mit Hrn. **H. Rubens** angestellten Versuchen vor.

Endlich berichtet Hr. **F. Grünbaum** über

die räumliche Kontrastwirkung der Farben.



Hr. **Karl Scheel** legt folgende zur Veröffentlichung in den Verhandlungen der Gesellschaft eingegangene Mitteilungen vor:

1. von Hrn. **Paul Nordmeyer**: Die spezifische Wärme einiger Elemente und Salze zwischen der Temperatur der flüssigen Luft und Zimmertemperatur;
  2. von Hrn. **Heinrich Fassbender**: Magnetische Messungen an Mangan-Zinn- und Mangan-Antimon-Legierungen mit Beschreibung eines verbesserten Magnetoskops.
- 

Als Mitglieder wurden in die Gesellschaft aufgenommen:

Hr. stud. phil. **A. E. HARRINGTON**, Berlin W. 50, Rankestr. 7.

(Vorgeschlagen durch Hrn. **M. PLANCK**.)

Hr. **Gg. HEINRICH**, Kgl. Reallehrer in Neustadt a. d. H.

(Vorgeschlagen durch Hrn. **F. POSKE**.)

Gesellschaft für drahtlose Telegraphie m. b. H., Berlin SW. 61,  
Tempelhofer Ufer 9.

(Vorgeschlagen durch Hrn. **BR. GLATZEL**.)

Hr. Dr. **R. FEUSTEL**, Charlottenburg 2, Marchstr. 25.

(Vorgeschlagen durch Hrn. **E. GEHRCKE**.)

Hr. Dr. **E. LEHMANN**, Privatdozent an der Technischen Hochschule,  
Charlottenburg 2.

(Vorgeschlagen durch Hrn. **E. LADENBURG**.)

Hr. Dr. **LEO SCHACHTEL**, Rechtsanwalt, Berlin SW. 68, Wilhelm-  
straße 100.

(Vorgeschlagen durch Hrn. **A. KOEPSSEL**.)

---

**Zur Frage nach der Geschwindigkeit der Röntgenstrahlen;**

**von J. Franck und R. Pohl.**

Eingegangen am 18. Januar 1906.

(Vorgetragen in der Sitzung vom 24. Januar 1906.)

(Vgl. oben S. 33.)

Herr ERICH MARX hat eine Methode zur Geschwindigkeitsmessung der Röntgenstrahlen angegeben und als Ergebnis seiner Versuche die Gleichheit der gesuchten Geschwindigkeit mit der des Lichtes gefolgert. Der erste Bericht über die Versuche wurde 1905 der Naturforscherversammlung vorgelegt und ist u. a. ausführlich in diesen Verhandlungen und in der Physikalischen Zeitschrift <sup>1)</sup> abgedruckt. Später folgte eine umfassendere Darstellung mit Zahlenmaterial in den Abhandlungen der Sächsischen Akademie <sup>2)</sup>.

Gegen die Stichhaltigkeit der Methode des Herrn MARX scheinen uns, insbesondere nach genauer Wiederholung seiner Versuche, schwere Bedenken vorzuliegen, wie wir im folgenden ausführen möchten. Wir halten uns in unserer Darstellung im allgemeinen an den Bericht der Akademie und verweisen auf die Seiten durch eingeklammerte Zahlen. Wo auf die Arbeit der Physikalischen Zeitschrift zurückgegriffen wird, ist dies durch ein vor die Seitenzahlen gesetztes „Ph. Z.“ gekennzeichnet.

**I. Der Grundgedanke der Marxschen Methode.**

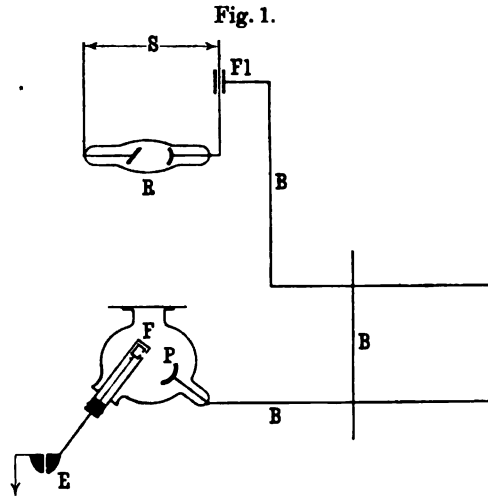
Zunächst ist es erforderlich, den Grundgedanken der MARXschen Methode zu erörtern. (Fig. 1.)

Ein mit schnellen Schwingungen betriebenes Röntgenrohr *R* sendet im Takte seiner Periode Röntgenstrahlen aus. Die Strahlen treffen nach Zurücklegung eines gewissen Weges auf ein

<sup>1)</sup> Verh. D. Phys. Ges. 7, 302, 1905. Phys. ZS. 6, 768, 1905.

<sup>2)</sup> Abhandl. d. math.-phys. Kl. d. Kgl. Sächs. Ges. d. Wiss., Leipzig 1906, S. 445—491. Ann. Phys. (4) 20, 677—722, 1906.

Platinblech  $P$ , das durch eine variable Drahtbrücke  $B$  mit dem Erreger der elektrischen Wellen  $S$  verbunden, mit dem Röntgenrohr synchron, aber mit einer gewissen, von der Brückenlänge abhängigen Phasendifferenz schwingt. Von der Oberfläche des Platinblechs werden nun Elektronen, d. h. sekundäre Kathodenstrahlen, ausgelöst und diese sollen sich je nach der Phase im Augenblick ihrer Erzeugung durch verschiedene Aufladung eines der Platinplatte gegenüberstehenden FARADAY-Käfigs  $F$  bemerkbar machen.



In welcher Weise die elektrometrisch ( $E$ ) gemessene Aufladung des FARADAY-Zylinders von der Potentialphase, bei der die Röntgenstrahlen auftreffen, abhängt, wird von Herrn MARX in verschiedener Form dargestellt.

In der ersten Arbeit heißt es (Ph. Z. 769): Die Platinplatte oder Elektrode  $P$  „soll dann und nur dann Kathodenstrahlen emittieren, wenn sie im negativen Zustande getroffen wird, keine Kathodenstrahlen, wenn sie in positiver Phase von der Röntgenstrahlung erreicht wird“. Der Effekt der Elektronenemission soll rein polarer Natur und lediglich auf die in negativer Phase bestrahlte Platinelektrode beschränkt sein.

Im Gegensatz hierzu heißt es später, „daß es unrichtig wäre, zu behaupten, daß die Wirkung I“, d. h. die Fähigkeit der

Röntgenstrahlen, Sekundärstrahlen am Platin zu erzeugen, „für sich allein polarer Natur sei....., man ist im Gegenteil zu der Annahme gezwungen, daß auch bis nahe<sup>1)</sup> an die höchsten positiven Potentiale, die hier in Betracht kommen, Elektronenemission bei der Bestrahlung stattfindet...“ (447). Ebenso auf S. 454: „Es wird (deshalb) stets weit in das positive Gebiet der Welle hinein Elektronenemission statthaben.“ Und schließlich sei ganz besonders auf die Anmerkung S. 447 verwiesen: „Ob bei absolutem Vakuum eine elektrostatische Beeinflussung der durch Röntgenstrahlen ausgelösten Elektronen überhaupt möglich ist, ist bisher nicht mit Sicherheit zu bejahen.“

Damit ist aber die wesentliche Voraussetzung der MARXschen Methode, der polare Charakter der Elektronenemission, der als Unterscheidungsmerkmal für die Phase, in der die Röntgenstrahlen das Platinblech erreichen, dienen soll, in Frage gestellt.

Um trotzdem die bei verschiedenen Brückenstellungen beobachteten Unterschiede in Größe und Richtung der Elektrometeraufladung erklären zu können, wurde dann von Herrn MARX eine zweite Theorie seiner Versuche gegeben (447 und 449). Nach dieser rühren die polaren Unterschiede der Elektrometeraufladung von den Gasresten her, die mit Drucken von 1 bis 7 mm Hg in dem Auffangegefäß enthalten sind. Die Wirksamkeit des Gases besteht in zweierlei: Einmal sollen die Elektronen durch das Gas jetzt so verlangsamt werden, daß die am Platinblech auftretenden Schwingungspotentiale wieder beschleunigend oder verzögernd wirken können, daß tatsächlich in negativer Phase mehr Elektronen zum Elektrometer gelangen als in positiver; ja, es soll in positiver Phase die Geschwindigkeit der Elektronen sogar ihr Zeichen wechseln können (449). Ferner sollen die Gasreste unter dem Einfluß der Röntgenstrahlen und ihrer Sekundärstrahlen Ionen liefern, die ebenfalls zur Aufladung des Elektrometers beitragen.

Und zwar ist der Gasdruck so zu bemessen, daß das Elektrometer negative oder positive Ausschläge zeigt, je nachdem die Röntgenstrahlen das Platinblech in negativer oder positiver Phase

---

<sup>1)</sup> S. 455 heißt es sogar: „bis zu den höchsten positiven Potentialen.“

erreichen. Wird das Platinblech in negativer Phase von den Röntgenstrahlen angetroffen, so gelangen zum Elektrometer  $J_1$  Elektronen und  $i_1$  negative Ionen, in Summa die Ladung  $-J_1 - i_1$ .

Wird das Platinblech in positiver Phase getroffen, so liefert die bestrahlte positive Phase  $J_2$  Elektronen (wo  $J_2 < J_1$ ), und  $i_2$  positive Ionen, indem die positiv geladene Platinplatte die negativen Ionen dem Volumen entzieht. Die Gesamtladung des Käfigs beträgt dann

$$-J_2 + i_2.$$

Da das Vorzeichen der Ladung in diesem zweiten Fall positiv sein soll, muß  $i_2 > J_2$  sein, und dieser Zustand ist durch passende Wahl des Gasdruckes im Auffangegefäß einzustellen.

In dieser zweiten Theorie des Herrn MARX ist die Voraussetzung enthalten, daß die Ionisation im Takte der Bestrahlung, also in einer Zeit von  $1,5 \cdot 10^{-9}$  sec, merklich wechselt, indem für die negativen Ionen Elektronenbeweglichkeit angenommen wird und daher negative Ionen nur während der Phase der Einstrahlung der Röntgenstrahlen, nicht aber in der folgenden strahlenlosen Phase vorhanden sein sollen.

Durch diese Mitwirkung der Ionen wird also das Elektrometer bei einem zwischen  $J_1$  und  $J_2$  liegenden Wert der Elektronenemission sein Vorzeichen wechseln und diesem Wechsel des Vorzeichens am Elektrometer entspricht demnach eine ganz bestimmte Phase. Sie ist durch eine gewisse Lage der Brücke  $B$ , d. h. eine „Nullstellung“, charakterisiert. Wird der Weg der Röntgenstrahlen vergrößert, so ist die Brücke um die gleiche Strecke zu verlängern, um wieder eine Nullstellung zu erhalten, wofern die Geschwindigkeit der Röntgenstrahlen gleich der elektrischer Wellen an geraden Drähten, d. h. der des Lichtes ist, wie Herr MARX aus seinen Versuchen folgert.

In der praktischen Ausführung hängt die Lage des Nullpunktes noch von Röntgenstrahlen der größeren im System vorhandenen elektrischen Wellen ab, doch möchten wir im einzelnen wegen dieser Komplikation auf das Original verweisen.

Eine Reihe von Einwänden, die uns schon gegenüber diesem Grundgedanken der MARXschen Methode unvermeidlich erscheinen, möchten wir erst weiterhin im Zusammenhange vorbringen und

zunächst auf einige uns wesentlich erscheinende Einzelheiten in der praktischen Ausführung der MARXschen Versuche eingehen.

## II. Experimentelle Einzelheiten der Marxschen Methode.

Der Erreger der elektrischen Wellen  $S$  (Fig. 1), den Herr MARX als LECHERSches System bezeichnet, besteht aus dem einfachen Schließungsbogen eines Plattenkondensators. Das Röntgenrohr ist direkt in den Bogen eingeschaltet und es befindet sich zwischen ihm und der Kapazität keine Brücke (452, 467). Die Zahl der Schwingungen gibt Herr MARX zu zwei Grund- und zwei ungeraden Oberschwingungen an. Doch dürften wohl noch eine Reihe Schwingungen längerer Periode in dem System enthalten sein, die sich allerdings bei der Länge des verwandten DRUDESchen Resonators der Messung entziehen mußten. Wegen des hohen Gasdruckes im Röntgenrohr kommen aber nach Herrn MARX als Erreger der Röntgenstrahlen nur die kurzen Wellen, insonderheit die kürzeste mit  $\frac{\lambda}{2} = 45$  cm, in Frage, die als Meßschwingung bezeichnet wird (455, 456).

Die Spannungsschwankungen des Systems  $S$  werden über eine kleine Flaschenkoppelung nach RUBENS<sup>1)</sup> und eine Doppelbrücke von 75 cm Länge mit Gleitkontakt an das Platinblech  $P$  herangeführt. Bei lockerem Gleitkontakt zeigt sich an den Unterbrechungstellen Funkenbildung.

Das Auffangegefäß, das bei angenäherter Kugelform von 7 cm Durchmesser Käfig und Platinblech enthält und den Röntgenstrahlen ein 3 cm weites Aluminiumfenster zuwendet, ist in einen geerdeten Metallkasten von 11 cm Kantenlänge eingebaut. Aus dem Deckel ragt das Al-Fenster heraus, durch eine seitliche Öffnung die Zuleitung zur ungeschützten Brücke  $B$  und zum Elektrometer (470).

Die Weiten der beiden hintereinander stehenden Öffnungen des FARADAY-Käfigs betragen 3,5 bzw. 4 mm, die Elektrometerempfindlichkeit 270 cm/Volt.

Wesentlich für die Methode ist die passende Wahl des Gasdruckes sowohl im Auffangegefäße wie im Röntgenrohre, mit

<sup>1)</sup> H. RUBENS, Wied. Ann. 42, 154, 1891.

Hinsicht auf die Ionenbeweglichkeit im ersten, die Härte der ionisierenden Röntgenstrahlen im zweiten Falle. Ziffernmäßige Angaben über die Drucke werden nicht gemacht; die Größenordnung beträgt 1 bis 7 mm Hg im Auffangegefäß (480).

Als „gut abgestimmt“ werden die Vakua dann bezeichnet, wenn der Abstand je zweier Nullstellen auf der Brücke =  $\frac{\lambda}{2}$  = 45 cm ist (475 und 477), d. h. die Bereiche der Brücke, die positive oder negative Elektrometernaufladung ergeben, gleich lang sind. Dabei wird mehrfach (479, 482) betont, daß für die Geschwindigkeitsmessung nur ein einziger Nullpunkt auf der Brücke erforderlich ist, und insbesondere, „daß es unnötig und nicht ratsam sei, die Verschiebung aller Nullpunkte auf den Drähten zu beobachten“ (474).

Einem Nullpunkt der Brücke entspricht keineswegs völlige Ruhe des Elektrometers, sondern ein ständiges Hin- und Herpendeln um die Nullage. Als Ursache dieses Pendelns gelten sekundäre Röntgenstrahlen vom Charakter der Primärstrahlen, die vom Platinblech aus in das Innere des FARADAY-Zylinders fallen, diesen zur Elektronenemission veranlassen und ihn dadurch positiv laden, bis er seinerseits Elektronen auf sich zu beschleunigt, die ihn negativ laden, „bis das Spiel von neuem beginnt“ (481).

Die Lage des Nullpunktes ist von der Intensität der Röntgenstrahlen unabhängig (482). Er bleibt nach Einschaltung einer 96 Proz. abhaltenden Bleiblende (Ph. Z. 775) unverrückt. Völlige Abschirmung der Strahlen vom Al-Fenster durch Blei bringt das Elektrometer, das vorher eine Aufladung zeigte, zur Ruhe. Bei der Geschwindigkeitsmessung betrug die kleinste Abstandsvergrößerung des Röntgenrohres 62 mm, die größte 151 mm, die zugehörige Verschiebung des Kontaktes auf der Doppelbrücke 29,5 bzw. 78 mm. Mittlerer Beobachtungsfehler 3,9 Proz. (S. 491).

Schließlich bleibt noch die Tatsache zu erwähnen, daß Herr MARX direkt durch das schwingende Röntgenrohr Elektrometernaufladung hervorrufen kann, wenn an das Platinblech statt der Brücke mit Flaschenkoppelung ein freier Draht angehängt wird. Und zwar zeigt sich nicht im äußersten Vakuum, sondern beim üblichen Druck bis zu einigen Millimeter, die Aufladung

des FARADAY-Käfigs von der Länge des Drahtes an  $P$  abhängig. Es liegt eine Resonanz für  $\frac{\lambda}{2} = 45$  cm vor, d. h. die kleinste Welle des Systems, die benutzte Meßschwingung. Als Ursache des Resonanzphänomens betrachtet Herr MARX die periodische Elektronenemission im Takte der 90 cm-Welle (471).

### III. Schwierigkeiten der Marxschen Methode.

Mit den Ausführungen der beiden ersten Abschnitte glauben wir die wesentlichen theoretischen und experimentellen Bedingungen der Methode im Sinne des Herrn MARX dargestellt zu haben. Wir wollen jetzt einige wenige der Einwände anführen, die uns gegenüber dem Grundgedanken und seiner experimentellen Verwirklichung unvermeidlich erscheinen und uns schließlich zur Wiederholung der MARXschen Versuche veranlaßt haben.

Was zunächst den Grundgedanken der Methode anlangt, so scheinen uns hier unüberwindliche Schwierigkeiten in der Größenordnung zu liegen. Die Elektronen, die von Röntgenstrahlen an Platin ausgelöst werden, haben außerordentlich hohe Geschwindigkeit. Messungen der Herren DORN<sup>1)</sup>, VON LIEBEN<sup>2)</sup>, INNES<sup>3)</sup> und neuerdings BESTELMEYER<sup>4)</sup> haben Werte zwischen 10000 und über 60000 Volt ergeben. Nach Herrn BESTELMEYER, der ein magnetisches Spektrum dieser Strahlen aufgenommen hat, liegt die Maximalintensität bei etwa 30000 Volt. Um Strahlen derartiger Geschwindigkeiten merklich beeinflussen zu können, braucht man Spannungen mindestens von der gleichen Größenordnung. Um die hierin begründete Schwierigkeit zu beheben, läßt Herr MARX (454) in das Auffangegefäß Gas von einigen Millimeter Druck. Durch dies Gas soll zweierlei erreicht werden. Erstens sollen die Kathodenstrahlen so verlangsamt werden, daß die am Platinblech verfügbaren Schwingungspotentiale die Elektronenemission  $J_1$  und  $J_2$  je nach der Phase beim Auftreffen der

<sup>1)</sup> LORENTZ-Jubelband, S. 595, 1900.

<sup>2)</sup> Phys. ZS. 4, 469, 1903; 5, 72, 1903.

<sup>3)</sup> Proc. of Roy. Soc. (A) 79, 442, 1907.

<sup>4)</sup> Ann. d. Phys. (4) 22, 440, 1907.



Strahlen verschieden groß machen können. Zweitens soll das ionisierte Gas den Ionenstrom liefern, um, wie oben ausgeführt, die negative und positive Phase statt durch größere bzw. kleinere negative Aufladungsgeschwindigkeit durch Ausschläge entgegengesetzten Vorzeichens kenntlich zu machen. — Nun aber durchdringen Kathodenstrahlen dieser Geschwindigkeit nach Herrn LENARD selbst bei Atmosphärendruck noch mehrere Centimeter Luft und daher dürfte die verzögernde Wirkung bei 1 mm Druck wohl schwerlich in Frage kommen, besonders, da die Abmessungen des Auffangegefäßes nur eine Dicke der Luftschicht von 3 cm ergeben. Man braucht daher sicher trotz des Gases zur Verminderung der Geschwindigkeit von 30000 Voltstrahlen ( $10^{10}$  cm/sec) auch nur um 10 Proz., wodurch übrigens noch keineswegs  $J_2$  um 10 Proz. kleiner als  $J_1$  werden würde, schon Spannungen von 4400 Volt. Aber selbst wesentlich geringere Spannungen kann man, zumal in Form schneller Schwingungen, unmöglich an ein Vakuumrohr von der Gestalt des MARXschen Auffängers heranlegen, ohne eine leuchtende Entladung hervorzurufen. Vermögen doch die von Herrn MARX benutzten Potentiale sogar in Luft von Atmosphärendruck am Gleitkontakt der Brücke Funken hervorzurufen.

Ferner erscheint uns die Annahme einer im Takte der Röntgenstrahlen sich ändernden Ionisierung bedenklich. Und wäre wirklich die Ionisation der strahlenlosen und der bestrahlten Phase voneinander unterschieden, so wäre die Elektronenemission des Platinbleches ganz zu entbehren. Das Platinblech würde als einfache Elektrode negative oder positive Ladung dem Elektrometer zuführen, je nachdem die Einstrahlung der ionisierenden Röntgenstrahlen in negativer oder positiver Phase erfolgt.

Eine Elektronenemission des Platinbleches unter dem Einfluß der Bestrahlung würde als additive Größe nur stören.

Stellt man sich trotzdem auf den Standpunkt der MARXschen Anschauung, so ist es schwer, in Anbetracht der Größenordnung der Elektronenemission und der Anzahl der von Röntgenstrahlen erzeugten Ionen, die Abmessungen des FARADAY-Käfigs und die Elektrometerempfindlichkeit zu verstehen. Denn von einer Vereinigung der das Platinblech diffus verlassenden Sekundärstrahlen im Krümmungsmittelpunkt der Platinhohlkathode, in dem sich

das 3 mm weite Loch des Käfigs befindet, kann ja nicht die Rede sein. Ebensovienig ist es verständlich, wie von der geringen Anzahl der in Gas von einigen Millimeter Druck erzeugten Röntgenionen noch genügend in den Käfig eintreten sollen, um in einem Wechselfelde solche Aufladegeschwindigkeiten, wie sie Herr MARX erhielt, zu erzeugen. Schließlich sei noch auf das Bedenkliche einer Resonanz durch periodische Elektronenemission und der Erklärung für das Pendeln des Elektrometers in der Nullstellung hingewiesen.

#### IV. Eigene Versuche.

In Anbetracht dieser und vieler anderer Schwierigkeiten scheint es uns unmöglich, die theoretischen Vorstellungen des Herrn MARX zur Deutung der von ihm beschriebenen Erscheinungen heranzuziehen und seine Versuche zur Messung der Geschwindigkeit der Röntgenstrahlen zu verwerten. Dafür aber glauben wir sämtliche experimentellen Tatsachen auf ganz andere Weise deuten zu können, indem wir sie auf den HIMSTEDT-Effekt der Teslaentladung zurückführen.

Als HIMSTEDT-Effekt<sup>1)</sup> bezeichnet man die eigenartige Verteilung der Ionen um einen in leuchtender Entladung strahlenden Teslapol. In der Nähe eines solchen Pols befinden sich positive Ionen im Überschuß, dann kommt eine Zone mit gleichviel positiven und negativen Ionen im Raumelement, also ohne Volumenladung, und dieser neutralen Zone folgen negative Ionen im Überschuß. Die Erklärung dieser Erscheinung ist in den Unterschieden der Beweglichkeiten beider Ionenarten zu suchen, im einzelnen aber noch nicht genau gegeben.

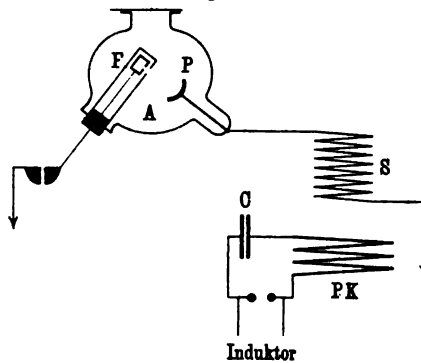
Der Radius der neutralen Zone, d. h. ihr Abstand von der Spitze, wächst bei konstantem Gasdruck mit zunehmender Amplitude der Schwingung und andererseits bei konstanter Spannung mit abnehmendem Gasdruck. Die Wanderung der neutralen Zone läßt sich mit einer Sonde leicht verfolgen.

Um diese Erscheinung in einem Entladungsgefäße von der Form des MARXschen Auffängers hervorzurufen, benutzten wir die in Fig. 2 wiedergegebene Anordnung. *A* ist das Auffange-

<sup>1)</sup> F. HIMSTEDT, Wied. Ann. 68, 294, 1899. — K. v. WESENDONK, Phys. ZS. 7, 112, 1906.

gefäß, das beliebig mit einer Hg-Pumpe evakuiert werden kann; *F* der FARADAY-Käfig mit einer Öffnung, deren Durchmesser zwischen 1,5 und 6 mm variiert wurde. Dabei ist die Elektrometerempfindlichkeit bei uns etwas niedriger, 210 cm/Volt gegen 270 cm/Volt bei Herrn MARX. Im übrigen sind die Maße beibehalten. Vom Platinblech *P* führt eine Leitung zur sekundären Teslaspule *S* (50 Windungen,  $2r = 5,8$  cm), die verschieden stark mit einem nicht auf sie abgestimmten Primärkreise *PK* (5 Windungen,  $2r = 20$  cm,  $C = 1400$  cm) gekoppelt

Fig. 2.



werden kann. Die Spannung am Platinblech, die für die Tesl-entladung maßgebend ist und der Kürze halber mit „Effektivpotential“ bezeichnet werden soll, läßt sich leicht durch Abstandsänderung von *PK* und *S* variieren. Bei Erregung des Teslakreises zeigt sich im evakuierten Auffangegefäß eine intensive leuchtende Entladung. Trotzdem war die Elektrometeraufladegeschwindigkeit nur klein.

Die Abhängigkeit der neutralen Zone vom Effektivpotential und Gasdruck war leicht zu erhalten. Wir fanden z. B. für konstanten Gasdruck von 8 mm folgende Tabelle:

| Gegenseitiger Abstand der Teslakreise | Ladung des Käfigs | Gegenseitiger Abstand der Teslakreise | Ladung des Käfigs |
|---------------------------------------|-------------------|---------------------------------------|-------------------|
| 3,5 mm                                | —                 | 2,8 mm                                | — + — +           |
| 3,3                                   | —                 | 2,6                                   | +                 |
| 3,2                                   | —                 | 2,3                                   | +                 |
| 3,1                                   | —                 |                                       |                   |

Bei dem zum Abstand 2,8 mm gehörigen Effektivpotential zeigt das Elektrometer einen „Nullpunkt“, d. h. der FARADAY-Käfig liegt in der neutralen Zone.

Halten wir jetzt das Effektivpotential konstant, so ergibt sich folgende Tabelle für verschiedene Gasdrucke:

| Gasdruck in mm Hg | Ladung des Käfigs | Gasdruck in mm Hg | Ladung des Käfigs |
|-------------------|-------------------|-------------------|-------------------|
| 2,2               | +                 | 3,4               | -                 |
| 4,5               | -                 | 2,2               | +                 |
| 3,1               | -                 | 4,0               | -                 |
| 2,2               | +                 | 2,5               | +                 |
| 2,6               | + - + -           | 3,0               | -                 |

Für ein gegebenes Effektivpotential läßt sich also ein Gasdruck einstellen, bei dem das Elektrometer in Ruhe bleibt oder richtiger um Null pendelt.

Diese Versuche zeigen zweierlei:

Erstens lassen sich die von Herrn MARX beschriebenen Nullpunkte, d. h. Pendeln der Elektrometernadel um die Ruhelage, durch leuchtende Teslaentladung in seinem Auffangegefäß hervorrufen, wenn man Effektivpotential und Gasdruck passend einstellt.

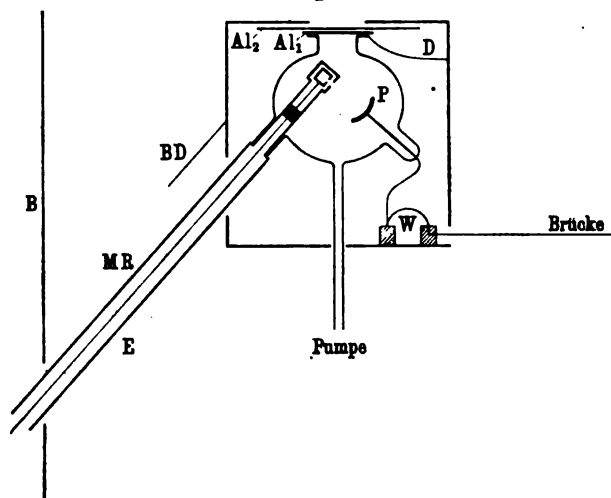
Zweitens: Trotz der intensiven leuchtenden Entladung und der ungeheuren Ionenzahl, insbesondere verglichen mit der durch Röntgenstrahlen erreichbaren Ionisationsstärke, zeigt das Elektrometer hier beim Wechselfeld keine größere Aufladegeschwindigkeit, als sie Herr MARX erhielt.

Diese beiden Tatsachen ließen unsere längst gehegte Vermutung, daß im Auffangegefäß des Herrn MARX leuchtende Entladung vorlag, zur Gewißheit werden. Und in der Tat ist es uns gelungen, mit Hilfe dieser leuchtenden Entladung sämtliche von Herrn MARX beschriebenen Versuche zu wiederholen. Die Röntgenstrahlen spielen dann allerdings nur eine ganz untergeordnete Rolle und die Erscheinungen sind nicht mehr zur Messung der gesuchten Geschwindigkeit geeignet.

Bei der von uns benutzten Versuchsanordnung bemühten wir uns, Form und Abmessungen der MARXschen Anordnung nach

Möglichkeit inne zu halten. Oberhalb des Metallkastens, der das Auffängerohr enthält, befindet sich das kleine 5 cm lange und in seiner Höhe zwischen 0 und 30 cm Abstand vom Kasten verschiebbare Röntgenrohr. Die Zuleitungen zu diesem führen senkrecht nach hinten durch zwei Öffnungen eines großen allseitig geschlossenen Blechgehäuses zum Schwingungssystem, das als kleinste Halbwelle 60 cm statt 45 cm bei Herrn MARX besitzt. Aus der rechten Seite des Kastens ragt durch eine 1,5 mal 1,5 cm weite

Fig. 3.



Öffnung die Zuleitung<sup>1)</sup> zur Brücke heraus, die sich mit der Ebene ihrer beiden Drähte um 30° zur Horizontalen geneigt senkrecht zu den Zuleitungen des Röntgenrohres erstreckt. Die Flaschenkoppelung *FL*, welche Brücke und Schwingungssystem miteinander verbindet, befindet sich kurz hinter dem Blechgehäuse der Primärerregung auf der zur Kathode des Röntgenrohres

<sup>1)</sup> Zwischen Platinelektrode und der Zuleitung zur Brücke ist von Herrn MARX noch ein 5 cm langer, 0,01 mm dicker Wollastondraht *W* (Fig. 4) eingeschaltet, um die am Ende des Abschnittes II von uns erwähnte Resonanz durch Elektronenemission zu verhindern. Wir haben diesen Draht behalten, obwohl er nach unserer Erfahrung für das Gelingen der Versuche keine wesentliche Rolle spielt, da er ja auch bei seiner geringen Dicke selbst für Wechselstrom kaum mehr als seinen Gleichstromwiderstand von etwa 3,6 Ohm besitzt.

führenden Leitung und besteht aus einer 1,5 cm weiten einfachen Drahtwindung auf Hartgummi.

Das Auffangegefäß und sein statischer Schutz ist in Fig. 3 dargestellt. Das Al-Fenster  $Al_1$  ist auf einen mit dem Kasten durch den Draht  $D$  verbundenen Messingflansch aufgekittet. Zwischen der Öffnung im Deckel des Schutzkastens und im Fenster ist noch ein großes Stück  $Al_2$  (0,1 mm) eingeklemmt, um den statischen Schutz zu verbessern. Der äußere FARADAY-Zylinder geht direkt in das Messingrohr  $MR$  über, das die Verbindung zwischen dem inneren Zylinder und dem Elektrometer hinter der Blechwand  $B$  herstellt und bei  $E$  zur Erde abgeleitet ist. Die Austrittsöffnung des Rohres  $MR$  ist noch mit einem vorspringenden Blechdach  $BD$  geschützt.

Schließlich ist noch ein 12 cm langes und 3 cm weites Messingrohr zu erwähnen, das in die dem Beobachter zugewandte Seite des Kastens eingelötet ist und das Auffangegefäß zu besuchen erlaubt, ohne den statischen Schutz zu vermindern.

Mit der Anordnung gelang es uns nun, folgende für unsere Auffassung wesentliche Versuche anzustellen:

I. Die Flaschenkoppelung der Brücke wird entfernt, so daß die Brücke als freie Draht an das Platinblech angeschlossen bleibt. Dann kann man durch passende Einstellung des Gasdruckes (einige Millimeter oder darunter) eine leuchtende Entladung zwischen den Metallteilen des Auffängers hervorrufen. Die Intensität des Leuchtens wächst mit zunehmender Annäherung des Röntgenrohres und zeigt periodische Maxima und Minima durch Änderung der Brückenlänge. Mit der Intensität ändert sich auch Richtung und Stärke des Elektrometersausschlages, wie es der HIMSTEDT-Effekt verlangt. Der Versuch gelingt in gleicher Weise, wenn man durch ein Bleiblech das Eindringen der Röntgenstrahlen in das Aluminiumfenster vollkommen verhindert. Doch muß man dann entweder den Gasdruck erniedrigen oder die Intensität der das Röntgenrohr betreibenden Schwingung verstärken. Es zeigt sich also, daß die Röntgenstrahlen nur das Eintreten der leuchtenden Entladung erleichtern.

Wir konnten daher den Gasdruck auch so einstellen, daß die leuchtende Entladung nur unter Mitwirkung der Röntgenstrahlen einsetzt, sich dann aber bei Ablendung der Röntgen-

strahlen selbst unterhält. Andere Einstellungen von Gasdruck und Erregung des Schwingungssystems ergeben ein Gebiet, in welchem die Entladung weder selbständig einsetzt, noch sich dauernd nach Ablendung der Röntgenstrahlen erhalten kann. In diesem Falle verschwindet die Entladung nach Ablendung der Strahlen.

Man hat also das Röntgenrohr samt Zuleitungen als Erreger eines schnell wechselnden Teslafeldes anzusehen, welches in den gegenüberliegenden Metallteilen, in erster Linie aber in der vollkommen ungeschützten Brücke *B*, Schwingungen erzeugt. Wir konnten uns von dem Vorhandensein dieser Schwingungen dadurch überzeugen, daß alle mit größter Sorgfalt hergestellten Erdverbindungen im Dunkeln Fünkchen gegeneinander zeigten. Das Auftreten von Potentialdifferenzen an den Metallteilen des Auffangegefäßes, die groß genug waren, eine leuchtende Entladung hervorzurufen, zu vermeiden, war nur möglich, wenn man (siehe Fig. 3) sowohl die Elektrometerleitung *MR* als auch die Brückenleitung direkt mit dem Gehäuse an der Austrittsöffnung kurz schloß<sup>1)</sup>. Das letztere verbietet sich natürlich von selber.

II. Die Brücke wird durch die Flaschenkoppelung jetzt an das Schwingungssystem angeschlossen und der Einfluß des vom Röntgenrohre herrührenden Teslafeldes auf den Schutzkasten und die Brücke durch eine große horizontale Blechplatte aufgehoben. Ein mit Al verschlossenes Loch dieser Blechplatte gestattet den Röntgenstrahlen, in den Auffänger einzutreten. Jetzt wird das Potential der Platte *P* lediglich durch die über die Flaschenkoppelung kommende Schwingung bedingt sein. Auch hier lassen sich jetzt durch Variation des Potentials, d. h. Änderung der Brückenstellung und damit Änderung der Resonanz, ein stärkeres oder schwächeres Leuchten der Entladung und dementsprechendes Auftreten des HIMSTEDT-Effektes am Elektrometer beobachten. Über den Einfluß der Röntgenstrahlen gilt das oben Gesagte.

---

<sup>1)</sup> Solange eine aus dem Auffangegefäß kommende Leitung nicht direkt an der Austrittsöffnung am Metallkasten mit diesem Metalle völlig kurz geschlossen war, also selbst dann, wenn sie in einigem Abstände vom Kasten zu derselben Erdung wie der Kasten geführt wurde, konnte man immer leuchtende Entladung im Auffangegefäß beobachten, natürlich stets passende Wahl des Gasdruckes vorausgesetzt.

Dementsprechend ist die Annäherung oder Entfernung des Röntgenrohres für die Stärke der Entladung jetzt ganz gleichgültig. Die auslösende Wirkung der Röntgenstrahlen ist nämlich von ihrer Intensität völlig unabhängig. Das konnten wir in genauer Übereinstimmung mit Herrn MARX durch Anwendung von Bleiblenden, die nur wenige Prozente der Strahlung hindurchließen, nachweisen. Wir konnten übrigens ferner noch zeigen, daß die Röntgenstrahlen gar nicht auf das Platinblech zu fallen brauchen, vielmehr jede streifende Inzidenz, die noch das Aluminiumfenster des Auffangegefäßes berührt<sup>1)</sup>, genügt.

III. Die große Metallplatte zwischen Röntgenrohr und Schutzkasten wird wieder fortgenommen. Es treten dann die unter I und II erwähnten Wirkungen gleichzeitig auf, und diese Zusammenstellung gibt die endgültige Versuchsanordnung des Herrn MARX, mit welcher er seine Geschwindigkeitsmessung der Röntgenstrahlen anstellte.

Bevor wir den Hergang einer solchen Messung in unserer Deutung beschreiben, möchten wir, um Mißverständnissen vorzubeugen, besonders betonen, daß alle nun folgenden Versuche und Messungen dieses Abschnittes in dem Bereiche des Gasdruckes und Potentials angestellt wurden, bei dem, wie unter I beschrieben, die leuchtende Entladung weder imstande ist, ohne Röntgenstrahlen einzusetzen, noch sich allein zu unterhalten. Also Druck und Potential werden in einem solchen Bereiche gewählt, daß bei Einschaltung eines Bleibleches in den Strahlengang der Röntgenstrahlen das Elektrometer bei keiner Stellung der Brücke und des Röntgenrohres irgend einen Ausschlag zeigt. Natürlich ist dann auch von einer leuchtenden Entladung nichts zu sehen. Nach Wegziehen des Bleibleches setzt dann eine deutlich sichtbare Entladung ein, und das Elektrometer zeigt einen Ausschlag, entweder negativ oder positiv, je nachdem, auf welcher Seite der Nullzone der Teslaentladung sich der FARADAY-Käfig befindet.

Die Messung geht dann folgendermaßen vor sich: Das Röntgenrohr wird auf einen gewissen Abstand gebracht, das Bleiblech

---

<sup>1)</sup> Die leuchtende Entladung geht nicht nur zwischen *P* und *F*, sondern auch zwischen dem Käfig und dem Al-Fenster über.

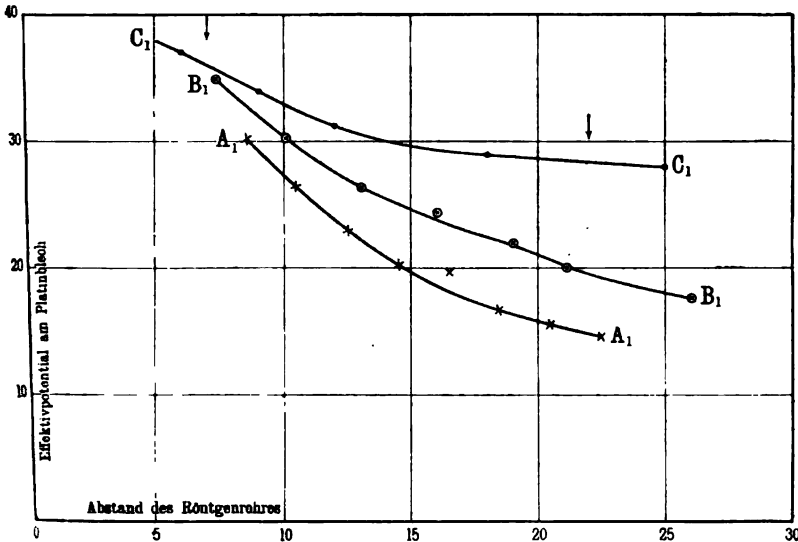


fortgenommen und dann durch Einstellung des Druckes im Auf-  
fangegefäß bzw. des Brückenläufers die Nullzone der Teslaent-  
ladung so verschoben, daß der FARADAY-Käfig sich in ihr befindet.  
Das Elektrometer zeigt dann einen Nullpunkt, d. h. hier ein  
Pendeln um die Nulllage an.

Dann wird das Röntgenrohr verschoben und damit die Wirkung  
seines Teslafeldes auf das am Platinblech auftretende Effektiv-  
potential verändert. Um das Effektivpotential auf seinen früheren  
Wert, das Elektrometer also auf Null zurückzubringen, muß jetzt  
die Resonanz des zur Flaschenkoppelung führenden Drahtes so ver-  
bessert werden, daß die Schwächung der leuchtenden Entladung,  
die durch eine Verkleinerung der Koppelung des Röntgenrohres  
nebst Zuleitungen mit dem Empfangssystem entstanden ist,  
durch sie wieder aufgehoben wird. Es kommt also nur auf  
die Wiederherstellung des alten Effektivpotentials an, und es  
ist durchaus unwesentlich, ob etwa die durch Entfernung des  
Röntgenrohres entstandene Phasenverschiebung zwischen den  
vom Röntgenrohr direkt durch die Luft und über die Flaschen-  
koppelung zur Brücke kommenden Schwingungen durch Ver-  
änderung der Brückenstellung wieder aufgehoben wird. Käme  
es nur auf die Phase der beiden Schwingungen an, so müßte  
ersichtlich die Verschiebung der Brücke gleich der Abstands-  
vergrößerung des Röntgenrohres werden, und man würde in  
diesem Falle durch Vergleich der Geschwindigkeit zweier Wellen-  
züge immer die Lichtgeschwindigkeit als Resultat erhalten. Da  
jedoch (abgesehen von der Komplikation durch das Vorhandensein  
vieler Schwingungen) eine Verschiebung des Röntgenrohres nicht  
nur die Phase der beiden auf den Auffänger wirkenden Schwin-  
gungen zueinander, sondern in erster Linie die Intensität ganz  
bedeutend ändert, so kann nur durch zufällige Dimensionierung  
die Änderung der Brückenlänge gleich der Abstandsänderung des  
Röntgenrohres werden und so das von Herrn MARX erhaltene  
Resultat der Gleichheit von Röntgenstrahl- und Lichtgeschwin-  
digkeit vortäuschen. Demgemäß haben wir unter verschiedenen  
Versuchsbedingungen ganz verschiedene Verhältnisse zwischen  
Brücken- und Rohrverschiebung gefunden, die nach der Rechnungs-  
weise des Herrn MARX Werte der Geschwindigkeiten zwischen 0,4  
und 13 c ergeben hätten.

Alle Versuche des Herrn MARX lassen sich demnach so erklären, daß man durch Abrücken des Röntgenrohres das Effektivpotential an der Platinplatte ändert und diese Änderung durch eine Verstellung der Brücke wieder ausgleicht. Als Kriterium für eine Änderung des Effektivpotentials bzw. Herstellung seines alten Wertes wird hierbei die Lage der neutralen Zone des HIMSTEDT-Effektes benutzt, und in einem Gebiete gearbeitet, bei

Fig. 4.



dem die Röntgenstrahlen diese zur Beobachtung der Potentialänderung angewandte Entladungsform auslösen.

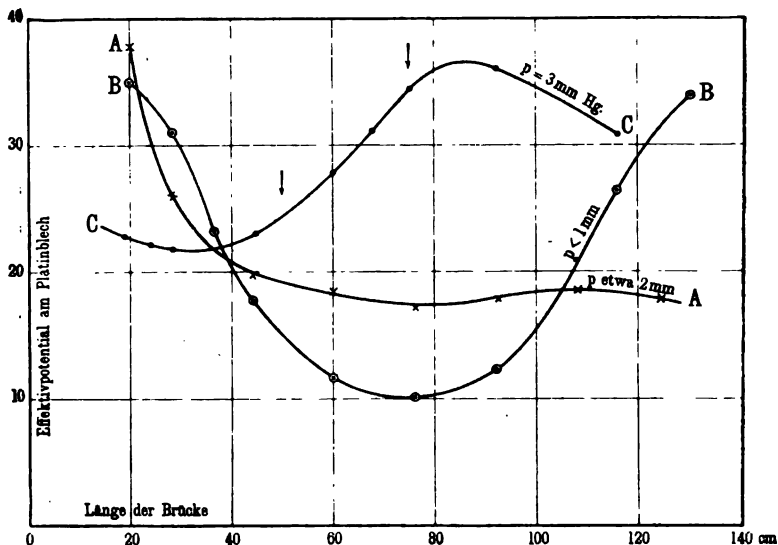
Viel einfacher ist es natürlich, Änderungen des Effektivpotentials durch eine direkte Messung ohne Benutzung der verwickelten Erscheinung des HIMSTEDT-Effektes festzustellen. Eine solche direkte Messung läßt sich ohne Änderung der Versuchsbedingungen dadurch ausführen, daß man an Stelle des Quadrantenelektrometers *E* (Fig. 1) ein Thermokreuz mit Galvanometerkreis an den FARADAY-Zylinder anschließt<sup>1)</sup>. Natürlich kann man dann

<sup>1)</sup> Der FARADAY-Käfig wirkt hier als eine einfache, zur Koppelung dienende Kondensatorplatte. — In den Zuleitungen zum Thermokreuz und Galvanometer wurde das Auftreten von Resonanzen vermieden.

den Druck im Auffangegefäß beliebig hoch wählen, da man nicht mehr die leuchtende Entladung braucht, sondern nur das Mitschwingen des mit der Spannungselektrode elektrisch gekoppelten FARADAY-Zylinders bestimmt.

Wir haben zwei Reihen von Kurven aufgenommen; die erste zeigt die Abhängigkeit des an der Platinplatte auftretenden Effektivpotentials von der Entfernung des Röntgenrohres. Bei

Fig. 5.



diesen Messungen bleibt der Brückenläufer in Ruhe. Die Kurven zeigen unter verschiedenen Versuchsbedingungen (Funkenstrecke, Gasdruck im Röntgenrohr, Durchbiegung der Zuleitungen) immer angenähert dieselbe Form. Als Beispiele geben wir die Kurven  $A_1$ ,  $B_1$ ,  $C_1$  der Fig. 4.

Nach jeder Kurve, die durch Verschieben des Röntgenrohres entstand, wurde sofort die ihr entsprechende für Verschiebung der Brückenstellung gemessen. Währenddessen blieb der Abstand des Röntgenrohres ein und derselbe. Hier ergab eine Änderung des Gasdruckes im Röntgenrohr alle möglichen Veränderungen der Abhängigkeit des Potentials an der Platinplatte von der Brückenstellung. Als Beispiel mögen hier die den Kurven  $A_1$ ,  $B_1$ ,  $C_1$

entsprechenden  $A, B, C$  der Fig. 5 dienen. Die starke Abhängigkeit ihres Verlaufs vom Drucke im Röntgenrohr wird dadurch verständlich, daß das Rohr als Vakuumfunkenstrecke<sup>1)</sup> wirkt und bei verschiedenem inneren Widerstand eine verschiedene Intensitätsverteilung der im System vorhandenen Schwingungen hervorruft.

Da unseres Erachtens die von Herrn MARX angestellte Messung, wie oben beschrieben, nur in der Kompensation einer Potentialänderung (Verschiebung des Röntgenrohres) durch eine andere (Brückenverstellung) beruht, so läßt sich aus unseren Potentialverteilungskurven für jedes Kurvenpaar ohne weiteres berechnen, welche scheinbare Geschwindigkeit der Röntgenstrahlen man erhalten würde, wenn man die Rohrverschiebung durch Brückenverschiebung ausgleicht. Ferner zeigt die Form der Kurven, daß die zwischen Brücken- und Rohrverschiebungen gefundenen Verhältnisse sehr wohl in einem Verschiebungsbereich von 6 bis 15 cm konstante Werte zeigen können. Auch findet die Angabe des Herrn MARX, daß für die Geschwindigkeitsmessung der höchste Gasdruck der geeignetste sei, eine Bestätigung. Denn das Verhältnis beider Verschiebungen nähert sich am meisten der 1 in der Kurve für den Druck  $P = 3$  mm, und zwar in dem mit Pfeilen gekennzeichneten Bereich.

Zur Reproduktion konstanter Werte ist es also bei Benutzung des Thermokreuzes nur erforderlich, stets die gleiche Verteilung des Effektivpotentials längs der Brückenlänge einzustellen.

Benutzt man das Quadrantelektrometer in der ursprünglichen Anordnung, so läßt sich eine Abhängigkeit der Elektrometernaufladung dadurch reproduzieren, daß man zwei Stellen gleichen Effektivpotentials, kenntlich durch die Nullzone des HIMSTEDT-Effektes, auf einen konstanten Abstand auf der Brücke bringt. So verfährt Herr MARX, wenn er, wie auf S. 122 bis 123 ausgeführt, den Abstand zweier Nullpunkte gleich  $\frac{1}{2}\lambda = 45$  cm macht, um durch die „gut abgestimmten Vakua“ gleiche Bereiche positiven und negativen Elektrometerauschlages auf der Brücke zu erhalten.

#### Zusammenfassung.

Wir glauben in unserer Arbeit den Nachweis folgender Tatsachen erbracht zu haben:

<sup>1)</sup> A. WEHNELT, Wied. Ann. 65, 528, 1898.

1. Die von Herrn MARX gegebenen theoretischen Grundlagen seiner Methode versagen bei der Erklärung der tatsächlich beobachteten Erscheinungen, und zwar in erster Linie wegen der Größenordnung der gesuchten Effekte.

2. Die von Röntgenstrahlen periodisch getroffene Platinplatte wird zu einem in leuchtender Entladung strahlenden Teslapol.

3. Gasdruck und Dimensionen des Apparates sind so gewählt, daß die leuchtende Entladung nur mit Hilfe der auslösenden Wirkung der Röntgenstrahlen einsetzt.

4. Hat die leuchtende Entladung eingesetzt, so hängt die Aufladung des Faradaykäfigs in Größe und Vorzeichen *et. par.* lediglich von der Höhe des an der Platinplatte auftretenden Effektivpotentials ab.

5. Dies Effektivpotential wird bedingt, wie Messungen mit dem Thermokreuz, unabhängig von jeder Röntgenstrahlung, ergaben,

a) durch den Abstand des Röntgenrohres, da das Röntgenrohr nebst Zuleitungen und die darunter angebrachte gänzlich ungeschützte Brücke miteinander gekoppelt sind und diese Koppelung durch Abrücken des Röntgenrohres geschwächt wird;

b) durch die Stellung des Brückenläufers, da die Resonanz der Brücke von der Länge abhängt.

Eine Änderung des Effektivpotentials durch Abstandsänderung des Röntgenrohres läßt sich daher durch eine Verstellung des Brückenläufers kompensieren.

6. Durch passende Wahl des Gasdruckes im Auffangegefäß und im Röntgenrohr lassen sich die Bedingungen feststellen, unter denen in größerem Verschiebungsbereich konstante Verhältnisse zwischen Rohr- und Brückenverschiebung reproduzierbar sind, und es läßt sich diesem Verhältnis jeder beliebige Wert erteilen. Eine Notwendigkeit, daß Röntgenrohr- und Brückenverschiebung einander gleich werden, ist nicht ersichtlich.

7. Es besteht kein innerer Zusammenhang zwischen den von Herrn MARX beschriebenen Versuchen und der Geschwindigkeit der Röntgenstrahlen.

Berlin, Physikalisches Institut der Universität, Januar 1908.

**Theorie der Vorgänge im Nullapparat  
zur Geschwindigkeitsmessung der Röntgenstrahlen;  
von Erich Marx.**

(Vorgetragen in der Sitzung vom 24. Jan. 1906, eingegangen am 13. Febr. 1906.)  
(Vgl. oben S. 33.)

---

In folgender Arbeit sollen die Vorgänge im Auffanggefäß meines Apparates zur Geschwindigkeitsmessung der Röntgenstrahlen behandelt werden.

Die Behandlung ist eine etwas ausführlichere als die früher veröffentlichte, und sie ist namentlich in einem wesentlichen Punkte durch die inzwischen ausgeführte Untersuchung über die  $\delta$ -Strahlen beim CURIE-SAGNAC-DORN-Effekte ergänzt. Eine Änderung meiner früheren Ausführungen ist durch die neuen Ergebnisse in keinem wesentlichen Punkte gegenüber der Darstellung in der Abhandlung der Kgl. Sächsischen Akademie 29, 445, 1906 bzw. Ann. d. Phys. (4) 20, 677, 1906 erforderlich gewesen, sondern lediglich die seinerzeit angekündigte Ergänzung. Während ich sie erst später veröffentlichen wollte, benutze ich die Gelegenheit einer öffentlichen Diskussion, sie bereits jetzt bekannt zu geben.

### I. Die Grundlagen der Geschwindigkeitsmessung.

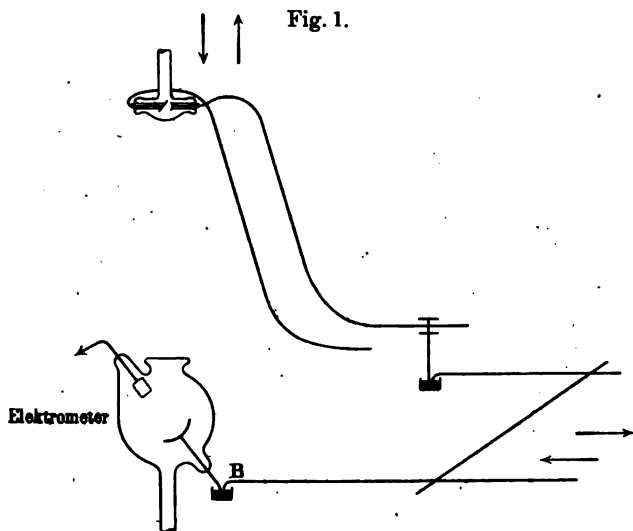
In zwei Arbeiten habe ich Versuche beschrieben, die ich glaube so erklären zu müssen, daß aus ihnen folgt, daß die Geschwindigkeit der Röntgenstrahlen gleich der Lichtgeschwindigkeit ist.

Das Schema des Versuches zeigt Fig. 1.

Eine kleine Röntgenröhre wird mit schnellen Schwingungen gespeist. Unterhalb der Röhre ist eine Elektrode  $B$ , die durch einen kleinen Kondensator über eine verstellbare Brücke, wie Fig. 1 zeigt, gekoppelt ist. Bei der Verschiebung der Röhre soll unten veränderte Phase der Schwingung angetroffen werden. Die Veränderung soll durch Verschieben der

Brücke kompensiert werden, indem die angetroffene Phase von der Weglänge bis zu  $B$  hin abhängt. Die Zeit, welche die Welle braucht, um die doppelte Brückenverschiebung zurückzulegen, ist dann gleich der Zeit, welche die Röntgenstrahlen brauchen, um die Verschiebungsstrecke zurückzulegen.

Das Wesentliche des Versuches ist, daß eine völlig elektrostatische Abschirmung des Gefäßes  $B$  erreicht werden muß. Diese elektrostatische Abschirmung muß unabhängig davon sein, ob die



Röntgenstrahlen durch ein kleines Bleiblech auf dem Aluminiumfenster abgeschirmt werden oder nicht. Alsdann läßt sich folgendes zeigen: Liegt das Bleiblech auf dem Aluminiumfenster, so kann man in  $B$  bei Einschaltung der Wellenerregung Schwingungen erzeugen, die das Elektrometer völlig in Ruhestand lassen.

Zieht man aber dieses kleine Bleiblech weg, so findet eine Aufladung des Elektrometers statt, die *et. par.* stationär ist. Diese Aufladung des Elektrometers verändert sich bei Veränderung der Höhenstellung der Röntgenröhre, trotzdem der stets eingeschaltete Kontrollversuch mit dem Bleiblech zeigt, daß es bei jeder Stellung, wenn also über den ganzen möglichen Verschiebungsbereich von Brücke und Röhre verschoben wird, die Röntgenstrahlen sind, welche die Veränderung hervorrufen, nicht

etwa eine Wirkung, die nicht durch Röntgenstrahlen eintritt, etwa Schwingungen oder anderweitige Störungen durch unvollkommenen Induktionsschutz.

Da die Voraussetzung der Methode darin besteht, daß durch geringe Brückenverschiebung stark veränderte Phase angetroffen wird, kann man natürlich nur mit HERTZschen Schwingungen arbeiten. Es ist deshalb notwendig, daß man sich vor Beginn der Messung davon überzeugt, daß die HERTZsche Schwingung für die Strahlenemission und die Lage der Knoten auf den Brückendrähten bestimmend ist. (Abhandlung S. 453.) Hierbei ist eine vollständige Gleichheit der positiven und negativen Gebiete nicht notwendig (vgl. Abh. S. 478, Ann. 710), wohl aber muß die Summe der Gebiete die Wellenlänge  $\lambda$  ergeben. Man kann auch anders verfahren; man kann zunächst an zwei Nullpunkten kontrollieren, ob die Nullpunkte wirklich der Meßschwingung zugehören, indem man sich zunächst von der Gleichheit der Kompensation, unabhängig vom benutzten Nullpunkte, überzeugt, oder man kann so verfahren, daß man vor der definitiven Messung durch schnelles, rohes Einstellen sich überzeugt, daß die Messung von der Abstandsänderung unabhängig ist. Ehe man sich aber überzeugt hat, daß die Nullpunkte der Meßschwingung entsprechen, darf man natürlich nicht mit der Messung beginnen. Für die Messung selbst ist es dann unnötig und nicht ratsam, die Verschiebung aller Nullpunkte zu messen, weil die genaue Messung einer Nullpunktsverschiebung genügt und bereits viel Zeit in Anspruch nimmt und die Wahrscheinlichkeit einer Nullpunktsänderung während der Messung mit der Inanspruchnahme des Apparates und der Zeit wächst (vgl. folg. Arb., Kap. I).

Wenn man nun die Röhre bzw. die Brücke in geeigneter Weise eingestellt hat, so läßt sich erreichen, daß bei aufliegendem Bleiblech absolute Elektrometerruhe eintritt, daß dagegen bei entferntem ein langsames Schwanken um die Nullage stattfindet. Jede Änderung der Stellung der Röhre innerhalb gewisser Grenzen läßt alsdann einen Ausschlag am Elektrometer erscheinen, der, wie das Experiment zeigt, nur durch Röntgenstrahlen bewirkt ist. Diese Ausschläge sind bei Antreffen der positiven Phase schwach positiv, bei Antreffen der negativen stark negativ, wenn der Druck



geeignet reguliert ist. Diese großen negativen Ausschläge sind von einer schwachen Leuchterscheinung an der Elektrode begleitet. Diese erstreckt sich einige Millimeter weit von der Platinelektrode aus in das Gas. Das gleiche findet nicht statt, wenn die Elektrode positiv angetroffen wird. (Vgl. Kap. II und III.) Während der Verschiebung muß der Druck dann absolut konstant bleiben. Der Druck im Rohre ist dabei zwischen 1 bis etwa 7 mm variabel. Die Einstellung hängt von den Stromverhältnissen und der Härte der kleinen Röntgenröhre ab (vgl. Kap. II, Schluß), in welcher Weise, ist durch Tabellen S. 33 der Abhandlung beschrieben. Der Druck wird bei feststehender Röhre eingestellt. Die Verschiebung der Röhre kann dann beliebig bis etwa 15 cm betragen.

## II. Die Vorgänge im Auffanggefäß, welche direkt durch die Röntgenstrahlen entstehen.

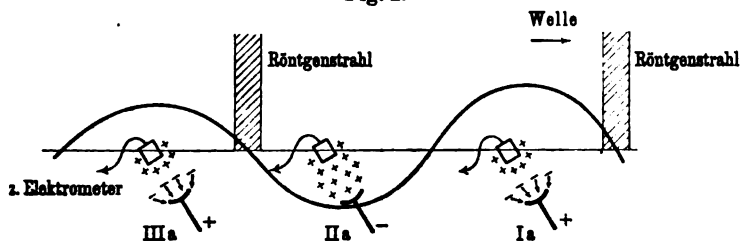
### 1. Die Volumenionisation im Auffanggefäß.

Während ich zunächst glaubte, jede Volumenionisation im Auffangrohr vermeiden zu müssen, beobachtete ich, daß nur bei Anwesenheit von Gasresten polare Unterschiede beim Auftreffen der Röntgenstrahlen an der im gleichen Takte schwingenden Elektrode zu erhalten waren, die der gleichen Periode entsprachen. Die Tatsache, daß der Einfluß der Verschiebungen der Röhre und die hiermit verbundenen Änderungen im Antreffen der Phase sich durch Verschiebung der Brücke in Hinsicht auf die Röntgenstrahlenwirkung (und wesentlich auf diese) kompensieren lassen, wenn Gasreste im Rohr sind, ist beobachtet, nicht a priori erdacht.

Das Experiment führte also zu der Frage: Wenn die Potentiale an der schwingenden Elektrode schnell wechseln, und die Ionisation im selben Tempo mit dem Auftreten der Röntgenstrahlen und gleichzeitig dem der negativen Phase an der schwingenden Elektrode erfolgt, ist es dann theoretisch möglich, daß auch der Ionisationszustand im Volumen des Rohres die gleiche Periode aufweist wie die Röntgenstrahlen? Die Beantwortung dieser Frage ist sofort dahin zu geben: Ein so schnelles Folgen des Ionisationszustandes kann dann und nur dann stattfinden, wenn die Bewegung mindestens einer Ionenart so groß ist, daß die Ionen nur Zeiten brauchen, um sich

bis zur schwingenden Elektrode bzw. bis zum Faradayzylinder zu bewegen, die innerhalb der Dauer einer Phase der Schwingung liegen. Wenn also die schwingende Elektrode, wie in meiner Anordnung, während 45 cm Lichtzeit positiv ist, so müssen alle Ionen eines Vorzeichens, sagen wir die negativen, die im Volumen zwischen Faradayzylinder und Elektrode sind, während der Dauer dieser 45 cm Lichtzeit bis zur Elektrode gelangen. Ist dies der Fall, so findet die negative Phase der schwingenden Elektrode, die dem positiven Zustande folgt, keine negativen Ionen (oder besser keine merklichen) mehr vor. Dann findet also in den verschiedenen Phasen der schwingenden Elektrode folgendes statt (Fig. 2):

Fig. 2.



Ia. Die negativen Ionen, welche während des positiven Zustandes der Elektrode erzeugt werden, werden von ihr angezogen und lassen den Faradayzylinder schwach positiv zurück.

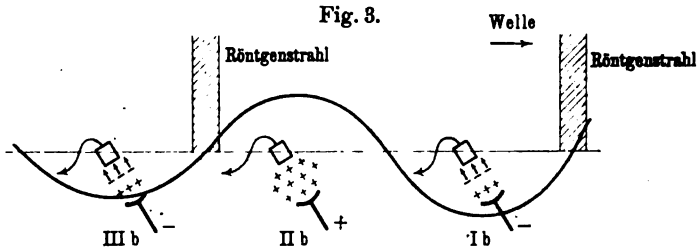
IIa. Die darauf folgende Minusphase der Elektrode, in der keine Röntgenstrahlen eintreffen, ist für den Ionisationszustand unwirksam, da die allein im Volumen noch vorhandenen positiven Ionen in der kurzen Dauer der negativen Phase sich wegen ihres Mangels an „Beweglichkeit“ nicht wesentlich von der Stelle rühren.

IIIa = Ia, d. h. die neu erzeugten negativen Ionen werden wieder durch die positive Phase dem Volumen entzogen; die positiven Ionen, die zurückbleiben, steigern das Potential des Faradayzylinders.

Genau Entsprechendes gilt für Ib, IIb, IIIb der Fig. 3, d. h.: Wenn die negative Phase während der Ionenerzeugung angetroffen wird, dann wird der Faradayzylinder negativ. Diese Verhältnisse, wie sie hier geschildert sind, können nur dann, aber müssen auch dann eintreten, wenn die Zeit, die die

negativen Ionen brauchen, um nach ihrer Erzeugung das Volumen zu durchqueren, annähernd gleich oder kleiner als die Phasendauer ist.

Nun hat bereits Herr LANGEVIN gezeigt, daß bei niederem Druck die negativen Bestandteile der Volumenionisation Elektronen sind. Hätte er es nicht gezeigt, so würde es, gerade für sehr kurze Zeiten, aus diesen meinen Versuchen folgen: Denn in der Tat ist ja die Methode, die zu solchen Messungen die J. J. THOMSONSche Schule verwendet hat, im wesentlichen die, welche hier bei meinen Versuchen in Anwendung kommt. Und es mußte ja als viel wahrscheinlicher erscheinen, daß die negativen Ionen direkt post statum nascendi Elektronen sind, als geraume Zeit nachher. Meine Zeiten sind aber in anderer Größen-



ordnung kleiner als die bei LANGEVIN. Wie man heutzutage in dieser Hinsicht noch Zweifel haben kann, das kann ich gar nicht einsehen<sup>1)</sup>! Gibt es denn überhaupt in statu nascendi in Gasen negative Ionen? Die ganze Entwicklung der Elektrizitätsleitung in Gasen drängt meines Erachtens dahin, die Frage mit „Nein“ zu beantworten. Selbst bei Atmosphärendruck, bei der Funkenentladung, in Flammgasen, kurz überall, wo man die negativen Ionen in statu nascendi zu fassen bekam, wo man ihre freien Weglängen durch große Potentialgefälle erhöhte und sie dadurch vor Kollisionen bewahrte, bevor sie zur Messung kamen, haben sie sich nicht als Ionen, sondern als Elektronen erwiesen.

Es müssen also im Auffangrohr bei der Bestrahlung im Volumen Elektronen frei werden. Diese Elektronen unterliegen dem Felde

<sup>1)</sup> Diese Zweifel bildeten im Vortrage und in der Diskussion ein Hauptmoment, sind aber dann aus dem definitiven Vortragsmanuskript der Herren FRANCK und POHL fortgelassen worden.

der schwingenden Elektrode. Das Feld hat eine Dauer in positiver bzw. in negativer Richtung von 45 cm Lichtwegzeit. Die Spannung an der Elektrode hat während etwa 40 cm Lichtzeit annähernd die Größenordnung von 4000 Volt. 4000 Volt erteilen Elektronen eine Beschleunigung von etwa 1:8,4 Lichtgeschwindigkeit. Also würden sie während 40 cm Lichtzeit einen Weg von 4,7 cm zurücklegen. Der Faradayzylinder ist nur 3 cm von der Elektrode entfernt. Es wird demnach das Schema unserer Figur erfüllt sein: Während der Dauer einer Phase wird das ganze Volumen zwischen Faradayzylinder und Elektrode derartig von Elektronen gesäubert, daß der folgende Schwingungszustand im Volumen keine Elektronen mehr antrifft. Also folgt:

I. Der Ionisationszustand zwischen Faradayzylinder und der Elektrode ist der Periodizität der schwingenden Elektrode unterworfen.

Diese ganze Überlegung ist hier nicht neu angestellt, sondern auf S. 447 der Abhandlung (bzw. S. 680 der Annalen) auf drei Zeilen zusammengedrängt, aber identisch mit der hier angestellten. Es sei ohne nähere Ausführung bemerkt, daß die Streifenbreite der Röntgenstrahlen wesentlich kleiner ist als die der Phase (vgl. Abhandlung S. 460, Annalen S. 693). Hierdurch kann die Dauer der 45 cm-Lichtzeit sehr vollkommen ausgenutzt werden.

## 2. Die Oberflächen-Ionisationen in meinen Versuchen.

Ich komme nun zu dem zweiten Faktor, dem bei meinen Experimenten im Auffangrohr eine wesentliche Funktion zukommt, zur Oberflächen-Ionisation an der Platinelektrode. In bezug auf diese Oberflächendissoziation habe ich ausdrücklich darauf hingewiesen, daß erst weitere Untersuchungen ihre quantitative Bedeutung in meinen Versuchen klar legen werden (Abhandlung S. 447). In diesem Hinweise liegt aus dem Grunde kein Einwand gegen die Stichhaltigkeit meiner damaligen Schlüsse, die ich aus den Experimenten zog, weil der Vorteil der Nullmethode ja gerade darin liegt, daß der als Kriterium benutzte Vorgang nicht im einzelnen bekannt zu sein braucht, vorausgesetzt, daß nachgewiesen ist, daß die einzigen veränderten Parameter, nämlich Abstand und Kompensation, den als Kriterium benutzten Vorgang nicht ändern. Das aber war nachgewiesen!

Für einen Teil der Oberflächendissoziation, den eigentlichen Dorneffekt, der vor allem bei weitgehendem Vakuum eintritt, zeigte ich, daß jede polare Beeinflussung der schwingenden Elektrode ausbleibt: Während bei vorhandener Volumenionisation Plusgebiete mit Minusgebieten auf dem Brückendrahte wechseln, ergab das Experiment, daß bei weitgehendem Vakuum über die ganze Länge des verwendeten Drahtes hin Minusausschläge bleiben, im Einklang damit, daß bei Elektroden, deren Umgebung gasfrei ist, der Dorneffekt im Mittel 30 000 Volt äquivalent ist.

Nun aber haben meine inzwischen ausgeführten Experimente die damals offen gelassene Frage entschieden, daß neben dem Dorneffekt eine langsame Kathodenstrahlung von der bestrahlten Elektrode ausgeht. Die Methode wird weiter unten in Kap. IV angegeben werden. Hier kommt es im wesentlichen darauf an, daß diese  $\delta$ -Strahlung da ist und in derselben Richtung wirkt wie die Ionisation, wenn die Elektrode negativ angetroffen wird. Sie bleibt aus, wenn sie positiv getroffen wird.

Es stellt sich demnach die Aufladung des Elektrometers, soweit sie direkt durch die Röntgenstrahlen bewirkt wird, durch Übereinanderlagerung von drei gleichgerichteten Effekten dar im Falle, daß die schwingende Elektrode negativ angetroffen wird

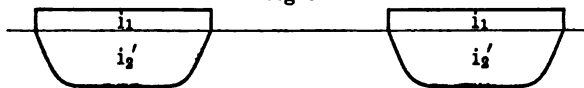
Fig. 4.



Elektrometernaufladung bei negativ angetroffener Phase.

(Fig. 4), und von zwei entgegengesetzt gerichteten im Falle, daß sie positiv angetroffen wird (Fig. 5).

Fig. 5.



Elektrometernaufladung bei positiv angetroffener Phase.

In der Fig. 4 und 5 bezeichnet  $i_1$  den Strom aus dem Dorneffekt, der von der Phase unbeeinflusst ist,  $i_2$ ,  $i_2'$  den Strom aus den Elektronen, die den Volumen entstammen,  $i_3$  den der  $\delta$ -Strahlen, es ist also

$$-J = -(i_1 + i_2 + i_3)$$

der Elektrometerstrom für die negative Phase. Und es ist

$$+J = (i_2 - i_1)$$

der Elektrometerstrom für die positive Phase.

$i_2$  entsteht dadurch, daß das Elektrometer die Ladungen der positiven Gasreste annimmt.

Betrachten wir jetzt den Fall, daß die Röntgenstrahlen so eintreffen, daß sich die Ladung Null ergibt; dies findet statt in Fig. 6, so folgt:

II. Es besteht die Null bei Einwirkung der Röntgenstrahlen aus einem dynamischen Gleichgewicht aus fünf Komponenten.

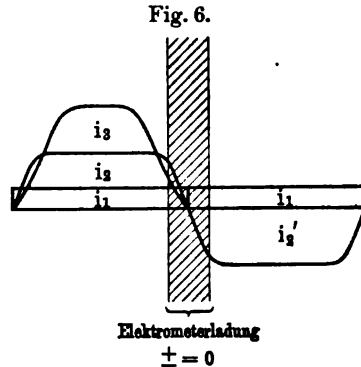
Sowie sich eine der Komponenten um ein weniges verändert, was ja in der Natur des Experimentes liegt, so wird die andere verstärkt, also folgt für dieses dynamische Gleichgewicht:

III. Es muß die Null bei Einwirkung der Röntgenstrahlen sich durch ein Schwanken der Elektrometernadel dokumentieren.

Da die Komponenten am Nullpunkt annähernd von gleicher Größenordnung sein dürften, zum Teil aber sehr schnell mit der Entfernung vom Nullpunkt zunehmen, so folgt:

IV. Die zunächst überraschende Einstellungsschärfe hat ihre Ursache darin, daß ein wenig Verschiebung imstande ist, eine der Gleichgewichtskomponenten zu entfernen.

Wenn nun sehr weiche Röntgenstrahlen verwendet werden, was ja bei meiner Anordnung deshalb nötig ist, weil alsdann die schnellen Schwingungen allein Röntgenstrahlen erzeugen, da für deren Erzeugung der Potentialanstieg, nicht das Potential wesentlich ist (Abhandlung S. 456, Annalen S. 688), so wird bei der Schwächung der Strahlen durch Blenden oder durch Entfernen  $i_1$ ,  $i_2$ ,  $i_3$ ,  $i_2'$  direkt proportional der Schwächung der Röntgen-



strahlen abnehmen. Denn es ist für alle weichen Röntgenstrahlen sehr angenähert direkte Proportionalität dieser Komponenten mit der Strahlenmenge nach experimenteller Feststellung vorhanden. Also folgt:

V. Es muß in relativ sehr weiten Grenzen Unabhängigkeit des Nullpunktes von der Strahlenmenge vorhanden sein, da die Amplituden der Ladungen, aber nicht die Null sich ändern.

Alle diese Ergebnisse sind in Übereinstimmung mit dem experimentellen Befunde. Zu weit darf man mit der Röhrentfernung nicht gehen, schon wegen des starken Nachlassens der positiven Ausschläge, die, im Gegensatz zu den negativen (vgl. Kap. III), wohl im wesentlichen allein durch die bisher diskutierten Effekte bedingt sind. Es zeigt sich auch, daß bei einer Verschiebung über 15 cm die Messung nicht genauer ist, als bei einer Verschiebung über 6 cm. Ob hieran mehr die Schwächung der Strahlung oder die Änderung der Periode durch die Verbiegung schuld ist, kann ich nicht sagen. Es zeigt sich jedenfalls, daß trotz gleicher Einstellungsfehler die kleine Verschiebung den gleichen wahrscheinlichen Fehler aufweist wie die große.

Diese Betrachtungen gelten nur bei richtiger „Abstimmung“ des Vakuums. (Vgl. VIII dieses Kap.) Ist der Druck zu niedrig, dann folgt aus Fig. 4 und 5 wegen der Ausschaltung von  $i_1$  und  $i_2$ :

VI. Bei zu niedrigem Druck hören die positiven Ausschläge auf, und wegen der fehlenden Ionisation ist auf dem ganzen Draht negatives Gebiet.

Bei höheren Drucken im Auffanggefäß wird aber die Wirksamkeit der schnellsten Potentialschwankung im Auffangrohr ausgeschaltet; dann kann wegen der geringeren Beweglichkeit der negativen Träger im Rohr der Ionisationszustand nicht der schnellsten Periode folgen; alsdann tritt die nächst längere Schwingung des Kondensators in Aktion, und auf dem ganzen Draht ist infolge der Dimensionierung der Brückendrähte, die in die Größenordnung der halben Wellenlänge der zweiten Schwingung des Systems fällt, und infolge der Phasenverschiebung an dem kleinen Abzweigkondensator positives Gebiet. Wie das zustande kommt,

das ist quantitativ in meiner Hauptabhandlung ausgeführt (Abh. S. 457 bis 464; Ann. S. 690 bis 698), so daß nur der Vollständigkeit halber ein kurzer Hinweis nötig erscheint. Es ergibt sich also:

VII. Ist der Druck zu hoch, dann ist auf der ganzen Brückenleitung positives Gebiet.

Hierbei ist die Härte der Röntgenstrahlen, wie leicht ersichtlich, ein wesentlicher Faktor. Denn die Ionisation im Auffanggefäß ist umgekehrt proportional der Strahlenhärte. Harte Strahlen verlangsamen also im Auffanggefäß hohen Druck. Ist aber in der Röntgenröhre hoher Druck, d. h. sind die Strahlen weich, so muß unten der Druck niedriger werden. Eine kleine Veränderung des einen Druckes muß also relativ großen Einfluß haben, weil sie eine angenähert doppelt so große Einstellungsänderung nach der entgegengesetzten Richtung im zweiten Gefäß erfordert. Aus diesen Betrachtungen folgt:

VIII. Die als „Abstimmung“ bezeichnete Einstellung des Vakuums ergibt sich theoretisch notwendig.

Ist das Vakuum etwas zu hoch, so setzen erst bei den höchsten positiven Potentialen die positiven Entladungen ein, ist es aber zu niedrig, dann findet das gleiche für die negativen statt. Im ersten Falle ist also das negative Gebiet größer als das positive, im zweiten ist das Umgekehrte der Fall. Die ganze Wellenlänge bleibt dabei so gemessen annähernd die gleiche, als wenn beide Gebiete der Halbwellen auf Gleichheit abgemessen sind. (Vgl. Abh. Tab. IIIA, B, C.) Bei der Einstellung ist dabei die Eigenschaft des Platins, sich nur träge in seinem Absorptionszustand gegenüber dem Gase der Umgebung zu verhalten, sehr störend.

Alle wesentlichen Betrachtungen sind hier nicht neu angestellt, sondern in gedrängter Darstellung bereits in meiner Abhandlung enthalten. Denn bis zu diesem Punkte kommt den inzwischen aufgefundenen  $\delta$ -Strahlen keine wesentliche Bedeutung zu. Hierbei sind von mir unter  $\delta$ -Strahlen solche Kathodenstrahlen verstanden, deren Geschwindigkeit durch ein elektrostatisches Feld beliebiger Größe eindeutig bestimmt ist. Diese Strahlung tritt erst im nächsten Kapitel in Erscheinung.

Wir sind bisher in jedem Punkte in Übereinstimmung mit dem experimentellen Befunde.



### III. Die negative Auslösung.

Außer den in Kap. II betrachteten Ionisationen ist nun natürlich noch die durch das Feld erzeugte Ionisation in der Umgebung der schwingenden Elektrode vorhanden. Diese Feldionisation reicht bei meiner Anordnung nicht über die unmittelbarste Umgebung der Elektrode hinaus. Das zeigt sich dadurch, daß die Elektrometerruhe eine völlig statische Null anzeigt. Wäre diese Elektrometerruhe nur scheinbar, d. h. durch dynamisches Gleichgewicht hervorgerufen, so müßte bei aufliegendem Blei die Elektrometernadel schwanken. Das ist aber nicht der Fall. Das Elektrometer ist absolut ruhig, ohne jeden Gang und ohne jede Schwankung.

Hierauf muß die Funkenstrecke eingestellt werden. Es darf kein Schwanken des Elektrometers eintreten. Ein wenig es muß aber dann genügen, um bei negativer Phase die Entladung auszulösen; das zeigte das Experiment. Ich habe seinerzeit die Erscheinung so beschrieben, daß ich sagte: „Die schwingende Elektrode, die, auf minimale Energie ansprechend, mit viel tausendfacher Energie antwortet, stellt ein Uhrwerk dar von relaisartigem Charakter usw.“ (Phys. ZS. 6, 777, 1905; diese Verh. 7, 321, 1905.) Hieraus geht deutlich hervor, welches Bild ich mir von den Vorgängen im Apparat gemacht habe, und ich glaube jetzt zeigen zu können, daß es zutrifft. Ich stelle ausdrücklich fest, daß ich nie behauptet habe, daß die großen negativen Ausschläge irgend etwas mit der Energie der Röntgenstrahlen zu tun haben. Nur die schwachen positiven Ausschläge entstammen im wesentlichen der Energie der Röntgenstrahlen, und ihretwegen bin ich gezwungen, die Elektrometerempfindlichkeit 400 mm für 0,1 Clark zu nehmen.

Ich habe mir seinerzeit wohl überlegt, ob ich über die Natur dieser Auslösung der negativen Entladung, die ich nur beschrieben, nicht zu deuten versucht habe, in der Hauptabhandlung Spekulationen anstellen solle oder nicht. Ich habe es nicht getan und mich mit einem Hinweis auf „Weitere Untersuchung über das Vorhandensein langsamer Kathodenstrahlen“ beschränkt und hinzugefügt, daß sie „im Gange“ sind (Abh. S. 477; Ann. S. 679), weil ich über folgende Schwierigkeit nicht fortkam: Wenn ich auch annehmen mußte, daß  $\delta$ -Strahlen die Auslösung bei negativer Phase bewirken (vgl. weiter unten), so war nicht einzusehen, warum nicht die  $\delta$ -Strahlen bei positiver Phase der Elektrode

die Entladung zum Aluminiumfenster führen könnten. Denn wenn die Elektrode positiv ist, so enden die Kraftlinien am Aluminiumfenster und am Faradayzylinder. Wenn nun auch der Faradayzylinder so angebracht war, daß er sich außerhalb des Ganges der Röntgenstrahlen befand, so wurde doch sicher das Aluminiumfenster getroffen und es mußten dann die  $\delta$ -Strahlen, welche am Aluminiumfenster entstehen würden, die Entladung auch für die positive Phase der Elektrode bewirken. Denn dann ist ja das Fenster Kathode und die Kraftlinien enden am Aluminiumfenster. Wenn aber eine Entladung vom Aluminiumfenster aus zur Elektrode erfolgt, so würde das ganze Volumen leitend. Dann müßte also die Entladung auch zum Faradayzylinder erfolgen, und es wäre nicht zu erklären, warum bei Plusphase sanfte, nicht unruhige Anstiege der Elektrometernadel zu beobachten sind.

Ich habe aus diesem Grunde über die ganze Auslösung keine Spekulationen angestellt und gebe selbstverständlich zu, daß hier meine Abhandlung eine Lücke in Hinsicht der Funktionsklärung des Nullapparates aufweist, allerdings eine, an deren Beseitigung ich seit langem arbeite. Alle Methoden, die ich zunächst zur Untersuchung der  $\delta$ -Strahlen bei Platin versuchte, scheiterten an der Unmöglichkeit, ein Vakuum zu erhalten, das bei Röntgenstrahlen nicht doch eine diffuse Elektronenstrahlung aufwies, zum Teil von den Wänden, zum Teil von Gasresten. So wurde mir eine magnetische Trennung nicht einwandfrei möglich. Ich habe dann zunächst das Problem gelassen und bin durch die Untersuchung der CURIE-SAGNAC-DORN-Effekte zu der Lösung der Frage der  $\delta$ -Strahlen und gleichzeitig derjenigen der Auslösung in meinem Nullinstrument gekommen. Die Methode ist im folgenden Kapitel in ihrem wesentlichen Prinzip beschrieben: Es zeigte sich, daß Aluminium das einzige Metall ist, das überhaupt keinen merklichen RÖNTGEN-elektrischen Effekt aufweist, also weder  $\delta$ -Strahlen (Lenardeffekt), noch den Dorneffekt zeigt. Das war nicht vorauszusehen, da Aluminium bei ultravioletter Bestrahlung einen sehr großen Lenard- bzw. Hallwachseffekt hat. Platin aber gibt relativ sehr stark  $\delta$ -Strahlen ab.

Hiermit ist nun aber der Auslösungsvorgang und mit ihm wohl die letzte wesentliche Funktion des Nullapparates in dem Apparat aufgeklärt. Denn diesen am Platin während der nega-

tiven Phase frei werdenden  $\delta$ -Strahlen muß für die Auslösung eine äußerst wesentliche Funktion zukommen. Die Einflußlosigkeit der Feldionisation muß für die nahe an das Entladungspotential eingestellte Elektrode sofort aufhören, wenn an der Elektrode  $\delta$ -Strahlen, oder besser überhaupt langsame Elektronen, den Potentialgradienten heruntersetzen. Denn da die Elektrodenumgebung in Hinsicht auf ihren stationären Ionisationszustand dicht an der labilen Grenze liegt, so genügen nur ganz wenige  $\delta$ -Strahlen, um die Entladung auszulösen. Diese langsamen Strahlen, die nur während der negativen Phase der Elektrode frei werden, setzen den Übergangswiderstand, den die Feldentladung der schwingenden Elektrode ohne Bestrahlung hat, sofort mächtig herunter und lösen die Entladung aus. Hier haben wir einen analogen, theoretisch quasi identischen Vorgang, wie etwa das durch G. C. SCHMIDT experimentell gezeigte mächtige Nachlassen des Kathodengefälles durch Hineinschaffung weniger Ionen in den Dunkelraum, oder etwa, und zwar noch analoger, wie KREUSSLERS Nachweis des mächtigen Stromanstieges im photoelektrischen Effekt nahe dem Entladungspotential. Die Größenordnung der negativen Effekte wird hierdurch vollständig verständlich. Die Schwierigkeit also, die sich früher für die Erklärung der ruhigen, schwachen positiven Ausschläge bot, fällt nun fort. Denn da keine  $\delta$ -Strahlen am Aluminiumfenster frei werden, auch nicht dann, wenn die Kraftlinien der Elektrode dort enden, so kann nur bei negativ angetroffener Phase eine Entladung der Elektrode eintreten; bei positiver Phase bleibt alles unverändert. Hiermit ist der Vorgang im Nullapparat völlig erklärt, es müssen bei angetroffener positiver Phase die schwachen positiven Ausschläge eintreten, die nach dem vorigen Kapitel im wesentlichen aus der Röntgenstrahlenenergie stammen. Bei angetroffener negativer Phase der Elektrode aber müssen starke negative Ausschläge stattfinden, welche die Entladung der Elektrode durch die  $\delta$ -Strahlen begleiten.

Gewiß ist es richtig<sup>1)</sup>, daß die schwachen Ionisationseffekte

<sup>1)</sup> Betrifft einen der wesentlichsten Punkte der Diskussion nach dem Vortrage am 28. Januar, auf den ich nicht mehr antworten konnte, weil ich schon auf das Wort verzichtet hatte. Sowie bewiesen ist, daß sich unter

ganz zu vernachlässigen sind gegen die Ionisation der Entladung. Das ist ja selbstverständlich! Aber die Ionisationseffekte sind das Relais, welches beim Antreffen der negativen Phase diese dadurch indiziert, daß es die Entladung auslöst. Da die positiven Ionen für die HERTZsche Welle unbeweglich sind, aber alle eventuell sonst vorhandenen, langsameren Schwingungen ganz geringe maximale Potentiale haben, so können die positiven Ionen im alternierenden Felde der Elektrode nur auf ganz geringen Wegstrecken hin- und herpendeln. Es kann also in einiger Entfernung von der Elektrode lediglich negative Ladung auftreten. **Ob die Entladung dann nach Ablendung der Röntgenstrahlen bestehen bleibt oder nicht, ist ganz gleichgültig; es ist ebenso gleichgültig, ob die negative Entladung durch einen leuchtenden Schimmer an der Elektrode wahrnehmbar wird oder nicht.** Die Entladung ist eben nur der Indikator, daß die Elektrode negativ angetroffen wurde. Sie setzt gar nicht ein, wenn die Elektrode positiv angetroffen wird.

Nun haben die Herren FRANCK und POHL nicht wie ich nur ein Aluminiumfenster, sondern ein Aluminiumfenster mit einem Messingflansch verwendet, und sie zeigen, daß, wenn sie die Röntgen-

---

Inhalten der Bleikriterien (S. 167) die HERTZsche Welle des Primärsystems auf den Brückendrähten durch polare Elektrometerausschläge erweisen läßt, so ist damit alles erwiesen, worauf es hier ankommt. Die Begleiterscheinungen der negativen Elektrometerausschläge sind keine Erscheinungen, die hier interessieren. Wenn ich nur geahnt hätte, daß in dieser Bemerkung eine Behauptung liegt, die nicht etwas ganz selbsterständliches enthält, so hätte ich sie natürlich ausführlich in meinen früheren Publikationen begründet. Ich habe es aber erst in der Diskussion nach meinem Vortrage wahrgenommen, denn ich habe mich wohl sicherlich nicht darin getäuscht, daß die verschiedenen Redner, welche die entgegengesetzte Meinung vertraten, der Ansicht der weitaus größten Majorität des Auditoriums Ausdruck verliehen haben. Ich kann aber nicht sehen, daß hier ein Trugschluß von mir liegt; ich kann in den Begleiterscheinungen der großen negativen Ausschläge nicht einmal eine Komplikation der Methode sehen. Wenn die Nullpunkte der HERTZschen Welle konstant bleiben, so kann es mir nur recht sein, wenn jenseits von ihnen große Ausschläge erhalten werden, denn dadurch werden sie schärfer. Träte das gleiche für die positiven Ausschläge ein, was nicht der Fall ist, so wäre das gewiß kein Schaden, denn dann wäre die große Elektrometerempfindlichkeit überflüssig. Ob dabei die großen Ausschläge durch ein schwaches Leuchten im Dunkeln wahrnehmbar werden, das ist völlig gleichgültig, es würde erst interessieren, wenn hierdurch die Lage der Nullpunkte beeinflusst würde. Das ist aber nicht der Fall. Das zeigt eben das Experiment.

strahlen, die durch Teslaschwingungen, nicht, wie bei mir, durch HERTZsche Wellen erzeugt sind (vgl. die folgende Arbeit Kap. II), mit schiefer Inzidenz allein das Fenster treffen lassen, daß dann die Entladung zum Fenster übergehe. Wenn auch bei mir nie eine sichtbare Entladung bis zu irgend einem Metallteil gegenüber der Elektrode eintrat, sondern die Leuchterscheinung, die beim Antreffen der negativen Phase die elektrischen Ausschläge begleitete, nur auf die nächste Nähe der Elektrode beschränkt blieb, so ist diese Beobachtung qualitativ doch sehr ähnlich mit der intensiven Leuchterscheinung, die die Herren FRANCK und POHL beobachtet haben. Niemals aber konnte ich eine solche Leuchterscheinung beobachten, wenn das Fenster allein getroffen wurde. Es erscheint prinzipiell gar nicht unmöglich, daß selbst bei sauberer Versuchsanordnung und bei Verwendung von HERTZschen Schwingungen dergleichen Entladungen eintreten können. Denn am Messing entstehen  $\delta$ -Strahlen; diese aber könnten eventuell die Entladung bei positiver Phase der Elektrode, wenn also das Fenster Kathode ist, zum Fenster ziehen, und es könnte das eintreten, was mich veranlaßt hat, in meiner Hauptarbeit die Diskussion des Auslösungsvorganges zu unterdrücken und „auf weitere Untersuchung“ zu verweisen, weil ich nicht wußte, daß eventuell für die ruhigen positiven Ausschläge das Aluminiumfenster ohne Messingflansch etwas Wesentliches ist. Es zeigt sich hier, daß bei Wiederholung sehr schwieriger Versuche, sowohl für den Autor selbst, wie auch für den Wiederholer, leicht ein Mißerfolg herauskommen kann, auch dann, wenn während der Überwindung technischer Schwierigkeiten das Prinzip der Untersuchung im Auge behalten wird.

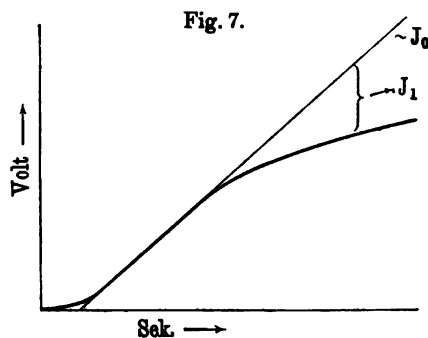
Die Überlegungen in diesem Kapitel sind neu; sie wurden früher nur durch den eingangs zitierten Satz von mir angedeutet, sie sollten demnächst veröffentlicht werden. Sie enthalten die Lösung des, wie ich glaube, letzten größeren Problems, welches mir der Nullapparat zur Lösung stellte. Immerhin erscheint es natürlich nicht ausgeschlossen, daß, wenn ich nach Fertigstellung meiner jetzigen Arbeit wieder an den Apparat gehe und mit den inzwischen experimentell sichergestellten Gesichtspunkten versuche, nun schrittweise zu vereinfachen, daß alsdann neue, mir bisher nicht bekannte Erscheinungen auftreten, also Erscheinungen, die hier nicht diskutiert werden konnten. Alle mir bisher be-

kannten Erscheinungen im Nullapparat sind hier aus den Figuren direkt ablesbar. Sollten aber neue beobachtet werden, so ist ihre Erklärung für die Geschwindigkeitsmessung selbst ebenso unwesentlich, wie die Erklärung der bisher bekannten Eigenschaften dieses Apparates. Für die Messung kommt es nur darauf an, daß die Beobachtung ergibt, daß der Apparat nur abhängig ist von den während der Messung veränderten wesentlichen Parametern. Warum er es ist, ist für die Messung ganz gleichgültig!

Wenn auch viele einzelne Effekte in dem experimentell gefundenen Nullapparat zusammenwirken, so ist doch die ganze Funktion desselben, wie ich bewiesen zu haben hoffe, so durchsichtig, daß die einfachsten und unmittelbarsten Folgerungen, die additiven Eigenschaften der einzelnen Effekte hinreichen, sie völlig zu begreifen. Ich benutze die sich zufällig bietende Gelegenheit einer öffentlichen Diskussion, um diese ergänzte Darstellung etwas früher bekannt zu geben, bin aber infolgedessen genötigt, als Beleg für das Gesagte die Methode des  $\delta$ -Strahlennachweises hier kurz in knappester Darstellung zu skizzieren.

#### IV. Die Methode zur Untersuchung der $\delta$ -Strahlen.

In einer großen Glaskugel befindet sich ein Kranz, an dem sechs Elektroden angebracht werden können. Es werden nur fünf eingesetzt, um die Möglichkeit zu haben, die Röntgenstrahlen, welche in einem parallelen Bündel durch ein Aluminiumfenster in die Glaskugel fallen, „ins Leere“ fallen zu lassen. Die Glaskugel ist innen durchsichtig versilbert, die Hülle geerdet. Der Elektrodenkranz ist, durch Bernstein vom Glase isoliert, mit dem Elektrometer verbunden. Wird der Kranz gedreht, so kommt eine Elektrode nach der anderen zur Bestrahlung. Die Aufladungen für die einzelnen Metalle werden jede Sekunde notiert. Dies geschieht dadurch, daß der Elektrometer-



spiegel auf eine Milchglasskala ein objektives Bild eines Spaltes wirft. Die Stellung des Bildes wird nach dem Schlagen des Sekundenpendels mit Bleistiftstrichen auf der Skala markiert. Alsdann ist der Gang der Aufladung im allgemeinen von der Charakteristik der Fig. 7.

Die Zunahme der Kurve steigt erst langsam, aber zunehmend an bei Einschaltung der Röntgenstrahlen, nimmt dann nach wenigen Sekunden linear zu und fällt nach einiger Zeit in ihrem dritten Teile exponentiell ab. Dann ist leicht einzusehen, daß, hinreichend lineares Stück vorausgesetzt, die Wendetangente einen Strom anzeigt, der sehr nahe dem Stromanstieg beim Potential Null entspricht. Genau ist:

$$-J_0 = -[(\text{Dorneffekt}) + (\delta\text{-Strahleneffekt})] + \epsilon,$$

wenn  $\epsilon$  die von den Wänden kommende Strahlung bedeutet, die als Korrektur anzubringen ist. Die Richtigkeit dieser Überlegung läßt sich experimentell prüfen; erstens durch den CURIESchen Quarz und zweitens durch Anbringung eines beschleunigenden Potentials

an der versilberten Hülle. Dann bleibt der Anstieg linear, und es ist

$$J_0 = J_{5,0} - 0_{5,0},$$

wenn  $J_{5,0}$  den Strom bei 50 Volt äußerer Beschleunigung,  $0_{5,0}$  den linearen Anstieg durch den Sättigungsstrom aus der Volumenionisation darstellt. Wie diese gemessen werden muß, geht aus dem weiter unten Gesagten hervor.

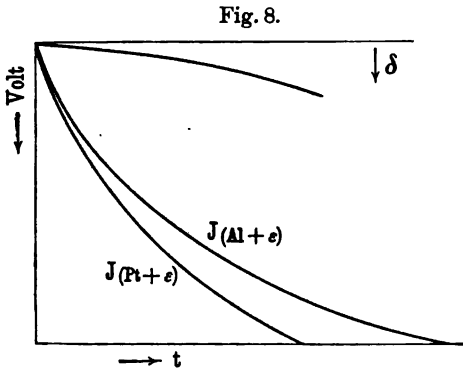


Fig. 8.

Der exponentielle Abfall, den der dritte Teil der Kurve zeigt, ist gleich  $J_1$ , und zwar ist  $J_1 = J_\gamma + J_\delta + \epsilon$ , wenn  $J_\gamma$  den Volumenstrom anzeigt, welcher die positive Aufladung verringert,  $J_\delta$  den Abfall der  $J_0$ -Kurve, der durch die zurückgehaltenen Strahlen bewirkt ist, und  $\epsilon$  die geringe negative Strahlung von den Wänden bedeutet. Nun zeigte sich, daß Aluminium nicht den geringsten positiven Aufladungseffekt ergab, vielmehr nimmt es eine schwache negative Ladung durch die

Strahlung  $\varepsilon$  an. Diese negative Aufladung ist aber quantitativ dieselbe wie die, wenn die Röntgenstrahlen „ins Leere“ fallen. Es ergibt also die Messung der Entladung eines Aluminiumbleches den Volumenionisationsstrom für das jeweilige Potential. Die Veränderung von  $J_1$  mit dem Potential ergibt die Kurve:  $J_1 = J_\gamma + J_\delta + \varepsilon$ .

Wenn wir also das Aluminiumblech mit Blei hinterlegen, um eine Durchstrahlung des Volumens unterhalb der Elektrode zu verhindern, und die Hinterlegung so umhüllen, daß keine Sekundärstrahlen rückwärts heraus können, so ist für das jeweilige Potential:

$$J_{\Delta 1} = J_\gamma + \varepsilon, \quad \text{also} \quad J_1 = J_{\Delta 1} + J_\delta.$$

Es wird demnach das so gepanzerte Aluminiumblech auf ein bestimmtes Potential gebracht und der Potentialabfall bei Bestrahlung mit Röntgenstrahlen gemessen; als Differenz der  $J_1$ -Kurve mit der Aluminiumabfallkurve erhält man die  $\delta$ -Strahlungsmenge für das betreffende Metall (Fig. 8).

### Resultate.

1. Es wird bewiesen, daß die Volumenionisation, die durch die periodischen Röntgenstrahlen erzeugt ist, am Elektrometer Vorzeichenwechsel bedingt, welche durch die von den Röntgenstrahlen angetroffene Phase der HERTZschen Welle von  $\frac{\lambda}{2} = 45$  cm bedingt sind.

2. Die Oberflächendissoziation folgt in Hinsicht des Dorn-effektes der Phase nicht, wohl aber in Hinsicht der  $\delta$ -Strahlen.

3. Es besteht die Null bei Einwirkung der Röntgenstrahlen aus einem dynamischen Gleichgewicht aus fünf Komponenten.

4. Es folgt demnach aus der Natur des Experimentes, daß die Null sich durch ein Pendeln der Elektrometernadel um die Ruhelage dokumentieren muß.

5. Da die Komponenten an der Null annähernd gleiche Größenordnung haben, aber zum Teil sehr schnell nach den beiden Phasen hin ansteigen, so folgt hieraus die zunächst so überraschende Einstellungsschärfe auf wenige Millimeter.

6. Für weiche Strahlen ergibt sich notwendig die Unabhängigkeit der Null innerhalb sehr weiter Grenzen.



7. Es folgt notwendig: Ist der Druck zu niedrig, so müssen auf der ganzen Brücke negative Ausschläge sein.

8. Ist der Druck zu hoch, dann müssen auf der ganzen Brücke positive Ausschläge sein.

9. Die als „Abstimmung“ bezeichnete Einstellung der Vacua der Röntgenröhre und des Nullgefäßes ergibt sich als physikalisch notwendig.

10. Die Vorgänge bei der Auslösung waren ohne experimentelle Untersuchung der Entstehung von  $\delta$ -Strahlen am Al und Pt nicht zu verstehen, konnten also nur beschrieben, nicht diskutiert werden.

11. Nach ihrer Auffindung folgt notwendig, daß bei angebotfener positiver Phase schwache positive, bei angebotfener negativer Phase starke negative Ausschläge im Apparat eintreten müssen.

12. Ob die beim Auftreffen der negativen Phase ausgelöste Entladung nach Ablendung der R-Strahlen bestehen bleibt, ist ebenso gleichgültig, als wie es gleichgültig ist, ob sie von einem im Dunkeln wahrnehmbaren Leuchten der Elektrode begleitet ist. Denn der Auslösungsvorgang ist lediglich Indikator der angebotfenen negativen Phase, die Entladung setzt gar nicht ein, wenn die Elektrode positiv angebotfen wird.

13. Es wird die Methode zum Nachweis der  $\delta$ -Strahlen angegeben.

14. Sämtliche hier angeführten, mir während langjähriger Arbeit mit dem Nullapparat als wesentlich erscheinenden und bekannten Beobachtungen erklären sich aus dem additiven Verhalten der bekannten und in ihrer Wirkung untersuchten Effekte. Es besteht überall völlige Übereinstimmung mit dem experimentellen Befund. Für die Messung der Geschwindigkeit der Röntgenstrahlen selbst ist diese Übereinstimmung nicht wesentlich. Für sie kommt es nur darauf an, daß die Beobachtung ergibt, daß der Apparat nur abhängig ist von den während der Messung veränderten wesentlichen Parametern. Warum er es ist, ist für die Messung ganz gleichgültig!

Leipzig, Physikal. Institut der Universität, 12. Febr. 1908.

**Zur Frage der Geschwindigkeit der Röntgenstrahlen.  
Erwiderung auf die gleichlautende Arbeit<sup>1)</sup> der  
Herren Franck und Pohl;  
von Erich Marx.**

(Vorgetragen in der Sitzung vom 24. Jan. 1906, eingeg. am 13. Febr. 1906.)  
(Vgl. oben S. 33.)

In der gleichlautend mit dieser betitelten Abhandlung haben die Herren FRANCK und POHL behauptet, daß sie „alle meine Versuche, mit Ausnahme des Endresultates, mit Hilfe des Himstedteffekts qualitativ und quantitativ wiederholen und erklären

---

<sup>1)</sup> Das Vortragsmanuskript der Herren FRANCK und POHL, das mir zwecks sofortiger Erwiderung einige Tage vor dem Vortrage gütigst zur Verfügung gestellt wurde, hat in der Folge wesentliche Änderungen erfahren. Diese sind zum Teil darauf zurückzuführen, daß durch meinen Vortrag das diesem zugrunde liegende, den Herren von mir überlassene Manuskript, und die sich anschließende mündliche Aussprache, einige Punkte als erledigt wegfallen konnten. Dies geschah im ausdrücklichen Einverständnis von beiden Teilen. Auf diese Punkte bin ich polemisch nicht wieder eingegangen, vielmehr sind sie nur soweit von mir erwähnt, als mir wünschenswert erschienen, sie als Einwände bei dieser Gelegenheit möglichst ein für allemal zu beseitigen. Andere Punkte, die später gegenüber dem Vortragsmanuskript verändert wurden, konnten von mir nicht in dieser Weise übergangen werden. Wo dies der Fall war, ist eigens darauf hingewiesen.

Diese hier vorliegende Erwiderung ist alsdann auf das zweite Manuskript hin, das mir die Herren FRANCK und POHL zu diesem Zwecke gütigst zur Einsichtnahme als „druckfertig“ zur Verfügung stellten, ausgearbeitet. Diese nach meinem Vortrage ausgeführte Umarbeitung enthielt nun zwar einige wesentliche Punkte des Vortrages nicht mehr, dafür aber traten neue und, wie ich in Kap. IIIa gezeigt zu haben glaube, nicht weniger tiefgehende Mißverständnisse auf. Da ich mich nunmehr nicht nochmals einer Umarbeitung dieser Erwiderung in Folge von nochmaligen Änderungen der Gegenseite unterziehen wollte, wurden die privaten Auseinandersetzungen dadurch beendet, daß ich erklärte, meine zweite Umarbeitung nun nicht eher nach Berlin senden zu können, bevor ich die letzte definitive Revision erhalten hätte. Da ich auf die Einwände der Herren FRANCK und POHL, diese zunächst nicht auf meine zu antworten hatten, konnte ich meines Erachtens mein Manuskript vor der letzten Revision nicht nochmals zur Verfügung stellen. Diese Revision ist mir nicht zugegangen. Auf die Einwände oder Fragen, die in dem mir übersandten Manuskript vom 10. Februar standen, bin ich, wie ich denke, ohne Ausnahme hier eingegangen.

könnten“. Für das Endresultat erhalten sie alsdann den Wert  $0,4c - 14c$ . Sehen wir zunächst von der Diskrepanz des Endresultates, für welches sie eine besondere Erklärung gefunden zu haben glauben, ab, so wäre allein schon durch die quantitative Wiederholung meiner übrigen Versuche mit Hilfe einer Erscheinung, die nicht auf dem Antreffen der veränderten Phase bei Veränderung des Weges beruht, bewiesen, daß meine Schlüsse auf Grund meiner Experimente entweder falsch oder nicht eindeutig sind.

Wir haben hier zu untersuchen, ob die Behauptung der Herren FRANCK und POHL überhaupt zutreffend ist, worauf die Diskrepanz zwischen ihren und meinen Schlüssen beruht und wieweit sonst ihre Einwände gegen die Beweiskraft meiner Experimente berechtigt sind.

Wir beginnen zunächst mit der Diskussion des erhaltenen Endresultates und der vom Endresultat unabhängigen, eindeutigen Widerlegung der obigen Behauptung, „der quantitativen Wiederholung und Erklärung aller meiner Versuche durch den Himstedt-effekt“ durch ein Experimentum crucis.

### **I. Einfluß störender Nebenpotentiale und ihre Vermeidung in meinem Apparate, im Zusammenhang mit dem Resultat $0,4c - 14c$ .**

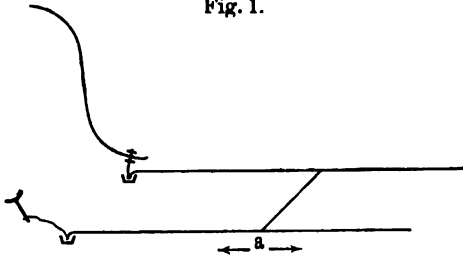
a) Einfluß einer Wellenstrahlung. — b) und c) Zwei Experimenta crucis für ihre Vermeidung und die jedes Nebenpotentials. — d) Die Unabhängigkeit des Messungsergebnisses von der Entfernung.

a) Die Herren FRANCK und POHL haben in ihrer Arbeit zunächst festgestellt, daß eine Brückenstellung in meinem Apparate gefunden werden kann, bei der zwar mit und ohne Blei Nullstellung ist, bei der aber allein durch die Verschiebung, auch wenn das Blei aufliegt, Elektrometersausschläge beobachtet werden können. Diese Ausschläge aber lassen sich kompensieren durch Änderung der Brückenstellung.

In diesem Falle trifft also das Kriterium für die Sauberkeit der Versuchsanordnung, daß über den ganzen Verschiebungs-

bereich der Brücke und der Röhre Nullstellung des Elektrometers ist, nicht zu. Diese Erscheinung ist offenbar durch elektrische Schwingungen hervorgerufen, und wird auch so von den Herren gedeutet. Wird die Röhre genähert, so wird der Einfluß der Wellenstrahlen stärker, es wird dadurch im elektrisch bestrahlten Brückendraht die Potentialamplitude der Elektrode verändert, und man kann nun durch Änderung der Brückenstellung die mehr oder weniger eingestellte Resonanz so verändern, daß man wieder Nullstellung erhält. Man würde also in diesem Falle eine elektrische Strahlungserscheinung, die mit den Röntgenstrahlen gar nichts zu tun hat, kompensieren. Die Herren sind der Meinung, daß bei mir eine solche Wellenstrahlung auch bei Innehaltung der Bleikriterien (S. 167) Einfluß auf das Resultat der elektrometrischen Messung haben konnte und gehabt hat.

Fig. 1.



Es kommt bei dieser Betrachtung wesentlich auf Potentialveränderungen an der bestrahlten Elektrode an, so daß ich auf die spezielle Begleiterscheinung, den „Himstedteffekt“, erst später einzugehen brauche. Es kommt nur darauf an, daß bei dieser Beobachtung das Potential an der Elektrode nicht nur durch die Phase der aufgedrückten Schwingung bedingt ist, daß also die Voraussetzung meiner Methode dann nicht mehr erfüllt ist.

Was alsdann eintreten muß, wenn eine solche Wellenstrahlung das Potential der Elektrode beeinflusst, ergibt folgende Überlegung: Angenommen, es sei die Brücke bei  $a$  der Fig. 1, und in diesem Falle gäbe die Brücke bei Einschaltung 0. Jetzt verändere ich die Stellung der Röhre und schwäche dadurch die Wellenstrahlung. Ist dann die Stellung gerade die, daß an-

genähert ein Knoten der Welle an der Elektrode liegt, so kann ich durch Verschiebung nach zwei Seiten die Höhe des früheren Potentials wieder herstellen. Der eine Wert würde dann eine Geschwindigkeit vortäuschen, der einer negativen Zeit entspräche, der andere einen Bruchteil oder ein ganzes Vielfaches von  $c$ . Liegt aber ein vollständiger Knoten an der Elektrode, so kann dieser bestehen bleiben, ohne daß bei Verschiebung der Röhre eine Brückenverschiebung nötig ist. Dies ist dann der Fall, wenn die Resonanz allein in Frage kommt, und nur die Amplitude der die Resonanz erzeugenden Welle verändert würde. Es ergäbe sich  $c = \infty$ .

So kann natürlich jeder Wert der Geschwindigkeit erhalten werden.  $0,4c - 14c$  liegt dabei noch in solchen Grenzen, daß es wahrscheinlich ist, daß bei den Messungen der Herren FRANCK und POHL neben der Wellenstrahlung auch die Phase in Betracht kam. Sie allein hätte in Betracht kommen sollen! Hierbei wurden diese Werte natürlich nicht so erhalten, daß sie unter Konstanthaltung aller übrigen Parameter Unabhängigkeit der Geschwindigkeit von der Verschiebung ergeben hätten; das ist ja hierbei ganz unmöglich! Die Existenz solcher Wellenstrahlung würde wohl jeder bald merken; denn die Geschwindigkeit müßte sich ja beliebig mit dem Wege geändert ergeben.

b) Die Herren glauben nun durch ihre Experimente mit einer der meinigen nachgebildeten Versuchsanordnung bewiesen zu haben, daß bei meiner Anordnung die Vermeidung solcher Wellenstrahlung unmöglich ist, und daß infolgedessen das erhaltene Resultat, nach welchem ich für drei verschiedene Wellenlängen die Verschiebungen von 151, 118, 107, 97<sup>1)</sup>, 93,8, 80, 66, 62 um die gleiche Brückenverschiebung innerhalb weniger Prozente herausbekam, durch zufällige Einstellung erhalten sei. Da man nämlich bei Wellenstrahlung jeden Wert der Geschwindigkeit erhalten könne, so hätte ja „zufällig“ auch stets die Lichtgeschwindigkeit herauskommen können. Ich will ganz davon absehen, daß bei allen diesen Versuchen ein so häufiger „Zufall“

---

<sup>1)</sup> Beim Abschreiben meiner Tabellen in das Manuskript wurde in Tabelle XI durch ein Versehen des Schreibers in der zweiten Spalte statt 7 6 geschrieben, was mir während der Korrektur unbemerkt blieb. Hiernach ist die Tabelle richtig zu stellen.

natürlich ausgeschlossen ist (vergl. Kap. IV) und kann unabhängig davon durch ein *experimentum crucis* beweisen, daß der Einfluß irgendwelcher störenden Nebenpotentiale bei meiner Anordnung vermieden war, und durch ein zweites *experimentum crucis* beweisen, daß speziell nicht das „Effektivpotential“ die Messung bestimmte.

Wie ich ausdrücklich in meiner Arbeit betone, habe ich unter einer großen Anzahl von Versuchen die als die einwandfreiesten betrachtet und allein publiziert, bei denen es sich ergab, daß während der Versuche sich Gasdruck, Funkenerregung usw. um ein Minimum geändert haben. Das empfindlichste Kriterium ist hierfür die unveränderte Lage des Nullpunktes. Ich habe deshalb so gemessen, daß ich erst den Nullpunkt aufsuchte, dann die Röhre verschob, kompensierte, die Röhre wieder zurückstellte und zum zweitenmal den Nullpunkt bestimmte. Wenn man nun nicht so arbeitet, daß man z. B. die negativen Ausschläge gleich erdet, bevor das Elektrometer aus der Skala geht, so erhält man leicht Störungen durch Rückstände. Wenn das Petroleum der Funkenstrecke zu viel Kohle ausscheidet und hiermit Störungen von dem Teslaapparat durch einen hier nicht zu diskutierenden Umstand auftreten, und dergleichen mehr, so dauert die Messung sehr lange. Wenn man nicht nach jeder Einschaltung den stationären Zustand abwartet, was bei verdünnten Gasen einige Sekunden dauert, wenn man ferner nicht darauf achtet, daß man möglichst wenig an den Versuchsbedingungen ändert, was leicht eintreten kann, wenn man durch zu langes Einschalten die Röntgenröhre härter macht oder dergleichen, so ändert sich der Nullpunkt. Wenn gar durch Zerstäubung plötzlich dann das dünne Glas eine Schicht aufweist, die merklich Röntgenstrahlen entstehen läßt, so muß die Röhre erneuert werden. Bei mir versuchte ich solche Einflüsse durch Zuschaltung sehr großer Gefäße nach Möglichkeit zu vermeiden. Und meine Röntgenröhren versah ich mit Al-Fenstern, wie ich dies auf der Naturforscherversammlung zeigte. Da aber Platin selbst Gas absorbiert und die große Platinelektrode sich in einer Umgebung von einigen Millimeter Druck befindet, und nach Störungen im Absorptionszustand eine Zeitlang braucht, bis es seinen früheren Zustand wieder hat, so schützen selbst die großen Zusatzvolu-

mina, die ich anbrachte, nicht davor, daß bei langandauernder Messung und starker Inanspruchnahme der Apparate der Nullpunkt sich etwas verändert ergibt. Da nun für die Geschwindigkeitsmessung nur ein Nullpunkt erforderlich ist (vgl. vor. Abh., Kap. I), habe ich, in Anbetracht der soeben angeführten experimentellen Gründe, es als „unnötig und nicht ratsam“ bezeichnet, für die definitiven Geschwindigkeitsmessungen selbst die Verschiebung aller drei Nullpunkte zu beobachten. Auf die tiefgehenden Mißverständnisse, welche leider diese Angabe hervorgerufen hat, komme ich erst unter Kap. II b. zurück.

Tatsächlich habe ich aber solche Messungen, wie natürlich, verschiedentlich ausgeführt. Hierbei zeigt sich, daß die für eine bestimmte Röhrenstellung gefundenen Nullpunkte sich bei Veränderung der Stellung der Röhre (in dem einen Falle handelt es sich um 80, in zwei anderen um 69 und 75 mm) im ersten Fall innerhalb 6 Proz., in den beiden anderen innerhalb 8 Proz. um die Röhrenverschiebung geändert hatten. Es war also bei einer Verschiebung der Röhre um  $a$  mm eine Kompensationsstellung der Brücke bei  $\frac{a}{2}$  oder bei  $\frac{a}{2} + \frac{1}{4} \lambda$ , oder bei  $\frac{a}{2} + \frac{1}{2} \lambda$  erforderlich.

In diesem experimentellen Befund, den objektiv Elektrometerausschläge erweisen, liegt ein **Experimentum crucis** vor, daß bei meiner Versuchsanordnung keine störenden Nebenpotentiale irgendwelcher Art merklich die Messung beeinflusst haben. Speziell auch kein „Effektivpotential“ (vgl. die Abh. der Herren FRANCK und POHL bzw. das nächste Kapitel). Die benutzte Welle ist gedämpft!

c) Um zu beweisen, daß die Herren sich in Hinsicht der Behauptung im Irrtum befinden, daß bei meinen Versuchen das „Effektivpotential“, nicht die Phase in Betracht komme, ist es aber gar nicht nötig, ein bisher nicht veröffentlichtes Experiment, das aus obigen Gründen schwierig auszuführen ist, anzugeben. Gleich das erste Experiment<sup>1)</sup>, welches mir zeigte, daß ich die Phase messe, genügt hier. Ich will es wörtlich aus meiner Ab-

<sup>1)</sup> Phys. ZS. 6, 772, 1905; Verh. d. D. Phys. Ges. 7, 313, 1905.

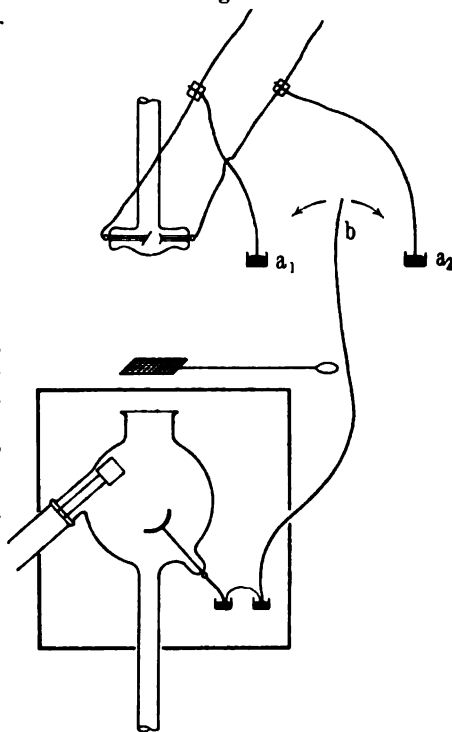
handlung<sup>1)</sup> mitteilen, obwohl es dort einem spezielleren Zwecke dient.

Dieses Experiment ist bei sauberer Versuchsanordnung sehr leicht auszuführen, weil es dabei nicht darauf ankommt, daß die Null sich nicht ändert. Sie befindet sich ja maximal entfernt. Ich habe es deshalb auch vor der Vorlesung vorbereitet, und am Schluß derselben den Studenten zeigen können. Es ist ein Ex-

<sup>1)</sup> Beweis, daß die Resonanzschwingung des Elektroden- drahtes (s. Fig. 2) so stark gedämpft werden kann, daß sie gegen die aufgezwungene Schwingung verschwindet. Der Wollastondraht von 5 cm Länge und  $\frac{1}{100}$  mm Dicke wird wieder zwischen die Quecksilber- nöpfchen geschaltet. Von hier aus führt ein Draht von etwa 45 cm aus dem Kasten heraus. Dieser Draht kann, wie es die Fig. 2 zeigt, einmal zur Anodenseite, das zweite Mal zur Kathodenseite der 10 cm langen Sekundärleitung geschaltet werden. Die ganze Leitung bis zur Elektrode ist demnach etwa 1 m lang. Man erhält bei der Schaltung zur Anodenseite einen starken negativen, bei der Schaltung zur Kathodenseite, einen schwachen positiven Ausschlag.

Dieses Experiment zeigt, daß die Eigenschwingung des Drahtes *b* klein gegen die aufgezwungene Schwingung ist. Denn da Länge und Form des Drahtes *b* konstant bleiben bei der veränderten Schaltung zu *a*<sub>1</sub> oder *a*<sub>2</sub>, dürfte die Schwingung, falls sie Eigenschwingung ist, nicht an der Elektrode ihr Zeichen wechseln. Ist dieser Beweis vielleicht insofern nicht völlig streng, daß bei der gewählten Drahtlänge ja gerade die Eigenschwingung sich in einem Minimum an der Elektrode äußern kann, so läßt er sich dadurch streng ergänzen, daß man die Brückendrähte statt des Drahtes *b*, wie bei der definitiven Anordnung, anschaltet, die Brücke auf 0 stellt und zeigt, daß eine geringe Verschiebung der Röhre sofort wieder von 0 verschiedene Ausschläge erzeugt (cf. Tabellen am Schluß).

Fig. 2.





**perimentum crucis** dafür, daß nicht das Effektivpotential in Betracht kommt, sondern die Phase. Denn die Anordnung ist völlig symmetrisch, das „Effektivpotential“ also identisch auf beiden Seiten der Drähte.

d) In der Abhandlung habe ich darauf hingewiesen, daß es in Hinsicht auf die Ungestörtheit der Phase eigentlich unnötig ist, besondere Messungen dieser Art mitzuteilen, weil die Störungsfreiheit der Anordnung sich insofern durch das Experiment selber ergeben müsse, als jede derartige Störung einen Geschwindigkeitswert vortäuschen müsse, der sich nicht unabhängig von der Verschiebung ergeben könne.

In dieser Bemerkung liegt weder eine *petitio principii* in Hinsicht der Größe der Geschwindigkeit, noch ein *circulus vitiosus* für die Messung, sie enthält *implicite* die ganzen Überlegungen dieses Abschnittes; sie ist der Grund, weshalb ich außer den zuverlässigsten Messungen (prozentig geringste Nulländerung) keine weiteren mitteilte.

Es sind meine Experimente demnach in Berlin weder „quantitativ wiederholt“ worden, noch lassen sie sich mit Hilfe des „Effektivpotentials“ deuten.

## II. Die Elektrometermessungen der Herren Franck und Pohl mit meinem Apparate.

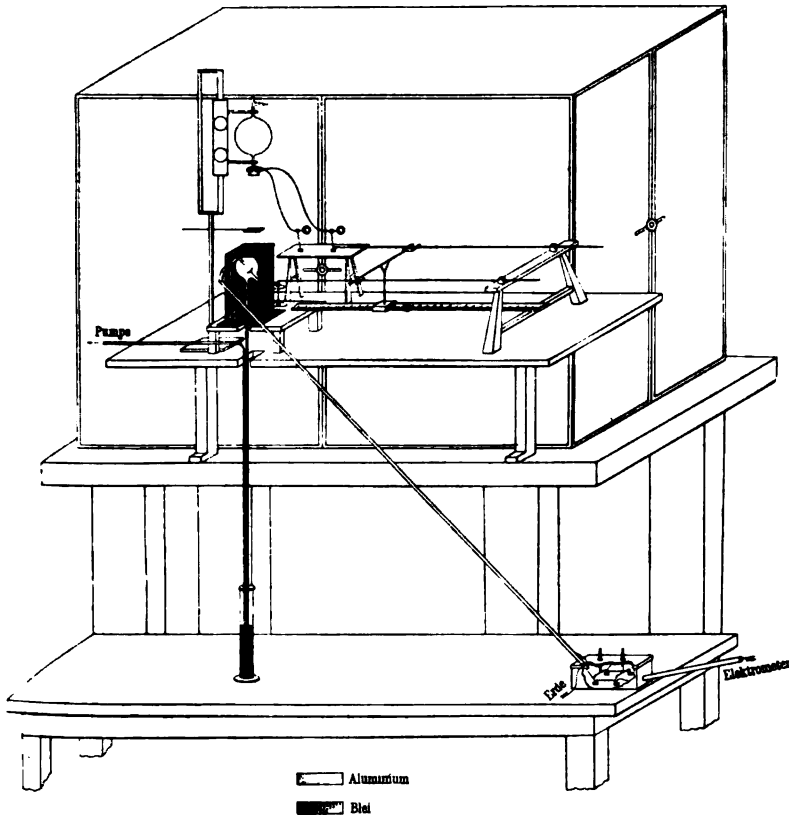
A. Störungen durch Wellenstrahlung bei Vorhandensein der HERTZschen Wellen (Versagen der „Bleikriterien“). — B. Innehalten der „Bleikriterien“ durch Ausschalten der HERTZschen Wellen.

A. Nachdem durch ein objektiv auszuführendes Experiment eindeutig die Störungsfreiheit meines Apparates in bezug auf die die Phase störenden Nebenpotentiale irgendwelcher Art erwiesen ist, will ich versuchen, festzustellen, weshalb den Herren die Wiederholung meiner Versuche mißlungen ist. Das ist natürlich etwas hypothetisch, nachdem ich leider in Berlin die Versuchsanordnung nicht zu sehen bekam. (Sie war gerade abgebaut.)

Auf den physikalischen Grund des unterschiedlichen Verhaltens der Röntgenstrahlen selbst, und den der leuchtenden Entladung gegenüber meinen Experimenten gehe ich später ein (Kap. III, vgl. auch vorige Abh., Kap. III) und beschränke mich zunächst auf die durch Nebenpotentiale verursachten Störungen.

Gesetzt den Fall, der Apparat wäre in allen Dimensionen mit dem meinigen übereinstimmend gewesen. Angenommen, es sei nicht nur eine Blechwand vor den Teslaerreger und eine durch

Fig. 8.



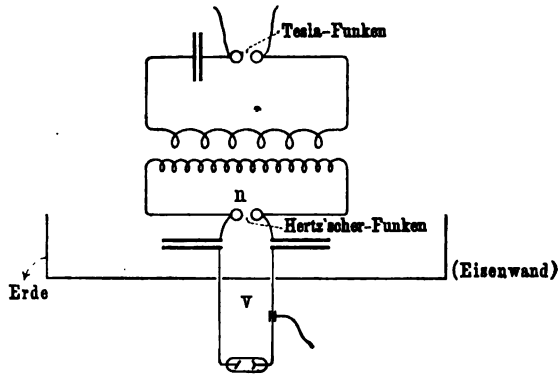
ein großes Induktorium getriebene Wellenerregung gesetzt worden <sup>1)</sup>, angenommen also, Schwingungen im ganzen Zimmer, die, wo sie

<sup>1)</sup> Ein negatives Resultat sollte meines Erachtens nicht publiziert, und die Arbeit des Autors in Zweifel gesetzt werden, wenn bei Bestätigungsversuchen einer experimentellen Arbeit nicht die Vorsichtsmaßregeln befolgt wurden, die als unumgänglich nötig vom Autor bezeichnet wurden. Die Herren hatten, wie sie in ihrem Vortrage berichteten, ihre Wellenerzeugung mit zwei mächtigen, knatternden Funkenstrecken nicht eingebaut. Sie haben nur einen Schirm davor gestellt, während ich mir doch die Mühe,

hintreffen, in ungeschützten Drahtkreisen wie in dem Brückendraht Eigenschwingungen erzeugen mußten, waren bei den Herren vermieden worden, so kann in dem Fall, daß die Herren stärkere Primärströme verwandten, der Einfluß einer Wellenstrahlung sehr wohl die durch die Koppelung erzwungene Phase überdecken.

Daß bei zu großer Funkenstrecke sich alle Störungen, die auftreten können, enorm steigern müssen, ist nicht schwer einzusehen: Von der Teslaschwingung  $n$  (vgl. Fig. 4) geht in den

Fig. 4.



langen Intervallen zwischen den Funken, bei weiter Funkenstrecke, ein weit beträchtlicherer Teil der Energie in den Nebenschluß, welchen der Kondensatorkreis darstellt, als bei enger Funkenstrecke. Hierbei ist dann außerdem die Potentialamplitude der störenden Schwingung größer, und ferner wächst die Potential-

die ein solcher Einbau eines großen Induktors, Widerstandes, einer Turbine mit Motor eines Öl-Teslatransformators, zweier verstellbarer Funkenstrecken und der Wellenkondensatoren mit Petroleumfunkenstrecke in einen relativ engen dicht schließenden Metallkasten mit sich bringt, nicht ohne Grund gemacht habe. Die Herren müssen ja in ihrem engen Zimmer überall Wellen gehabt haben, welche die offene Brücke beeinflussten! Erst nach dem Vortrage wurde alsdann nach dem Bericht des umgearbeiteten Manuskriptes die Erregung in einen dicht schließenden Kasten gesetzt. Da die Resultate nach dem Berichte zum Teil dieselben blieben, waren andere Störungen, auf die wir später eingehen, von gleicher Größenordnung wie der hier mangelnde elektrostatische Schutz. Das Offenstehen einer der Türen genügte bei meiner Anordnung, um jede Messung unmöglich zu machen!

amplitude der Kondensatorschwingung, so daß die Stromamplitude der Welle wächst. Es wird also eine zu weite Funkenstrecke bewirken, daß die Potentiale der Teslaentladungen zur Entladung im Auffanggefäß hinreichen, was sie vorher nicht taten, und sie wird zweitens bewirken, daß die Strahlung der Welle  $\nu$  von dem Primärsystem, und gleichzeitig ihr Nebenschluß durch den Flaschenkondensator in der Brücke zunächst (vgl. weiter unten) mit der Weite der Funkenstrecke bis zu einem Maximum wächst. Dann reichen die für schwache Ströme verwendeten Mittel, um die Wellenamplituden auf einen bestimmten Betrag herabzudrücken, weder für die am Brückendraht ankommende Wellenstrahlung, noch für die erzwungene Schwingung aus, und im Apparat entstehen Nebenschwingungen, stehende Wellen, direkte Entladungen und derartige Störungen, die sich sofort offenbaren, wenn man erstens das Blei auf das Aluminiumfenster legt, und zweitens nach Anmerkung unter Kap. Ic auf stehende Wellen bzw. Eigenschwingungen prüft. Eine gegenüber der HERTZschen Funkenstrecke zu kleine Teslafunkenstrecke kann die gleiche Störung bewirken.

Ich habe die Funkenlänge so lange reguliert, bis ein solcher Einfluß bei den angegebenen Dimensionen wegfiel, und aus dem Grunde keine Angaben über die Funkenlänge gemacht, weil das eben für jede neue Anordnung neu ausprobiert werden muß. Während der Messung muß natürlich alles ungeändert bleiben. Vor der Verschiebung aber muß man einstellen.

Ob alles in Ordnung ist, läßt sich, abgesehen von der Existenz der HERTZschen Wellen selbst, leicht durch „die Bleikriterien“ kontrollieren:

I. Es darf bei keiner Stellung der Röhre und keiner Brückenstellung mit Blei die geringste Elektrometerbewegung auftreten. Das ist die erste Bedingung.

II. Es muß die Knotenlage auf den Brückendrähten ohne Blei abhängig sein von der Stellung der Röhre, das ist die zweite Bedingung. Sonst hat man stehende Wellen! (Vgl. II c.)

Wären aber die Funkenlängen in dieser Art verändert, dann mußte gerade ein mechanisches Innehalten der von mir angegebenen Abmessungen der Wiederholung meiner Versuche verhängnisvoll werden. Die Herren hätten dann erstens die Kondens-

satorkoppelung enger machen müssen als bei mir, um die aufgedrückte Phase mehr zur Geltung zu bringen, und sie hätten zweitens durch Wollastondraht viel stärker dämpfen müssen. Bei mir genügte die angegebene Länge des Wollastondrahtes, um bei den offenbar schwächeren Primärströmen und dem geringen Kapazitätswiderstand der Erdleitung gegenüber der Elektrode ev. auftretende Resonanzen oder stehende Wellen praktisch zu vermeiden. (Abh. S. 464, Ann. S. 697.)

Die Herren FRANCK und POHL aber verfahren umgekehrt, als diese physikalische Überlegung fordert: Sie sehen, daß Eigenschwingungen da sind, daß also bei ihren Primäramplituden der Wollastondraht als Dämpfer nicht ausreicht, und da sie sehen, daß mit ihm und ohne ihn Eigenschwingungen da sind, welche die durch die Koppelung aufgedrückte Phase überdecken, behalten sie ihn unverändert bei, „trotzdem er für das Gelingen der Versuche keine wesentliche Rolle spielt“. Es wäre doch wohl richtiger gewesen ihn dünner und länger zu nehmen.

Nun läßt sich aber eine solche Wellenstrahlung von den Primärdrähten, wenn sie sich störend bemerkbar macht wie hier, wo gesagt wird: „Der Versuch gelingt in gleicher Weise, wenn man durch ein Bleiblech das Eindringen der Röntgenstrahlen vollkommen verhindert“ (S. 131), auch abschirmen. Dies tun die Herren. Die Röhre strahlt hierbei durch ein Aluminiumfenster hindurch; sie berichten: „Jetzt wird das Potential der Platte lediglich durch die über die Flaschenkoppelung kommende Schwingung bedingt sein. Auch hier lassen sich jetzt durch Änderung der Brückenstellung . . . . Entladungen am Elektrometer beobachten, die unabhängig sind von der Höhenstellung der Röhre.“ Also ist Kriterium II. nicht erfüllt! Es sind stehende Wellen im Apparat, die sich dadurch offenbaren, daß die beobachteten Entladungen unabhängig von der Höhenstellung der Röhre sind. Durch die Wellenstrahlung von oben sind sie nicht verursacht, da diese ja abgeschirmt ist. Also kommen sie durch andere Ursachen zustande. Es sind möglichenfalls diejenigen, die von den periodischen Röntgenstrahlen durch periodische Elektronenemissionserzeugung selbst verursacht werden können, die, welche ich zuerst beobachtet habe. Leider ist das bei dem Mangel an elektrostatischem Schutz der Wellenerregung und

manchen anderen Störungen, die an anderer Stelle behandelt werden, hier nicht sicher. Unwahrscheinlicher ist es nach dem Folgenden (S. 175), daß sie direkt von der Flaschenkoppelung herkommen. Ist aber ersteres der Fall, dann ist es dieselbe Erscheinung, mit der ich mich, wie der Meraner Vortrag dokumentiert, als einer für die Geschwindigkeitsmessung hier auftretenden bösen Fehlerquelle so lange abmühen mußte, deren Existenz damals nicht vorauszusehen war, und deren Entdeckung zu ihrer Vermeidung und zum Gelingen der Messung führte!

Also, kaum ist es den Herren FRANCK und POHL gelungen, die eine Fehlerquelle auszuschalten, so offenbart sich eine neue. Die Folge dieser Reflexionen an der Elektrode ist natürlich die, daß die Potentiale, welche von den Röntgenstrahlen angetroffen werden, nicht durch die Phase der Primärschwingung bedingt sind.

Da aber die Herren die von mir angegebenen Abmessungen auch bei ihrer Anordnung haben, glauben sie, auch ich hätte diese zweite Fehlerquelle im Apparate gehabt, trotzdem ich doch über die Mühe, die ich hatte, sie zu entdecken, um sie beseitigen zu können, so ausführlich auf der Naturforscherversammlung berichtet habe (Phys. ZS. I. c., S. 770; d. Verh. I. c., S. 311).

Nun ist zur Abdämpfung einer stehenden Welle von dieser Kürze sehr viel weniger Widerstand erforderlich, als man zunächst glauben sollte. Der Grund hierfür ist, wie ich bereits früher ausführte, der, daß die Elektrode mit dem gegenüber befindlichen Faradayzylinder, bei der Höhe der Frequenz der kurzen Welle, einen Kapazitätswiderstand sehr geringer Größe darstellt (Abh. S. 464, Ann. S. 697), so daß die Wellen, deren Intensität an sich nicht groß ist, im wesentlichen direkt zur Erde abfließen. Andererseits aber sei nur beiläufig erwähnt, daß die relative Stärke der kurzen Wellen gegenüber den längeren, in der Brücke selbst, durch den hohen Kapazitätswiderstand bedingt ist, den die langen Wellen an dem kleinen, aus einer Drahtwindung bestehenden Abzweigkondensator der „RUBENSschen Flasche“ finden. — Aber wie dem auch sei: Wenn Reflexionen irgendwelcher Art sich bemerkbar machen, was leicht zu untersuchen ist, dann müssen sie abgedämpft werden!

Die Konsequenz, daß es nötig ist, bei Verwendung desselben Meßinstrumentes stärkere Ströme, die störend auftreten, durch mehr Widerstand zu eliminieren, also, um meiner Versuchsanordnung ihrem Sinne nach gerecht zu werden, von den bei mir angegebenen Maßzahlen abzuweichen, hätte hier das Mißlingen der Wiederholung vielleicht verhindert.

Infolgedessen wird nunmehr „die endgültige Versuchsanordnung des Herrn MARX“ dadurch erhalten, daß diese stehende Welle, die durch ein wenig Wollastendraht hätte beseitigt werden können, im Apparat belassen wird (II. in der Arbeit der Herren FRANCK und POHL). Dann wird das Schutzblech gegen die Wellenstrahlung (I. in der Arbeit der beiden Herren) wieder entfernt, und mit einer Wellenstrahlung von oben und einer stehenden Welle im Koppelungsdraht erhalten die Herren III. Hier heißt es wörtlich: „Die große Metallplatte zwischen Röntgenrohr und Schutzkasten wird wieder fortgenommen. Es treten dann die unter I. und II. erhaltenen Wirkungen gleichzeitig auf, und diese Zusammenstellung gibt die endgültige Versuchsanordnung des Herrn MARX.“ Hier trennt sich nun die Fortsetzung des Vortragsmanuskripts von dem jetzt vorliegenden. Es ist aber der Widerspruch zwischen der ersten Lesart und der zweiten (die Veränderung ist im Anschluß an meinen Vortrag erfolgt) bestehen geblieben. Infolgedessen ist in dem nun vorliegenden Manuskript die Beschreibung von zwei ganz getrennten (natürlich an sich richtigen) experimentellen Befunden zusammengeworfen. Ich muß also, um beide zu diskutieren, sie zunächst trennen.

Während es nämlich unter I. heißt, daß man einen Gasdruck einstellen kann, bei welchem mit Blei keine Elektrometerschläge erhalten werden, und zwar dadurch, daß man die „Intensität der Röntgenstrahlen steigert und den Gasdruck erhöht“, heißt es unter II., daß man dort auch bei aufliegender Blei bei Änderung der Brückenstellung Ausschläge bekommt. Aus Zusammensetzung von I. und II. (ohne Veränderung) aber entsteht bei den Herren III., also müssen auch bei III. Ausschläge mit Blei vorhanden sein. Deshalb ging auch die Darstellung, wie soeben zitiert ist, in der ersten Lesart ganz notwendig so weiter, daß diese Folgerung für die Zusammensetzung von I. und II. auch zunächst beobachtet wurde. Es wurde also zunächst ohne Be-

achtung der „Bleikriterien“ eine der wenigen Stellen auf den Brückendrähten aufgesucht, bei denen bei aufliegendem Blei Ruhe ist; dann wurde die Wellenstrahlung durch Entfernen der Röhre verändert, die Veränderung kompensiert durch Brückenverschiebung, und mit einer Wellenstrahlung von oben und einer stehenden Welle unten „nach der Rechnungsweise des Herrn MARX“ so das Resultat  $0,4c - 13c$  erhalten! Wie ein solches Resultat herauskommen kann, ist im Kap. Ia. diskutiert. Es beruht offenbar auf Fehlerquellen, die ich peinlich vermieden habe.

Daß die Herren trotz der störenden Wellenstrahlung meine Angabe in Hinsicht der Schärfe der Nullpunkte auf etwa 2 mm Einstellungsgenauigkeit bestätigt fanden, das erscheint gewiß nicht merkwürdig, da ja die störende Strahlung sich additiv über die durch das dynamische Gleichgewicht bedingten Nullpunkte lagert (vgl. vor. Abh.). Hierin, aber auch nur hierin, kann ich eine Stütze ihrer Behauptung sehen, daß sie meine Versuche „quantitativ wiederholt“ hätten. In jeder anderen Beziehung ist ihre Behauptung absolut hinfällig. In bezug auf das Endresultat aber bedeutet sie entweder ein vollständiges Mißverstehen dessen, worauf es in Hinsicht der Nullmethode ankommt, oder die Deutung, daß ich auf das zu erwartende Resultat hin den Gasdruck jeweilig eingestellt hätte. Ein drittes gibt es hier nicht, das ist in Kap. V B. bewiesen. Hierauf komme ich später zurück. Ich nehme aber, wie ich gleich betonen will, von vornherein das erstere an!

B. Dieses Resultat ist also auf Fehlerquellen zurückzuführen, die unter die „Bleikriterien“ fallen, und folgt ganz logisch aus der Zusammensetzung von I. und II.

Hiervon ganz getrennt ist nun die Beschreibung des experimentellen (natürlich an sich richtigen) Befundes, der durch die Einschaltung der beiden folgenden Absätze gekennzeichnet ist, die nach meinem Vortrage neu eingefügt wurden. In meinem Vortrage konnte ich hierauf nicht eingehen, weil das Vortragsmanuskript der Herren damals diesen Passus noch nicht enthielt. Es heißt dagegen jetzt: ... „bei Einschaltung eines Bleiblechs in den Strahlengang zeigt das Elektrometer bei keiner Stellung der Brücke und des Röntgenrohres irgend einen Ausschlag“ .... nur beim Entfernen des Bleiblechs. Diese



Beobachtung geht aus dem Zusammenstellen von I. und II. allein nicht hervor, da für diese einzeln die Bleikriterien nicht erfüllt waren. Sie ist aber fundamental für die ganze Untersuchung, welche die Herren angestellt haben. Sie hat in der Tat gar nichts, wie die Herren richtig bemerken, mit HERTZschen Wellen, sondern nur mit Teslaentladungen zu tun.

Es ist natürlich selbstverständlich, daß mir diese Tücke des Apparates, mit der wir uns jetzt, als mit der Fehlerquelle, zu beschäftigen haben, die der zweite wesentlichste Grund der Diskrepanz der experimentellen Ergebnisse von mir und den Herren ist, bei der Einstellungsarbeit auch oft genug in der langen Zeit, in der ich mich mit ihm beschäftige, begegnet ist, und daß ich mir überlegt habe, woraus sie entspringt. Während aber die ganze Arbeit der Herren FRANCK und POHL dieser Fehlerquelle gewidmet ist, bin ich ihr aus dem Wege gegangen, indem ich gar nicht erst anfang, eine Röhrenverschiebung vorzunehmen, bevor ich mich überzeugt hatte, daß alles in Ordnung ist, d. h. unter anderem, daß die HERTZsche Welle, welche Meßschwingung ist, auch die Einstellung bedingt. Gehört doch diese Bestimmung zu denen, die von mir als unumgänglich notwendig bezeichnet sind, indem nach Kapitel VI. der Abhandlung vor Beginn der Messung Beweis 1, 2 und 3 erbracht sein muß (vgl. Abh., S. 470; Ann., S. 703).

Man sieht nämlich sofort daran, daß man es mit einer störenden Schwingung zu tun hat, daß sich alsdann niemals beim Verschieben der Brücke um  $\frac{1}{2}\lambda$  die Entfernung der Knoten gleich  $\lambda$  ergibt. Nach meiner Abhandlung darf das nie der Fall sein, wenn man mit Messen beginnen will. Die positiven und negativen Gebiete brauchen freilich nicht einander gleich zu sein, indem nach Tabelle II. und III. (Abh., S. 478; Ann., S. 710) die Verteilung so sein darf, daß z. B. die negativen  $\frac{1}{2}\lambda$ -Gebiete 36,4 cm sind, während die positiven  $\frac{1}{2}\lambda$ -Gebiete 55,6 cm sind, d. h. also die „Abstimmung der Vacua“ (vgl. vor. Abh. 9, S. 156) braucht nicht vollkommen zu sein, aber die Summe beider Gebiete muß stets die Wellenlänge des Systems, also 90 cm ergeben. Anderenfalls sind entweder keine HERTZschen, sondern irgendwelche anderen Schwingungen, vor allem Teslaschwingungen da, und die Grundvoraussetzung der Methode hört auf.

Gerade die historische Darstellung auf der Naturforscherversammlung zeigt, daß ich überhaupt erst angefangen habe, die Röhre zu verschieben, nachdem ich mich davon überzeugt hatte, daß die HERTZsche Welle die Einstellung bestimmt. Es ist auch durchaus zulässig, wenn die Oberschwingung gerade nicht zu erhalten ist, einen der beiden Knoten auf den Brückendrähten zu benutzen, die der Grundschiwingung zugehören. Man hat nämlich dann zwei Knoten der ersten Halbwelle der Grundschiwingung auf die Brücke zu bringen, was ja nach V, S. 146, vor. Abh. stets möglich ist durch geeignete Abstimmung der Vacua. Um aber alsdann sicher zu gehen, daß diese Knoten auch wirklich durch die HERTZsche Welle bedingt sind, welche die Röntgenstrahlenemission verursacht, ist wieder notwendig und hinreichend, daß man sich davon überzeugt, daß auch der zweite Nullpunkt derselben Welle sich gerade so verschiebt, wie der erste. Ferner aber müssen verschiedene schnell hintereinander ausgeführte Messungen Unabhängigkeit der so gemessenen Geschwindigkeit von der Verschiebung ergeben. Eine Wellenstrahlung kann eine solche Unabhängigkeit nie vortäuschen, und ebensowenig können dies andere Erscheinungen, die hier in Betracht kommen, es sei denn, daß man jeweilig den Gasdruck ändert, was natürlich dem Sinne der Messung widersprechen würde. Hat man sich hiervon durch schnelles Einstellen vor der definitiven Messung überzeugt, dann kann man also den so sondierten Nullpunkt auch dann benutzen, wenn er der kleinsten Grundschiwingung des Systems angehört. Man muß natürlich hierbei aufpassen, daß bei diesem Sondieren der Nullpunkt nicht wesentlich von der Stelle rückt. Es findet meistens eine geringe Wanderung nach einer Seite hin statt, die aber dann zwischen den verschiedenen Verschiebungen einen Gang aufweist, so daß bei Kenntnis des Apparates eine Täuschung nicht stattfinden kann. — Aber auf jeden Fall muß man genau wissen, daß man mit der kürzesten Welle des Systems, welche die Strahlenemission bedingt, die Messung ausführt, und diese kürzeste Welle muß eine HERTZsche Welle sein. Bei meiner Anordnung konnte eine Störung bei Benutzung der zweitkürzesten Welle durch die kürzeste, die erhalten werden konnte, gar nicht eintreten, weil die Nullpunkte zusammenfielen. Aber ohne jede Prüfung auf die Identität der Nullpunkte mit denen der HERTZ-

schen Meßschwingung darf man natürlich nicht mit der Messung beginnen. Das ist ja das Fundament der Methode, und Mißverständnisse, die hier angreifen, sind meines Erachtens vielleicht nicht allein durch die unklare Ausdrucksweise des Autors zu erklären, denn der Geist der ganzen Arbeit ist im Worte „Phasenänderung durch geringe Brückenverschiebung“ enthalten. Mag man es einmal nicht verstehen, so sind doch hundert andere Stellen da, die dasselbe enthalten, und die Hauptabhandlung selbst beschäftigt sich im wesentlichen mit dem Nachweis der Ungestörtheit der kürzesten Welle des Systems.

Hier ist offenbar wieder ein Mißverständnis bei den Herren FRANCK und POHL dadurch entstanden, daß ich sage, daß es „unnötig und nicht ratsam ist“, für die definitiven Geschwindigkeitsmessungen die Verschiebung aller Knoten zu messen, da die Messung an einem genügt, den Apparat weniger beansprucht und schneller geht, so daß die Gefahr der Nullpunktänderung weniger vorliegt.

Deshalb glauben die Herren offenbar, man brauche sich gar nicht erst zu vergewissern, bevor man die Messung beginnt, ob überhaupt HERTZsche Wellen, die doch die Grundlage meines Prinzips sind (vor. Abh. I.), überhaupt die Knoten der Brücke bestimmen. Das ist ein Mißverständnis, das ich sehr bedauere, das sie aber meines Erachtens wieder vermieden hätten, wenn sie sich etwas in den Zusammenhang vertieft hätten, in dem die Bemerkung steht und auf den Sinn der Anordnung eingegangen wären. Also: Die Abstimmung der Vacua braucht nicht ideal zu sein, die  $+$ - und  $-$ -Gebiete dürfen verschieden sein, eine Knotenverschiebung ist zur Messung nur nötig, aber vorher muß man sich überzeugen, daß die Meßschwingung auch da ist, mit der man messen will, indem man die Wellenlänge des Primärsystems auf den Brückendrähten wieder finden muß!

Wann aber eine Teslaschwingung im Apparat auftritt, und wieso sie bei den Herren FRANCK und POHL als neue Fehlerquelle auftreten mußte, gerade als es ihnen schließlich geglückt war, die beiden Fehlerquellen auszuschalten, die sich durch die Bleikriterien offenbarten, geht aus folgendem hervor: Aus den Betrachtungen unter A. dieses Kapitels sahen wir bereits, daß die Wellenstörungen infolge zu großer Funkenstrecke des Kondensatorkreises eintreten mußten, nun aber müssen die Herren, um bei Innehaltung der Blei-

kriterien die Auslösung zu bewirken, „die Intensität der das Röntgenrohr betreibenden Schwingung verstärken“. Sie ziehen also die Funkenstrecke, die schon vorher zu weit war, noch weiter auseinander. Jetzt wird also (nach Fig. 4) die Teslaschwingung, die ja auch gedämpft ist, relativ sehr selten imstande sein, Potentialwerte an der Funkenstrecke der Kondensatoren zu erreichen, welche diese auslösen, und so eine Erregung der HERTZschen Wellen verursachen. Es geht also die ganze Teslaschwingung mit viel größeren Amplituden als bei kleinen Funkenstrecken im wesentlichen durch den Nebenschluß, den das Primärsystem bildet, und dieses schwingt im wesentlichen in der Periode des Teslakreises und relativ schwach gegen die Teslaschwingung in seiner Eigenperiode, so daß diese bei der Messung praktisch nicht mehr in Erscheinung tritt.

Wenn nun auch während des Funkens die Teslaschwingung im wesentlichen aufhört, und wenn auch die erste Potentialamplitude zunimmt, so ist damit die HERTZsche Welle selbst praktisch von geringem Einfluß auf den Apparat geworden: denn bei einer zu großen Funkenstrecke wird die Dämpfung der ausgelösten HERTZschen Welle gegenüber der bei kleiner zugenommen haben, und es kann infolgedessen durch diese Schwingung die Resonanzzeugung ausbleiben, die vorher da war. Wenn demnach vorher auch Eigenschwingungen auf der Brücke zu beobachten waren, so ist es wohl möglich, daß diese ohne Veränderung des Wollastendrahtes ausbleiben, wenn die Funkenstrecke zu weit wird. Dann sind die „Bleikriterien“ für die Brücke wieder erfüllt. Da ferner die Teslaschwingung an der RUBENSSchen Flasche einen sehr viel größeren Widerstand findet als die kurzen HERTZschen Wellen, so braucht an den Dämpfungskonstanten der Brücke gar nichts verändert zu werden, und trotzdem sind jetzt auch ihr gegenüber die Bleikriterien wieder erfüllt. Nur haben die Herren auf diese Weise die erste Fehlerquelle durch ein unzulässiges Mittel beseitigt, indem sie versehentlich die ganze Grundlage der Methode dadurch verließen, daß sie die HERTZsche Welle praktisch aus dem Apparat entfernten.

Allerdings ist ja zwischen Manuskript 1 vor dem Vortrage, das genau wie oben die Beobachtungen enthielt, die unter die

versagenden „Bleikriterien“ fallen, und dem jetzt vorliegenden nicht nur die Funkenstrecke geändert, sondern es ist auch „die Blechwand“ nach der Angabe durch „einen allseitig geschlossenen Kasten“ ersetzt worden. Es ist mir danach viel wahrscheinlicher, daß die Wellen in der Brücke, die bei aufliegendem Blei beobachtet wurden, den Wellen im ganzen Zimmer entstammten, die, wo sie hintrafen, in offenen Drahtkreisen Eigenschwingungen erregen mußten. Die Brücke ist ja gegenüber den Primärdrähten so angebracht, daß sie von einem Minimum von Kraftlinien von den Primärdrähten getroffen wird. Die Störungen, welche die Herren den Wellen von den Primärdrähten zuschreiben, sind vielleicht im wesentlichen dadurch verschuldet gewesen, daß es weit mühsamer ist, einen wirklich sauberen, elektrostatischen Schutz anzubringen, als einen, der es nicht ist.

Auch hier konnten Angaben über die Funkenstrecken von mir gar nicht gemacht werden, weil dies ja sehr wesentlich von der Potentialamplitude der Teslaschwingung selbst, und damit von dem Verhältnis der Teslafunkenstrecke zur HERTZschen abhängt. Traten bei mir aber dergleichen Störungen ein, so war mir das zunächst das Zeichen, daß viel zu wenig Druck in der kleinen Röntgenröhre ist. Der Druck muß so hoch sein, daß die Teslaschwingungen gar keine Röntgenstrahlen geben. Da nämlich die Entstehung der Röntgenstrahlen viel mehr vom Potentialanstieg als vom Potential abhängt, so ist durch die Erhöhung des Druckes ein Mittel an die Hand gegeben, die langsamen Wellen in Hinsicht ihrer Eigenschaft, Röntgenstrahlen zu bilden, auszuschalten. (Vgl. Abh. S. 456; TH. DES COUDRES; diese Verh. 14, 163, 1897.) Die eventuelle Änderung der Einstellung der Funkenstrecken wurde dann eventuell nach der Druckänderung vorgenommen und erwies sich nicht immer als notwendig. Hier muß eben erst experimentell eingestellt werden darauf, daß man überhaupt Wellen hat, es muß also die Wellenlänge der Meßschwingung auf den Brückendrähten erwiesen sein. Das ist kein einziges Mal von den Herren FRANCK und POHL geschehen, geschweige denn, daß sie vor Beginn der Messung die zwei anderen Bedingungen des Kap. VI. meiner Arbeit erfüllt hätten. In dem Vortrage aber wurde gesagt, „daß sie meine sämtlichen Versuche qualitativ und quantitativ wiederholt hätten!“ Hierauf habe ich im letzten Kapitel noch einzugehen.

Zunächst ist klar, daß die Herren völlig recht haben, daß bei ihrer Anordnung die Teslaschwingung die Erscheinungen bestimmte. Die Röntgenstrahlen wirken lediglich auslösend auf die Teslaschwingung; die Elektrode zeigt die Entladungserscheinungen des Himstedteffekts, und die Betrachtungen darüber, so weit sie nicht auf Mißverständnissen in Hinsicht der Grundlage des Himstedteffektes beruhen (vgl. S. 182 ff.), bleiben bestehen. Die ganze Arbeit hat aber nichts mehr mit meiner Arbeit über die Geschwindigkeitsmessung zu schaffen, denn der wesentlichste Faktor, die Hertzsche Welle, ist ausgeschaltet.

Das Resultat annähernder Gleichheit der Verschiebungsstrecke von Röntgenröhre und Brücke bei dieser Teslaschwingung, das gewiß zunächst den Anschein erwecken mußte, daß ich gar keine Geschwindigkeit gemessen hätte, ist in Kap. V. B. behandelt. Für den Himstedteffekt und die Thermomessungen, die nach Kap. III. C. nichts mit dem Himstedteffekt zu tun haben, wird dort gezeigt, daß dieses Resultat nicht durch Zufall herbeigeführt, sondern nur dadurch erzwungen werden kann, daß man den Gasdruck auf das zu erwartende Resultat hin jeweilig einstellt!

### III. Der Himstedteffekt.

A. Abhängigkeit desselben vom Gasdruck und den maximalen Amplituden. Unabhängigkeit vom Effektivpotential. — A. u. B. Beweis, daß er bei meinen Experimenten nicht auftritt. — C. Die Thermomessungen der Herren FRANCK und POHL und ihre physikalische Bedeutung im Zusammenhange mit meinen Experimenten und dem Himstedteffekt.

Während demnach hier die Fehlerquellen, die den Mißerfolg der Herren FRANCK und POHL herbeigeführt haben, zunächst darin bestanden, daß sie eine Wellenstrahlung im Apparat hatten, welche die Phase überdeckte und während sie zuerst, ohne Beachtung der Bleikriterien, glaubten, diese Wellenstrahlung müsse auch bei mir im Apparate gewesen sein, da ja die Dimensionierung dieselbe war, während ich doch andere Stromverhältnisse hatte; während sie also, ohne auf die physikalische Bedeutung der Abmessungen Rücksicht zu nehmen, auch unter anderen Stromverhältnissen an einer Dimensionierung festhielten, welche Funktion der Stromverhältnisse ist, vermieden sie alsdann

die Wellenstrahlung. Dies aber taten sie dadurch, daß sie wesentlich die HERTZsche Welle aus dem Apparat entfernten, und nun nur die Größen darin behielten, die bei mir als Fehlerquellen in Betracht kamen. Der Untersuchung einer dieser Fehlerquellen, der Teslaschwingung, ist nun ein wesentlicher Teil der Arbeit gewidmet. Hierbei ist aber meines Erachtens wiederum ein Mißverständnis über das Wesen dieser Fehlerquelle entstanden, das dieses Mal aber nicht durch meine, sondern durch die eigene Ausdrucksweise verschuldet ist, so daß ein Teil der Arbeit, nämlich die ganzen Thermomessungen, meines Erachtens ihrerseits gar nichts mit der Sache zu tun haben, welche die Herren zu untersuchen glauben. Ich werde demnach die Diskussion hier wieder in zwei Teile trennen, indem ich erst auf den Himstedteffekt A. und B. und dann auf die Thermomessungen C. eingehe.

A. Die Herren FRANCK und POHL führen in engem Anschluß an HIMSTEDT folgendes Experiment<sup>1)</sup> aus: Sie zeigen, daß in der Umgebung einer durch Teslaschwingungen erregten Elektrode stets eine ladungsfreie Stelle gefunden werden kann. Diese offenbart sich dadurch, daß der Nullpunkt des Elektrometers um die Nullage schwankt. Dies hat HIMSTEDT in seiner interessanten Arbeit festgestellt. Ändert man nun die Potentialamplitude der Schwingung, und damit in der Ausdrucksweise der Herren FRANCK und POHL das „Effektivpotential“, so ändert sich, wie die Herren zeigen, die Lage des Nullpunktes bei konstantem Gasdruck. Daß das so sein muß, ist nach den bekannten Gesetzen für die Abhängigkeit des Minimumpotentials (RÖNTGEN) sowie der Beweglichkeit vom Druck ganz selbstverständlich. Es ist dies gerade für den Himstedteffekt auch besonders von J. J. THOMSON betont. (Elektrizität in Gasen, S. 425.) Denn die positiven und negativen Ionen schwingen im alternierenden Felde in der Nähe der Elektrode auf Wegstrecken, die für beide Ionenarten, einmal wegen ihrer verschiedenen Beweglichkeit, zweitens wegen des Unterschiedes in dem absoluten Werte der positiven und negativen Maximalamplitude der gedämpften Teslaschwingung, verschieden sind.

<sup>1)</sup> Vgl. HIMSTEDT, Wied. Ann. 68, 294, 1899.

So wird eine stationäre Verteilung des Potentials im Gase entstehen, die einmal abhängig ist vom Gasdruck, und zweitens abhängig ist von der maximalen positiven und negativen Amplitude der gedämpften Welle, die aber nicht abhängig ist vom Energieintegral der gedämpften Welle. Die Herren sind der Meinung, daß dieser Erscheinung in meinen Experimenten eine fundamentale Bedeutung zukomme, wofür sie ein Kriterium darin sehen, daß auch bei meinen Experimenten der Nullpunkt um eine Nullage schwanke. Nun wäre in einem solchen Verhalten des Nullpunktes, das ja bei jedem dynamischen Gleichgewicht eintreten muß (vgl. Abh., S. 454 und 455 oder Ann. 20, S. 687, 1906 bzw. vor. Abh. Kap. III, Fig. 6), gewiß nur eine sehr äußerliche Analogie zu sehen. Aber es fehlt auch diese äußerliche Analogie, denn sie bezieht sich auf eine Tabelle meiner Arbeit, die in gar keinem Zusammenhange mit der betrachteten Erscheinung steht. Die Sachlage ist folgende. Der Himstedteffekt der Teslaentladung ist, wie die Herren erweisen, durch drei Charakteristika gekennzeichnet.

|   |   |  |
|---|---|--|
| Verhalten der Elektrode<br>beim Himstedteffekt bei<br>aufliegendem Blei | { | 1. Dynamische Null.                      |
|   |   | 2. Abhängigkeit vom Gasdruck.            |
|   |   | 3. Abhängigkeit vom „Effektivpotential“. |

Da der Himstedteffekt nichts mit Röntgenstrahlen zu tun hat, muß es sich zeigen, ob er da ist oder nicht, wenn das Bleiblech auf dem Aluminiumfenster liegen bleibt. Dann ist aber:

|  |   |   |
|--|---|---|
| Verhalten der Elektrode<br>bei meiner Anordnung<br>bei aufliegendem Blei | { | 1. Statische Null.  |
|  |   | 2. Statische Null (keine Abhängigkeit vom Gasdruck).                                  |
|  |   | 3. Statische Null (bei Veränderung der Brückenstellung, also des Effektivpotentials). |

Die Tabellen, welche in meiner Abhandlung stehen, gelten erst bei weggezogenem Blei. Potentialunterschiede auf dem Brückendraht sind dann und nur dann wahrzunehmen, wenn das Vakuum bei feststehender Röhre so „abgestimmt“ ist, wie meine Tabellen angeben. (Vgl. diese Abh., Kap. VI, Schluß, oder Abh. S. 455, oder Ann. S. 687.) Für aufliegendes Blei existieren keine Tabellen.

Soweit zeigen also die Sicherheitskriterien mit dem Bleischutz auf dem Aluminiumfenster, im Zusammenhang mit den drei



Kriterien des Himstedteffekts, daß ich keine Teslaschwingungen von irgend in Betracht kommender Amplitude im Apparat gehabt habe.

B. Die Herren FRANCK und POHL sagen nun, daß ja möglichenfalls die beiden „Bleikriterien“ (Kap. II.) hier versagen können, weil die Änderung unter dem Bleischutz bei Veränderung der Brücken- oder Röhrenstellung so gering sein könne, daß sie selbst keine Ausschläge bedinge, daß aber bei Wegziehen des Bleies die eintreffenden Röntgenstrahlen infolge der kleinen Änderung des Potentials, welche die Verschiebung verursacht, wesentlich werden könne. Wenn nämlich diese Änderung unter dem Blei zunächst unbemerkt bleibt, so könne sie dann wesentlich werden, wenn die Röntgenstrahlen zugelassen werden, weil ihre auslösende Wirkung große Unterschiede bei der elektrometrischen Messung bedingen könne. Die Messungen, welche die Herren zum Beweise für eine solche Möglichkeit anführen, werden unter C. erörtert. Hier möge diese Möglichkeit unabhängig von diesen Messungen zugegeben werden.

Alsdann hätten wir hier also einen der unter Kap. I. betrachteten Fälle, in welchem erst die Messung selbst entscheiden kann, ob Potentialunterschiede im Apparate auftreten, welche die Phase überdecken und das Prinzip stören. Es muß die Messung der Geschwindigkeit sich unabhängig von der Entfernung ergeben oder unabhängig davon eines der Kriterien entscheiden, welches ich oben als *experimentum crucis* bezeichnet habe. Bei meiner Anordnung war bei einer Verschiebung der Röhre um die Strecke  $a$  die Kompensation nur auszuführen durch eine Brückenverschiebung um  $\frac{1}{2}a$  oder um  $\frac{1}{2}a + \frac{1}{4}\lambda$  oder um  $\frac{1}{2}a + \frac{1}{2}\lambda$ . Es war also eine Kompensation bei drei verschiedenen „Effektivpotentialen“ dem Sinne nach identisch. Das beweist streng, daß bei mir die Phase, nicht „das Effektivpotential“ in Betracht kommt. Das gleiche beweist unabhängig das *Experimentum crucis* II. Das gleiche beweist aber auch das Messungsergebnis selbst, denn es wird im Kap. V, B., bewiesen werden, daß ein Zufall dieses Messungsergebnis nie herbeiführen kann. Daß eine solche Unabhängigkeit des Resultates der Messung von der Entfernung sich auch mit Teslaschwingungen mit dem Himstedteffekt bewerkstelligen läßt,

ist, wie dort gezeigt wird, nur möglich, wenn man dem „Zufall“ dadurch zu Hilfe kommt, daß man den Gasdruck für jede Verschiebung auf das zu erwartende Resultat hin einstellt. Nur mit solchen Mitteln ist es dann möglich, meine Versuche mit Hilfe des „Effektivpotentials des Himstedteffekts“ ohne die Phase der HERTZschen Welle „quantitativ zu wiederholen“. — Die Thermomessungen (vgl. C.) beziehen sich, wie ich gleich zeigen werde, nicht auf den Himstedteffekt.

Für die Richtigkeit der Messung ist natürlich der Grund, warum die Elektrometerausschläge sich nicht ändern, wenn bei aufliegendem Blei die Brücke heruntergeführt oder die Röhre verschoben wird, ganz gleichgültig. Es ist ebenso gleichgültig, warum das „Effektivpotential“ nicht in Betracht kommt. Es kommt nur darauf an, daß das Experiment den Nachweis bringt, daß es so ist! Da bei mir aber die HERTZsche Schwingung allein in Betracht kommt, ist anzunehmen, daß für HERTZsche Wellen der Himstedteffekt nicht zutrifft, was ja auch sehr wahrscheinlich ist, da die positiven Ionen den schnellen HERTZschen Schwingungen nicht folgen können (vgl. vorst. Abh.), diesen aber nach den Versuchen von Herrn HIMSTEDT, nach den obigen Betrachtungen im Anschluß an J. J. THOMSON und nach den Versuchen der Herren FRANCK und POHL wie die mächtigen positiven Ausschläge andeuten, eine wesentliche Bedeutung im Himstedteffekt zukommen muß. Er tritt eben nur für lange Wellen auf. Im übrigen ist aber überhaupt das „warum“ hier nicht einmal wesentlich. Zeigt das Experiment die alleinige Wirksamkeit der jeweils angetroffenen Phase, ist der Einfluß bzw. die Einflußlosigkeit auf die Null für die in Betracht kommenden Veränderungen im Apparat durch ein eindeutiges Experiment erbracht, so ist auch ohne Kenntnis der speziellen Funktion der Apparat brauchbar.

Die Aufklärung der Funktionen im Auffanggefäß ist ein Problem, welches mit der Geschwindigkeitsmessung dann nichts mehr zu tun hat. Daß sie aber sehr weitgehend aufgeklärt ist, das hoffe ich in der hier vorhergehenden Arbeit klar erwiesen zu haben; dort ist auch gezeigt, daß eine Entladung nur bei Antreffen der negativen Phase ausgelöst werden kann, daß sie also im Einklang mit dem experimentellen Befund

lediglich Indikator für das Antreffen dieser negativen Phase ist, und daß es demzufolge ganz gleichgültig ist, ob die Entladung leuchtend ist oder ob sie irgend eine andere Form hat.

C. Während nun bis hierher die Arbeit der Herren FRANCK und POHL sich mit Erscheinungen beschäftigt, welche bei mir nur als Fehlerquellen in Betracht kommen, und ihr Eingehen auf diese durch eine Reihe von Mißverständnissen der Ausdrucksweise in meiner „Abhandlung“ herbeigeführt zu sein scheint, so daß ich vor dem Vortrage glauben mußte, daß die Schuld für die vergeblich aufgewandte Mühe zum guten Teil auf meine unklare Ausdrucksweise kommt, zeigt es sich meines Erachtens nun, daß auch ein Mißverständnis ihrer eigenen Ausdrucksweise bereits hinreicht, um zu bewirken, daß sie mit viel Mühe Erscheinungen nachgehen, die in gar keinem Zusammenhang mit dem stehen, was sie zu untersuchen glauben. Bevor wir auf die hierher gehörigen Thermomessungen eingehen, müssen wir uns mit der verhängnisvollen Ausdrucksweise „Effektivpotential“ beschäftigen, welche den Anstoß zu der Thermomessung gegeben hat.

Die Bezeichnung „Effektivpotential“ ist meines Erachtens für gedämpfte, von langen Pausen unterbrochene Schwingungen im Zusammenhang mit Gasentladungserscheinungen gar nicht verwendbar. Denn das Effektivpotential ist ja bei dieser Schwingungsform abhängig von der Unterbrecherzahl des Induktors. Hinge der Himstedteffekt, d. h. die Potentialverteilung im Teslaentladungsgefäß, vom Effektivpotential ab, so müßte sie bei konstanter Spannung mit der Unterbrecherzahl variieren. Würde diese auf das Vierfache gesteigert, so müßte man die gleiche Potentialverteilung wieder erhalten, wenn die verwendete Spannung auf die Hälfte heruntersetzt wird, und so fort. Das dürfte sicher nicht der Fall sein! Es wird demnach wohl bei konstanter Schwingungszahl auf die maximalen Potentialamplituden, nicht auf den quadratischen Mittelwert, das Effektivpotential der gedämpften Schwingung, ankommen.

Es scheint mir auch, als wäre hier der Ausdruck nur zunächst wenig glücklich gewählt worden, und ich glaube, die Herren meinten auch zuerst etwa die resultierende maximale Potential-

amplitude. Dann aber scheint mir diese Ausdrucksweise, nicht die physikalische Bedeutung (genau wie beim Eingehen auf meine Arbeit), verhängnisvoll für die Fortsetzung geworden zu sein. Nach meinem Vortrage wurde nämlich, in Fortsetzung der Arbeit über den Himstedteffekt der Teslaentladung, das „Effektivpotential“, welches diesen Effekt bedingen soll, mit dem Thermoelement gemessen! Die Herren sagen wörtlich: „Viel einfacher ist es natürlich, Änderungen des Effektivpotentials durch eine direkte Messung, ohne Benutzung der verwickelten Erscheinung des Himstedteffekts, festzustellen. Eine solche direkte Messung läßt sich durch ein Thermokreuz ausführen usw.“ und sie sagen am Schluß: „Dieses Effektivpotential des „Himstedteffekts“ wird bedingt, ... wie Messungen mit dem Thermokreuz zeigen...“ Mit dem Thermoelement messen sie aber das wirkliche Effektivpotential der fortlaufenden gedämpften Wellen. Das Thermoelement ist nämlich an der Hülle des Faradayzylinders angebracht. Die Ausschläge sind demnach dem Energieinhalt aller der gedämpften Schwingungen proportional, die von der Elektrode zur Erde abfließen.

Während es für die Gasentladungseffekte nur auf die paar maximalen Amplituden ankommt, welche die Schwelle des Minimumpotentials überschreiten, während auch meine ganze Anordnung darauf basiert, daß man die maximalen Amplituden der mehr oder weniger gedämpften Nebenschwingungen in solchen Grenzen hält, daß sie klein sind gegen die paar in Betracht kommenden Amplituden der Meßschwingung, messen jetzt die Herren FRANCK und POHL, den Energieinhalt aller der gedämpften Schwingungen, die im System sind, deren maximale Amplitude unter der des Minimumpotentials liegt! Diese Schwingungen sind für die Gasentladungseffekte bei mir ausgeschaltet, trotzdem ihr Energieinhalt in anderer Größenordnung größer sein kann, als der derjenigen Schwingung, welche den jeweils betrachteten Entladungseffekt bedingt. Denn wenn auch die maximale Amplitude der Nebenschwingungen die Schwelle nicht erreicht, die als additiver Faktor in Betracht kommt, so können doch die folgenden Amplituden viel, viel weniger gedämpft sein, als der der Meßschwingung selbst; es kann also die als

Fehlerquelle ausgeschaltete Schwingung einen enormen Einfluß vermöge ihres Energieinhaltes auf das Thermoelement haben!

Man denke nur nicht, daß die Wellen, deren Energie hier vom Thermoelement aufgenommen wird, so stark gedämpft sind, daß auch für ihre Energie im wesentlichen nur die ersten Amplituden in Frage kommen; das wäre ganz unrichtig! Denn die Teslaschwingung, die über die RUBENSsche Flasche in die Brücke tritt, tritt zwar mit relativ geringer, bei mir nicht in Betracht kommender Amplitude ein, aber sie schwingt mit sehr geringem Dämpfungsdekrement, denn sie hat als Resonanzboden den nahe geschlossenen Kondensatorkreis der BRAUNschen Schaltung. Wenn sie auch lange tot gelaufen ist, bevor eine neue Unterbrechung des Induktoriums erfolgt, so ist doch ohne Zweifel allein die Energie dieser bei mir unwirksamen Welle in ganz anderer Größenordnung größer, als die der gedämpften Meßschwingung. Hier mit dem Thermoelement messen zu wollen, erscheint mir bei meinem Apparate als ein Fehler, der nur durch ein völliges Mißverstehen dessen, worauf es ankommt, zu erklären ist. Dies gilt aber auch für den Himstedteffekt, denn auch dieser setzt eben nur ein, wenn die maximalen Amplituden das Minimumpotential der negativen bzw. der positiven Ionen erreichen. Die als Himstedteffekt bezeichnete Potentialverteilung steht in keiner Beziehung zum Integralwert der gedämpften Sinusschwingungen, sie hängt ebenfalls nur von den maximalen Amplituden der Teslawelle ab. Es ist aber aus dem Energieinhalt kein Schluß auf die maximalen Amplituden möglich. Die ganze Messung hat also überhaupt nichts mit dem Himstedteffekt zu tun. — Wenn jemand absichtlich darauf ausginge, das Meßprinzip des Apparates durch Fehlerquellen nach Möglichkeit zu unterdrücken, er könnte nichts besseres tun, als daß er so verführe, wie die Herren FRANCK und POHL hier versehentlich verfahren sind: Er müßte Energieintegrale der zum Teil schwach gedämpften Wellen, anstatt die maximalen Potentiale der am stärksten gedämpften Meßschwingung messen.

Man kann jetzt so formulieren, daß man sagt: Bei den Messungen mit dem Thermoelement messen die Herren FRANCK und POHL, in Hinsicht auf meine Anordnung, den Integralwert alles dessen, was für die Messung selbst unwesentlich

ist. Bei der großen Zahl der Wellen im Apparat (vgl. Abh. S. 458) ist das sehr viel! Wohl kann es sein, daß beim Nähern der Röntgenröhre sich der Einfluß der Wellenstrahlung stärker geltend macht, als vor dem Nähern, wenn er aber so klein ist, daß er bei größter Näherung sich experimentell nicht geltend macht, wenn man die Knotenlage der kürzesten Welle des Systems (vgl. Abh. S. 475) auf der ganzen Brücke beim Wegziehen des Bleies untersucht, so macht er sich auch beim Entfernen nicht geltend. Dann hat man eben so eingestellt, daß die durch Wellenstrahlung in den Brückendrähten verursachte, maximale Potentialamplitude als additiver Faktor zu vernachlässigen ist, für die bei der Meßschwingung auftretenden Amplituden. Angenommen, ich bringe die Amplitude der Wellenstrahlung dann auf ihren vierten Teil dadurch, daß ich die Röhre entferne, dann kommt sie a fortiori nicht mehr in Betracht. Es ist also dann der Einfluß der Wellenstrahlung bei mir gleich Null, während die Thermomessungen eine Änderung von etwa 1:16 anzeigen würden. Es kommt ferner bei der Energiemessung nicht nur das lange Ende der einen gedämpften Störungswelle in Betracht, sondern auch die gleichzeitige Änderung im Integralwert von den etwa zehn anderen langen Wellen, die gleichzeitig in ihren Amplituden geändert werden, wenn man die Röhre verschiebt. Die maximalen Amplituden bleiben bei der Änderung wohl unter der Schwelle, die additiv in Betracht kommt; mißt man aber die Energieänderung, dann kommt diese nicht nur für die ersten Amplituden, sondern für die ganzen langen zum Teil relativ schwach gedämpften Enden der Störungswellen in Betracht. So erklären sich die großen Unterschiede, welche die Herren finden, wenn sie bei aufliegendem Blei, ohne eine Entladung am Elektrometer wahrzunehmen, die Röhre verschieben.

Sie messen dann in der Tat bei Kompensation mit der Brücke ein Interferenzeffektivpotential, also eine Energiegröße, keine maximalen Interferenzpotentiale, also keine Größe, die mit dem für ihre Arbeit wesentlichen Himstedteffekt etwas Wesentliches zu tun hat. Sie sagen ja auch in der Tat, „daß man alsdann den Druck so wählen kann, daß man nicht mehr die leuchtende Entladung braucht“. Diese aber ist ja gerade bei ihnen das Kriterium der Erhöhung des Potentials bis zum

„Effektivpotential“ für den „Himstedteffekt“. Nie können sie meines Erachtens durch alleiniges Entfernen der Röhre bei aufliegendem Blei so wesentliche Änderungen des „Effektivpotentials“ erzielen, daß ein Vorzeichenwechsel der Entladung auf den Brückendrähten stattfände, wenn bei feststehender Röhre auf der ganzen Brücke dasselbe Vorzeichen war. Die Änderungen sind hierfür meines Erachtens viel zu gering. Denn die Einstellungsempfindlichkeit liegt nicht in der Größe der Phase, sondern im Vorzeichenwechsel; die auslösende Wirkung besteht in der Herabsetzung des Gradienten. Auslösung und elektrostatische Beschleunigung zeigen sich für die Einstellung weitgehend unabhängig von der Größe des Potentials. Freilich habe ich ja den Himstedteffekt gar nicht untersucht, da ich dieser Erscheinung, als einer störenden Fehlerquelle, ausgewichen bin.

Das Resultat, nach welchem auch hier bei dieser Messung des Effektivpotentials der gedämpften Schwingungen im Apparat, allerdings nicht „des Effektivpotentials“ des Himstedteffekts, eine „quantitative Wiederholung“ meiner Versuche herausgekommen ist, wird in Kap. V. diskutiert werden.

Hier aber glaube ich bewiesen zu haben, daß die ganze Untersuchung der Herren FRANCK und POHL sich mit der Ausmessung von Fehlerquellen befaßt hat, die ich peinlich vermieden habe; daß sie bedingt ist durch eine Reihe von Mißverständnissen der Ausdrucksweise und des geistigen Inhaltes in meiner Arbeit; daß aber diese Mißverständnisse nicht allein durch mich verschuldet sind, das zeigt sich daran, daß sie den Herren FRANCK und POHL auch bei ihrer eigenen Ausdrucksweise begegnen. Es zeigt sich, indem ihnen die im Laufe der Untersuchung für die resultierende maximale Potentialamplitude eingeführte Bezeichnung „Effektivpotential“ Veranlassung wird, zu glauben, der Himstedteffekt hinge vom Energieintegralwert der gedämpften Wellen des Systems ab. Sie messen so bei ihrer eigenen Untersuchung eine Größe, die meines Erachtens nur durch ein Mißverständnis ihrer eigenen Bezeichnung etwas mit der Größe zu tun hat, welche den Himstedteffekt bedingt, die andererseits in Hin-

sicht auf meine Arbeit in obigem Sinne „den Integralwert des Unwesentlichen“ darstellt.

#### **IV. Über meine beiden Publikationen über den Gegenstand, die dort entwickelte Theorie des Apparates und ihre Darstellung in der Arbeit der Herren Franck und Pohl.**

Ich sehe mich leider veranlaßt, in diesem Kapitel zu der Referierung der theoretischen Seite meiner Arbeit einige Berichtigungen gegenüber den Herren FRANCK und POHL zu vermerken:

a) Auf der Naturforscherversammlung in Meran habe ich über den Gang meiner Überlegungen und Versuche historisch berichtet. Ich wollte dort zeigen, daß ich zu einem Nullinstrument für die Messung der Geschwindigkeit der Röntgenstrahlen auf rein experimentellem Wege gekommen war, und legte nur Wert darauf, die Eindeutigkeit als Nullinstrument erwiesen zu haben. Das war, wie ich denke, der Fall. Während ich nun am Apparat nichts Wesentliches zu ändern brauchte, ergaben die Experimente, daß die Grundidee, mit der ich an das Problem herangegangen war, im Apparat, wie er experimentell geworden war, nur sehr teilweise erfüllt war. Während ich zunächst glaubte, jede Ionisation vermeiden zu müssen, zeigte ich in der Abhandlung, daß der Ionisation in dem experimentell gefundenen Nullapparat eine wesentliche Rolle zukommt. Ich lege nur Wert darauf, daß dieser Irrtum nicht erst von anderer Seite festgestellt werden mußte, sondern daß er in meiner ausführlichen Abhandlung von mir selbst konstatiert wurde.

b) Hier aber ist meine Ansicht richtig referiert. Dies ist aber nicht der Fall an vielen anderen Stellen: Ich habe nämlich in Kap. VII meiner Arbeit (Ann. S. 711, Abh. S. 479) die Vorgänge behandelt, „welche neben den für das Meßprinzip notwendigen im Apparat ablaufen“. Hier werden alle Erscheinungen, welche von den Röntgenstrahlen, soweit bekannt ist, bei der Anordnung überhaupt ausgeübt werden können, diskutiert, und es wird dort jeder Einfluß, auch ein an sich unwesentlicher, geprüft.

1. Während ich nun, in breiter Ausführung, in den Hauptkapiteln die Nullage unter Einwirkung der Röntgenstrahlen als



durch ein „dynamisches Gleichgewicht“, das aus mehreren Komponenten besteht, charakterisiere (Abh. S. 454, Ann. S. 687, vorige Arbeit Fig. 6) und hieraus notwendig folgere, daß sie nicht, wie bei statischer Null, absolute Elektrometerruhe bedingen könne, wird aus dem Kap. VII, aus dem Kapitel der „unwesentlichen Erscheinungen“, ohne Angabe der Stelle des Zitates allein der Einfluß der sekundären Röntgenstrahlen, als nach meiner Ansicht für die dynamische Null in Betracht kommend, angegeben, weil ich dort sage, daß diese einen gleichen Einfluß hervorrufen können wie den, der aus dem dynamischen Gleichgewicht notwendig folgt; es wird wörtlich zitiert, aber nicht gesagt, daß dies unter „Nebenerscheinungen“ steht.

2. Während ferner die Volumenionisation, als im wesentlichen durch Röntgenstrahlen bedingt, von mir dargestellt wird, wird allein aus dem Kap. VII. die sekundäre Ionisation der schnellen DORNschen Strahlen als Ionisationsursache herangezogen. Also auch hier ist meine Ansicht, trotz der Zitate, nicht richtig dargestellt. Daß diese „Nebenerscheinung“ bei einigen Millimeter Druck in Betracht kommen muß, da ja 30000 Volt-Strahlen (die Durchschnittsgeschwindigkeit des Dorneffektes) bereits auf kurze Strecken bei einigen Millimeter ein wenig absorbiert werden, und da ja die freie Weglänge nur einen Mittelwert darstellt, ist klar. Aber nie ist es mir eingefallen, diese Ionisation als etwas Wesentliches zu betrachten, wie es ja leider nach der Darstellung den Eindruck erwecken muß.

c) Ferner habe ich nie die Ansicht vertreten, daß die großen, negativen Ausschläge durch die Primärwirkungen der Röntgenstrahlen bewirkt würden. Ich habe für die negativen Ausschläge (und allein für diese) besonders hervorgehoben, daß sie so groß sind, daß ihnen eine „viel tausendfache Energie gegenüber den Röntgenstrahlen“ (Phys. ZS. 6, 778, 1905, oder diese Verh. 7, 321, 1905) zukomme. Auf den Vorgang der negativen Auslösung selbst bin ich in der Hauptarbeit nicht eingegangen; im Kap. III. der hier vorausgehenden Arbeit sind die Gründe zu finden. Daß sie ergänzt werden muß, und in welcher Richtung, habe ich dadurch gekennzeichnet, daß ich sagte: „Erst weitere Untersuchungen können darüber entscheiden, ob es langsame Kathodenstrahlen gibt, die durch Röntgenstrahlen frei werden“, und hinzu-

fügte, daß sie „im Gange“ sind. (Abh. S. 44.) Unrichtiges steht in dieser Abhandlung meines Erachtens nicht; im Kap. III. ist gezeigt, daß es eine ganz vage Spekulation gewesen wäre, ohne die experimentelle Durchführung dieser damals angekündigten Untersuchung sich auf die Diskussion dieses Problems einzulassen. Eine wie einfache Lösung die Frage durch den experimentellen Befund gefunden hat, ist dort ausführlich erörtert; und es ist gezeigt, daß die theoretische Überlegung in jedem Punkte in Übereinstimmung ist mit dem experimentellen Befund.

### V. Schlußbemerkung.

A. Einzelheiten. — B. Diskussion, die Möglichkeit eines Zufalls in Hinsicht des Resultates meiner Untersuchung im Zusammenhang mit der Arbeit der Herren FRANCK und POHL. — C. Einige Fehlerquellen, die nicht vermieden wurden.

#### A. Einzelheiten.

1. Die Herren FRANCK und POHL stellen verschiedentlich die Frage, weshalb ich nicht einen der Effekte, die in dem komplizierten Mechanismus des Nullapparates auftreten, allein benutzt und andere, die unwesentlich erscheinen, weggelassen hätte. Darauf ist zu erwidern: Der Gang meiner Untersuchung war der: Ich suche die Geschwindigkeit der Röntgenstrahlen zu bestimmen, und stoße dabei auf eine Anordnung, von der ich zeigen kann, daß sie imstande ist, als Nullapparat meines Erachtens einwandfrei, Zeiten zu messen, die es mir ermöglichen, das gestellte Problem zu lösen. Die spezielle Funktion des Nullapparates war hierfür unwesentlich. Zu konstruieren war ein solcher Apparat a priori überhaupt nicht, denn es war fast keine der wesentlichen Erscheinungen, die sich hier experimentell ergaben, von vornherein zu erwarten. Weder das Auftreten der ersten ungeradzahligten Oberschwingung in den periodischen Röntgenstrahlen, noch die durch diese Strahlen erzeugte Schwingung; noch die Unabhängigkeit des Apparates von den langen Nebenschwingungen, noch die Einflußlosigkeit der Schwächung der Strahlen auf die Messung, noch das Folgen eines Volumenionisationszustandes gegenüber einer so schnell wechselnden Phase, noch die verblüffende

Einstellungsschärfe, noch der merkwürdige Vorgang bei der negativen Auslösung und die Bedeutung und das Auftreten der  $\delta$ -Strahlen waren Erscheinungen, die ich beim Zusammensetzen des Apparates vor etwa fünf Jahren nur irgendwie voraussehen konnte. Wenn ich auch hoffen möchte, daß sie jetzt klar geworden sind (vgl. die vorige Abhandlung), so hätte sie doch damals niemand voraussehen können! Ich habe also an der Konstruktion des Apparates gar kein Verdienst, es war Beobachtung und Experiment, nicht Nachdenken a priori, die mich zu der Anordnung führten. Es konnte nur meine Aufgabe sein, diese Anordnung, die ich gefunden hatte, für das Problem, dem ich nachging, zu benutzen und die Untersuchung seiner speziellen Funktion, die für die Geschwindigkeitsmessung selbst unwesentlich ist, auf später zu verschieben.

2. Ferner sind die Herren der Ansicht, ich hätte die Volumenionisation für sich allein deshalb nicht benutzt, weil sie nicht benutzbar wäre, da sie ja mit der Entfernung der Röntgenröhre abnehmen müßte. Das ist unrichtig, die Null ist unabhängig von der Entfernung; es erscheint nicht ausgeschlossen, daß die Verwendung der Ionisation allein zwischen zwei Kondensatorplatten zum Ziele führt. Aber die Methode wird wahrscheinlich wesentlich unempfindlicher sein, und die Null würde ebenfalls einem dynamischen Gleichgewicht entsprechen. Ich gedenke sie gelegentlich zu versuchen<sup>1)</sup>.

3. Interferenzstörung hat man nur bei großer Intensität der Wellen; es ist aber sehr leicht, sich davon zu überzeugen, ob sie da ist. Der größte Teil der Brückenschwingungen wird übrigens nicht durch den Wollastondraht gedämpft, sondern fließt durch den geringen Kondensatorwiderstand bis zum Faradayzylinder zur Erde.

4. Daß ich keine besondere Brücke auf den Drähten angebracht habe, geschah deshalb, weil das Experiment zeigte und übrigens die Theorie auch bewies, daß die Nebenschwingungen keine Störungen hervorrufen. Wieviel näherliegend ist es, sie anzu-

---

<sup>1)</sup> Diese Frage ist in dem auf meinen Vortrag hin umgearbeiteten Manuskript in einer Form gestellt, welche die methodische Möglichkeit nicht mehr bezweifelt. Ich lege Wert darauf, daß auf diese Möglichkeit erst von mir im Vortrage hingewiesen wurde.

bringen, für jemanden, der seit seiner ersten Studentenzeit mit dem DRUDESchen Apparat gearbeitet hat! Nach Abh. S. 455 bzw. Ann. S. 688 sind die Nebenschwingungen aber sogar imstande, eventuell zu nützen, indem sie die schwachen positiven Ausschläge verstärken. Denn der Umstand, daß ev. auf der ganzen Verschiebung stets positives Gebiet der längeren Wellen des Systems angetroffen wird, ist höchstwahrscheinlich der Einstellung sehr günstig, weil dadurch die geringen positiven Ausschläge verstärkt werden. Ferner aber ist die Meßschwingung bei mir die erste ungeradzählige Oberschwingung der zweitkürzesten Welle. Die große Wand des geerdeten Eisenkastens befindet sich nun gerade im Knoten der zweitkürzesten Welle. Es war mir deshalb stets sehr wahrscheinlich, daß die tatsächlich erreichte Sauberkeit der Wellen ihren inneren Grund auch darin hat, daß die große Eisenwand des Kastens, durch den die Primärdrähte hindurchtreten, als Brücke wirkt. Da nämlich die zweitkürzeste Welle die Grundschwingung der ersten Hälfte der Plattenkondensatoren ist, an welcher die Funkenstrecke sich befindet, so kann man sich leicht durch Ausmessung der geringen, genau angegebenen Drahtlängen bis zur Eisenwand davon überzeugen, daß gerade an der Durchtrittsstelle ein Knoten dieser zweitkürzesten Welle liegen muß (Fig. 4). Dann aber muß ja diese Wand eine recht gute Brücke darstellen, da sie ja geerdet ist und, durch Kondensatorkoppelung mit dem Primärsystem verbunden, dieses an Erde legt. Aus dieser, und nur aus dieser Überlegung heraus, habe ich das Primärsystem als „LECHERSches System“ bezeichnet. Derartige Ausführungen und Begründungen halte ich in einer abgerundeten Arbeit, in der es gar nicht darauf ankommt, warum die Wellen sauber sind, sondern nur, daß sie es sind, für unnötig. Sie tragen meines Erachtens nur dazu bei, das Wesentliche unter Einzelheiten zu erdrücken und die Darstellung langweilig zu machen.

Ob überhaupt irgend eine einfachere Methode zum Ziele führt, das kann erst die Zukunft lehren, meine Aufgabe konnte nur die sein, zunächst die gefundene Methode in allen Einzelheiten aufzuklären. Solange dies nicht der Fall war, durfte ich nicht nach einer anderen suchen oder an die Vereinfachung denken. Kompliziert ist die Methode übrigens nur durch die große Anzahl der übereinander greifenden Effekte. Nachdem deren Einfluß aber klar-

gestellt ist, zeigt es sich, daß das Verständnis derselben sich unmittelbar additiv aus den Eigenschaften der Komponenten ergibt, ohne Zuhilfenahme irgend einer höheren mathematischen Überlegung!

### B. Möglichkeit und Wahrscheinlichkeit eines Zufalls.

Verschiedentlich betonen die Herren FRANCK und POHL, daß sie alle meine Versuche qualitativ und quantitativ wiederholen könnten, trotzdem ihre Resultate nichts mit der Geschwindigkeit der Röntgenstrahlen zu tun haben. Schon verschiedentlich wurde darauf hingewiesen, daß diese Angabe nicht zutrifft. Nun beziehen sich die Messungen der Herren auf sehr verschiedene Dinge. Einmal haben die Herren eine Wellenstrahlung von oben und eine stehende Welle im Brückendraht. Die beiden HERTZschen Wellen gaben zusammen ein Interferenzpotential an der Elektrode; bei Änderung der Stärke der einen Welle muß man, um auf das frühere Potential zu kommen, eine Änderung an der anderen vornehmen. Die Herren kompensieren also Potentiale, und es kann nicht wunderbar erscheinen, daß sie bei elektrometrischer Messung durch Potentialänderungen an dem der Elektrode gegenüber befindlichen Faradayzylinder qualitativ ähnliche Erscheinungen hervorrufen, wie ich sie bei Vermeidung von Wellenstrahlung durch Veränderung der Potentialgradienten bzw. der angetroffenen Phase erzeuge.

Wie aber alsdann die quantitative Gleichheit der Verschiebungen heraus kommen kann, um zu zeigen, „daß meine sämtlichen Versuche sich quantitativ mit Hilfe des Effektivpotentials deuten lassen“, das muß hier näher beleuchtet werden: Es läßt sich für jedes Potential ein Gasdruck innerhalb gewisser Grenzen finden, für den eine Entladung gerade einsetzt. Das Einsetzen der Entladung ist, soweit der Himstedteffekt benutzt wird, bei den Messungen der Herren FRANCK und POHL der Indikator für das erreichte Potential. Sie brauchen nun, um ihr Interferenzpotential nach einer Verschiebung des einen Wellensystems wieder herzustellen, eine zweite, durch keine Gleichung angebbare Verschiebung am anderen System. Um aber die gleiche Verschiebung herauszubekommen, müssen sie für die vorher bestimmte Verschiebung der Röntgenröhre einen Gasdruck suchen, der nach empirischer Bestimmung gerade ausreicht, um

das Interferenzpotential, welches sich bei gleicher Verschiebung ergibt, zum Entladungspotential zu machen. Wenn demnach auch in einem einzelnen Fall der Zufall eintreten kann, daß gerade der zufällig vorhandene Gasdruck eine gleiche Verschiebung vortäuscht, so kann doch nie bei mehreren Messungen der Zufall ein solches Ergebnis vortäuschen. Bei dieser Kompensation ist demnach die Gleichheit der Kompensation mit der Verschiebung nur dadurch möglich, daß man auf das zu erwartende Resultat hin den Gasdruck jeweilig einstellt. Bei der Thermoelementmessung, die sich nicht auf ein Interferenzpotential, sondern auf ein Interferenzeffektivpotential bezieht, liegt prinzipiell Ähnliches vor.

Worauf beruht nun meine Einstellung des Gasdrucks? Ist es vielleicht da möglich, daß meine Einstellung öfters zufällig gerade so erfolgte, daß eine Kompensation in Hinsicht des resultierenden Potentials so erfolgt, daß der Verschiebung der Röhre eine gleiche der Brücke zufällig entspricht? Darauf ist zu antworten, daß das geradezu unmöglich ist. Denn die Einstellung des Gasdruckes bei mir erfolgt bei feststehender Röhre. Sie muß deshalb geschehen, weil bei zu hohem Vakuum auf der ganzen Brücke negative, bei zu niedrigem überall positive Ausschläge sein müssen (vgl. die vorige Arbeit, Kap. III, 8). Die theoretische Überlegung ist ja auch hier völlig im Einklang mit dem experimentellen Befund. Wenn diese Einstellung aber einmal vorgenommen ist, dann ist die Größe der Verschiebung ganz gleichgültig! Hatte ich doch erst das experimentelle Resultat dieser Unabhängigkeit des Apparates von der Einstellung und suchte erst dann durch langjährige experimentelle Arbeit den inneren Grund für diesen Befund. Der Fall ist nicht häufig, daß man auf eine Anordnung stößt, die sich als Nullapparat erweist, deren spezielle Funktion deshalb so wenig in Betracht kommt, wie die Galvanometerfunktion in der WHEATSTONEschen Brücke; die Gewähr für vorsichtige Objektivität in Hinsicht des Resultates wird er aber gewiß weitgehend in sich tragen, da man einer Täuschung viel leichter anheimfällt, wenn man erst die Theorie des Apparates hat, seine innere Funktion zu kennen glaubt und dann die experimentelle Bestätigung für diese Kenntnis sucht, als in diesem Falle, wo erst das experi-

mentelle Resultat der Unabhängigkeit von der Einstellung von allen in Betracht kommenden, möglichenfalls störenden Parametern vorlag, und nachträglich die Theorie für diese Unabhängigkeit gefunden werden mußte. Ich habe natürlich ganz willkürlich verstellt. Und da soll immer der „Zufall“ mitgewirkt haben? Nicht nur bei den angegebenen Messungen mit dem konstantest erhaltenen Nullpunkt und der Variation der Wellenlänge in drei Bereichen, sondern auch bei der großen Zahl der nicht publizierten Messungen, bei denen der Nullpunkt innerhalb einiger Prozent stärker geschwankt hatte, und die deshalb als weniger zuverlässig weggelassen wurden, aber alle das gleiche Resultat ergeben haben, daß es ganz gleich ist, wie weit man verschiebt, daß die Verschiebung stets gleich der halben Brückverschiebung ist. Einen solchen „Zufall“ gibt es nicht! . . . . . Es hätte also der Angabe der experimenta crucis dafür nicht bedurft, um die Unabhängigkeit meiner Versuchsanordnung vom „Effektivpotential“, um die alleinige Abhängigkeit von der Phase zu erweisen!

#### C. Die negativen Resultate der Herren FRANCK und POHL.

Die theoretischen Einwände der Herren FRANCK und POHL sind im wesentlichen, wie ich gezeigt zu haben hoffe, darauf zurückzuführen, daß sie bei der Kürze der Darstellung mich des öfteren mißverstanden haben, und daß die Vorgänge im Nullapparat selbst infolge der noch nicht veröffentlichten, aber als „im Gange“, Abh. S. 447, angekündigten Untersuchung über die Auslösung nur unvollkommen und lückenhaft aufgeklärt waren. Ihre bisherigen Mißerfolge in der Wiederholung meiner Experimente beruhen aber vor allem auf wiederholtem Mißverstehen dessen, worauf es ankommt, in erster Linie darauf, daß sie sich gar nicht überzeugten, ob die Nullpunkte auf ihrer Brücke durch die HERTZsche Welle bedingt sind, welche doch das Fundament der Methode bildet.

Auch in ihrem Apparat sind offenbar sonst auch wesentliche Störungen gewesen. Es scheint mir deshalb im Interesse der Klärung der Sache zu liegen, daß hier zum Schluß eine Zusammenstellung der Fehler erfolgt, soweit sie in äußerlicher Hinsicht hier gemacht und von mir zwischen den Zeilen als wahr-

scheinlich festgestellt wurden. Es kann dies nützlich sein, wenn vielleicht von irgendeiner Seite die Versuche aufgenommen werden sollten. Es sind natürlich noch mehr Fehler möglich, und hier, wo gerade immer an den Fundamenten die Mißverständnisse angriffen, auch nur zu wahrscheinlich! Es sind auch solche möglich, die durch fehlende oder unklare Angaben in meiner Arbeit veranlaßt sein können: So ist bei mir die Angabe der Öffnung des Faradayzylinders vergessen. Die Herren FRANCK und POHL messen sie nach der verkleinerten Figur aus, kamen aufgrund dieser Messung zu dem Resultat 1 mm und erklärten in ihrem Vortrage ohne jegliche Reserve, ich hätte einen Faradayzylinder von 1 mm innerer und äußerer Öffnung benutzt. Die drei Herren, die in der Diskussion (ich hatte nunmehr geglaubt, aufs Wort verzichten zu sollen) Herren FRANCK und POHL beistimmten, daß durch einen so engen Faradayzylinder recht wenig hineinginge, hatten gewiß recht. Die Maße bei mir sind natürlich auch ganz andere gewesen, sie waren außen 3,5 mm, innen 4 mm.

Ich bäte doch inständigst, in solchen durch mich verschuldeten Fällen, wenn die Bemühungen wirklich darauf ausgehen, meine Versuche zu wiederholen, bei mir anzufragen. Im übrigen hoffe ich nun bald, nach Fertigstellung meiner jetzigen Arbeit, wieder an den Apparat zu kommen und mit den inzwischen sichergestellten experimentellen Gesichtspunkten zu versuchen, den Apparat, der sich als Ganzes beim Experimentieren ergeben hatte, nun induktiv in Hinsicht auf die einzelnen Funktionskomponenten des Nullapparates aufzubauen. Ich konnte und durfte meines Erachtens das nicht versuchen, bevor ich das, was ich hatte, durch die noch im Gange befindliche Untersuchung aufgeklärt hatte. Ich hoffe, es wird mir dann gelingen, mich von der Schwierigkeit der Abstimmung der Vacua unabhängig zu machen. Allein hieran liegt ja die Unmöglichkeit, ihn schnell in Stand zu setzen und ihn jederzeit zu demonstrieren.

Die äußeren Fehlern sind folgende: 1. Eine Wellenstrahlung des Primärsystems. 2. Eine stehende Welle in der Brücke. 3. Der Messingflansch am Aluminiumfenster. 4. Der Faradayzylinder im Strahlengang. 5. Die, wie mir persönlich mitgeteilt wird, durch Zerstäubung schwarze Röntgenröhre, die dann mit doppelter Periode



emittieren muß. 6. Die höchstwahrscheinlich bei der Stärke der Ströme mit Platinzerstäubung behafteten Wände des Nullapparates (vgl. Abh. I, Kapitel „Auslösung“). 7. Die durch zu kleine Entladungspotentiale der Teslafunkenstrecke im Apparat vorhandene größere Amplitude der Teslastrahlung. 8. Eine zu große Funkenstrecke am Plattenkondensator. 9. Die bei der, gegenüber meiner Anordnung, veränderten Wellenlänge nicht untersuchte, fundamentale Bedingung über die Knotenlage der Nebenschwingungen.

Fast jede der angeführten Störungen ist hinreichend, um notwendig das Versagen des Apparates herbeizuführen.

Es kann natürlich ein so schwieriges Experiment, wie das der Geschwindigkeitsmessung, nicht leichtthin improvisiert werden. Man muß bei der großen Zahl der möglichen Störungen diese überall von vornherein auf ein Minimum zu beschränken suchen. Die Herren haben über ihre Wellenanordnung gar nichts verlauten lassen. Es ist wohl sehr wahrscheinlich, daß sie keinen Öltesltransformator verwendet haben, da ja nach DRUDES Arbeiten ein Lufttransformator mindestens gerade so viel leistet und wesentlich bequemer ist, namentlich in einem engen Kasten. Ich bin aber aus dem Grunde zu einem Öltransformator zurückgekehrt, weil die Spulen viel weniger strahlen, wenn sie unter Öl sind. Da alles eng beisammen ist und der Kondensatorkreis dicht über den Spulen ist, erhält man andernfalls Störungen durch Teslaschwingungen, wie ja dies auch bei den Herren FRANCK und POHL derart der Fall war, daß ihre ganze Untersuchung dieser Störung gewidmet ist. Wenn ich jede Erfahrung, die ich bei jahrelanger Arbeit hier gesammelt habe, einzeln ausführen sollte, so würde ich die Geduld der Leser auf eine harte Probe stellen müssen.

Daß infolge gewisser Mißverständnisse hier die Bemühungen der Herren FRANCK und POHL nicht zur Wiederholung meiner Versuche führten, das ist bei einem so schwierigen Gebiet durchaus verständlich. Es ist mir aber ganz unverständlich, wie sie sagen konnten, daß sie mit Hilfe des Himstedteffektes alle meine Versuche qualitativ und quantitativ erklären und wiederholen könnten. Worauf die „quantitative Wiederholung des Endresultates“ beruht, wurde bereits diskutiert; auch hier wäre es objektiv unrichtig gewesen, diese Art der „Wiederholung“ als

eine quantitative zu bezeichnen. Aber hier liegt möglichenfalls wieder ein Mißverständnis vor. Dies ist aber nicht möglich, in Hinsicht auf die anderen Versuche! Denn es ist den Herren FRANCK und POHL nicht ein einziges Mal gelungen, durch Wegziehen des Bleifleckes beim Verschieben der Brücke periodisch polare Aufladungen des Elektrometers zu erhalten, die auf  $\frac{1}{4}$  Wellenlänge Verschiebung wechseln und der Periodizität der die Röntgenstrahlen emittierenden Welle entsprechen: Man kann eine Ausdrucksweise mitunter mißverstehen, aber lange Zahlentabellen, die eine periodische Folge eines polaren Verhaltens anzeigen, die können nicht mißverstanden werden. Die Herren hätten meines Erachtens nicht sagen dürfen, daß sie „alle meine Versuche quantitativ wiederholen“ könnten, wenn ihnen unter anderen diese Beobachtungen nicht geglückt sind. Eine richtige Berichterstattung wäre nur gewesen, wenn sie gesagt hätten, daß ihnen die Wiederholung nicht gelungen ist. Dann hätte ich auch in der Diskussion versuchen können, ihnen zu sagen, woran es liegt. Diese Art der Berichterstattung aber kann die größten Mißverständnisse selbst bei denen hervorrufen, die eine Arbeit genau kennen. So habe ich, der ich meine Arbeit recht genau kenne, den Herren in der Diskussion nur unvollkommen folgen können, weil ich ihrer Berichterstattung glaubte, daß sie „alle meine Versuche qualitativ und quantitativ“ mit Hilfe des Himstedteffektes wiederholen und erklären könnten. Hierfür konnte ich gar keine Erklärung finden. Denn wenn ein bekannter Physiker mir öffentlich sagt, daß er quantitativ alle meine Versuche, mit Ausnahme des Endresultates, mit einer ganz anderen Erscheinung als mit dem Antreffen der Phase wiederholen kann, so muß ich das zunächst glauben. Dann aber wäre eben damit bewiesen, daß meine Schlüsse entweder falsch oder nicht eindeutig sind. Erst nachher habe ich gesehen, woran mein Mißverständnis lag. Ich bin aber überzeugt, daß es fast allen Hörern des Vortrages so gehen mußte, weil doch jeder glaubt annehmen zu müssen, daß solche Erklärungen wörtlich genommen werden sollen, was aber wohl gewiß gar nicht der Meinung des Herrn Vortragenden entsprochen hat. Hierüber muß eine Erklärung in der Antwort der Herren meines Erachtens notwendig erfolgen, im Interesse einer objektiven Berichterstattung,

da ja anderenfalls auch die referierenden Zeitschriften gewiß vielfach denselben Ausdruck, den Tatsachen entgegen, aufnehmen würden.

Ich denke, hier bewiesen zu haben, daß weder in experimenteller noch in theoretischer Hinsicht irgend ein stichhaltiger Einwand gegen meine Arbeit von den Herren FRANCK und POHL erhoben worden ist. Meines Erachtens auch gar nicht erhoben werden kann! Die einzige Möglichkeit eines Einwandes läge meines Erachtens darin, mit Herrn BRAGG die Homogenität der Röntgenstrahlen zu bezweifeln, also anzunehmen, daß neben der mit Lichtgeschwindigkeit sich ausbreitenden Röntgenstrahlung eine weitere vorhanden wäre. Gegen diese Möglichkeit sprechen meine Versuche nicht; ob sie zutreffend ist, das werden vielleicht spätere Versuche entscheiden können.

### Zusammenfassung.

1. Es wird gezeigt, daß bei Wellenstrahlung in meinem Apparat jedes Resultat, auch 0,4 bis 14 c, herauskommen kann. Es wird durch ein erstes Experimentum crucis allgemein gezeigt, daß in meinem Apparat die Phase, nicht irgend ein anderes Potential, die Messung bestimmte; durch ein zweites Experimentum crucis, das bereits in meiner ersten Mitteilung angegeben ist, wird gezeigt, daß speziell nicht „das Effektivpotential“ die Messung beeinflusste (Kap. I).

2. Der Mißerfolg in der Wiederholung meiner Versuche durch die Herren FRANCK und POHL ist meines Erachtens durch zwei Faktoren im wesentlichen bedingt: Ia) eine stehende Welle in der Brücke, Ib) eine Wellenstrahlung der Röntgendrähete. Es wird gezeigt, daß gerade bei vollständiger Einhaltung meiner Apparatkonstanten diese Störungen eintreten müssen, wenn größere Potentialamplituden verwendet wurden, als meine Dämpfungs- und Kopplungsglieder zulassen. II. Durch noch weitere Vergrößerung der Funkenstrecke entfernen sie den Einfluß der HERTZschen Welle auf die schwingende Elektrode völlig und untersuchen in der Tat nunmehr nur den Einfluß einer mit Teslaschwingungen betriebenen Röntgenröhre auf die Teslaentladung. Hiermit verlassen sie versehentlich das Grundprinzip des Apparates. Daß die

Herren glaubten, es sei von mir auch verlassen worden, beruht auf dem fundamentalen Mißverständnis, das meine Äußerung hervorgerufen hat, daß für die Geschwindigkeitsmessung nur eine Knotenverschiebung von den drei Knoten, die auf den Brücken-drähten liegen, beobachtet werden müsse. Sie glaubten deshalb vor der Messung sich nicht überzeugen zu müssen, ob die Knoten durch die HERTZsche Welle bedingt sind. Infolgedessen haben sie nur den Einfluß einer Fehlerquelle untersucht, die ich peinlich vermieden habe (Kap. II).

3. Der Himstedteffekt tritt bei mir nach 1. nicht auf. Der Untersuchung dieses Effektes ist die Arbeit der Herren FRANCK und POHL zunächst gewidmet. Wie aber die Herren durch ein Mißverständnis sich zuerst von meiner Arbeit entfernten, so entfernen sie sich meines Erachtens jetzt durch ein Mißverständnis von ihrer. Die zunächst meines Erachtens nur wenig glücklich gewählte Bezeichnung „Effektivpotential“ (etwa für „resultierende maximale Potentialamplitude“) wird ihnen Veranlassung, zu glauben, dieser Gasentladungseffekt hänge nicht von den maximalen Amplituden der gedämpften Wellen des Systems, sondern von deren Energieintegralwert ab. Sie messen so mit dem Thermoelement eine Größe, die nur durch ein Mißverständnis ihrer eigenen Bezeichnung in Beziehung zu der Größe gesetzt werden kann, die sie zu messen glauben. Denn jetzt messen sie ein wirkliches Effektivpotential; dieses aber hat nichts mit dem „Effektivpotential“ des Himstedteffektes mehr zu tun (Kap. IIIc).

4. Während nach 1. und 3. der Himstedteffekt mit meiner Geschwindigkeitsmessung gar nichts zu tun hat, stehen diese Thermomessungen, die keine Beziehung zum Himstedteffekt haben, den die Herren FRANCK und POHL zu untersuchen glauben, wieder in gewisser Beziehung zu meiner Geschwindigkeitsmessung: Sie messen nämlich mit dem Thermoelement eine Größe, die sich charakterisieren läßt als der „Integralwert aller der für die Messung selbst ausgeschalteten, also unwesentlichen, aber im Apparat vorhandenen Störungswellen“. Kap. IIIc. Diese Wellen sind für die Messung ausgeschaltet, weil ihre maximale Amplitude als additiver Faktor für die Meßschwingung nicht

hinreicht, um einen wesentlichen Beitrag dafür zu liefern, daß das angetroffene Potential der Meßschwingung bei der Bestrahlung merklich früher in Aktion tritt, als ohne sie. Trotzdem ist der Energieinhalt dieser Störungswellen jedenfalls in anderer Größenordnung größer, als der der Meßschwingung. Wollte man demnach aus der Energiekurve, die bei aufliegendem Blei für den Einfluß der Röhrenverschiebung gewonnen ist, auf die wirkliche Fehlergröße schließen, so müßte man die Ordinaten um ein viel Tausendfaches nach unbekanntem Gesetze verkleinern. Sieht man von dieser Messung des „Integralwertes des Unwesentlichen“ in meinem Apparat ab, so folgt:

**Mit meiner Methode der Geschwindigkeitsmessung hat die ganze Untersuchung nur Äußerlichkeiten gemein, weil im ersten Teile eine Wellenstrahlung die Phase der Hertzschen Welle überdeckte (Versagen der „Bleikriterien“), im zweiten der Grundfaktor der ganzen Untersuchung, die Hertzsche Welle, selbst ausgeschaltet war (Kap. IIIc).**

5. Die Darstellung der Theorie meines Apparates ist trotz der Zitate nicht richtig wiedergegeben, weil die Zitate lediglich aus Kap. VII. der Arbeit entnommen sind. Dort werden „Nebenerscheinungen“ behandelt. Auf die Theorie selbst (Kap. IV) wird kaum eingegangen. Die Einwände gegen die Größenordnung, die leuchtende Entladung usw. sind in der vorstehenden Abhandlung (Kap. III) von mir zu widerlegen versucht.

6. Es wird gezeigt, daß auch ohne Angabe von 1. die Eindeutigkeit meiner Messungen aus dem Ergebnis der Unabhängigkeit des Geschwindigkeitswertes von der Entfernung folgt (Kap. Vb). Eine „quantitative Wiederholung“ meiner Versuche mit dem gleichen Resultat unter Verwendung des „Effektivpotentials“ oder des wirklichen Effektivpotentials ist nur möglich, wenn man die Kompensation so ausführt, daß man jeweilig bei jeder einzelnen Verschiebung den Gasdruck auf das zu erwartende Resultat hin einstellt. Der Zufall kann dieses Resultat unmöglich, weder bei meiner Messung, noch bei der der Herren FRANCK und POHL, vortäuschen, wenn mehrere Messungen bei verschiedener Entfernung eingestellt werden. Die Behauptung der Herren, daß sie alle meine Ver-

suche quantitativ wiederholen, und mit Hilfe des Himstedteffektes erklären könnten, ist objektiv unzutreffend.

Weder in theoretischer, noch in experimenteller Hinsicht ist demnach meines Erachtens durch die vorliegende Arbeit irgend ein Einwand erhoben, der nicht auf Mißverständnissen meiner Arbeit beruht.

**Das Resultat meiner Arbeit wird demnach in Hinsicht seiner Eindeutigkeit durch diese Einwände in keinem Punkte erschüttert.**

Leipzig, Physikal. Institut der Universität, 12. Febr. 1908.

**Die spezifische Wärme einiger Elemente und Salze  
zwischen der Temperatur  
der flüssigen Luft und Zimmertemperatur;  
von Paul Nordmeyer.**

(Vorgelegt in der Sitzung vom 21. Februar 1906.)

(Vgl. oben S. 116.)

Die nachstehend angegebenen spezifischen Wärmen zwischen der Temperatur der flüssigen Luft und Zimmertemperatur bestimmte ich in derselben Art und Weise wie C. FORCH und P. NORDMEYER<sup>1)</sup> und P. NORDMEYER und A. L. BERNOULLI<sup>2)</sup>. Ich hatte ausgedehntere Messungen, namentlich zwischen der Temperatur eines Kohlensäure-Äthergemisches und der der flüssigen Luft vor, aber durch einen Unglücksfall, hervorgerufen durch das Platzen einer Phosphor enthaltenden DEWARSchen Flasche, bin ich an deren Fortführung für längere Zeit verhindert; daher veröffentliche ich hiermit die bereits erhaltenen Resultate.

Zunächst hatte ich einige Werte, die ich in Gemeinschaft mit BERNOULLI erhalten hatte, einer erneuten Prüfung unterzogen. Die Resultate stehen in Tab. 1, in welcher unter  $p$  das Gewicht der eingebrachten Substanz, unter  $P$  das Gewicht der durch jene verdampften Luft, unter  $T$  die Temperatur der flüssigen Luft, unter  $t$  die Zimmertemperatur und unter  $c$  die spezifische Wärme angegeben ist. In der letzten Kolumne stehen zum Vergleich die von NORDMEYER und BERNOULLI erhaltenen Werte.

Wie man aus dieser Tabelle erkennt, sind die früheren Werte gut bestätigt worden, was namentlich für Gold und Calcium wichtig ist. Für letzteres hatte inzwischen BERNINI<sup>3)</sup> folgende Werte angegeben:

$$c_{0-20^{\circ}} = 0,1453; c_{0-75^{\circ}} = 0,147; c_{0-100^{\circ}} = 0,149; c_{0-157^{\circ}} = 0,1521.$$

<sup>1)</sup> C. FORCH und P. NORDMEYER, Ann d. Phys. (4) 20, 423, 1906.

<sup>2)</sup> P. NORDMEYER und A. L. BERNOULLI, Verh. d. D. Phys. Ges. 9, 175—183, 1907.

<sup>3)</sup> A. BERNINI, Physik. ZS. 8, 150—154, 1907.

Tabelle I

| Substanz     | $p$    | $P$    | $T$   | $t$  | $c_{t-T}$          | Mittelwert von $c$   | $c$ bei NOEDMEYER u. BERNOULLI |
|--------------|--------|--------|-------|------|--------------------|----------------------|--------------------------------|
| Natrium . .  | 9,120  | 9,710  | - 188 | + 20 | 0,256 <sub>0</sub> | } 0,252 <sub>0</sub> | 0,234 <sub>0</sub>             |
|              | 9,537  | 9,903  | - 187 | + 18 | 0,250 <sub>7</sub> |                      |                                |
|              | 17,980 | 18,502 | - 187 | + 18 | 0,251 <sub>0</sub> |                      |                                |
| Magnesium .  | 9,961  | 9,120  | - 188 | + 18 | 0,222 <sub>2</sub> | 0,222 <sub>2</sub>   | 0,223 <sub>0</sub>             |
| Calcium . .  | 14,765 | 9,240  | - 185 | + 18 | 0,154 <sub>2</sub> | } 0,156 <sub>0</sub> | 0,157 <sub>0</sub>             |
|              | 14,765 | 9,473  | - 185 | + 18 | 0,158 <sub>0</sub> |                      |                                |
|              | 9,055  | 5,785  | - 188 | + 17 | 0,157 <sub>0</sub> |                      |                                |
| Eisen . . .  | 5,265  | 2,105  | - 188 | + 18 | 0,097 <sub>1</sub> | 0,097 <sub>1</sub>   | 0,094 <sub>0</sub>             |
| Molybdän .   | 5,360  | 1,377  | - 188 | + 17 | 0,062 <sub>7</sub> | 0,062 <sub>7</sub>   | 0,062 <sub>0</sub>             |
| Thallium . . | 5,377  | 0,848  | - 185 | + 18 | 0,038 <sub>0</sub> | } 0,038 <sub>1</sub> | 0,037 <sub>0</sub>             |
|              | 5,355  | 0,882  | - 188 | + 19 | 0,037 <sub>0</sub> |                      |                                |
| Gold . . . . | 8,602  | 1,137  | - 185 | + 18 | 0,032 <sub>3</sub> | } 0,033 <sub>0</sub> | 0,034 <sub>0</sub>             |
|              | 15,660 | 2,166  | - 185 | + 19 | 0,033 <sub>0</sub> |                      |                                |

Hiernach würde der von mir gefundene mittlere Wert 0,157 etwas zu hoch sein. Die Zusammensetzung des Calciums<sup>1)</sup> war in beiden Fällen die gleiche: 97 bis 99 Proz. Ca. Mit der von BUNSEN gefundenen Zahl  $c_{23-99^{\circ}} = 0,1704$  [die von LANDOLT und BÖRNSTEIN angegebene Zahl 0,1804 beruht nach BERNINI<sup>2)</sup> auf einem Irrtum] würde mein Wert gut in Einklang stehen.

Für Gold erhielt ich einen nur wenig geringeren Wert als in voriger Arbeit, trotzdem es anderer Herkunft und in Ringform war, an Stelle des früher verwendeten Bleches. Eine Übereinstimmung mit den Ergebnissen von VIOLLE (0,0316 bei +50°) und VOIGT (0,0303 bei +60°) ist also auch dadurch nicht herbeigeführt.

Das Natrium war von MERCK frisch bezogen, während das früher verwendete bereits längere Jahre gestanden hatte. Vielleicht ist darauf die geringe Differenz der Werte zurückzuführen.

<sup>1)</sup> Ich erhielt es nebst näheren Angaben von den „Elektrochemischen Werken, G. m. b. H., in Bitterfeld“; ihnen spreche ich für ihr Entgegenkommen auch hier meinen Dank aus.

<sup>2)</sup> A. BERNINI, l. c., S. 152.



Tabelle II.

| Substanz                 | $p$  | $P$  | $T$   | $t$  | $c_{t-T}$  | Mittelwert von $c$ |                                       |
|--------------------------|--|--|---|--|--|--------------------|---------------------------------------|
| Aluminium                | $\left\{ \begin{array}{l} 10,480 \\ 10,700 \\ 14,985 \end{array} \right.$                  | $\left\{ \begin{array}{l} 7,950 \\ 8,108 \\ 11,181 \end{array} \right.$                  | $\left\{ \begin{array}{l} -188 \\ -188 \\ -187 \end{array} \right.$                 | $\left\{ \begin{array}{l} +20 \\ +20 \\ +18 \end{array} \right.$               | $\left\{ \begin{array}{l} 0,182_4 \\ 0,182_4 \\ 0,182_0 \end{array} \right.$                       | 0,182 <sub>2</sub> | TILDEN . . 0,1677 bei - 80            |
|                          |  |  |   |  |  |                    | 0,2189 „ + 100                        |
|                          |  |  |   |  |  |                    | 0,2356 „ + 25                         |
|                          |  |  |   |  |  |                    | BONTSCHEW 0,14284 „ - 250             |
|                          |  |  |   |  |  |                    | 0,18931 „ - 100                       |
|                          |  |  |   |  |  |                    | 0,20890 „ + 0                         |
| 0,22261 „ + 100          |  |  |   |  |  |                    |                                       |
| 0,23818 „ + 250          |  |  |   |  |  |                    |                                       |
| Phosphor (gelb)          | $\left\{ \begin{array}{l} 4,014 \\ 3,560 \\ 10,650 \\ 6,358 \\ 10,295 \end{array} \right.$ | $\left\{ \begin{array}{l} 2,962 \\ 2,580 \\ 7,836 \\ 4,635 \\ 7,433 \end{array} \right.$ | $\left\{ \begin{array}{l} -187 \\ -187 \\ -187 \\ -187 \\ -187 \end{array} \right.$ | $\left\{ \begin{array}{l} +18 \\ +18 \\ +18 \\ +18 \\ +18 \end{array} \right.$ | $\left\{ \begin{array}{l} 0,180_0 \\ 0,176_0 \\ 0,179_3 \\ 0,177_0 \\ 0,176_1 \end{array} \right.$ | 0,178 <sub>0</sub> | gelb fest:                            |
|                          |  |  |   |  |  |                    | REGNAULT . 0,16994 „ - 34             |
|                          |  |  |   |  |  |                    | PERSON . . 0,1788 „ - 7               |
|                          |  |  |   |  |  |                    | REGNAULT . 0,1887 „ + 15              |
|                          |  |  |   |  |  |                    | KOPP . . . 0,202 „ + 25               |
|                          |  |  |   |  |  |                    | DESAINS . . 0,200 „ + 38              |
| gelb flüssig:            |  |  |   |  |  |                    |                                       |
| PERSON . . 0,2045 „ + 74 |  |  |   |  |  |                    |                                       |
| Kalium                   | $\left\{ \begin{array}{l} 6,961 \\ 6,080 \end{array} \right.$                              | $\left\{ \begin{array}{l} 4,836 \\ 4,224 \end{array} \right.$                            | $\left\{ \begin{array}{l} -187 \\ -187 \end{array} \right.$                         | $\left\{ \begin{array}{l} +18 \\ +18 \end{array} \right.$                      | $\left\{ \begin{array}{l} 0,169_3 \\ 0,169_0 \end{array} \right.$                                  | 0,169 <sub>7</sub> | REGNAULT (unsicher) 0,16551 „ - 3     |
|                          |  |  |   |  |  |                    | SCHÜZ . . 0,1662 „ - 26               |
|                          |  |  |   |  |  |                    | BERNINI <sup>1)</sup> . 0,1876 „ - 11 |
|                          |  |  |   |  |  |                    | 0,19215 „ + 40                        |
|                          |  |  |   |  |  |                    | 0,2170 „ + 38                         |
| 0,2245 „ + 128           |  |  |   |  |  |                    |                                       |
| Bromkalium               | 10,000   | 4,191  | -188  | +18  | 0,101 <sub>7</sub>   | 0,102 <sub>7</sub> | REGNAULT (gs) . . . 0,1132 „ + 57     |
| K Br (krist.)            | 11,084   | 4,714  | -188  | +20  | 0,102 <sub>7</sub>   |                    |                                       |
|                          | 10,000   | 4,200  | -187  | +18  | 0,102 <sub>4</sub>   |                    |                                       |
|                          | 10,000   | 4,177  | -187  | +18  | 0,101 <sub>0</sub>   |                    |                                       |

Die übrigen Substanzen waren die gleichen, wie sie in voriger Arbeit untersucht waren.

Die Resultate von den neu untersuchten Substanzen sind in Tab. II zusammengestellt. In ihrer letzten Kolumne stehen die Resultate früherer Beobachter nebst den mittleren Temperaturen, für welche sie gelten. Soweit sie ohne Literaturangabe sind, sind sie den Tabellen von LANDOLT und BÖRNSTEIN (3. Aufl. 1905) entnommen.

<sup>1)</sup> A. BERNINI, Phys. ZS. 7, 168—172, 1906.

Das Aluminium war in Blöckchen von MERCK bezogen. Der gefundene Wert stimmt mit den (extrapolierten) Werten von BONTSCHEW gut überein; der Wert von TILDEN für den gleichen Temperaturbereich ist ein wenig kleiner.

Der Phosphor war Phosphorus lucidus in bacc. von MERCK. Unter Wasser abgewogen, wurde er vor dem Einbringen in die flüssige Luft rasch trocken abgetupft. In der flüssigen Luft zerfällt er teilweise zu einem groben Pulver. Ob die Differenz von etwa 0,015 zwischen meinem und dem aus Extrapolation der Resultate früherer Beobachter zu erwartenden Wert davon herrührt, daß dem eingebrachten Phosphor noch etwas Feuchtigkeit anhaftete oder etwa durch eine möglicherweise vorhandene molekulare Umwandlung hervorgebracht ist, ließe sich erst durch Versuche zwischen  $-78$  und  $-185^{\circ}$  entscheiden.

Das Kalium (ebenfalls von MERCK, in Kugeln) wurde ebenso behandelt wie das Natrium, also unter Petroläther in blanke Würfel geschnitten und gewogen und vor dem Einbringen in die flüssige Luft schnell abgetrocknet. Mit den Zahlen von BERNINI gibt mein Wert eine anschauliche Kurve für die Temperaturabhängigkeit der spezifischen Wärme, aus welcher allerdings die Werte von REGNAULT und SCHÜZ herausfallen. Auch BERNINI<sup>1)</sup> weist schon auf die mangelnde Übereinstimmung seiner Resultate mit denen dieser Forscher hin, die „sich durch die Verschiedenheit der Temperaturbereiche nicht vollkommen erklären läßt“. Auch hier würden erst Untersuchungen für noch tiefere Temperaturen Aufklärung schaffen.

#### Nachtrag bei der Korrektur.

Über die spezifische Wärme von Na, Mg und Ca sind noch Untersuchungen von THUM<sup>2)</sup> und BRUNNER<sup>3)</sup> erschienen. THUM fand für Natrium fast mit den Angaben von BERNINI übereinstimmende Werte; sein (extrapolierter) Wert bei  $-85^{\circ}$  ist 2,644, also etwas höher, als der von mir für die gleiche mittlere Temperatur gefundene. BRUNNER erhielt folgende (unter  $-80^{\circ}$  extrapolierten) Daten:

<sup>1)</sup> A. BERNINI, l. c., S. 171.

<sup>2)</sup> A. THUM, Inaug.-Diss. Zürich 1906.

<sup>3)</sup> R. BRUNNER, Inaug.-Diss. Zürich 1906.

Magnesium:  $c_{-100} = 0,2101$ ;  $c_{\pm 0} = 0,2386$ ;  $c_{+100} = 0,2557$ .

Calcium:  $c_{-100} = 0,1416$ ;  $c_{\pm 0} = 0,1523$ ;  $c_{+100} = 0,1599$ .

Hiermit würde mein Wert für Magnesium in Übereinstimmung stehen. Die Zahlen für Calcium liegen bei BRUNNER höher als bei BERNINI; fast die gleiche Differenz besteht jedoch noch zwischen dem von mir gefundenen und dem entsprechenden Wert bei BRUNNER.

Aachen, Physik. Institut der Königl. Techn. Hochschule.

**Über das Lichtbrechungsvermögen des Heliums;  
von Karl Scheel und Rudolf Schmidt.**

(Mitteilung aus der Physikalisch-Technischen Reichsanstalt.)

(Vorgetragen in der Sitzung vom 7. Februar 1908.)

(Vgl. oben S. 85.)

Über das Lichtbrechungsvermögen des Heliums liegen Arbeiten von Lord RAYLEIGH<sup>1)</sup>, sowie von RAMSAY und TRAVERS<sup>2)</sup> vor. In beiden wurde der Brechungsexponent von Helium relativ zu dem von Luft und Wasserstoff nach einer Interferenzmethode bestimmt, welche auf dem Vergleich der Lichtgeschwindigkeiten in gleichen Längen zweier Gase beruht.

Die gefundenen Verhältniszahlen von  $n - 1$  für Helium gegen Luft sind

|                                |        |
|--------------------------------|--------|
| nach Lord RAYLEIGH . . . . .   | 0,146  |
| „ RAMSAY und TRAVERS . . . . . | 0,1238 |

Diese Werte beziehen sich nicht auf eine bestimmte Wellenlänge, sondern gelten für weißes Licht (Petroleumlampe). Für den absoluten Brechungsexponenten des Heliums ergibt sich hieraus, unter Zugrundelegung des Brechungsexponenten der Luft für die Natriumlinie  $n_D = 1,000\ 292\ 8$ :

|                                |                     |
|--------------------------------|---------------------|
| nach Lord RAYLEIGH . . . . .   | $n = 1,000\ 042\ 7$ |
| „ RAMSAY und TRAVERS . . . . . | $n = 1,000\ 036\ 2$ |

Beide Werte weichen erheblich voneinander ab. Über die Reinheit des benutzten Heliums gibt Lord RAYLEIGH nichts an. Die Dichte des von RAMSAY und TRAVERS untersuchten Gases war 1,98, falls man annehmen kann, daß die Bestimmung des Brechungsexponenten mit der von ihnen dargestellten reinsten Fraktion vorgenommen wurde. Dagegen scheint das von Lord RAYLEIGH benutzte Helium noch stärker verunreinigt gewesen zu sein, eine Annahme, die um so wahrscheinlicher ist, als seine

<sup>1)</sup> Proc. Roy. Soc. 59, 201—206, 1896.

<sup>2)</sup> Ebenda 67, 331, 1900.

Beobachtungen in die Zeit fielen, in welcher die Eigenschaften des Heliums erst wenig bekannt waren.

Da in der Reichsanstalt zu anderen Zwecken eine größere Menge Helium dargestellt und außerdem eine bequeme Methode zur Bestimmung von Brechungsexponenten von Gasen ausgebildet war, so schien es erwünscht, eine Neubestimmung des Brechungsexponenten von Helium vorzunehmen.

Das Helium wurde aus Monazitsand gewonnen und in bekannter Weise durch Überleiten über Bleichromat, Kupfer und Kupferoxyd gereinigt. Die letzten Spuren fremder Gase, auch das aus dem Monazitsand mitentwickelte Argon (etwa 0,5 Proz.) wurden durch Überleiten über mit flüssiger Luft gekühlte Kokosnußkohle und Platinschwamm vollständig entfernt. Eine sorgfältige spektroskopische Untersuchung vor und nach den Versuchen ließ keinerlei Verunreinigungen erkennen.

Über die Methode der Bestimmung des Brechungsexponenten sei auf die frühere Veröffentlichung des einen von uns<sup>1)</sup> verwiesen. Sie gründet sich darauf, daß zwischen zwei einander nahezu parallelen ebenen Flächen, die durch einen Zwischenraum von der Dicke  $h$  getrennt sind, FIZEAUSche Interferenzen erzeugt werden und die Anzahl  $k$  der Interferenzstreifenintervalle gemessen wird, welche durch eine feste Marke hindurchgehen, wenn der mit dem zu untersuchenden Gase erfüllte Zwischenraum von der Dicke  $h$  evakuiert wird. Bezeichnet  $\lambda$  die Wellenlänge im leeren Raum, so ergibt sich der Brechungsexponent  $n_{t,p}$  des unter dem Druck  $p$  stehenden Gases von der Temperatur  $t$  aus der Gleichung

$$k = \frac{2h}{\lambda} (n_{t,p} - 1),$$

woraus sich, mit Hilfe des Gesetzes vom konstanten Refraktionsvermögen  $\frac{n-1}{d} = \text{const.}$ ,  $n_{0,760}$ , der Brechungsexponent des Gases unter 760 mm Druck bei 0°, berechnet.  $h$  ist bei den vorliegenden Versuchen durch die Höhe eines Quarzringes gegeben und bei der Versuchstemperatur (etwa 14°) gleich 9,998 mm.

Die folgenden Tabellen enthalten die Beobachtungsergebnisse,

<sup>1)</sup> KARL SCHEEL, Verh. d. D. Phys. Ges. 9, 24—36, 1907.

welche lediglich wegen der Ausdehnung des Quarzringes zufolge geringer Abweichungen von der Mitteltemperatur  $14^\circ$  verbessert sind.

## 1. Reihe.

| $\lambda/2$<br>$\mu$ | Lesung |   |        |               | $k$   | $k \frac{\lambda}{2}$ | $n_{0,760} - 1$ |
|----------------------|--------|---|--------|---------------|-------|-----------------------|-----------------|
|                      | Vakuum | $t = 14,10^\circ$<br>$p = 769,6 \text{ mm}$ | Vakuum | Vakuum Mittel |       |                       |                 |
| 0,3338               | 1,816  | 0,814                                       | 1,815  | 1,815         | 1,001 | 0,334                 | 0,000 034 7     |
| 0,2938               | 1,197  | 0,144                                       | 1,297  | 1,247         | 1,103 | 0,324                 | 0,000 033 7     |
| 0,2895               | 1,787  | 0,691                                       | 1,827  | 1,807         | 1,116 | 0,323                 | 0,000 033 6     |
| 0,2885               | 1,528  | 0,431                                       | 1,602  | 1,565         | 1,134 | 0,327                 | 0,000 034 0     |
| 0,2508               | 1,698  | 0,458                                       | 1,773  | 1,735         | 1,277 | 0,320                 | 0,000 033 2     |
| 0,2179               | 2,101  | 0,639                                       | 2,155  | 2,128         | 1,489 | 0,324                 | 0,000 033 7     |

## 2. Reihe.

| $\lambda/2$<br>$\mu$ | Lesung |   |        |               | $k$   | $k \frac{\lambda}{2}$ | $n_{0,760} - 1$ |
|----------------------|--------|---|--------|---------------|-------|-----------------------|-----------------|
|                      | Vakuum | $t = 13,89^\circ$<br>$p = 778,8 \text{ mm}$ | Vakuum | Vakuum Mittel |       |                       |                 |
| 0,3338               | 1,828  | 0,816                                       | 1,817  | 1,822         | 1,006 | 0,336                 | 0,000 034 5     |
| 0,2938               | 1,227  | 0,096                                       | 1,239  | 1,233         | 1,137 | 0,334                 | 0,000 034 3     |
| 0,2895               | 1,750  | 0,632                                       | 1,800  | 1,775         | 1,143 | 0,331                 | 0,000 034 0     |
| 0,2885               | 1,570  | 0,426                                       | 1,566  | 1,568         | 1,142 | 0,329                 | 0,000 033 7     |
| 0,2508               | 1,739  | 0,426                                       | 1,753  | 1,746         | 1,320 | 0,331                 | 0,000 034 0     |
| 0,2179               | 2,109  | 0,551                                       | 2,104  | 2,106         | 1,555 | 0,339                 | 0,000 034 8     |

| $\lambda/2$<br>$\mu$ | $n_{0,760} - 1$<br>Mittel | $B - M$<br>in $10^{-7}$ | $\lambda/2$<br>$\mu$ | $n_{0,760} - 1$<br>Mittel | $B - M$<br>in $10^{-7}$ |
|----------------------|---------------------------|-------------------------|----------------------|---------------------------|-------------------------|
| 0,3338               | 0,000 034 6               | + 6                     | 0,2885               | 0,000 033 8               | - 2                     |
| 0,2938               | 0,000 034 0               | 0                       | 0,2508               | 0,000 033 6               | - 4                     |
| 0,2895               | 0,000 033 8               | - 2                     | 0,2179               | 0,000 034 2               | + 2                     |

Die letzte Tabelle gibt die Mittelwerte beider Reihen wieder. Es ist versucht worden, diese Werte nach einer Dispersionsformel von der Form

$$n - 1 = a + b \cdot \frac{1}{\lambda^2}$$

darzustellen, doch ergab eine Auswertung der Beobachtungen nach

der Methode der kleinsten Quadrate für  $b$  nahezu den Wert 0. Die Dispersion des Heliums scheint also sehr klein zu sein, und innerhalb der Beobachtungsfehler vorliegender Untersuchungen zu liegen. Man wird also den Mittelwert obiger Zahlen

$$n = 1,000\ 034\ 0$$

als den für das ganze sichtbare Spektrum gültigen Wert des Brechungsexponenten des Heliums anzunehmen haben. Seinen wahrscheinlichen Fehler kann man auf Grund der inneren Übereinstimmung der Messungen auf  $\pm 2$  Einheiten der letzten angegebenen Ziffer ansetzen.

Dieser Wert des Brechungsexponenten ist noch erheblich kleiner als derjenige von RAMSAY und TRAVERS. Diese Unstimmigkeit kann man wohl nicht auf Verunreinigung des von RAMSAY und TRAVERS benutzten Gases zurückführen, wiewohl beispielsweise weniger als  $\frac{1}{2}$  Proz. Kohlenwasserstoffe bereits zu ihrer Erklärung ausreichen würde. Jedenfalls aber hat, falls man überhaupt Verunreinigungen zulassen will, der kleinste Wert des Brechungsexponenten für Helium immer die größte Wahrscheinlichkeit, weil Helium von allen Gasen den bei weitem kleinsten Brechungsexponenten besitzt.

Es mag aber auch darauf hingewiesen werden, daß die hier benutzte absolute Methode zur Bestimmung des Brechungsexponenten einer relativen Methode, wie sie von Lord RAYLEIGH sowohl, als auch von RAMSAY und TRAVERS angewendet ist, sicher überlegen ist.

Charlottenburg, den 25. Januar 1908.

**Die Brechung und Dispersion des Heliums;  
von Kurt Herrmann.**

(Vorgelegt in der Sitzung vom 6. März 1908;  
eingegangen am 28. Februar 1908.)  
(Vgl. weiter unten.)

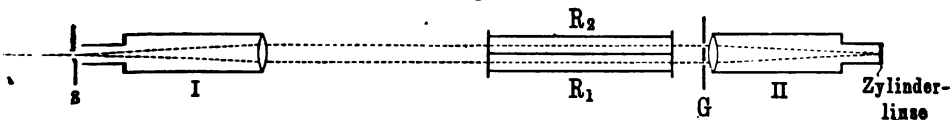
Zur Bestimmung der Dispersion des He wurde die Interferenzmethode gewählt, wie sie JAMIN, MASCART, LORENTZ, KETTELER, und neuerdings RAYLEIGH, RAMSAY und TRAVERS bei der Bestimmung des Brechungsvermögens von Gasen benutzt haben, weil sie eine größere Genauigkeit gewährleistet als die Methode von BORDA bzw. BIOT-ARAGO.

**I. Versuchsanordnung.**

Die Versuchsanordnung schließt sich im wesentlichen an die von TRAVERS in „the study of gases“ (S. 291—296) gegebenen an.

Von einer Lichtquelle  $L$  ausgehend (s. Fig. 1) trifft der Lichtstrahl auf einen engen Spalt  $s$ , der an Stelle des Okulars vom Fernrohr  $I$  steht. In seinem weiteren Verlauf geht die obere Hälfte des Lichtbündels durch Luft, die untere durch ein Röhrenpaar  $R_1 R_2$ .

Fig. 1.



Beide Teile treffen dann auf einen Schirm  $G$ , der zwei Öffnungen hat, deren jede 4 mm breit ist, und deren Mitten 10 mm voneinander entfernt sind. Die hervorgebrachten Frangen beobachtet man mittels des Fernrohres  $II$ , dessen Okular eine Zylinderlinse von etwa 4 mm Brennweite bildet.

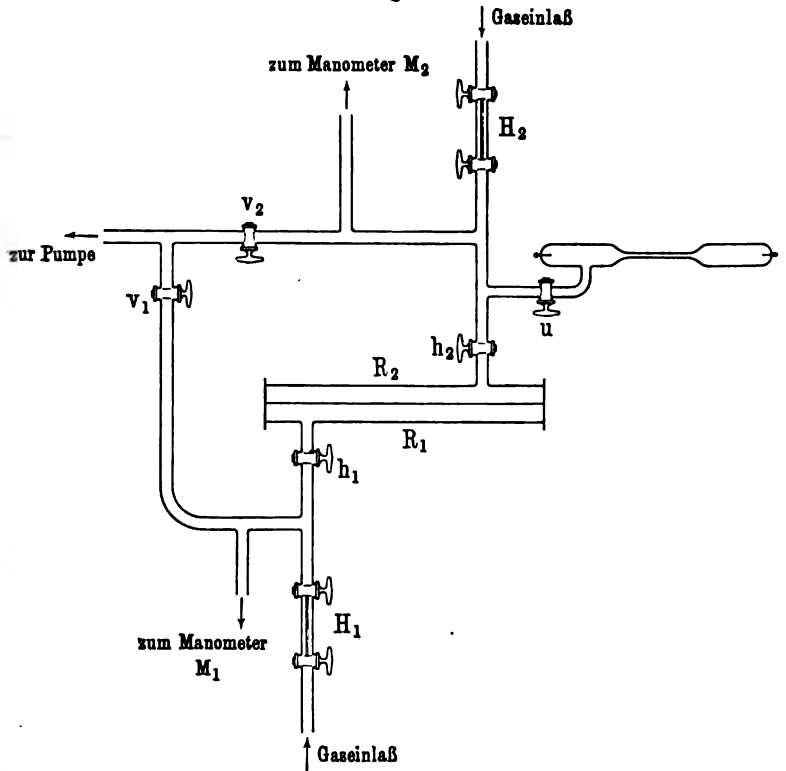
Das Röhrenpaar war 300,33 mm lang und mittels Marineleim aneinandergekittet. Seine Enden waren durch planparallele Glasplatten, die aus einem Stück geschnitten waren, geschlossen. Diese Platten waren senkrecht zur Achse der Röhren ebenfalls



mit Marineleim angekittet. Zum Schutz gegen äußere Temperaturschwankungen und Beförderung des Temperatenausgleichs wurden die Röhren mit dünnem Kupferblech umwickelt.

Jede von ihnen hatte seitliche Ansätze, welche die Verbindung mit den Gaszufluß vermittelnden Teilen des Apparates her-

Fig. 2.



stellten (s. Fig. 2). Die Verbindung der Röhren  $R_1$ ,  $R_2$  mit den Gaspipetten war in geeigneter Weise mit Trockenröhren und Gold-Silberschaumröhren versehen. Bemerkenswert ist, daß vor jeder Röhre ein Kapillarahnnpaar  $H_1$  bzw.  $H_2$  eingeschaltet wurde. Diese Hahnpaare schlossen ein Volumen von  $0,06 \text{ cm}^3$  ein und waren dazu bestimmt, den Gaszufluß beliebig zu regeln und kleine Druckänderungen vorzunehmen. Mit jeder Röhre verbunden war ein Manometer  $M_1$  und  $M_2$ . Beide Seiten der Versuchsanordnung

konnten durch Hähne  $v_1$  und  $v_2$  gegeneinander abgeschlossen werden, derart, daß Teil I und II mit verschiedenen Gasen angefüllt werden konnten und unabhängig voneinander sich evakuieren ließen.

## II. Lichtquellen.

Als Lichtquelle wurde die Quecksilberbogenlampe benutzt. Die dabei in Frage kommenden monochromen Lichtarten wurden mittels geeigneter Lichtfilter entnommen. Vor ihrer Verwendung wurde spektralanalytisch festgestellt, daß außer der verwendeten Quecksilberlinie alles merklich absorbiert war.

## III. Ausführung und Berechnung der Versuche.

Der Apparat wurde scharf evakuiert, mit trockener Luft gespült und wieder evakuiert. Dann wurde zur Untersuchung geschritten, und zwar erstreckte sich diese in zwei Richtungen.

Einmal wurden die Verhältnisse der Brechungsvermögen der Gase bestimmt und zwar H gegen Luft und He gegen H.

Sodann erfolgte eine direkte Bestimmung der Brechungsvermögen gegen das Vakuum. In letzterem Falle trat nur in eine Röhre Gas ein, die andere blieb ständig evakuiert.

Die Versuche nach dem ersten Verfahren ließen sich nach folgender Formel berechnen:

$$\frac{n_0 - 1}{n'_0 - 1} = \frac{(p'_L - p_L)(1 + \alpha t)}{(p'_G - p_G)(1 + \alpha' t')}$$

Darin bedeutet

$n_0 - 1$  das Brechungsvermögen des Gases  $G$ ;

$n'_0 - 1$  das Brechungsvermögen des Gases  $L$ ,

$p'_L - p_L$  die erhaltene Differenz der Druckänderungen des Gases  $L$ ,

$p'_G - p_G$  die diese Differenz kompensierende Differenz der Druckänderungen des Gases  $G$ ,  $(1 + \alpha' t')$  und  $(1 + \alpha t)$  die entsprechenden Temperaturkorrekturen.

Die zur Berechnung der direkten Bestimmung des Brechungsvermögens benutzte Formel war

$$n_0 - 1 = \frac{\lambda_0 \cdot 760 \cdot f (1 + \alpha t)}{L p}$$

Darin bedeutet  $n_0 - 1$  das absolute Brechungsvermögen des betreffenden Gases,  $\lambda_0$  die Wellenlänge des benutzten Lichtes für das Vakuum,  $L$  die Länge der Röhren,  $p$  die Druckänderung gegen das Vakuum,  $f$  die ihr entsprechende Frangenzahl,  $(1 + \alpha t)$  die Temperaturkorrektion.

#### IV. Resultate.

##### Brechungskoeffizienten der Luft.

| Versuchsreihe | $\lambda = \begin{matrix} 0,579 \\ 0,576 \end{matrix} \mu$ | $\lambda = 0,5461 \mu$ | $\lambda = 0,4359 \mu$ |
|---------------|--|------------------------|------------------------|
| I . . . . .   | 1,000 294 20   | 1,000 294 84           | 1,000 298 08           |
| II . . . . .  | 1,000 294 21   | 1,000 294 83           | 1,000 298 15           |
| Mittel        | 1,000 294 20   | 1,000 294 83           | 1,000 298 12           |

##### Brechungskoeffizienten von H.

| Versuchsreihe | $\lambda = \begin{matrix} 0,579 \\ 0,576 \end{matrix} \mu$ | $\lambda = 0,5461 \mu$ | $\lambda = 0,4359 \mu$ |
|---------------|--|------------------------|------------------------|
| I . . . . .   | 1,000 138 95   | 1,000 138 99           | 1,000 140 73           |
| II . . . . .  | 1,000 138 94   | 1,000 139 04           | 1,000 140 69           |
| Mittel        | 1,000 138 94   | 1,000 139 02           | 1,000 140 71           |

Die Luft war dem Institutsgarten entnommen und durch Überleiten über Natronkalk von Kohlensäure befreit. Der Wasserstoff wurde elektrolytisch dargestellt. Aus den Ergebnissen dieser vorstehenden Tabellen folgt durch graphische Extrapolation als Brechungskoeffizient der *D*-Linie

für Luft: 1,000 294 0,

für H: 1,000 138 4.

In den Versuchen von Herrn Professor SCHEEL<sup>1)</sup> über Luft und Wasserstoff finden sich Angaben auch für die von mir benutzten Wellenlängen.

Nachstehend ist die Dispersion von Luft und Wasserstoff nach den Beobachtungen von Herrn SCHEEL und mir zusammengestellt, wobei eine fast genaue Übereinstimmung sich zeigt.

<sup>1)</sup> KARL SCHEEL, Bestimmung des Brechungsexponenten von Gasen bei Zimmertemperatur und der Temperatur der flüssigen Luft, Verh. d. D. Phys. Ges. 9, 27, 28, 32, 33, 1907.

■ Dispersion der Luft bei 0° und 760 mm, bezogen auf die *D*-Linie.

| Linie        | $\lambda$ in $\mu$ | $\Delta n \times 10^7$ |          |
|--------------|--------------------|------------------------|----------|
|              |                    | SHEEL                  | HERRMANN |
| Na . . . . . | 0,5984             | 0                      | 0        |
| Hg . . . . . | 0,579 }<br>0,576 } | + 2                    | + 2      |
|              | Hg . . . . .       | + 8                    | + 8      |
| Hg . . . . . | 0,4359             | + 39                   | + 41     |

Der absolute Wert des Brechungskoeffizienten ist höher als der von SCHEEL gefundene. Er steht für die *D*-Linie mit 1,0002940 zwischen dem von SCHEEL, 1,0002916, und dem von KETTLER<sup>1)</sup>, 1,0002947.

Dispersion von H bei 0° und 760 mm, bezogen auf die *D*-Linie.

| Linie        | $\lambda$ in $\mu$ | $\Delta n \times 10^7$ |          |
|--------------|--------------------|------------------------|----------|
|              |                    | SHEEL                  | HERRMANN |
| Na . . . . . | 0,5984             | 0                      | 0        |
| Hg . . . . . | 0,579 }<br>0,576 } | + 5                    | + 5      |
|              | Hg . . . . .       | + 5                    | + 6      |
| Hg . . . . . | 0,4359             | + 22                   | + 23     |

Hier ist auch der Absolutwert der Brechungskoeffizienten dem von SCHEEL gefundenen fast gleich.

Dispersion von Helium.

a) Bestimmung gegen das Vakuum.

| Versuchsreihe | $\lambda = \begin{matrix} 0,579 \\ 0,576 \end{matrix} \mu$ | $\lambda = 0,5461 \mu$ | $\lambda = 0,4359 \mu$ |
|---------------|--|------------------------|------------------------|
| I . . . . .   | 1,000 034 379  | 1,000 034 533          | 1,000 035 399          |
| II . . . . .  | 1,000 034 394  | 1,000 034 523          | 1,000 035 341          |
| Mittel        | 1,000 034 387  | 1,000 034 528          | 1,000 035 335          |

<sup>1)</sup> KETTLER, Pogg. Ann. 24, 390—406, 1865.

b) Bestimmung gegen H.

| Versuchsreihe | $\lambda = \begin{matrix} 0,579 \\ 0,576 \end{matrix} \mu$ | $\lambda = 0,5461 \mu$ | $\lambda = 0,4359 \mu$ |
|---------------|--|------------------------|------------------------|
| I . . . . .   | 1,000 034 388  | 1,000 034 526          | 1,000 035 321          |
| II . . . . .  | 1,000 034 373  | 1,000 034 518          | 1,000 035 340          |
| Mittel        | 1,000 034 380  | 1,000 034 522          | 1,000 035 330          |

Gesamtmittel aus a) und b):

| $\lambda$ in $\mu$                              | $n_0$         |
|---|---------------|
| $\begin{matrix} 0,579 \\ 0,576 \end{matrix} \}$ | 1,000 034 384 |
| 0,5461  | 1,000 034 525 |
| 0,4359  | 1,000 035 335 |

Halle a. S., Physikalisches Institut, 26. Februar 1908.

**Anodenstrahlen;**  
**von E. Gehrcke und O. Reichenheim.**

Fünfte Mitteilung.

Mitteilung aus der Physikalisch-Technischen Reichsanstalt.

(Vorgetragen in der Sitzung vom 7. Februar 1906.)

(Vgl. oben S. 85.)

§ 24<sup>1)</sup>. Unsere bisherigen Untersuchungen hatten u. a. ergeben, daß intensive Anodenstrahlen an Salzanoden entstehen, die als hauptsächlichsten Bestandteil Halogenverbindungen einzelner Metalle enthalten. In erster Linie erwiesen sich die Jodide als wirksam. Wir hatten geglaubt, diese Tatsache auf die geringe Schmelz- und Verdampfungstemperatur der Jodide, z. B. von Lithium- und Natriumjodid, zurückführen zu können. Wie sich jetzt aber herausgestellt hat, ist mit dieser Erklärung die Sache keineswegs erschöpft, sondern es spielen hier noch andere Vorgänge eine Rolle, deren Studium den Gegenstand vorliegender Mitteilung bildet.

Wir beobachteten gelegentlich, daß in einer mehrere wirksame Salzstangen enthaltenden Röhre auch von einer Anode, auf der sich gar kein Salz befand, intensive Strahlen ausgingen. Diese Anode bestand einfach aus einem Kupferdraht von 2 mm Dicke, der von einer oben offenen Glasröhre von 6 mm lichter Weite umgeben war und innerhalb der Röhre etwa 1,5 cm vor der Mündung endigte. Dem Augenschein nach rührte dieser Anodenstrahl nicht her von Spuren von Salz, welches von den benachbarten Salzstangen in der Röhre nach dem Kupferdraht hindestilliert war. Denn einmal setzte der Strahl nicht unmittelbar am Kupferdraht an, er hatte vielmehr seinen Ursprung in der Achse der ihn umgebenden Glasröhre, ferner aber unterschied er sich wesentlich von den sonst erzielten Anodenstrahlen durch seine auffällige

<sup>1)</sup> Die Nummern der Paragraphen schließen sich an unsere früheren Mitteilungen über Anodenstrahlen an; vgl. Verh. D. Phys. Ges. 8, 559—566, 1906; 9, 76—83, 200—204, 373—379, 1907.

Farbe, die weder aus dem Lithium-, noch dem Natriumspektrum bestand, sondern der Hauptsache nach Wasserstofflinien enthielt.

Bei anderer Gelegenheit <sup>1)</sup> hatten wir gefunden, daß positive Strahlen im sogenannten „positiven Licht“ bei hohem Vakuum und großer Stromstärke entstehen, die man als „Striktionsanodenstrahlen“ bezeichnen kann. Wir konstruierten nunmehr, um die

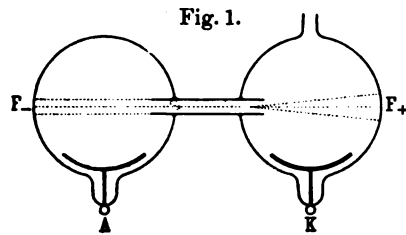


Fig. 1.

Bedingungen für das Zustandekommen derartiger Strahlen zu studieren, folgende Röhre (Fig. 1): *A* und *K* sind zwei Aluminiumbleche, die als Elektroden dienen und sich in Glaskugeln von 10 cm Durchmesser befinden. Beide Kugeln

sind durch eine Glasröhre von 8 cm Länge und 7 mm lichter Weite, wie Fig. 1 zeigt, miteinander verbunden; die in die Kugeln hineinragenden Enden derselben haben eine Länge von etwa 2 cm.

Als diese Röhre evakuiert und der Strom einer 30plattigen Influenzmaschine hindurchgeschickt wurde, fand sich, sowohl mit Luft, wie mit Wasserstofffüllung, daß außer dem an der Kathode entspringenden Kathodenstrahl noch ein „Striktionskathodenstrahl“ vorhanden war, der in der Verbindungsröhre beider Kugeln entsprang. Dies ist eine wohl bekannte Tatsache <sup>2)</sup>. War etwa *K* Kathode, *A* Anode, so erzeugte dieser Striktionskathodenstrahl bei *F*<sub>-</sub> einen grünen Phosphoreszenzpunkt auf der Glaswand. Von irgendwelchen positiven Strahlen dagegen fand sich nichts, so sehr auch das Vakuum variiert wurde. Kühlen eines Rohransatzes mit flüssiger Luft, welche die Kondensation von Quecksilber und sonstigen Dämpfen bewirkte, änderte daran auch nichts; positive Strahlen wurden nicht sichtbar <sup>3)</sup>.

Als darauf aber eine Spur Jod in Form eines kleinen Bröckchens von etwa 1 mm<sup>3</sup> in die Röhre gebracht und diese von neuem

<sup>1)</sup> E. GEHRCKE und O. REICHENHEIM, Verh. D. Phys. Ges. 9, 593 bis 597, 1907.

<sup>2)</sup> E. GOLDSTEIN, Wied. Ann. 12, 104 ff. und 249 ff., 1881.

<sup>3)</sup> Auch Herr R. REIGER hat positive Striktionsstrahlen nicht finden können. Vgl. Sitzungsber. d. Physikal. Medizin. Soc. in Erlangen 37, 1 bis 130, 1905.

evakuiert wurde, traten positive Striktionsstrahlen auf, und zwar am stärksten, als die Röhre mit Wasserstoff oder Leuchtgas gefüllt wurde: nunmehr entsprach dem grünen Fluoreszenzfleck  $F_-$  der Kathodenstrahlen ein gelber Fluoreszenzfleck  $F_+$  der Anodenstrahlen, welcher von einem spitzkegelförmigen, rosaroten Anodenstrahl erzeugt wurde. Das Spektrum des Anodenstrahles zeigte helle Wasserstofflinien; der durch den Anodenstrahl hervorgerufene Fluoreszenzfleck  $F_+$  zeigte die  $D$ -Linien.

Dieser Versuch macht deutlich, daß die Entstehung von Striktionsanodenstrahlen in Wasserstoff durch die Anwesenheit von etwas Joddampf in hohem Maße begünstigt wird.

Es mag noch bemerkt werden, daß ein mit der Hand genäherter Magnet den Striktionskathodenstrahl stark beeinflusste und den Fluoreszenzfleck  $F_-$  zur Seite bog, während ein direkter Einfluß des Magneten auf den Striktionsanodenstrahl und den Fluoreszenzfleck  $F_+$  nicht zu konstatieren war.

§ 25. Es wurde nunmehr untersucht, ob außer dem Jod auch andere Halogene imstande sind, die Erzeugung von Striktionsanodenstrahlen zu begünstigen. In der Tat ist dies der Fall. Wir konnten außer mit Jod noch mit Dämpfen von Brom, Bromwasserstoff, Chlorwasserstoff und Jodwasserstoff positive Striktionsstrahlen herstellen. Am besten gelangen uns diese indessen stets mit Hilfe von etwas Jod, wenn die Röhre mit Wasserstoff gefüllt worden war.

Ferner untersuchten wir, ob auch andere Gase als Wasserstoff imstande sind, mit Jod Striktionsanodenstrahlen zu ergeben. Wir untersuchten Stickstoff, Sauerstoff und Helium. In Stickstoff gelang es uns nicht, die Striktionsanodenstrahlen zu erzeugen, wohl aber in Sauerstoff und Helium. Der Sauerstoffstriktionsstrahl hatte eine graue Farbe, der Heliumstrahl eine rötlich-grünliche Farbe, die an verschiedenen Stellen des Strahles ziemlich stark zwischen mehr grünlichen und mehr rötlichen Tönen variierte. Es hat den Anschein, als wenn die Farbe des Anodenstrahles bzw. die Intensität der verschiedenen, von ihm emittierten Spektrallinien eine Funktion der Geschwindigkeit der bewegten Teilchen ist; beim Helium scheint die grüne Linie hauptsächlich den langsamen, die gelben und roten Linien hauptsächlich den schnellen Strahlen eigen zu sein. Reines Helium und



reiner Sauerstoff — ohne Jodzusatz — zeigten keine Striktionsanodenstrahlen.

Die Regulierung des Dampfdruckes des Jods bei diesen Versuchen geschah dadurch, daß ein mit der Versuchsröhre Fig. 1 kommunizierender Rohransatz, welcher Jod enthielt, von außen mit fester Kohlensäure oder flüssiger Luft gekühlt wurde. Diese Methode erwies sich als praktisch, da der zur Erzielung gut ausgebildeter Anodenstrahlen nötige Partialdruck des Jods wesentlich geringer ist als der Dampfdruck, den das Jod bei Zimmertemperatur hat. Man konnte so, wenn die Röhre Striktionsstrahlen im Zustande des Optimums zeigte, auch durch Abschmelzen von der Pumpe und dem genannten Jodreservoir Röhren erhalten, welche dauernd die beschriebenen positiven Striktionsstrahlen ergaben. Wenigstens zeigte eine so hergestellte Helium- und mehrere Wasserstoffröhren noch nach Tagen und Wochen die Erscheinungen in unverändertem Maßstabe; in Sauerstoff verschwanden die Striktionsstrahlen nach kurzer Zeit, augenscheinlich weil derselbe von den Elektroden absorbiert wurde.

Um zu untersuchen, ob die spezielle Form der Röhre auf die Entstehung von positiven Striktionsstrahlen von Einfluß ist, wurden verschiedene Röhren benutzt. Es zeigte sich, daß eine Verengung

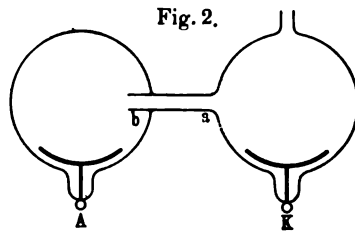


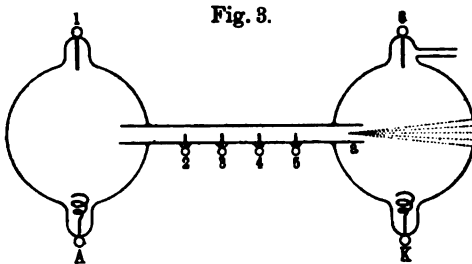
Fig. 2.

der beide Kugelröhren (Fig. 1) verbindenden Röhre von 8 auf 3 mm lichte Weite bei der angewandten Stromquelle (30 plattige Influenzmaschine) nur geringe Unterschiede der Erscheinungen ergab. Wohl aber konnte ein merklicher Einfluß des in die Kugeln hineinragenden Rohrendes konstatiert werden: war dasselbe zu kurz, so wurde die Entstehung des positiven Striktionsstrahles beeinträchtigt. Eine Röhre von der in Fig. 2 dargestellten Form machte dies besonders deutlich. Dieselbe unterscheidet sich von der in Fig. 1 wiedergegebenen dadurch, daß die Verbindungsröhre an die Kugel K keinen hineinragenden Fortsatz hat, sondern bei a direkt angeschmolzen ist. Der aus dieser Striktionsanode a austretende Anodenstrahl war sehr viel schwächer als der positive Striktionsstrahl, welchen man aus b erhält, d. h. wenn

man  $A$  zur Kathode,  $K$  zur Anode macht. — Auch ein Einfluß der Größe der Kugelräume, in die sich die Striktionsanodenstrahlen ergießen, konnte festgestellt werden. So zeigten Kugeln von 12 cm und 8 cm Durchmesser, wie wir sie meist anwandten, die Erscheinungen sehr schön, dagegen gelang es uns nicht, in Kugeln von 3,5 cm Durchmesser gut ausgebildete, positive Striktionsstrahlen zu leiten.

Die Natur der Gefäßwand scheint für die Ausbildung von Striktionsanodenstrahlen von nur geringem Einfluß zu sein. Wenigstens erhielten wir in einer nach Fig. 1 hergestellten Röhre, in der das beide Kugeln verbindende Rohr aus Quarz bestand, gleichfalls intensive positive Strahlen. Das als Striktionsanode dienende Ende der Quarzröhre fluoreszierte hierbei im hohen Vakuum mit hellblauer Farbe; im niederen Vakuum fluoreszierte die ganze Quarzröhre violett.

§ 26. In § 21 und 22 hatten wir an Anodenstrahlen, die von Lithium-, Natrium- und Strontiumanoden ausgingen, Werte des Anodenfalles von mehreren Tausend Volt gemessen. Es



fragte sich, ob dementsprechend auch bei den in § 24 und 25 beschriebenen Striktionsanodenstrahlen ein extrem hoher Wert des Potentialgradienten auftrat. Zur Untersuchung dieser Frage dienten Röhren von der in Fig. 3 dargestellten Gestalt; 1, 2, 3, 4, 5, 6 sind kleine Platinsonden, zwischen denen die Potentialdifferenz mittels BRAUNschen Elektrometers gemessen werden konnte.

Diese Messungen ergaben in der Tat, daß die Striktionsanode durch einen bedeutenden Potentialgradienten ausgezeichnet ist. Wenn z. B.  $K$  Kathode,  $A$  Anode der 30plattigen Influenzmaschine war, so daß ein Bündel heller Striktionsanodenstrahlen (in Fig. 3

von  $a$  nach rechts hin) entstand, während die Striktionskathodenstrahlen nach der entgegengesetzten Seite (in Fig. 3 nach links) sich bewegten, so betrug bei einer Gesamtpotentialdifferenz zwischen  $A$  und  $K$  von 3200 Volt die Potentialdifferenz zwischen den Sonden 6 und 5, d. h. der Striktionsanodenfall 1500 Volt. Von den verbleibenden 1700 Volt entfielen 770 Volt auf den Fall zwischen 6 und  $K$ , also den Kathodenfall, 400 Volt auf den Fall zwischen 1 und  $A$ , also den Anodenfall; der Gradient an den Stellen der Röhre außerhalb der Striktionsanode (z. B. zwischen 2 und 5) rechnete nur nach wenigen Volt pro Centimeter; ein besonders ausgezeichneter „Striktionskathodenfall“ war nicht nachweisbar. Dieser Befund ist im Einklang mit den Messungen von R. REIGER<sup>1)</sup> in Röhren, die kein Jod enthielten.

Es zeigt sich somit, daß in der Tat mit dem Auftreten der durch Joddampf erzeugten Striktionsanodenstrahlen in ähnlicher Weise wie auf dem der direkten Anodenstrahlen ein Gebiet hohen Potentialgefälles parallel geht; vermutlich gibt dieses Gebiet hohen Potentialgefälles die Ursache für die Entstehung der Anodenstrahlen ab. Der Genauigkeit obiger Zahlen kann aber nur ein geringer Wert beigelegt werden, wie aus § 28 ersichtlich werden wird.

§ 27. Der in § 26 angegebene hohe Wert des Anodenfalles von 400 Volt an einer gewöhnlichen Aluminiumanode in Wasserstoff mit etwas Jod lenkt die Aufmerksamkeit wieder auf die Vorgänge an der Anode selbst hin. In der Tat beobachtet man unter den hier gewählten Versuchsbedingungen äußerst auffällige Erscheinungen. Zunächst springt schon im niederen Vakuum, wenn noch gar keine strahlartigen Erscheinungen zu sehen sind, die abnorme Ausbildung des anodischen Glimmlichtes und dann im fortschreitenden Vakuum des anodischen Dunkelraumes ins Auge. Dieser anodische Dunkelraum erreicht hier weit größere Dicken, als diejenigen, welche der eine von uns<sup>2)</sup> früher in jodfreien Gasen beobachtet und beschrieben hat; wir haben gelegentlich Dicken des anodischen Dunkelraumes von mehreren Centimeter beobachtet. Aber außerdem erhält man sogar von einer

<sup>1)</sup> R. REIGER, l. c., S. 45, 48, 59.

<sup>2)</sup> E. GEHRCKE, Verh. D. Phys. Ges. 7, 65, 1905.

gewöhnlichen Aluminiumanode bei Anwesenheit von Joddampf direkte Anodenstrahlen. Wir fanden dies zuerst an der in Fig. 3 dargestellten Röhre und bemerkten einen deutlichen, wenn auch lichtschwachen Anodenstrahl von etwa 10 cm Länge, der von der Anode  $A$  ausging. An Röhren mit Aluminiumanoden von geringerer Oberfläche werden diese Strahlen sehr lichtstark; z. B. zeigte eine nach Fig. 4 konstruierte Röhre, die als Anode einen zu einer Spirale von 4 mm Durchmesser aufgewickelten, außen von einer Glasröhre umgebenen Aluminiumdraht enthielt, einen intensiven Anodenstrahl  $a_1$  von der Anode  $A_1$ , einen Striktionsanodenstrahl  $a_2$  von der Striktionsanode  $A_2$  und einen Striktionskathodenstrahl  $k$ ; ein direkter Kathodenstrahl war bei der angewandten, sehr großen Kathode  $K$  nicht sichtbar.

Bemerkenswert ist noch, daß im allgemeinen einer wirksamen Anode, sei dies nun eine Striktionsanode, eine Salzanode oder eine einfache Metallanode, ein glimmlichtartiges Lichtgebilde vorgelagert ist, das man mit einer sogenannten „positiven Schicht“ vergleichen kann. Die Anodenstrahlen durchbrechen die meist tellerartige Schicht,

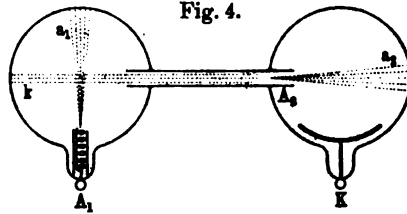


Fig. 4.

so daß diese bei geringem Vakuum, wo die Anodenstrahlen nur einen kurzen Weg zurücklegen, den Anblick eines Helms darbietet.

Ferner mag noch bei dieser Gelegenheit hervorgehoben werden, daß auch die Kathodenerscheinung in einer Röhre, welche neben einem Gas, wie etwa Wasserstoff, etwas Joddampf enthält, Besonders zeigt, insofern, als sie von einem doppelten negativen Glimmlicht umgeben ist: einem gelblichen, scharf begrenzten, augenscheinlich dem Jod angehörenden Glimmlicht und einem bläulichen, diffusen, das dem gewöhnlichen Wasserstoffglimmlicht gleicht und einen etwa doppelt so großen CROOKESSCHEN Dunkelraum hat, wie das genannte gelbliche Glimmlicht. Eine dieser Erscheinung sehr ähnliche hat bereits E. WARBURG <sup>1)</sup> in einem Gemisch aus Wasserstoff und Quecksilberdampf beobachtet; WARBURG fand ebenfalls ein doppeltes negatives Glimmlicht, doch

<sup>1)</sup> E. WARBURG, Wied. Ann. 31, 575—578, 1897.

war das dem Wasserstoff angehörige Glimmlicht das der Kathode nähere und wurde von dem dem Quecksilber angehörenden grünen Glimmlicht umgeben.

§ 28. Die mit 30 plattiger Influenzmaschine erzeugten Entladungen in den oben beschriebenen Röhren erwiesen sich als zeitlich diskontinuierlich<sup>1)</sup>. Die Diskontinuität konnte sowohl im Leuchten der beide Kugeln verbindenden Röhre als auch im Striktionsanodenstrahl selbst mit rotierendem Spiegel nachgewiesen werden. Auch in den Zuleitungen von der Influenzmaschine bestanden diese Pulsationen des Stromes, wie eine eingeschaltete Glimmlichtoszillographenröhre<sup>2)</sup> und ein Telephon anzeigten. Die Frequenz und Form der Pulsationen scheinen von der Stromstärke und der Konstruktion der Röhre abzuhängen. Unsere früheren an Salzanoden erzeugten Anodenstrahlen ließen derartige Pulsationen nur dann erkennen, wenn in der Strombahn ein schlechter Kontakt (z. B. in der Salzstange) lag. Wir wollen indes nicht bestreiten, daß ohne derartige Kontaktfehler unter Umständen eine Inkonstanz des Stromes auch bei Salzanoden eintreten kann, ebensowenig wollen wir behaupten, daß diese Inkonstanz des Stromes notwendig mit dem Auftreten von Striktionsanodenstrahlen verbunden ist. Jedoch wurden bei unseren bisherigen Versuchen stets die Striktionsanodenstrahlen von pulsierendem Gleichstrom erzeugt, während die direkten, von Salzanoden stammenden Strahlen in den meisten Fällen kontinuierlich waren oder wenigstens in nicht nachweisbarem Maße vom kontinuierlichen Verlauf abwichen.

§ 29. Im Zusammenhang hiermit steht wohl die Tatsache, daß erfahrungsgemäß alle Versuche an Anodenstrahlen besser gelingen, wenn man Gleichstrom, z. B. den von einer Influenzmaschine gelieferten Strom anwendet. Mit Wechselstrom oder mit Induktor pflegen die Versuche weniger gut zu gehen. So konnten wir z. B. in einer Röhre, die, mit 30 plattiger Influenzmaschine betrieben, intensive Striktionsanodenstrahlen zeigte, überhaupt keine Strahlen dieser Art bei Einschaltung einer kleinen Funkenstrecke oder bei Betrieb mit Induktor erhalten; die Intensität der durch In-

<sup>1)</sup> Vgl. auch R. REIGER, l. c.

<sup>2)</sup> E. GEHRCKE, Verh. D. Phys. Ges. 6, 176, 1904. ZS. f. Instrkde. 25, 33 und 278, 1906.

duktor erzeugten Entladungen war hierbei teils größer, teils kleiner als mit Influenzmaschine. Auf eine Erklärung dieser Erscheinungen wollen wir nicht näher eingehen. Es mag bei dieser Gelegenheit noch der Versuche gedacht werden, welche EBERT und WIEDEMANN<sup>1)</sup> und HIMSTEDT<sup>2)</sup> in verdünnten Gasen mit schnellen Schwingungen angestellt haben. Die genannten Forscher fanden, daß bei schnellen Schwingungen nur die an der Kathode auftretenden Erscheinungen, welche man auch mit langsamen Wechseln oder mit Gleichstrom erhält, vorhanden sind, während alles positive Licht fehlt. Diese Tatsache dürfte bei einer Erklärung der von uns oben beschriebenen Erscheinungen ebenfalls in Rechnung zu ziehen sein.

§ 30. Die aus allen unseren Versuchen mit Anodenstrahlen hervorgetretene Parallelität der Erscheinungen an der Anode mit denen an der Kathode erhält dadurch eine Ergänzung, daß die Anode in ähnlicher Weise wie die Kathode unter geeigneten Versuchsbedingungen zerstäubt. Eine solche anodische Zerstäubung beobachtete bereits HITTORF<sup>3)</sup>. Wir haben gleichfalls eine starke anodische Zerstäubung bei Zuhilfenahme einer Hochspannungsbatterie als Stromquelle erhalten. In einer hochevakuierten Röhre befand sich als Anode ein kleiner, nahezu vollständig von Glas umgebener Kohlestab. Beim Stromdurchgang erhitzte sich das Glas, so daß ein Teil des Stromes direkt von der Oberfläche des den Kohlestab umgebenden Glasrohres in das Gas übertrat. Hierbei gingen scharfe, sehr helle, gelbgefärbte Anodenstrahlen von der Anode aus, die intensiv mit *D*-Licht leuchteten. Wo die Strahlen die Wand des Entladungsgefäßes trafen, setzte sich nach kurzer Zeit ein metallisch glänzender Spiegel ab, der im durchfallenden Licht (in dünner Schicht) violett gefärbt erschien. Beim Einlassen von nichtgetrockneter Luft in die von der Stromquelle abgenommene Röhre verschwand der auf der Glaswand haftende Metallspiegel augenblicklich; er hatte also offenkundig aus metallischem Natrium bestanden.

<sup>1)</sup> H. EBERT und E. WIEDEMANN, Wied. Ann. 50, 1, 221, 1893.

<sup>2)</sup> F. HIMSTEDT, Wied. Ann. 52, 473, 1894.

<sup>3)</sup> W. HITTORF, Pogg. Ann. 136, 210, 1869; vgl. auch F. WÄCHTER, Wied. Ann. 17, 903, 1862.

Charlottenburg, Physikalisch-Technische Reichsanstalt.

***Das Reflexionsvermögen des Wassers<sup>1)</sup>;***  
***von H. Rubens und Erich Ladenburg.***

(Vorgetragen in der Sitzung vom 21. Februar 1908.)

(Vgl. oben S. 115.)

Die dicht hinter dem roten Ende des sichtbaren Spektrums beginnende starke Absorption des Wassers erschwert die Untersuchung der Dispersion dieses Körpers in Gebieten großer Wellenlänge. Bei der Feststellung des Reflexionsvermögens des Wassers ist man dagegen von dieser Schwierigkeit frei und dennoch in der Lage, die Stellen anomaler Dispersion zu finden. Wir haben deshalb das Reflexionsvermögen des Wassers einer genauen Prüfung unterzogen.

Zunächst haben wir versucht, Reststrahlen von Wasser zu erhalten, indem wir die Strahlung eines Auerbrenners wiederholt zwischen einer Wasseroberfläche und einem Silberspiegel hin und her reflektieren ließen. Wir erhielten auf diese Weise eine Reststrahlung, welche bedeutend stärker von Platten aus Quarz, Flußspat und Steinsalz absorbiert wurde als die ursprüngliche Strahlung. Und zwar war die Absorption stärker nach viermaliger als nach dreimaliger Reflexion an Wasserflächen. Aber vollkommen wurden die Strahlen auch nach vierfacher Reflexion nicht absorbiert.

Da wir aus diesen Versuchen keine definitiven Schlüsse über das Vorhandensein und die Lage der Gebiete anomaler Reflexion ziehen konnten, haben wir das Reflexionsvermögen des Wassers einer systematischen Untersuchung im Spektralgebiet von  $1\ \mu$  bis  $21\ \mu$  unterworfen. Das Reflexionsvermögen der Wasseroberfläche wurde dabei mit dem eines vorderseitig versilberten Glasspiegels verglichen. In den verschiedenen Spektralgebieten wurden entsprechend ihren Durchlässigkeiten Prismen aus Fluorit, Steinsalz und Sylvin verwendet. — Wir erhielten an vielen Stellen anomale Reflexion; so beträgt bei nahezu senkrechter Inzidenz das Reflexionsvermögen bei  $19,5\ \mu$  etwa 8 Proz. Die drei Stellen stärkster Reflexion bei den Wellenlängen  $3,2$ ,  $6,3$  und  $19,5\ \mu$

---

<sup>1)</sup> Ausführlicher Bericht sh. Berl. Ber. 20. Februar 1908.

fallen sehr angenähert mit den Stellen stärkster Absorption in Wasser und Wasserdampf zusammen, doch sind sie um einige Zehntel  $\mu$  nach längeren Wellen gegen die letzteren verschoben; dieses ist zu erwarten, da der Brechungsexponent auf der kurzwelligen Seite des Absorptionsstreifens kleiner ist als auf der langwelligen.

Außerdem haben wir noch das Reflexionsvermögen des Wassers für Reststrahlen von Flußspat und Steinsalz gemessen und entsprechend der starken Absorption und besonders der großen Wellenlänge höhere Werte für das Reflexionsvermögen (7 Proz. bzw. 10,6 Proz.) erhalten, als im Gebiet kurzer Wellen.

Da die Dielektrizitätskonstante des Wassers so sehr viel größer ist, als das Quadrat des optischen Brechungsexponenten, und da ferner auch für die kürzeren HERTZschen Wellen von 4 mm Länge diese hohe Dielektrizitätskonstante festgestellt worden ist, so muß das Wasser zwischen dem sichtbaren Spektrum und der Wellenlänge von 4 mm sehr starke anomale Dispersion besitzen. Man hat nun versucht, aus dem Gang der Dispersion im kurzwelligen Spektrum und unter der Annahme des Vorhandenseins einer einzigen Stelle anomaler Dispersion diese Stelle zu berechnen. Aus unseren Versuchen folgt aber, daß für Wasser diese Berechnung nicht angestellt werden darf, und daß der Gang der Dispersion in dem an das sichtbare Spektrum angrenzenden Gebiet vorwiegend durch die Anwesenheit des Streifens bei  $3,2 \mu$  bedingt ist. Die entschieden vorhandene Stelle starker anomaler Dispersion liegt demnach zwischen dem Ende des uns zugänglichen ultraroten Spektrums und dem Gebiet elektrischer Wellen.

Wir haben unsere Untersuchungen dann auf Alkohol ausgedehnt und ähnliche, wenn auch nicht so ausgesprochene Verhältnisse wie beim Wasser gefunden. Die Reststrahlung des Alkohols zeigt denselben Charakter, wie die des Wassers, wenn auch in geringerem Grade, und im Spektralgebiet von  $1 \mu$  bis  $19 \mu$  finden sich auch hier mehrere Stellen anomaler Reflexion, die ebenfalls mit den Gebieten maximaler Absorption in Alkohol in Zusammenhang gebracht werden können.

Berlin, Physikalisches Institut, Februar 1908.

\*



*Pilotbeobachtungen für meteorologische Zwecke;  
von R. Börnstein.*

(Vorgetragen in der Sitzung vom 21. Februar 1906.)

(Vgl. oben S. 115.)

Die Untersuchung der in der Höhe stattfindenden Luftströmungen durch das Fliegenlassen kleiner Luftballons, sog. Piloten, und die Verfolgung ihrer Flugbahn mittels eines am Aufstiegsort befindlichen Theodoliten wurde bereits 1893 von KREMSER vorgeschlagen und ist seitdem mehrfach ausgeführt worden. Es erschien daher nicht aussichtslos, auch in Berlin das Verfahren zu erproben und vielleicht seine Anwendung für Zwecke des öffentlichen Wetterdienstes anzubahnen. Denn gerade diejenigen Wetterlagen, deren rechtzeitiges Erkennen die größte praktische Bedeutung hat, nämlich die sich vorbereitenden Witterungsumschläge, dürften durch Pilotbeobachtungen eher als auf andere Art der Wahrnehmung zugänglich werden.

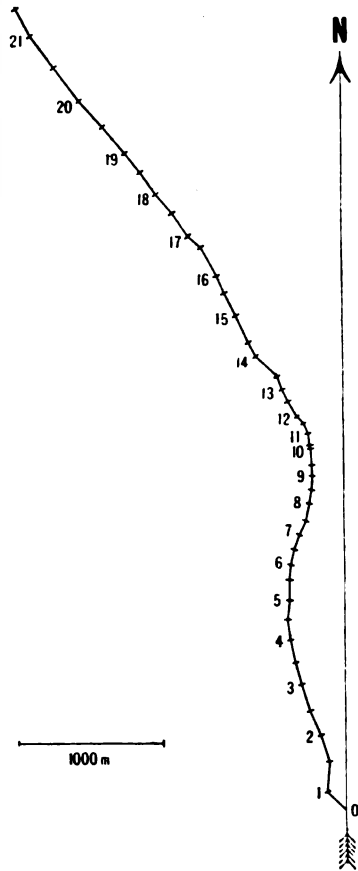
Es gelangten Gummiballons zur Anwendung, welche von der bekannten Firma A. PATUREL (Paris XX, Rue d'Avron 123 bis 125) geliefert waren; solche von roter Farbe schienen wegen besserer Sichtbarkeit den Vorzug vor anders gefärbten zu verdienen. Bei den unten mitgeteilten Beobachtungen wurden Ballons benutzt, die mit Wasserstoff gefüllt einen Durchmesser von etwa 60 cm hatten und bei einem Auftrieb von 70 g eine Steiggeschwindigkeit von etwa 174 m in der Minute erlangten. Die Anwendung etwas größerer Ballons steht in Aussicht.

Für die Beobachtung diente ein Theodolit, geliefert von BERNH. BUNGE in Berlin (SO 26, Oranienstraße 20) mit Diopter für grobe Einstellung und gebrochenem Fernrohr, dessen Okular in stets gleicher Höhe und in horizontaler Richtung verbleibt. Das Gesichtsfeld ist 2° groß, die lineare Vergrößerung 17fach. Ein Beobachter richtet das Fernrohr auf den Ballon und erhält ihn im Fadenkreuz, indem er durch zwei Schrauben dauernd dem Objektiv die jeweils erforderliche Höhenrichtung und dem ganzen Fernrohr die Seitenrichtung erteilt. Ein zweiter und dritter

Beobachter lesen zu gleichen Zeitpunkten den Höhen- und Seitenkreis ab, wofür einer von ihnen im Abstand von je einer halben Minute die Zeichen gibt. Soll aus diesen durch die Tätigkeit dreier Beobachter gewonnenen Aufzeichnungen der Weg des Ballons hergeleitet werden, so bedarf man dazu noch der Annahme gleichbleibender Steigegeschwindigkeit. Tatsächlich gelangt der Ballon beim Aufsteigen in dünnere Luft, wird aber selbst dabei größer, so daß der zu überwindende Widerstand durch den ersteren Umstand abnimmt, durch den letzteren wächst. Man könnte sich von der immerhin ungenauen Annahme unveränderlicher Vertikalgeschwindigkeit befreien, wenn es gelänge, entweder den Ballon gleichzeitig von zwei Stellen aus zu beobachten, was anderwärts (z. B. in Straßburg) bereits mit Erfolg geschehen ist, oder durch ein Mikrometer die jeweilige Entfernung aus der scheinbaren Größe zu ermitteln, wobei freilich die Änderungen der wirklichen Größe zu berücksichtigen wären.

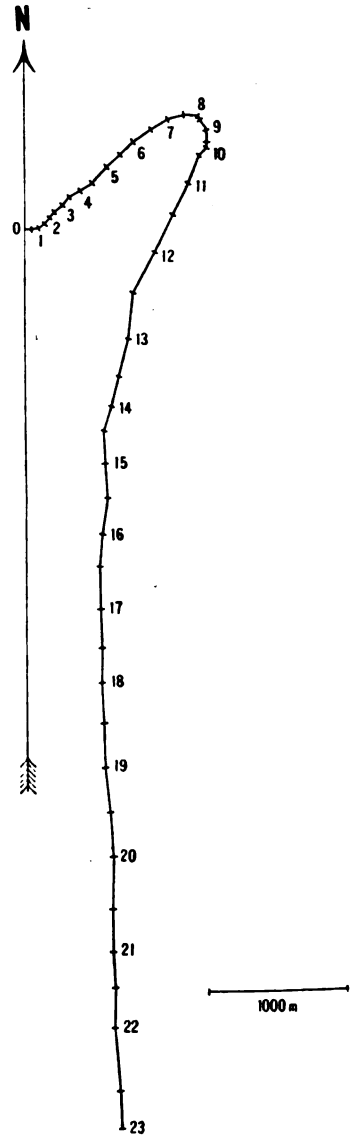
Die beistehenden Zeichnungen geben die auf die Horizontalebene projizierte Flugbahn der Ballons wieder, welche vom Dache der Landwirtschaftlichen Hochschule aus losgelassen und beobachtet wurden; die neben den Kurven stehenden Ziffern bedeuten Minuten der Flugdauer. Schon die oberflächliche Betrachtung läßt die verschiedenen Krümmungsrichtungen der Bahnen erkennen und führt auf deren wichtige meteorologische Bedeutung. Wird ein atmosphärisches Druckzentrum (Hoch- oder Tiefdruckgebiet) von dem herrschenden Winde fortbewegt, so folgen für den einzelnen Beobachter die Windrichtungen derartig aufeinander, daß eine Rechts- oder Linksdrehung (mit dem Uhrzeiger oder gegen ihn) eintritt, je nachdem der Beobachtungsort auf der rechten oder linken Seite des vom Druckzentrum eingeschlagenen Weges liegt. Weil aber der Wind in der Höhe stärker zu wehen pflegt, als in den unteren, der Bodenreibung ausgesetzten Luftschichten, so eilt der obere Teil des Druckzentrums voraus, und es treten die einzelnen Windrichtungen oben früher ein als unten. Der aufsteigende Pilot findet demnach in der Höhe bereits diejenigen Winde vor, welche später erst am Boden zur Wahrnehmung kommen, und wenn die auf den Boden projizierte Ballonbahn nach rechts (oder nach links) gekrümmt ist, so geht daraus hervor, daß der Aufstiegsort sich auf der rechten (oder auf der linken)

Fig. 1.



Pilot am 9. November 1907.

Fig. 2.



Pilot am 1. Dezember 1907.

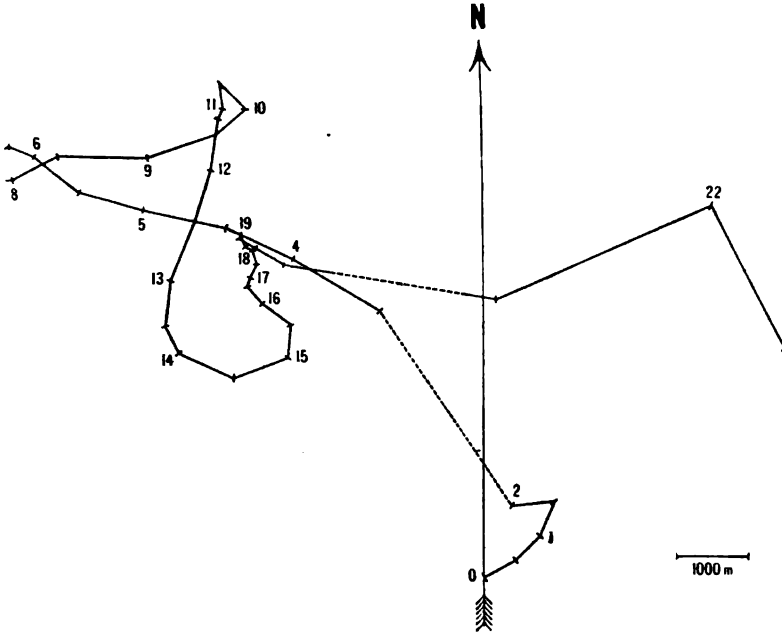
Seite des Weges befindet, auf welchem das Druckzentrum fortgeweht wird. Ein Beispiel für derartige Beziehungen bietet die in der Zeichnung wiedergegebene Pilotbahn vom 9. November 1907. Während der vorausgehenden Wochen herrschte in Berlin und Umgegend schönes Herbstwetter; ein Hochdruckgebiet bedeckte das Gebiet und zeigte am Morgen des 7. November einen in Südosteuropa liegenden Kern von über 775 mm Druck, während ein Streifen von über 765 mm sich von Rußland bis über die britischen Inseln erstreckte. Ein kleiner Ausläufer hohen Druckes ging auch aus dem südöstlichen Hoch nach Westen bis gegen Südfrankreich hin und bedeckte das Alpengebiet noch am Morgen des 9. Novbr., während ein Tief von Spanien langsam nordwärts zog. Alle diese Bewegungen ließen Berlin rechts, und hiermit in Übereinstimmung flogen die am 6., 7. und 8. November beobachteten Ballons mit Rechtsdrehung. Dann aber zog ein Tiefdruckgebiet von Island her südwärts und vereinigte sich mit dem von Spanien kommenden Tief; zugleich verschwand der über den Alpen lagernde Ausläufer hohen Druckes wieder nach Osten hin, und weil bei diesen Ortsveränderungen der Druckzentra Berlin links vom Wege lag, können wir es verstehen, daß die Pilotbahn vom 9. November nur bis etwa 1300 m Höhe nach rechts, von da ab aber deutlich nach links gekrümmt ist. Daß diese Vorgänge die Einleitung für einen Wetterumschlag bildeten, zeigte sich, als am Abend des 11. November südlich von Berlin der Regen begann und nun eine bis in den Dezember hinein dauernde Zeit trüben, unruhigen und niederschlagsreichen Wetters folgte.

Eine andere Art der Deutung scheint die Pilotbahn zu verlangen, welche am 1. Dezember 1907 beobachtet wurde und hier ebenfalls mitgeteilt ist. Wir sehen den Flug, welcher bei Westwind begann, rasch umbiegen; er zeigt nahe über dem Boden Südwestwind, der dann in etwa 1400 m Höhe in West- und bald darauf in Nordwind übergeht, worauf von etwa 1700 bis 2500 m Nordnordost und dann bis über 4000 m hinauf wieder Nordwind folgt. An jenem Tage befand sich Berlin in einem Hochdruckgebiet nahe am nördlichen Rande eines von der 775 mm-Isobare umschlossenen und bis etwa Belgrad reichenden Streifens. Verfolgt man diese Isobare von Berlin aus westwärts, so führt sie zunächst nach West und Südwest; die Beobachtungen von Magde-

burg, Hannover und Kassel machen es wahrscheinlich, daß alsdann eine Ausbiegung der Isobare gegen Norden und hiernach erst deren nach Süd gerichtete Fortsetzung folgt. Mit Rücksicht darauf, daß der Wind nahezu in der Isobarenrichtung weht und den hohen Druck zu seiner rechten Seite hat, kann man also freilich sagen, daß westlich vom Beobachtungsorte die Winde am Boden in der gleichen Richtung und Reihenfolge wehten, wie sie in der Höhe durch den Piloten angezeigt wurden. Aber dennoch kann hier nicht, wie im vorigen Falle, ein vom herrschenden Winde fortbewegtes Druckzentrum angenommen werden, denn weder traten die in der Höhe beobachteten Windrichtungen später am Boden auf, noch zog das Hochdruckgebiet von West nach Ost, wie es doch hätte sein müssen, wenn die oberen Winde in der Zugrichtung gegen die unteren Schichten vorausgeeilt wären. Vielmehr drehte der zur Zeit der Beobachtung (12 Uhr mittags) herrschende Westwind nur vorübergehend nach Südwest, und dann setzte um etwa 5 Uhr nachmittags Südostwind ein, der mit ganz geringen Schwankungen bis zum Abend des folgenden Tages anhielt, und das Hochdruckgebiet zog nicht nach Ost, sondern langsam nach Südost hin. Zum Verständnis der gesamten Einzelheiten scheint es erwünscht, auch die Temperaturverhältnisse jener Tage heranzuziehen. Am 30. November herrschte in Skandinavien und Nordrußland Kälte, welche im Binnenland — 5 bis — 10° erreichte, während das südliche Rußland und Mitteleuropa milderes Wetter (0 bis 5°) hatten. Am 1. Dezember, dem Tage der Beobachtung, wurde im Norden die Kälte etwas geringer, in Mitteleuropa dagegen trat Frost (bis — 4°) ein, und am folgenden Tage stieg im Norden die Temperatur noch weiter und wurde namentlich im Südosten auch die Kälte noch stärker. Schreibt man, was nach der Wetterlage und nach sonstigen Erfahrungen unbedenklich erscheint, die langsame Erwärmung des Nordostens den von der See her wehenden Winden und die Abkühlung der mitteleuropäischen Gegenden der durch klares Wetter geförderten Ausstrahlung zu, so wird damit das Verhalten des Hochdruckgebietes verständlich. Es war durch die Kälte bedingt und folgte dieser, nicht aber der wahrscheinlich nur schwachen Luftbewegung. Der in unseren Breiten so häufige Westwind mag auch an jenem Tage in der Höhe wirksam gewesen sein und den oberen Teil des

ochs gegen Ost hin verschoben haben, so daß wir oben die Winde fanden, die am Boden in westlicheren Gegenden herrschten. Aber wenn eine solche Einwirkung stattfand, war sie nicht stark genug, um das Hoch vom Orte seiner Entstehung fortzuführen, es haftete mit seinem Fuß an der kalten Gegend, die den hohen Druck erzeugt hatte, und schritt nachher mit dieser Kälte fort.

Fig. 3.



Pilot am 24. Januar 1908.

Endlich ist noch in der obenstehenden Zeichnung eine Pilotbahn mitgeteilt, deren Veröffentlichung durch ihre seltsame Form verboten scheint, obwohl ich sie nicht zu deuten vermag. Am 24. Januar 1908 befand sich Berlin in einem Hochdruckgebiet, dessen Kern (780 mm) südöstlich lag und sich etwa vom Böhmer Wald bis an den Dniepr erstreckte. Der Pilot konnte bis gegen 4000 m Höhe verfolgt werden und hatte bis dahin drei vollständige, nach links gerichtete Drehungen ausgeführt.

**Die räumliche Kontrastwirkung der Farben;  
von F. Grünbaum.**

(Vorgetragen in der Sitzung vom 21. Februar 1908.)

(Vgl. oben S. 115.)

Herr GRIMSEHL berichtete kürzlich<sup>1)</sup> über einen eigentümlichen stereoskopischen Effekt, der bei Betrachtung verschiedener farbiger Bilder durch Linsen entsteht. Mir ist eine ähnliche Raumwirkung kontrastierender Farben seit langem bekannt; jedoch besteht zwischen meinen Beobachtungen und denen des Herrn GRIMSEHL der grundlegende Unterschied, daß ich die Raumwirkung stets mit bloßem Auge gesehen habe. Da bei solchen subjektiven Wahrnehmungen das Urteil einer einzigen Person nicht entscheidend sein kann, habe ich eine größere Anzahl Personen darauf untersucht, ob und in welcher Weise die Raumwirkungen von ihnen wahrgenommen werden. Das Resultat war, wie schon jetzt bemerkt sei, daß alle die Wirkung mit bloßem Auge sahen, die meisten, ohne vorher darauf hingewiesen zu sein. Mehrere nahmen sie aus 3 bis 4 m Entfernung sogar besser wahr als aus der Nähe.

Zur Untersuchung diente eine Tafel aus schwarzem, glanzlosem Papier, auf der Figuren aus den Farben, die nach meinem Empfinden die stärkste Wirkung gaben, mit bunter Kreide aufgezeichnet waren. Diese Farben waren Rot, Gelb, Blau, Grün und Weiß. Die meisten Figuren enthielten in der Mitte einen kreisförmigen, farbigen Fleck (z. B. rot) von 12 bis 15 mm Durchmesser. Um diesen war ein schwarzer Ring von etwa 6 mm Breite freigelassen, dann folgte ein andersfarbiger Ring (z. B. grün) von 6 bis 8 mm Breite. Die Abmessungen waren nicht sehr genau eingehalten, da Vorversuche ergaben, daß sie für mich keinen Einfluß auf den Effekt hatten. Der kreisförmige Fleck stand auch mitunter nicht ganz genau in der Mitte, so daß der schwarze Zwischenraum an einzelnen Stellen breiter als an anderen

<sup>1)</sup> Phys. ZS. 9, 109, 1908.

var. Es schien, daß dadurch das Zustandekommen einer Raumvorstellung etwas erleichtert wurde; doch trat der Effekt auch bei genau konzentrischem Ring ein. Daß die etwas exzentrische Lage des inneren Kreises gar keinen Einfluß darauf hat, welcher von beiden, ob Kreis oder Ring, hervortritt, braucht kaum bemerkt zu werden.

Die Tafel enthielt zunächst vier Vertikalreihen mit je vier Figuren.

| Reihe I  | Reihe II                      | Reihe III                     | Reihe IV                       |
|--|-------------------------------|-------------------------------|--------------------------------|
| 1. Grüner Fleck, roter Ring, um diesen nochmals grüner Ring (zur Hebung des Kontrastes). | 5. Gelber Fleck, grüner Ring. | 9. Gelber Fleck, roter Ring.  | 13. Weißer Fleck, blauer Ring. |
| 2. Roter Fleck, grüner Ring.   | 6. Weißer Fleck, grüner Ring. | 10. Weißer Fleck, roter Ring. | 14. Blauer Fleck, gelber Ring. |
| 3. *) Grüner Fleck, roter Ring.  | 7. Grüner Fleck, gelber Ring. | 11. Roter Fleck, gelber Ring. | 15. Blauer Fleck, weißer Ring. |
| 4. Grüner Fleck, roter Ring.   | 8. Grüner Fleck, weißer Ring. | 12. Roter Fleck, weißer Ring. | 16. Blauer Fleck, roter Ring.  |

Die mit \*) bezeichnete Figur 3 war ziemlich abweichend von den anderen: Einmal war hier ein etwas helleres Grün verwandt, ferner hatte der grüne Fleck 35 mm Durchmesser und der schwarze Zwischenraum war nur 2 bis 3 mm breit. Gerade diese Unregelmäßigkeit zeitigte interessante Ergebnisse.

Diesen 16 Figuren folgten zwei einzelne:

Fig. 17: Grüner Fleck, weißer Ring.

Fig. 18: Grüner Fleck, blauer Ring.

Endlich folgten drei Figuren mit einem Fleck und zwei Ringen um ihn herum.

Fig. 19: Blauer Fleck, gelber Ring, darum noch roter Ring.

Fig. 20: Roter Fleck, fahlgelber Ring, blauer Ring.

Fig. 21: Blauer Fleck, weißer Ring, roter Ring.

Diese Tafel wurde zur Beobachtung in Augenhöhe auf einer schwarzen Wandtafel angeheftet.



Über-

| Beobachter                        | L.         | EL.        | Gu.      | B.            | Jr.       | W.           | Ka.           | Kö.        | M.            |
|-----------------------------------|------------|------------|----------|---------------|-----------|--------------|---------------|------------|---------------|
| Selbständiges Bemerkendes Effekts | ja         | ja         | —        | nein          | nein      | ja           | ja            | nein       | ja            |
| Fig. 1                            | rot        | rot        | rot      | rot           | nichts    | grün         | rot           | rot        | rot           |
| Vertikalreihe I                   | 2          | rot        | rot      | kr. rot       | schw. rot | grün         | m. rot        | m. rot     | kr. rot       |
| 3                                 | nichts     | unsich.    | unsich.  | rot           | nichts    | grün         | rot           | rot        | schw. rot     |
| 4                                 | rot        | rot        | rot      | m. rot        | nichts    | kr. grün     | kr. rot       | m. rot     | schw. rot     |
| Vertikalreihe II                  | 5          | grün       | gelb     | kr. gelb      | nichts    | grün         | gelb          | kr. grün   | kr. gelb      |
| 6                                 | schw. grün | schw. weiß | weiß     | m. gelb       | weiß      | kr. gelb     | m. schw. weiß | m. grün    | schw. gelb    |
| 7                                 | gelb       | gelb       | gelb     | kr. gelb      | nichts    | grün         | gelb          | kr. gelb   | m. gelb       |
| 8                                 | weiß       | weiß       | weiß     | m. weiß       | weiß      | schw. grün   | kr. weiß      | m. weiß    | m. weiß       |
| Vertikalreihe III                 | 9          | rot        | rot      | kr. unsich.   | gelb      | nichts       | kr. gelb      | kr. rot    | kr. unsich.   |
| 10                                | kr. rot    | kr. weiß   | weiß     | schw. unsich. | nichts    | kr. weiß     | m. rot        | m. weiß    | m. weiß       |
| 11                                | rot        | rot        | kr. gelb | m. gelb       | nichts    | kr. gelb     | m. gelb       | schw. gelb | rot schw.     |
| 12                                | rot        | weiß       | rot      | weiß          | nichts    | weiß         | rot           | rot        | schw. unsich. |
| Vertikalreihe IV                  | 13         | weiß       | weiß     | weiß          | kr. weiß  | nichts       | m. weiß       | weiß       | weiß          |
| 14                                | kr. gelb   | gelb       | gelb     | m. unsich.    | nichts    | schw. nichts | schw. gelb    | schw. gelb | schw. gelb    |
| 15                                | weiß       | weiß       | weiß     | weiß          | nichts    | weiß         | weiß          | weiß       | weiß          |
| 16                                | kr. rot    | rot        | rot      | m. unsich.    | nichts    | kr. blau     | kr. rot       | kr. rot    | m. unsich.    |
| 17                                | weiß       | weiß       | weiß     | weiß          | nichts    | grün         | weiß          | weiß       | unsich.       |
| 18                                | schw. blau | blau       | grün     | schw. grün    | nichts    | blau         | blau          | blau       | blau          |
| 19                                | rot        | rot        | gelb     | gelb          | nichts    | schw. gelb   | m. rot        | schw. gelb | schw. gelb    |
| 20                                | gelb       | gelb       | rot      | rot           | nichts    | blau         | rot           | rot        | rot           |
| 21                                | blau       | blau       | blau     | blau          | unsich.   | rot          | blau          | blau       | blau          |
| Mit einem Auge                    | wie vorher | —          | —        | weiß          | rot       | weiß         | blau          | weiß       | weiß          |

Übersicht.

| Kö.    | H.      | St.    | WL.    | WR.    | Gr.    | Eg.     | Z.      | D.     | Js.    |
|--------|---------|--------|--------|--------|--------|---------|---------|--------|--------|
| nein   | nein    | ja     | nein   | ja     | ja     | —       | —       | ja     | ja     |
| rot    | rot     | rot    | rot    | rot    | rot    | rot     | rot     | rot    | rot    |
| m.     | kr.     | kr.    | m.     | kr.    | m.     | kr.     | m.      | kr.    | kr.    |
| rot    | rot     | rot    | rot    | rot    | rot    | rot     | rot     | rot    | rot    |
| sch.   | m.      | kr.    | schw.  | kr.    | kr.    | kr.     | schw.   | m.     | kr.    |
| rot    | nichts  | grün   | nichts | rot    | rot    | rot     | rot     | rot    | rot    |
| rot    | schw.   | schw.  | nichts | schw.  | m.     | m.      | schw.   | kr.    | kr.    |
| m.     | rot     | rot    | rot    | schw.  | rot    | kr.     | kr.     | kr.    | kr.    |
| grün   | kr.     | kr.    | m.     | schw.  | kr.    | kr.     | kr.     | kr.    | kr.    |
| rot    | gelb    | gelb   | gelb   | gelb   | gelb   | gelb    | gelb    | gelb   | gelb   |
| sch.   | schw.   | schw.  | schw.  | schw.  | m.     | kr.     | schw.   | schw.  | kr.    |
| rot    | weiß    | weiß   | weiß   | weiß   | weiß   | weiß    | unsich. | weiß   | weiß   |
| sch.   | schw.   | schw.  | schw.  | schw.  | schw.  | kr.     | gelb    | m.     | kr.    |
| blau   | gelb    | m.     | kr.    | kr.    | m.     | gelb    | kr.     | gelb   | gelb   |
| rot    | m.      | weiß   | weiß   | weiß   | weiß   | kr.     | kr.     | kr.    | kr.    |
| sch.   | weiß    | m.     | kr.    | kr.    | m.     | weiß    | weiß    | weiß   | weiß   |
| rot    | m.      | gelb   | gelb   | rot    | rot    | rot     | gelb    | rot    | gelb   |
| sch.   | schw.   | schw.  | schw.  | schw.  | schw.  | m.      | schw.   | kr.    | schw.  |
| weiß   | unsich. | weiß   | rot    | m.     | m.     | rot     | weiß    | rot    | weiß   |
| kr.    | gelb    | m.     | schw.  | gelb   | rot    | unsich. | rot     | rot    | rot    |
| grün   | m.      | schw.  | schw.  | schw.  | schw.  | unsich. | kr.     | rot    | kr.    |
| sch.   | weiß    | rot    | rot    | weiß   | rot    | weiß    | kr.     | kr.    | m.     |
| gelb   | m.      | m.     | weiß   | m.     | schw.  | m.      | weiß    | kr.    | kr.    |
| blau   | weiß    | weiß   | weiß   | schw.  | schw.  | weiß    | m.      | kr.    | kr.    |
| rot    | gelb    | gelb   | gelb   | gelb   | gelb   | gelb    | blau    | gelb   | gelb   |
| sch.   | kr.     | m.     | m.     | m.     | m.     | kr.     | weiß    | m.     | schw.  |
| weiß   | kr.     | m.     | kr.    | weiß   | weiß   | kr.     | kr.     | kr.    | weiß   |
| kr.    | rot     | rot    | kr.    | rot    | rot    | kr.     | blau    | rot    | m.     |
| sch.   | m.      | m.     | m.     | kr.    | m.     | kr.     | m.      | kr.    | rot    |
| weiß   | kr.     | kr.    | kr.    | weiß   | weiß   | weiß    | unsich. | weiß   | kr.    |
| grün   | nichts  | grün   | grün   | grün   | grün   | nichts  | grün    | kr.    | grün   |
| sch.   | schw.   | schw.  | m.     | m.     | schw.  | rot     | schw.   | kr.    | m.     |
| gelb   | gelb    | gelb   | gelb   | gelb   | rot    | gelb    | gelb    | rot    | rot    |
| rot    | rot     | rot    | rot    | blau   | gelb   | blau    | rot     | gelb   | blau   |
| blau   | blau    | blau   | blau   | blau   | blau   | blau    | blau    | blau   | blau   |
| rot    | gelb    | rot    | gelb   | gelb   | rot    | rot     | rot     | rot    | rot    |
| gelb   | rot     | blau   | blau   | rot    | gelb   | blau    | gelb    | gelb   | gelb   |
| blau   | blau    | weiß   | weiß   | blau   | blau   | rot     | blau    | rot    | blau   |
| rot    | weiß    | rot    | rot    | rot    | rot    | weiß    | weiß    | weiß   | rot    |
| weiß   | blau    | blau   | blau   | blau   | blau   | blau    | rot     | blau   | weiß   |
| blau   | wie     | wie    | wie    | blau   | blau   | wie     | wie     | wie    | blau   |
| nichts | vorher  | vorher | vorher | nichts | nichts | vorher  | vorher  | vorher | vorher |

Die Zeit verhinderte, daß alle Beobachter einzeln untersucht wurden. Gelegentlich waren es Gruppen von dreien oder vierten; sie sind in der Übersicht durch Klammern kenntlich gemacht. Eine gegenseitige Beeinflussung wurde möglichst vermieden, indem alle Beobachter ersucht wurden, sich ein festes Urteil über eine Vertikalreihe zu bilden; dann erst wurden die Beobachtungen notiert. Meinungsaustausch fand niemals statt. Bei einzelnen Figuren weichen denn auch die Urteile innerhalb einer Gruppe sehr ab.

Die zu untersuchende Person wurde in etwa 1 m Entfernung aufgestellt und, wenn sie noch nicht wußte, um was es sich handelte, befragt, ob sie bei ruhiger Betrachtung irgend einer Figur der ersten Vertikalreihe etwas Auffälliges bemerke. Nach einigen Antworten über Größenunterschiede u. dgl. wurde dann meistens bald in einer der Figuren ein Hervortreten des Roten bemerkt; oft wurde dann noch hinzugefügt, das habe man schon von Anfang an gesehen. Diese Fälle sind unten in der Übersicht mit „ja“ bezeichnet, die der vorher unterrichteten Personen mit einem Strich. In den Fällen, wo die Beobachter den Effekt nicht von selbst bemerkten (in der Übersicht mit „nein“ bezeichnet), wurde dann weiter gefragt, ob sie wahrnahmen, daß irgend ein Teil einer Figur stereoskopisch hervortreten schein. Alsdann wurde die Raumwirkung immer gesehen. Hierauf wurden die einzelnen Figuren der Reihe nach durchgegangen und stets gefragt: Welche Farbe scheint hervortreten? Weil die verschiedenen Farben verschieden stark hervortreten scheinen, wurde unterschieden zwischen schwachem, mittlerem und kräftigem Vortreten. Da diese Bezeichnungen sich erst nach und nach herausbildeten, sind sie bei den zuerst untersuchten Personen nur selten vermerkt. Bei manchen Figuren bemerkten die Beobachter kein Hervortreten, bei manchen waren sie unsicher; diese Fälle sind in der Übersicht mit „nichts“ und mit „unsicher“ bezeichnet.

In der Übersichtstafel ist also stets angeführt, welche Farbe hervortritt, und zwar, ob schwach (schw.), mittelstark (m.) oder kräftig (kr.). Bei den dreifarbigigen Figuren ist die Reihenfolge der Farben von vorn nach hinten angegeben. Auf die Feststellung der Stärke der Wirkung wurde bei diesen drei Figuren verzichtet. Wo bei ihnen zwei Farben in gleicher Ebene erschienen,

dies durch ein „gleich“ bezeichnet. In der letzten Reihe ist merkt, ob die Beobachter auch mit einem Auge (bei ungleichen mit dem besseren) die Raumwirkung noch sehen. Leider ist diese Frage erst später stets gestellt, so daß über diesen Punkt weniger Beobachtungen vorliegen. Bei den Beobachtern GU und GU. unterblieb zufällig auch die Besichtigung der Fig. 21.

Über die einzelnen Personen ist noch zu bemerken: GU ist auf den Augen schwach kurzsichtig und besitzt auf einem Auge unregelmäßige Brechung. H. ist kurzsichtig und hat mit Kneifer beobachtet. Unter GR. sind meine eigenen Wahrnehmungen angeführt. GR. ist kurzsichtig und habe mit Glas beobachtet. Jedoch bleibt ohne Glas mein Urteil dasselbe, abgesehen von einigen Schwankungen der Stärke des Hervortretens. Auf etwa 40 cm Entfernung, ohne Glas, sehe ich die stärkste Raumwirkung. — EG. ist auf dem einen Auge kurzsichtig; Beobachtungen ohne Glas. Z. ist auf dem einen Auge kurzsichtig, auf dem anderen weitsichtig; Beobachtungen auf etwa 1 m Entfernung ohne Glas. Alle anderen haben normale Augen.

Alle untersuchten Personen haben sich mit geometrischen Zeichnungen und physikalischen Beobachtungen schon beschäftigt, daß ihre Augen für solche Wahrnehmungen mehr oder weniger geschärft sind. Der Beobachter W., dessen Wahrnehmungen völlig von allen anderen abweichen, malt viel und hat nach seiner Angabe solche Effekte schon früher bemerkt. Vielleicht haben sich dabei bestimmte Urteile herausgebildet, die die auffälligen Abweichungen erklären. Die Personen wurden in der Reihenfolge angeführt, in der sie beobachteten. Mein eigenes Urteil, das ich von Anfang fixiert hatte, hat sich, abgesehen von einem Schwanken der Stärkebezeichnung, bei der endgültigen Notierung nicht geändert.

Die Übersicht zeigt, daß 10 Personen von 15 die Raumwirkung selbständig fanden. Ferner sahen hervortreten in

|                      |         |                      |
|----------------------|---------|----------------------|
| Fig. 1 . . . 16 Rot, | 1 Grün, | 1 nichts.            |
| „ 2 . . . 17 „       | 1 „     |                      |
| „ 3 . . . 10 „       | 2 „     | 6 unsich. o. nichts. |
| „ 4 . . . 16 „       | 1 „     | 1 nichts.            |
| „ 5 . . . 16 Gelb,   | 2 „     | 1 „                  |
| „ 6 . . . 14 Weiß,   | 2 „     | 2 unsicher.          |

|              |                    |                    |                      |
|--------------|--------------------|--------------------|----------------------|
| Fig. 7 . . . | 16 Gelb,           | 1 Grün,            | 1 nichts.            |
| " 8 . . .    | 17 Weiß,           | 0 "                | 1 "                  |
| " 9 . . .    | 8 Rot,             | 7 Gelb,            | 3 unsich. o. nichts. |
| " 10 . . .   | 7 "                | 8 Weiß,            | 3 "                  |
| " 11 . . .   | 7 "                | 9 Gelb,            | 2 "                  |
| " 12 . . .   | 8 "                | 6 Weiß,            | 4 "                  |
| " 13 . . .   | 17 Weiß,           | 0 Blau,            | 1 nichts.            |
| " 14 . . .   | 14 Gelb,           | 1 "                | 3 unsich. o. nichts. |
| " 15 . . .   | 17 Weiß,           | 0 "                | 1 nichts.            |
| " 16 . . .   | 19 Rot,            | 2 "                | 3 unsich. o. nichts. |
| " 17 . . .   | 13 Weiß,           | 1 Grün,            | 4 unsich. o. nichts. |
| " 18 . . .   | 10 Grün,           | 6 Blau,            | 2 nichts.            |
| " 19 . . .   | 6 Rot, Gelb, Blau, | 7 Gelb, Rot, Blau, | 5 anders.            |
| " 20 . . .   | 12 " " "           | 4 " " "            | 2 "                  |
| " 21 . . .   | 10 " Weiß, "       | 2 Weiß, " "        | 4 "                  |

Mit einem Auge sahen 7 wie vorher, 3 nichts mehr.

Hieraus geht zunächst zweifellos hervor, daß die Raumwirkung für das bloße Auge vorhanden ist. Ferner ergibt Fig. 1 bis 4, daß Rot gegen Grün für fast alle Personen hervortritt. In Fig. 3 macht sich der Einfluß des erwähnten helleren und größeren grünen Fleckes deutlich bemerkbar. Fig. 5 bis 8 ergibt ebenso sicher, daß Weiß oder Gelb gegen Grün für fast alle hervortritt; das gleiche zeigt Fig. 17. Fig. 13 bis 16 zeigt bestimmt, daß Blau gegen die anderen Farben zurücktritt. Fig. 9 bis 12 endlich zeigt, daß für Rot gegen Weiß oder Gelb sich noch keine Norm aufstellen läßt. Für Grün scheint sich fast aus Fig. 18 ein Hervortreten gegen Blau zu ergeben.

In Fig. 20 und 21 sieht die Mehrheit in Übereinstimmung mit dem Vorigen die Reihenfolge Rot, Gelb, Blau, bzw. Rot, Weiß, Blau. In Fig. 19 dagegen bewirkt das leuchtendere Gelb, daß das Resultat unsicher wird. Die Feststellung, ob mit einem Auge die Raumwirkung auch gesehen wird, ist noch unvollkommen; doch scheint es der Fall zu sein.

Soweit sich nach diesen Ergebnissen schon urteilen läßt, möchte ich glauben, daß sich bei der merkwürdigen Erscheinung zwei Einflüsse übereinanderlagern. Einmal läßt sich ein Hervortreten der langwelligen Farben gegenüber den kurzwelligen in der Reihenfolge des Spektrums konstatieren. Zweitens aber scheint die Helligkeit einer Farbe ihr Hervortreten zu begünstigen.

Daß dieser letztere Umstand nicht allein den Effekt hervorbringt, zeigen die Fig. 9 bis 12. Das Weiß bzw. Gelb (es war stets kräftiges Gelb, wie in Fig. 19) war augenscheinlich heller als das Rot, und doch blieb das Resultat hier unsicher. Man sieht daran eben nur, wie die Helligkeit dem spektralen Effekt entgegenarbeitet. Das zeigt ganz besonders auch Fig. 19 im Vergleich mit Fig. 20 und 21. (Fig. 19 hat Hellgelb, Fig. 20 Fahlgelb, Fig. 21 Weiß.)

Wenn man die Stärke der Wirkungen mit in Betracht zieht, indem man für „kräftig“ 3 Punkte einsetzt, für „mittel“ 2 und für „schwach“ 1 Punkt, findet man dieselben Ergebnisse noch deutlicher ausgeprägt; z. B. erhält man in Fig. 4 für Rot 43 Punkte, gegen 3 für Grün. Es ist interessant, daß gerade bei den unentschiedenen Resultaten der Fig. 9 bis 12 sich das Verhältnis überall etwas zugunsten von Rot verschiebt.

|                |                    |                    |
|----------------|--------------------|--------------------|
| Fig. 9 . . . . | 17 Punkte für Rot, | 9 Punkte für Gelb. |
| „ 10 . . . .   | 15 „ „ „           | 15 „ „ Weiß.       |
| „ 11 . . . .   | 16 „ „ „           | 13 „ „ Gelb.       |
| „ 12 . . . .   | 17 „ „ „           | 12 „ „ Weiß.       |

Ich hoffe, die bisherigen Ergebnisse durch vervollkommnete Versuche mit einer größeren Personenzahl vervollständigen zu können. Es wäre dabei vor allem eine exakte geometrische Gleichmäßigkeit der Figuren und ein ganz gleichmäßiger Auftrag sämtlicher Farben anzustreben, der bisher nicht immer erreicht war. Das Weiß erschien z. B. bedeutend rauher als das Rot. Mancherlei Umstände subjektiver Art erschweren die Untersuchung. So wirken bei vielen Personen Erinnerungsbilder mit; einzelnen schwebten elektrische Druckknöpfe vor, so daß sie stets die Neigung hatten, die inneren Kreise hervortreten zu sehen. Jedoch waren alle in der Übersicht angeführten Wahrnehmungen durchaus bestimmt. Wo eine Person sich auf Zureden auch das Gegenteil vorstellen konnte, wurde sogleich „unsicher“ vermerkt.

Wenn der schwarze Zwischenraum zwischen dem Fleck und dem Ring fehlte, trat die Raumwirkung nicht mehr ein.

Eine Erklärung der Erscheinung soll auf Grund der bisherigen Versuche noch nicht gegeben werden. Vielleicht ist sie in der mangelhaften Achromasie des menschlichen Auges zu suchen.

Charlottenburg, 21. Februar 1908.

Nachtrag zu der Mitteilung:

**„Die Quecksilberfunkenstrecke und ihre Verwendung  
zur Erzeugung schwach gedämpfter elektrischer  
Wellen“<sup>1)</sup>;**

**von Br. Glatzel.**

---

Ich komme gern einem Wunsche der Gesellschaft für drahtlose Telegraphie nach, welche mich, unter Bezugnahme auf die Fußnote 3), S. 55 meiner obengenannten Arbeit, mitzuteilen bittet, daß ihre dort erwähnte Patentanmeldung, Kl. 21 a, G. 24279, vom 29. Januar 1907 datiert und inzwischen, am 6. Februar 1908, veröffentlicht worden ist. Sie enthält die Benutzung der Quecksilberdampfampe zur Erzeugung schwach gedämpfter Schwingungen und die Erklärung dieser Eigenschaft. Näheres hierüber siehe die bereits an die Physikalische Zeitschrift eingereichte Arbeit von R. H. RENDAHL.

---

<sup>1)</sup> Diese Verh. 10, 54—66, 1908.

---

# Die Telegraphie ohne Draht.

Von

**Augusto Righi,**

Professor an der Universität Bologna

und

**Bernhard Dessau,**

Professor an der Universität Perugia.

Zweite vervollständigte Auflage. — Mit 312 Abbildungen.

Preis geh. *M* 15. —, geb. *M* 16.50.

Die zweite Auflage des Buches über drahtlose Telegraphie von A. Righi und B. Dessau, welche hiermit dem Publikum darboten wird, weist gegen die erste mannigfache Veränderungen und Erweiterungen auf. Der Grundcharakter des Buches, welches eine dem großen Kreise der allgemein gebildeten Leser zugängliche und doch zugleich gründliche Darstellung des wissenschaftlich und technisch gleich interessanten Gebietes gewähren soll, ist auch in der neuen Auflage derselbe geblieben wie früher. Aber schon in dem theoretischen Teil mußte der kurze Abschnitt, welcher in der ersten Auflage den Elektronen gewidmet war, zu einem besonderen Kapitel erweitert werden; zu dem Kapitel über Kohärer und Antikohärer, welches auf Grund der neueren Forschungen ergänzt wurde, gesellten sich zwei neue Abschnitte über den magnetischen und den elektromagnetischen Wellenindikator. Die weitestgehende Umgestaltung hat naturgemäß der dritte, der Technik der drahtlosen Telegraphie gewidmete Teil erfahren. Hier galt es, Veraltetes auszumerzen und dafür dem zahlreichen Neuen, wie z. B. den Mitteln zur Übertragung von Signalen auf große Entfernungen, dem heutigen Stande der abgestimmten Telegraphie und den Versuchen über gerichtete Telegraphie, den gebührenden Platz anzuweisen. Dementsprechend ist auch der Umfang gerade dieses Teiles bedeutend angewachsen. Ein Anhang enthält die gesetzlichen und administrativen Bestimmungen, sowie die Beschlüsse der Berliner Konferenz über drahtlose Telegraphie; ein Nachtrag ist einer während des Druckes bekannt gewordenen Erfindung des dänischen Ingenieurs Poulsen gewidmet, welche für die weitere Entwicklung der drahtlosen Telegraphie von der größten Bedeutung zu werden verspricht.



# Max Kohl \* Chemnitz i. S.

Werkstätten für Präzisions-Mechanik

liefert als Spezialität:

**Komplette Einrichtungen f. physikalische  
und chemische Laboratorien.**

**Physikalische und chemische Apparate  
und Gerätschaften.**

**Elektrotechnische Abteilung.**

Notiz: Außer den in meinem Etablissement vorhandenen modern eingerichteten Mechaniker-Werkstätten habe ich auch eigene Dampftischlerei, Holz-, Metall- und Fein-Lackiererei, Klumpnererei, Schlosserei, 2 Präzisions-Teilmaschinen usw. in meiner Fabrik und bin deshalb in der Lage, alle vorkommenden Arbeiten durch mein eigenes Personal ausführen zu lassen. Meine Herren Abnehmer haben dadurch Gewähr, zu mäßigen Preisen solid ausgeführte Apparate zu erhalten, bei deren Konstruktion stets die neuesten auf dem Gebiete der Wissenschaft gemachten Fortschritte Berücksichtigung finden! 230 Arbeiter, 80 Beamte, 6000 qm Arbeitsfläche, etwa 150 Arbeitsmaschinen.

**Einrichtungen kompl. Röntgenkabinette**  
mit Funkeninduktoren aller Größen und für jede Betriebsart. (Die Kohl'schen Funkeninduktoren werden allseitig als die preiswertesten und leistungsfähigsten anerkannt.)

**Neu! Spinthariskope,** mit Fluoreszenz-Schirm und einer kleinen Menge Radium auf beweglichem Zeiger, um die außerordentlichen radioaktiven Eigenschaften des Radiums zu zeigen.  
Preis *M* 24.—.

Preislisten mit ausführlichen Beschreibungen, Referenzen usw. kostenfrei.

Verlag von Friedr. Vieweg & Sohn in Braunschweig.

## Lehrbuch der Physik

von Andrew Gray,

Professor der Physik an der Universität Glasgow.

Autorisierte deutsche Ausgabe von

Dr. Felix Auerbach,

Professor an der Universität Jena.

Erster Band. Allgemeine und spezielle Mechanik. Mit 400 eingedruckten Abbildungen. gr. 8. Preis geh. 20 *M*, geb. 21 *M*

## Gesammelte Abhandlungen

aus den Gebieten der

## Meteorologie und des Erdmagnetismus

von Wilhelm von Bezold.

In Gemeinschaft mit A. Coym herausgegeben

vom Verfasser.

Mit 66 Abbildungen im Text und drei Tafeln.

gr. 8. Preis geh. 14 *M*, geb. 16 *M*

# Berichte

der

# Deutschen Physikalischen Gesellschaft

enthaltend

## Verhandlungen

der Deutschen Physikalischen Gesellschaft  
im Auftrage der Gesellschaft herausgegeben

von

**Karl Scheel**

und

## Halbmonatliches Literaturverzeichnis

der „Fortschritte der Physik“, dargestellt von der  
Deutschen Physikalischen Gesellschaft

redigiert von

**Karl Scheel**

für reine Physik

**Richard Assmann**

für kosmische Physik

---

**Braunschweig**

Druck und Verlag von Friedrich Vieweg und Sohn

1908

# Inhalt.

## 1. Verhandlungen der Deutschen Physikalischen Gesellschaft.

|  | Seite |
|--|-------|
| Bericht über die Sitzung vom 6. März 1908. . . . .   | 243   |
| Adolf Heydweiller, Über die Oberflächenspannung verdünnter wässriger Salzlösungen. (Vorgelegt in der Sitzung vom 6. März 1908.) . . . . .  | 245   |
| G. Leithäuser und R. Pohl, Über den Einfluß des Ozons auf die Kondensation von Wasserdampf. Vorläufige Mitteilung. (Vorgelegt in der Sitzung vom 6. März 1908.) . . . . .  | 249   |
| Heinrich Fassbender, Magnetische Messungen an Mangan-Zinn und Mangan-Antimonlegierungen, mit Beschreibung eines verbesserten Magnetoakops. VII. Mitteilung über magnetische Manganlegierungen aus dem Physikalischen Institut der Universität Marburg i. H. und aus dem chemischen Laboratorium der Isabellenhütte, G. m. b. H., zu Dillenburg. (Vorgelegt in der Sitzung vom 21. Februar 1908.) . . . . . | 257   |
| H. Starke, Einige Versuche über die Sekundärstrahlen des Radiums. (Vorgelegt in der Sitzung vom 6. März 1908.) . . . . .   | 267   |
| H. Starke, Akustische Notizen. 1. Über die Erzeugung von Tönen durch künstliche Schwebungen. 2. Zur Erklärung der sog. Reflexionstöne. (Vorgelegt in der Sitzung vom 6. März 1908.) . . . . .  | 285   |
| Hans Boas, Bemerkungen zu der Arbeit von Herrn Br. Glatzel: „Die Quecksilberfunkenstrecke und ihre Verwendung zur Erzeugung schwach gedämpfter elektrischer Wellen.“ (Vorgelegt in der Sitzung vom 6. März 1908.) . . . . .  | 293   |

## 2. Halbmonatliches Literaturverzeichnis der Fortschritte der Physik.

I. Allgemeine Physik. S. 95. — II. Akustik. S. 97. — III. Physikalische Chemie. S. 98. — IV. Elektrizität und Magnetismus. S. 100. — V. Optik des gesamten Spektrums. S. 104. — VI. Wärme. S. 106. — VII. Kosmische Physik. S. 108.

---

Verlag von Friedr. Vieweg & Sohn in Braunschweig.

## Untersuchungen über die radioaktiven Substanzen.

Von **Mme. S. Curie.**

Übersetzt und mit Literaturergänzungen versehen von **W. Kaufmann.**

Dritte unveränderte Auflage. Mit Abbild. gr. 8. Preis geh. 3 *ℳ*,  
gebunden in Lnw. 3,80 *ℳ*

---

## Sechs Vorträge

über das

## thermodynamische Potential

und seine Anwendungen auf chemische und physikalische  
Gleichgewichtsprobleme,

eingeleitet durch zwei Vorträge über „Nichtverdünnte Lösungen“ und  
über den „Osmotischen Druck“

von **J. J. van Laar.**

gr. 8. Preis geh. 3,50 *ℳ*, geb. in Lnw. 4,20 *ℳ*.

**Verhandlungen**  
der  
**Deutschen Physikalischen Gesellschaft**

---

Im Auftrage der Gesellschaft herausgegeben

von

**Karl Scheel**

---

10. Jahrg.

30. März 1908.

Nr. 6.

---

**Sitzung vom 6. März 1908.**

---

Vorsitzender: Hr. H. RUBENS.

---

Vor Eintritt in die Tagesordnung legt Hr. H. Rubens zwei Mitteilungen von Hrn. H. Starke vor:

1. Einige Versuche über die Sekundärstrahlen des Radiums.
  2. Akustische Notizen.
    - a) Über die Erzeugung von Tönen durch künstliche Schwebungen.
    - b) Zur Erklärung der sog. Reflexionstöne.
- 

Sodann berichtet Hr. G. Leithäuser:

1. Über die Analyse der Stickoxyde mit Hilfe ihrer Absorptionsspektren im Ultrarot (nach gemeinsam mit Hrn. E. Warburg angestellten Versuchen). (Vgl. Berl. Ber. 1908, S. 148—153.)
  2. Über den Einfluß des Ozons auf die Kondensation von Wasserdampf (nach gemeinsam mit Hrn. R. Pohl ausgeführten Versuchen).
-

Ferner zeigt Hr. **W. Kaufmann** eine Bunsenklemme für beliebig weite Gefäße vor.

---

Weiter führt Hr. **H. Diesselhorst** einige Demonstrationsapparate zur Analyse elektrischer Schwingungen im Betrieb vor.

---

Endlich legt Hr. **Karl Scheel** folgende zur Veröffentlichung in den „Verhandlungen“ der Gesellschaft eingegangene Mitteilungen vor:

1. von Hrn. **Kurt Herrmann**: Brechung und Dispersion des Heliums (Mitteilung aus dem Physikalischen Institut der Universität Halle a. S.);
  2. von Hrn. **Adolf Heydweiller**: Über die Oberflächenspannung verdünnter wässriger Salzlösungen;
  3. von Hrn. **Hans Boas**: Bemerkungen zu der Arbeit von Hrn. Dr. **GLATZEL**: „Die Quecksilberfunkenstrecke und ihre Verwendung zur Erzeugung schwach gedämpfter elektrischer Wellen.“
- 

Als Mitglieder wurden in die Gesellschaft aufgenommen:

Hr. **GUSTAV FÖRSTER**, wiss. Hilfsarbeiter am Kgl. Geodätischen Institut, Potsdam.

(Vorgeschlagen durch Hrn. **ERICH REGENER**.)

Hr. Dr. **HERMANN WOLFF**, Marburg (Lahn), Hainweg 6.

(Vorgeschlagen durch Hrn. **EMIL TAKE**.)

Hr. Dr. **KARL STUCHTEY**, Assistent am Physikalischen Institut der Universität Marburg.

(Vorgeschlagen durch Hrn. **F. RICHARZ**.)

Hr. cand. math. O. **BÖTTCHER**, Jena, Engelstr. 14.

(Vorgeschlagen durch Hrn. **H. SCHMIDT**.)

Hr. Dr. med. **GEORG BRINKMANN**, Kgl. pr. Stabsarzt a. D., Wilmersdorf, Pfalzburgerstr. 53.

(Vorgeschlagen durch Hrn. **ERICH REGENER**.)

---

**Über die Oberflächenspannung verdünnter  
wässriger Salzlösungen;  
von Adolf Heydweiller.**

(Vorgelegt in der Sitzung vom 6. März 1908.)

(Vgl. oben S. 244.)

Bei Versuchen, die Herr GRADENWITZ<sup>1)</sup> auf meine Veran-  
lassung vor 8 Jahren über die Oberflächenspannung verdünnter  
wässriger Lösungen einiger Alkali-Chloride und -Nitrats aus-  
führte, ergab sich, daß die auf ein g-Äq. bezogene prozentische  
Änderung  $\Delta$  der Oberflächenspannung der Lösung gegen reines  
Wasser bei größeren Verdünnungen mit steigender Konzentration  
merklich abnimmt. Die Hinzunahme anderweitiger zahlreicher  
Beobachtungen an konzentrierteren Lösungen zeigte ferner, daß  
die Änderung  $\Delta$  bei einer gewissen Konzentration ein Minimum  
erreicht, um dann wieder langsam zu wachsen. Dieses Verhalten  
wurde durch neuere Versuche von Herrn A. KLEINE an einer Reihe  
verschiedener Salzlösungen, die demnächst bekannt gegeben werden,  
vollständig bestätigt worden. Ein ganz analoges Verhalten hat  
im Jahre 1905 Herr GRÜNEISEN<sup>2)</sup> für die innere Reibung ver-  
dünnter Salzlösungen nachgewiesen und mit Erfolg auf den ver-  
änderlichen Einfluß der ionisierten und der nicht ionisierten Mole-  
küle auf das Lösungsmittel, sowie auf die Wechselwirkung der  
Ionen zurückgeführt. Zur Trennung dieser verschiedenen Ein-  
flüsse setzt Herr GRÜNEISEN

$$\frac{\eta - 1}{m} = Ai + B(1 - i) + Cm,$$

wo  $\eta$  die auf Wasser bezogene innere Reibung der Lösung  
bei der Konzentration  $m \frac{\text{g-Äq.}}{\text{Liter}}$ ,  $i$  ihr Dissoziationsgrad und  $A$ ,  
 $B$  und  $C$  die auf die erwähnten Einflüsse bezügliche Konstanten sind.

1. GRADENWITZ, Inaug.-Diss. Breslau 1902. Phys. ZS. 3, 329, 1902.  
2. GRÜNEISEN, Wiss. Abb. d. Phys.-Techn. Reichsanstalt 4, 237, 1905.

Bei der Analogie in dem Verhalten der Oberflächenspannung der Lösungen zu dem der inneren Reibung lag es nahe, hier eine ähnliche Darstellung zu versuchen.

Die Beobachtungen von GRADENWITZ und KLEINE wurden zu diesem Zwecke ergänzt durch Mittelwerte aus den vorliegenden besseren Beobachtungen an konzentrierteren Lösungen, auf graphischem Wege interpoliert, und aus den erhaltenen Kurven Werte der Konstanten  $A_1$ ,  $B_1$ ,  $C_1$  der Gleichung

$$\Delta = A_1 i + B_1 (1 - i) + C_1 m$$

bestimmt, in der  $\Delta$  die schon erwähnte Größe ist, die sich aus den Oberflächenspannungen von Wasser und Lösung,  $\alpha$  und  $\alpha + \Delta\alpha$  nach der Formel

$$\Delta = \frac{100 \Delta\alpha}{\alpha m}$$

ergibt.

In der Tat ließen sich, ebenso wie für die GRÜNEISENSchen Bestimmungen, die aus den Beobachtungen abgeleiteten Kurven durch eine Gleichung der obigen Form sehr befriedigend darstellen.

Die Ergebnisse dieser vorläufigen Berechnungen möchte ich (eventuelle spätere Berichtigung vorbehaltend) wenigstens für eine Gruppe, die der Chloride, für die jetzt Beobachtungen an sieben Salzen vorliegen, hier mitteilen; die Salze sind nach steigendem Äquivalentgewicht  $A$  angeordnet.

|       | LiCl    | $\frac{1}{2} \text{MgCl}_2$ | $\text{NH}_4\text{Cl}$ | NaCl    | KCl     | $\frac{1}{2} \text{SrCl}_2$ | $\frac{1}{2} \text{BaCl}_2$ |
|-------|---------|-----------------------------|------------------------|---------|---------|-----------------------------|-----------------------------|
| $A$   | 42,48   | 47,63                       | 53,52                  | 58,37   | 74,60   | 79,26                       | 104,15                      |
| $A_1$ | + 3,77  | + 3,12                      | + 2,45                 | + 2,84  | + 2,87  | + 3,25                      | + 4,16                      |
| $B_1$ | + 1,00  | + 0,08                      | - 0,21                 | - 0,25  | - 1,58  | - 1,66                      | - 2,16                      |
| $C_1$ | + 0,147 | + 0,327                     | + 0,097                | + 0,279 | + 0,195 | + 0,474                     | + 0,525                     |
| $a$   | 0,0082  | 0,035                       | 0,0059                 | 0,015   | 0,011   | 0,052                       | 0,058                       |

Die drei Konstanten  $A_1$ ,  $B_1$ ,  $C_1$  haben eine angebbare physikalische Bedeutung.  $A_1$  ist für stark ionisierte gelöste Substanzen der Wert von  $\Delta$  in großer Verdünnung ( $m = 0$ ,  $i = 1$ );  $B_1$  wäre der Wert von  $\Delta$  in großer Verdünnung für nicht ionisierte Körper und  $C_1$  kann man als ein Maß für den inneren Kohäsionsdruck des gelösten Körpers auffassen, da es den Einfluß der

Wechselwirkung der in Lösung befindlichen Moleküle auf die Oberflächenspannung des Lösungsmittels darstellt.

Folgt man Herrn VAN 'T HOFFS Vorstellungen über die Natur der Lösungen und über die Analogie zwischen gasförmigem und gelöstem Zustand, wonach bei Einführung des osmotischen Druckes an Stelle des Gasdruckes die Zustandsgleichung der Gase auf den gelösten Körper anwendbar ist, und führt man für konzentrierte Lösungen die erweiterte VAN DER WAALSsche Zustandsgleichung ein, so kann man die Konstante  $a$  derselben aus der Größe  $C_1$  ableiten.

Denn letztere gibt für normale Lösungen die prozentische Änderung, welche die Oberflächenspannung des Lösungsmittels durch ihre zweite LAPLACESche Konstante  $H$  durch den Kohäsionsdruck des gelösten Körpers erfährt; ebenso groß ist aber auch die prozentische Änderung der ersten LAPLACESchen Konstanten  $K$  durch den Kohäsionsdruck des Lösungsmittels, den VAN DER WAALS für Wasser zu rund 10000 Atm. berechnet hat, und es ist mithin der Kohäsionsdruck des gelösten Körpers in normaler Lösung

$$\frac{C_1}{100} \cdot 10000 = 100 C_1 \text{ Atm.}$$

Dieser Kohäsionsdruck ist aber in der VAN DER WAALSschen Gleichung dargestellt durch das Glied  $\frac{a}{v^2}$ , in dem als Einheit des Volumens  $v$  üblicherweise dasjenige zu nehmen ist, in dem der osmotische Druck (hier aber der osmotische Druck) der gegebenen Substanzmenge (1 g-Äq.) gleich 1 Atm. ist. Das ergibt für das Volumen der Normallösungen

$$v = \frac{1}{22,4(1+i)}$$

für die Chloride der einwertigen,

$$v = \frac{2}{22,4(1+2i)}$$

für die Chloride der zweiwertigen Metalle, worin  $i$  den Dissoziationsgrad bei dem osmotischen Druck von 1 Atm. bedeutet.

Danach berechnen sich die in der letzten Zeile der obigen Zusammenstellung enthaltenen Werte von

$$a = \frac{100 C_1}{22,4^2(1+i)^2} \text{ bzw. } = \frac{400 C_1}{22,4^2(1+2i)^2}$$



Die Vergleichung dieser Werte mit der Zusammenstellung in LANDOLT-BÖRNSTEINS Tabellen (3. Aufl., S. 187 ff.) zeigt, daß sie von derselben Größenordnung wie die für den gasförmigen Zustand sind; z. B. 0,007 für  $\text{CO}_2$ , 0,012 für  $\text{Cl}_2$ , 0,035 für  $\text{C}_2\text{H}_4\text{O}_2$ , 0,045 für  $\text{GeCl}_4$ , 0,079 für  $\text{C}_{10}\text{H}_8$ .

Die Konstante  $B_1$  des Moleküleinflusses auf das Lösungsmittel zeigt innerhalb der Chloridreihe eine regelmäßige Abnahme mit steigendem Molekulargewicht, die von positiven Werten zu negativen überführt, während  $A_1$ , den Ioneneinfluß darstellend, immer positiv ist, aber mit steigendem Molekulargewicht ein Minimum aufweist, was auf zweifache Wirkung schließen läßt, vielleicht dem Charakter der Ionen als Massen und als Elektrizitätsträger entsprechend. Die eine würde mit steigendem Molekulargewicht zu-, die andere abnehmen.

Eine umfangreichere Prüfung dieser Beziehungen wäre sehr erwünscht; leider ist die Beschaffung eines ausreichend genauen Beobachtungsmaterials recht schwierig und zeitraubend.

Münster i. W., Physikalisches Institut, März 1908.

*über den Einfluss des Ozons auf die Kondensation  
von Wasserdampf;*

*von G. Leithäuser und R. Pohl.*

(Vorläufige Mitteilung.)

(Vorgetragen in der Sitzung vom 6. März 1908.)

(Vgl. oben S. 243.)

§ 1. Die Frage nach der Einwirkung des Ozons auf die Kondensation des Wasserdampfes ist Gegenstand vieler Untersuchungen gewesen, ohne bisher eindeutig entschieden zu sein. Entgegen älteren Angaben von MASCART<sup>1)</sup> behauptete KIESSING<sup>2)</sup>, daß Ozon auf die Kondensation des Wasserdampfes im Expansionsgefäß<sup>3)</sup> ohne Einfluß sei, während R. v. HELMHOLTZ und RICHARZ<sup>2)</sup> eine Einwirkung des O<sub>3</sub> beobachteten, wenn dieses in zerfallenden Zustand in den „Dampfstrahl“ eingeführt wurde. Gemäß der von diesen Herren vertretenen Ansicht, daß die Wirkung des zerfallenden O<sub>3</sub> durch Ionen zu erklären sei, wurde dann von GUNKELL und UHRIG<sup>3)</sup> gefunden, daß das Kondensationsvermögen des Ozons mit dem Auftreten elektrischer Leitfähigkeit parallel gehe und nach einer Beseitigung des Leitvermögens durch längeres Stehenlassen oder ein elektrisches Feld oder ein Glaswollefilter (künstliche Alterung) verschwände. In neueren Versuchen des Herrn BARKOW<sup>4)</sup> ließ sich die Anwesenheit von Ionen für die Kondensation durch Ozon nicht aufrecht erhalten, als statt des Dampfstrahls das empfindlichere Nebelexpansionsgefäß benutzt wurde.

Für die Kondensation des Wasserdampfes im Nebelgefäß ist, wie Herr BARKOW an vielen eigenen und aus der Literatur

<sup>1)</sup> Zit. nach R. v. HELMHOLTZ, Wied. Ann. 32, 5, 1887.

<sup>2)</sup> R. v. HELMHOLTZ, Wied. Ann. 27, 508, 1886, und F. RICHARZ, Wied. Ann. 40, 161, 1890.

<sup>3)</sup> A. UHRIG und A. GUNKELL, Diss. Marburg 1903 bzw. 1906.

<sup>4)</sup> E. BARKOW, Diss. Marburg 1906 (daselbst ein sehr ausführliches Literaturverzeichnis).

zusammengestellten Versuchen zeigte, zweierlei charakteristisch: Erstens setzt die Kondensation bei sehr geringer, oft sogar schon ohne jede Expansion ein, und zweitens entsteht in vielen Fällen ein feiner blauglänzender Nebel, der zuerst von C. T. R. WILSON<sup>1)</sup> und J. H. VINCENT<sup>2)</sup> in sauerstoffhaltigen Gasgemischen beobachtet wurde und aus ganz feinen Tröpfchen besteht, die das Licht nicht mehr beugen, sondern nur diffus zerstreuen.

Beide Tatsachen, sowohl das Einsetzen des Nebels ohne die für Ionen charakteristische Entspannung, wie die Beständigkeit äußerst feiner Nebeltröpfchen machen es sehr wahrscheinlich, daß für die Wirkung des Ozons nicht die Anwesenheit von Ionen maßgebend ist, sondern daß die Entstehung des Nebels auf die Bildung chemischer Produkte zurückzuführen ist, welche die Dampfspannung des Wassers außerordentlich herabsetzen. — Eine Reihe von Versuchen, die wir im folgenden mitteilen, scheinen uns zugunsten dieser Ansicht zu sprechen.

§ 2. Die Bildung dampfdruckerniedrigender Substanzen durch Ozon setzt die Anwesenheit fremder Beimengungen voraus. Die übliche Beimengung des Sauerstoffs ist Stickstoff, es können bei der Ozonisierung Stickstoff-Sauerstoffverbindungen gebildet werden, und es läßt sich leicht zeigen, daß die Nebelbildung durch Ozon mit wachsendem Stickstoffgehalt zunimmt.

Die Versuchsanordnung kann sehr einfach gehalten werden. Zuerst der Gasbehälter (Gasometer oder Bombe), dann ein Wattefilter zur Entfernung mechanischen Staubes, dann ein Trockenrohr mit  $H_2SO_4$  oder besser Kühlschlangen auf der Temperatur der festen  $CO_2$ , ein SIEMENSches Ozonrohr mit Wechselstrom betrieben, und schließlich der Nebelballon, d. h. eine Glas- kugel von etwa 20 cm Durchmesser, ein Drittel ihrer Höhe mit Wasser gefüllt und mit einem Fenster zur Beleuchtung durch Bogenlicht versehen. Eine Expansionsvorrichtung erleichtert die Reinigung des Ballons, ist aber zur Erzeugung der Nebelbildung nicht erforderlich, da sich die Kondensation durch Ozon stets ohne Expansion hervorrufen läßt.

Für verschiedenen Stickstoffgehalt des benutzten Sauerstoffs

<sup>1)</sup> C. T. R. WILSON, Phil. Trans. London (A) 192, 403, 1899.

<sup>2)</sup> J. H. VINCENT, Proc. Cambr. Phil. Soc. 12, 305, 1903.

die Beobachtungen gemacht, die in Tabelle I zusammen-  
sind.

Tabelle I.

| Gas                           | Konzentration<br>des $O_3$<br>g/cbm                                  | Nebel ohne Expansion                                     |
|-------------------------------|--|--|
| 96,2 Proz. $O_2$ aus Bombe    |  |  |
| Im Apparat vorher Luft        | 10,5   | deutlicher blauer Nebel                                  |
| Vorher Luft                   | 3,2  | schwacher blauer Nebel                                   |
| " "                           | 12,0   | } keine merkliche Zu-<br>nahme                           |
| " "                           | 20,0   |  |
| Vorher 96,2 Proz. $O_2$       | 47   | } ganz schwacher blauer<br>Nebel                         |
| " 96,2 " "                    | 58,5   |  |
| " 96,2 " "                    | 56,0   |  |
| " 96,2 " "                    | 51   |  |
| Erst Luft, dann 60 Min. $O_2$ | 27,4   | blauer Nebel eben sichtbar                               |
| Nach 30 Min. Ozonis.          | 57,5   | } blauer Nebel an der<br>Grenze der Wahr-<br>nehmbarkeit |
| " 60 " "                      | 59   |  |
| " 60 " "                      | 68   |  |
| 93 Proz. $O_2$ aus Bombe      |  |  |
| Vorher 96,2 Proz. $O_2$       | 17   | blauer Nebel eben sichtbar                               |
| 21 Proz. $O_2$ (Luft)         |  |  |
| Vorher Luft                   | } sehr klein<br>(nur durch<br>ultraviolettes<br>Licht<br>ozonisiert) | feiner blauer Nebel                                      |
| " "                           |  | 0,3  |
| " "                           | 0,9  | } dicktröpfiger graublauer<br>Nebel                      |
| Vorher 93 Proz. $O_2$         | 22   |  |

Inhalt dieser Tabelle zeigt ohne weiteres, daß für die  
ung durch Ozon die Anwesenheit von  $N_2$  im  $O_2$  eine  
ne Rolle spielt: Gibt in strömendem 96,2 Proz.  $O_2$  ein  
lt von 68 g/cbm kaum merkliche Nebelbildung, wenn der  
vorher gut von Luft gereinigt ist, so zeigt sich bei  
ng von Luft schon bei einigen Zehnteln g/cbm  $O_3$  be-  
e Kondensation.

Bei der Einwirkung stiller elektrischer Entladung auf trockene Stickstoffsauerstoffgemische entstehen, falls nicht die ozonlose Entladung herrscht, wie neuerdings eingehend untersucht<sup>1)</sup>,  $N_2O$ ,  $N_2O_3$  und Y. Zum Teil sind es Säureanhydride und letztere vermögen, wie schon R. v. HELMHOLTZ<sup>2)</sup> u. a.<sup>3)</sup> gezeigt, auch ohne jede Entspannung die Kondensation von Wasserdampf hervorzurufen: Somit wird sehr wahrscheinlich, daß die oben beschriebene Nebelbildung durch Ozon den dabei entstandenen Stickoxyden zuzuschreiben ist.

§ 3. Bleibt zunächst noch die nähere Natur dieser Stickoxyde dahingestellt, so muß sich die Richtigkeit dieser Ansicht dadurch prüfen lassen, daß die Nebelbildung durch Ozon nach Beseitigung der Stickoxyde verschwindet.

Am sichersten ist es natürlich, ganz reinen Sauerstoff als Ausgangsmaterial für das Ozon zu nehmen. Doch stößt die Reindarstellung größerer Gasmengen auf beträchtliche Schwierigkeiten, die wir zum Teil in § 6 noch erwähnen werden. Wir zogen es daher vor, gewöhnlichen Bombensauerstoff mit einigen Prozent  $N_2$  Beimengung zu benutzen und die bei der Ozonisierung gebildeten Stickoxyde zu beseitigen. Nach einer Reihe von Versuchen erwies sich als das einfachste Mittel, das Ozonrohr während des Betriebes auf  $-79^\circ$  zu kühlen und eventuell noch zwischen das Ozonrohr und den Ballon eine Kühlschlange gleicher Temperatur einzuschalten.

93 Proz.  $O_3$ , der nach Tabelle I vorher bereits bei 17 g/cbm  $O_3$  Nebelbildung ergeben hatte, ließ bei Anwendung der Kühlung des Ozonrohres auch bei einer Konzentration von 75—78 g/cbm  $O_3$  keine Spur einer Nebelbildung erkennen, selbst wenn das Ozonrohr vorher mit Luft statt mit  $O_3$  in Berührung gewesen war. Noch besser zeigte sich der Einfluß der Kühlung bei Ozonisierung von Luft: Hier trat bei 34 g/cbm  $O_3$  keine intensivere Nebelbildung auf, als sie vorher bei 0,3 g/cbm  $O_3$  beobachtet war, d. h. ein blauer Nebel mit einigen größeren Tropfen. Diese Tatsachen können als weiterer Beweis der Behauptung gelten, daß nicht das Ozon selbst

<sup>1)</sup> E. WARBURG und G. LEITHÄUSER, Ann. d. Phys. (4) 20, 747, 1906.

<sup>2)</sup> Loc. cit.

<sup>3)</sup> H. REBENSTORFF, Phys. ZS. 6, 101, 1905.

als Ursache der Kondensation zu betrachten ist, sondern die Stickoxyde, die mit ihm bei der stillen Entladung gebildet werden.

§ 4. Die Möglichkeit, aus Bombensauerstoff mit einigen Prozent Stickstoffbeimengungen ein Ozon zu erhalten, das keine Wasserdampfkondensation hervorruft, gestattet nun weiter die Entscheidung der Frage, welche Arten von Stickoxyden an der Nebelbildung beteiligt sind. Zu diesem Ende wurden dem Gase, das durch den Nebelballon hindurchströmte, also entweder dem  $O_3$  oder dem  $O_2$ , verschiedene Stickoxyde nach dem Verlassen des gekühlten Ozonrohres und vor Eintritt in den Ballon in kleinen und veränderlichen Mengen zugesetzt. Zunächst wurde hinter das gekühlte Ozonrohr ein u-förmiges Glasrohr eingeschaltet, das festes, auf  $-79^\circ$  gekühltes  $N_2O_5$  (Salpetersäureanhydrid) enthielt. Das  $N_2O_5$  war seinerseits mit  $N_2O_4$  aus einem Hochspannungslichtbogen und  $O_3$  aus einem SIEMENS-Generator hergestellt.

Solange nicht ozonisierter Sauerstoff über das feste  $N_2O_5$  hinwegstrich, blieb der Ballon optisch leer, höchstens traten hin und wieder vereinzelte große farblose Tropfen auf. Wird dann der Dampfdruck des  $N_2O_5$  durch Wegziehen des Kühlbades —  $CO_2$  mit Alkohol in einem Dewargefäß — etwas erhöht, so zeigt der Ballon eine intensive Nebelbildung in Gestalt dichter Wolken schwach irisierender großer Tropfen. Bei Erniedrigung des Dampfdruckes verschwindet dieser Nebel wieder. Nie wird eine Spur des feinen blauen Nebels beobachtet. Der nahezu farblose großtröpfige Nebel ist für  $N_2O_5$  charakteristisch. Man erhält ihn auch leicht bei Einleiten von  $N_2O_4$  in ein  $O_3$ -haltiges Nebelgefäß.

Dahingegen zeigt sich der blaue Nebel, wenn über das feste  $N_2O_5$  statt Sauerstoff Ozon hinweggeleitet wird. Es sind nur schwache Ozonkonzentrationen erforderlich, etwa 6 g/cbm. Bei höheren Konzentrationen (22 bis 41 g/cbm  $O_3$ ) bildet sich im blauen Nebel eine große Zahl größerer Tropfen, welche die Gesamtfarbe des beleuchteten Nebels mehr als ein Graublau erscheinen lassen.

Hat man bei schwacher Ozonkonzentration durch Einwirkung des Ozons auf  $N_2O_5$  den feinen blauen Nebel hervorgerufen und erhöht man alsdann plötzlich den Dampfdruck des  $N_2O_5$  durch Senken des Dewargefäßes, so sieht man die grobtröpfigen  $N_2O_5$ -

Wolken in den feinen blauen Nebel hineintreten und ebenso wieder verschwinden, wenn das  $N_2O_5$  von neuem auf  $-79^\circ$  gekühlt wird.

Demgemäß ist als Ursache des feinen blauen Nebels irgend ein Stickstoffsäureanhydrid anzusehen, das durch Einwirkung des Ozons auf  $N_2O_5$  entsteht und möglichenfalls mit dem von HAUTEFEUILLE und CHAPPUIS<sup>1)</sup> durch seine Absorption im sichtbaren Spektralgebiet entdeckten und neuerdings<sup>2)</sup> unter der vorläufigen Bezeichnung Y näher untersuchten Körper identisch ist.

§ 5. Gelingt es, die Erzeugung von Nebel durch Ozon ohne Expansion für den Fall von Stickstoffsauerstoffgemischen durch die Bildung von Stickoxyden zu erklären, so ist auch bei Abwesenheit des  $N_2$  eine Nebelbildung zu erwarten, wenn dem Ozon die Möglichkeit zur Bildung eines anderen Säureanhydrids geboten wird.

Einen derartigen Fall beobachteten wir z. B. bei dem Versuch, reinen Sauerstoff aus Kaliumchlorat zu gewinnen. Dieser  $O_2$  ist nach Messungen ultraroter Absorption sehr frei von  $N_2$ , läßt auch den Ballon optisch leer, erzeugt aber bei Ozonisierung einen intensiven Nebel, dessen Farbe sich wesentlich von der des Stickoxydnebels unterscheidet. Er ließ sich bei Ozonkonzentrationen von 14 bis 45 g/cbm  $O_3$  durch Vorlagen von KOH und  $H_2SO_4$  vor dem Ozonrohr beseitigen und dürfte wahrscheinlich einer Chlorsäure zuzuschreiben sein, die durch Einwirkung des Ozons auf eine Spur Chlor entsteht, die dem  $O_2$  beigemischt<sup>3)</sup> ist.

Desgleichen beobachteten wir dichte grobtröpfige Nebel beim Durchleiten von Ozon, das nach § 3 stickstoffoxydfrei gemacht war, durch Schwefelsäure, während Sauerstoff cet. par. ohne Einfluß war<sup>4)</sup>. Hier ist die Möglichkeit der Bildung eines Schwefelsäureanhydrids gegeben.

Schließlich sei noch auf die Jodsäurenebel hingewiesen, die Ozon beim Passieren von KJ-Vorlagen erzeugt<sup>5)</sup>, sie werden

<sup>1)</sup> P. HAUTEFEUILLE und J. CHAPPUIS, C. R. 92, 80, 1881.

<sup>2)</sup> E. WARBURG und G. LEITHÄUSER, Ann. d. Phys. (4) 23, 209, 1907.

<sup>3)</sup> GMELIN-KRAUT, Handb. d. anorg. Chemie 1, 3.

<sup>4)</sup> TOWNSEND, Formation of clouds with ozone. Proc. Cambridge Phil. Soc. 10, Part II, 1899.

<sup>5)</sup> TOWNSEND, l. c.

n ungeheuer dick und undurchsichtig, wenn das hindurch-  
ende  $O_3$  etwas  $N_2O_5$  oder Y enthält.

§ 6. Den Inhalt unserer Ausführungen möchten wir dahin  
ammenfassen, daß Ozon eine Kondensation des Wasserdampfes  
e Expansion in den Fällen zu erzeugen vermag, in denen ihm  
Möglichkeit geboten wird, ein Säureanhydrid zu bilden, das  
Dampfdruck des Wassers herabsetzt.

Berlin, Physikal. Institut der Universität, März 1908.



***Magnetische Messungen an Mangan-Zinn- und  
Mangan-Antimonlegierungen, mit Beschreibung  
eines verbesserten Magnetoskops;  
von Heinrich Fassbender.***

VII. Mitteilung über magnetische Manganlegierungen aus dem  
Physikalischen Institut der Universität Marburg i. H. und aus  
dem Chemischen Laboratorium der Isabellenhütte, G. m. b. H., zu  
Dillenburg<sup>1)</sup>.

(Vorgelegt in der Sitzung vom 21. Februar 1908.)

(Vgl. oben S. 116.)

1. Die Mangan-Zinnlegierungen sind gerade die Legierungen, an denen zuerst Herr Fr. HEUSLER die Magnetisierbarkeit von Legierungen unmagnetischer Metalle entdeckt hat<sup>2)</sup>. Im Marburger Physikalischen Institut sind bereits von Herrn E. HAUPT<sup>3)</sup> einige Messungen ausgeführt worden an Legierungen von Zinn mit dem 30prozentigen Mangankupfer des Handels, demselben, mit dem auch die HEUSLERSchen Aluminium-Manganbronzen hergestellt wurden. Die folgenden Messungen sind ebenfalls im Marburger Physikalischen Institut seit September vorigen Jahres ausgeführt worden und zwar im direkten Auftrag von Herrn FR. HEUSLER; wegen Übernahme einer anderweitigen Stellung habe ich sie nunmehr abgeschlossen.

Außer den Marburger Arbeiten lag auch eine Arbeit von ROBERT S. WILLIAMS<sup>4)</sup> über die Mangan-Zinnlegierungen vor. Während jedoch WILLIAMS die Magnetisierbarkeit nur mit einem

---

<sup>1)</sup> Zitate der früheren Mitteilungen, siehe die VI.; von PAUL ASTEROTH, Verh. d. D. Physik. Ges. 10, 21—32, 1908.

<sup>2)</sup> Im Januar 1895. Die Magnetisierbarkeit der übrigen Legierungen wurde in den Jahren 1898/99 entdeckt, nicht 1903<sup>3)</sup> wie in der ersten Zeile der vorigen Mitteilung versehentlich angegeben.

<sup>3)</sup> Schriften der Marburger Gesellschaft 1904, S. 267.

<sup>4)</sup> WILLIAMS, Über Legierungen des Antimons mit Mangan, Chrom, Silicium und Zinn; des Wismuts mit Chrom und Silicium und des Mangans mit Zinn und Blei. ZS. f. anorg. Chemie 55, 1, 1907.

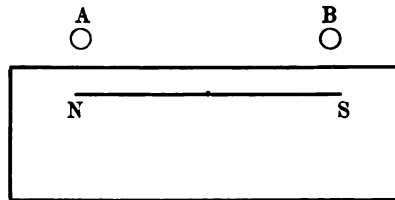
achen Magnetoskop<sup>1)</sup> untersucht und nur kurze qualitative Angaben über die Magnetisierbarkeit gemacht hat, sind die Messungen der Magnetisierbarkeit bei verschiedenen Feldstärken von mir mit dem Magnetometer quantitativ ausgeführt.

Bevor ich die Induktionswerte bestimmte, stellte ich zunächst Umwandlungstemperaturen der zu untersuchenden Mn-Sn-Legierungen mit einem besonders empfindlichen Magnetoskop

Dieses besteht aus einem astatischen Nadelpaar, aufgehängt an einem Faden aus Rotguß. Die Magnetnadeln, die aus einem magnetischen Magazin von je zwei magnetisierten Korsettstäben bestehen, haben eine Länge von 30 cm und sind 15 cm voneinander entfernt. Der Apparat steht, um vor Luftströmungen geschützt zu sein, in einem Kasten. Außerhalb dieses Kastens werden die Legierungen im Paraffinölbade durch einen Bunsenbrenner erhitzt und der Ausschlag mit Spiegel und Skala beobachtet. Die Legierung ist so zu orientieren, daß sie dem einen oder der einen Nadel möglichst genähert ist, so daß die entgegengesetzte Wirkung auf die entferntere zweite Nadel nicht in Betracht kommt. In dieser Form wurde das Magnetoskop im hiesigen Institut von Herrn PREUSSER zusammengestellt (vgl. seine demnächst erscheinende Dissertation). Während diese Anordnung für schwer magnetisierbare Bronzen — Herr PREUSSER untersuchte Magnan-Aluminiumbronzen — im allgemeinen genügt, so stößt man bei den magnetischen Messungen der schwach magnetischen Mn-Sn-Legierungen auf besondere Schwierigkeiten, da die unvermeidlichen Fehler hier im Vergleich zu den geringen magnetischen Ausschlägen dieser Legierungen die Resultate sehr beeinträchtigen können. Zunächst kann man sich nur äußerst schwer eine ganz eisenfreie Apparatur aufstellen. Ist diese aber nicht eisenfrei, so verändern die Eisenspuren bei Temperaturänderung ihre Magnetisierbarkeit und diese Veränderung bedingt einen Ausschlag an der astatischen Magnetnadel. Außerdem sind einseitige Luftströmungen im Innern des Kastens nicht oder nur äußerst schwer zu vermeiden. Denn man muß, um einen einigermaßen großen Ausschlag zu bekommen, diese, somit auch den Bunsenbrenner, sehr nahe an den Kasten bringen. Dadurch wird

<sup>1)</sup> Vgl. über diese Vorrichtung ZS. f. anorg. Chem. 42, 359, 1904.

dieser stark einseitig erwärmt und diese Erwärmung erzeugt im Innern Luftströmungen. Diese Fehlerquellen werden unschädlich, wenn man eine Kompensation derselben vollzieht, wie durch folgenden Grundriß erläutert wird:



*SN* ist die obere der beiden astatischen Magnetnadeln, *A* und *B* sind zwei Graphittiegel, die durch möglichst eisenfreie Bunsenbrenner (mit Messingrohr und Bleifuß) erwärmt werden. In den Tiegeln stehen in einem Sandbade Reagenzgläser, die mit Paraffinöl gefüllt sind. Der Apparat ist vollkommen symmetrisch gebaut. Durch das Erwärmen des Tiegels *A* werden allerdings auch im Innern des Kastens Luftströmungen entstehen und diese wie auch die Veränderung der Magnetisierung der nicht ganz eisenfreien Bunsenbrenner und der Aufhängevorrichtung des Tiegels werden eine Veränderung des einen Drehungsmoments auf die Nadelspitze *N* ausüben, doch wird dieses aufgehoben durch die umgekehrt gleiche Veränderung des von *B* auf die Spitze *S* ausgeübten Drehungsmoments, bei einer durch Vorversuche genau auszuprobierenden Stellung von *B* und des unter ihm befindlichen Brenners. Bei einem blinden Versuch, ohne daß also in einem der Reagenzgläser eine magnetisierbare Legierung hängt, bleibt die Nadel beim Erhitzen und Abkühlen in ihrer Ruhelage stehen, was ohne diese Kompensationsmethode infolge der oben erwähnten Fehlerquellen nicht der Fall ist. Die Temperatur des Bades konnte mit einem hochgradigen Hg-Thermometer mit  $\text{CO}_2$ -Füllung gemessen werden. Seine Ablesung geschah mittels eines zweiten Fernrohrs von demselben Standort aus, der für die Spiegelablesung der Nadelausschläge gewählt worden war.

Bei einem Versuch zur Ermittlung der Umwandlungstemperatur bestimmt man zunächst die ungestörte Ruhelage der Nadel, bringt die Legierung in das Bad von Zimmertempera-

tur und liest den Ausschlag ab. Alsdann erhitzt man das Bad und beobachtet die Veränderung der Nadelstellung mit der Veränderung der Temperatur. Die Temperatur, bei der die Nadel in ihre Ruhelage zurückgegangen, stellt den Umwandlungspunkt der Legierung dar. Im Gegensatz zu WILLIAMS fand ich nun bei allen von mir untersuchten Mangan-Zinnlegierungen einen deutlichen Umwandlungspunkt bei  $\sim 375^\circ$ . Beim Abkühlen tritt er bedeutend schärfer auf, als beim Erhitzen. Etwa bei  $300^\circ$  haben dann die Legierungen ihre volle Magnetisierbarkeit wieder erlangt, nur bei einer einzigen Legierung mit 55 bis 60 Proz. Mangan-gehalt konnte ich ein verzögertes Wiederauftreten der Magnetisierbarkeit bis zur Zimmertemperatur konstatieren.

Nach Feststellung der Umwandlungspunkte brachte ich die Legierungen durch Altern bei erhöhten, aber unterhalb des Umwandlungspunktes liegenden Temperaturen in einen stabilen magnetischen Zustand. Ich alterte zunächst alle Legierungen vier Stunden lang in siedendem Xylol ( $140^\circ$ ), bestimmte die Magnetisierungsintensität, dann alterte ich nochmals vier Stunden in Xylol und bestimmte ebenfalls die Werte der Magnetisierungsintensität  $\mathfrak{J}$ . Endlich alterte ich nochmals vier Stunden in Diphenylamin ( $310^\circ$ ), doch bekam ich jedesmal Werte, die sich von den ersten und zweiten nur innerhalb der Fehlergrenze unterscheiden. Das Maximum der Magnetisierbarkeit ist somit schon nach vierstündigem Altern bei  $140^\circ$  erreicht.

Zur magnetometrischen Untersuchung sei noch folgendes bemerkt. Die Mn-Sn-Legierungen sind äußerst spröde, so daß ein Abdrehen oder Feilen auf eine für exakte magnetometrische Messungen unerläßliche Form unmöglich ist. Die Legierungen wurden deshalb im Achatmörser äußerst fein pulverisiert, durch einen feinen Schleier gesiebt und das Pulver in Glasröhrchen gefüllt, die eine für das Magnetometer geeignete Form mit dem Dimensionsverhältnis 1:10 hatten. Das in die Berechnungen von  $\mathfrak{J} = \frac{\text{Moment}}{\text{Volumen}}$  eintretende Volumen der Pulvermasse wurde nicht aus Länge und Querschnitt berechnet; denn dann wären die Messungen davon abhängig geworden, ob das Pulver das eine Mal dichter oder lockerer eingefüllt wurde, sondern in die Formeln wurde auf Rat von Herrn Prof. RICHARZ

$v = \frac{\text{Masse}}{\text{spez. Gewicht}}$  eingesetzt. Hierin bedeutet Masse die wirkliche Masse des Pulvers im Röhrchen. Das spezifische Gewicht aber ist das spezifische Gewicht der kompakten Legierung, das nach dem archimedischen Prinzip vor dem Pulverisieren der Legierungen bestimmt wurde. Auf diese Weise setzen wir also jedesmal das Volumen ein, das die Legierung einnehmen würde, wenn sie kompakt wäre. Als Pulver nimmt dieselbe Masse bekanntlich ein größeres Volumen ein, das von der Feinheit der Pulverisierung abhängt.

Bei Berechnung der totalen oder effektiven Feldintensität  $\mathfrak{H}_t = \mathfrak{H}_e - N\mathfrak{I}$  müssen wir aber in  $\mathfrak{I}$  das aus den Dimensionen berechnete Volumen einsetzen, da die Stärke der Entmagnetisierung des Feldes von der tatsächlichen geometrischen Verteilung der Pulvermassen abhängt.

Der Entmagnetisierungsfaktor  $N$  ist den Werten nach H. DU BOIS<sup>1)</sup> entnommen. Dieser gilt nur für massive Massen, nicht aber für Pulver. Über Entmagnetisierungsfaktoren von Pulvern ist in der Literatur nichts bekannt. Wegen dieser unvermeidlichen Ungenauigkeit wurde auch darauf verzichtet, nach den neuesten Versuchen von SHUDDMAGEN<sup>2)</sup> die Abhängigkeit des Entmagnetisierungsfaktors bei zylindrischen Stäben von dem absoluten Durchmesser derselben zu berücksichtigen. Herr ASTEROTH<sup>3)</sup> hat bei Aufstellung seiner Kurven in seiner letzten Arbeit diese Entmagnetisierungsfaktoren benutzt, was an dieser Stelle nachträglich noch erwähnt werden soll.

Die Resultate sind in der Tabelle I zusammengestellt und auch in Kurven aufgezeichnet (Fig. 1). In diesen sind als Ordinaten die  $\mathfrak{B}$ -Werte eingezeichnet, da diese Art der Kurven in der Technik die übliche ist und auch in den früheren Mitteilungen des Marburger Physikalischen Instituts gewählt wurde. Für rein magnetische Messungen besitzen jedoch die  $\mathfrak{I}$ ,  $\mathfrak{H}$ -Kurven größere Vorzüge, da sie ohne weiteres erkennen lassen, ob eine

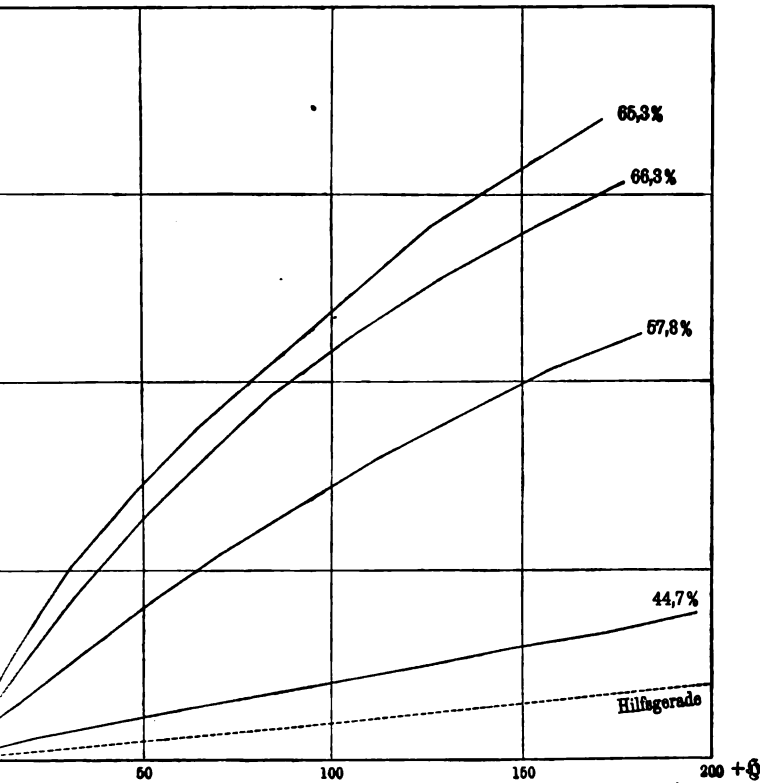
<sup>1)</sup> H. DU BOIS, Magnetische Kreise, deren Theorie und Anwendung, S. 46. Berlin, Springer, 1894.

<sup>2)</sup> Proc. Amer. Acad. 43, 185—256, 1907. Referat von E. TAKE, Beibl. 32, März 1908.

<sup>3)</sup> l. c. diese Verh.

etisierbarkeit vorhanden und ob eine Annäherung an das Maximum der Magnetisierbarkeit erreicht wird. Um den bei schwach magnetischen Proben stark hervortretenden Mangel der  $\beta$ ,  $\xi$ -Kurven zu beseitigen, sind, wie zuerst von H. DU BOIS<sup>1)</sup>

Fig. 1.



diese Kurvendarstellungen eingeführt, nach dem Vorschlage F. RICHARZ<sup>2)</sup> in den Kurvenblättern die  $\xi$ -Werte als Ordinaten ebenfalls eingezeichnet, die eine durch den 0-Punkt gehende Gerade bilden. Bei erreichter Sättigung müßten dann die  $\beta$ -

<sup>1)</sup> H. DU BOIS, l. c. S. 21.

<sup>2)</sup> Siehe die III. Mitteilung: Schrift der Marburger Gesellschaft, 9. 1904.

Kurven dieser Hilfsgeraden parallel laufen. Da unsere Kurve nicht im entferntesten ihr parallel laufen, so ist auch noch keineswegs eine Sättigung erreicht.

Tabelle I für die Mangan-Zinnlegierungen.

| $\oint$ | $\mathfrak{B}$ der jungfrülichen Kurve für Legierungen mit folgenden Mn-Proz. (Gewichtsprozenten) |            |            |            |
|---------|---|------------|------------|------------|
|         | 44,7 Proz.  | 57,8 Proz. | 65,3 Proz. | 66,3 Proz. |
| 5       | 12  | 44         | 64         | 55         |
| 10      | 23  | 95         | 160        | 130        |
| 20      | 43  | 168        | 332        | 260        |
| 40      | 88  | 325        | 612        | 532        |
| 100     | 208   | 720        | 1190       | 1089       |
| 150     | 302   | 990        | 1525       | 1389       |

$\oint$  = effektive Feldstärke.  $\mathfrak{B}$  = Induktion.

Es ist bekannt<sup>1)</sup>, daß bei Eisenpulvern die Sättigung erst bei äußerst hohen  $\oint$ -Werten, etwa 3000 Gauss, erreicht wird, wie sie mit dem Magnetometer nicht zu erzielen sind. Bei den Mn-Sn-Pulvern ist dies anscheinend also auch der Fall.

Aus der Tabelle ersieht man, daß ein Maximum für die Magnetisierbarkeit bei 65,3 Proz. Mn liegt. Dies entspricht etwa der Verbindung  $Mn_4Sn$ . Dieser Verbindung schreibt auch WILLIAMS auf Grund seiner nur qualitativen Messungen die größte Magnetisierungsintensität zu. Jedoch scheint uns noch nicht absolut sicher festzustehen, ob nicht doch etwa das Maximum bei geringerem Mangengehalt liegt, etwa bei  $Mn_3Sn$ , entsprechend 58,1 Proz. Mn, denn die zweite Legierung auf unserer Tabelle hat eine andere thermische Vorgeschichte, als die anderen drei, und die thermische Vorgeschichte hat auf magnetische Eigenschaften wie besonders auch ASTEROTH nachgewiesen, große Einflüsse.

Als Maß des auftretenden remanenten Magnetismus sei angegeben, daß die Probe mit 66,3 Proz. Mn eine Remanenz  $\mathfrak{B}_0 = 130$  hat, allerdings hatten wir mit dem Magnetometer, wie oben bemerkt, keineswegs angenähert Sättigung erreichen können.

<sup>1)</sup> TRENKLE, Erlanger Sitz.-Ber., 16. Dez. 1904. Ann. d. Phys. (4) 19 692, 1906.

ann wurden analoge Messungen an Mangan-Antimon-  
n vorgenommen. Über Mangan-Antimonlegierungen ist  
FR. HEUSLER<sup>1)</sup> ebenfalls von WILLIAMS<sup>2)</sup> gearbeitet  
Was jedoch die magnetischen Eigenschaften anlangt, so  
ebenso wie bei den Mangan-Zinnlegierungen, wenn  
dann nur kurze Bemerkungen über die Lage der Um-  
punkte und nur relative Angaben über die Größe der  
barkeit der einzelnen bei diesen Legierungen vor-  
Verbindungen. Herr Dr. HEUSLER überwies mir aus  
schen Laboratorium der Isabellenhütte in Dillenburg  
mit folgenden Gewichtsprozenten Mangan zur Unter-

|            |            |            |
|------------|------------|------------|
| 10,4 Proz. | 15,8 Proz. | 33,7 Proz. |
| 17,4 " "   | 40,9 " "   | 44,4 " a   |
| 44,4 " b   | etwa 45 "  |            |

44,4 Proz. a unterscheidet sich von 44,4 Proz. b nicht  
emischen Zusammensetzung, sondern nur in ihrer  
Vorbehandlung. 44,4 Proz. b ist in Wasser ab-  
während 44,4 Proz. a langsam erkaltete. Zunächst  
e von WILLIAMS angegebene Lage der magnetischen  
punkte und konnte diese bestätigen. Ich fand, daß  
ren mit einem Mangangehalt von 10,4 bis 40,9 Proz.  
Umwandlungspunkt bei  $\sim 330^\circ$  hatten, während der Um-  
punkt der Legierung mit etwa 45 Proz. Mn schon bei  
Einen Übergang konnte ich, wie auch schon WILLIAMS  
falls nicht bemerken. Den Umwandlungspunkt bei  
ot WILLIAMS einer Verbindung  $Sb_2Mn_3$  (entsprechend  
en Umwandlungspunkt bei  $\sim 270^\circ$  einer Verbindung  
prechend 47,8 Mn). Um die Legierungen in einen  
tischen Zustand zu bringen, alterte ich sie zunächst  
dann nochmals vier Stunden in siedendem Xylol  
chmals vier Stunden in siedendem Naphtalin ( $218^\circ$ )  
e Legierungen mit einem Umwandlungspunkt bei

BER, Schrift der Marburger Gesellschaft (N. F.), S. 256 und  
lag, 1904.

l. c.  
bei der Korrektur: und von E. WEDEKIND, ZS. f. Elektro-  
5; diese Verh. 7, 412, 1906; Chem. Ber. 40, 1259, 1907.



~ 330° vier Stunden in siedendem Glycerin (290°). Jedesmal bestimmte ich die Magnetisierungsintensität und fand, daß bei diesen Legierungen in der Tat ein Altern stattfindet wie bei den Mn-Al-Bronzen und das Maximum der Magnetisierungsintensität schon nach vierstündigem Altern bei 140° erreicht war.

Tabelle II für die Mangan-Antimonlegierungen:

| ϕ   | B der jungfräulichen Kurve für Legierungen mit folgenden Mn-Proz. |      |      |      |      |              |         |
|-----|---|------|------|------|------|--------------|---------|
|     | 10,4  | 15,8 | 33,7 | 37,4 | 40,9 | 44,4         | etwa 45 |
| 50  | 108   | 240  | 320  | 190  | 160  | 209<br>* 120 | 150     |
| 100 | 215   | 440  | 600  | 390  | 315  | 430<br>* 280 | 350     |
| 150 | 303   | 640  | 880  | 545  | 455  | 590<br>* 490 | 550     |

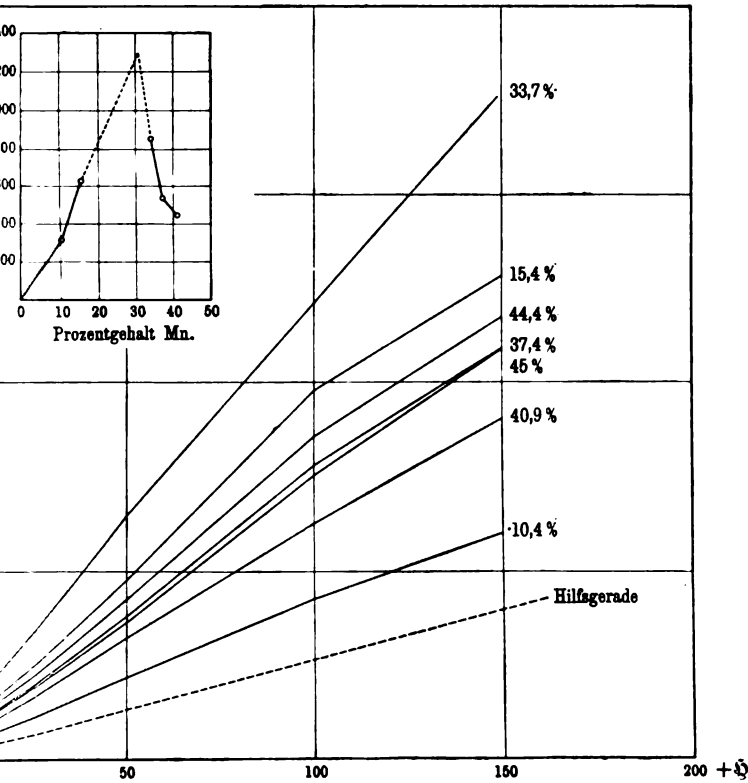
\* bedeutet, daß diese Messungen an einer bei Dunkelrotglut in Wasser abgeschreckten Probe von derselben chemischen Zusammensetzung von genommen sind.

Die magnetischen Aufnahmen wurden auch hier mit dem Magnetometer ausgeführt nach der bei den MnSn-Legierungen besprochenen Methode. Die erhaltenen Resultate sind in Tabelle I zusammengestellt und auch in Kurvenform aufgetragen (Fig. 2). Bei den Kurven fällt besonders der fast vollkommen lineare Verlauf auf, der beweist, daß noch kaum eine Annäherung an Sättigung angedeutet ist, da die Richtung der fast linearen Kurven von der der Hilfsgeraden abweicht. In Tabelle II sind für die Legierung mit 44,4 Proz. Mn immer zwei Werte angegeben. Herr Dr. HEUSLER hatte mir zwei Legierungen mit 44,4 Proz. Mn zur Messung übergeben, die sich nur dadurch unterschieden, daß die eine rotglühend in Wasser abgeschreckt worden war. Die mit versehenen Werte sind die Werte der abgeschreckten Legierung.

Die Werte unterscheiden sich wesentlich, wir sehen also entsprechend den ASTEROTH'schen Resultaten eine starke Abhängigkeit der magnetischen Eigenschaften von der thermischen Vorbehandlung. Da überdies die Magnetisierung sämtlicher Proben relativ klein ist, so beabsichtige ich nicht, aus diesen physikalischen Daten Schlußfolgerungen auf die chemische Konstitution der

antimonlegierungen zu ziehen, in welchen man chemische  
 dungen auch dann annehmen würde, wenn die magnetischen  
 chaften derselben fehlen würden. Es sei jedoch bereits an  
 Stelle auf eine Abhandlung verwiesen, welche Herr HEUSLER

Fig. 2.



abschluß anderweiter Versuchsreihen in der Zeitschrift für  
 nische Chemie veröffentlichten wird.

ahrscheinlich liegt ein Maximum der Magnetisierbarkeit  
 en 15,8 Proz. und 37,4 Proz. Unter Hinzunahme der Legierung  
 ,7 Proz. Mn kann man nämlich ungezwungen graphisch  
 (Nebentafel in Fig. 2) durch Interpolation die Lage des  
 ums bei etwa 31 Proz. konstruieren, entsprechend einer  
 mensetzung MnSb. Ein zweites Maximum scheint oberhalb

41 Proz. zu liegen. Die bei den magnetometrischen Messungen mit einer maximalen Feldstärke von 200 CGS auftretende Remanenz ist gering, wie bei den MnSn-Legierungen; dies war zu erwarten; denn in beiden Fällen handelt es sich um gepulverte Proben. Doch tritt an kompakten Stücken äußerst starker remanenter Magnetismus auf, wenn man solche Manganantimonstücke einem starken Feld, etwa dem eines kräftigen Elektromagneten, ausgesetzt hat. Man kann dann diesen großen remanenten Magnetismus sehr leicht durch die starke polare Wirkung der Legierungen auf eine einfache Kompaßnadel erkennen. Wegen der unregelmäßigen Form der unbearbeitbar spröden kompakten Stücke hätte eine quantitative Bestimmung ihrer Remanenz keine Bedeutung gehabt.

Marburg i. H., Physikalisches Institut der Universität,  
Februar 1908.

***Einige Versuche über die Sekundärstrahlen des Radiums;***  
***von H. Starke.***

(Vorgelegt in der Sitzung vom 6. März 1906.)

(Vgl. oben S. 243.)

**I. Versuche, eine Entstehung von  $\gamma$ -Strahlen bei dem Auftreffen von  $\beta$ -Strahlen auf feste Körper nachzuweisen.**

1. Ermutigung zur Untersuchung der Frage, ob  $\beta$ -Strahlen bei ihrem Auftreffen auf ein materielles Hindernis eine Art Röntgenstrahlung erzeugen, ist in der Literatur genügend vorhanden. Seit jeher hat man die sehr durchdringende, magnetisch nicht ablenkbare  $\gamma$ -Strahlung als eine Art Röntgenstrahlung angesehen, hervorgerufen durch die  $\beta$ -Strahlen. Man sah sich hierzu insbesondere dadurch veranlaßt, daß in der Strahlung von Substanzen, welche schnellere  $\beta$ -Strahlen aussenden, auch stets  $\gamma$ -Strahlen enthalten sind. Die geringe Absorbierbarkeit der letzteren fand in der großen Geschwindigkeit der  $\beta$ - gegenüber den Kathodenstrahlen genügende Erklärung. Die Analogie mit Kathoden- und Röntgenstrahlung erwies sich als eine noch weitergehende, als gefunden wurde, daß Aktinium, eine Substanz, welche relativ langsame  $\beta$ -Strahlen aussendet, auch eine weniger durchdringende  $\gamma$ -Strahlung aufweist. Dies bildet eine vollständige Parallele zu der Tatsache, daß die Röntgenstrahlen um so absorbierbarer sind, je geringere Geschwindigkeit die auf die Antikathode treffenden Kathodenstrahlen haben. Eine weitere Ähnlichkeit zwischen beiden Strahlenarten besteht nach R. D. KLEEMAN (Phil. Mag. (6), 14, 618, 1907) in ihrer Inhomogenität und der je nach ihrer Absorbierbarkeit verschiedenen Fähigkeit, Sekundärstrahlen zu erzeugen. Man sollte nach allem wohl erwarten, daß die Elektronen der  $\beta$ -Strahlen, ebenso wie es die der Kathodenstrahlen tun, bei einem Stoppen durch das Auftreffen auf materielle Körper, eine magnetisch unablenkbare Strahlung von ionisierender Kraft geben könnten. Indessen haben einige Versuche, welche ich in dieser Richtung angestellt habe, nur negative Ergebnisse

gehabt. Es ließ sich bei keinem Reflektor eine Erzeugung von  $\gamma$ -Strahlen bemerken.

2. Die ersten Versuche wurden in einfachster Weise so ausgeführt, daß ein durch eine Bleiplatte vor  $\beta$ -Strahlen geschütztes Elektroskop der Einwirkung der  $\gamma$ -Strahlen eines freistehenden Radiumpräparates unterworfen und nunmehr zugesehen wurde, ob eine Vermehrung der Entladegeschwindigkeit eintrat, wenn Platten verschiedener, insbesondere spezifisch schwerer Substanzen mit der Front nach dem Elektroskop zu, d. h. also auf der dem Elektroskop abgewandten Seite, an das Radiumpräparat gelehnt wurden. Das letztere bestand dabei aus 6 mg reinen Bromids, welche in ein sehr dünnwandiges Glasröhrchen von etwa 1 mm Durchmesser gefüllt waren, so daß das Präparat ein stark aktives Säulchen von etwa  $1\frac{1}{2}$  cm Länge bildete. Die Platten waren auf diese Weise einer intensiven Strahlung ausgesetzt und hätten gewissermaßen als Antikathode dienen sollen. Beobachtet wurde die Zeit, welche gebraucht wurde, um das Goldblattelektroskop, welches auf 240 Volt aufgeladen ungefähr  $45^\circ$  Ablenkung erhielt, um einen gewissen Winkel, der etwa 50 Volt entsprach, zu entladen. Diese Zeit soll Entladungszeit genannt werden. Das Blättchen des Elektroskops wurde vergrößert auf eine Bogenskala projiziert und die Zeiten des Durchgangs durch festgelegte Teilstriche mit einem Chronometer festgestellt. Das Gehäuse des Elektroskops war auf der Seite des Strahleneintritts mit 0,025 mm dicker Aluminiumfolie geschlossen. Das Radiumröhrchen stand aufrecht, mit der Spitze in eine Paraffinplatte gesteckt. Einen geringen stets gleichbleibenden Verlust wies das Elektroskop ständig, auch ohne das genäherte Radium auf. Veranlassung war eine schwache Aktivität des Instruments. Wo es notwendig war, wurde dieser Verlust durch eine entsprechende Korrektur berücksichtigt. Da alle Beobachtungen dasselbe zeigten, nämlich daß kein Einfluß durch die Anlehnung einer Platte an das Radiumpräparat zu bemerken ist, so sei nur eine Messungsreihe wiedergegeben:

Vor dem Elektroskop 2 cm starke Bleiplatte. Entladungszeiten:

|                               |         |
|-------------------------------|---------|
| Ohne Radium . . . . .         | 450 sec |
| Radium allein . . . . .       | 92 "    |
| " mit Bleiplatte . . . . .    | 93 "    |
| " " Aluminiumplatte . . . . . | 92 "    |
| " " Paraffinplatte . . . . .  | 92 "    |

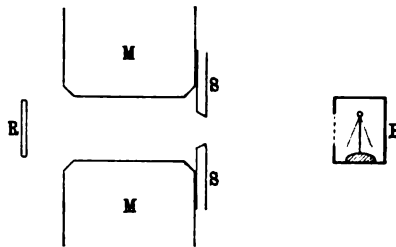
Es tritt also zu der  $\gamma$ -Strahlung des Radiumpräparats jedenfalls keine bemerkbare vom Reflektor ausgehende  $\gamma$ -Strahlung gleicher Durchdringungsfähigkeit hinzu.

3. Man könnte noch annehmen, daß eine leicht absorbierbare  $\gamma$ -Strahlung bei dem Auftreffen der Radiumstrahlen auf feste Körper entstände. Jedoch auch dieses scheint nicht der Fall zu sein, wie folgende Versuche mit einer Anordnung, wie in Fig. 1 skizziert, erwiesen. Das Radiumpräparat  $R$ , in 28 cm Entfernung vom Elektroskop

ohne zwischengeschalteten Bleischirm aufgestellt, gab eine Entladungszeit von 25,2 sec. Wurde an das Radiumröhrchen eine Bleiplatte angelehnt, so sank wegen der jetzt hinzukommenden sekundären  $\beta$ -Strahlung des Bleis die Ent-

ladungszeit auf 18,5 sec. Die Strahlen durchsetzten dabei den Zwischenraum zwischen den Polen eines nicht erregten Elektromagneten  $M, M$ . Wurde jetzt ein kräftiges Magnetfeld erzeugt, so wurden die  $\beta$ -Strahlen ganz beiseite geworfen, und das Elektroskop nur von  $\gamma$ -Strahlen getroffen. Die Entladungszeit stieg dabei auf 153 sec und änderte nunmehr sich gar nicht, wenn eine Blei- oder Aluminiumplatte an das Radiumpräparat gelehnt wurde. Dies ist ein Beweis dafür, daß keine neuen unablenkbaren  $\gamma$ -Strahlen durch das Anbringen der Metallplatten erzeugt wurden, wenigstens nicht solche, welche 28 cm Luft durchdringen können. Bei diesem Versuch muß man durch Anbringung eines Bleischirms  $SS$ , der etwas enger ist, als der Abstand der Magnetpole betrügt, an der dem Elektroskop zugewandten Seite der Magnetpole dafür Sorge tragen, daß keine Sekundärstrahlen, welche an der Innenfläche der Pole reichlich erzeugt werden, das Elektroskop treffen. Dies täuscht leicht eine Änderung vor. Weil nämlich die Intensität der  $\beta$ -Strahlen des Radiumpräparats durch die Anlehnung der Metallplatte an dasselbe wächst, wächst auch die Quantität der Sekundärstrahlen. Ob solche in merklicher Menge das Elektroskop treffen, erkennt man aus Absorptionsversuchen. Schaltet man Aluminiumschichten bis etwa  $\frac{1}{2}$  mm Dicke vor das

Fig. 1.



Elektroskop, so darf die Entladungszeit nicht wesentlich zunehmen, wenn nur  $\gamma$ -Strahlen vorhanden sind. Vorhandene Sekundär- $\beta$ -Strahlen der Magnetpole erkennt man sogleich an merklich steigender Entladungsdauer. Folgende Versuchsreihe wurde bei genügendem Schutz vor solchen Sekundärstrahlen erhalten:

|                              |                                    |      |     |                                 |
|------------------------------|------------------------------------|------|-----|---------------------------------|
|                              | Ohne Radium . . . . .              | 455  | sec |                                 |
|                              | Radium allein . . . . .            | 153  | "   | } Mit<br>erregtem<br>Magnetfeld |
|                              | Radium + Bleiplatte . . . . .      | 153  | "   |                                 |
|                              | Radium + Aluminiumplatte . . . . . | 152  | "   |                                 |
| Vor dem<br>Elektroskopschirm | { Aluminium 0,2 mm . . . . .       | 152  | "   |                                 |
|                              | { " 5 " . . . . .                  | 155  | "   |                                 |
|                              | Radium allein . . . . .            | 25,2 | "   | } Ohne<br>Magnetfeld            |
|                              | Radium + Bleiplatte . . . . .      | 18,5 | "   |                                 |
| Vor dem<br>Elektroskop       | { Aluminiumschirm von 0,56 mm      |      |     |                                 |
|                              | { Dicke . . . . .                  | 53   | "   |                                 |

Aus den mitgeteilten Messungen ergibt sich als Beantwortung der oben gestellten Frage, daß eine Erzeugung von  $\gamma$ -Strahlung, harter sowohl wie weicher, bei dem Auftreffen der Radium- $\beta$ - und  $\gamma$ -Strahlung auf feste Körper nicht stattfindet, wenigstens nicht in einem mit der geschilderten Anordnung bemerkbaren Betrage. Es ist daraus zu schließen, daß auch die  $\beta$ -Strahlen allein eine  $\gamma$ -Strahlung nicht erzeugen, und es war nicht erst nötig, die  $\beta$ -Strahlen, mit Hilfe eines Magnets von  $\gamma$ -Strahlen isoliert, auf die Körper strahlen zu lassen und nach einer etwa entstehenden  $\gamma$ -Strahlung zu suchen. Das negative Ergebnis dieser Versuche scheint mir mit der Annahme einer Entstehung der  $\gamma$ -Strahlen aus den Impulsen der sich losreisenden  $\beta$ -Partikel nicht recht im Einklang zu stehen. Annehmen könnte man allerdings noch, daß die elektromagnetischen Impulse bei dem Loßreißen der Elektronen aus der radioaktiven Substanz andersartige sind wie bei dem Stoppen derselben durch Materie, und daß, vielleicht wegen größerer Plötzlichkeit des ersteren Vorganges, bei diesem  $\gamma$ -Strahlen entstehen, während sie im letzteren Falle ausbleiben. Dies wäre ein entgegengesetztes Verhalten wie bei den Kathoden- und Röntgenstrahlen.

Von Interesse ist die Frage, ob sich Kathoden- und Röntgenstrahlen einerseits,  $\beta$ - und  $\gamma$ -Strahlen andererseits ähnlich hinsichtlich ihrer gleichzeitig auftretenden Energiemengen verhalten. Das Verhältnis  $E_\gamma : E_k$ , welches den Bruchteil der Kathoden-

Strahlenenergie angibt, welcher in Form von Röntgenstrahlen auftritt, ist von W. WIEN<sup>1)</sup> und Miss E. CARTER<sup>2)</sup> durch Messung der erzeugten Wärmemengen bestimmt und bei einem Entladungspotential von 59 000 Volt für Platin als Antikathode ungefähr gleich ein Tausendstel gefunden worden. Der Quotient ist der Spannungsdifferenz im Entladungsrohr proportional, dagegen unabhängig von Stromstärke und Unterbrechungszahl. Für Metalle geringeren Atomgewichts ist er kleiner. Für  $\beta$ - und  $\gamma$ -Strahlen liegen meines Wissens Wärmebestimmungen nicht vor, dagegen kann man ihr Energieverhältnis aus anderen Daten berechnen. Die obigen Zahlen haben gezeigt, daß die Ionisierung im Elektroskop durch Fortnahme der  $\beta$ -Strahlen mit Magnetfeld auf den etwa neunten Teil sinkt. Dies stimmt mit der Beobachtung von McCLELLAND überein, der durch eine die  $\beta$ -Strahlen gerade abhaltende Bleiplatte die Ionisation auf etwa ein Zehntel geschwächt hat (Phil. Mag., July 1904). Berechnet man indessen die von den  $\beta$ - und die von den  $\gamma$ -Strahlen für sich im gesamten Ionisationsbereich erzeugten Ionenmengen, so findet man diese etwa gleich (RUTHERFORD, Die Radioaktivität, übers. v. ASCHKINASS, Berlin 1907, S. 207). Nimmt man an, daß zur Erzeugung einer gewissen Ionenzahl eine bestimmte Energiemenge erforderlich ist, so wäre daraus auf etwa gleiche Energie der  $\beta$ - und  $\gamma$ -Strahlen des Radiums zu schließen. Faßt man die  $\gamma$ -Strahlen als Folgeerscheinung der Losreißung der  $\beta$ -Partikel auf, so wäre der Vorgang hier also wesentlich produktiver als bei den Röntgen- und Kathodenstrahlen. Selbst wenn man berücksichtigt, daß die  $\beta$ -Strahlen an Geschwindigkeit Kathodenstrahlen von 200 000 bis 300 000 Volt Entladungspotential entsprechen, und annimmt, daß das Proportionalitätsgesetz für die Umwandlung in Röntgenstrahlen bis hierher bestehen bleibt, so wäre erst eine Umwandlung von 1 Proz. der  $\beta$ - in  $\gamma$ -Energie zu erwarten.

#### **I. Menge und Absorbierbarkeit der von verschiedenartigen Reflektoren erzeugten Sekundärstrahlen.**

4. Während also die  $\gamma$ -Strahlung nicht vermehrt wurde, so verfuhr dagegen die nach dem Elektroskop strahlende  $\beta$ -Strahlung

<sup>1)</sup> Ann. d. Physik (4) 18, 991, 1905. — <sup>2)</sup> Ebenda 21, 955, 1906.



durch das Hinzutreten der Sekundärstrahlung einen bedeutenden Zuwachs, wenn an das Radiumröhrchen eine Platte eines festen Körpers gelehnt wurde. Der Zuwachs war je nach der Substanz des Körpers verschieden, betrug bei Blei 35 Proz., Aluminium 12 Proz., Paraffin 4 Proz. Die im Elektroskop beobachteten Strahlungsintensitäten waren, die des Radiums allein gleich 10 gesetzt:

|                                    |                         |     |
|------------------------------------|-------------------------|-----|
|                                    | Radium allein . . . . . | 100 |
| Mit hintergestellter<br>Platte aus | Blei . . . . .          | 135 |
|                                    | Aluminium . . . . .     | 112 |
|                                    | Paraffin . . . . .      | 104 |

Die gesamte hinzutretende Sekundärstrahlung der drei Substanzen Paraffin, Aluminium, Blei muß sich danach wie 4:12:3 oder etwa wie 1:3:9 verhalten. Diese Zahlen haben sich auch durch die direkten Messungen als richtig erwiesen.

Wurden vor das Fenster des Elektroskops Schichten wachsender Dicke aus Aluminium gestellt, so wurde der Zuwachs durch das Anlegen der Metallplatte an das Radiumpräparat immer geringer, als ein Zeichen, daß die schnellen Strahlen des Radiums nur wenig Zuwachs erfahren. Strahlen, welche 5 mm Aluminium durchdringen, werden selbst durch Blei, welches die wenigst absorbierbaren Sekundärstrahlen liefert, nicht mehr in nennenswertem Betrage erzeugt. In folgender Tabelle gibt die erste Kolumne die Dicke des vor das Elektroskop gestellten Aluminiumschirms, die zweite die prozentische Strahlungsvermehrung durch eine an das Radiumpräparat gelehnte Bleiplatte:

| Aluminiumschichtdicke | Strahlungsvermehrung durch Bleiplatte | Aluminiumschichtdicke | Strahlungsvermehrung durch Bleiplatte |
|-----------------------|---------------------------------------|-----------------------|---------------------------------------|
| —                     | 36 Proz.                              | 0,56 mm               | 28 Proz.                              |
| 0,025 mm              | 32 "                                  | 1,11 "                | 16 "                                  |
| 0,115 "               | 35 "                                  | 2,10 "                | 9 "                                   |
| 0,230 "               | 32 "                                  | 5,0 "                 | —                                     |

5. Die Sekundärstrahlen des Radiums sind bereits von mehreren Beobachtern (H. BECQUEREL, C. R. 132, 371, 734, 1286, 1901; A. S. EVE, Phil. Mag. (6) 8, 669, 1904; McCLELLAND, Phil. Mag (6) 9, 230, 1905; Dubl. Trans. (9) 9, 1906; S. J. ALLEN, Phys. Rev. 23, 65, 1906) auf ihre Menge und ihre Absorbierbarkeit, welche letztere ja ein gewisses Maß für die Geschwindigkeit gibt,

untersucht worden. H. BECQUEREL und S. J. ALLEN haben auch Geschwindigkeitsvergleichen durch Ablenkungsbeobachtungen, ersterer auf photographischem Wege, letzterer nach elektrischer Methode, ausgeführt. Das Resultat der bisherigen Messungen ist, daß verschiedene Substanzen ein verschiedenes Emissionsvermögen für Sekundärstrahlen besitzen, derart, daß im allgemeinen die dichtere Substanz mehr emittiert. Die Gesamtheit der erzeugten Sekundärstrahlen ist um ein Geringes absorbierbarer als die direkten Strahlen. Die Absorbierbarkeit weist geringe Unterschiede je nach der Natur des Reflektors auf, indem der dichtere Körper im großen und ganzen die durchdringendere Strahlung liefert. Abweichend soll sich nach EVE Schiefer verhalten, dessen Sekundärstrahlung sehr durchdringend, noch weit weniger absorbierbar als die des Bleis, gefunden wurde. Die von EVE erhaltenen Zahlen seien für einige Stoffe angegeben.

|                     | $S_{II}$ | $\lambda_{Al}$ | $\lambda_{Pb}$ |
|---------------------|----------|----------------|----------------|
| Blei . . . . .      | 141      | 18,5           | 95             |
| Schiefer . . . . .  | 53       | 12             | 89             |
| Aluminium . . . . . | 42       | 24             | 114            |
| Ebonit . . . . .    | 32       | 26             | 168            |
| Paraffin . . . . .  | 17       | 21             | 155            |

Die erste Kolumne gibt die Intensität der Sekundärstrahlung, die beiden nächsten Reihen die Werte des Absorptionskoeffizienten  $\lambda$ , auf das Centimeter berechnet, aus der Absorption in einer 0,085 cm dicken Aluminium- und einer 0,004 cm dicken Bleiplatte. Man sieht den kleinen Wert von  $\lambda$  für Schiefer. Es findet sich auch die Bemerkung, daß die Sekundärstrahlung ziemlich homogen sei.

6. Im folgenden sei eine Anzahl von Beobachtungen mitgeteilt, welche das vorhandene Messungsmaterial in einigen Punkten erweitern. Über die Genauigkeit der angegebenen Zahlen sei bemerkt, daß die Beobachtungen oft zu verschiedenen Zeiten wiederholt wurden, und die Abweichungen in den Werten des Absorptionskoeffizienten  $\lambda$  im äußersten Fall etwa 10 Proz., meistens aber weniger betragen. Die  $\lambda$  wurden auf das Centimeter aus der Formel  $J = J_0 e^{-\lambda d}$  berechnet. Sie ergeben sich verschieden für

verschiedene Dicken  $d$ , und bildet diese Verschiedenheit ein ungefähres Maß für die Inhomogenität der Strahlung.

Zunächst wurde  $\lambda$  in Aluminium für die direkt benutzten  $\beta$ -Strahlen bestimmt. Als solche dienten die vereinigten  $\beta$ - und  $\gamma$ -Strahlen des in einem dünnwandigen Glasröhrchen befindlichen Radiumsalzes, für eine Beobachtungsserie waren es auch die durchdringenderen Strahlen, welche übrig blieben, wenn die Radiumröhrchen in 0,55 mm dickes Aluminiumblech eingehüllt waren.

| Dicke des absorbierten Bleies<br>mm | Radium allein | Radium mit angelehnter Blei-<br>platte | Radium in 0,55 mm Aluminium-<br>gehüllt |
|-------------------------------------|---------------|--|---|
| 0,115                               | 25,4          | 26,6                                   | 14,0                                    |
| 0,230                               | 23,0          | 25,5                                   | 12,7                                    |
| 0,430                               | 19,5          | 23,0                                   | 12,0                                    |
| 0,56                                | 17,0          | 21,5                                   | 11,8                                    |

Wurde das Radiumbromid in 3 mm dickes Aluminiumblech eingehüllt, so sank  $\lambda$  auf 7—9, hinter 2 cm dicker Bleiplatte sogar auf 0,33. Letzteres wäre also  $\lambda$  für  $\gamma$ -Strahlen, die 2 cm Blei passiert haben.

7. Die kleine Vergrößerung des Absorptionskoeffizienten  $\lambda$ , welche sich zeigt, wenn an das Radiumpräparat eine Bleiplatte angelehnt wird, deutet darauf hin, daß unter den Sekundärstrahlen stärker absorbierbare Strahlen enthalten sind. Die folgenden Tabelle gibt die Werte von  $\lambda$  für Aluminium, welche bei verschiedenen

| Dicke der absorb. Schicht<br>mm | Reflektor aus |         |       |          |           |          |        |          |
|---------------------------------|---------------|---------|-------|----------|-----------|----------|--------|----------|
|                                 | Blei          | Messing | Alum. | Flintgl. | Crownglas | Schiefer | Ebonit | Paraffin |
| 0,025                           | 51            | 60      | 66    | 52       | 66        | 69       | 61     | 130      |
| 0,115                           | 46            | 49      | 55    | 40       | 54        | 59       | 52     | 73       |
| 0,230                           | 37            | 40      | 48    | 36       | 45        | 51       | 47     | 65       |
| 0,430                           | 31            | 35      | 39    | —        | —         | —        | —      | —        |
| 0,56                            | 29            | 30      | 34    | 28       | 32        | 40       | 38     | —        |
| 0,76                            | 27            | —       | —     | —        | —         | —        | —      | —        |
| 0,87                            | 25            | 26      | 31    | —        | —         | —        | —      | —        |
| 1,11                            | 22            | —       | —     | 22       | —         | —        | —      | —        |
| 2,10                            | 18            | 19      | 18    | —        | —         | —        | —      | —        |

verschiedenen Dicken des absorbierenden Schirms für die Sekundärstrahlen verschiedener Substanzen erhalten wurden.

Die Reflektoren waren sämtlich quadratische Platten von 5 cm Seitenlänge und etwa 1 cm Dicke. Die Anordnung war die bekannte. Das Elektroskop, durch 6 cm dickes Blei gegen die direkten Strahlen geschützt, wurde nur von den Sekundärstrahlen getroffen. Die absorbierenden Aluminiumschirme wurden direkt vor das Fenster des Elektroskops gestellt, welches von Anfang an bereits durch ein dünnes Aluminiumblatt (0,025 mm) verschlossen war.

Aus der Tabelle ist folgendes zu entnehmen. Die Sekundärstrahlen sind stark inhomogen, in viel beträchtlicherem Maße, als die direkten Strahlen und als die bisherigen Messungen mit dickeren Absorptionsschirmen für die Sekundärstrahlen ergeben haben.

An einem sehr dünnen absorbierenden Schirm gemessen, erscheint  $\lambda$  sehr groß. Es sind also unter den Sekundärstrahlen solche vorhanden, welche eine beträchtlich größere Absorbierbarkeit besitzen. Dies ist besonders für Paraffin der Fall. Die von Blei zerstreute Strahlung ist durchdringender als die von Aluminium ausgesandte. Das untersuchte Flintglas, schwerstes, intensiv gelb gefärbtes Flint von Schott und Gen., verhält sich wie Blei, während leichtes Crownglas in seinem Verhalten dem Aluminium gleich ist. Es mag hier beiläufig bemerkt werden, daß die Sekundärstrahlung der Röntgenstrahlen sich in diesem Punkte umgekehrt verhält, indem hier die Strahlung des Bleies die absorbierbare ist.

Die Intensitäten der Sekundärstrahlung verschiedener Reflektoren ergaben sich im Vergleich zur Strahlung des Aluminiumreflektors, diese gleich 1 gesetzt, zu:

| Blei | Flintglas | Messing | Crown Glas | Aluminium | Schiefer | Ebonit | Paraffin |
|------|-----------|---------|------------|-----------|----------|--------|----------|
| 2,76 | 2,28      | 1,8     | 1,06       | 1         | 0,96     | 0,77   | 0,32     |

Das auffallende abnorme Verhalten, welches, wie oben gesagt, nach Eve Schiefer zeigen soll, habe ich nicht beobachten können. Vielleicht ist dasselbe einer geringen Radioaktivität der benutzten Probe zuzuschreiben, welche Herrn Eve entgangen ist.

8. Es wurden auch die Sekundärstrahlen der verschiedenen Substanzen untersucht, wenn nur schnellere primäre Strahlen auf den Reflektor treffen, indem das Radiumpräparat mit Aluminiumblech von 0,55 mm Dicke umhüllt wurde. Der Absorptions-

koeffizient der direkten Strahlen hat an Schichtdicken von etwa  $\frac{1}{10}$  bis  $\frac{1}{2}$  mm gemessen die Werte 14 bis 11,8, wie oben angegeben wurde. Die Werte von  $\lambda$  für die Sekundärstrahlen sind nicht wesentlich andere wie im früheren Fall, als die gesamte  $\beta$ -Strahlung auf den Reflektor fiel. Es seien nur einige Zahlen für Blei und Aluminium angegeben:

| Dicke des absorbierenden Schirms | Bleireflektor | Aluminium-reflektor |
|----------------------------------|---------------|---------------------|
| 0,025 mm                         | 52            | 67                  |
| 0,115 „                          | 31,5          | 46                  |
| 0,230 „                          | 30            | 41                  |

### III. Sekundärstrahlen von Reflektoren verschiedener Dicken

9. Wenn unter den Sekundärstrahlen sich so leicht absorbierbare befinden, so können diese nur aus den obersten Schichten des Reflektors stammen, während die durchdringendere auch von tieferen Stellen herrühren können. Es ist daher anzunehmen, daß in der Strahlung, welche von einem sehr dünnen Reflektor ausgeht, die leicht absorbierbaren Strahlen einen wesentlich größeren Prozentsatz bilden, als in der von einem dicken Reflektor zerstreuten Strahlung. Die im folgenden mitgeteilten Absorptionsmessungen an der Strahlung verschieden dicker Reflektoren bestätigen diese Vermutung durchaus. Die Werte von  $\lambda$  für absorbierende Aluminiumschirme erweisen sich als stark abhängig von der Dicke des Reflektors und nehmen sehr große Werte an, wenn derselbe sehr dünn ist. Gleichzeitig werden dann auch die Intensitäten der Sekundärstrahlung sehr schwach, weswegen es unmöglich wird, mit hinreichender Genauigkeit  $\lambda$  für größere Schichtdicken des absorbierenden Aluminiumschirms zu ermitteln. Die letzte Zeile jeder Tabelle gibt das Verhältnis der Intensitäten der Sekundärstrahlung, die Intensität für den dicksten Reflektor gleich 1 gesetzt. Oberhalb einer gewissen Schichtdicke, welche für die verschiedenen Substanzen verschieden groß ist und etwa 2 bis 5 mm beträgt, wird eine weitere Vergrößerung derselben einflußlos. Der Einfluß der Schichtdicke auf die Menge der Sekundärstrahlen ist übrigens bekannt und die für die maximale Emission nötige Dicke der Schicht z. B. von MACKENZIE

ermittelt worden (Phil. Mag., July 1907, S. 184). Die folgenden Tabellen geben die Messungsergebnisse, die ich an der Strahlung von verschiedenen dicker Reflektoren aus Aluminium, Ebonit und dem Paraffin durch besonders weiche Sekundärstrahlen auszeichnenden Reflektoren erhalten habe:

### 1. Reflektor Aluminium.

| Dicke der absorb. Aluminiumschicht<br>mm | Reflektordicke |      |         |          |                    |
|--|----------------|------|---------|----------|--------------------|
|  | 6 mm           | 4 mm | 0,55 mm | 0,115 mm | 0,025 mm           |
| 0,025                                    | 60,5           | 61   | 65,5    | 80       | 145                |
| 0,115                                    | 53             | 54   | 57      | 75       | 100                |
| 0,23                                     | 48             | 48   | 51      | 64       | —                  |
| 0,56                                     | 32             | 35   | 40      | 52,5     | —                  |
| Verh. d. zerstr. Mengen . .              | 1              | :    | 1       | :        | 0,95 : 0,65 : 0,22 |

### 2. Reflektor Ebonit.

| Dicke der absorb. Aluminiumschicht<br>mm | Reflektordicke |        |        |         |             |
|--|----------------|--------|--------|---------|-------------|
|  | 10 mm          | 7,6 mm | 0,6 mm | 0,33 mm |             |
| 0,025                                    | 63             | 61,5   | 85,5   | 106     |             |
| 0,115                                    | 54             | 52     | 63     | 76      |             |
| 0,23                                     | 45             | 47     | 53     | 66      |             |
| 0,56                                     | 36             | 38     | 44     | —       |             |
| Verh. d. zerstr. Mengen . .              | 1              | :      | 1      | :       | 0,86 : 0,62 |

### 3. Reflektor Paraffin.

| Dicke der absorb. Aluminiumschicht<br>mm | Reflektordicke |       |             |   |          |
|--|----------------|-------|-------------|---|----------|
|  | 20 mm          | 10 mm | etwa 0,5 mm |   |          |
| 0,025                                    | 123            | 130   | 160         |   |          |
| 0,115                                    | 75             | 73    | 100         |   |          |
| 0,23                                     | 62             | 65    | —           |   |          |
| Verh. d. zerstr. Mengen . .              | 1              | :     | 1           | : | etwa 0,5 |

Die großen Zahlen für die Absorptionskoeffizienten zeigen, daß aus einer dünnen Oberflächenschicht des Reflektors ziemlich stark absorbierbare Strahlen austreten.

10. Diese Versuche fordern zu einem Vergleich mit dem Verhalten auf, welches dünne Metallschichten gegenüber Kathodenstrahlen zeigen. Dies Verhalten ist von S. R. WILLIAMS (Phys. Rev. **23**, 1, 1906) studiert worden. Es ist in bezug auf die Menge der vor das Metallblättchen zurückgeworfenen Strahlen etwa das gleiche, indem diese Menge unterhalb einer gewissen kritischen Dicke des Blättchens kleiner wird. Die kritische Dicke hängt außer von der Natur der Substanz auch vom Entladepotential, d. h. der Geschwindigkeit der Strahlen ab. In der Geschwindigkeitsverteilung besteht dagegen ein Unterschied, der in dem Umstand begründet ist, daß die primären Kathodenstrahlen homogen sind, und daß sie in der Reflektorsubstanz einen Geschwindigkeitsverlust erleiden. Fallen homogene Kathodenstrahlen auf ein dickes Blättchen, so sind in der von letzterem ausgesandte diffuse Strahlung mehr langsamere Strahlen, die mit Geschwindigkeitsverlust aus dem Inneren herauskommen, enthalten, als bei einem dünnen Blättchen. Die inhomogene diffuse Strahlung eines dünnen Blättchens, welche durch eine homogene auftreffende Strahlung veranlaßt ist, ist also im Falle der Kathodenstrahlen wie auch die WILLIAMSschen Messungen ergeben haben, durchschnittlich weniger ablenkbar, d. h. schneller und weniger absorbierbar, als die von einem dicken Blättchen ausgehende, welche inhomogener ist und mehr Strahlen enthält, die Geschwindigkeitsverluste erlitten haben. Die Blättchendicke hat also hier den umgekehrten Einfluß wie bei den Strahlen des Radiums.

#### IV. Nach der hinteren Seite des Reflektors austretende Sekundärstrahlen.

11. Es ist ohne weiteres klar, daß weder ein sehr dicker noch ein sehr dünner Reflektor nach seiner hinteren Seite zu Sekundärstrahlen liefern kann. Im ersteren Fall wird alles absorbiert, im zweiten Fall ist nicht genügend Material zur Erzeugung von Sekundärstrahlen vorhanden. Es folgt daraus, daß die hinten sich zeigende sekundäre Strahlenmenge bei einer gewissen Schichtdicke, welche von Substanz zu Substanz verschieden

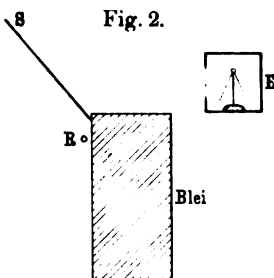
in wird, ein Maximum erreicht. Dies bestätigt die folgende Tabelle. Die erste Kolumne gibt die Dicke des Aluminiumreflektors, die zweite die beobachteten Entladungszeiten im Elektroskop, die dritte Kolumne endlich die daraus berechneten relativen Intensitäten der Sekundärstrahlen, wobei die Maximalintensität gleich 1 gesetzt ist.

| Dicke des Schirms<br>mm | Entladungszeit | Intensität |
|-------------------------|----------------|------------|
| 0,025                   | 110            | 0,29       |
| 0,05                    | 59,6           | 0,53       |
| 0,1                     | 39,8           | 0,80       |
| 0,2                     | 33             | 0,96       |
| 0,22                    | 31,6           | 1,00       |
| 0,25                    | 34             | 0,93       |
| 0,3                     | 39,8           | 0,80       |
| 0,56                    | 53             | 0,60       |
| 1,11                    | 100            | 0,32       |

Zeichnet man die Werte der Intensitäten in ein Koordinatensystem mit der Schirmdicke als Abszisse, so erhält man eine Kurve, welche nach dem Maximum einen Wendepunkt hat, indem die Kurve sich asymptotisch der Abszissenachse nähert.

Die Versuchsanordnung zeigt Fig. 2, die wohl ohne Kommentar verständlich ist. Wenn andere Metalle an Stelle des Aluminiums als Schirme benutzt, haben natürlich bei anderer Dicke maximale Wirkung. Auch unter Bleischirmen erhält man lebhaftere Sekundärstrahlen. Wenn auch die Absorption größer ist, so ist dafür auch das Durchdringungsvermögen bedeutender. Bleischirme von 0,1 und 0,2 mm Dicke, an Stelle des Aluminiumschirms eingesetzt, ergaben z. B. Entladungszeiten von 38 sec und 59 sec.

Bezüglich ihrer Absorption verhalten sich die hinter dem Reflektor auftretenden Sekundärstrahlen ähnlich wie die der Vorderseite. Sie sind inhomogen, enthalten Strahlen großer Absorbierbarkeit, ganz besonders bei dünnen Reflektorschirmen. Dies ergibt folgende Tabelle, deren erste Kolumne die Dicke des Alu-





miniumreflektors, deren zweite und dritte Kolumne die auf das Centimeter berechneten Absorptionskoeffizienten  $\lambda$ , gemessen an Aluminium von 0,025 und 0,115 mm Dicke, wiedergeben.

| Aluminium-<br>reflektordicke<br>mm | $\lambda$<br>0,025 mm | $\lambda$<br>0,115 mm |
|------------------------------------|-----------------------|-----------------------|
| 1,11                               | 41,5                  | 17,3                  |
| 0,56                               | 41,6                  | 29,2                  |
| 0,20                               | 86,0                  | 64,5                  |
| 0,10                               | 136                   | 99,2                  |
| 0,05                               | 144                   | 125                   |
| 0,025                              | 167                   | —                     |

Die hinter den Bleischirmen von 0,1 und 0,2 mm Dicke auftretenden Sekundärstrahlen hatten einen Absorptionskoeffizienten etwa  $\lambda = 14$  für Aluminium, an 0,115 mm starkem Blech gemessen.

12. Von dem Durchgang eines Radiumstrahls durch eine Platte eines festen Körpers hat man sich etwa folgendes Bild zu machen. Das auffallende Strahlenbündel durchläuft, im wesentlichen seine Richtung beibehaltend, die Platte und scheint sowohl nach seiner Absorbierbarkeit als auch nach direkter Bestimmungen seiner magnetischen Ablenkung, welche von H. W. SCHMIDT ausgeführt worden sind, im großen und ganzen seine Geschwindigkeit beizubehalten. Außerdem findet von jedem Punkte der Strahlenbahn innerhalb der Platte eine Sekundärstrahlung bzw. Zerstreuung von Strahlen nach allen Seiten statt. Diese diffuse Strahlung ist nach den mitgeteilten Beobachtungen sehr inhomogen und enthält neben Strahlen, welche etwa gleich Absorbierbarkeit wie die primären Strahlen haben, auch wesentlich weichere, welche als langsamere Sekundärstrahlen oder vielleicht zum Teil als zerstreute Strahlen anzusehen sind, die einen Geschwindigkeitsverlust erlitten haben. Solche Strahlen sind in dem hinter der Platte direkt weitergehenden Strahlenbündel sicherlich auch enthalten, machen aber einen prozentisch geringen Betrag der Gesamtintensität desselben aus. Ist die durchdrungene Platte sehr dünn, so ist der direkte Strahl hinter der Platte noch von großer Intensität, und ist die Platte dicker, so wird zwar das primäre Strahlenbündel sehr geschwächt, mit ihm aber auch und

in noch größerem Betrage, die in der Platte erregten Sekundärstrahlen. Es muß daher eine gewisse und zwar geringe Distanz gegeben, bei welcher in dem in der ursprünglichen Strahlung austretenden Strahlenbündel die weicheren Sekundärstrahlen im prozentischen Maximum vorhanden sind.

### V. Sekundärstrahlen der Luft.

13. Erwähnung finden möge hier noch eine beiläufig und wenig Anspruch auf Genauigkeit gemachte Beobachtung, die noch näher zu untersuchen ist. Unter dem Einfluß der Radiumstrahlung sendet auch die Luft nach allen Seiten Sekundärstrahlen aus. Diese scheinen nach einer allerdings wenig genaueren Messung sehr stark absorbierbar zu sein, indem sie schon durch ein Aluminiumblech von 0,115 mm Dicke völlig aufgehalten werden. Wurde das Radiumpräparat unmittelbar neben das Elektroskop gebracht, jedoch so, daß das letztere durch eine Bleiplatte von 4 cm Dicke gegen die direkte Strahlung des Radiums geschützt war, so betrug die Entladungszeit, d. h. also die Zeit einer Spannungsabnahme von 50 Volt, äußerst regelmäßig 127,5 sec. Wurde das Radium völlig aus dem Raume entfernt, so betrug die Entladungszeit 450 sec. Diese Entladung war durch eine geringe Aktivität des Elektroskops verursacht. Wurden jetzt vor dem dünnen Aluminiumfenster des Elektroskops weitere Aluminiumschirme steigender Dicke gestellt, so erhielt man folgende Entladungszeiten:

| Aluminiumdicke<br>mm | Beobachtete<br>sec | Korrigierte<br>sec |
|----------------------|--------------------|--------------------|
| 0,02                 | 116,5              | 157                |
| 0,115                | 126,5              | 175                |
| 0,56                 | 127,5              | 178                |
| 5,00                 | 127,5              | 178                |
| —                    | 108,0              | 148                |

Also schon von einer Dicke von 0,115 mm an bleibt die Entladungszeit konstant 127,5 sec. Diese Entladung ist verursacht durch  $\gamma$ -Strahlen, welche 4 cm Blei durchsetzt haben, also durch Aluminiumschirme selbst von 5 mm Dicke nicht mehr bemerkbar

absorbiert werden. Die Verkleinerung der Entladezeit bis auf 108 sec ist durch die von der Luft erzeugten Sekundärstrahlen bewirkt, da die Aufstellung derartig war, daß andere Körper der Umgebung nicht in das Elektroskop strahlen konnten. Schon durch 0,02 mm Aluminium ist diese Beschleunigung der Entladung bis auf die Hälfte reduziert. Aus diesen Zahlen läßt sich die Absorption der Strahlen nur sehr ungenau berechnen. Zunächst ergeben sich unter Berücksichtigung der Eigenentladung des Elektroskops (450 sec) die in der Tabelle angegebenen korrigierten Werte der Entladungsdauer. Die  $\gamma$ -Strahlen allein bewirken also eine Entladungsdauer von 178 sec; zusammen mit den von der Luft zerstreuten Strahlen eine solche von 143 sec. Daraus berechnet sich die von den Sekundärstrahlen der Luft allein herführende Entladungsdauer als

$$\frac{1}{\frac{1}{143} - \frac{1}{178}} = 720 \text{ sec}$$

und die Entladungsdauer mit vorgestelltem Schirm von 0,02 mm Dicke zu:

$$\frac{1}{\frac{1}{157} - \frac{1}{178}} = 1285 \text{ sec,}$$

und es wird

$$\lambda = \frac{\log \text{nat} \frac{1285}{720}}{0,002} = 287.$$

Unter Zugrundelegung dieses hohen Wertes für  $\lambda$  berechnet sich, daß durch 0,0115 cm Aluminium bereits eine Schwächung der Intensität auf deren 28. Teil eintritt. Es würde dies einer in der obigen Tabelle bei 0,115 mm Dicke zu beobachtenden korrigierten Zeit von 176,4 sec, d. h. einer unkorrigierten von 127 sec entsprechen, während der nahe übereinstimmende Wert 126,5 sec beobachtet wurde. Die Übereinstimmung ist bei der ungünstigen Berechnung beinahe unwahrscheinlich gut. Indessen ist sie deshalb möglich, weil alle beobachteten Zeiten dieser Serie ausgezeichnete Genauigkeit hatten, indem sie niemals um mehr als eine halbe Sekunde voneinander abwichen.

14. Zum Schlusse möge noch die Bemerkung Platz finden, daß, dem allgemeinen Brauch folgend, ich die Größe  $\lambda$  als Absorptionskoeffizient bezeichnet habe, während ihr diese Bezeichnung keineswegs zukommt. Die Zahlen für  $\lambda$  haben überhaupt keinen

einfachen physikalischen Sinn, sondern können höchstens dazu dienen, eine ungefähre Anschauung über die Art der Strahlung zu geben, für welche sie berechnet sind. Die absorbierenden Metallblätter wurden bei der vorliegenden Untersuchung stets direkt auf das 0,025 mm dicke Aluminiumblatt gelegt, welches das Elektroskopgehäuse auf der Seite des Strahleneintritts abschloß. Die in das Elektroskop eintretende Strahlung setzt sich daher zusammen aus der direkten und der gesamten in den Absorptionsschirmen erzeugten Sekundärstrahlung. Eine langsame in denselben erregte Sekundärstrahlung von der Größe der Kathodenstrahlgeschwindigkeit könnte dagegen nicht in den Elektroskopraum gelangen. Die direkte Strahlung nimmt mit wachsender Dicke der absorbierenden Schicht ab, die Sekundärstrahlung dagegen zuerst (bis zu einer Schichtdicke von etwa  $\frac{1}{4}$  mm bei Aluminium) zu und darauf erst ab. Diese Kompliziertheit der Verhältnisse wird noch größer, wenn man bedenkt, daß die Ionisierung bei verschiedenen schnellen Strahlen nicht mehr ein Maß für ihre Intensität ist, indem sehr langsame, aber auch sehr schnelle Strahlen nicht kräftig ionisierend wirken. Ähnlich steht es mit der photographischen Wirkung, und es ist hier sogar beobachtet worden, daß diese durch Einschaltung eines dünnen Absorptionsschirmes vor der photographischen Platte infolge der Sekundärstrahlung desselben vergrößert wird<sup>1)</sup>. Dies würde zu dem widersinnigen Ergebnis eines negativen Absorptionskoeffizienten führen. Innerhalb des Elektroskops werden auch in der Luft und an seinen Wänden Strahlen zerstreut oder sekundär erregt und geben zu unübersehbaren Dingen Veranlassung. Man kann die Größen  $\lambda$  also nicht als bestimmte physikalische Größen ansehen, sondern nur zur ungefähren Orientierung über die Natur einer Strahlung benutzen.

### Zusammenfassung.

Die Resultate der vorstehend mitgeteilten Untersuchung sind folgende:

1. Bei dem Auftreffen von  $\beta$ -Strahlen auf feste Körper werden  $\gamma$ -Strahlen nicht in einem durch die angewandte Anordnung be-

<sup>1)</sup> F. РАВШЕН, Physik. ZS. 16, 502, 1904. P. DOBLER, Ann. d. Phys. (4) 22, 227, 1907.

merkbareren Beträge erzeugt, weder harte, welche 2 cm Blei durchdringen, noch weiche, welche nur  $\frac{1}{4}$  m Luft zu passieren haben. Es sind danach die  $\gamma$ -Strahlen des Radiums wohl kaum als eine durch die  $\beta$ -Strahlen hervorgerufene Röntgenstrahlung anzusehen.

2. Die Sekundärstrahlen sind sehr inhomogen und enthalten Strahlen von wesentlich größerer Absorbierbarkeit, als sie die direkten Strahlen aufweisen.

3. Die Sekundärstrahlen des Aluminiums sind absorbierbarer als die des Bleis. Sehr weiche Sekundärstrahlen liefert Paraffin.

4. Sowohl auf der Hinter- als der Vorderseite des Reflektors kommen die weichsten Strahlen aus Schichten, die nahe der Oberfläche sind. Weiche Strahlen werden wohl auch im Inneren erzeugt, aber kommen nicht nach außen, weil sie von der Reflektorsubstanz absorbiert werden. Dünne Reflektoren geben prozentisch viel absorbierbare Strahlen.

5. Die Sekundärstrahlen hinter dem Reflektor haben für eine gewisse Dicke desselben, die von der Natur der Substanz abhängt, eine Maximalintensität.

6. Die von Luft erzeugten Sekundärstrahlen sind (wahrscheinlich) sehr stark absorbierbar.

Paris, Dezember 1907. Laboratoire de Physique Générale  
(M<sup>me</sup> CURIE).

*Akustische Notizen.*

*Über die Erzeugung von Tönen durch künstliche Schwebungen;*

*II. Zur Erklärung der sog. Reflexionstöne;*

*von H. Starke.*

(Vorgelegt in der Sitzung vom 6. März 1908.)

(Vgl. oben S 243.)

**I. Über die Erzeugung von Tönen durch künstliche Schwebungen.**

1. Eine der größten Streitfragen der Akustik ist die Frage, ob Tonstöße als besondere Töne gehört werden, d. h. ob z. B., wenn zwei Töne  $m$  und  $n$  erklingen, die  $m$ — $n$ -Schwebungen den Eindruck eines Tones  $m$ — $n$  erzeugen können, wenn sie in genügender Zahl pro Sekunde erfolgen. Bekanntlich ist die Entstehung des Differenztones auf diese Weise erklärt und diese Erklärung durch dem Vorgange von LAGRANGE und YOUNG auch von hervorragenden Akustikern, wie z. B. R. KÖNIG, angenommen worden. Diese Annahme, welche durch den Satz formuliert wurde, daß das Ohr jede Periodik als Ton wahrnimmt, würde mit der Resonanztheorie des Hörens unvereinbar sein, und ist deshalb auch von deren Begründer, HELMHOLTZ, auf das entschiedenste bekämpft worden. Trotz vieler stichhaltiger Einwände und der immer mehr die Stützen gewinnenden Hörtheorie hat indessen die gegnerische Auffassung immer noch ihren Rang zu behaupten gewußt und ist von vielen Akustikern beibehalten worden, wohl vornehmlich auf Grund des positiven Ergebnisses gewisser Experimente, bei welchen man die Entstehung von Tönen beobachtete, wenn man die Intensität eines an sich konstanten Tones auf mechanischem Wege künstlich zur Intermittenz brachte. Diese sog. Unterbrechungstöne haben die Periode der Intermittenz und ihre Entstehung aus Intermittenzen wurde als vollkommen analog derjenigen der Differenztöne aus Schwebungen angesehen.

Im folgenden möchte ich die Methoden der künstlichen Erzeugung von Tonintermittenzen hinsichtlich der Güte ihrer Nachahmung von Schwebungen kurz besprechen und dabei auch auf einen Punkt aufmerksam machen, der mir bei der Überlegung dieser Dinge auffiel und meines Wissens bisher nicht beachtet worden ist.

2. Zunächst, weil sofort als nicht beweisend zu verwerfen, möchte ich die KÖNIGSche Methode erwähnen, nach welcher die Töne periodisch schwankender Intensität durch eine Sirene mit periodisch sich ändernder Größe der Luftlöcher erzeugt werden. Wenn bereits die Luftbewegung bei der Tonerzeugung durch die Lochsirene eine sehr komplizierte ist, was sich in der großen Intensität und Zahl der Obertöne kundgibt, so werden bei der von KÖNIG modifizierten Form die Verhältnisse noch verwickelter. Tatsache ist, daß man neben dem Ton, welcher der Zahl sämtlicher Löcher, auch den Ton, welcher der Zahl der größten Löcher entspricht, deutlich hört. Ihn aber durch die Intensitätsschwankungen zu erklären, d. h. also als nur subjektiv entstehend, geht nicht an, weil von K. L. SCHAEFER und O. ABRAHAM (Pflügers Arch. f. d. ges. Physiol. 83, 209, 1901) seine objektive Existenz als sinusförmig vorhandener Ton durch seine Verstärkung im Resonator nachgewiesen worden ist. Eine solche ist auch zu erwarten, denn die Ähnlichkeit der genannten KÖNIGSchen Vorrichtung mit der Wirkung der Wellensirene liegt auf der Hand.

Von den anderen Methoden sind zu nennen: 1. Rotierende Stimmgabel; 2. zwischen Tonquelle und Ohr des Beobachters rotierende Lochscheibe; 3. Übertragung des Tones auf einen Telephonkreis, der mit Unterbrechungsvorrichtung versehen ist. Um diese Methoden hinsichtlich der Treue ihrer Nachahmung von Schwebungen zu vergleichen, analysieren wir erst die Schwebungsbewegung.

3. Zwei Töne  $m$  und  $n$  gleicher Amplitude ergeben die Bewegung des von ihnen affizierten Körpers

$$\sin 2\pi mt + \sin 2\pi nt$$

oder

$$2 \sin 2\pi \frac{m+n}{2} t \cos 2\pi \frac{m-n}{2} t,$$

d. h. eine Schwingungsbewegung der Periode  $\frac{m+n}{2}$ , welche dem

arithmetischen Mittelton entspricht, und deren Amplitude sinusförmig mit der Periode  $\frac{m-n}{2}$  zwischen positivem und negativem Maximum schwankt. Zweimal in der Zeit einer Periode, also pro Sekunde  $m-n$  mal, sinkt die Tonstärke auf Null. Das heißt, es finden  $m-n$  Schwebungen statt, und die Amplitude erleidet bei jedem Durchgang durch Null einen Phasensprung von  $180^\circ$ , weil sie abwechselnd positive und negative Werte annimmt. Wegen dieses Phasensprungs kann der Ton  $\frac{m+n}{2}$  einen Resonator seiner Tonhöhe nicht zum Ansprechen bringen, weil die Wirkung, welche einige aufeinanderfolgende Schwingungen desselben auf den Resonator ausüben, durch die schnell folgenden entgegengesetzter Phase ausgelöscht wird.

Gehört werden können sollte der Mittelton dann nicht mehr, wenn zwischen jeder Phasenänderung weniger Schwingungen desselben liegen, als im Minimum zur Erregung eines Tones nötig sind. Über beides, Hörbarkeit des Mitteltones und Minimalzahl an Schwingungen, welche zur Wahrnehmung der Tonhöhe nötig sind, liegen Angaben in der Literatur vor. Die letztere ist recht verschieden angegeben worden von 20 (S. EXNER, KRIES und UERBACH) bis herab zu 2. Die bei weitem größte Mehrzahl von Untersuchungen stimmt indessen bezüglich der letzteren Zahl überein. (PFAUNDLER, W. KOHLRAUSCH, CROSS und MALBY, BRAHAM und BRÜHL, Literatur siehe K. L. SCHAEFER, Nagels Handb. d. Physiol. d. Menschen 3, 502, 1905.) Über die Hörbarkeit des Mitteltones gibt C. STUMPF (Tonpsychol. 2, 480, 1890) an, daß man in der ein- bis dreigestrichenen Oktave bis zum Intervall der großen Sekunde den schwebenden Mittelton neben den ruhenden Primärtönen erkennen kann. Wird das Intervall größer, so verschwindet dagegen die Wahrnehmbarkeit desselben völlig. Da bei der großen Sekunde je  $8\frac{1}{2}$  Schwingungen des Mitteltones in die Zeit zwischen zwei aufeinanderfolgenden Schwebungen fallen, so würde hiernach die Zahl der zur Tonwahrnehmung mindestens nötigen Schwingungen größer sein als zwei. Bei dem Intervall einer großen Terz fallen auf jeden Zeitraum zwischen zwei Schwebungen  $4\frac{1}{2}$  Schwingungen des Mitteltones; hier ist er gar nicht mehr zu hören. Es ist aber zu be-



merken, daß die Umstände für die Wahrnehmung insofern ungünstig sind, als ja nebenbei noch Töne erklingen, außerdem die Schwingungen des Mitteltones schwankende Amplitude haben, also ein Teil derselben von geringer Intensität ist. Endlich muß es natürlich für die Erregung eines Resonators durch z. B. vier äußere Schwingungen sehr von Belang sein, ob diese gleich nach Ablauf sich in entgegengesetzter Phase wiederholen und so ein Nachklingen des erregten Resonators (CORTISCHE FASER) zerstören, oder ob die erregenden vier Schwingungen einmalige sind.

4. Von den Methoden künstlicher Erzeugung von Schwebungen ahmt den Vorgang der Schwebungen zweier Töne fast vollkommen die Methode der rotierenden Stimmgabel nach. An Stelle der Stimmgabel sind auch rotierende Klangplatten verwendet worden. Im Falle der Stimmgabel erhält man bei einer vollen Umdrehung vier Schwebungen. Bei jeder Überschreitung des Tonminimums findet auch ein Phasensprung der Amplitude um  $180^\circ$  statt, weil ja die Nullzone die Grenze zweier Gebiete bildet, welche in entgegengesetztem Schwingungszustand begriffen sind. Die Amplitude hat auch sehr angenähert einen sinusförmigen Verlauf, so daß die Bewegung dargestellt wird durch das Sinusprodukt:

$$\sin 2\pi pt \sin 2\pi \frac{q}{2} t,$$

worin  $p$  die Schwingungszahl der Gabel und  $q$  die Anzahl der pro Sekunde gehörten Schwebungen, also gleich der vierfachen sekundlichen Umdrehungszahl der Stimmgabel ist. Dieser Ausdruck stellt eine Schwingung mit der Periodenzahl  $p$  dar, deren Amplitude mit der Periodenzahl  $\frac{q}{2}$  von positiven zu negativen Werten schwankt und in der Sekunde  $q$ mal zu Null wird. Das Produkt ist in bekannter Weise der Summe zweier harmonischer Schwingungen der Periodenzahlen  $p - \frac{q}{2}$  und  $p + \frac{q}{2}$  gleichwertig, d. h. der Ton einer Klangplatte oder Stimmgabel löst sich bei genügend schnellem Drehen derselben in zwei Töne auf, welche miteinander die Anzahl der durch das Drehen künstlich erzeugten Schwebungen pro Sekunde bilden. Bei sehr langsamem Drehen liegen die beiden Töne so nahe beieinander, daß im CORTISCHEN

an die Resonanzbereiche sich zum größten Teil überdecken; man hört daher den Ton der Gabel als einzigen und langsam schwebend. Bei gesteigerter Umdrehungszahl rücken die resonierenden Fasergruppen auseinander, man hört die getrennten Töne  $p + \frac{q}{2}$  und  $p - \frac{q}{2}$ , der schwebende und phasenwechselnde Gabelton  $p$ , d. h. der Gabelton, wird immer schwächer und hört schließlich auf, hörbar zu sein, wenn die Schwebungen so schnell aufeinander folgen, daß zu wenig Schwingungen desselben zwischen zwei Intensitätsminima und Phasenwechsel fallen. Dann rücken wieder die Resonanzbereiche der Töne  $p + \frac{q}{2}$  und  $p - \frac{q}{2}$  im Ohr zusammen. Diese Töne sind an drehender Klangplatte und Gabelgabel meines Wissens zuerst von RADAU.<sup>1)</sup> und von STEFAN<sup>2)</sup> beobachtet worden. Man hat sie nach RADAUS Vorgang nach der Ursache ihrer Entstehung aus variierender Tonintensität Variations-Töne genannt. A. und L. WEINHOLD haben die Erscheinung der Aufspaltung des Tones ein „akustisches Analogon zum ZEEMAN-Phänomen“ genannt.

5. Man hat Schwebungen endlich auf zwei im Effekt etwa gleiche Methoden künstlich nachzuahmen gesucht, nämlich dadurch, daß man einen Ton  $p$  konstanter Höhe und Intensität entweder durch Kontaktunterbrechungen eines Telephonkrofonkreises oder mittels einer zwischen Tonquelle und Ohr des Beobachters rotierenden Scheibe mit Öffnungen zu einem intermittierenden machte<sup>3)</sup>. Finden  $q$  Unterbrechungen des Tones  $p$  in der Sekunde statt, so ist hier zunächst ersichtlich, daß diese Anordnung nicht  $q$  Schwebungen von der Art der beim Zusammenwirken zweier Töne auftretenden erzeugen kann, weil mit ihr die Zeichenumkehr der Amplitude, d. h. der Phasenumkehrung um  $180^\circ$ , bei jedem Tonminimum nicht hervorgebracht wird. Die Amplitudenschwankung ist in diesem Falle nicht einfach sinusförmig, sondern etwa wie die Luftbewegung bei einer

<sup>1)</sup> RADAU, *Moniteur scientif.* 1865, S. 430; 1866, S. 792.

<sup>2)</sup> STEFAN, *Wien. Ber.* 53, 696; 54, 598, 1866.

<sup>3)</sup> MACH, STEFAN, *Wien. Ber.* 53, 696; 54, 598, 1866. — A. M. MAYER, *Phil. Mag.*, May 1875. — Lord RAYLEIGH, *Phil. Mag.* (5) 9, 278, 1880 u. a. Siehe auch HELMHOLTZ, *Lehre von den Tonempfindungen*, I. Ausgabe, S. 597, 1863.

Sirene in grober Annäherung durch eine um ihre Amplitude in Ordinate gehobene Sinuskurve darstellbar. Eine solche Kurve, die die Amplitude des gehörten Tones zur Ordinate hat, stellt dann eine Amplitude dar, welche periodische Stöße erfährt, dadurch, daß sie zwischen Null und ihrem Maximalwert schwankt. Setzt man die Maximalamplitude des gehörten  $q$ mal pro Sekunde an Intensität schwankenden Tones  $p$  gleich 2, so ist der Amplitudenverlauf angenähert darstellbar durch den Ausdruck

$$(1 + \sin 2\pi qt) \sin 2\pi pt,$$

oder

$$\sin 2\pi pt + \sin 2\pi pt \sin 2\pi qt,$$

oder

$$\sin 2\pi pt - \frac{1}{2} \cos 2\pi(p+q)t + \frac{1}{2} \cos 2\pi(p-q)t.$$

Man hört also den Ton  $p$  konstant und außerdem eine Bewegung der Periode  $p$  mit sinusförmig zwischen positivem und negativem Maximum mit der Periodenzahl  $q$  schwankende Amplitude, d. i. ein Klang  $p$ , der  $2q$  Schwebungen hat und als zusammengesetzt anzusehen ist aus den beiden Variationstönen  $p + q$  und  $p - q$ . Dieser Klangbestandteil verhält sich wie ein wirklich schwebender, aus zwei einfachen Tönen bestehender Klang, aber wie ein Klang mit der doppelten Anzahl von Schwebungen als Tonunterbrechungen erfolgen.

Wenn man also diesen Versuch in Parallele stellen will mit dem einfachen Zusammenwirken zweier Töne und hier wie dort eine Entstehung des Kombinationstones durch Schwebungen annehmen will, so müßte man im Falle der rotierenden Scheibe den Ton  $2q$  und nicht  $q$  hören. Tatsache ist dagegen, daß man den Ton  $q$ , wenigstens unter geeigneten Bedingungen, nämlich bei hohem Ton  $p$ , hört und daß dieser Ton als ein besondere sog. Unterbrechungston und vielfach als ein Beweis für die Entstehung des Kombinationstones aus Schwebungen angesehen wird<sup>1)</sup>. Übrigens ist, worauf K. L. SCHAEFER und O. ABRAHAM<sup>2)</sup> aufmerksam gemacht haben, der Ton  $q$  auch deshalb hierfür nicht beweisend, weil er auch als Differenzton des Tones  $p$  mit den Variationstönen aufgefaßt werden kann, wofür auch ein

<sup>1)</sup> Nach dem Vorgang von R. KOENIG. Pogg. Ann. 157, 177, 1876; insbesondere HERMANN, DENNERT, WUNDT, EBBINGHAUS.

<sup>2)</sup> Pflügers Arch. 78, 511, 1899; 88, 484, 1902.

Wisse physiologische Eigentümlichkeit dieses Tones, nämlich die besondere Lokalisation desselben im Gehörorgan, spricht sich durch den Ton 2 *q* wäre als Kombinationston erklärbar, falls er mir nicht bekannt, gehört worden ist, nämlich als Differenzton der beiden Variationstöne. Diese Annahme hat keine Schwierigkeit mehr, seitdem von K. L. SCHAEFER<sup>1)</sup> und von WAETZMANN<sup>2)</sup> experimentell gezeigt worden ist, daß Differenztöne leicht an Membranen, also auch an den Ohrmembranen entstehen, ohne daß eine sonderliche Stärke der Primärtöne erforderlich ist.

Die Variationstöne vor einer zwischen Stimmgabel und Beobachter rotierenden mit Ausschnitten versehenen Scheibe sind sehr deutlich zu hören und mit einem nahe an die Scheibe gehaltenen Sinator so kräftig zu verstärken, daß sie auf mehrere Meter gehört werden. Eine Tabelle möge einige von mir ausgeführte Beobachtungen dieser Art wiedergeben, die allerdings keineswegs vollständig sind, sondern nur zur Bestätigung der von anderen bisher ausgeführten Versuche mitgeteilt seien. Die Anzahl der vor dem Sinator passierenden Löcher, also der Tonstöße, wurde durch

| Gabelton      | Stoßzahl                     | Variationston               |                                     |
|---------------|------------------------------|-----------------------------|-------------------------------------|
|               |                              | hoher                       | tiefer                              |
| 256 $\bar{c}$ | 152 $\bar{d}$                | 410 $\bar{a}\bar{s}$        | —                                   |
| " "           | 88 $\bar{F}$                 | 340 $\bar{F}$               | —                                   |
| 320 $\bar{e}$ | 44 $\bar{F}$                 | 368 $\bar{f}\bar{s}$        | 280 $\bar{c}\bar{i}\bar{s}-\bar{d}$ |
|               | 57 $\bar{A}\bar{i}\bar{s}$   | 380 $\bar{g}$               | 260 $\bar{c}$                       |
|               | 67 $\bar{C}\bar{i}\bar{s}$   | 390 $\bar{g}$               | 252 $\bar{h}-\bar{c}$               |
|               | 80 $\bar{E}-\bar{F}$         | 406 $\bar{g}\bar{i}\bar{s}$ | 245 $\bar{h}$                       |
| 512 $\bar{c}$ | 36 $\bar{D}$                 | 553 $\bar{c}\bar{i}\bar{s}$ | 475 $\bar{h}$                       |
|               | 56 $\bar{A}\bar{i}\bar{s}$   | 572 $\bar{d}$               | 460 $\bar{b}$                       |
|               | 65 $\bar{C}\bar{i}\bar{s}$   | 580 $\bar{d}$               | 450 $\bar{a}\bar{i}\bar{s}-\bar{b}$ |
|               | 80 $\bar{E}-\bar{F}$         | 600 $\bar{d}\bar{i}\bar{s}$ | 430 $\bar{a}$                       |
|               | 100 $\bar{A}\bar{s}-\bar{A}$ | 620 $\bar{c}\bar{s}$        | 410 $\bar{a}\bar{s}$                |
| 640 $\bar{e}$ | 128 $\bar{c}$                | 775 $\bar{g}$               | 510 $\bar{c}$                       |

<sup>1)</sup> Ann. d. Phys. (4) 17, 572, 1905.

<sup>2)</sup> Ebenda, (4) 20, 837, 1906.

Bestimmung der Umdrehungszahl der Lochscheibe mit Tourenzähler, die Schwingungszahl der Variationstöne durch Vergleich mit Stimmgabeln mittels Monochord gemessen.

Von einem Unterbrechungston, der an Höhe der Zahl der passierenden Löcher entspricht, habe ich in diesen Fällen keine Spur hören können. Ein solcher trat dagegen sehr deutlich in Erscheinung, wenn der Gabelton sehr hoch (z. B. 2048 Schwingungen) gewählt wurde. Dann rücken aber die Variationstöne sehr nahe zusammen. Diese Beobachtung stimmt ganz mit dem Ergebnisse von K. L. SCHAEFER und O. ABRAHAM<sup>1)</sup> überein.

6. Den im vorigen auseinandergesetzten Unterschied zwischen Schwebungen und Intermittenzen glaubte ich deshalb betonen zu sollen, weil man ohne näheres Nachdenken leicht geneigt ist, ihre Wirkung als gleich anzunehmen, und weil in der Tat sich in der Literatur derartige Verwechslungen finden. Als ein Beispiel hierfür seien die Versuche künstlicher Reproduktion von Vokalen angeführt, welche HERMANN zur Bekräftigung einer von ihm geäußerten Ansicht über die Entstehung des Vokalformanten angestellt hat<sup>2)</sup>.

Die HELMHOLTZsche Vokaltheorie, nach welcher jeder Vokal einen oder zwei charakteristische Töne besitzt, welche den Stimmklang in besonderer Stärke begleiten und als Eigentöne der Mundhöhle entstehen, ist wohl die jetzt allgemein angenommene. In bezug auf die Anregung der Mundhöhle zum Schwingen bestehen Meinungsverschiedenheiten. HELMHOLTZ nahm an, daß sie durch Resonanz auf einen der Partialtöne des Stimmklanges anspricht. Die große Dämpfung der Eigenschwingung infolge der weichen Wände des Mundraumes und bei den helleren Vokalen infolge der Ausstrahlung durch die verhältnismäßig große Mundöffnung ist der Grund, weswegen der Eigenton gar nicht genau mit einem Partialton zusammenzufallen braucht. Der Einwand von Gegnern der HELMHOLTZschen Vokaltheorie, daß dies notwendig wäre, ist hinfällig. Es braucht nur ein vom Eigenton der Mundhöhle nicht zu weit entfernter Partialton des Stimmklanges verstärkt zu werden, um dem Ton Vokalcharakter zu geben. Bei kurzem stoßweisen Anregen ertönt im ersten

<sup>1)</sup> l. c.

<sup>2)</sup> L. HERMANN, Pflügers Arch. f. d. ges. Physiol. 47, 387, 1890.

ment der Theorie nach der Eigentön der Mundhöhle, auch in der erregende Ton ein anderer ist; ebenso tönt auch ein Resonator bei plötzlichem Aufhören des erregenden Tones in dem Eigentön aus. Daher ist die Vokalisierung bei stoßweisen Tönen, wie im Rezitativ und beim Sprechen, besonders gut, besser als bei den langgezogenen Tönen der Arie. Im Gegensatz zu HOLTZ nimmt HERMANN an, daß die Mundhöhle zum Ertönen nicht durch Resonanz angeregt wird, sondern daß der durch die schwingenden Stimmbänder intermittierend gemachte Luftstrom in der Mundhöhle anbläst. Ein Ton, welcher an Höhe gleich einem Resonantentöne ist, soll nach HERMANN, wenn er einen beliebigen Ton begleitet und im Tempo dieses Tones intermittiert, den begleitenden Vokal hören lassen.

Die HERMANNsche Anschauung, der Mundton werde durch den Expirationsstrom angeregt, hat, glaube ich, nicht viel Wahrscheinlichkeit für sich. Man kann gut vokalisierte Töne mit dem geringsten sparsamen Atemverbrauch erzeugen, ja, die Vokale erzeugen um so deutlicher, je bestimmter der Toneinsatz, d. h. je geringer der zur Tonerzeugung verbrauchte Atemstrom ist. Um einen einigermaßen hörbaren Mundton zu erzeugen, ist aber ein kräftiges Hauchen erforderlich. Der Eigentön des Mundes ist nach der HERMANNschen Auffassung im allgemeinen als ein harmonischer Bestandteil im Stimmklange enthalten sein, nämlich als ein selbständiger Ton in einem völlig fremden Klange, der nur dann in harmonischer Beziehung zum letzteren steht, wenn er zufällig mit einem Partialton desselben zusammenfällt. Daß er trotzdem nicht bedenkliche Dissonanzen mit Grund- bzw. dem Oberton des Stimmklanges erzeugt, glaubt HERMANN nach den im Phonographen erhaltenen Vokalkurven dadurch erklären zu können, daß der unharmonische Mundton bei jedem Luftstoß, d. h. in jeder Periode des Stimmtones, mit neuer Phase einsetzt. Wenn also Schwebungen, mithin Dissonanz, natürlich nicht eintreten. Eine Verstärkung des unharmonischen Mundtones durch einen Resonator ist unter diesen Umständen auch nicht möglich. Versuche, die ich in dieser Richtung angestellt habe, waren auch völlig ergebnislos. Weder mit unbewaffnetem Ohre, noch mit einem Resonator habe ich einen unharmonischen Mundton in irgend einem Vokalklange entdecken können.

Die Versuche künstlicher Vokalerzeugung, welche von Herrn HERMANN seinerzeit zur Bekräftigung seiner Ansicht, zum Teil auch mit negativem Erfolge, angestellt wurden, gründen sich nun auf meiner Ansicht nach nicht richtige Voraussetzungen.

In den ersten Versuchen führte HERMANN den Ton einer den Eigenton  $\bar{f}is$  des  $A$  gebenden Pfeife entweder durch eine rotierende Lochscheibe direkt oder durch eine mit rotierendem Unterbrecher versehene Mikrophonelephonleitung indirekt dem Ohre  $n$  mal unterbrochen zu. Seine Erwartung, in der Tonhöhe  $n$  den Vokal  $A$  zu hören, erfüllte sich nicht. Dies kann auch nach dem früheren Paragraphen gar nicht sein, da wir als Resultat des Versuches nur das Auftreten von Variationstönen neben dem Tone  $\bar{f}is$  erwarten können und eventuell den Ton  $n$  als Differenzton. Auch die Versuche, „durch wirkliche Interferenz zweier Töne periodische Schwankungen hoher Töne, wie sie den Vokalen entsprechen“, herzustellen, konnten nicht von Erfolg begleitet sein. „Wenn  $n$  die Schwingungszahl der Note ist, auf welcher  $A$  angegeben werden soll, und  $p$  diejenige des charakteristischen Tones von  $A$ , so bestimmen sich“, führt HERMANN aus, „die beiden gesuchten Töne  $x$  und  $y$  durch die Gleichungen

$$y - x = n \text{ und } \frac{1}{2}(y + x) = p.$$

Die beiden Töne  $x$  und  $y$  ergeben nun zusammen den Ton  $\frac{y+x}{2} = p$ , welcher pro Sekunde  $n$  mal schwebt. Daher soll, wenn  $p = \frac{y+x}{2}$  der charakteristische Ton des  $A$  ist, dieser wegen der  $n$ maligen Schwebung das  $A$  in Höhe des Tones  $n$  hören lassen. Dies ist aber nicht richtig; denn der Ton  $n$  wird erstens überhaupt nur gehört, wenn die für Entstehung des Differenztones günstigen Bedingungen vorhanden sind, dann aber sind zweitens, wie oben ausgeführt,  $n$  Schwebungen gar nicht mit  $n$  Intermissionen, wie sie durch den Ton  $n$  in der Sirene, in der Zungenpfeife oder im Kehlkopf erzeugt werden, gleichwertig, sondern mit  $\frac{n}{2}$ . Mit zwei Tönen kann man den Vorgang der Vokalbildung, wie ihn Herr HERMANN beschrieben hat, also gar nicht nachahmen; es gelang ihm auch nicht mit getrennten Tonquellen. Gute Resultate wurden jedoch nach seiner

Angabe erzielt, wenn die Töne  $x$  und  $y$  auf der Sirene angegeben werden. Hier sind die Verhältnisse komplizierter, der resultierende Klang enthält aber auch nicht Töne, welche dem Vorgang der von HERMANN angenommenen Vokalbildung entsprechen. Zwei Töne  $x$  und  $y$ , auf der Sirene angegeben, erzeugen die Töne  $x$ ,  $x + y$ ,  $x - y$ . Die Töne  $x$  und  $y$  nebeneinander sind anzuhören als der Ton  $\frac{x+y}{2}$ , welcher  $x - y$  mal in der Sekunde schwebt. Verlangt werden aber  $x - y$  Intermissionen dieses Tones. Darstellbar wäre der von HERMANN angenommene Vorgang etwa dadurch, daß man vor den Mund einer angeblasenen beliebigen Lippenpfeife (Stimmtön) einen Resonator des Vokaleigentones wählt, so daß er von dem Blasestrom getroffen wird. Dabei müßte die Pfeife so gewählt sein, daß möglichst keiner ihrer Partialtöne mit dem Eigentön des Resonators zusammenfällt. Derartige Versuche mit einer großen Anzahl von Pfeifen und mit Resonatoren aller Vokaltöne habe ich ausgeführt, jedoch ohne einen bestimmten Vokalklang zu erhalten.

## II. Notiz zur Entstehungsweise der sog. Reflexionstöne.

7. Bekanntlich ist von BAUMGARTEN zuerst die Erscheinung der sog. Wasserfalltöne beschrieben worden. Steht man vor einer Wand, und befindet sich in größerer Entfernung von derselben eine Quelle eines lauteren Geräusches, z. B. ein Wasserfall oder rauschender Bach, so hört man in geringer Entfernung vor der Wand einen Ton besonders deutlich, dessen Höhe von dieser Entfernung abhängt; der Ton wird nämlich immer höher, je mehr man sich der Wand nähert. Man hat diese Erscheinung als einen Beweis dafür angesehen, daß zwei Impulse genügen, einen Eindruck bestimmter Tonhöhe im Ohre zu erzeugen. Man sieht nämlich die Töne als dadurch entstanden an<sup>1)</sup>, daß fortwährend einzelne Impulse das Ohr schnell zweimal hintereinander, nämlich erst direkt und gleich darauf nach Zurückwerfung von der Wand, treffen. Je größer die Zeit ist, welche zwischen den Impulsen verstreicht, desto tiefer soll der Ton sein. Ich habe erst einmal,

<sup>1)</sup> Näheres siehe MÜLLER-POUILLET, Lehrbuch der Physik, 9. Aufl., 1, 732, 1886.



vor einer Mauer in der Nähe des Rheinfalls, Gelegenheit gehabt, die eben besprochene Erscheinung einigermaßen deutlich zu hören. Die Töne, welche allerdings vor der Mauer ausgesprochen deutlicher waren, habe ich aber auch ohne Mauer auf freiem Felde im Brausen des Wasserfalls ziemlich gut hören können, und es scheint mir eine andere, nämlich die folgende Erklärung des Phänomens richtiger zu sein. Die gehörten Töne sind sämtlich im Wasserfallgeräusch vorhanden. Vor der Wand bilden sich viele übereinandergelagerte Systeme stehender Wellen aus, und man hört dann den Ton am deutlichsten, in dessen Bewegungsknotenpunkt man steht. Dort finden für diesen Ton die größten Druckschwankungen statt, und man hört ihn daher am stärksten. Der Abstand von der Wand ist die Halbwelle bzw. ein Vielfaches davon. Der gehörte Ton muß, wenn dieselben im Geräusch vorhanden, seine harmonischen Obertöne enthalten. Nahe an der Wand ist die Erscheinung am ausgeprägtesten. Der folgende Versuch würde sie etwa im Sinne der ebengenannten Erklärung nachahmen: Wenn man in einem großen Raume etwa ein Dutzend dicht zusammenstehender Stimmgabeln auf Resonanzkästen gleichzeitig anschlägt, so ergeben alle zusammen einen geräuschartigen Klang. Horcht man den Raum zwischen den Stimmgabeln und einer Wand ab, so hört man, wie ich mich überzeugt habe, immer eine der Stimmgabeln besonders deutlich; ganz dicht an der Wand anfangend zuerst die höheren, dann bei allmählicher Entfernung die tieferen. Mit der Annahme dieser Erklärung der Wasserfalltöne fällt natürlich ihre Beweiskraft für die Wirkung eines zweimaligen Impulses, die aber durch andere direktere Versuche als erwiesen anzusehen ist. In der Literatur finden sich auch Bemerkungen, daß die BAUMGARTENSchen Töne einen Beweis gegen die HELMHOLTZsche Resonanztheorie des Hörens bilden<sup>1)</sup>, nach welcher nur solche Töne hörbar sind, die als pendelförmige Bewegungen in Klängen enthalten sind. Diese Bemerkungen sind dann natürlich auch nicht aufrecht zu erhalten.

Nach der hier gegebenen Erklärung sind die Wasserfalltöne durchaus das akustische Analogon zu der Erscheinung der multiplen

<sup>1)</sup> L. HERMANN, Pflügers Arch. f. d. ges. Physiol. 53, 36, 1893.

esonanz elektrischer Wellen. Auch im elektrischen Falle nimmt an durch das Ohr des Resonators eine um so tiefere elektrische Schwingung wahr, je weiter man sich von der die elektrischen Wellen reflektierenden Metallwand (bzw. bei Drahtwellen vom rahtende) entfernt. In beiden Fällen, im akustischen wie im elektrischen, kann man Verstärkung eines einzigen schnellen Impulses durch den reflektierten und damit eine akustische Resonanzwirkung im Ohr und eine elektrische Resonanzwirkung im Drahtresonator bei nur zwei Impulsen wohl erhalten. Aber die eintretende Resonanzwirkung ist durchaus kein Beweis für die Wirkung nur zweier Impulse, sondern sie wird um so besser, je mehr Schwingungen es sind, die auf das Ohr oder den Resonator einwirken.

Greifswald und Paris, Februar 1908.

***Bemerkungen zu der Arbeit von Herrn Br. Glatzel:  
„Die Quecksilberfunkenstrecke und ihre Verwendung  
zur Erzeugung schwach gedämpfter elektrischer  
Wellen“<sup>1)</sup>;***

***von Hans Boas.***

(Vorgelegt in der Sitzung vom 6. März 1908.)

(Vgl. S. 244.)

Zu der Arbeit von Herrn BR. GLATZEL, „Die Quecksilberfunkenstrecke und ihre Verwendung zur Erzeugung schwach gedämpfter elektrischer Wellen“ (vorläufige Mitteilung) möchte ich mir einige Bemerkungen gestatten in bezug auf die zur Verwendung gekommene Quecksilberfunkenstrecke.

Seit zwei oder drei Jahren lasse ich bei mir Quecksilberdampffunkenstrecken herstellen, von denen bereits eine größere Zahl verkauft ist, und die auch in meiner Preisliste unter Nr. 762 Aufnahme gefunden haben.

Diese von mir hergestellten Funkenstrecken zeigen alle die wesentlichen Merkmale, die Herr Dr. GLATZEL als Eigentümlichkeiten seiner Funkenstrecke angibt. Als solche Eigentümlichkeiten, die, wie Herr Dr. GLATZEL mit Recht angibt, erst imstande sind, die Funkenstrecke praktisch brauchbar zu machen, sehe ich folgende an: 1. die Anordnung besonderer Behälter, die frei von der Glaswand des ganzen Dampfapparates abstehen und die das Quecksilber aufzunehmen haben; 2. eine Vorrichtung, um diese Behälter, in die naturgemäß das Quecksilber freiwillig nicht hineinlaufen würde, mit Quecksilber füllen zu können. Bei meinen Funkenstrecken habe ich als innere Quecksilberbehälter gewöhnlich Porzellannäpfe verwendet, die sich auch noch viel besser als Glas dazu eignen, da sie nicht springen. Die Füllvorrichtung besteht bei mir darin, daß über den beiden Behältern ein meistens gabelförmig gestaltetes Zulaufrohr endet, das mittels eines Halses dicht

<sup>1)</sup> Diese Verh. 10, 54—66, 1908.

die obere Gefäßwand des ganzen Dampfapparates einschmelzen ist. In diesem Halse befindet sich nahe an der Verbindung ein kleines Loch, das gestattet, den durch den Hals geschlossenen Teil des Dampfapparates mit Quecksilber zu füllen.

Kippt man nun die Funkenstrecke um, so fließt das Quecksilber durch das Gabelrohr in die Nöpfe und füllt diese an.

Viele Herren, die mich in der Fabrik besuchten, haben Gelegenheit gehabt, sich die Funkenstrecken bei mir anzusehen.

Endlich möchte ich noch mit einigen Worten auf die Vakuumverhältnisse in der Funkenstrecke eingehen. Herr Dr. GLATZEL hält eine gewisse begrenzte Höhe des Vakuums für die Funkenstrecke als zweckdienlich und hat auch eine Regulierung ähnlich der bei Röntgenröhren angewandten benutzt. Seine Ansicht hierbei kann ich nicht teilen. Wenn die Funkenstrecke wirklich arbeiten und reine Schwingungen geben soll, so ist es meiner Ansicht nach durchaus erforderlich, daß die Funkenstrecke ein hohes Vakuum hat, daß zunächst Entladungen selbst höchsten Potentials nicht hindurchgehen. Durch geeignete Evakuiervorrichtungen, wie ich sie zur Herstellung von Quecksilberdampflampen angewandt habe, kann man ein so hohes Vakuum ohne Schwierigkeit erreichen. Die Funkenstrecke enthält dann im Innern weiter nichts als Quecksilberdampf und es ist dann ihr Entladungspotential ganz allein von der Temperatur der Funkenstrecke abhängig. Sorgt man für geeignete Abführung der in Wärme umgewandelten Entladungsenergie, so kann der Zustand der Funkenstrecke, eine bestimmte Energiezufuhr vorausgesetzt, dauernd konstant gehalten werden. Eine Quecksilberdampffunkenstrecke kann dann mit einer Luftfunkenstrecke in genaue Parallele gestellt werden, d. h. mit anderen Worten, man kann, scharfe Resonanz des Transformatorkreises vorausgesetzt, mit der Quecksilberdampffunkenstrecke genau ebensowenig Entladungen pro Sekunde erhalten als mit der Luftfunkenstrecke.

Die Energie, die in der Quecksilberdampffunkenstrecke verstrahlt wird, kann ohne Schwierigkeiten berechnet werden, da für den ionisierten Quecksilberdampf das anodische und kathodische Entladungspotential und der Wattverlust in der Dampfstrecke genau bekannt sind, weil es ohne weiteres möglich ist, die in einer Gleichstrom-Quecksilberdampflampe auftretenden Erschei-

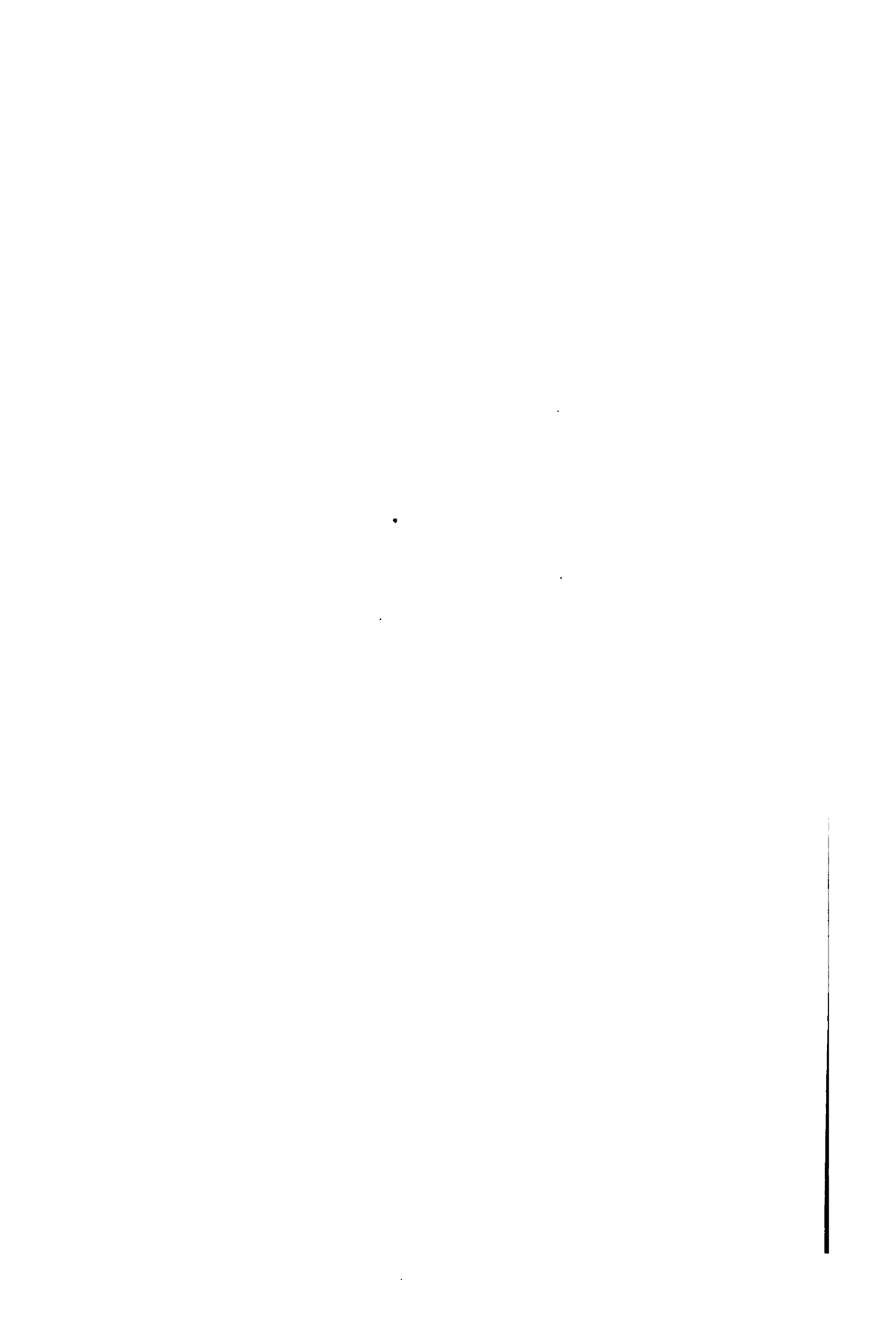
nungen auf die Funkenstrecke zu übertragen. Der Wattverlust in Quecksilberdampffunkenstrecken würde danach betragen: 1. etwa 6 Volt für das Anodengefälle, 2. etwa 5 Volt für das Kathodengefälle und 3. vom Bruchteil eines bis zu mehreren Volt aufwärts für den Lichtbogen innerhalb der Gasstrecke.

Durch Multiplikation der Summen dieser Potentialgefälle mit der mittleren effektiven Stromstärke, die die Quecksilberdampffunkenstrecke durchfließt, erhält man genau den Wattverlust im Innern. Die mittlere effektive Stromstärke ergibt sich aus den Angaben eines auf effektive Werte geeichten Meßinstrumentes, das im Hochfrequenzschwingungskreise liegt.

Diese Annahmen sind natürlich nur zulässig, wenn die Funkenstrecke nur reinen Quecksilberdampf enthält; sobald noch Gasreste vorhanden sind, wird der hochfrequente oszillatorische Vorgang der Funkenstrecke von einer Gasentladungserscheinung überlagert, die ihre Energie direkt aus dem Transformator erhält, d. h. mit anderen Worten, der Transformator wird während jeder Periode zweimal durch den Gaswiderstand in der Funkenstrecke kurzgeschlossen. Da im allgemeinen der Transformator eine hohe mittlere effektive Spannung liefert, die bei passendem Entladungspotential der Funkenstrecke etwa in der Größenordnung von 7000 Volt ist, so ist es klar, daß ein großer Teil der Energie, die vom Transformator geliefert wird, sich auf dem Kurzschlußwege durch die schlecht evakuierte Funkenstrecke hindurch entlädt und nicht zur Ladung der Kapazität ausgenutzt wird.

Für praktischen Betrieb und größere Energiemengen ist deshalb nur eine Funkenstrecke mit höchstem Vakuum zweckmäßig, deren Entladungspotential durch Regelung der Temperatur der Funkenstrecke auf passender Höhe gehalten wird.

Berlin, den 24. Februar 1908.





# Kleine Naturlehre und Chemie

mit Berücksichtigung der  
Mineralogie und der Lehre vom Menschen

für einfache Schulverhältnisse, insbesondere  
für Mädchenschulen bearbeitet von

**H. SÄTZLER,**  
Schulinspektor.

↔ Dritte vermehrte und verbesserte Auflage. ↔  
Mit 154 in den Text eingedruckten Abbildungen.

**Preis kartoniert 80 Pfennig.**

Die vorliegende „Kleine Naturlehre und Chemie“ ist für Mädchenschulen sowie Volksschulen mit einfachen Verhältnissen bestimmt, denen wöchentlich in der Regel nur eine Stunde für die Naturlehre zur Verfügung steht. Solchen Schulen will das Buch genügend Stoff für mindestens zwei Schuljahre bieten, doch dürfte es auch noch etwas weitergehenden Anforderungen vollauf genügen. Der Verfasser will den zu behandelnden Stoff nicht etwa genau vorschreiben, sondern überläßt dem Lehrer die ihm für seine Verhältnisse zweckmäßig erscheinende Auswahl.

Die Form der Darstellung ist durchweg die entwickelnde; es wird von Beobachtungen und Versuchen ausgegangen, daraus das Gesetz abgeleitet und den Anwendungen Rechnung getragen. Eingestreute Fragen regen zu weiterem Nachdenken an. Für eine große Anzahl guter und zweckmäßiger Abbildungen ist Sorge getragen.

Der Kleindruck ist in dieser neuen Auflage vollständig beseitigt, so daß das Buch jetzt den für das Königreich Preußen festgesetzten hygienischen Anforderungen in bezug auf Typengröße und Zeilendurchschuß in jeder Beziehung entspricht.

Der Preis des Buches hat zwar etwas erhöht werden müssen, dürfte aber bei der gediegenen Ausstattung immer noch ein sehr mäßiger genannt werden können.



# E. Leybold's Nachfolger

»»»»»»»»»» Cöln a. Rh. ««««««««««

Neu!

Neu!

## Gaede-Pumpe

mit neuer Porzellantrommel

D. R.-P. angemeldet.

Unzerbrechlich bei plötzlichem Eintreten von Luft.  
(Vergl. Physikalische Zeitschrift. 8. Jahrgang. No. 23, p. 852.)

Garantierte Luftleere  $\frac{1}{100000}$  mm.

Während die Pumpe unter **hohem Vakuum** steht, kann man durch Abreißen des Schliffes **plötzlich** Luft einlassen, ohne daß die Trommel Schaden leidet.

**Dieser Versuch kann beliebig oft wiederholt werden.**

Unsere neuen Ventiltrommeln haben vor Metalltrommeln den großen Vorzug, daß sie mit ätzenden Substanzen gereinigt werden können, was bei Metalltrommeln nicht zulässig ist.

»»»» Die neue Gaede-Pumpe ««««  
ist nur direkt von uns zu beziehen.

**Berichte**  
der  
**Deutschen Physikalischen Gesellschaft**

enthaltend

**Verhandlungen**

der Deutschen Physikalischen Gesellschaft  
im Auftrage der Gesellschaft herausgegeben

von

**Karl Scheel**

und

**Halbmonatliches Literaturverzeichnis**

der „Fortschritte der Physik“, dargestellt von der  
Deutschen Physikalischen Gesellschaft

redigiert von

**Karl Scheel**

für reine Physik

**Richard Assmann**

für kosmische Physik

**Inhalt.**

Verhandlungen der Deutschen Physikalischen Gesellschaft. Bericht über die Sitzung vom 20. März 1908. S. 301. — E. Lampe, Zwei elementare Aufgaben aus der Mechanik über eine gewisse Klasse von Körpern. (Vorgetragen in der Sitzung vom 20. März 1908.) S. 303. — H. Diesselhorst, Demonstrationsapparate zur Analyse elektrischer Schwingungen. Mitteilung aus der Physikalisch-Technischen Reichsanstalt. (Vorgetragen in der Sitzung vom 6. März 1908.) S. 308. — 2. Halbmonatliches Literaturverzeichnis der Fortschritte der Physik. I. Allgemeine Physik. S. 115. — II. Akustik. S. 117. — III. Physikalische Chemie. S. 117. — IV. Elektrizität und Magnetismus. S. 120. — V. Optik des gesamten Spektrums. S. 123. — VI. Wärme. S. 124. — VII. Kosmische Physik. S. 126.

**Braunschweig**

Druck und Verlag von Friedrich Vieweg und Sohn

1908

**Photometer**  
**Spektral-Apparate**  
**Projektions-Apparate**  
**Glas-Photogramme**  
**Physik. Apparate n. Prof. Grimsehl**  
**Optisches Institut von A. Krüss**  
 Inhaber: Dr. Hugo Krüss. HAMBURG.

|  |   |
|--|---|
|   | <p> <b>Präzisions-Reißzeuge (Rundsystem)</b><br/> <b>Nickelstahl-Kompensationspendel</b><br/> <b>Astronomische Uhren.</b><br/> <b>Paris 1900 Grand Prix.</b> </p> |
| <p> <b>Clemens Riefler</b><br/>                 Fabrik mathemat. Instrumente<br/> <b>Nesselwang u. München</b><br/>                 Bayern.             </p> | <p>                 Illustrierte Preislisten gratis.             </p>   |

Verlag von Friedr. Vieweg & Sohn in Braunschweig.

## Wissenschaftliche Luftfahrten.

Ausgeführt vom Deutschen Verein zur Förderung der Luftschiff-  
 fahrt in Berlin. Unter Mitwirkung von *O. Baschin, W. von*  
*Bezold, R. Börnstein, H. Gross, V. Kremser, H. Stade* und  
*R. Süring* herausgegeben von **Richard Assmann** und **Arthur**  
**Berson**. In drei Bänden. Mit zahlreichen Tabellen und Tafeln  
 graphischer Darstellungen, farbigen Vollbildern und Textabbil-  
 dungen. gr. 4<sup>o</sup>. Preis *M* 100.—; herabgesetzter Preis *M* 60.—.

Nach jahrelangen Vorbereitungen ist das von der naturwissenschaftlichen  
 Welt mit Spannung erwartete große Berichtswerk über die im letzten Jahr-  
 zehnt des 19. Jahrhunderts mit großen Mitteln neu aufgenommenen Forschungen  
 in der Atmosphäre mittelst des Luftballons erschienen.

Dieses Fundamentalwerk ist für alle **Meteorologen, Physiker, Astro-**  
**nomen, Geodäten usw.**, ja fast für die ganzen **Naturwissenschaften** wegen des  
 darin niedergelegten wertvollen Materials für die **Physik der Atmosphäre**  
 von der höchsten Bedeutung und kann als ein „*standard work*“ bezeichnet  
 werden, wie es bisher noch nicht existiert, sowohl was die **Zahl und Sicher-**  
 heit der Beobachtungen selbst, wie auch die strenge Methode der Bearbeitung  
 der Ergebnisse anlangt.

Zu beziehen durch alle Buchhandlungen.

**Verhandlungen**  
der  
**Deutschen Physikalischen Gesellschaft**

---

Im Auftrage der Gesellschaft herausgegeben

von

**Karl Scheel**

---

10. Jahrg.

15. April 1908.

Nr. 7.

---

**Sitzung vom 20. März 1908.**

---

Vorsitzender: Hr. M. PLANCK.

---

Hr. O. v. Baeyer trägt

Über langsame Kathodenstrahlen

vor. Die Mitteilung ist schon in diesen Verhandlungen S. 96—114 veröffentlicht.

---

Sodann zeigt Hr. Br. Glatzel eine

Anordnung zur Demonstration der Eigenschaften elektrischer Strahlen unter Benutzung der Quecksilberfunkenstrecke.

---

Ferner spricht Hr. E. Lampe:

Über zwei elementare Aufgaben aus der Mechanik über eine gewisse Klasse von Körpern.

---

Endlich legt Hr. Karl Scheel eine Mitteilung von Hrn. Eilhard Wiedemann:

Über das AL BÉRŪNISCHE Gefäß zur spezifischen Gewichtsbestimmung

vor.

---

Als Mitglieder wurden in die Gesellschaft aufgenommen:

Hr. Dr. C. FISCHER, wiss. Hilfsarbeiter im Telegraphen-Versuchsamte, Berlin NW. 21, Pritzwalkerstr. 3.

(Vorgeschlagen durch Hrn. F. KIEBITZ.)

Hr. Dr. phil. PAUL ASTEROTH, Treysa (Bez. Cassel).

(Vorgeschlagen durch Hrn. E. TAKE.)

C. LORENZ, Aktiengesellschaft, Berlin SO. 26, Elisabethufer 5/6.

(Vorgeschlagen durch Hrn. M. PLANCK.)

---

*Bei elementare Aufgaben aus der Mechanik über  
eine gewisse Klasse von Körpern;*

von *E. Lampe.*

(Vorgetragen in der Sitzung vom 20. März 1908.)

(Vgl. oben S. 301.)

Ein Körper liege zwischen zwei parallelen Ebenen vom Ab-  
stande  $h$ ; der ebene Querschnitt  $q$  im Abstände  $x$  von der einen  
der parallelen Ebenen hat den Flächeninhalt  $q = c_0 + c_1 x +$   
 $c_2 x^2$ . Für  $x = 0$  ist also der Inhalt der einen Grenzfläche  
 $= c_0$ , für  $x = h$  derjenige der anderen  $q_1 = c_0 + c_1 h + c_2 h^2$ ,  
für  $x = \frac{1}{2} h$  derjenige des mittleren Querschnittes  $m = c_0 + \frac{1}{2} c_1 h +$   
 $\frac{1}{4} c_2 h^2$ .

1. Den Abstand  $x_0$  des Schwerpunktes des homogenen Körpers  
von  $q_0$  durch die Volumina  $v_0 = \frac{1}{3} q_0 h$ ,  $v_1 = \frac{1}{3} q_1 h$ ,  $v = \frac{1}{3} (c_0 h +$   
 $\frac{1}{2} c_1 h^2 + \frac{1}{3} c_2 h^3)$  auszudrücken, also durch die Volumina zweier  
Kegel (oder Pyramiden) mit den Grundflächen  $q_0$ ,  $q_1$  und der  
Höhe  $h$ , sowie durch das Volumen  $v$  des Körpers.

Es ergibt sich sofort:

$$x_0 = h \frac{\frac{1}{2} c_0 + \frac{1}{3} c_1 h + \frac{1}{4} c_2 h^2}{c_0 + \frac{1}{2} c_1 h + \frac{1}{3} c_2 h^2},$$

so:

$$x_0 - \frac{h}{2} = \frac{h}{2} \cdot \frac{c_1 h + c_2 h^2}{6 c_0 + 3 c_1 h + 2 c_2 h^2}.$$

Nun ist  $3 v_1 - 3 v_0 = c_1 h + c_2 h^2$ ,  $6 v = 6 c_0 + 3 c_1 h +$   
 $2 c_2 h^2$ ; daher:

$$x_0 - \frac{h}{2} = \frac{h}{2} \frac{v_1 - v_0}{2 v},$$

$$x_0 = \frac{h}{2} \left[ 1 + \frac{v_1 - v_0}{2 v} \right].$$

Dies ist die gesuchte Formel, der man auch die Gestalt  
oben kann:

$$x_0 = h \frac{q_1 + 2 m}{q_1 + 4 m + q_0}, \quad h - x_0 = h \frac{q_0 + 2 m}{q_1 + 4 m + q_0}.$$

In den meisten Fällen ist es bequemer, die Formel mit  $v_0$ ,  $v_1$ ,  $v$  zu benutzen.

A. Kegel und Pyramide.  $g_1 = 0$ ,  $v = v_0$ ,  $v_1 = 0$ :

$$x_0 = \frac{h}{2} \left(1 - \frac{1}{2}\right) = \frac{1}{4}h.$$

B. Obelisk, Kegel- und Pyramidenstumpf. Die Formel in  $g_0$ ,  $g_1$  und  $m$ . — Für Kegelstumpf mit den Radien  $r_0$  und  $r_1$ :

$$x_0 = \frac{h}{2} \left[1 + \frac{r_1^2 - r_0^2}{2(r_1^2 + r_1 r_0 + r_0^2)}\right] = \frac{h}{4} \cdot \frac{3r_1^2 + 2r_1 r_0 + r_0^2}{r_1^2 + r_1 r_0 + r_0^2}.$$

C. Kugelschicht von der Höhe  $h$  zwischen zwei parallelen Ebenen mit Grenzkreisen von den Radien  $a$  und  $b$ :

$$x_0 = \frac{h}{2} \left[1 + \frac{b^2 - a^2}{3a^2 + 3b^2 + h^2}\right] = \frac{h}{2} \cdot \frac{2a^2 + 4b^2 + h^2}{3a^2 + 3b^2 + h^2}.$$

Halbkugel.  $v_0 = \frac{1}{2}\pi r^2$ ,  $v_1 = 0$ ,  $v = \frac{2}{3}\pi r^2 = 2v_0$ ,  $h = r$ :

$$x_0 = \frac{r}{2} \left[1 - \frac{1}{4}\right] = \frac{3}{8}r.$$

2. Derselbe Körper ist mit einer Flüssigkeit gefüllt; die parallelen Grenzebenen sind horizontal gestellt,  $g_0$  oben. Die untere Grenzfläche  $g_1$  hat eine Öffnung vom Quadratinhalte  $\omega$ ; der Kontraktionskoeffizient des Strahles ist  $\alpha$ ; die Zeit  $T_0$  der Entleerung des Gefäßes durch  $\omega$  zu berechnen.

Zur Zeit  $t$  nach Beginn des Ausflusses sei der Flüssigkeitsspiegel um die Höhe  $x$  gesunken. Dann ist in diesem Augenblicke die Druckhöhe  $h - x$ , die Ausflußgeschwindigkeit  $v = \sqrt{2g(h - x)}$ . In der Zeit  $dt$  fließt also die Menge aus:

$$\alpha \omega dt \sqrt{2g(h - x)}.$$

Dabei sinke der Flüssigkeitsspiegel um  $dx$ , so ist:

$$\alpha \omega dt \sqrt{2g(h - x)} = dx(c_0 + c_1 x + c_2 x^2).$$

Daher ist die gesuchte Entleerungszeit:

$$\begin{aligned} T_0 &= \frac{1}{\alpha \omega \sqrt{2g}} \int_0^h \frac{c_0 + c_1 x + c_2 x^2}{\sqrt{h - x}} dx \\ &= \frac{1}{15 \alpha \omega} \sqrt{\frac{2h}{g}} [15 c_0 + 10 c_1 h + 8 c_2 h^2]. \end{aligned}$$

Aus den Werten von  $v_0, v_1, v$  berechnet man:

$$= 3v, c_1 h^2 = 6v - 6v_1 - 12v_0, c_2 h^2 = -6v + 9v_1 + 9v_0.$$

Durch Einsetzung dieser Werte in  $T_0$  erhält man:

$$T_0 = \frac{1}{5\alpha\omega\sqrt{2gh}} [4v + 4v_1 - v_0].$$

Man denke sich jetzt den Körper in umgekehrter Lage, also oben und  $q_0$  unten; in  $q_0$  sei ein Loch von derselben Größe  $\omega$  gleicher Beschaffenheit angebracht. Dann folgt die Zeit  $T_1$  Entleerung durch Vertauschung von  $v_1$  mit  $v_0$ , also:

$$\frac{T_0}{T_1} = \frac{4v + 4v_1 - v_0}{4v + 4v_0 - v_1}.$$

A. Kegelstumpf mit den Radien  $r_0$  und  $r_1$ :

$$\frac{T_0}{T_1} = \frac{8r_1^2 + 4r_1r_0 + 3r_0^2}{8r_0^2 + 4r_1r_0 + 3r_1^2}.$$

B. Halbkugel.  $v_0 = \frac{1}{2}\pi r^2, v_1 = 0, v = \frac{2}{3}\pi r^2 = 2v_0$ :

$$\frac{T_0}{T_1} = \frac{7}{12}.$$

C. Elliptisches Paraboloid  $\frac{x^2}{a} + \frac{y^2}{b} = 2s$ , Segment zwischen  $= 0$  und  $s = h$ .  $v_0 = \frac{2}{3}\pi h^2\sqrt{ab}, v_1 = 0, v = h^2\pi\sqrt{ab}$ :

$$\frac{T_0}{T_1} = \frac{1}{2}.$$

Wenn statt der Volumina  $v_0, v_1, v$ , die Querschnitte  $q_0, q_1$ , eingeführt werden, geht die Formel für das Verhältnis der Flußzeiten über in

$$\frac{T_0}{T_1} = \frac{6q_1 + q_0 + 8m}{6q_0 + q_1 + 8m}.$$



***Demonstrationsapparate zur Analyse elektrischer  
Schwingungen;***

***von H. Diesselhorst.***

(Mitteilung aus der Physikalisch-Technischen Reichsanstalt.)

(Vorgetragen in der Sitzung vom 6. März 1906.)

(Vgl. oben S. 244.)

Mit dem GEHRCKESchen Glimmlichtoszillographen lassen sich elektrische Schwingungen, wie sie in der drahtlosen Telegraphie benutzt werden, analysieren und in photographischen Bildern festlegen, wie ich in einer früheren Mitteilung beschrieben habe<sup>1)</sup>. Außer der GEHRCKESchen Glimmlichtröhre sind dazu schnell rotierende Spiegel von nicht zu geringer Größe erforderlich, bei deren Konstruktion an Festigkeit, exakte Lagerung und Ausbalancierung der rotierenden Teile große Ansprüche gestellt werden müssen. Die Firma HANS BOAS in Berlin, die früher bereits für andere Zwecke (Registriertrommeln zur Aufnahme von Geschosßgeschwindigkeiten usw.) schnell rotierende Elektromotoren gebaut hatte, übernahm bereitwilligst die Herstellung der Apparate, die der Gesellschaft hier vorgeführt werden.

Der erste Apparat (Fig. 1) ist die Vereinigung eines solchen schnell laufenden Motors mit einem Spiegel. Anker und Spiegel sitzen auf derselben dreifach gelagerten Achse. Der Motor kann mit 200 und für kürzere Zeit noch mehr Touren pro Sekunde laufen, wobei sich die Tourenzahl mit einem der heute üblichen Tachometer bequem feststellen läßt. Die Glimmlichtröhre liegt parallel zur Achse und wird von den Entladungsschwingungen einer Leidener Flasche erregt. Die Art der Erregung geschieht zweckmäßig so, daß man sie unter Einschaltung eines Wasserwiderstandes mit den Enden der Selbstinduktionsspule des Entladungskreises oder auch nur mit einem Teile der Spule ver-

<sup>1)</sup> Verh. D. Phys. Ges. 9, 318, 1907.


det. Dann bildet sich das Glimmlicht regelmäßig aus und  
r rotierende Spiegel zeigt die Schwingung aufgelöst.

Fig. 1.



Für die Betrachtung mit bloßem Auge ist ein Planspiegel  
weckmäßig, für die Photographie ist ein Hohlspiegel bei weitem  
orzuziehen, weil bei Anwendung von Planspiegel und Linse der

**Photometer**  
**Spektral-Apparate**  
**Projektions-Apparate**  
**Glas-Photogramme**  
**Physik. Apparate n. Prof. Grimsehl**  
**Optisches Institut von A. Krüss**  
 Inhaber: Dr. Hugo Krüss. HAMBURG.

|  |  |
|--|--|
|   | <p> <b>Präzisions-Reißzeuge (Rundsystem)</b><br/> <b>Nickelstahl-Kompensationspendel</b><br/> <b>Astronomische Uhren.</b> </p> |
| <p> <b>Clemens Riefler</b><br/>         Fabrik mathemat. Instrumente<br/> <b>Nesselwang u. München</b><br/>         Bayern.       </p> | <p> <b>Paris 1900 Grand Prix.</b><br/>         Illustrierte Preislisten gratis.       </p>                                     |

Verlag von Friedr. Vieweg & Sohn in Braunschweig.

## Wissenschaftliche Luftfahrten.

Ausgeführt vom Deutschen Verein zur Förderung der Luftschiff-  
 fahrt in Berlin. Unter Mitwirkung von *O. Baschin, W. von*  
*Bezold, R. Börnstein, H. Gross, V. Kremser, H. Stade* und  
*R. Süring* herausgegeben von **Richard Assmann** und **Arthur**  
**Berson**. In drei Bänden. Mit zahlreichen Tabellen und Tafeln  
 graphischer Darstellungen, farbigen Vollbildern und Textabbil-  
 dungen. gr. 4<sup>o</sup>. Preis *M* 100.—; herabgesetzter Preis *M* 60.—.

Nach jahrelangen Vorbereitungen ist das von der naturwissenschaftlichen  
 Welt mit Spannung erwartete große Berichtswerk über die im letzten Jahr-  
 zehnt des 19. Jahrhunderts mit großen Mitteln neu aufgenommenen Forschungen  
 in der Atmosphäre mittelst des Luftballons erschienen.

Dieses Fundamentalwerk ist für alle **Meteorologen, Physiker, Astro-**  
**nomen, Geodäten usw.**, ja fast für die ganzen **Naturwissenschaften** wegen des  
 darin niedergelegten wertvollen Materials für die **Physik der Atmosphäre**  
 von der höchsten Bedeutung und kann als ein „*standard work*“ bezeichnet  
 werden, wie es bisher noch nicht existiert, sowohl was die **Zahl und Sicher-**  
 heit der Beobachtungen selbst, wie auch die **strenge Methode der Bearbeitung**  
 der Ergebnisse anlangt.

Zu beziehen durch alle Buchhandlungen.

**Verhandlungen**  
der  
**deutschen Physikalischen Gesellschaft**

---

Im Auftrage der Gesellschaft herausgegeben

von

**Karl Scheel**

---

10. Jahrg.

15. April 1908.

Nr. 7.

---

**Sitzung vom 20. März 1908.**

---

Vorsitzender: Hr. M. PLANCK.

---

Hr. O. v. Baeyer trägt

Über langsame Kathodenstrahlen

vor. Die Mitteilung ist schon in diesen Verhandlungen S. 96—114  
eröffnet.

---

Sodann zeigt Hr. Br. Glatzel eine  
Anordnung zur Demonstration der Eigenschaften elek-  
trischer Strahlen unter Benutzung der Quecksilber-  
funkenstrecke.

---

Ferner spricht Hr. E. Lampe:

Über zwei elementare Aufgaben aus der Mechanik über  
eine gewisse Klasse von Körpern.

---

Endlich legt Hr. Karl Scheel eine Mitteilung von Hrn. Eil-  
hard Wiedemann:

Über das ALBERTSsche Gefäß zur spezifischen  
Gewichtsbestimmung

vor.

---



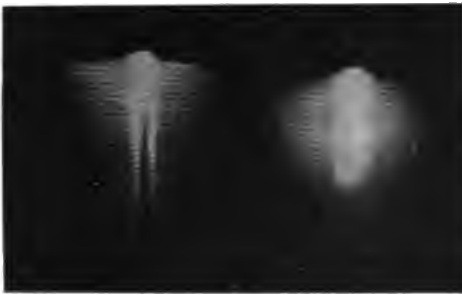
Fig. 8.

des Funkens ist der Synchronismus niemals so groß, daß etwa durch genaue Übereinanderlagerung mehrerer Bilder photographische Wirkung verstärken könnte. Für die subjektive Beobachtung ist es jedoch sehr angenehm, das Bild immer ungefähr der gleichen Stelle zu haben und in Muße betrachten können.

Es lassen sich auf diese Weise z. B. die Erscheinungen veranschaulichen, welche nach der von BJERKNES und MAX WIEN entwickelten Theorie bei der Koppelung zweier Schwingungskreise auftreten. BJERKNES behandelt die Verstimmung der beiden Kreise bei loser Koppelung, M. WIEN untersucht stärkere Koppelung.

Fig. 4.

Fig. 5.



Primär.

Sekundär.

$\lambda = 1680 \text{ m}$ ; lose Koppelung.

Sind beide Kreise zunächst bei loser Koppelung aufeinander abgestimmt, so zeigt sich in dem primären, die Funkenstrecke haltenden Kreise eine einfache gedämpfte Schwingung, während im Sekundärkreise die Amplitude zunächst allmählich bis zu einem Maximum anwächst, um dann abzuklingen (Fig. 4 und 5). Stimmt man jetzt die Kreise, was leicht mit einem Drehkondensator im Sekundärkreise bewirkt werden kann, so treten im Sekundärkreise Schwebungen auf. Den gleichen Effekt erhält man durch Verstärken der Koppelung, d. h. durch Nähern der Selbstinduktionsspulen der beiden Kreise. Man erhält dann z. B. bei 5,4proz. Koppelung die in Fig. 6 und 7 dargestellten Bilder. Man erkennt daran, wie die Schwingungsenergie allmählich vom Primärkreise an den Sekundärkreis übergeht, dann wieder zurück

in den Primärkreis und wie daraus Schwebungen entstehen. Bei Verstärken der Koppelung mehrten sich die Schwebungen; man erhält Bilder, wie sie in Fig. 8 und 9 dargestellt sind, von denen

Fig. 6.

Fig. 7.



Primär.

Sekundär.

$\lambda = 1680$  m; Koppelung 5,4 Proz.

Fig. 8.

Fig. 9.



$\lambda = 1680$  m;  
Koppelung 14,3 Proz.

$\lambda = 1680$  m;  
Koppelung 26 Proz.

das erste schon auf S. 320 des vorigen Jahrganges dieser Verhandlungen veröffentlicht ist.

An Fig. 6 und 7 ist es interessant, das Verhalten der Primärfunkenstrecke zu studieren. Bei dem zweiten Minimum hört im

märkreise die Schwingung auf. In diesem Augenblick ist im  
kundärkreise ein Maximum der Amplitude und die Sekundär-  
wungung klingt von diesem Maximum ohne Rückwirkung auf  
Primärkreis, d. h. ohne weitere Schwebungen, mit schwacher  
mpfung ab. Die günstigste Bedingung für das Abreißen des  
märfunkens ist immer dann vorhanden, wenn die Schwingungs-  
ergie sich im Sekundärkreise befindet. Kommt es darauf an,  
Energie aus dem Primär- in den Sekundärkreis übergehen  
lassen, so ist die günstigste Koppelung diejenige, bei welcher  
: Funken im ersten Energieminimum im Primärkreise aussetzt.



**Berichtigung.**

---

**S. 215, Zeile 4 von unten lies 1,000 035 329 statt 1,000 035 399.**

Verlag von **Friedr. Vieweg & Sohn in Braunschweig.**

# **Elektrotechnik in Einzel-Darstellungen.**

Unter Mitwirkung hervorragender Fachmänner herausgegeben von

**Dr. Gustav Benischke,**

Ober-Ingenieur.

Das unter dem Titel **Elektrotechnik in Einzel-Darstellungen** erscheinende Sammelwerk ist in erster Linie für Studierende an höheren technischen Schulen und für Ingenieure bestimmt, die bereits in der Praxis stehen und über einzelne Gebiete der Elektrotechnik zuverlässig unterrichtet zu sein wünschen.

Das Unternehmen trägt einem allgemein empfundenen Bedürfnis Rechnung, die bisher erschienenen umfangreichen Spezialwerke über die einschlägigen Gebiete in noch größeren Handbüchern über das gesamte Gebiet der Elektrotechnik ihrer Zieligkeit wegen naturgemäß nur einem geringen Bruchteil des dafür vorhandenen Interessentenkreises zugänglich waren.

Andererseits bürgt für den gediegenen Wert und die vollendete Ausführung des vorliegenden Unternehmens der Umstand, daß durchweg erste Kräfte aus der Praxis, die zu größeren literarischen Arbeiten am meisten befähigt, für die Ausführung derselben aber am wenigsten Zeit haben, für diese kurzen und gedrängten Einzel-Darstellungen als Mitarbeiter gewonnen werden konnten, und an deren Spitze ein so hervorragender Fachmann wie Dr. Gustav Benischke als Herausgeber des ganzen Werkes auftritt wird.

1. Heft: **Die Schutzvorrichtungen der Starkstromtechnik gegen atmosphärische Entladungen** von Dr. Gustav Benischke, Ober-Ingenieur. Mit 43 eingedr. Abbildungen. Preis geh. *ℳ* 1,20, geb. *ℳ* 1,60.
2. Heft: **Der Parallelbetrieb von Wechselstrommaschinen** von Dr. Gustav Benischke, Ober-Ingenieur. Mit 43 eingedruckten Abbildungen. Preis geh. *ℳ* 1,20, geb. *ℳ* 1,60.
3. Heft: **Die Grundgesetze der Wechselstromtechnik** von Dr. Gustav Benischke, Ober-Ingenieur. Mit 113 eingedruckten Abbildungen. Preis geh. *ℳ* 3,60, geb. *ℳ* 4,20.
4. Heft: **Die vagabundierenden Ströme elektrischer Bahnen** von Dr. Carl Michalke, Ober-Ingenieur. Mit 34 eingedruckten Abbildungen. Preis geh. *ℳ* 2,50, geb. *ℳ* 3,—.
5. Heft: **Die asynchronen Drehstrommotoren**, ihre Wirkungsweise, Prüfung und Berechnung von Dr. Gustav Benischke, Chef-Elektriker. Mit 2 farb. Tafeln u. 112 Abbild. Preis geh. *ℳ* 5,50, geb. *ℳ* 6,—.
6. Heft: **Die elektrischen Bogenlampen**, deren Prinzip, Konstruktion und Anwendung von J. Zeidler. Mit 130 Abbildungen und einer Kurventafel. Preis geh. *ℳ* 5,50, geb. *ℳ* 6,—.
7. Heft: **Aufnahme und Analyse von Wechselstromkurven** von Dr. Ernst Orlich, Professor u. Mitglied der Physikalisch-Technischen Reichsanstalt. Mit 71 eingedr. Abbildungen. Preis *ℳ* 3,50, geb. *ℳ* 4,—.
8. Heft: **Lichtstrahlung und Beleuchtung** von Paul Högner. Mit 37 eingedruckten Abbildungen. Preis geh. *ℳ* 3,—, geb. *ℳ* 3,50.
9. Heft: **Die elektrischen Bahnen und ihre Betriebsmittel** von Dipl.-Ing. Herbert Kyser. Mit 73 Abbildungen und 10 Tafeln. Preis geh. *ℳ* 5,50, geb. *ℳ* 6,—.
10. Heft: **Die Isoliermittel der Elektrotechnik** von Ingenieur Karl Wernicke. Mit 60 Abbild. und einer Ausschlagtafel. Preis geh. *ℳ* 5,50, geb. *ℳ* 6,—.

Jedes Heft einzeln käuflich. — Weitere Hefte in Vorbereitung.

**==== Zu beziehen durch alle Buchhandlungen. ====**

Verlag von Friedr. Vieweg & Sohn in Braunschweig.

Sechs Vorträge  
über das  
**thermodynamische Potential**  
und  
seine Anwendungen auf chemische und physikalische  
Gleichgewichtsprobleme  
eingeleitet durch zwei Vorträge über  
**nichtverdünnte Lösungen**  
und über den  
**osmotischen Druck**  
von **J. J. van Laar.**

Gr. 8°. Preis geh. 3,50 *M.*, geb. 4,20 *M.*

Zweck der vorliegenden Arbeit ist, verschiedene chemische Gleichgewichtsprobleme mit Hilfe des thermodynamischen Potentials auf exakter thermodynamischer Grundlage streng, doch einfach und ohne umständliche mathematische Entwicklungen zu behandeln.

Nachdem in einem einleitenden Vortrage auf das Unzulängliche der gewöhnlichen Theorie der „verdünnten“ Lösungen hingewiesen ist, wobei auch die allgemein verbreitete unrichtige Auffassung des osmotischen Druckes bestritten wird, war es die Aufgabe des zweiten Vortrages, diesen letzten Gegenstand besonders zu beleuchten.

Der osmotische Druck wird als das Druckäquivalent eines gewöhnlichen Diffusionsvorganges betrachtet, und die Nicht-Existenz dieses Druckes in isolierten Lösungen erörtert. Auch die sogenannte Analogie mit den Gasgesetzen wird einer scharfen Kritik unterzogen, und gezeigt, daß diese Analogie nur eine scheinbare sei. Gegenüber dem sekundären Begriffe des osmotischen Druckes wird der primäre des thermodynamischen Potentials hervorgehoben.

In einer Reihe von sechs Vorträgen zeigt der Verfasser sodann, daß die Einführung des thermodynamischen Potentials zu keinerlei verwickelten Berechnungen Anlaß gebe, wie man das oft noch meint, sondern im Gegenteil imstande sei, die verwickeltsten Probleme einfach und exakt zu lösen.

Besonders macht es sich in den ersten drei Vorträgen bemerkbar, daß verschiedene wichtige qualitative Beziehungen auf dem Gebiete der Phasenlehre, ohne Mühe sogleich aufgeschrieben werden können.

In den letzten drei Vorträgen werden sodann in ganz einfacher Weise vielerlei quantitative Beziehungen über Gasdissociation, Schmelz- und Löslichkeitskurven, Dampfdruckkurven usw. hergeleitet.

Es ergibt sich ferner, daß die verschiedensten elektromotorischen Gleichgewichte einer nàmlichen einheitlichen thermodynamischen Behandlung fähig sind.

Wenngleich es verschiedene ausgezeichnete Werke über Thermodynamik gibt, die die genannten Gegenstände mehr oder weniger ausführlich behandeln, so schien es dem Verfasser doch wünschenswert, in einer Reihe von leicht verständlichen Vorträgen das Wichtigste im Lichte der allgemeinen Theorie jedem Studierenden auf diesem Gebiete — Anfänger oder schon Gebildeter — so zugänglich zu machen, daß er selbständig in der angedeuteten Richtung weiter arbeiten kann, was der Entwicklung der theoretischen Chemie sicherlich zugute kommen wird.

Zu beziehen durch alle Buchhandlungen.

**Berichte**  
der  
**Deutschen Physikalischen Gesellschaft**

enthaltend

**Verhandlungen**

der Deutschen Physikalischen Gesellschaft  
im Auftrage der Gesellschaft herausgegeben

von

**Karl Scheel**

und

**Halbmonatliches Literaturverzeichnis**

der „Fortschritte der Physik“, dargestellt von der  
Deutschen Physikalischen Gesellschaft

redigiert von

**Karl Scheel**

für reine Physik

**Richard Assmann**

für kosmische Physik

**Inhalt.**

Verhandlungen der Deutschen Physikalischen Gesellschaft. (Fehlen.)  
2. Halbmonatliches Literaturverzeichnis der Fortschritte der Physik.  
I. Allgemeine Physik. S. 133. — II. Akustik. S. 136. — III. Physikalische  
Chemie. S. 136. — IV. Elektrizität und Magnetismus. S. 138. — V. Optik  
des gesamten Spektrums. S. 142. — VI. Wärme. S. 144. — VII. Kosmische  
Physik. S. 146.

**Braunschweig**

Druck und Verlag von Friedrich Vieweg und Sohn

1908

**Photometer**  
**Spektral-Apparate**  
**Projektions-Apparate**  
**Glas-Photogramme**  
**Physik. Apparate n. Prof. Grimsehl**  
**Optisches Institut von A. Krüss**  
Inhaber: Dr. Hugo Krüss. **HAMBURG.**

**Ferdinand Eruecke, Werkstätten f. Präzisions-Mechanik**

Hoflieferant Sr. Majestät des deutschen Kaisers

**BERLIN-TEMPELHOF, Ringbahnstrasse 4**

**Physikalische Demonstrationsapparate**  
**Funkeninduktoren neuester Konstruktion**  
**Demonstrations- und Versuchs-Funkeninduktor**  
Nr. 2112, D. R. G. M.

— Beschreibung steht zu Diensten —

Alle Arten **Projektionsapparate** für Projektion von Bildern und physikalischen Versuchen. — Broschüre über den **Universal-Projektionsapparat, Type NOR**, umfassend 95 Seiten mit 85 Holzschnitten, dritte Auflage, steht zu Diensten

**Einrichtung physikalischer und chemischer Kabinette und Laboratorien**

Verlag von Friedr. Vieweg & Sohn in Braunschweig.

## Die Physik

in gemeinfasslicher Darstellung für höhere Lehranstalten, Hochschulen  
und zum Selbststudium

von **Dr. Friedrich Neesen**,

Professor an der vereinigten Artillerie- und Ingenieur-Schule und an der  
Universität Berlin.

Zweite vermehrte Auflage. Mit 294 in den Text eingedruckten Abbildungen und einer Spektraltafel. gr. 8. Preis geh. 4 *M.*, geb. 4,50 *M.*

**Berichte**  
der  
**Deutschen Physikalischen Gesellschaft**

enthaltend

**Verhandlungen**

der Deutschen Physikalischen Gesellschaft  
im Auftrage der Gesellschaft herausgegeben

von

**Karl Scheel**

und

**Halbmonatliches Literaturverzeichnis**

der „Fortschritte der Physik“, dargestellt von der  
Deutschen Physikalischen Gesellschaft

redigiert von

**Karl Scheel**

für reine Physik

**Richard Assmann**

für kosmische Physik

**Braunschweig**

Druck und Verlag von Friedrich Vieweg und Sohn

1908

# Inhalt.

## 1. Verhandlungen der Deutschen Physikalischen Gesellschaft.

|   | Seite |
|---|-------|
| Bericht über die Sitzung vom 1. Mai 1908. . . . .   | 315   |
| Vermögens-Bilanz der Deutschen Physikalischen Gesellschaft am 31. Dezember 1907. . . . .  | 319   |
| Gewinn- und Verlust-Konto am 31. Dezember 1907. . . . .   | 320   |
| O. Lehmann, Flüssige Kristalle, Myelinformen und Muskelkraft. (Vorgelegt in der Sitzung vom 1. Mai 1908.) . . . . .   | 321   |
| H. Erfle, Anzahl der quasielastisch gebundenen Elektronen im Heliumatom. (Vorgelegt in der Sitzung vom 1. Mai 1908; eingegangen am 10. April 1908.) . . . . . | 331   |
| Eilhard Wiedemann, Über das al Bérünische Gefäß zur spezifischen Gewichtsbestimmung. (Vorgelegt in der Sitzung vom 20. März 1908.)                            | 339   |
| H. Kreuzler, Über reines Eisen. (Vorgetragen in der Sitzung vom 1. Mai 1908.) . . . . .   | 344   |
| Erich Begener, Beobachtung szintillierender Fluoreszenz, hervorgerufen durch $\beta$ -Strahlen. (Vorgetragen in der Sitzung vom 1. Mai 1908.)                 | 351   |

## 2. Halbmonatliches Literaturverzeichnis der Fortschritte der Physik.

I. Allgemeine Physik. S. 153. — II. Akustik. S. 155. — III. Physikalische Chemie. S. 155. — IV. Elektrizität und Magnetismus. S. 157. — V. Optik des gesamten Spektrums. S. 160. — VI. Wärme. S. 162. — VII. Kosmische Physik. S. 164.

---

Verlag von Friedr. Vieweg & Sohn in Braunschweig.

## Elektromagnetische Schwingungen und Wellen.

Von Dr. Josef Ritter von Geitler,

ao. Professor der Physik an der k. k. deutschen Universität Prag.

Mit 86 eingedruckten Abbild. gr. 8. Preis geh. 4,50  $\mathcal{M}$ , geb. 5,20  $\mathcal{M}$

---

## Kinematik organischer Gelenke.

Von Prof. Dr. Otto Fischer

in Leipzig.

Mit 77 eingedruckten Abbildungen. gr. 8. Preis geh. 8  $\mathcal{M}$ , geb. 9  $\mathcal{M}$

---

## Leitfaden der Physik

zum Gebrauch bei Experimentalvorlesungen nach  
Frick, physikalische Technik, 7. Auflage

von Dr. O. Lehmann,

Professor der Physik an der technischen Hochschule in Karlsruhe.

Mit 81 eingedruckten Abbildungen. kl. 8. Preis geh. 4,50  $\mathcal{M}$ , geb. 5  $\mathcal{M}$

# Verhandlungen der deutschen Physikalischen Gesellschaft

Im Auftrage der Gesellschaft herausgegeben

von

**Karl Scheel**

---

Jahrg.

15. Mai 1908.

Nr. 8/9.

---

**Sitzung vom 1. Mai 1908.**

Vorsitzender: Hr. M. PLANCK.

Vor dem Eintritt in die Tagesordnung gedenkt der Vorsitzende des schmerzlichen Verlustes, welchen die Gesellschaft während der vergangenen Ferienzeit erlitten hat, indem ihr Mitglied

**Prof. Dr. Walther Wolff**

am 15. März d. J. nach langem mit bewunderungswürdiger Energie getragenen Leiden im kräftigsten Mannesalter gestorben ist.

Die Anwesenden ehren das Andenken an den Dahingeschiedenen durch Erheben von ihren Sitzen.

Der Rechnungsführer Hr. P. Mücke erstattet über Einnahme und Ausgabe der Gesellschaft im Jahre 1907 Bericht und legt weiter unten abgedruckte Vermögens-Bilanz, sowie die Übersicht des Gewinn- und Verlust-Kontos der Gesellschaft vor.

Ein Antrag der Revisoren, der Herren M. Frh. v. SEHERR-ROSS und O. KRIGAR-MENZEL, die Entlastung zu erteilen, wird angenommen.



Der vom Rechnungsführer vorgelegte Voranschlag für Einnahmen und Ausgaben im neuen Geschäftsjahre wird ohne Widerspruch genehmigt.

Aus den nun folgenden Wahlen geht der Vorstand und Beirat wie folgt, hervor:

Hr. H. RUBENS, Vorsitzender.

Hr. M. PLANCK,

Hr. E. WARBURG,

Hr. E. HAGEN,

Hr. W. NERNST,

Hr. H. DU BOIS,

Hr. A. KOEPEL,

Hr. H. BOAS,

Beisitzer.

Hr. P. MICKÉ, Rechnungsführer.

Hr. E. JAHNKE, stellvertretender Rechnungsführer.

Hr. F. KURLBAUM, Schriftführer.

Hr. O. v. BAEYER, stellvertretender Schriftführer.

Hr. M. Frh. v. SEHERR-THOSS,

Hr. O. KRIGAR-MENZEL,

Revisoren.

Hr. E. LADENBURG, Bibliothekar.

Hr. F. KIEBITZ, stellvertretender Bibliothekar.

Hr. R. ASSMANN, } Redakteure der „Fortschritte der

Hr. K. SCHEEL, } Physik“,

letzterer zugleich Redakteur der „Verhandlungen“ der Gesellschaft.

In den Wissenschaftlichen Ausschuß werden gewählt:

Hr. H. KAYSER,

Hr. H. KONEN,

Hr. A. v. OETTINGEN,

Hr. A. PFLÜGER,

Hr. H. RUBENS,

Hr. K. SCHEEL,

Hr. G. C. SCHMIDT,

Hr. E. WARBURG,

Hr. W. WIEN,

Hr. A. WÜLLNER.

Zum Vorsitzenden des Wissenschaftlichen Ausschusses wird nach § 17 (drittletzter Absatz) der Satzungen vom Beirat in Gemeinschaft mit dem Vorstände Hr. W. VOIGT gewählt.

Die Sitzungstage der Gesellschaft werden für das Vorstands-  
1908/09 folgendermaßen festgesetzt:

Im Jahre 1908:

Mai: Freitag, den 1., 15. und 29.  
Juni: " " 19.  
Juli: " " 3.

---

Oktober: Freitag, den 23.  
November: " " 6. und 20.  
Dezember: " " 4. und 18.

---

Im Jahre 1909:

Januar: Freitag, den 8. und 22.  
Februar: " " 5. und 19.  
März: " " 5. und 19.  
April: " " 30.  
Mai: " " 14. und 28.

---

Sodann spricht Hr. **A. Koepsel** über:  
neues Verfahren zur Übertragung von Bewegungen  
geringer Energie.

---

Ferner berichtet Hr. **H. Kreuzler**  
über reines Eisen.

---

Weiter beschreibt Hr. **Erich Regener** eine  
beobachtung szintillierender Fluoreszenz, hervorgerufen  
durch  $\beta$ -Strahlen.

---

Endlich legt Hr. **Karl Scheel** folgende während der Ferien  
Veröffentlichung in den „Verhandlungen“ eingegangenen Mit-  
teilungen vor:

1. **O. v. Baeyer:** Über den Zeemaneffekt in schwachen Magnetfeldern.
  2. **H. Erfle:** Anzahl der quasielastischen gebundenen Elektronen im Heliumatom.
  3. **O. Lehmann:** Flüssige Kristalle, Myelinformen und Muskelkraft.
- 

Als Mitglieder wurden in die Gesellschaft aufgenommen:

Hr. Dr. **RUDOLF** Freiherr **VON HIRSCH**, München, Leopoldstr. 4.

Hr. Ingenieur **Dr. J. ROSENTHAL**, München, Bavariaring 10.

(Beide vorgeschlagen durch **Hrn. L. GRAETZ.**)

---

| <i>Aktiva.</i>  |         | <i>Passiva.</i> |  |         |    |
|---|---------|-----------------|--|---------|----|
| am 31. Dezember 1907.   |         |                 |  |         |    |
|   | Mark    | Pf.             |  |         |    |
| Bibliothek-Konto . . . . .  | 12 920  | —               | Kapital-Konto . . . . .  | 118 040 | 96 |
| Effekten-Konto <sup>1)</sup> . . . . .  | 106 768 | 26              | Friedr. Vieweg u. Sohn . . . . .   | 1 015   | 09 |
| Deutsche Bank, Guthaben . . . . .   | 3 160   | 78              | Kautions - Kreditoren - Konto (Forderung des<br>Kgl. Hauptsteueramts für Erbschaftsteuer<br>aus dem Riessschen Legate) . . . . . | 3 924   | —  |
| Kautions - Effekten - Konto (4500 M. 3 Proz.<br>Deutsche Reichsanleihe sind als Sicherstellung<br>der Erbschaftsteuer aus dem Riessschen<br>Legate bei dem Kgl. Hauptsteueramt hinter-<br>legt) . . . . . | 3 924   | —               | Stiftungsfest-Konto . . . . .  | 90      | —  |
| Inventar-Konto . . . . .  | 148     | —               | Mitgliederbeitrags-Konto . . . . .   | 80      | —  |
| Konto durchlaufender Rechnungen . . . . .   | 50      | —               | Gewinn- und Verlust-Konto . . . . .  | 5 528   | 14 |
| Jahresbericht-Konto, Bd. 62 . . . . .   | 688     | 04              |  |         |    |
| " " " 63 . . . . .  | 450     | —               |  |         |    |
| " " " 64 . . . . .  | 482     | —               |  |         |    |
| Kassa-Konto . . . . .   | 23      | 81              |  |         |    |
| Versicherungen-Konto . . . . .  | 63      | 30              |  |         |    |
|   | 128 678 | 18              |  | 128 678 | 18 |

\*  
<sup>1)</sup> Hierin sind 86764,—  $\mathcal{M}$  enthalten, welche aus der Riessschen Erbschaft stammen. Die Zinsen hieraus stehen bis zu dessen Tode noch einem dritten Nutznießer zu.

Berlin, den 1. Mai 1908.

(gez.) P. Mücke, Rechnungsführer.

Geprüft und richtig befunden:

M. Frh. v. Seherr-Thoss.

O. Krüger-Mensel.

## Gewinn- und Verlust-Konto am 31. Dezember 1907.

*Debet.**Kredit.*

|  | Mark   | Pf. |   | Mark   | Pf. |
|--|--------|-----|---|--------|-----|
| Bureaubeamte . . . . .                         | 550    | —   | Vortrag aus 1906 . . . . .                    | 5 406  | 65  |
| Bote, Diener, Heizer, Portier . . . . .        | 872    | 34  | Beiträge Berliner Mitglieder pro 1907. I. . . | 2 180  | —   |
| Bücher und Zeitschriften . . . . .             | 430    | 74  | „ „ „ 1907. II. . . . .                       | 2 090  | —   |
| Buchbinder . . . . .                           | 554    | 20  | „ auswärtiger Mitglieder 1907 . . . . .       | 1 065  | —   |
| Bibliothek, Abschreibung a. Inventar . . . . . | 34     | 25  | Zinsen der Wertpapiere . . . . .              | 684    | —   |
| Verhandlungen . . . . .                        | 884    | 06  | „ des Bankguthabens . . . . .                 | 128    | 20  |
| Fortschritte der Physik, Bd. 61, Verlag . . .  | 480    | 25  |   |        |     |
| „ „ „ Bd. 61, Redaktion . . . . .              | 471    | 21  |   |        |     |
| Laufende Ausgaben der Redakteure . . . . .     | 273    | 40  |   |        |     |
| Versicherung . . . . .                         | 16     | —   |   |        |     |
| Bureaubedürfnisse . . . . .                    | 240    | 20  |   |        |     |
| Porti . . . . .                                | 619    | 85  |   |        |     |
| Museumsbeitrag . . . . .                       | 30     | —   |   |        |     |
| Rücklage zum Stiftungsfest . . . . .           | 30     | —   |   |        |     |
| Beteiligung a. d. Naturforscherversamml. . .   | 300    | —   |   |        |     |
| Extraordinaria . . . . .                       | 189    | 21  |   |        |     |
| Gewinn-Vortrag aus 1906 . . . . . 5 406,65     | 5 528  | 14  |   |        |     |
| Gewinn in 1907 . . . . . 121,49                | 11 503 | 85  |   |        |     |
|  | 11 503 | 85  |   | 11 503 | 85  |

Vorstandender Abschluss ist von der Gesellschaft genehmigt.

***Flüssige Kristalle, Myelinformen und Muskelkraft;***  
**von O. Lehmann.**

(Vorgelegt in der Sitzung vom 1. Mai 1908.)

(Vgl. oben S. 318.)

Eines der schönsten Demonstrationsobjekte für flüssige Kristalle, wie ich erst neuerdings gefunden habe, das Lecithin<sup>1)</sup>. Es ist eine esterartige Verbindung von Cholin und Glycerinphosphorsäure, die mit Stearin- und Palmitinsäure zu einem Glycerid verbunden ist, auch gibt es eine Distearin- und eine Diolefinverbindung. In größerer Menge ist es im Gehirn und im Nervenmark enthalten. Daß eine flüssig-kristallinische Modifikation desselben existieren könnte, habe ich bereits früher vermutet, nach einer Mitteilung des Herrn H. AMBRONN<sup>2)</sup>, welcher schreibt: „Bekannt ist, daß man durch mechanischen Druck aus markhaltigen Nerven das Myelin in Form von Tropfen herauspressen kann; diese Tropfen zeigen im polarisierten Lichte ein positives Kreuz. Es erinnert das optische Verhalten des Myelins, mit welchem das Lecithin vollständig übereinstimmt, an die von LEHMANN beschriebenen Körper, welche im flüssigen Aggregatzustand nach seiner Anschauung kristallinische Struktur haben sollen.“ Herr AMBRONN hatte damals die Freundlichkeit, mir eine kleine Menge der Substanz zuzusenden, es gelang mir aber nicht, deutliche flüssige Kristalle damit zu erzielen, ebensowenig bei einem später von MERCK bezogenen Präparat. Erst vor kurzem bemerkte ich, daß die gesuchten Kristalle überraschend schön sich ausbilden, wenn man als Lösungsmittel nicht, wie ich früher gethan hatte, absoluten Alkohol verwendet, sondern solchen, der mit etwas Wasser verdünnt ist, was darin seinen Grund haben mag, daß die betrachtete Modifikation Kristallwasser<sup>3)</sup> enthält. Be-

<sup>1)</sup> Zu beziehen von E. MERCK in Darmstadt. (Dargestellt aus Eidotter, als Dekagramm zu 2,20 M.)

<sup>2)</sup> H. AMBRONN, Ber. d. königl. sächs. Ges. d. Wiss. 42, 425, 1890.

<sup>3)</sup> Im Gegensatz zu anderen Kristallwasserverbindungen ist sie aber in Wasser unlöslich, ebenso wie die anderen Stoffe, welche Myelinformen bilden.

züglich der Form und des Verhaltens der flüssigen Kristalle genüge es, zu bemerken, daß sie vollkommen denjenigen des Ammoniumoleats und der übrigen Oleate<sup>1)</sup> gleichen, mit welchen sie auch in allen Verhältnissen Mischkristalle bilden zu können scheinen. Sie sind indessen deutlicher zu sehen als die Seifenkristalle, da sie das Licht stärker doppelt brechen als diese.

Verstärkt man den Wasserzusatz, so erhält man nur noch Kugeln mit schwarzem Kreuz, oft das ganze Gesichtsfeld gleichmäßig mit solchen erfüllt. Dies sind bereits Myelinformen<sup>2)</sup>. Man kann auch bakterienartige Stäbchen und Schlangen erhalten und diese beim Erwärmen der Lösung verschwinden und beim Abkühlen neu auftreten sehen, ganz wie die ähnlichen Gebilde bei Paraazoxyzimtäthylester, die ich als scheinbar lebende Kristalle beschrieben habe<sup>3)</sup>, nur mit dem Unterschied, daß keine Bewegungserscheinungen zu bemerken sind. Wenn ich früher als wesentlichen Unterschied beider hervorgehoben habe, daß Myelinformen immer nur an der Grenze zweier verschiedener Lösungen entstehen können, nicht frei wie Kristalle inmitten einer Lösung, so läßt sich diese Annahme nach den neuesten Beobachtungen nicht mehr aufrecht erhalten. Es ist mir auch gelungen, die nähere Konstitution beider Gebilde nunmehr völlig aufzuklären.

AMBRONN spricht sich a. a. O. bezüglich der Myelinformen dahin aus (S. 425): „Breitet man etwas Lecithin auf einem Objektträger aus und setzt Wasser hinzu, so wachsen nach kurzer Zeit jene Gebilde hervor, die sehr bald eine deutliche doppelte Kontourierung zeigen und zu den mannigfaltigsten Figuren sich entwickeln; die Spitzen der fortwachsenden Schläuche führen dabei fast fortwährend rotierende Bewegungen aus. Man kann das Wachstum, sowie die Struktur dieser Schläuche, Kugeln u. dergl. tagelang unter dem Mikroskop verfolgen, wenn man statt Wasser verdünntes Glycerin zusetzt; das Wachstum erfolgt dann, wie es scheint, bedeutend langsamer. Sie besitzen sämtlich eine

<sup>1)</sup> O. LEHMANN, Flüssige Kristalle, Leipzig, W. Engelmann, 1904, S. 27.

<sup>2)</sup> Entdeckt von VIRCHOW, Virchows Arch. 6, 571, 1854. Siehe auch O. LEHMANN Molekularphysik 1, 522, 1888 u. Flüssige Kristalle 1904, S. 253 ff.

<sup>3)</sup> O. LEHMANN, Ann. d. Phys. (4) 19, 22, 407; 20, 63, 1906 und Die scheinbar lebenden Kristalle, Eßlingen, J. F. Schreiber, 1907.

alte Kontourierung und sind wohl zweifellos als Niedermembranen anzusehen, wenn auch über das Zustandekommen derselben in chemischer Hinsicht so gut wie nichts besteht.“

G. QUINCKE<sup>1)</sup> äußert sich: „Die an den sogenannten „fließenden Kristallen“ von O. LEHMANN beobachteten Erscheinungen sind denen bei Myelinformen und Ölschäumen auftretenden Erscheinungen und erklären sich durch geringe Mengen ölarartiger Flüssigkeit, die sich in der erkaltenden Flüssigkeit abscheidet.“

Wendet man diese Behauptung gerade um und sagt, daß sich die Myelinformen durch die Bildung flüssiger Kristalle erklären lassen (Existenz QUINCKE leugnet), aber nicht einfach damit identifizieren sind, so trifft dieselbe zu. Die Bildung der oben erwähnten tropfenförmigen Tropfen mit schwarzem Kreuz zwischen gekreuzten Tropfen, neben welchen wohl auch polyedrische flüssige Kristalle entstehen, infolge des Einfließens kleinerer Individuen mit knorrigem Kern (Fig. 1) auftreten, erklärt sich tatsächlich durch die Bildung einer „ölgigen Flüssigkeit“, aber in ganz anderer Weise, als QUINCKE meinte. Man gelangt leicht zum Verständnis der Erscheinung, wenn man berücksichtigt, daß das Öl nicht in Alkohol, nicht aber in Wasser löslich ist. In Wasser ist die Löslichkeit in der Wärme größer, beim Abkühlen der Überschuß ausscheiden muß. Wie in zahlreichen anderen Fällen solcher Art geschieht, erfolgt die Ausscheidung, falls genügend Wasser vorhanden ist, unter Tropfenbildung, d. h. es bilden sich Tropfen einer hochkonzentrierten übersättigten Lösung in der substanzarm gewordenen Lösung, welche ihrer Natur nach als isotrope Kugeln entstehen. Bei fortschreitender Abkühlung scheiden sich in diesen Tropfen „ölgige Flüssigkeit“ optisch einachsige, fließende Tropfen aus, welche, mit der Tropfenoberfläche in Berührung kommend, sich alsbald auf dieser ausbreiten und zwar ganz nach der Regel gemäß<sup>2)</sup> so, daß überall die optische Achse senkrecht zur Tropfenoberfläche steht. Mit anderen Worten: Jeder Tropfen überzieht sich mit einer flüssig-kristallinen Haut

<sup>1)</sup> G. QUINCKE, Wied. Ann. 53, 632, 1894.

<sup>2)</sup> Siehe O. LEHMANN, Flüssige Kristalle, S. 45, Fig. 79 bis 82.



von gleichmäßiger Beschaffenheit, in welcher die optische Achse überall radial steht. Falls man sich die Moleküle als optisch einachsige Blättchen vorstellt, sind diese der Oberfläche überall parallel zu denken (Fig. 2), ähnlich wie auch bei gefrierendem Wasser die Eiskriställchen sich mit der optischen Achse senkrecht zur Wasserfläche anordnen. Naturgemäß muß ein solcher hohler flüssiger Sphärokristall in jeder Lage, in welche man ihn bringt, ein schwarzes Kreuz zeigen. Kommt ein polyedrischer Kristall damit in Berührung, so fließt dieser, wie Fig. 3 zeigt, mit der flüssig-kristallinen Oberflächenschicht zusammen und wird schließlich von derselben völlig aufgenommen,

Fig. 1.



Fig. 2.

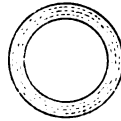


Fig. 3.

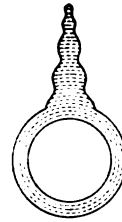


Fig. 4.



so daß sich die Dicke der Schicht entsprechend vermehrt, und die Ordnung der Interferenzfarben steigt ohne erhebliche Änderung des Tropfendurchmessers. So beobachtet man denn die merkwürdige Erscheinung, daß sich neben isotropen Kugeln auch doppelbrechende vorfinden und zwar von verschiedenster Stärke der Doppelbrechung bei annähernd gleichem Durchmesser; manche, die nur schwach das dunkle Grau der erten Ordnung zeigen, neben anderen, die in glänzendsten Polarisationsfarben schillern.

Die Lage der Moleküle in einem solchen hohlen flüssigen Kristall ist durch die Oberflächenspannung erzwungen gegen die Wirkung der molekularen Richtkraft. Natürlich besteht deshalb bei ihm eine Tendenz, in polyedrische Gestalt überzugehen, welche um so mehr anwächst, je dicker die flüssig-kristallinische Schicht wird und je kleiner der ursprüngliche Tropfen war. Bei genügender Kleinheit ist das Gebilde labil, die stabile Form wird ein Zylinder mit abgerundeten Enden. So resultieren aus diesem Widerstreit der beiden Kräfte die bakterienartigen Stäbchen, deren

Struktur somit durch Fig. 4 angedeutet wird, in Übereinstimmung mit dem optischen Verhalten. Der Kanal im Innern hat im allgemeinen geringen Durchmesser und kann lediglich als feiner, schwarzer Strich angedeutet erscheinen<sup>1)</sup>.

Wächst der hohle stabförmige Kristall, so werden die neu hinzukommenden Moleküle nicht einfach außen angelagert, er strebt vielmehr, seine normale Polyederform zu erlangen und streckt sich demnach durch Wirkung seiner Gestaltungskraft<sup>2)</sup> unter Überwindung der Oberflächenspannung bei gleichbleibender Dicke in die Länge, die zukommenden Moleküle werden also entweder unter Auseinanderdrängung der vorhandenen ins Innere hineingezogen, oder das Ganze zieht sich in die Länge, bis wieder die frühere, der Menge eingeschlossener isotroper Flüssigkeit entsprechende Dicke erreicht ist. Wird umgekehrt die Oberflächenspannung überwiegend, so schrumpft das Stäbchen oder die Schlange plötzlich zu einer Kugel zusammen oder zerfällt unter Einschnürung in zwei oder mehr Kugeln, es findet Selbstteilung statt.

Hiermit dürfte die Natur der Myelinformen und der scheinbar lebenden Kristalle im wesentlichen aufgeklärt sein. Die rätselhaften Erscheinungen sind lediglich Wirkungen der Gestaltungskraft im Verein mit der Oberflächenspannung.

• Daß sich Myelinformen auch einfach beim Einbringen von Lecithin in Wasser bilden, beruht augenscheinlich darauf, daß sich auch in diesem Falle die „ölige Flüssigkeit“, die hochkonzentrierte, in Tropfen auftretende Lösung neben der substanzarmen, wässrigen Lösung bildet und daß erstere, weil übersättigt, alsbald flüssige Kristalle abscheidet, die sich auf ihr ausbreiten<sup>3)</sup>. QUINCKES Ansicht (l. c. S. 630), die Myelinformen seien „hohle, mit Seifenkristallen gefüllte Säcke von Ölsäure“, ist durchaus unzutreffend; es sind in Wirklichkeit Säcke von flüssig-kristallinischer Seife bzw. Lecithin, in deren Innerm sich eine ölige Flüssigkeit (hochkonzentrierte Lecithinlösung) befindet, die aber an Quantität

<sup>1)</sup> O. LEHMANN, Ann. d. Phys. (4) 19, 24, Fig. 37, 1906.

<sup>2)</sup> O. LEHMANN, Diese Verhandlungen 8, 143, 1906.

<sup>3)</sup> Besonders gut sieht man letzteres beim Vermischen alkoholischer Lecithinlösung mit Wasser.

so gering sein kann, daß sie sich der Beobachtung entzieht, so daß die Gebilde als völlig massive flüssig-kristallinische Massen erscheinen.

Entsprechendes gilt natürlich für die zahlreichen anderen Fälle, in welchen die Bildung von Myelinformen beobachtet wird. Es sei insbesondere hingewiesen auf eine vor kurzem erschienene Arbeit von CHARLES POWELL WHITE<sup>1)</sup>, welche wesentlich zur Aufklärung der Erscheinungen beigetragen hat. Er vermutet, daß der Cholesteringehalt des käuflichen Lecithins bedinge die Bildung der Myelinformen. Wie schon v. BRÜCKE<sup>2)</sup> und BROCKBANK<sup>3)</sup> fanden, umgibt sich ein Kristall von Cholesterin beim Einbringen in Seifenwasser mit Myelinformen, indem es sich allmählich auflöst, so daß schließlich letztere allein übrig bleiben.

WHITE erhielt solche auch beim Erhitzen von Cholesterin mit Glycerin, Phosphorsäure, Cetylalkohol, Mono- oder Dipalmitin. Ferner, wie ähnlich auch schon NEUBAUER, GAD u. a.<sup>4)</sup>, durch Vermischen der Lösungen von Alkalien mit Fettsäuren oder Cetylalkohol oder durch Eintragen eines Gemisches von Cholesterin und Fettsäure in Wasser. Bezüglich der letzteren schreibt er: „If a cholesterol-fatty acid mixture be carefully watched as it cools, the first structures to appear are often extremely long, fine hair-like threads, often in vigorous movement, and the globules result from these by the sudden contraction of the long threads. These appearances exactly correspond with appearances described in certain cerebro-spinal fluids by Dr. F. C. EVE at the meeting of the British Medical Association in 1907.“

Besonders lehrreich fand ich ein Gemisch von Stearinsäure, Palmitinsäure, Cholesterin und Glycerin, bei welchem man die nachträgliche Umhüllung der anfänglich isotropen Tropfen beim Abkühlen mit flüssigen Kristallen deutlich verfolgen kann. Wie energisch die molekulare Richtkraft flüssiger Kristalle wirkt, kann man erkennen bei einem Gemisch von Ammoniumoleat, Cholesterin

<sup>1)</sup> CH. P. WHITE, Cholesterol, Fluid Crystals and Myelin Forms, Medical Chronicle, March 1908.

<sup>2)</sup> E. v. BRÜCKE, Wien. Sitzb. 79 [3], 267, 1879.

<sup>3)</sup> BROCKBANK, Gall Stones, Birmingham, Hall and English 1893.

<sup>4)</sup> NEUBAUER, Virchows Arch. 36, 303, 1866; GAD, DU BOIS-REYMOND Arch. f. Anat. u. Physiol. 1878, S. 181; GAD und HEYMANS, a. a. O. 1890 S. 531; A. FAMINTRIN, Bull. Ac. Imp. Pétersb. 29, 214, 1884.

Alkohol und Wasser, wobei die sich ausscheidenden blättchenförmigen Cholesterinkristalle sich alle in paralleler Stellung senkrecht zur Achse in die flüssigen Kristalle des Ammoniumoleats einlagern (ähnlich den Strichelchen in Fig. 1). Auf dieser molekularen Richtkraft beruht die Gestaltungskraft, welche, wie gezeigt, die wahre Ursache der Bildung der Myelinformen ist, entgegen QUINCKES Auffassung, welcher dieselbe in Oberflächenspannungsdifferenzen suchte<sup>1)</sup>.

Bereits GAD (1878) hat die Bildung der Myelinformen mit der Pseudopodienbildung bei Amöben verglichen, zu welchem Vergleich weiterhin auch der Umstand Anlaß gibt, daß die Stoffe, welche Myelinbildungen hervorrufen, wie Lecithin, Cholesterin, Olein usw., auch Bestandteile des Protoplasmas sind. Ich hatte früher jene Protoplasmaströmungen auf Oberflächenspannungsdifferenzen zurückzuführen versucht<sup>2)</sup>, welcher Gedanke dann von QUINCKE und BÜTSCHLI<sup>3)</sup> weiter ausgeführt wurde und heute gewöhnlich als QUINCKES Theorie bezeichnet wird<sup>4)</sup>, obschon QUINCKE meine Vorarbeiten, die er auch zuweilen erwähnt, kannte. Nachdem nunmehr die Bildung der Myelinformen sich als Wirkung der Gestaltungskraft herausgestellt hat, wird notwendig, zu untersuchen, ob diese nicht auch bei den Protoplasma-bewegungen wenigstens teilweise als Ursache in Betracht kommen konnte.

Von hervorragendem Interesse in dieser Richtung sind die Untersuchungen von TH. ENGELMANN<sup>5)</sup>, welchen zufolge alle kontraktile Formelemente positiv einachsig doppelbrechend sind: „Die bei gleicher Dicke stärker doppelbrechenden quer gestreiften Muskeln entwickeln größere Kraft als die schwächer anisotropen glatten. Relativ stark anisotrop und von großer Kraft sind viele Flimmerorgane. Die geringste Kraft entwickelt das kontraktile Protoplasma . . .“ „Bei der Ontogenese der Muskelfasern und Flimmerorgane treten Doppelbrechung und Kontraktilität

<sup>1)</sup> Vgl. auch O. LEHMANN, Molekularphysik 1, 522, 1888.

<sup>2)</sup> O. LEHMANN, ZS. f. Krist. 10, 12, 14, 1885 und Molekularphysik 1, 273, 1888; 2, 495, 1889; Flüssige Kristalle 1904, S. 253, Anm. 13.

<sup>3)</sup> Siehe G. QUINCKE, Wied. Ann. 53, 623, 1894.

<sup>4)</sup> Z. B. in J. LOEB, Vorlesungen über die Dynamik der Lebenserscheinungen, Leipzig, Ambr. Barth, 1906.

<sup>5)</sup> TH. W. ENGELMANN, Berl. Akad. 1906, S. 694.

gleichzeitig auf . . .“ „Bei der physiologischen Kontraktion der Muskeln findet, wie eine Abnahme der verkürzenden Kraft, so auch eine Abnahme des Doppelbrechungsvermögens statt. Bei der Erschlaffung treten die entgegengesetzten Änderungen ein.“ Die Anisotropie der Muskeln kommt auch dadurch zum Ausdruck, daß die elektrischen Organe der elektrischen Fische nur abgeänderte Muskelfasern sind, wenn sie auch nicht, wie diese, chemische Energie in mechanische, sondern in elektrische umsetzen.

Daß die gewöhnlichen Protoplasmabewegungen auf gleicher Ursache beruhen, wie die Muskelkontraktionen, also nicht einfach auf Oberflächenspannungsdifferenzen beruhen können, drückt auch VERWORN<sup>1)</sup> aus, indem er sagt: „Amöboide Bewegung, Muskelbewegung und Flimmerbewegung sind ihrem Wesen nach identisch, sie beruhen auf abwechselnder Kontraktion und Expansion der lebendigen Substanz durch gegenseitige Umlagerung ihrer Teilchen.“ Diese Umlagerung muß eine chemische sein, da die Energie der Muskelarbeit aus chemischer Energie entspringt und die Anisotropie der Fasern bei Kontraktion sich ändert, was auf Änderung der Moleküle hinweist<sup>2)</sup>. Man könnte sich denken, das Protoplasma sei ein Gemisch mehrerer Stoffe, die in Folge des Reizes, etwa durch Wirkung einer vom Nerven ausgeschiedenen katalytisch wirkenden Substanz, sich teilweise chemisch verbinden, also andere Moleküle mit anderer Gestaltungskraft bilden, so daß z. B., wenn das Ganze einen säulenförmigen flüssigen (Misch-)kristall darstellen würde, dann Kontraktion zu einem tafelförmigen (bei annähernd gleichbleibendem Volumen) eintreten würde, wie ja auch die Muskelfaser bei Kontraktion sich der Quere nach ausdehnt, so daß das Volumen erhalten bleibt. Beim Erschlaffen würde Rückbildung der früheren Moleküle eintreten, nachdem die bei der Kontraktion freigeordnete Kohlensäure usw. wieder durch neu eindiffundierten Sauerstoff usw. ersetzt ist. Das Eindiffundieren ist dadurch möglich, daß die Masse nicht einen kompakten Kristall darstellt, sondern ein schwammiges (gallertartiges) Gerüst von weichen

<sup>1)</sup> VERWORN, Allgemeine Physiologie, Jena 1897, 2. Aufl., S. 257.

<sup>2)</sup> O. LEHMANN, Ann. d. Phys. (4) 20, 77. 1906.

Kriställchen<sup>1)</sup> (Micellen), dessen Poren mit Nährflüssigkeit erfüllt sind. Im Falle der Protoplasmabewegung mögen diese Kriställchen wirklich flüssige Kriställchen oder zähflüssige amorphe Stoffe mit teilweise parallelen Molekülen sein, so daß nur die durch Oberflächenspannung und Expansivkraft bedingte Gestaltungskraft zur Geltung kommt. Bei Flimmerbewegung und Muskelkontraktion handelt es sich aber sicher um feste, wenn auch weiche Gebilde, so daß für die Gestaltungskraft auch die Elastizität in Betracht zu ziehen ist, d. h. die zwischen den Molekülen wirkende Attraktionskraft, die wegen der durch die molekulare Richtkraft bedingten Anisotropie der Expansivkraft und wegen der Unfähigkeit der Moleküle fester Körper, von Ort zu Ort zu wandern<sup>2)</sup>, ebenfalls anisotrop sein muß, wenn Gleichgewicht zwischen beiden bestehen soll. Änderung der Moleküle stört dieses Gleichgewicht, bis sich unter Auftreten der Kontraktion bzw. der Erschlaffung ein neues Gleichgewicht hergestellt hat. Daß die Größenordnung der hierbei auftretenden Kräfte mit den bei der Muskelkontraktion auftretenden übereinstimmt, erwähnt schon TH. ENGELMANN: „Eine feuchte Darmsaite von etwa 0,7 mm Dicke suchte sich beim raschen Erwärmen auf 130° mit einer Kraft von über 1000 g zu verkürzen, was etwa dem 14fachen der absoluten Kraft menschlicher Muskeln entspricht.“ ENGELMANN bringt die Erscheinung mit der Kontraktion von gespanntem Kautschuk in Zusammenhang, welche man sich dadurch erklärt, daß die in die Länge gezogenen Zellen infolge der stärkeren Ausdehnung ihres Inhaltes Kugelform anzunehmen streben und sich dadurch verkürzen. Nach QUINCKE und BÜTSCHLI hätten allerdings auch die fraglichen organischen Stoffe Schaum- oder Wabenstruktur und man kann annehmen, daß bei der Quellung der osmotische Druck in den langgestreckten Waben steigt (Turgor) und eine analoge Verkürzung bei gleichzeitiger Querausdehnung bewirkt. Nach meiner Auffassung ist aber die Quellung nicht ein einfaches Eindiffundieren von Wasser in die Poren, sondern

---

<sup>1)</sup> O. LEHMANN, ZS. f. Kristallogr. 1, 453, 460, 1877; Molekularphysik 1, 503, 513, 522, 532, 533, 664 (Fig. 299), 1888; v. WEIMARN, ZS. f. Chem. d. Kolloide, 2. Suppl.-Heft, 1908.

<sup>2)</sup> Siehe O. LEHMANN, Vierteljahrsber. d. Wien. Ver. z. Förd. d. phys. u. chem. Unterr. 12, 289, 1907.

eine Bildung neuer Moleküle, eines Hydrats<sup>1)</sup> und die auftretenden Kräfte sind diejenigen, die ich als molekulare Drehmomente beschrieben habe. Vermutlich können solche auch bei amorphen Stoffen auftreten, die durch teilweise Parallelrichtung von Molekülen anisotrop geworden sind.

Daß jene Kräfte direkte Umwandlung chemischer Energie in mechanische bewirken können, wie die Muskeln, schließt daraus, daß, falls ihre Wirkung durch entgegenstehende Hindernisse gehemmt wird, auch die Umwandlung, d. h. der chemische Prozeß, unterbleibt.

---

<sup>1)</sup> Siehe Molekularphysik 1, 597, 1888.

<sup>2)</sup> O. LEBMANN, Ann. d. Phys. (4) 21, 381, 1906.

Karlsruhe, 13. April 1908.

**Anzahl der quasielastisch gebundenen Elektronen  
im Heliumatom;  
von H. Erfle.**

(Vorgelegt in der Sitzung vom 1. Mai 1908.)

(Eingegangen am 10. April 1908.)

(Vgl. oben S. 318).

Für die  $\alpha$ -Teilchen der radioaktiven Substanzen ist bekanntlich aus Messungen der magnetischen und elektrischen Ablenkung der entsprechenden Strahlen als Verhältnis von Ladung zur Masse der Wert  $5 \times 10^8$  gefunden worden. Nach RUTHERFORD<sup>1)</sup> ist die wahrscheinlichste Hypothese zur Deutung dieses an sich überraschenden Resultates die, daß das  $\alpha$ -Teilchen ein Heliumatom mit zwei positiven Elementarquanten ist. Das  $\alpha$ -Teilchen würde also aus einem neutralen Heliumatom dadurch entstehen, daß demselben zwei offenbar sehr locker gebundene Elektronen entrissen werden. Auch die Versuche von E. REGENER<sup>2)</sup> über die Zählung der  $\alpha$ -Teilchen vermittelt der Szintillation sind mit dieser Hypothese vereinbar.

Jedenfalls ist es von großem Interesse, auch von einem ganz anderen Gesichtspunkte aus die Frage nach der Elektronenzahl im Helium ins Auge zu fassen, nämlich vom Standpunkte der Elektronentheorie der Dispersion aus. Allerdings gibt die Dispersion nur einen Anhaltspunkt für die Zahl der quasielastisch gebundenen Elektronen im Heliumatom. Die Bezeichnung „quasielastisch“ soll dabei daran erinnern, daß zur Erklärung der Dispersionserscheinungen in den Bewegungsgleichungen eines Elektrons ein Glied eingeführt wird, welches die in die Ruhelage zurücktreibende Kraft der Entfernung des Elektrons aus der Gleichgewichtslage proportional setzt<sup>3)</sup>. Diese das Elektron nach

<sup>1)</sup> RUTHERFORD-ASCHKINASS, Radioaktivität, Anmerkung S. 557.

<sup>2)</sup> E. REGENER, Verh. d. Deutsch. Physik. Ges. 10, 78–83, 1908.

<sup>3)</sup> Außerdem wird ja noch eine „Reibungskraft“ eingeführt, die proportional der Bewegungsgeschwindigkeit des Elektrons gesetzt wird.



der Gleichgewichtslage ziehende Kraft muß um so größer sein, kleiner die Wellenlänge der Eigenschwingung des Elektrons ist.

Jedes Atom, jedenfalls auch das des Heliums, besitzt viele Elektronen, die in verschiedener Weise an das Atom, teils fest, teils locker, gebunden sind. Unter den uns hier interessierenden quasielastisch gebundenen Elektronen haben aber nur einige eine lockere Bindung an das Atom, d. h. eine merkbar von Null verschiedene Eigenwellenlänge; nur diese loser gebundenen Elektronen beeinflussen die Dispersion im sichtbaren Spektralbereiche merklich, während die Elektronen mit ganz kleiner Eigenwellenlänge die Dispersion kaum beeinflussen<sup>1)</sup>. Im allgemeinen kann man aus der Dispersion nur einen unteren Grenzwert  $p$  für die Gesamtzahl  $p'$  schwingungsfähiger Elektronen pro Molekül berechnen, so daß also  $p' \geq p$ . Dieser Grenzwert ist nur dann unabhängig von der Wellenlänge, wenn nur eine ultraviolette Eigenschwingung existiert; und umgekehrt: Ist  $p$  für alle Wellenlängen<sup>2)</sup> konstant, dann existiert nur eine ultraviolette Eigenschwingung. Sind deren mehrere vorhanden, dann wird  $p$  um so größer, je größer die Wellenlängen der Strahlen sind, deren Brechungsexponent zur Berechnung benutzt wurden.  $p$  ist um so mehr von  $p'$  verschieden, je größer die relative Verschiedenheit in den ultravioletten Eigenwellenlängen ist. DRUDE hat für eine große Anzahl von festen, flüssigen und gasförmigen Körpern  $p$  berechnet (s. die Beziehungen zwischen  $p$  und der chemischen Konstitution des Moleküls gefunden<sup>3)</sup>. Alle diese  $p$  waren größer als 1, wo  $1$  als Verhältnis der Ladung zur Masse eines Elektrons  $1,5 \cdot 10^{17}$  angenommen wurde. Bei den als Kationen möglichen Stoffen ist die Zahl der schwingungsfähigen Elektronen pro Atom identisch mit ihrer Valenz<sup>4)</sup>. So hat DRUDE für (gasförmigen) Wasserstoff

<sup>1)</sup> Dagegen können sie sehr wohl den Absolutwert des Brechungsexponenten beeinflussen.

<sup>2)</sup> Welche größer als die der ultravioletten Eigenschwingungen sind.

<sup>3)</sup> P. DRUDE, Ann. d. Phys. (4) 14, 677—725, 1904; L. NATANSON, K. Anz. 1907, S. 316—354, bes. S. 347—351; H. ERFLE, Ann. d. Phys. (4) 16, 672—708, 1907 und ZS. f. phys. Chem. 61, 399—421, 1908; B. SEEGERT, Über die Dispersion ultraroter und ultravioletter Strahlen in einigen Flüssigkeiten, Diss. Berlin 1908.

<sup>4)</sup> P. DRUDE, Ann. d. Phys. (4) 14, 719 unten, 720, 721, 1904. Die Elektronenzahl muß kleiner sein als die AEGG'sche positive Valenzzahl, wenn gleich dieser sein, wenn nur eine ultraviolette Eigenschwingung existiert.

$p = p' = 2$ , für Stickstoff  $p = 4,7$  gefunden. Über die Valenz des Heliums und auch der anderen Edelgase ist noch nichts bekannt. Es ist also von vornherein gar nicht angebar, wie groß  $p'$  und noch weniger, wie groß  $p$  sein wird. Man konnte aus dem in der Einleitung Gesagten höchstens schließen, daß sich  $p$  kleiner als 2 ergeben würde.

Bis jetzt war für keines der Edelgase die Dispersion gemessen; RAYLEIGH sowie RAMSAY und TRAVERS haben nur die Brechungsexponenten für weißes Licht bestimmt. In diesen Berichten wurden nun kürzlich zwei Arbeiten über das Lichtbrechungsvermögen bzw. die Dispersion des Heliums veröffentlicht. SCHEEL und R. SCHMIDT<sup>1)</sup> geben als Mittelwert aus ihren Messungen (435,8 bis 667,6  $\mu\mu$ ) 1,000 034 0 als den für das ganze sichtbare Spektrum bei 0° und 760 mm gültigen Brechungsexponenten des Heliums an, wobei der wahrscheinliche Fehler  $\pm 2 \cdot 10^{-7}$  ist. K. HERRMANN<sup>2)</sup> hat für die Dispersion von Helium bei 0° Temperatur und 760 mm Druck folgende Werte als Mittel aus mehreren Beobachtungen angegeben:

| $\lambda$ in $\mu$ | $n$ gegen Vakuum |
|--------------------|------------------|
| 0,579 }<br>0,576 } | 1,000034384      |
| 0,5461             | 1,000034525      |
| 0,4959             | 1,000035335      |

Wie man aus den von HERRMANN<sup>3)</sup> angegebenen Werten ersieht, ist der Fehler sicher kleiner als  $10^{-7}$ ; die größten vorkommenden Abweichungen zwischen den äußersten Werten des  $n$  für dieselbe Wellenlänge betragen  $0,2 \cdot 10^{-7}$ .

Die Formel zur Berechnung von  $p$  lautet, falls der Einfluß der ultraroten Eigenschwingungen nicht mitberücksichtigt wird:

$$p \cdot \frac{e}{m} = 3,26 \cdot 10^{-4} \cdot \frac{M}{d} \cdot \left( \frac{1}{\lambda_1^2} - \frac{1}{\lambda_2^2} \right) \cdot \frac{(n_1^2 - 1)(n_2^2 - 1)}{n_1^2 - n_2^2}. \quad 1)$$

<sup>1)</sup> K. SCHEEL und R. SCHMIDT, Verh. d. Deutsch. Physik. Ges. 10, 207—210, 1908.

<sup>2)</sup> KURT HERRMANN, Verh. d. Deutsch. Physik. Ges. 10, 211—216, 1908.

<sup>3)</sup> HERRMANN, l. c., S. 215, 216.

Hierin ist  $n_1$  der Brechungsindex für die Wellenlänge  $\lambda_1$ ,  $n_2$  für  $\lambda_2$  ( $\lambda_1$  und  $\lambda_2$  in Centimeter gemessen),  $M$  das Molekulargewicht,  $d$  die Dichte der Substanz für die Temperatur, bei welcher die Brechungsindizes gemessen sind;  $e$  ist die Ladung (elektromagnetisch gemessen) und  $m$  die Masse eines Elektrons. Ich nehme nach

her für  $\frac{e}{m}$  die Zahl  $1,5 \cdot 10^7$  an, welche DRUDE aus der Dispersion des Wasserstoffs berechnet hat (unter Benutzung von  $p = p' = 1$  für das Wasserstoffmolekül). Für ein ideales Gas ist bei  $0^\circ$  und  $760 \text{ mm}$   $\frac{M}{d} = 2,24 \cdot 10^4$ . Setzt man

$$n = 1 + \delta,$$

wo  $\delta$  klein gegen 1, dann wird

$$p \cdot \frac{e}{m} = 14,6 \cdot \left( \frac{1}{\lambda_1^2} - \frac{1}{\lambda_2^2} \right) \cdot \frac{\delta_1 \cdot \delta_2}{\delta_1 - \delta_2}.$$

$\delta_3$  soll sich auf eine zwischen  $\lambda_1$  und  $\lambda_2$  gelegene Wellenlänge  $\lambda_3$ , z. B.  $\lambda_3 = 0,5461 \mu$ , beziehen, dann ist die relative Dispersion

$$\frac{1}{\nu} = \frac{n_{436} - n_{577,5}}{n_{546} - 1} = \frac{\delta_1 - \delta_2}{\delta_3}$$

Aus (3) und (4) kann man die in erster Annäherung gültige Gleichung ableiten:

$$p \cdot \frac{e}{m} = 14,6 \cdot \left( \frac{1}{\lambda_1^2} - \frac{1}{\lambda_2^2} \right) \cdot \frac{\delta_3}{\left( \frac{1}{\nu} \right)}.$$

Hieraus ersieht man, daß bei gleichem  $\delta_3$   $p$  um so kleiner je größer die relative Dispersion; bei gleicher relativer Dispersion ist  $p$  um so kleiner, je kleiner  $\delta_3$ ; aus (5) folgt also:

$$\frac{p_{\text{He}}}{p_{\text{H}_2}} = \frac{\delta_{3(\text{He})}}{\delta_{3(\text{H}_2)}} \cdot \frac{\left( \frac{1}{\nu} \right)_{\text{H}_2}}{\left( \frac{1}{\nu} \right)_{\text{He}}}.$$

Aus den Beobachtungen von HERRMANN berechnet sich für Luft  $\frac{1}{\nu} = 1,33 \cdot 10^{-2}$ , für Wasserstoff  $1,27 \cdot 10^{-2}$ , für Helium die mehr als doppelt so große Zahl  $2,75 \cdot 10^{-2}$ , außerdem ist nach HERRMANN bei  $\text{H}_2$ :  $\delta_3 = 1390,2 \cdot 10^{-7}$ , bei  $\text{He}$ :  $\delta_3 = 345,25 \cdot 10^{-7}$ .

so daß, wenn man  $p_{\text{H}_2} = 2$  setzt<sup>1)</sup>,  $p_{\text{He}} = 2 \cdot \frac{345,25}{1390,2} \cdot \frac{1,27}{2,75} = 0,23$  für das einatomige Heliummolekül. Durch die genauere Berechnung nach (3) ergibt sich:

$$\text{a) aus } \lambda_1 = 435,9 \cdot 10^{-7}, \lambda_2 = 577,5 \cdot 10^{-7}, \delta_1 = 353,35 \cdot 10^{-7},$$

$$\delta_2 = 343,84 \cdot 10^{-7}; p \cdot \frac{e}{m} = 0,422 \cdot 10^7, \text{ d. h. } p = 0,281.$$

$$\text{b) aus } \lambda_1 = 435,9 \cdot 10^{-7}, \lambda_3 = 546,1 \cdot 10^{-7}, \delta_1 = 353,35 \cdot 10^{-7},$$

$$\delta_3 = 345,25 \cdot 10^{-7}; p \cdot \frac{e}{m} = 0,420 \cdot 10^7, \text{ d. h. } p = 0,280.$$

$p$  scheint<sup>2)</sup> also von der Wellenlänge unabhängig zu sein, d. h. es ist also nur eine ultraviolette Elektronengattung vorhanden, und  $p = p'$ . Ein abschließendes Urteil darüber wäre natürlich erst möglich, wenn auch Beobachtungen im Ultraviolett und im Ultrarot vorliegen; die HERRMANNschen Beobachtungen erstrecken sich ja nur über das Intervall 579 bis 436  $\mu\mu$ .

Vorhin wurden die Rechnungen direkt an die beobachteten Brechungsexponenten angeknüpft. Es sollen nun die Konstanten der Dispersionsformel und im Anschluß hieran ebenfalls  $p$  bestimmt werden. K. SCHEEL und R. SCHMIDT haben versucht, ihre Beobachtungen durch die Dispersionsformel:

$$n - 1 = a + b \cdot \frac{1}{\lambda^2} \quad 6)$$

darzustellen<sup>3)</sup> und fanden für  $b$  nahezu den Wert 0. Die Konstanten der Formel

$$n^2 = A + \frac{B}{\lambda^2} \quad 7)$$

sind dann  $A = 1 + 2a$ ,  $B = 2b$ . Nimmt man an, daß nur eine ultraviolette Elektronengattung vorhanden ist, dann kann aus  $A$  und  $B$   $p_v$ , die Anzahl der Elektronen, die zur Eigen-

<sup>1)</sup> Aus den Beobachtungen HERRMANNs für Wasserstoff berechne ich  $p = 2,43$  (aus  $\lambda_1$  und  $\lambda_2$ ), bzw.  $p = 2,15$  (aus  $\lambda_1$  und  $\lambda_3$ ).

<sup>2)</sup> Der relative Fehler von  $p$  ist im ungünstigsten Falle ( $\Delta \delta_1 = -\Delta \delta_2$ )  $\frac{\Delta p}{p} = \frac{2 \Delta \delta_2}{\delta_1 - \delta_2}$  für  $\Delta \delta_2 = 0,1 \cdot 10^{-7}$ ,  $\delta_1 - \delta_2 = 9,51 \cdot 10^{-7}$  wird  $\frac{\Delta p}{p} = 0,02$ .

<sup>3)</sup> l. c., S. 209, 210.

wellenlänge  $\lambda_v$  gehört, pro Molekül berechnet werden<sup>1)</sup>. Es ist

$$p_v \cdot \frac{e}{m} = 7,30 \cdot \frac{(A-1)^2}{B}$$

$p_v$  wird gleich  $p'$ , wenn nur eine Gattung von Elektronen mit dieser Eigenschwingung im Ultraviolett vorhanden ist. Aus (8) kann  $p_v$  bei bekannter Größenordnung von  $A$  berechnet werden, wie groß  $B$  sein muß, unter Annahme irgend eines Wertes für  $p_v$ , etwa  $p_v = 2^2$ ). Aus  $A - 1 = 6 \cdot 10^{-5}$  folgt dann

$$B = 7,30 \cdot \frac{36 \cdot 10^{-10}}{3 \cdot 10^7} = 8,8 \cdot 10^{-16},$$

d. h.  $b = 4,4 \cdot 10^{-16}$ . Danach müßten die Brechungsexponenten für die Wellenlängen 667,6 und 435,8  $\mu\mu$  sich um  $1,3 \cdot 10^{-7}$  unterscheiden, während bei  $p_v = \frac{1}{4}$  dieser Unterschied 8mal größer sein müßte:  $10 \cdot 10^{-7}$ . Der Wert  $1,3 \cdot 10^{-7}$  liegt bei SCHEEL und SCHMIDT innerhalb der Beobachtungsfehler, während  $10 \cdot 10^{-7}$  der Grenze der Beobachtungsfehler liegt. Jedenfalls kann man aus den Messungen von SCHEEL und SCHMIDT keine Entscheidung darüber treffen, ob  $p_v = \frac{1}{4}$  oder  $p_v = 2$  der richtige Wert ist, oder ob  $p_v$  irgend einen Wert zwischen  $\frac{1}{4}$  und 2 hat: Eine solche Entscheidung ist eher möglich aus den HERRMANNschen Beobachtungen; aus diesen berechnet sich<sup>2)</sup>:

$$a = 331,14 \cdot 10^{-7}, \quad b = 4,22 \cdot 10^{-16}, \quad A - 1 = 662,28 \cdot 10^{-7}, \\ B = 8,44 \cdot 10^{-16}$$

und schließlich

$$p_v \cdot \frac{e}{m} = 0,3794 \cdot 10^7, \quad \text{d. h. } p_v = 0,25_8^4.$$

<sup>1)</sup> Vgl. hierzu H. ERFLE, Ann. d. Phys. (4) 23, 594—598, 1906, Formeln (3), (5), (10).

<sup>2)</sup> Vgl. S. 333.

<sup>3)</sup> Aus den Beobachtungen für  $\lambda_1$  und  $\lambda_2$  erhält man  $b = 4,199 \cdot 10^{-16}$  aus  $\lambda_1$  und  $\lambda_2$ ,  $b = 4,241 \cdot 10^{-16}$ , Mittel  $b = 4,22 \cdot 10^{-16}$ , für  $a$  als Mittel aus den drei Werten  $331,14 \cdot 10^{-7}$ ,  $331,19 \cdot 10^{-7}$ ,  $331,10 \cdot 10^{-7}$ :  $331,14 \cdot 10^{-7}$ . Wie man aus (1) ersieht, ist  $p_v$  zugleich der Wert von  $p$  für  $\lambda = \lambda_v$ , wenn (7) als Dispersionsformel benutzt wird.

<sup>4)</sup> J. J. THOMSON hat Phil. Mag. (6) 11, 769—781, 1906 (On the number of corpuscles in an atom) eine Formel für den Brechungsindex eines einatomigen Gases angegeben, welche für große Wellenlängen  $\lambda$  lautet (l. c., S. 771, Formel 2):

$$P = \frac{\mu^2 - 1}{\mu^2 + 2} = P_0 + P_0^2 \frac{M}{E'} \cdot \frac{m}{e'} \cdot \frac{1}{N(M + nm)} \cdot \frac{3\pi}{\lambda^2}.$$

Die zugehörige Eigenwellenlänge  $\lambda_v$  ergibt sich aus

$$\lambda_v^2 = \frac{B}{A-1} \text{ zu } 112,9 \cdot 10^{-7} \text{ cm} = 113 \mu\mu.$$

Bei Gültigkeit von (7) ist die Dielektrizitätskonstante des Heliums

$$n_{\infty}^2 = 1,0000662.$$

$p_v$  ist genügend genau gleich  $p$ ; es ist also wohl nur eine Elektronengattung mit Eigenschwingung im Ultraviolett vorhanden.

Wenn tatsächlich  $p$  als von der Wellenlänge unabhängig erwiesen wird, dann ist  $p = 0,25$  kein Grenzwert mehr für  $p'$ , sondern die Zahl  $p'$  der quasielastisch gebundenen Elektronen pro Heliumatom selbst. Dies bedeutet also, daß in einem bestimmten Volumen, etwa 1 ccm, die Zahl der Heliumatome größer ist als die Zahl der darin quasielastisch gebundenen Elektronen <sup>1)</sup> (etwa viermal größer).

Setzt man  $P = C + \frac{D}{\lambda^2}$ , dann ist näherungsweise

$$C = \frac{2}{3} a, D = \frac{2}{3} b \left[ n - 1 = a + \frac{b}{\lambda^2} \right].$$

Die Anzahl  $n$  der Elektronen im Atom kann dann nach J. J. THOMSON berechnet werden aus:

$$n = 3\pi \cdot \frac{m}{e'} \cdot \frac{C^2}{D} \cdot \frac{1}{e' \cdot N} \cdot \frac{M}{M + nm}. \quad \text{I)}$$

Es ist  $\frac{M}{M + nm}$  nahe gleich 1. Durch Vergleich von (I) mit Gleichung (8) meiner Arbeit läßt sich zeigen, daß  $n$  mit  $p_v$  in diesem Falle (d. h. wenn  $\mu - 1$  klein und das Molekül einatomig ist) identisch ist. Gleichung (8) lautet nämlich, ausführlich geschrieben:

$$p_v \cdot \frac{e}{m} = \frac{M}{d} \cdot \frac{\pi \cdot H}{e} \cdot \frac{(A-1)^2}{B},$$

wo  $H$  die absolute Masse eines Wasserstoffatoms;  $\frac{d}{M \cdot H}$  ist die Zahl der Heliumatome in Cubikcentimeter =  $N$ .

$$\frac{C^2}{D} = \frac{2}{3} \cdot \frac{a^2}{b} = \frac{2}{3} \cdot \frac{(A-1)^2}{4 \cdot B} \cdot 2 = \frac{(A-1)^2}{3B}.$$

Also auch die THOMSONsche Formel ergibt  $p_v = 0,25$ , d. h. bei Helium  $p_v$  kleiner als bei Wasserstoff. Die Zahl der quasielastisch gebundenen Elektronen pro Heliumatom ist ein Viertel von der pro Wasserstoffatom, während sie nach J. J. THOMSON gleich dem Verhältnis der Atomgewichte, d. h. viermal so groß sein sollte.

<sup>1)</sup> Zu einer ähnlichen Folgerung für einen festen Körper kommt JEAN BÉQUEREL, Physik. ZS. 9, 94-100, 1903, durch seine Messungen an einigen

Ich will nochmals hervorheben, daß  $p'$  nicht die Gesamtzahl der pro Molekül (hier Atom) vorhandenen Elektronen ist, sondern diese kann vielmehr bedeutend größer als  $p'$  sein. Wie ja in der Einleitung erwähnt wurde, hat man aus den Beobachtungen an  $\alpha$ -Strahlen auf (mindestens) zwei in irgend welcher Weise an Heliumatom locker sitzende Elektronen geschlossen.

---

Banden des Tysonits, doch ist bei den betreffenden Banden des Tysonits der Quotient  $\frac{\text{Elektronenzahl}}{\text{Molekülzahl}}$  noch viel kleiner als beim Heliumgas.

München, Physikalisches Institut der technischen Hochschule  
7. April 1908.

**Über das al Bêrûnische Gefäß zur spezifischen  
Gewichtsbestimmung;  
von Eilhard Wiedemann.**

(Vorgelegt in der Sitzung vom 20. März 1908.)

(Vgl. oben S. 301.)

Von Instrumenten der Araber oder in diesem Falle richtiger der Perser dürfte keines so bekannt geworden sein als dasjenige, dessen sich ABU 'L RAIHÂN AL BÊRÛNÎ (973 bis 1048) bediente, um die Mengen Wassers, die je gleichen Gewichten von Metallen und Edelsteinen entsprechen, zu bestimmen<sup>1)</sup>. Bisher waren wir für die Kenntnis dieses Instrumentes auf einen Bericht angewiesen, den ein AL CHÂZINÎ (etwa 1121) in seinem Werke „Wage der Weisheit“ gibt. Das Werk ist nur in einer jetzt in Petersburg<sup>2)</sup> aufbewahrten Handschrift vorhanden; leider fehlen in dieser eine Reihe von Blättern, so die Einleitung zu der Beschreibung unseres Instrumentes. In Beyrut<sup>3)</sup> ist indes eine Handschrift der Arbeit selbst des großen persischen Gelehrten erhalten.

Über den Inhalt dieser Arbeit und die Art der Darstellung werde ich an einem anderen Orte (Monatshefte für den naturwissenschaftlichen Unterricht) berichten und zeigen, wie die Arbeitsmethode AL BÊRÛNÎs vollkommen der unserigen entspricht. Hier sollen nur die für den Physiker besonders interessanten Abbildungen der Apparate nach den beiden Texten und die Apparatsbeschreibung mitgeteilt werden, aus der schon der wissenschaftliche Geist, der AL BÊRÛNÎ beseelte, hervorgeht.

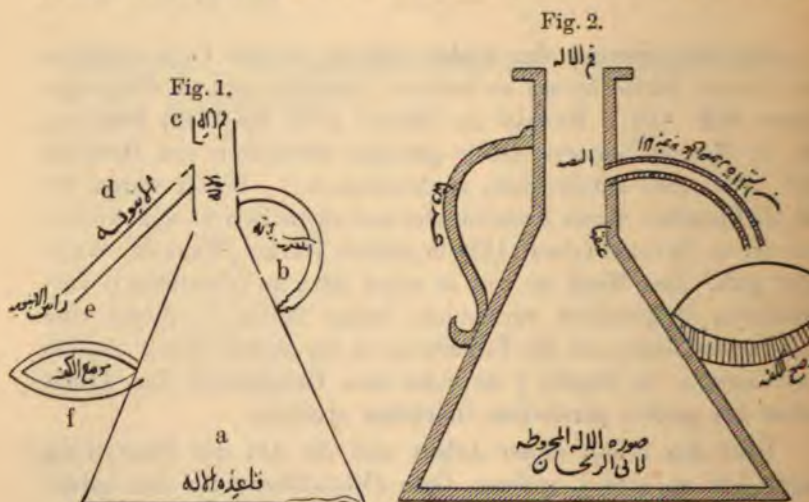
<sup>1)</sup> Zum Teil herausgegeben von KHANIKOFF, J. american oriental Society. Vgl. auch E. W., Wied. Ann. 20, 539, 1883.

<sup>2)</sup> Dank der großen Güte von Sr. Exzellenz Herrn Prof. SMIRNOFF konnte ich die Handschrift in Erlangen benutzen.

<sup>3)</sup> Herr Prof. ШРИКНО an der Université St. Joseph in Beyrut war so liebenswürdig, mir seine weiß-schwarze Photographie des Textes zuzuschicken. Leider ist dieser, wie auch die Photographie des Apparates zeigt, stark von Würmern zerfressen.



Von den Abbildungen ist Fig. 1 dem Beyruter Texte entnommen, Fig. 2 dem Petersburger. Sie unterscheiden sich vor allem durch die in dem Ansatzrohr in Fig. 2 sichtbaren Öffnungen. Nach der Beschreibung laufen die Wände des kegelförmigen Gefäßes nicht nach oben spitz zu, sondern bilden eine nach innen konkave Wölbung. Die Worte an den einzelnen Teilen haben bei der Beyruter Zeichnung folgende Bedeutungen. Es steht bei *a* Basis des Apparates, bei *b* Henkel des Apparates, bei *c* Mündung (Hals) des Apparates, bei *d* das Rohr, bei *e* Ende des Rohres,



bei *f* Ort für die Schale (der Wage). In der Petersburger Figur steht unten „Bild des kegelförmigen Apparates von ABU 'L RAIHÂN“ und an dem Ausflußrohr „das Rohr in Form eines Kanales (Mizâb)“, die anderen Worte entsprechen denen der Beyruter Handschrift.

Ehe AL BÉRÛNÎ seinen eigenen Apparat beschreibt, gibt er an, nach welchen anderen Methoden (Gießen der Metalle in Gußformen, Ziehen von Draht, Bestimmung der Gewichtsverluste im Wasser) er zunächst Versuche angestellt habe (freilich ohne genaue Resultate zu erhalten) und fährt dann etwa so fort:

Ich stellte fort und fort ein Instrument nach dem anderen her und vermied bei dem späteren das, was mir bei dem früheren

mißglückt war, bis ich endlich ein Gefäß von kegelförmiger Gestalt anfertigte, das an der Basis weit und oben eng war; von dort aus erstreckte sich sein Hals in konstanter Weite. In der Mitte<sup>1)</sup> des engen Teiles, nahe an seinem unteren Ende, machte ich ein kleines, kreisrundes Loch und befestigte (lötete) an ihn ein eben so weites gebogenes Rohr, das nach unten geneigt war . . .<sup>2)</sup>. Zur Zeit der Beobachtung stand sein Ende gegenüber der Schale der Wage. Dann zerkleinerte ich jedes Metall in große und kleine Stücke. Die großen waren nicht größer, als der Weite des Halses des Gefäßes entsprach, da diese sonst von ihnen verstopft worden wäre, und die kleinen waren nicht beliebig klein, sondern sie hatten die Größe einer Hirse. Mit diesen Stücken verfuhr ich so, daß ich zuerst die großen Stücke in die Mündung des Gefäßes warf, da diese das Wasser heftig bewegten und es höher in die Höhe steigen ließen, als notwendig war. Dann (nämlich nach Einwerfen der großen Stücke) hatte es nichts zu sagen, wenn ich es emporsprudeln ließ, und das war eine Verbesserung der Ausführung, indem ich die kleinen Stücke mittels einer Zange hineinwarf; hierbei wurde die Wasseroberfläche kaum so zerspalten, daß auf ihr eine Bewegung sichtbar war.

Bekanntlich steigt das Wasser entsprechend (dem Volumen) des Hineingeworfenen und daher fließt aus dem Rohre ein Volumen aus, das dem Volumen des hineingeworfenen Körpers gleich ist. Der Rest bleibt in dem Gefäß in seinem ursprünglichen Zustande. Das Instrument hat die beistehende Gestalt (Fig. 1).

Den unteren Teil des Instrumentes habe ich deshalb erweitert, damit er von der hineinzuerfenden Substanz mehr fasse. Wäre das ganze Gefäß so eng wie der Hals<sup>3)</sup>, so wäre seine Form die eines Rohres (Barbach<sup>4)</sup>); dann wäre aber seine Handhabung auf der Erdoberfläche schwierig und es könnte leichter umfallen und umstürzen. Da das Instrument mehr fassen soll,

<sup>1)</sup> Es ist gemeint, daß das angesetzte Rohr in einer Meridianebene des Halses liegt.

<sup>2)</sup> Hier ist der Text stark verstümmelt.

<sup>3)</sup> ΑΛ ΒΑΡΒΑΧΙ meint, man hätte ein zylindrisches Rohr von der Weite des Halses nehmen können, das man nach unten verlängert; dann hätte es aber nicht festgestanden, sondern wäre leicht umgefallen.

<sup>4)</sup> Barbach ist im allgemeinen ein relativ weites Rohr.

so habe ich die Breite in dem Maße vergrößert, als ich die Länge verminderte. Zwischen dem Leibe des Apparates und dessen Hals brachte ich nicht einen Winkel, wie die Winkel des Dreieckes in dem Gefäß, an, sondern eine glatte Biegung wie bei einem gerundeten Bogen, damit man den Inhalt des Gefäßes leichter herausbringen kann und nichts in ihm festsitzen blieb. Den Hals machte ich eng, damit die Oberfläche des Wassers an der engeren Stelle (stark) steigt, wenn die Menge des Wassers auch nur um wenig vermehrt wird; das ist ja aber nicht der Fall, wenn die Stelle weiter ist. Das ist offensichtlich! Hat die Mündung des Gefäßes die Werte von einer Spanne auf eine Spanne, so muß man eine der Kichererbse an Volumen gleich große Menge hineinwerfen, damit sich das Wasser so weit erhebt, daß es ausfließt. Ist die Weite die eines kleinen Fingers, so tritt dies beim Einwerfen eines Volumens gleich dem der Hirse ein. Würde die Ausführung (das Arbeiten mit dem Instrument) nicht dadurch erschwert werden, so hätte ich den Hals noch enger gemacht. Und etwas Ähnliches war bei dem Loche und dem Rohre der Fall <sup>1)</sup>, indem sich bei ihnen etwas (Besonderes) zeigte, das darin bestand, daß das Rohr nachdem es das Wasser ausgeschüttet und ausgegossen in die Schale der Wage, mit Wasser gefüllt blieb, das es gleichsam einsog und einzwängte. Manchmal tröpfelte aus ihm noch nach dem (ersten) Ausschütten ein Tropfen. Ich setzte mit ihm die Luft durch eine Reihe von Löchern, die ich in die obere Wand des Rohres bohrte, in Verbindung. Die Löcher bilden dann zusammen eine Art Kanal, der kleiner als ein Halbkreis ist. Vor diesem Augenblick an ging das Fließen des Wassers, das sich in ihm ergoß, glatt vonstatten und es blieb in dem Rohre nur so viel Wasser hängen, als bei dessen feuchter Natur unbedingt nötig war.

Über die Größe seines Instrumentes macht AL BĒRŪNĪ keine Angaben, doch läßt sich dieselbe aus den Zahlenangaben bei einer Messung mit Gold entnehmen. Er sagt, daß ein aus früheren Beobachtungen erhaltener Mittelwert bestätigt worden sei durch eine Messung mit einem besonders guten und geprüften

<sup>1)</sup> D. h. es trat eine Schwierigkeit ein.

Instrument. Dabei hat sich ergeben, daß für die benutzten 355 Mitqâl<sup>1)</sup> Gold 18 Mitqâl 3 Dánaq, 3 Ṭassûg Wasser verdrängt wurden, oder 8520 Ṭassûg Gold verdrängen 447 Ṭassûg Wasser. Daraus berechnet sich das spezifische Gewicht zu 19,06 und daraus dann das Volumen der 355 Mitqâl (etwa 1600 g) zu rund 84 ccm. Das Gefäß faßt also sicher über 100 ccm, aber wohl auch nicht mehr als 250 ccm. Aus den großen angewandten Mengen erklären sich auch die erhaltenen genauen Resultate.

Bei einem anderen Versuche wurden von 240 Mitqâl (etwa 1080 g) Kupfer 28 Mitqâl 1 Ṭassûg Wasser verdrängt; da sich das spezifische Gewicht des Kupfers hieraus zu etwa 8,66 berechnet, so ergibt sich das geringste Volumen des Gefäßes zu mindestens 125 ccm.

---

<sup>1)</sup> 1 Mitqâl setzt nach einer besonderen Angabe  $\Delta L B\acute{e}t\acute{o}n\acute{i} = 6$  Dánaq und 1 Dánaq = 4 Ṭassûg. 1 Mitqâl ist rund 4,5 g. Der Wert wechselt etwas nach den Gegenden.

*Über reines Eisen;  
von H. Kreuzler.*

(Vorgetragen in der Sitzung vom 1. Mai 1908.)

(Vgl. oben S. 317.)

---

Die physikalischen Eigenschaften des Eisens, die Umwandlungstemperaturen, Hysteresis usw. sind bekanntlich in hohem Maße abhängig von der Anwesenheit geringer Beimengungen anderer Substanzen.

Die Frage, wie sich in dieser Hinsicht das ganz reine Eisen verhält, insbesondere ob es Hysteresis zeigt, schien daher von Bedeutung. Auf Anregung von Herrn Geh.-Rat WARBURG versuchte ich in den Jahren 1902—1905 dieses Thema zu bearbeiten. Infolge meines Wegganges vom Physikal. Institut Berlin gelangt die Untersuchung nicht zum Abschluß, aus welchem Grunde auch bisher nichts davon veröffentlicht wurde.

Einem von anderer Seite ausgesprochenen Wunsche entsprechend, teile ich im folgenden die bei der Herstellung des reinen Eisens gemachten Erfahrungen mit.

Das metallische Eisen des Handels, auch das beste Elektrolyseisen, ist nie ganz rein. Die Verunreinigungen sind wegen ihrer geringen Menge meist schwer zu kontrollieren und noch schwerer zu beseitigen. Daher wurde von der Verwendung dieser Materialien von vornherein abgesehen.

Als Ausgangssubstanz wurde das Ammonium-Eisensulfat, das das reinste im Handel erhältliche Präparat, benutzt. Dasselbe wurde vor der Verwendung noch mehrfach umkristallisiert.

Die zum Fällen von Eisenoxalat verwendete Oxalsäure wurde viermal aus konzentrierter Salzsäure und wiederholt aus Wasser umkristallisiert. Eine Probe von 20 g, in einer Platinschale verdunstet, hinterließ ein minimales Fleckchen von Eisenoxyd, vermutlichlich aus dem benutzten Gerätegias.

Alle benutzte Salzsäure wurde zur Entfernung etwaiger Spuren Schwefelsäure über Kochsalz destilliert.

Schließlich wurde auch das Wasser, welches zum endgültigen Auswaschen der Niederschläge diente, kurz vor dem Gebrauch in Gefäßen aus Jenaer Geräteglas destilliert.

Der zur Reduktion dienende Wasserstoff wurde elektrolytisch aus einer Lösung von reinem Natronhydrat entwickelt, zur Beseitigung der kleinen durch Diffusion hineingelangten Sauerstoffmengen über erhitztes Kupfer geleitet und mit trockenem Natronhydrat getrocknet. Dieser Wasserstoff war hinreichend rein.

Die so häufig notwendige Prüfung des Eisens auf Schwefel wurde in der Weise ausgeführt, daß etwa 1 g Eisen in einem Reagenzglas mit Salzsäure übergossen wurde, worauf ein fester Wattepfropf zum Abfangen der Säurespritzer eingeschoben und das Glas mit einem durchbohrten Kork verschlossen wurde. In dem Kork befand sich ein mit feuchtem Bleipapier überbundenes Glasröhrchen von etwa  $\frac{1}{4}$  qcm lichter Weite. Die Lösung des Eisens wurde dann durch Erwärmen eingeleitet.

Eisen verhält sich gegen Schwefeleisen anodisch. Es löst sich daher erst alles reine Eisen, auf und die Schwefelreaktion tritt erst gegen Ende ein. Es ist daher darauf zu achten, daß beim Lösen des Eisens kein Rückstand bleibt. Die heiße Lösung von Ammonium-Eisensulfat wurde mit Oxalsäure gefällt, der Niederschlag mit heißem Wasser ausgewaschen, getrocknet und bei Luftzutritt zu Oxyd verbrannt. Die Verbrennung geschah stets mit einer Äthergasflamme, weil das Eisenoxyd als kräftiger Katalysator die im Leuchtgas reichlich vorhandenen Schwefelverbindungen als Schwefelsäure bindet. Dies gibt bei der Reduktion in Wasserstoff zur Bildung von Schwefeleisen Veranlassung. Die Reduktion wurde in einer Röhre aus Hartglas ausgeführt.

Das so erhaltene schwammige Eisen war nachweisbar schwefelhaltig, teils weil das Eisenoxyd von der Oxalatfällung her noch Schwefelsäure enthielt (dieselbe läßt sich durch Auswaschen nicht vollständig entfernen), teils aus einem anderen Grunde, der später näher berücksichtigt werden wird.

Der Eisenschwamm wurde darauf in Salzsäure gelöst, die Lösung längere Zeit gekocht, das Fällen mit Oxalsäure, Waschen, Trocknen und Verbrennen in derselben Weise ausgeführt wie vorher.

Dieses Eisenoxyd ist frei von Schwefelsäure, enthält kein Chlor. Dies ist ohne Bedeutung, weil die Chlorverbindungen des Eisens durch Wasserstoff leicht zu Metall reduziert werden.

In der Folge erwiesen sich Glas- und Porzellanröhren als völlig unbrauchbar zur Reduktion. Es ergab sich nämlich, daß feuchter Wasserstoff aus glühendem Porzellan große Mengen Schwefelwasserstoff bildet, wozu vermutlich der in der Porzellanmasse und namentlich in der Glasur vorhandene Schwefel die Veranlassung gibt. Trockener Wasserstoff ist ganz ohne Entzündung, aber bevor die Reduktion zu Metall vollständig beendet ist, wird natürlich fortwährend Wasserdampf gebildet.

Seltenweise zeigten auch alle versuchten Glasröhren, wo man Sulfate eigentlich nicht mehr vermuten sollte, eine ähnliche, wenn auch viel schwächere Schwefelwasserstoffentwicklung.

Wurde durch eine erhitzte Glasröhre einen ganzen Tag lang feuchter Wasserstoff geleitet, so hörte die Entwicklung von Schwefelwasserstoff schließlich auf. Leider sprangen die so behandelten Röhren regelmäßig.

Es wurden daher alle späteren Reduktionen in einem Reagenzglas aus Quarzglas ausgeführt. Erhitztes Quarzglas wird von Eisenoxyd stark angegriffen. Der Eisenschwamm war auf seiner Unterseite stets mit grünlichen Schuppen aus Eisensilikat bedeckt, die sorgfältig entfernt werden mußten.

Das bis jetzt erhaltene Eisen wurde im Vakuum zu Kugeln geschmolzen, diese zu dünnem Blech ausgewalzt und aus diesem Blech flache Kästchen gefertigt, in denen dann die weiteren Reduktionen im Quarzrohr vollzogen wurden.

Vollkommen frei von Schwefel war aber auch auf diese Weise das Eisen nicht zu erhalten.

Es muß erwähnt werden, daß der ganze Apparat an keiner Stelle Kautschuk oder sonst Körper enthielt, bei denen ein Schwefelgehalt anzunehmen war. Der sich hartnäckig immer wieder bemerkbar machende Schwefel konnte entweder nur aus dem Eisenoxyd stammen oder er mußte von außen her durch das allerdings sehr dünnwandige Quarzrohr ins Innere eindringen. Beide Möglichkeiten hatten wenig Wahrscheinlichkeit für sich.

Es wurde daher ein Quantum Eisenoxyd in den Eisenschwämmen im Quarzrohr reduziert, dann in der Röhre wieder verbraucht.

und diese Prozesse zwanzigmal wiederholt. Nach jeder Reduktion wurde eine kleine Probe, etwa 1 g, entnommen, um sie auf Schwefel zu untersuchen. Stammte der Schwefel aus dem Eisenoxyd, so mußte er bei dem beschriebenen Verfahren weniger werden.

Es trat aber gerade das Gegenteil ein. Dabei zeigte sich deutlich, daß bei hoher Reduktionstemperatur der Schwefelgehalt ganz beträchtlich größer war, als bei tieferer. (Die Erhitzung geschah durch Bunsenbrenner.)

Diese Beobachtungen schienen mir mit ziemlicher Sicherheit dafür zu sprechen, daß Quarzglas in der Hitze für manche Gase erheblich durchlässig wird. Heute ist, soviel ich weiß, diese Eigentümlichkeit des Quarzglases allgemein bekannt.

Um das Schmelzverfahren weiter durchbilden zu können, stellte ich mir bei möglichst tiefer Temperatur ein etwas größeres Quantum Eisen her und wollte dann das Quarzrohr elektrisch heizen, wozu ich aber nicht mehr kam.

Das bei niedriger Temperatur reduzierte Eisen ist viel zu voluminös, um es ohne weiteres einschmelzen zu können.

Das lockere Eisen wurde in engen Röhren aus strengflüssigem Glase mit einer hydraulischen Presse unter gleichzeitiger Stromerhitzung zusammengedrückt. Der dabei freiwerdende Wasserstoff schützt vor Oxydation. Zwischen den so erhaltenen Stiften wurde im hohen Vakuum ein Lichtbogen bei etwa 100 Amp. Stromstärke gezogen. Die abtropfenden Kugeln fielen auf Quecksilber. Alles andere Material, wie Magnesia, Tonerde usw., hatte sich als unbrauchbar erwiesen. In dem Maße, wie die Eisenstifte abschmelzen, müssen die Elektroden nachgeschoben werden, was sich mit Quecksilberdichtungen leicht erreichen läßt. Ist nämlich der Bogen einmal abgerissen, und das Eisen ist an den Enden geschmolzen, so läßt er sich im hohen Vakuum nicht mehr entzünden. Eine andere Schwierigkeit besteht darin, daß der Bogen immer nach den entferntesten Punkten der Elektroden überspringen neigt und sich auch nicht durch Magnete dirigieren läßt. Man muß daher die Elektroden im Innern des Vakuumgefäßes bis zu den Eisenstiften schützen. Zur Kontrolle des Vakuums und der Gase, die etwa beim Schmelzen des Eisens zum Vorschein kamen, war das Schmelzgefäß mit einem Spektralrohr versehen. Es zeigte sich, daß der Schmelzraum nicht mit Phos-



phorpentoxyd getrocknet werden durfte, auch zeigten sich, w  
die Eisenstifte mit den Fingern angefaßt waren, sofort die Ko  
banden im Spektrum. Vermied man die direkte Berührung  
benutzte man zum Trocknen metallisches Natrium, so erhielt  
ein ganz reines Wasserstoffspektrum und die Quecksilberlin  
Letztere waren natürlich immer vorhanden, weil ja der App  
Quecksilber enthielt, welches nach einer Schmelzung ziem  
heiß war.

Die größten erhaltenen Kugeln aus Eisen waren etwa 8  
dick. Beim Durchsägen zeigten sie im Innern alle einen kle  
spiegelblanken Hohlraum mit einer feinen Öffnung nach au  
Diese Blasen rühren vermutlich von Wasserstoff her, der von  
Eisen beim Schmelzen in enormen Mengen abgegeben wird.  
scheint, daß einmaliges Schmelzen im Vakuum nicht genügt,  
allen Wasserstoff zu entfernen, zudem verläuft der Schmelzpro  
so rasch, daß es unmöglich ist, allen freiwerdenden Wasser  
mit der Pumpe zu entfernen.

Das nach dem beschriebenen Verfahren erhaltene Eisen  
von großer Reinheit. Der Gehalt an Schwefel ist äußerst ger  
Ein roher kolorimetrischer Vergleich mit dem besten Dyna  
blech ergab, daß der Schwefelgehalt des letzteren 50—100 000  
größer war als der des reinen Materials. Fremde Metalle h  
ich nach den mir damals bekannten Reaktionen in den Ausgar  
materialien nicht feststellen können. Nachträglich hat sich al  
dings herausgestellt, daß etwa  $\frac{1}{1000}$  Proz. Mangan darin enthal  
ist. Vermutlich werden auch Kupfer und Nickel in ähnlich  
Mengen vorhanden sein.

Was nun die Eigenschaften des von mir hergestellten Eis  
betrifft, so sieht es im blanken Zustande dem Platin sehr ähnl  
(Es ist bei einem Berliner Juwelier, der die Freundlichkeit ha  
mir meine Kugeln auszuwalzen, direkt für Platin gehalten worde  
Es zeigt eine große Politurfähigkeit. Beim Anätzen einer polier  
Fläche kommen große Kristalle (manchmal über 1 mm Kant  
länge) zum Vorschein. Die Farbe der geätzten Fläche ist gr  
weiß. Das Metall ist sehr duktil und zähe. Eine Kugel läßt s  
ohne Erhitzung kreuz und quer zum dünnsten Blech auswalz  
ohne am Rande Risse zu bekommen. Eine Kugel wurde zu eine  
Stäbchen gewalzt und zu Draht von 0,1 mm Dicke gezogen. Au

hierbei wurde der Draht nicht erhitzt. Die Stelle, wo in der Kugel die Gasblase gesessen hatte, riß beim Ziehen ab.

Durch Salzsäure wird das geschmolzene Eisen auch beim Kochen nicht merklich angegriffen. Ein Stück, welches mehrere Monate in Salzsäure gelegen hatte, zeigte eben Andeutungen von Ätzfiguren. Fährt man über ein flaches Stück Eisen unter Salzsäure mit einem feinen Platindraht, ohne zu drücken, so macht sich hinterher die Spur des Drahtes durch eine feine Gasentwicklung bemerkbar. Salpetersäure löst das Eisen leicht auf.

Was die magnetischen Eigenschaften des Eisens betrifft, so sind darüber nur einige flüchtige Orientierungsversuche angestellt worden, da noch zu wenig Material für genaue Messungen vorlag.

Es wurden aus dem Eisen einige dünne Streifen von etwa 5 mm Breite und 15—20 mm Länge hergestellt, ebenso ganz gleiche aus bestem Dynamoblech. Diese Streifen wurden in eine kleine mit Sekundärwicklung umgebene Magnetisierungsspule eingepaßt.

Der beim Schließen und Öffnen des Magnetisierungsstromes auftretende Induktionsstrom wurde durch einen gegengeschalteten eisenlosen Schlittenapparat kompensiert. Beim Kommutieren wurde dann im Galvanometer nur die Wirkung der Hysteresis sichtbar.

In allen Fällen zeigte das reine Eisen eine merklich größere Hysteresis als Dynamoblech. Die Hysteresis scheint daher nicht eine unmittelbare Funktion der Verunreinigungen des Eisens wie Kohlenstoff usw. zu sein.

Nachträglich sind noch einige elektrische Konstanten bestimmt worden. So ergab sich für den spezifischen Widerstand (gemessen an einem Draht von 0,0914 mm Dicke und verschiedener Länge) der Wert:

$$\sigma = 0,094 \cdot 10^{-4} \text{ bei } 0^{\circ},$$

entsprechend einem spez. Leitvermögen:

$$\kappa = 10,61.$$

Der mittlere Temperaturkoeffizient zwischen  $0^{\circ}$  u.  $100^{\circ}$  beträgt:

$$\alpha = 0,0055.$$

Der Gang des Temperaturkoeffizienten ist hierbei zwischen den angegebenen Temperaturgrenzen als linear betrachtet, da die mittlere Abweichung vom wahren Gange nur  $\pm 2,7$  Proz. beträgt.

Zum Vergleich wurde eine Probe von reinem Eisenblech vorgefertigt bei gleichen Dimensionen untersucht. Es ergab sich für 10°

$$\begin{aligned} \epsilon &= 1001,117 \\ \alpha &= 0,01 \\ \epsilon &= 1,0021 \dots \dots \dots (100^\circ) \end{aligned}$$

Es wurden dann die Drähte in Hüllungenformen angeschlossen und im hohen Vakuum einige Zeit durch Schmelzwasser befeuchtet. Das reine Eisen gab dabei meistentheils niedrigeren Werte als im Gegensatz zu dem Eisenblech bei den elektrischen Konstanten des reinen Eisens hierbei angegeben. Der spezifische Widerstand des Eisenbleches war nach dem Ohm von 1001,117<sup>o</sup> auf 1006,217<sup>o</sup> gestiegen.

Der höchste mir bis jetzt bekannte gewordene Wert für Leitvermögen des Eisens ist  $\alpha = 1,005$  bei 10° Wert von Leo LASCOFF-SCHNEIDER'S Tab.

Der höchste Wert für den Temperaturkoeffizienten zwis. 0° und 100° ist von L. FLORIN & FLORIN Tab. ist  $\alpha = 0,0033$ .

Herrn v. BERTHOUD'S, der die elektrischen Konstanten auch gemessen hat, bin ich dafür zu großem Dank verpflichtet.

**Beobachtung szintillierender Fluoreszenz, hervorgerufen durch  $\beta$ -Strahlen;  
von Erich Regener.**

(Vorgetragen in der Sitzung vom 1. Mai 1908.)

(Vgl. oben S. 317.)

-----

Vor kurzem konnte ich in diesen Verhandlungen<sup>1)</sup> über Versuche berichten, welche eine Zählung der  $\alpha$ -Teilchen durch die Lichtpunkte, die sie auf einem Leuchtschirm aus Zinksulfid hervorrufen, betrafen. Diese Versuche ergaben, daß die Zahl der auf dem Leuchtschirm beobachteten Lichtpunkte der Zahl der auftreffenden  $\alpha$ -Teilchen entspricht. Es ließ sich des weiteren auf die Ladung eines  $\alpha$ -Teilchens schließen und zwar ergab es sich als sehr wahrscheinlich, daß dieselbe aus zwei Elementarquanten besteht. In der Fortsetzung dieser Versuche bemühte ich mich, szintillierende Fluoreszenz durch andere korpuskulare Strahlen zu erhalten, insbesondere durch solche, deren Ladung bekannt ist. Ich hatte darin bis jetzt mit den  $\beta$ -Strahlen des Radiums Erfolg. Wenngleich die diesbezüglichen Versuche bisher nicht die Möglichkeit einer Zählung der  $\beta$ -Teilchen ergaben, so dürften sie doch als Beweis für die korpuskulare Natur der  $\beta$ -Strahlen einiges Interesse haben.

Am geeignetsten zur Beobachtung der  $\beta$ -Strahlenszintillation erwies sich Baryumplatinocyanür<sup>2)</sup>, das auf einen Objektträger aufgetragen war. Dasselbe wurde durch die  $\beta$ -Strahlen eines Radiumpräparates von 15 mg, das zur Abhaltung der  $\alpha$ -Strahlen mit einem Glimmerblatte bedeckt war, zur Fluoreszenz erregt. Zur Beobachtung derselben, die mit einem ZEISSschen Mikroskop mit

<sup>1)</sup> Diese Verhandl. 10, 78, 1908.

<sup>2)</sup> Dasselbe reagiert am stärksten auf  $\beta$ -Strahlen. Kaliumplatinocyanür zeigt auch die Szintillation durch  $\beta$ -Strahlen; wahrscheinlich auch andere Körper, die genügend stark fluoreszieren und nicht nachleuchten. Zinksulfid, das  $\alpha$ -Strahlenszintillation am besten zeigt, ist für  $\beta$ -Strahlen nicht brauchbar, da es unter der Wirkung derselben nachleuchtet.

Normalvergrößerung<sup>1)</sup> geschah, ruhte das Auge zunächst bis 20 Minuten im vollkommen verdunkelten Zimmer aus. Direktes Sehen ließ alle zu beschreibenden Erscheinungen leicht erkennen.

Wurde das Radiumpräparat dicht an den Baryumplatinzylinder-Schirm gebracht, so zeigte sich der letztere zu einem intensiven und merklich gleichförmigen Leuchten erregt<sup>2)</sup>. Vergrößerte man dann die Entfernung zwischen Radium und Leuchtschirm, traten unter gleichzeitiger Abnahme der Helligkeit an Stelle des gleichförmigen Leuchtens über den Schirm hin und her huschende Lichtflecke auf. Mit zunehmender Entfernung des Radiumpräparates wird die Diskontinuität des Leuchtens immer deutlicher und bei einer Entfernung des Radiumpräparates von etwa 10 cm gewinnt die Erscheinung den Charakter einer durch sehr viele Teilchen hervorgerufenen Szintillation, wie sie von den  $\alpha$ -Strahlen her bekannt ist. Das Szintillieren ließ sich mit wohlausgerichtetem Auge noch bis auf 40 bis 50 cm Entfernung des Radiums vom Schirm beobachten. Auch in diesen Entfernungen hat man meistens nur den Eindruck von Lichtflecken; seltener sieht man auch besser definierte Lichtpunkte. Durch Messung des durch die  $\beta$ -Teilchen hervorgerufenen Sättigungsstromes ergab sich, daß bei 40 cm Entfernung des Radiums noch etwa 60  $\beta$ -Teilchen pro Sekunde auf 1 qmm des Schirmes<sup>3)</sup> auftreffen müssen. Danach ist es wahrscheinlich, daß die Szintillationsflecke, die man bei dieser Entfernung auf dem Schirm beobachtet, durch das Aufeinander- oder Nebeneinandertreffen mehrerer  $\beta$ -Teilchen hervorgerufen werden, daß also der durch ein  $\beta$ -Teilchen hervorgerufene Lichtpunkt unter der Wahrnehmungsgrenze des Auges liegt. Die durch eine ungefähr gleiche Anzahl  $\alpha$ -Teilchen auf einem Zinksulfid-

<sup>1)</sup> Apochromatobjektiv  $f = 8$  mm, Sucherokular Nr. 2. Über Normalvergrößerung siehe DRUDE, Lehrbuch der Optik, S. 83, 1900.

<sup>2)</sup> Ist  $Z$  die Zahl der auf eine bestimmte Fläche in einer gewissen Zeit auftreffenden  $\beta$ -Teilchen, so ist die mittlere prozentische Abweichung von der Zahl in derselben Zeit proportional mit  $\frac{1}{\sqrt{Z}}$ . Bei großer Strahldichte ist daher keine merkliche Szintillation zu erwarten.

<sup>3)</sup> Unter Benutzung der von DURACK [Phil. Mag. (6) 8, 550, 1903] gemessenen Zahl, daß eins von den schnelleren  $\beta$ -Teilchen auf 6 cm seinem Weges in Luft von 1 mm Druck ein Ionenpaar erzeugt.

<sup>4)</sup> Größe des Gesichtsfeldes des benutzten Mikroskops.

schirm hervorgerufene Szintillationserscheinung ist von einer ganz anderen Größenordnung der Helligkeit. Eine Zählung der  $\beta$ -Teilchen durch die Szintillation ist daher bislang nicht möglich gewesen.

Der Nachweis, daß bei den beschriebenen Versuchen Einflüsse subjektiver Natur, eine auf andere Ursachen zurückzuführende flimmernde Erregung des Auges, nicht mitgewirkt haben, ließ sich leicht dadurch führen, daß der Leuchtschirm durch eine konstant brennende, regulierbare, kleine Glühlampe zu der gleichen Helligkeit erregt wurde, wie durch Einwirkung der  $\beta$ -Strahlen. Es fehlte dann jede Spur der beobachteten charakteristischen Erscheinung.

Die szintillierende Fluoreszenz läßt sich noch beobachten, wenn zwischen Radiumpräparat und Leuchtschirm absorbierende Körper eingeschaltet werden. Da in den festen Körpern ein Teil der  $\beta$ -Teilchen zurückgehalten wird, so wirkt das Einschalten derselben ebenso wie Vergrößerung der Entfernung des Radiumpräparates vom Leuchtschirm: Die Helligkeit der Fluoreszenz nimmt ab, während die Szintillation deutlicher hervortritt. Ich erhielt szintillierende Fluoreszenz noch, wenn mehrere Millimeter dicke Schichten von Blei oder Glas zwischen Radiumpräparat und Leuchtschirm eingeschaltet waren. Da die  $\beta$ -Strahlen, die solche Schichten durchlaufen haben, sehr durchdringend sind, so kann auch nur ein kleiner Teil ihrer Energie in dem Leuchtschirm absorbiert und in Licht umgewandelt werden<sup>1)</sup>. Vergleichende Energiemessungen zwischen  $\alpha$ - und  $\beta$ -Strahlen durch die szintillierende Fluoreszenz sind also deshalb wohl nicht möglich.

Nachdem so  $\alpha$ -Strahlen und  $\beta$ -Strahlen ihren korpuskularen Charakter in szintillierender Fluoreszenz gezeigt haben, erscheint es nicht verfrüht, aller Fluoreszenz durch korpuskulare Strahlen szintillatorischen Charakter zuzusprechen. Die Bedingungen der Beobachtung hierfür bei anderen korpuskularen Strahlen zu finden und dieselben, wenn möglich, zu zählen, bin ich augenblicklich bemüht.

---

<sup>1)</sup> Inwieweit Sekundärstrahlen hier mitwirken, läßt sich vorläufig nicht sagen.



Verlag von Friedr. Vieweg & Sohn in Braunschweig. ■■

# Die Telegraphie ohne Draht.

Von

**Augusto Righi,**

Professor an der Universität Bologna

und

**Bernhard Dessau,**

Professor an der Universität Perugia.

zweite vervollständigte Auflage. — Mit 312 Abbildungen.

Preis geh. *M* 15.—, geb. *M* 16.50.

Die zweite Auflage des Buches über drahtlose Telegraphie von A. Righi und B. Dessau, welche hiermit dem Publikum dar-  
gelegt wird, weist gegen die erste mannigfache Veränderungen und  
Ergänzungen auf. Der Grundcharakter des Buches, welches eine  
großen Kreise der allgemein gebildeten Leser zugängliche und  
zugleich gründliche Darstellung des wissenschaftlich und tech-  
nisch gleich interessanten Gebietes gewähren soll, ist auch in der  
zweiten Auflage derselbe geblieben wie früher. Aber schon in dem  
deutschen Teil mußte der kurze Abschnitt, welcher in der ersten  
Ausgabe den Elektronen gewidmet war, zu einem besonderen Kapitel  
vergrößert werden; zu dem Kapitel über Kohärer und Antikohärer,  
welches auf Grund der neueren Forschungen ergänzt wurde, gesellten  
sich zwei neue Abschnitte über den magnetischen und den elektro-  
magnetischen Wellenindikator. Die weitestgehende Umgestaltung hat  
gemäß der dritten, der Technik der drahtlosen Telegraphie ge-  
richtete Teil erfahren. Hier galt es, Veraltetes auszumerzen und dafür  
zahlreichen Neuen, wie z. B. den Mitteln zur Übertragung von  
Funkwellen auf große Entfernungen, dem heutigen Stande der ab-  
gerundeten Telegraphie und den Versuchen über gerichtete Telegraphie,  
den gebührenden Platz anzuweisen. Dementsprechend ist auch der  
Umfang gerade dieses Teiles bedeutend angewachsen. Ein Anhang  
enthält die gesetzlichen und administrativen Bestimmungen, sowie die  
Beschlüsse der Berliner Konferenz über drahtlose Telegraphie; ein  
Anhang ist einer während des Druckes bekannt gewordenen Er-  
findung des dänischen Ingenieurs Poulsen gewidmet, welche für die  
zukünftige Entwicklung der drahtlosen Telegraphie von der größten  
Bedeutung zu werden verspricht.

Zu beziehen durch alle Buchhandlungen.  ■■



# E. Leybold's Nachfolger

»»»»»»»»»» Cöln a. Rh. ««««««««««

Neu!

Neu!

## Gaede-Pumpe

mit neuer Porzellantrommel

D. R. - P. angemeldet.

Unzerbrechlich bei plötzlichem Eintreten von Luft.  
(Vergl. Physikalische Zeitschrift. 8. Jahrgang. No. 28, p. 852.)

Garantierte Luftleere  $1/100000$  mm.

Während die Pumpe unter **hohem Vakuum** steht, kann man durch Abreißen des Schriffes **plötzlich** Luft einlassen, ohne daß die Trommel Schaden leidet.

Dieser Versuch kann beliebig oft wiederholt werden.

Unsere neuen Ventiltrommeln haben vor Metalltrommeln den großen Vorzug, daß sie mit ätzenden Substanzen gereinigt werden können, was bei Metalltrommeln nicht zulässig ist.

»»»» Die neue Gaede-Pumpe ««««  
ist nur direkt von uns zu beziehen.

Diesem Hefte liegt bei: Ein Prospekt von G. Rüdberg jun. in Hannover und Wien, betr. Photographische Apparate usw.

**Berichte**  
der  
**Deutschen Physikalischen Gesellschaft**

enthaltend

**Verhandlungen**

der Deutschen Physikalischen Gesellschaft  
auftrage der Gesellschaft herausgegeben

von

**Karl Scheel**

und

**Monatliches Literaturverzeichnis**

der „Fortschritte der Physik“, dargestellt von der  
Deutschen Physikalischen Gesellschaft

redigiert von

**Karl Scheel**

für reine Physik

**Richard Assmann**

für kosmische Physik

**Braunschweig**

Verlag von Friedrich Vieweg und Sohn

1908

Nummern. — Abonnementspreis pro Jahrgang 8 Mark. — Zu beziehen  
durch alle Buchhandlungen und Postanstalten.

# Inhalt.

## 1. Verhandlungen der Deutschen Physikalischen Gesellschaft.

|  | Seite |
|--|-------|
| Bericht über die Sitzung vom 15. Mai 1908. . . . .   | 355   |
| O. v. Baeyer, Über den Zeemaneffekt in schwachen Magnetfeldern.<br>Mitteilung aus der Physikalisch-Technischen Reichsanstalt. (Vorgelegt in der Sitzung vom 1. Mai 1908.) . . . . .  | 357   |
| C. Fischer, Elektrische Kraftfelder in nächster Umgebung von Antennen.<br>Mitteilung aus dem Kaiserlichen Telegraphenversuchsamt. (Vorgetragen in der Sitzung vom 15. Mai 1908.) . . . . .   | 366   |
| E. Gumlich, Über die magnetischen Eigenschaften einer von Herrn Dr. Kreuzler hergestellten Probe reinen Eisens. (Vorgetragen in der Sitzung vom 15. Mai 1908.) . . . . .   | 371   |
| E. Gerland, Zur Geschichte der Magnetisierung von Kompaßnadeln mit Hilfe von natürlichen Magneten. (Vorgelegt in der Sitzung vom 15. Mai 1908.) . . . . .  | 377   |
| F. Kiebitz, Eine vereinfachte Drudesche Anordnung zur Demonstration gekoppelter Systeme. Mitteilung aus dem Kaiserlichen Telegraphenversuchsamt. (Vorgetragen in der Sitzung vom 15. Mai 1908.) . . . . .                                      | 386   |
| F. Kühnen und Ph. Furtwängler, Erwiderung auf den Vortrag des Herrn W. Felgentraeger: Der Einfluß der Schneiden auf die Bestimmung der Schwerebeschleunigung mit dem Reversionsspendel. (Vorgelegt in der Sitzung vom 29. Mai 1908.) . . . . . | 389   |
| Erich Marx, Nachtrag zu meiner Arbeit: Theorie der Vorgänge im Nullapparat zur Geschwindigkeitsmessung der Röntgenstrahlen. (Vorgelegt in der Sitzung vom 29. Mai 1908; eingegangen am 17. Mai 1908.) . . . . .                                | 391   |

## 2. Halbmonatliches Literaturverzeichnis der Fortschritte der Physik.

I. Allgemeine Physik. S. 169. — II. Akustik. S. 171. — III. Physikalische Chemie. S. 172. — IV. Elektrizität und Magnetismus. S. 175. — V. Optik des gesamten Spektrums. S. 180. — VI. Wärme. S. 181. — VII. Kosmische Physik. S. 184.

---

Verlag von Friedr. Vieweg & Sohn in Braunschweig.

Die absoluten  
mechanischen, calorischen, magnetischen, elektrodynamischen u. Licht-

## Maass-Einheiten

nebst deren Ableitungen, wichtigsten Beziehungen und Messmethoden  
mit einem Anhang nichtmetrischer Maasse  
zum Gebrauche für Ingenieure, Techniker, Lehranstalten, sowie für  
ein gebildetes Publicum

in gedrängter Kürze bearbeitet von

**Richard Meyn,**

Ingenieur in Carlshütte, Rendsburg.

Taschenformat. cart. Preis 1 M.

**Verhandlungen**  
der  
**Deutschen Physikalischen Gesellschaft**

---

Im Auftrage der Gesellschaft herausgegeben

von

**Karl Scheel**

---

10. Jahrg.

30. Mai 1908.

Nr. 10.

---

**Sitzung vom 15. Mai 1908.**

---

Vorsitzender: Hr. H. RUBENS.

---

Hr. H. du Bois berichtet über den  
Einfluß von Temperatur und Magnetisierung auf selektive Absorptions- und Fluoreszenzspektra  
(nach gemeinsam mit Hrn. G. J. Elias angestellten Versuchen).

---

Sodann zeigt Hr. F. Kiebitz:  
Eine vereinfachte DRUDESche Anordnung zur Demonstration gekoppelter Systeme.

---

Ferner demonstriert Hr. C. Fischer:  
Elektrische Kraftfelder in nächster Umgebung von Antennen.

---

Weiter spricht Hr. E. Gumlich:  
Über die magnetischen Eigenschaften einer von Hrn. Dr. KREUSLER hergestellten Probe reinen Eisens.

---

Endlich legt Hr. **Karl Schoel** folgende zur Verhandlung in den „Verhandlungen“ der Gesellschaft eingegangene Mitteilungen vor:

1. von Hr. **E. Gerland**: Zur Geschichte der Magnetisierung von Kompaßnadeln mit Hilfe von natürlichen Magneten;
2. von Hr. **E. Barkow** und **E. Pringal**: Bemerkungen zu der Replik der Hr. **LEITHÄUSER** und **POHL**.

Als Mitglieder wurden in die Gesellschaft aufgenommen:

Hr. Prof. **A. H. H. TALLQVIST**, Helsingfors.

(Vorgeschlagen durch Hr. **M. PLANCK**.)

Hr. Dr. **G. COSTANZO**, Bologna, Collegio S. Luigi.

(Vorgeschlagen durch Hr. **KARL SCHEEL**.)

Hr. Dr. ing. **W. ROGOWSKI**, wissenschaftlicher Hilfsarbeiter bei der Physikalisch-Technischen Reichsanstalt, Charlottenburg.

(Vorgeschlagen durch Hr. **E. GUMMICH**.)

Hr. Dr. **K. KURZ**, Assistent am physikal. Institut der Technischen Hochschule, München, Arcisstr. 48.

(Vorgeschlagen durch Hr. **H. ERFLE**.)

Hr. Dr. **PAUL PALLME KÖNIG**, Steinschönau (Böhmen), Langestraße 154.

(Vorgeschlagen durch Hr. **H. HÖRIG**.)

***Über den Zeemaneffekt in schwachen Magnetfeldern;  
von O. v. Baeyer.***

(Mitteilung aus der Physikalisch-Technischen Reichsanstalt.)

(Vorgelegt in der Sitzung vom 1. Mai 1908.)

(Vgl. oben S. 318.)

In einer früheren Arbeit haben E. GEHRCKE<sup>1)</sup> und der Verfasser Messungen des transversalen Zeemaneffektes in schwachen Magnetfeldern veröffentlicht, die an einigen Hg-Linien mit Hilfe des Interferenzspektroskops von LUMMER und GEHRCKE ausgeführt worden waren. Es wurde damals gezeigt, daß an Hand der benutzten, sehr vollkommenen planparallelen Platte bei Feldern bis herab zu 535 Gauss meßbare Aufspaltungen erhalten werden können. Die aus den Beobachtungen berechneten Werte von  $\frac{\delta}{\mu}$  ergaben für die verschiedenen Linien individuelle Werte, die von der spezifischen Ladung der Kathodenstrahlenteilchen bedeutend abweichen. Hieraus wird man folgern dürfen, daß auch bei diesen schwachen, früher nicht untersuchten Feldstärken die Voraussetzungen der elementaren Theorie des Zeemaneffektes keine genaue Gültigkeit besitzen.

Die Untersuchung des Zeemaneffektes in schwachen Feldern gestattet eine weitere Prüfung der Theorie dieser Erscheinung, welche Herr VOIGT<sup>2)</sup> aufgestellt hat. Herr VOIGT kündigte eine vordem nicht beobachtete Asymmetrie des normalen Triplets an, die insbesondere in schwachen Magnetfeldern merklich wird. Entgegen den Beobachtungen von ZEEMAN, der die VOIGTsche Asymmetrie in starken Feldern an Eisenlinien bestätigen konnte, ergaben die genannten Beobachtungen von E. GEHRCKE und dem Verfasser, daß die Unsymmetrie bei den untersuchten Queck-

<sup>1)</sup> E. GEHRCKE u. O. v. BAEYER, Verh. d. Deutsch. Phys. Ges. 8, 399, 1906; Phys. ZS. 7, 905, 1906.

<sup>2)</sup> Ann. d. Phys. (4) 1, 376, 1900.

silberlinien, wenn überhaupt vorhanden, unterhalb der Beobachtungsgrenze lag; die VOIGTSche Theorie konnte nicht bestätigt werden.

Die vorliegenden Messungen ergänzen die zitierten Versuche von GEHRCKE und dem Verfasser hinsichtlich der Quecksilberlinie  $\lambda = 491 \mu\mu$ , welche bekanntlich keine Trabanten hat. Man kann daher den Zeemaneffekt an dieser Linie mit einer Interferenzplatte allein untersuchen. Außerdem ergibt diese Linie ein normales Triplet, so daß sie für den vorliegenden Zweck besonders geeignet erscheint. Ferner wurde die Messung des Magnetfeldes verbessert, so daß die neuen Zahlen eine größere Genauigkeit beanspruchen dürfen als die früheren.

### I. Versuchsanordnung.

Die Versuchsanordnung war dieselbe, wie die bei den früheren Versuchen angewandte. Als Lichtquelle diente ein kleines Geislerrohr mit Quecksilberelektroden, das zwischen den ebenen Polen eines kleinen DU BOISschen Halbringelektromagneten angeordnet war, dessen Kraftlinien horizontal verliefen. Das senkrecht zu den Kraftlinien austretende Licht fiel auf den Spalt eines Interferenzspektroskops. Als planparallele Platte diente wieder die schon früher benutzte Hilgerplatte (30 cm lang, etwa 1 cm dick.

Auflösungsvermögen:  $\frac{\lambda}{\delta\lambda} = 660000$  für  $\lambda = 0,5 \mu$ .

Um die äußeren Komponenten getrennt von den mittleren photographieren zu können, wurde dicht vor der photographischen Platte ein Wollastonprisma eingeschaltet. Man erhält dadurch zwei Interferenzstreifensysteme. Durch geeignetes Drehen des Prismas ergibt sich eine Stellung, wo das eine Streifensystem die parallel den Magnetkraftlinien schwingende Komponente, das andere die dazu senkrechte Komponente enthält. Steht die planparallele Platte genau senkrecht zu den Kraftlinien, so müssen in dieser Stellung des Wollastonprismas zueinandergehörige Interferenzstreifen der beiden Streifensysteme genau in vertikaler Richtung liegen. Auf diese Weise ist es also möglich, mit einer einzigen Aufnahme die verschiedenen Polarisationszustände getrennt zu photographieren und doch die Lage der mittleren Komponente zu den äußeren scharf zu messen.

Bei den Aufnahmen wurde besonderes Augenmerk auf die Erzielung möglichst scharfer Linien gerichtet. Wie ich schon in einer früheren Arbeit<sup>1)</sup> erwähnte, ist hierfür die Anwendung eines geeigneten Unterbrechers von großem Einfluß. Die besten Resultate ergaben sich bei Benutzung eines Platinunterbrechers, während der Quecksilberturbinenunterbrecher die Linie  $491 \mu\mu$  sehr verwaschen lieferte. Das Geisslerrohr muß zur Erzielung genügender Intensität gut ausgepumpt werden.

Die magnetische Feldmessung wurde entgegen den früheren Versuchen bei jeder einzelnen Aufnahme wiederholt. Es erscheint dies zuverlässiger, als die früher angewandte Methode, bei der das Magnetfeld ein- für allemal für verschiedene Stromstärken im Elektromagnet bestimmt wurde. Es wurde demgemäß folgendermaßen verfahren: Eine halbe Stunde vor Beginn der Aufnahme wurde die Geissleröhre in Betrieb gesetzt und der Elektromagnet eingeschaltet. Nach der etwa 1 Stunde dauernden Exposition wurde das Feld bestimmt.

Die Feldmessung selbst wurde nach der Induktionsmethode ausgeführt. Die Meßanordnung, bestehend aus einer kleinen Induktionsspule und einem ballistischen Spulengalvanometer von SIEMENS u. HALSKE, wurde geeicht mit einer Normalspule. Die Windungszahl dieser Normalspule war Herr Prof. GÜMLICH so liebenswürdig, zu bestimmen. Somit waren zur Feldmessung nur zwei ballistische Messungen auszuführen. Da diese Messungen höchstens  $\frac{1}{2}$  Proz. Fehler ergaben, sind die Feldmessungen mit etwa 1 Proz. Fehler auf die zuverlässige Eichung der Normalspule zurückgeführt.

## II. Messungen.

Aufnahmen der aufgespaltenen Hg-Linie ( $491 \mu\mu$ ) wurden für drei verschiedene Felder von 751, 2580 und 6870 Gauss gemacht. Dieselben sind in den Figuren 1 bis 3 in etwa vierfacher Vergrößerung dargestellt. Wie die Figuren zeigen, sind in der niedrigsten Ordnung (entsprechend dem größten Austrittswinkel der interferierenden Strahlen gegen die Plattennormale, wo die Interferenzstreifen am weitesten voneinander abstehen) die äußeren Kom-

---

<sup>1)</sup> O. v. BAEYER, Verh. d. D. Phys. Ges. 9, 84, 1907.



ponenten nicht mehr zu erkennen. In den nächst höheren Ordnungen sind sie dagegen gut meßbar. In den folgenden Ordnungen fließen dann besonders bei Fig. 1 und 3 infolge der kleinen Dispersion die beiden Komponenten ineinander. Immerhin bleiben

Fig. 1.



$H = 751$  Gauss.

Fig. 2.



$H = 2580$  Gauss.

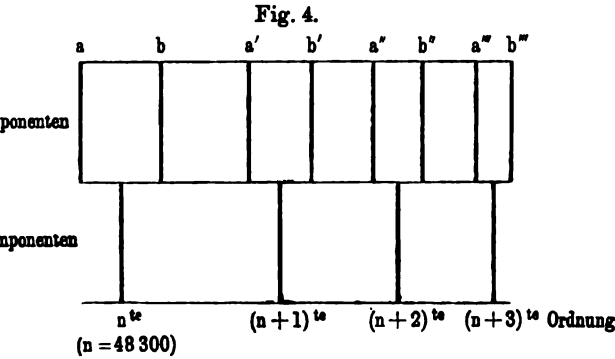
Fig. 3.



$H = 6870$  Gauss.

etwa fünf Ordnungen für die Ausmessung verfügbar. Es hat dies gegenüber Gitteraufnahmen den großen Vorteil, daß man den Einfluß der Breite und der Intensitätsverteilung der Linien auf die gemessene Aufspaltung beobachten kann. Wie weiter unten noch näher ausgeführt wird, können in ungünstigen Fällen bedeutende Abweichungen der Messungen in verschiedenen Ordnungen

, eine Fehlerquelle, die auch bei Gittermessungen auf-  
 ß, aber bisher noch wenig Berücksichtigung gefunden hat.  
 Bestimmung der Aufspaltung der Linien aus den er-  
 Photographien genügt die Ausmessung der Aufnahmen  
 ren Komponenten allein, und zwar wird in folgender  
 rfahren (s. Fig. 4):



$a, b$  die äußeren Komponenten einer Linie,  $a' b'$ ,  
 w. die äußeren Komponenten in den nächsten höheren  
 en, so wurden auf der Teilmaschine gemessen die Ab-

$(a b) (a' b')$  usw.,

$(a a'), (b b'), (a' a''), (b' b'')$  usw.

Abstand einer Komponente, z. B.  $a$ , von derselben  
 te in der nächsten Ordnung  $a'$  würde eine Wellenlängen-

$$\frac{\lambda^2}{2d\sqrt{n^2 - 1}} \text{ cm}$$

en, wo  $\lambda$  die Wellenlänge der betreffenden Linie in cm,  
 ke in cm,  $n$  den Brechungsindex der Interferenz-  
 deutet.

nach würde der Abstand  $(a b)$  die Wellenlängenänderung

$$\delta\lambda = \frac{(a b)}{(a a')} \frac{\lambda^2}{2d\sqrt{n^2 - 1}}$$

aber nach der Seite der größeren Dispersion (in Fig. 1  
 ch links) die Abstände  $a a'$  usw. wachsen, muß man in

Wendet man die Formel (1) an, so erhält man für die Drehmomente  $M$  die folgenden Ausdrücke in zwei Variablen  $x$  und  $y$ , die die entsprechenden Abstände in zwei Richtungen  $x$  und  $y$  bedeuten, und die entsprechende Formel lautet:

$$M = \frac{(x^2 - y^2) \cdot \pi \cdot r^3}{4 \cdot (x^2 + y^2) \cdot \sqrt{x^2 + y^2}}$$

Es kann der elementaren Theorie des Drehmoments

$$\frac{\delta}{s} = \frac{\sum x \cdot y}{\sum s^2} \cdot M$$

wo  $\delta$  Drehmoment in Gauss,  $M$  die Momentenänderungen in beiden Richtungen  $x$  und  $y$ , die Drehgeschwindigkeit  $\omega$   $s$  ergibt sich aus (1) und (2).

$$\frac{\delta}{s} = \frac{\sum x \cdot y}{H \sum s^2 \cdot \omega^2 - \sum x \cdot y \cdot \omega} = \frac{M}{H}$$

Die folgenden Tabellen I bis III enthalten die Maßreihen für die drei erwähnten Anordnungen. Die erste Kolonne enthält die Mittelwerte der Abstände  $x$  und  $y$  usw. in verschiedenen  $M$ . Die zweite Kolonne enthält die aus den gemessenen Abständen berechneten Werte der Quotienten

$$\frac{(a b) - (x' y')}{(a x') - (b y')}$$

in den verschiedenen Ordnungen. Der angegebene Wert  $\frac{\delta}{s}$  ist nach Formel 3) aus den Mittelwerten dieser Quotienten berechnet.

Tabelle I.  $H = 751$  Gauss.

| $\frac{(a x') - (b y')}{2}$ | $\frac{(a b) + (x' y')}{(a x') + (b y')}$ | $\frac{\delta}{s}$     |
|-----------------------------|---|------------------------|
| 0,621                       | 0,198                                     | 1,95 · 10 <sup>7</sup> |
| 0,672                       | 0,189                                     |                        |
| 0,730                       | 0,184                                     |                        |
| 0,828                       | 0,179                                     |                        |
| 0,977                       | 0,176                                     |                        |
| Mittel: 0,185               |   |                        |

Tabelle II.  $H = 2580$  Gauss.

| $\frac{a a' + b b'}{2}$ | $\frac{a b + a' b'}{a a' + b b'}$ | $\frac{\epsilon}{\mu}$ |
|-------------------------|-----------------------------------|------------------------|
| 558                     | 0,645                             | 1,95 · 10 <sup>7</sup> |
| 595                     | 0,629                             |                        |
| 642                     | 0,618                             |                        |
| 703                     | 0,636                             |                        |
| 770                     | 0,649                             |                        |
| 905                     | 0,625                             |                        |
| Mittel: 0,634           |                                   |                        |

Tabelle III.  $H = 6870$  Gauss.

| $\frac{a' a'' + b b' l'}{2}$ | $\frac{a' b + a'' b'}{a' a'' + b b' l'}$ | $\frac{\epsilon}{\mu}$ <sup>1)</sup> |
|------------------------------|--|--------------------------------------|
| 0,467                        | 0,687                                    | 1,93 · 10 <sup>7</sup>               |
| 0,476                        | 0,702                                    |                                      |
| 0,514                        | 0,646                                    |                                      |
| 0,535                        | 0,652                                    |                                      |
| Mittel: 0,672                |  |                                      |

Aus den Tabellen geht folgendes hervor:

Die gefundenen Werte für  $\frac{\epsilon}{\mu}$  stimmen unter sich gut überein.

Sie entsprechen auch einigermaßen den beiden Messungen, die E. GEHRCKE und der Verfasser für diese Linie früher veröffentlicht haben.

Die einzelnen Quotienten der Kolumne 2 stimmen in Tabelle II sehr gut überein, dagegen machen sich in Tabelle I und III größere Abweichungen unter den Werten dieser Quotienten bemerkbar.

Diese Verschiedenheit in der Güte der Messungen bei den drei Aufnahmen erklärt sich dadurch, daß die Einstellung des Fadenkreuzes der Teilmaschine auf den „Schwerpunkt“ einer Linie eine gewisse Willkür bedingt. Ist nämlich die Intensitäts-

<sup>1)</sup> Da bei dieser Aufnahme die Komponenten sich schon einmal überholt haben, ist für die Berechnung von  $\frac{\epsilon}{\mu}$  statt des Mittelwertes des Quotienten 0,672 in Formel 3) der Wert 1,672 einzusetzen.

verteilung aus irgend einem Grunde unsymmetrisch, so wird der „Schwerpunkt“ der Linie von der Expositionsdauer abhängen und somit nicht der wirklichen Lage der betreffenden Linien entsprechen. Dieser Fehler muß bei Abständen der Linien, die groß gegen die Breite derselben sind, nahezu verschwinden. Dies ist auch tatsächlich der Fall, wie es die Messungen der Tabelle zeigen, wo die Abstände der äußeren Komponenten die größtmöglichen bei der hier verwendeten Interferenzplatte sind.

Bei der Aufnahme 1 jedoch sind die Aufspaltungen noch klein, während sie bei der Aufnahme 3 so groß sind, daß sich die Komponenten verschiedener Ordnung wieder nähern. In diesen beiden Fällen muß also die erwähnte Unsicherheit auftreten.

Bei Aufnahme 3 macht dieser Fehler für die Berechnung von  $\frac{\varepsilon}{\mu}$  viel weniger aus als bei Aufnahme 1, da sich hier die Komponenten bereits einmal überholt haben und somit der tatsächliche Abstand der äußeren Komponenten viel größer ist, als der auf der Teilmaschine gemessene Abstand.

### III. Asymmetrie.

Die Aufnahme 2 wurde auf etwa auftretende Asymmetrie eingehender untersucht. Die Betrachtung der Fig. 2 zeigt ohne weiteres, daß jedenfalls keine beträchtliche Asymmetrie vorhanden ist. Immerhin ergibt sich bei der Ausmessung, daß die Abstände zwischen der mittleren Komponente und den beiden äußeren nicht vollkommen gleich sind, wie das auch in früheren Aufnahmen mehrfach beobachtet wurde.

Wie oben erwähnt, wurde bei diesen Versuchen die Trennung der mittleren und äußeren Komponenten durch ein vor der photographischen Platte angebrachtes Wollastonprisma erreicht. Das Prisma wurde vor Beginn der Aufnahme bei ausgeschalteter Elektromagnet so eingestellt, daß bei okularer Betrachtung die Interferenzstreifen der beiden durch das Wollastonprisma entstehenden Bilder möglichst genau in einer Vertikalen lagen.

Um nun festzustellen, wieweit dies erreicht war, wurde direkt vor der Aufnahme eine Photographie der Erscheinung ohne Verwendung des Prismas hergestellt. Eine Ausmessung dieser Platte ergab, daß doch noch eine geringe Verschiebung der beiden Interferenzstreifensysteme

len war, die daher kam, daß die Justierung des WOLLANEN Prismas einen kleinen Fehler hatte. Dieser Fehler in den verschiedenen Ordnungen gemessen und das Mittel aus den gefundenen Werten in den Messungen der Aufnahme 2 rektur angebracht.

Tabelle IV.

| $dl_1$<br>der äußeren<br>Komponente<br>gemessen) | $dl_2$<br>Abstand der äußeren<br>Komponente m. größerer<br>Wellenlänge von der<br>mittleren Komponente<br>(direkt gemessen) | $dl_1$           | $dl_2$ |
|--|---|------------------|--------|
| Korrigiert mit 0,015                             |   |                  |        |
| 0,179 <sup>1)</sup>                              | 0,163   | 0,164            | 0,178  |
| 0,209  | 0,169   | 0,184            | 0,184  |
| 0,209  | 0,162   | 0,184            | 0,177  |
| 0,231  | 0,193   | 0,216            | 0,208  |
| 0,255  | 0,215   | 0,240            | 0,230  |
| 0,288  | 0,243   | 0,273            | 0,258  |
| 0,305  | 0,295   | 0,290            | 0,280  |
| 0,239  | 0,206   | Mittel: 0,222    | 0,216  |
| Differenz: 0,033                                 |   | Differenz: 0,006 |        |

ergaben sich dann, wie die Tabelle IV zeigt, die Aufgen nach den beiden Seiten im Mittel innerhalb 3 Proz.

Berücksichtigt man, daß die gesamte Wellenlängenanz der äußeren Komponenten in diesem Fall rund  $0,006 \mu\mu$  so ist ersichtlich, daß bei den hier gewählten Versuchsungen von einer Asymmetrie keine Rede sein kann.

ist hiermit natürlich noch nicht erwiesen, daß bei derie 491 überhaupt keine Asymmetrie auftreten kann. Esenkbar, daß bei Verwendung breiterer Linien, d. h. bei n Dampfdruck, solche Asymmetrien auftreten, worauf auch) in einer neueren Abhandlung hingewiesen hat.

Die Zahlen geben die gemessenen Abstände in willkürlichem Maß. VOIGT, Phys. ZS. 9, 120, 1908.

Physikalisch-Technische Reichsanstalt, März 1908.

***Elektrische Kraftfelder in nächster Umgebung von  
Antennen;***

**von C. Fischer.**

(Mitteilung aus dem Kaiserlichen Telegraphenversuchsamte.)

(Vorgetragen in der Sitzung vom 15. Mai 1906.)

(Vgl. oben S. 355.)

Kürzlich wurde in der Physikalischen Zeitschrift eine einfache Methode zur Darstellung elektrischer Kraftfelder veröffentlicht<sup>1)</sup>.

Das Wesentliche an dieser Methode möge hier an einem Beispiel kurz noch einmal angegeben werden. Die beiden Stan-

Fig. 1.



streifen auf der Glasplatte (Fig. 1) sollen den Querschnitt Plattenkondensators darstellen. Werden dieselben elektrisch laden und streut man auf die Platte Gipskristalle, so ordnen sich dieselben in der Richtung der Kraftlinien, ebenso wie Eisenfeilspäne im magnetischen Felde. Die Gipskristalle w-

<sup>1)</sup> C. FISCHER, Phys. ZS. 9, 221—222, 1908.

dem sogenannten Marienglas durch Zerkleinerung im Mörser  
 an. Durch Aussieben wird dann eine passende Korngröße  
 t. Zu bemerken ist dabei, daß zu kleine staubförmige Teil-  
 bei dem Versuche störend wirken. Man kann sie durch  
 Haarsieb entfernen. Diese Methode ermöglicht es, das Kraft-  
 jedes beliebigen elektrostatischen Apparates anschaulich zu  
 en. In quantitativer  
 cht sind dabei zwei  
 te von Bedeutung.

Erstens ist es selbstver-  
 lich, daß die Ladungs-  
 lung auf den Stanniol-  
 ungen nicht identisch  
 it derjenigen der ent-  
 ehenden körperlichen  
 r. Dadurch wird im  
 meinen auch das Feld  
 etwas verschiedene Ge-  
 haben.

Zweitens muß auf einen  
 schied von den be-  
 en magnetischen Kraft-  
 n hingewiesen werden.  
 finden wir die größte  
 e der Eisenfeilspäne

stellen, wo die Feldintensität am größten ist. Hier laden  
 die Gipsteilchen an dem Leiter und werden deshalb aus  
 en Feldern herausgeschleudert, um sich an Stellen, wo das  
 besonders schwach ist, anzusammeln. Man kann dies jedoch  
 ermaßen verhüten, indem man die Leiter mit einer Schellack-  
 ht überzieht, wodurch eine Ladung der Teilchen ausge-  
 ssen wird.

An Hand dieser Methode habe ich nun einige Felder unter-  
 , die mir von einigem Interesse zu sein scheinen, die elek-  
 Kraftfelder der Antennen in der drahtlosen Telegraphie.  
 Methode erlaubt es natürlich nicht, elektrische Wechselfelder  
 eigen; wir müssen uns mit dem Felde in nächster Umgebung  
 Antennen begnügen, wo das Abschnüren der Kraftlinien noch

Fig. 2.





nicht in Betracht kommt. Auch das Feld eines freien Luftdrahtes zu demonstrieren hat seine Schwierigkeit, weil die sinusförmige Spannungsverteilung auf einem solchen schwer nachzuahmen sein

Fig. 3.

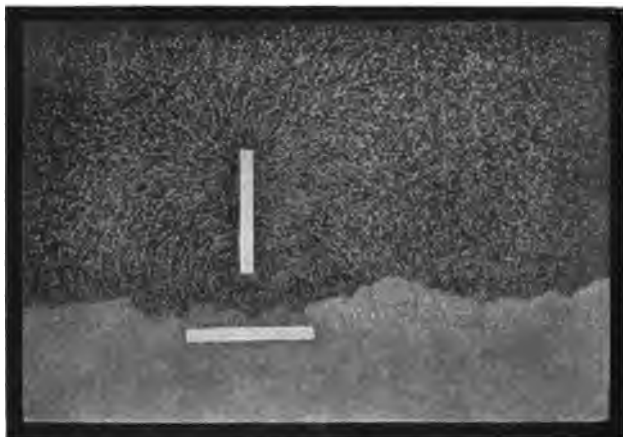


Fig. 4.



dürfte. Da aber die Antennen im allgemeinen möglichst einem HERTZschen Sender entsprechend gebaut werden, d. h. da denselben in der Regel eine verhältnismäßig hohe Kapazität gegeben wird, so kann man auf ihnen in einem bestimmten Zeitmoment

eine annähernd gleiche Spannungsverteilung annehmen. Wir können daher in unserer Darstellung ohne allzu großen Fehler

Fig. 5 a.

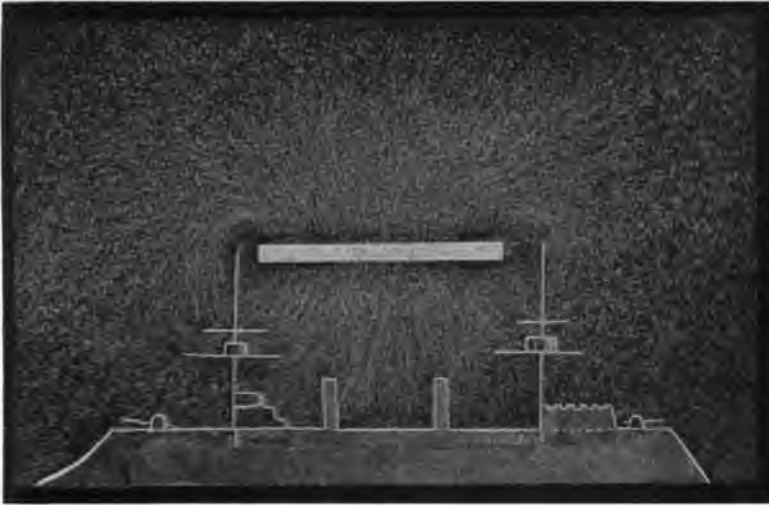
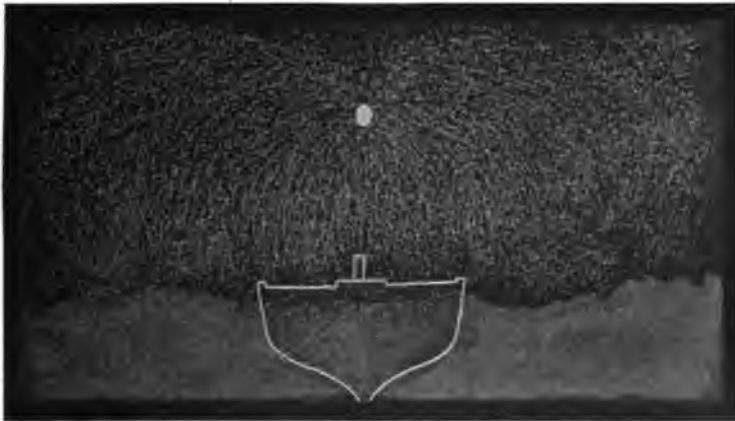


Fig. 5 b.



die Antennen durch elektrostatisch geladene Stanniolstreifen nachbilden. Da ferner das Hauptfeld jedes Oszillators sich immer zwischen den beiden Kondensatorbelegungen befindet, so kann in

dieser Darstellung die Funkenstrecke ( $F$ ) samt Zuführung (durch Punkte markiert) zur Antenne weggelassen werden.

Unter diesen Voraussetzungen zeigt Fig. 1 das Feld eines geschlossenen Schwingungskreises, Fig. 2 dasjenige eines Hertz'schen Oszillators. Systeme der ersten Art strahlen bekanntlich fast gar nicht, Systeme der zweiten Art geben die größtmögliche Strahlung.

Denkt man sich das offene System (Fig. 2) durch Aufbruch des geschlossenen Systems (Fig. 1) entstehend, so wird dabei das Gebilde immer strahlungsfähiger. Diese Überlegung gibt uns ein Mittel an die Hand, aus dem Kraftlinienverlauf in der Umgebung einer Antenne Schlüsse auf die Zweckmäßigkeit ihrer Anlage zu ziehen.

In den folgenden Abbildungen sind die Leiter durch Stäbe oder Draht, die Halbleiter durch Papier versinnbildlicht.

Fig. 3 zeigt das Feld einer Vertikalantenne mit Erdverbindung. Ein Drahtnetz ist im Grundwasser parallel der Erdoberfläche als Gegengewicht ausgebreitet.

Fig. 4 gibt eine Anschauung von dem Felde einer Schwingungsantenne; Fig. 5 zeigt das Feld einer T-Antenne, wie solche auf Schiffen (a von der Seite, b von vorn gesehen) Verwendung finden. Bei beiden Formen zeigt sich unter anderem, daß das stärkste Feld sich zwischen der Antenne und dem Gegengewicht befindet und daß das übrige Kraftfeld, das für die Strahlung hauptsächlich in Betracht kommt, bedeutend schwächer ist.

Diese Beispiele mögen genügen, um zu zeigen, einerseits, welchen Grenzen der Genauigkeit die Methode arbeitet, andererseits, wie die Anschauung von elektrostatischen Kraftfeldern ein Urteil über die Anlage einer Antenne erlaubt.

**Über die magnetischen Eigenschaften  
von Herrn Dr. Kreuzler hergestellten Probe  
reinen Eisens;  
von E. Gumlich.**

(Vorgetragen in der Sitzung vom 15. Mai 1908.)

(Vgl. oben S. 355.)

Herr Dr. KREUSLER hatte die Freundlichkeit, mir von dem reinen Eisen, über welches er kürzlich in der Deutschen Physikalischen Gesellschaft berichtete (vgl. diese Verhandl. 10, 350, 1908), eine kleine Probe zur magnetischen Untersuchung zu überlassen. Dieselbe war in der von ihm geschilderten Weise gereinigt bzw. so weit gereinigt worden, daß die möglichen Verunreinigungen (abgesehen von den Gasen) nur noch wenige Hundstel Prozent betragen haben können. Das in Stäbchenform vorliegende, sonst reine, aber noch stark wasserstoffhaltige Material wurde von Herrn KREUSLER im Vakuum durch den Lichtbogen gereinigt, die abtropfenden Kügelchen wurden auf Quecksilber abgelenkt und zu Draht ausgezogen; der Draht wurde in eine Schmelzform eingeschmolzen und mittels Stromdurchganges auf 1000°C erhitzt.

Die Schwierigkeit der magnetischen Messung beruhte lediglich auf den sehr geringen Dimensionen der Probe, die nur wenige Milligramm wog<sup>1)</sup>; hieraus und aus der Länge des Drähtchens (ca. 1 cm) berechnet sich unter Annahme eines spezifischen Gewichtes von 7,9 der Durchmesser zu 0,0904 mm, der Querschnitt zu 0,00642 qmm; letzterer betrug also weniger als den vierhundertsten Teil der in der Reichsanstalt gewöhnlich untersuchten Eisenstäbe.

Eine Messung mittels des Magnetometers erschien unter diesen Umständen von vornherein aussichtslos, dagegen gelang die Untersuchung mittels des ballistischen Galvanometers ganz

<sup>1)</sup> Für die Ausführung der Wägung bin ich Herrn Prof. Dr. SCHEEL dankbar verpflichtet.

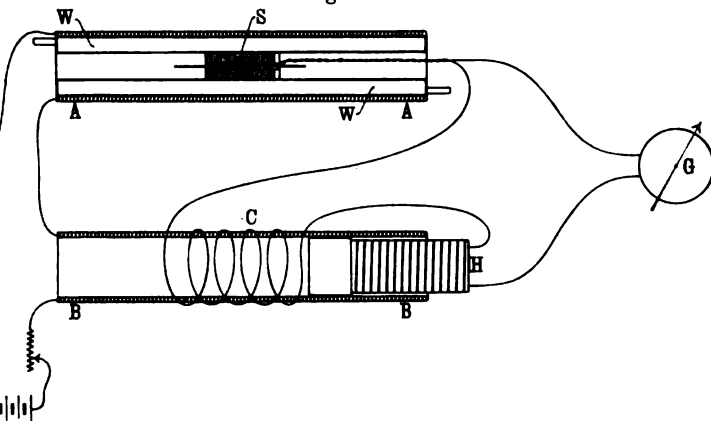
befriedigend. Von der Verwendung eines Jochs wurde abgesehen, da sich erfahrungsgemäß bei einem derartig geringen Kraftlinienfluß Nachwirkungserscheinungen, die vom Joch herrühren, störend bemerkbar machen und die Messung direkt fälschen können. Es wurde daher eine 70 cm lange, offene Magnetisierungsspule in Verbindung mit einer Sekundärspule von etwa 1000 Windungen gewählt, welche letztere auf ein geschlitztes Messingrohr von weniger als 2 mm lichter Weite gewickelt war; in das Messingrohr wurde ein fein ausgezogenes Glasröhrchen gebracht, welches das Drähtchen enthielt.

Die ballistische Methode beruht bekanntlich darauf, daß die sprungweiser Änderung des magnetisierenden Stromes in der Primärspule ein Induktionsstoß in der Sekundärspule hervorgerufen wird; aus dem Ausschlag des mit der letzteren verbundenen geeichten ballistischen Galvanometers kann man dann die Summe der die Probe durchsetzenden Induktionslinien und die der Sekundärspule außerhalb der Probe durchsetzenden Induktionslinien des Feldes ermitteln. Für gewöhnlich, wo man es mit einem relativ dicken Stab und einer eng darum gewickelten Sekundärspule von wenig Windungen zu tun hat, überwiegt die Anzahl der durch das Eisen verlaufenden Induktionslinien weitaus, und die vom Feld der Magnetisierungsspule herrührenden Kraftlinien erfordern eine kleine, vielfach ganz zu vernachlässigende Korrektur. In vorliegendem Falle tritt jedoch das Umgekehrte ein.

Während beispielsweise die Induktion im Draht allein bei einem Sprunge von  $\mathfrak{H} = 30$  bis  $\mathfrak{H} = 140$  einen Ausschlag des Galvanometers von nur 1,4 Skalenteilen hervorbrachte, während die vom Felde allein herrührenden Kraftlinien einen solchen von rund 1500 Skalenteilen, also mehr als das Tausendfache, hervorbringen haben. Eine Messung war also nur möglich, wenn es gelang, die Wirkung der Kraftlinien allein auf das Galvanometer möglicherweise vollständig zu kompensieren und diese Kompensation auch während der Messung unverändert zu erhalten, denn schon eine geringe Temperaturänderung der Sekundärspule mußte nicht nur den Widerstand, sondern auch die Windungsfläche derartig verändern, daß der hiervon herrührende Galvanometerausschlag bei hohen Feldstärken von der Größenordnung der zu messenden Ausströmung wurde. Es gelang dies einigermaßen auf folgende Weise:

Man benutzte zwei hintereinander geschaltete, aber weit voneinander abstehende Magnetisierungsspulen *A* und *B*, von welchen die eigentliche Sekundärspule *S* aufnahm, während um die zweite Spule so viel Windungen einer dicken und stark umwickelten Kupferlitze *C* gelegt wurden, daß bei Gegeneinandersetzung dieser beiden Sekundärspulen das Galvanometer beim Umpolieren des Stromes in den Magnetisierungsspulen nur einen sehr geringen Ausschlag gab. Die genaue Kompensation erfolgte dann mittels einer in den Sekundärkreis geschalteten, mehr oder weniger tief in die zweite Magnetisierungsspule

Fig. 1.



geschobenen Hilfsspule *H* aus dickem Draht. Auf diese Weise konnte man, daß der Widerstand der eigentlichen Sekundärspule (etwa  $40 \Omega$ ) durch die Kompensationsvorrichtung nicht merklich vermehrt wurde und die Empfindlichkeit des Galvanometers *G* nahezu vollständig ausgenutzt werden konnte. Zwischen der Sekundär- und Sekundärspule von *A* war eine doppelwandige Röhre mit Wasserzirkulation eingeführt worden, um den Einfluß der Erwärmung auf die Sekundärspule zu beseitigen. Da eine solche Vorrichtung auch für die Kompensationsspule zur Verfügung stand, konnten die Messungen namentlich bei den höheren Feldstärken rasch durchgeführt werden, denn jeder länger dauernde Stromschluß machte sich durch Änderung des entsprechenden Ausschlages bemerklich.

Es wurde nun, allerdings mit ziemlich großen Sprüngen, eine Nullkurve und eine Hystereseschleife aufgenommen. Da hier jedem Skalenteil Ausschlag eine Induktion von rund 1630 entsprach, so mußte mit den Zehntel-Skalenteilen sehr genau gerechnet werden. Trotzdem ergab sich wider Erwarten ein vollständig glatter Kurvenverlauf, und auch bei zwei Hystereseschleifen von verschieden hoher Induktion ließ die Übereinstimmung wenig zu wünschen übrig. Immerhin mußten die absoluten Beträge der gefundenen Werte noch verschiedene Korrekturen erfahren.

Zwar konnte bei dem sehr günstigen Dimensionsverhältnis des Drähtchens ( $\frac{l}{d} = 1650$ ) von einer Berücksichtigung der entmagnetisierenden Wirkung der Enden abgesehen werden, doch ließ sich durch vergleichende Rechnung für ein entsprechend dimensioniertes Ellipsoid feststellen ließ, dagegen mußte der Einfluß der relativ großen Länge und Dicke der Sekundärspule bestimmt und in Rechnung gezogen werden. Da nämlich die Enden des Drahtes beiderseits nur 3 cm aus der Sekundärspule herausragten, war anzunehmen, daß eine Anzahl von Induktionslinien nur einen Teil der Spulenwindungen durchsetzte, während bei einem langen Draht die sämtlichen Windungen durchsetzt worden wären; der gemessene Galvanometerausschlag mußte also um einen gewissen Betrag zu klein sein. Um diesen zu ermitteln, wurde der Ausschlag des Galvanometers beim Kommutieren eines Magnetisierungsstromes von bestimmter Stärke gemessen: einmal, wenn ein gewöhnlicher Eisendraht von 0,1 mm Durchmesser und 50 cm Länge die Sekundärspule durchsetzte, sodann aber, wenn derselbe Draht auf 14,5 cm verkürzt war; die Differenz der Ausschläge in dem erwähnten Sinne betrug etwa 1 Proz.

Weiter mußte angenommen werden, daß bei der großen Dicke der Sekundärspule ein Teil der durch den Draht gegangenen Induktionslinien auf dem Rückweg ebenfalls durch den Draht gehen und so die Wirkung des Induktionsstoßes, also die Größe des Galvanometerauschlages, verringern würde. Um die Größe dieser Fehlerquelle festzustellen, wurde ein etwa 1,3 mm dicker, 40 cm langer Eisendraht einmal in die bisher verwendeten dicken Sekundärspule, dann aber mit einem sehr dünnen, direkt auf die Mitte des Stabes gewickelten Spulen-

sucht; die Differenz der Ausschläge betrug hierbei etwa 2,6 Proz. Es mußten also die gefundenen Werte für die Induktion dem untersuchten Drähtchen insgesamt um etwa 2,6 Proz. korrigiert werden. Nach Anbringung dieser Korrektur dürfte sich die absolute Genauigkeit der Messungen etwa innerhalb von 2 Proz. halten.

Die Werte der folgenden Tabelle geben einen Überblick über den Verlauf der Nullkurve und der Hystereseschleife. Die Messungen zeigen, daß wider Erwarten die magnetischen Eigenschaften des reinsten Eisens keineswegs gut sind, denn die Permeabilität ist durchweg relativ gering, die Koerzitivkraft und somit der Hystereseverlust ziemlich beträchtlich. Zum Vergleich sind in der Tabelle die entsprechenden Werte für einen Stab aus demselben künftlichen Dynamostahl beigefügt, welcher bedeu-

| Draht aus reinem Eisen   |                  |       | Geglühter Stab aus Dynamostahl |                  |        |
|--------------------------|------------------|-------|--------------------------------|------------------|--------|
| ϕ                        | B                | μ     | ϕ                              | B                | μ      |
| 0,5                      | 220              | 440   | 0,5                            | 7 100            | 14 200 |
| 1                        | 450              | 450   | 1                              | 10 200           | 10 200 |
| 2                        | 1 150            | 580   | 2                              | 12 730           | 6 370  |
| 4                        | 9 050            | 2 260 | 4                              | 14 620           | 3 660  |
| 10                       | 13 050           | 1 310 | 10                             | 15 630           | 1 570  |
| 50                       | 15 720           | 310   | 50                             | 17 100           | 340    |
| 100                      | 16 850           | 170   | 100                            | 18 280           | 180    |
| 138                      | 17 370           | 120   | 138                            | 18 930           | 130    |
| 50                       | 16 050           | —     | 50                             | 17 140           | —      |
| 5                        | 13 970           | —     | 5                              | 15 500           | —      |
| 2                        | 13 250           | —     | 2                              | 14 830           | —      |
| 0                        | 12 250           | —     | 0                              | 11 050           | —      |
| 0,37                     | 11 800           | —     | — 0,37                         | 0                | —      |
| 0,5                      | 11 600           | —     | — 0,5                          | 6 200            | —      |
| 2,58                     | 0                | —     | — 2,58                         | 13 470           | —      |
| 5                        | 9 650            | —     | — 5                            | 15 000           | —      |
| 10                       | 13 050           | —     | — 10                           | 15 680           | —      |
| 50                       | 15 720           | —     | — 50                           | 17 100           | —      |
| 100                      | 16 850           | —     | — 100                          | 18 280           | —      |
| 138                      | 17 370           | —     | — 138                          | 18 930           | —      |
| Koerzitivkraft . . . . . | 2,5 <sub>8</sub> |       | Koerzitivkraft . . . . .       | 0,3 <sub>7</sub> |        |
| Remanenz . . . . .       | 12 250           |       | Remanenz . . . . .             | 11 050           |        |
| Energievergeudung .      | 20 100 Erg       |       | Energievergeudung .            | 3 760 Erg        |        |



zweite Beimengungen enthält — etwa 0,4 Proz. Mn, 0,04 Proz. Ni, 0,4 Proz. P, 0,13 Proz. S, 0,13 Proz. Cu —, aber doch die reichere zehnteilige Feinsäure in der Reichsanstalt verbessert werden könnte, als er in magnetischer Beziehung das beste bisher bekannte Material weitaus übertrifft).

Wahr die reiner schätzen magnetischen Eigenschaften dem KREUSLER'schen Material rühren, muß dahingestellt bleiben. Es scheint mir ausgeschlossen, daß von der vorausgesetzten Feinsäure mit Wasserstoff ein Teil dieses in magnetischer Beziehung so ungemein schätzlichen Gases, dessen gütige Feinsäure herbeizuführen sehr schwierig ist, im Eisen zu gebunden ist. Andererseits könnte auch durch das Ausgehen bei ungenügender hoher Temperatur Herr KREUSLER schätzt die auf etwa 1400° herab eine Verschlechterung der Moleküle zu erwarten sein. Vielleicht werden die in der Reichsanstalt im Laufe befindlichen Untersuchungen über die Stellung und die magnetischen Eigenschaften des reinen Eisens auch über diesen Punkt späterhin Aufschluß geben.

Leider hat sich der Stahl im Verlauf eines Jahres durch Lagerung bei gewöhnlicher Temperatur nicht merklich verschlechtert. Demnach kann er noch die Maximallastbarkeit etwa 11000.

***Geschichte der Magnetisierung von Kompaßnadeln mit Hilfe von natürlichen Magneten;  
von E. Gerland.***

(Vorgelegt in der Sitzung vom 15. Mai 1908.)

(Vgl. oben S. 356.)

In einer früheren Arbeit über den Kompaß bei den Arabern im christlichen Mittelalter war ich zu dem Ergebnis gekommen, daß das Magnetisieren einer Magnetnadel durch Streichen mit einem Magneten zuerst etwa im 14. Jahrhundert und zwar in Deutschland aufgekommen sei<sup>1)</sup>. Demgegenüber hat neuerdings E. WIEDEMANN den Arabern die Urheberschaft dieser Magnetisierungsmethode zugesprochen und als Zeitpunkt ihrer Einführung bereits den Anfang des 13. Jahrhunderts angegeben<sup>2)</sup>. Wenn nun auch der Widerspruch in diesen Ergebnissen nur ein scheinbarer ist, da WIEDEMANN unter Magnetisieren durch Streichen jedes beliebige Reiben des natürlichen Magneten an der Kompaßnadel versteht<sup>3)</sup>, ich aber von dem Gebrauch des Wortes „Streich“ ausgegangen bin, wie man ihn in den physikalischen Lehrbüchern zu finden gewohnt ist, nämlich das regelmäßig abwechselnde Streichen der einen Nadelhälfte mit dem einen Pol des Magneten von der Mitte der Nadel aus zu deren einem Ende und mit dem anderen Magnetpol zu deren anderen Ende, so daß zum Bestreichen einer Nadelhälfte stets nur ein Nordpol oder ein Südpol verwendet wird, so scheint es doch wünschenswert, die Geschichte der Magnetisierungsmethoden einer erneuten Prüfung zu unterwerfen, da sich das damals benutzte Material als erweiterungsfähig erwiesen hat.

<sup>1)</sup> Mitteilungen zur Geschichte der Medizin und der Naturwissenschaften 6, 17, 1906.

<sup>2)</sup> Diese Verhandl. 9, 773, 1907.

<sup>3)</sup> WIEDEMANN (a. a. O., S. 767) setzt ein „Wetzen“ gleichbedeutend mit einem Streichen der Nadel.

Die nunmehr in Betracht zu ziehenden Quellen sind folgenden:

1. Den ältesten Bericht über das Magnetisieren von Kompaßnadeln finden wir in den während der Jahre von 1180 bis 1190 verfaßten Schriften ALEXANDER NECKAMS „De Naturis Rerum“ und „De Utensilibus“. Die dort angegebene Methode besteht darin, daß der Magnetstein über die Nadel gebracht und dann mehrmals im Kreise herumbewegt wird, wobei er die Nadel hin und her zieht, daß er dann plötzlich stille gehalten und dann weggenommen wird. Von Berühren oder Streichen der Nadel mit dem Stein ist in keiner Weise die Rede<sup>1)</sup>.

2. In einer Anekdotensammlung, deren Abfassungszeit nicht angegeben wird, beschreibt der Literat 'Awff in persischer Sprache ein Erlebnis, welches er in das Jahr 1232/1233 setzt, wobei er durch so kräftiges Reiben mit dem Stein magnetisiert wurde, daß der Stein am Eisen eine Spur hinterließ<sup>2)</sup>.

3. Dagegen empfiehlt THOMAS VON CONTIMPRÉS in seinem 1256 verfaßten „Libris de naturis rerum“, zunächst die Spitze der Nadel am Magnetsteine zu reiben und dann den Magneten in der Weise, wie es NECKAM vorschreibt, um die auf dem Wasser schwimmende Nadel heranzuführen<sup>3)</sup>.

4. Ebenso ist die Magnetisierungsmethode, welche PETER DE MARICOURT, genannt PEREGRINUS, in seinem 1269 an seinen Freund DE FOUCAUCOURT geschriebenen Briefe, in welchem er die damaligen Kenntnisse über den Magnetismus zusammengestellt findet, diejenige NECKAMS. Die Nadel schließt PETRUS in eine mit einem Glasdeckel versehene Büchse ein und nähert den Magnetstein dem Deckel so weit, daß sich die Nadel zu ihm hinbewegt.

<sup>1)</sup> G. HELLMANN, Die Anfänge der magnetischen Beobachtungen. Zeitschrift der Gesellschaft für Erdkunde zu Berlin 32, 126, 1897.

<sup>2)</sup> E. WIEDEMANN a. a. O., S. 765.

<sup>3)</sup> STADLER, Mitteilungen zur Geschichte der Medizin und der Naturwissenschaften 6, 121, 1907, gibt die den Magneten betreffende Stelle in dem Cod. lat. Mon. 2655 aus Kloster Aldersbach, S. XIII. Sie findet sich in der Übersetzung in dem 1349 geschriebenen „puoch von der nâtür“ von KONRAD VON MEGENBERG, welche STADLER ebenfalls mitteilt. Eine Übersetzung des Werkes in neuhochdeutscher Sprache hat H. SCHULZ veröffentlicht unter dem Titel „Das Buch der Natur von Conrad von Megenberg“, Greifswald 1897, wo die betreffende Stelle auf S. 373 steht.

Doch spricht er auch davon, „qualiter ferrum tactum magnetate, ad polos mundi vertatur“<sup>1)</sup>).

Ein Erlebnis aus dem Jahre 1242 erzählt wiederum der BAILAK in seiner 1282 verfaßten Schrift „Der Schatz der Erde in der Kenntnis der Steine“, bei welchem die schwimmende Nadel dadurch magnetisiert wurde, daß man den Magnetstein mehrmals vor ihr hin und her bewegte und dann plötzlich abnahm (siehe Seite 2).

Seit den nun folgenden 100 Jahren ist keine weitere Mitteilung über das Magnetisieren von Kompaßnadeln bekannt, denn die nächste ist

in einem Manuskript ZARCHÜRIS' aus dem Jahre 1400 enthalten, welches darlegt, wie man eine Stahlnadel durch Wetzen mit einem indischen Magnetstein magnetisch machen kann<sup>2)</sup>).

Wir werden annehmen dürfen, daß diese Beschreibungen von Magnetisierungsmethoden im 13. und 14. Jahrhundert allgemeiner Natur waren. Dafür spricht bereits die große Ähnlichkeit der Schriften. Die vielfach übereinstimmenden Titel möchten auf eine gemeinsame Quelle, als welche zunächst NECKAMS Werke hienzu hinführen könnten, hinweisen. Indessen mag es dahin gestellt bleiben, ob man die Erzählungen der arabischen Schriftsteller mit den Erlebnissen zur See ebenfalls auf eine gemeinsame Quelle zurückführen darf. Aber wenn man sich dazu auch nicht entschließen wollte, so wird man doch anerkennen müssen, daß die Übereinstimmung der Berichte über die Manipulationen bei der Magnetisierung darauf hinweisen, daß diese und keine anderen Methoden weit verbreitet waren. Sie bestanden hauptsächlich darin, die Nadel mit dem Magnetstein über oder vor der Nadel hin und her zu bewegen und dann plötzlich weggenommen wurde; vielfach wurde die Spitze der Nadel mit dem Steine berührt oder der Stein an ihr gewetzt. Von einem Magnetisieren durch Streichen

---

Der Brief ist 1858 durch GASSER in Augsburg zum erstenmal in Druck gegeben, war aber in Abschriften verbreitet. Seitdem ist er öfters abgedruckt, zuletzt 1898 in HELLMANN'S in Berlin erschienenen Neuausgaben von Schriften und Karten über Meteorologie und Erdmagnetismus, Rara magnetica.

E. WIEDEMANN, Sitzungsber. der Physikalisch-Medizinischen Societät, Band 36, 330, 1904.

Derselbe, diese Verhandl. 9, 766, 1907.

in dem oben geschilderten Sinne ist dagegen keinmal die R. Ehe wir uns zu der Untersuchung wenden, wann und durch diese zweckmäßigere Methode zuerst eingeführt worden ist, daß es von Wichtigkeit sein, die drei berühmten englischen Werke aus dem 16. Jahrhundert darauf hin zu prüfen, ob diese bei der Herstellung ihrer Magnetnadeln die Strichmethode wendeten oder ob sie bei den hergebrachten blieben.

7. Zu diesem Zwecke haben wir zunächst ROBERT NORMAN'S Buch „The newe Attractive“, welches 1581 in London gedruckt wurde und die wenn auch nicht erste Entdeckung der Inklination der Magnetnadel enthält, daraufhin zu prüfen. Obwohl NORMAN ein Geschäft aus der Herstellung von Kompaßnadeln machte, sucht man doch in seinem Werke die Erwähnung einer Magnetisierung durch Streichen vergeblich. Der Hydrographer, wie er sich nennt, magnetisierte seine Nadeln nur durch Berührung (touching) ihrer Spitze mit dem Magnetstein<sup>1)</sup>.

8. Nicht anders verfuhr sein Freund, der Seemann „Comptroller of the navy“ WILLIAM BOROUGH, dessen „Discourse of the Variation<sup>2)</sup> of the Compasse or Magneticall Needle“ in seinem Werke NORMAN'S angefügt ist. Auch er spricht nur von „the needle or wiers of the compas touched with the Magnes or Loadstone“<sup>3)</sup>.

9. Daß dieses noch 1600 die allgemein übliche Methode der Magnetisierung war, ergibt sich auch aus Gilberts berühmtem Werke „De magnetibus“<sup>4)</sup>. Redet er doch da, wo er sich ausführlich über die Herstellung von Magnetnadeln verbreitet, nur von ihrer Verfertigung durch Berührung mit dem Magneten<sup>5)</sup>, wie denn auch für einen Versuch zum Nachweis der Tragkraft „classis secundum artem magnetis tactos“ benutzen will<sup>6)</sup>. Aber

<sup>1)</sup> Neu abgedruckt in HELLMANN, Neudrucke usw., Nr. 10. Rara magnetica. Berlin 1898. The newe Attractive, Chap. I.

<sup>2)</sup> So nannte man damals die Deklination der Magnetnadel, während man unter Deklination die Inklination verstand.

<sup>3)</sup> HELLMANN, Neudrucke usw., Nr. 10. Rara magnetica. Discours of the Variation of the Compasse, Chap. I, auch Preface und Chap. VIII.

<sup>4)</sup> GUILIELMI GILBERTI Colcestrensis, Medici Londinensis, De Magnete Magneticisque Corporibus et de magno magnetis tellure. Physiologiae plurimis et argumentis et experimentis demonstrata. Londini MDC.

<sup>5)</sup> Ebenda, Lib. I, Cap. 6, S. 18.

<sup>6)</sup> Ebenda, Lib. I, Cap. 16, S. 38.

seiner Arbeiten wird er auf eine Methode des Magnetisierens geführt, die der Strichmethode nahe genug kommt. „Cum magnetem“, sagt er<sup>1)</sup>, „excitur magnete, incipe in medio, et ducito eum ad eius finem; in fine continuetur applicatio leuissimo tactu affrictu, aliquo tempore, minuto scilicet horae uno minuto; non iteretur motus à medio ad finem (ut solent) ita convertitur verticitas“. Muß man aus dem „ut solent“ nicht schließen, daß zu GILBERTS Zeit neben der Magnetisierung durch Reiben, deren er selbst sich noch bediente, auch eine solche schwebeloses Reiben, nicht Streichen, im Schwange war?

Wenn es nun nicht zweifelhaft sein kann, daß der Leibarzt William ELISABETH selbständig auf die Magnetisierung durch Reiben gekommen ist, so war er doch nicht der erste, der diese Methode machte, er fand nur etwas, was in Deutschland bereits vorher bekannt und in Übung, aber noch nicht durchgedruckt veröffentlicht war. Zwei an den Herzog ALBRECHT VON MEUSEN im 16. Jahrhundert gerichtete Schriftstücke, die schon im vorigen Jahrhundert bekannt geworden sind, schildern diese Methode bereits mit aller Ausführlichkeit in einer Weise, die die Wichtigkeit auf ihre in Deutschland längst üblich gewordene Anwendung schließen läßt.

Das erste dieser Schriftstücke ist die 1540 von JOACHIM MEUSEN mit dem Beinamen des RHETICUS verfaßte Chorographia<sup>2)</sup>, in der sich die folgende Stelle findet: „Darnach bestrich ich dem Nordkand (eines Magneten) das spitzig tail des Nordkand mit sudkand das ander tail, vnd setz ess auf das Nordkand wie in ainen Sonnencompas, vnd wardt biss ess sich zu bewegen, so zaiget ess mir von stund den aussschlag vnd dass tail findt sich in swd“.

Das zweite ist der Brief, den der erste Entdecker der Elektrizität Georg Hartmann am 4. März 1544 an den Herzog

Guilelmi Gilberti Colcestrensis, Medici Londinensis, De Magnete, Magneticisque Corporibus et de magno magnete tellure. Physiologia nova, et argumentis et experimentis demonstrata. Londoni MDC. Lib. III, S. 150. „Versorium magneticum“ definiert GILBERT als „Ferrum cum magnete excitum“, „Verticitas“ als „Virtus convertens“.

Die Chorographie ist zuerst 1876 von HIPLER in der Zeitschrift für Naturgeschichte und Physik veröffentlicht. Vgl. HELLMANN, Die Anfänge usw.,

ALBRECHT schrieb<sup>1)</sup>. Nachdem er geschildert hat, wie er Art der Pole des Magnetsteines zu bestimmen pflegte, fährt fort: „Dasselbige ist am Magneten das mittägliche Ort, und w man die Gäbele<sup>2)</sup> an dem Züngle in den Compassen dar anstreicht, so laufen dieselbigen Züngle mit dem Gäbele n dem Mittag zu, sondern der Mitternacht zu“.

Kann es nach dem Angeführten nun nicht zweifelhaft daß 1540 die Strichmethode in Deutschland längst bekannt so entsteht die Frage, auf welche Weise sie dies geworden. Auf den Weg zu ihrer Beantwortung weist uns die Erwähnung des Sonnenkompasses in des RHETICUS Chorographie. Die Sonnenkompassse waren horizontale Sonnenuhren, die zur richtigen Orientierung mit einem Kompaß versehen waren. Sie müssen im 15. Jahrhundert bereits in häufiger Verwendung gestanden haben, die Taschenuhren ersetzt haben, wenigstens sind sie in Sammlungen älterer physikalischer Apparate in großer Zahl vertreten und auch im Privatbesitz nicht allzu selten zu finden. In Nürnberg bestand in Nürnberg sogar eine Zunft der Kompaßmacher, die sich mit ihrer Herstellung befaßte. Der älteste Sonnenkompaß von dem man bis jetzt Kenntnis hat, ist von HELLMANN beschrieben und abgebildet<sup>3)</sup>; er stammt aus dem Jahre 1451 und ist wahrscheinlich für Kaiser FRIEDRICH III. verfertigt worden. Die Vergleichung seines magnetischen Teiles mit der von PEREGIUS benutzten Form läßt einen so bedeutenden Fortschritt erkennen, daß eine Zeit eifriger Arbeit nötig gewesen sein muß, um diese Vervollkommnung erreichen zu lassen. Diese Arbeit kann, wie zuerst HELLMANN<sup>4)</sup> aufmerksam gemacht hat, nur von den Nürnberger Kompaßmachern geleistet sein, für deren Tätigkeit frühere keine schriftlichen, aber um so deutlicher die in ihren Apparaten niedergelegten Urkunden sprechen. Sie führten die Hütchen aufhängung auf einer Stahlspitze ein und konnten nur k

<sup>1)</sup> HELLMANN, Neudrucke usw., Nr. 10. Rara magnetica.

<sup>2)</sup> Die Kompaßnadeln (das Züngle) endeten auf der einen Seite in eine Gabel, auf der anderen in eine Pfeilspitze und wurden so magnetisiert, daß diese nach Norden wies.

<sup>3)</sup> HELLMANN, Meteorologische Zeitschr. 23, 146, 1900. Vgl. WOLKENHAUER, Mitteilungen der Geographischen Gesellschaft in München S. 187 ff.

<sup>4)</sup> HELLMANN, Anfänge usw., S. 114. WOLKENHAUER a. a. O., S.

auernd magnetisierte Nadeln, also solche von Stahl, ver-  
n.  
s kann nicht zweifelhaft sein, daß sich die Strichmethode  
n geschilderten älteren Methoden entwickelt hat. Aber auch  
die Bedeutung dieser kann, wie mir scheint, kaum ein Zweifel  
n. Schon ARISTOTELES schreibt dem Milesier THALKS die  
nt zu, daß der Magnet ein beseeltes Wesen sei, das die ihm  
ohnende Kraft auf das Eisen übertragen könne. Diese An-  
ng finden wir ebenso bei den Chinesen, wo sich am Anfange  
Jahrhunderts n. Chr. der Schriftsteller KUOPHO dahin  
richt, daß die magnetische Kraft wie ein Windhauch sei,  
er den Magnet und das Eisen geheimnisvoll durchwehe und  
chnell sich mitteile<sup>1)</sup>; aber auch NORMAN und GILBERT  
sie noch nicht überwunden. „But Yron“, sagt der erstere<sup>2)</sup>,  
ng a certain Affinity or natural Quality agreeable to the  
doth aptly and freely receive his Virtue, and as a Subject,  
eth his vital Spirit of the Stone to impress, and rest quietly  
massive and solid Body“, und in des letzteren Buch „De  
ete“ lautet die Überschrift des 12. Kapitels des 5. Buches<sup>3)</sup>:  
magnetica animata est, aut animam imitatur; quae humanam  
am, dum organico corpori alligatur, in multo superat“. Von  
Anschauung aus ist es sofort erklärlich, wie man sich die  
etisierung des Eisens durch Annäherung des Magnetsteins  
dessen Hin- und Herbewegung in seiner Nähe, durch Be-  
ng oder Reibung der Nadel mit dem Stein dachte und so  
nt auch die Vorschrift 'AWFis, daß der Stein am Eisen so  
g gerieben werden müsse, daß er daran eine Spur hinter-  
während man bei der größeren Härte der Nadel das Ent-  
gesetzte vermuten sollte, ihre wohlberechtigte Bedeutung.  
Den Zweck der Bewegung des Steines vor oder über der  
mmenden Nadel, bei der offenbar der Reibungswiderstand  
auf einer Spitze schwebenden wegfällt, wird man dem-  
in dem Bestreben sehen müssen, der Nadel dadurch

<sup>1)</sup> KLAPROTH, Lettre à M. A. DE HUMBOLDT, 1834, S. 125. HUMBOLDT,  
os, Bd. I. Stuttgart und Tübingen 1845, S. 435.

<sup>2)</sup> NORMAN, The Newe Attractive, Chap. I. HELLMANN, Neudrucke,  
0, Stück 8, S. 5.

<sup>3)</sup> GILBERT, De Magnete, S. 208.



Magnetismus zu verleihen oder den noch vorhandenen zu verstärken. Da man die Pole des Magnetsteines kannte — ausführliche Bestimmungsmethoden finden wir ja bereits beim PEREGRINUS —, so gewährte sie auch den Vorteil, die Art der Pole der Nadel bestimmen zu lassen, ihre Wirksamkeit beruht aber auf Magnetoinduktion, die den Nadeln ja auch länger Zeit andauernden Magnetismus mitteilen konnte. Trotzdem ist es nicht wahrscheinlich, daß die Nadeln aus Stahl bestanden. Sicher besaßen zwar die Araber, wie die Abendländer zu der Zeit, in der sie sich des Kompasses zu bedienen anfingen, solchen, ob sie aber damals bereits Nadeln aus reinem Stahl herstellen konnten, ist mindestens unwahrscheinlich. Die oben angezogenen Berichte unserer englischen Gewährsmänner sprechen eher dagegen, als dafür. Da BOROUGH von der „Nadel oder Drähten“ spricht, so müßte man zu seiner Zeit bereits Stahldraht haben herstellen können. Dagegen spricht freilich die große Unklarheit, in der sich noch GILBERT über das für Kompaßnadeln sich am besten eignende Material befindet: Er unterscheidet<sup>1)</sup> zwischen *ferrum conflatum*, *ferrum longum* und *ferrum excoctum*, gibt aber nur die Herstellungsart des ersten an. Dem magnetischen Eigenschaften nach würde man die beiden ersten Sorten als stahlhaltiges Schmiedeeisen, die letzte als Stahl anzusehen haben. „*Ferrum conflatum*“, sagt er, „*non excitum magnete, ferrum trahit*“, und weiter: „*Ferrum longum disponit se etiam non excitum magnete, in Boream et meridiem*“, aber „*Ferrum excoctum habet in se Boreales et Australes partes certas*“. Da meist schwach magnetische „*Ferrum longum*“ wird nun, wie es ausdrücklich mitteilt, zur Herstellung der Kompaßnadeln benutzt. War nun GILBERT trotz seiner eingehenden Kenntnis der arabischen Literatur noch so wenig klar über die verschiedenen Eisensorten, wie sollten es die Araber in so viel höherem Maße gewesen sein?

Faßt man nun das gesamte im obigen zusammengestellte Material zusammen und sucht nach der in den exakten Naturwissenschaften üblichen Art die Hypothese auf, welche die Entwicklung der Magnetisierungsmethode im Laufe der Zeiten widerspruchlos und demnach mit großer Wahrscheinlichkeit dar-

<sup>1)</sup> GILBERT, De magnete, Lib. I, Cap. 11, 12 u. 13, S. 29 ff.

in imstande ist, so ergibt sich, daß man bis zu Zeiten  
ers die Kompaßnadeln aus wohl stahlhaltigem Eisen her-  
und durch Induktion, Berührung der Nadelspitze oder  
des Reiben der Nadel mit dem Magnetstein magnetisch  
während seit dem 13. Jahrhundert deutsche Handwerker  
und mehr dazu gelangten, immer bessere Stahlnadeln zu  
den und diese durch regelrechtes Streichen kräftig und  
d zu magnetisieren, ein Ergebnis, welches mit dem von  
her erhaltenen in Übereinstimmung ist.

---

***Eine vereinfachte Drudesche Anordnung zur  
Demonstration gekoppelter Systeme;***

**von F. Kiebitz.**

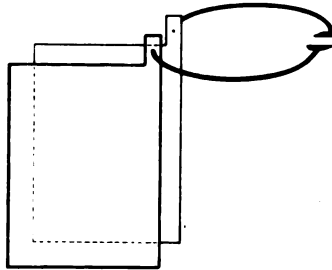
(Mitteilung aus dem Kaiserlichen Telegraphen-Versuchsamt.)

(Vorgetragen in der Sitzung vom 15. Mai 1908.)

(Vgl. oben S. 355.)

Von DRUDE ist eine Anordnung zur Demonstration der Gänge in gekoppelten Systemen für Vorlesungszwecke zusammengestellt worden. Dieses Instrumentarium dient als Modell drahtlose Telegraphie, ist aber in der Literatur leider nicht beschrieben worden. Die hier beschriebene Anordnung ist in allen prinzipiellen Einzelheiten eine Nachbildung jenes Instrumentariums dar; es unterscheidet sich von ihm durch

Fig. 1.



kleinere Ausführung zugunsten der Handlichkeit; als Indikator kann man ein thermoelektrisches Element benutzen und ist dann imstande, die Amplitude eines empfindlichen Galvanometers noch über 20 m Entfernung die Ausbreitung der Wellen zu messen. Die Anordnung dieser Form dient die Anordnung zum quantitativen Studium gekoppelter funkentelegraphischer Systeme

und Empfangsvorrichtungen in kleinen Verhältnissen. Für Demonstrationszwecke genügt es, das Vorhandensein der Schwingungen an dem Leuchten einer Heliumröhre zu zeigen; doch muß sich dann auf  $1\frac{1}{2}$  m Abstand beschränken.

Das Sendesystem besteht aus einem geschlossenen Primärkreis (Fig. 1) und dem offenen Sekundärkreis (Fig. 2). Der Primärkreis enthält einen variablen Kondensator (mit einer feststehenden 11 cm breiten und 18 cm langen Aluminiumplatte und ebenso großen parallelen mikrometrisch verschiebbaren Platte über einem Petroleumbad), sowie einen Schließungskreis (von einem Radius aus 4 mm dickem Kupferdraht), in dem eine Funke

zwischen Zinkpolen angebracht ist. Diese Funkenstrecke speist mit einem kleinen Induktorium oder, wenn es auf eine regelmäßige Wirkung ankommt, mit einem geeigneten Transformator, der in diesem Falle, wo es sich darum handelt, einen Kondensator von etwa 100 cm Kapazität zu laden, zweckmäßigerweise einen Primärkondensator von etwa 0,02 Mikروفarad genützt.

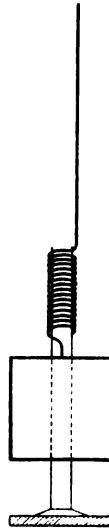
Der offene Kreis (Fig. 2) besteht aus einer Spule von mehreren Windungen aus dick isoliertem 3 mm dickem Kupferdraht, deren oberes Ende in eine blanke 1 m lange Antenne übergeht, während das andere Spulenende als Gegenantenne eine quadratische Zinkplatte von 20 cm Seitenlänge trägt. Das Ganze wird von einem 50 cm hohen, dicken Standzylinder gehalten, der auf eine Holzplatte aufgeklittet ist.

Wenn man Funken springen, so leuchtet eine Heliumröhre in der Gegenantenne noch bei 10 cm Zwischenraum zwischen Primär- und Sekundärkreis, wenn der Sender auf Resonanz eingestellt wird. Diese Resonanz nimmt man zweckmäßigerweise bei möglicherweise schwacher Erregung des Sekundärkreises vor. Wenn man der Gegenantenne die Hand nähert, verschwindet das Leuchten so stark, daß das Leuchten verschwindet. Stellt man den offenen Kreis wieder in den geschlossenen, so kommt eine Heliumröhre an allen Stellen zum lebhaften Leuchten, außer in der Mitte der Spule, wo der Strombauch liegt.

Das Feld des offenen Kreises kann man nun untersuchen in einem kongruenten System (Fig. 2). Dieses kommt noch in  $1\frac{1}{2}$  m Entfernung so stark zum Mitschwingen, daß es eine Heliumröhre zum Leuchten bringt. Daß es sich dabei um Resonanz handelt, läßt sich zeigen, indem man durch Annäherung der Hand an die Antenne des Senders oder des Empfängers das Leuchten wieder verschwinden bringt.

Wenn man im Sender nunmehr die Spule des offenen Kreises in den Schließungsbogen des geschlossenen hineinstellt, die stärkste Koppelung herstellt, so spricht der Empfänger in der halben Entfernung nicht mehr an.

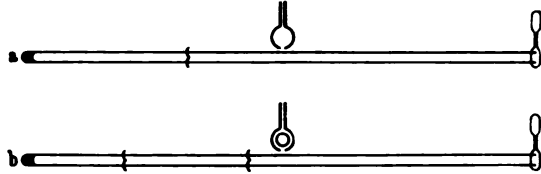
Fig. 2.



Der Grund hierfür liegt in dem Auftreten von zwei Koppelungswellen. Man kann sie in folgender Weise demonstrieren. Neben dem Primärkreis werden zwei parallele 1 mm dicke Kupferdrähte von 4 m Länge ausgespannt, an einem Ende sind sie isoliert und werden dort von einer Heliumröhre berührt. Am anderen Ende werden sie durch einen verschiebbaren Metallbügel geschlossen. Der Abstand zwischen Bügel und Röhre gibt ungenau eine Viertelwellenlänge an. Man mißt mit dieser Vorrichtung, indem man den Bügel verschiebt, bis die Röhre leuchtet, für den geschlossenen Kreis allein  $\frac{\lambda}{4} = 275 \text{ cm}$  (Fig. 3 a), für das gekoppelte System  $\frac{\lambda_1}{4} = 225 \text{ cm}$ ,  $\frac{\lambda_2}{4} = 325 \text{ cm}$  (Fig. 3 b).

Um die Koppelungswellen im Empfänger aufzunehmen, kann man entweder einen offenen Kreis benutzen, der auf eine der beiden Wellen

Fig. 3.



gestimmt ist, oder man koppelt einen offenen Kreis (Fig. 2) mit einem geschlossenen, sich von dem geschlossenen Sendekreis nur dadurch unterscheidet, daß der Schließungskreis keine Funkenstrecke enthält und kein Kondensator keine Ölfüllung.

Die Heliumröhre leuchtet alsdann wieder, das Leuchten schwandet aber, sobald man einen offenen Kreis durch Annäherung der Hand an die Gegenantenne verstimmt oder einen geschlossenen durch Änderung des Plattenabstandes, oder wenn man im Sender oder Empfänger die Koppelung ändert.

Es ist also notwendig, wenn man im funkentelegraphischen Sender so starke Koppelung verwendet, daß zwei Wellen auftreten, und wenn man beide Wellen empfangen will, zwei offene und zwei geschlossene Schwingungskreise auf dieselbe Wellenlänge abzustimmen und außerdem die Koppelungsgrade im Sender und Empfänger abzustimmen<sup>1)</sup>.

<sup>1)</sup> Die beschriebenen Apparate werden von der Firma LEPPIN u. MANN in Berlin, geliefert.

**Erwiderung auf den Vortrag des Herrn  
W. Felgentraeger:**

**Einfluss der Schneiden auf die Bestimmung der  
Verbeschleunigung mit dem Reversionspendel;  
von F. Kühnen und Ph. Furtwängler.**

(Vorgelegt in der Sitzung vom 29. Mai 1908.)

(Vgl. weiter unten.)

Im dem genannten Vortrage<sup>1)</sup>, gehalten in der Sitzung der  
deutschen Physikalischen Gesellschaft am 7. Februar 1908, wirt  
FELGENTRAEGER uns vor, seine Arbeit: „Über den Einfluß  
der Schneide auf die Schwingungsdauer des Pendels und der  
Verbeschleunigung“<sup>2)</sup> übersehen zu haben.

Wir haben die Arbeit gekannt<sup>3)</sup>.

Herr FELGENTRAEGER geht darin stillschweigend von der  
Annahme aus, daß die betrachtete Bewegung eine drehende  
Bewegung ist und dementsprechend setzt er ohne weiteres bei seiner theo-  
retischen Untersuchung die bekannte Gleichung für die Winkel-  
beschleunigung an, indem er über die störenden Kräfte eine im-  
merhin willkürliche Annahme macht. Hiermit schaltet Herr  
FELGENTRAEGER von vornherein die eigentliche Schwierigkeit aus.  
Die Bewegung der Schneidenbewegung wird an der Schneidenkante ein-  
treten, Gleiten und eine elastische Deformation eintreten (ein  
solches Rutschen ist wahrscheinlich ausgeschlossen). Wie viel  
von jeder dieser Bewegungsarten hat, hängt von manchen Um-

<sup>1)</sup> Diese Verh. 10, 87—90, 1908.

<sup>2)</sup> Wissenschaftliche Abhandlungen der Kais. Normal-Eichungskommiss.,  
Bd. 1, S. 155—193. Berlin 1903.

<sup>3)</sup> In dem 4. Bande der Enzyklopädie der mathemat. Wiss. findet sich  
im Artikel 7: „Die Mechanik der einfachsten physikalischen Apparate  
und Versuchsanordnungen“, den der eine von uns verfaßt hat, auf S. 43 ein  
kurzes Referat über die Arbeit. Es sei übrigens ausdrück-  
lich hervorgehoben, daß der Referent, wenn er an der genannten Stelle  
Rücksicht auf den Zweck der Enzyklopädie keine kritischen Bemerkungen  
hinzugefügt hat, damit keineswegs seine Übereinstimmung mit  
den „theoretischen Entwicklungen“ der Arbeit hat bekunden wollen.

ständen ab (Krümmungsradius der Schneide, Material, Oberflächenbeschaffenheit usw.).

Alle diese Dinge hat Herr FELGENTRAEGER überhaupt nicht berührt; seine Behauptung im Vortrage, daß bei der Bestimmung der Schwerebeschleunigung mit einem Reversionspendel der Einfluß der störenden Kräfte an der Schneide unter allen Umständen eliminiert würde, kann daher nicht als bewiesen gelten. Es ist auch wohl bekannt, daß bei gewissen Annahmen über die störenden Kräfte die Elimination bei Benutzung eines Reversionspendels mit dem Herr FELGENTRAEGER allein operiert, nicht erforderlich, sondern daß dazu zwei Pendel von gleichem Gewicht und verschiedener Länge notwendig sind. Ob derartige störende Kräfte vorhanden sind, darüber geben die bisherigen Beobachtungen keinen genügend sicheren Aufschluß.

Wenn wir an der von Herrn FELGENTRAEGER zitierten Stelle (S. 13 der Einleitung zu unserer Arbeit) von Beobachtungen an Pendeln mit kleinem Schwerpunktsabstand sprechen, so ist damit nicht in erster Linie Wagen gemeint, sondern Zwischenglieder zwischen den geodätischen Pendeln und den Wagen; hatten die auch von Herrn FELGENTRAEGER betonte große Lücke die zwischen den Beobachtungen an den gebräuchlichen Reversionspendeln und den Wagen besteht, im Sinn. Erst wenn diese Lücke durch geeignete Beobachtungen ausgefüllt ist, wird über die Gesetzmäßigkeiten der störenden Kräfte genügend Aufklärung erwarten können, um daraus auf ihre Natur schließen und sie auch theoretisch ohne willkürliche Annahmen zu bestimmen. Unsere Beobachtungen an Reversionspendeln sind die Beobachtungen des Herrn FELGENTRAEGER an der Waage von ihm selbst als Vorversuche bezeichnet werden und die Resultate keineswegs sämtlich als sichergestellt gelten können. reichen dazu nach unserer Überzeugung nicht aus.

Die Vorgänge an der Schneide eines Pendels sind deswegen durchaus noch nicht klargestellt, und ihre Erforschung bietet der Theorie und der Experimentierkunst große Schwierigkeiten.

---

<sup>1)</sup> Vgl. F. R. HELMERT, Beiträge zur Theorie des Reversionspendels S. 79. Potsdam 1898.

***Nachtrag zu meiner Arbeit:***

***Theorie der Vorgänge im Nullapparat zur  
Schwindigkeitsmessung der Röntgenstrahlen;***

***von Erich Marx.***

(Vorgelegt in der Sitzung vom 29. Mai 1908.)

(Eingegangen am 17. Mai 1908.)

dieser Arbeit findet sich die Angabe, daß Aluminium merkliche Kathodenstrahlenemission bei Bestrahlung mit Röntgenstrahlen aufweise. Der Schluß wurde von mir daraus gezogen, daß ich fand, daß Aluminium eine schwache negative Ladung annimmt, die sich identisch mit der Ladung erwies, die erhalten bleibt, wenn die Strahlen am Aluminium vorbei lediglich die Kathodenstrahlen durchstrahlten. Herr Prof. W. WIEN machte mich darauf aufmerksam, daß er auch bei Aluminium Kathodenstrahlen erhalten hätte<sup>1)</sup>. Nun ist meine obige Folgerung an die Voraussetzung gebunden, daß auch nach Drehung des Elektrodenkreises in den beiden Messungsreihen die gleiche Strahlenmenge an den Wänden den Elektrodenkranz erreicht. Es konnte also als Resultat von mir, daß das Aluminiumblech sich gerade so verhalten muß, wie das durchstrahlte Volumen, in dem es sich befindet, vorausgesetzt, wenn es ebenfalls dadurch erhalten sein, daß die von dem Aluminium ausgesandte Strahlenmenge genau durch ein Plus an Wandstrahlung gegenüber der Vergleichsstellung kompensiert wurde. Um dies zu kontrollieren, wurde die Anordnung so geändert, daß die durchstrahlte Fläche vergrößert, die Wandstrahlung geschwächt wurde. Hierbei zeigte sich, daß in der Tat auch Aluminium, im Gegensatz zu dem Befunde des Herrn WIEN, Kathodenstrahlen emittiert. — Für die Theorie des Nullapparates tritt hierdurch eine Änderung ein. Für sie ist allein wesentlich, daß eine

<sup>1)</sup> W. WIEN, Über eine Berechnung der Wellenlänge der Röntgenstrahlen aus dem PLANCK'schen Energieelement. Nachr. d. k. Gesellschaft der Wissenschaften in Wien, 1907.



Platinelektrode nicht nur die schnellen DORNschen, sondern langsame Kathodenstrahlen aussendet. Diesen Nachweis Herr W. WIEN in der angeführten interessanten Arbeit gemacht. Auch zeigte er, daß die gegenüber der Platinstrahlung schwache Aluminiumstrahlung ihrerseits viel weniger langsame Kathodenstrahlen enthält als Platin, indem das gleiche verzögerte Potential die schwache Aluminiumstrahlung um 25 Proz. schwächt, während sie von der starken Platinstrahlung 50 Proz. zurückhält. Es ist also die am Aluminiumfenster frei werdende langsame Kathodenstrahlung außerordentlich viel schwächer als die am Platin frei werdende, und da ferner die Kraftlinien der Elektroden im wesentlichen an dem gegenüberstehenden, in 3 cm Abstand befindlichen Faradayzylinder, nur sehr wenige an dem nicht gegenüberstehenden, 7,5 cm entfernten Fenster enden, so ist klar, daß die wenigen langsamen Strahlen, die am Aluminiumfenster durchdringen, auf die Entladung der Elektrode ohne Einfluß sein müssen. — Auf die Modifikation, die hierdurch die in Abschnitt 2 skizzierte Methode erfahren hat, habe ich hier nicht einzeln eingehen zu können.

Herrn Geheimrat WIEN habe ich für seine freundliche Anteilnahme, Anteilung und Anregung bestens zu danken.

Leipzig, 16. Mai. Physikalisches Institut der Universität

Verlag von Friedr. Vieweg & Sohn in Braunschweig. ■■

# Kleine Naturlehre und Chemie

mit Berücksichtigung der  
Zoologie und der Lehre vom Menschen

für einfache Schulverhältnisse, insbesondere  
für Mädchenschulen bearbeitet von

**H. SATTLER,**

Schulinspektor.

↔ Dritte vermehrte und verbesserte Auflage. ↔

Mit 154 in den Text eingedruckten Abbildungen.

**Preis kartoniert 30 Pfennig.**

Die vorliegende „Kleine Naturlehre und Chemie“ ist für Mädchenschulen sowie Volksschulen mit einfachen Verhältnissen bestimmt, denen wöchentlich in der Regel nur eine Stunde für die Naturlehre zur Verfügung steht. In Schulen will das Buch genügend Stoff für mindestens zwei Jahre bieten, doch dürfte es auch noch etwas weitergehenden Anforderungen vollauf genügen. Der Verfasser will den zu behandelnden Stoff nicht etwa genau vorschreiben, sondern überläßt dem Lehrer die ihm für seine Verhältnisse zweckmäßig erscheinende Auswahl.

Die Form der Darstellung ist durchweg die entwickelnde; es geht von Beobachtungen und Versuchen ausgegangen, daraus das Allgemeine abgeleitet und den Anwendungen Rechnung getragen. Einige Fragen regen zu weiterem Nachdenken an. Für eine große Zahl guter und zweckmäßiger Abbildungen ist Sorge getragen.

Der Kleindruck ist in dieser neuen Auflage vollständig verbessert, so daß das Buch jetzt den für das Königreich Preußen gesetzten hygienischen Anforderungen in bezug auf Typengröße und Zeilendurchschuß in jeder Beziehung entspricht.

Der Preis des Buches hat zwar etwas erhöht werden müssen, aber bei der gediegenen Ausstattung immer noch ein sehr geringer genannt werden können.

Zu beziehen durch alle Buchhandlungen.  ■■

Verlag von Friedr. Vieweg & Sohn in Braunschweig

# Die Telegraphie ohne Draht

Von

**Augusto Righi,**

Professor an der Universität Bologna

und

**Bernhard Dessau,**

Professor an der Universität Perugia.

Zweite vervollständigte Auflage. — Mit 312 Abbildungen.

Preis geh. *M* 15.—, geb. *M* 16.50.

**D**ie zweite Auflage des Buches über drahtlose Telegraphie von A. Righi und B. Dessau, welche hiermit dem Publikum das Gebotene in gebotener Weise darstellt, weist gegen die erste mannigfache Veränderungen und Erweiterungen auf. Der Grundcharakter des Buches, welches in dem großen Kreise der allgemein gebildeten Leser zugängliche und doch zugleich gründliche Darstellung des wissenschaftlich und technisch gleich interessanten Gebietes gewähren soll, ist auch in der neuen Auflage derselbe geblieben wie früher. Aber schon in dem theoretischen Teil mußte der kurze Abschnitt, welcher in der ersten Auflage den Elektronen gewidmet war, zu einem besonderen Kapitel erweitert werden; zu dem Kapitel über Kohärer und Antikohärer, welches auf Grund der neueren Forschungen ergänzt wurde, gesellten sich zwei neue Abschnitte über den magnetischen und den elektrischen Wellenindikator. Die weitestgehende Umgestaltung hat naturgemäß der dritte, der Technik der drahtlosen Telegraphie gewidmete Teil erfahren. Hier galt es, Veraltetes auszumerzen und dafür dem zahlreichen Neuen, wie z. B. den Mitteln zur Übertragung von Signalen auf große Entfernungen, dem heutigen Stande der drahtlosen Telegraphie und den Versuchen über gerichtete Telegraphie den gebührenden Platz anzuweisen. Dementsprechend ist auch der Umfang gerade dieses Teiles bedeutend angewachsen. Ein Anhang enthält die gesetzlichen und administrativen Bestimmungen, sowie die Beschlüsse der Berliner Konferenz über drahtlose Telegraphie; ein Nachtrag ist einer während des Druckes bekannt gewordenen Entdeckung des dänischen Ingenieurs Poulsen gewidmet, welche für die weitere Entwicklung der drahtlosen Telegraphie von der größten Bedeutung zu werden verspricht.

Zu beziehen durch alle Buchhandlungen.

Verlag von Friedr. Vieweg & Sohn in Braunschweig.

# Müller-Pouillet's Lehrbuch der Physik und Meteorologie.

In vier Bänden.

Neu umgearbeitete und vermehrte Auflage

herausgegeben von

Professor Dr. **Leopold Pfaundler**, Graz.

Unter Mitwirkung von

Dr. **O. Lummer**-Breslau (Optik und strahlende Wärme),  
Dr. **K. Drucker**-Leipzig (Molekularphysik), Prof. Dr. **A. Wassmuth**-Graz  
(Thermodynamik und Wärmeleitung), Hofrat Prof. Dr. **J. Hann**-Wien  
(Meteorologie), Prof. Dr. **W. Kaufmann**-Bonn (Elektrizitätslehre),  
Dr. **A. Coehn**-Göttingen (Elektrochemie), Dr. **A. Nippoldt**-  
Potsdam (Erdmagnetismus und Erdelektrizität).

Über 3000 Abbildungen und Tafeln, zum Teil in Farbendruck.

Band: **Mechanik und Akustik** von Prof. Dr.  
**Leopold Pfaundler**. Gr. 8. Preis geh. *M* 10.50, geb.  
in Halbfrz. *M* 12.50.

Band, 1. Abteilung: **Die Lehre von der  
strahlenden Energie (Optik)** von Prof. Dr.  
**Otto Lummer**. Preis *M* 15.—.

Band: **Wärmelehre, Chemische Physik,  
Thermodynamik und Meteorologie** von  
Prof. Dr. **L. Pfaundler**, Privatdozent Dr. **K. Drucker**,  
Prof. Dr. **A. Wassmuth**, Hofrat Prof. Dr. **J. Hann**.  
Preis geh. *M* 16.—, geb. in Halbfrz. *M* 18.—.

Das allberühmte Buch genießt längst den Ruf, das beste populäre Lehrbuch der  
Physik zu sein, dem anerkanntermaßen keine andere Nation ein gleichartiges Werk  
zur Seite stellen vermag. Es ist seit seinem ersten Erscheinen in den Kreisen  
Physiker, Astronomen, Naturhistoriker, Mediziner, Pharmazeuten, Lehrer, Tech-  
niker, Elektrotechniker, Mechaniker, Optiker, Agronomen, Industriellen, sowie Forst-  
und Hüttenleute und aller Liebhaber der Physik so eingebürgert, daß es einer  
weiteren Empfehlung nicht bedarf.

Es ist Versorge getroffen, daß die übrigen Bände des Werkes baldmöglichst  
herausgegeben werden.

Zu beziehen durch alle Buchhandlungen.

# E. Leybold's Nachfolge

»»»»»»»»»» Cöln a. Rh. ««««««««««

Neu!

Neu!

## Gaede-Pumpe mit neuer Porzellantrommel

D. R.-P. angemeldet.

Unzerbrechlich bei plötzlichem Eintreten von Luft.  
(Vergl. Physikalische Zeitschrift. 8. Jahrgang. No. 23, p. 852.)

Garantierte Luftleere  $1/100000$  mm.

Während die Pumpe unter **hohem Vakuum** steht, kann man durch Abreißen des Schliffes **plötzlich** Luft einlassen, ohne daß die Trommel Schaden leidet.

**Dieser Versuch kann beliebig oft wiederholt werden.**

Unsere neuen Ventiltrommeln haben vor Metalltrommeln den großen Vorzug, daß sie mit ätzenden Substanzen gereinigt werden können, was bei Metalltrommeln nicht zulässig ist.

»»»» Die neue Gaede-Pumpe ««««  
ist nur direkt von uns zu beziehen

**Berichte**  
der  
**Deutschen Physikalischen Gesellschaft**

enthaltend

**Verhandlungen**

der Deutschen Physikalischen Gesellschaft  
im Auftrage der Gesellschaft herausgegeben

von

**Karl Scheel**

und

**Halbmonatliches Literaturverzeichnis**

der „Fortschritte der Physik“, dargestellt von der  
Deutschen Physikalischen Gesellschaft

redigiert von

**Karl Scheel**

für reine Physik

**Richard Assmann**

für kosmische Physik

---

**Braunschweig**

Druck und Verlag von Friedrich Vieweg und Sohn

1908

# Inhalt.

## 1. Verhandlungen der Deutschen Physikalischen Gesellschaft

- Bericht über die Sitzung vom 29. Mai 1908. . . . .
- A. Koepsel, Ein neues Verfahren zur Übertragung von Bewegungsenergie. (Vorgetragen in der Sitzung vom 1. Mai 1908)
- Felix Jentzsch, Über die Elektronenemission glühender Metalloxyde. (Vorläufige Mitteilung. (Vorgetragen in der Sitzung vom 29. Mai 1908)
- Wilhelm Westphal, Potentialmessungen an glühenden Oxydkathoden. (Vorläufige Mitteilung. (Vorgetragen in der Sitzung vom 29. Mai 1908)
- O. Lehmann, Künstliche Zellen mit flüssig-kristallinischen Wänden. (Vorgelegt in der Sitzung vom 29. Mai 1908.) . . . . .
- M. Thiesen, Die Zustandsgleichung der Metalle. Mitteilung der Physikalisch-Technischen Reichsanstalt. (Eingegangen am 3. Juni 1908)
- M. Thiesen, Bemerkungen zu vorstehendem Aufsatz. (Eingegangen am 3. Juni 1908.) . . . . .
- Wilh. Felgentraeger, Bemerkungen zu der Erwiderung der Herren F. Kühnen und Ph. Furtwängler auf meinen Vortrag vom 7. Februar 1908. (Vorgelegt in der Sitzung vom 29. Mai 1908.) . . . . .
- G. Leithäuser und R. Pohl, Nachtrag zu unserer Arbeit: Über den Einfluß des Ozons auf die Kondensation von Wasserdampf. (Vorgelegt in der Sitzung vom 29. Mai 1908.) . . . . .

## 2. Halbmonatliches Literaturverzeichnis der Fortschritte der Physik.

- I. Allgemeine Physik. S. 191. — II. Akustik. S. 194. — III. Physik der Chemie. S. 194. — IV. Elektrizität und Magnetismus. S. 197. — V. Die Dispersion des Lichts. S. 202. — VI. Wärme. S. 203. — VII. Kosmische Physik. S. 208.

Verlag von Friedr. Vieweg & Sohn in Braunschweig

## Gesammelte Abhandlungen aus den Gebieten der Meteorologie und des Erdmagnetismus von Wilhelm von Bezold.

In Gemeinschaft mit A. Coym herausgegeben  
vom Verfasser.

Mit 66 Abbildungen im Text und drei Tafeln.  
gr. 8. Preis geh. 14 *M.*, geb. 16 *M.*

## Die physikalischen Eigenschaften der Stoffe

Von Dr. Otto Freiherr von und zu Aufsess,

Assistent für Physik an der Königlichen Technischen Hochschule München.

Mit 36 eingedruckten Abbildungen. gr. 8. Preis geh. 3 *M.*, geb. 3,6 *M.*

# Verhandlungen der deutschen Physikalischen Gesellschaft

---

Im Auftrage der Gesellschaft herausgegeben  
von  
**Karl Scheel**

---

Jahrg. 15. Juni 1908. Nr. 11.

---

**Sitzung vom 29. Mai 1908.**

---

Vorsitzender: Hr. H. RUBENS.

---

Hr. E. Regener demonstriert  
die OTTO VON GUERICKEschen Originalapparate.

---

Dann spricht Hr. H. Diesselhorst:  
Über die Erzeugung phasenverschobener  
Hochfrequenzströme.

---

Weiter berichtet Hr. Felix Jentsch:  
über die Elektronenemission glühender Metalloxyde.

---

Dann trägt Hr. Wilhelm Westphal über  
Potentialmessungen an glühenden Oxydkathoden

---

Schließlich legt Hr. Karl Scheel folgende zur Veröffentlichung  
in „Verhandlungen“ der Gesellschaft eingegangenen Mit-  
teilungen vor:



1. von **Hrn. O. Lehmann**: Künstliche Zellen mit flüssigen kristallinen Wänden;
2. von **Hrn. F. Kühnen** und **Ph. Furtwängler**: Erwiderung auf den Vortrag des Herrn **W. Felgentraeger**: Der Einfluß der Schneiden auf die Bestimmung der Schwerebeschleunigung mit dem Reverspendel (schon abgedruckt, vgl. diese Verh., S. 369);
3. von **Hrn. W. Felgentraeger**: Bemerkungen zu der Erwiderung der Herren **F. KÜHNEN** und **PH. FURTWÄNGLER**;
4. von **Hrn. Erich Marx**: Nachtrag zu meiner Theorie der Vorgänge im Nullapparat zur Geschwindigkeitsmessung der Röntgenstrahlung (schon abgedruckt, vgl. diese Verh., S. 391—392);
5. von **Hrn. G. Leithäuser** und **B. Pohl**: Nachtrag unserer Arbeit: Über den Einfluß des Ozons auf die Kondensation von Wasserdampf; und zeigt eine zum Abdruck in den „Verhandlungen“ der Gesellschaft bestimmte Mitteilung an:
6. von **Hrn. Erich Ladenburg** und **Karl Markau**: Über die Anfangsgeschwindigkeiten lichtelektrischer Photokathoden.

Als Mitglied wurde in die Gesellschaft aufgenommen  
**Hr. Dr. M. DIECKMANN**, Assistent am physikalischen Institut der  
Technischen Hochschule München, Schellingstr. 106.  
(Vorgeschlagen durch **Hrn. H. ERFLE**.)

***Ein neues Verfahren zur Übertragung von  
Bewegungen geringer Energie;***

***von A. Koepsel.***

(Vorgetragen in der Sitzung vom 1. Mai 1908.)

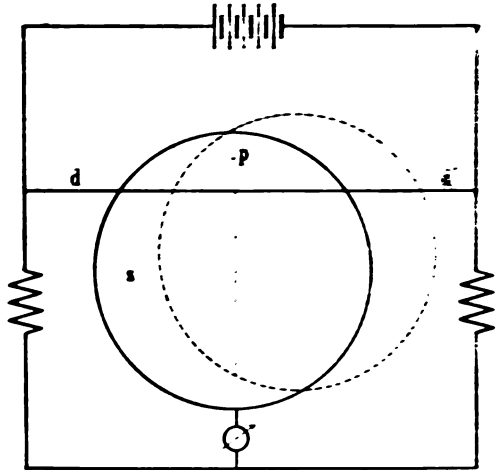
(Vgl. oben S. 317.)

Die bisherigen Registrier- und Übertragungsmethoden von Bewegungen beruhen zum größten Teil auf mechanischer Übertragung; wo dabei das Hilfsmittel des elektrischen Stromes benutzt wird, geschieht dies unter Vermittlung von Kontakten, infolge der Reibungsarbeit, die dabei erforderlich ist, die zu übertragende Bewegung mehr oder weniger beeinflussen, so daß kein getreues Bild der Bewegung übertragen werden kann. Die in nachfolgendem beschriebene Methode ist von diesen Methoden gänzlich frei, weil sie kein mechanisches Zwischenglied enthält, so daß selbst die allerfeinsten Bewegungen, welche nur mit minimalen Energiemengen hervorgebracht werden können, mit absoluter Sicherheit auf beliebige Entfernungen übertragen werden können. Außerdem lassen sich damit kleine Bewegungen in große vergrößern und umgekehrt und die Energie der Übertragung läßt sich beliebig steigern, so daß diese Methode der ausgedehnten Anwendung fähig ist.

Das Übertragungsmittel wird die Wärme benutzt, indem die Bewegung eines gegen Luftströmungen geschützten, durch elektrischen Strom erwärmten Drahtes durch die Bewegung beeinflußt wird. Diese Beeinflussung geschieht durch eine passend ausgestattete dünne Glimmerscheibe  $s$  (Fig. 1), welche mit dem Draht verbunden ist, dessen Bewegung übertragen werden soll, fest verbunden ist und welche über dem erwärmten Draht  $dd'$  schwebt. Dreht sich der Draht um die Scheibe  $s$  z. B. um den Punkt  $p$ , so wird ein Teil des Drahtes  $d$  frei, während ein gleicher Teil des Drahtes  $d'$  angedrückt wird; hierdurch erniedrigt sich die Temperatur des ersteren, während die des letzteren erhöht wird, was entsprechende Wider-

standsänderungen zur Folge hat. Bilden nun  $d$  und  $d'$  die beiden einanderliegenden Zweige einer WHEATSTONE'schen Brücke, so macht das Galvanometer  $g$  genau dasselbe

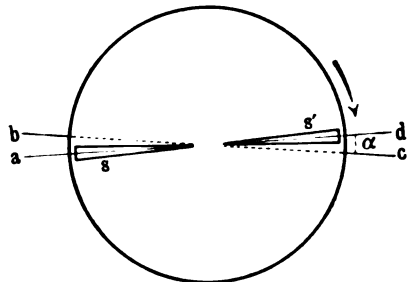
Fig. 1.



wegungen wie das mit der Glimmerscheibe fest verbundene System, welches letzteres in seiner Bewegungsfreiheit durchaus nicht gestört wird.

Durch verschiedene Formgebung der Glimmerscheibe kann man die übertragene Bewegung auch in der mannigfachen

Fig. 2.



Weise umgestalten, so z. B. ein quadratisches Fortschrittsdiagramm in ein proportionales der zu übertragenden Bewegung in ein proportionales der übertragenen. Auch sehr kleine Bewegungen lassen sich in große verwandeln. Versieht man z. B. die Glimmerscheibe

radialen Schlitzes  $ss'$  (Fig. 2), unter welchen man zwei Hitzdrähte  $ad$  anordnet, die die gegenüberliegenden Zweige einer STONESCHEN Brücke bilden, während benachbart dazu im Innern des kleinen Winkels  $\alpha$  die Hitzdrähte  $bc$  radial angeordnet sind, welche die beiden anderen gegenüberliegenden Zweige der Brücke bilden, so werden bei der Drehung der Glimmerplatte um den Winkel  $\alpha$  in Richtung des angedeuteten Pfeiles die Widerstände  $ad$  und  $bc$  ihre Rollen vertauschen, was einen beträchtlichen Ausschlag des in die Brücke geschalteten Galvanometers oder Relais zur Folge hat.

Man kann auf diese Weise selbst elektrische Kontakte herstellen, ohne die freie Bewegung des Systems irgendwie zu beeinträchtigen.

Was nun die Energie des Übertragungsstromes betrifft, so kann diese durch Vergrößerung des Drahtquerschnittes, oder durch die Gleichzeitigkeit der Übertragung nicht gestört werden, vielmehr durch Parallelschaltung mehrerer Hitzdrähte fast beliebig gesteigert; auch kann durch geschickte Benutzung eines Stromes, der Widerstandsänderungen von 60 Proz. und darüber hervorbringen kann, noch viel erreicht werden, so daß hier die Möglichkeit vorliegt, selbst die nur an feinsten Instrumenten beobachtenden Vorgänge auf nicht gerade sehr empfindliche Meßapparate in die Ferne zu übertragen.

Das Modell eines solchen Apparates mit Fadenaufhängung wurde in der Sitzung vorgeführt und es zeigte sich, daß die Übertragung nicht nur konform, sondern auch gleichzeitig mit der ursprünglichen Bewegung vor sich ging. Die benutzten Hitzdrähte hatten eine Dicke von 0,05 mm und bestanden aus Nickeldraht mit dem Temperaturkoeffizienten 0,004.

---

**Über die Elektronenemission glühender  
Metalloxyde;**

**von Felix Jentsch.**

(Vorläufige Mitteilung<sup>1)</sup>).

(Vorgetragen in der Sitzung vom 29. Mai 1908.)

(Vgl. oben S. 393.)

O. W. RICHARDSON<sup>2)</sup> leitete für die Elektronenemission der Metalle aus Vorstellungen der kinetischen Gastheorie die Formel ab:

$$J = n \varepsilon \sqrt{\frac{RT}{2\pi\mu}} e^{-\frac{\phi}{RT}}.$$

Hierin bedeuten  $J$  die Dichte des Sättigungsstromes,  $n$  die Zahl der Elektronen in der Volumeneinheit des emittierenden Metalles,  $\varepsilon$  und  $\mu$  Ladung und Masse eines Elektrons,  $T$  die absolute Temperatur,  $\phi$  die Arbeit, die ein Elektron beim Durchströmen der Oberfläche leistet und  $R$  die Gaskonstante für ein einzelnes Elektron. Letztere ist identisch mit der Konstante des PLANCK'schen Strahlungsgesetzes.

Nachdem A. WEHNELT<sup>3)</sup> gezeigt hatte, daß die Formel die Emission von Calciumoxyd gut darstellt, fand F. DEINERT<sup>4)</sup> daß es nur auf das Oxyd selbst, nicht auf seinen Träger ankommt. Der Verfasser untersuchte daher etwa 20 verschiedene Metalle und berechnete für jedes die beiden charakteristischen Konstanten  $n$  und  $\phi$ .

Sorgfältig in Salpetersäure ausgekochte Platindrähte von 0,25 mm Dicke und 45 mm Länge wurden mit einer konzentrierten Lösung des Nitrates überzogen, das durch Glühen in der Luft übergeführt wurde. Ein so präparierter Platindraht hing in einem 23 mm weiten Messingzylinder in einem gut evakuierten

<sup>1)</sup> Ein ausführlicherer Bericht wird demnächst in den Annalen erscheinen.

<sup>2)</sup> Phil. Trans. (A) 201, 516, 1903.

<sup>3)</sup> Ann. d. Phys. (4) 14, 425, 1904.

<sup>4)</sup> Ann. d. Phys. (4) 25, 285, 1908.

und wurde durch eine isoliert aufgestellte kleine Batterie

Zwischen Draht und Zylinder wurde eine Potentialz hergestellt und die abfließenden Sättigungsströme galvanisch gemessen. Die Temperatur wurde aus dem Widerstand des Drahtes bestimmt. Als Fixpunkte dienten außer der Temperatur der Schmelzpunkt von  $K_2SO_4$  [ $1066^\circ C$ ]<sup>1)</sup> und [ $1745^\circ C$ ]<sup>2)</sup>.

Nimmt man als Abszissen  $x = 1/T$  und als Ordinaten  $y = J \cdot \frac{1}{2} \log T$  auf, so müssen nach der Theorie die so bestimmten Werte auf einer Geraden liegen. Bei allen untersuchten Oxiden war dies der Fall. Die RICHARDSONsche Formel ist also bestätigt.

Die hieraus berechneten Konstanten sind in der Tabelle zusammengestellt. Bezüglich der chemischen Formeln sei dahingelassen, ob die von ihnen bezeichneten Oxyde bei den hohen Temperaturen wirklich noch vorhanden waren. Aus der Austritts-

|  | $n$                      | $d$<br>Erg            | $\delta \psi$<br>Volt |
|--|--------------------------|-----------------------|-----------------------|
| BaO . . . . .                            | $20000000 \cdot 10^{15}$ | $5,60 \cdot 10^{-12}$ | 3,58                  |
| SrO . . . . .                            | 21000000                 | 6,04                  | 3,87                  |
| CaO . . . . .                            | 18000000                 | 5,43                  | 3,48                  |
| MgO . . . . .                            | 0,14                     | 5,32                  | 3,40                  |
| BeO . . . . .                            | 0,043                    | 3,22                  | 2,06                  |
| Y <sub>2</sub> O <sub>3</sub> . . . . .  | 780                      | 4,89                  | 3,13                  |
| La <sub>2</sub> O <sub>3</sub> . . . . . | 29                       | 5,10                  | 3,26                  |
| Al <sub>2</sub> O <sub>3</sub> . . . . . | 0,27                     | 5,02                  | 3,21                  |
| ZrO <sub>2</sub> . . . . .               | 270                      | 4,92                  | 3,15                  |
| ThO <sub>2</sub> . . . . .               | 1,5                      | 4,79                  | 3,06                  |
| CeO <sub>2</sub> . . . . .               | 82                       | 5,00                  | 3,20                  |
| ZnO . . . . .                            | 0,013                    | 4,72                  | 3,02                  |
| Fe <sub>2</sub> O <sub>3</sub> . . . . . | 150                      | 6,31                  | 4,04                  |
| N <sub>2</sub> O . . . . .               | 1200                     | 6,89                  | 4,41                  |
| CoO . . . . .                            | 2200                     | 6,69                  | 4,28                  |
| CdO . . . . .                            | 0,016                    | 4,07                  | 2,60                  |
| CnO . . . . .                            | 0,00015                  | 3,03                  | 1,94                  |

HEYCOCK und NEVILLE, Journ. Chem. Soc. 67, 160, 1895.

NEERST und v. WARTENBERG, Diese Verh. 8, 48, 1906.

\*

arbeit  $\Phi$  ist ein Potentialsprung  $\delta\varphi = \frac{\Phi}{\varepsilon}$  berechnet worden an der Oberfläche Oxyd—Vakuum mit der positiven Belegung Oxyd hin gedacht werden kann.

Die Oxyde sind so geordnet, wie die Metalle selbst in der Spannungsreihe aufeinander folgen. Wie man sieht, ordnen sich mit Ausnahme von Beryllium und den drei magnetischen Metallen auch die Konstanten  $\Phi$  und  $\delta\varphi$  in dieser Weise.

Bei den elektropositiven Stoffen ist also die Arbeit, die ein Elektron beim Entweichen zu leisten hat, größer als bei den elektronegativen. Andererseits ist die Zahl der freien Elektronen in den elektropositiven Stoffen im allgemeinen größer.

Der größte Teil der Austrittsarbeit wird wohl verbraucht durch die elektrische Kraft zwischen den entweichenden Elektronen. In ihren elektrischen Bildern an der Oberfläche zu überwinden. In einfachen Überlegungen kann man die Dicke einer Schicht ausrechnen, innerhalb der die vom Draht ausgesandten Elektronen nicht mehr vom elektrischen Feld zum Zylinder fortgeführt werden können. Bei den gewählten Dimensionen ergibt sich diese Dicke zu  $1,7 \cdot 10^{-6}$  cm bei 20 Volt Potentialdifferenz.

Nach der DRUDESchen Theorie ist bei  $1500^\circ$  die mittlere Geschwindigkeit eines Elektrons im Leiter  $2,81 \cdot 10^7$  cm/sec. Um die Potentialsprung  $\delta\varphi$  zu überwinden, muß ein Elektron eine Geschwindigkeit  $10,2 \cdot 10^7$  cm/sec besitzen. Wenn nicht Stoßionisation eintreten soll, muß die Austrittsgeschwindigkeit eines Elektrons kleiner als  $16,3 \cdot 10^7$  cm/sec sein.

Für die von den Elektronen dem Leiter entführte Energie  $U$  kann man nach einfacher Umformung der RICHARDSONSchen Formel

$$U = N[\Phi + 2RT],$$

also den Energiegehalt eines einzelnen Elektrons, nachdem es den Leiter verlassen hat, zu  $2RT$ . Daraus findet man als Austrittsgeschwindigkeit bei  $1700^\circ$   $3,42 \cdot 10^7$  cm/sec. Die Zahl der Elektronen der Emission berechnet sich nach obiger Formel bei  $1700^\circ$  zu 12,5 Proz. der Strahlungsenergie. Man kann daher die Vermutung aussprechen, daß bei sehr hohen Temperaturen der Energieverlust eines Körpers vom Vorzeichen seiner elektrischen Aufladung abhängig ist.

Berlin, Physikalisches Institut der Universität.

*Strommessungen an glühenden Oxydkathoden;  
von Wilhelm Westphal.*

(Vorläufige Mitteilung <sup>1</sup>).

(Vorgetragen in der Sitzung vom 29. Mai 1908.)

(Vgl. oben S. 398.)

Zweck vorliegender Untersuchungen ist eine Prüfung der von Herrn J. J. THOMSON <sup>2</sup>) gegebenen Theorie des CROOKESschen Dunkelraumes an der Kathode der Glimmentladung im Vakuum. Nach den Versuchen von Herrn A. WEHNELT <sup>3</sup>) ist der Mechanismus der Kathodenstrahlentstehung folgender: Positive Ionen (Kathodenstrahlen) werden durch das elektrische Feld auf die Kathode beschleunigt und erzeugen an deren Oberfläche beim Auftreffen Elektronen. Diese bilden, von der Kathode fortfliegend, Kathodenstrahlen und erzeugen, nach Durchlaufen ihrer Ionenbahn, die zum Fortbestehen der Entladung nötigen positiven Ionen.

Herr J. J. THOMSON (l. c.) zog nun den Schluß, daß, da die Ionen zum Passieren des der Kathode zunächst liegenden Dunkelraumes, des CROOKESschen Dunkelraumes, wesentlich kürzere Wege brauchen, als die positiven Ionen, in ihm dauernd eine Beschleunigung an Elektronen herrschen müsse, die den hohen Widerstand desselben erklärt, welcher sich sowohl aus dem Potentialverlauf <sup>4</sup>), wie aus Versuchen der Herren E. WIEDEMANN und G. C. SCHMIDT <sup>5</sup>) und A. WEHNELT <sup>6</sup>) ergibt. Wendet man auf die Formel des Potentialverlaufs die POISSONSche Gleichung an, so ergibt sich aus ihr in der Tat eine positive Ladung im Dunkelraum.

Eine ausführliche Darstellung wird in den Annalen der Physik er-

<sup>1</sup>) J. J. THOMSON, Conduction of electricity through gases, S. 590 ff.

<sup>2</sup>) A. WEHNELT, Wied. Ann. 67, 421, 1899; Ann. d. Phys. (4) 10, 3.

<sup>3</sup>) A. WEHNELT, l. c.

<sup>4</sup>) E. WIEDEMANN und G. C. SCHMIDT, Wied. Ann. 62, 460, 1897.

<sup>5</sup>) A. WEHNELT, Wied. Ann. 65, 511, 1898.



Versuche der Herren G. C. SCHMIDT<sup>1)</sup> und H. DEMBERG<sup>2)</sup> G. GEHLHOFF<sup>3)</sup> beweisen, daß durch Einbringung von Elektronen in den dunkeln Kathodenraum der Widerstand desselben erheblich herabgesetzt wird. In besonders hohem Maße gelingt dies durch Anwendung einer glühenden, Elektronen aussendenden Kathode nach Herrn A. WEHNELT<sup>3)</sup>. Wird tatsächlich durch diese Mittel die Verarmung des Dunkelraumes an negativem Potentialzustand aufgehoben, so mußte die Kurve des Potentialverlaufes sich in dem Sinne ändern, daß die POISSONsche Gleichung für Werte  $\Delta V = 0$  zustrebte, d. h., daß der Potentialverlauf geradlinig wurde.

Daß dies in der Tat eintritt, zeigen die folgenden Versuche, die mit glühenden Oxydkathoden angestellt wurden.

Der Potentialverlauf im Dunkelraum wurde mittels einer Barometerdichtung verschiebbaren Platindrahtsonde gemessen. Bei schwach rot glühender Kathode ergab sich eine Kurve, die den an kalten Kathoden gemessenen durchaus entspricht. Dies ist begreiflich, da die Elektronenemission des Oxydes bei dieser Temperatur äußerst gering ist. Wurde jedoch die Kathode stark geblüht, so näherte sich der Potentialverlauf im Dunkelraum immer mehr einem geradlinigen (Fig. 2). In folgenden Tabellen und Figuren ist je ein Beispiel für diese beiden Fälle gegeben.

#### I. Kathode schwach rot geblüht.

|                                      |      |      |      |      |      |      |
|--------------------------------------|------|------|------|------|------|------|
| Entfernung von der Kathode . . . . . | 1    | 2    | 3    | 4    | 5    | 6    |
| Potential . . . . .                  | 536  | 816  | 1014 | 1206 | 1352 | 1440 |
| Entfernung von der Kathode . . . . . | 7    | 8    | 9    | 15   | 16   | 17   |
| Potential . . . . .                  | 1558 | 1653 | 1706 | 1997 | 2020 | 2040 |

#### II. Kathode stark geblüht.

|                                      |     |     |     |     |     |     |     |     |
|--------------------------------------|-----|-----|-----|-----|-----|-----|-----|-----|
| Entfernung von der Kathode . . . . . | 0,1 | 0,2 | 0,3 | 0,4 | 0,5 | 0,6 | 0,7 | 0,8 |
| Potential . . . . .                  | 42  | 43  | 48  | 55  | 58  | 67  | 75  | 80  |
| Entfernung von der Kathode . . . . . | 0,9 | 1   | 2   | 3   | 4   | 5   | 6   | 7   |
| Potential . . . . .                  | 88  | 95  | 111 | 113 | 116 | 118 | 119 | 120 |

<sup>1)</sup> G. C. SCHMIDT, Ann. d. Phys. (4) 12, 622, 1903.

<sup>2)</sup> H. DEMBERG und G. GEHLHOFF, Verh. d. Deutsch. Physikal. Gesellsch., 263, 1906.

<sup>3)</sup> A. WEHNELT, Ann. d. Phys. (4) 14, 425, 1904.

Die Messungen ergaben also das nach der THOMSONschen zu erwartende Resultat.

Es ist auffallend, daß sich in der bei hoher Temperatur an der Oxydkathode aufgenommenen Kurve das Ende des Dunkelraumes ein scharfes Umbiegen der Kurve kennzeichnet, während derartige bei kalter und schwach glühender Kathode nicht zu beobachten ist.

Es war jedoch noch zu prüfen, ob überhaupt an der glühenden Oxydkathode der Mechanismus der Entladung derselbe ist,

Fig. 1.

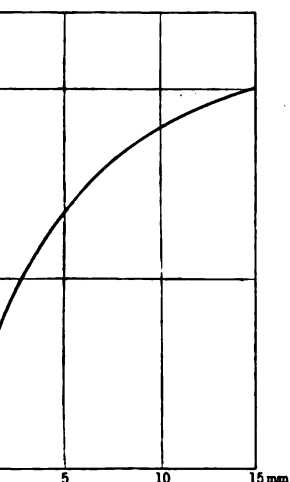
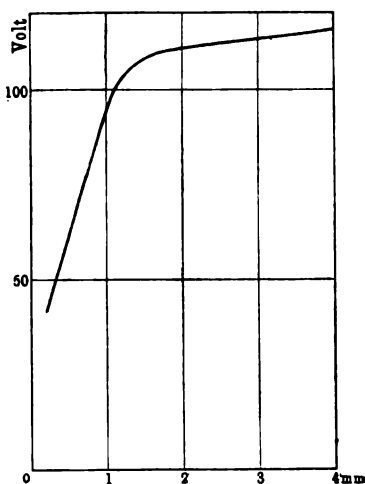


Fig. 2.



an kalter Kathode. Dies geschah durch Messung der Niveauflächen des Potentials; denn aus der Form derselben waren von A. WEHNELT (l. c.) die obenerwähnten Schlüsse über den Mechanismus gezogen worden. Die Messungen ergaben nun die Niveauflächen gleich der an kalten Kathoden. Auch das Auftreten von Kanalstrahlen an der glühenden Oxydkathode nachgewiesen.

Diese Ergebnisse berechtigten dazu, den Mechanismus der Entladung an der Oxydkathode als identisch mit dem an kalter Kathode anzusehen, und die an jener gefundenen Resultate zu übertragen auf diese zu verwenden.

Ferner war noch Zweifel an der Richtigkeit der Sondenmessungen möglich, da nach Herrn J. S. TOWNSEND<sup>1)</sup> in ionisierten Gasen infolge der höheren Beweglichkeit der neugebildeten Teilchen zu niedrige Potentialangaben zu erwarten sind. Es ist nicht ausgeschlossen, daß durch einen derartigen Fehler das obige Resultat nur vorgetäuscht war. Zu diesem Zwecke wurde folgende Prüfung vorgenommen.

Ein feines, von einer Oxydkathode ausgehendes Kathodenstrahlbündel wurde im homogenen Magnetfelde abgelenkt und seine Bahn photographiert. Es wurde ein zylindrisches Messungsladungsrohr verwandt, auf dessen Enden zur Vermeidung von elektrischer Fehlerdicke Planglasplatten aufgekittet waren. Die Sonden wurden ausgemessen und von dem hinter dem Ende des Dunkelraumes liegenden Teile, in dem ja sicher keine erhebliche Beschleunigung der Elektronen mehr stattfindet, der Krümmungsradius und daraus die Endgeschwindigkeit der Elektronen berechnet. Waren die Sondenmessungen richtig, so mußte sich bei einer stark geglühten Kathode die Bahn im Dunkelraume wegen der geringen Anfangsgeschwindigkeit einer Cykloide nähern<sup>2)</sup>. Waren die Sondenangaben erheblich zu niedrig, so mußte ein starker Potentialsprung an der Kathode liegen, die Elektronen also den größten Teil ihrer Geschwindigkeit bereits dort erhalten. Die Bahn mußte sich dann der Kreisform nähern. In der That ergab sich bei stark geglühter Kathode eine erhebliche Annäherung an die Kreisform, die in einfacher Weise aus dem Krümmungsradius des Kurvenstückes und der Länge des Dunkelraumes zu berechnen war. Bei schwach geglühter Kathode eine Annäherung an die Kreisform. Beides ist durchaus in Einklang mit dem in Fig. 1 und 2 zu erwartenden Resultat. Selbstverständlich liegen in beiden Fällen die gemessene Kurven stets in dem Raume zwischen den halb der beiden berechneten Kurven.

Der Charakter des Potentialverlaufes wird also durch die Sondenmessungen richtig wiedergegeben.

Durch diese Versuche ist eine Bestätigung der THOMSON'SCHEN Theorie erbracht, daß die Eigenschaften des CROOKES'SCHEN

<sup>1)</sup> J. S. TOWNSEND, Phil. Mag. (6) 12, 729, 1906.

<sup>2)</sup> J. J. THOMSON, Conduction of electricity through gases, S. 1

Dunkelraumes der Kathodenstrahlen an gewöhnlichen Kathoden aus einer Verarmung an Elektronen zu erklären sind.

---

Anschließend sei kurz über eine von Herrn A. WEHNELT vorgeschlagene Anordnung berichtet, die es gestattet, die von einer Oxydkathode ausgehenden Kathodenstrahlen zusammenzudrängen, bzw. ihnen eine gewünschte Richtung zu geben.

Die Oxydkathode ist in einem horizontalen, zylindrischen Rohre angebracht; in diesem befindet sich ein lumenfüllender, aber frei beweglicher Zylinder aus Eisenblech, der mit der Kathode durch ein dünnes Metallband<sup>1)</sup> leitend verbunden ist. Falls die Kathode durch einen seitlichen Ansatz in das Rohr hineinragt, ist der Zylinder mit einem Schlitz zu versehen, der es erlaubt, ihn über die Kathode zu schieben. Durch statische Einwirkung dieses Zylinders werden die Kathodenstrahlen, selbst wenn sie von einem großen Oxydfleck ausgehen, in der Rohrachse zusammengedrängt. Der Zylinder wird mittels eines Magneten so lange verschoben, bis die Kathodenstrahlen auf einen Punkt, wie auf einen Brennpunkt konvergieren. Man kann auf diese Weise sehr bedeutende Energiemengen auf diesen Punkt konzentrieren. Ferner gelingt es mit Hilfe dieses Zylinders, schräge zur Rohrachse verlaufende Kathodenstrahlen in die Rohrachse zu zwingen. Aus diesem Grunde eignet sich diese Anordnung besonders zur Verwendung in der von Herrn A. WEHNELT<sup>2)</sup> angegebenen Form der BRAUNschen Röhre, bei der erfahrungsgemäß bei längerem Gebrauch gelegentlich Verbiegungen des Platinbleches der Kathode eintreten, so daß die Kathodenstrahlen das Diaphragma nicht mehr treffen.

---

<sup>1)</sup> Am besten sogenanntes Lametta, wie es als Christbaumschmuck verwendet wird.

<sup>2)</sup> A. WEHNELT, Physikal. ZS. 6, 732, 1905.

***Künstliche Zellen  
mit flüssig-kristallinen Wänden;  
von O. Lehmann.***

(Vorgelegt in der Sitzung vom 29. Mai 1908.)

(Vgl. oben S. 394.).

Nachdem der Nachweis gelungen ist, daß VIRCHOWS Formen als hohle flüssige Kristalle (Sphärokristalle) gefüllt mit einer isotropen Flüssigkeit zu betrachten sind<sup>1)</sup>, erscheinen in den ausführlichen Mitteilungen von G. QUINCKE über Niederschlagsarten, künstliche Zellen, Silikatvegetationen usw.<sup>2)</sup> von besonderer Bedeutung. QUINCKE sagt (l. c. 7, 741): „Bei der Einwirkung von Lösungen von Calciumnitrat, Calciumchlorid oder Calciumbicarbonat auf Kohlensäure und kaustische Alkalien entsteht ein flüchtig-ölartiger Niederschlag, der an der Grenze mit der umgebenden Flüssigkeit eine Oberflächenspannung besitzt, die ihn 1 bis 3 Sekunden, einige Stunden und mehr flüssig bleiben läßt, ehe er erstarrt. Dieser flüssige Niederschlag bildet bei weiterer Verdichtung starren Kristalle von Kalkspat (Rhomboeder) oder amorphem kohlen-sauren Kalk (Kreide) . . . . Außerdem bilden sich in diesem ölartigen Niederschlage Linsen oder Sphärokristalle. Die Linsen oder Sphärokristalle bestehen aus radial angeordneten Schläuchen mit Querwänden oder radial aneinander gereihten kugelförmigen Blasen, in welche die radialen Schläuche zerfallen sind. Schläuche, Schlauchkammern und Blasen haben Wände, die mit ölartiger Flüssigkeit, sind mit wässriger Flüssigkeit gefüllt, die sichtbar oder sehr klein und unsichtbar sein. Die Schläuche und Blasen der Sphärokristalle quellen auf, indem Wasser in die ölartigen Wände in das Innere diffundiert, und zerfallen, indem die Zusammensetzung der ölartigen Wände sich ändert.“

<sup>1)</sup> O. LEHMANN, Diese Verh. 10, 321, 1908.

<sup>2)</sup> G. QUINCKE, Ann. d. Phys. (4) 7, 631, 701; 9, 793, 1902; 10, 55, 449, 1903; 13, 65, 1904.

Blasen. Je nach dem Zug oder Druck, der beim Aufbruch der Schaumzellen und Blasen auf die sehr klebrige Membran oder nur teilweise fest gewordene Wand ausgeübt wird und je nach Form und Anordnung der Schaumzellen im flüssig-kristallinen Zustand ist die Doppelbrechung der aus Schaumzellen bestehenden Linse verschieden, kann der Sphärokristall zwischen zwei NICOLSchen Prismen mit einer Glimmerplatte von bestimmter Wellenlänge positive oder negative Doppelbrechung zeigen und komplizierte Polarisationskurven . . . . Der Sphärokristall unterscheidet sich in Entstehung, Bau und Eigenschaften den von QUINCKE entdeckten Myelinformen der Ölschäume aus wässrigen Lösungen ölsaurer Alkalien.“

Ich halte die von QUINCKE gegebene Erklärung für unzutreffend, da eine Flüssigkeit nicht durch Zug oder Druck dauernd flüssig-kristallin werden kann. In einer Flüssigkeit können nur Spannungen überhaupt nur vorübergehend bestehen<sup>1)</sup> und die Untersuchung der Doppelbrechung ergibt solche nur, wenn sich die Flüssigkeit in Strömung befindet<sup>2)</sup>.

Die Beobachtungen zutreffend, und daran ist bei der größten Sorgfalt, mit welcher QUINCKE zu experimentieren suchte, nicht zu zweifeln, so kann es sich nur um flüssige hohle Sphärokristalle handeln wie bei den Myelinformen.

QUINCKE hat ähnliche Sphärokristalle „zweiter Klasse“, welche aus einer Ansicht aus radial angeordneten Blasen bestehen (S. 737), noch in verschiedenen anderen Fällen beobachtet, z. B. beim Zusammenbringen von wässriger Aluminiumsulfatlösung mit Alkohol (l. c. 9, 21); beim Eintrocknen von Kieselsäurelösung mit Spuren von Alkali (l. c. 9, 823); beim Eintrocknen von wässriger Schwefellösung (l. c. 9, 995) und beim Eintrocknen von Kupferlösungen (l. c. 10, 675) mit oder ohne Zusatz von Kalk (l. c. 11, 483).

Hiernach existieren auch im Bereiche der anorganischen Chemie eine Menge flüssig-kristallinischer Substanzen.

O. LEHMANN, Vierteljahresb. d. Wien. Ver. z. Förd. d. phys. u. chem. Wiss., 12, 239, 1907.

C. DE METZ, La double réfraction accidentelle dans les liquides, Compt. Rend. Acad. Sci. Paris, No. 26, Paris 1906, Gauthier Villars.

Nach QUINCKES Auffassung sind die bekannten Versuche über künstliche Zellen<sup>1)</sup>, Silikatvegetationen<sup>2)</sup> usw. alle auf die Bildung solcher flüssiger doppelbrechender Schichten zurückzuführen, nicht auf M. TRAUBES poröse halbdurchlässige Niederschlagsmembranen aus festen Teilchen. Erst später werden diese flüssigen, halbdurchlässigen Häute fest. Er sagt (l. c. 7, 66): „Ich muß dies ausdrücklich hervorheben, da PFEFFER bei seinen Versuchen über Diffusion Zuckerlösung und Wasser durch die Niederschlagsmembrane getrennt hat, und diese Versuche häufig angeführt werden als ein klassisches Beispiel für die Diffusion durch eine halbdurchlässige Membran und als ein Beispiel für die von VAN 'T HOFF aufgestellte Theorie des osmotischen Druckes.“

QUINCKE befindet sich hier im Irrtum, denn für VAN 'T HOFFS Theorie ist es ganz gleichgültig, ob die Membran flüssig oder fest ist, man kann auch flüssige Scheidewände benutzen<sup>3)</sup>, dagegen würde sich die Halbdurchlässigkeit der Membranen gut verstehen lassen, wenn sie flüssig-kristallinisch sind, da solche Membranen sehr wenige (im allgemeinen isomorphe) Stoffe in jedem Verhältnis zu lösen und durchzulassen vermögen, z. B. Wasser, nicht aber den darin aufgelösten Zucker.

Beruhet die Bildung der „künstlichen Zellen“ und „künstlichen Vegetationen“ wirklich auf der Entstehung flüssig- oder fließend-kristallinischer Häute, so ist ihre Analogie mit wachsenden natürlichen Zellen wohl nicht nur eine äußerliche, denn auch bei die-

<sup>1)</sup> Literatur s. b. QUINCKE, Ann. d. Phys. (4) 7, 644, 1902; ferner St. LEDUC, Compt. rend. de l'Assoc. Franc. p. l'Av. des Sciences 1907

<sup>2)</sup> Herr ALFRED SEDLACZEK in München, Dachauerstr. 15, hatte die Freundlichkeit, mir folgende Rezepte mitzuteilen: Als sog. Kulturflüssigkeit wird reines Natronwasserglas, dem Volumen nach sechsmal mit Wasser verdünnt, angewendet. Ein Becherglas wird damit angefüllt und Körner in die Mitte gesetzt, welche hergestellt wurden durch Vermengen der nachbezeichneten Gewichtsteile pulverisierter Salze mit der angegebenen Wassermenge und Trockenlassen an der Luft: Für moosähnliche Vegetation (moosgrün): 15 CuSO<sub>4</sub>, 5 FeSO<sub>4</sub>, 5 CaSO<sub>4</sub>, 5 Wasser; für algenähnliche Vegetation (braun): 15 FeSO<sub>4</sub>, 5 CuSO<sub>4</sub>, 5 CaSO<sub>4</sub>, 5 Wasser; baum- und strauchartige Vegetation (grüner Stamm, weiße Verästelungen): 10 MnSO<sub>4</sub>, 10 CuSO<sub>4</sub>, 1 FeSO<sub>4</sub>, 5 CaSO<sub>4</sub>, 2 1/2 Wasser; weißblaue Silikatbüschel: 10 CuSO<sub>4</sub>, 10 ZnSO<sub>4</sub>, 10 CaSO<sub>4</sub>, 2 1/2 Wasser.

<sup>3)</sup> Solche benutzte schon L'HERMITE, C. R. 39, 1177, 1854.

wie die häufig zu beobachtende Doppelbrechung der Membran zeigt und die Art des Wachstums, z. B. die Streckung der Membran bei Oedogonium, die Bildung kristallinischer Schichten und mindestens von Übergängen solcher zu amorphen (vgl. die in n. 1 zitierte Abhandlung) in Frage kommen. Leider habe ich bisher die Zeit, nähere Untersuchungen darüber auszuführen.

Carlsruhe, 27. Mai 1908.



**Die Zustandsgleichung der Metalle;  
von M. Thiesen.**

(Mitteilung der Physikalisch-Technischen Reichsanstalt.)

(Eingegangen am 3. Juni 1908.)

Hr. GRÜNEISEN hat vor kurzem zunächst für Meta-Beziehung aufgestellt<sup>1)</sup>, aus der sich weitgehende Schlüsse über die Form der Zustandsgleichung dieser Körper ziehen lassen. Diese Folgerungen der GRÜNEISENSCHEN Beziehung sollen hier entwickelt und zum Teil an der Erfahrung geprüft werden.

Wählt man den Druck  $p$  und die absolute Temperatur  $\vartheta$  als unabhängige, bezeichnet mit  $v$  das Volumen und mit  $Q$  die Entropie einer Flüssigkeit, so lautet die Grundgleichung der Thermodynamik nach MASSIEU:

$$dQ = s d\vartheta - v dp.$$

Ist  $Q$  als Funktion von  $\vartheta$  und  $p$  gegeben, so enthält die Zustandsgleichung alles, was im Gebiete der Thermodynamik über diese betreffende Flüssigkeit ausgesagt werden kann.

Für  $v$  und  $s$ , die partiellen Differentialquotienten der  $Q$ , mögen die Gleichungen bestehen:

$$ds = C \frac{d\vartheta}{\vartheta} - \beta dp$$

$$dv = \beta d\vartheta - \gamma dp$$

Dann läßt sich der von Hrn. GRÜNEISEN aufgestellte Satz fassen, daß das Verhältnis zwischen  $C$  und  $\beta$  von der Temperatur unabhängig ist.

Diese Behauptung muß allerdings nach zwei Richtungen eingeschränkt oder doch erläutert werden.

Erstens hat Hr. GRÜNEISEN seinen Satz für feste Körper aufgestellt; feste Körper werden aber thermodynamisch durch zwei unabhängige bestimmt. Trotzdem werden auch die einfachen thermodynamischen Gleichungen ihre Gültigkeit behalten.

<sup>1)</sup> E. GRÜNEISEN, ANN. D. PHYS. (4) 26, 211, 1908.

behalten, falls nur solche Änderungen berücksichtigt werden, bei denen der Körper sich selbst ähnlich bleibt. Dies muß daher durchweg vorausgesetzt werden.

Zweitens bezieht sich der Satz des Hrn. GRÜNEISEN nicht auf die hier auftretende kubische Ausdehnung  $\beta$ , sondern auf die lineare Ausdehnung. Nun folgt allerdings aus einer von Hrn. GRÜNEISEN gemachten Bemerkung über das Ansteigen des Quotienten  $\beta/C$  mit der Temperatur, daß sich für die kubische Ausdehnung die Übereinstimmung mit der Erfahrung etwas schlechter herausstellen dürfte. Man kann aber wohl von vornherein als feststehend annehmen, daß der Satz nur genähert gültig ist und darf ihn daher als Ausgangspunkt der Betrachtung so abändern, daß sich auf ihn die Grundsätze der Thermodynamik in möglichst einfacher Form anwenden lassen.

Wie Gleichung 2) zeigt, kann man nun den Satz auch so aussprechen, daß die Erwärmung eines Körpers durch isentropische Druckvermehrung der absoluten Temperatur proportional ist. Nehmen wir an, daß der Satz nicht nur für sehr kleine Druckänderungen bei Atmosphärendruck, sondern auch bei größeren Druckänderungen, wie sie zum Erweise des Satzes in dieser Form nötig wären, seine Geltung behält, so kann man setzen:

$$C = A\theta, \quad \beta = B\theta \quad 4)$$

wo  $\theta$  eine Funktion der Temperatur ist,  $A$  und  $B$  Funktionen des Druckes sind.

Da die Größen  $C$  und  $\beta$  nach 2) sich durch die Differentialquotienten der Entropie ausdrücken lassen, so gilt die Bedingung

$$\frac{\theta}{\vartheta} \frac{dA}{dp} + B \frac{d\theta}{d\vartheta} = 0 \quad 5)$$

oder auch, falls  $\kappa$  eine Konstante bezeichnet,

$$\kappa\theta = \vartheta \frac{d\theta}{d\vartheta} \quad 6)$$

$$\frac{dA}{dp} + \kappa B = 0 \quad 7)$$

Aus 6) folgt, daß die Temperaturfunktion  $\theta$  mit  $\vartheta^\kappa$  proportional ist. Man kann daher setzen:

$$C = \kappa A \vartheta^\kappa; \quad \beta = -\frac{dA}{dp} \vartheta^\kappa \quad 8)$$

## Ausdehnung des Platins.

| Beobachter      | Temperaturintervall | $\beta$ beob. | $\beta$ ber. |
|-----------------|---------------------|---------------|--------------|
| BENOIT          | + 2 bis + 38        | 2686          | 2632         |
| "               | + 38 " + 74         | 2714          | 2694         |
| HOLBORN u. DAY  | 0 " + 250           | 2771          | 2781         |
| "               | + 250 " + 500       | 2967          | 3041         |
| "               | + 500 " + 750       | 3198          | 3226         |
| "               | + 750 " + 1000      | 3435          | 3372         |
| SCHEEL          | - 191,2 " + 16      | 2387          | 2409         |
| "               | + 16 " + 56         | 2685          | 2663         |
| "               | + 56 " + 100        | 2730          | 2725         |
| SCHEEL u. HEUSE | - 183 " - 78        | 2283          | 2309         |
| "               | - 78 " + 16         | 2580          | 2547         |
| "               | - 192,5 " + 16      | 2396          | 2407         |
| "               | - 188,1 " + 16      | 2407          | 2413         |

## Spezifische Wärme des Platins.

| Beobachter             | Temperaturintervall | $C$ beob. | $C$ ber. |
|------------------------|---------------------|-----------|----------|
| BUNSEN                 | 0 bis + 100         | 323       | 322      |
| "                      | + 8 " + 100         | 327       | 323      |
| VIOLLE                 | 0 " + 100           | 323       | 322      |
| "                      | 0 " + 783,5         | 365       | 364      |
| "                      | 0 " + 1000          | 377       | 373      |
| "                      | 0 " + 1177          | 388       | 380      |
| BARTOLI u. STR.        | 15 " 100            | 322       | 324      |
| GAEDE                  | 17 " 92             | 317       | 323      |
| BEHN                   | - 186 " - 79        | 277       | 277      |
| "                      | - 79 " + 18         | 311       | 307      |
| "                      | + 18 " + 100        | 324       | 324      |
| TILDEN                 | - 182 " + 15        | 292       | 291      |
| "                      | 15 " 100            | 315       | 324      |
| "                      | 15 " 435            | 338       | 347      |
| JAEGER u. DIESSELHORST | bei + 18            | 320       | 317      |
| "                      | " + 100             | 332       | 331      |

Das gewonnene Resultat läßt sich insofern an der Erfahrung prüfen, als es ein einfaches Gesetz für die Abhängigkeit der spezifischen Wärme und der Ausdehnung von der Temperatur ergibt. Man findet nun leicht mit Hilfe der von Hrn.

benutzten Zahlen, daß das Gesetz annähernd der Erfahrung entspricht und daß die Konstante  $\alpha$  in der Weise vom Atomgewicht abzuhängen scheint, daß sie mit steigendem Atomgewicht abnimmt; für Aluminium ist sie etwa doppelt so groß als für Platin.

Für eine genauere Untersuchung muß unbedingt auf die benutzten Originalwerte zurückgegangen werden. Hier sollen nur, mit Vorbehalt, einige Zahlen für Platin mitgeteilt werden; für die Literatur sei auf die Arbeit des Hrn. GRÜNEISEN verwiesen.

In den vorstehenden Tabellen ist die Einheit für  $\beta$  gleich dem 10<sup>3</sup>fachen des Volumens bei 0°, die Einheit für  $C$  gleich dem 10<sup>4</sup>fachen der spezifischen Wärme des Wassers bei Zimmertemperatur angenommen. Berechnet sind die Werte von  $C$  und  $\beta$

$$\alpha = 0,18; \beta_0 = 2605; C_0 = 313,$$

und  $C_0$  die Werte von  $\beta$  und  $C$  beim Eispunkte bei 0°, der Nullpunkt der absoluten Temperatur ist bei —273 angenommen.

Die Abweichungen der Beobachtungen von der Formel erklären sich, wenn man ihre Gesamtheit betrachtet, nicht als systematisch, und auch ihre absolute Größe ist von der Ordnung der Abweichungen, die bei gleichen Temperaturen auftreten<sup>1)</sup>. Beachtet man, daß sich bei den benutzten Beobachtungen die Temperatur um das 18fache ihres Wertes ändert, so kann wohl die Formeln 8) zunächst für Platin als bestätigt angesehen werden.

Außer ihrem unmittelbaren Nutzen zur Verbindung und Berechnung der bei verschiedenen Temperaturen angestellten Beobachtungen können die Formeln 8) dazu dienen, auch an anderen Metallen, für die der GRÜNEISENSCHE Satz aus Mangel an Beobachtungen nicht direkt erwiesen werden kann, seine Folgerungen zu prüfen. Ferner können mit ihrer Hilfe Größen berechnet werden, die der direkten Beobachtung schwer zugänglich sind, z. B. die Abhängigkeit der spezifischen Wärme  $C$  vom

<sup>1)</sup> Es kann namentlich bei niederen Temperaturen auch die thermische Ausdehnung eine Rolle spielen, die wahrscheinlich nicht nur die Ausdehnung, sondern auch die spezifische Wärme beeinflusst.

Druck (es wird  $\partial C/\partial p = -\kappa\beta$  eine sehr kleine negative Größe) oder die Temperaturänderung bei plötzlicher Druckänderung ( $d_s t/dp = \beta\vartheta/C$ ).

Die Größe  $C/\beta$  hat die Dimension eines Druckes, sie wird mit  $\pi$  bezeichnet werden. Wählt man als Einheit des Druckes die Atmosphäre, bezeichnet mit  $\delta_0$  die Dichte des Platins am Eispunkt unter Atmosphärendruck und nimmt diese Dichte den Wert 21,4 an, so erhält man aus den oben angegebenen Werten für den Druck 1:

$$\pi = \frac{313.41,34}{.2605} 10^4 \delta_0 = 4,97 \cdot 10^4 \delta_0 = 1,06 \cdot 10^6.$$

Die Abhängigkeit der Größe  $\pi$  vom Druck bleibt unbekannt. Sieht man aber in erster Näherung  $\pi$  als konstant an und entwickelt nach der für gewöhnliche Drucke sehr kleinen Größe  $p/\pi$ , so kann man setzen:

$$A = a \left( 1 - \kappa \frac{p}{\pi} \right)$$

wo die Konstante  $a$  für Platin den Wert

$$a = \frac{12,94}{\kappa 273^2}$$

erhält.

Aus den Gleichungen 2) und 8) ergibt sich, abgesehen von einer unwesentlichen additiven Konstante:

$$s = A \vartheta^x$$

und weiter aus 1) und 10):

$$Q = A \frac{\vartheta^{x+1}}{x+1} + D$$

wo  $D$  eine Funktion des Druckes allein ist.

Diese Funktion  $D$  läßt sich genähert aus der Kompressibilität berechnen. Ist  $\delta$  die Dichte bei verschwindendem Druck,  $\delta_0$  die Dichte am absoluten Nullpunkt,  $\lambda$  eine Zahl, so kann man genähert setzen:

$$D = -\frac{p}{\delta} \left( 1 - \lambda \frac{p}{\pi} \right)$$

Für Platin ergibt sich:

$$\delta = 1,006 \delta_0,$$

während  $\lambda$  so nahe, als es die Genauigkeit der Beobachtungen erlaubt, gleich  $\kappa$  gesetzt werden kann. Es würde dies

essibilität von  $0,34 \cdot 10^{-6}$  entsprechen, während nach GRÜN-  
die direkt gefundenen Werte in Atmosphären, abgesehen  
m Faktor  $10^{-6}$ , gleich 0,57 (BUCHANAN), 0,21 (RICHARDS),  
GRÜNEISEN) sind.

St man die zuletzt gefundene Vereinfachung zu<sup>1)</sup>, so er-  
an für  $Q$  die verhältnismäßig sehr einfache Form mit vier  
nten:

$$Q = \left( a \frac{\vartheta^{x+1}}{x+1} - \frac{p}{\delta} \right) \left( 1 - x \frac{p}{\pi} \right).$$

andere Formen der vollständigen Zustandsgleichung, bei  
s an Stelle von  $\vartheta$  und  $v$  an Stelle von  $p$  als Abhängige  
ementsprechend andere Energieformen an Stelle von  $Q$   
lassen sich leicht ableiten.

*Bemerkungen zu vorstehendem Aufsatz;  
von M. Thiesen.*

(Eingegangen am 3. Juni 1908.)

Die Ausführungen der vorstehenden Abhandlung schlossen  
sich an die Erfahrung an, und die gewonnenen Resultate  
zunächst nur für Platin gelten. Es sollen einige Be-  
merkungen folgen, die auf einer weniger sicheren Grundlage  
andererseits nicht an die Gültigkeit des GRÜNEISENSCHEN  
gebunden sind, aber doch geeignet erscheinen, dessen  
Bedeutung ins rechte Licht zu rücken. Die Bedeutung des  
Satzes wird eine verschiedene sein, wenn man annimmt, daß die  
Zustandsgleichung für einen festen, kristallinen Körper außer  
Zusammenhang steht mit der Zustandsgleichung derselben Sub-  
stanz im flüssigen oder einem anderen kristallinen Zustand,  
wenn man dieselbe Zustandsgleichung für alle Zustände der  
Substanz gelten läßt. Im ersten Falle steht nichts der Annahme  
entgegen, daß der Satz GRÜNEISENS mit seinen Folgerungen für  
alle Zustände streng gültig ist; im zweiten Falle kann der

<sup>1)</sup> Diese Vereinfachung scheint keinesfalls für Metalle mit kleinem  
Atomgewicht zulässig zu sein; man muß daher im allgemeinen noch die  
Formeln 1 beibehalten.

Satz nur eine genäherte Gültigkeit für einen bestimmten der Kurve beanspruchen, aber man darf dafür erwarten, seiner Hilfe gewonnenen Resultate für den ganzen Verlauf der Zustandsgleichung verwerten zu können.

Die erste der beiden Annahmen dürfte wohl jetzt die entscheidende sein, nachdem sich G. TAMMANN sehr entschieden ausgesprochen und den von W. OSTWALD in zu treuer Erinnerung von J. THOMSON gemachten Versuch, den Zusammenhang zwischen dem festen und flüssigen Zustande herzustellen, abgelehnt hat<sup>1)</sup>.

Ich bin indessen zu der Ansicht gekommen, daß die zweite Annahme ohne jeden inneren Widerspruch aufrechterhalten läßt und daß sie daher auch nach den Prinzipien der gesunden Forschung festgehalten werden muß, da nur durch sie ein Zusammenhang gegeben wird, der fehlt, wenn man die Schmelz- und anderen Umwandlungskurven als das Ergebnis einer Phaseübergangsansicht ansieht. Zwischen dem flüssigen Zustand, dem auch der amorphen zuzurechnen ist, und den kristallinen Zuständen eines Stoffes besteht allerdings ein fundamentaler, schon im Anfang dieser Arbeit angedeuteter Unterschied insofern, als vier Unabhängige eingeführt werden müßten, etwa im Sinne der Raumgittertheorie die Abstände der Molekel in drei Richtungen an Stelle der Dichte.

Für Flüssigkeiten kann man, wie ich schon vor längerer Zeit angenommen<sup>2)</sup>, die Funktionen von Temperatur und Dichte als eindeutig ansehen, es ist unmöglich, daß eine Flüssigkeit bei gleicher Dichte und gleicher Temperatur in zwei Zuständen existieren wird auch für Kristalle gelten, wenn wir sie durch die vier Parameter definieren; es gilt aber nicht mehr bei der Beschränkung auf zwei Parameter, da dann nicht mehr die wahren Zustände, sondern nur ihre Projektionen erscheinen.

Verbindet man gleiche Werte einer Funktion von Temperatur und Dichte so wird dies, wie wir annehmen, durch einen zusammenhängenden Kurvenzug möglich sein; im Gebiete der kristallinen Zustände

<sup>1)</sup> G. TAMMANN, Kristallisieren und Schmelzen. Leipzig 1903.

<sup>2)</sup> M. THIESEN, Wied. Ann. 24, 477, 1885.

kann dieser aber Schlingen mit Durchkreuzungen aufweisen, die unmöglich sind, wenn man die Kurve nur für den flüssigen Zustand auszieht.

Berücksichtigt man diesen Umstand und das Gesetz, das die Lage der Umwandlungspunkte bestimmt, so wird es meist nicht schwierig sein, genähert den Verlauf der Kurve zu finden, der zwei beobachtete Zustände miteinander verbindet<sup>1)</sup>. Von dem hier kurz angedeuteten Standpunkte aus erscheint es am wahrscheinlichsten, daß die aus dem Satze GRÜNEISENS gefolgerten Gleichungen 8) den Charakter eines Grenzgesetzes haben, das für das eine Ende der Zustandsgleichung, den Zweig, der den bei sehr tiefen Temperaturen stabilsten Zustand darstellt, gilt, ebenso wie die Gasgesetze für das andere Ende gelten. Gibt es Substanzen, die nicht kristallisiert auftreten können, so würden sie bei Erniedrigung der Temperatur nur einmal eine Zustandsänderung erleiden und dann stetig sich dem durch die Gleichungen 8) gegebenen Gesetze nähern. Im allgemeinen wird aber eine Zustandskurve zunächst mehr oder weniger zahlreiche Windungen machen, die bei der tatsächlichen Zustandsänderung durch diskontinuierliche Änderungen teilweise ausgeschaltet werden, bis der letzte Zweig in der Weise im absoluten Nullpunkte endet, wie es die Gleichungen 8) vorschreiben. Ob diese Ansicht aber zutrifft, wird sich erst auf Grund eines Beobachtungsmaterials ermitteln lassen, das zum größten Teile noch fehlt.

---

<sup>1)</sup> In dem von TAMMANN a. a. O., S. 9, gegebenen Diagramm muß die Verbindung zwischen dem amorphen und kristallinen Zustände hinter dem Schnittpunkte bei sehr großem  $p$  stattfinden; der kristallinische Zustand ist nach negativen  $p$  hin zu verlängern. Überdies muß hier die Lage der punktierten Linie für den flüssigen Zustand geändert werden, da sie von einer Parallele zur Abszissenachse nur einmal geschnitten werden darf. Um die Lage des Schmelzpunktes wahrscheinlich zu machen, wäre vielleicht die Kurve „kristallisiert“ etwas zu heben.



**Bemerkungen zu der Erwiderung der Herren  
F. Kühnen und Ph. Furtwängler<sup>1)</sup> auf meine  
Vortrag vom 7. Februar 1908;  
von Wilh. Felgentraeger.**

(Vorgelegt in der Sitzung vom 29. Mai 1908.)

(Vgl. oben S. 394.)

Zu den obigen Ausführungen der Herren KÜHNEN und FURTWÄNGLER habe ich folgendes zu bemerken:

Ich habe mit dem Hinweis auf das unterlassene Zitat (Vorwurf<sup>2)</sup>) beabsichtigt, da es sich dabei um eine für die Herren ganz nebensächliche Frage handelte, sondern eine Warnung, die Gründe für die zweifellos bestehende Abweichung der Angaben von Reversionspendeln an der falschen Seite zu suchen. Wenn ich die Herren insofern mißverstanden haben, so liegt der Grund darin, daß der Ausdruck „Periode“ in einem kleinem Schwerpunktsabstand“ nichts über die andere für eine charakteristische Größe — Trägheitsmoment — aussagt. Die Annahme, dieses solle bei den in Rede stehenden Pendeln der selben Größenordnung sein wie bei geodätischen Sekundenpendeln.

Zu der Kritik über meine frühere Arbeit<sup>3)</sup> und den Vorwurf kann ich nur wenig sagen, da die Ausdrücke der Herren unbestimmt sind. Ich erwähne daher nur:

1. Es handelt sich nicht um Versuche mit der Waage, sondern mit einem sehr starren Pendel. Bei der Waage spielen die Vorgänge an den Endschnitten eine große Rolle.

2. Die „im wesentlichen willkürliche Annahme“ in meiner Arbeit<sup>4)</sup> bestand darin, daß ich die störenden Kräfte als

<sup>1)</sup> Diese Verh. 10, 389—390, 1908.

<sup>2)</sup> Natürlich war mir auch das Referat des Herrn FURTWÄNGLER in der Enzykl. d. math. Wiss. wohl bekannt.

<sup>3)</sup> W. FELGENTRAEGER, Über den Einfluß der Schneide auf die Schwingungsdauer des Pendels und der Waage. Wiss. Abh. d. Kaiserl.-Norddeutschen Komm., Heft 4, S. 155, 1902.

<sup>4)</sup> Dasselbe Annahme macht unter anderem Herr F. R. HELMERT in seiner Abhandlung über die Kräfte zur Theorie des Reversionspendels, S. 78.

Potenzreihe der Größen  $\varphi$  und  $\varphi'$  (des „Pendelausschlages“ und seiner Derivierten) entwickelt annahm. Man weiß, daß diese Annahme nicht einmal wesentlich ist, insofern man auch Größen, die zwar ihrem Betrage nach analytisch definiert sind, deren Vorzeichen aber es nicht ist — z. B. einen dem Quadrate von  $\varphi'$  proportionalen Widerstand — leicht berücksichtigen kann. Es lag damals dazu kein Grund vor.

Im übrigen bedaure ich, daß Herr FURTWÄNGLER mit meinen „theoretischen Entwicklungen“ nicht einverstanden ist, kann aber darüber natürlich nichts sagen, solange ich die Ausstellungen nicht kenne. Meine Versuche sind jedenfalls unanfechtbar, sie können auch qualitativ von jedem leicht nachgeprüft werden. Der Ausdruck „Vorversuche“ in meiner Arbeit bezog sich, wie wohl aus dem anderen Text klar hervorgeht, auf die hier nicht zu diskutierenden Versuche mit der Wage. Warum ich diese nicht weiter verfolgt habe, habe ich an anderem Orte<sup>1)</sup> ausgeführt.

Endlich darf ich darauf hinweisen, daß Untersuchungen über den Anteil des Krümmungsradius der Schneide, Material, Oberflächenbeschaffenheit usw. zur Klärung der hier in Rede stehenden Frage nichts beitragen können. Daß ich sonst diese wichtigen Umstände nicht berührt hätte, ist ein Irrtum<sup>2)</sup> der Herren KÜHNEN und FURTWÄNGLER.

Will man die Untersuchungen über den Einfluß von Schneide und Pfanne noch vervollständigen, so wird es von Interesse sein, diejenigen Größen zu betrachten, über die „meine Versuche keinen direkten<sup>3)</sup> Aufschluß“ geben. Das sind Größen, die dem seitlichen Zug an der Schneide proportional sein werden und die man daher allerdings nur durch Beobachtungen mehrerer Pendel von größerem Schwerpunktsabstand und durch Variation des Produktes Schwere  $\times$  Schwerpunktsabstand bestimmen kann. Solange diese vorläufig noch recht hypothetischen Größen nicht experimentell nachgewiesen sind, kann man über sie nichts sagen.

---

<sup>1)</sup> W. FELGENTRAEGER, Theorie, Konstruktion und Gebrauch der feineren Hebelwage, S. 35, 1907.

<sup>2)</sup> W. FELGENTRAEGER, Über den Einfluß usw., S. 178. Auch habe ich zwei Schneiden aus verschiedenem Material untersucht.

<sup>3)</sup> W. FELGENTRAEGER, Diese Verh., S. 90.

***Nachtrag zu unserer Arbeit:  
Über den Einfluss des Ozons auf die Kondensierung  
von Wasserdampf<sup>1)</sup>;***

***von G. Leithäuser und E. Pohl.***

(Vorgelegt in der Sitzung vom 29. Mai 1908.)

(Vgl. oben S. 394.)

---

Zu unserer Arbeit, in der wir jüngst die Nebelbildung durch Ozon behandelten, haben wir nachzutragen, daß Herr PRINGAL bereits vor uns in seiner Dissertation ausgesprochen hat, daß ein aktive Agens könnte irgend ein Stickoxyd sein<sup>1)</sup>, und Bestätigung dieser Vermutung durch Versuche des Herrn PRINGAL im Marburger Institut in dem in den *Annalen* veröffentlichten Auszuge der BARKOWSchen Dissertation angekündigt. Die Versuche des Herrn PRINGAL sind erst jüngst in der Dissertation veröffentlicht und daher konnten wir dieselben in unserer vorläufigen Mitteilung noch nicht näher berücksichtigen.

---

<sup>1)</sup> Diese Verh. 10, 249—255, 1908.

---

Verlag von Friedr. Vieweg & Sohn in Braunschweig.

# Physikalisches Spielbuch für die Jugend.

gleich eine leichtfaßliche Anleitung zu selbständigem  
Experimentieren und fröhlichem Nachdenken

von


**Dr. B. Donath.**

— Zweite vermehrte und verbesserte Auflage. —

Mit 166 eingedruckten Abbildungen.

Preis geheftet 5 Mark, gebunden 6 Mark.

verhältnismäßig kurzer Zeit ist eine neue Auflage des  
„Physikalischen Spielbuches“ notwendig geworden. Der Ge-  
brauch nach Pestalozzischer Art auch auf dem Gebiete exakter  
Wissenschaft spielend zu belehren und zum fröhlichen Nachdenken  
anzuhelfen hat sich als überaus glücklich erwiesen und ist von allen  
mit Freude begrüßt worden. Die neue Auflage hat, trotz  
weitgehenden Durcharbeitung und Erweiterung des Stoffes,  
seinem Prinzip nichts geändert. An der Hand sehr einfacher  
unterhaltender Versuche wird der junge Leser in die Grund-  
gesetze der Physik eingeführt und über den Zusammenhang der  
Erscheinungsformen belehrt. Auch werden die dem jungen Gehirn  
entsprechend entgegnetretenden Schwierigkeiten keineswegs  
vermieden, sondern vielmehr aufgesucht und soweit als möglich  
überwunden. Als Vorbereitung für den ernstern Schulunterricht ist  
das Spielbuch lebenswürdig plaudernd, in seinem Kern aber durchaus  
wissenschaftliche Buch daher ganz besonders zu empfehlen. Hin-  
sichtlich des Alters sowie des Bildungsganges werden dem jungen  
Leser keine Beschränkungen auferlegt; auch der Erwachsene  
wird das „Physikalische Spielbuch“ in seinen Mußestunden gern  
zur Hand nehmen. Das stattliche Werkchen ist in über-  
aus vorzüglicher Weise ausgestattet und als Geschenkbuch für die  
Jugend, sowie für alle Bibliotheken, ganz hervorragend  
geeignet.

Zu beziehen durch alle Buchhandlungen. 

# 80. Versammlung Deutscher Naturforscher und Ärzte

vom 20. bis 26. September 1908.

Der unterzeichnete Vorstand der Abteilung für

::

## Physik

einschl. Instrumentenkunde und wissenschaftl. Photo

gibt sich die Ehre, zu der in der Zeit vom 20. bis 26. September in  
Cöln stattfindenden 80. Versammlung Deutscher Naturforscher und  
Ärzte ergebenst einzuladen.

Da den späteren Mitteilungen über die Versammlung, die in  
Versendung gelangen, bereits ein vorläufiges Programm der Ver  
beigefügt werden soll, so bitten wir, Vorträge und Demonstra  
namentlich solche, die hier größere Vorbereitungen erfordern  
**1. Juli** bei dem mitunterzeichneten Einführenden

Professor Dr. **W. Bermbach**, Cöln, Neuffer Straße

anmelden zu wollen. Vorträge, die erst später, insbesondere erst  
oder während der Versammlung angemeldet werden, können nur  
auf die Tagesordnung kommen, wenn dafür nach Erledigung der  
Anmeldungen Zeit bleibt; eine Gewähr hierfür kann daher nicht  
genommen werden.

Die allgemeine Gruppierung der Verhandlungen soll so stattfinden,  
Zusammengehöriges tunlichst in derselben Sitzung zur Besprechung  
im übrigen ist für die Reihenfolge der Vorträge die Zeit ihrer  
maßgebend.

Ganz besonders dankbar wären wir für Vorträge über Gegenstände,  
welche sich zur Besprechung in kombinierten Sitzungen der  
mehrerer verwandter Abteilungen eignen, da es dem universellen  
der Gesellschaft Deutscher Naturforscher und Ärzte, in welcher im  
zu den zahlreichen, alljährlich stattfindenden Spezialkongressen  
Zweige der Naturwissenschaften und Medizin vertreten sind, entgegen  
gerade solche, mehrere Abteilungen interessierende Fragen zur Ver  
gelangen.

Die Einführenden:

Professor Dr. **Bermbach**.

Professor Dr. **Kayser**, Bonn.

Die Schriftführer:

Dr. **Druzes**.

Privatdozent Dr. **Eversheim**.

Professor Dr. **P. Piessner**.

**M. Rockerath**.

Diesem Hefte ist beigegeben: Ein Prospekt der Verlags  
lung von **Friedr. Vieweg & Sohn** in **Braunschweig**, betr. **L. P.**  
„**Physikalische Wandtafeln**“. 12 Tafeln im Format von 100:  
Mappe, Preis 12 Mark.

**Berichte**  
der  
**Deutschen Physikalischen Gesellschaft**

enthaltend

**Verhandlungen**

der Deutschen Physikalischen Gesellschaft  
im Auftrage der Gesellschaft herausgegeben.

von

**Karl Scheel**

und

**Halbmonatliches Literaturverzeichnis**

der „Fortschritte der Physik“, dargestellt von der  
Deutschen Physikalischen Gesellschaft

redigiert von

**Karl Scheel**

für reine Physik.

**Richard Assmann**

für kosmische Physik

**Braunschweig**

Druck und Verlag von Friedrich Vieweg und Sohn

1908

# Inhalt.

## 1. Verhandlungen der Deutschen Physikalischen Gesellschaft

- Bericht über die Sitzung vom 19. Juni 1908. . . . .
- O. v. Baeyer und E. Gehrcke, Über den Zeemaneffekt in schwachen Magnetfeldern. Mitteilung aus der Physikalisch-Technischen Reichsanstalt. (Vorgetragen in der Sitzung vom 19. Juni 1908) . . . . .
- H. du Bois und G. J. Elias, Der Einfluß von Temperatur und Magnetisierung bei selektiven Absorptions- und Fluoreszenzspektren. (Vorgetragen in der Sitzung vom 15. Mai 1908.) . . . . .
- F. Schön, Erwiderung auf Herrn Erflies Abhandlung „Zur anomalen Dispersion der Metalldämpfe. (Vorgelegt in der Sitzung vom 19. Juni 1908.) . . . . .
- Ernst Hochheim, Bestimmung der Dielektrizitätskonstante von Helium. Vorläufige Mitteilung. (Vorgelegt in der Sitzung vom 19. Juni 1908, eingegangen am 4. Juni 1908.) . . . . .

## 2. Halbmonatliches Literaturverzeichnis der Fortschritte der Physik.

- I. Allgemeine Physik. S. 213. — II. Akustik. S. 215. — III. Physik. S. 216. — IV. Elektrizität und Magnetismus. S. 218. — V. Optik des gesamten Spektrums. S. 221. — VI. Wärme. S. 222. — VII. Meteorologie. S. 224. — VIII. Astronomie. S. 224.

Verlag von Friedr. Vieweg & Sohn in Braunschweig

## Abhandlungen

aus den Gebieten der

# Mathematik, Physik, Chemie

und beschreibenden Naturwissenschaften.

Festschrift zur Feier des siebenzigsten Geburtstages

**Richard Dedekind.**

Mit Beiträgen von

H. Beckurts, R. Blasius, W. Blasius, G. Bodländer, G. Frobenius,  
R. Fricke, R. Meyer, R. Müller, H. Weber, A. Wernicke

Mit Textabbild. und 1 Tafel. gr. 8. geh. Preis 6 *M.*

## Lehrbuch der Physik

von **Andrew Gray,**

Professor der Physik an der Universität Glasgow

**Autorisierte deutsche Ausgabe von**

**Dr. Felix Auerbach,**

Professor an der Universität Jena.

Erster Band. **Allgemeine und spezielle Mechanik.** Mit  
gedruckten Abbildungen. gr. 8. Preis geh. 20 *M.*, geb. 21 *M.*

# Verhandlungen der schesen Physikalischen Gesellschaft

Im Auftrage der Gesellschaft herausgegeben  
von  
**Karl Scheel**

erg. 30. Juni 1908.

Nr. 12.

## Sitzung vom 19. Juni 1908.

Vorsitzender: Hr. H. RUBENS.

Der Vorsitzende gedenkt in warmen Worten des am Juni infolge eines Unglücksfalles beim Segeln ver-  
storbenen Vorstandsmitgliedes der Gesellschaft,

**Dr. Erich Ladenburg,**

dessen Ehren sich die Anwesenden von den Sitzen er-  
n.

Dann spricht Hr. Br. Glatzel über:

erhalten der Quecksilberfunkenstrecke bei ver-  
chiedenen Entladespannungen und Koppelungen.

erner legt Hr. E. Regener im Anschluß an seinen Vortrag  
ger Sitzung eine Mitteilung des Bibliothekars bei der Kgl.  
Bibliothek in Berlin, Hrn. E. JACOBS, betitelt:

ein Berliner Exemplar von GUERICQUES Luftpumpe



Weiter trägt **Hr. E. Gehrcke**:

Über den Zeemaneffekt in schwachen Magnetfeldern  
nach gemeinsam mit **Hrn. O. v. Baeyer** angestellten Versuchen.

---

Endlich legt **Hr. Karl Scheel** folgende zur Veröffentlichung  
in den „Verhandlungen“ der Gesellschaft eingegangene Mit-  
teilungen vor:

1. von **Hrn. M. Thiesen**: Die Zustandsgleichungen für Helium-  
talle (schon im vorigen Hefte, S. 410—417, abgedruckt).
  2. von **Hrn. Ernst Hochheim** (Marburg): Bestimmung der  
Dielektrizitätskonstante von Helium;
  3. von **Hrn. F. Schön** (Arnstadt): Erwiderung auf die  
**ERFLES** Abhandlung: „Zur anomalen Dispersion der  
Metalldämpfe“;
  4. von **Hrn. Kurt Herrmann** (Halle): Nachtrag zu seiner  
Arbeit über die Brechung und Dispersion der Dämpfe  
Heliums.
- 

Als Mitglied wurde in die Gesellschaft aufgenommen  
**Hr. Dipl.-Ing. KURT EISENMANN**, Berlin N. 4, Chausseestraße 10  
(Vorgeschlagen durch **Hrn. W. WESTPHAL**.)

---

*Der Zeemaneffekt in schwachen Magnetfeldern;  
von O. v. Baeyer und E. Gehrcke.*

(Mitteilung aus der Physikalisch-Technischen Reichsanstalt.)

(Vorgetragen in der Sitzung vom 19. Juni 1906.)

(Vgl. oben S. 422.)

Der Zeemaneffekt in schwachen Magnetfeldern bis herab zu 1 Gauss ist zuerst von den Verfassern<sup>1)</sup> zum Gegenstand einer zwei Jahren veröffentlichten Untersuchung gemacht worden, die sich auf einige hervorragend schmale und daher für den gegenwärtigen Zweck geeignet erscheinende Quecksilberlinien, insbesondere auf einzelne Trabanten erstreckte. In einer neueren Veröffentlichung hat der eine von uns<sup>2)</sup> genauere Messungsergebnisse an der Hg-Linie  $491 \mu\mu$  mitgeteilt. Das Resultat aller dieser Beobachtungen ist, daß auch bei den angewandten kleinen Feldern der magnetischen Feldstärke jede Linie einen individuellen  $\epsilon/\mu$  besitzt, der sich oft von dem für Kathodenstrahlen merklich unterscheidet, und ferner, daß die Aufspaltung der Linien durch das magnetische Feld merklich symmetrisch verläuft.

Nun hat durch neuere Abhandlungen von ZEEMAN<sup>3)</sup> das Verhalten der gelben Hg-Linie  $579 \mu\mu$  im Magnetfelde besonderes Interesse erhalten. ZEEMAN gibt nämlich an, daß diese Linie zuerst von VOIGT<sup>4)</sup> theoretisch vorausgesagte, auch aus der Lorentz'schen Theorie ableitbare Asymmetrie der äußeren Komponenten des normalen Triplets aufweist. Wir hatten seinerzeit an den von uns untersuchten Linien keine solche Asymmetrie feststellen können; auch die gelbe Linie  $579 \mu\mu$ , welche wir, allerdings nur subjektiv, untersucht hatten und an der wir Messungen

<sup>1)</sup> E. GEHRCKE und O. v. BAEYER, Verh. D. Phys. Ges. 8, 399—404, Phys. ZS. 7, 905, 1906.

<sup>2)</sup> O. v. BAEYER, Verh. D. Phys. Ges. 10, 357—365, 1908.

<sup>3)</sup> P. ZEEMAN, Kon. Akademie van Wetenschappen te Amsterdam, Deel 24, 1907, 351—358; März 27, 1908, 566—574.

<sup>4)</sup> W. VOIGT, Ann. d. Phys. (4) 1, 376, 1900.

nicht angestellt hatten, war uns früher in keiner Weise Asymmetrie in schwachen Feldern, wo doch gerade nach Theorie am ehesten ein Effekt merkbar werden sollte, aufgefallen. Es erschien uns deshalb wünschenswert, nunmehr das Verhalten dieser Linie genauer zu untersuchen.

Inzwischen ist die von ZEEMAN beobachtete Asymmetrie der gelben Linie  $579 \mu\mu$  von Herrn GMELIN<sup>1)</sup> eingehend studiert und auf andere Weise erklärt worden, als dies von ZEEMAN und VOIGT<sup>2)</sup> geschehen ist. GMELIN fand, daß die Asymmetrie der äußeren Komponenten des Triplets zukommend ist, und nicht vielmehr durch Verschiebung der mittleren Komponente zu Stande kommt. Ferner hängt die Asymmetrie nach einem anderen Gesetz von der Feldstärke ab, als dies nach der ursprünglichen Auffassung der Erscheinung der Fall sein sollte, und schließlich nimmt die Asymmetrie nach GMELIN erst in stärkeren Feldern von 750 Gauss und mehr merkliche Größen an. Hiernach ist die bisher beobachtete Asymmetrie der gelben Linie  $579 \mu\mu$  ein neues Phänomen und hat mit der von VOIGT angekündigten Asymmetrie nichts zu tun<sup>3)</sup>.

Wir teilen im folgenden einige Messungen an der Linie  $579 \mu\mu$  und gleichzeitig noch an der Linie  $577 \mu\mu$  mit, aus denen die Werte von  $\varepsilon/\mu$  in kleinen Feldern ergeben und die die Angaben von GMELIN in gewisser Weise ergänzen.

Aus folgender Fig. 1 ist das Verhalten der gelben Hg-Linie in einem Felde von 1120 Gauss zu ersehen. Die Photographie wurde in der gleichen Weise wie diejenigen der Fig. 1 b in der Mitteilung des einen von uns erhalten; als Lichtquelle diente wieder eine kleine GEISSLERSche Röhre, die etwas Quecksilber enthielt. Zur Erzeugung des Magnetfeldes stand ein DU BOISScher Elektromagnet von HARTMANN u. BRAUN zur Verfügung. Die Feldstärke wurde wie bei früherer Gelegenheit gemessen<sup>4)</sup>. Als Interferenzplatte diente die früher be-

<sup>1)</sup> P. GMELIN, Phys. ZS. 9, 212—214, 1908.

<sup>2)</sup> W. VOIGT, Phys. ZS. 9, 120—124, 1908.

<sup>3)</sup> In einer neueren Mitteilung weist Herr VOIGT darauf hin, daß die GMELINsche Asymmetrie anders zu erklären ist. Vgl. W. VOIGT, Phys. ZS. 353, 1908.

<sup>4)</sup> E. GEHRCKE und O. v. BAEBER, l. c.; O. v. BAEBER, l. c.

HILGERSche Platte von 30 cm Länge und etwa 1 cm Dicke. Der Spalt des Kollimators war bei der Beobachtung der beiden nahe beieinander liegenden gelben Linien im Vergleich zu der früher angewandten Breite desselben beträchtlich verengt.

Fig. 1.



$$H = 1120 \text{ Gauss.}$$

(Oben die äußeren, unten die inneren Komponenten des Triplets.)

Die Ausmessung der Fig. 1 ergab für die verschiedenen Ordnungen der Interferenzen die folgenden Werte der Verschiebungen  $\delta\lambda$  der äußeren Komponenten gegen die mittlere Komponente des Triplets, gemessen in Abständen der verschiedenen Ordnungen der Interferenzen als Einheit.

Tabelle I (1120 Gauss).

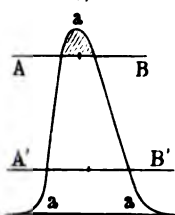
|                    | $\lambda = 577 \mu\mu$ |                  |                          | $\lambda = 579 \mu\mu$ |                  |                          |
|--------------------|------------------------|------------------|--------------------------|------------------------|------------------|--------------------------|
|                    | $+\delta\lambda$       | $-\delta\lambda$ | $\delta\lambda$ (Mittel) | $+\delta\lambda$       | $-\delta\lambda$ | $\delta\lambda$ (Mittel) |
| Interferenzen eng  | 0,170                  | 0,135            | 0,152                    | 0,130                  | 0,160            | 0,145                    |
| ↕                  | 0,170                  | 0,140            | 0,155                    | 0,128                  | 0,160            | 0,144                    |
| Interferenzen weit | 0,175                  | 0,125            | 0,150                    | 0,138                  | 0,150            | 0,144                    |
|                    | —                      | —                | —                        | 0,133                  | 0,140            | 0,135                    |
|                    | Gesamtmittel . .       |                  | 0,152                    | Gesamtmittel . .       |                  | 0,142                    |

Wie man aus Tabelle I ersieht, scheinen sich hier in der Tat unsymmetrische Aufspaltungen zu ergeben und zwar für die beiden Linien in entgegengesetztem Sinne. Diese Asymmetrien, welche bedeutend kleiner sind als die von ZEEMAN gemessenen, dürfen indes keinesfalls als reell angesehen werden. Die Hauptlinien (mittleren Komponenten des Triplets) sind, wie aus Fig. 1 ersichtlich ist, ziemlich unscharf, teils infolge von Verbreiterung, teils wegen der Nähe von Trabanten, und dadurch wird eine scharfe Einstellung auf den Schwerpunkt der Hauptlinien er-

schwert. Ferner ist zu bedenken, daß jede noch so kleine Unsymmetrie in der Intensitätsverteilung der Interferenzen, welche durch geringe Fehler des Apparates auch an einer an und für sich vollkommen symmetrischen Spektrallinie hervorgebracht wird, Verschiebungen des Schwerpunktes der Linie erzeugen muß, die von der Expositionszeit abhängen<sup>1)</sup>. Hieraus erklärt sich der Gang der Messungen aus verschiedenen aufeinander folgenden Ordnungen gefundener Werte von  $\delta\lambda$  in obiger Tabelle I. Andererseits erhellt hieraus auch, daß die Anwendung der planparallelen Platte, welche gleichzeitig eine ganze Reihe von Spektren verschiedener Ordnungen aufnehmen erlaubt, derartige, aus geringen Unsymmetrien in der Intensitätsverteilung sich ergebende Messungsfehler, wie sie bei allen nicht absolut vollkommenen Spektralapparaten vorkommen, zu erkennen gestattet. Beim Gitter und Stufengitter, wo gewöhnlich nur ein einziges Bild einer Linie in einer bestimmten Ordnung photographiert, ist die Ausmessung des Schwerpunktes dieser Linie mit starker Vergrößerung und aller erdenklichen Genauigkeit nur dann von Wert, wenn man sicher ist, daß das Bild der Linie keine von der Intensität (oder, was auf dasselbe hinauskommt, von der Expositionsdauer) abhängige Unsymmetrie in der Intensitätsverteilung besitzt.

<sup>1)</sup> Man kann sich diese Tatsache folgendermaßen verdeutlichen. Man bedeute die Kurve  $aa$  in nebenstehender Fig. 2 die nicht ganz symmetrische Intensitätsverteilung einer Linie, wie sie in einem gegebenen Apparat vorliegt und wie man sie sich etwa durch objektive Messungen oder Photometrieren der (genügend vergrößerten) Erscheinung erhalten denken kann. Exponiert man nun eine photographische Platte nur die Teile der Kurve  $aa$  oberhalb der Linie  $AB$ , d. h. die schraffierten Teile, durch Schwärzung, so erhält man eine Linie  $A'B'$ . Exponiert man indessen längere Zeit, so tragen auch etwa oberhalb der Linie  $A'B'$  liegende Teile der Kurve  $aa$  zur Schwärzung bei. Sonach entstehen in diesem Falle zwei verschieden dicke Linien, deren Mitten nicht zusammenfallen. Aus diesem Grunde fallen auch die Einstellungen eines Fadenkreuzes auf die Linie, die die Mitten der Linie, nicht zusammen, vielmehr hängt die Einstellung von der Expositionsdauer ab. Anstatt auf die Mitte der Linie könnte man sich auf die Stelle größter Intensität einstellen; aber auch dieses Verfahren ist eine Abhängigkeit von der Expositionsdauer, da die Schwärzung einer photographischen Platte keineswegs immer der Intensität des auffallenden Lichtes proportional ist. — Vgl. O. v. BAEYER, l. c., Seite 364.

Fig. 2.



Wir haben ferner die Aufspaltungen der beiden gelben Linien in stärkeren Feldern als oben nach der Methode der Koinzidenzen untersucht. Hierbei wurde auf eine Photographie der Erscheinung verzichtet und lediglich durch Regulieren des Magnetisierungsstromes im Elektromagneten eine subjektive Einstellung auf die ersten 3 Koinzidenzen der beiden äußeren Komponenten jeder Linie bewirkt; die zugehörigen Feldstärken wurden sodann wie früher gemessen.

Das Ergebnis ist in folgender Tabelle II enthalten.

Tabelle II.

|                        |                         |      |      |      |       |
|------------------------|-------------------------|------|------|------|-------|
|                        | $\lambda = 577 \mu\mu.$ |      |      |      |       |
| Gauss . . . . .        | 3650                    | 4080 | 7860 | 7815 | 11970 |
| Koinzidenzen . . . . . | I                       | I    | II   | II   | III   |
|                        | $\lambda = 579 \mu\mu.$ |      |      |      |       |
| Gauss . . . . .        | 4510                    | 4350 | 8430 | 8730 | 13470 |
| Koinzidenzen . . . . . | I                       | I    | II   | II   | III   |

Bei der II. Koinzidenz, wo die koinzidierenden äußeren Komponenten in die Verlängerung der von der mittleren Komponente gebildeten Interferenzstreifen fallen, war noch keine deutliche Asymmetrie erkennbar; die 3. Koinzidenz, bei welcher die Interferenzen der mittleren Komponente zwischen die koinzidierenden äußeren Komponenten fallen, wurde nicht näher untersucht, da wegen Erwärmung des Elektromagneten die Feldstärke sich nur schwer dauernd konstant halten ließ.

Aus den Tabellen I und II berechnen sich folgende Werte von  $\varepsilon/\mu \cdot 10^{-7}$ :

|                        | 1120 Gauss | I. Koinzidenz |      | II. Koinzidenz |      | III. Koinzidenz |
|------------------------|------------|---------------|------|----------------|------|-----------------|
| $\lambda = 577 \mu\mu$ | 2,17       | 2,18          | 1,95 | 2,02           | 2,03 | 1,99            |
| $\lambda = 579 \mu\mu$ | 2,02       | 1,76          | 1,83 | 1,89           | 1,82 | 1,77            |

Unter diesen Werten möchten wir den im Felde von 1120 Gauss erhaltenen die meiste Genauigkeit beilegen.

Aus der Arbeit ZEEMANS<sup>1)</sup> kann man die in stärkeren Feldern als gültig angenommenen, bisher an den gelben Linien noch

<sup>1)</sup> P. ZEEMAN, Akad. Wet. Amsterdam, 354, 1907.

nicht direkt gemessenen Werte von  $\varepsilon/\mu \cdot 10^{-7}$  entnehmen sind (unter Vernachlässigung der nach GMELIN hier außer acht zu lassenden Unsymmetrie):

2,06 für  $\lambda = 577 \mu\mu$  und 1,90 (im Mittel) für  $\lambda = 5$

Unsere obigen Messungen beziehen sich auf so geringe drucke des Quecksilberdampfes in der GEISSLERSCHEN RÖHRE, daß die gelben Hauptlinien noch verhältnismäßig scharf waren. Nach der Theorie folgt nun, daß die Asymmetrie mit der Zahl der leuchtenden Teilchen, d. h. mit der Dampfdichte wächst. Wir haben deshalb durch Erhitzen der GEISSLERSCHEN RÖHRE den Dampfdruck soweit erhöht, daß die gelben Linien sich ungefähr zur Hälfte des Abstandes zweier Interferenzmaxima mehr als die in Fig. 1 photographierte Aufspaltung der drei Komponenten des Triplets beträgt) verbreiterten. Für die Beurteilung einer etwaigen Asymmetrie ist die 2. Koinzidenz der beiden äußeren Komponenten des Triplets am geeignetsten, da die Interferenzen der koinzidierenden Linien mit der mittleren Komponente des Triplets in gleiche Richtung sind. Auch unter diesen Versuchsbedingungen war indes keine Asymmetrie festzustellen.

Zusammenfassend wird man also schließen, daß bei den gelben Linien in Feldern von 1120 Gauss und darüber bisher keine Asymmetrie der äußeren Komponenten des Triplets gezeigt wurde und daß eine Asymmetrie, wenn vorhanden, mit den besten Spektrographen hoher Auflösungskraft schwer nachzuweisen sein dürfte, weil sie vermutlich geringer ist als die Breite der Linien selbst.

Charlottenburg, Physikalisch-Technische Reichsanstalt  
Mai 1908.

***Einfluss von Temperatur und Magnetisierung  
selektiven Absorptions- und Fluoreszenzspektren;  
von H. du Bois und G. J. Elias<sup>1)</sup>.***

(Vorgetragen in der Sitzung vom 15. Mai 1908.)

(Vgl. oben S. 355.)

Die ausgezeichneten paramagnetischen Eigenschaften der Verbindungen sog. seltener Erdmetalle wurden im Jahre 1899 festgestellt<sup>2)</sup> und alsbald auch betont, daß die magneto-optischen Eigenschaften neue besonders charakteristische Merkmale zeigen, wegen der zugleich auftretenden hervorragend selektiven Absorption. Betrachtet man diesen Zusammenhang allgemeiner, so kann man zu bemerken, daß im natürlichen System der Elemente, in der steigenden Atomgewichten geordnet, sieben Reihen aufeinanderfolgender paramagnetischer Elemente auftreten, welche sie umfassen<sup>3)</sup>; die Reihen gerader Ordnungszahl sind dabei ausgesprochen paramagnetisch als die ungeraden:

1. Sauerstoff.
3. Metalle der Eisengruppe.
5. Seltene Erdmetalle.
7. Urankgruppe.

Die Verbindungen gehören die ausgezeichnet selektiv absorbierenden anorganischen Verbindungen ganz offenbar zu diesen paramagnetischen Reihen; diese Beziehung ist so auffallend, daß sie kaum zufällige sein kann.

Aus dem überreichen Material mußte eine beschränkte Auswahl getroffen werden. Wir untersuchten z. B. einige — als verdünnte feste Lösungen zu betrachtende — farbige Edelsteine; kristallisierte Körper, einige kristallinische Präparate; aber

<sup>1)</sup> Nach Versl. Kon. Akad. Wet. Amsterdam 16, 635, 749, 878, 1908.

<sup>2)</sup> —Apr.) Eine ausführliche Mitteilung soll in den Annalen erscheinen.

<sup>3)</sup> H. DU BOIS und O. ЛИБКНЕХТ, Diese Verh. 1, 170, 236, 1899.

<sup>4)</sup> H. DU BOIS, Rapp. Congr. de Phys. 2, 499. Paris 1900.



auch amorphe Schmelzprodukte und glasige, feste Lösungen amorphem Substrat. Mit dem verfügbaren kryomagneten Apparat konnten wir die Substanzen in flüssiger Luft einen siven Längs- oder Querfelde von etwa 40 Kilogauss aussetzen für eine genügende Trennung bei den vielfach sehr komplizierten Zeeman-Effekten unbedingt erforderlich ist und viel wesentlicher erscheint als eine große Dispersion. Demgemäß arbeiten wir meistens im Spektrum erster Ordnung des ROWLANDSchen des hiesigen Universitätsinstituts.

Allgemeine Ergebnisse. Was zunächst den Einfluß der Temperatur an und für sich anbelangt, so äußert sich dieser in der allerverschiedensten Weise. Sowohl qualitativ wie quantitativ ist er für verschiedene Substanzen, ja für verschiedene Spektralgebiete bzw. Banden derselben Substanz ganz verschieden. Es lassen sich einige Haupttypen für den Verlauf einer Abkühlung aufstellen:

- |   |  |                            |
|---|--|----------------------------|
| $\alpha$ ) Verschärfung.                              |  | $\alpha'$ ) Verwässerung.  |
| $\beta$ ) Verstärkung.                                |  | $\beta'$ ) Schwächung.     |
| $\gamma$ ) Entstehung.                                |  | $\gamma'$ ) Auflösung.     |
| $\delta$ ) Verengung.                                 |  | $\delta'$ ) Verbreiterung. |
| $\epsilon$ ) Verschiebung (überwiegend nach Violett). |  |                            |

Typus  $\delta$  kommt am häufigsten vor; überhaupt beobachtet man  $\alpha$ ,  $\beta$ ,  $\gamma$ ,  $\delta$ , häufiger, als die ihnen entgegengesetzten zugeordneten Typen  $\alpha'$ ,  $\beta'$ ,  $\gamma'$ ,  $\delta'$ . Angesichts dieser Mannigfaltigkeit kann von der Allgemeingültigkeit eines einfachen Gesetzes die Rede sein, wie es Herr JEAN BECQUEREL<sup>1)</sup> aufgestellt hat.

Eine noch größere Verschiedenheit bietet der Einfluß der Magnetisierung auf die Banden; auch hier unterscheiden wir zunächst ziemlich willkürlich 16 Haupttypen:

- |  |  |                           |
|--|--|---------------------------|
| a) Verwässerung.                                       |  | a') Verschärfung.         |
| b) Schwächung.   |  | b') Verstärkung.          |
| c) Auflösung.  |  | c') Entstehung.           |
| d) Verbreiterung.                                      |  | d') Verengung.            |
| e) Aufhellung in der Mitte.                            |  | e') Bildung eines dunkeln |
| f) Verschiebung (überwiegend nach Violett).            |  |                           |
| g) Abstoßung von Komponenten.                          |  |                           |
| h) Duplett; meist unsymmetrisch, zuweilen symmetrisch. |  |                           |

<sup>1)</sup> J. BECQUEREL, Phys. ZS. 8, 942, 1907.

- i) Triplett; meist unsymmetrisch, selten ganz symmetrisch.  
 k) Quadruplett; meist unsymmetrisch.  
 l) Sextuplett; in einem Falle beobachtet.

Hierbei kommen a, b, c, d, e häufiger vor als die ihnen gegenseitig zugeordneten Typen a', b', c', d', e'. Außerdem achtet man verschiedene Nebentypen sowie allerlei Kombinationen der Haupttypen und bei komplizierteren Spektralbezirken schwer entwirrbare Zufallstypen.

Während bei amorphen Körpern nur zwischen Längs- und Querschnittsmagnetisierung zu unterscheiden ist, mehrt sich bei Kristallen die Anzahl der verschiedenen Konfigurationen ganz erheblich, und zwar in folgender Weise:

|  | Regulär | Einachsige | Zweiachsige |
|--|---------|------------|-------------|
| Regelmäßige Magnetisierung . . . . .   | 1       | 2          | 4           |
| Unregelmäßige Magnetisierung . . . . . | 1       | 3          | 6           |
| Zufällige Typen . . . . .              | 2       | 5          | 10          |

Dabei ist dann noch die Lage der Polarisationssebene zu berücksichtigen, wodurch sich die Anzahl der Fälle wiederum fast verdoppelt. Aus alledem erhellt, wie weit sich die Vielgestaltigkeit auf dem vorliegenden Erscheinungsgebiet entfernt von der ursprünglichen idealen Einfachheit des „normalen“ Zeemaneffekts, von dem ja bekanntlich schon die amorphen Dämpfe in ihrer Regelmäßigkeit ganz erheblich abweichen.

Spezielle Ergebnisse. Unter diesen Umständen war an eine erschöpfende Durchmusterung nicht zu denken; von der enormen noch großen Anzahl der untersuchten Sonderfälle kann nur ein kurzer Überblick gegeben werden.

*Erste paramagnetische Reihe;* in Betracht kommt flüssiger Stickstoff, dessen Banden aber doch noch zu breit und unregelmäßig sind, um einen Zeeman-Effekt konstatieren zu können.

*Dritte paramagnetische Reihe* (Ti, V, Cr, Mn, Fe, Co, Ni, Cu); hier spielen die Chromverbindungen die Hauptrolle. Untersucht wurden Chromkaliumalaun, Chromkaliumoxalat und Malonat, Chromborax, Smaragd, Rubin. Die drei ersteren ergaben bei 90° Verbreiterungen der Banden im Felde. Der Rubin zeigt

unter anderem Doppelbanden im Blau und Rot; besonders letzteren weisen eine Fülle von eigenartigen Erscheinungen auf. Bei  $-190^{\circ}$  zeigen sie in starken Längs- und Querspektren nach der Orientierung Triplette oder Quadruplette. Die Aufspaltung war proportional der Feldintensität, zum mindesten in erster Annäherung. In einem Falle wurde der Rubin erhitzt; in dem so realisierten Bereich von  $500^{\circ}$  schien der Zeeman-Effekt mit steigender Temperatur abzunehmen. V. MIETHE<sup>1)</sup> neuerdings zeigte, erscheint im Fluoreszenzspektrum genau der gleichen Stelle ein intensives rotes Bandenpaar, wenn Erreger wirken Kathodenstrahlen oder ultraviolettes Licht von 380 und  $390 \mu\mu$ . Wir haben die Fluoreszenzbanden bei Längs- und Quermagnetisierung untersucht und gefunden, daß sie in jeder Beziehung wie die Absorptionsbanden verhalten, insbesondere auch deren magnetische Aufspaltung in allen Details mitmachen; nur erscheint eine Fluoreszenzbandenkomponente meist etwas breiter als bei der Absorption, was auf optischer Täuschung durch Irradiation beruhen kann, die den auf optischer Täuschung durch Irradiation beruhenden Abweichungen zeigt der Polarisationszustand zuweilen Abweichungen.

*Fünfte paramagnetische Reihe* [Ce, Pr, Nd, Sm — Tb, Dy — Ho, Er, Lu(?), Tm, Yb, Nyb(?)]. Von diesen suchten wir zunächst Verbindungen der drei ziemlich seltenen Ceriterden Pr, Nd, Sm, und zwar: Praseodymsulfat, Neodymsulfat, Neodymnitrat (amorph, kristallinisch und monoklin kristallisiert), hexagonale Doppelnitrate des Neodyms mit Mg, Mn, Mineral Bastnäsit (Fluocarbonat), Neodymborax und Neodymsamariumsulfat; ferner von Verbindungen des vermutlich recht unreinen Erbiums, welches namentlich viel Dysprosium und Holmium enthalten dürfte: das Mineral Hussakit (Sulfatophosphat), Erbiumyttriumsulfat, Erbiumnitrat (amorph, kristallinisch und monoklin kristallisiert), Erbiummagnesiumnitrat, Erbiumoxyd und Erbiumglas.

Diese Verbindungen, besonders die Nitrate, liefern eine große Fülle von Beobachtungen der oben erwähnten typischen Zeeman-Effekte, welche in der buntesten Weise in den einzelnen Spektroskopiegebieten durcheinandergewürfelt erscheinen. Speziell bei m

<sup>1)</sup> A. MIETHE, Diese Verh. 9, 715, 1907.

umverbindungen ist es kein leichtes, die scheinbar unent-  
bare Einwirkung der Magnetisierung zu enträtseln. Es gelingt  
indessen durch wiederholtes Beobachten während des sehr  
rasamen Vergehens des Feldes beim großen Ringelektromagnet.  
Einzelheiten kann im vorliegenden kurzen Auszug nicht ein-  
ngen werden.

*Siebente paramagnetische Reihe.* Untersucht wurde Uranyl-  
sulfat und Uranyl nitrat; die bekannten Absorptionsbanden  
Violett und Blau werden bei  $-190^{\circ}$  bedeutend schärfer;  
nan-Effekte ließen sich hier nicht mit Sicherheit nachweisen.

---

**Erwiderung auf Herrn Erfles Abhandlung  
„Zur anomalen Dispersion der Metalldämpfe“  
von F. Schön.**

(Vorgelegt in der Sitzung vom 19. Juni 1908.)

(Vgl. oben S. 422.)

In der erwähnten Abhandlung hat Herr Dr. H. ERFLE einige Punkte meiner Dissertation über anomale Dispersion der Metalldämpfe (Jena 1907<sup>2</sup>) besprochen und vor allem das Vorzeichen negativer Werte für die von mir mit  $D_m$  und  $a$  bezeichneten Konstanten bei einigen Metalldämpfen einer Kritik unterworfen. Herr ERFLE kommt auf Grund seiner theoretischen Erwägungen zu dem Schlusse, daß nach der Dispersionstheorie von Lorentz diese Konstanten nur positiv sein können, daß ich daher in der Darstellung meiner Messungen nur positive Konstanten  $D_m$  hätte zulassen sollen.

Ich stimme Herrn ERFLES theoretischen Ausführungen, soweit sie für meine Untersuchungen in Betracht kommen, durchaus bei. Auch mir ist dieses Resultat negativer Konstanten bei einigen Metallen bekanntlich gewesen, und ich habe darum auch in meiner Arbeit in einem größeren Raume diese Frage negativer Konstanten kritisch erörtert, allerdings weniger theoretisch vom Standpunkte der magnetischen Dispersionstheorie als vielmehr im Anschlusse an die experimentellen Grundlagen meiner Messungen und Rechnungen. Weiter gehende theoretische Erwägungen an meine Resultate anzuknüpfen, lag mir schon deshalb fern, weil meine Resultate nur für qualitative Zwecke bestimmten Versuche und Messungen nicht dem Grad von Genauigkeit entsprachen, der sich unter diesen Umständen erreichen läßt, und erst eine Verfeinerung der Messungen sie lohnen würde. Ich hatte bei meinen quantitativen Untersuchungen über anomale Dispersion der Metalldämpfe n

<sup>1</sup>) Diese Verh. 10, 35—53, 1908.

<sup>2</sup>) Auch ZS. f. wiss. Photogr. 1908, S. 349 ff. u. 397 ff.

im Auge, in allgemein kritischer Form die Darlegung und  
Bedeutung einer Methode zu geben, wie man zur mathematischen  
Darstellung der von mir beobachteten und durch Messung auf  
ein rechtwinkeliges Koordinatensystem bezogenen Anomaliekurven  
verföhren könne; auf die von mir berechneten absoluten Größen  
hingegen dabei weniger Wert. Daß ich zur Auffindung einer  
Gleichung am besten von einer der Dispersionsformeln  
ausging, lag nahe, und nachdem ich so eine passende Gleichung  
gefunden hatte, ergaben sich gewisse weiter gehende Schlüsse von  
selbst. Bei dieser Auffassung meiner Aufgabe glaubte ich auch  
nicht fernherein befremdliche Resultate nicht verschweigen zu  
sorgen, falls offenbare Fehlerquellen nicht zu entdecken waren,  
sondern daß sie wirklich der Klärung erst noch bedürfen, sei es,  
daß sie auf versteckte Fehler der Beobachtungen hindeuten, die  
nicht vorkommen können, und auf deren Vermeidung besonders  
aufmerksam sein und darum aufmerksam zu machen ist. Dazu fühlte  
ich mich um so mehr verpflichtet, als über quantitative Verhält-  
nisse dieser Art bei Metalldämpfen bisher überhaupt noch wenig  
bekannt ist und die von mir angestellten Untersuchungen bis zu  
einem gewissen Grade in ihrer Art neu sein dürften. Aus diesen  
Untersuchungen heraus habe ich auch das Resultat negativer Kon-  
stanten veröffentlicht, und zwar tat ich dies mit der erforderlichen  
Vorsicht und Kritik, die ich zu üben vermochte, und zudem aus-  
drücklich unter dem Vorbehalte, daß eine spätere genaue Nach-  
prüfung, die mir bisher noch nicht möglich gewesen ist, das Re-  
sultat bestätigen sollte. — Es sei mir gestattet, diese persönlichen  
Bemerkungen hier voranzuschicken, um einem allgemeineren  
Verständnis und einer Verkennung des Zweckes meiner Ab-  
handlung vorzubeugen, falls in meiner Arbeit selbst nicht schon  
eine genügende Betonung darauf hingewiesen sein sollte.

Für die Sache selbst möchte ich folgendes bemerken: Ich habe  
in der Nähe der Absorptionslinie  $\lambda_m$  des Metalldampfes auf-  
gefunden hyperbolischen Anomaliekurven auf ein rechtwinkliges  
Koordinatensystem  $y\lambda$  bezogen, wobei die Ordinate  $y$  die an der  
Absorptionslinie  $\lambda$  auftretende vertikale Ablenkung des Spektrums von  
seinem normalen horizontalen Verlauf außerhalb des Anomalie-  
gebietes mißt. Ich fand, daß diese Kurven sich gut darstellen  
lassen durch die Gleichung:

$$y^2 + 2amy = \sum \frac{a^2 D_m}{\lambda^2 - \lambda_m^2}.$$

(Gleichung II, S. 57 meiner Dissertation.)

Diese habe ich aus der HELMHOLTZ-KETTELERSchen Formel

$$n^2 = m^2 + \sum \frac{D_m}{\lambda^2 - \lambda_m^2}$$

abgeleitet durch die Annahme, daß bei meinen Versuchen

$$y = a(n - m)$$

zu setzen sei. Dabei sind  $m$ ,  $D_m$  und  $a$  Konstante, speziell  $m = n_\infty$  für  $\lambda = \infty$  ( $m^2$  also die Dielektrizitätskonstante d. h. bei der geringen Dispersion der Dämpfe außerhalb des Anomaliegebietes ist  $m$  der ungefähr gleich bleibende Brechungsindex für die dort befindlichen Wellenlängen. Die Konstanten  $a$  und ( $a^2 D_m$ ) ließen sich jedesmal aus bekannten Wertepaaren durch Rechnung finden. Mit Rücksicht auf die Genauigkeit der Messungen glaubte ich auch die geringe Abweichung des Brechungsindex von dem Werte 1 vernachlässigen zu können, habe vor allem auch die Wellenlängen  $\lambda$  nicht auf Äther, sondern auf Luft bezogen, bezug auf Luft als Außenmedium sind wahrscheinlich auch die Anomaliekurven zustande gekommen, so daß auch die  $y$  sogleich auf Luft beziehen, was ich hier betonen möchte. Für  $m = n_\infty$  ist dann  $a$  und damit auch  $D_m$  aus den berechneten Werten ( $a \cdot m$ ) und ( $a^2 D_m$ ) zu bestimmen, also die Konstanten der HELMHOLTZ-KETTELERSchen Dispersionsformel, und diese dann für jedes  $\lambda$  das zugehörige  $n$ . Nun läßt sich diese Dispersionsformel in ihrer einfachen Form allerdings auf die Dispersionsformel von DRUDE

$$n^2 = 1 + \sum \frac{\vartheta'_m}{\lambda^2 - \lambda_m^2}$$

zurückführen durch die Beziehungen:  $\varepsilon = m^2 = 1 + \sum \frac{D_m}{\lambda^2 - \lambda_m^2}$  und  $D_m = \vartheta'_m \lambda_m^2$ , d. h. es wäre

$$\vartheta'_m = \frac{D_m}{\lambda_m^2} \quad \text{und} \quad \varepsilon = m^2 = 1 + \sum \frac{D_m}{\lambda^2 - \lambda_m^2}.$$

Wie Herr ERFLE ausführt, kann nach der DRUDESchen Dispersionsformel  $D'_m$  gar nicht negativ sein, also kann  $D_m$  nur positive Werte annehmen. Nun habe ich bei den Messungen an Metalldämpfen, vor allem bei Lithium, dennoch ein negatives

kommt nur die eine Eigenschwingung  $\lambda_1 = 670,82 \mu\mu$  in Berechnung, und, abgesehen von dem Widerspruch mit der Theorie, würde dies allerdings, wie Herr ERFLE betont und wie man ohne weiteres aus meinen Tabellen zu ersehen ist, bedeuten, daß für  $\lambda > \lambda_1$  die Berechnungsexponenten  $n < 1$  sein müßten, was nach Herrn ERFLE sicher nicht der Fall sein kann. Ich habe dieses auch mir befremdliche Resultat negativer Konstanten hier veröffentlicht aus folgenden Gründen:

1. Die experimentellen Beobachtungen und die Messungen bilden die Grundlagen meiner Rechnungen, sowie die Durchführung der Rechnung selbst kamen bei Li hinsichtlich Prinzip und Genauigkeit vollkommen gleich denen bei Metalldämpfen, für die ich ohne Widerspruch mit der Theorie positive Konstanten erhalten habe.

2. Desgleichen ist die Übereinstimmung der beobachteten Kurve mit der berechneten Kurve bei Lithiumdampf im allgemeinen eben so gut wie bei Metalldämpfen mit positiven  $D_m$ .

Wenn ich also das Resultat beim Lithiumdampf hätte verwerfen wollen, so hätte ich auch das bei den anderen Dämpfen verwerfen müssen; dafür lag ein ausreichender Grund nicht vor, denn es spricht die im allgemeinen gute Übereinstimmung zwischen Beobachtung und Rechnung eher für die mögliche Richtigkeit und Brauchbarkeit der ganzen Methode.

3. Es ist ferner auffällig, daß bei zwei Eigenschwingungen mit Konstanten  $D_1$  und  $D_2$  stets beide entweder positive oder negative Werte annehmen.

4. Das Beispiel der von MINOR bei metallischem Silber gegebenen Dispersionskurve, auf das ich in meiner Arbeit hingewiesen habe, beweist, daß sehr wohl Dispersionskurven von der oben genannten Form möglich sind, wie eine negative Konstante  $D_m$  ergeben muß, daß mit anderen Worten für  $\infty > \lambda > \lambda_m$  der Berechnungsexponent kleiner als der für  $\lambda = \infty$ , d. h.  $< m$  werden kann. Sollte ein ähnliches Verhalten auch bei Metalldämpfen im allgemeinen in ähnlichen Bogen möglich sein, dann könnte eben für  $\lambda > \lambda_m$  ein  $n < m$  oder, vorausgesetzt, daß man näherungsweise  $m = 1$  annehmen darf,  $n < 1$  möglich sein.



5. Es ist von vornherein der Form der Kurve mit Sicherheit anzusehen, ob die Berechnung ihrer Gleichung oder negative Konstanten ergeben wird, und darum star bei den von mir beobachteten Anomaliekurven, so wie ich messen habe, das Vorzeichen ihrer Konstanten im allg ganz genau fest. Dabei möchte ich bemerken, daß es ein ist, wenn Herr ERFLE behauptet, ich hätte für Li au Darstellung der Kurve mit positiven Konstanten neben solchen mit negativen Konstanten gefunden. Die Gl mit positiven Konstanten, die Herr ERFLE offenbar im A bezieht sich nicht auf die wirklich von mir gemessene I kurve, sondern auf eine angenommene ad hoc korrigierte I kurve, welche ich zur Erläuterung und Kontrolle der Erört berechnete, die ich an der betreffenden Stelle meiner über etwaige Fehlerquellen meiner Messungen anstellte. Lithiumkurve, so wie ich sie wirklich gemessen habe, fa stets negative Konstanten, und ich mußte sie finden. Der ich in meiner Arbeit S. 79 ff. ausführlich bewiesen habe, n Rechnung positive oder negative Konstanten liefern, je n für symmetrisch zu  $\lambda_m$  gelegene  $\lambda$ , für die also die ab Beträge von  $\lambda - \lambda_m$  gleich sind, die der kleineren Well ( $\lambda_v < \lambda_m$ ) entsprechende Ordinate  $y_v$  absolut genommen oder kleiner ist als die zur größeren Wellenlänge ( $\lambda_r > \lambda_m$ ) gehörige Ordinate  $y_r$ . Bei Li ist aber  $y_v < y_r$  und ebenso anderen Metaldämpfen mit negativen Konstanten  $D_m$ .

6. Dieser Umstand gab mir auch einen Fingerzeig, Fehler eventuell das Resultat negativer Konstanten hätte sachen können. Eine solche Ursache ist vor allem zu su einer fehlerhaften Bestimmung der  $\lambda$  und der genauen La Absorptionszentrums  $\lambda_m$  im Absorptionsraum, d. h. kurz in einer fehlerhaften Ermittlung von  $\lambda - \lambda_m$ . Eine un Messung der Ordinaten  $y$  kommt weniger in Betracht, w dann maßgebliche Fehler zu groß wäre und außerhalb Wahrscheinlichkeit liegt. Bei Li speziell hätte nun der beg Fehler in der Bestimmung von  $\lambda - \lambda_m$  im allgemeinen stens  $40 \mu$  betragen müssen, wenn er ein falsches Resultat lich des Vorzeichens der Konstanten hätte ergeben solle Fehler von dieser Größe erschien mir aber sehr unwahrsc

analog sprach auch bei den anderen Metalldämpfen gegen  
 gewiß vorhandene Möglichkeit, daß durch Messungsfehler ein  
 falsches Resultat verursacht werden kann, die Unwahrscheinlichkeit,  
 Fehler von der dann erforderlichen Größe bei meinen Mes-  
 sungen tatsächlich begangen worden sind.

Ich möchte aber hier betonen, daß nach meiner festen Über-  
 zeugung im wesentlichen nur Fehler der oben angedeuteten Art  
 falsches Vorzeichen der Konstanten zur Folge haben können,  
 auf ihre Vermeidung wäre daher besonders zu achten bei der-  
 selben Untersuchungen wie den meinigen. Auf keinen Fall  
 kann ich Herrn ERFLE beipflichten, wenn er die Ursache  
 des Resultates negativer Konstanten in der Unkenntnis der ge-  
 naueren Lage der brechenden Prismenkante bei meinen Messungen  
 sieht. Allerdings kenne ich bei meinen Versuchen nur die Rich-  
 tung der brechenden Kante des äquivalenten Dampfprismas im  
 allgemeinen, nicht dagegen ihre Lage relativ zur Prismenbasis, ob  
 oben oder unten, vorausgesetzt, daß die Kante horizontal liegt.  
 Wichtig ist zunächst die Kenntnis dieser genauen Lage gewiß wichtig  
 für die Entscheidung, ob die Ablenkung der Farben nach unten  
 oder nach oben zu erfolgt. Ein Wechsel der Lage der brechenden  
 Kante relativ zur Basis hat offenbar auch eine Umkehr dieser  
 Ablenkungsrichtung zur Folge, und dementsprechend müssen  
 auch die anomalen Ausbiegungen ihre Richtung mit der Lage  
 der brechenden Kante umkehren, wie man das ja auch deutlich  
 sieht, wenn man den Dampfbogen im Gesichtsfelde ver-  
 schiebt. Ist in der einen Lage der brechenden Kante des äqui-  
 valenten Dampfprismas das Spektrum auf der roten Seite der  
 Fraunhoferlinie  $\lambda_m$  nach oben, auf der blauen Seite nach unten  
 gebogen, so wird bei der entgegengesetzten Lage der brechen-  
 den Kante genau das Umgekehrte eintreten, aber es ändert sich  
 dabei eben nur die Richtung, nicht die Größe der anomalen Aus-  
 biegungen auf beiden Seiten, und auf deren relativen Betrag  
 kommt es doch, wie ich gezeigt habe, allein an bei der Bestim-  
 mung des Vorzeichens der Konstanten. Wenn ich, wie ich es  
 hier für allemal das Vorzeichen der Ordinaten  $y$  so festlege,  
 daß ich  $y > 0$  wähle für  $\lambda > \lambda_m$  und  $y < 0$  für  $\lambda < \lambda_m$ , so ist  
 in etwamaßen die positive und negative Ordinatenrichtung fest  
 zu bestimmen mit dem „roten“ bzw. „blauen“ Anomaliekurvenast;

beide kehren sich mit der Richtung der Ausbiegungen da, wie gesagt, die Größe der Ausbiegungen besteht so hat die Lage der brechenden Kante für die Lage u der Dispersionskurve nur die Bedeutung, daß in de Falle die positive Ordinatenrichtung nach oben, in dem nach unten gerechnet wird, ohne daß die Lage der Kurve hierzu eine andere geworden ist. Für die Rechnung ist damit auch die Lage der brechenden Kante vollkommen gültig. Daß ich aber das Vorzeichen der Ordinate v herein in willkürlicher Weise festlegen kann, habe ich e begründet in meiner Arbeit S. 58.

Es mag auf den ersten Blick befremdlich erscheinen man so ohne Kenntnis der geometrisch-optischen Ver des äquivalenten Dampfprismas — weder die genaue Prismas noch dessen brechender Winkel ist bekannt — Br exponenten bestimmen kann, rein aus der Form der Dispersionskurve heraus. Aber diese Tatsache hat meine Untersuchungen erst möglich gemacht, und ihr Wert ist gerade in dem a kritisch gehaltenen Nachweise dieser Möglichkeit zu suchen. Ich weiß sind die geometrisch-optischen Größen nicht ohne Be bei den vorliegenden Untersuchungen, aber nur für Zweckzwecke, nicht in dem Sinne, daß meine Rechnungen ihre Kenntnis voraussetzte! So gilt, wie ich in meiner Dissertation ausführte, die Annahme  $a(n - \infty) = y$  nur unter der Voraussetzung kleiner brechender Prismenwinkel; die Kenntnis des Werts der Größenordnung dieses Winkels ist also wichtig. Die Kritik dieser Annahme, auf der meine Untersuchungen beruhen, ist ein Mittel an die Hand, um wirklich das Resultat eines bestimmten Vorzeichens der Konstanten demonstrativ zu bestätigen.

Es sei mir gestattet, an dieser Stelle noch einige Bemerkungen anzuknüpfen, die vielleicht von allgemeinem Interesse sind und im besonderen geeignet sind, zur Aufklärung der Ursachen der negativer Konstanten beizutragen, falls dieses Resultat durch künftige genaue Experimente und Messungen bestätigt werden sollte. Zunächst habe ich bereits aufmerksam gemacht auf die Dispersionskurve des metallischen Silbers, die MINOR fand, die, was allgemeinen Charakter der Form anlangt, de

gleich, wie sie durch negative Konstanten darstellbare Dispersionskurven haben müßten. Inwieweit das Verhalten der Metalle mit dem der Metalldämpfe in Verbindung zu bringen ist, ist hier unerörtert. Wie ich aber bereits in meiner Dissertation andeutete, muß man wohl bei einer Theorie auf elektromagnetischer Grundlage den Umstand berücksichtigen, daß bei meinen Versuchen die Metalldämpfe im elektrischen Bogen erzeugt werden, für solche Dämpfe vielleicht die Theorie zu modifizieren ist. Ich mißt ja wohl auch den Dämpfen im elektrischen Bogen eine gewisse elektrische Leitfähigkeit zu; auf der gleichen Eigenschaft der Metalle hegründet man ihr abweichendes optisches Verhalten, daß ein Vergleich der Metalldämpfe im elektrischen Bogen mit den Metallen vielleicht von vornherein nicht abzuweisen ist. Die Dispersionsformel der Metalle nach DRUDE ist nun eine etwas andere als die, von der ich ausging, sie enthält ein negatives Glied, welches unter Umständen bei Metallen bewirken kann, für  $\lambda > \lambda_m$   $n < 1$  wird gemäß den von MINOR bei Ag gemachten Beobachtungen. Es wäre so denkbar, daß aus der Dispersionsformel für Metalle sich eine neue für Dämpfe im elektrischen Bogen gültige Dispersionsformel ableiten ließe, welche übereinstimmend mit einiger Annäherung — eben bei den Dämpfen negative Konstanten — die allgemeine Form annehmen

$$n^2 = m^2 - \sum \frac{D_m}{\lambda^2 - \lambda_m^2}.$$

Das Minuszeichen vor  $\sum$  würde dann als Zeichen der Rechnung und nicht als Vorzeichen von  $D_m$  zu deuten sein, und die  $D_m$  positiv, wenn überhaupt die nunmehrige Bedeutung der  $D_m$  ein bestimmtes Vorzeichen erfordern sollte.

Über es liegt noch eine andere Möglichkeit vor, die größere Wahrscheinlichkeit für sich haben mag. Kurven von der durch negative Konstanten  $D_m$  darstellbaren Form treten auch bei Substanzen auf, die optisch dünner sind als das Außenmedium, auf die Messungen bezogen werden. Ich habe nun allerdings bei meinen Versuchen angenommen, daß dieses Außenmedium Luft ist und daß die Abweichung der auf Luft bezogenen Größen von den auf das Vakuum bezogenen Werten zu vernachlässigen sei. Die Dispersionstheorie alle optischen Größen auf Äther bezieht,

hätte ich sonst den Anschluß an jene verloren, bzw. die gefundenen Gleichungen für die Anomaliekurven würden der Dispersionstheorie nicht in dem angedeuteten Zusammenhange stehen. Es ist aber immerhin fraglich, ob diese Annahmen in allen Fällen zulässig sind. Es braucht ja zudem das Medium in bezug auf welches die von mir gemessenen Anomaliekurven zustande gekommen sind, gar nicht einmal die den Bogen erzeugende atmosphärische Luft zu sein, sondern im Bogen entstehen Dämpfe eventuell solche desselben Metalles, nur von anderen Umständen und Dispersionsweise; das wäre um so mehr denkbar, wenn sich bestätigen sollte, daß die spektrale Wirkung der Anomalie im Bogen nur von ganz bestimmten Zonen ausgeht. Die Zeichnung von Kurven in einer Reihe von möglichen Umständen kann man sich davon überzeugen, wie stark unter Umständen gegenüber Äther gültige Dispersionskurve sich ändert, wenn ein anderes Außenmedium gesetzt wird. Anomale Ausbiegungen von der Form, wie ich sie S. 33 meiner Dissertation abbildete, lassen sich so sehr gut erklären als zustande gekommen zu sein über einem Medium, das im allgemeinen das Licht stärker und auch stärker dispergiert als der untersuchte Dampf. Ich verweise ich auch auf die von EBERT (Phys. ZS. 4, 473) beschriebene Anomaliekurve des Natriumdampfes, welche in seinen Versuchen mit Kaliumdampf diesem als Verunreinigung beigemischt war. Die hierbei längs der gelben Natriumlinie auftretenden anomalen Ausbiegungen sind entgegengesetzt der Richtung, die in demselben Spektrum bei der roten Kaliumlinie auftreten. Würde man für beide Kurven nach der von mir aufgestellten allgemeinen Formel

$$y^2 + 2(am)y = \sum \frac{a^2 D_m}{\lambda^2 - \lambda_m^2}$$

die Gleichungen berechnen, so müßte die eine Kurve einen positiven, die andere einen negativen Wert ergeben. Jedenfalls dürfte hier soviel feststehen, daß tiefer und einzelne gehende theoretische Erörterungen nur dann an die gewonnenen Formeln und Resultate angeknüpft werden können und sich lohnen würden, wenn alles auf Äther bezogen und gemäß der Forderung der Dispersionstheorie, und über wenn genauere Messungen und Rechnungen vorliegen,

meine kritische Untersuchung geliefert werden konnten  
 llten. — —

als Ergänzung zu einem in meiner Dissertation ausführlich  
 delten wesentlichen Punkte sei hier noch folgendes hinzu-  
 Auf S. 60 ff. meiner Dissertation (S. 48 der ZS. f. wissensch.  
 r. 1907) habe ich erklärt, daß nach Berechnung der Gleichung

$$2(am)y = \sum \frac{a^2 D_m}{\lambda^2 - \lambda_m^2} \quad \text{oder} \quad y^2 + 2b'y = \sum \frac{D'_m}{\lambda - \lambda_m^2}$$

on hier aus zur Aufstellung der Dispersionsformel

$$n^2 = m^2 + \sum \frac{D_m}{\lambda^2 - \lambda_m^2}$$

ann gelangen könne, wenn  $m$  oder, zur Berechnung von  $m$ ,  
 ziger absoluter Brechungsindex  $n_1$  bekannt sei; bei Gasen  
 nahm ich  $m = 1$  an. Es ist aber weder diese Annahme  
 die Kenntnis von  $n_1$  nötig zur Bestimmung von  $m$ , denn  
 läßt sich, wie ich hier zeigen möchte, in jedem Falle be-  
 n. Denn es ist nach S. 5 oben

$$1. \quad m^2 = 1 + \sum \frac{D_m}{\lambda_m^2},$$

ist:

$$2. \quad a^2 D_m = D'_m,$$

$$3. \quad a \cdot m = b'$$

aus lassen sich die drei unbekanntenen Größen  $a$ ,  $D_m$  und  $m$   
 Rechnung finden:

$$\varepsilon = m^2 = 1 : \left( 1 - \sum \frac{D'_m}{\lambda_m^2 b'^2} \right),$$

$$a = \frac{b'}{m} \quad \text{und} \quad D_m = \frac{D'_m}{a^2}.$$

ührt man diese Rechnung für die von mir gemessene An-  
 curve des Natriumdampfes durch, für welche sich positive  
 anten  $b'$  und  $D'_m$  ergaben, und bei der auch die Überein-  
 ung zwischen Beobachtung und Rechnung im allgemeinen  
 ut und besser als bei den anderen Metaldämpfen ist (siehe  
 S. 69, Tabelle 2), so erhält man folgende Werte:

$$\varepsilon = m^2 = 1,003\ 56,$$

$$m = 1,001\ 79,$$

$$\begin{aligned} a &= + 522,76, \\ D_1 &= + 8857 \cdot 10^{-7}, \\ D_{II} &= + 3527,4 \cdot 10^{-7}. \end{aligned}$$

Die so verbesserte Dispersionsformel des Natrium im elektrischen Bogen würde nunmehr lauten:

$$n^2 = 1,00356 + \frac{8857 \cdot 10^{-7}}{\lambda^2 - \lambda_1^2} + \frac{3527,4 \cdot 10^{-7}}{\lambda^2 - \lambda_{II}^2},$$

wobei  $\lambda_1 = 0,58962 \mu$  und  $\lambda_{II} = 0,58902 \mu$  ist.

Die nach dieser Formel berechneten Brechungsexponenten haben eine etwas andere Größe als die in Tabelle 2 (S. 38) verzeichneten Werte. Nennt man die letzteren  $n'$ , so lassen sich aus ihnen die ersteren einfach bestimmen nach der Gleichung

$$n = 1,0592 n' - 0,0574.$$

WOOD<sup>1)</sup> berechnete für die Dispersion von Natriumdampf im Vakuum bei 644° (Dichte sei =  $d$ ) die Formel

$$n^2 = 1 + \frac{m_h}{\lambda^2 - \lambda_h^2},$$

wobei er  $m_h = 55 \cdot 10^{-6}$  fand. Nach dieser Formel ist die Dielektrizitätskonstante, d. h.  $n_\infty^2$  für  $\lambda = \infty$ :

$$\varepsilon = 1,000055.$$

Bezeichnet man die entsprechenden Größen, welche für Natriumdampf im elektrischen Bogen berechnet, mit  $\varepsilon'$  =  $n_\infty'^2$  und  $n'$ , so wäre zunächst nach H. ERFLE<sup>2)</sup>:

$$\text{I. } \frac{m'_h}{m_h} = \frac{d'}{d}.$$

Ebenso müßte unter der Voraussetzung der Konstanz des Verhältnisses  $\frac{n^2 - 1}{d}$  sein:

$$\text{II. } \frac{n_\infty'^2 - 1}{n_\infty'^2 - 1} = \frac{\varepsilon' - 1}{\varepsilon - 1} = \frac{d'}{d}$$

und

$$\text{III. } \frac{n_i'^2 - 1}{n_i'^2 - 1} = \frac{d'}{d}$$

<sup>1)</sup> Phys. ZS. 5, 753 ff., 1904.

<sup>2)</sup> Die oben erwähnte Abhandlung S. 38.

ander entsprechende Brechungsindices  $n$ . Dabei fällt übrigens I. identisch zusammen, da  $\epsilon - 1 = n^2$  ist. Man erhält nach I. und II. für das Verhältnis der Dichten  $\frac{d'}{d} = 65$ , und sich für gut gemessene  $n$ ; nach III. im Durchschnitt der  $\frac{d'}{d} = 67$  ergibt. Beide Werte kommen, wie man sieht, sehr nahe.

Arnstadt, Mai 1908.



**Bestimmung der Dielektrizitätskonstante  
Helium;  
von Ernst Hochheim.**

(Vorläufige Mitteilung.)

(Eingegangen am 4. Juni 1908.)

(Vorgelegt in der Sitzung vom 19. Juni 1908.)

(Vgl. oben S. 422.)

Einer Anregung von Herrn Prof. RICHARZ folgend, habe ich es, die Dielektrizitätskonstante des Heliums mit der elektrostatischen Nullmethode von HOPKINSON-LEBEDEW zu bestimmen.

Bei dieser Methode werden zwei konstante Hochspannungsbatterien und zwei Kondensatoren gleicher Kapazität verwendet. Die unteren Platten der Kondensatoren sind miteinander verbunden mit einem Quadrantenpaar eines Elektrometers verbunden. Das ganze System ist bei Beginn des Versuchs geerdet, während die oberen Platten mit dem Plus- bzw. Minus-Pol der beiden Batterien in Verbindung stehen. Unterbricht man mittels einer Wippe die Erdung der unteren Platten, so laden sich sodann die oberen, so gleichen sich die durch die Gasatmosphäre dielektrisch gebundenen Elektrizitätsmengen aus und das Elektrometer wird in Ruhe verharren, solange die Kapazität beider Kondensatoren einander gleich sind. Ersetzt man das Gas in dem einen durch ein anderes von verschiedener Dielektrizitätskonstante, so muß man zu der Batterie ein gewisses Zusatzpotential schalten, um das Elektrometer auf Null zu halten; aus diesem Zusatzpotential kann das Potential der Batterien berechnet sich dann einfach die Dielektrizitätskonstante.

Das Helium wurde aus Brögerit, der stark thoriumhaltigen Uranpechblende<sup>1)</sup>, durch Aufschließen mit verdünnter Salpetersäure dargestellt, sodann zweimal über ein rotglühendes

<sup>1)</sup> PETER LEBEDEW, Wied. Ann. 44, 289, 1891.

<sup>2)</sup> Bezogen von ANSGAR GULDBERG, Christiania.

Calciumoxyd mit Magnesium und endlich über rotglühendes Oxyd geleitet, um es von  $N_2$  und  $H_2$  zu befreien. Das reinigte Helium zeigte, wohl infolge seines Gehaltes an Radioaktivität, eine sehr hohe Leitfähigkeit. Deshalb wurde es vor dem Einleiten in den evakuierten Kondensatorkasten durch Kokoschale, die auf der Temperatur der siedenden flüssigen Luft erhalten wurde, nochmals gereinigt.

Um die elektrostatische Meßmethode möglichst empfindlich zu gestalten, wurden zwei konstante Batterien von je 190 Volt verwendet, und zwei Plattenkondensatoren von je 300 cm Kapazität benützt. Das selbst hergestellte Zylinderquadrantenelektrometer besaß eine sehr geringe Kapazität und gab für eine Nadelladung von 1 Volt bei Ablesung mit Fernrohr und Skala 4 bis 5 mm einen Ausschlag, wenn ein Quadrantenpaar geerdet und das andere auf 0,001 Volt geladen war. Die Wippe, welche die Umschaltung zu besorgen hatte, trennte das Elektrometer von den anderen miteinander verbundenen unteren Kondensatorplatten  $\frac{1}{100}$  Sekunde nach erfolgter Umschaltung, so daß nur die Differenz der durch die beiden Gase hindurch dielektrisch gebundenen Elektrizitätsmengen in das Elektrometer gelangte, unter Ausschluß der heraus aus den Isolatoren herauskriechenden Rückstände. Besondere Wichtigkeit war auf vortreffliche Isolation, erschütterungsfreie Aufhängung und Schutz gegen elektrostatische Störungen (durch geerdete Metallhüllen) verwendet worden.

Das Mittel aus einer Reihe von Versuchen, auf 760 mm Quecksilberstand und  $0^\circ$  reduziert, ergab

$$D = 1,000074 \pm 0,000004.$$

Dieses Resultat, verglichen mit den Werten des Brechungsindex des Heliums

$$n^2 = 1,0000842 \text{ (RAYLEIGH)}$$

$$n^2 = 1,0000724 \text{ (RAMSAY-TRAVERS)}$$

$$n^2_\infty = 1,0000662 \text{ (SCHEEL-SCHMIDT)}$$

ergibt in befriedigender Weise die Gültigkeit der Relation von CAULFIELD  $D = n^2$  für das einatomige Edelgas Helium.

Auch im Hinblick auf die theoretischen Untersuchungen von NATANSON<sup>1)</sup> und ERFLE<sup>2)</sup>, welcher aus der Dispersion des

<sup>1)</sup> NATANSON, ZS. f. phys. Chem. 61, 321, 1907.

<sup>2)</sup> H. ERFLE, Diese Verh. 10, 331—338, 1908.

Heliums [nach KARL SCHEEL und RUDOLF SCHMIDT<sup>1)</sup> und HERRMANN<sup>2)</sup>] einen abnorm geringen Elektronengehalt Atoms berechnet, sowie im Hinblick auf die von HAPPEL gesprochenen Zweifel an der Gültigkeit entweder der MOSOTTISCHEN oder der MAXWELLSCHEN Relation verdr. Resultat einiges Interesse.

Es besteht die Absicht, auch die Dielektrizitätskonstante Argons nach obiger Methode festzustellen.

Bezüglich aller Einzelheiten der Messung muß ich auf die demnächst erscheinende Marburger Dissertation verweisen.

---

<sup>1)</sup> KARL SCHEEL u. RUDOLF SCHMIDT, Diese Verh. 10, 207—210.

<sup>2)</sup> KURT HERRMANN, Diese Verh. 10, 211—216, 1908.

<sup>3)</sup> HAPPEL, Ann. d. Phys. (4) 21, 369, 1906.

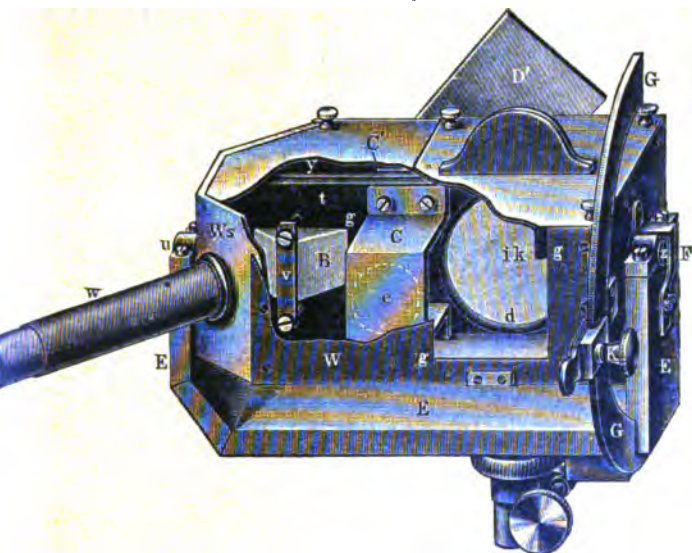
Verlag von Friedr. Vieweg & Sohn, Braunschweig.

# Praktische Photometrie

VON

**Dr. Emil Liebenthal,**

Professor und Mitglied der Physikalisch-Technischen Reichsanstalt  
in Charlottenburg.



mit 201 eingedruckten Abbildungen. gr. 8°. Preis geheftet *ℳ* 19.—,  
gebunden *ℳ* 20.—.

Die Photometrie hat infolge der Fortschritte auf dem Gebiete der  
Leuchtungs-technik in den letzten Jahren einen solchen Aufschwung  
genommen, daß die bisherigen Bücher über diesen Gegenstand den  
heutigen Ansprüchen nicht mehr ganz genügen. Das Buch soll eine  
Darstellung der Photometrie nach dem neuesten Stande geben. Es  
ist zunächst für Laboratorien von Gasanstalten, Elektrizitätswerken,  
Lampfabriken, sodann aber auch zum Studium für diejenigen Physiker,  
Techniker, Hygieniker, Lehrer bestimmt, welche sich auf diesem Ge-  
biete noch weiter ausbilden wollen; mit anderen Worten: es soll nicht  
rein technischen, sondern zugleich auch wissenschaftlichen Kreisen  
 dienen. Fast ausschließlich wurde elementare Mathematik benutzt.  
Zahlreiche Beispiele erläutern den Gebrauch der entwickelten Formeln.

*Ausführliches Verlagsverzeichnis kostenlos.*

# E. Leybold's Nachfolger

»»»»»»»»»» Cöln a. Rh. ««««««««««

Neu!

Neu!

## Gaede-Pumpe

mit neuer Porzellantrommel

D. R.-P. angemeldet.

Unzerbrechlich bei plötzlichem Eintreten von Luft

(Vergl. Physikalische Zeitschrift. 8. Jahrgang. No. 23, p. 852)

Garantierte Luftleere  $1/100000$  mm.

Während die Pumpe unter **hohem Vakuum** steht, kann man durch Abreißen des Schließers **plötzlich** Luft einlassen, ohne daß die Trommel Schaden leidet.

**Dieser Versuch kann beliebig oft wiederholt werden.**

Unsere neuen Ventiltrommeln haben vor Metalltrommeln den großen Vorzug, daß sie mit ätzenden Substanzen gereinigt werden können, was bei Metalltrommeln nicht zulässig ist.

»»»» Die neue Gaede-Pumpe ««««  
ist nur direkt von uns zu beziehen

☛ Diesem Hefte liegt bei: Ein Prospekt von *G. Rüdenberg* in *Hannover* und *Wien*, betr. Photographische Apparate usw.

**Berichte**  
der  
**Deutschen Physikalischen Gesellschaft**

enthaltend

**Verhandlungen**

der Deutschen Physikalischen Gesellschaft  
im Auftrage der Gesellschaft herausgegeben

von

**Karl Scheel**

und

**Halbmonatliches Literaturverzeichnis**

der „Fortschritte der Physik“, dargestellt von der  
Deutschen Physikalischen Gesellschaft

redigiert von

**Karl Scheel**

für reine Physik

**Richard Assmann**

für kosmische Physik

**Braunschweig**

Druck und Verlag von Friedrich Vieweg und Sohn

1908

# Inhalt.

## 1. Verhandlungen der Deutschen Physikalischen Gesellschaft.

- Bericht über die Sitzung vom 3. Juli 1908. . . . .
- A. Paalzow, Gedächtnisrede, gehalten in der Sitzung der Deutschen Physikalischen Gesellschaft am 3. Juli 1908 von H. Rubens. . . . .
- Br. Glatzel, Das Verhalten der Quecksilberfunkenstrecke bei verschiedenen Entladespannungen und Koppelungen. Vorläufige Mitteilung. (Vorgetragen in der Sitzung vom 19. Juni 1908.) . . . . .
- E. Jacobs, Das Berliner Exemplar von Guericques Luftpumpe. (Vorgelegt in der Sitzung vom 19. Juni 1908.) . . . . .
- Kurt Herrmann, Nachtrag zu der Arbeit über die Brechung und Dispersion des Heliums. (Vorgelegt in der Sitzung vom 19. Juni 1908.) . . . . .
- K. von Wesendonk, Bemerkungen zu der Erklärung der kinetischen Opaleszenzerscheinungen aus der kinetischen Gastheorie. (Vorgelegt in der Sitzung vom 3. Juli 1908.) . . . . .
- J. Franck und R. Pohl, Zur Frage nach der Geschwindigkeit der Röntgenstrahlen. Zweite Mitteilung. (Vorgelegt in der Sitzung vom 3. Juli 1908.) . . . . .
- Albert Wigand, Die elektrische Leitfähigkeit des flüssigen Selen. (Vorgelegt in der Sitzung vom 3. Juli 1908; eingegangen am 19. Juni 1908.) . . . . .
- P. Gruner, Über eine Erweiterung der Lorentz'schen Elektrodynamiktheorie der Metalle. (Vorgelegt in der Sitzung vom 3. Juli 1908.) . . . . .
- ## 2. Halbmonatliches Literaturverzeichnis der Fortschritte der Physik.

- I. Allgemeine Physik. S. 229. — II. Akustik. S. 232. — III. Optik. S. 235. — IV. Chemie. S. 232. — V. Elektrizität und Magnetismus. S. 235. — VI. des gesamten Spektrums. S. 238. — VII. Wärme. S. 239. — VIII. Physik. S. 243.

Verlag von Friedr. Vieweg & Sohn in Braunschweig.

## Leitfaden der Wetterkunde.

Gemeinverständlich bearbeitet

von Dr. R. Börnstein,

Professor an der Königl. landwirtschaftlichen Hochschule zu Braunschweig.

Zweite umgearbeitete und vermehrte Auflage. Mit 81 Textfiguren und 22 Tafeln. gr. 8. Preis geb. 6 M., geb. 6,80 M.

## Aspirations-Psychrometer-Tafeln.

Herausgegeben vom

Königlich Preussischen Meteorologischen Institut.

gr. 4<sup>o</sup>. Preis geheftet 6 Mark.

Verhandlungen  
der  
Deutschen Physikalischen Gesellschaft

---

Im Auftrage der Gesellschaft herausgegeben

von  
**Karl Scheel**

---

Jahrg. 15. Juli 1908. Nr. 18.

---

**Sitzung vom 3. Juli 1908.**

---

Vorsitzender: Hr. H. RUBENS.

---

Hr. H. Rubens spricht eine  
Gedächtnisrede auf A. PAALZOW.

---

Sodann berichtet Hr. Rudolf Ladenburg über die  
Absorption des Lichtes in leuchtendem Wasserstoff.

---

Weiter trägt Hr. A. Koepsel  
eine neue Methode zur kontinuierlichen Analyse  
von Gasgemischen auf elektrischem Wege  
vor und demonstriert einen  
Apparat zur direkten kontinuierlichen Ablesung des  
Wasserstoffgehaltes von Generatorgasen.

---

Ferner spricht Hr. Max v. Wogau:  
über die Berechnung der Diffusionskonstanten von  
Nichtelektrolyten in flüssiger Lösung.

---



Weiter berichtet **Hr. H. Diesselhorst** in Fortsetzung  
Vortrages vom 29. Mai d. J.:

**Über die Erzeugung phasenverschobener  
Hochfrequenzströme.**

---

Endlich legt **Hr. Karl School** folgende zur Veröffentlichung  
in den „Verhandlungen“ der Gesellschaft eingegangene Mit-  
teilungen vor:

1. von **Hrn. K. v. Wesendonk**: Bemerkungen zu  
klärung der kritischen Opaleszenzerscheinung  
aus der kinetischen Gastheorie;
  2. von **Hrn. P. Gruner**: Über eine Erweiterung der  
LORENTZschen Elektronentheorie der Metalle;
  3. von **Hrn. J. Franck** und **R. Pohl**: Zur Frage nach der  
Geschwindigkeit der Röntgenstrahlen;
  4. von **Hrn. Albert Wigand**: Die elektrische Leitfähigkeit  
des flüssigen Schwefels.
-

## A. Paalzow.

Lebensrede, gehalten in der Sitzung der Deutschen Physikalischen Gesellschaft am 3. Juli 1908.

Von H. Rubens.

(Vgl. oben S. 449.)

### Hochansehnliche Versammlung!

Der Beginn dieses Jahres hat unserer Gesellschaft einen schweren Verlust gebracht; am 2. Januar 1908 verstarb ein hochverehrtes ältestes Mitglied, KARL ADOLF PAALZOW, im 85. Lebensjahre. Durch mehrere Jahrzehnte hat seine ruhige Natur den Wirkungen eines inneren Leidens siegreich standgehalten. Erst das hohe Alter hat seine körperliche Widerstandsfähigkeit gebrochen.

Mir als seinem alten Schüler, nahen Freunde und langjährigen Kollegen ist die Aufgabe zu teil geworden, Ihnen in meinen Zügen ein Bild von dem Leben und Wirken unseres verehrten Mitgliedes zu entwerfen. Dieses Bild ist ein schönes und erfreuliches, denn es zeigt einen Menschen, welcher sich selbst seiner Überzeugung während eines langen, erfolgreichen und stolzen Lebens treu geblieben ist.

KARL ADOLF PAALZOW wurde am 5. August 1823 als Sohn des Kreisgerichtsdirektors und Geh. Justizrats PAALZOW in Rathenow geboren, und zwar als fünftes Kind unter acht Geschwistern. In der frühesten Jugend verlebte er in Rathenow und kam dann im 13. Jahren nach Berlin auf das Joachimstalsche Gymnasium, welchem er als Alumnus bis zu dem im Jahre 1844 bestandenen Orientalexamen angehörte. Sein Vater hatte ihn, entsprechend den Traditionen der Familie, in welcher seit Generationen der juristische und theologische Beruf vorherrschend gewesen waren, für das theologische Studium bestimmt. Es scheint, daß PAALZOW auch im Anfange mit großem Ernste theologischen Studien gewidmet hat; aber je eingehender er sich mit diesem Berufe befaßte, um so fester wurde in ihm die Über-

zeugung, daß sein unablässig nach Wahrheit ringen die durch kirchliche Tradition gegebenen Beschränkungen würde ertragen können. Aus Rücksicht auf seine Familie insbesondere auf seinen Vater, welcher ein streng kirchensinnter Mann war, hat PAALZOW das theologische Studium jener Bedenken und der sich damals schon geltend machenden naturwissenschaftlichen Neigungen bis zu einem gewissen Abschluß gebracht. Am 5. November 1850 erhielt er, sowohl im Schriftlichen und Mündlichen bestandenen Candidatens-Lizenziatenzeugnis und die Erlaubnis zu predigen. Von dieser Erlaubnis hat er dann freilich nur ein einziges Mal Gebrauch gemacht. Diese Predigt, welche leider nicht den einmütigen Beifall seiner Hörer gefunden haben soll, ist ihm bis zum Lebensende in fröhlicher Erinnerung geblieben; ich habe öfters mit vielem Humor Stellen daraus zitieren hören.

Durch Ablegung des theologischen Examens war er den Wünschen seines Vaters entgegengekommen. Zugleich wurde er dadurch in gewissem Sinne von dem Vater unabhängig. Es eröffnete sich ihm nämlich jetzt die Möglichkeit als Hauslehrer in begüterten Familien Stellung zu finden, in welcher Tätigkeit ihm denn noch Zeit genug blieb, um sein geliebten Studium der Naturwissenschaften hinzugeben. Dies war zugleich der einzige Weg, das von ihm erstrebte Ziel zu erreichen, den theologischen Beruf gegen den naturwissenschaftlichen zu vertauschen, denn sein Vater war aus kirchlichen und persönlichen Gründen ein erbitterter Gegner dieses Berufswechsels. Er sagte dem Sohne zu einem solchen Plane jede finanzielle Unterstützung. Glücklicherweise hat die damals eingetretene Fremdung zwischen Vater und Sohn nur wenige Jahre gedauert. In den Jahren 1851 bis 1855 finden wir PAALZOW als Kandidat und Hauslehrer in verschiedenen Familien und zugleich als Student der Naturwissenschaften an der Berliner Universität immatrikuliert. Der Kampf um die materielle Existenz wurde damals nicht leicht geworden, und mit berechtigtem Recht ist er später oft hervorgehoben, mit welchen Opfern er die Durchführung seines naturwissenschaftlichen Studiums hat durchführen müssen. Dennoch ist diese zweite Studienzeit, welche er als gereifter Mann durchlebt hat, eine außerordentlich

nen. Die Vorlesungen der Physiker MAGNUS, DOVE und SIUS, der Chemiker ROSE, BETZ und MITSCHERLICH, des Mathematikers DIRICHLET, des Physiologen JOH. MÜLLER und des Physikers EHRENBURG haben auf ihn einen unauslöschlichen Eindruck gemacht, und bis an sein Lebensende hat er dieser seiner Lehrer stets nur mit den Gefühlen dankbarer Verehrung gedacht. Der größte Einfluß auf PAALZOWS wissenschaftliche Entwicklung und auf die von ihm später eingeschlagene Richtung hat ohne Zweifel der Physiker GUSTAV MAGNUS ausgeübt. Es gibt nur noch wenige unter uns, welche diesen seltenen Mann persönlich gekannt haben; wir anderen sind darauf angewiesen, aus den Schilderungen dieser Wenigen und aus seinen wissenschaftlichen Arbeiten ein Urteil zu bilden. MAGNUS muß ein Mann von ungemein starker Individualität, sehr anziehendem Charakter und einem fast beispiellosen Lehrtalent gewesen sein. Seine Stärke als Forscher beruhte in erster Linie auf der klaren Einsicht und Formulierung physikalischer Probleme, ferner auf einer ungemein weitgehenden experimentellen Erfahrung und schließlich auf einer Art von wissenschaftlicher Divinationsgabe, die ihm eigentümlich war und ihn häufig das Richtige erraten ließ, wo exakte mathematisch-theoretische Betrachtungen nicht zum Ziele geführt hatten. Von seinen Schülern ist wohl AUGUST KUNDT in der Art des Denkens und Arbeitens am nächsten verwandt. Aber auch bei den übrigen Gelehrten der MAGNUSschen Schule ist ein Teil der Eigenart des Meisters erkennbar, hauptsächlich eine besonders hohe Bewertung des rein theoretischen Spekulationen losgelösten rein experimentellen Vorgehens und eine gewisse Nüchternheit in der Betrachtung des Theoretischen überhaupt. Besonders deutlich treten diese Züge am Anfang an bei PAALZOW hervor, und zwar sowohl in seinen wissenschaftlichen Arbeiten als auch in den Ansichten, die er in seinen Vorlesungen geäußert und in den Gesprächen, welche er mit seinen Fachgenossen geführt hat.

PAALZOWS naturwissenschaftliche Studienzeit fand erst im Jahre 1856, also sechs Jahre nach der Lizenziatenprüfung, durch ein bestandene Examen pro Facultate docendi ihren eigentlichen Abschluß. Die Beschaffung der Mittel zur Fortsetzung des Studiums hatte ihn immer und immer wieder zur Unterbrechung

desselben genötigt. Zwei Jahre später erfolgte auch seine Ernennung zum Doctor Philosophiae an der Universität in Halle. Er promovierte mit einer Dissertation, betitelt: „De Brewsteri Operibus“ und veröffentlichte ein kritisches Referat über BREWSTERS optische Untersuchungen.

In der Zwischenzeit aber war PAALZOW schon mit seinen vollen Untersuchungen an die Öffentlichkeit getreten. In derselben: „Über subjektive Farben und die Entstehung des Glanzes“, hatte den besonderen Beifall von GUSTAV MAYER gefunden, welcher sie im Jahre 1857 der Berliner Akademie vorlegte<sup>1)</sup>. DOVES Theorie des Glanzes ist bekanntlich auf die Theorie der okularen Sehen gegründet. PAALZOW, welcher das Sehen schon in früher Jugend verloren hatte — es war ihm durch eine Reihe von Operationen ausgehakt worden — war dennoch imstande, das Sehen zu erhalten. Er zeigte in dieser kleinen Abhandlung, daß man den Eindruck des Glanzes mit einem Auge erhalten kann, wenn man einen matten Gegenstand veranlaßt, seine Farben hintereinander periodisch zu ändern, zu welchem Zwecke die subjektiven Kontrastfarben in sehr geschickter Weise verwendet werden.

In demselben Jahre erschien auch seine Arbeit über die Bewegungsveränderungen innerhalb des Schließungsapparates einer galvanischen Kette<sup>2)</sup>. Von einem Bewegungsmechanismus ausgehend, dessen Theorie uns heute wohl weniger interessiert, scheint als den Physikern vor einem halben Jahrhundert. PAALZOW ein durchaus modernes Gebiet, nämlich die Bewegungen, welche Quecksilbertropfen unter dem Einfluß oxidierender und reduzierender Mittel erleiden. Er zeigt, daß von diesen analogen Erscheinungen auch durch den elektrischen Strom vorgebracht werden können, wenn man einen Wasserstrom über eine Quecksilberoberfläche bringt, welche man abwechselnd anodisch und kathodisch gegen den Tropfen polarisiert. Der Wasserstrom zeigt dann abwechselnd Zusammenziehung und Ausdehnung. PAALZOW führt diese Bewegungen auf elektrolytische Vorgänge zurück, eine Erklärung, welche wir in etwas modifizierter Form auch heute noch anerkennen dürfen. Diese Untersuchungen sind ohne Zweifel eine seiner schönsten und wichtigsten und gehören auf dem Gebiet der elektrokapillaren Erscheinungen.

Unterdessen hatten sich PAALZOWS äußere Lebensverhältnisse in erheblicher Weise verändert. Durch Vermittlung

des und Lehrers BERTZ wurde ihm Oktober 1856 die Lehr-  
für Physik an der vereinigten Artillerie- und Ingenieur-  
e mit einem für damalige Verhältnisse ganz stattlichen Ge-  
von 500 Talern übertragen. Noch wichtiger als die in  
jährlicher Hinsicht nunmehr gesicherte Lebensstellung erschien  
den Physiker die Möglichkeit, in einem eigenen, wenn auch  
n und mit dürftigen Mitteln ausgestatteten physikalischen  
ett zu arbeiten. PAALZOW hat sich in dieser Stellung, die  
während eines Zeitraums von 17 Jahren mit nur einjähriger  
brechung innehatte, sehr glücklich gefühlt und hat neben  
Lehrstätigkeit, welche sich 1861 durch seine Habilitation  
er Berliner Universität noch erweiterte, zu reichlicher  
lungsarbeit Anregung und Zeit gefunden. Einem Rufe als  
licher Professor der Physik und Direktor der Sternwarte,  
er im Jahre 1868 von Bern aus an ihn erging, hat er zwar  
leisten zu müssen geglaubt; die dortigen Zustände haben  
ber sehr wenig behagt und er hat es nicht lange dort aus-  
ten. Da ihm die Mittel, welche er zur Aufrechterhaltung  
laboratoriumsbetriebes für unbedingt erforderlich hielt, nicht  
igt worden waren, nahm er kurz entschlossen, ohne Rück-  
auf sein weiteres Fortkommen, seinen Abschied und kehrte  
privatgelehrter nach Berlin zurück. Als nach Ablauf eines  
s zufällig seine frühere Stelle an der Artillerieschule wieder  
urde, war er mit Freuden bereit, an die alte Stätte seines  
ens zurückzukehren. Dort ist er dann auch bis zum Jahre  
ununterbrochen tätig gewesen.

Unter den wissenschaftlichen Untersuchungen, welche PAALZOW  
und seiner Tätigkeit an der Artillerieschule veröffentlicht  
sind in erster Linie die Arbeiten über elektrische Schwin-  
gen zu nennen. Zwar existierten damals bereits die bahn-  
nenden Versuche FEDDERSENS und ebenso THOMSONS und  
HHOFFS grundlegende Berechnung der alternierenden Ent-  
g, aber dennoch waren, besonders in Deutschland, die An-  
nungen auf diesem Gebiete keineswegs geklärt und das Vor-  
ensein freier elektrischer Schwingungen wurde damals noch  
manchen Autoritäten bestritten. PAALZOW hat sich das  
ienst erworben, den Nachweis von dem Vorhandensein solcher  
rischer Schwingungen nach einer Reihe von neuen Me-

thoden erbracht und wichtige Beiträge zur Festlegung experimentellen Bedingungen zur Erzeugung alternierender Entladungen geliefert zu haben. Die erste dieser Methoden ruht auf der Beobachtung der Ablenkung, welche die Entladung in einer GEISSLERSCHEN Röhre durch ein Magnetfeld erleidet<sup>3)</sup>. Der Sinn der Ablenkung entscheidet die Richtung des Stromes. Bei kontinuierlicher Entladung tritt sich eine konstante, einseitige Ablenkung des Lichtbandes ein. Bei alternierender Entladung wird das Lichtband in zwei hellere Bänder gespalten, welche nach entgegengesetzten Seiten abgelenkt werden.

Bei der zweiten Methode<sup>4)</sup> macht er von der damals bekannten Tatsache Anwendung, daß eine Stahlnadel in der Nähe einer Magnetisierungs Spirale, durch welche der Entladung einer Leidener Flaschenbatterie hindurchgeführt wird, sich eine „anomale“ Magnetisierung zeigt, d. h. daß sie in dem entgegengesetzten Sinne magnetisiert ist, als man nach der Richtung des Entladungsstromes erwarten sollte. PAALZOW konnte nachweisen, daß man in diesen Fällen stets durch Klopfen der Nadel eine Annäherung an den „normalen“ Magnetisierungszustand herbeiführen kann. Diese Erscheinung führt er mit Recht auf die alternierenden Entladungen zurück. Jede folgende Halbschwingung erteilt der Nadel eine Magnetisierung in dem entgegengesetzten Sinne und von geringerer Stärke wie die vorausgehende. Das Vorzeichen der letzten Halbschwingung, bei welcher die Funke abreißt, entscheidet über den Sinn der Magnetisierung der äußersten Schicht, welcher nach der Entladung zunächst beobachtet wird. Durch Klopfen der Nadel wird der Durchschnittswert der Magnetisierung und damit eine gewisse Annäherung an den normalen magnetischen Zustand, welcher einer kontinuierlichen Entladung entsprechen würde, herbeigeführt.

Eine dritte Methode zum Nachweis der oszillierenden Entladung<sup>5)</sup> gründete PAALZOW auf die Beobachtung, daß bei den Übergängen kontinuierlicher elektrischer Funken zwischen zwei Platindrähten die Kathode sich bedeutend stärker erwärmt als die Anode und ins Glühen gerät, während die Anode nicht glüht. Sobald durch Einschalten einer Leidener Flasche alternierende Entladungen erzeugt werden, glühen beide Elektroden. Ohne Zweifel haben diese interessanten Untersuchungen

tragen, über das Wesen der alternierenden elektrischen Ent-  
gen Licht zu verbreiten, eines Phänomens, welches 30 Jahre  
r durch die Entdeckungen von HEINRICH HERTZ eine so  
theoretische und praktische Bedeutung erlangt hat.

Neben diesen Arbeiten über elektrische Oszillationen waren  
sonders Untersuchungen über die elektrische<sup>6)</sup> und ther-  
e<sup>7)</sup> Leitfähigkeit der Flüssigkeiten, mit welchen sich PAALZOW  
eser fruchtbarsten Epoche seines Lebens beschäftigte.

Das Gesetz von WIEDEMANN und FRANZ liefert eine einfache  
nung zwischen dem Leitvermögen der Metalle für Wärme  
Elektrizität. PAALZOW legte sich die Frage vor, ob ähnliche  
nungen auch bei den Elektrolyten vorhanden seien. Zur  
ng der thermischen Leitfähigkeit von Flüssigkeiten erwies  
die DESPRETZsche Methode als ausreichend. Weniger einfach  
s, einigermaßen zuverlässige Werte für die elektrische Leit-  
keit von Elektrolyten zu erhalten. BEETZ hatte zuerst ge-  
daß man die wesentlichste Fehlerquelle, welche bei der-  
en Messungen auftritt, die Polarisierung, in einzelnen Fällen  
Anwendung sogenannter unpolarisierbarer Elektroden fast  
vermeiden kann, doch blieb die Anwendbarkeit seiner  
ode auf wenige Substanzen beschränkt. PAALZOW erweiterte  
BEETZsche Methode in sehr sinnreicher Weise derart, daß er  
ilfe derselben das Leitvermögen beliebiger Elektrolyte messen  
e, ohne durch die Polarisierung erheblich gestört zu werden.  
Resultat seiner Untersuchungen ergab sich die Tatsache, daß  
hen den thermischen und elektrischen Leitvermögen der  
rolyte keinerlei Zusammenhang besteht, ein Ergebnis, welches  
dazu beigetragen hat, unsere heutigen Anschauungen auf  
m Gebiet zu formen.

(Ich übergehe eine Anzahl kleinerer Untersuchungen<sup>8)</sup>, welche  
in diese Epoche fallen, und wende mich wiederum zu den  
ren Lebensschicksalen unseres Freundes. Im Jahre 1873 er-  
PAALZOW einen Ruf als Professor der Physik an die Ge-  
eakademie zu Berlin. Es fiel ihm nicht leicht, die ihm lieb  
rdene Lehrstelle an der Artillerieschule zu verlassen; aber  
Aussicht auf eine bedeutende Erweiterung seiner Lehrtätig-  
und die Verfügung über ein immerhin besser ausgestattetes  
ikalisches Kabinett überwand alle Bedenken, und im April



1873 erfolgte seine Übersiedelung an die neue Stätte seiner Tätigkeit. Für unsere heutigen Begriffe war freilich auch das alte physikalische Kabinett der alten Gewerbeakademie in der Klosterstraße nicht das Ideal eines gut eingerichteten Laboratoriums. PAALZOW verstand es, seine Bedürfnisse den erreichbaren Verhältnissen anzupassen, und er hat 11 Jahre darin als Forscher und Lehrer zufrieden und erfolgreich gearbeitet.

Wenige Jahre nachdem PAALZOW an die Gewerbeakademie übergesiedelt war, erhielt er einen Ruf als Lehrer der Physik an die Königliche Kriegsakademie, und zwar als Nachfolger von DOVE. Er hat diese Stellung von 1877 bis 1900 im Besonderen bekleidet und aus derselben mancherlei Anregung geschöpft. Er hat kleinere Untersuchungen, die eine ballistische Invention, eine andere betitelt: „Über ein neues Volumenometer<sup>10)</sup>“, veröffentlicht, sowie ihre Entstehung gewissen Aufgaben, welche ihm durch seine Tätigkeit an der Kriegsakademie erwachsen sind. Von seinen Publikationen aus jener Zeit verdient wohl vor allem eine hübsche Untersuchung über die elektromotorische Kraft in Flüssigkeitsketten Erwähnung<sup>11)</sup>. Diese Arbeit enthält ein wichtiges Resultat, daß die Potentialdifferenz zweier angrenzender Flüssigkeiten unabhängig ist von der Schmelz- oder Grenzfläche, d. h., daß die elektromotorische Kraft einer Flüssigkeitskette dieselbe bleibt, wenn man die scharfe Grenzfläche durch Umrühren zerstört. Eine andere experimentelle Untersuchung PAALZOWS, an welcher er damals teils allein<sup>9)</sup>, teils in Gemeinschaft mit H. W. VOGEL arbeitete, hatte das Spektrum des reinen Natriumstoffs zum Gegenstand<sup>12)</sup>.

Die im Jahre 1879 im Prinzip beschlossene Vereinigung der Bauakademie und der Gewerbeakademie zu einer einheitlichen Technischen Hochschule gab endlich PAALZOW die längst gewünschte Gelegenheit, in dem großartig angelegten neuen Hochschulinstitut in Charlottenburg ein seinen Wünschen entsprechendes physikalisches Laboratorium einzurichten, welches im Jahre 1880 von ihm dem Betrieb übergeben wurde. Hier war es ihm freigeschieden, an der mächtig emporblühenden Technischen Hochschule noch während eines Zeitraumes von 20 Jahren eine große Tätigkeit zu entfalten, gegen welche freilich in den letzten Jahren seines Lebens seine publizistische Tätigkeit sehr in den Hintergrund trat.

en ist. In dieser Zeit haben Tausende von Studierenden bei PAALZOW die Experimentalphysik gehört, und viele von ihnen, zu denen auch ich mich rechnen darf, haben sich an der klaren Darstellung und der plastischen Form erfreut, welche er seinen Vorlesungen zu geben wußte. Seine Vorträge erhielten auch dadurch einen besonders anregendes Gepräge, daß er es meisterhaft verstand, aus der trockensten Materie bisweilen eine humoristische Seite abzugewinnen. Deutlicher dokumentierte sich diese humoristische Ader im Vorlesungsunterricht. Er verfügte über einen stattlichen Vorrat an scherzhaften Redewendungen, so z. B. pflegte er nach der Ausführung eines unrichtig vorausgesagten oder unerwarteten Versuchsergebnisses regelmäßig zu bemerken, daß die Apparate doch nicht so seien als die Menschen.

Im Lehrberuf hat PAALZOW bis zu dem vollendeten 70. Lebensjahre ausgeübt; in den letzten acht Jahren seiner Lehrzeit habe ich ihm in demselben Laboratorium als nächster Stellvertreter mit gleichem Lehrauftrag zur Seite stehen dürfen. Mehrere andere hatte ich dadurch Gelegenheit, sein lebenswürdiges Wesen, seine Herzensgüte und sein freies, aufrechtes Wesen kennen zu lernen und schätzen zu lernen.

PAALZOWS erste Untersuchung, welche aus dem neuen Charité-Laboratorium hervorging, beschäftigt sich mit der Ausarbeitung einer für die Praxis bequemen Methode zur Messung der Widerstände<sup>13)</sup>. Im folgenden Jahre erschien eine kleine Abhandlung über die Anwendung des bolometrischen Prinzips auf elektrische Messungen, das Ergebnis einiger Versuche, welche wir gemeinschaftlich angestellt hatten, um schwache Wechselströme bzw. hochfrequente Schwingungen durch Beobachtung ihrer Stromwärme zu messen<sup>14)</sup>. Aus demselben Jahre stammt auch die Beschreibung eines sehr praktischen Apparats für die Vorlesung, welchen er in Zusammenarbeit mit Herrn NEESEN konstruiert hatte, um die rollende Reibung in einzelnen technisch wichtigen Fällen zu untersuchen zu können<sup>15)</sup>.

Nach seinem 70. Jahre hat PAALZOW, entsprechend seinem hohen Alter, welches der Produktivität niemals günstig ist, nur wenig veröffentlicht. Immerhin finden wir auch aus dieser letzten Lebensperiode noch einige Abhandlungen über den Durchgang der Elektrizität durch Gase<sup>16)</sup> und über den Einfluß

des Magnetfeldes auf diese Vorgänge<sup>17)</sup>, Untersuchungen er in Gemeinschaft mit seinem Freunde NEESEN anhat. Diese letzten Veröffentlichungen liegen uns zeitlich, daß ich den Inhalt derselben wohl als bekannt voraussetze.

Endlich ist noch eine kurze und sehr anziehend geschriebene Helmholtzbiographie zu erwähnen, welche der nahezu 70jährige Verfasser für ein größeres biographisches Sammelwerk verfaßt hat. Von dieser Biographie haben auch die Herren PLANCK und MICHOLICH gearbeitet.

An wissenschaftlichen Ehrungen hat es unserem verehrten Freunde nicht gefehlt. Besonders erwähnen möchte ich seine Ernennung zum Mitglied des Kuratoriums der Kaiserlich-Technischen Reichsanstalt, ein Ehrenamt, welches er stets mit größtem Eifer und Interesse gewidmet hat, und die Verleihung des Doctor Ingenieur ehrenhalber von der Kaiserlich-Technischen Hochschule in Karlsruhe.

Obwohl sich die Beschwerden des Alters mehr und mehr fühlbar machten, ist PAALZOW dennoch der Entschluß, seinen liebsten Lehramte zu entsagen, sehr schwer geworden. Nach seiner Versetzung in den Ruhestand noch zwei Jahre einigermmaßen leidlicher Gesundheit zugebracht und noch viel Freude genossen, die ihm aus dem Kreise seiner in der haupt verehrenden Familie und seiner zahlreichen Freunde erwachsen ist. Nur die letzten Monate seines Lebens waren für ihn qualvoll. Ein allmählicher Verfall der Kräfte trat ein, sein altes Darmleiden bereitete ihm viele Beschwerden und Schmerzen, von welchen er am 2. Januar endlich durch den Tod erlöst worden ist.

PAALZOW ist, wie er selbst mehreren seiner Freunde erzählt hat, infolge einer unglücklichen Liebe aus frühen Jahren unvermählt geblieben. Dennoch hat er im Kreise seiner zahlreichen Geschwister, und seiner Nichten und Neffen ein inniges Leben geführt. Auch war ihm von Anfang an das Glück beschieden, treue Freunde zu besitzen, und derartige Freunde haben sich in mehreren Familien von einer Generation zur anderen vererbt. Er ist daher, wenn auch Junggeselle, so doch ein einsamer Mann gewesen, und die Eigentümlichkeiten so vieler alter Junggesellen haben sich bei ihm nicht bemerkbar

PAALZOWS hervorragendster Charakterzug war die Aufrichtigkeit. Schlicht und gerade hat er sich stets und gegen jedermann so geäußert, wie es ihm ums Herz war, ohne Zögern und Bedenken, bisweilen sogar ohne Rücksichtnahme auf berechnete Gefühle anderer. Dies hat ihm manche Feindschaft zugezogen, aber auch viel Anerkennung und warme Freundschaft eingebracht. Heuchelei war ihm vor allem verhaßt. Wie streng er gegen sich selbst in dieser Beziehung gewesen ist, geht wohl am deutlichsten aus der Größe der Opfer hervor, welche er zu bringen genötigt war, um den ihm aufgezwungenen, theologischen Beruf gegen das seinem Geist adäquate naturwissenschaftliche Studium zu vertauschen. Die Anforderungen, welche er nach dieser Richtung an sich und andere stellte, waren sehr hohe; in jeder anderen Beziehung war er milde und leicht geneigt, menschliche Schwächen zu verzeihen. Besonders deutlich trat dieser Zug freundlicher Anerkennung und milder Beurteilung in seinem Verkehr mit der Jugend hervor, zu welcher er sich bis in sein höchstes Alter auf das lebhafteste hingezogen fühlte. Diesen Empfindungen hat er in jener Tischrede besonders schönen Ausdruck verliehen, welche er bei der Feier seines 80. Geburtstages gehalten hat, und welche vielen von uns noch lange in Erinnerung bleiben wird.

Die beiden Seiten der Veranlagung, welche dem Forscher den Erfolg produktiver Arbeit in erster Linie verbürgen, nämlich Kritik und Phantasie, besaß PAALZOW in sehr ungleichem Grade. Die Kritik war und blieb bei ihm durchaus vorherrschend. Nach seiner eigenen Aussage hat ihn nie ein Lob so stolz gemacht, wie eine Äußerung seines alten Lehrers EHRENBERG, welcher ihn einen nüchternen Naturforscher nannte. Nüchternheit, auch gegenüber den glänzendsten und bestechendsten Theorien, war ihm die höchste Tugend des Physikers. Daß er hierin bisweilen zu weit ging und besonders den modernen Anschauungen ein oft nicht berechtigtes Mißtrauen entgegenbrachte, muß zugegeben werden. Aber ohne Zweifel hat die Schärfe seiner Kritik im ganzen betrachtet Gutes gewirkt, wie aus seinen Arbeiten hervorgeht.

Unserer Gesellschaft hat PAALZOW ununterbrochen von 1852 bis zu seinem Tode, also 56 Jahre, als Mitglied angehört. An den Fortschritten der Physik hat er 9 Jahre mitgearbeitet. In .

den ersten Jahrzehnten seiner Mitgliedschaft war er mäßiger Teilnehmer an unseren Sitzungen, in den letzten aber ist er nur äußerst selten erschienen. Daß trotz Interesse für unsere Gesellschaft nicht geschwunden aus der Regelmäßigkeit hervor, mit welcher er unsere schaftlichen Berichte gelesen und unsere Stiftungsfeste hat. Bei diesen Stiftungsfesten ist PAALZOWS fröhliches Wesen am lebhaftesten in die Erscheinung getreten hat ihn die Mehrzahl unserer jüngeren Mitglieder noch gelernt, hier haben wir alle uns an der unverwüsthlichen Freude und dem gesunden Humor des 80jährigen erfreut.

Durch ADOLF PAALZOWS Tod verliert die physikalische Wissenschaft einen ehrlichen Arbeiter und unermüdeten Arbeitssucher, unsere Gesellschaft ihren hochverehrten Stifter, einige von uns, zu denen auch ich mich zählen darf, einen Kollegen und treuen Freund.

---

### Verzeichnis der erwähnten wissenschaftlichen Veröffentlichungen A. Paalzows.

---

<sup>1)</sup> Berliner Berichte 1857.

<sup>2)</sup> Pogg. Ann. 104, 413, 1857.

<sup>3)</sup> Über die verschiedenen Arten der Entladung der Batterie und die Richtung des Haupt- und sekundären Stromes. Berl. Ber. 1860, S. 497; Pogg. Ann. 112, 567, 1861.

<sup>4)</sup> Über die Magnetisierung der Stahlnadeln durch die Leidener Batterie. Berl. Ber. 1862, S. 154; Pogg. Ann. 117, 1862.

<sup>5)</sup> Über die Glüherscheinungen am positiven oder negativen Pol einer Leidener Batterie. Pogg. Ann. 118, 357, 1863.

<sup>6)</sup> Der galvanische Widerstand der Flüssigkeiten. Berl. Ber. 1868, S. 486; Pogg. Ann. 136, 1869.

<sup>7)</sup> Über das Leitvermögen einiger Flüssigkeiten für den Strom. Pogg. Ann. 134, 618, 1868.

- ) Untersuchung über die Wärme des elektrischen Funkens. Ber. 1865, S. 563; Pogg. Ann. 127, 126, 1866. — Bestimmung der electromotorischen Kraft der Polarisation und des Widerstandes lossener galvanischer Ketten mit Hilfe der Wheatstoneschen Methode. Pogg. Ann. 135, 326, 1868.
- ) Wied. Ann. 7, 130, 1878 und Naturforscher 12, 63, 1878.
- ) Wied. Ann. 13, 332, 1881.
- ) Pogg. Ann. Jubelband, S. 643, 1874.
- ) A. Paalzow und H. W. Vogel, Über das Sauerstoffspektrum. Ann. 13, 336, 1881.
- ) Bestimmung des elektrischen Leitungswiderstandes der Drahtseile. Zentralbl. Elektrotechnik 1888, S. 882. Lum. électr. 31, 30.
- ) A. Paalzow und H. Rubens. Wied. Ann. 37, 529, 1889.
- ) A. Paalzow und F. Neesen, ZS. für d. physikal. u. chem. Unter- suchungen 12, 1889.
- ) A. Paalzow und F. Neesen, Wied. Ann. 56, 276 u. 700, 1895.
- ) A. Paalzow und F. Neesen, Wied. Ann. 63, 209, 1897.
-

**Das Verhalten der Quecksilberfunkenstrecke  
schiedenen Entladespannungen und Kopp**

von **Br. Glatzel**.

(Vorläufige Mitteilung<sup>1)</sup>).

(Vorgetragen in der Sitzung vom 19. Juni 1908.)

(Vgl. oben S. 421.)

In einer früheren Arbeit<sup>2)</sup> habe ich Versuche mit der Stoßerregung eines Schwingungskreises mittels der Quecksilberfunkenstrecke, deren Anwendung für diesen Zweck von R. H. RENDAHL<sup>3)</sup> in dem D. R.-P. Nr. 198592 vom 19. Juni 1907 beschrieben ist. Ich erhielt in dem vom Prinzip erregten sekundären Schwingungskreise II nie zwei Partialwellen wie bei Verwendung einer Luftfunkenstrecke, sondern nur eine einzige Welle entsprechend der Eigenperiode des Kreises. Es lag nun nahe, zu untersuchen, ob man nicht unter bestimmten Verhältnissen auch bei einer Quecksilberfunkenstrecke in beiden Partialwellen erhalten kann. Möglich mußte sein, wenn entweder die Trägheit der Quecksilberfunkenstrecke vergrößert oder aber dafür gesorgt wurde, daß die Energie nach dem Kreise I zurückströmen will, sich durch die Zündung der Funkenstrecke gewaltsam ihren Weg bahnen kann.

Die Versuche wurden zunächst an Funkenstrecken genommen, bei welchen das Vakuum niedriger war als früher verwendeten. Hierbei zeigte sich dann, daß bei  $k = 0,133$  bereits zwei Wellen auftreten und auch bei der engsten Koppelung  $k = 0,298$  bestehen bleiben.

Fig. 1 und 2 stellen die bei den verschiedenen Koppelungen in den Kreisen I und II mittels eines Meßkreises III aufgenommene Resonanzkurven dar.

<sup>1)</sup> Die ausführliche Mitteilung erscheint demnächst in den *Verhandlungen der Physikalischen Versammlungen der Kaiserlichen Akademie der Wissenschaften in Wien*.

<sup>2)</sup> BR. GLATZEL, Diese Verhandl. 10, 54, 1908.

<sup>3)</sup> R. H. RENDAHL, Phys. ZS. 9, 203, 1908.

Ich beobachtete nun verschiedentlich, daß, wenn die Funkenstrecke einige Zeit außer Betrieb gewesen war und dann wieder eingeschaltet wurde, bei derselben engen Koppelung bald die beiden obenerwähnten Maxima der Partialwellen, bald aber auch nur eine einzige Hauptwelle sich zeigte. Bisweilen kam es auch vor, daß während des Betriebes die zwei Partialwellen in die Hauptwelle umsprangen. Da es nun möglich war, daß infolge des geringeren Vakuums eine größere Trägheit der Funkenstrecke vorhanden war, welche das Auftreten der Schwebungen ermöglichte, andererseits aber auch durch die zurückkehrende Energie

Fig. 1.

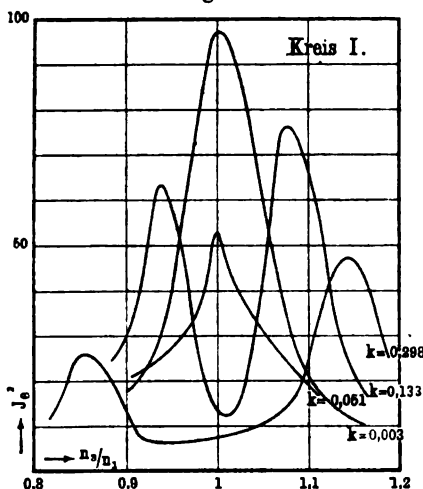
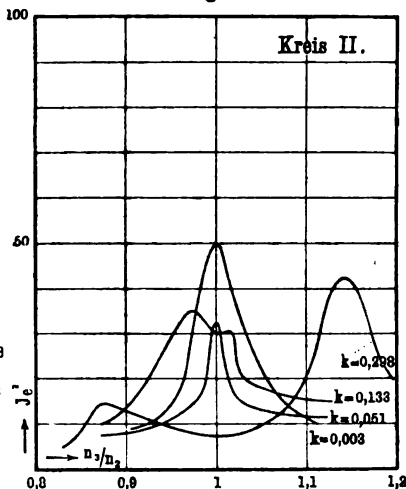


Fig. 2.



eine Rückzündung erfolgen konnte, so verfuhr ich zur Entscheidung dieser Frage folgendermaßen: Ich benutzte eine Quecksilberfunkenstrecke, welche mit Außenbelegungen zur Änderung des Entladepotentials versehen war<sup>1)</sup>. Zum Betriebe diente ein großer Wechselstrominduktor. Die Spannung an der Funkenstrecke wurde mit einem BRAUNSCHEM Elektrometer gemessen. Dieses mißt natürlich nur irgend einen Mittelwert der Spannung, welcher von der Aufladezeit der Kapazität des Schwingungskreises und der Dauer der Oszillationen in der Funkenstrecke abhängt. Man kann daher auch auf den absoluten Wert der Einsatzspannung

<sup>1)</sup> BR. GLATZEL, I. c., S. 64.



der Quecksilberfunkenstrecke keinen Schluß ziehen. Genügen die gemessenen Werte für einen relativen Fehler im vorliegenden Falle lediglich erforderlich war.

Waren die Belegungen offen, so erhielt ich Spannungen etwa 3000 Volt, bei Verbindung der Elektroden mit den gehörigen Belegungen etwa 1000 Volt Entladespannung. Füllen konnte man das Vakuum als nahezu konstant. Es zeigte sich nun, daß unter sonst gleichbleibenden Umständen und einer Koppelung  $k = 0,298$  die Erniedrigung der Zündspannung das Auftreten der zwei Partialwellen hatte, während bereits bei 2000 bis 3000 Volt nur eine beobachtet war.

Auf Grund dieser Versuche möchte ich als Ursache für das Auftreten der zwei Partialwellen auch bei der Quecksilberstrecke eine Rückzündung durch die aus dem Kreislauf strömende Energie bei enger Koppelung annehmen. In der gültigen Entscheidung dieser Frage beabsichtige ich jetzt einige Versuche mittels der BRAUNSCHE Röhre durch die Charakteristik  $E = f(J)$  für den Schwingungskreis von SIMON<sup>1)</sup> und BARKHAUSEN<sup>2)</sup> zur Untersuchung der Verhältnisse am POUULSENSCHEN Lichtbogen angegebenen Werte anzunehmen.

Die gleichen Versuche wie oben stellte ich auch mit einem Gleichstrominduktor und Hammerunterbrecher an Stelle des Wechselstrominduktors an. Das Elektrometer zeigte den Verlauf des ganz abweichenden Verlaufs der Stromkurve in der Sekundärwicklung des Induktors gegenüber derjenigen des Wechselstrominduktors vollkommen andere Werte an, dürfen daher mit den oben angegebenen nicht verglichen werden. Es ergab sich hier, daß bei der engen Koppelung noch bei einer vom Elektrometer angezeigten Spannung von 5000 bis 6000 Volt die zwei Partialwellen auftraten. Die Belegungen waren auf entgegengesetzte Potentiale aufgeladen. Bei den Belegungen genügte die Spannung des Induktors nicht, die Funkenstrecke in Tätigkeit zu setzen.

<sup>1)</sup> H. TH. SIMON, Phys. ZS. 6, 305, 1905.

<sup>2)</sup> H. BARKHAUSEN, Jahrb. d. drahtl. Telegr. 1, 243, 1908.

Ich möchte ferner einige Messungen mitteilen, welche sich die Abhängigkeit der Dämpfung der Quecksilberfunkenstrecke der Koppelung beziehen und welche die Resultate der früheren Versuchsungen ebenfalls bestätigen. Die Größe des Koppelungskoeffizienten  $k$  wurde dabei wie folgt bestimmt.

### Bestimmung der Koppelungskoeffizienten.

Der Koppelungskoeffizient zweier Schwingungskreise ist definiert als

$$k = \frac{M}{\sqrt{L_1 L_2}},$$

wo  $L_1$  und  $L_2$  die gesamte Selbstinduktion der gekoppelten Kreise I und II,  $M$  den gegenseitigen Induktionskoeffizienten der beiden Koppelungsspulen bedeutet. Die Größe des Koppelungskoeffizienten kann verändert werden, 1. dadurch, daß  $M$  geändert wird, 2. bei induktiver Koppelung der Schwingungskreise I und II durch verschiedene Abstände  $a$  der beiden Koppelungsspulen gewählt werden; 3. dadurch, daß die Selbstinduktionen  $L_1$  und  $L_2$  der Kreise I und II geändert werden. Beide Wege wurden einbezogen, um sehr kleine und sehr große Koppelungskoeffizienten zu erreichen. Zur Berechnung der verschiedenen  $k$  mußten also die jeweiligen Werte von  $L_1$ ,  $L_2$  und  $M$  gemessen werden. Da in den Kreisen I und II verwendeten Kapazitäten genau bekannt waren und überdies ein geeichter Wellenmesser zur Verfügung stand, so konnten die jeweiligen Selbstinduktionen durch Messung der Wellenlänge  $\lambda$  ermittelt werden, und zwar nach der LONGBRIDGE'schen Formel

$$L = \frac{\lambda^2}{4\pi^2 C}.$$

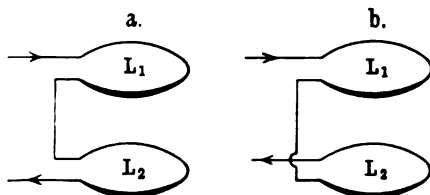
Die Bestimmung von  $M$  für verschiedene Koppelungsspulen bei verschiedenen Abständen  $a$  wurde nach zwei Methoden ausgeführt: 1. mit schnellen Schwingungen unter Verwendung des Wellenmessers, 2. mit der von DOLEZALEK<sup>1)</sup> angegebenen Brückenmethode zur Messung kleiner Selbstinduktionen. Bei den verwendeten geschlossenen Schwingungskreisen war in den Selbstinduktionsspulen die Stromverteilung als quasistationär ebenso wie in der Brücken-

<sup>1)</sup> DOLEZALEK, ZS. f. Instrk. 23, 240, 1903.

anordnung anzunehmen, jedoch mußten die Ergebnisse der Meßmethoden infolge des Skineffekts etwas verschiedene Resultate ergeben.

Zur Ermittlung von  $M$  waren zwei Messungen von den induktionskoeffizienten erforderlich<sup>1)</sup>: a) wenn beide Koppelungsspulen so hintereinander geschaltet waren, daß sie in demselben Sinne wirkten, b) wenn sie einander entgegenwirkten (Fig. 3).

Fig. 3.



Ist die Gesamtselbstinduktion beider hintereinanderschalteter Spulen  $L_1$  und  $L_2$  im Falle a)  $L_a$ , im Falle b)  $L_b$ ,

$$L_a = L_1 + L_2 + 2M, \quad L_b = L_1 + L_2 - 2M,$$

woraus folgt

$$M = \frac{1}{4}(L_a - L_b)$$

und für Kontrollrechnungen

$$L_1 + L_2 + \frac{1}{2}(L_a + L_b).$$

Die Messungen von  $L_a$  und  $L_b$  wurden für ein Paar Koppelungsspulen  $L_1$  und  $L_2$  mit 2 bzw. 3 Windungen die Abstände  $a = 25, 20, 15, 10, 5, 2,5$  cm ausgeführt. Unterschiede zwischen  $L_a$  und  $L_b$ , besonders für größere Abstände sehr gering sind, nur wenige Zentimeter, so mußte zur Ermittlung eine möglichst genaue Methode angewendet werden, welche mit Sicherheit Beträge bis herunter zu 1 cm zu messen gestattet. Eine hierfür geeignete Methode habe ich früher<sup>2)</sup> angegeben. Der Zweck derselben war, durch Differentialschaltung zweier Induktionskreise die stets vorhandene Inkonzanz der Selbstinduktion für die Messung selbst auszuschalten und dadurch eine größere Genauigkeit zu erreichen. Die Genauigkeit dieser Methode ist natürlich um so größer, je geringere Dämpfung

<sup>1)</sup> KOHLBAUSCH, Lehrb. d. pr. Physik, 10. Aufl., S. 510, 1905.

<sup>2)</sup> BR. GLATZEL, Verh. d. D. Phys. Ges. 8, 150—159, 1907.

ndeten Schwingungskreise haben. Ich benutzte daher eine über der früheren etwas abgeänderte Schaltung (Fig. 4), bei der unter Zwischenschaltung des Kreises I a zwei Schwingungskreise ohne Funkenstrecke für die eigentliche Messung benutzt werden, so daß die Gesamtdämpfung der Meßanordnung eine geringere war; auch die vereinfachte Schaltung (Fig. 4 a) fand Anwendung.

Um genügend Energie zur Verfügung zu haben, wurde im Meßkreis I eine kleine Quecksilberfunkenstrecke verwendet.  $C_2$  war ein großer variabler Ölkondensator,  $C_3$  der Luftkondensator des Meßkreises.

Fig. 4.

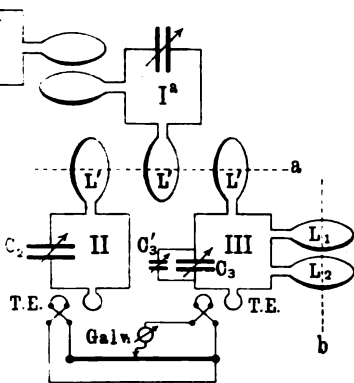
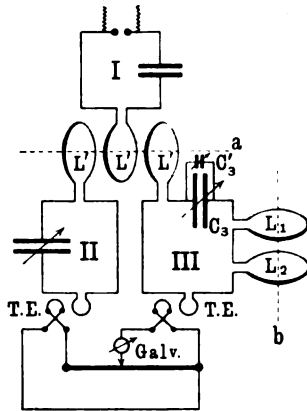


Fig. 4 a.



Meßkreises. Da letzterer aber für diesen Zweck keine ausreichende Unterteilung besaß, so wurde zu  $C_3$  noch ein kleinerer Kondensator  $C'_3$  parallel geschaltet, dessen Gesamtkapazität  $10^0$  am großen Kondensator entsprach;  $1^0$  Änderung des Kondensators  $C'_3$  bedeutete dann 0,56 cm.  $L_1$  und  $L_2$  sind die Selbstinduktionsspulen, deren gegenseitige Induktion berücksichtigt werden sollte,  $L'$  die Koppelungsspulen des Kreises I mit den Kreisen II und III. Um lediglich die Rückwirkung der Spulen  $L_1$  und  $L_2$  aufeinander zu erhalten, mußte genau beachtet werden, daß deren Achsenrichtung  $b-b$  nicht mit derjenigen anderer Spulen, z. B.  $a-a$ , zusammenfiel. Die Spulen  $L_1$  und  $L_2$  waren daher so angeordnet, daß ihre Windungsebenen von keinen anderen Kraftlinien durchsetzt wurden. Sämt-

liche Leitungen in den Kreisen II und III waren soweitlich fest verlegt, so daß wenigstens während einer Messung eine Lagenänderung an ihnen ausgeschlossen war. Es wurde für eine bestimmten Wellenlänge  $\lambda$  gearbeitet und die Einstellungen an den Kondensatoren  $C_3$  und  $C_8$  für verschiedenen Schaltungen und Entfernungen von  $L_1$  ermittelt. Aus diesen Werten von  $C$  und der Wellenlänge  $\lambda$  ergab sich die jeweilige Gesamtselbstinduktion des Kreises III. Um die Werte von  $L_a$  und  $L_b$  selbst zu finden, war noch eine Doppelmessung erforderlich, bei welcher die Spulen  $L_a$  und  $L_b$  durch Kurzschlußstöpsel ersetzt waren.  $L_a$  und  $L_b$  ergaben sich als Differenz der aus beiden Doppelmessungen folgenden Selbstinduktionen. Aus  $L_a$  und  $L_b$  wiederum berechnete sich die Genauigkeit der Messung zu prüfen, wurden stets  $L_1$  und  $L_2$  ermittelt.

In analoger Weise wurden  $L_a$  und  $L_b$  mit der Deutschen Wechselstrombrücke gemessen. Mit dieser konnte nicht so kleine Unterschiede mehr gemessen werden als mit der Resonanzmethode. Immerhin erhielt ich noch für Abstände  $a = 10, 5, 2,5$  cm gute Resultate. Die Werte für den Abstand  $a = 2,5$  cm weichen voneinander stärker ab. Änderungen im Abstände beider Spulen schon beträchtliche Änderungen von  $M$  zur Folge hatten, es aber andererseits so möglich war, den sehr kleinen Abstand  $a$  stets gleich einzustellen. Aus diesem Grunde war die Übereinstimmung der  $M$ -Werte für  $a = 2,5$  cm keine so gute wie für die übrigen Abstände. In diesen ein Einstellungsfehler im Abstände nicht so sehr in die Wägung fiel.

Tabelle 1. Spulenpaar  $L_2 - L_3$ .

| $a$<br>mm | $M$<br>(Resonanz) | $L_1 + L_2$<br>(Resonanz) | $M$<br>(Dolezale) |
|-----------|-------------------|---------------------------|-------------------|
| 250       | 19,5 cm           | 3889 cm                   | —                 |
| 200       | 49                | 3850                      | —                 |
| 150       | 69,6              | 3853                      | 46 cm             |
| 100       | 143               | 3857                      | 107               |
| 50        | 319               | 3878                      | 316               |
| 25        | 610               | 3919                      | 578               |

Die vorstehende Tabelle 1, sowie die Kurve (Fig. 5) enthalten eine Zusammenstellung der Messungsergebnisse nach den angewandten Verfahren für die Spulenpaare  $L_2 - L_3$ . Bei engen Koppelungen sind die Koppelungskoeffizienten auch aus den bei Luftstrecken auftretenden Partialwellen bestimmt worden<sup>1)</sup>, jedoch zeigte sich, dass diese so ermittelten Koppelungskoeffizienten um etwa 5 Proz. von den berechneten abweichen.

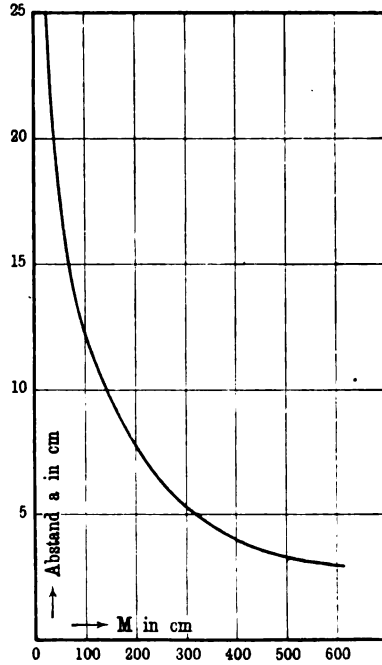
**Abhängigkeit der Dämpfung der Hg-Funkenstrecke von der Koppelung.**

Nach dem früher dargestellten Verhalten der Hg-Funkenstrecke muß ihre Dämpfung damit auch die des Kreises I mit zunehmender Koppelung zunehmen.

Es wurde in der Weise untersucht, daß bei den verschiedenen Koppelungen der Kreise I und II mittels des Meßkreises III die Dämpfung des Kreises I ermittelt wurde. Von der gemessenen Dämpfung  $\delta_1 + \delta_3$  wurde dann die Eigendämpfung  $\delta_3$  des Wellenmesserkreises III abgezogen. Letztere war für die drei benutzten Ringe  $L_3, L_6, L_9$  dadurch bestimmt worden, daß das Element des Kreises III durch Einschalten eines bekannten ohmschen Widerstandes um einen meßbaren Betrag vergrößert wurde. Es ergab sich dabei die Eigendämpfung  $\delta_3$  für

$$L_3 : 0,0032, L_6 : 0,028, L_9 : 0,056.$$

Fig. 5.



<sup>1)</sup> S. a. Tabelle XX, S. 1012, J. ZENNECK, Elektromagnetische Schwingungen.

In Tabelle 2 sind die bei den verschiedenen Koppelu  
mittelten Werte der Dämpfung des Kreises I zusammeng

Tabelle 2.

|              |       |       |       |       |
|--------------|-------|-------|-------|-------|
| $k = 0,003$  | 0,013 | 0,022 | 0,051 | 0,133 |
| $d_1 = 0,36$ | 0,37  | 0,40  | 0,52  | 0,53  |

$\delta_1$  zeigt also die erwartete Zunahme mit steigender Ko

Berlin, Laboratorium Dr. MICKE, Juni 1908.

**Berliner Exemplar von Guericke's Luftpumpe;  
von E. Jacobs,**

Bibliothekar bei der Königlichen Bibliothek in Berlin.

(Vorgelegt in der Sitzung vom 19. Juni 1908.)

(Vgl. S. 421.)

Die Luftpumpe OTTO VON GUERICKE'S, die sich im Besitz des Kaiserlichen Instituts der Universität Berlin befindet und nun an das Deutsche Museum in München abgegeben wird, geht bis in die Mitte des Jahres 1889 der Königlichen Bibliothek Berlin. Wann ist diese Luftpumpe dorthin gekommen? Die Antwort auf diese für die Feststellung der Echtheit wichtige Frage ist bisher nur in unzureichender Weise gegeben worden.

In seinem Bericht über den historischen Teil der internationalen Ausstellung wissenschaftlicher Apparate in London im Jahre 1876<sup>1)</sup> hat E. GERLAND nachzuweisen, daß die Luftpumpe sich 1687 nicht in der Königlichen Bibliothek befunden habe; er schloß daraus dem Schweigen des damaligen Bibliothekars, CHRISTOPH DREICH, über sie in seiner 1687 erschienenen Notitia von der kaiserlichen Bibliothek<sup>2)</sup>. Die früheste Erwähnung der Luftpumpe fand GERLAND in einem Briefe des Bibliothekars MATURIN SSIÈRE LA CROZE vom 1. Juli 1715<sup>3)</sup>. Bei diesem Resultat GERLAND'S Nachforschungen mußte aus Mangel an früheren Kenntnissen noch 1902 F. POSKE stehen bleiben<sup>4)</sup>.

Dem gegenüber kann ich heute, einer Anregung des Herrn ERICH REGENER folgend, feststellen, daß sich die Luftpumpe OTTO

<sup>1)</sup> Bericht über die wissenschaftlichen Apparate auf der Londoner internationalen Ausstellung im Jahre 1876... Herausgegeben von A. W. HOFMANN. Schweig 1881, S. 36.

<sup>2)</sup> Notitia bibliothecae, quam serenissimus ac potentissimus princeps dominus, dominus Fridericus Guilielmus, Marchio et Elector Brandenburgicus etc., in aula sua Coloniae ad Spream fundavit. Berolini 1687. 4<sup>o</sup>.

<sup>3)</sup> Wieder abgedruckt im: Thesaurus epistolicus Lacrozianus, t. III, —73.

<sup>4)</sup> Zum Gedächtnis OTTO VON GUERICKE'S in: Verh. d. D. Phys. Ges. 4, 1902.



VON GUERICKES bereits im Jahre 1668 in der Kurfürstlichen Bibliothek befunden hat.

Seit dem Jahre 1661 war die Kurfürstliche Bibliothek in einem geräumigen Saale im ersten Stockwerk des im Lustgarten gelegenen Seitengebäudes des Kurfürstlichen Schlosses über der Hofapotheke untergebracht. In einem besonderen gewölbten Nebenraum neben diesem Saale erhielten die Handschriften und einige Kuriositäten ihren Platz. In dem ältesten, handschriftlichen in der Königlichen Bibliothek erhaltenen Katalog<sup>1)</sup> über Handschriften und Raritäten, den der Bibliothekar CHRISTIAN RAUE verfaßt hat — er trägt auf dem Titelblatt die Jahreszahl 1668 —, heißt es, S. 144, wörtlich:

Was im IV Theill des hintersten Conclavis nemlich in dem dem Risco B zu befinden ...

Dazu steht am Rande von der Hand HENDREICHS:

NB. Diese Naturalia seind A. 1680 auff die Kunst gebracht worden.

RAUE zählt dann auf:

Das II Fach 1. Ottonis a Gericken Co(n)s(ulis) b(urgensis) Duo<sup>2)</sup> Hemisphaeria cuprea conjungenda extrahendum aërem<sup>3)</sup>.

Dazu bemerkt HENDREICH am Rande:

ist bey der Bibliothec geblieben<sup>4)</sup>.

Daraus, daß RAUE nur die beiden Halbkugeln erwähnt, die übrigen Teile aber nicht<sup>5)</sup>, darf ein Schluß auf das Fehlen der übrigen Teile nicht gezogen werden. RAUE hatte, abgesehen davon, daß er notorisch oberflächlich gearbeitet hat, wohl schwerlich die Ahnung davon, wie er die anderen Teile benennen sollte,

<sup>1)</sup> Catalogus Mssrum Bibliothecae Electoralis Brandenb. Colonie M. DC. LXVIII. fol. In der Handschriftenabteilung der Königlichen Bibliothek zu Berlin aufbewahrt unter der Signatur: Ms. Catal. A. 465.

<sup>2)</sup> Es steht da: Duo, darüber ist no korrigiert.

<sup>3)</sup> Hierauf folgt noch das Wort: apertum, ist aber ausgestrichen.

<sup>4)</sup> RAUES Katalog nebst HENDREICHS Randbemerkungen war dem HERRN FRIEDRICH WILKEN'S Notiz in seiner Geschichte der Königlichen Bibliothek zu Berlin, Berlin 1826, S. 14. Hätte WILKEN diese Quelle besser kennen oder wenigstens genannt, so wäre man über die Zeit, wann GUERICKES'SCHE Pumpe nach Berlin gekommen, nicht jahrzehntelang im Dunkeln geblieben.

<sup>5)</sup> Der noch erhaltene GUERICKES'SCHE Apparat besteht aus zwei Halbkugeln und der Luftpumpe.

er denn einfach weg. Der Inventarisator glaubte er durch Verzeichnung der beiden Halbkugeln völlig genügt zu haben. HENDREICHS Schweigen über die Luftpumpe in seiner Notitia nicht verwundern: er hatte entweder keine Vorstellung von Wichtigkeit des Instruments oder er hat, was wahrscheinlicher dieses einzige zurückbehaltene Stück absichtlich nicht er-  
 notet. Vielleicht war es nicht dauernd für die Bibliothek be-  
 stimmt. Es ist in der Tat nicht einzusehen, warum man die  
 Luftpumpe allein bei der Bibliothek belassen hat. Ein anderer  
 Apparat GUERICQUES ist an die Kunstkammer abgegeben worden,  
 er nennt ihn in dem Katalog auf S. 156:

He(rn) Burggem(eister) OTTO VON GERICKEN Machina  
 darin oben ein Wetter-Männichen, unten herab ein Calen-  
 darium perpetuum, Unten am Fundament eine Sphaera in  
 plano repraesentiret.

Der Apparat scheint verschollen zu sein.

Die Ansicht also, das Berliner Exemplar von GUERICQUES  
 Luftpumpe sei erst 1715 in der Königlichen Bibliothek nachzu-  
 finden, ist falsch. Vielmehr ist dieses Exemplar bald nach den  
 von GUERICKE vorgenommenen Verbesserungen nach Berlin  
 gekommen, jedenfalls vor dem Jahre 1668, in dem es bereits im  
 Katalog der Königlichen Bibliothek inventarisiert steht. Ein Be-  
 weis, mit welcher Teilnahme der Große Kurfürst die Arbeiten  
 GUERICQUES verfolgte. Es ist nicht ausgeschlossen, wenn auch  
 schwer zu erweisen, daß die Existenz eines Exemplars von GUERICQUES  
 besserer Luftpumpe in Berlin vor 1668 mit der vom Großen  
 Kurfürsten GUERICKE erteilten Bestätigungsurkunde seines ihm  
 1669 vom Magistrat von Magdeburg erteilten Immunitätsbriefes  
 in einem Zusammenhang steht. Die Urkunde ist datiert: Cleve,  
 6. October 1666<sup>1)</sup>. Vielleicht sollte sie eine Belohnung für  
 die Überweisung jenes Modells der Luftpumpe darstellen.

<sup>1)</sup> F. W. HOFFMANN, OTTO VON GUERICKE. Magdeburg 1874, S. 173.

**Nachtrag zu der Arbeit über die Brechung  
und Dispersion des Heliums;  
von Kurt Herrmann.**

(Vorgelegt in der Sitzung vom 19. Juni 1908.)

(Vgl. oben S. 422.)

Kürzlich<sup>1)</sup> teilte ich die Ergebnisse einer Untersuchung über die Brechung und Dispersion des Heliums mit, wofür die hellsten Linien des Quecksilbers verwendet hatte. Seitdem ich meine Beobachtungen auf die rote Cadmiumlinie ( $\lambda = 643,8$ ) ausdehnen.

Eine ebenfalls inzwischen ausgeführte sorgfältige Berichtigung meiner Skalen änderte die Werte der Brechungskoeffizienten merklich, indem die höchste auftretende Differenz (für zwei in der achten Dezimale betrug.

Ich benutze die Gelegenheit, durch Mitteilung einiger Meinungen ein Urteil über die innere Übereinstimmung meiner Messungen zu ermöglichen. Bezüglich der Einzelheiten sei auf meine Publikation verwiesen. In der folgenden Tabelle bedeutet:

$\lambda_0$  die Wellenlänge, bei der beobachtet wurde,  $\frac{p}{f}$  das Verhältnis des Druckunterschiedes zur ihm entsprechenden Zahl der übergewanderten Frangen. Unter I, II, III finden sich die durch unmittelbare Beobachtung gefundenen  $\frac{p}{f}$ , dann für Mittel.  $(1 + \alpha t)$  ist die Temperaturkorrektur,  $n_0 - 1$  der Brechungskoeffizient bei  $0^\circ$  und 760 mm für die jeweilige Wellenlänge, 1, 2 usw. geben die Versuchsreihen an. Es folgen die R

<sup>1)</sup> Verhandl. d. Deutsch. Physik. Ges. 10, 210—216, 1908.

## I. Luft.

|   | $\frac{p}{f}$  |        |        |        | $1 + at$ | $n_0 - 1$    |
|---|--|--------|--------|--------|----------|--------------|
|   | I  | II     | III    | Mittel |          |              |
|   | $\lambda_0 = 0,6438 \mu$                                     |        |        |        |          |              |
| 1 | 5,8250   | 5,8215 | 5,8333 | 5,8266 | 1,0482   | 0,000 293 08 |
| 2 | 5,8217   | 5,8250 | 5,8167 | 5,8211 | 1,0468   | 0,000 292 95 |
|   | $\lambda_0 = \begin{matrix} 0,579 \\ 0,576 \end{matrix} \mu$ |        |        |        |          |              |
| 1 | 5,2253   | 5,2423 | 5,2340 | 5,2339 | 1,0522   | 0,000 294 05 |
| 2 | 5,2413   | 5,2457 | 5,2447 | 5,2439 | 1,0541   | 0,000 294 02 |
|   | $\lambda_0 = 0,5461 \mu$                                     |        |        |        |          |              |
| 1 | 4,9420   | 4,9340 | 4,9417 | 4,9392 | 1,0531   | 0,000 294 62 |
| 2 | 4,9593   | 4,9067 | 4,9413 | 4,9358 | 1,0529   | 0,000 294 67 |
|   | $\lambda_0 = 0,4359 \mu$                                     |        |        |        |          |              |
| 1 | 3,8967   | 3,8910 | 3,8980 | 3,8952 | 1,0526   | 0,000 293 01 |
| 2 | 3,8950   | 3,8907 | 3,8983 | 3,8947 | 1,0526   | 0,000 293 05 |

## Mittel für Luft.

| Linie | $\lambda_0$ | $n_0 - 1$     |
|-------|-------------|---------------|
| Cd 1  | 0,6438      | 0,000 293 0   |
| Hg    | 0,5790      | } 0,000 294 0 |
| Hg    | 0,5760      |               |
| Hg    | 0,5461      | 0,000 294 6   |
| Hg    | 0,4359      | 0,000 293 0   |

## II. Wasserstoff.

## a) Bestimmung gegen Vakuum.

|   | $\frac{p}{f}$  |        |        |        | $1 + at$ | $n_0 - 1$    |
|---|--|--------|--------|--------|----------|--------------|
|   | I  | II     | III    | Mittel |          |              |
|   | $\lambda = 0,6438 \mu$                                     |        |        |        |          |              |
| 1 | 12,371   | 12,375 | 12,363 | 12,370 | 1,0473   | 0,000 137 93 |
| 2 | 12,371   | 12,373 | 12,381 | 12,375 | 1,0482   | 0,000 138 03 |
|   | $\lambda = \begin{matrix} 0,579 \\ 0,570 \end{matrix} \mu$ |        |        |        |          |              |
| 1 | 11,079   | 11,078 | 11,077 | 11,078 | 1,0526   | 0,000 138 98 |
| 2 | 11,108   | 11,094 | 11,100 | 11,101 | 1,0546   | 0,000 138 97 |

|                        | $\frac{p}{f}$ |        |        |        | $1 + \alpha t$ |
|------------------------|---------------|--------|--------|--------|----------------|
|                        | I             | II     | III    | Mittel |                |
| $\lambda = 0,5461 \mu$ |               |        |        |        |                |
| 1                      | 10,451        | 10,462 | 10,450 | 10,454 | 1,0517         |
| 2                      | 10,484        | 10,490 | 10,470 | 10,481 | 1,0546         |
| $\lambda = 0,4359 \mu$ |               |        |        |        |                |
| 1                      | 8,2510        | 8,2533 | 8,2453 | 8,2499 | 1,0528         |
| 2                      | 8,2803        | 8,2780 | 8,2783 | 8,2788 | 1,0546         |

## b) Bestimmung gegen Luft.

$p_h$  ist die Druckänderung der Luft gegen des V. Zentimeter Hg,  $p_H$  die sie kompensierende des W.  $p'_h$  ist eine zweite höhere,  $p'_H$  die diese ausgleiche. Berechnung der Versuche durch Compensation geschieht ersten, S. 213 angegebenen Formel.

$$1. \lambda = 0,6438 \mu$$

| Luft $1 + \alpha' t' = 1,0483$ |       | H $1 + \alpha t = 1,0481$ |       |
|--------------------------------|-------|---------------------------|-------|
| $p'_h$                         | 44,87 | $p'_H$                    | 95,11 |
| $p_h$                          | 4,89  | $p_H$                     | 10,12 |
| $p'_h - p_h$                   | 39,98 | $p'_H - p_H$              | 84,99 |
| $n_0 - 1 = 0,000 137 79$       |       |                           |       |

$$2. \lambda = 0,6438 \mu$$

| Luft $1 + \alpha' t' = 1,0518$                                |       | H $1 + \alpha t = 1,0528$ |        |
|---|-------|---------------------------|--------|
| $p'_h$  | 46,97 | $p'_H$                    | 100,09 |
| $p_h$   | 5,04  | $p_H$                     | 10,89  |
| $p'_h - p_h$  | 41,93 | $p'_H - p_H$              | 89,20  |
| $n_0 - 1 = 0,000 137 71$                                      |       |                           |        |
| $1. \lambda = \begin{matrix} 0,597 \\ 0,596 \end{matrix} \mu$ |       |                           |        |

| Luft $1 + \alpha' t' = 1,0542$ |       | H $1 + \alpha t = 1,0548$ |        |
|--------------------------------|-------|---------------------------|--------|
| $p'_h$                         | 60,86 | $p'_H$                    | 129,41 |
| $p_h$                          | 6,78  | $p_H$                     | 14,87  |
| $p'_h - p_h$                   | 54,08 | $p'_H - p_H$              | 114,15 |
| $n_0 - 1 = 0,000 138 89$       |       |                           |        |

$$2. \lambda = \begin{matrix} 0,597 \\ 0,596 \end{matrix} \mu$$

|                               |       |                           |        |
|-------------------------------|-------|---------------------------|--------|
| Luft 1 + $\alpha't'$ = 1,0588 |       | H 1 + $\alpha t$ = 1,0549 |        |
| $p'_h$                        | 55,14 | $p'_H$                    | 116,42 |
| $p_h$                         | 3,86  | $p_H$                     | 6,71   |
| $p'_h - p_h$                  | 51,78 | $p'_H - p_H$              | 109,71 |
| $n_0 - 1 = 0,000\ 138\ 91$    |       |                           |        |

$$1. \lambda = 0,5461 \mu$$

|                               |       |                           |        |
|-------------------------------|-------|---------------------------|--------|
| Luft 1 + $\alpha't'$ = 1,0539 |       | H 1 + $\alpha t$ = 1,0546 |        |
| $p'_h$                        | 54,74 | $p'_H$                    | 115,69 |
| $p_h$                         | 9,26  | $p_H$                     | 19,35  |
| $p'_h - p_h$                  | 45,48 | $p'_H - p_H$              | 96,34  |
| $n_0 - 1 = 0,000\ 139\ 19$    |       |                           |        |

$$2. \lambda = 0,5461 \mu$$

|                               |       |                           |        |
|-------------------------------|-------|---------------------------|--------|
| Luft 1 + $\alpha't'$ = 1,0533 |       | H 1 + $\alpha t$ = 1,0539 |        |
| $p'_h$                        | 57,79 | $p'_H$                    | 123,82 |
| $p_h$                         | 4,60  | $p_H$                     | 11,11  |
| $p'_h - p_h$                  | 53,19 | $p'_H - p_H$              | 112,71 |
| $n_0 - 1 = 0,000\ 139\ 13$    |       |                           |        |

$$1. \lambda = 0,4359 \mu$$

|                               |       |                           |        |
|-------------------------------|-------|---------------------------|--------|
| Luft 1 + $\alpha't'$ = 1,0549 |       | H 1 + $\alpha t$ = 1,0539 |        |
| $p'_h$                        | 54,99 | $p'_H$                    | 116,71 |
| $p_h$                         | 4,36  | $p_H$                     | 9,48   |
| $p'_h - p_h$                  | 50,63 | $p'_H - p_H$              | 107,23 |
| $n_0 - 1 = 0,000\ 140\ 59$    |       |                           |        |

$$2. \lambda = 0,4359 \mu$$

|                               |       |                           |        |
|-------------------------------|-------|---------------------------|--------|
| Luft 1 + $\alpha't'$ = 1,0518 |       | H 1 + $\alpha t$ = 1,0528 |        |
| $p'_h$                        | 60,08 | $p'_H$                    | 127,71 |
| $p_h$                         | 5,58  | $p_H$                     | 12,19  |
| $p'_h - p_h$                  | 54,50 | $p'_H - p_H$              | 115,52 |
| $n_0 - 1 = 0,000\ 140\ 74$    |       |                           |        |

Die folgende Tabelle enthält die Mittelwerte der  $n_0 - 1$  nach beiden Methoden.

$n_0 - 1$  von H bei  $0^\circ$  und 760 mm

| $\lambda_0$ in $\mu$ | $n_0 - 1$ gegen Vakuum | $n_0 - 1$ gegen Luft | Gesamtmittel |
|----------------------|------------------------|----------------------|--------------|
| 0,6438               | 0,000 138 0            | 0,000 138 0          | 0,000 138 0  |
| 0,579                | 0,000 139 0            | 0,000 139 0          | 0,000 139 0  |
| 0,576                |                        | 0,000 139 2          | 0,000 139 1  |
| 0,5461               | 0,000 139 0            | 0,000 139 2          | 0,000 139 1  |
| 0,4359               | 0,000 140 6            | 0,000 140 7          | 0,000 140 6  |

### III. Helium.

In der nebenstehenden Tabelle sind beide Arten der Bestimmung des Brechungskoeffizienten enthalten, einmal gegen Vakuum und einmal gegen Wasserstoff. Es wurde die durch das Verfahren gegen Vakuum erhaltene ganze Druckänderung  $p_{H_2}$  durch eine entsprechende gegen Wasserstoff ausgeglichen.  $(1 + \alpha t)$  bedeutet die Temperaturkorrektur des He,  $1 + \alpha' t'$  die des Wasserstoffs.

Die nächste Tabelle enthält die Mittel für die  $(n_0 - 1)$  nach beiden Methoden und die Gesamtmittel für He.

| $\lambda_0$ in $\mu$ | $n_0 - 1$ gegen Vakuum | $n_0 - 1$ gegen H | Gesamtmittel |
|----------------------|------------------------|-------------------|--------------|
| 0,6438               | 0,000 034 05           | 0,000 034 07      | 0,000 034 06 |
| 0,579                | 0,000 034 37           | 0,000 034 38      | 0,000 034 37 |
| 0,576                |                        | 0,000 034 52      | 0,000 034 44 |
| 0,5461               | 0,000 034 53           | 0,000 034 52      | 0,000 034 52 |
| 0,4359               | 0,000 035 35           | 0,000 035 34      | 0,000 035 34 |

### Relative Dispersion.

Mit relativer Dispersion bezeichnet man das Verhältnis

$$\frac{1}{\nu} = \frac{n_F - n_C}{n_D - 1},$$

wo  $n_D$ ,  $n_F$ ,  $n_C$  die Brechungskoeffizienten der FRAUNHOFER'Schen Linien  $D$ ,  $F$  und  $C$  für irgendeine Substanz sind. Für die untersuchten Gase sind die Brechungskoeffizienten der Linien durch graphische Extra- bzw. Interpolation bestimmt, wie folgt.

| $\frac{p}{f}$ |    |     |        | $n_0 - 1$ | $p_{He}$ | $1 + \alpha t$ | $p_H$ | $1 + \alpha' t'$ | $n_0 - 1$ |
|---------------|----|-----|--------|-----------|----------|----------------|-------|------------------|-----------|
| I             | II | III | Mittel |           |          |                |       |                  |           |

| $\lambda_0 = 0,6438 \mu$   |        |        |        |        |        |               |        |        |        |               |
|--|--------|--------|--------|--------|--------|---------------|--------|--------|--------|---------------|
| 1  | 50,105 | 50,252 | 50,200 | 50,186 | 1,0481 | 0,000 034 024 | 401,23 | 98,99  | 1,0479 | 0,000 034 045 |
| 2  | 49,998 | 50,268 | 50,120 | 50,129 | 1,0483 | 0,000 034 069 | 456,89 | 112,73 | 1,0483 | 0,000 034 078 |
| 3  | 50,425 | 50,210 | 50,154 | 50,263 | 1,0500 | 0,000 034 050 | 460,07 | 113,87 | 1,0505 | 0,000 034 072 |
| $\lambda_0 = 0,579 \left. \begin{matrix} \mu \\ \mu \end{matrix} \right\}$ |        |        |        |        |        |               |        |        |        |               |
| 1  | 45,013 | 44,973 | 45,145 | 45,044 | 1,0589 | 0,000 034 383 | 455,11 | 112,31 | 1,0576 | 0,000 034 385 |
| 2  | 44,905 | 44,916 | 44,850 | 44,890 | 1,0552 | 0,000 034 382 | 452,99 | 112,27 | 1,0553 | 0,000 034 389 |
| 3  | 44,786 | 44,777 | 44,756 | 44,773 | 1,0517 | 0,000 034 358 | 451,03 | 111,55 | 1,0516 | 0,000 034 369 |
| $\lambda_0 = 0,5461 \mu$   |        |        |        |        |        |               |        |        |        |               |
| 1  | 42,291 | 42,307 | 42,261 | 42,286 | 1,0578 | 0,000 034 568 | 426,82 | 106,12 | 1,0586 | 0,000 034 589 |
| 2  | 42,291 | 42,258 | 42,327 | 42,292 | 1,0566 | 0,000 034 523 | 433,37 | 107,67 | 1,0569 | 0,000 034 520 |
| 3  | 42,191 | 42,220 | 42,183 | 42,195 | 1,0537 | 0,000 034 510 | 425,03 | 105,52 | 1,0537 | 0,000 034 514 |
| 4  | 42,106 | 42,200 | 42,148 | 42,151 | 1,0531 | 0,000 034 523 | 428,21 | 106,35 | 1,0532 | 0,000 034 523 |
| $\lambda_0 = 4359 \mu$   |        |        |        |        |        |               |        |        |        |               |
| 1  | 33,018 | 33,011 | 33,027 | 33,019 | 1,0589 | 0,000 035 366 | 335,85 | 84,37  | 1,0593 | 0,000 035 321 |
| 2  | 33,065 | 33,023 | 33,010 | 33,038 | 1,0589 | 0,000 035 351 | 336,28 | 84,54  | 1,0587 | 0,000 035 344 |
| 3  | 32,925 | 32,900 | 32,918 | 32,914 | 1,0540 | 0,000 035 319 | 356,48 | 89,47  | 1,0539 | 0,000 035 326 |
| 4  | 32,788 | 32,778 | 32,706 | 32,744 | 1,0483 | 0,000 035 307 | 332,00 | 83,44  | 1,0482 | 0,000 035 367 |

\*



## Luft.

$$\begin{array}{r}
 n_D - 1 = 0,000\,293\,9 \quad n_F = 1,000\,295\,9 \\
 \quad \quad \quad \quad \quad \quad \quad n_C = 1,000\,292\,9 \\
 \hline
 n_F - n_C = 0,000\,003\,0 \\
 \nu = 98,0.
 \end{array}$$

## Wasserstoff.

$$\begin{array}{r}
 n_D - 1 = 0,000\,138\,4 \quad n_F = 1,000\,139\,9 \\
 \quad \quad \quad \quad \quad \quad \quad n_C = 1,000\,137\,8 \\
 \hline
 n_F - n_C = 0,000\,002\,1 \\
 \nu = 65,9.
 \end{array}$$

## Helium.

$$\begin{array}{r}
 n_D - 1 = 0,000\,034\,30 \quad n_F = 1,000\,034\,91 \\
 \quad \quad \quad \quad \quad \quad \quad n_C = 1,000\,034\,05 \\
 \hline
 n_F - n_C = 0,000\,000\,86 \\
 \nu = 33,9.
 \end{array}$$

Halle a. S., Physik. Institut, den 17. Juni 1908.

**Bemerkungen zu der  
 Erklärung der kritischen Opaleszenzerscheinungen  
 aus der kinetischen Gastheorie;  
 von K. von Wesendonk.**

(Vorgelegt in der Sitzung vom 3. Juli 1908.)

(Vgl. oben S. 450).

Wenn man in einem endlichen Volumen die Zahl der Moleküle (wie das ja auch der Wirklichkeit entsprechen muß) nicht unendlich groß im strengen Sinne, sondern nur als von endlicher, sehr erheblicher Größe annimmt, so kann, wie das Herr ZMANN schon vor längerer Zeit ausdrücklich hervorgehoben<sup>1)</sup>, die MAXWELLSche Geschwindigkeitsverteilung überhaupt niemals genau, sondern nur mit großer Annäherung bestehen. Jedoch ist die Zahl der wesentlich von der MAXWELLSchen Geschwindigkeitsverteilung abweichenden Zustände nur verschwindend klein, aber diese sind durchaus nicht im strengen Sinne unmöglich, wenn sie nur praktisch niemals eintretend. Die Zeit, wie lange man warten müßte, bis ein nicht allzu kleiner Stempel während einer Stunde einen meßbar kleineren Druck als den durchschnittlichen Druck erfährt, sei allerdings ausreichend lange, um jede Beobachtbarkeit auszuschließen; aber an ganz kleinen, in einem mikroskopischen Körperchen seien Bewegungen wahrgenommen worden, welche davon herrühren könnten, daß in solchen Fällen die Tat auf einen gegen ihre ganze Oberfläche nicht mehr verschwindenden Teil derselben bald ein etwas größerer, bald ein etwas kleinerer Druck wirkt. Solche enorm kleinen Abweichungen können immer eintreten, solange die Zahl der Moleküle nicht unendlich sei, aber zu beobachtbaren Werten könnten sie im allgemeinen nicht in praktisch zugänglicher Zeit summieren. Die Betrachtungen sind nun in neuerer Zeit eingehender mit

<sup>1)</sup> Besonders deutlich z. B. Wied. Ann. 57, 774 u. f., 1896.

anscheinend gutem Erfolge von verschiedenen Forschern (STEIN<sup>1)</sup>, v. SMOLUCHOWSKI<sup>2)</sup>, LANGEVIN<sup>3)</sup>) durchgeführt. Danach ergibt die auf die kinetische Gastheorie angewandte Wahrscheinlichkeitsrechnung in der Tat eine exakte Erklärung der BROWNSchen Molekularbewegung in dem von BOLTZMANN gedeuteten Sinne. Weiterhin hat nun Herr VON SMOLUCHOWSKI durch verwandte Betrachtungen dargetan, wie sich in der Nähe des kritischen Zustandes (Gas-Flüssigkeit) Inhomogenitäten der kinetischen Gastheorie<sup>4)</sup> ergeben, welche durchaus nicht durch Beobachtung sich zu entziehen brauchen. Auf diese Weise lassen sich die in neuerer Zeit mehrfach beobachtete Erscheinung der Opaleszenz erklären, die man bekanntlich sonst wohl durch die Bildung von (Tröpfchen oder Bläschen) gedeutet hat. Für ein Äthyläther von der Kantenlänge einer Lichtwellenlänge findet sich im kritischen Punkt des Äthyläthers z. B. (l. c., S. 115), daß solche Teilchen im Mittel mehr als einprozentige Dichteunterschiede aufweisen nach der kinetischen Gastheorie. Es ergibt sich aus der „Körnigkeit“ der Struktur, welche (den Untersuchungen von RAYLEIGHs zufolge) sich durch das Auftreten der Dispersionsmedien charakteristischen Opaleszenz bemerkbar macht. Angesichts dieser einfachen molekular kinetischen Erklärung scheint nun die Hypothese DONNANS, wonach im kritischen Zustand die Oberflächenspannung für kleine Krümmungsradien einen unendlichen Wert besitzen soll, als vollkommen überflüssig für eine Flüssigkeit solle denn das sein, die noch oberhalb der kritischen Temperatur existiere, in Wirklichkeit handelt es sich nur um eine Phase. Dagegen nähert sich die konsequent durchgeführte kinetische Theorie in gewissem Sinne der Theorie der gasogenen und liquidogenen Moleküle von TRAUBE, da diese auf diese Weise die verdichteten und verdünnten Volumteile erklären könnte. Jedoch handle es sich weder um eigentliche Moleküle, noch um Tröpfchen, sondern um diffuse Häufungen von unbestimmter Größe. Diese Anschauung dehnt Herr VON SMOLUCHOWSKI auch auf die kritischen Trübungen bei Flüssigkeitsgemischen aus.

<sup>1)</sup> Ann. d. Phys. (4) 17, 549, 1905; 19, 371, 1906.

<sup>2)</sup> Ebenda (4) 21, 756, 1906.

<sup>3)</sup> C. R. 146, 530, 1908.

<sup>4)</sup> v. SMOLUCHOWSKI, Ann. d. Phys. (4) 25, 205—226, 1908.

ngen von DONNAN und KONOWALOW werden verworfen (S. 231), Verf. möchte indessen hier auf diese kritischen Meinungen bei nur flüssigen Phasen nicht weiter eingehen, sondern nur einige Bemerkungen sich gestatten, zu denen des Verfassers über das Verhalten der Kohlensäure beim kritischen Punkte die Veranlassung geben: Gegenüber den Ausführungen von SMOLUCHOWSKIS dürfte doch von vornherein zu bedenken sein, daß die Gastheorie, wie Herr BOLTZMANN (l. c., S. 780) sagt, nur beansprucht, ein angenähertes Bild der Wirklichkeit zu geben. Sollte man da nicht doch annehmen dürfen, daß verdichteten Partien in der betreffenden Substanz bei dem kritischen Punkte, deren Dichte also größer als die kritische Dichte ausfällt, flüssige Teilchen sind, besonders wenn man an THIESENS<sup>1)</sup> Definition des flüssigen Zustandes denkt? Da in der Natur Sprünge nicht vorkommen, so wird sich zwischen den flüssigen Gebieten und denen im Dampfzustande als Übergang wohl sicher etwas ausbilden, das einer Oberflächenschicht entspricht und etwas wie Oberflächenspannung zeigt<sup>2)</sup>. Nach den Untersuchungen von G. BAKKERS<sup>3)</sup> neueren Untersuchungen sind in einem Reagenzglas für kritische Untersuchungen in der Nähe der kritischen Temperatur alle Bedingungen für eine Bildung von Regen aus Dampf und von Dampfbläschen in der Flüssigkeit erfüllt. In der Natur werden solche Bildungen aber auch in der nächsten Umgebung des kritischen Punktes noch sich zeigen, eben weil die Natur keine Sprünge macht und ein Punkt, bei dem streng genau die kritische Dichte  $\rho_c$  (SMOLUCHOWSKI l. c., S. 219) oder ähnliches eintritt, nicht vorkommt, sondern vielmehr allmählich abnimmt. Das Neblichwerden des kritischen Punktes und dessen Umgebung hebt, wie mir scheint, eben gerade die naturwidrige Plötzlichkeit des Überganges des zweiphasigen in den einphasigen Zustand auf. Alle sogenannten Gefüge für den flüssigen und dampfförmigen Zustand sind, wie man allgemein zugeben wird, nicht genau genug, um exakt da-

<sup>1)</sup> THIESEN, ZS. f. kompr. u. flüss. Gase 1, 86 bis 87, 1897; Beibl. 21, 1897. Danach ist eine Substanz als flüssig oder als gasig anzusehen, je nachdem ihre Dichte größer oder kleiner als die kritische Dichte ist.

<sup>2)</sup> Man vergleiche auch FRIEDLÄNDERS Ausführungen, ZS. f. phys. Chem. 31, 1901.

<sup>3)</sup> Ann. d. Phys. (4) 26, 57 u. 58, 1908.

nach bestimmen zu können, was im kritischen Punkte g  
 muß. Unsere Kenntnisse, speziell der Kapillarkräfte, sind  
 unvollkommen, um behaupten zu können, kleine Tröpfchen  
 Bläschen vermöchten bei der kritischen Temperatur oder  
 oberhalb derselben nicht mehr zu existieren<sup>1)</sup>. Spricht  
 Herr O. LEHMANN sogar von der Oberflächentension<sup>2)</sup> von  
 tropfen als einer Konsequenz der Theorie von VAN DER  
 AN der zitierten Stelle des bekannten Buches wird auf  
 hingewiesen von BOSSCHA, nach denen Dunst und Nebel  
 Erscheinungen zeigen können, und in der Tat erhält man  
 auch bei der kritischen Temperatur einen nebligen Meniskus  
 in guter Übereinstimmung mit der Angabe von VAN DER  
 AN konvex zu sein scheint. Kleine Tröpfchen sind auch durch  
 immer dem Verdampfen unterworfen, vielmehr nur durch  
 Abnahme des Krümmungsradius Verminderung der Oberflächenergie  
 bedingt, was aber bei dünnen Flüssigkeitsschichten nicht  
 aus nicht stets der Fall ist<sup>3)</sup>. Man braucht also den  
 schein, welcher für Nebelbildung spricht, keineswegs  
 zu mißtrauen. Gibt man nämlich zu, daß unmittelbar unterhalb  
 der kritischen Temperatur Tröpfchen in der Dampfphase  
 Bläschen in der flüssigen Phase entstehen, so zeigen  
 wie sie Verfasser<sup>4)</sup> seinerzeit angestellt, einen kontinuierlichen  
 Übergang von den Zuständen unmittelbar unterhalb der  
 direkt oberhalb der kritischen Temperatur. Beim Umkehren  
 CO<sub>2</sub> enthaltenden Nattererröhre bei einem Wärmegrad  
 wenig kleiner, als dem kritischen Punkte zugehört, kommt  
 Meniskus immer wieder zum Vorschein, wobei ein großer Teil  
 der CO<sub>2</sub> in lebhaftes Schäumen gerät und so ganz trübe  
 Aber von unten wie von oben her beginnt bald das Schäumen  
 und es bildet sich wieder eine klare Flüssigkeit, in deren  
 Teile man jedoch etwas bläulichen Nebel (Dampfbläschen)

<sup>1)</sup> Man vergleiche z. B. WEINSTEIN, Thermodynamik und Kinetik, S. 57, 1903.

<sup>2)</sup> Ann. d. Phys. (4) 22, 472, 1907.

<sup>3)</sup> VAN DER WAALS, Kontinuität des gasförmigen und flüssigen Zustandes, Leipzig 1881, S. 34.

<sup>4)</sup> J. J. THOMSON, Conduction of electricity through gases I, Phil. Mag. 18, 185—185.

<sup>5)</sup> Naturw. Rundsch. 9, 211, 1894.

ber dem Meniskus in der gasigen Masse (Tröpfchen) bemerkt. Und man aber an die Temperatur gelangt, bei der der Meniskus verschwindet, so bildet sich keine Grenze mehr (zwischen flüssiger und gasiger Phase), dagegen füllt sich die ganze Röhre mit dichtem Nebel usw. Zwischen den vorher erwähnten und diesen sogenannten Nebelerscheinungen zeigt sich kein sprunghafter Unterschied, es sieht nicht aus, als ob plötzlich eine Veränderung darin sich dokumentiert hätte, etwa alle Tröpfchen verschwunden wären. Sehr wünschenswert dürfte es sein, solche Erscheinungen mit gewendeten kritischen Proberöhren und möglichst verschiedenen Substanzen und in möglichst konstantem und homogenem Temperaturfelde sorgfältig zu wiederholen.

So weit war die vorliegende Notiz bereits niedergeschrieben, als der Verfasser das erste Heft des 63. Bandes der Zeitschrift für physikalische Chemie 1908 mit einer Arbeit des Herrn ROTHMUND: „Erscheinungen über die kritische Trübung“, zu Gesicht bekam, welche sich auf Flüssigkeitsgemische bezieht. Darin wird ebenfalls den Ansichten des Herrn VON SMOLUCHOWSKI entgegengetreten (l. c., S. 75) und für die Existenz kleiner Tröpfchen bei und dicht oberhalb der kritischen Temperatur plädiert (S. 75). Vom Ausbau der BORNHANSschen Hypothese sei viel eher eine Klärung der bestehenden Fragen zu erwarten, als von dem Hereinziehen des kinetischen Gastheorie auf Fragen wie die vorliegenden nur Freuden begrüßen und als sehr verdienstvoll bezeichnen zu können; wenn man nur nicht vergißt, daß sie nur angenähert die Lösung besitzt, dann kann sie sehr wertvolle Fingerzeige geben. Die Behauptung, daß von anderem ist doch schon die Natur der Moleküle und Atome noch viel zu wenig bekannt, um bindende endgültige Aussagen auf solche Weise schaffen zu können, hat doch die kinetische Gastheorie die radioaktiven Eigenschaften der Materie nicht vorausgesehen. Auch bei der Erklärung der Brownschen Molekularbewegung ist es wohl noch etwas fraglich, inwieweit der zweite Wärmesatz wirklich in die Brüche geht und vielleicht ein noch unbekanntes Verhalten der suspendierten Teilchen, welchen eine wesentliche Rolle spielt.

Durch gütige Zusendung der Herren Autoren gelangte eine wertvolle Arbeit aus dem physikalischen Laboratorium der

Universität Leiden<sup>1)</sup>, die ich bislang nur aus dem dem Physikalisch-Chemischen Zentralblatt kannte, in me Die Herren KAMERLINGH-ONNES und KEESOM gelang durch spektrophotometrische Beobachtungen über d von Opaleszenz senkrecht zu einem beleuchtenden I zerstreute Licht zu einem den von SMOLUCHOWSKI schauungen günstigen Resultat. Wenn die diffundierend klein gegen die Länge der Lichtwellen sind, so sei zu daß die Intensität des zerstreuten Lichtes dem Qu kondensierten Substanzmenge proportional zunehme. sich nun für verschiedene Temperaturen  $t$ , daß die des zerstreuten Natrium( $D$ )-Lichtes näher (Abweichu jedoch vorhanden) einem Ausdruck  $\frac{0,5}{T - T_k}$ <sup>2)</sup> entspricht

$\frac{0,25}{(T - T_k)^2}$ . Letzterer soll sich der Annahme anpassen, kondensiere um Zentren der Anziehung, welche Kräfte die nur von der Entfernung abhängen, während erst den Ansichten von SMOLUCHOWSKIS konform sei. Auch läufige Messung der absoluten Intensität des zerstreut stimme ganz gut mit von SMOLUCHOWSKIS Auffassungen. Diese Untersuchungen dürften, wie mir scheint (auch de der holländischen Gelehrten entsprechend), doch nur Annahme wie die von KONOWALOW eingeführte, nich gemein gegen eine Existenz von Tröpfchen (etwa den Ans von DONNAN konform) überhaupt sprechen. Die Dichteun zu denen die kinetische Gastheorie führt, dürften, eben nur angenäherten Geltung jener Theorie, lediglich eine der Tröpfchenbildung darstellen.

<sup>1)</sup> Comm. from the Phys. Lab. of Leiden, No. 104, S. 25 u

<sup>2)</sup>  $T$  ist absolute Temperatur der Substanz,  $T_k$  deren absol Temperatur.

**Frage nach der Geschwindigkeit der Röntgenstrahlen;**

**von J. Franck und R. Pohl.**

**II. Mitteilung.**

(Vorgelegt in der Sitzung vom 3. Juli 1908.)

(Vgl. oben S. 450.)

In einer Mitteilung gleichen Titels<sup>1)</sup> haben wir uns gegen die Nützlichkeit der Methode gewandt, die Herr MARX<sup>2)</sup> zur Bestimmung der Röntgenstrahlgeschwindigkeit angegeben hat. Wir haben gezeigt, daß erstens die von Herrn MARX gegebenen theoretischen Grundlagen zur Deutung der tatsächlich beobachteten Erscheinungen unzulänglich sind; zweitens, daß die von Röntgen erhaltenen getroffene Platinplatte zum Ausgangspunkt einer selbständigen leuchtenden Entladung wird, und drittens, daß sich die Aufladungserscheinungen des der Platinplatte gegenüber angeordneten Faradaykäfigs erklären lassen durch die Änderungen des Effektivpotentials in seiner Abhängigkeit vom Rohrabstand und der Brückenstellung (Himstedteffekt).

Herr MARX hat uns in zwei Arbeiten<sup>3)</sup> geantwortet. Er gibt die Berechtigung unseres ersten und zweiten Einwandes zu, bekennt aber oft hingegen unsere dritte Behauptung, daß für die Aufstellung des Elektrometers nur das Effektivpotential, nicht die Lage des Auftreffens der Röntgenstrahlen in Frage komme.

Bei dem großen Umfange der Entgegnung des Herrn MARX haben wir es im Interesse der Sache für angebracht, auf eine kurze Vortragslehr der zahlreichen uns gemachten Einwände und Vorwürfe<sup>4)</sup>

<sup>1)</sup> Verh. d. D. Phys. Ges. 10, 117, 1908.

<sup>2)</sup> Abhandl. d. math.-phys. Kl. d. Kgl. sächs. Ges. d. Wiss., Leipzig 1906, 5. Ann. d. Phys. (4) 20, 677, 1906.

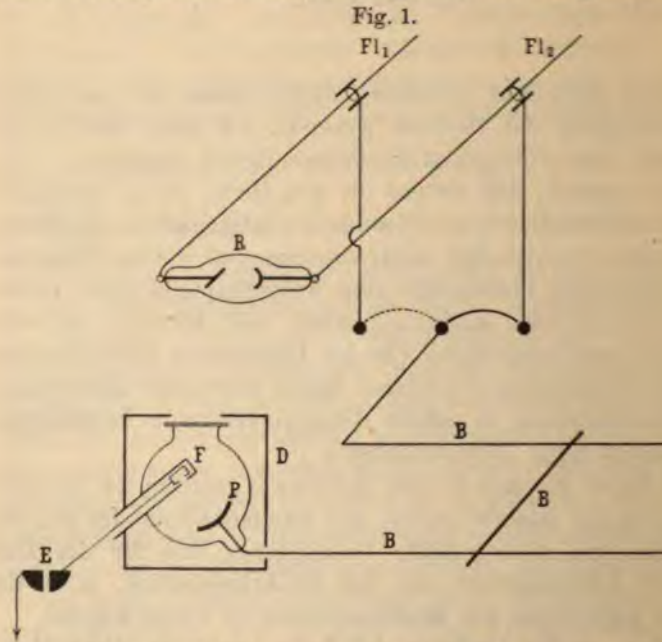
<sup>3)</sup> Verh. d. D. Phys. Ges. 10, 127, 1908. Ebenda 10, 157, 1908.

<sup>4)</sup> Wir wollen lediglich erwähnen, daß wir im Anschluß an unsere Darstellung des HIMSTEDT-Effektes sämtliche elektrische Wellen, auch die kürzesten der damaligen Anordnung von  $\frac{\lambda}{2} = 60$  cm, als „Teslaschwingungen“ bezeichnet haben.



zu verzichten. Uns genügt, daß Herr MARX die ständige leuchtende Entladung zugeben muß, vor in keiner seiner bisherigen Darstellungen auch ein Wort hat verlauten lassen. — Nach diesem Zuge gibt sich jetzt folgender Stand der Streitfrage:

Es sei  $R$  das von HERTZschen Schwingungen erregte Röntgenrohr,  $P$  die in dem evakuierten und von dem Faradaykasten  $D$  umgebenen Glasgefäß angebrachte Platinplatte,



die Drahtbrücke  $B$  mit einer der beiden auf den Zuleitungen des Röntgenrohr befindlichen Flaschenkoppelungen  $Fl_1$  und  $Fl_2$  verbunden werden kann. Der Faradaykäfig  $F$  führt zum Elektr...

Zu dieser Anordnung haben nach Herrn MARX's Beobachtung und Experiment, nicht Nachdenken a priori geführt. Die Tatsachen, die Herr MARX mit ihnen beobachtet, stellen wir zusammen und fügen die Schlüsse bei, die Herr MARX aus ihnen...

1. Wird der Gasdruck im Auffangegefäß derart eingestellt, daß die Platinplatte zum Ausgangspunkt einer selbständigen leuchtenden Entladung dann und nur dann wird, wenn...

len die Platinplatte erreichen können, so zeigt sich, daß die dem Elektrometer beobachtete Aufladung des Faradaykäfigs Größe und Vorzeichen bedingt wird von dem Abstand des Röntgenrohres einerseits, der Stellung der Brücke andererseits. In gewissen Stellungen von Rohr und Brücke entspricht ein Pendeln der Elektrometernadel um die Ruhelage und diese Stellung wird als „Nullpunkt in dynamischem Gleichgewicht“ bezeichnet. Eine Kompensation der Aufladung durch Verschiebung des Röntgenrohres geschieht durch eine Verstellung des Brückenläufers kompensiert. — Daraus folgert Herr MARX, daß für die Aufladung des Elektrometers die Phase maßgebend sei, in der die Platinplatte durch Röntgenstrahlen getroffen wird.

2. Das Vorzeichen der Elektrometeraufladung wechselt, so daß unter sonst ungeänderten Bedingungen die Flaschenkoppelektrometernadel von  $F'l_2$  von der Zuleitung zur Kathode des Röntgenrohres zur Anodendradstellung auf dem Anodendraht  $F'l_1$  hinübergelegt wird.

Diese Tatsache wird von Herrn MARX als Experimentum crucis betrachtet, aus dem er gezogenen Schluß betrachtet, daß die Elektrometernadelaufladung nur durch die Phase des Auftreffens der Röntgenstrahlen bedingt sei.

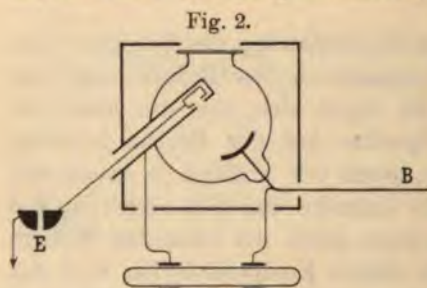
3. Das Verhältnis einer Abstandsänderung des Röntgenrohres zur kompensierenden Verlängerung der Brücke kann verschiedene Werte annehmen. Es ergibt sich aber bei einer bestimmten Verteilung der Nullpunkte auf der Brücke konstante Werte. Dieser Fall tritt ein, wenn der Abstand je zweier von den Nullpunkten auf der Brücke einander ungefähr gleich ist und die Summe zweier Abstände nahezu gleich der kürzesten Wellenlänge des Systems wird<sup>1)</sup>. Aus diesen Kompensationen wird das Verhältnis: Röntgenstrahl- = Lichtgeschwindigkeit gefolgert.

Welche Vorgänge sich im Auffangegefäß zwischen Platinplatte und Faradaykäfig abspielen, ist nach Ansicht des Herrn MARX ganz gleichgültig. „Die Aufklärung der Funktionen im Auffangegefäß ist ein Problem, welches mit der Geschwindigkeitsbestimmung dann nichts mehr zu tun hat“, wenn „das Experiment

<sup>1)</sup> Für  $\frac{\lambda}{2} = 47,5$  cm beträgt die Summe der Abstände 44,8 bis 48,4 cm; für die übrigen Halbwellen, für die Herr MARX gleiches beobachtet und für die er die Geschwindigkeit gemessen hat, betragen 45 und 46,8 cm.

die alleinige Wirksamkeit der Phase zeigt.“ Und dieser daß die Elektrometernaufladung nur ein Reagens für die sei, in der die Röntgenstrahlen die Platinplatte erreichen Herr MARX eindeutig durch die drei angeführten Experimente erbracht, da bei Verschiebung von Röntgenrohr und sowie Umlegen der Flaschenkoppelung beim Experiment die Phase nach Herr MARX der einzig geänderte Parameter

Demgegenüber haben wir behauptet, daß nicht die Phase der einzig wesentlich geänderte Parameter sei, sondern die der Platinplatte auftretende Effektivpotential, d. h. nach unserer Definition die für die selbständige leuchtende Entladung maßgebende Spannung. Die Änderung dieser Spannung in Abhängigkeit vom Röntgenrohrabstand und der Brückenstromstärke wiesen wir u. a. mittels Thermokreuz und Galvanometer nach, aber Herr MARX die Angabe unseres Thermokreuzes als „wertlos“ alles dessen bezeichnet, was für die leuchtende Entladung „unwesentlich“ sei, so beweisen wir nunmehr für die drei Fälle die Änderung der für die Entladung maßgebenden Spannung mittels eines Spannungsindikators, der selbst auf dem



einer leuchtenden Entladung beruht. Dieser Indikator besteht aus einem zylindrischen Heliumrohr mit zwei verschiebbaren Aufsätzen, das, wie Fig. 2 zeigt, vor Röntgenstrahlen völlig geschützt, zwischen einer Platinplatte und der Röhre käfig eingeschaltet

dieser Anordnung machen wir für eine kürzeste Halbwertszeit des Systems von 46 cm folgende Versuche:

1. Bewegen wir uns in einem Gebiet des Gasdruckes, in welchem gemäß der „Bleikriterien“ des Herrn MARX eine leuchtende Entladung von der Platinplatte nur unter der auslösenden Wirkung der Röntgenstrahlen ausgeht, so lassen sich leicht die von Herrn MARX beschriebenen Intensitätsänderungen<sup>1)</sup> der Entladung

<sup>1)</sup> Bzw. Einsetzen und Verlöschen.

hebung von Röntgenrohr und Brücke, sowie ihre gegen-  
e Kompensation reproduzieren. Gleichzeitig aber macht das  
Röntgenstrahlen überhaupt nicht getroffene, als Spannungs-  
ator dienende Heliumrohr alle Änderungen der Entladungs-  
sität an der Platinplatte mit. Es ergibt sich eine völlige  
delität zwischen dem Gange des von Röntgenstrahlen nicht  
rten Heliumrohres und der Entladung an der Platinplatte,  
ur unter Einwirkung der Röntgenstrahlen einsetzt. — Daraus  
n wir, wie früher, daß das Effektivpotential der für die Ent-  
g maßgebend geänderte Parameter sei, und halten den von  
a MARX zugunsten der Phase gezogenen Schluß für hinfällig.

2. Wir wiederholen den zweiten Versuch des Herrn MARX,  
Experimentum crucis. Unter Innehaltung der Bleikriterien  
ten wir beim Umlegen der Flaschenkoppelung  $Fl_1$  in die  
metriestellung  $Fl_2$  eine bedeutende Änderung der Entladungs-  
sität und dementsprechend Vorzeichenwechsel des Elektro-  
s.

Gleichzeitig aber stellen wir fest:

a) Der Einfluß der Vertauschung der Flaschenkoppelung läßt  
durch eine Vertauschung von Anode und Kathode des Röntgen-  
s, d. h. einer Drehung des Röntgenrohres um  $180^\circ$  zwischen  
n Zuleitungen, nicht rückgängig machen. Die Stellung von  
e und Kathode ist also ohne Einfluß.

b) Der Heliumspannungsindikator gibt beim Umlegen der  
elung die gleiche Intensitätsänderung wie die Lichterschei-  
an der Platinplatte.

c) Das Experimentum crucis ergibt auch ohne Röntgenstrahlen  
Vorzeichenwechsel des Elektrometers, sobald man der Ent-  
g durch Erniedrigung des Gasdruckes Gelegenheit gibt, auch  
Röntgenstrahlen einzusetzen.

Demnach spricht das Experimentum crucis des Herrn MARX  
a die Phase beim Auftreffen der Röntgenstrahlen und spricht  
eine Änderung des Effektivpotentials, die ja nach den elektri-  
n Bedingungen auch von vornherein zu erwarten war (Inter-  
z der über die Flaschenkoppelung einerseits, direkt von den  
ngenrohrzuleitungen zur ungeschützten Brücke andererseits  
menden HERTZschen Schwingungen).

Auf den dritten von Herrn MARX zur Stütze seines angeführten Punkt, nämlich den, daß das Verhältnis von Brückenverschiebung bei der Kompensation konstant werden kann, näher einzugehen, erscheint uns kaum als notwendig. Denn erstens können wir auf unsere frühere Publikation und zweitens dürfte eine Diskussion dieser Frage doch erforderlich sein, wenn sich durch das Gelingen irgend „Phasenexperimentes“ eine polare Beeinflussung der im Röntgenrohr auftretenden, mit schnellen Schwingungen betriebenen leuchtenden Entladung durch die Röntgenstrahlen erwiesen hätte. Ein besonderen Wertes aber, den Herr MARX dieser Tatsache beilegt, sei jedoch noch kurz bemerkt, daß die Einstellung einer bestimmten Verteilung der Nullpunkte des Elektrometers über die Brücke einer automatischen Abstimmung der Gasdrucke im Röntgenrohr und Empfänger gleichkommt. Denn nur bei einer bestimmten (von den Dimensionen des Apparates abhängig) Einstellung im Röntgenrohr ergeben sich gleiche Potentialänderungen. Durch Verschieben des Brückenläufers und nur bei einem bestimmten Druck im Auffänger lassen sich Punkte gleichen Effektes in gegebenem Abstand voneinander als Umkehrpunkte des Elektrometers feststellen. Eine Konstanz des Resultats erfordert nicht die Zuhilfenahme eines Zufalls.

#### Zusammenfassung:

Es werden die von Herrn MARX empirisch gefundenen Tatsachen, die nach seiner Ansicht, unabhängig von jeglicher physikalischer Vorstellung, die polare Beeinflussung einer mit schnellen Schwingungen betriebenen selbständigen leuchtenden Entladung durch Röntgenstrahlen beweisen, wiederholt. Und es wird gezeigt, daß zum Gelingen dieser Experimente gerade eine Änderung der für die Entladung maßgebenden Spannung das Wesentliche ist. Dieser Beweis wird mittels eines Spannungsindikators gegeben, der selbst auf Intensitätsänderungen einer leuchtenden Entladung beruht, also nur das messen kann, was für eine leuchtende Entladung „wesentlich“ ist, und dessen Anordnung so gewählt ist, daß jede Beeinflussung durch Röntgenstrahlen ausgeschlossen ist.

Berlin, Physikalisches Institut der Universität, Juni 1907.

**Elektrische Leitfähigkeit des flüssigen Schwefels;  
von Albert Wigand.**

Veröffentlicht am 30. Juni 1908. Vorgelegt in der Sitzung vom 3. Juli 1908.)  
(Vgl. oben S. 450.)

**I. Wirkung des Lichtes auf die Leitfähigkeit.**

Die Untersuchungen, über die hier einiges mitgeteilt werden  
sind, gehen aus von der Erwartung, daß sich die elektrische Leit-  
fähigkeit beim flüssigen Schwefel ähnlich verhalten werde wie  
beim festen Selen. Dies konnte deshalb vermutet werden, weil  
MARC<sup>1)</sup> durch eingehende Versuche es wahrscheinlich gemacht  
hat, daß beim festen Selen ein mit der Temperatur verschieb-  
bares Gleichgewicht zweier Modifikationen vorliegt, das sich unter  
dem Einflusse des Lichtes in dem gleichen Sinne wie durch  
Temperatursteigerung zugunsten der elektrisch besser leitenden  
Forme verschiebt. Eine analoge Gleichgewichtsisomerie ist  
auch beim flüssigen Schwefel vorhanden und bereits eingehend  
untersucht<sup>2)</sup>. Es bilden sich mit steigender Temperatur wachsende  
Mengen einer in Schwefelkohlenstoff unlöslichen Modifikation  
aus dem löslichen flüssigen Schwefel.

Außer von der Temperatur und dem Drucke hängen aber  
auch die Gleichgewichtsmengen unlöslichen Schwefels auch von der  
Belichtung ab. Wie zuerst Versuche mit Lösungen von Schwefel  
in Schwefelkohlenstoff zeigten<sup>3)</sup>, werden schon bei gewöhnlicher  
Temperatur, wo die Gleichgewichtskonzentration von  $S_{\text{unlös.}}$  im  
allgemeinen praktisch unendlich klein ist, durch Belichtung meßbare  
Mengen unlöslichen Schwefels gebildet und ausgeschieden. Zum  
Nachweise der Lichtwirkung auf flüssigen Schwefel dient folgen-

<sup>1)</sup> R. MARC, Die physikal.-chem. Eigenschaften des metallischen Selens,  
Leipzig und Leipzig 1907.

<sup>2)</sup> Vgl. A. WIGAND, ZS. f. physik. Chem. 63, 273, 1908 und die dort  
angeführten Arbeiten.

<sup>3)</sup> A. LALLEMAND, C. R. 70, 182, 1870; BERTHELOT, ebenda, S. 941,  
Ann. chim. phys. (4) 26, 462, 1872; G. A. RANKIN, Journ. phys. chem.  
1907.

der Versuch BERTHELOTS (l. c.): „Man kann auch oktaedrischen Schwefel bei einer Temperatur unter  $130^{\circ}$  schmelzen und dann langsam unter der Einwirkung der Sonne erstarrt. Nach der Kristallisation ist die Oberfläche des Schwefels mit einem Häutchen von unlöslichem Schwefel überzogen. Wenn man im Dunkeln unter gleichen Bedingungen arbeitet, tritt die Umwandlung nicht in merkbarer Menge ein.“ Wirksam sind die blauen, violetten und ultravioletten Strahlen. Außer Sonnenlicht gibt auch elektrisches und Magnesiumlicht eine gute Wirkung.

Wenn so die Bildung wesentlicher Mengen von  $S_{unl.}$  durch die Wirkung des Lichtes im System  $S_{lös.} \rightleftharpoons S_{unlös.}$  bewirkt wird, so läßt sich doch noch nicht die Frage entscheiden, ob die unlösliche Modifikation einen wesentlich anderen elektrischen Widerstand hat als die lösliche und so ein merklichen elektrischen Effekt, ähnlich wie das Selen, zeigt.

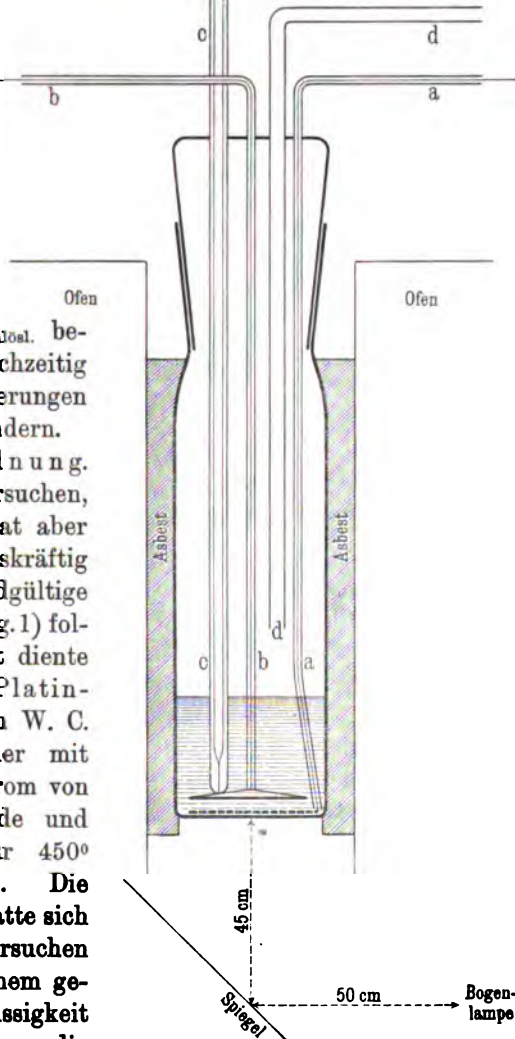
Die Messungen der Leitfähigkeit des kristallinen Schwefels durch MONCKMAN<sup>1)</sup> hatten bei Zimmertemperatur einen geringen Lichteffect ergeben; der Abfall der Ladung des Elektroskops geschah durch einen Schwefelwiderstand, der bei Beleuchtung mit Sonnenlicht im Verhältnis von 5:4 schneller abnahm. Dieses Resultat bei Wiederholung der Versuche durch THRELFALL, BREARLEY und ALLEN<sup>2)</sup> nicht bestätigt wird, ist wohl andersartigen Nebeneinflüssen zuzuschreiben. MONCKMAN fand durch Versuche mit flüssigem Schwefel, daß die Leitfähigkeit vom Schmelzpunkt ( $120^{\circ}$ ) zum Siedepunkt ( $450^{\circ}$ ) ein Anwaechsen der Leitfähigkeit auf das 3000fache, was die übliche GröÙe der Temperaturabhängigkeit des Leitvermögens von Flüssigkeiten übersteigt und daher vermuten läßt, daß die bei höherer Temperatur vorherrschende unlösliche Schwefelmodifikation eine wesentlich größere Leitfähigkeit ausgezeichnet ist. Bei gewöhnlicher Temperatur haben allerdings THRELFALL, BREARLEY und ALLEN durch Beimischen von 3 bis 88 Proz. unlöslichem Schwefel zum amorphen Schwefel zu kristallisiertem keine wesentliche Änderung des Widerstandes finden können.

<sup>1)</sup> J. MONCKMAN, Proc. Roy. Soc. 46, 136, 1889.

<sup>2)</sup> R. THRELFALL, J. H. D. BREARLEY und J. B. ALLEN, Proc. Roy. Soc. 56, 32, 1894.

Die Entscheidung  
 Frage läßt sich  
 nur durch Ver-  
 mit flüssigem  
 fessel herbeifüh-  
 die Leitfähig-  
 überhaupt erst gut  
 re und einiger-  
 reproduzierbare  
 e erreicht, und  
 durch Belichtung  
 Vermehrung der  
 tration von  $S_{unlös.}$  be-  
 kann, ohne gleichzeitig  
 Temperaturänderungen  
 itfähigkeit zu ändern.  
 rsuchsanord-  
 nung. Man-  
 ncherlei Vorversuchen,  
 negatives Resultat aber  
 genügend beweiskräftig  
 en, war die endgültige  
 chsanordnung (Fig.1) fol-  
 : Als Thermostat diente  
 elektrischer Platin-  
 standsofen von W. C.  
 us (Hanau), der mit  
 chem Wechselstrom von  
 volt geheizt wurde und  
 20° 6 Amp., für 450°  
 mp. verbrauchte. Die  
 eraturkonstanz hatte sich  
 s bei früheren Versuchen  
 t ergeben; in einem ge-  
 senen, mit Flüssigkeit  
 ten Gefäße waren die  
 ankungen bei Anwendung  
 mechanisch betriebenen  
 werks in 35 Minuten nicht

Fig. 1.  
 Thermoelement





größer als  $\pm 0,01^\circ$ . In hinreichender Entfernung von den Elektroden war in Asbestpackung ein zylindrisches Gefäß mit ebenem Boden, von 4 cm Durchmesser und 16 cm Höhe befestigt. Um die starke Verdampfung, Oxydation und Zündung des Schwefels zu verhindern, war das Gefäß mit einem eingeschliffenen Glasstopfen abgeschlossen, der vier andere eingeschmolzene Glasröhren trug<sup>1)</sup>; zwei waren für die Zuführung der Platindrähte zu den Elektroden (*a* und *b*), das dritte (*c*), unten geschlossen, enthielt das Thermoelement, das vierte Rohr (*d*) hatte den Zweck, die Verbindung mit der Atmosphäre herzustellen und so Druckdifferenzen zu vermeiden. Der oberste Teil des Schiffes ragte aus dem Ofen heraus, um die Temperatur der Stelle, an der die einzelnen Röhren angeschlossen waren,  $100^\circ$  nicht überstieg. Bei dieser Anordnung war die Leitfähigkeit des Glases an der Verbindungsstelle und die Oberflächenleitung im Verhältnis zu der Leitfähigkeit des Schwefels zu gering, um einen Nebenschluß zwischen den Elektroden durch die Röhren zu bewirken; denn, wie besonders angestellte Versuche ergaben, zeigte die Zelle ohne Schwefelfüllung und mit Schwefel gefüllt keine Leitfähigkeit, und bei Füllung mit Schwefel änderte sich die Leitfähigkeit *et. par.* entsprechend den Variierungen des Elektrodenabstandes. Während der Versuches sublimierte etwas Schwefel in den Hohlraum des Gefäßes. Das Rohr *d* blieb jedoch stets offen, da es bis auf  $100^\circ$  oberhalb der Schwefeloberfläche herabreichte.

Die kreisförmigen Elektroden von etwa 3 cm Durchmesser und die angeschweißten Zuleitungsdrähte waren aus Platin. Die untere Elektrode aus Drahtnetz von 0,25 mm Drahtstärke mit 100 Maschen pro Quadratcentimeter lag direkt auf dem Gefäßboden auf; die obere aus Blech war in horizontaler Lage. Drei Drähte im Ende des Rohres *b* am Zuleitungsdraht konnten durch den Elektrodenabstand konnte durch Anziehen dieser Drähte zwischen 2 und 10 mm variiert werden. Beim Erhitzen des Schwefels zum Siedepunkt ( $450^\circ$ ) erhielt das Platin bei den Elektroden eine schwarzbräunliche Anlauffarbe (jedenfalls in

<sup>1)</sup> Der Glasapparat wurde mit viel Geschick von dem Geologen KARL WIEGAND in Dresden-N. hergestellt.

ng einer sehr dünnen Schicht eines Platinsulfids), die durch ühen mit dem Bunsenbrenner entfernt werden konnte; bei gerer Temperatur blieb das Platin unverändert blank.

Die Belichtung geschah in der Regel mit einer Gleichstromlampe von etwa 1500 Hefnerkerzen (58 Volt, 12 Amp.) die untere Öffnung des Ofenrohres mittels eines Spiegels, mit, teils ohne Kondensorlinse; der Lichtweg von der Lampe zum Gefäßboden betrug 95 cm. Auch mit einer 40kerzigen Lampe in 50 cm Abstand vom Gefäßboden und mit Licht (am 20. Juni, nachmittags zwischen 3 und 4 Uhr) einige Versuche gemacht. Die Sonnenstrahlen waren durch einen Heliostaten und zwei Spiegel in die erforderliche Richtung gebracht. Das Licht trat durch das Platinnetz direkt durch die kritische Schwefelschicht und durchdrang sie nach Reflexion an der Blechelektrode zum zweiten Male.

Die Temperatur wurde mit einem (von der Physikalisch-chemischen Reichsanstalt geeichten Thermoelement aus Silber-antimon und einem Zeigermillivoltmeter vom Deprez-d'Arsonval-TYPUS SIEMENS u. HALSKE) auf  $\pm 1^\circ$  genau gemessen. Die beiden Elektroden waren durch ein Porzellanrohr voneinander isoliert und befanden sich im Rohre *c* des Leitfähigkeitsgefäßes, das mit seinem unteren Ende bis dicht an die Blechelektrode reichte. Ein Quecksilberthermometer am Millivoltmeter zeigte die Temperatur der Elektroden an.

Um die Leitfähigkeit des Schwefels zu messen, wurde eine Daniell-Akkumulatorenbatterie durch die Schwefelzelle und ein DEPREZ-D'ARSONVALSches Spiegelgalvanometer geschlossen. Innerhalb des Proportionalitätsbereiches für Ausschlag und Stromstärke sind dann die Ausschläge den Leitfähigkeiten proportional. Die Beobachtung bei Variierung der angelegten Spannung von 10 bis 0,01 Volt keine Abweichung vom OHMSchen Gesetz zeigte<sup>1)</sup>, konnte

---

<sup>1)</sup> Für Spannungen von 0,01 bis 0,5 Volt, wie sie durch Abzweigung von einem Rheostaten, an dessen Enden ein Akkumulator lag, erhalten wurden, war bei konstanten Temperaturen zwischen 350 und 450° der Galvanometerausschlag nicht mehr der angelegten Spannung genau proportional; eine höhere Spannung ergab einen relativ zu kleinen Ausschlag, was vielleicht mit einer Polarisation der Elektroden oder der beobachteten Platinbildung zusammenhängt.

die normale Spannung von 120 Volt bei den höheren Temperaturen, wo die Ausschläge zu groß waren, durch eine geringere Spannung ersetzt werden. Nach Umrechnung auf 120 Volt sind dann die am Spiegelgalvanometer abgelesenen Zahlen auf ein bestimmtes Maß der Leitfähigkeit anzusehen. Der Fehler der Messungen ist etwa  $\pm 0,1$  bis 0,5 Proz., für einige Beobachtungen bei den niedrigeren Temperaturen kann er wegen der ungenauen Galvanometerausschläge bis  $\pm 3$  Proz. betragen haben. Ein Ausschlag von 1 mm der Spiegelskala entsprach eine Stromstärke von  $1,72 \cdot 10^{-9}$  Amp. Der Widerstand der Schwefelzelle betrug bis  $10^5 \Omega$ .

Der untersuchte Schwefel war sulphur crist. puriss. u. Co. (Dresden), aus Schwefelkohlenstoff umkristallisiert. Er wurde in dem gut gereinigten Glasgefäß mit der Bunsenflamme unter Luft geschmolzen und nach Einsetzung der Elektroden abgekühlt gelassen. Die Einstellung einer bestimmten Versuchstemperatur geschah teils von unten, teils von oben, indem meist längere Zeit bis zur definitiven Messung gewartet wurde, um das Gleichgewicht der Umwandlung  $S_{\text{lös.}} \rightleftharpoons S_{\text{unlös.}}$  zu erreichen. Bei 134° etwa sieben Stunden, bei 140° etwa zwei Stunden, bei 189° Temperatur wesentlich kürzere Zeiten zur Einstellung des Gleichgewichts erforderlich.

Resultat. Die Versuche ergaben sämtlich, daß die Genauigkeit der Widerstandsmessung und der Intensität der verwendeten Lichtquellen ein Lichteinfluß auf das Leitvermögen des flüssigen Schwefels nicht beobachtet werden konnte. Die Resultate einer Versuchsreihe (VII b) sind in der folgenden Tabelle zusammengestellt:

| Nr. | Temperatur | Dauer der Belichtung mit Bogenlampe | Temperaturänderung während der Belichtung | Leitfähigkeit vor Belichtung |
|-----|------------|-------------------------------------|---|------------------------------|
| 1   | 134°       | 13 Min.                             | 0°  | 0,16                         |
| 2   | 189        | 10 "                                | - 1                                       | 1,31                         |
| 3   | 221        | 25 "                                | + 7                                       | 1,61                         |
| 4   | 394        | 5 "                                 | + 2                                       | 17,7                         |
| 5   | 448        | 13 "                                | + 2                                       | 32,9                         |

Es ist sicher zu sein, daß unter den Belichtungsverhältnissen, die bei den Versuchen herrschten, tatsächlich eine Lichtlösung auf den Schwefel stattfindet, wurde eine kalt gesättigte Lösung von kristallisiertem Schwefel in Schwefelkohlenstoff bei Zimmertemperatur in einem Reagenzrohre, durch das hindurch, in einem Abstände von 95 cm, 30 Minuten lang, mit, teils ohne Kondensorlinse beleuchtet. Es war alsbald eine Opaleszenz zu sehen; sodann bildeten sich Wölkchen, die sich schlierenartig senkten und nach einigen Stunden Aufklärung im Dunkeln zu einem flockigen Bodensatz verdichteten. Der gebildete unlösliche Schwefel wandelte sich in der Dunkelheit während einiger Wochen allmählich wieder in löslichen um. Nimmt man an, daß infolge der Belichtung die Gleichgewichtskonstante von  $S_{unlös}$  auch im flüssigen Schwefel wesentlich vermindert wird, was durch die Versuche der früheren Beobachter (1895) und auch durch den Parallelversuch mit der Schwefelstofflösung sehr wahrscheinlich gemacht ist, so folgt aus diesen Versuchen, daß die elektrischen Leitfähigkeiten des löslichen und unlöslichen Schwefels keinen erheblichen Unterschied zeigen.

#### IV. Temperaturgang und Ursache der Leitfähigkeit.

Die Versuche über den Einfluß des Lichtes und der Temperatur auf den elektrischen Widerstand des flüssigen Schwefels lassen es überhaupt fraglich, ob der Schwefel selbst die Leitung bewirkt. Es scheint vielmehr, daß, unabhängig von der Art und Weise der vorhandenen Modifikationen, der Schwefel nur zufolge der polytischen leitender Beimengungen im flüssigen Zustand seine Eigenschaft als vorzüglicher Isolator verliert, die er in festem Zustand besitzt.

Für die Empfindlichkeit meiner Versuchsanordnung, die zu Widerstandsmessungen an flüssigem Schwefel eingerichtet war, ist sich der Widerstand der Schwefelzellen bis dicht unter dem Schmelzpunkt als unmeßbar groß; einem Widerstand von 100 Ohm hätte ein noch eben meßbarer Galvanometerausschlag entnommen. Nach THRELFALL, BREARLEY und ALLEN<sup>1)</sup> ist der

<sup>1)</sup> l. c.

spezifische Widerstand des kristallisierten Schwefels bei gewöhnlicher Temperatur  $10^{28}$  C.G.S. und bei  $75^{\circ}$   $6,8 \cdot 10^{16}$  (d. h.  $6,8 \cdot 10^{16} \Omega$  für den Zentimeterwürfel). Nach FOUSSEREAU steigt die Leitfähigkeit beim Schmelzen auf das 40fache.

Für die Abhängigkeit der Leitfähigkeit des Schwefels von der Temperatur zeigte sich in zahlreichen Versuchsreihen der folgende interessante Verlauf (die Messungen sind sämtlich im dunkeln elektrischen Ofen ausgeführt). Die Leitfähigkeit nimmt vom Schmelzpunkt an gleichmäßig ab, erreicht ein Maximum bei  $150^{\circ}$ , fällt dann stark ab, um bei  $170^{\circ}$  durch ein Minimum zu gehen und schließlich bis zum Schmelzpunkt wieder anzusteigen. Die Kurven der Fig. 2 sind spielsweise die Resultate der Versuchsreihen VI, VII c und VIII.

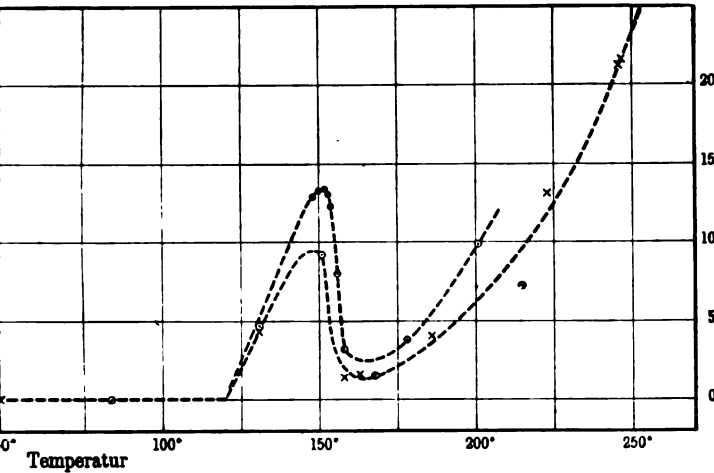
| Reihe VI<br>(in Fig. 2 mit $\times$ bezeichnet) |               |                            | Reihe VII c<br>(in Fig. 2 mit $\odot$ bezeichnet) |                           |                                  |
|---|---------------|----------------------------|---|---------------------------|----------------------------------|
| Temperatur                                      | Leitfähigkeit | Einstellung der Temperatur | Temperatur  | Leitfähigkeit (beobacht.) | Leitfähigkeit (auf VI reduziert) |
| $50^{\circ}$                                    | 0,00          | von unten                  | $84^{\circ}$                                      | 0,00                      | 0,00                             |
| 131   | 0,89          | „ oben                     | 131   | 0,62                      | 0,93                             |
| 158   | 0,28          | „ unten                    | 151   | 1,23                      | 1,84                             |
| 163   | 0,32          | „ „                        | 168   | 0,20                      | 0,30                             |
| 186   | 0,81          | „ oben                     | 215   | 0,95                      | 1,43                             |
| 223   | 2,63          | „ „                        |   |                           |                                  |
| 246   | 4,23          | „ „                        |   |                           |                                  |
| 247   | 4,30          | „ „                        |   |                           |                                  |

Die Schwefelproben befanden sich in diesen beiden Versuchsreihen zufolge vorsichtiger, gleicher Vorbehandlung, in vergleichbaren Zuständen, was sonst nicht immer der Fall war (vgl. unten). Die Widerstandskapazität der Zelle bei Reihe VII c durch die Änderung von Elektrodenabstand und -größe etwa  $\frac{2}{3}$  mal größer war wie bei Reihe VI, sind zum Vergleiche die Leitfähigkeiten

<sup>1)</sup> G. FOUSSEREAU, C. R. 97, 996, 1883.

von VII c, wie sie durch die Galvanometeraussschläge ge-  
 n wurden, durch Multiplikation mit  $\frac{2}{3}$  auf VI reduziert  
 ferung links in der Figur). Reihe VII d ist bei gleichem

Fig. 2.



eraturmaßstab ohne Reduktion der Leitfähigkeitswerte ein-  
 en (Bezifferung rechts in der Figur).

Reihe VII d (in Fig. 2 mit ⊕ bezeichnet)

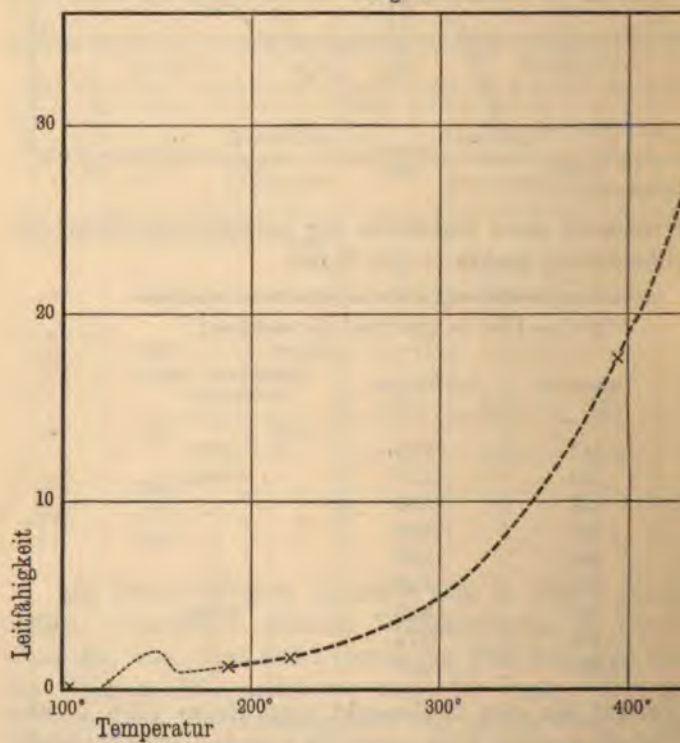
| Temperatur | Leitfähigkeit | Einstellung der Temperatur |
|------------|---------------|----------------------------|
| 148°       | 12,86         | von oben                   |
| 150        | 13,30         | " unten                    |
| 152        | 13,35         | " "                        |
| 153        | 13,00         | " "                        |
| 154        | 12,22         | " "                        |
| 156        | 8,00          | " oben                     |
| 158        | 3,06          | " unten                    |
| 178        | 3,74          | " "                        |
| 201        | 9,89          | " "                        |

Den Verlauf bis zum Siedepunkt zeigt Reihe VII b in um-  
 nder Tabelle und Fig. 3 (in gegen Fig. 2 verändertem Maßstab).  
 Eine exakte Reproduktion der Leitfähigkeitswerte für gleiche  
 eraturen in verschiedenen Versuchsreihen ist nicht möglich,

| Reihe VII b (Fig. 3) |               |                            |
|----------------------|---------------|----------------------------|
| Temperatur           | Leitfähigkeit | Einstellung der Temperatur |
| 104°                 | 0,00          | von unten                  |
| 188                  | 1,16          | " oben                     |
| 221                  | 1,61          | " "                        |
| 394                  | 17,69         | " unten                    |
| 446                  | 32,86         | " "                        |

da sich der flüssige Schwefel im Vergleich mit anderen (Metallen oder guten Elektrolyten) recht ungleichmäßig

Fig. 3.



und für gleiche Versuchsbedingungen mitunter sehr verschiedene Resultate ergeben kann. Jedoch reihen sich bei ein

en Zusammensetzung der Zelle die Leitfähigkeitswerte für oben und von unten eingestellte Gleichgewichtstemperaturen die nämliche Kurve ein, wie die einzelnen Zahlen der Reihen VI, VII a und VII d zeigen. Wurde der Elektrodenabstand, ohne die Zelle zu öffnen, durch Anziehen des Zuleitungsdrahtes der oberen Elektrode verdoppelt, so stieg auch der Widerstand der Zelle etwa auf das Doppelte. Erhitzt man den Schwefel längere Zeit auf einer Temperatur oder läßt ihn sieden, so haben die Leitfähigkeitswerte für die Temperaturen nicht weit über dem Schmelzpunkt zum zehnten Teil ihres ursprünglichen Betrages abgenommen, was schon FOUSSEREAU (l. c.) fand und ich auch für vollkommene Einstellung des Gleichgewichts  $S_{100^\circ} \rightleftharpoons S_{un100^\circ}$  bestätigen konnte. In einer Versuchsreihe war allerdings nach Erhitzung auf  $430^\circ$  die Leitfähigkeit für die tieferen Temperaturen auf das siebenfache gewachsen; doch lag dies jedenfalls an einer Verstellung der Elektroden. Bei lange andauernder Erhitzung auf konstante Temperatur nehmen die Leitfähigkeitswerte allmählich ab.

Nimmt man an, daß sich die Netzelektrode wie ein Blech gleicher Größe verhält, was annäherungsweise wohl gestattet ist, so berechnet sich der spezifische Widerstand des flüssigen Schwefels aus Leitfähigkeit, Elektrodengröße und -abstand zu:

$$\begin{aligned} &2 \cdot 10^{10} \text{ bei } 130^\circ, \\ &10^8 \text{ „ } 430^\circ \end{aligned}$$

( $10^6 \Omega$  pro Zentimeterwürfel). Diese Zahlen stellen ungefähr den Maximalwert der Temperaturabhängigkeit dar; in einem Falle, bei sehr lange dauernder hoher Erhitzung war der Widerstand bei  $134^\circ$  nur  $\frac{1}{200}$  desjenigen bei  $448^\circ$  (vgl. die Tabelle auf S. 500). Die Kurvenfalte zwischen  $150$  und  $220^\circ$  hängt ganz offenbar mit der großen Viskosität zusammen, die der Schwefel in diesem Temperaturintervall besitzt, bei höherer Temperatur jedoch wieder verliert. ROTINJANZ<sup>1)</sup> hat dieses Verhalten der inneren Reibung des Schwefels eingehend studiert und ist der Meinung, daß die Zähigkeitsänderungen unabhängig seien von der Anwesenheit des ungeschmolzenen Schwefels; damit wird auf eine Erklärung verzichtet. Er sieht jedoch die Möglichkeit vor, daß die gerade jenen Tempe-

<sup>1)</sup> L. ROTINJANZ, ZS. f. physik. Chem. 62, 609, 1908.



raturen zukommenden Gleichgewichtsmengen von  $S_{10s1}$  und sich in ihrer Mischung durch eine intensive Steigerung der Viskosität auszeichnen; denn auch das anomale Verhalten physikalischer Eigenschaften des flüssigen Schwefels im Temperaturgebiet [z. B. Oberflächenspannung und Dichte] ist allein durch die Gleichgewichtsisomerie  $S_{10s1} \rightleftharpoons S_{un10s1}$  erklärbar.

Von den bisherigen Beobachtern der Leitfähigkeit des Schwefels, FOUSSERAU<sup>2)</sup> und MONCKMAN<sup>3)</sup>, ist dieser faltartige Kurvenverlauf nicht bemerkt worden. FOUSSERAU fand bis 150° eine Abnahme des Widerstandes im Verhältnis von 160° an zunehmenden Widerstand. MONCKMANS Temperaturkoeffizienten der Leitfähigkeit konnte ich der Kurvenfalte der Größenordnung nach bestätigen. Für gereinigten Schwefel bei Anwendung von Platinelektroden spezifischen Widerstand:

2,8 · 10<sup>8</sup> bei 300°,

5,7 · 10<sup>7</sup> „ 350°,

7,7 · 10<sup>6</sup> „ 440°.

Der Gesamtverlauf der Leitfähigkeitskurve deutet darauf hin, daß die Ursache der Leitfähigkeit des Schwefels in geringen Beimengungen zu sehen ist, die, als Elektrolyt, die Leitfähigkeit mit positivem Temperaturkoeffizienten aufweisen. Die sehr geringe Leitung des festen Schwefels nimmt erst beim Schmelzen größere Beträge an und wächst dann bis zum Siedepunkt, mit Ausnahme des Gebietes der geringen Viskosität, wo wegen des stärkeren Reibungswiderstandes eine Verminderung der Leitung eintritt, in Analogie zu anderen Fällen dieser Art. Hier könnte vielleicht doch ein Zusammenhang auf die Leitfähigkeit nachweisbar sein, da wahrscheinlich in diesem Temperaturintervall eine Zunahme der Menge von  $S_{un10s1}$  durch Änderung der Viskosität indirekt auch die Leitfähigkeit ändern wird. Ein derartiger Effekt konnte jedoch bei der Feinsinnigkeit meiner Beobachtungsmethode nicht bemerkt werden.

<sup>1)</sup> A. WIGAND, ZS. f. physik. Chem. 63, 276 und 301, 1898.

<sup>2)</sup> G. FOUSSERAU, l. c.

<sup>3)</sup> J. MONCKMAN, l. c.

Als leitende Beimengungen kommen in erster Linie Oxyden in Betracht, die sich unvermeidlich bilden und im Schwefel und auch, wie SMITH, HOLMES und HALL<sup>1)</sup> fanden, als wir Katalysator bei der Umwandlung im flüssigen Schwefel wichtige Rolle spielen. Vielleicht ist auch noch ein kleiner von Schwefelkohlenstoff als Überbleibsel vom vorangegangenen kristallisieren gelöst.

Für die Erklärung der Leitfähigkeit des Schwefels durch Beimengungen (gelöste Gase) sprechen noch einige andere Bestimmungen, die zum Teil schon erwähnt wurden: die Werte der Leitfähigkeit für die einzelnen Temperaturen sind nur in bestimmtem Maße reproduzierbar. Man beobachtet, wenn die Temperatur lange Zeit konstant gehalten wird, und sogar wenn langsam ansteigt, dauernd eine langsame Abnahme der Leitfähigkeit, wie die Versuche der folgenden Tabelle zeigen; diese Abnahme erklärt sich durch das allmähliche Abdestillieren der festen Bestandteile.

| Temperatur | Leitfähigkeit | Erhitzungsdauer |
|------------|---------------|-----------------|
| 124°       | 0,99          | 0 Stunden       |
| 126        | 0,93          | 1 "             |
| 128        | 0,86          | 2 "             |
| 129        | 0,75          | 3 "             |
| 130        | 0,66          | 4 "             |
| 131        | 0,62          | 5 "             |

Auch daß der Widerstand durch hohes Erhitzen für tiefere Temperaturen zunimmt, wird so verständlich, da der flüssige Schwefel bei hohen Temperaturen weniger Gas gelöst zu halten vermag und dann in reinerem Zustande zu den tieferen Temperaturen gelangt. Zu dem gleichen Resultat bezüglich des Entstehens der gelösten Oxyde kam SMITH (l. c.) durch seine Versuche über den Einfluß von Katalysatoren.

Um festzustellen, ob speziell das Schwefeldioxyd wesentlich sei, wurde in eine vorher untersuchte Schwefelzelle, ohne sie zu öffnen, durch eins der Elektrodenglasrohre ein langsamer

<sup>1)</sup> A. SMITH, W. B. HOLMES u. E. S. HALL, ZS. f. physik. Chem. 52, 1905; 54, 257, 1906.

Strom des getrockneten Gases (dargestellt durch Reduktion konzentrierter Schwefelsäure mit Kupfer) eine halbe Stunde eingeleitet. Die Leitfähigkeit war danach bei derselben Temperatur auf das Doppelte gestiegen. Durch nachheriges Einleiten von Luft ging die Leitfähigkeit, wohl wegen der Entfernung des Schwefeldioxyd, wieder etwas zurück.

Dresden, Physikalisches Institut der Technisch. Hochschule  
29. Juni 1908.

*Über eine Erweiterung der Lorentz'schen  
Elektronentheorie der Metalle;  
von P. Gruner.*

(Vorgelegt in der Sitzung vom 3. Juli 1908.)  
(Vgl. oben S. 450.)

Die Übertragung der Elektronentheorie auf die Erscheinungen elektrischen und kalorischen Vorgänge in Metallen ist schon mehrfach in Angriff genommen worden.

E. RIECKE<sup>1)</sup> war wohl der erste, der in strenger Durchführung die Gesetze der kinetischen Gastheorie auf die Bewegungen der Elektronen im Innern der Metalle anwendete. Seine Theorie gründet sich auf die Annahme zweier Arten von beweglichen Elektronen, positiven und negativen, deren Dichte gegenüber den ponderablen Molekülen so klein sein soll, daß die Stöße der Elektronen mit den letzteren in Betracht zu kommen sind. P. DRUDE<sup>2)</sup>, der ebenfalls zwei oder mehr Elektronenarten in den Metallen voraussetzte, geht von der umgekehrten Annahme aus, wonach nur die Stöße der Elektronen untereinander zu berücksichtigen sind. Dank dieser Voraussetzung und durch Beiziehung einiger weiterer, äußerst glücklich getroffener Annahmen (universelle Konstante  $\alpha$ , konstante mittlere Geschwindigkeit der Elektronen usw.) gelingt es ihm, auf außerordentlich einfache Weise ein sehr gutes, in mancher Beziehung vollständiges Bild der betreffenden Erscheinungen zu liefern. Ein Vergleich zwischen den Theorien von DRUDE und RIECKE ist ebenfalls von RIECKE<sup>3)</sup> selber gegeben worden. Auch von J. J. THOMSON<sup>4)</sup> bestehen Untersuchungen über die hier vorliegenden Erscheinungen.

<sup>1)</sup> E. RIECKE, Wied. Ann. 66, 353 u. 545, 1898.

<sup>2)</sup> P. DRUDE, Ann. d. Phys. (4) 1, 566; 3, 369, 1900.

<sup>3)</sup> E. RIECKE, Jahrb. d. Radioakt. u. Elektron. 3, 24, 1906.

<sup>4)</sup> J. J. THOMSON, Die Korpuskulartheorie der Materie, 1908. Dieses Buch kam mir erst beim Abschluß meiner Arbeit in die Hände.

Endlich hat LORENTZ<sup>1)</sup> in etwas veränderter Form triontheorie der Metalle behandelt. Er schließt sich wieder der Anschauung von RIECKE an, wonach die Elektronen mit den ponderablen Molekülen weitaus entfernt sind, dann aber sucht er (wie dies den neueren Anschauung aus entspricht) durch bloße Annahme von frei beweglichen Elektronen auszukommen. Zudem sucht er seine Ausführungen strenger zu gestalten, indem er die Geschwindigkeit der Elektronen, gemäß dem MAXWELLSchen Geschwindigkeitsverteilungsgesetz, einführt. — Allerdings hat LORENTZ seine zuerst angegebene Annahme wieder fallen lassen, derselben zur Erklärung der galvanomagnetischen Effekte auskam. Auch R. GANS<sup>2)</sup>, der die LORENTZschen Gesetze weiter ausführte, mußte konstatieren, daß jene Annahme Empirie nicht in Übereinstimmung zu bringen sei.

In diesem Punkte möchte die vorliegende Untersuchung setzen, wobei gleich bemerkt werden mag, daß es sich hier eine vorläufige Mitteilung handelt, indem die eingehende kritische Prüfung der gewonnenen Formeln, sowie auch die Anwendung auf die komplizierten, galvanomagnetischen Erscheinungen noch nicht durchgeführt werden konnte.

Die wesentlichen Gedanken dieser Untersuchung sind im Festhalten an der Annahme einer einzigen Art frei beweglicher Elektronen (der negativen), Anwendung der LORENTZschen Voraussetzungen und Methoden (Stoß der Elektronen mit Molekülen allein, MAXWELLS Verteilungsgesetz, elastische Stoß und Erweiterung derselben durch Annahme sowohl positiven als auch von elektrisch neutralen Molekülen, von denen die ersteren unter Umständen negative Elektronen binden können, während die zweiten durch Elektronenstoß ionisiert werden können). Die Einführung dieser letzten Annahme, die jedenfalls aus im Einklang ist mit dem, was wir über die Wirkung von Elektronen und ponderablen Molekülen

<sup>1)</sup> H. A. LORENTZ, Versl. Akad. v. Wetensch. zu Amsterdam 1905; Proc. Amsterdam 7, 438, 585, 684, 1905.

<sup>2)</sup> R. GANS, Zur Elektronenbewegung in Metallen. Ann. d. Phys. 20, 293, 1906.

te vielleicht die Mittel an die Hand geben, um durch bloße Bewegung der negativen Elektronen die galvanischen und chemischen Erscheinungen in den Metallen darzustellen.

### I. Grundvorstellungen der Theorie.

Die Vorstellungen, die wir uns auf Grund des bisher Gesehenen zu machen haben, mögen hier zusammengestellt werden. Ein Metallstück wird aufgefaßt als ein Raum, der bei gewöhnlicher Temperatur mit unbeweglich gelagerten<sup>1)</sup>, ponderablen Molekülen erfüllt ist. Diese Moleküle werden als vollkommen elastische Kugeln mit dem Radius  $R$  (Radius ihrer Wirkungssphäre) aufgefaßt. Jedes Molekül enthält einen, von den anderen untrennbaren, unveränderlichen Kern mit der positiven elektrischen Elementarladung  $+e$ <sup>2)</sup>. Moleküle, die keine andere elektrische Ladung haben, heißen positive Moleküle, ihre Zahl pro Volumeinheit sei  $N_p$ . Gewisse Moleküle besitzen außerdem in ihrem Innern ein negatives Elektron mit der Elementarladung  $-e$ ; dieses Elektron ist in nicht näher zu bestimmender Weise an den positiven Kern gebunden und besitzt eine bestimmte potentielle und kinetische Energie (letztere nur, wenn das Elektron im Innern des Moleküls um den positiven Kern kreist). Solche Moleküle heißen neutrale Moleküle, ihre Zahl pro Volumeinheit sei  $N_n$ . Die Zahl  $N = N_n + N_p$  aller Moleküle pro Volumeinheit ändert sich natürlich nur in geringem Maße mit der Temperatur (sowie auch der Radius  $R$ ).

In den Zwischenräumen der Moleküle befindet sich stets eine große Zahl frei beweglicher, negativer Elektronen. Ist der Zustand des Metalls elektrisch ungeladen stationär, so muß die Dichte dieser negativen Elektronen pro Volumeinheit gleich

<sup>1)</sup> Die Unbeweglichkeit ist natürlich nur so zu verstehen, daß die Moleküle in der Wirkungssphäre der Moleküle um ihre Gleichgewichtslage nicht ausgeschlagen werden; kleine Oszillationen sind nicht in Betracht kommen.

<sup>2)</sup> Wir beschränken uns also auf Betrachtung solcher Moleküle, die nur eine positive oder negative Elementarladung enthalten. Die Möglichkeit der Ionisation nur einwertig werden; ob in dem Molekül noch weitere Ladungen positiver und negativer Ladung vorkommen, deren Wirkung sich nicht aufhebt, lassen wir dahingestellt.

der Zahl  $N_p$  der positiven Moleküle sein. Die freien Elektronen werden als verschwindend kleine, vollkommen mit Trägheit versehene Kugeln mit der unveränderlichen Elementarladung  $-e$  aufgefaßt. Die Bewegung der freien Elektronen allein bestimmt die Temperatur und den elektrischen Zustand des Metalles, wobei die Anschauungen der kinetischen Gastheorie, also auch das MAXWELLSche Geschwindigkeitsverteilungsgesetz, jenen Bewegungen zu Grunde gelegt werden. Die Zahl der Stöße der Elektronen untereinander soll verschwindend klein sein im Verhältnis der Zahl der Stöße zwischen Elektronen und Molekülen<sup>1)</sup>.

Bei dem Zusammenstoß eines Elektrons mit einem Molekül kann dreierlei erfolgen:

1. Das Elektron wird nach den Gesetzen des vollkommen elastischen Stoßes zurückgeworfen.
2. Das Elektron stößt auf ein positives Molekül und wird durch dessen anziehende elektrische Kraft in seine Wirkungssphäre bleibend hineingezogen, d. h. es wird gebunden.
3. Das Elektron stößt mit solcher Wucht auf ein Molekül, daß das in ihm gebundene Elektron losgerissen wird, während das erste Elektron mit verminderter Geschwindigkeit zurückprallt, d. h. es tritt Ionisation ein.

Zwischen diesen drei Hauptwechselwirkungen können natürlich allerlei Übergänge stattfinden; da es sich aber um Mittelwertbildungen handelt, dürfen diese Übergänge vernachlässigt werden.

Die Schwierigkeit liegt darin, die Bedingungen für die verschiedenen Stoßarten genau festzustellen. Eine genaue Analyse muß auf Rücksicht nehmen, daß nicht nur die Geschwindigkeit des stoßenden Elektrons für das Resultat des Stoßes maßgebend ist, sondern auch die Art desselben (zentraler oder seitlicher Stoß) ferner müßte der Mechanismus der Ionisation und der

<sup>1)</sup> Dies ist zulässig, wenn man den Radius der Wirkungssphäre des Moleküls zu  $10^{-8}$  cm, denjenigen des Elektrons zu  $10^{-13}$  cm annimmt, dafür sorgt, daß weder das Verhältnis  $\frac{N_p}{N}$ , noch dasjenige  $\frac{N_n}{N}$  eine gewisse Grenze (etwa  $10^{-4}$ ) sinkt.

elektronentheoretisch bekannt sein, und endlich auch der Einfluß der sich durchsetzenden elektrischen Felder der positiven und der negativen Elektronen in Betracht gezogen werden. Es ist klar, daß eine übersichtliche und einfache Behandlung des Problems dadurch verunmöglicht werden würde. Es sind deshalb diejenigen die denkbar einfachsten und doch noch plausiblen Annahmen getroffen worden.

Betrachten wir zuerst den Zusammenstoß eines Elektrons mit einem positiven Molekül. Ist die Geschwindigkeit des Elektrons groß, so fällt die schwache Anziehung des positiven Kernes des negativen Elektron gar nicht in Betracht, der Zusammenstoß ist vollkommen elastisch. Ist aber die Geschwindigkeit des Elektrons gering, so wird im Gegenteil diese elektrische Anziehung überwiegen, das Elektron wird in das Molekül hineingezogen, es wird gebunden. Diese beiden Fälle sollen durch eine bestimmte Grenzgeschwindigkeit  $G$  der Elektronen scharf getrennt sein. Betrachten wir den Zusammenstoß eines Elektrons mit einem neutralen Molekül, so wird umgekehrt bei kleiner Geschwindigkeit ein vollkommen elastischer Stoß stattfinden, bei großer Geschwindigkeit aber überträgt das stoßende Elektron seine kinetische Energie dem gebundenen Elektron, und dieses letztere tritt in der Richtung des Stoßes mit der Geschwindigkeit des ersteren aus dem Molekül heraus, es findet Ionisation<sup>1)</sup>

Gleichzeitig prallt das stoßende Elektron elastisch zurück, aber mit verminderter Geschwindigkeit (entnehmend der Energie, die das gebundene Elektron besessen hat). Auch diese beiden Fälle werden durch eine Grenzgeschwindigkeit  $G$  scharf getrennt, und zur weiteren Veranschaulichung nehmen wir hier denselben Wert von  $G$  an, wie im vorigen Falle<sup>2)</sup>.

Es ergibt sich daraus, daß jedes Elektron, dessen Geschwindigkeit  $< G$  ist, beim Zusammenstoß mit einem neutralen Molekül

<sup>1)</sup> Freilich könnten über die Geschwindigkeiten des ionisierten und des stoßenden Elektrons noch ganz andere Hypothesen gemacht werden; die vorliegende scheint uns vorderhand die einfachste und naturgemäße zu sein.

<sup>2)</sup> Eine Unterscheidung der Grenzgeschwindigkeiten  $G_1$  und  $G_2$  bei Zusammenstoß und Ionisation ließe sich wohl durchführen, würde aber die Theorie nicht wesentlich einfacher gestalten, ohne sie wesentlich brauchbarer zu machen.



abprallt und beim Stoß mit einem positiven Molekül gebunden wird, also verschwindet; ferner, daß jedes Elektron, dessen Geschwindigkeit  $> G$ , beim Zusammenstoß mit einem positiven Molekül abprallt, und beim Stoß mit einem neutralen Molekül Ionisation erzeugt. Diese Ionisation kommt aber praktisch auf dasselbe heraus, als ob das Elektron ungehindert weiterginge und dabei ein neues Elektron entstände, dessen Geschwindigkeit natürlich  $< G$  ist (und dabei entgegengesetzt gerichtet dem stoßenden Elektron).

Die letzte Annahme, die noch zu treffen ist, betrifft eben diese durch Ionisation entstehende Geschwindigkeit. Es läßt sich darüber kaum etwas apriori feststellen, dagegen wird eine Annahme allgemeiner Art über diese Schwierigkeit hinweghelfen:

Wir setzen voraus, daß in jedem physikalisch unendlich kleinen Volumelement<sup>1)</sup>, im stationären Zustande, in jedem Zeitelement durch Bindung genau soviel Elektronen einer nach Richtung und Größe gegebenen Geschwindigkeit ( $< G$ ) verschwinden, als durch Ionisation Elektronen von derselben Geschwindigkeit (gleicher Größe und gleicher Richtung) entstehen.

Indem wir auf diese Weise eine Art selbständiger Regulierung zwischen Bindung und Ionisation aufstellen, entheben wir uns der kaum lösbaren Aufgabe, die bei der Ionisation auftretende, elastische Stoßwirkung zu ermitteln, und gleichzeitig ergibt sich damit eine wesentliche Vereinfachung der mathematischen Ausdrücke.

## II. Mathematische Grundlagen der Theorie.

### a) Die Stoßgleichungen.

Die mathematische Durchführung der obigen Theorie erfolgt genau in gleicher Weise wie die von LORENTZ (l. c.) gegebene. Wir verweisen deshalb auf seine Arbeit und geben hier nur die Hauptlinien der betreffenden Ableitungen.

<sup>1)</sup> Ein „physikalisch unendlich kleines“ Volumelement, im Sinne von LORENTZ, enthält immer noch unendlich viele Moleküle und Elektronen. Siehe Enzyklop. der math. Wissensch. 5 [2], 201, 1904.

in Volumelement  $d\tau$  sind  $n d\tau$  Elektronen, die sich mit allen möglichen Geschwindigkeiten  $v$  (mit den Komponenten  $\xi \eta \zeta$ ) bewegen. Die Zahl derselben, deren Geschwindigkeit innerhalb  $\xi$  und  $\xi + d\xi$ ,  $\eta + d\eta$ ,  $\zeta + d\zeta$  liegen, d. h. innerhalb des Geschwindigkeitsbezirkes  $d\omega = d\xi \cdot d\eta \cdot d\zeta$ , sei

$$f(x y z t \xi \eta \zeta) d\tau \cdot d\omega = f \cdot d\tau \cdot d\omega.$$

Wie bekannter Weise ergibt sich die Zahl der Stöße, welche Elektronen im Zeitelement  $dt$  mit den  $N_p d\tau$  positiven Molekülen vom Radius  $R$  erleiden:

$$dZ = - N_p dt d\omega d\tau R^2 \cdot v \int_0^{2\pi} d\psi \int_0^{\frac{\pi}{2}} f \cos \vartheta \sin \vartheta d\vartheta.$$

Solange  $v < G$ , werden die Elektronen von den Molekülen abgewiesen; dieses Integral gibt also die durch Bindung aus  $d\tau$  Molekülen in der Zeit  $dt$  verschwindenden Moleküle.

Ist  $v > G$ , so findet elastischer Stoß statt.

Erfolgedessen gelangen die gestoßenen Elektronen des Geschwindigkeitsbezirkes  $d\omega$  in einen veränderten Bezirk  $d\omega'$ , wobei veränderten Geschwindigkeitskomponenten sind:

$$\left. \begin{aligned} \xi' &= \xi - 2v \cos \vartheta \cdot \cos f \\ \eta' &= \eta - 2v \cos \vartheta \cdot \cos g \\ \zeta' &= \zeta - 2v \cos \vartheta \cdot \cos h \end{aligned} \right\} 1)$$

$\Delta$  der Richtung von  $v$  mit dem Radius, der im gestoßenen Molekül nach der Stoßstelle gezogen wird;  $f, g, h = \Delta \Delta$  dieses Winkel mit den Koordinatenachsen).

Gehen somit durch den Stoß  $dZ$  Elektronen in den Bezirk  $d\omega'$  über, so werden umgekehrt aus diesem Bezirk  $d\omega'$  in den ursprünglichen Bezirk  $d\omega$  eine Anzahl  $dZ'$  Elektronen gelangen:

$$dZ = + N_p dt \cdot d\omega' d\tau R^2 v' \int_0^{2\pi} d\psi \int_0^{\frac{\pi}{2}} f' \cos \vartheta \sin \vartheta d\vartheta.$$

Hier bedeutet  $f' = f(x y z t \xi' \eta' \zeta')$ , ferner ist wegen der Gelblichkeit  $d\omega' = d\omega$  und  $v' = v$ .

Die Elektronenzahl im Bezirk  $d\omega$  wird also durch den Stoß der positiven Molekülen vermehrt um:

$$N_p dt d\omega d\tau R^2 v \int_0^{2\pi} d\psi \int_0^{\frac{\pi}{2}} (f' - f) \cos \vartheta \sin \vartheta d\vartheta, \quad 2a)$$

wobei stets  $v > G$  sein muß.

Analog folgt: Durch den Stoß mit den  $N_n d\tau$  neutralen Molekülen wird die Elektronenzahl vermehrt um:

$$N_n dt d\omega d\tau R^2 v \int_0^{2\pi} d\psi \int_0^{\frac{\pi}{2}} (f' - f) \cos \vartheta \sin \vartheta d\vartheta, \quad 2b)$$

wobei stets  $v < G$  sein muß.

Ist  $v > G$ , so findet Ionisation statt, d. h. es ist, als ob das stoßende Elektron ungehindert weiterzöge, dagegen eine Anzahl  $dZ''$  neuer Elektronen entstanden (zur Vermeidung von Verwechslungen seien hier die auf die stoßenden Elektronen bezüglichen Größen mit Index  $''$  versehen):

$$dZ'' = + N_n dt d\omega'' d\sigma R^2 v'' \int_0^{2\pi} d\psi \int_0^{\frac{\pi}{2}} f'' \cos \vartheta \sin \vartheta d\vartheta.$$

Diese Zahl  $dZ''$  der entstandenen Elektronen hat eine Geschwindigkeit  $v < G$ . Nach unserer speziellen Annahme (S. 514) muß jeder Geschwindigkeit  $v < G$  eine Geschwindigkeit  $v'' > G$  entsprechen, in der Weise, daß im stationären Zustand die Zahl  $dZ$  der aus dem Bezirk  $d\omega$  durch Bindung verschwindenden Elektronen gleich sein muß der Zahl  $dZ''$  der (aus dem Bezirk  $d\omega''$ ) durch Ionisation in dem Bezirk  $d\omega$  neu geschaffenen Elektronen. Die Gleichung  $dZ' = dZ''$  oder:

$$\left. \begin{aligned} N_p d\omega v \int_0^{2\pi} d\psi \int_0^{\frac{\pi}{2}} f \cos \vartheta \sin \vartheta d\vartheta \\ = N_n d\omega'' v'' \int_0^{2\pi} d\psi \int_0^{\frac{\pi}{2}} f'' \cos \vartheta \sin \vartheta d\vartheta \end{aligned} \right\} \quad 3)$$

liefert also den mathematischen Ausdruck dieser Wechselwirkung zwischen Ionisation und Bindung bei stationärem Zustande.

Für die Zunahme der Elektronen des Bezirkes  $d\omega$  ist dem die Bindung bzw. die Ionisation belanglos, so daß die Formeln 2a) und 2b) den gesamten Wert jener Zunahme der Molekularstöße darstellen.

b) Ermittlung der Funktion  $f$ .

Venn die Elektronenverteilung im ganzen Metallstück gleichmäßig wäre, so müßte für  $f$  das bekannte MAXWELLSche Vergesetz gelten:

$$f(\xi\eta\zeta) = A \cdot e^{-h v^2},$$

und  $h$  nur von der Natur des Metalles und von seiner Temperatur abhängen.

Da wir aber eine mit dem Raum variable Verteilung der Elektronen annehmen (variable Temperatur, elektrische Ströme), so muß obiger Ausdruck eine entsprechende Abänderung erhalten.

Für den stationären Zustand, den wir ja stets voraussetzen, dürfen wir uns der Annahme von LORENTZ anschließen setzen:

$$f(xys \xi\eta\zeta) = A \cdot e^{-h v^2} + \varphi(\xi\eta\zeta),$$

wo  $A$  und  $h$  auch Funktionen des Raumes sind, und wo  $\varphi$  sehr kleine Werte annehmen soll (d. h. nur geringe Abweichungen von dem Gleichgewichtszustand angibt).

Spezialisieren wir unsere Untersuchungen für den Fall, daß nur Störungen in einer Richtung und zwar in der X-Richtung auftreten dürfen, so setzen wir, ebenfalls nach LORENTZ:

$$f(x \xi\eta\zeta) = A \cdot e^{-h v^2} + \xi \chi(v). \quad 4)$$

Die Funktion  $\chi(v)$  läßt sich ermitteln durch Einführung 4) in den Ausdruck für die Elektronenzunahme, die im Gegendigkeitsbezirk  $d\omega$  im Volumelement 1 in der Zeit 1 stattfindet.

Sofern jene Zunahme durch die molekularen Zusammenstöße bedingt ist, ergibt sie sich aus 2a) und 2b). Durch Anwendung 4) und 1) wird daselbst:

$$f' - f = (\xi' - \xi) \chi(v) = -2v \cos \vartheta \cos f \chi(v)$$

$$\int_0^{2\pi} d\psi \int_0^{\frac{\pi}{2}} (f' - f) \cos \vartheta \sin \vartheta d\vartheta = -\pi v \cos f \cdot \chi(v)$$

$$= -\pi \xi \chi(v).$$

Die Zunahme wird demnach, je nachdem die Geschwindigkeit der Elektronen  $\leq G$  ist (was einfach durch Beifügen des Index 1 bzw. 2 bezeichnet werden soll):

$$\begin{aligned} -\pi N_n R^2 \xi_1 v_1 \chi(v_1) dv_1 & \quad \text{für } 0 < v_1 < G \\ -\pi N_p R^2 \xi_2 v_2 \chi(v_2) dv_2 & \quad \text{für } G < v_2 < \infty \end{aligned} \quad 5)$$

Dazu kommt noch die Veränderung der Elektronenzahl infolge ihrer eigenen Bewegung ( $\xi \eta \xi$ ) und infolge fremder Kraftwirkungen deren Beschleunigungskomponenten mit  $X, Y, Z$  bezeichnet seien.

Wird auch hier nur eine Variation in der  $X$ -Richtung angenommen, so ergibt sich hierfür<sup>1)</sup>:

$$\left( -X \frac{\partial f}{\partial \xi} - \xi \frac{\partial f}{\partial x} \right) dx dv dt$$

pro Volumelement und Zeitelement.

Im stationären Zustande darf die Elektronenzahl sich nicht ändern, es folgt:

$$\left( +X \frac{\partial f}{\partial \xi} + \xi \frac{\partial f}{\partial x} \right) dv = -\pi N R^2 \xi v \chi(v) dv,$$

worin, je nach dem Wert von  $v$ , die Zahl  $N_p$  bzw.  $N_n$  und der Index 1 bzw. 2 einzusetzen ist.

Setzt man in die linke Seite den Ausdruck 4) ein und vernachlässigt hier das Zusatzglied  $\xi \chi(v)$ , weil es sich so wie so nur um geringe Werte handelt, so folgt:

$$\xi \cdot e^{-h v^2} \cdot \left( -2h A X + \frac{dA}{dx} - v^2 A \frac{dh}{dx} \right) = -\pi N R^2 \xi v X(v),$$

woraus die Zusatzfunktion  $\chi$  sich ergibt:

$$\chi(v) = \frac{1}{\pi N R^2} \left( 2h A X - \frac{dA}{dx} + v^2 A \cdot \frac{dh}{dx} \right) \frac{1}{v} \cdot e^{-h v^2}$$

und hieraus die gesamte Funktion  $f$ :

<sup>1)</sup> Siehe Boltzmann, Vorlesungen über Gastheorie, I, S. 114. 1896.

$$\left. \begin{aligned}
 &= A e^{-h v_1^2} + \frac{1}{\pi R^3 N_n} \left( 2h A X - \frac{dA}{dx} + v_1^2 A \frac{dh}{dx} \right) \frac{\xi_1}{v_1} e^{-h v_1^2} \\
 &\qquad\qquad\qquad \text{für } 0 < v_1 < G \\
 &= A \cdot e^{-h v_2^2} + \frac{1}{\pi R^3 N_p} \left( 2h A X - \frac{dA}{dx} + v_2^2 A \frac{dh}{dx} \right) \frac{\xi_2}{v_2} e^{-h v_2^2} \\
 &\qquad\qquad\qquad \text{für } G < v_2 < \infty
 \end{aligned} \right\} 6)$$

### c) Integration der Gleichungen.

Die Gleichungen 6) geben die Werte von  $f$  für einen bestimmten Geschwindigkeitsbezirk  $dw$ . Durch passende Verwendung dieser Werte und Integration über alle Geschwindigkeiten, wobei  $f_1$  zwischen den Grenzen  $0 - G$  und  $f_2$  zwischen Grenzen  $G - \infty$  auftritt, ergeben sich die gewünschten Beziehungen.

1. Zahl der Elektronen (somit auch der positiven Moleküle) Volumen 1:

$$n = N_p = \int_0^G f_1 dw_1 + \int_G^\infty f_2 dw_2 = A \sqrt{\frac{\pi^3}{h^3}}. \quad 7a)$$

2. Mittleres Geschwindigkeitsquadrat der Elektronenbewegung:

$$u^2 = \frac{1}{n} \int_0^G v_1^2 f_1 dw_1 + \int_G^\infty v_2^2 f_2 dw_2 = \frac{3}{2h}. \quad 7b)$$

Diese zwei Integrale geben dieselben Werte, die sich auch der kinetischen Gastheorie ergeben.

Definiert man, den Anschauungen derselben entsprechend, absolute Temperatur  $T$  proportional der mittleren wirkenden Kraft der Elektronen, so gilt:

$$\alpha T = \frac{m u^2}{2} \quad \text{oder} \quad h = \frac{3m}{4\alpha T}. \quad 7c)$$

Hier bedeutet  $m$  die träge Masse der negativen Elektronen;  $\alpha$  wirklich eine universelle Konstante sei in dem Sinne von UDE, wonach sie denselben Wert für die Bewegungen der Gasmoleküle wie für die Bewegungen der Elektronen besitzen soll, ob vorläufig noch unentschieden bleiben.

3. Überschuß der Anzahl der Elektronen, die pro Zeiteinheit durch eine senkrecht zur X-Achse stehende Fläche 1 im Sinne der positiven X-Achse hindurchtreten:

$$v = \int_0^G \xi_1 f_1 dw_1 + \int_G^\infty \xi_2 f_2 dw_2. \quad 8)$$

4. Überschuß der lebendigen Kraft, welche die durch eine senkrecht zur X-Achse stehende Fläche 1 tretenden Elektronen pro Zeiteinheit im Sinne der positiven X-Achse mit sich führen:

$$W = \frac{m}{2} \int_0^G \xi_1 v_1^2 f_1 dw_1 + \frac{m}{2} \int_G^\infty \xi_2 v_2^2 f_2 dw_2. \quad 9)$$

Zur Berechnung dieser Integrale führen wir die Werte 6) ein. Die Glieder im Integranden mit den Faktoren  $\xi$ ,  $\xi^2$ ,  $\xi^3 \dots$  fallen bei der Integration weg, weil sie gleich viel positive und negative Beiträge liefern. Das Differential  $dw$ , das von der Richtung von  $v$  unabhängig wird, kann gleich  $4\pi v^2 dv$  gesetzt werden, ferner  $\xi^2 = \frac{v^2}{3}$ . Daraus folgt:

$$v = \frac{4}{3} \frac{1}{R^2 N_n} \left\{ A \frac{dh}{dx} \int_0^G v^5 e^{-hv^2} dv + \left( 2hAX - \frac{dA}{dx} \right) \int_0^G v^3 e^{-hv^2} dv \right\} \quad 8a)$$

$$+ \frac{4}{3} \frac{1}{R^2 N_p} \left\{ A \frac{dh}{dx} \int_G^\infty v^5 e^{-hv^2} dv + \left( 2hAX - \frac{dA}{dx} \right) \int_G^\infty v^3 e^{-hv^2} dv \right\}$$

$$W = \frac{2m}{3} \frac{1}{R^2 N_n} \left\{ A \frac{dh}{dx} \int_0^G v^7 e^{-hv^2} dv + \left( 2hAX - \frac{dA}{dx} \right) \int_0^G v^5 e^{-hv^2} dv \right\} \quad 9a)$$

$$+ \frac{2m}{3} \frac{1}{R^2 N_p} \left\{ A \frac{dh}{dx} \int_G^\infty v^7 e^{-hv^2} dv + \left( 2hAX - \frac{dA}{dx} \right) \int_G^\infty v^5 e^{-hv^2} dv \right\}$$

Die einzelnen Integrale berechnen sich vermittelst der Substitution  $v^2 = s$  und ergeben:

$$\int_0^G v^3 e^{-hv^2} dv = \frac{1}{2h^2} - \frac{hG^2 + 1}{2h^2} e^{-hG^2}$$

$$\int_G^\infty v^3 e^{-h v^2} dv = + \frac{h G^2 + 1}{2 h^2} e^{-h G^2}$$

$$\int_0^G v^5 e^{-h v^2} dv = \frac{1}{2 h^3} - \frac{h^2 G^4 + 2 h G^2 + 2}{2 h^3} e^{-h G^2}$$

$$\int_G^\infty v^5 e^{-h v^2} dv = + \frac{h^3 G^4 + 2 h G^2 + 2}{2 h^3} e^{-h G^2}$$

$$\int_0^G v^7 e^{-h v^2} dv = \frac{3}{h^4} - \frac{h^3 G^6 + 3 h^2 G^4 + 6 h G^2 + 6}{2 h^4} e^{-h G^2}$$

$$\int_G^\infty v^7 e^{-h v^2} dv = \frac{h^3 G^6 + 3 h^2 G^4 + 6 h G^2 + 6}{2 h^4} e^{-h G^2}$$

Hieraus folgt:

$$\left. \begin{aligned} v &= \frac{2}{3} \frac{1}{R^2 N_n} \left\{ \frac{1}{h^3} \left( 2 h A X - \frac{dA}{dx} \right) + 2 \frac{A}{h^3} \frac{dh}{dx} \right\} \\ &+ \frac{2}{3} \frac{1}{R^2} \left( \frac{1}{N_p} - \frac{1}{N_n} \right) e^{-h G^2} \left\{ \frac{h G^2 + 1}{h^3} \left( 2 h A X - \frac{dA}{dx} \right) \right. \\ &\quad \left. + A \frac{dh}{dx} \frac{h^3 G^4 + 2 h G^2 + 2}{h^3} \right\} \end{aligned} \right\} 8b)$$

$$\left. \begin{aligned} W &= \frac{2m}{3} \frac{1}{R^2 N_n} \left\{ \frac{1}{h^3} \left( 2 h A X - \frac{dA}{dx} \right) + 3 \frac{A}{h^4} \frac{dh}{dx} \right\} \\ \frac{m}{3} \frac{1}{R^2} \left( \frac{1}{N_p} - \frac{1}{N_n} \right) e^{-h G^2} &\left\{ \frac{h^3 G^4 + 2 h G^2 + 1}{2 h^3} \left( 2 h A X - \frac{dA}{dx} \right) \right. \\ &\quad \left. + \frac{h^3 G^6 + 3 h^2 G^4 + 6 h G^2 + 6}{2 h^4} A \cdot \frac{dh}{dx} \right\} \end{aligned} \right\} 9b)$$

Die ersten Glieder von  $v$  und  $W$  entsprechen durchaus der athen Theorie von LORENTZ, gelten also ohne Rücksicht auf Bindung der Elektronen und Ionisation der Moleküle. Die iten Glieder geben dagegen die Korrekturen an, die durch icksichtigung jener Erscheinungen auf Grund unserer Anmen anzubringen sind, und die es demnach ermöglichen, eine ktere Übereinstimmung der LORENTZschen Formeln mit den



Beobachtungsergebnissen anzustreben. Daß jene Korrektionsglieder eine Differenz  $\frac{1}{N_n} - \frac{1}{N_p}$  enthalten, die positiv, Null oder negativ werden kann, zeigt, daß je nach Umständen sehr verschiedenartige Korrekturen auftreten können, welche den mannigfaltigsten Verhältnissen Rechnung tragen. Es liegt also darin bereits ein Hinweis, daß der HALL-Effekt auf Grund dieser Gleichungen sowohl positive als auch negative Werte haben könnte.

d) Bedingungsgleichungen für  $G$  und für die  $N$ .

Die stets auftretenden Größen  $N_p$  und  $N_n$  sind nicht willkürlich, sondern es besteht eine bestimmte Beziehung zwischen ihnen und der für jedes Metall charakteristischen Grenzgeschwindigkeit  $G$  und der absoluten Temperatur  $T$ .

Dank unserer speziellen Annahme, die in der Gleichung 3):

$$\begin{aligned} N_p \, dv \int_0^{2\pi} d\psi \int_0^{\frac{\pi}{2}} f \cos \vartheta \sin \vartheta \, d\vartheta \\ = N_n \, dv'' \int_0^{2\pi} d\psi \int_0^{\frac{\pi}{2}} f'' \cos \vartheta \sin \vartheta \, d\vartheta \end{aligned}$$

formuliert ist, wird jene Beziehung ziemlich einfach. Setzen wir für  $f$  bzw.  $f''$  den Ausdruck 4) ein, der sich vor das Integral nehmen läßt, kürzen wir durch dasselbe (sein Wert ist  $= \pi$ ) und integrieren wir jede Seite über die ihr zukommenden Grenzen, so folgt:

$$N_p \int_0^G v f \, dv = N_n \int_0^{\infty} v'' f'' \, dv''.$$

Die Integranden mit dem Faktor  $\xi$  bzw.  $\xi''$  fallen wiederum weg,  $dv$  kann  $= 4\pi v^2 dv$  gesetzt werden:

$$\begin{aligned} 4\pi N_p A \int_0^G v^3 e^{-h v^2} \, dv = 4\pi N_n A \int_G^{\infty} v^3 e^{-h v^2} \, dv \\ N_p \left( -\frac{h G^3 + 1}{h^2} e^{-h G^2} + 1 \right) = N_n \frac{h G^3 + 1}{h^2} e^{-h G^2}. \end{aligned}$$

Daraus folgt, wenn man  $N_n + N_p = N$  setzt:

$$\left. \begin{aligned} N_p &= N (h G^2 + 1) e^{-h G^2} = N \cdot g \\ N_n &= N [1 - (h G^2 + 1) e^{-h G^2}] = N (1 - g) \end{aligned} \right\} \text{ I)}$$

Wenn wir zur Abkürzung die Funktion von  $h$ , bzw. von  $T$ :

$$(h G^2 + 1) e^{-h G^2} = g$$

setzen.

Bei gegebener Grenzgeschwindigkeit  $G$  ist demnach das Verhältnis der vorhandenen positiven Moleküle (bzw. auch der freien Elektronen) zu den vorhandenen neutralen Molekülen eine ganz bestimmte Funktion der Temperatur:

$$\frac{N_p}{N_n} = \frac{g}{1 - g}.$$

e) Umformung der Ausdrücke für  $\nu$  und für  $W$ .

Durch Beiziehung der Bedingungsgleichungen I) und durch Benutzung einer Reihe abkürzender Bezeichnungen lassen sich die Ausdrücke 8b) und 9b) zweckmäßig umformen.

Beständig tritt die Variable  $h G^2$  auf, welche durch Benutzung von 7c) zu  $\frac{3m}{4\alpha} G^2 \cdot \frac{1}{T}$  wird. Wir wollen dieselbe als unabhängige Variable einführen, indem wir setzen:

$$h G^2 = \frac{a}{T} = z, \quad (10)$$

wobei  $a = \frac{3m}{4\alpha} G^2$  eine Konstante ist, die nur von der Natur des Metalles abhängt.

Die folgenden Substitutionen ( $g, k, p, S, U, V$ ) sind stets als Funktionen dieser Größe  $z$  aufzufassen, wobei wir aber das Argument  $z$  weglassen:

$$e^{-h G^2} (h G^2 + 1) = g$$

$$e^{-h G^2} \frac{h^2 G^4 + 2h G^2 + 2}{2} = k + g$$

$$e^{-h G^2} \frac{h^3 G^6 + 3h^2 G^4 + 6h G^2 + 6}{3} = p + g$$

$$\frac{1}{N_p} = \frac{1}{N \cdot g} \quad \text{und} \quad \frac{1}{N_n} = \frac{1}{N(1-g)} \quad \text{gemäß 1)}$$

$$\frac{1}{N_p} - \frac{1}{N_n} = \frac{1}{N} \frac{1-2g}{g(1-g)} = \frac{1}{N} \cdot S$$

$$\frac{1}{N_n} + \left( \frac{1}{N_p} - \frac{1}{N_n} \right) g = \frac{1}{N} \cdot 2$$

$$\frac{1}{N_n} + \left( \frac{1}{N_p} - \frac{1}{N_n} \right) (g+k) = \frac{1}{N} (2+k \cdot S) = \frac{1}{N} \cdot U$$

$$\frac{1}{N_n} + \left( \frac{1}{N_p} - \frac{1}{N_n} \right) (g+p) = \frac{1}{N} (2+p \cdot S) = \frac{1}{N} \cdot V.$$

Daraus folgt aus 8b) und 9b):

$$\nu = \frac{4}{3} \frac{1}{R^2 N} \left\{ \frac{1}{h^2} \left( 2hAX - \frac{dA}{dx} \right) + \frac{1}{h^3} A \frac{dh}{dx} \cdot U \right\} \quad 11)$$

$$W = \frac{2}{3} \frac{m}{R^2 N} \left\{ \frac{1}{h^2} \left( 2hAX - \frac{dA}{dx} \right) U + \frac{3}{h^4} A \cdot \frac{dh}{dx} \cdot V \right\} \quad 12)$$

In diesen beiden Ausdrücken ist die ganze Grundlage unserer erweiterten Theorie galvanischer und kalorischer Erscheinungen in Metallen, in denen ein in der X-Richtung variabler, stationärer Zustand besteht, enthalten.

Wie LORENTZ schon nachgewiesen hat, lassen sich diese Ausdrücke auch auf beliebig gebogene, dünne Leiter anwenden, sobald ihr Querschnitt im Vergleich zum Krümmungsradius sehr klein ist, also auch auf geschlossene Leiterkreise.

### III. Anwendungen der Theorie<sup>1)</sup>.

#### a) Elektrisches Leitvermögen.

Ein langer, dünner, homogener Metallleiter, der auf konstanter Temperatur gehalten werde, sei von einem konstanten Strom mit der Stromdichte  $i$  durchflossen.

Dieser Strom äußert sich darin, daß durch jeden Querschnitt pro Flächeneinheit und Zeiteinheit eine Zahl  $\nu$  negativer Elektronen hindurchtritt. Ist  $e$  die Ladung eines Elektrons, so folgt  $i = \nu \cdot e$ .

<sup>1)</sup> In diesen Anwendungen werden genau die LORENTZschen Gedankengänge eingehalten.

In 11) ist wegen der Konstanz der Temperatur  $\frac{dA}{dx} = \frac{dh}{dx} = 0$  setzen. Die wirkende äußere Kraft ist die elektrische Feldstärke  $\mathcal{E}$ , die dem Elektron mit der trägen Masse  $m$  eine Beschleunigung  $X = \mathcal{E} \cdot \frac{e}{m}$  erteilt. Es folgt:

$$i = \nu e = \frac{4}{3} \cdot \frac{1}{R^2 N} \cdot \frac{1}{h^2} \cdot 2hA \mathcal{E} \cdot \frac{e}{m} \cdot e.$$

In Anlehnung an die kinetische Gastheorie werde  $\frac{1}{\pi R^2 N} = l$  gesetzt; es würde dann  $l$  die mittlere Weglänge der Elektronen deuten, wenn alle Elektronen dieselbe Geschwindigkeit hätten und wenn keine Ionisation oder Bindung auftreten würde. Somit

$$i = \frac{8\pi}{3} l \frac{A}{h} \cdot \frac{e^2}{m} \mathcal{E}. \quad (13)$$

Daraus ergibt sich das spezifische Leitvermögen  $\sigma$  ( $i = \sigma \cdot \mathcal{E}$ ) unter Anwendung der Beziehungen (7a — 7c):

$$\sigma = 2 \sqrt{\frac{2}{3\pi}} \frac{\ln u e^2}{\alpha} \cdot \frac{1}{T}. \quad (14)$$

Sofern  $N_p = N_n$ , also  $2n = 2N_p = N$  angenommen wird, d. h. wenn gerade die Hälfte aller Moleküle als ionisiert angesehen wird, so deckt sich der obige Ausdruck genau mit dem von LORENTZ hergeleiteten.

Es ist interessant, zu konstatieren, daß gerade hier die Korrektionsglieder, die unsere Theorie für die LORENTZschen Werte bringt, nicht in Betracht fallen, und daß somit trotz unserer Erweiterungen wieder die einfache Formel, die schon RUDE aufgestellt hatte (allerdings mit anderen numerischen Faktoren), erhalten wird. Die Beobachtungen bestätigen in der Tat, daß das Leitvermögen  $\sigma$  sich umgekehrt proportional der absoluten Temperatur ändert. Demnach müßte, genau wie bei RUDE und LORENTZ, das Produkt  $(\ln u)$  von der Temperatur unabhängig sein. Daraus folgt, wenn

$$l = \frac{1}{\pi R^2 N}, \quad n = N_p = N \cdot g, \quad u \sim \sqrt{T},$$

daß der Radius  $R$  der Moleküle sich mit der Temperatur so ändern müßte, daß  $\frac{g\sqrt{T}}{R^2}$  konstant bleibt. Wie weit dies richtig sein mag, entzieht sich unserer Beurteilung.

### b) Das Wärmeleitvermögen.

Derselbe metallische Leiter sei jetzt nicht mehr stromdurchflossen, aber mit einer beliebigen stationären Temperaturverteilung versehen. Da einerseits kein Strom fließt und andererseits doch die Elektronen entsprechend den Temperaturvariationen ungleichmäßig verteilt sind, so müssen innere Kräfte auftreten, welche jene Verteilung aufrecht erhalten.

Die Beschleunigung  $X$  dieser Kräfte ergibt sich aus der Bedingung  $v = 0$  in 11):

$$v = 0: \frac{1}{h^2} \left( 2hAX - \frac{dA}{dx} \right) = -\frac{1}{h^2} A \cdot \frac{dh}{dx} \cdot U.$$

Eingesetzt in 12):

$$W = \frac{2}{3} \frac{m}{R^2 N} \frac{A}{h^2} \cdot \frac{dh}{dx} (-U^2 + 3V).$$

Substituiere  $l = \frac{1}{\pi R^2 N}$ , ferner nach 7c)  $-\frac{1}{h^2} \frac{dh}{dx} = \frac{4\alpha}{3m} \frac{dT}{dx}$ :

$$W = -\frac{8\pi}{9} l \frac{A}{h^2} \alpha (3V - U^2) \frac{dT}{dx}.$$

Somit wird das spezifische Wärmeleitvermögen:

$$k = \frac{8\pi}{9} l \frac{A}{h^2} \alpha (3V - U^2) = \frac{8}{9} \sqrt{\frac{2}{3\pi}} \ln u \cdot \alpha (3V - U^2). \quad 15)$$

Hier kommt schon die Bedeutung unserer Erweiterung gegenüber den LORENTZschen Formeln in Betracht. Dort wird  $k$  eine von der Temperatur unabhängige Konstante, hier tritt hingegen die Temperaturfunktion  $3V - U^2$  auf, entsprechend den Beobachtungen, die eine Veränderung des Leitvermögens mit der Temperatur zeigen.

### c) Das WIEDEMANN-FRANZsche Gesetz.

Dieses Gesetz verlangt, daß das Verhältnis  $k/\sigma$  des spezifischen Wärmeleitvermögens und des spezifischen elektrischen Leiter-

ens eine universelle Konstante sei, die direkt proportional der  
 luten Temperatur wächst. — Die Messungen von JÄGER und  
 SELHORST (wir halten uns dafür an die Angaben von DRUDE,  
 S. 578) bestätigen dieses Gesetz für eine Reihe von Metallen  
 halb der beobachteten Temperaturgrenzen recht gut. Bei  
 ssen Metallen (Stahl, Wismut, Konstantan) treten aber merk-  
 Abweichungen von diesen universellen Konstanten auf, und  
 i ändert sich das Verhältnis  $k/\sigma$  mit steigender Temperatur  
 samer, als es das W.-F.-Gesetz verlangt. Es seien hier nur  
 hahlwerte für Silber und Wismut als Beispiele eines normalen  
 eines anormalen Metalles angeführt:

|                 | $(k/\sigma)_{180} \cdot 10^{10}$ | $(k/\sigma)_{1000} \cdot 10^{10}$ | $(k/\sigma)_{100} : (k/\sigma)_{18}$ |
|-----------------|----------------------------------|-----------------------------------|--------------------------------------|
| ilber . . . . . | 0,760                            | 0,978                             | 1,28                                 |
| ismut . . . . . | 1,068                            | 1,195                             | 1,12                                 |

Bei Silber entspricht die Änderung von  $k/\sigma$  mit der Tem-  
 tur genau dem Verhältnis der absoluten Temperaturen:  
 = 1,28. Auch der Wert der universellen Konstanten 0,760  
 pricht recht gut der DRUDESchen Formel

$$\frac{k}{\sigma} = \frac{4}{3} \left(\frac{\alpha}{e}\right)^2 \cdot T,$$

$T = 291$ , wenn  $\left(\frac{\alpha}{e}\right)$  als universelle Konstante aus den Gas-  
 hungen berechnet wird. Um aber die Abweichungen, z. B.  
 Wismuts, theoretisch darstellen zu können, muß DRUDE an-  
 nen, daß wenigstens zwei verschiedene freie Elek-  
 tenarten im Metalle existieren. LORENTZ, der zunächst nur  
 Elektronenart annimmt, erhält diese Abweichungen nicht.  
 esehen vom Halleffekt schien es deshalb schon aus diesem  
 nde unzulässig, nur freie negative Elektronen anzunehmen.  
 ere Erweiterung zeigt aber, daß es durch Einführung der  
 lung und Ionisation doch möglich wird, mit den negativen  
 ktronen allein auszukommen.

Aus 14) und 15) folgt:

$$\frac{k}{\sigma} = \frac{4}{9} \left(\frac{\alpha}{e}\right)^2 T(3V - U^2) \tag{16}$$

Zunächst zeigt sich, daß auch hier für  $n = N_p = N_n = \frac{N}{2}$  unsere Ausdrücke die einfachere Form von LORENTZ annehmen. Denn hierfür wird  $g = \frac{1}{2}$ ,  $S = 0$ ,  $U = V = 2$ ,  $3V - U^2 = 2$  also

$$\frac{k}{\sigma} = \frac{8}{9} \left( \frac{\alpha}{e} \right)^2 \cdot T.$$

Dieser Ausdruck unterscheidet sich allerdings von dem durch die Beobachtungen bestätigten DRUDESchen Ausdruck durch den Faktor  $\frac{8}{9}$ . Allein, abgesehen davon, daß die Funktion  $(3V - U^2)$  bei normalen Metallen (wie Ag) nicht den Wert 2 zu haben braucht (und tatsächlich auch nicht hat), liegt kein zwingender Grund vor, für die Konstante  $\alpha$ , die für die Elektronenbewegung maßgebend sein soll, genau denselben Wert anzunehmen, wie für die entsprechende Konstante, welche die Gasmolekularbewegung beherrscht. Es ist wohl eher wahrscheinlich, daß zwischen beiden ein gewisser Unterschied bestehen wird, so daß durch passende Änderung des numerischen Wertes von  $\frac{\alpha}{e}$  eine volle Übereinstimmung der Formel 16) mit den Beobachtungen erzielt werden kann.

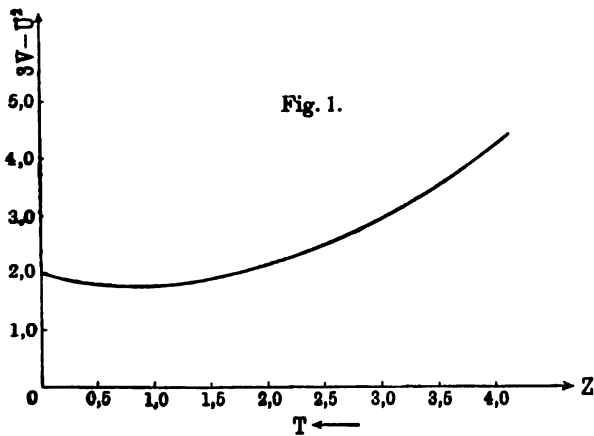
Aber, abgesehen von jenen absoluten Wertbestimmungen, gestattet unsere Formel eine recht gute Darstellung der relativen Verhältnisse, wenigstens für die zwei extremen Metalle Ag und Bi.

Zu diesem Zwecke muß der Verlauf von  $3V - U^2$  als Funktion von  $z$ , d. h. von  $\frac{\alpha}{T}$ , bekannt sein.

| $z = \frac{\alpha}{T}$ | $3V - U^2$ | $z = \frac{\alpha}{T}$ | $3V - U^2$ |
|------------------------|------------|------------------------|------------|
| 0,0                    | 2,00       | 3,0                    | 2,98       |
| 0,5                    | 1,81       | 3,5                    | 3,55       |
| 1,0                    | 1,80       | 4,0                    | 4,25       |
| 1,5                    | 1,92       | 4,5                    | 5,06       |
| 2,0                    | 2,17       | 5,0                    | 6,00       |
| 2,5                    | 2,52       |                        |            |

Die vorstehende Tabelle und die Kurve (Fig. 1) geben den Verlauf von  $3V - U^2$  an. Dabei ist  $a$  eine Konstante, deren Wert für jedes Metall entsprechend gewählt werden kann.

Es ist ersichtlich, daß, wenn  $s$  zwischen 0,5 und 1,0 schwankt, Variationen von  $3V - U^2$  kaum 2 Proz. betragen, d. h. das Korrektionsglied unserer Formel (16) ist nahezu unabhängig von Temperatur. Für die Metalle (wie Silber), welche dem W.-F.-Gesetz genau entsprechen, wird demnach die Konstante  $a$  so zu wählen sein, daß die zu den Werten  $T = 291$  ( $18^\circ\text{C}$ ) und  $T = 373$  ( $100^\circ\text{C}$ ) gehörenden Werte von  $s$  in jenem Intervall liegen. Für größere Werte von  $s$  (zwischen 2 und 2,5) nimmt dagegen das Korrektionsglied  $3V - U^2$  mit sinkender Temperatur



deutlich zu; es wird also möglich sein, durch einen größeren Wert von  $a$  das Verhalten der vom W.-F.-Gesetz abweichenden Metalle (wie Wismut) befriedigend darzustellen.

Folgende angenäherte numerische Angaben bestätigen dies.

Für Silber sei  $a = 291$ , so folgt:

|                     |            |                   |
|---------------------|------------|-------------------|
| Für $T = 291^\circ$ | $s = 1,00$ | $3V - U^2 = 1,80$ |
| „ $T = 373^\circ$   | $s = 0,78$ | $3V - U^2 = 1,79$ |

Das W.-F.-Gesetz ist also bis auf etwa  $\frac{1}{2}$  Proz. genau erfüllt, d. h. der Quotient  $(k/\sigma)_{100} : (k/\sigma)_{18}$  wird 1,27 (anstatt des beobachteten Wertes 1,28).



Für Wismut sei  $a = 698$ , so folgt:

|                     |            |                   |
|---------------------|------------|-------------------|
| Für $T = 291^\circ$ | $s = 2,40$ | $3V - U^2 = 2,43$ |
| „ $T = 373^\circ$   | $s = 1,87$ | $3V - U^2 = 2,10$ |

Berechnet man das Verhältnis der Werte  $k/\sigma$  für Wismut und Silber bei  $T = 291$ , so erhält man 1,35 (anstatt des beobachteten 1,40); ferner wird für Wismut  $(k/\sigma)_{100} : (k/\sigma)_{13} = 1,05$  (anstatt des beobachteten 1,12).

Diese vorläufigen Angaben mögen genügen, um die Brauchbarkeit der vorliegenden Theorie darzulegen.

d) Potentialdifferenz an den Enden eines offenen Leitersystems<sup>1)</sup>.

Eine Anzahl verschiedener homogener Metalle seien hintereinandergelegt und auf einer beliebigen stationären Temperatur-

Fig. 2.



verteilung erhalten. Es soll die Potentialdifferenz an den äußersten Leiterenden angegeben werden, wenn kein Strom fließt.

Jedes Metall hat seine charakteristischen Funktionen  $A$ ,  $G$ , also auch  $S$ ,  $U$  und  $V$ ; ausgenommen  $G$  sind diese Größen auch noch Funktionen der Temperatur; die Größe  $h = \frac{3m}{4\alpha T}$  ist dagegen eine universelle Konstante, die nur mit der Temperatur variiert. Da die Temperatur in der  $X$ -Richtung sich ändert, so sind demnach  $A$ ,  $S$ ,  $U$ ,  $V$ ,  $h$  Funktionen von  $x$ .

Von bestimmten Kräften zwischen den Molekülen und Elektronen sehen wir (in Übereinstimmung mit DRUDE) der Einfachheit halber ab. Die Kontaktstellen zweier Metalle müssen wir als eine Schicht von endlicher Dicke auffassen, in welcher das eine

<sup>1)</sup> In den folgenden Anwendungen haben wir uns darauf beschränkt, die LORENTZschen Ausführungen durch unsere Annahmen zu erweitern und die veränderten Ausdrücke herzuleiten, ohne irgendwie auf eine weitere Diskussion oder numerische Prüfung derselben einzugehen. Dies mag einer späteren Mitteilung vorbehalten bleiben.

all stetig in das andere übergeht (schraffierte Zonen zwischen einzelnen Metallen I, II, III).

Da kein Strom fließen soll, so bestimmt sich in jedem kte  $x$  die Beschleunigung  $X$  der elektrischen Kraft aus  $\nu = 0$  11):

$$X = \frac{1}{2hA} \cdot \frac{dA}{dx} - \frac{U}{2} \frac{1}{h^2} \frac{dh}{dx}.$$

Ist  $\mathcal{E}$  die elektrische Feldstärke,  $\varphi$  das elektrostatische Potential, so gibt:

$$X = \frac{e}{m} \mathcal{E} = - \frac{e}{m} \frac{d\varphi}{dx},$$

∴

$$\frac{d\varphi}{dx} = - \frac{m}{2e} U \cdot \frac{d\left(\frac{1}{h}\right)}{dx} - \frac{m}{2e} \frac{1}{h} \cdot \frac{d \lg A}{dx}.$$

Somit die Potentialdifferenz an den Enden:

$$\varphi_Q - \varphi_P = \frac{m}{2e} \int_Q^P U \cdot \frac{d\left(\frac{1}{h}\right)}{dx} dx + \frac{m}{2e} \int_Q^P \frac{1}{h} \cdot \frac{d \lg A}{dx} dx. \quad 17)$$

Sind alle Leiter gleichtemperiert, so ergibt sich daraus VOLTASche Kontaktpotentialdifferenz. Dann ist  $h$  konstant,

$$\frac{d\left(\frac{1}{h}\right)}{dx} = 0, \text{ also } \varphi_Q - \varphi_P = \frac{m}{2eh} \lg \frac{A_P}{A_Q}.$$

Durch Benutzung von 7a) und 7c) folgt

$$\varphi_Q - \varphi_P = \frac{2\alpha T}{3e} \lg \frac{n_P}{n_Q}. \quad 18)$$

Hier bedeuten  $n_P$  und  $n_Q$  die Anzahl freier Elektronen, die in einem Volumen  $1$  in den das Ende der Kette bildenden Leitern  $1$  befinden (bei der gegebenen Temperatur). Bis auf den Faktor  $2$  stimmt diese Formel formell mit derjenigen von DRUDE überein.

#### e) Thermoelektrische Potentialdifferenz.

In der vorigen Leiteranordnung seien III und I aus demselben Material, und die Temperatur  $T$  an den beiden freien

Enden  $P$  und  $Q$  sei dieselbe; dagegen werde die Übergangszone  $R'S'$  auf einer konstanten Temperatur  $T'$ , die Zone  $S''R''$  auf einer Temperatur  $T''$  gehalten.

In 17) läßt sich schreiben:

$$\int_Q^P \frac{1}{h} \frac{d \lg A}{dx} dx = \left| \frac{\lg A}{h} \right|_Q^P - \int_Q^P \lg A \cdot \frac{d\left(\frac{1}{h}\right)}{dx} dx.$$

Da in  $P$  und  $Q$  sowohl das Material als auch die Temperatur dieselbe ist, so fällt das erste Glied rechts, 17) ergibt:

$$\varphi_Q - \varphi_P = \frac{m}{2e} \int_P^Q (\lg A - U) \frac{d\left(\frac{1}{h}\right)}{dx} dx.$$

Das Integral ist über die fünf Zonen (s. Fig. 2) von  $P$  bis  $Q$  zu nehmen. Die Beiträge der Zonen  $R'S'$  und  $S''R''$  fallen weg, da in denselben die Temperaturen, also auch  $h$  konstant ist. In den drei übrigen Integralen sind  $A$ ,  $U$ ,  $h$  jeweiligen nur noch als Temperaturfunktionen in den betreffenden Metallen aufzufassen, somit

$$\int_P^{R'} (\lg A - U) \frac{d\left(\frac{1}{h}\right)}{dx} dx = - \int_{h_P}^{h'} (\lg A_I - U_I) \frac{1}{h^2} dh,$$

$$\int_{R''}^Q (\lg A - U) \frac{d\left(\frac{1}{h}\right)}{dx} dx = - \int_{h''}^{h_Q} (\lg A_I - U_I) \frac{1}{h^2} dh,$$

zusammen, da  $h_P = h_Q$ :

$$\int_{h'}^{h''} (\lg A_I - U_I) \frac{1}{h^2} dh.$$

Ebenso wird das dritte Integral:

$$\int_S^{S'} (\lg A_{II} - U_{II}) \frac{d\left(\frac{1}{h}\right)}{dx} dx = - \int_{h'}^{h''} (\lg A_{II} - U_{II}) \frac{1}{h^2} dh,$$

Die ganze Potentialdifferenz, oder die resultierende thermoelektromotorische Kraft:

$$E = \varphi_Q - \varphi_P = \frac{m}{2e} \int_k^{k''} \left( \lg \frac{A_I}{A_{II}} + U_{II} - U_I \right) \frac{1}{h^2} dh.$$

Führt man 7a) und 7c) ein:  $\frac{m}{h} = \frac{4\alpha T}{3}$ ,  $\frac{dh}{h} = -\frac{dT}{T^2}$ ,  
 so ergibt sich:

$$E = \frac{2\alpha}{3e} \int_{T'}^{T''} \left( \lg \frac{n_{II}}{n_I} + U_{II} - U_I \right) dT. \quad (19)$$

Hier sind  $T''$  und  $T'$  die Temperaturen der beiden Lötstellen des thermoelementes,  $n_{II}$  und  $n_I$  die Zahlen freier Elektronen in beiden Metallen bei der Temperatur  $T$ .

Die Temperaturfunktion  $U_{II} - U_I$  gibt das Korrektionsglied, durch unsere Erweiterungen an den LORENTZschen Formeln eingeleitet ist.

#### Allgemeiner stationärer Wärme- und Elektrizitätsstrom.

Ein Leiter vom Querschnitt  $q$  sei von einem konstanten elektrischen Strom  $i$  durchflossen. Dabei sei aber der Leiter nicht gleichmäßig temperiert, sondern auf eine beliebige stationäre Temperaturverteilung gehalten. Der Strom sucht diese Verteilung zu gleichen, die Wärme ebenfalls, der Strom produziert zudem ständig JOULEsche Wärme; soll also ein stationärer Zustand eintreten, so muß in jedem Punkte des Leiters ein ganz bestimmter Wärmeaustausch mit der Umgebung aufrecht erhalten werden. Die gesamte, einem jeden Volumelement im Innern zuzuführende Wärmemenge muß also beständig wieder nach außen abgenommen werden.

Diese Wärmemenge im Volumelement  $q dx$  entsteht auf zwei Arten:

1. Durch Wärmezufuhr infolge des Überschusses  $W$  an Energie in das Volumelement eintretenden und austretenden Elek-

tronen, also  $-\frac{d(qW)}{dx} dx$ .

2. Durch die Arbeitsleistung der elektrischen Feldstärke auf die frei beweglichen Elektronen, wodurch die kinetische Energie vermehrt wird.

Die Zahl der Elektronen mit der Geschwindigkeit  $v$  im Volumenelement  $q dx$  ist  $q f \cdot dw \cdot dx$ . Die Arbeit der Kraft  $m X$  bei Bewegung eines Elektrons um die Strecke  $dx = \xi dt$  ist  $m X \xi dt$ . Die gesamte Arbeitsleistung in Zeit  $dt$  somit

$$= m X q dx dt \cdot \int \xi f dw = m X \cdot v \cdot q dx dt,$$

entsprechend der Definition von  $v$ .

Setzt man  $i = v e q$ , so wird die ganze Wärmeproduktion im Volumenelement  $q dx$  in der Zeit 1:

$$\frac{dQ}{dt} = \left( \frac{m i}{e} X - \frac{d(qW)}{dx} \right) dx. \quad 20,$$

Hier sind  $X$  und  $\frac{d(qW)}{dx}$  aus 11) und 12) zu berechnen. Aus 11) folgt

$$\frac{1}{h^2} \left( 2 h A X - \frac{dA}{dx} \right) = - \frac{1}{h^3} A \cdot \frac{dh}{dx} \cdot U + \frac{3 R^2 N}{4} v. \quad 21,$$

Hierin nach 13) und 14)  $\sigma = \frac{8\pi}{3} l \frac{A}{h} \cdot \frac{e^2}{m}$ ,  $l = \frac{1}{\pi R^2 N}$  und  $v = \frac{i}{e q}$ , folgt

$$\frac{1}{h^2} \left( 2 h A X - \frac{dA}{dx} \right) = - \frac{1}{h^3} A \frac{dh}{dx} U + 2 \frac{A}{h} \cdot \frac{e i}{m \sigma q}$$

$$X = \frac{1}{2 h} \frac{d \cdot \lg A}{dx} + \frac{U}{2} \frac{d \left( \frac{1}{h} \right)}{dx} + \frac{e i}{m \sigma q}. \quad 22,$$

Der erste Teil in 20) wird somit:

$$\frac{m i}{e} \left( \frac{1}{2 h} \frac{d \lg A}{dx} + \frac{U}{2} \frac{d \left( \frac{1}{h} \right)}{dx} \right) dx + \frac{i^2}{\sigma q} dx.$$

Das letzte Glied stellt die im Volumenelement produzierte JOULESche Wärme dar, die wir im folgenden nicht mehr berücksichtigen wollen.

12) ist durch Einsetzen von 21), wobei noch  $\nu = \frac{i}{e q}$  wird, das  $X$  zu eliminieren:

$$W = \frac{2}{3} \frac{m}{R^2 N} \left\{ \frac{3 R^2 N}{4} \frac{i}{e q} \cdot \frac{U}{h} + \frac{1}{h^4} A \frac{dh}{dx} (3V - U^2) \right\}. \quad (23)$$

Das letzte Glied stellt den durch bloße Wärmeleitung eintretenden Wärmetransport dar und führt wieder zu Gl. 15). Wir ziehen auch davon ab, so kommt als Beitrag zu 20):

$$- \frac{d(qW)}{dx} dx = - \frac{m}{2e} i \frac{d}{dx} \left( \frac{U}{h} \right) dx. \quad (24)$$

Angesehen von JOULEscher Wärme und gewöhnlicher Wärmeleitung wird demnach eine Wärmemenge pro Zeiteinheit auf der Strecke  $dx$  produziert:

$$\frac{dQ}{dt} = \frac{m}{2e} i \left\{ \frac{1}{h} \frac{d \lg A}{dx} + U \frac{d \left( \frac{1}{h} \right)}{dx} - \frac{d}{dx} \left( \frac{U}{h} \right) \right\} dx.$$

Durch Vereinigung der beiden letzten Glieder und unter Benutzung von 7c) folgt:

$$= i \frac{m}{2e} \cdot \frac{1}{h} \frac{d}{dx} (\lg A - U) dx = i \frac{2\alpha T}{3e} \frac{d}{dx} (\lg A - U) dx. \quad (25)$$

Dieser Ausdruck läßt sich sofort in zwei Fällen anwenden:

1. Der betrachtete Leiter sei die Übergangsschicht an der Kontaktstelle zweier verschiedener Metalle; die Temperatur  $T$  in dieser Schicht als konstant angesehen, die positive Stromrichtung gehe vom Metall I zum Metall II. Durch Integration (25) zwischen den beiden Endflächen der Übergangsschicht

$$\frac{dQ}{dt} = - i \frac{2\alpha T}{3e} \left( \lg \frac{A_I}{A_{II}} + U_I - U_{II} \right). \quad (26)$$

Dieser Ausdruck liefert die PELTIERsche Wärme, die beim Stromdurchgang  $i$  vom Metall I zum Metall II erzeugt wird.

2. Der stromdurchflossene Leiter sei homogen, aber auf variabler Temperatur gehalten. Die Abhängigkeit des  $A$  und  $U$  von  $x$  sei dann gleichbedeutend mit der Abhängigkeit von  $T$ . Nimmt man die Temperaturverteilung im Metall von  $T$  bis  $T + dT$  zu

und strömt  $i$  in dieser Richtung, so wird dadurch eine Wärme entwickelt, gemäß 25):

$$\frac{dQ}{dt} = i \frac{2\alpha T}{3e} \frac{d}{dT} (\lg A - U) dT. \quad 27)$$

Dies ist nichts anderes als die durch den sogenannten Thomsoneffekt erzeugte Wärme. Es ist, als ob der elektrische Strom eine gewisse Wärme mit sich führen würde; die sogenannte spezifische Wärme der Elektrizität (Koeffizient von  $dT$  für  $i = 1$  in Richtung der abnehmenden Temperatur) wird also:

$$\mu = - \frac{2\alpha T}{3e} \frac{d}{dT} (\lg A - U). \quad 28)$$

Die Formeln 25) bis 28) unterscheiden sich von denen LORENTZs nur durch das Korrektionsglied  $-U$ , das überall dem  $\lg A$  beizufügen ist. Diese Funktion  $U$  nimmt in dem in Betracht kommenden Temperaturintervall fast genau linear mit  $\frac{a}{T}$  zu.

Bern, im Juni 1908.

Verlag von Friedr. Vieweg & Sohn in Braunschweig.

# Die Telegraphie ohne Draht.

Von

**Augusto Righi,**

Professor an der Universität Bologna  
und

**Bernhard Dessau,**

Professor an der Universität Perugia.

Zweite vervollständigte Auflage. — Mit 312 Abbildungen.

Preis geh. *M* 15.—, geb. *M* 16.50.

Die zweite Auflage des Buches über drahtlose Telegraphie von A. Righi und B. Dessau, welche hiermit dem Publikum dargeboten wird, weist gegen die erste mannigfache Veränderungen und Erweiterungen auf. Der Grundcharakter des Buches, welches eine dem großen Kreise der allgemein gebildeten Leser zugängliche und doch zugleich gründliche Darstellung des wissenschaftlich und technisch gleich interessanten Gebietes gewähren soll, ist auch in der neuen Auflage derselbe geblieben wie früher. Aber schon in dem theoretischen Teil mußte der kurze Abschnitt, welcher in der ersten Auflage den Elektronen gewidmet war, zu einem besonderen Kapitel erweitert werden; zu dem Kapitel über Kohärer und Antikohärer, welches auf Grund der neueren Forschungen ergänzt wurde, gesellten sich zwei neue Abschnitte über den magnetischen und den elektrolitischen Wellenindikator. Die weitestgehende Umgestaltung hat naturgemäß der dritte, der Technik der drahtlosen Telegraphie gewidmete Teil erfahren. Hier galt es, Veraltetes auszumerzen und dafür dem zahlreichen Neuen, wie z. B. den Mitteln zur Übertragung von Signalen auf große Entfernungen, dem heutigen Stande der abgestimmten Telegraphie und den Versuchen über gerichtete Telegraphie, den gebührenden Platz anzuweisen. Dementsprechend ist auch der Umfang gerade dieses Teiles bedeutend angewachsen. Ein Anhang enthält die gesetzlichen und administrativen Bestimmungen, sowie die Beschlüsse der Berliner Konferenz über drahtlose Telegraphie; ein Nachtrag ist einer während des Druckes bekannt gewordenen Erfindung des dänischen Ingenieurs Poulsen gewidmet, welche für die weitere Entwicklung der drahtlosen Telegraphie von der größten Bedeutung zu werden verspricht.

Zu beziehen durch alle Buchhandlungen.



Verlag von Friedr. Vieweg & Sohn in Braunschweig.

# Die Physik

auf Grund ihrer geschichtlichen  
Entwicklung für weitere Kreise  
in Wort und Bild dargestellt

Von Paul La Cour und Jakob Appel.

Autorisierte Übersetzung von G. Siebert.

Mit 799 eingedruckten Abbildungen und 6 Tafeln. gr. 8.

Vollständig in einem Doppelband. Preis geb. 15 Mark, geb. 16.50 Mark  
oder in 15 Lieferungen zu je 1 Mark.

Das ursprünglich dänisch veröffentlichte Werk von Paul La Cour und Jakob Appel „*Historisk Fysik*“, das wir hiermit in deutscher Übersetzung weiteren Kreisen zugänglich machen, nimmt unter den bisher vorhandenen Lehrbüchern und geschichtlichen Darstellungen der Physik eine ganz eigenartige Stellung ein; es ist ein Lehrbuch, das nicht nur den derzeitigen Stand der Wissenschaft in dogmatischer Form wiedergibt, sondern es weist auch die historische Entwicklung der Physik und die große Forschungsarten auf, auf denen die unser ganzes Leben beherrschenden theoretischen und praktischen Resultate erreicht worden sind. Dadurch wird es die weitesten Kreise interessieren und nicht am wenigsten unsere Jugend. Neben den gewöhnlichen Lehrbüchern benutzt, läßt es einen jeden erst recht die Tragweite des Erreichten verstehen, und für den Lehrer im besonderen bildet es eine Fundgrube zu anregenden Bemerkungen und Ausführungen, die seinen Unterricht beleben und vertiefen. Das Werk kommt dadurch Bestrebungen entgegen, die schon lange in den Kreisen unserer Lehrer verstanden sind. Sie werden in diesem Buche, das in steter Verbindung mit dem Lehrgebäude die Geschichte der Physik darstellt, einen fast überreichen Stoff finden. Aber auch für jeden Laien wird es durch die originelle und interessante Darstellung eine anregende und lehrreiche Lektüre bilden. Die pädagogische Erfahrung der Verfasser hat sich bei der Auswahl und Anordnung des Stoffes auf das vorzüglichste bewährt.

## Wilhelm Budde's Physikalische Aufgaben für die oberen Klassen höherer Lehranstalten nebst den Lösungen.

Vierte Auflage, neu bearbeitet und vermehrt von

**Prof. P. Johannesson,**

Oberlehrer am Sophienrealgymnasium in Berlin.

gr. 8. Preis geheftet 2 M., gebunden 2,40 M.

Diesem Hefte sind beigegeben: Zwei Prospekte der Verlagsbuchhandlung von Friedr. Vieweg & Sohn in Braunschweig, betr. *Pfannkuchen*, „Physikalische Wandtafeln“ und *Benischke*, „Elektrotechnik in Einzel-Darstellungen“.

**Berichte**  
der  
**Deutschen Physikalischen Gesellschaft**

enthaltend

**Verhandlungen**

der Deutschen Physikalischen Gesellschaft  
im Auftrage der Gesellschaft herausgegeben

von

**Karl Scheel**

und

**Halbmonatliches Literaturverzeichnis**

der „Fortschritte der Physik“, dargestellt von der  
Deutschen Physikalischen Gesellschaft

redigiert von

**Karl Scheel**  
für reine Physik

**Richard Assmann**  
für kosmische Physik

---

**Braunschweig**

Druck und Verlag von Friedrich Vieweg und Sohn

1908

# Inhalt.

## 1. Verhandlungen der Deutschen Physikalischen Gesellschaft.

- K. Kilchling und J. Koenigsberger, Über die Abhängigkeit der selektiven Absorption von der Temperatur und das Verhalten der ersten Elektronen eines Moleküls im Innern der Substanz. Vorläufige Mitteilung. (Eingegangen am 20. Juli 1908.) . . . . . 50
- Max v. Wogau, Über die Berechnung der Diffusionskonstanten von Nichtelektrolyten in flüssiger Lösung. (Vorgetragen in der Sitzung vom 3. Juli 1908.) . . . . . 54
- H. Diesselhorst, Erzeugung phasenverschobener Hochfrequenzströme. Mitteilung aus der Physikalisch-Technischen Reichsanstalt. (Vorgetragen mit Demonstrationen in den Sitzungen vom 29. Mai und 3. Juli 1908.) . . . . . 54
- Rudolf Ladenburg, Über die Absorption des Lichtes in leuchtendem Wasserstoff. (Vorgetragen in der Sitzung vom 3. Juli 1908.) . . . 55
- Erich Ladenburg† und Karl Markau, Über die Anfangsgeschwindigkeiten lichtelektrischer Elektronen. (Angezeigt in der Sitzung vom 29. Mai 1908; eingegangen am 9. Juni 1908.) . . . . . 55
- A. E. F. Ausschuss für Einheiten und Formelgrößen . . . . . 57

## 2. Halbmonatliches Literaturverzeichnis der Fortschritte der Physik.

- I. Allgemeine Physik. S. 249. — II. Akustik. S. 251. — III. Physikalische Chemie. S. 251. — IV. Elektrizität und Magnetismus. S. 254. — V. Optik des gesamten Spektrums. S. 259. — VI. Wärme. S. 261. — VII. Kosmische Physik. S. 263.

---

Verlag von Friedr. Vieweg & Sohn in Braunschweig.

# Die Physik

in gemeinfasslicher Darstellung für höhere Lehranstalten, Hochschulen  
und zum Selbststudium

von **Dr. Friedrich Neesen,**

Professor an der vereinigten Artillerie- und Ingenieur-Schule und an der  
Universität Berlin.

Zweite vermehrte Auflage. Mit 294 in den Text eingedruckten Abbildungen und einer Spektraltafel. gr. 8. Preis geh. 4 *M.*, geb. 4,50 *M.*

---

# Die Sicherungen von Schwach- und Starkstrom-Anlagen

gegen die Gefahren der

**atmosphärischen Elektrizität**

von **Dr. Friedrich Neesen,**

Professor an der ver. Artillerie- und Ingenieur-Schule und an der Universität Berlin

Mit 126 Abbildungen. gr. 8. geh. Preis 5 *M.*

# Verhandlungen der Deutschen Physikalischen Gesellschaft

Im Auftrage der Gesellschaft herausgegeben

von

Karl Scheel

---

10. Jahrg.

30. Juli 1908.

Nr. 14.

---

*Über die Abhängigkeit der selektiven Absorption  
von der Temperatur und das Verhalten der ersten  
Elektronen eines Moleküls im Innern der Substanz;  
von K. Kilchling und J. Koenigsberger.*

(Vorläufige Mitteilung<sup>1</sup>).

(Eingegangen am 20. Juli 1908.)

---

Daß Temperatursteigerung stets eine Verschiebung des Absorptionsgebietes eines festen Körpers nach Rot bewirkt, hat der eine von uns<sup>2</sup>) im Jahre 1900 auf Grund direkter quantitativer Versuche festgestellt, nachdem schon früher (1872) C. PULFRICH<sup>3</sup>) aus seinen Messungen der Veränderlichkeit der Dispersion mit der Temperatur gefolgert hatte, daß die Absorption des Flintglases sich nach größeren Wellenlängen ausdehnt. Das Gesetz ist seitdem durch neuere Messungen von

---

<sup>1</sup>) Die vorliegende Untersuchung wurde teilweise mit Hilfsmitteln angestellt, die der ELISABETH THOMPSON Science Fund zu Boston uns überwiesen hat. Wir wünschen, dem Board of Trustees dieses Fund unseren ergebensten Dank auszusprechen. Eine ausführliche Mitteilung, die Messungen enthaltend, soll in den Annalen erscheinen.

<sup>2</sup>) J. KOENIGSBERGER, Über die Absorption des Lichtes in festen Körpern. Leipzig 1900. Habilitationsschrift.

<sup>3</sup>) C. PULFRICH, Wied. Ann. 45, 609, 1872.

R. A. HOUSTON<sup>1)</sup> und H. ERFLE<sup>2)</sup> direkt und indirekt und dann durch photographische Beobachtungen mit Dispersion zuerst von J. BECQUEREL<sup>3)</sup> auf die schmalen Absorptionsbanden der seltenen Erden ausgedehnt worden. Daraus entsprechend für Temperaturerniedrigung die Verschiebung des Violett beobachtet. Einige Ausnahmen, die J. BECQUEREL in den Absorptionsbanden des Xenotims beobachtet hat, sind vielleicht auf eine chemische Verbreiterung bzw. Verengung zurückzuführen. Diese Ausnahmen a. a. O. eingehender besprochen werden. Der eine von uns hat auch zuerst<sup>4)</sup> festgestellt, daß in vielen Fällen mit sinkender Temperatur eine Ausdehnung des Absorptionsgebietes, also mit sinkender Temperatur eine Verengung der Absorptionsbanden statthat. Diese Regel hat J. BECQUEREL in den scharfen Absorptionsbanden der seltenen Erden bestätigt gefunden und hat sie dahin präzisieren können: Die Breite jeder Absorptionsbande, gemessen zwischen den Extremen der Störung der Dispersionskurve, sich bei nicht zu hohen Temperaturen proportional der Quadratwurzel aus der Temperatur ändert.

Nach neueren, ebenfalls qualitativen Beobachtungen bestätigt das zuerst erwähnte Gesetz durchweg bestätigt gefunden. Es soll die letztere Regel nicht durchweg gelten; doch läßt sich aus der kurzen vorläufigen Mitteilung nicht ersehen, ob diese Ausnahmen chemische Einflüsse usw. diese Ausnahmen verursachen.

Da eine ganze Reihe von Fragen, die mit dem Verhältnisse der Absorption zusammenhängen, nur durch quantitative Feststellung der Absorptionskurven beantwortet werden können, haben wir die Absorptionsänderung von festen Körpern photometrisch gemessen, was allerdings mühsamer und zeitraubender ist als die qualitative Beobachtung. Am genauesten läßt sich die Absorption kleiner Präparate (die Körpern können nur kleine Stücke in genügender Menge erhalten werden) mit dem Mikrophotometer<sup>5)</sup> messen, die

<sup>1)</sup> R. A. HOUSTON, Ann. d. Phys. (4) 21, 535, 1906.

<sup>2)</sup> H. ERFLE, ebenda 24, 672, 1907.

<sup>3)</sup> J. BECQUEREL, Phys. ZS. 8, 929, 1907.

<sup>4)</sup> J. KOENIGSBERGER, l. c., S. 36.

<sup>5)</sup> H. DU BOIS und G. J. ELIAS, Verh. d. Deutsch. Phys. Ges.

<sup>6)</sup> ZS. f. Instr. 21, 129, 1901 und 22, 101, 1902.

ns unter Anwendung des von WILD angegebenen Prinzips  
uiert hat.

ntersucht werden Biotitglimmer, Chlorit, Rutil, Brookit,  
lith, Uranglas, grünes Chromglas, Flaschenglas, Jodeosin,  
in, Cyanin. Die Kurven sollen a. a. O. mitgeteilt werden.  
ade Resultate lassen sich aus den Kurven und Zahlen ab-

. Mit steigender Temperatur verschiebt sich die  
rptionskurve nach größeren Wellenlängen.

. Fast stets wird das vom Maximum der Absorption  
größeren Wellenlängen hin gelegene Teilstück der  
e stärker verschoben als das auf der Seite der  
eren Wellenlängen. Dies wird hervorgerufen durch  
Verbreiterung des Absorptionsgebietes in Verbin-  
mit der unter 1. beschriebenen Verschiebung.

. Die Verschiebung ist um so stärker, je weiter das  
mum nach dem Violett zu liegt. Für ultraviolette  
ma ist es am stärksten, für Maxima im Rot schwach,  
ltrarot kaum merklich<sup>1)</sup>.

. Häufig nimmt mit steigender Temperatur die  
male Absorption ab, so daß bei Berücksichtigung  
gleichzeitigen Verbreiterung des Absorptionsgebietes  
Flächenintegral der Absorptionskurve konstant zu  
en scheint.

Von elektronentheoretischen Folgerungen aus der Dispersions-  
e und von Beziehungen zu anderen Gebieten der Physik  
hier, vorläufig ohne nähere Begründung<sup>2)</sup>, folgende hervor-  
en:

<sup>1)</sup> Dadurch ist es erklärlich, daß W. W. COBLENTZ (Jahrb. d. Radioakt.  
ktron. 4, 62, 1907) im Ultrarot für eine Temperatursteigerung von  
° keine merkliche Verschiebung der Absorptionskurve finden konnte.  
gen ergibt sich aus den Zahlen, die der eine von uns für die Durch-  
heit des Berylls (scharfer Absorptionsstreifen bei  $1,96 \mu$ ) gemessen hat,  
e Absorptionskurve von  $15$  bis  $230^\circ$  sich merklich nach größeren Wellen-  
hin scheinbar asymmetrisch verbreitert.

<sup>2)</sup> Die Beziehungen zwischen den Folgerungen, die wir aus unseren  
imenten ziehen und den Anschauungen, die J. STARK (Jahrb. d. Radioakt.  
ktronen. 5, 124, 1908) entwickelt hat, sollen a. a. O. erörtert werden.

a) Für feste Körper und nicht sehr hohe Temperaturen am besten die Dispersionstheorie in der von H. A. LORENTZ gegebenen Fassung, bei der die Dämpfung durch die Elektronen erklärt wird. Da deren Zahl der Quadratwurzel aus der Temperatur proportional ist, erhält man leicht Satz 1. Die Verbreiterung des Absorptionsgebietes mit steigender Temperatur. Die Ausstrahlung als dämpfende Ursache und damit die Dispersionstheorie von M. PLANCK dürfte, wie M. PLANCK hervorhebt, auch für Gase zutreffen, obgleich die Ausstrahlung der Elektronen bei festen Körpern natürlich auch vorhanden ist. Sie tritt vielleicht bei sehr tiefen Temperaturen und geringe Intensität bei der Absorptionsmessung stärker geltend.

b) Die auf das Elektron wirkende Direktionskraft aus Satz 1 folgt, daß die Schwingungsdauer mit steigender Temperatur zunimmt, kleiner mit steigender Temperatur. Der Abstand Kern—Elektron entsprechend vergrößert sich der Abstand Kern—Elektron. Der Kern, um den das Elektron schwingt, braucht nicht das ganze Atom zu umfassen, sondern ist bei Farbstoffen nur ein Ion. Der Abstand Kern—Elektron erreicht für jede Substanz verschiedenen Maximalwert. Die Energie der Lichtbewegung, einen Teil der Energie zwischen den Atomen frei zu verschieben bzw. nach außen zu fassen von P. LENARD<sup>2)</sup> zur Aussendung oder auch, durch Drücken, zur Abdissoziation zu bringen. Dieser Fall des Maximalabstandes, ist bei gewöhnlicher Temperatur bei Oxyde und Sulfide verwirklicht, deren kontinuierliche Absorption größer als die Leitfähigkeit ist, also  $n^2 K > \sigma T^2$  (Satz 1). Die selektive Absorption bis in das sichtbare Spektrum aus dem violett vorgeschoben ist. Bei noch höherer Temperatur tritt selbst Abdissoziation des Elektrons ein. An einem dünnen Blättchen von Molybdän glanz läßt sich schon mit dem Übergang von selektiver Absorption (Rotdurchlässigkeit) bei niedriger Temperatur zu kontinuierlicher Absorption (Sichtbarkeit) bei hoher Temperatur (etwa 800°) leicht

<sup>1)</sup> H. H. LORENTZ, Versl. k. Niederl. Akad. van Wet. 14, 1905/06.

<sup>2)</sup> P. LENARD, Ann. Phys. (4) 12, 741, 1903.

<sup>3)</sup> Phys. ZS. 4, 495, 1903.

es gilt für die Eigenschwingung des schwereren und  
ren Ions im Ultrarot und für die Ionisation, nur daß hier  
ichtbewegung entsprechend der größeren Masse nicht so  
kontinuierliche Absorption mit  $n^2 K > \sigma T$  bewirken kann.

Die Gesamtzahl der schwingenden Elektronen ist von der  
ratur unabhängig, bis merkliche Abdissoziation stattfindet,  
die Zahl verringert.

ie Absorption im Ultraviolett und sichtbaren Gebiet wird  
len Substanzen nur durch ein negatives Elektron verursacht.  
olgende andere experimentelle Tatsachen stehen damit in  
menhang:

Die Absorption grüner und blauer Körper ändert sich viel  
her als die gelber, roter und brauner. Das folgt direkt  
atz 2 und aus Satz 3.

Die bei höherer Temperatur stabile Modifikation einer  
nz besitzt ein weiter nach größeren Wellenlängen ver-  
nes Absorptionsgebiet als die bei niedriger Temperatur  
und ein besseres elektrisches Leitvermögen<sup>1)</sup>.

Je besser ein Körper durch Elektronen leitet, um so  
r ist der Paramagnetismus ausgesprochen und um so mehr  
s Resonanz- oder Absorptionsgebiet des negativen Elektrons  
m Ultraviolett nach größeren Wellenlängen hin verschoben.  
len kann sowohl die Leitung wie der Paramagnetismus  
ch sein.

s sei noch erwähnt, daß der Hallwachs- und Wehnelt-  
t, das Heraustreten des Elektrons aus der Substanz, mit  
verhalten des Elektrons im Innern des festen oder flüssigen  
rs, in dessen Kraftfeldern, zunächst nichts zu tun hat.

---

Jahrb. d. Radioakt. u. Elektronik 4, 176, 1907.



**Über die Berechnung der Diffusionskonstante  
Nichtelektrolyten in flüssiger Lösung  
von Max v. Wogau.**

(Vorgetragen in der Sitzung vom 3. Juli 1906.)

(Vgl. oben S. 449.)

Betrachten wir die Diffusion einer verdünnten Lösung in der Lösung nicht dissoziierter Stoffe, und nehmen wir an, die Moleküle desselben die Gestalt von Kugeln haben. Ist das Molekül des Lösungsmittels klein gegenüber dem Molekül des gelösten Stoffes, so kann man den Vorgang der Diffusion auf die Bewegung einer Reihe von Kugeln in einer reibenden Flüssigkeit zurückführen.

Unter diesen Voraussetzungen ergibt sich nach E. EINSTEIN<sup>1)</sup> für die Diffusionskonstante  $k \frac{\text{cm}^2}{\text{sec}}$  der Ausdruck:

$$k = \frac{RT}{6\pi\mu N \cdot P}$$

Darin bedeutet:

$k$  die Diffusionskonstante  $\left(\frac{\text{cm}^2}{\text{sec}}\right)$ ,

$R$  die Gaskonstante  $= 8,31 \times 10^7$ ,

$T$  die absolute Temperatur,

$\mu$  den Reibungskoeffizienten des Lösungsmittels,

$N$  die Anzahl von wirklichen Molekülen im Gramm

PLANCK<sup>2)</sup>:  $N = 6,175 \times 10^{23}$ ,

$P$  den Radius eines Moleküls.

Der Radius eines Moleküls  $P$  berechnet sich aus dem Molekulargewicht  $M$ , dem spezifischen Gewicht  $s$  und der Anzahl der wirklichen Molekülen im Grammmolekül  $N$  mit Hilfe der Formel:

$$\frac{4}{3} \pi P^3 N \times s = M.$$

<sup>1)</sup> H. EINSTEIN, Ann. d. Phys. (4) 19, 802, 1906.

<sup>2)</sup> M. PLANCK, Ann. d. Phys. (4) 4, 564, 1901.

Somit ist

$$P = \sqrt[3]{\frac{3M}{4\pi s N}} \quad 2)$$

Für die Diffusionskonstante erhält man demnach den Aus-  
::

$$k = \frac{RT}{6\pi\mu \sqrt[3]{\frac{3MN^2}{4\pi s}}} \quad 3)$$

Eine ausführliche Ableitung der Gleichungen 1) und 3) habe  
in einer früheren Arbeit<sup>1)</sup> über die Diffusion von Metallen in  
Quecksilber gegeben. Die daselbst nach Gleichung 3) berechneten  
Diffusionskonstanten stimmten mit den experimentell beobachteten  
ausserordentlich überein.

In vorliegender Mitteilung habe ich den Versuch gemacht,  
die Theorie zur Berechnung von Diffusionskonstanten solcher  
konzentrierten Lösungen von Nichtelektrolyten anzuwenden, wo der  
gelöste Stoff nicht wie bei den Metallen in Quecksilber als Atom,  
sondern als Molekül auftritt.

Da die Theorie die molekulare Struktur des Lösungsmittels  
berücksichtigt, so wurden in erster Linie Diffusionskonstanten  
für Stoffen in wässriger Lösung berechnet. Unter diesen  
wurden solche nicht oder wenig dissoziierte Substanzen gewählt,  
für welche Diffusionskonstanten experimentell beobachtet sind. In  
den Tabellen I sind die nach Gleichung 3) berechneten Diffusionskon-  
stanten neben den beobachteten zusammengestellt.

Die den einzelnen Rechnungen zugrunde gelegten Tempe-  
raturen sind die der beobachteten Diffusionskonstanten. Letztere  
sind der neuesten Auflage (1905) der Physikalisch-chemischen  
Tabellen von LANDOLT und BÖRNSTEIN entnommen, und zwar  
die für die kleinsten Anfangskonzentrationen angegebenen  
Werte gewählt. Die Werte für den Reibungskoeffizienten des  
Lösungsmittels sind ebenfalls den Tabellen von LANDOLT und BÖRNSTEIN  
entnommen, die spezifischen Gewichte dem Lehrbuch der anorgani-  
schen Chemie von DAMMER und dem Lehrbuch der organischen  
Chemie von BEILSTEIN.

<sup>1)</sup> M. v. Wogau, Ann. d. Phys. (4) 23, 366, 1907.

Tabelle I.

| Substanz                          | Lösungsmittel    | t° C | Beobachtet                         |  |
|-----------------------------------|------------------|------|------------------------------------|--|
|                                   |                  |      | k $\frac{\text{cm}^3}{\text{Tag}}$ | k $\frac{\text{cm}^3}{\text{sec}} \cdot 10^{-6}$ |
| Jod (J <sub>2</sub> ) . . . . .   | H <sub>2</sub> O | 12,0 | 0,5                                | 6,0  |
| Brom (Br <sub>2</sub> ) . . . . . | "                | 12,0 | 0,8                                | 9,0  |
| Rohrzucker . . . . .              | "                | 18,5 | 0,33                               | 3,8  |
| Glyzerin . . . . .                | "                | 10,0 | 0,35                               | 4,1  |
| Mannit . . . . .                  | "                | 12,0 | 0,38                               | 4,4  |
| Chloralhydrat . . . . .           | "                | 12,0 | 0,59                               | 6,8  |
| Äthylalkohol . . . . .            | "                | 12,0 | 0,73                               | 8,4  |
| Harnstoff . . . . .               | "                | 15,0 | 0,97                               | 11,0   |
| Ammoniak . . . . .                | "                | 10,0 | 1,0                                | 11,0   |
| Essigsäure . . . . .              | "                | 12,0 | 0,76                               | 8,8  |
| Zitronensäure . . . . .           | "                | 9,0  | 0,41                               | 4,7  |
| Weinsäure . . . . .               | "                | 12,0 | 0,37                               | 4,3  |
| Traubensäure . . . . .            | "                | 9,0  | 0,45                               | 5,2  |
| Oxalsäure . . . . .               | "                | 10,0 | 0,84                               | 9,7  |

Es ergibt sich, wie man aus Tabelle I ersieht, befriedigende Übereinstimmung der berechneten und beobachteten Werte, und zwar ist die Übereinstimmung der Größten nach dieselbe wie bei den berechneten und beobachteten Diffusionskonstanten von Metallen in Quecksilber.

Wendet man die Theorie auf die Berechnung der beobachteten Diffusionskonstanten von Jod und Brom oder Schwefelkohlenstoff an, so ergibt sich eine befriedigende Übereinstimmung der berechneten und beobachteten Werte. In Tabelle II sind die berechneten Zahlenwerte mit den beobachteten zusammengestellt. Die bei der Berechnung benutzten Werte der Reibungskoeffizienten von Benzol und Schwefelkohlenstoff sind den Tabellen von LANDOLT und BÖRNSTEIN entnommen.

Die nicht unbedeutenden Abweichungen zwischen Berechnung und Beobachtung finden eine einfache Erklärung in der Voraussetzung der Theorie, daß die Moleküle des gelösten Stoffes im Vergleich mit den Molekülen des Lösungsmittels kleiner sind gegen die des gelösten Stoffes, ist im allgemeinen in einem geringeren Maße als oben erfüllt.

<sup>1)</sup> H. EULER, Wied. Ann. 63, 274, 1897.

Tabelle II.

| Substanz                     | Lösungs-<br>mittel | t° C | Beobachtet                         |  | Berechnet  |
|------------------------------|--------------------|------|------------------------------------|--|--|
|                              |                    |      | $k \frac{\text{cm}^2}{\text{Tag}}$ | $k \frac{\text{cm}^2}{\text{sec}} \cdot 10^{-6}$ | $k \frac{\text{cm}^2}{\text{sec}} \cdot 10^{-6}$ |
| J <sub>2</sub> ) . . . . .   | Benzol             | 12   | 1,41                               | 16,3   | 10,2   |
| (Br <sub>2</sub> ) . . . . . | "                  | 12   | 1,75                               | 20,2   | 10,3   |
| J <sub>2</sub> ) . . . . .   | { Schwefel }       | 16   | 2,55                               | 29,5   | 19,3   |
| (Br <sub>2</sub> ) . . . . . | { kohlenstoff }    | 16   | 3,11                               | 36,0   | 19,5   |

Man wird also folgern dürfen, daß die obige Berechnung der Lösungskonstanten nicht nur in den früher betrachteten Fällen der Lösung von Metallen in Quecksilber angewandt werden kann, sondern sich auch auf solche Lösungen von Nichtelektrolyten mit derselben Genauigkeit ausdehnen läßt, die den Voraussetzungen der Theorie in demselben Maße entsprechen.

***Erzeugung phasenverschobener Hochfrequenzstrahlung***  
**von H. Diesselhorst.**

(Mitteilung aus der Physikalisch-Technischen Reichsanstalt  
 (Vorgetragen mit Demonstrationen in den Sitzungen vom 29.  
 3. Juli 1908.)

(Vgl. oben S. 393 und 450.)

F. BRAUN<sup>1)</sup> hat zur Erzielung einer gerichteten telegraphie die Methode benutzt, die Strahlungen mehrere interferieren zu lassen. Als Grundbedingung bei dieser Methode ist erforderlich, daß die verschiedenen Antennen mit Strahlung von ganz bestimmter Phasendifferenz erregt werden.

F. KIEBITZ<sup>2)</sup> hat die gerichtete Strahlung einer Antennen mit kurzen Wellen und einer Phasendifferenz eingehend untersucht und hierdurch die BRAUNsche Methode bestätigt. Die Methode läßt sich um so günstiger auszuführen, je besser es gelingt, vorgeschriebene Phasendifferenzen hervorzubringen.

Die in der Wechselstromtechnik üblichste Methode, Phasendifferenzen durch Stromverzweigung zwischen Selbstinduktions- und Widerstand hervorzubringen, ist bei Hochfrequenzstrahlung nicht anwendbar, weil hier der Widerstand nur einen kleinen Teil der Impedanz ausmachen darf, damit die Dämpfung nicht zu groß wird.

Die mannigfaltigen Versuche BRAUNS, Phasendifferenzen durch Induktivitäten hervorzubringen, daß die Funkenstrecken zwei Induktivitätskreise zwangsweise mit einer ganz bestimmten Phase einsetzen, führten zu einer sehr eleganten Lösung der Aufgabe, die von MANDELSTAM und PAPALEXI<sup>3)</sup> ausgebildet wurde.

Diese Methoden sind jedoch nicht anwendbar auf Induktivitätskreise, die keine Funkenstrecke enthalten, also auf Poulsenschwingungen. Eine andere, gleichfalls vorteilhafte Methode ist die von

<sup>1)</sup> F. BRAUN, *Electrician* 56, 546, 1906, u. 57, 222 u. 244.

<sup>2)</sup> F. KIEBITZ, *Ann. d. Phys.* (4) 22, 943, 1907.

<sup>3)</sup> L. MANDELSTAM u. N. PAPALEXI, *Phys. ZS.* 7, 303, 1906.

te Methode ist in der Hinsicht allgemeiner, nämlich die  
ung phasenverschobener Ströme durch Induktion. Ver-  
man mit einem primären Schwingungskreis einen ab-  
nten Sekundärkreis in loser Koppelung, so ist die induzierte  
des Sekundärkreises um  $90^\circ$  in der Phase verschoben gegen  
imären Strom. Da nun zwischen Strom und Spannung im  
ärkreise keine Phasenverschiebung besteht, weil infolge der  
mung der Einfluß der Selbstinduktion und Kapazität auf  
ase sich gegenseitig aufhebt, so besteht zwischen Sekundär-  
und Primärstrom eine Phasenverschiebung von  $90^\circ$ . Mit  
der beiden Ströme kann man ein Drehfeld und jede be-  
andere Phasenverschiebung hervorbringen.

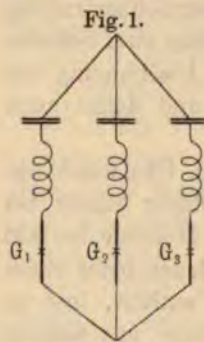
e Methode leidet an einem erheblichen Mangel. Bei loser  
ung erhält man nämlich nur geringe Energieübertragung  
Sekundärkreis, während bei fester Koppelung zwei Schwin-  
entstehen und für keine derselben eine Abstimmung der  
periode des Kreises auf die Stromperiode und damit auch  
Phasenverschiebung zu erreichen ist.

af folgende Weise kann man nun diesem Übelstand ab-  
und in beiden Kreisen Ströme von beliebiger Stärke bei  
Phasenverschiebung von  $90^\circ$  erhalten. Die Methode besteht  
zwei abgestimmte Schwingungskreise, von denen jeder einen  
gungsgenerator (etwa eine Poulsenlampe) enthält, lose zu  
n. Dann bekommt jeder Kreis die Energie aus seinem  
a Generator geliefert und die Koppelung dient nur dazu,  
öme stets auf gleicher Periode und der konstanten Phasen-  
anz von  $90^\circ$  zu erhalten. Es ist keiner der beiden Kreise  
m anderen bevorzugt; am besten werden beide ganz gleich  
nt. Welcher der beiden Ströme in der Phase voraneilt,  
von der Zündung der Lampen bzw. Schließung der Kreise  
ei Verstimmung verschwindet der Phasenunterschied schnell.  
ann das Auftreten der Phasenverschiebung von  $90^\circ$  direkt  
bstimmung benutzen.

ar Untersuchung der Phasenverschiebung können die ver-  
enen von BRAUN angegebenen Verfahren dienen. Die  
ische Röhre eignet sich vorzüglich zur Demonstration. Bei  
ndung der rein periodischen Schwingungen der Poulsen-  
lassen sich die Phasenverschiebungen nicht nur deshalb

besser beobachten als bei Funkenerscheinungen, weil die Wirkung der Dämpfung fortfällt, sondern es ist die Intensität des Bildes auf dem Schirm außerordentlich viel. Der Lumineszenzfleck fortwährend die Bildlinie beschreiben er bei den Funkenschwingungen während des weitaus größten Teiles der Zeit unabgelenkt bleibt.

Die Methode mit der BRAUNschen Röhre eignet sich sehr gut dazu, über die Form der Periode bei den Pulsen Aufschluß zu geben<sup>1)</sup>. Hat man reinen Sinusstrom, so bewegt sich der Lumineszenzfleck die Abszissenbewegung entsprechend Kosinusstrom für die Ordinatenbewegung. Wenn die Amplituden gleich gemacht, so gibt das Bild auf dem Schirm der Röhre einen Kreis. Ein Verlöschen des Lichtbogens



eines Teiles der Periode, wie es bei den Pulsen zweiter Art nach SIMON HAUSEN entspricht, zeigt sich sofort als Unregelmäßigkeit an einer bestimmten Stelle des Kreises an.

Noch auf eine andere Art kann man eine phasenverschobene Hochfrequenz mit großem Energieinhalt herstellen, nämlich durch eine Schaltung, welche die Phasenverschiebung zwangsweise hervorruft, wie sie in Fig. 1 dargestellt ist.

Die Schaltung ist der Fig. 1 nachgebildet.  $G_1$ ,  $G_2$ ,  $G_3$  stellen die Pulsenlampen dar, die an einem Pol verbunden sind, der mit dem anderen Pol führt je zu einem Hochfrequenzleiter mit Induktion und Kapazität. Die anderen Enden der Leiter sind verbunden. Wenn in dieser symmetrischen Schaltung Schwingungen auftreten, so muß die Summe der Momente der Ströme in den drei Leitern nach dem ersten KIRCHHOFFschen Satze stets Null sein, was nur möglich ist, wenn die Phasendiagramm der drei Ströme ein Dreieck bildet, d. h. die drei Ströme selbst dreiphasigen Drehstrom liefern. Die Phasenverschiebung läßt sich gleichfalls mittels der BRAUNschen Röhre untersuchen. Verwendet man relativ langsame Schwingun-

<sup>1)</sup> Vgl. dazu J. ZENNECK, Wied. Ann. 69, 854, 1899.

000 pro Sekunde), so läßt sich ein kleines, Eisen enthalten-  
drehstrommodell mit dem aus den Lampen gewonnenen Dreh-  
betreiben.

Bei allen diesen Versuchen können sämtliche Lampen aus  
einer Stromquelle gespeist werden, wenn man nur durch Vor-  
setzen von Drosselspulen das Übertreten der Schwingungen  
verhindert.

---



*Über die Absorption des Lichtes in leuchtendem  
Wasserstoff;  
von Rudolf Ladenburg.*

(Vorgetragen in der Sitzung vom 3. Juli 1908.)

(Vgl. oben S. 449.)

Eine ganze Reihe schon lange bekannter Experimente lassen mit mehr oder weniger Sicherheit darauf schließen, daß Wasserstoff in leuchtendem Zustande die Fähigkeit besitzt, Licht von bestimmten Wellenlängen, die er emittiert, auch selektiv zu absorbieren. Vor allem die Koinzidenz einiger der bekanntesten Fraunhofer'schen Linien des Sonnenspektrums mit den Linien des Wasserstoffspektrums eines mit Wasserstoff gefüllten Geißlerrohrs, die sogenannte Selbstumkehr der roten und grünen H<sub>α</sub>-Linie, die zuerst schon vor 25 Jahren von LIVEING<sup>1)</sup> beschrieben und inzwischen verschiedentlich<sup>2)</sup> wiederholt, und schließlich eine Beobachtung von WOOD<sup>3)</sup>, daß eine mit Wasserstoff gefüllte lange Kapillarröhre, wenn sie in Längsdurchsicht bläulich leuchtete, wenn eine dünne Schicht leuchtenden Wasserstoffs unter sonst gleichen Bedingungen rot erschien, und dies durch verschiedene Versuche die Absorption des Wasserstoffs für verschiedene Spektrallinien klärte.

Andererseits sind über die Absorption des Wasserstofflichts verschiedene negative Versuche veröffentlicht worden<sup>4)</sup>, in denen es nicht gelang, Absorption von Licht, das von leuchtendem Wasserstoff durch eine Schicht leuchtenden Wasserstoffs eindrang, nachzuweisen. Bei Diskussion dieser bekannten Tatsachen mit mein-

<sup>1)</sup> G. D. LIVEING and J. DEWAR, Proc. Roy. Soc. 35, 74, 1890.

<sup>2)</sup> V. SCHUMANN, Astron. u. Astrophys. 12, 159, 1893; A. F. H. W. WOOD, Phys. ZS. 7, 926, 1906.

<sup>3)</sup> R. W. WOOD, Phys. ZS. 7, 926, 1906.

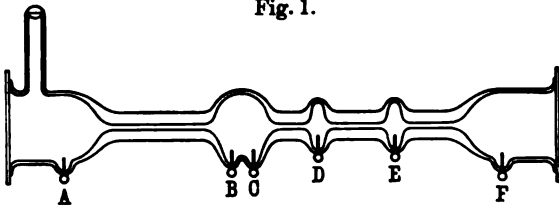
<sup>4)</sup> W. HITTOFF, Wied. Ann. 7, 289, 1879; M. CANTOR, Ann. d. Phys. (4) 1, 462, 1900 (vgl. hierzu E. PRINGSHEIM, Ann. d. Phys. (4) 1, 462, 1900 (vgl. hierzu E. PRINGSHEIM, Ann. d. Phys. (4) 1, 462, 1900) und A. PFLÜGER, l. c.

H LADENBURG, schien es uns jedoch, besonders auf Grund der genannten Versuche von LIVEING und DEWAR, wahrscheinlich, daß man Absorption in leuchtendem Wasserstoff würde messen können, falls sich der Wasserstoff in demselben Zustande befand, dem Selbstumkehr beobachtet wurde.

Ich habe die dazu nötigen Versuche ausgeführt und möchte darüber im folgenden berichten.

Die Form der zu den Versuchen verwendeten Kapillarröhren ist aus Fig. 1 ersichtlich. Die Röhren haben eine lichte Weite  $1\frac{1}{2}$  mm, sind an den Enden mit Erweiterungen und auf-

Fig. 1.



gesetzten Verschlussplatten versehen und können mit Hilfe der Verschlussroden *A* bis *F* in verschiedener Länge zum Leuchten gebracht werden. Sie wurden mit reinem Wasserstoff gefüllt und durch ein Induktorium von 20 cm Funkenlänge mit parallel geschalteter Leidener Flasche erregt. Die Helligkeit des von ihnen längsdurchsicht ausgesandten Lichtes wurde mit einer in der dargestellten spektralphotometrischen Anordnung gemessen.

Die Blende *B* von  $1\frac{1}{2}$  mm Durchmesser am Ende der Röhre *K*<sub>1</sub> wird mit einer Linse *L*<sub>1</sub> auf der unteren Hälfte des Spaltes *S* des Spektrometers abgebildet, während in die obere Hälfte ein Spiegel *D* das durch 2 Nicols *N*<sub>1</sub>, *N*<sub>2</sub> dringende Licht eines zweiten Rohres *K*<sub>2</sub> reflektiert; *K*<sub>2</sub> ist mit *K*<sub>1</sub> verblasen und in denselben Induktionsstrom geschaltet. So erscheinen nebeneinander die zwei Wasserstoffspektren übereinander, und bei einer Verschiebung des Spaltes *S* von einigen Zehntel Millimeter kann man durch Drehen des Nicols *N*<sub>2</sub> auf gleiche Helligkeit der Wasserstofflinien (*H* $\alpha$ , *H* $\beta$  oder *H* $\gamma$ ) einstellen und so die Intensität an verschiedenen Längen der Röhre *K*<sub>1</sub>, relativ zu *K*<sub>2</sub>, messen.

Betrachtet man (s. Fig. 1) *AB* als emittierende Lichtquelle („Emissionsrohr“), und *CF* als absorbierende Schicht („Absorptions-

rohr“) und bestimmt an einer der Spektrallinien, st zu  $K_2$ ,

1. die Intensität  $J_1$  von  $AB$ ,
2. die Intensität  $J_2$  von  $CF$  und
3. die Intensität  $J_3$  von  $AB + CF$ ,

so muß offenbar <sup>1)</sup>, falls  $CF$  absorbiert,

$$J_1 + J_2 > J_3$$

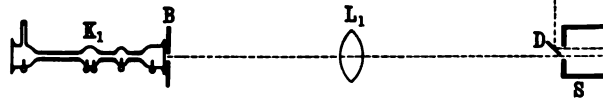
sein, und zwar ist

$$\frac{J_1 + J_2 - J_3}{J_1} = A$$

das Absorptionsvermögen der leuchtenden Schicht  $CF$  in allen drei Fällen das gleiche Entladungspotential wird gleichgebaut und mit den anderen verblasene Röhren in den Stromkreis geschaltet, deren Licht natürlich nicht in das Spektralphotometer gelangen darf.

In der Tat ergab sich nun in einer 60 mm langen Schicht bei 50 mm Wasserstoffdruck an den drei Wasserstofflinien meßbare Absorption, am stärksten an der Linie  $H\alpha$ , wo sie 60 Proz. betrug <sup>2)</sup>.

Das gleiche Resultat erhielt ich bei Zerlegung des Rohres  $ABCF$  in zwei Teile



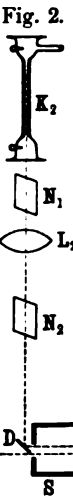
(Fig. 3), die durch einen Hahn gegeneinander abgesperrt d. h. in zwei vollständig getrennten Wasserstoffschichten

Da dies aber die Versuchsanordnung nur kompliziert die endgültigen Versuche über die Abhängigkeit der

<sup>1)</sup> Auf ähnliche Weise haben R. KÜCH und P. RETSCHINSKY [Phys. (4) 22, 852, 1907] selektive Absorption im Quecksilber gemessen.

<sup>2)</sup> Falls man von Reflexion am leuchtenden Gas absieht.

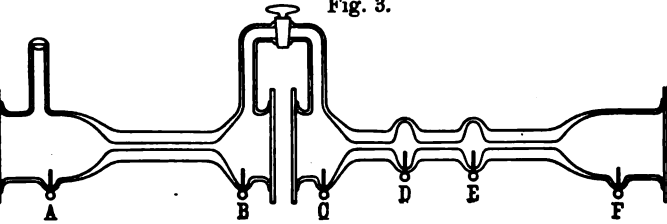
<sup>3)</sup> Die Größenordnung der von KÜCH und RETSCHINSKY [S. 552] im Quecksilberlichtbogen gemessenen Absorption ist etwa



Wellenlänge, Schichtdicke, Druck und Entladungsform in  
 a einzigen Rohr, wie es Fig. 1 darstellt, ausgeführt.

Bei der Justierung wurde vor allem darauf geachtet, daß das  
 der vom Emissionsrohr allein und der vom Absorptionsrohr  
 herrührenden Spektrallinie im Okular die gleiche Fläche  
 tekte und dieselbe gleichmäßig erfüllte. Was die Genauig-  
 der Messung betrifft, so setzt ihr, abgesehen von subjektiven  
 ellungsfehlern, die Inkonstanz des Induktoriums eine Grenze;  
 ege Schwankungen der Primärstromstärke zwischen 3 und  
 pere beeinflussten aber die Absorption nicht merklich, eben-  
 ig wie eine Änderung der Spaltbreite von 0,1 auf 0,7 mm  
 die Vertauschung eines Glasprismas geringer Dispersion mit  
 a sehr stark dispergierenden Prisma (*à vision directe*), das  
 inf Prismen zusammengesetzt war. Höhere Drucke als 85 mm

Fig. 3.



en nicht untersucht werden, einmal wegen der starken Ver-  
 erung besonders der kurzwelligen Linien und dann wegen  
 onst störenden kontinuierlichen Grundes des Spektrums.

Unter diesen Umständen betragen die mittleren Fehler einer  
 metrischen Messung etwa 2 Proz., so daß die Absorption  $A$   
 auf  $\pm 10$  Proz. bestimmt werden konnte. Die Mittelwerte der  
 tenen Resultate sind in den folgenden Tabellen und Kurven  
 nmengestellt.

In den Tabellen sind auch die Logarithmen von  $\frac{1}{1-A}$  an-  
 art. Bedeutet nämlich  $J_0$  die eindringende,  $J$  die von der  
 chtdicke  $l$  durchgelassene Intensität und  $a$  die Absorptions-  
 ante<sup>1)</sup> einer Substanz, so sollte nach dem gewöhnlichen Ab-  
 ionsgesetz

<sup>1)</sup> Vgl. KAYSERS Definitionen in WINKELMANN'S Handbuch der Physik  
 fl.), VI. Bd., S. 740.

$$J = J_0 \cdot e^{-al}$$

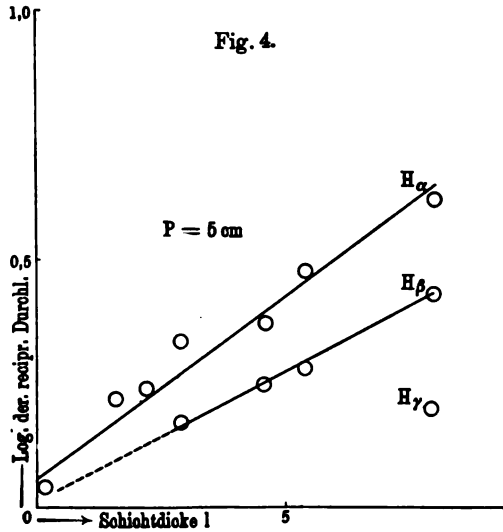
also

$$a \cdot l = \ln \frac{J_0}{J} = \ln \frac{1}{1-A}$$

sein, da

$$A = \frac{J_0 - J}{J_0}$$

ist, d. h. die Schichtdicke proportional dem Logarithmus der reziproken Durchlässigkeit (von Reflexion abgesehen). In der



der Fig. 4 u  
deshalb die  
dicke<sup>1)</sup> als  
der Logarith  
reziproken  
lässigkeit als  
aufgetragen,  
enthält Fig.  
sultate für  
und H $\gamma$  be  
Druck, Fig  
jeningen für  
und 32 mm

Der in  
letzten Kol  
Tabelle I a  
Extinktionsir

steht mit dem Absorptionskoeffizienten  $a$  in der bekannten Beziehung

$$k = a \frac{\lambda}{4\pi},$$

wobei für  $\lambda$  die Wellenlänge im freien Äther gesetzt ist.

Bei seiner Berechnung nach den Gleichungen 3) und 4) ist die Länge  $l$ , der Länge der leuchtenden Schicht, noch eine Korrektur angebracht. Wie nämlich aus den Kurven der Fig. 4 zu ersehen vorgeht, lassen sich die Beobachtungen, der Gleichung

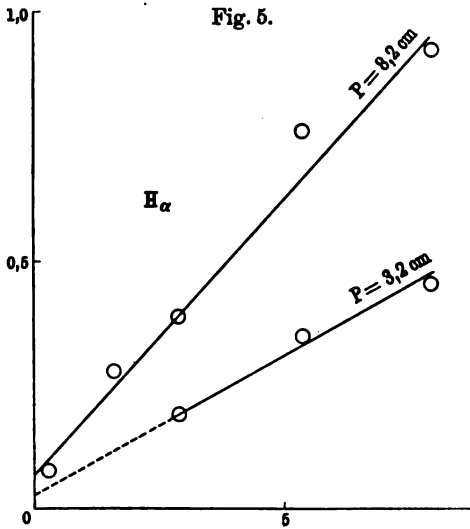
<sup>1)</sup> Als Dicke der absorbierenden Schicht wurde stets die Dicke der leuchtenden Schicht gemessen.

<sup>2)</sup> Vgl. KAYSERS Definitionen in WINKELMANN'S Handbuch der Physik (2. Aufl.), VI. Bd., S. 740.

end, innerhalb der Versuchsfehler durch gerade Linien dargestellt, allein die Geraden schneiden die Koordinatenachsen nicht im Nullpunkt. Dies läßt sich offenbar durch die Annahme erklären, daß die wahre Länge der absorbierenden Schicht um einen Betrag innerhalb der Fehlergrenzen stets gleichen Betrag größer ist als die gemessene Länge der leuchtenden Schicht. Für die Gültigkeit der Erscheinung sprechen Versuche in nur 2 bis 3 mm dicken Schichten (in die Tabellen und Kurven aufgenommen<sup>1)</sup>, die an einer eigens konstruierten kreuzförmigen Kapillare gemacht wurden und Absorptionen von 9 Proz. (bei 0 mm Druck) bzw. 10 Proz. (bei 80 mm Druck) an der roten Wasserstofflinie ergaben.

Die verschiedenen Erklärungsversuche, die sich hierfür bieten lassen, habe ich noch nicht entscheiden können; jedenfalls aber unter jener Annahme bei der Bestimmung von  $k$  statt der gemessenen Schichtdicke den Wert  $l + \alpha$  zu benutzen, wobei  $\alpha$  aus den gezeichneten Kurven als Abszisse des Schnittpunktes der betreffenden Geraden mit der Abszissenachse gefunden wird<sup>2)</sup>; die Größe von  $\alpha$  findet sich in der letzten Vertikalen der Tabelle I.

Die auf diese Weise gewonnenen Extinktionskoeffizienten liegen zwischen  $10^{-6}$  und  $10^{-7}$ ; sie beziehen sich nicht auf einen besonders schmalen Wellenlängenbereich, sondern auf die Wasser-



<sup>1)</sup> Die betreffenden Werte sind wegen der geringen Absorption naturgemäß weniger genau als die anderen.  
<sup>2)</sup> Der absolute Wert des Extinktionsindex wird dadurch nicht wesentlich beeinflusst.

stofflinien endlicher Breite, wie sie von Geissleröhren beschriebenen elektrischen Bedingungen emittiert werden

Tabelle I.

| Wellenlänge<br>$\lambda$ | Druck $P$<br>(cm Hg) | Schichtdicke $l$<br>(cm) | Absorptions-<br>vermögen $A$ | $\log \frac{1}{1-A}$ |
|--------------------------|----------------------|--------------------------|------------------------------|----------------------|
| 0,656 $\mu$              | 5,2                  | 0,2                      | 0,09                         | 0,041                |
|                          |                      | 1,6                      | 0,40                         | 0,22                 |
|                          |                      | 2,2                      | 0,43                         | 0,245                |
|                          |                      | 2,9                      | 0,54                         | 0,34                 |
|                          |                      | 4,6                      | 0,57                         | 0,37                 |
|                          |                      | 5,4                      | 0,67                         | 0,48                 |
|                          |                      | 8,0                      | 0,75                         | 0,60                 |
| 0,486 $\mu$              | 5,2                  | 2,9                      | 0,33                         | 0,17                 |
|                          |                      | 4,6                      | 0,43                         | 0,25                 |
|                          |                      | 5,4                      | 0,48                         | 0,28                 |
|                          |                      | 8,0                      | 0,625                        | 0,43                 |
| 0,434 $\mu$              | 5,2                  | 8,0                      | 0,37                         | 0,20                 |
| 0,656 $\mu$              | 8,2                  | 0,3                      | 0,14                         | 0,066                |
|                          |                      | 1,6                      | 0,475                        | 0,28                 |
|                          |                      | 2,9                      | 0,595                        | 0,39                 |
|                          |                      | 5,4                      | 0,825                        | 0,76                 |
|                          |                      | 8,0                      | 0,88                         | 0,92                 |
| 0,656 $\mu$              | 1,4                  | 10,0                     | 0,34                         | 0,18                 |
|                          |                      | 8,0                      | 0,64                         | 0,45                 |
|                          |                      | 8,0                      | 0,75                         | 0,60                 |
|                          |                      | 8,0                      | 0,88                         | 0,92                 |

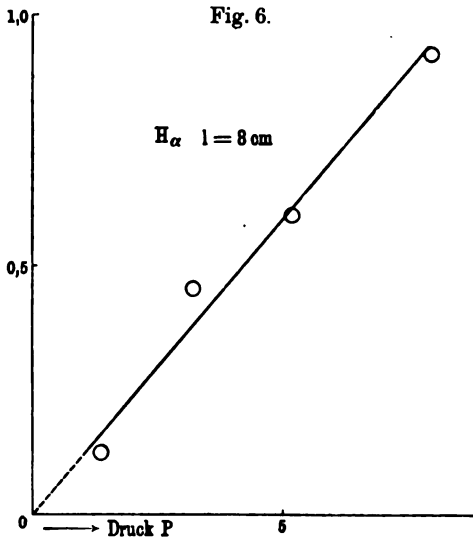
In Fig. 6 sind ferner die Logarithmen der Reziprozität für  $H\alpha$  in einer 80 mm langen Schicht an den verschiedenen Drucken dargestellt; die benutzten Werte in der zweiten Hälfte der Tabelle I enthalten. Die achteten Werte angenähert auf einer Geraden liegen, auch das BEERSche Gesetz zu gelten, freilich kann dies in gewissen Grenzen der Fall sein (beobachtet zwischen 1,4 und 8,2 cm Druck), da eine Änderung des Druckes die Wellenlänge beeinflusst.

Tabelle II.

|   | $P$ | $l$ | $A$  | $k \cdot 10^7$ | Bemerkungen<br>(Stromverhältnisse)  |
|---|-----|-----|------|----------------|---|
| u | 5,2 | 2,9 | 0,54 | 11,3           | } mit 1 Leidener Flasche,<br>ohne Selbstinduktion<br>mit 1 Leidener Flasche,<br>mit Selbstinduktion<br>ohne Leidener Flasche,<br>ohne Selbstinduktion<br>mit 2 Leidener Flaschen,<br>ohne Selbstinduktion |
|   |     | 4,6 | 0,57 | 8,4            |   |
|   |     | 4,6 | 0,40 | 5,0            |   |
|   |     | 5,2 | 0,15 | 1,4            |   |
|   |     | 2,9 | 0,52 | 10,7           |   |
| u | 5,2 | 4,6 | 0,39 | 3,9            | } mit 1 Leidener Flasche,<br>ohne Selbstinduktion<br>mit 1 Leidener Flasche,<br>mit Selbstinduktion   |
|   |     | 4,6 | 0,18 | 1,6            |   |

Die Wirkung der Entladungsform zeigt schließlich Tabelle II. Entfernung der sonst benutzten Leidener Flasche erscheinen

hren schwach bläu- statt intensiv rot, spektrallinien wer- schärfer und licht- cher. Entsprechend die Absorption be- and zurück<sup>1)</sup>. Ebenso das Einschalten Selbstinduktion<sup>2)</sup>, Größe bei den ebenen Versuchen  $10^{-6}$  Henry war. ein nimmt also bsorption mit Ver- rung der Strom- e ab.



<sup>1)</sup> Die Benutzung einer derartigen Entladungsform war wohl auch bei Versuchen von PFLÜGER die Ursache, daß er bei 1 mm Druck keine Ab- sorption fand.

<sup>2)</sup> Vgl. G. A. HEMSALECH, J. de phys. (3) 8, 652, 1899.



Aus den erhaltenen geraden Linien und aus dem Umstand, daß bei 83 mm Druck für  $H\alpha$  in einer 80 mm dicken Schicht etwa 90 Proz. Absorption gefunden wurden, geht man hervor, daß 1. kein wesentlicher Teil des von der Kathode ausgesandten Lichtes infolge fehlerhafter Versuchsanordnung an der absorbierenden Wasserstoffschicht vorbeiging, und 2. die gefundenen Extinktionsindices jedenfalls nicht wesentlich klein ausgefallen sein können, und 2. daß die Absorption in der leuchtenden Schicht Wasserstoff sich im wesentlichen auf das Licht erstreckt, das sie unter gleichen Bedingungen emittiert, also die „Absorptionslinie“ ebenso breit ist wie die Emissionslinie.

Daß schließlich die gefundenen Extinktionskoeffizienten nicht wesentlich zu groß sind, d. h. daß nicht die Verweilzeit der Absorption vortäuschte, beweisen Versuche, in denen ein „Emissionsrohr“ und das „Absorptionsrohr“ durch zwei verschiedene Induktoren erregt wurden, die mit getrennten Stromkreisläufen betrieben wurden oder in denselben Primärstromkreis eingeschaltet waren: die Beobachtungen lieferten  $\pm$  10 Proz. Absorption, d. h. in den angegebenen Fehlergrenzen keine wesentliche Absorption. Daß nur Absorption stattfinden kann, wenn die Kathode und das Absorptionsrohr auch gleichzeitig leuchten, ist, daß dies im allgemeinen bei zwei verschiedenen Induktoren der Fall ist, war a priori zu erwarten.

So ergibt sich also das Absorptionsvermögen der leuchtenden Wasserstoffs als eine vollständig definierte Eigenschaft derselben Art wie für eine nicht selbst leuchtende Substanz. Es nimmt zwar zwar nimmt die Absorption für die beobachteten Linien mit zunehmender Wellenlänge ab. Dies ist eine Bestätigung der in (S. 550) erwähnten Vermutung WOODS. Ich habe sie auch quantitativ mit der beschriebenen Anordnung wiederholt bestätigt, indem an die Stelle der Röhren  $K_1$  und  $K_2$  zwei verschiedene gleiche Röhren mit je drei Elektroden  $ABC$  trat. Der Abstand  $AC$  130 mm, der Abstand  $BC$  nur 12 mm. Die 12 mm lange Schicht der einen Röhre wurde mit der 130 mm langen Schicht der anderen verglichen, und es übereinstimmend zeigte sich, daß, wenn auf Gl.

<sup>1)</sup> Vgl. hierzu auch S. 560.

sität der Linie  $H\alpha$  eingestellt wurde, diejenige der Linie  $H\beta$  der langen Wasserstoffschicht die der kurzen überwog; war in beiden Spektren gleich hell, so erschien  $H\alpha$  der kurzen  $H\gamma$  der langen Wasserstoffschicht heller<sup>1)</sup>. Durch eine richtige Wirkung verschieden dicker Schichten leuchtenden Wasserstoffs lassen sich auch die Versuche W. W. CAMPBELLS<sup>2)</sup> erklären: CAMPBELL verglich die Intensität des Wasserstoffspektrums des Orionnebels mit dem einer Geissleröhre; war  $H\beta$  in beiden Spektren gleich hell, so erschien  $H\gamma$  im Nebel heller als in der Geissleröhre, und  $H\alpha$  der Röhre war sichtbar,  $H\alpha$  des Nebels nicht. Der Schluß von KAYSER<sup>3)</sup>, daß in diesen Versuchen wahrscheinlich die Wirkung der höheren Temperatur des Nebels im Spiel sei, scheint also nach meinen Versuchen nicht notwendig. Auf Grund der beschriebenen Erfahrungen ist es schließlich schwer, in einem Geisslerrohr statt des Emissionsspektrums des Wasserstoffs sein Absorptionsspektrum zu erhalten, d. h. ein kontinuierliches Spektrum, in dem die Wasserstofflinien als scharfe Linien erscheinen. Als „Lichtquelle“ eignet sich eine Kapillare von wenigen Centimeter Länge, die, mit Wasserstoff von  $\frac{1}{2}$  bis  $\frac{3}{4}$  Atmosphären Druck gefüllt, ein ganz kontinuierliches Spektrum<sup>4)</sup> liefert, in dem die Wasserstofflinien noch als starke, aber ganz breite Maxima der Intensität erkennbar sind; als Absorptionsrohr eine etwa gleich lange weitere Kapillare von 5 bis 10 mm Durchmesser, in der der Druck zwischen 5 und 80 mm Quecksilber variiert werden kann. Werden diese Kapillaren hintereinander in denselben Stromkreis eines Induktoriums geschaltet und wird das Bild des Kapillarendes durch das Absorptionsrohr hindurch auf den Spalt des Spektralapparates konzentriert, so erscheinen bei genügender Dispersion, wie sie bei meinen Versuchen das oben beschriebene geradsichtige Prisma liefert, in dem kontinuierlichen Spektrum die rote, und, etwas schwächer deutlich, auch die blaugrüne Wasserstofflinie als breite,

<sup>1)</sup> Bei den verschiedenen Quecksilberlinien beobachteten KÜCH und SCHINSKY ähnliche Erscheinungen (l. c.).

<sup>2)</sup> W. W. CAMPBELL, *Astrophys. Journ.* 9, 312, 1899.

<sup>3)</sup> H. KAYSER, *Spektroskopie II*, S. 332, 1902.

<sup>4)</sup> Damit keine Selbstumkehr eintritt, ist dafür zu sorgen, daß die leitende Strombahn innerhalb der Erweiterung der Kapillare, die die Verfüßplatte trägt, nicht in den Strahlengang kommt.

dunkle Absorptionslinien, die mit abnehmendem Druck im Absorptionsrohr schmaler werden und von etwa 0,05 mm nur die feinsten Linien erscheinen. Fig. 7 zeigt eine Photographie der Wasserstofflinie, wie sie mittels eines Teleobjektivs am Spektrometerfernrohre erhalten wurde.

Da oberhalb und unterhalb des kontinuierlichen Hintergrundes die hellen Linien des weiteren Absorptionsrohres erscheinen, so kann man direkt, daß die Breite der Absorptionslinien in derselben Größenordnung ist wie die der Emissionslinien. Dementsprechend unterscheidet sich die beschriebene Versuchsanordnung von dem eingangs erwähnten Versuch der Selbstumkehr von DEWAR und einem ähnlichen von A. PFLÜGER (1. c.), durch, daß eben „Lichtquelle“ und Absorptionsrohr getrennt sind und man infolgedessen in letzterem einen beliebigen

Fig. 7.



stoff ein wenig Luft und Quecksilberdampf im Absorptionsrohr, so sieht man gleichzeitig mit den dunkeln Absorptionslinien der Wasserstoffs die bekannten hellen Luft- und Quecksilberlinien. Ein Zeichen, daß deren Emission in diesem Falle die Absorption überwiegt.

Ob man mit einer ähnlichen Versuchsanordnung die Absorptionsspektren anderer Gase erhalten kann, soll in Zukunft untersucht werden.

Schließlich kann man den Versuch mit zwei Absorptionsrohren (vgl. S. 558) hier sehr bequem wiederholen und erhält dann nicht mehr die dunkeln Absorptionslinien, sondern die hellen Emissionslinien des Wasserstoffs. Inwieweit vollständiger Symmetrie

<sup>1)</sup> Diese Änderung der Breite der Absorptionslinien konnte nur an der roten Wasserstofflinie konstatiert werden.

beiden leuchtenden Röhren zur Beobachtung der Umkehr notwendig ist<sup>1)</sup>, geht aus den beschriebenen Versuchen nicht hervor; es erscheinen auch bei einem einzigen Induktorium statt der Absorptions- die Emissionslinien hell auf dem kontinuierlichen Grunde, wenn man die Röhren dadurch gegeneinander „verstimmt“, man eine Leidener Flasche der „Lichtquelle“ und eine andern Absorptionsrohr parallel schaltet und durch Einschalten geeigneten „Ersatzröhre“ zum Absorptionsrohr dafür sorgt, so daß sich in diesem die Entladungsform nicht ändert.

Zusammengefaßt ist der Inhalt vorliegender Arbeit folgender:

1. In einem mit Wasserstoff gefüllten Geisslerrohr läßt sich die selektive Absorption qualitativ durch Absorptionslinien nachweisen und quantitativ messen, falls als Lichtquelle ein zweites Geisslerrohr benutzt wird, das mit dem ersten in Serie geschaltet ist.
2. Die selektive Absorption des Wasserstoffs folgt dem gleichen Absorptionsgesetz des Lichtes und in gewissen Grenzen dem BEERSchen Gesetz. Der Extinktionsindex ist von den Verhältnissen abhängig und war bei dem benutzten Induktorium und bei 5 cm Wasserstoffdruck von der Größenordnung  $10^{-6}$ .

Vorliegende Untersuchung wurde im Physikalischen Institut der Universität Breslau ausgeführt; ich möchte auch an dieser Stelle dem Direktor desselben, Herrn Professor LUMMER, sowie dem Professor PRINGSHEIM meinen aufrichtigen Dank sagen für die Überlassung aller Apparate und für ihr großes Interesse an der Ausführung dieser Versuche.

<sup>1)</sup> R. REIGER zeigte (Phys. ZS. 7, 68, 1906), daß unter Umständen bei verhältnismäßig weiten Teilen sogar einer und derselben Röhre der eine periodisch, der andere kontinuierlich leuchten kann. Professor WEHNELT war so freundlich mich auf diese Arbeit aufmerksam zu machen.

Breslau, Physikalisches Institut, Juli 1908.

*Über die Anfangsgeschwindigkeiten Lichtelektronen;*

von *Erich Ladenburg* † und *Karl M...*

(Angezeigt in der Sitzung vom 29. Mai 1908.)

(Eingegangen am 9. Juni 1908.)

(Vgl. oben S. 394.)

Vor einiger Zeit konnte der eine von uns<sup>1)</sup> zeigen, daß die Anfangsgeschwindigkeit der durch die Einwirkung von Licht ausgelösten Elektronen eine Funktion der Frequenz des wirkenden Lichtes ist. Die Versuche waren in der Weise angestellt worden, daß die Aufladung einer im höchsten Potential befindlichen Metallplatte gemessen wurde, wenn spektriales Licht diese Platte traf. Es wurde eine um so größere Aufladung gefunden, je kürzer die Wellenlänge des wirkenden Lichtes war. Zahlenmäßig ergab sich für ein und dasselbe Metall eine Proportionalität zwischen der Wurzel aus dem Potential, also der Anfangsgeschwindigkeit und der Schwingungszahl des Lichtes, und zwar unter der Voraussetzung, daß die Anfangsgeschwindigkeit 0 der Schwingungszahl 0 zugeordnet wird. Wenn man diese Annahme nicht, so kann aus den Versuchen geschlossen werden, daß eine lineare Abhängigkeit des Quadrats der Geschwindigkeit von der Schwingungszahl geschlossen werden, wie dies durch die Versuche auf Grund der besprochenen Versuche getan hat.

Aus der Tatsache, daß die Größe der Aufladung für verschiedene Wellenlängen verschieden ergibt, kann man folgende Schlüsse ziehen: Entweder folgt hieraus, daß bei einer bestimmten Wellenlänge ein ganzes Spektrum von Geschwindigkeiten, von 0 anfangend, ausgelöst wird, und daß nur diejenige vorkommende Geschwindigkeit  $A$  mit Abnahme der Wellenlänge wächst. Dies würde mit den Kurven von LENARD<sup>2)</sup> in Einklang stehen, wenn die Geschwindigkeitsverteilung im Einklang stehen, mit

<sup>1)</sup> ERICH LADENBURG, Verh. d. Deutsch. Physik. Ges. 9, 5.

<sup>2)</sup> A. JOFFÉ, Ann. d. Phys. (4) 24, 939, 1907.

<sup>3)</sup> P. LENARD, Ann. d. Phys. (4) 8, 149, 1902.

windigkeiten von 0 bis  $A$  Volt vorhanden sind, und zwar sich bei jedem untersuchten Metall für den Grenzwert  $A$  ernd dieselben Zahlenwerte ergeben, wie die in der oben chenen Arbeit gefundenen. Diese Anschauung würde freilich tisch schwer zu deuten sein.

ie andere Möglichkeit einer Erklärung der erwähnten Ver- ist die, daß zu jeder Schwingungszahl nur eine Geschwin- t bzw. ein Geschwindigkeitsbereich entsprechend dem ELLSchen Verteilungsgesetz gehört, nämlich diejenige Ge- adigkeit, welche der Aufladung entspricht. Nach dieser usung würden, wenn z. B. Licht zwischen den Grenzen  $200 \mu\mu$  und  $\lambda = 260 \mu\mu$  auf eine Platinplatte fällt, nur onen ausgelöst werden mit Geschwindigkeiten zwischen 1,08 (,86 Volt<sup>1)</sup>). Diese Deutung wäre deshalb wichtig, weil sich ch die lichtelektrische Wirkung als ein reines Resonanz- men erwiese.

m folgenden soll über Versuche berichtet werden, die auf em Wege die früheren Resultate bestätigen und ferner vor eine Entscheidung zwischen den beiden Erklärungsmöglich- herbeiführen sollen.

läßt man unzerlegtes ultraviolettes Licht auf eine Metall- im Vakuum fallen, so ist nach LENARD die Anzahl der erdenden Elektronen, von einem gewissen beschleunigenden tial an, eine konstante, d. h. wir haben Sättigung. Wählt das beschleunigende Potential geringer, so nimmt die Anzahl lektronen ab und zwar bis zum Potential 0 auf etwa zwei el des Sättigungswertes und von da ab, also bei verzögernden ischen Kräften, sehr rasch, so daß die Anzahl bei 0,5 Volt gerung nur noch etwa ein Sechstel der maximalen Menge gt. Nach der gewöhnlichen Auffassung heißt dies — zu- t nur für verzögernde Potentiale —, daß die Zahl von onen, die mit Geschwindigkeiten zwischen 0 und 0,5 Volt latte verlassen, sehr viel größer ist als die, deren Geschwin- it größer als 0,5 Volt ist.

Bei großen, verzögernden Kräften erhält man einen umge- en Effekt, entsprechend der Tatsache, daß Licht an der

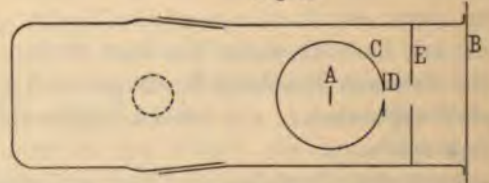
<sup>1)</sup> E. L. I. c.

bestrahlten Platte reflektiert wird und an der gegenüberliegenden Platte Elektronen erzeugt. Diese treffen die bestrahlte Platte und rufen so den umgekehrten Effekt hervor. Die beobachteten Fehler in der Kurve lassen sich berechnen und erklären.

Die ersten Versuche wurden angestellt, um zu sehen, ob diese Sättigungskurven verschieden ausfallen für verschiedene Spektralbezirke des wirkenden Lichtes, entsprechend den von dem einen von uns gefundenen Tatsachen.

Die Versuchsanordnung war folgende. Das Licht wurde durch eine Hochdruckquarzquecksilberlampe — 200 Volt Klemmenspannung bei vier Ampere —, für deren leihweise Überlassung wir Herrn W. C. HERÄUS, Hanau, auch an dieser Stelle unseren Dank sagen, wurde durch zwei große Quarzkondensoren auf eine Platinplatte *A* eines mit zwei Quarz-Flußspatobjektiven und einer

Fig. 1.

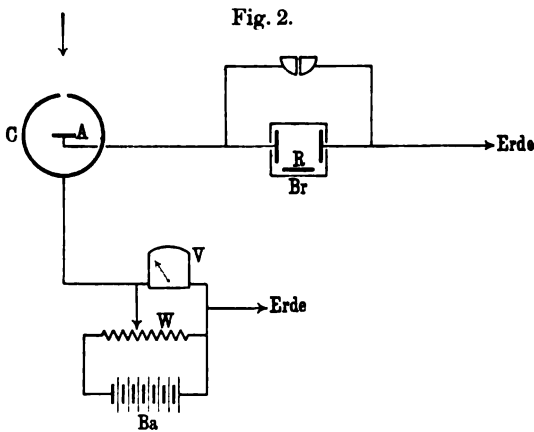


Prisma versehenen Spektrometers konzentriert. Die Platinplatte *A* wurde durch ein Objektiv des Spaltrohres parallel gemacht und durch ein Prisma zerlegten Strahlen wurden durch die zweite Platinplatte auf der zu untersuchenden Platinplatte *A* vereinigt. In der Mitte befand sich in einem durch die Quarzplatte *B* verlaufenden Glasrohr (Fig. 1), war 4 mm breit und durch Berner Glas eingeführt. Auf dieselbe Weise war der Messingzylinder eingeführt. Derselbe hatte auf der der Quarzplatte *B* zugekehrten Seite eine schlitzförmige 2 mm breite Öffnung zum Durchtritt des Lichtes. Die Glimmerscheiben *D* und *E* hielten das Licht zurück. fern. An das Rohr war ein anderes Glasrohr angebracht, welches mit Kokosnußkohle gefüllt war. Das Ganze wurde durch eine Ölpumpe bis auf Röntgenvakuum ausgepumpt und die Kohle abgeschmolzen. Das zum Versuch notwendige Vakuum wurde durch Kühlen der Kohle mit flüssiger Luft erzielt.

Die Schaltung ist aus Fig. 2 ersichtlich. *A* ist die Platinplatte, ebenso wie in Fig. 1, die bestrahlte Platte. Sie ist

Widerstand<sup>1)</sup>  $Br$  zur Erde abgeleitet. Die Enden dieses  
 standes liegen an den Quadranten eines gut isolierenden  
 ALEKSchen Elektrometers. Die Größe des Widerstandes  
 $4,5 \times 10^9$  Ohm und die Empfindlichkeit des Elektrometers  
 $= \frac{1}{5000}$  Volt, so daß in der benutzten Kombination  
 $= 4,4 \times 10^{-14}$  Amp. war.

ur Erzeugung höherer Spannungen zwischen  $A$  und dem  
 er  $C$  wurde eine isoliert aufgestellte Hochspannungsbatterie  
 t, für die niederen Spannungen drei Akkumulatoren, die  
 einen Schieberheostaten  $W$  geschlossen waren. Der positive



negative Pol war geerdet und die Abzweigeklemme des  
 staten mit dem Zylinder  $C$  und der einen Klemme des Volt-  
 s  $V$  verbunden, dessen andere geerdet war. Alle Teile der  
 lung waren von der Erde isoliert. Um den Effekt für  
 legtes Licht zu erhalten, wurde das Prisma aus dem Spektral-  
 at entfernt und das Spaltrohr des Spektrometers in die  
 ngerung des anderen Rohres gestellt.

Die erhaltenen Resultate sind in Tab. 1 wiedergegeben. Die  
 le zerfällt in vier Teile: Teil I gilt für unzerlegtes Licht,  
 : einen Spektralbezirk um  $260 \mu\mu$ , III für einen um  $232 \mu\mu$   
 IV für einen um  $212 \mu\mu$ . In den Tabellen bedeuten die

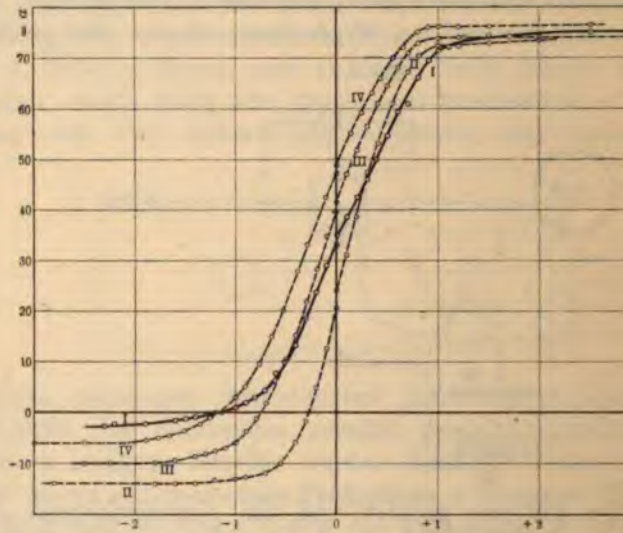
<sup>1)</sup> HOWARD L. BRONSON, Sill. Journ. (4) 19, 185, 1905; siehe auch ERICH  
 LADENBURG, Diese Verh. 9, 166, 1907.



Zahlen unter  $V$  die Größen des Potentials in Volt  $z$  und  $A$ ; es sind hierbei diejenigen Potentiale positiv welche negative an  $A$  entstehende Elektronen besce. Die  $\alpha$  bedeuten die entsprechenden Elektrometeraussschläge sind also der Zahl der austretenden Elektronen propor

Der Inhalt der Tab. 1 ist in Fig. 3 graphisch dargestellt. Kurve I dem Teil I, Kurve II dem Teil II, Kurve III dem Teil III und Kurve IV dem Teil IV d

Fig. 3.



In allen vier Kurven sind die Potentiale zwischen  $C$  und  $A$  die Abszissen, die Elektrometeraussschläge als Ordinaten eingetragen. Die Kurven zeigen deutlich, daß für verschiedene Wellenlängen die Verteilung der Geschwindigkeiten der Elektronen eine verschiedene ist. Und zwar bestätigt sich das früher gesehene Resultat, daß kürzeren Wellenlängen schnellere Elektronen entsprechen.

Um diese Kurven zu quantitativen Berechnungen zu verwenden müßten sie erst wegen der durch die Lichtreflexion bedingten Verringerung des Effekts korrigiert werden. Es erzeugt

<sup>1)</sup> l. c.

Tabelle 1.

| I<br>gtes Licht | II<br>$\lambda = 260 \mu\mu$ |        | III<br>$\lambda = 232 \mu\mu$ |        | IV<br>$\lambda = 212 \mu\mu$ |        |
|-----------------|------------------------------|--------|-------------------------------|--------|------------------------------|--------|
|                 | $\alpha$                     | V      | $\alpha$                      | V      | $\alpha$                     | V      |
| 75              | + 5,6                        | 74,0   | + 5,8                         | 74,4   | + 5,9                        | 76,5   |
| 75              | + 4,0                        | 74,4   | + 4,96                        | 74,3   | + 4,5                        | 76,5   |
| 75              | + 2,0                        | 73,5   | + 4,0                         | 74,5   | + 3,5                        | 76,5   |
| 75              | + 1,5                        | 72,8   | + 3,0                         | 74,2   | + 2,5                        | 76,5   |
| 74,5            | + 1,0                        | 72,8   | + 2,0                         | 74,2   | + 1,5                        | 76,3   |
| 5 74            | + 1,205                      | 72,3   | + 1,50                        | 74,2   | + 1,2                        | 76,3   |
| 74              | + 1,098                      | 72,1   | + 1,20                        | 74,0   | + 1,0                        | 76,1   |
| 71,6            | + 0,99                       | 72,2   | + 1,00                        | 73,7   | + 0,89                       | 76,0   |
| 69,7            | + 0,82                       | 70,4   | + 0,80                        | 72,8   | + 0,785                      | 75,2   |
| 5 66,2          | + 0,71                       | 67,3   | + 0,70                        | 70,8   | + 0,66                       | 71,9   |
| 61              | + 0,56                       | 61,0   | + 0,60                        | 68,1   | + 0,56                       | 70,0   |
| 59,4            | + 0,42                       | 53,2   | + 0,492                       | 64,5   | + 0,425                      | 65,8   |
| 5 54,6          | + 0,32                       | 46,1   | + 0,40                        | 61,0   | + 0,35                       | 63,1   |
| 49,9            | + 0,20                       | 38,6   | + 0,30                        | 56,6   | + 0,245                      | 59,0   |
| 5 47,3          | + 0,10                       | 31,1   | + 0,20                        | 51,8   | + 0,14                       | 54,9   |
| 42,5            | + 0,02                       | 24,0   | + 0,10                        | 47,0   | + 0,02                       | 48,8   |
| 5 38,6          | - 0,02                       | 20,5   | + 0,02                        | 41,6   | - 0,02                       | 47,3   |
| 35,2            | - 0,10                       | 12,6   | - 0,02                        | 39,7   | - 0,12                       | 42,5   |
| 33,1            | - 0,20                       | 5,0    | - 0,10                        | 34,8   | - 0,279                      | 33,2   |
| 5 28,9          | - 0,30                       | - 1,5  | - 0,20                        | 28,3   | - 0,38                       | 27,8   |
| 23,6            | - 0,39                       | - 5,6  | - 0,30                        | 21,8   | - 0,525                      | 20,0   |
| 5 18,5          | - 0,55                       | - 10,0 | - 0,40                        | 15,1   | - 0,64                       | 14,9   |
| 5 13,3          | - 0,71                       | - 11,8 | - 0,50                        | 10,5   | - 0,77                       | 9,5    |
| 5 10,0          | - 0,91                       | - 12,7 | - 0,608                       | 6,4    | - 0,915                      | 5,1    |
| 7,5             | - 1,01                       | - 13,2 | - 0,69                        | 2,1    | - 1,015                      | 3,2    |
| 2 4,3           | - 1,20                       | - 13,3 | - 0,79                        | - 1,0  | - 1,14                       | 0      |
| 3,14            | - 1,40                       | - 14,0 | - 0,89                        | - 3,5  | - 1,25                       | - 0,8  |
| 1,93            | - 1,60                       | - 14,0 | - 1,0                         | - 5,8  | - 1,35                       | - 2,3  |
| 1,29            | - 1,80                       | - 14,0 | - 1,10                        | - 6,9  | - 1,51                       | - 3,6  |
| 0               | - 2,80                       | - 14,0 | - 1,20                        | - 7,4  | - 1,66                       | - 4,5  |
| 0,775           | - 5,90                       | - 15,0 | - 1,30                        | - 8,0  | - 1,77                       | - 5,0  |
| - 1,245         | - 60                         | - 27,8 | - 1,40                        | - 8,5  | - 1,87                       | - 5,6  |
| - 1,505         | -                            | -      | - 1,60                        | - 9,0  | - 2,51                       | - 5,8  |
| 5 - 2,15        | -                            | -      | - 1,80                        | - 9,8  | - 3,00                       | - 6,1  |
| - 2,23          | -                            | -      | - 2,24                        | - 10,0 | - 60                         | - 22,2 |
| - 2,58          | -                            | -      | - 2,51                        | - 10,2 | -                            | -      |
| -               | -                            | -      | - 60                          | - 24,9 | -                            | -      |

wie schon gesagt, das an  $A$  reflektierte und  $C$  treffen an letzterem Elektronen. Diese treffen  $A$  und rufen die Verringerung des Effektes hervor. Hierdurch erklären sich die negativen Äste der Kurven.

Aus den Kurven der Fig. 3, die in ihrem Verhalten den Kurven LENARDS<sup>1)</sup> vollkommen ähneln, scheint hervorzugehen, daß die früher gefundene Aufladung, die eine im Vakuum befindliche Metallplatte unter dem Einfluß ultravioletter Strahlung verschiedener Wellenlängen annimmt, nicht dem maximalen Wert der Geschwindigkeit, sondern nur der maximalen Geschwindigkeit entspricht, und daß bei allen Wellenlängen Geschwindigkeiten bis zu 0 Volt herunter vorliegen.

Nun ist vor kurzem von O. v. BAEYER<sup>2)</sup> gezeigt worden, daß nicht nur schnelle, sondern auch langsame Elektronen an Metallplatten, auf die sie treffen, diffus reflektiert werden. Er zeigte dies für Elektronen mit Geschwindigkeiten bis zu 2 Volt herunter. Die Geschwindigkeit der Elektronen, die es sich in unseren Versuchen handelt, ist von derselben Größenordnung und es war daher anzunehmen, daß auch eine Reflexion von Elektronen auftritt. Für diese Elektronen kann also — siehe Fig. 2 — an  $C$  reflektiert werden und es ist das für die primären Elektronen verzögernde Potential beschleunigendes und es ist von vornherein nicht zu erwarten, welche Änderung hierdurch die Kurven der Fig. 3 erfahren. Wie die von diesem Fehler freien Kurven verlaufen würden, ist Berechnung schien aussichtslos; es war deshalb notwendig, die Reflexion von Elektronen an  $C$  zu verhindern, d. h. zu sorgen, daß die Elektronen, die  $A$  einmal verlassen, nicht dorthin zurückkehren.

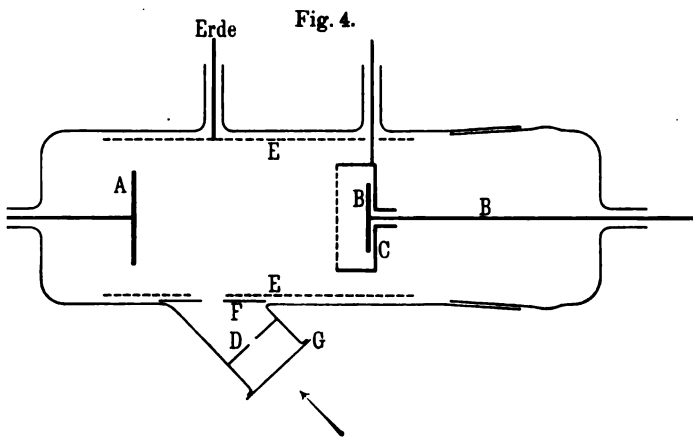
In der oben zitierten Arbeit gibt nun O. v. BAEYER ein Mittel an, diese Reflexion von Elektronen auf ein Minimum herabzusetzen. Wenn man nämlich vor die Auffangplatte ein Drahtnetz bringt und dieses gegen die Platte negativ aufladet, so findet bei geeigneter Wahl dieses Potentials keine wesentliche Reflexion mehr statt. Dieses Mittel wurde

<sup>1)</sup> l. c.

<sup>2)</sup> O. v. BAEYER, Verh. d. Deutsch. Phys. Ges. 10, 96, 1907

nach vielen Vorversuchen ergab sich schließlich folgende Versuchsanordnung, die Fig. 4 wiedergibt.

in einem durch die Quarzplatte *G* verschlossenen Glasrohre befand sich die isoliert eingeführte Elektrode *A*, an der durch den Strom die Elektronen erzeugt werden sollten. Die ebenfalls isolierte Auffangeplatte *B* befand sich in einem von ihr umgebenen Faradaykäfig *C*, der vorn durch ein Drahtnetz aus ganz feinen Drähten geschlossen war. *E* ist ein Drahtnetz, welches elektrischen Schutz diente, *D* und *F* zwei Glimmerdiaphragmen, die das Licht von *E* fernhalten. Das Ganze wurde



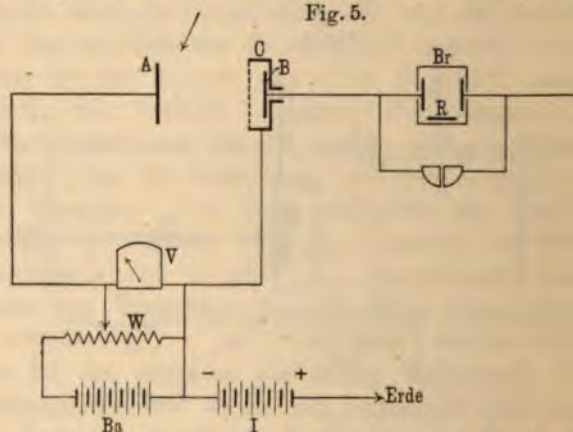
in gleicher Weise, wie bei den oben beschriebenen Versuchsanordnungen, mit Hilfe von Kokosnußkohle und flüssiger Luft ausgepumpt. Als Lichtquelle diente wieder die Quarzquecksilberlampe.

Die Schaltung ist aus Fig. 5 ersichtlich. Die Elektroden sind dieselben Bezeichnungen wie in Fig. 4 — lag angeschlossen dem Bronsonwiderstand *Br* und dem Elektrometer an der Messanordnung.

Die Elektrode *A*, der Käfig *C*, ebenso wie die Batterie *Ba*, der Widerstand *W* und das Voltmeter *V* — alle isoliert aufgestellt — wurden durch die Batterie *I* auf ein negatives Potential aufgeladen. Die Batterie *Ba* und der Widerstand *W* dienten, wie in der ersten Versuchsanordnung (siehe Fig. 2), zum Verlangsamen bzw. Verlangsamen der an *A* erzeugten Elektronen.

Um das Potential zu finden, das man zwischen  $A$  und  $C$  anlegen muß, um die Reflexion zu vermeiden, wurde bei 0 Volt zwischen  $A$  und  $C$  gemessen als Funktionspotential zwischen  $C$  und  $B$ . Es ergab sich, daß von  $A$  an der Effekt nicht mehr zunahm, woraus hervorging, daß diesem Potential an die Reflexion aufhörte. Demgemäß wurde für die in der folgenden Tab. 2 mitgeteilten Messungen zwischen  $C$  und  $B$  ein Potential von 50 Volt gewählt. Die Kurve  $V$  das zwischen  $A$  und  $C$  — siehe Fig. 4 — gemessene Potential<sup>1)</sup> und  $\alpha$  den dazu gehörigen Elektromotor.

Fig. 5.



bedeutet, zerfällt in zwei Teile. Teil I ist mit dem Potential von 50 Volt zwischen  $C$  und  $B$  aufgenommen, Teil II ist mit dem Potential. Im letzteren Falle war  $C$  geerdet.

Der Inhalt der Tab. 2 ist in Fig. 6 graphisch wiedergegeben. Kurve I entspricht dem Teil I und Kurve II dem Teil II der Tab. 2. Bezüglich der Kurve II, die in ihrem Verlauf mit dem gefundenen entspricht, ist zunächst zu bemerken, daß die Erzeugung der Sättigung erforderliche Potential von  $A$  deshalb so viel höher liegt, als bei den Versuchen mit der früheren Versuchsanordnung, weil hier der Abstand  $A-C$  größer war, früher dagegen der entsprechende nur 5 bis 6 mm betrug.

Aus den Kurven I und II der Fig. 6 folgt nun, daß der früher gefundene Verlauf, wie ihn Kurve II darstellt,

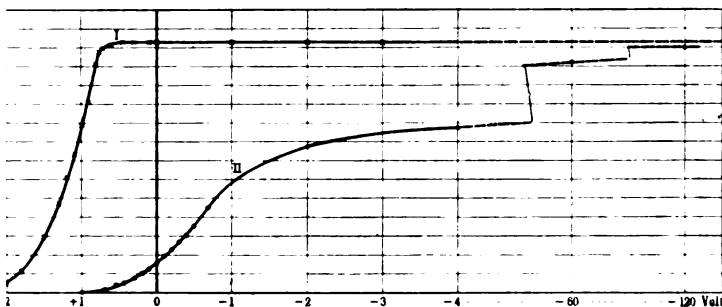
<sup>1)</sup> Es sind hier die verzögernden Potentiale positiv gerechnet.

Tabelle 2.

| I<br>Reflexion<br>nicht verhindert | II<br>Reflexion<br>nicht verhindert |        | I<br>Reflexion verhindert |        | II<br>Reflexion<br>nicht verhindert |          |      |
|------------------------------------|-------------------------------------|--------|---------------------------|--------|-------------------------------------|----------|------|
|                                    | $\alpha$                            | $V$    | $\alpha$                  | $V$    | $\alpha$                            | $\alpha$ |      |
|                                    | 266                                 | -120   | 260                       | + 0,80 | 242                                 | - 0,1    | 39   |
|                                    | 266                                 | - 60   | 244                       | + 0,90 | 208,5                               | $\pm$ 0  | 32   |
|                                    | 266                                 | - 10   | 198                       | + 1,0  | 177,5                               | + 0,12   | 25,5 |
|                                    | 266                                 | - 4    | 176                       | + 1,1  | 147                                 | + 0,20   | 21   |
| 1                                  | 266                                 | - 2    | 156                       | + 1,2  | 122                                 | + 0,30   | 16   |
| 0                                  | 266                                 | - 0,68 | 89                        | + 1,3  | 94                                  | + 0,44   | 10   |
| 5                                  | 266                                 | - 0,50 | 72                        | + 1,5  | 58                                  | + 0,54   | 8    |
| 1                                  | 263                                 | - 0,39 | 61,5                      | + 1,8  | 23                                  | + 0,70   | 3    |
| 2                                  | 258                                 | - 0,30 | 54                        | + 2,0  | 8                                   | + 0,98   | 0    |
| 7                                  | 256                                 | - 0,21 | 46                        | + 2,4  | 0                                   | -        | -    |

Die Sättigungskurve lichtelektrischer Elektronen entspricht, wie durch die an der Auffangeplatte erzeugte Reflexion leicht zu sehen ist. Beseitigt man diese Reflexion, wie in Kurve I zu sehen ist, so zeigt sich, daß schon bei etwa 0,8 Volt Verzögerung

Fig. 6.



vorhanden ist, d. h. daß Geschwindigkeiten kleiner als 0,8 Volt nicht oder nur verschwindend wenig vorkommen. Licht mit den Wellenlängen  $\lambda = 200 \mu\mu$  und  $260 \mu\mu$ , wie es im wesentlichen das in unserer Lichtquelle wirksame ist, scheint in diesen Versuchen an Platin nur Elektronen von Geschwindigkeiten zwischen 0,8 und 2,3 Volt zu erzeugen. Geschwindigkeiten zwischen 0 und 0,8 Volt kommen nicht im wesentlichen

Beträge vor. Ebenso ist der auf die Oberflächenkraft bei 0 Volt früher vorhandene Knick verschwunden.

Zahlenmäßig stimmen die aus der Kurve sich ergebenden Grenzgesehwindigkeiten mit den früher gefundenen überein. Früher waren die Grenzen für 260 bzw. 2,3 bzw. 1,86 Volt, jetzt ergeben sie sich zu 0,8 und 2,3 Volt. Gründe für diese Unterschiede sind folgende: Einmal ist es gar nicht notwendig, daß nur eine einzige Geschwindigkeit eine Wellenlänge ausgelöst wird; es ist vielmehr möglich, daß die durch eine Wellenlänge ausgelösten Geschwindigkeiten bezüglich ihrer Geschwindigkeit um einen Mittelwert differieren, etwa nach dem MAXWELLSchen Verteilungsgesetz.

Ferner aber ist zu bedenken, daß, wie schon O. S. in der oben zitierten Arbeit erwähnt, durch das zwischen Platte *B* und dem Drahtnetz *C* angelegte Potential ein Streufeld entsteht, welches so wirkt, daß dadurch die Elektronen gewisse Beschleunigung erfahren. Annähernd läßt sich dieses Streufeld bestimmen und zwar beträgt die Feldstärke in unseren Dimensionen — Entfernung  $A-C = 6$  cm;  $C-B = 0,5$  cm; Maschenweite des Drahtnetzes 1 mm — die Feldstärke  $= 0,15$  mm — etwa 0,8 Proz.

Dies würde heißen, daß die Kurve um 0,4 Volt nach rechts zu verschieben ist, und daß daher der Abfall schon bei 1,9 Volt Verzögerung beginnt und die Kurve bei 1,9 Volt die X-Achse

An *A* reflektiertes Licht kann hier keinen störenden Effekt ausüben, weil die Platte *B*, an der dasselbe Elektronen ankommt, würde, gegen die Umgebung positiv geladen ist, die Elektronen also keine Elektronen abgibt. Die Kurve II ist ebenfalls Teil II der Tab. 2 vor dem Beginn des durch Licht bedingten negativen Effektes abgebrochen, da hier oben

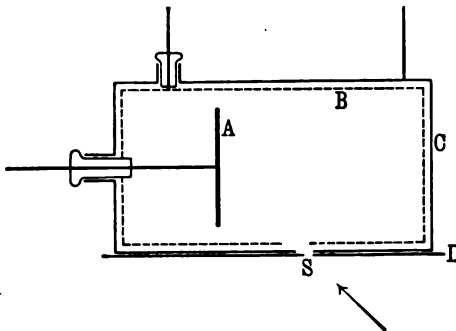
Sehr deutlich war bei diesen Versuchen der Einfluß des Vakuums zu bemerken. Trotzdem das Rohr gutes Röntgenrohr vor Beginn der Kühlung mit flüssiger Luft zeigte, wurde im Falle, daß ohne Feld zwischen *C* und *B* gearbeitet wurde, erst stundenlang gekühlt werden, ehe bei 0 Volt zwischen *C* sich der Effekt in seiner zu diesem Potential entsprechenden Größe zeigte.

folgt daraus, daß die Reichweite dieser langsamen Elektronen erst bei einem sehr guten Vakuum die Größe von 6 cm t, einem Vakuum, das natürlich viel besser sein muß als ge, bei dem man keine Stoßionisation mehr erhält. Man sich dies so vorstellen, daß für langsame Elektronen irkungssphäre der Elektronen viel größer ist als für  $e^1$ ).

ist allerdings auch möglich, daß nicht der Gesamtdruck sein muß, sondern daß für die große Reichweite nur das eines bestimmten Gases notwendig ist.

gegen die Gültigkeit der oben beschriebenen Versuche könnte einwenden, daß über die Größe des Streufeldes und die h bedingte Verschiebung der Kurve keine ganz genauen en möglich sind und daß deshalb der Beweis dafür noch erbracht ist, daß tatsächlich keine Geschwindigkeiten unter lt bei Platin vorkommen. Allerdings können diese Fehler Tatsache des Nichtvorhandenseins einer Oberflächenkraft ändern. Bekannt-

Fig. 7.



hloß man auf das densen in einer sol-Kraft einmal aus sei 0 Volt sich zeie Knick der Sätti-curven und ferner er erst bei hohen einigenden Kräften enden Sättigung. Tatsachen sind bei hier vorliegenden chen nicht vorhanden und treten auch bei einer Paralleliebung der Kurve nicht auf. Es ergibt sich also, daß onen, die einmal die Platte verlassen haben, ohne Feld wieder zu ihr zurückkehren.

man nun von dem Fehler, der eventuell durch das Streufeld sere Versuche hineinkommt, gänzlich frei zu sein, haben in anderes Mittel, die Reflexion zu verhindern, versucht.



O. v. BAEYER hat nämlich bei der Untersuchung d gefunden, daß eine Anordnung, bestehend aus ein Platte mit dicht davor stehendem ebenfalls berußte fast keine Elektronen reflektiert. Um nun außerde störenden Einflüssen frei zu sein, wurde die folgende Ve nung, die Fig. 7 wiedergibt, gewählt. In einen bis auf förmige 4 mm breite und 15 mm hohe Öffnung vol schlossenen Kasten  $C$  von  $8 \times 4 \times 4$  cm war die Elektrode  $A$  isoliert eingeführt. Letztere wurde zur von Lichtreflexion geschwärzt. In dem Messingkast diesem durch Bernsteinstückchen von 3 mm Dicke ein zweiter, ebenfalls mit einem Schlitz versehener K feinem Drahtnetz, und dieser war ebenso wie die In  $C$  mit Lampenruß geschwärzt. Das Glimmerdia schützte den Kasten  $C$  vor Bestrahlung. Die ganze wurde in das auch in der vorigen Anordnung benut (siehe Fig. 4) derart eingesetzt, daß die Platte  $A$  Quarzplatte  $G$  und die Glimmerdiaphragmen bestr konnte. Bezüglich der Meßanordnung sei gesagt, da metallisch miteinander verbunden wurden<sup>1)</sup>, im übrig Erzeugung und Messung des beschleunigenden bzw. Potentials  $V$  zwischen  $C$  und  $B$  einerseits und  $A$  dieselbe Anordnung gewählt war wie im ersten Versu Die Elektrode  $A$  lag an der Meßanordnung.

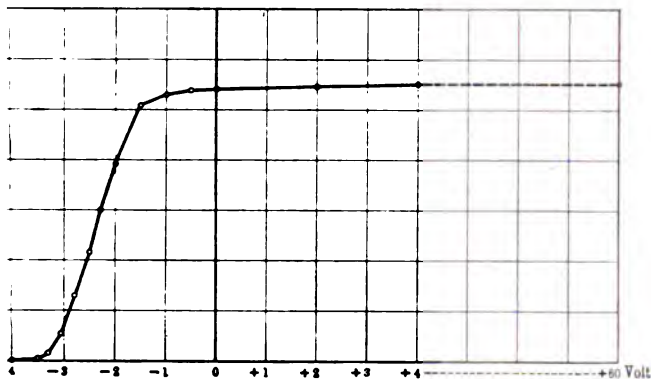
Tabelle 3.

| $V$     | $\alpha$ | $V$    | $\alpha$ | $V$    |
|---------|----------|--------|----------|--------|
| + 60    | 55,3     | - 1,0  | 52,7     | - 2,8  |
| + 4     | 55,1     | - 1,5  | 50,6     | - 3,05 |
| + 2     | 54,6     | - 2,0  | 38,8     | - 3,3  |
| $\pm$ 0 | 53,8     | - 2,27 | 30,0     | - 3,5  |
| - 0,5   | 53,6     | - 2,5  | 21,4     | - 4,0  |

<sup>1)</sup> Der Drahtkäfig  $C$  war von dem Messingkasten  $B$  de um eventuell auch die Möglichkeit zu haben, zwischen beiden Potential herstellen zu können. Ein solches Hilfsfeld ve Reflexion in nicht wesentlich höherem Maße als die benutz ohne Feld.

Resultate für unzerlegtes Licht sind in Tab. 3 zusammengefaßt und in Fig. 8 graphisch wiedergegeben. Die Bezeichnung der Abszissen wie in Tab. 1. Auch hier sind die Abszissen die Potentiale, die Ordinaten die dazu gehörigen Elektrometerausschläge. Die Potentiale beziehen sich auf Elektronen, die an Ruß durch Beschleunigung in den Wellenlängen  $\lambda = 260 \mu\mu$  und  $\lambda = 200 \mu\mu$  erzeugt sind. Man sieht, daß Geschwindigkeiten kleiner als  $1,5 v$  in sehr geringem Maße vorkommen und daß die Hauptmasse der Elektronen mit Geschwindigkeiten zwischen  $1,5 v$  und  $2 v$  die Platte A verlassen. Daß die Geschwindigkeitsgrenzen bei diesen Potentialen liegen als die früher für Platin gefundenen, ist eine gute Übereinstimmung mit der von dem einen von uns

Fig. 8.



bestätigen und für Platin, Kupfer und Zink bestätigten (vgl. Tab. 1), daß bei ein und derselben Wellenlänge einem dickeren Körper ein kleinerer Wert der Anfangsgeschwindigkeit zukommt. Daß die Sättigungskurve der Fig. 8 gut ist wie die der Fig. 6, hat vor allem in der ungeschicklichkeit seinen Grund, das notwendige Vakuum zu erhalten. Bei diesen Versuchen kommt es in noch viel weiterem Maße auf die Güte des Vakuums an, als bei den Versuchen mit Hilfsfeld. Denn dieses saugt gleichsam die steckenden Elektronen an, wirkt also gerade so, wie eine Vergrößerung des Vakuums. Erst nach vielstündigem Kühlen der

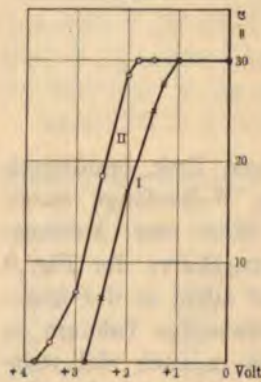
Kohle mit flüssiger Luft wurden die vorliegend (s. Fig. 8) erhalten. Es ist übrigens auch möglichschräg aus der Platte A austretenden Elektronen n Geschwindigkeit besitzen.

Tabelle 4.

| $\lambda = 248 \mu\mu$ |                        |                                     | $\lambda =$ |
|------------------------|------------------------|-------------------------------------|-------------|
| V                      | $\alpha$<br>beobachtet | $\alpha$<br>reduziert <sup>1)</sup> | V           |
| 0                      | 42                     | 30                                  | 0           |
| + 1                    | 42                     | 30                                  | + 1         |
| + 1,3                  | 38,7                   | 27,6                                | + 1,5       |
| + 1,5                  | 35,1                   | 25                                  | + 1,8       |
| + 2,0                  | 23,7                   | 16,9                                | + 2,0       |
| + 2,5                  | 9                      | 6,42                                | + 2,5       |
| + 2,8                  | 0                      | 0                                   | + 3,0       |
| —                      | —                      | —                                   | + 3,5       |
| —                      | —                      | —                                   | + 3,8       |

Die Kurven, die der wahren Geschwindigkeitsver sprechen, werden also noch extremer sein, d. h. der

Fig. 9.



keitsbereich der durch Licht Wellenlängen  $\lambda = 260$  und an Ruß ausgelösten Elektro kleiner als der hier gefunde

Wir haben nun weiter v Kurven für spektral zerlegt zunehmen. Da die Energie, die verschiedenen Diaphragm auf die Platte A werfen kon wie die Größe des lichtelektr an Ruß recht gering war, s mit sehr breitem Spalt am arbeiten müssen und infolged in der vorstehenden Tab. 4 <sup>2)</sup> und den Kurven der Fig. 9 Resultate bei zwei Wellenlängengebieten angestellt, w sind, daß sie nicht nur zusammenstoßen, sondern so

<sup>1)</sup> Reduziert auf dieselbe Maximalenergie wie bei  $\lambda = 2$   
<sup>2)</sup> Die Vorzeichen entsprechen der Tab. 2, vgl. Anm. 1,

ffen. Daher ist der Abfall in den beiden Kurven, von etwa bei der Wellenlänge 240, II bei  $210\mu\mu$  aufgenommen, so steil, wie er sein würde, falls homogenere Strahlen worden wären. Aber auf jeden Fall folgt auch aus Kurven, daß den beiden wirkenden Wellenlängenbereichen Geschwindigkeitsbereiche entsprechen, und es läßt sich wohl ohne Weiteres annehmen, daß jeder wirkenden Wellenlänge eine Geschwindigkeit bzw. ein kleiner Geschwindigkeitsbereich entspricht, der etwa nach dem MAXWELLSchen Verteilungsgesetz eine Hauptgeschwindigkeit verteilt.

Die lichtelektrische Effekt ist also ein reines Resonanzphänomen; durch Licht bestimmter Periode werden die Elektronen im Metall Mitschwingen angeregt, deren Eigenperiode mit der des erregenden Lichtes übereinstimmt; diese Elektronen

schlagen dann die bestrahlte Metallplatte mit einer Geschwindigkeit in einer einfachen Beziehung zu ihrer Schwingungsgeschwindigkeit ab. Je größer die letztere, desto größer auch die Geschwindigkeit.

Lin, Physikalisches Institut der Universität, Juni 1908.

**AEF.****Ausschuß für Einheiten und Formeln**

Der Ausschuß für Einheiten und Formelgrößen hat nachfolgenden drei Entwürfe: I. Begriffsbestimmung Potentialdifferenz, Elektromotorische Kraft, Spannungsdifferenz; II. Leitfähigkeit und Leitwert; III. Der Wärmischen Wärmeäquivalents gemäß § 4, Abs. 3 seiner Satzung (diese Verh. 9, 95, 1907) zur Beratung, und lädt die beteiligten Vereine ein, ihm das Ergebnis ihrer Beratungen bis zum 1. Juni 1909 mitzuteilen. Zur gleichen Frist kann auch jeder der beteiligten Vereine sich zu den Entwürfen äußern. Berlin, Juni 1908.

**I. Begriffsbestimmung für Potential, Potentialdifferenz, Elektromotorische Kraft, Spannung, Spannungsdifferenz.**

**Definitionen und Leitsätze.**

(Die gewählten Formelzeichen sind nur vorläufig einzuhalten.)

1. Zwischen den Punkten  $A$  und  $B$  besteht eine Spannung  $P_{AB}$ , wenn die Arbeit  $\varepsilon \cdot P_{AB}$  aufgewendet werden muß, um die Elektrizitätsmenge  $\varepsilon$  von  $B$  nach  $A$  zu schaffen.

Die elektrische Spannung  $P_{AB}$  ist demnach immer ein Wert und ihrem Vorzeichen nach gleich der Arbeit, die aufgewendet werden muß, um die positive Einheit der Elektrizitätsmenge von  $B$  nach  $A$  zu schaffen.

Ist die Größe dieser Arbeit von dem Wege zwischen  $A$  und  $B$  abhängig, so ist der Weg anzugeben.

Die Spannung bezieht sich immer auf zwei Punkte.

2. Ist die Arbeit, die aufgewendet werden muß, um die positive Einheit der Elektrizitätsmenge von dem Punkt  $B$  nach dem Punkt  $A$  zu schaffen, ihrer Größe nach von dem Wege zwischen  $A$  und  $B$  unabhängig, so bezeichnet man die Spannung als Potentialdifferenz  $\Delta_{AB}$  zwischen  $A$  und  $B$ .

3. Der Minuend der Potentialdifferenz ist das Potential von  $A$ , der Subtrahend das Potential von  $B$ . Das Potential der Erde wird in der Regel gleich Null gesetzt. Demnach

potential  $V$  eines Punktes schlechthin seine Potential-  
gegen die Erde zu verstehen.

st aber zu beachten, daß das Potential in mehrfach zu-  
hängenden Räumen oft vielwertig ist und daß in Wirbel-  
überhaupt kein Potential besteht.

Potential bezieht sich immer auf einen Punkt, die  
differenz auf zwei Punkte.

Unter der Spannungsdifferenz  $P_1 - P_2$  ist die Diffe-  
renz Spannungen zu verstehen. Sie bezieht sich immer  
auf zwei Punkte.

Unter Elektromotorischer Kraft (EMK) versteht man  
die Kraft eines Systems (einer Elektrizitätsquelle), Spannungen  
zu erzeugen. Die EMK wird gemessen durch die Spannung  
zwischen den Enden der offenen Elektrizitätsquelle.

Wenn es sich um die in einem geschlossenen Kreise  
wirkende EMK handelt, denke man sich den Kreis auf-  
zuwickeln und die Spannung längs der unendlich kurzen Ver-  
binde zwischen den Enden gemessen.

In diesen Definitionen ist angenommen, daß das ursprüng-  
liche elektrische Feld durch die hinzugedachte positive  
Elektrizitätsmenge nicht verändert wird.

Erläuterungen von H. GÖRGES und H. RUBENS.

Die Größe, die in der Technik meistens „Spannung“ oder  
„Spannungsdifferenz“, mitunter auch „Potential“ genannt wird,  
ist in der Praxis vollkommen unentbehrlich, da man es in den  
Anwendungen des elektrischen Stromes fast stets nur mit Teilen  
des Stromkreises, nicht mit dem ganzen in sich geschlossenen  
Stromkreis tun hat. Wäre dies der Fall, so könnte man mit der  
Anwendung des Ohmschen Gesetzes kommen. Was gewünscht wird, ist die Anwendbarkeit  
des Ohmschen Gesetzes auf einen einzelnen Stromzweig in der

$$J = \frac{P}{W} \quad \text{oder} \quad J = \frac{P - E}{W},$$

wo  $J$  die Spannung zwischen den Enden nach Definition 1,  
 $E$  die elektromotorische Gegenkraft,  $W$  den Widerstand des  
Stromzweiges bedeutet.

Die Spannungsdifferenzen spielen besonders in den Leitungsnetzen eine Rolle. Es ist daher eine Bezeichnung „Spannung“ und „Spannungsdifferenz“ einander zu halten.

Ohne den Potentialbegriff kann man in der nicht auskommen, wenn man nicht auf Bequemlichkeit will. Die Wissenschaft kann ihn nicht entbehren.

Das Potential aus der Potentialdifferenz herzuleiten ist ein erheblicher Schönheitsfehler. In Wirklichkeit ist die Potentialdifferenz der einfachere Begriff, aus dem die willkürliche Festlegung des Nullpotentials der Potential gewonnen wird.

Das Potential ist in mehrfach zusammenhängenden vieldeutig, bleibt aber auch in diesen Fällen eine wohldefinierte Größe<sup>1)</sup>. In Wirbelfeldern dagegen existiert kein Potential, aber herrscht auch dort im allgemeinen zwischen zwei Punkten eine von dem Wege abhängige Spannung, deren Wert das Linienintegral der elektrischen Kraft längs dieses Weges ist.

Man könnte bei Potentialdifferenzen auch an Potentialen denken, doch ist dies nicht üblich. Die Induktionsspannung beschränkt sich auf örtliche Differenzen. Es ist daher die örtliche Potentialdifferenzen als solche zu bezeichnen.

Die für die EMK gewählte Definition geht von der Elektrostatik aus, daß auf einem Leiter über dem Potential herrschen muß, wenn nicht eine EMK vorhanden ist.

Bei einem ruhenden Leiter ist die induzierte EMK dem Gesetz:

$$e = - \frac{d\Phi}{dt} 10^{-8} \text{ Volt,}$$

worin  $\Phi$  der vom Leiter umschlossene magnetische Fluß ist, nur für eine in sich geschlossene Schleife gilt. Man kann aber annehmen, daß ein Schnitt den Fluß nicht ändert und kann sie dann ebenfalls durch die Induktionsspannung zwischen den Enden des offenen Kreises messen. Hier ist der Begriff der induzierten EMK ohne Zwang auf einen Stromkreis beschränkt, eine Beschränkung, die

<sup>1)</sup> Zum Beispiel ist auch in diesem Falle die elektrische Feldstärke gleich der negativen Derivierten des Potentials nach der betreffenden Richtung.

g vorgenommen wird. Denn ohne eine solche Beschränkung es nicht statthaft, von der EMK der Wickelung einer  $\varepsilon$  oder eines Transformators zu sprechen, die durch einen  $n$  vielleicht vielen Kilometern geschlossen oder auch gar geschlossen ist.

Formelzeichen erforderlich waren, sind solche vorbehalten. Änderung vorläufig eingesetzt worden.

## II. Leitfähigkeit und Leitwert.

Reziproke des Widerstandes heißt Leitwert, seine Einpraktischen elektromagnetischen Maßsystem Siemens; Symbol für diese Einheit ist  $S$ .

Reziproke des spezifischen Widerstandes heißt Leitleitheit oder spezifischer Leitwert.

Erörterungen von J. TEICHMÜLLER und M. WIEN.

Der Begriff des elektrischen Widerstandes (und des reinen elektrischen Widerstandes) ist uns im allgemeinen so geläufiger ist als der des elektrischen Leitwertes (und des reinen elektrischen Leitwertes), kann im wesentlichen nur nicht erklärt werden, denn weder verdient vom wissenschaftlichen Standpunkte aus der eine der beiden Begriffe den Vorzug, wenn man allgemein behaupten, daß der eine oder der andere anschaulicher oder bei den Rechnungen bequemer wäre. Ist eben so bequem, das OHMSche Gesetz in der Form  $W$ , wie in der Form  $E \cdot F = J$  auszudrücken. Gewisse Rechnungen lassen sich bequemer mit Widerständen, andere bequem mit Leitwerten ausführen. Als einfachste typische Beispiele dienen die Sätze, daß Widerstände in Reihenschaltung einfach addieren und andererseits bei Parallelschaltung Leitwerte einfach zu addieren sind, um den Leitwert einer Kombination zu ergeben. Der Vorteil, in manchen Fällen mit Leitwerten zu rechnen, springt wohl am deutlichsten in die Augen, wenn die Aufgabe gegeben ist, den Meßbereich eines Strommessers durch eine Nebenschließung auf ein bestimmtes Maß zu erhöhen; die noch weit verbreitete Gewohnheit, hierbei mit Widerständen zu rechnen, ist ebenso verkehrt, wenn man bei der verwandten Aufgabe, den Meßbereich eines



Spannungsmessers durch Vorschaltung zu vergrößerten werten rechnen wollte. Bei den verwickelteren Wechselstromkreisen kann der Vorteil einer scheidung beider Rechnungsarten in bestimmten Fällen empfunden werden.

In bezug auf die Anschaulichkeit würde man sich dem Leitwert den Vorzug zuerkennen, wenn die uns nicht auf den anderen Weg geführt hätte, des eines leitenden Körpers, zum mindesten im technischen liegt in seinem spezifischen Leitwert und nicht in hiervon. Als Beweis hierfür dürfte die Tatsache zu sein, daß in der Technik und im Handel die Güte eines kupfers heute noch, trotz der historischen Gewöhnung des spezifischen Widerstandes, nach dem spezifischen beurteilt wird.

Für den reziproken Begriff des Widerstandes wird Name Leitfähigkeit, für den des spezifischen der Name spezifische Leitfähigkeit üblich, vielfach unter Leitfähigkeit schlechthin die spezifische verstanden. Hier liegt sogar schon eine von wenig beachtete förmliche Vereinbarung vor; die Deutsche Gesellschaft für angewandte Physikalische Chemie hat 1897 beschlossen, mit „Leitfähigkeit“ das Reziproke des Widerstandes zu benennen. Es kommt daher mehr in Frage, dem Namen Leitfähigkeit den Begriff schon etwa wieder nehmen zu wollen, um so weniger Spezifische nach etymologischer Deutung schon zukommen. Es muß vielmehr ein neuer Name gefunden werden in diesen Erläuterungen schon benutzte Name „Leitfähigkeit“ geschlagen.

Einen anerkannten Namen für die Einheit des Wertes hat es bisher nicht gegeben. Diese Namen abgesehen davon, daß sie eine unklare Ausdrucksweise den Nachteil, daß die Benutzung des Leitwertes als Größe gehemmt wird. Seit sich dies mehr und mehr gemacht hat, hat sich auch ein Name dafür allmählich der von Lord KELVIN vorgeschlagene Name Mho. Namen haben sich seinerzeit von deutscher Seite gro

Der deutsche Widerspruch wurde mit vollem Recht begründet, daß man den Namen eines deutschen Forschers verstümmeln lassen wollte. Da das Mho sich trotzdem eingebürgert hat, so handelt es sich jetzt nicht mehr überhaupt ein Name eingeführt werden soll, sondern einen Namen, gegen den wir Deutsche Einspruch erhoben wieder beseitigen. Eine einfache Ablehnung von unserer Seite nützt nicht, wir müssen, um den uns mißliebigen Namen abzugeben, einen anderen vorschlagen und ihm Anerkennung verschaffen suchen. Es fragt sich, ob der Name Siemens ist.

Könnte hier das Bedenken erhoben werden, daß eine Verengung mit der Siemenseinheit möglich wäre. Dieses kann aber nicht als stichhaltig anerkannt werden; einerseits ist „Siemens“ von „Siemenseinheit“ zu verschieden, andererseits liegt der Gebrauch der Siemenseinheit zeitlich zu weit ab als daß Kollisionen zu befürchten wären. Ein anderes Bedenken könnte das sein, daß man den Namen „Siemens“ für eine leistungsvollere Einheit aufsparen möchte. Dieses Bedenken kann jedenfalls der nicht teilen, der von der Wichtigkeit der internationalen Brauchbarkeit des Leitwertes durchdrungen ist; der Begriff als gleich wichtig mit dem des Widerstandes ist, so steht der Name „Siemens“, in unmittelbarer Nachbarschaft des Namens „Ohm“, auch auf gleicher Höhe, was wohl nicht messen gelten wird und auch deshalb als wünschenswert angesehen werden kann, weil die Siemenseinheit dem Ohm hat entsprechen müssen. Schließlich entspricht es auch dem Interesse der deutschsprechenden Völker, nicht nur das Mho zu beseitigen, sondern einen deutschen Namen an seine Stelle zu setzen. International verständlich muß dahin gestrebt werden, dem Namen „Siemens“, wenn er von den im A E F. vertretenen Körpern angenommen sein wird, internationale Anerkennung zu verschaffen.

Dem Vorschlage ist nicht gesagt worden, ob der spezifische Widerstand auf 1 m Länge und 1 qmm Querschnitt, oder auf 1 cm Länge und 1 qcm Querschnitt bezogen werden soll. Das muß international nach richten, ob der spezifische Widerstand auf Quadratmeter, Meter oder Quadratcentimeter, Centimeter bezogen wird

**III. Der Wert des mechanischen Wärmeäquivalents**

1. Der Arbeitswert der 15°-Kalorie ist:  
4,189 · 10<sup>7</sup> Erg.
2. Der Arbeitswert der mittleren (0° bis 100°) dem Arbeitswert der 15°-Kalorie als gleich.
3. Der numerische Wert der Gaskonstante ist  
 $R = 0,8316 \cdot 10^8$ , wenn als Einheit der Arbeit die Kalorie gewählt wird;  
 $R = 1,985$ , wenn als Einheit der Arbeit die 15°-Kalorie gewählt wird.
4. Die Konstante des JOULESchen Gesetzes ist

**Erläuterungen von KARL SCHEEL und R.**

In einer ausführlichen kritischen Untersuchung der Wärmeinheit gelangte vor nahezu einem Jahrzehnt zu dem Resultat, man solle als praktische Wärmeinheit die 15°-Kalorie, d. h. diejenige Wärmemenge festsetzen, welche bei der Erwärmung von 14<sup>1</sup>/<sub>2</sub> auf 15<sup>1</sup>/<sub>2</sub>° nach dem Wasserstoffthermometer zugeführt wird. Sein Vorschlag gründete sich auf die Tatsachen, daß die Temperaturvariation der spezifischen Wärme des Wassers von 15° am besten gekannt und außerdem nur klein ist. Daß 15° der Zimmertemperatur sehr nahe liege, und daß die 15°-Kalorie bereits von mehreren Seiten vorgeschlagen und benutzt worden sei und darum am meisten auf allgemeine Anerkennung rechnen könne.

Die letzten Jahre haben dem Vorschlag WARBURG's die Geltung verholfen. Die Aufgabe, die Wärmeinheit zur Arbeitseinheit nach dem heutigen Stand der Wissenschaft zu fixieren, läßt sich also dahin präzisieren, daß das Verhältnis der 15°-Kalorie zur Arbeitseinheit festzustellen. Die Durchführung dieser Aufgabe wird dadurch erleichtert, daß die neueren Bestimmungen des mechanischen Wärmeäquivalents entweder bereits direkt auf diese Temperatur bezogen sind oder sich leicht darauf reduzieren lassen.

<sup>1</sup>) E. WARBURG, Referat über die Wärmeinheit, in der gemeinschaftlichen Sitzung der Sektionen für Physik und angewandte Mathematik und Physik am 22. September 1899 auf der Naturforscherversammlung in München, 19 S. Leipzig, Johann Ambrosius Barth, 1900.

Die 15°-Kalorie verdient auch die mittlere Kalorie, hundertste Teil derjenigen Wärmemenge, die 1 g Wasser auf 100° erwärmt, einige Beachtung. Ihr idealer Vorteil darin, daß sie unabhängig von jeder Thermometrie ist und die Kenntnis des Eis- und Siedepunktes des Wassers nicht voraussetzt.

Auch für diese Kalorie liegen einige einwandfreie Bestimmungen des mechanischen Wärmeäquivalents vor. Es wird nützlich sein, auch hierauf kurz einzugehen.

#### L. Arbeitswert der 15°-Kalorie.

Der große Teil der Bestimmungen des Arbeitswertes der 15°-Kalorie ist leider wertlos geworden, weil der thermometrische Vergleich der Untersuchungen den heutigen Forderungen nicht mehr entspricht. Auch die sorgfältigen Versuche JOULES halten in der Achtung der Kritik nicht stand, obgleich mehrfach verurteilt worden ist, seine Temperaturangaben zu verbessern. Nur die Bestimmungen von ROWLAND, MICULESCU, GRIFFITHS, SCHUSTER und BARNES sind als einwandfrei zu erklären, welche sich auf eine wohldefinierte Temperaturskala beziehen, so daß die Umrechnung auf die international als gültig angenommene Temperaturskala vorgenommen werden kann. Bei dieser Umrechnung kommen für die Ableitung des wahrscheinlichsten Wertes des mechanischen Wärmeäquivalents nur noch die Bestimmungen von ROWLAND, MICULESCU, GRIFFITHS, SCHUSTER und BARNES in Frage, deren Resultate im folgenden angegeben werden sollen.

| ROWLAND <sup>1)</sup> | BARTOLI und STRACCIATI <sup>2)</sup> | LÜDIN <sup>3)</sup> | BARNES <sup>4)</sup> | GRIFFITHS <sup>5)</sup> | Mittel |
|-----------------------|--------------------------------------|---------------------|----------------------|-------------------------|--------|
| 1,0019                | 1,0017                               | 1,0010              | 1,0020               | 1,0014                  | 1,0016 |
| 1                     | 1                                    | 1                   | 1                    | 1                       | 1      |
| 0,9986                | 0,9994                               | 0,9994              | 0,9987               | 0,9987                  | 0,9990 |

1) ROWLAND, Proc. Amer. Acad. (N. S.) 7, 75—200, 1880; übersetzt von CHARLES W. WAIDNER und FRANCIS MALLORY, Phys. Rev. 33—236, 1899.

2) BARTOLI und E. STRACCIATI, Cim. (3) 34, 64—67, 1898.

3) LÜDIN, Mitt. Naturw. Ges. Winterthur, Heft 2, S.-A. 13 S., 1900.

4) EDWARD TURNER BARNES, Phil. Trans. (A) 199, 149—263, 1900.

5) H. GRIFFITHS, Phil. Trans. (A) 184, 361—504, 1893. Proc. Roy. Soc. 23—26, 1893. Phil. Mag. (5) 40, 431—454, 1895.

Soweit die Resultate der genannten Experimente nicht schon auf  $15^\circ$  und auf die Wasserstoffskala bezogen werden dürfen sie kleiner Reduktionen, die vorweg erörtert werden.

Die spezifische Wärme des Wassers variiert, wie hervorgehoben, in der Nähe von  $15^\circ$  nur sehr wenig. Berücksichtigen wir auch hier nur solche Bestimmungen, die auf wohldefinierte Temperaturskala zugrunde liegt, so sind die Werte bezogen auf  $15^\circ$  als Einheit, vorstehende Werte (s. Tabelle).

Die Werte stimmen für den vorliegenden Zweck überein. Aus dem Mittel leitet man als Reduktionsfaktor

von  $11,5$  auf  $15^\circ$  (MICULESCU)

$$\frac{1}{1,0011} = 0,9989,$$

von  $19,1$  auf  $15^\circ$  (SCHUSTER und GANNON)

$$\frac{1}{0,9992} = 1,0008.$$

Die Reduktion der Stickstoffskala auf die Wasserstoffskala beträgt nach CHAPPUIS<sup>1)</sup>:

$$\begin{array}{ll} \text{bei } 10^\circ t_H - t_N = - 0,006^\circ, \\ \text{„ } 15^\circ \quad \quad \quad - 0,008^\circ, \\ \text{„ } 20^\circ \quad \quad \quad - 0,010^\circ. \end{array}$$

Ein Grad der Wasserstoffskala ist also in der Nähe von  $15^\circ$  um  $0,0004^\circ$  größer als ein Grad der Stickstoffskala. Die Umrechnung von der Stickstoff- zur Wasserstoffskala ist somit mit dem Wert einer Kalorie mit  $1,0004$  zu multiplizieren. Die Angaben der Luftthermometers ist innerhalb der hier in Frage kommenden Grenzen der Stickstoffskala gleich zu erachten.

Wenden wir uns jetzt zu den einzelnen Beobachtungsergebnissen:

1. ROWLAND<sup>2)</sup>. Die Werte ROWLANDS sind auf die Wasserstoffskala über mechanische Reibung von Wasser abgeleitet. Der mechanische Teil der Arbeit ist sorgfältig ausgeführt und die Temperaturangaben sind in einer „absoluten“ Skala gegeben, indessen entspricht die Berechnung der Temperatur

<sup>1)</sup> P. CHAPPUIS, Trav. et Mém. du Bureau international des Poids et Mesures 6, 119, 1888.

<sup>2)</sup> HENRY A. ROWLAND, Proc. Amer. Acad. (N. S.) 7, 75-

ltenden Grundsätzen. Hierauf hat schon PERNET<sup>1)</sup> hin-  
 e n, der auch versuchte, die ROWLANDSchen Beobachtungen  
 b zu korrigieren. Später haben WAIDNER und MALLORY<sup>2)</sup>  
 ROWLAND benutzten Thermometer unter denselben Be-  
 n, wie sie ROWLAND verwendete, an die internationale  
 geschlossen und damit die ROWLANDSchen Beobachtungen  
 eduzierbar gemacht. Sie leiten für die 15<sup>o</sup>-Kalorie den  
 87.10<sup>7</sup> Erg ab, gültig für die Stickstoffskala, woraus sich  
 a obigen Ausführungen für die Wasserstoffskala der Wert  
 7 Erg berechnet. Die Reduktion der ROWLANDSchen  
 eter auf die Wasserstoffskala durch DAY<sup>3)</sup> hatte kurz  
 n nahezu identischen Wert 4,188.10<sup>7</sup> Erg ergeben. Be-  
 tigt man, daß ROWLANDS Wert der 15<sup>o</sup>-Kalorie als  $\frac{1}{10}$   
 memenge berechnet wurde, die nötig ist, um 1 g Wasser  
 auf 20<sup>o</sup> zu bringen, so sind beide Werte um  $1\frac{1}{2}$  Ein-  
 ler letzten angegebenen Ziffer zu verkleinern. Man hat  
 hießlich als ROWLANDSchen Wert der 15<sup>o</sup>-Kalorie

$$4,187.10^7 \text{ Erg}$$

en.

MICULESCU<sup>4)</sup>. Auch MICULESCU bestimmte den Arbeits-  
 Kalorie mechanisch und zwar mit einer hohen Betriebs-  
 Das Kalorimeter wurde von einer solchen Menge Kühl-  
 umflossen, daß seine Temperatur konstant blieb. Der  
 turunterschied des ein- und austretenden Wassers wurde  
 in Thermoelement gemessen, das an ein TONNELOTSches  
 meter angeschlossen war. Die Beobachtungstemperaturen  
 vischen 10 und 13<sup>o</sup>, betrug also im Mittel 11,5<sup>o</sup>. Bezogen  
 Luftthermometer wird der Arbeitswert einer solchen Kalorie  
 57.10<sup>7</sup> Erg gefunden, woraus sich der Arbeitswert der  
 orie in der Wasserstoffskala zu 4,1857.10<sup>7</sup>.0,9989.1,0004

$$4,183.10^7 \text{ Erg}$$

---

JOHANN PERNET, Vierteljahrsschr. Naturf. Ges. Zürich 41, 121—148, 1896.  
 HARLES W. WAIDNER u. FRANCOIS MALLORY, Phys. Rev. 8, 193—236, 1899.  
 V. S. DAY, Phys. Rev. 6, 193—222, 1898; Phil. Mag. (5) 46, 1—29, 1898.  
 CONSTANTIN MICULESCU, Journ. de phys. (3) 1, 104—120, 1892. Ann.  
 lys. (6) 27, 202—238, 1892.

3. GRIFFITHS<sup>1)</sup>. Die Messungen erfolgten nach der oben beschriebenen Methode dergestalt, daß die Potentialdifferenz an dem Kalorimeter durchfließenden Heizstromes konstant gehalten wurde, während des Stromdurchganges der Widerstand des Kalorimeters gemessen wurde. Der Wasserwert des Kalorimeters wurde durch Wahl verschiedener Mengen der Wasserfüllung eliminiert. Die Versuchsergebnisse sind mit der Darstellung der spezifischen Wärme des Wassers zwischen den Temperaturgrenzen des Kalorimeters 14 und 26° durch die Interpolationsformel  $1 - 0,0004(t - 14)$  vereinbar und liefern für das Wärmeäquivalent der Kälorie bezogen auf das Luftthermometer, den Wert 4,192.10<sup>7</sup> Erg. Der Messung der EMK liegt als Einheit diejenige des Standard Clark-Elementes zugrunde, welche bei 15° gemessen und angenommen wurde. Da aber nach den Messungen der Arbeit der EMK hierfür 1,4329 zu setzen ist, so wird nach GANNON<sup>2)</sup> der Arbeitswert der 15°-Kalorie, bezogen auf die Wärmeäquivalente der Kälorie, gleich  $4,1982 \cdot \left(\frac{1,4329}{1,4342}\right)^2 \cdot 1,0004$ , gleich

$$4,192 \cdot 10^7 \text{ Erg.}$$

4. SCHUSTER und GANNON<sup>3)</sup>. Die benutzte Methode war ebenfalls die elektrische, und zwar wurde wieder die Potentialdifferenz des Heizstromes konstant gehalten, während als Widerstand die Stärke des Stromes mit dem Silbervoltmeter gemessen wurde. Als Endresultat wird der Arbeitswert der Kälorie bezogen auf die Wasserstoffskala zu 4,1917.10<sup>7</sup> Erg angegeben. Dieser Wert ist aus dem gleichen Grunde wie derjenige von GRIFFITHS<sup>1)</sup> der EMK des Clark-Elementes zu reduzieren, und schließlich der Arbeitswert der 15°-Kalorie, gleich

$$4,1917 \cdot \frac{1,4329}{1,4342} \cdot 1,0008 \text{ oder } 4,191 \cdot 10^7 \text{ Erg.}$$

5. (CALENDAR-)BARNES<sup>4)</sup>. Ein konstanter Wasserstrom wurde durch eine von einem Vakuummantel umgebene Röhre geleitet.

<sup>1)</sup> E. H. GRIFFITHS, Phil. Trans. (A) 184, 361—504, 1893; Soc. 55, 23—26, 1893. Phil. Mag. (5) 40, 431—454, 1895.

<sup>2)</sup> Vgl. Phys. Rev. 8, 234, 1899.

<sup>3)</sup> ARTHUR SCHUSTER und WILLIAM GANNON, Proc. Roy. Soc. 1894; Phil. Trans. (A) 186, 415—467, 1894.

<sup>4)</sup> HOWARD TURNER BARNES, Phil. Trans. (A) 199, 149—154, 1894; auch HUGH L. CALENDAR, Phil. Trans. (A) 199, 55—148, 1894.

nen konstanten elektrischen Strom erwärmt, der durch die Achse der Röhre liegenden Draht fließt. Die zugeführte Energie wurde aus der Potentialdifferenz an den Enden des Heizdrahtes und aus seinem Widerstand, die Wärmeleistung aus der Menge des durchfließenden Wassers und der Potentialdifferenz des zu- und abfließenden Wassers ermittelt. Rowland ermittelte ergab sich der Wert der 15°-Kalorie in der Skala des Wasserstoffthermometers, bezogen auf die angenommene EMK des Weston-Standard-Elementes bei 15°, gleich 1,43325 V zu  $4,1840 \cdot 10^7$  Erg. Umgerechnet auf die elektrodynamometrisch gemessene EMK des Weston-Standard-Elementes bei 15° gleich 1,4334 V folgt daraus der Wert der 15°-Kalorie in der Wasserstoffskala gleich

$$4,1840 \cdot \left( \frac{1,4334}{1,43325} \right)^2 \cdot 10004$$

$4,186 \cdot 10^7$  Erg. Eine geringfügige, die Berechnung des Wärmeverlustes betreffende Korrektur von CALLENDAR erhöht den Wert noch um eine Einheit der letzten angegebenen Ziffer auf

$$4,187 \cdot 10^7 \text{ Erg.}$$

stehen somit folgende fünf Werte der Arbeitsgröße der 15°-Kalorie zur Vergleichung:

|                              |       |                     |
|------------------------------|-------|---------------------|
| ROWLAND . . . . .            | 4,187 | 10 <sup>7</sup> Erg |
| MICULESCU . . . . .          | 4,183 | "                   |
| GRIFFITHS . . . . .          | 4,192 | "                   |
| SCHUSTER u. GANNON . . . . . | 4,191 | "                   |
| (CALLENDAR-)BARNES . . . . . | 4,187 | "                   |

Bei der Ableitung eines Schlußresultates ist zu berücksichtigen, daß der Wert von MICULESCU ganz auszuschließen ist, weil dieser Wert aus seinen Versuchen den Wärmeverlust nicht berücksichtigte. Die Länge seines Bremshebels mangelhaft definiert ist. Auch der Wert von SCHUSTER und GANNON ist wegen der geringen Genauigkeit der Einzelversuche und nicht genügender Variation der Versuchsbedingungen nicht mit vollem Gewicht zu bewerten. Dagegen gilt von GRIFFITHS wegen der Unsicherheit betreffend die Temperatur des Heizdrahtes. Das größte Gewicht kommt dem Wert von ROWLAND und (CALLENDAR-)BARNES zu. Alles in Betracht kommt somit als zurzeit wahrscheinlichster Wert der Arbeitsgröße der 15°-Kalorie

$$4,188 \cdot 10^7 \text{ Erg,}$$



ein Wert, der zufällig mit dem Mittel der fünf Bestimmungen übereinstimmt. Sein wahrscheinlicher Fehler  $\pm 0,002 \cdot 10^7$  Erg bewertet werden.

## II. Arbeitswert der mittleren (0 bis 100°)-Kalorie

1. REYNOLDS und MOORBY<sup>1)</sup>. Ein Wasserstrom durch das Bremsdynamometer einer 100-pferdigen Dampfmotor und verläßt dasselbe mit der Temperatur 100°. Die mittlere Kalorie zu

$$4,183 \cdot 10^7 \text{ Erg.}$$

2. BARNES<sup>2)</sup>. Die Versuche, über die schon oben berichtet wurde, wurden nicht nur für die 15°-Kalorie, sondern auch für die 95° von 5 zu 5° angestellt. Der Mittelwert aller Bestimmungen wird zu  $4,1833 \cdot 10^7$  Erg angegeben. Unter Berücksichtigung der Werte bei 0° und 100° berechnet sich hieraus der Wert der mittleren Kalorie gleich

$$4,186 \cdot 10^7 \text{ Erg.}$$

3. DIETERICI<sup>3)</sup>. Die einem Eiskalorimeter zuzuführende elektrische Energie wurde aus Spannungsmessungen abgemessen. Unter der Annahme von 15,491 mg Hg als Eiskalorimetergewicht, welche DIETERICI selbst direkt bestimmt hatte, wurde der Wert der mittleren Kalorie zu

$$4,192 \cdot 10^7 \text{ Erg}$$

gefunden.

Die drei Werte für die mittlere Kalorie stimmen miteinander überein. Ihr Mittelwert  $4,187 \cdot 10^7$  Erg mit dem wahrscheinlicher Fehler vielleicht gleich  $\pm 0,004 \cdot 10^7$  Erg werden darf, ist dem angenommenen Wert der Arbeit der 15°-Kalorie innerhalb des wahrscheinlichen Fehlerverhältnisses gleich. Bis weitere Versuche vorliegen, kann man deshalb den Arbeitswert der mittleren Kalorie mit demjenigen der 15°-Kalorie anzusehen haben.

<sup>1)</sup> OSBORNE REYNOLDS u. W. H. MOORBY, Proc. Roy. Soc. 6

<sup>2)</sup> HOWARD TURNER BARNES, Phil. Trans. (A) 199, 14

<sup>3)</sup> C. DIETERICI, Ann. d. Phys. (4) 16, 593—620, 1905.

von Friedr. Vieweg & Sohn in Braunschweig.

## **rotechnik in Einzel-Darstellungen**

**Mitwirkung hervorragender Fachmänner herausgegeben von**

**Dr. Gustav Benischke**

**enen bisher:**

**Erstes Heft:**

**ntzvorrichtungen der Starkstromtechnik gegen atmo-  
rische Entladungen von Dr. Gustav Benischke. Mit 43  
ldungen. Preis geh. *M* 1.20, geb. *M* 1.60.**

**ift für Elektrotechnik: . . . Wenn alle übrigen Hefte dieses Sammelwerkes die  
ngte und dennoch für den angestrebten Zweck vollständig hinreichende Darstellung  
igen Stoffes aufweisen, dann wird dasselbe zweifellos gesucht sein.**

**Zweites Heft:**

**allebetrieb von Wechselstrommaschinen von Dr. Gustav  
schke. Mit 43 Abbild. Preis geh. *M* 1.20, geb. *M* 1.60.**

**e Industrie-Zeitung: . . . Neuartig ist auch das zweite Bändchen mit einer  
n Darstellung der eigentümlichen Verhältnisse, insbesondere der Störungen, die  
lbetrieb von Wechselstrommaschinen vorkommen. Das „Pendeln“ und „Außer-  
olcher Maschinen war noch bis vor kurzem eine Erscheinung, die den Elektro-  
fters Überraschungen und swar höchst unangenehmer Art bereitete.**

**Drittes Heft:**

**ndgesetze der Wechselstromtechnik von Dr. Gustav  
ischke. Mit 113 Abbild. Preis geh. *M* 3.60, geb. *M* 4.20.**

**ift für Elektrotechnik: . . . Insbesondere ist die Art der Darstellung hervor-  
n Darstellung vom einfachsten Fall ausgeht, die physikalische Erscheinung eingehend erörtert,  
stische Behandlung aufs notwendigste beschränkt und mehr Wert auf das Ver-  
auf Berücksichtigung aller Nebenerscheinungen legt.**

**Viertes Heft:**

**abundierenden Ströme elektrischer Bahnen von Dr. Carl  
halke. Mit 34 Abbild. Preis geh. *M* 2.50, geb. *M* 3.—.**

**technische Zeitschrift: Das 4. Heft der rühmlichst bekannten Benischkeschen  
von Sonder-Abhandlungen aus der Elektrotechnik ragt weit über das Niveau  
Monographie heraus. Herr Dr. Michalke hat in diesem Buche auf Grund einer  
Beherrschung des gesamten Materials, das über die Erdströme elektrischer Bahnen  
gt, in knapper, überaus klarer Form eine Arbeit geschaffen, die als wertvollster  
für das Verständnis der Motive aller der verschiedenen sicherheitstechnischen Bahn-  
zsw. gelten muß.**

**Fünftes Heft:**

**ynchronen Drehstrommotoren, ihre Wirkungsweise,  
ifung und Berechnung von Dr. Gustav Benischke. Mit  
arb. Taf. und 112 Abbild. Preis geh. *M* 5.50, geb. *M* 6.—.**

**technische Zeitschrift: . . . Das Buch ist durchweg flüssig und leicht verständ-  
eben. . . . Der Studierende wird aus der eleganten Art, in der bald die Kraftfelder  
die Selbstinduktionskoeffizienten eingeführt werden, lernen, beide Methoden gleich-  
fassen.**

---

**ausführliches Prospektheft kostenlos.**

Sechstes Heft:

**Die elektrischen Bogenlampen, deren Prinzip, Bauart und Anwendung** von J. Zeidler. Mit 130 Abbildungen auf 12 Tafeln. Preis geh. *M* 5.50, geb. *M* 6.—.

**Elektrotechnik und Maschinenbau:** . . . Das Werk wird seiner Klarheit und kann wärmstens empfohlen werden. Lob verdient auch die große Anzahl von besonders die ungewöhnlich klaren und schönen Abbildungen.

Siebentes Heft:

**Aufnahme und Analyse von Wechselstromkurven** von Dr. Ernst Orlich. Mit 71 Abbildungen. Preis geh. *M* 4.—.

**Elektrische Bahnen und Betriebe:** Dieser neue Band der *Beiträge zur Elektrotechnik in Einzeldarstellungen* stellt eine wichtige Bereicherung und einen von welcher praktischen Bedeutung das hier behandelte Gebiet ist, wird recht einleuchtend, von dem erst jüngst in der Fachpresse berichtet worden um eine unerträgliche Lärmerscheinung, die an Bogenlampen beobachtet wurde, gewisses größeres Drehstromnetz angeschlossen waren. Als Ursache ergab sich die Kurve einen überaus unglücklichen Verlauf hatte, insofern, als durch den Generator Obertöne in der Welle enthalten waren, deren hoher Puls des Lichtbogens hervorrief. Um so verdienstvoller ist daher die vorliegende Literatur nicht bloß sammelt und sichtet, sondern auch selbständig durch den Verfasser durch eigene theoretische und experimentelle Arbeiten auf diesem Gebiete kennt wie wenig andere.

Achstes Heft:

**Lichtstrahlung und Beleuchtung** von Paul Högnel. Mit 10 Abbildungen. Preis geh. *M* 3.—, geb. *M* 3.50.

**Annalen der Elektrotechnik:** Das Bändchen soll den Elektrotechniker bei der Bestimmung und Ausführung von Beleuchtungsanlagen, insbesondere bei der Bestimmung der Stärke der Bogenlampen, unterstützen. Der Verfasser hat nicht leichteste Probleme in vorzüglicher Weise zu behandeln, weshalb er nur solche mit Beleuchtungsprojekten zu tun haben, oder welche sich über die Beleuchtung in Betracht kommenden Momente unterrichten wollen, bestens

Neuntes Heft:

**Die elektrischen Bahnen und ihre Betriebsmittel** von Herbert Kyser. Mit 73 Abbild. u. 10 Tafeln. Preis geh. *M* 6.—.

**Deutsche Straßen- und Kleinbahn-Zeitung:** Das vorliegende Werkchen ist geschrieben und wird als erste Einführung in das weite Gebiet des elektrischen Betriebes von manchem Nutzen sein, so vor allem das im zweiten Kapitel sehr klar und verständlich der Gleich- und Wechselstrommotoren von jenen Gesichtspunkten aus, die im Bahnbetrieb bestimmen.

Zehntes Heft:

**Die Isoliermittel d. Elektrotechnik** von Ingenieur K. . . Mit 60 Abb. u. einer Ausschlagtab. Preis geh. *M* 5.50.

**Technische Rundschau:** Eine Lücke in unserer deutschen Literatur wird durch dieses Werk ausgefüllt, das den Gegenstand in erschöpfender Weise in ziemlich umfangreichen Kapiteln behandelt. Der Verfasser in übersichtlicher Weise an die Isoliermaterialien, deren Prüfung, Zusammensetzung der wichtigsten Arten, Anwendung und Freileitungsisolatoren. Zahlreiche, gute Illustrationen und verständnis des Textes.

Elftes Heft:

**Die selbsttätige Regulierung der elektrischen Generatoren** von Oberingenieur Dr. ing. Friedr. Natalis. Mit 75 Abbildungen Text und auf 4 Tafeln. Preis geh. *M* 4.—, geb. *M* 5.—.

**Ausführliches Prospektheft kostet**

on Friedr. Vieweg & Sohn in Braunschweig.

# Die Erdströme

tschen Reichstelegraphengebiet

usammenhang mit den erdmagnetischen Erscheinungen.

ung und mit Unterstützung des Reichs-Postamts sowie mit

ng der Königlich preussischen Akademie der Wissenschaften

rage des Erdstrom-Comités des Elektrotechnischen Vereins

bearbeitet und herausgegeben von

**Dr. B. Weinstein,**

Kaiserlicher Regierungsrath und Universitäts-Professor.

Atlas, enthaltend 19 lithographirte Tafeln. gr. 8. Preis geh. 4 *M*

g von Friedr. Vieweg & Sohn, Braunschweig.

# Thermodynamik und Kinetik der Körper von Professor Dr. B. Weinstein.

Band. Allgemeine Thermodynamik und Kinetik und  
orie der idealen und wirklichen Gase und Dämpfe.  
eingedruckten Abbildungen. gr. 8. (XVIII u. 484 Seiten.)  
s geh. *M* 12.—

Band. Absolute Temperatur. — Die Flüssigkeiten.  
Die festen Körper. — Thermodynamische Statik und  
etik. — Die (nicht verdünnten) Lösungen. (XVIII  
586 Seiten.) gr. 8. Preis geh. *M* 16.—

Band, 1. Halbband. Die verdünnten Lösungen. —  
Dissociation. — Thermodynamik der Elektrizität  
l des Magnetismus. (Erster Teil.) (XVI und 464 Sei-  
) gr. 8. Preis geh. *M* 12.—

Band, 2. Halbband. Thermodynamik der Elektrizität  
l des Magnetismus. (Zweiter Teil.) — Elektrochemie.  
8. Preis geh. *M* 24.—

Zu beziehen durch alle Buchhandlungen.



# Berichte der Deutschen Physikalischen Gesellschaft

enthaltend

## Verhandlungen

der Deutschen Physikalischen Gesellschaft  
im Auftrage der Gesellschaft herausgegeben

von

Karl Scheel

und

## Halbmonatliches Literaturverzeichnis

der „Fortschritte der Physik“, dargestellt von der  
Deutschen Physikalischen Gesellschaft

redigiert von

Karl Scheel

für reine Physik

Richard Assmann

für Kosmische Physik

### Inhalt.

1. Verhandlungen der Deutschen Physikalischen Gesellschaft. (Fehlen.)
2. Halbmonatliches Literaturverzeichnis der Fortschritte der Physik.  
I. Allgemeine Physik. S. 269. — II. Akustik. S. 271. — III. Physikalische  
Chemie. S. 271. — IV. Elektrizität und Magnetismus. S. 273. — V. Optik  
des gesamten Spektrums. S. 277. — VI. Wärme. S. 280. — VII. Kosmische  
Physik. S. 282.

---

**Braunschweig**

Druck und Verlag von Friedrich Vieweg und Sohn

1908

**Photometer**  
**Spektral-Apparate**  
**Projektions-Apparate**  
**Glas-Photogramme**  
**Physik. Apparate n. Prof. Grims**  
**Optisches Institut von A. K**  
 Inhaber: Dr. Hugo Krüss. HAM

|   |   |
|---|---|
|  <p> <b>Präzisions-Reißzeuge (Runds</b><br/> <b>Nickelstahl-Kompensations</b> </p> | <p> <b>Astronomische</b><br/> <b>Paris 1900 Gran</b> </p>     |
| <p> <b>Clemens Riefler</b><br/>                 Fabrik mathemat. Instrumente<br/> <b>Nesselwang u. München</b><br/>                 Bayern.             </p>        | <p>                 Illustrierte Preislisten             </p> |

Verlag von Friedr. Vieweg & Sohn in Braun

## Wissenschaftliche Luftfa

Ausgeführt vom Deutschen Verein zur Förderung d  
 fahrt in Berlin. Unter Mitwirkung von *O. Bas*  
*Bezold, R. Börnstein, H. Gross, V. Kremser,*  
*R. Süring* herausgegeben von **Richard Assmann**  
**Berson**. In drei Bänden. Mit zahlreichen Tabell  
 graphischer Darstellungen, farbigen Vollbildern u  
 dungen. gr. 4<sup>o</sup>. Preis *M* 100.—; herabgesetzter F

Nach jahrelangen Vorbereitungen ist das von der naturwi  
 Welt mit Spannung erwartete große Berichtswerk über die i  
 zehnt des 19. Jahrhunderts mit großen Mitteln neu aufgenommen  
 in der Atmosphäre mittelst des Luftballons erschienen.

Dieses Fundamentalwerk ist für alle **Meteorologen, K**  
**nomen, Geodäten usw.**, ja fast für die ganzen Naturwissenschaftl  
 darin niedergelegten wertvollen Materials für die Physik  
 von der höchsten Bedeutung und kann als ein „standard w  
 werden, wie es bisher noch nicht existiert, sowohl was die Z  
 heit der Beobachtungen selbst, wie auch die strenge Methode  
 der Ergebnisse anlangt.

Zu beziehen durch alle Buchhandlung

# Berichte der Deutschen Physikalischen Gesellschaft

enthaltend

## Verhandlungen

der Deutschen Physikalischen Gesellschaft  
im Auftrage der Gesellschaft herausgegeben

von

Karl Scheel

und

## Halbmonatliches Literaturverzeichnis

der „Fortschritte der Physik“, dargestellt von der  
Deutschen Physikalischen Gesellschaft

redigiert von

Karl Scheel

Richard Assmann

für reine Physik

für kosmische Physik

## Inhalt.

- I. **Verhandlungen der Deutschen Physikalischen Gesellschaft.** Heinrich Erfle, Bemerkung zu der Arbeit von Herrn Fr. Schön: „Beiträge zur Kenntnis der anomalen Dispersion von Metalldämpfen“. (Eingegangen am 30. Juli 1908.) S. 591. — Erich Marx, Antwort auf die zweite Mitteilung der Herren Franck und Pohl, betreffend die Frage der Geschwindigkeit der Röntgenstrahlen. (Eingegangen am 2. August 1908.) S. 597. — M. Thiesen, Berichtigung zu dem Aufsätze: Die Zustandsgleichung der Metalle. Mitteilung aus der Physikalisch-Technischen Reichsanstalt. (Eingegangen am 6. August 1908.) S. 604. — **2. Halbmonatliches Literaturverzeichnis der Fortschritte der Physik.** I. Allgemeine Physik. S. 291. — II. Akustik. S. 293. — III. Physikalische Chemie. S. 294. — IV. Elektrizität und Magnetismus. S. 296. — V. Optik des gesamten Spektrums. S. 299. — VI. Wärme. S. 301. — VII. Kosmische Physik. S. 303.

**Braunschweig**

Druck und Verlag von Friedrich Vieweg und Sohn

1908



**Photometer  
 Spektral-Apparate  
 Projektions-Apparate  
 Glas-Photogramme  
 Physik. Apparate n. Prof. Grims**  
**Optisches Institut von A. I.**  
 Inhaber: Dr. Hugo Krüss. HAN

**Max Kohl \* Chemni**

Werkstätten für Präzisions-Mechanik  
 liefert als Spezialität:

**Komplette Einrichtungen f. physikalische  
 und chemische Laboratorien,  
 Physikalische und chemische Apparate  
 und Gerätschaften.  
 Elektrotechnische Abteilung.**

**Notiz:** Außer den in meinem Etablissement vorhandenen modernen  
 Mechaniker-Werkstätten habe ich auch eigene Dampfmaschinen,  
 Metall- und Fein-Lackiererei, Klempnerei, Schlosserei,  
 Teilmaschinen usw. in meiner Fabrik und bin deshalb in der  
 kommenden Arbeiten durch mein eigenes Personal ausführen zu  
 Herren Abnehmer haben dadurch Gewähr, zu mäßigen Preisen  
 Apparate zu erhalten, bei deren Konstruktion stets die neuesten  
 der Wissenschaft gemachten Fortschritte Berücksichtigung findend.  
 40 Beamte, 9600 qm Arbeitsfläche.

**Einrichtungen kompl. Röntgenkammern  
 mit Funkeninduktoren aller Größen und für je  
 art. (Die Kohl'schen Funkeninduktoren werden all  
 preiswertesten und leistungsfähigsten anerkannt.)  
 Neu! Demonstrations-Apparat für  
 photographie nach Prof. Dr. Arthur Korn  
 Neu! Experimentier-Schalttafeln für  
 und größten Stromentnahmen aus dem Leitungsmetz  
 Zentralen. Man verlange Spezial-Prospekt.**

Preislisten mit ausführlichen Beschreibungen, Referenzen usw.

Verlag von Friedr. Vieweg & Sohn in Braunschweig

**Leitfaden der Wetterkunde**

Gemeinverständlich bearbeitet

von Dr. R. Börnstein,

Professor an der Königl. landwirtschaftlichen Hochschule zu Braunschweig

Zweite Auflage. Mit 61 Abb. u. 22 Taf. gr. 8. Preis geh. 6

# Verhandlungen der Deutschen Physikalischen Gesellschaft

Im Auftrage der Gesellschaft herausgegeben

von

Karl Scheel

---

10. Jahrg.

30. August 1908.

Nr. 15/16.

---

*Bemerkung zu der Arbeit von Herrn Fr. Schön<sup>1)</sup>:  
„Beiträge zur Kenntnis der anomalen Dispersion  
von Metalldämpfen“;  
von Heinrich Erfle.*

(Eingegangen am 30. Juli 1908.)

Durch einige Bemerkungen über die SCHÖNSche Arbeit, die ich in meiner Arbeit „Zur anomalen Dispersion der Metalldämpfe“<sup>2)</sup> machte, sah sich Herr SCHÖN zu einer Erwiderung veranlaßt<sup>3)</sup>.

Ich habe in der zitierten Arbeit ganz kurz die SCHÖNSche Arbeit erwähnt, hauptsächlich deshalb, um zu konstatieren, daß nach der Dispersionstheorie die Dielektrizitätskonstante einer Elektronengattung positiv sein muß, was mit den Messungen SCHÖNS an den Dämpfen von Natrium und Rubidium übereinstimmt, dagegen nicht mit den von SCHÖN im Anschluß an seine Messungen der Dispersionskurven von Lithium, Kalium, Thallium, Silber ausgeführten Berechnungen.

---

<sup>1)</sup> Diese Verh. 10, 434, 1908.

<sup>2)</sup> Diese Verh. 10, 35—53, 1908; vgl. dort die Bemerkungen über die SCHÖNSche Arbeit S. 37 u. 38.

<sup>3)</sup> Diese Verh. 10, 434—445, 1908.

Die SCHÖNSche Methode besteht darin, aus der photographischen Aufnahme erhaltenen gekrümmten Spektren die Annahme eines Brechungsindex  $n = 1$  (nämlich  $n = 1$  für große Wellenlänge näherungsweise gleich 1) die Brechungsindizes im ganzen Spektrum zu bestimmen, bei „kleinstem Prismenwinkel“. An der Richtigkeit und Brauchbarkeit der SCHÖNSchen Methode habe ich nicht gezweifelt, ich halte diese Methode für sehr brauchbar, besonders wenn bei den photographischen Aufnahmen zur Bestimmung der Wellenlängen immer einige schärfe Spektrallinien in der Nähe des Anomaliegebietes photographiert werden<sup>2)</sup>.

Wenn ich damals schrieb<sup>3)</sup>, „SCHÖN hätte eine Darstellung seiner Messungen nur Konstantensysteme mit negativem  $a$  und positivem  $D_m$ , d. h. auch positivem  $m_h$  zulassen“, so war diese Bemerkung doch eigentlich durch die Darstellung von SCHÖNS in seiner Dissertation veranlaßt. SCHÖN schreibt dort<sup>4)</sup>: „Es ist aber eine gewisse Wahrscheinlichkeit, daß sich in der Tat das Vorzeichen der Konstanten in dieser Weise ergeben hat eben wegen dieser Messungsfehler infolge einer fehlerhaften Festlegung der Absorptionen, ja wegen der gewöhnlichen Verbreiterung der Absorptionen, was etwas unsicher ist.“ Dies stimmt nicht mit der Darstellung von SCHÖNS in seiner Erwiderung<sup>5)</sup>.

SCHÖN gibt in seiner Erwiderung<sup>6)</sup> an, meine Bemerkung, daß er für Lithium auch eine Darstellung der Kurven der Kurvenkonstanten neben einer solchen mit negativen Konstanten gefunden hätte, wäre ein Irrtum. Ich will hier nur noch über die Lithiumaufnahme<sup>7)</sup> wiederholen: „Für L

<sup>1)</sup> Vgl. hierzu noch die Berichtigung von SCHÖN, die in den Verhandlungen S. 443 u. 444.

<sup>2)</sup> Auch SCHÖN, ZS. f. wiss. Photogr. 5, 430, 1907, S. 430, 431, 432, 433, 434, 435, 436, 437, 438, 439, 440, 441, 442, 443, 444, 445, 446, 447, 448, 449, 450, 451, 452, 453, 454, 455, 456, 457, 458, 459, 460, 461, 462, 463, 464, 465, 466, 467, 468, 469, 470, 471, 472, 473, 474, 475, 476, 477, 478, 479, 480, 481, 482, 483, 484, 485, 486, 487, 488, 489, 490, 491, 492, 493, 494, 495, 496, 497, 498, 499, 500, 501, 502, 503, 504, 505, 506, 507, 508, 509, 510, 511, 512, 513, 514, 515, 516, 517, 518, 519, 520, 521, 522, 523, 524, 525, 526, 527, 528, 529, 530, 531, 532, 533, 534, 535, 536, 537, 538, 539, 540, 541, 542, 543, 544, 545, 546, 547, 548, 549, 550, 551, 552, 553, 554, 555, 556, 557, 558, 559, 560, 561, 562, 563, 564, 565, 566, 567, 568, 569, 570, 571, 572, 573, 574, 575, 576, 577, 578, 579, 580, 581, 582, 583, 584, 585, 586, 587, 588, 589, 590, 591, 592, 593, 594, 595, 596, 597, 598, 599, 600, 601, 602, 603, 604, 605, 606, 607, 608, 609, 610, 611, 612, 613, 614, 615, 616, 617, 618, 619, 620, 621, 622, 623, 624, 625, 626, 627, 628, 629, 630, 631, 632, 633, 634, 635, 636, 637, 638, 639, 640, 641, 642, 643, 644, 645, 646, 647, 648, 649, 650, 651, 652, 653, 654, 655, 656, 657, 658, 659, 660, 661, 662, 663, 664, 665, 666, 667, 668, 669, 670, 671, 672, 673, 674, 675, 676, 677, 678, 679, 680, 681, 682, 683, 684, 685, 686, 687, 688, 689, 690, 691, 692, 693, 694, 695, 696, 697, 698, 699, 700, 701, 702, 703, 704, 705, 706, 707, 708, 709, 710, 711, 712, 713, 714, 715, 716, 717, 718, 719, 720, 721, 722, 723, 724, 725, 726, 727, 728, 729, 730, 731, 732, 733, 734, 735, 736, 737, 738, 739, 740, 741, 742, 743, 744, 745, 746, 747, 748, 749, 750, 751, 752, 753, 754, 755, 756, 757, 758, 759, 760, 761, 762, 763, 764, 765, 766, 767, 768, 769, 770, 771, 772, 773, 774, 775, 776, 777, 778, 779, 780, 781, 782, 783, 784, 785, 786, 787, 788, 789, 790, 791, 792, 793, 794, 795, 796, 797, 798, 799, 800, 801, 802, 803, 804, 805, 806, 807, 808, 809, 810, 811, 812, 813, 814, 815, 816, 817, 818, 819, 820, 821, 822, 823, 824, 825, 826, 827, 828, 829, 830, 831, 832, 833, 834, 835, 836, 837, 838, 839, 840, 841, 842, 843, 844, 845, 846, 847, 848, 849, 850, 851, 852, 853, 854, 855, 856, 857, 858, 859, 860, 861, 862, 863, 864, 865, 866, 867, 868, 869, 870, 871, 872, 873, 874, 875, 876, 877, 878, 879, 880, 881, 882, 883, 884, 885, 886, 887, 888, 889, 890, 891, 892, 893, 894, 895, 896, 897, 898, 899, 900, 901, 902, 903, 904, 905, 906, 907, 908, 909, 910, 911, 912, 913, 914, 915, 916, 917, 918, 919, 920, 921, 922, 923, 924, 925, 926, 927, 928, 929, 930, 931, 932, 933, 934, 935, 936, 937, 938, 939, 940, 941, 942, 943, 944, 945, 946, 947, 948, 949, 950, 951, 952, 953, 954, 955, 956, 957, 958, 959, 960, 961, 962, 963, 964, 965, 966, 967, 968, 969, 970, 971, 972, 973, 974, 975, 976, 977, 978, 979, 980, 981, 982, 983, 984, 985, 986, 987, 988, 989, 990, 991, 992, 993, 994, 995, 996, 997, 998, 999, 1000.

Vorschlag.

<sup>3)</sup> l. c. S. 38.

<sup>4)</sup> SCHÖN, ZS. f. wiss. Photogr. 5, 430 oben; hierbei ist nicht nur auf die Lithiumaufnahme.

<sup>5)</sup> l. c. S. 438 unten und 439 oben.

<sup>6)</sup> l. c. S. 438.

<sup>7)</sup> l. c. S. 37.

SCHÖN, daß auch eine Darstellung seiner Messungen durch  $D_m$  möglich ist“ usw. Diese meine Behauptung ist aber in den Angaben SCHÖNS in dem Auszug aus seiner Dissertation kein Irrtum; denn dort sagt SCHÖN im Anschluß an die Angaben eventueller Fehlerquellen seiner Messungen: „Ist mir die Lithiumaufnahme praktisch keine Möglichkeit gegeben, bestimmter Weise für die eine oder andere Formel zu entscheiden...“ und meint doch damit, daß seine Lithiumaufnahme sowohl durch eine Formel mit negativem  $D_m$  als auch durch eine mit positivem  $D_m$  dargestellt werden kann<sup>2)</sup>. Ich möchte bemerken, daß ich noch in der zitierten Abhandlung<sup>3)</sup>: SCHÖN negative  $m_h$  (d. h. auch  $D_m$ ) findet, rührt offenbar daran, daß bei seinen Messungen die Lage der brechenden Kante des Dampfprismas unbekannt war.“ Hierbei war ich allerdings ausführlich genug. Wie SCHÖN in seiner Erwiderung richtig bemerkt<sup>4)</sup>, braucht bei seinen Messungen die Lage der brechenden Kante des Dampfprismas gar nicht bekannt zu sein, und das war der mich leitende Gedanke: Wenn die Lage der brechenden Kante bekannt gewesen wäre, dann hätte man Lithium zwischen den zwei Möglichkeiten, ob  $D_m$  positiv oder negativ ist, entschieden werden können. Denn wenn  $\alpha$  negativ sind, dann wäre für  $\lambda > \lambda_m$   $n < 1$ , d. h. für diese Wellenlänge müßten nach der brechenden Kante (in den dünneren Teil des Prismas) hin abgelenkt werden! Wenn dies bewiesen ist, dann ist auch das Auftreten der  $D_m$  bewiesen. Allerdings ist bekannt, u. a. durch die Angaben von R. W. WOOD, daß die Bestimmung der Lage der brechenden Kante des äquivalenten Prismas nicht leicht ist und das dann sehr schwierig, wenn die Metalle im Bogen selbst auftreten werden.

Es wären also die Punkte, die SCHÖN als Erwiderung auf meine Bemerkungen gebracht hat, erledigt. Ich will noch hinzufügen, daß ich in der zitierten Abhandlung keine Einwände da-

1. S. 429 oben.

2. wurde dabei allerdings auch die Lage von  $\lambda_m$  relativ zu der aufgetretenen Kurve geändert.

3. S. 37.

4. S. 439 (auch in seiner Diss.).

gegen gemacht habe, daß man das Vorzeichen der Dispersionskurve willkürlich wählen kann und die Dispersionskurve das Vorzeichen von  $D_m$  anzeigt. Es ist nämlich nach SCHÖN für positives  $D_m$  umgekehrt zu  $\lambda_m$  gelegene Wellenlängen  $\lambda_r$  und  $\lambda_v$  die der kleineren Wellenlänge  $\lambda_v$  entsprechende Ordinate  $y_v$  absolut genommen die zur größeren Wellenlänge  $\lambda_r$  gehörige Ordinate  $y_r$  ist. Für negatives  $D_m$  ist es umgekehrt. Will man mittels der Dispersionskurve das Vorzeichen von  $D_m$  erkennen, so müssen, wie SCHÖN bemerkt, sowohl die  $\lambda - \lambda_m$  als auch die Ordinate  $y$  hinreichend genau bekannt sein. SCHÖN hat dies in seiner Dissertation<sup>2)</sup> bewiesen. Ich will hier einen kürzeren Beweis dieses Kriteriums geben.

Es sei

$$n^2 - 1 = \frac{D_m}{\lambda^2 - \lambda_m^2}$$

wo  $D_m$  positiv, außerdem  $(\lambda - \lambda_m)$  nicht zu klein

$$y = a(n - 1);$$

wird  $y$  positiv angenommen für  $\lambda > \lambda_m$ , dann muß 2)  $a$  positiv sein für positives  $D_m$ . Wenn

$$\lambda_r - \lambda_m = -(\lambda_v - \lambda_m)$$

dann ist

$$n_r^2 - 1 = \frac{D_m}{(\lambda_r - \lambda_m)(\lambda_r + \lambda_m)},$$

ähnlich  $n_v^2 - 1$ . Nur für kleine  $(\lambda_r - \lambda_m)$  wird die Dämpfung  $n$  beträchtlich von 1 verschieden sein, und die Bedingung 3) ist dann 3) näherungsweise

$$|n_r - 1|(n_r + 1) = |n_v - 1|(n_v + 1)$$

Da aber nach 1) für positives  $D_m$   $n_r > 1$  und nach 4)  $|n_r - 1| < |n_v - 1|$ , d. h. nach 2)

$$|y_r| < |y_v|.$$

<sup>1)</sup> ZS. f. wiss. Photogr. 5, 426 oben, 1907.

<sup>2)</sup> l. c. S. 80—82.

<sup>3)</sup> Vgl. hierzu die Tabelle in meiner Arbeit, l. c. S. 44, Dampf mit einem Absorptionsstreifen 589,00 und positiven die Angaben für  $n^2$  und  $n$  bei den Wellenlängen 588,95, 588,98 und 589,05, 589,04, 589,03, 589,02.

ich ist

$$|n_r^2 - 1| < |n_v^2 - 1|$$

n erst recht  $|y_r| < |y_v|$ .

in

$$n^2 - 1 = - \frac{D_m}{\lambda^2 - \lambda_m^2} \quad 5)$$

nn ist  $n_r < 1$ ,  $n_v > 1$ ,  $a$  negativ und nach 4)

$$|n_r - 1| > |n_v - 1|, \text{ d. h. } |y_r| > |y_v|.$$

komme nun zu den übrigen Bemerkungen SCHÖNS über  
lichkeit eines negativen  $D_m$ .

allem vergleicht SCHÖN seine Dispersionskurve des Silber-  
mit der von MINOR gefundenen des festen Silbers und  
abei die Meinung aus<sup>1)</sup>, das Beispiel der von MINOR ge-  
1 Dispersionskurve beweise, daß sehr wohl Dispersions-  
von der allgemeinen Form möglich sind, wie eine negative  
te  $D_m$  sie ergeben muß. Dieser Vergleich ist aber nicht  
denn bei genauer Betrachtung erkennt man, daß die  
onskurve des festen Silbers<sup>2)</sup> von der des Silberdampfes  
h wesentlich unterscheidet, wie ja auch die Absorption  
ilbers von der des Silberdampfes wesentlich verschieden  
olgedessen wird auch für festes Silber eine wesentlich  
Dispersionsformel zugrunde gelegt<sup>3)</sup>, in der hauptsächlich  
gselektronen, aber auch noch isolierende (d. h. ge-  
) Elektronen berücksichtigt sind. Es ist ja möglich, daß,  
merkung von SCHÖN entsprechend, zur Darstellung der  
on von Metalldämpfen auch Leitungselektronen zu berück-  
1 sind. Doch erachte ich es für besser, wenn man bei  
impfen zunächst mit der einfacheren Darstellung der  
on durch gebundene Elektronen auszukommen sucht.

die Formel  $n^2 = 1 + \sum \frac{D_m}{\lambda^2 - \lambda_m^2}$  überhaupt in Zu-  
hang mit der Theorie gebracht werden, dann müssen die

gl. hierzu SCHÖN, ZS. f. wiss. Photogr. I. c. S. 421—425; diese Verh.  
57 und 441.

1. S. MINOR, Ann. d. Phys. (4) 10, 619, 1903 (Dispersion und Ab-

gl. P. DRUDE, Ann. d. Phys. (4) 14, 937, 941, Formel (53), 1904;

P. DRUDE, Lehrbuch der Optik, 2. Aufl., 1906, S. 386, Formel (45).

Brechungsexponenten auf Vakuum bezogen sein; n ist auch die Bezugnahme auf Luft zulässig<sup>1)</sup>. We gegen die Formel  $n^2 = m^2 + \sum \frac{D_m}{\lambda^2 - \lambda_m^2}$  auf die nicht auf Luft, sondern auf ein Medium bezogen, optisch dichter als der Metalldampf ist, dann hat die noch den Charakter einer Interpolationsformel, und die Frage, ob  $D_m$  positiv oder negativ, von geringe. Damit erübrigt sich ein genaues Eingehen auf die SCHÖNS über die Dispersion eines Gemisches von und Natriumdampf.

Jedenfalls also bedarf es noch einer genaueren Nachprüfung zur endgültigen Entscheidung der Konstanten  $D_m$  tatsächlich negativ werden können.

<sup>1)</sup> Vgl. auch SCHÖNS, diese Verh. I. c. S. 441 unten und Ausführungen SCHÖNS, S. 442 unten und 443 oben, bin ich verstanden.

München, Physikalisches Institut der Technischen Hochschule, den 28. Juli 1908.

*Antwort auf die zweite Mitteilung<sup>1)</sup>  
 der Herren Franck und Pohl betreffend die Frage  
 der Geschwindigkeit der Röntgenstrahlen;*

*von Erich Marx.*

(Eingegangen am 2. August 1908.)

Die Herren FRANCK und POHL machen mir den Vorwurf, nicht in meinen früheren Publikationen besonders betont zu haben, daß die negativen Elektrometerausschläge in meinem Apparat von einem schwachen Leuchten des Gases begleitet sind. Ich habe aber bereits in meiner ersten Mitteilung angegeben, daß die negativen Ausschläge im Nullapparat von viel tausendmal mehr Energie der Röntgenstrahlen sind, so erschien es mir unbillig, auf diese, lediglich die stärksten negativen Ausschläge betreffende Erscheinung, die gar nicht der Messung dient, hinzuweisen. Denn wenn auch das Leuchten selbst nur von den negativen Ausschläge gebunden, also selbst durchaus polarisiert ist, so ist es für die Lage der Null, auf die es wesentlich ankommt, doch völlig gleichgültig. Die hierfür, also für den wesentlichen Unterschied in dieser Begleiterscheinung, sondern in den Effekten, die bereits früher eingehend beschrieben wurden. In dem Referat, das die Herren ihrer Mittheilung ausschicken, ist meine Darstellung dahin wiedergegeben, daß die negativen Ausschläge stets von einem schwachen Leuchten des Gases begleitet sind. Das hätte nicht sein dürfen. — Sowohl inhaltlich als durch fetten Druck habe ich mit äußerstem Nachdruck darauf hingewiesen, daß eine leuchtende Entladung in meinem Apparat nie von negativen Elektrometerausschlägen eintritt. Hätten die Herren dies erwähnt, so hätte jeder sofort gesehen, daß ihr Experimentum crucis mit dem meinigen nichts gemein hat, als differenzierte Elektrometerausschläge. — Im Interesse der Sache liegt diese

<sup>1)</sup> Diese Verh. S. 489.



Kontroverse gewiß nicht! Es wird durch unzutreffende Darstellung der Anschein erweckt, daß meine Versuche wiederholt worden sind und daß von Herren FRANZ und KROHN der Beweis erbracht ist, daß meine Bemühungen vergeblich gewesen sind.

2. Für das Auftreten der selbständigen Entladung ist nicht das Effektivpotential, sondern die maximale Potentialdifferenz maßgebend. Durch ein Mißverstehen ihrer eigenen Messungen, die für letztere Größe den Namen der ersten induzierten Ladung, die Herren in ihrer ersten Arbeit den quadratischen Mittelwert einer Reihe gleichzeitig ablaufender gedämpfter Wellen vorzuziehen, haupteten, von dieser Größe hinge das Einsetzen der Entladung ab. Sie maßen also eine Größe, die in keiner Beziehung zur zu messenden Größe steht, die für das Einsetzen maßgebend ist, was sie nicht wußten. Im Verlaufe ihrer Beweisführung beziehen sie sich wiederholt Mal wieder auf diese Messungen, es wird aber an keiner Stelle versucht, die für die Spannung wirklich maßgebend ist, einen Spannungsmesser zu messen; hierbei wird eine Vorrichtung zogen, der wiederum in keinem Zusammenhange mit der zu messenden Erscheinung steht:

Die Herren zeigen, daß, wenn sie zwei Entladungsröhren parallel schalten und die Elektrode der einen Röhre mit Röntgenstrahlen so bestrahlen, daß eine Entladung einsetzt, auch im zweiten von den Strahlen nicht getroffen Röhre eine leuchtende Entladung erfolgt. Ein solches Einsetzen ist nur möglich, wenn durch die plötzliche Entladung in der ersten Röhre das momentane Potential im zweiten parallel geschalteten Rohre durch Schwingungen Werte erreicht, die das Einsetzen der Entladung überschreiten. Weder am elektrostatischen Schutzapparat noch an der Konstellation der Drähte ist während des Wegziehens der Röhren irgend etwas geändert. Das betonen die Herren ausdrücklich. Es kann also das Potential nicht durch die induzierten elektrischen Schwingungen erhöht sein. Die Entladung im primären Rohr ist durch die Auslösung von Elektrodenentladung erklärlich. Im zweiten Rohre ist dies nicht möglich, weil das Potential erhöht worden durch die von den Röntgenstrahlen wirkte Entladung des primären Rohres. Die Auffassung ist mehrfach früher entwickelt habe, und meine Experimente

von Schwingungen durch die Röntgenstrahlen erklären können sowohl die Auslösung, als das Auftreten von Schwingentialen, während die Herren jede Andeutung vermissen wie durch Wegziehen des Bleibleches die Potentialerhöhung kommt. Gegen den Einfluß der Phase entscheidet das Experiment der Herren FRANCK und POHL an sich überhaupt nicht. Wie die Herren aus diesem Versuche (1 bei den Herren) „daß das Effektivpotential der für die Entladung maßgebende Parameter sei, und den von Herrn MARK zu dieser Phase gezogenen Schluß für hinfällig halten“, ist mir völlig unverständlich. Dieser Schluß steht in keinem Zusammenhang mit dem Experiment.

Daß im Gegenteil gerade die Phase, also das Vorzeichen der Röntgenstrahlen Platinelektrode, für den Eintritt der Entladung entscheidend ist, ist inzwischen von mir getrennt gezeigt worden. Wenn man Röntgenstrahlen durch ein geerdetes Aluminiumfenster auf die Platinelektrode fallen läßt, so läßt sich jederzeit vor dem Auditorium ohne Schwierigkeit mit Hilfe einer Hochspannungsbatterie demonstrieren, daß bei negativ angetroffener Elektrode das Entladungspotential durch die Bestrahlung um etwa ein Drittel herabgesetzt wird. Wird aber die Elektrode positiv angeschlossen, so läßt sich jederzeit demonstrieren, daß niemals die Entladung durch Röntgenstrahlen erleichtert wird, daß vielmehr bei der Bestrahlung unter bestimmten Bedingungen, die im Experiment erfüllt sind, ein höheres Potential (und zwar bis zu 100 Volt) an die Elektrode angelegt werden kann, als ohne Bestrahlung. Die leuchtende Entladung erfolgt im Gegensatz zur gewöhnlichen negativen Elektrode alsdann erst, wenn man mit dem Bleiblech die Strahlen abblendet. Ein Experiment, das im ersten Blick gewiß überraschend erscheinen muß! (Ber. d. Königl. Sächs. Akad.; unter der Presse.)

Sämtliche Versuche, welche die Herren anstellen, wenn sie bei positiven Elektrometerausschlägen leuchtende Entladungen erhalten, stehen in keinem Zusammenhang mit meinen Versuchsbedingungen. Denn leuchtende Entladung setzt bei mir ein, wenn die Elektrode negativ getroffen wird, und infolgedessen das Elektrometer große negative Ausschläge zeigt. Das Experiment zur Demonstration des Himstedteffektes ist deshalb unzulässig,

denn es verlangt Leuchten bei beiden Ausschlägen, gesehen davon, daß eine Potentialverteilung, wie sie für Teslaschwingungen erwiesen ist, gar nicht für die unter HERTZschen Wellen von  $60\text{ cm } \lambda/2$ , leuchtend bei einer Centimeter Entfernung von der Elektrode auftreten. Die Herren „diese HERTZsche Welle ebenfalls als Tesla bezeichnen“, so müssen sie dieser willkürlichen Bezeichnung durch gerecht werden, daß sie berücksichtigen, daß die Wellen die positiven Ionen unverrückbar sind, daß bei einer Centimeter Entfernung im Gegensatz zu den langen Wellen negative Elektronen abgefangen werden (vgl. zweite Seite). Sowohl die Bezeichnung „Effektivpotential“, wie die hier erwähnte, geben hier zu schweren Mißverständnissen Anlaß, denen die Herren selbst fortgesetzt anheimfallen.

5. Was nun die Wiederholung des Experimentes meiner Arbeit anlangt, so ist dazu folgendes zu bemerken.

Der Versuch, daß auf beiden Seiten der Drahtelektrometer verschiedene Ausschläge angezeigt, ist, drücklich bereits hervorgehoben habe, nur dann für die Phase entscheidend, wenn die Anordnung völlig symmetrisch ist, und die Einstellung durch die HERTZsche Welle erfolgt. Der Versuch 2c der Herren FRANCK und POHL zeigt aber bei beiden Vorbedingungen bei ihnen nicht zutrafen. Ich arbeite hier wieder nicht mit HERTZschen Wellen, sondern mit Teslaschwingungen. HIMSTEDT hat mir (siehe oben) erwiesen<sup>1)</sup>, daß in diesem Falle die Potentialverteilung eine Tesla-pol, nach der hier verwendeten Methode gekennzeichnet, den Zeichenwechsel auf beiden Seiten der Zuführung zeigt. Die Versuche 2a bis 2c sind sämtlich durch Auslösung der Teslaentladung mit Hilfe einer Röntgenröhre, die von einer Elektrode aus Röntgenstrahlen erzeugt, veranlaßt.

Da man einen Teil meiner Versuche, und zwar die induktiven (differenzierte Elektrometerausschläge), auch ohne den Himstedteffekt der Teslaentladung erhalten kann, bitte die Herren, wenn sie meine Versuche wiederholen wollen, zu zeigen, daß die Teslaentladung vermieden ist. Sie

<sup>1)</sup> HIMSTEDT, Wied. Ann. 68, 294, 1899.

Die Welle unter Innehaltung der Bleikriterien auf den nachweisen und darauf achten, daß die positiven Meterausschläge nicht von leuchtender Entladung begleitet sind. In meinem Apparat bedingt die Drehung der Röhre um einen Vorzeichenwechsel, wenn die Röntgenröhre nicht durch den Strom verdorben ist.

Wegen die Beweiskraft meines Experimentum crucis 1, nämlich bei feststehender Röhre sich die Wellenlänge des Lichtes unter Innehaltung der Bleikriterien durch Elektrometermessungen erweisen läßt, und daß sie sich alsdann bei veränderter Röhre in Hinsicht der Nullpunktverschiebung gleich der Röhrenverschiebung ergibt, ist von den Herren FRANCK und HERTZ kein Einwand formuliert worden. Selbst wenn sie Experimentum crucis 2 aus, wie ausgeführt, unberechtigten Gründen nicht anerkennen, so genügt dieses Experiment 1, um zu zeigen, daß in meinem Apparat die angetroffene Phase die Meterausschläge bedingt.

Wegen die weitere Beweiskraft meiner definitiven Messungen, nämlich, daß unabhängig von der Verschiebung sich stets die Nullpunktverschiebung gleich halber Brückenverschiebung ergibt, die früheren Thermomessungen der Herren von neuem bestätigen. Daß diesen Messungen eine Verwechslung des richtigen Effektivpotentialbegriffs mit dem neu eingeführten „Effektivpotential des Himstedteffekts“ zugrunde liegt, ist mir früher von mir gezeigt (S. 185). Hier ziehen also die Herren von neuem für das Einsetzen der Gasentladung eine Größe ein, die für dasselbe nicht maßgebend ist. Denn der gemessene Integralwert kann einen beliebig großen Wert annehmen ohne daß eine Entladung einsetzt. Nochmals auf die Messungen des „Zufalls“ hier einzugehen, dem die Herren wiederum in meinen definitiven Messungen das Wort reden, erscheint mir in der ersten ausführlichen Antwort unnötig. Bevor sie die HERTZsche Welle und die Unveränderlichkeit der Wellenlänge derselben in gewissen Bereichen des Druckes nachweisen (S. 185), haben sie noch nicht die Vorbedingung für die Genauigkeitsmessung erfüllt. Sie sind noch immer nicht an dem Punkte, wo meine Arbeit erst einsetzte.

## Zusammenfassung.

Die auf experimenteller Grundlage von den die Beweiskraft meines Experimentum crucis 2 für die Einwände sind nicht stichhaltig, weil sie die ausdrücklichen Voraussetzungen (Symmetrie, HERTZsche Wellen, p. röhre) nicht bei ihren Experimenten eingehalten haben mit leuchtender Teslaentladung usw. arbeiteten. Experimentum crucis 1, das unabhängig von Experimenten die Abhängigkeit von der Phase erweist, sind von den Einwände erhoben. Gegen die definitiven Messungen neuem die früheren Thermomessungen der Herren in sie beruhen auf einer Verwechslung des quadratischen wertes mehrerer gedämpfter Wellenzüge mit dem ladung maßgebenden maximalen Potential. Eine ist durch die fehlerhafte Bezeichnung „Effektivpotential“ gerufen. Ihr Experiment gegen die Wirksamkeit behrt nach 2) jedes Kausalkonnexes mit dem aus dem gezogenen Schlusse.

Aus der bisherigen Diskussion scheint mir, daß unter bestimmten Umständen die von HERTZsche Potentialverteilung um einen Teslapol, elektromagnetische qualitativ ähnliche Abhängigkeiten zeigt, wie sie meiner (qualitativen) Experimente mit HERTZsche eintreten. Daß dergleichen bei ganz verschiedenen Erscheinungen, deren Nachweis auf der gleichen elektromagnetischen Nullmethode beruht, eintreten kann, wird nicht verwunderlich, zumal wir in beiden Fällen dynamische Gleichgewichte die von der Verteilung positiver und negativer Ionen und alle hier in Betracht kommenden Gasentladungen soweit die Frequenz nicht in Betracht kommt, notwendig ein Verhalten in bezug auf Potential und Druck aufweisen ist bei den Herren FRANCK und POHL, deren Experimente mit leuchtender Teslaentladung beruhen, die Meinung haben, daß sie unter den gleichen Versuchsbedingungen arbeiten, wie bei meiner Arbeit vorlagen. Um dieser Täuschung zu entgehen, ist notwendig, sich zu überzeugen, daß die HERTZsche Welle auf den Brückendrähten, unter In-

n, nachweisbar ist, und daß zweitens bei positiven  
erausschlägen niemals leuchtende Entladung

sherigen Bemühungen der Herren FRANCK und POHL  
kurz dahin kennzeichnen, daß, wenn man bei meiner  
er Messung der Röntgenstrahlengeschwindigkeit aus-  
roße Fehler der Anordnung macht, man auch jede ge-  
größe der Messungsfehler erhalten kann. Das gleiche  
kann man schließlich bei jeder Meßmethode anwenden.  
t die ausgezeichnete KOHLRAUSCHsche Nullmethode  
große Kapazitäten falsche Widerstandsbestimmungen  
em event. scharfe Einstellung der Null. Der Methode  
ermag ein solches Verfahren nichts anzuhaben, wenn  
wurde, wie die Fehler zu vermeiden sind. Wie dies zu  
hat, habe ich ausführlich den Herren in der ersten  
useinandergesetzt. Diese zweite Mitteilung der Herren  
id POHL enthält implicite ihre Widerlegung bereits in  
sten ausführlichen Antwort. In bezug auf kein  
nt der Herren, das bei positiven Ausschlägen  
de Entladung ergibt und das nicht ein Arbeiten  
zischen Wellen anstatt mit TESLA-Entladungen  
, kann ich im Zusammenhang mit meiner Ge-  
keitsmessung mich weiterhin in eine Dis-  
einlassen.

zig, Physikalisches Institut, 30. Juli 1908.

**Berichtigung zu dem Aufsätze:  
Die Zustandsgleichung der Metalle  
von M. Thiesen.**

(Mitteilung aus der Physikalisch-Technischen Reichsanstalt  
(Eingegangen am 6. August 1908.)

---

Hr. GRÜNEISEN hatte bemerkt, daß bei den Beobachtungen, welche genügende Beobachtungen vorliegen, das Verhältnis der spezifischen Wärme und dem Ausdehnungskoeffizienten unabhängig von der Temperatur ist. Ich hatte für diesen Satz die Form der Temperaturfunktion für die beiden Größen ableiten zu können<sup>1)</sup>. Indessen ist bei der Ableitung gemachte Annahme, daß die durch Gleichung geführte Größe  $\theta$  eine reine Temperaturfunktion sei, nicht gestützt; diese Größe wird daher nur durch eine Differentialgleichung beschränkt, welche an Stelle der Temperaturfunktion und die Form der Temperaturfunktion unbestimmt

Die von mir aufgestellten Beziehungen sind daher nur eine Folge des GRÜNEISEN'schen Erfahrungssatzes anzunehmen müssen, wie es für Platin eingehender geschehen ist, der Erfahrung geprüft werden.

---

<sup>1)</sup> M. THIESEN, Verh. Deutsch. Phys. Ges. 10, 409, 1908

**von Friedr. Vieweg & Sohn in Braunschweig.**

**gesetzliche und technische Vorschriften**

betreffend

**Calciumcarbid und Acetylen**

**Deutschland, Österreich und der Schweiz.**

Mit Erläuterungen und mit Anweisungen

zur

**Benutzung von Acetylenanlagen**

von

**Professor Dr. J. H. Vogel**

in Berlin.

ir. 8°. Preis geh. 2.40 Mark, geb. 3.40 Mark.

or reichlich zehn Jahren die Acetylenbeleuchtung aufkam, wurden in urstaaten Verordnungen erlassen über die bei der Herstellung und ng des Acetylens sowie bei der Lagerung des Calciumcarbides zu beob- Vorsichtsmaßregeln. Damals war man noch nicht hinreichend über chaften des Acetylens unterrichtet, so daß sich angesichts der außer- raschen Zunahme der Acetylenbeleuchtung mehr und mehr das Be- ich einer gründlichen Umarbeitung der behördlichen Verordnungen te. Dementsprechend sind letztere auf Grund der inzwischen gesammel- ungen neuerdings in Deutschland, Österreich und auch in einem Schweiz wesentlich abgeändert und erweitert worden.

der Deutsche Acetylenverein hat in den verflossenen beiden Jahren nischen Vorschriften und Normen für Acetylenapparate und Carbid idlichen Umarbeitung unterzogen.

r vorliegenden Schrift sind diese neuen behördlichen und technischen Ver- und Vorschriften übersichtlich zusammengestellt und mit Erläuterungen

Damit dürfte in erster Linie allen denjenigen gedient sein, welche sich Prüfung und Begutachtung von Acetylenanlagen zu befassen haben. er werden daraus aber auch alle diejenigen, welche Acetylenapparate her- treiben oder installieren, die nötige Belehrung darüber schöpfen können, inrichtungen sie zu treffen und welche Vorschriften sie zu befolgen 1 in den verschiedenen Staaten allen Anforderungen gerecht zu werden. eßlich werden auch die Besitzer von Acetylenanlagen, namentlich die- on größeren Orts- oder Blockzentralen, daraus ersehen können, welcher Anforderungen sind, deren Innehaltung bei der behördlichen Abnahme lenanlagen gefordert wird, so daß sie an der Hand dieser Schrift selbst ge sein werden, eine Kontrolle dahin auszuüben, ob die Pläne und Bau- igen der Unternehmer so gehalten sind, daß ein Einschreiten der Bed- ner irgend welche Unregelmäßigkeiten im Betriebe nicht zu erwarten In diesem Sinne sei namentlich die Schrift den Vorständen der zahl- kleineren Ortschaften empfohlen, für welche heute das Acetylenlicht iner Billigkeit und Einfachheit in erster Linie als zentrale Beleuchtungs- rage kommt.

**Zu beziehen durch alle Buchhandlungen.**



Verlag von Friedr. Vieweg & Sohn in Braunschweig

# Die Erdströme

im Deutschen Reichstelegraphen-System  
und ihr Zusammenhang mit den erdmagnetischen Erscheinungen

Auf Veranlassung und mit Unterstützung des Reichs-Post- und Telegraphen-Verwaltungsraths  
Unterstützung der Königlich preussischen Akademie der Wissenschaften

im Auftrage des Erdstrom-Comités des Elektrotechnischen Vereins  
bearbeitet und herausgegeben von

**Dr. B. Weinstein,**

Kaiserlicher Regierungsrath und Universitäts-Professor.

Mit einem Atlas, enthaltend 19 lithographirte Tafeln. gr. 8.

Verlag von Friedr. Vieweg & Sohn, Braunschweig

# Thermodynamik und Kinetik der Körper

von

**Professor Dr. B. Weinstein**

**Erster Band. Allgemeine Thermodynamik und Kinetik.**  
Theorie der idealen und wirklichen Gase und Flüssigkeiten.  
Mit eingedruckten Abbildungen. gr. 8. (XVIII u. 400 Seiten.)  
Preis geh. *M* 12.—.

**Zweiter Band. Absolute Temperatur. — Die Flüssigkeiten.**  
— Die festen Körper. — Thermodynamische Eigenschaften.  
Kinetik. — Die (nicht verdünnten) Lösungen.  
und 586 Seiten.) gr. 8. Preis geh. *M* 16.—.

**Dritter Band, 1. Halbband. Die verdünnten Lösungen.**  
Die Dissociation. — Thermodynamik der Elektrolyse  
und des Magnetismus. (Erster Teil.) (XVI u. 300 Seiten.)  
gr. 8. Preis geh. *M* 12.—.

**Dritter Band, 2. Halbband. Thermodynamik der Elektrolyse.**  
und des Magnetismus. (Zweiter Teil.) — Elektrische  
gr. 8. Preis geh. *M* 24.—.

Zu beziehen durch alle Buchhandlungen

g von Friedr. Vieweg & Sohn in Braunschweig. ■ ■

# Leitfaden der Physik und Chemie

mit Berücksichtigung der

Mineralogie und der Lehre vom Menschen.

oberen Klassen von Bürgerschulen, höheren Töchterschulen  
und anderen höheren Lehranstalten in zwei Kursen bearbeitet

von

**H. Sattler,**  
Schulinspektor.

1. bis 34. verbesserte und vermehrte Auflage.  
Mit 291 eingedruckten Abbildungen und einer Tafel.  
Preis geheftet 1.35 Mark, gebunden 1.50 Mark.

Der vorliegende Leitfaden ist für die oberen Klassen von Bürger-  
schulen, höheren Töchterschulen und anderen höheren Lehr-  
anstalten bestimmt. In methodischer Anordnung bietet er dem  
Schüler ein Gesamtbild von dem in der Schule Gehörten und Ge-  
sehenem. Dem Lehrer sichere Anhaltspunkte zur Erteilung eines  
richtigen Unterrichts.

Die Form der Darstellung ist durchweg die entwickelnde; es wird  
von den Beobachtungen und Versuchen ausgegangen, daraus das Gesetz  
hergeleitet; und den Anwendungen Rechnung getragen.

Die gestreute Fragen regen den Schüler zu weiterem Nachdenken  
an. Zahlreiche und guten Holzstiche werden die Klarheit und  
Lebhaftigkeit in der Auffassung der Erscheinungen und Gesetze zweifel-  
los in nachhaltigster Weise unterstützen.

Die gegenwärtig vorliegende 31. Auflage des Buches entspricht  
den im Königreich Preußen festgesetzten hygienischen Anforderun-  
gen bezug auf Typengröße und Zeilendurchschuß und ist  
dadurch vielfach vervollständigt und verbessert, insbesondere ist  
der Druck vollständig beseitigt. Leider mußte, da durch  
die Verbesserungen der Umfang des Buches ein größerer geworden  
ist, der Preis desselben etwas erhöht werden; doch dürfte, wenn die  
Ausstattung in Betracht gezogen wird, der Preis des Buches  
noch ein sehr mäßiger genannt werden können.

Zu beziehen durch alle Buchhandlungen.  ■ ■

Verlag von Friedr. Vieweg & Sohn in Brau

# Dr. J. Fricks Physikalische Tec

oder Anleitung zu Experimentalvorträgen sowie  
herstellung einfacher Demonstrationsappa

Siebente vollkommen umgearbeitete u. stark verm

VON

**Dr. Otto Lehmann,**

Professor der Physik an der technischen Hochschule in

In zwei Bänden.

Erster Band.

Mit 3908 Abbildungen und einem Bildnis des Verfassers  
Abteilungen. Lex.-Format. Preis geh. M 40.—, geb.

Zweiter Band — Erste Abteilung

Mit 1448 Abbildungen und drei Tafeln. Lex.-Format.  
geh. M 20.—, geb. M 22.—.

Der physikalische Unterricht stellt an das technische Könnens  
tators sehr erhebliche Anforderungen. Während nun aber der In  
Studienszeit eingehende Belehrung über alle Einzelheiten des von ihm  
empfangt, ist die Ausbildung des Physikers, abgesehen von der  
Laboratoriumsversuchen in kleinstem Maßstabe, eine rein theoret  
unsüßliche. Die Technik der Experimentalvorträge, namentlich  
hörersahen, ist eine wesentlich andere als die der Laboratoriumsver  
nicht nur ähnlich der Tätigkeit des Ingenieurs, sondern sogar noch  
es sich nicht um Aufstellung und Inbetriebsetzung fertig durchgebr  
forderungen an Betriebsicherheit entsprechender Maschinen handelt.  
unvollkommene, suwellen in ihrer Handhabung geradezu gefährliche  
Zum Teil beruhen diese Schwierigkeiten in der Natur der Sache,  
Fortschritt der Wissenschaft, zum Teil aber in jenem althergebr  
welches dem Physiker, weil er Philosoph nicht Techniker ist, zum  
schrübeneu, meist absolut unsüßlichen Mitteln zu arbeiten, wäh  
in der Lage ist, eine Kostenberechnung aufzustellen, wie sie den j  
lichen Verhältnissen entspricht.

Im Hinblick auf diese Schwierigkeiten will das Buch dem I  
eine gewisse Erleichterung bieten einestalls durch Darlegung der er  
nischen Einrichtungen und Werkzeuge, sowie ihrer Anwendung, s  
Zusammenstellung der meist gebräuchlichen physikalischen Appara  
ihrer Bezugsquellen und Preise. Auch dem Fabrikanten von Ap  
nützlich zu sein, insofern es auf Bedürfnisse des Unterrichts hinw  
vorhandenen Konstruktionsformen noch nicht genügen, um so zu w  
tung derselben und Ausarbeitung neuer Formen Anregung zu geben.

Auf solche Weise zur Förderung des physikalischen Unterr  
war bereits das Streben von Joseph Frick, dessen Bildnis dem ersten  
Der Herausgeber war bemüht, das Werk in gleichem Sinne weiter  
zweite Band, dessen erste Abteilung erschien, ist als Manuskript  
Fortsetzung befindet sich im Druck, so daß der Schluß des Werkes  
1908 zu erwarten ist.

— — Zu beziehen durch alle Buchhandlungen

# Berichte der Deutschen Physikalischen Gesellschaft

enthaltend

## Verhandlungen

der Deutschen Physikalischen Gesellschaft  
im Auftrage der Gesellschaft herausgegeben

von

**Karl Scheel**

und

## Halbmonatliches Literaturverzeichnis

der „Fortschritte der Physik“, dargestellt von der  
Deutschen Physikalischen Gesellschaft

redigiert von

**Karl Scheel**

für reine Physik

**Richard Assmann**

für kosmische Physik

### Inhalt.

1. Verhandlungen der Deutschen Physikalischen Gesellschaft. A. Wehnelt und F. Jentzsch, Über die bei der Elektronenemission glühender Körper auftretenden Temperaturänderungen. (Eingegangen am 17. August 1908.) S. 605. — G. Quincke, Flüssige Kristalle, Myelinformen und künstliche Zellen mit flüssig-kristallinen Wänden. S. 615. — 2. Halbmonatliches Literaturverzeichnis der Fortschritte der Physik. I. Allgemeine Physik. S. 309. — II. Akustik. S. 311. — III. Physikalische Chemie. S. 312. — IV. Elektrizität und Magnetismus. S. 316. — V. Optik des gesamten Spektrums. S. 320. — VI. Wärme. S. 322. — VII. Kosmische Physik. S. 325.

---

**Braunschweig**

Druck und Verlag von Friedrich Vieweg und Sohn

1908

**Photometer**  
**Spektral-Apparate**  
**Projektions-Apparate**  
**Glas-Photogramme**  
**Physik. Apparate n. Prof. Grimsehl**  
**Optisches Institut von A. Krüss**  
 Inhaber: Dr. Hugo Krüss. **HAMBURG.**

|  |   |
|--|---|
|  <p> <b>Präzisions-Reißzeuge (Rundsystem)</b><br/> <b>Nickelstahl-Kompensationspendel</b><br/> <b>Astronomische Uhren.</b><br/> <b>Paris 1900 Grand Prix.</b><br/> <b>Illustrierte Preislisten gratis.</b> </p> | <p> <b>Clemens Riefler</b><br/>                 Fabrik mathemat. Instrumente<br/>                 Nesselwang u. München<br/>                 Bayern.             </p> |
|--|---|

Verlag von Friedr. Vieweg & Sohn in Braunschweig.

## Wissenschaftliche Luftfahrten.

Ausgeführt vom Deutschen Verein zur Förderung der Luftschiff-  
 fahrt in Berlin. Unter Mitwirkung von *O. Baschin, W. von*  
*Bezold, R. Börnstein, H. Gross, V. Kremser, H. Stade* u.  
*R. Süring* herausgegeben von **Richard Assmann** und **Arthur**  
**Berson**. In drei Bänden. Mit zahlreichen Tabellen und Tafel-  
 graphischer Darstellungen, farbigen Vollbildern und Textabbil-  
 dungen. gr. 4°. Preis *M* 100.—; herabgesetzter Preis *M* 60.—.

Nach jahrelangen Vorbereitungen ist das von der naturwissenschaftliche  
 Welt mit Spannung erwartete große Berichtswerk über die im letzten Jahr  
 zehnt des 19. Jahrhunderts mit großen Mitteln neu aufgenommenen Forschungen  
 in der Atmosphäre mittelst des Luftballons erschienen.

Dieses Fundamentalwerk ist für alle Meteorologen, Physiker, Astro-  
 nomen, Geodäten usw., ja fast für die ganzen Naturwissenschaftler wegen  
 darin niedergelegten wertvollen Materials für die Physik der Atmosphäre  
 von der höchsten Bedeutung und kann als ein „standard work“ bezeichnet  
 werden, wie es bisher noch nicht existiert, sowohl was die Zahl und Sicher-  
 heit der Beobachtungen selbst, wie auch die strenge Methode der Bearbeitung  
 der Ergebnisse anlangt.

Zu beziehen durch alle Buchhandlungen.

Verhandlungen  
der  
**Deutschen Physikalischen Gesellschaft**

---

Im Auftrage der Gesellschaft herausgegeben

von

**Karl Scheel**

---

10. Jahrg.

15. September 1908.

Nr. 17.

---

*Über die bei der Elektronenemission glühender  
Körper auftretenden Temperaturänderungen<sup>1)</sup>;*

*von A. Wehnelt und F. Jentzsch.*

(Eingegangen am 17. August 1908.)

---

Emittiert ein glühender Leiter Elektronen, so verliert er dabei eine gewisse Energie, die sich berechnet zu <sup>2)</sup>):

$$U = N \left[ \Phi + \frac{4\alpha}{3} T \right].$$

Dabei bedeuten  $N$  die Zahl der Elektronen, die in der Sekunde vom Quadratcentimeter der glühenden Oberfläche ausgehen,  $\Phi$  die Arbeit, die ein einzelnes Elektron beim Durchsetzen der Oberfläche zu leisten hat,  $\alpha$  die Energie, die es bei der Temperatur  $1^\circ$  enthält und  $T$  die absolute Temperatur. Führt man noch ein <sup>3)</sup>):  $J = N \cdot e$  und <sup>3)</sup>)  $\Phi = e \delta \varphi$ , wo  $J$  die Dichte des Sättigungsstromes,  $e$  das elektrische Elementarquantum

---

<sup>1)</sup> Ein Teil der zu den Versuchen benutzten Apparate wurde aus Mitteln der Jagorstiftung angeschafft, deren Kuratorium wir hiermit unseren verbindlichsten Dank aussprechen.

<sup>2)</sup> FELIX JENTZSCH, Dissertation. Berlin 1908. S. 42, Formel 17. —  
Statt  $R$  ist hier  $\frac{2}{3} \alpha$  eingesetzt.

<sup>3)</sup> A. a. O. S. 5, Formel 1 und S. 7, Formel 4.

und  $\delta\varphi$  der Potentialsprung an der Oberfläche des Leiters, so wird daraus:

$$U = J \left[ \delta\varphi + \frac{4\alpha}{3e} \cdot T \right]. \quad 1)$$

Wenn ein glühender Körper plötzlich in ein elektrisches Feld gebracht wird, das die Elektronen, die sich sonst in seiner nächsten Umgebung anhäufen, von ihm entfernt, muß man erwarten, daß er sich in obiger Energie  $U$  entsprechend abkühlt — Erhitzt man z. B. einen Draht durch einen elektrischen Strom und hält seine Temperatur konstant, so muß der dazu erforderliche Strom  $i$  beim Anlegen des Feldes um den Betrag  $\Delta i$  wachsen, so daß, wenn  $w$  der Widerstand des Drahtes:

$$U = [i + \Delta i]^2 \cdot w - i^2 w$$

oder unter Vernachlässigung des quadratischen Gliedes:

$$\Delta i = \frac{U}{2iw}. \quad 2)$$

Bei Versuchen, diesen theoretisch geforderten Effekt experimentell nachzuweisen, fanden wir infolge besonderer, durch einen Zufall gerade vorhandener Druckverhältnisse im Rohr — glühender mit CaO bedeckter Pt-Draht innerhalb eines koaxialen Messingzylinders — zunächst die gerade entgegengesetzte Erscheinung. Bei Anlegen des Feldes erwärmte sich der Draht bzw. war zur Konstanterhaltung der Temperatur weniger Heizstrom als vorher erforderlich. Erst später konnten wir die verlangte Abkühlung wirklich nachweisen.

Diese Beobachtung kann auf zweierlei Art gedeutet werden.

a) Erstens wäre es möglich, daß die im Draht okkludierten Gase, die beim Glühen entweichen und dadurch ständig den Widerstand vermindern, so ionisiert sind, daß beim Anlegen eines die Elektronen vom Draht fortbewegenden elektrischen Feldes die Gasabgabe verhindert wird. Dann muß der gewöhnliche zeitliche Gang des Heizstromes eine einer Erwärmung entsprechende Veränderung erfahren. Andererseits müßte dann aber ein Feld, das die Elektronen zurückhält, eine vermehrte Gasabgabe und dadurch einen entgegengesetzten Gang des Heizstromes hervorrufen. Da wir letzteren nie beobachten konnten, so ist diese Erklärung zu verwerfen.

seits kann man annehmen, daß die durch das Feld getriebenen Elektronen die Gasreste durch Stoß ionisieren und dessen positive Ionen, die nach Durchlaufen eines Teiles des Feldes eine gewisse kinetische Energie erlangt haben, den Draht treffen und eine Erwärmung desselben bewirken.

Die Versuche, über die wir hier kurz berichten wollen, ergeben, daß letztere Erklärung die richtige ist. In den geringsten heute erreichbaren Drucken bewegte Elektronen die Gasreste noch zu einer Sättigung (n<sup>1</sup>), so daß wir es bei den sogenannten Sättigungsdrücken an glühenden Elektroden nie mit der reinen Stoßionisation, sondern stets mit der gemischt unselbständigen Ionisation zu tun haben.

#### Untersuchung des Vorhandenseins von Stoßionisation aus der Form der Sättigungsstromkurven.

Die Normalform für die Spannungsstromkurven ( $V.i$ -Kurven) an glühenden Elektroden gilt allgemein Kurve I der Fig. 1, in der die vollständig horizontal verlaufende Strecke  $AB$  den Sättigungsstromzustand und das Ansteigen hinter  $B$  den Eintritt der Stoßionisation darstellt. Man fand zwar vielfach, daß der wirkliche Sättigungsstrom vielmehr durch die Kurve II der Fig. 1 dargestellt wäre, aber trotzdem die Kurve für „praktisch ge-

nommenen“ Sättigungsstromkurven untersuchten nun systematisch die Abhängigkeit der Sättigungsstromkurven vom Druck. Die Resultate sind in Fig. 2 dargestellt.

Wie man sieht, tritt richtige Sättigung nur bei ziemlich hohen Drücken auf. Sie konnte bei zahlreichen Drücken stets zwischen 0,8 und 0,1 mm Hg erhalten werden. Bei niedrigeren Drücken über, so wird die gesättigte Stromkurve kürzer, liegt auch nicht mehr ganz horizontal und der Wendepunkt für  $p = 0,079$  mm), schrumpft zum Wendepunkt

<sup>1</sup> auch H. DEMBER, Ann. d. Phys. (4) 26, 403, 1908.

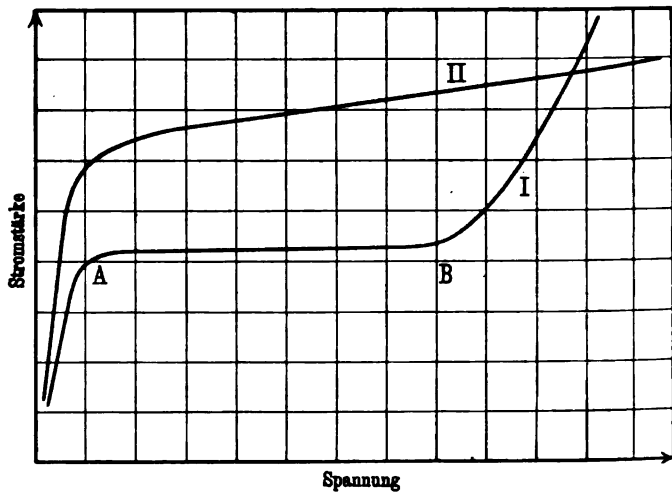
Beispiel G. OWEN, Proc. Cambr. Phil. Soc. 12, 503, 1904.  
 G. OWEN, Phil. Trans (A) 201, 520, 1903.



zusammen und verschwindet schließlich ganz (vgl. Kurve für  $p = 0,042$  mm).

Diese Formen der Kurven bei verschiedenen Drucken lassen sich aus der Annahme erklären, daß sich über den von der eigentlichen Elektronenemission gebildeten Strom ein anderer lagert, der von den durch Stoß erzeugten Ionen getragen wird. Dieser Teil muß mit steigendem Potential wachsen. Je tiefer der Druck, um so kleiner wird das Potential sein, das den emittierten Elektronen eine zur Stoßionisation hinreichende Geschwindigkeit erteilt, so daß das Umbiegen der  $V. i$ -Kurven

Fig. 1.



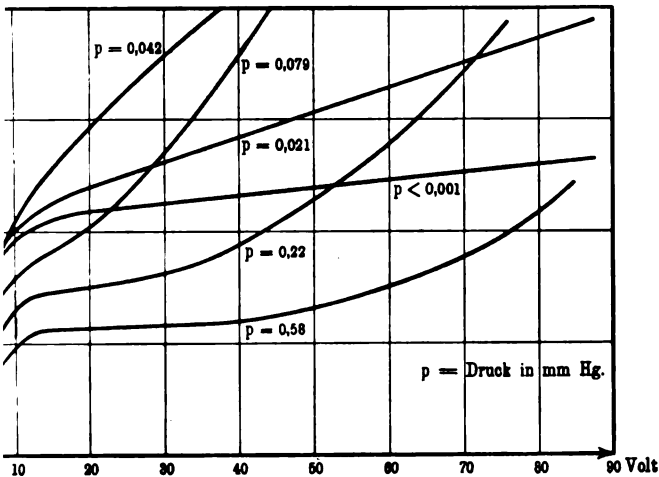
nach oben mit abnehmendem Druck immer früher eintritt, zuletzt vielleicht schon bei Potentialen, die noch nicht ausreichen, den von den Elektronen getragenen Strom zu sättigen.

Sinkt der Druck nun noch weiter, so muß der geringeren Zahl der Luftmoleküle entsprechend auch die Zahl der durch Stoß erzeugten Teilchen abnehmen. Insbesondere können zwar die Elektronen selbst noch durch Stoß neue Stromträger hervorbringen, durch den „Stoß der Gestoßenen“ geschieht dies aber nur noch in verschwindendem Maße. Man beobachtet auch in der Tat, wie der zuerst äußerst steile Anstieg (vgl. Fig. 2 Kurve für  $p = 0,042$  mm) immer flacher wird und wie endlich

iefsten Drucken von etwa 20 bis zu 370 Volt ein gerad-  
steigen stattfindet, das im ganzen etwa 30 bis 100 Proz.  
ies bei 20 Volt beträgt. Trotz der tiefsten Vakua, bei  
ngem Pumpen mit Kokosnußkohle und flüssiger Luft,  
uns nicht, das schwache Ansteigen zum Verschwinden  
n. Man muß deshalb annehmen, daß auch bei  
erreichbaren Evakuationsgraden schon bei nie-  
potentialen Stoßionisation eintritt.

ache mit innen berußtem Zylinder zur Vermeidung  
Reflexion<sup>1)</sup> und mit Zylindern aus verschiedenem Mate-

Fig. 2.



Verringerung etwaiger sekundärer Strahlung, lieferten  
selbe Form der Kurven.

ist klar, daß man aus der Art, wie das Einsetzen der  
ierung mit sinkendem Druck zu niederen Potentialen  
die „Ionisierungsspannung“ für die verschiedenen Gase  
n kann. Untersuchungen darüber hoffen wir bald mit-  
können.

erkt sei noch, daß zwar in der Figur die Kurven bei  
lenen Drucken nahe beieinander gezeichnet wurden, daß  
in Wirklichkeit auftretenden Ströme von ganz verschiedener

Größenordnung sind. Eine genaue Untersuchung der Abhängigkeit der Größe der Sättigungsströme vom Druck wird dadurch erschwert, daß die geringsten Änderungen im Oberflächenzustand des Drahtes große Unterschiede in der Stromstärke hervorrufen. Wenn das Potential so weit gesteigert wird, daß leuchtende Entladung eintritt (in einem Falle bei sehr hoher Temperatur schon bei 13,2 Volt), liegt eine gleich danach aufgenommene Kurve bedeutend höher als vorher<sup>1)</sup>. Denselben Effekt bringt auch schon starke Stoßionisation ohne sichtbare Entladung hervor, denn verfolgt man die Stromkurven bei steigendem und fallendem Potential, liegt die letztere stets etwas höher.

## II. Folgerung des Vorhandenseins positiver Ionen aus der Temperaturänderung des glühenden Leiters beim Anlegen eines elektrischen Feldes.

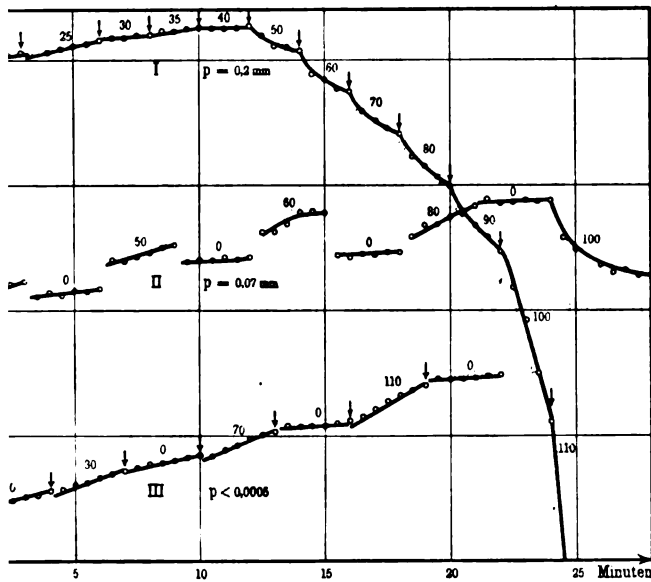
Wie oben bemerkt, war der Ausgangspunkt unserer Untersuchung der Nachweis der Energie der Elektronenemission. Die Versuchsanordnung war hierbei folgende: Der die Elektronen emittierende mit CaO überzogene Platindraht befand sich in der Achse eines Messingzylinders. Der Strom einiger Akkumulatoren durchfloß hintereinander die Regulierwiderstände, ein Normalohm, einen konstanten Widerstand von 0,6 Ohm und den zu glühenden Draht. Letzterer und die 0,6 Ohm bildeten zwei Zweige einer WHEATSTONESchen Brücke, die als Nullinstrument ein hochempfindliches Galvanometer enthielt. Durch geeignete parallelgeschaltete Regulierwiderstände gelang es, den Heizstrom so fein zu regulieren, daß der Widerstand des Drahtes auf  $\frac{1}{100}$  Promille konstant blieb. Die Spannung an den Enden des Normalohms wurde mit dem Kompensationsapparat in der Weise gemessen, daß ein konstanter Hilfsstrom von 1 Milliampere gegen den Heizstrom ungefähr kompensiert und dann der Gang und die Schwankungen im Ausschlage des eigentlich als Nullinstrument gedachten Galvanometers beobachtet wurden. Die Empfindlichkeit der Anordnung war derartig, daß einer Änderung des 2 bis 3 Amp. starken Heizstromes um  $10^{-4}$  Amp. etwa 2 bis 2,5 Skalen-

<sup>1)</sup> Vgl. O. W. RICHARDSON, Phil. Mag. (6) 8, 400, 1904, und H. A. WILSON, Proc. Roy. Soc. (A) 80, 379, 1908.

prachen. Außerdem wurden noch stets die Sättigungswerte genommen.

hätten nun einfach das Verhalten des Heizstromes bei den Potentialen beobachten können, wenn er nicht schon für sich einen sehr großen Gang gehabt hätte, der sich zum Teil vom Nachlassen der Akkumulatorenspannung und zum Teil wohl auch von Widerstandsänderungen des Drahtes infolge von Zerstäubung, teils von Abgabe okkludierter Stoffe her stammt.

Fig. 3.



her stammt. Deshalb wurde während einer Messung ständiges Regulieren des Heizstromes der Widerstand des glühenden Drahtes konstant gehalten, wodurch der Heizstrom ganz bedeutend verkleinert wurde. Man kann wohl annehmen, daß die Temperatur während einer Reihe nahe konstant blieb. Die Beobachtung geschah längere Zeit hindurch alle halben Minuten der Heizstrom gelesen wurde, wobei je einige Minuten lang ein Feld der Drahtstärke hergestellt wurde.

Einige derartige Beobachtungsreihen sind in Fig. 3 dargestellt. Jede Veränderung des elektrischen Feldes zwischen dem glühenden Draht und dem Zylinder bewirkt ein stufenähnliches Umbiegen der Kurve für den Heizstrom („Treppenkurve“). Aus einem Sinken des Heizstromes folgt dann, daß dem Draht von außen Energie zugeführt wird; aus einem Steigen, daß ihm Energie entzogen wird.

Wie man aus der Kurve I der Fig. 3 sieht, tritt bei einem Druck von 0,2 mm für Potentiale bis 35 Volt eine Steigerung des Heizstromes ein, bei 40 Volt bleibt der Strom konstant, während bei weiter wachsendem Potential ein immer schnelleres Sinken des Heizstromes eintritt. Es folgt hieraus, daß durch die Elektronenemission bei niederen Potentialen dem Draht Energie entzogen wird, während bei höheren Potentialen die durch Stoßionisation erzeugten positiven Ionen auf den Draht aufprallen und dort ihre Energie abgeben. Bei 40 Volt befinden sich beide Erscheinungen gerade im Gleichgewicht. Betrachtet man hier die in Fig. 2 gezeichnete Sättigungsstromkurve für den Druck von 0,22 mm, so sieht man, daß bis zu Potentialen von etwa 30 Volt der von den Elektronen getragene Strom gesättigt ist, also nur reine Elektronenemission vorhanden ist, daß aber über 30 Volt Stoßionisation eintritt.

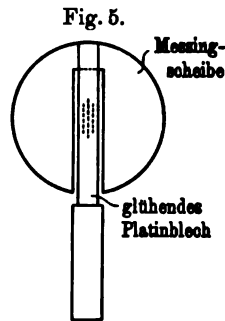
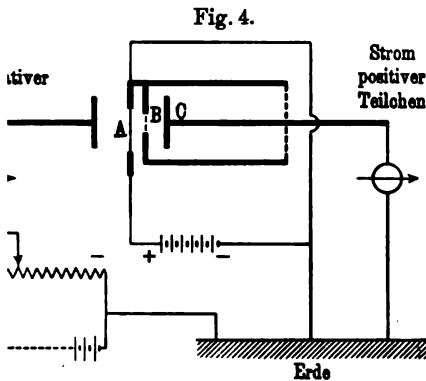
Geht man zu tieferen Drucken über (vgl. Kurve II, Fig. 3), so übersteigt die Energiezufuhr durch die aufprallenden positiven Ionen die Energieentziehung durch Elektronenemission erst bei höheren Potentialen. Bei sehr tiefen Drucken (Kurve III, Fig. 3) überwiegt stets die Energieentziehung bei der Elektronenemission. Beides steht in völligem Einklang mit der Form der jedesmal sofort nach Aufnahme der Treppenkurven aufgenommenen Sättigungsstromkurven.

Eine Umkehrung der Feldrichtung hat keinerlei Einfluß auf den Gang des Heizstromes, wie besondere Versuche ergaben. Da der durch das Gas fließende Strom auch den Draht durchströmt, so ruft er in diesem, je nachdem er sich zum Heizstrom addiert oder subtrahiert, eine geringe Erwärmung oder Abkühlung hervor, die jedoch zu gering ist, um die Treppenkurven wesentlich zu beeinflussen.

titative Messungen der bei niedrigen Potentialen auf Abkühlung, d. h. der zur Aussendung der Elektronen nötigen Energie, hoffen wir bald mitteilen zu können. Die Versuche zeigen, daß sie in der Tat von der theoretisch gegebenen Größenordnung ist.

### direkter Nachweis der durch Stoßionisation erzeugten positiven Ionen.

Um endlich gelang es uns noch, die positiven Ionen durch einen Versuch nachzuweisen. Wenn positive Teilchen auf eine glühende negative Elektrode auffallen, müssen sie durch schmale Löcher hindurchfliegen und eine dahinter angeordnete Platte aufladen, bzw. zwischen dieser und dem glühenden Blech einen durch das Gas gehenden Strom darstellen.



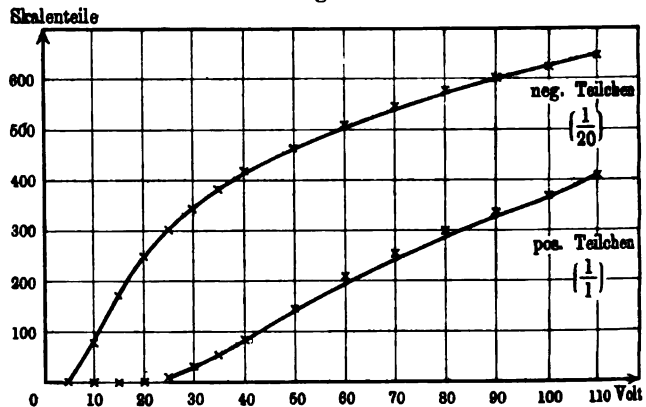
Die Messungen in der Tat diesen positiven Strom galvanometrisch nachzuweisen und zeigen, daß er nur vorhanden ist, wenn das glühende Blech durchbohrt ist.

Die Versuchsanordnung geht aus Fig. 4 hervor. Bei A befindet sich das glühende Blech, das, um ein möglichst homogenes Feld herzustellen, in der aus Fig. 5 ersichtlichen Weise angeordnet ist. Vor dem Blech A stellt ein geerdetes Diaphragma vor, dessen Schlitz etwas kleiner als das glühende Blech ist, um zu verhindern, daß etwaige seitliche Feldverzerrung Elektronen nach C ge-

Von den gleichzeitig aufgenommenen Stromkurven der negativen und der positiven Teilchen gibt Fig. 6 ein Beispiel. Der positive Strom wird in der Tat erst bei einem Potential bemerkbar, bei dem man auch aus den Kurven des negativen Stromes das Vorhandensein von Stoßionisation folgern würde.

Das Verhältnis zwischen den positiven und negativen Strömen, dessen eigentlicher Wert natürlich von der Zahl und Größe der

Fig. 6.



Löcher abhängt, scheint sich mit der Temperatur so zu verändern, daß bei höherer Temperatur von der gleichen Zahl negativer Teilchen eine größere Zahl positiver erzeugt wird als bei tiefen Temperaturen.

Hierüber, wie über andere, jetzt nur gestreifte Fragen, hoffen wir bald ausführlich berichten zu können.

Berlin, Physikalisches Institut der Universität, Juli 1908.

*Kristalle, Myelinformen und künstliche  
en mit flüssig-kristallinen Wänden;*

*von G. Quincke.*

OTTO LEHMANN hat in zwei Mitteilungen vom 1. Mai  
1908 in den Verhandlungen der Deutschen Physi-  
Gesellschaft, S. 321 und 407, meine Untersuchungen  
Plasmaströmungen, Sphärokristalle, Myelinformen und  
doppeltbrechende Zellen kritisiert.

Herrn LEHMANN (S. 324) sollen sich bei gefrierendem  
Eiskriställchen mit der optischen Achse senkrecht zur  
Oberfläche anordnen. Nach meinen Versuchen<sup>1)</sup> liegen bei  
gefrorenem Eis die optischen Achsen der Eiskristalle nicht  
senkrecht zur Oberfläche. Wenn in vielen Fällen im See-  
eis die optische Achse vertikal und normal zur Oberfläche  
gefunden wird,

Schneesterne, welche auf die Oberfläche des über-  
Wassers gefallen sind und flach auf der Oberfläche  
liegen, durch Kontaktwirkung eine orientierte Kristallisation  
erfahren, durch vertikaler optischer Achse eingeleitet haben.

O. LEHMANN will ferner (S. 327) durch seine Arbeiten  
in der Zeitschrift für Kristallographie 1885 und in seiner Mole-  
kularphysik 1888 bis 1889 versucht haben, die Protoplasma-  
strömungen auf Oberflächenspannungsdifferenzen zurückzuführen,  
was er dankte dann von mir 1894 weiter ausgeführt worden sei.

QUINCKE, Ann. d. Phys. (4) 18, 45, 55, 1905.



Dies letztere muß ich bestreiten. Herr LEHMANN<sup>1)</sup> hat 1855 Lösungen von Kautschuk in Benzol mit wässerigem Alkohol gemischt, an einzelnen Tropfen Pulsationen und Wirbel beobachtet, auf die Ähnlichkeit dieser Bewegungen mit der sogenannten Zirkulation des Protoplasmas hingewiesen und dabei bemerkt: „Ob tatsächlich zwischen diesen beiden Bewegungsarten eine Beziehung besteht, mag dahin gestellt bleiben.“ Meine frühere Arbeit<sup>2)</sup> über diese Pulsationen und Wirbel von 1879 (welche in der Molekularphysik I, S. 521, 1888 erwähnt wird) war ihm damals wohl noch nicht bekannt. Ich hatte nämlich 1879 die Wirbelbewegungen und Pulsationen untersucht, welche bei Ausbreitung von sehr verdünnter Seifenlösung auf Öltröpfen unter Wasser auftreten, und damit die amöboiden Bewegungen der Öltröpfen, die Entstehung und Haltbarkeit der Ölemulsionen erklärt. 1888 habe ich<sup>3)</sup> dann die Wirbel bei der periodischen Ausbreitung an Flüssigkeitsoberflächen als ein neues Bewegungsprinzip der anorganischen und organischen Natur nachgewiesen und hiermit die Zirkulationsbewegung des Protoplasmas erklärt, welche Arbeit auch Herr O. LEHMANN 1889 (Molekularphysik II, S. 490, 495 u. ff.) gekannt hat. In der Molekularphysik I, S. 257, werden der Ausbreitung eines Flüssigkeitstropfens an der Grenzfläche einer anderen Flüssigkeit mit Luft sechs Seiten gewidmet und in wenigen Zeilen meine Untersuchungen<sup>4)</sup> von 1869 erwähnt, in welchen die bis dahin unbekannte Oberflächenspannung an der Grenze zweier Flüssigkeiten gemessen und zuerst die Ausbreitung von Flüssigkeiten auf Öl und Quecksilber unter Wasser beobachtet und erklärt worden ist. Diese Art der Ausbreitung unter Wasser ist es aber gerade, welche bei der Bewegung des Protoplasmas und der Amöben eine Rolle spielt. Die Wirkungen der dabei auftretenden Ausbreitungswirbel, welche ich 1879 zuerst beschrieben habe, werden in der LEHMANNschen Molekularphysik I, S. 271, 1888, unter dem Namen Kontaktbewegungen besprochen, ohne daß mein Name erwähnt wird. Übrigens habe ich die Beziehungen meiner 1869 und 1870 er-

<sup>1)</sup> O. LEHMANN, ZS. f. Krist. 10, 12, 1885.

<sup>2)</sup> G. QUINCKE, Pflügers Archiv 19, 129, 1879.

<sup>3)</sup> G. QUINCKE, Wied. Ann. 35, 635, 1888.

<sup>4)</sup> G. QUINCKE, Gött. Nachr. 1869, S. 383; Poggendorffs Ann. 139, 1, 1870.

Arbeiten zu den früheren Untersuchungen über Ausbreitung der Fortschritten der Physik 1870, S. 192 und den Fortschritten der Physik (4) 15, 55, 1904 näher erörtert.

Ich die Existenz flüssiger Kristalle überhaupt leugne, verweigere ich ebenfalls bestreiten, da mir lange bekannt ist, daß doppelbrechendes Eis fließt, wie FORBES<sup>1)</sup> 1845 nachgewiesen hat. Freilich halte ich Myelinformen und ähnliche von EHMANN untersuchte Gebilde nicht für flüssige Kristalle, sondern für Sphärokrystalle, welche durch Quellen oder Schrumpfen entstanden sind, ähnlich wie Leimgallerte, welche durch Quellen oder Schrumpfen entstanden sind, ähnlich wie Leimgallerte aus Schaumkammern mit sehr klebrigen flüssigen Inhalt besteht, positive und negative Doppelbrechung zeigt mit optischer Achse normal zur Oberfläche, wie schon 1902<sup>2)</sup> ausgesprochen und 1904<sup>3)</sup> ausführlich beschrieben habe. Sphärokrystalle zweiter Klasse haben radiale Kammern aus klebriger Flüssigkeit. Sphärokrystalle erster Klasse bestehen aus festen radial gelagerten Kristallen mit Neigung der optischen Achse zum Radius. Wie beide Arten sich bilden, habe ich kürzlich<sup>4)</sup> bei gemischtem Schwefel ausführlich geschildert.

Erklärung der Myelinformen soll unzutreffend sein, da Flüssigkeit nicht durch Druck oder Zug dauernd doppelbrechend werden kann (S. 408). Ich habe aber den Myelinformen keine, sondern vorübergehende Doppelbrechung beigelegt, welche durch Quellen oder geschrumpften Leimgallerte.

J. LEHMANN zitiert mich zwar S. 408, hat aber meine Auffassung gegen seine Auffassung der Myelinformen nicht widerlegt.

Wie kann dasselbe Myelingegebilde aus mehreren gleichartigen chemischer Substanz bestehen mit optischer Achse normal zur Oberfläche, wenn es an einer Seite positive, an

<sup>1)</sup> FORBES, Reisen in den Schweizer Alpen 1845, S. 366; Phil. Mag. (3) 1, S. 143.

<sup>2)</sup> QUINCKE, Ann. d. Phys. (4) 7, 741, 1902.

<sup>3)</sup> Id. (4) 14, 849—885; 15, 4—11 1904.

<sup>4)</sup> Id. (4) 26, 688, 1908.

der anderen Seite negative Doppelbrechung, an anderen Stellen gar keine Doppelbrechung zeigt? Oder wenn an nebeneinander liegenden Stellen derselben Myelinform die positive Doppelbrechung kontinuierlich in negative Doppelbrechung übergeht, wie ich Ann. d. Phys. (4) 15, 9, 1904 gezeigt habe?

Wenn Herr O. LEHMANN diese Tatsachen mit seiner Theorie der flüssigen Kristalle erklärt hat, werde ich auf seine weiteren Einwendungen gegen meine Untersuchungen antworten.

Heidelberg, den 26. August 1908.

von Friedr. Vieweg & Sohn in Braunschweig. ■■

# Kleine Naturlehre und Chemie

mit Berücksichtigung der  
Aologie und der Lehre vom Menschen

für einfache Schulverhältnisse, insbesondere  
für Mädchenschulen bearbeitet von

**H. SACCLER,**  
Schulinspektor.

↔ Zweite vermehrte und verbesserte Auflage. ↔  
Mit 154 in den Text eingedruckten Abbildungen.

**Preis kartoniert 20 Pfennig.**

vorliegende „Kleine Naturlehre und Chemie“ ist für Mädchenschulen sowie Volksschulen mit einfachen Verhältnissen bestimmt, denen wöchentlich in der Regel nur eine Stunde für die Naturlehre zur Verfügung steht. Schulen will das Buch genügend Stoff für mindestens zwei Jahre bieten, doch dürfte es auch noch etwas weitergehenden Stoff vollauf genügen. Der Verfasser will den zu benutzenden Stoff nicht etwa genau vorschreiben, sondern überläßt es der Lehrkraft, die ihm für seine Verhältnisse zweckmäßig erscheinende

Form der Darstellung ist durchweg die entwickelnde; es geht von Beobachtungen und Versuchen aus, daraus werden die Gesetze abgeleitet und den Anwendungen Rechnung getragen. Einleitende Fragen regen zu weiterem Nachdenken an. Für eine große Anzahl von zweckmäßiger Abbildungen ist Sorge getragen. Kleindruck ist in dieser neuen Auflage vollständig verwendet, so daß das Buch jetzt den für das Königreich Preußen geltenden hygienischen Anforderungen in bezug auf Typengröße und Durchschuß in jeder Beziehung entspricht. Preis des Buches hat zwar etwas erhöht werden müssen, aber bei der gediegenen Ausstattung immer noch ein sehr billiges genannt werden können.

Zu beziehen durch alle Buchhandlungen.  ■■

Verlag von Friedr. Vieweg & Sohn in Braunschweig.

Sechs Vorträge  
über das  
**thermodynamische Potential**  
und  
seine Anwendungen auf chemische und physikalische  
Gleichgewichtsprobleme  
eingeleitet durch zwei Vorträge über  
**nichtverdünnte Lösungen**  
und über den  
**osmotischen Druck**  
von **J. J. van Laar.**

Gr. 8°. Preis geh. 3,50 *M.*, geb. 4,20 *M.*

Zweck der vorliegenden Arbeit ist, verschiedene chemische Gleichgewichtsprobleme mit Hilfe des thermodynamischen Potentials auf exakter thermodynamischer Grundlage streng, doch einfach und ohne umständliche mathematische Entwicklungen zu behandeln.

Nachdem in einem einleitenden Vortrage auf das Unzulängliche der gewöhnlichen Theorie der „verdünnten“ Lösungen hingewiesen ist, wobei auch die allgemein verbreitete unrichtige Auffassung des osmotischen Druckes bestritten wird, war es die Aufgabe des zweiten Vortrages, diesen letzten Gegenstand besonders zu beleuchten.

Der osmotische Druck wird als das Druckäquivalent eines gewöhnlichen Diffusionsvorganges betrachtet, und die Nicht-Existenz dieses Druckes in isolierten Lösungen erörtert. Auch die sogenannte Analogie mit dem Gasgesetz wird einer scharfen Kritik unterzogen, und gezeigt, daß diese Analogie nur eine scheinbare sei. Gegenüber dem sekundären Begriffe des osmotischen Druckes wird der primäre des thermodynamischen Potentials hervorgehoben.

In einer Reihe von sechs Vorträgen zeigt der Verfasser sodann, daß die Einführung des thermodynamischen Potentials zu keinerlei verwickelten Berechnungen Anlaß gebe, wie man das oft noch meint, sondern im Gegenteil imstande sei, die verwickeltesten Probleme einfach und exakt zu lösen.

Besonders macht es sich in den ersten drei Vorträgen bemerkbar, daß verschiedene wichtige qualitative Beziehungen auf dem Gebiete der Phasenlehre, ohne Mühe sogleich aufgeschrieben werden können.

In den letzten drei Vorträgen werden sodann in ganz einfacher Weise vielerlei quantitative Beziehungen über Gasdissoziation, Schmelz- und Löslichkeitskurven, Dampfdruckkurven usw. hergeleitet.

Es ergibt sich ferner, daß die verschiedensten elektromotorischen Gleichgewichte einer nämlichen einheitlichen thermodynamischen Behandlung fähig sind.

Wenngleich es verschiedene ausgezeichnete Werke über Thermodynamik gibt, die die genannten Gegenstände mehr oder weniger ausführlich behandeln, so schien es dem Verfasser doch wünschenswert, in einer Reihe von leicht verständlichen Vorträgen das Wichtigste im Lichte der allgemeinen Theorie jedem Studierenden auf diesem Gebiete — Anfänger oder schon Gebildeter — so zugänglich zu machen, daß er selbständig in der angedeuteten Richtung weiter arbeiten kann, was der Entwicklung der theoretischen Chemie sicherlich zugute kommen wird.

Zu beziehen durch alle Buchhandlungen.

## von Friedr. Vieweg & Sohn in Braunschweig.

### Sechstes Heft:

**rischen Bogenlampen, deren Prinzip, Konstruktion und Anwendung von J. Zeidler.** Mit 130 Abbild. u. 1 Kurvenpreis geh. *M* 5.50, geb. *M* 6.—.

**chnik und Maschinenbau:** . . . Das Werk wird seiner Aufgabe durchaus gen wärmstens empfohlen werden. Lob verdient auch die gute Ausstattung, insangewöhnlich klaren und schönen Abbildungen.

### Siebentes Heft:

**und Analyse von Wechselstromkurven von Professor Ernst Orlich.** Mit 71 Abbildungen. Preis geh. *M* 3.50, *M* 4.—.

**ie Bahnen und Betriebe:** Dieser neue Band der Benischkeschen Sammlung *k* in Einzeldarstellungen" stellt eine wichtige Bereicherung unserer Literatur dar. raktischen Bedeutung das hier behandelte Gebiet ist, wird durch ein Beispiel ond, von dem erst jüngst in der Fachpresse berichtet wurde; es handelte sich rügliche Lärmerscheinung, die an Bogenlampen beobachtet wurde, die an ein res Drehstromnetz angeschlossen waren. Als Ursache ergab sich, daß die Spannen überaus unglücklichen Verlauf hatte, insofern, als durch ungünstige Nutzung bertöne in der Welle enthalten waren, deren hoher Puls das bekannte Tönen s hervorrief. Um so verdienstvoller ist daher die vorliegende Arbeit, die t bloß sammelt und sichtet, sondern auch selbständig durchdringt, da der Vergehe theoretische und experimentelle Arbeiten auf diesem Gebiete die Schwierigie wenig andere.

### Achtes Heft:

**hlung und Beleuchtung von Paul Högner.** Mit 37 Abgen. Preis geh. *M* 3.—, geb. *M* 3.50.

**der Elektrotechnik:** Das Bändchen soll den Elektrotechniker bei der Projeksführung von Beleuchtungsanlagen, insbesondere bei der Wahl, Verteilung und er Stärke der Bogenlampen, unterstützen. Der Verfasser hat es verstanden, die Probleme in vorzüglicher Weise zu behandeln, weshalb wir das Buch allen, leuchtungsprojekten zu tun haben, oder welche sich über die bei künstlicher Betracht kommenden Momente unterrichten wollen, bestens empfehlen können.

### Neuntes Heft:

**rischen Bahnen und ihre Betriebsmittel von Dipl.-Ing. Ernst Kyser.** Mit 73 Abbild. u. 10 Tafeln. Preis geh. *M* 5.50, *M* 6.—.

**straßen- und Kleinbahn-Zeitung:** Das vorliegende Werkchen ist leicht verständlich id wird als erste Einführung in das weite Gebiet des elektrischen Bahnbetriebs Nutzen sein, so vor allem das im zweiten Kapitel sehr klar behandelte Verhalten d Wechselstrommotoren von jenen Gesichtspunkten aus, die ihre Verwendbarkeit b bestimmen.

### Zehntes Heft:

**ormittel d. Elektrotechnik' von Ingenieur Karl Wernicke.** 0 Abb. u. einer Ausschlagtab. Preis geh. *M* 5.50, geb. *M* 6.—.

**o Rundschau:** Eine Lücke in unserer deutschen Literatur wird durch das vor k ausgefüllt, das den Gegenstand in erschöpfender Weise behandelt. In fünf nreichen Kapiteln behandelt Verfasser in übersichtlicher Weise die Anforderungen materialien, deren Prüfung, Zusammensetzung der wichtigsten Isoliermaterialien, und Freileitungsisolatoren. Zahlreiche, gute Illustrationen erleichtern das Ver fextes.

### Elftes Heft:

**ttätige Regulierung der elektrischen Generatoren von Ingenieur Dr. ing. Friedr. Natalis.** Mit 75 Abbildungen im und auf 4 Tafeln. Preis geh. *M* 4.—, geb. *M* 4.50.

---

**ausführliches Prospektheft kostenlos.**



**Berichte**  
der  
**Deutschen Physikalischen Gesellschaft**

enthaltend

**Verhandlungen**

der Deutschen Physikalischen Gesellschaft  
Auftrage der Gesellschaft herausgegeben

von

**Karl Scheel**

und

**Halbmonatliches Literaturverzeichnis**

„Fortschritte der Physik“, dargestellt von der  
Deutschen Physikalischen Gesellschaft

redigiert von

**Karl Scheel**      **Richard Assmann**

für reine Physik

für kosmische Physik

**Inhalt.**

Verhandlungen der Deutschen Physikalischen Gesellschaft. (Fehlen.)  
Halbmonatliches Literaturverzeichnis der Fortschritte der  
I. Allgemeine Physik. S. 333. — II. Akustik. S. 334. — III. Physi-  
Chemie. S. 334. — IV. Elektrizität und Magnetismus. S. 336. —  
V. Spektrum des gesamten Spektrums. S. 339. — VI. Wärme. S. 340. —  
VII. Kosmische Physik. S. 342.

**Braunschweig**

Verlag von Friedrich Vieweg und Sohn

1908

Nummern. — Abonnementspreis pro Jahrgang 8 Mark. — Zu beziehen  
durch alle Buchhandlungen und Postanstalten.



**Photometer**  
**Spektral-Apparate**  
**Projektions-Apparate**  
**Glas-Photogramme**  
**Physik. Apparate n. Prof. Grimsehl**  
**Optisches Institut von A. Krüss**  
 Inhaber: Dr. Hugo Krüss. **HAMBURG.**

**Max Kohl \* Chemnitz i. S.**

**Werkstätten für Präzisions-Mechanik**

liefert als Spezialität:

**Komplette Einrichtungen f. physikalische und chemische Laboratorien.**

**Physikalische und chemische Apparate und Gerätschaften.**

**Elektrotechnische Abteilung.**

**Notiz:** Außer den in meinem Etablissement vorhandenen modern eingerichteten **Mechaniker-Werkstätten** habe ich auch eigene **Dampfschlerei, Holz-, Metall- und Fein-Lackiererei, Klempnerei, Schlosserei, 2 Präzisions-Teilmaschinen** usw. in meiner Fabrik und bin deshalb in der Lage, alle zukommenden Arbeiten durch mein eigenes Personal ausführen zu lassen. Meinen Herren Abnehmer haben dadurch Gewähr, zu mäßigen Preisen solide ausgeführte Apparate zu erhalten, bei deren Konstruktion stets die neuesten auf dem Gebiet der Wissenschaft gemachten Fortschritte Berücksichtigung finden! 350 Arbeiter, 40 Beamte, 9600 qm Arbeitsfläche.

**Einrichtungen kompl. Röntgenkabinette** mit Funkeninduktoren aller Größen und für jede Betriebsart. (Die Kohl'schen Funkeninduktoren werden allseitig als die preiswertesten und leistungsfähigsten anerkannt.)

**Neu! Demonstrations-Apparat für Fernphotographie** nach Prof. Dr. Arthur Korn, München

**Neu! Experimentier-Schalttafeln** für die kleinsten und größten Stromentnahmen aus dem Leitungsnetze städtischer Zentralen. Man verlange Spezial-Prospekt.

Preislisten mit ausführlichen Beschreibungen, Referenzen usw. kostenfrei

Verlag von Friedr. Vieweg & Sohn in Braunschweig

**Die Schutzvorrichtungen der Starkstromtechnik**  
 gegen atmosphärische Entladungen.

Von **Dr. Gustav Benischke,**

**Chef-Elektriker.**

Mit 43 eingedruckten Abbildungen. gr. 8. Preis geh. 1,20 M., geb. 1,50 M.

**Berichte**  
der  
**Deutschen Physikalischen Gesellschaft**

enthaltend

**Verhandlungen**

der Deutschen Physikalischen Gesellschaft  
im Auftrage der Gesellschaft herausgegeben

von

**Karl Scheel**

und

**Halbmonatliches Literaturverzeichnis**

der „Fortschritte der Physik“, dargestellt von der  
Deutschen Physikalischen Gesellschaft

redigiert von

**Karl Scheel**

für reine Physik

**Richard Assmann**

für kosmische Physik

**Inhalt.**

1. Verhandlungen der Deutschen Physikalischen Gesellschaft. (Fehlen.)  
— 2. Halbmonatliches Literaturverzeichnis der Fortschritte der  
Physik. I. Allgemeine Physik. S. 349. — II. Akustik. S. 351. — III. Physi-  
kalische Chemie. S. 351. — IV. Elektrizität und Magnetismus. S. 352. —  
V. Optik des gesamten Spektrums. S. 355. — VI. Wärme. S. 356. —  
VII. Kosmische Physik. S. 357.

**Braunschweig**

Druck und Verlag von Friedrich Vieweg und Sohn

1908

**Photometer**  
**Spektral-Apparate**  
**Projektions-Apparate**  
**Glas-Photogramme**  
**Physik. Apparate n. Prof. Grimsehl**  
**Optisches Institut von A. Krüss**  
 Inhaber: Dr. Hugo Krüss. **HAMBURG.**

**P**räzisions-Reißzeuge (Rundsystem)  
 Nickelstahl-Kompensationspendel  
 Astronomische Uhren.

**Clemens Riefler**  
 Fabrik mathemat. Instrumente  
 Nesselwang u. München  
 Bayern.

Paris 1900 Grand Prix.

Illustrierte Preislisten gratis.

Gegründet  
 1859.

**Wilh. Lambrecht, Göttingen**

(Georg  
 August).

Fabrik wissenschaftlicher Instrumente.

**Meteorologie:** Instrumente zur Wetterverausbestimmung auf streng wissenschaftlicher Basis, dem Laien verständlich.

**Hygiene:** Instrumente zur Messung des Feuchtigkeitsgehaltes der Luft in Wohn- und Schlafräumen, Krankenhäusern, Schulzimmern usw.

**Technik:** Instrumente zur Messung des Feuchtigkeitsgehaltes der Luft in allen technischen Betrieben, wie Spinnerolen, Webereien, Mälzereien, Tabak- und Zigarrenfabriken usw.

Man verlange Gratis-Drucksache Nr. 117.

Verlag von Friedr. Vieweg & Sohn in Braunschweig

**Hermann von Helmholtz**

von Leo Koenigsberger.

Erster Band. Mit drei Bildnissen. gr. 8. Preis geh. 8 *M.*, geb. in Leinwand 10 *M.*, geb. in Halbfranz 12 *M.*

Zweiter Band. Mit zwei Bildnissen. gr. 8. Preis geh. 8 *M.*, geb. in Leinwand 10 *M.*, geb. in Halbfranz 12 *M.*

Dritter Band. Mit vier Bildnissen und einem Brieffacsimile. gr. 8. Preis geh. 4 *M.*, geb. in Leinwand 5 *M.*, geb. in Halbfranz 7 *M.*

**Berichte**  
der  
**Deutschen Physikalischen Gesellschaft**

enthaltend

**Verhandlungen**

der Deutschen Physikalischen Gesellschaft  
Auftrage der Gesellschaft herausgegeben

von

**Karl Scheel**

und

**Monatliches Literaturverzeichnis**

„Fortschritte der Physik“, dargestellt von der  
Deutschen Physikalischen Gesellschaft

redigiert von

**Karl Scheel**

für reine Physik

**Richard Assmann**

für kosmische Physik

---

**Braunschweig**

Verlag von Friedrich Vieweg und Sohn

1908

# Inhalt.

## 1. Verhandlungen der Deutschen Physikalischen Gesellschaft.

|  |     |
|--|-----|
| 80. Versammlung Deutscher Naturforscher und Ärzte zu Cöln vom 20. bis 26. September 1908 . . . . .   | 619 |
| Berichte über die Sitzungen vom 21. bis 24. September 1908 . . . . .   | 619 |
| Erich Marx, Einfluß der Röntgenstrahlen auf das Einsetzen der Glimmentladung. (Vorgetragen in der Sitzung vom 21. September 1908.) . . . . .   | 621 |
| Paul Liesegang, Konstruktionstypen des Kinematographen. (Vorgetragen in der Sitzung vom 21. September 1908.) . . . . .   | 622 |
| A. L. Bernoulli, Atomzerfall und Serienspektren. (Vorgetragen in der Sitzung vom 21. September 1908.) . . . . .  | 623 |
| Edgar Meyer, Über Lumineszenzerscheinungen an blauem Flußspat. (Vorgetragen in der Sitzung vom 21. September 1908.) . . . . .  | 624 |
| Edgar Meyer, Notiz über ein einfaches Phosphoroskop . . . . .  | 625 |
| G. Berndt, Über Hysteresis bei einigen Eisenverbindungen. (Vorgetragen in der Sitzung vom 21. September 1908.) . . . . .   | 626 |
| J. Drecker, Über Gnomone und Sonnenuhren, ihre Geschichte und Literatur. (Vorgetragen in der Sitzung vom 22. September 1908.) . . . . .  | 627 |
| F. Löwe, Gitterspektroskop mit nach Wellenlängen bezifferter Mikrometerschraube. (Vorgetragen in der Sitzung vom 22. September 1908.) . . . . .  | 628 |
| Heinrich Willy Schmidt und Paul Cermak, Beitrag zur Frage über den Einfluß der Temperatur auf die Umwandlung radioaktiver Substanzen. (Vorgetragen in der Sitzung vom 22. September 1908.) . . . . . | 629 |
| A. H. Bucherer, Messungen an Becquerelstrahlen. Die experimentelle Bestätigung der Lorentz-Einsteinschen Theorie. (Vorgetragen in der Sitzung vom 22. September 1908.) . . . . .                     | 630 |
| J. Classen, Eine Neubestimmung von $\epsilon/\mu$ für Kathodenstrahlen. (Vorgetragen in der Sitzung vom 22. September 1908.) . . . . .   | 631 |
| W. Wien, Über positive Strahlen. (Vorgetragen in der Sitzung vom 22. September 1908.) . . . . .  | 632 |
| H. Rubens, Änderung des Emissionsvermögens der Metalle mit der Temperatur. Nach gemeinsam mit Herrn E. Hagen ausgeführten Versuchen. (Vorgetragen in der Sitzung vom 22. September 1908.) . . . . .  | 633 |
| J. Stark, Neue Beobachtungen an Kanalstrahlen in Beziehung zur Lichtquantenhypothese. (Vorgetragen in der Sitzung vom 22. September 1908.) . . . . .   | 634 |
| Mathias Cantor, Über eine neue Wirkung des elektrischen Stromes. (Vorgetragen in der Sitzung vom 23. September 1908.) . . . . .  | 635 |
| Max Planck, Bemerkungen zum Prinzip der Aktion und Reaktion in der allgemeinen Dynamik. (Vorgetragen in der Sitzung vom 23. September 1908.) . . . . .   | 636 |
| O. v. Baeyer, Über den Einfluß der Dispersion auf den Gangunterschied beim Interferenzspektroskop nach Lummer-Gehrcke. (Vorgetragen in der Sitzung vom 23. September 1908.) . . . . .                | 637 |
| P. Debye, Das elektromagnetische Feld um einen Zylinder und die Theorie des Regenbogens. (Vorgetragen in der Sitzung vom 23. September 1908.) . . . . .  | 638 |

|  | Seite |
|--|-------|
| P. Zeeman, Spektralanalytische Untersuchung der magnetischen Felder auf der Sonne. (Vorgetragen in der Sitzung vom 23. September 1908.)  | 750   |
| Georg Meyer, Demonstration einer neuen Saug- und Druckluftpumpe nach Gaede. (Vorgetragen in der Sitzung vom 23. September 1908.)   | 753   |
| W. Voigt, Eine Einwirkung natürlich aktiver Körper auf das an ihnen reflektierte Licht (nach Beobachtungen von K. Försterling). (Vorgetragen in der Sitzung vom 28. September 1908.)   | 757   |
| P. Nordmeyer, Über Funkenpotentiale bei zwei hintereinander geschalteten Funkenstrecken. (Vorgetragen in der Sitzung vom 23. September 1908.)  | 763   |
| Karl Schael und Wilhelm Heuse, Über scheinbare Abweichungen vom Mariotteschen Gesetz und deren Einfluß auf die Messung kleiner Drucke. (Vorgetragen in der Sitzung vom 23. September 1908.)  | 785   |
| W. König, Über Demonstration langsamer elektrischer Schwingungen. (Vorgetragen in der Sitzung vom 23. September 1908.)   | 794   |
| H. Strache, Die Erklärung des periodischen Systems der Elemente mit Hilfe der Elektronentheorie. (Vorgetragen in der Sitzung vom 25. September 1908.)  | 798   |
| A. Remelé, Über chemisch wirkende elektrische Strahlungen. (Vorgetragen in der Sitzung vom 24. September 1908.)  | 804   |
| E. van Everdingen, Über die Ermittlung des Winkels zwischen Gradient und Windrichtung. (Vorgetragen in der Sitzung vom 22. September 1908.)  | 808   |
| Adolf Koepsel, Über eine neue Methode zur fortlaufenden Analyse von Gasgemischen auf elektrischem Wege mit Anwendung auf die Bestimmung der Strömungsgeschwindigkeit von Gasen. (Vorgetragen in der Sitzung vom 3. Juli 1908.)         | 814   |
| Josef Rosenthal, Über einige Versuche mit lichtelektrischen Gaszellen bei großen Stromstärken. (Vorläufige Mitteilung.)  | 828   |
| Preis Ausschreiben der Deutschen Meteorologischen Gesellschaft   | 830   |
| <b>2. Halbmonatliches Literaturverzeichnis der Fortschritte der Physik.</b>  |       |
| I. Allgemeine Physik. S. 363. — II. Akustik. S. 365. — III. Physikalische Chemie. S. 365. — IV. Elektrizität und Magnetismus. S. 367. — V. Optik des gesamten Spektrums. S. 370. — VI. Wärme. S. 371. — VII. Kosmische Physik. S. 373. |       |

## **Photometer**

**Spektral-Apparate**

**Projektions-Apparate**

**Glas-Photogramme**

**Physik. Apparate n. Prof. Grimsehl**

**Optisches Institut von A. Krüss**

**Inhaber: Dr. Hugo Krüss.**

**HAMBURG.**

**Die Herren Mitglieder der Deutschen Physikalischen Gesellschaft,  
insbesondere diejenigen außerhalb Berlins**

erlaubt sich der Unterzeichnete darauf aufmerksam zu machen, daß wissenschaftliche Mitteilungen, welche in einer Sitzung der Gesellschaft durch ein anwesendes Mitglied vorgelegt werden (§ 21 der Satzungen), binnen zwei bis höchstens drei Wochen in den „Verhandlungen der Deutschen Physikalischen Gesellschaft“ erscheinen. Die Vorlage von Mitteilungen in einer Sitzung zu vermitteln, ist der Unterzeichnete jederzeit bereit.

**Professor Dr. Karl Scheel,**  
Wilmerdorf bei Berlin, Gützelstraße 43

**Verlag von Friedr. Vieweg & Sohn in Braunschweig**

**Theoretische Betrachtungen  
über die Ergebnisse der  
Wissenschaftlichen Luftfahrten  
des Deutschen Vereins zur Förderung der Luftschiffahrt in Berlin  
von Wilhelm von Bezold.**

Mit 17 eingedruckten Abbildungen. gr. 4. geb. Preis 1  $\mathcal{M}$

**LEPPIN & MASCHKE**

Berlin SO.

Engelufer 17.

**Fabrik wissenschaftlicher Instrumente.**

**Physikalische Apparate • Chemische Apparate.**



**Verstellbare Selbstinduktion mit Kurbelbewegung.  
Kupferrohr auf Hartgummizylinder,  
10 m Verstellungslänge Mark 96,—.**

**Anfertigung kompletter Laboratoriumseinrichtungen.**

# Verhandlungen der Physikalischen Gesellschaft

Auftrage der Gesellschaft herausgegeben

von

**Karl Scheel**

---

30. Oktober 1908. Nr. 18/20.

---

**Sammlung Deutscher Naturforscher und Ärzte  
in Köln vom 20. bis 26. September 1908.**

**2: Physik, einschließlich Instrumentenkunde  
und wissenschaftliche Photographie.**

**Beginn: vom 21. September 1908, nachm. 3 Uhr.**

**Vorsitzender: Herr M. PLANCK (Berlin).**

**Referat von:**

**1. Marx (Leipzig):** Einfluß der Röntgenstrahlen auf das Verhalten der Glimmentladung.

**2. Born (München):** Über die Lösung der Grundprobleme der Elastizitätstheorie.

**3. Paul Liesegang (Düsseldorf):** Konstruktionstypen des Hologramms.

**4. Bernoulli (Aachen):** Atomzerfall und Serienspektren.

**5. Meyer (Zürich):** Über Lumineszenzerscheinungen am Flußspat.



- Hr. **G. Berndt** (Cöthen): Über Hysteresis bei  
verbindungen.  
Hr. **Wiessner** (Freiwaldau): Beitrag zur Bestimmung  
des Lichtes.
- 

**Sitzung vom 22. September 1908, von**

---

Vorsitzender: Herr A. v. OETTINGEN (Le

---

Es trugen vor:

- Hr. **A. Bestelmeyer** (Göttingen): Demonstration eines  
variometers zur Messung der Vertikalgeschwindigkeit  
ballon.  
Hr. **Herm. Th. Simon** (Göttingen): Über neuere  
Erzeugung elektrischer Schwingungen und  
selben für die drahtlose Telegraphie.  
Hr. **H. Lehmann** (Jena): 1. Über die ultraroten  
noch nicht beobachtete Serienlinien von 20 M  
2. Über einen neuen Schirm mit metallischer  
Projektion farbiger und lichtschwacher Bilder  
Hr. **Fr. Klingelfuss** (Basel): 1. Neuerungen an  
besondere für Strom- und Spannungsmessung  
2. Über ein neues Verfahren zur kontinuierlichen  
Härte einer Röntgenröhre.  
3. Über ein neues Meßverfahren zur Dosierung  
strahlen mittels Strom- und Spannungsmessung  
gedämpften Welle.  
Hr. **R. Gans** (Tübingen): Etalon für die magnetischen  
Hr. **J. Drecker** (Aachen): Über Gnomone und Sonne  
Geschichte und Literatur.  
Hr. **F. Löwe** (Jena): Gitterspektroskope mit nach  
bezifferter Mikrometerschraube.  
Hr. **F. Henning** (Charlottenburg): Der Sättigungsdampfdruck  
Wasserdampfes zwischen 50° und 200° C (nach  
mit Hrn. L. HOLBORN ausgeführten Versuchen)
-

**vom 22. September 1908, nachm. 3 Uhr.**

Vorsitzender: Herr E. LECHER (Prag).

gelesen vor:

**Dr. Willy Schmidt** (Gießen): Beitrag zur Frage über den Einfluß der Temperatur auf die Umwandlung radioaktiver Substanzen (nach gemeinsam mit Hrn. PAUL CERMAK angestellten Versuchen).

**Dr. Bucherer** (Bonn): Messungen an Becquerelstrahlen. Experimentelle Bestätigung der LORENTZ-EINSTEINSchen Theorie.

**Dr. H. H. Asen** (Hamburg): Eine Neubestimmung von  $\epsilon/\mu$  für Röntgenstrahlen.

**Dr. H. H. Asen** (Würzburg): Über positive Strahlen.

**Dr. H. H. Asen** (Berlin): Änderung des Emissionsvermögens der Röntgenstrahlen mit der Temperatur (nach gemeinsam mit Hrn. H. H. Asen angestellten Versuchen).

**Dr. H. H. Asen** (Greifswald): Neue Beobachtungen an Kanalstrahlen. Beziehung zur Lichtquantenhypothese.

**Dr. H. H. Asen** (Breslau): 1. Über die Dispersion des Brechungsindex des Wasserstoffes (nach gemeinsam mit Hrn. STAVROPOULOS angestellten Versuchen).

Über die Anfangsgeschwindigkeit lichtelektrischer Elektronen. Versuche von ERICH LADENBURG † und Hrn. KARL H. H. Asen. (Vgl. diese Verh. S. 562—577.)

**vom 23. September 1908, vorm. 9 Uhr.**

Vorsitzender: Herr H. KAYSER (Bonn).

gelesen vor:

**Dr. H. H. Asen** (Würzburg): Über eine neue Wirkung des elektrischen Stromes.

**Dr. H. H. Asen** (Berlin): Über Reflexion und Sekundärstrahlung durch Kathodenstrahlen. (Vgl. diese Verh. S. 96—114.)

- Hr. **Chr. Füchtbauer** (Würzburg): Versuche über  
strahlen, die von sehr langsamen Kathodenstrahl
- Hr. **Max Planck** (Berlin): Bemerkungen zum Prinz  
und Reaktion in der allgemeinen Dynamik.
- Hr. **O. v. Baeyer** (Berlin): Über den Einfluß der  
den Gangunterschied beim Interferenzspek  
LUMMER-GEHRCKE.
- Hr. **Cl. Schaefer** (Breslau): Beugung elektromagne  
an zylindrischen Hindernissen.
- Hr. **P. Debye** (München): Das elektromagnetische  
Zylinder und die Theorie des Regenbogens.
- Hr. **G. F. C. Searle** (Cambridge): Über elastische U
- Hr. **P. Zeeman** (Amsterdam): Spektralanalytische  
der magnetischen Felder auf der Sonne.
- Hr. **M. Laue** (Berlin): Über das Additionstheorem  
(Vgl. diese Verh. 9, 606—620, 1907.)
- Hr. **Chr. Fredenhagen** (Leipzig): Temperaturstrahl  
aktionsstrahlung und ihre Bedeutung für die  
und Photochemie.

---

**Sitzung vom 23. September 1908, nac**

Vorsitzender: Herr W. VOIGT (Göttinge

Es trugen vor:

- Hr. **Georg Meyer** (Cöln): Demonstration einer Sau  
luftpumpe nach GAEDE.
- Hr. **Karl T. Fischer** (München): Fixpunkte für  
turen.
- Hr. **W. Voigt** (Göttingen): Eine Einwirkung nat  
Körper auf das an ihnen reflektierte Licht (E  
tungen von Hrn. K. FÖRSTERLING).
- Hr. **Karl Scheel** (Charlottenburg): Brechung und  
Heliums (nach gemeinsam mit Hrn. RUDOLF  
geführten Versuchen). (Vgl. diese Verh. S. 20
- Hr. **W. Felgentraeger** (Charlottenburg): Die Verze  
von Mikroskopobjektiven.

**dmeyer (Aachen):** Über Funkenpotentiale bei zwei inander geschalteten Funkenstrecken.

**m Heuse (Charlottenburg):** Über scheinbare Abngen vom MARIOTTESchen Gesetz und deren Einfluß  
Messung kleiner Drucke (nach gemeinsam mit Hrn. SCHEEL ausgeführten Versuchen).

**nig (Gießen):** Über Demonstrationen langsamer elektrischer Schwingungen.

Am Freitag, den 25. September 1908, nachmittags, fand ein Ausflug der Abteilung nach Bonn zur Besichtigung der dortigen Institutseinrichtungen statt.

In den verschiedenen Abteilungen wurden folgende Vorträge von physikalischer Interesse gehalten:

**Sitzung beider Hauptgruppen,  
Freitag, den 24. September 1908, vorm.**

**Werner (Leipzig):** Über Farbenphotographie und verwandte naturwissenschaftliche Fragen.

Abteilung 1a: Mathematik.

**Sitzung vom 21. September 1908, nachm.**

**Winkowski (Göttingen):** Raum und Zeit.

**Winkel (Brünn):** Über die Grundlagen der Mechanik.

**Werner (Straßburg):** Die historische Entwicklung des Begriffs der Energie.

**Sitzung vom 22. September 1908, vorm.**

**Winkel (Karlsruhe):** Ausgezeichnete Kreisbewegungen.

**Wiesner (Brünn):** Probleme der technischen Hydrodynamik.

**Sitzung vom 23. September 1908**

- Hr. **H. Reissner** (Aachen): Wissenschaftliche Pro-  
technik.

Abteilung 1b: Astronomie und Geo-

**Sitzung vom 21. September 1908**

- Hr. **F. S. Archenhold** (Treptow-Berlin): Über eine  
Treptower Fernrohr beobachtete Veränderung  
fläche.

- Hr. **Hänel** (Dresden): Die Vergrößerung der Gestir-

**Sitzung vom 22. September 1908,**

- Hr. **Ernst Stephani** (Kassel): Bahnen der Sonne  
und 1907.

- Hr. **J. F. H. Schulz** (Hamburg): Die Sonnenflecke  
produkte eruptiver Protuberanzen.

Abteilung 3: Angewandte Mathematik und  
Elektrotechnik und Ingenieurwissensch-

**Sitzung vom 23. September 1908,**

- Hr. **A. Korn** (München): Neue Resultate der Tele-

- Hr. **Corsepius** (Cöln): Die Fehlerquellen des  
Kugelphotometers und ihre Vermeidung mit Be-  
einer neuen Anordnung für hemisphärische Me-

Abteilung 4: Chemie, einschließlich Elekt-

**Sitzung vom 21. September 1908,**

- Hr. **J. Stark** (Greifswald): Spektrale Beobachtung  
Fluoreszenz organischer Körper.

**ung vom 22. September 1908, nachm.**

---

**fabinyi** (Klausenburg): Beiträge zur Frage über Eigenänderungen des Chlors.

**ten** (Utrecht): Neues über die Zinnpest: die Museumszeit.

---

**ung vom 24. September 1908, nachm.**

(Gemeinsam mit Abteilung 2: Physik.)

---

**ache** (Wien): Die Erklärung des periodischen Systems Elemente mit Hilfe der Elektronentheorie.

**nelé** (Eberswalde): Über chemisch wirkende elektrische Ionen.

---

**7:** Geographie, Hydrographie und Kartographie, abgeteilt mit Abteilung 6: Geophysik, Meteorologie und Erdmagnetismus.

---

**ung vom 21. September 1908, nachm.**

---

**rebs** (Groß-Flottbeck): 1. Das meteorologische Jahr 1908.

2. Die Entwicklung des Planetensystem.

---

**ung vom 22. September 1908, vorm.**

---

**rebs** (Groß-Flottbeck): 1. Die Beobachtung der Sonnenfinsternis im Dezember 1908 und die Erforschung des Bouvetlandes.

2. Die Entwicklung der Erde in Mondentfernung.

**lis** (Aachen): 1. Bedeutung der drahtlosen Telegraphie für die moderne Witterungskunde.

2. Die Entwicklung der Tiefdruckgebiete über den Atlantischen Ozean.

**Stephani** (Kassel): Sonnenflecke. Störungen der Magnetosphäre und Witterung.

---

**Sitzung vom 22. September 1908,**

---

- Hr. **H. Wehner** (Frankfurt): Das Innere der Erde und  
Hr. **E. van Everdingen** (de Bilt-Utrecht): Über die  
des Winkels zwischen Gradient und Windrichtung  
Hr. **W. Krebs** (Groß-Flottbeck): 1. Demonstration  
graphien der Nachdämmerung des 30. Juni 1908  
BISHOP'schen Aureole.  
2. Demonstrationen einiger Vereinfachungen des me-  
Instrumentariums.
- 

**Sitzung vom 23. September 1908,**

---

- Hr. **F. S. Archenhold** (Trepow-Berlin): Stereoskop-  
nahmen von dunkeln Blitzen.  
Hr. **Eckart** (Aachen): Über die Änderung des Klima-  
geologischen Vergangenheit und der historischen
- 

Abteilung 8: Mineralogie, Geologie und Paläontologie

---

**Sitzung vom 22. September 1908,**

---

- Hr. **A. Wülfing** (Kiel): Demonstration an großen  
und anderen neuen Vorlesungsapparaten zur  
der kristallographischen Symmetrie.
- 

Als Ort der nächsten Versammlung wurde Salzwedel

---

**Ueber die Wirkung der Röntgenstrahlen auf das Einsetzen  
der Glümmenladung;  
von Erich Marx.**

in der Sitzung der physikalischen Abteilung der 80. Versammlung  
Naturforscher und Ärzte zu Cöln am 21. September 1908.)

(Vgl. oben S. 619.)

Gasexperimente, welche ich bei meiner Untersuchung der Geschwindigkeit der Röntgenstrahlen anstellte, zeigten, bei richtiger Einstellung des verwendeten Apparates ein der einen Elektrode gegenüberstehendes Elektrometer schwache Ausschläge anzeigte, wenn die Elektrode positiv angetroffen und starke negative Ausschläge, wenn sie negativ anwurde. Auf diese Weise ließ sich die Wellenlänge der Strahlung, welche die Einstellung des Apparates bedingte, durch die Einwirkung der Röntgenstrahlen nachweisen.

Die positiven Elektrometeraussschläge hatten hierbei solche Werte, die sie nur durch Einsetzen einer selbständigen Feldentladung werden konnten, während die Größenordnung der Ausschläge derjenigen entsprach, die nach den Ionenstrahlen, die durch Röntgenstrahlen eingeleitet werden, zu erwarten war. Die theoretische Erklärung für dieses einseitige Verhalten der Feldentladung, und das Verhalten des Nullwertes überhaupt habe ich seinerzeit zu geben versucht<sup>1)</sup>. Im Zusammenhang mit meinen damaligen Publikationen wurde ich von Herrn G. G. gütigst brieflich darauf aufmerksam gemacht, daß eine experimentelle Stütze für die in Diskussion gezogene, lösende Wirkung der Röntgenstrahlen gar nicht vorhanden ist, daß es deshalb für diese Sache von großer Wichtigkeit ist, möglichst durchsichtigen Versuchsbedingungen diese Wirkung der Röntgenstrahlen zur Demonstration zu bringen. In Anbetracht der hierauf von mir unternommenen Untersuchung<sup>2)</sup>

<sup>1)</sup> h. d. Deutsch. Phys. Ges. 10, 138, 1908.

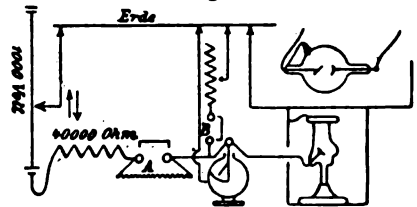
<sup>2)</sup> d. Kgl. Sächs. Ges. d. Wiss. 1908.



will ich Ihnen heute vorführen. Ich darf bemerken zeigte, daß meine Behauptungen über die Wirkung Röntgenstrahlen prinzipiell durchaus richtig, aber sequenzen noch lange nicht weitgehend genug geworden sind. Ich werde ihnen nämlich zeigen, daß, wenn eine Pt-Elektrode in negativem Zustande durch ein geerdetes Al-Fensterstrahlen getroffen wird, die Entladung, wie seinerzeit berichtet wurde, beträchtlich erleichtert wird, daß sie aber nicht erleichtert wird, wenn sie positiv angetroffen wird, in diesem Falle beträchtlich erschwert wird, so daß die Entladung bei positiv angetroffener Elektrode erst dann erfolgt, wenn die Röntgenstrahlen ausgeschaltet sind. Dieses Verhalten ist auf den ersten Blick paradox erscheinen. Man sollte erwarten, daß im Falle des positiv angetroffenen Al-Fensters, das ja dann Kathode ist, die Entladung gelöst wird.

Das Schema des Apparates ist aus der Fig. 1. Das Al-Fenster bleibt geerdet; die bestrahlte Pt-Elektrode

Fig. 1.



während der beiden Experimente, die ich zeigen werde, die Entladung erleichtert wird, wie ich zeigen werde.

Es wird — 700 Volt angelegt, ohne daß eine Entladung eintritt, und gezeigt, daß bei — 500 Volt bereits Auslösung eintritt. Andererseits wird gezeigt, daß ohne Röntgenstrahlen keine Entladung eintritt. Röntgenstrahlen + 500 Volt angelegt werden können, ohne daß eine Entladung eintritt.

Die Erklärung dieses Experimentes liegt ganz in der früher angegebenen Theorie des Nullapparates, die ich in gleicher Richtung etwas tiefer als früher. Der Vortrag enthält ich mich, hier näher auf diese theoretische Erklärung zugehen. Hier kommt es mir wesentlich auf die Fest-

n, daß, wenn eine Pt-Elektrode im positiven Zustande  
enstrahlen angetroffen wird, eine nicht schon vorher  
Entladung nicht nur nicht einsetzen kann, sondern  
il erschwert wird, daß aber das Umgekehrte der Fall  
die Elektrode negativ angetroffen wird, daß dann die  
um etwa 40 Proz. erleichtert wird. Daß hierbei die  
es bei positiver Elektrode durch die Röntgenstrahlen  
Zustandes, im Falle der schwingenden Elektrode, der  
er Entladungserscheinung günstig ist, ist leicht ein-  
d möge ebenfalls nur angedeutet, nicht explizite ent-  
rden.

---

**Konstruktionstypen des Kinematographen**  
**von F. Paul Liesegang.**

(Vorgetragen in der Sitzung der physikalischen Abteilung  
 der Deutschen Naturforscher und Ärzte zu Köln am 21.  
 (Vgl. oben S. 619.)

Der moderne Kinematograph ist charakterisiert durch die Anwendung eines perforierten Filmbandes und die sprunghaft erfolgenden Belichtungen. Die Konstruktionen des Bewegungsmechanismus teilen sich in zwei Gruppen: solche, die den Film ruckweise vorwärts bewegen, und solche, bei denen der Film kontinuierlich läuft. In dem ersten Bild durch Mitbewegung eines Apparatteiles periodisch gemacht wird. Unter den Apparaten der ersten Gruppe man hinwieder vier Haupttypen, die man kurz als „Malteserkreuz“, „Schläger“ und „Reibungsscheibe“ bezeichnet.

Die Anforderungen, welche an den Mechanismus gestellt werden, sind: ruhiges Stehen der Bilder und Schockfreiheit des Filmbandes; beim Wiedergabeapparat ferner: flimmerfreie Wiedergabe während beim Aufnahmeapparat auf das Flimmern Rücksicht genommen zu werden braucht. Um das Flimmern zu vermeiden, muß man den durch eine Blende verdunkelten Vorgang von Bild zu Bild möglichst kurz gestalten. In diese Beschleunigung gewonnene Zeit kommt den Bildern zu, indem diese entsprechend länger stehen bleiben. Das ruhige Stehen der Bilder erstrebt man durch exakte und gleichmäßige Führung; diese Forderung ist aber um so schwerer zu erfüllen, je mehr man den Wechselvorgang beschleunigt. Auch die Führung des Filmbandes ist um so schwieriger durchzuführen, je mehr das „Tempo“ gemacht wird.

Der Greifer besteht aus einer sich auf und ab bewegenden Gabel; sie greift oben in die Löcher des Filmbandes und zieht dieses bei der Abwärtsbewegung mit und ab. Nach dem Ein Bild, läßt unten angekommen den Film los und

das Spiel in gleichmäßigem Gange zu wiederholen. Bei Aufnahmeapparaten, für welche dieses System Anwendung kommt, ein einfaches Exzenter die Gabel mit gleichmäßigem Tempo hoch und tief nimmt, bewirkt man bei diesen Mechanismen mittels eines herzförmigen Exzenters die charakteristische beschleunigte Abwärtsbewegung und zwar an dabei ein Tempo 1:4. Bei der zweiten Klasse die ruckweise Fortbewegung des Filmbandes mittels elektrisch angetriebenen Zahntrommel und zwar wird für diesen Antrieb das Malteserkreuz benutzt. Man hat dazu auch verschiedene Richtungen zur Anwendung gebracht, die aber nicht verwirklicht wurden. Das Tempo, d. h. das Verhältnis zwischen der Weiterbewegung und der Zeit der Ruhe, kann beim Malteserkreuz durch Vergrößerung der Eingriffscheibe praktisch bis 8 gebracht werden.

Die Wirkungsweise des Schlägersystems ist folgende. Der Stift, nachdem er aus der Belichtungsstelle kommt, umschließt eine rotierende Exzenterscheibe und dann umschließt er alls kontinuierlich rotierende Zahntrommel. Der Stift bewegt sich jedesmal wenn er sich nach unten bewegt, auf den Film vorwärts und dabei um ein Bild vorwärts. Während der Stift vorwärts bewegt und die Zahntrommel den vom Stift gebildeten Bausch verzehrt, ist der Film an der Belichtungsstelle stehen geblieben. Das Tempo läßt sich hier bis auf das Verhältnis 1:8 bringen. Man hat dies System auch abgeändert in der Weise, daß die Exzenterscheibe nicht direkt auf den Film wirkt, sondern durch eine hin und her gehenden Pleuelstange vorwärts

bewegt. Interessant ist eine jetzt nicht mehr in Anwendung befindliche Konstruktion von PRESTWICH, London, angegebene Konstruktion, bei welcher die Zahntrommel auf der Exzenterscheibe sitzt; die Trommel macht eine doppelte Bewegung, indem sie sich um ihre eigene Achse und um die Achse der Exzenterscheibe dreht. Während der Abwärtsbewegung wickelt sich die Zahntrommel sozusagen um den Film, um ihn dann, wenn die Abwärtsbewegung einsetzt, wieder um ein Bild nach unten zu ziehen.

Bei der vierten Klasse („Reibungsscheiben“) geschieht die ruckweise Weiterbewegung des Filmbandes durch zwei

Trommeln, die eben so weit auseinanderstehen, daß laufende Film bei ihrer Rotation nicht mitgenommen. Die größere Trommel besitzt nun an ihrem Umfange ein kleineres Segment; sobald dieses an die Berührungstelle kommt, wird der Film eingeklemmt und mit fortgezogen. Die Größe des Segments ist auf ein Bild berechnet; um jedoch einen exakten Kontakt zu erzielen, ist oberhalb der Belichtungsstelle ein kleinerer Film angebracht, die während jeder Umdrehung der Trommel den Film um ein Bild vorschiebt und so verhindert, daß mehr als ein Bild fortgezogen wird<sup>1)</sup>. Das Tempo dieses Systems bis zum Verhältnis 1:23 gebracht.

In der zweiten Gruppe, der die Apparate mit bewegtem Filmband angehören, finden wir ebenfalls verschiedene verschiedenartiger Konstruktionstypen. Bei einer Anordnung, die zudem nicht ausgeführt worden zu sein scheint, die für die Praxis auch zu schwerfällig wäre, geschieht die Bewegung gleich durch Bewegung des Werkes. Während der Film unten läuft, pendelt das ganze Werk, welches durch ein hinter dem feststehenden Objektiv auf und nieder umherpendelt, daß sich während seines Hochganges die Bewegung des Filmes und Werk neutralisieren. Alle anderen Apparate bedienen sich zum Ausgleich einer schwingenden Bewegung der Bewegung des optischen Teiles, sei es des Objektives, eingeschalteter Prismen oder Spiegel. Das periodische Abpendeln des Objektives, die nächstliegende Lösung für die Praxis nicht brauchbar ist, wird in eine kontinuierliche Bewegung verwandelt dadurch, daß eine Reihe von Objektiven, etwa ein Dutzend, anwendet, die auf einer Scheibe sitzen und einen Rundlauf machen, um ein Objekt in anderen in Tätigkeit zu treten. Jedes Objektiv bewegt sich in gleicher Geschwindigkeit mit dem Film zusammen, während dieser Zeit die Belichtung aus. Die Verlagerung der optischen Achse gegen die Bildmitte, welche durch die Bewegung hervorgerufen wird, ist so gering, daß die Belichtung merklich darunter leidet. Da bei dieser Anordnung

<sup>1)</sup> Genaue Beschreibung der Konstruktionen findet man in der "Praktischen Kinematographie" (Ed. Liesegang Verlag, Leipzig).

eile des Mechanismus als auch der Film mit stets  
r Geschwindigkeit laufen und ruckweise Bewegungen,  
die Kinematographen des Handels charakteristisch  
fall kommen, so bietet sich hier die Möglichkeit, den  
berordentlich schnell laufen zu lassen und eine sehr  
von Aufnahmen in der Sekunde zu machen. JENKINS,  
Ausarbeitung dieses Systems verdanken, machte mit  
en Apparate über 250 Aufnahmen in der Sekunde.  
st die Ausführung recht kostspielig; ferner eignet sich  
ktion nicht zur Projektion des jetzt üblichen kleinen  
, da die Objektive dazu zu groß sind und nicht hin-  
ahe zusammengebracht werden können. Ebenfalls  
aber auch für das normale Bildformat verwendbar,  
MASKELYNE angegebener Apparat. Zur Erzielung des  
besitzt dieser zwischen dem stetig laufenden Film  
Objektiv einen kontinuierlich rotierenden Kranz von  
en Linsen, welche lückenlos aufeinanderfolgend die  
einer Trommel einnehmen und innerhalb deren ein  
s aus zwei Konvexlinsen bestehendes positives System  
ist. In der Zahl von Aufnahmen pro Sekunde könnte  
beliebig weit gehen, wenn nicht die Lichtempfindlichkeit  
films eine Grenze setzte. Diesem Vorteil steht auch  
ein sehr hoher Herstellungspreis gegenüber; die Aus-  
es solchen Apparates kostete 10 000 *M.* Bei den Ver-  
eingeschalteten Prismen oder Spiegeln, die periodisch  
uierlich sich bewegen, sind meines Wissens bisher  
friedenstellende Resultate nicht erzielt worden. Man  
spielsweise zwischen Film und Objektiv ein rotierendes  
2, 4, 6, 8 oder mehr planparallelen Seiten an, welches  
Rotation eine derartige Verschiebung der Strahlen be-  
dadurch die Bewegung des Bildbandes gerade aus-  
wird. Eine andere Konstruktion bedient sich dazu  
r rechtem Winkel stehender Spiegel, die sich vor dem  
Film hin und her bewegen, oder aber einer größeren  
her Spiegelpaare, die auf einer gleichmäßig rotierenden  
sitzen und eines nach dem anderen in Wirksamkeit  
i einer weiteren Anordnung finden wir ein vielseitiges  
In belegtes Prisma, das vor dem Objektiv rotiert

und die erforderliche Ablenkung der Strahlen durch Verwendung eines Flüssigkeitsprismas mit Seitenflächen versuchte man die Bilder optisch machen.

Wiederholt hat man Versuche gemacht, welche laufen, mit Hilfe zweier abwechselnd in Tätigkeit tretenden Apparate ein ununterbrochenes Arbeiten zu erzielen und das Problem der Projektion kinematographischer Lichtbilder das Film zu beseitigen. Während verschiedene Apparate sich bedienen, sind andere Konstruktionen derart ausgeführt, daß sie mit einem einzigen Filmband auskommen. Bisher sind keine aus dem Versuchsstadium nicht herausgekommen, die preiswert teilig ist, abgesehen vom hohen Herstellungspreise. Die komplizierteren Einstellung, der Umstand, daß die in der Handen Filmaufnahmen nicht ohne weiteres gemacht werden können.

Was wir heute an Kinematographen im Handel haben, sind alles Apparate mit ruckweise bewegtem Film. Die Hauptsysteme sind die vier beschriebenen Hauptsysteme: Greifer, Schläger und Reibungsscheiben darunter vertreten. Die Apparate mit kontinuierlich laufendem Film, soweit sie überlappende Resultaten führten, wie bei JENKINS und MASKELL, sind sich für die allgemeine Einführung als zu kostspielig angesehen, aber auf solche Konstruktionen, bei denen alle Teile gleichmäßiger Bewegung sind, zurückgreifen müssen. Die zur Analyse sehr rascher Bewegungen, wie von fliegenden Schossen, von Vorgängen bei Explosionen u. dgl., eine große Anzahl von Aufnahmen in der Sekunde zu machen, rechnet bei den Darstellungen, wie man sie im Kinematographentheater sieht, 16 bis 20 Aufnahmen auf die Sekunde. Wenn darauf ankäme, könnte der Apparat auch wohl die Bilder ruckweise machen, aber dann gibts für die Konstruktion des ruckweise bewegtem Film bald eine Grenze. Hier ist der Apparat mit kontinuierlich laufendem Film im Vorteil, die Zahl der Belichtungen so hoch treiben, als die Empfindlichkeit des Films überhaupt gestattet. Die Apparate mit Doppelwerk, die berufen wären, bei der Darstellung das Flimmern völlig zu beseitigen, einmal den

n, wird um so geringer, je mehr die heutigen Apparate  
met werden.

---

ortrag, der durch Lichtbilder erläutert wurde, folgte  
stration verschiedener Modelle. Vorgeführt wurde ein  
er Gesellschaft LUX (Paris und Berlin), ferner Greifer,  
uz, Schläger, sowie Versuchsmodelle der Firma  
ANG (Düsseldorf) und ein Modell des Epicykloid-Mecha-  
PRESTWICH (London).

---



**Atomzerfall und Serienspektren**  
**von A. L. Bernoulli.**

(Vorgetragen in der Sitzung der physikalischen Abteilung  
 der Deutschen Naturforscher und Ärzte zu Cöln am 21. März 1907.)

(Vgl. oben S. 619.)

Wir sind gewohnt, alle Moleküle eines homogenen Körpers unter sich gleichartig zu betrachten und doch die Annahme in gewissen Fällen als zu speziell. Bei Gelegenheit<sup>1)</sup> habe ich eine speziellere Formulierung der Dissoziationshypothese gegeben, wobei ich die Atomgewichte als kinetische Mittelwerte betrachte. So bin ich durch eine Gewichtsumformel gelangt, welche die sämtlichen bis dahin bekannten Atomgewichte mit bemerkenswerter Genauigkeit reproduziert, wenn man nur zwei ganzzahlige Parameter  $p$  und  $q$  wählt. Die Formel lautet

$$A_{p,q} = 1,0104 \cdot \left( \frac{-1 - \sqrt{3}}{2} \right)^p \cdot \left( \frac{-1 + \sqrt{3}}{2} \right)^q$$

Diese Formel ergibt sowohl ganzzahlige als auch nicht ganzzahlige Atomgewichtswerte.

Die Koinzidenz wird namentlich dann besonders deutlich, wenn man nur die neuesten Atomgewichtsbestimmungen betrachtet, ja man kann geradezu sagen, daß die zeitliche Abweichung von der Bestimmung ein und desselben Elementes nach dieser Theorie in beiden Richtungen hin konvergiert.

Die speziellen zur Ableitung der obigen Formeln genutzten Annahmen waren die folgenden: Mit LOCKYER denken wir uns ein chemisches Element im Gaszustand oder in starrem Zustand als eine nur von Druck und Temperatur abhängige Lösungsform ein und desselben Urstoffs, z. B. des Wasserstoffs. Nach der Theorie der stufenweisen Dissoziation der Dämpfe von Schwefel, folgern wir, daß für jede virtuelle poly-

<sup>1)</sup> Jahresversammlung der Deutschen Bunsengesellschaft für physikalische Chemie und Elektrochemie 13, 551, 1907.

Die obere Grenze von Druck und Temperatur besteht, da sie instabil wird. Demzufolge denke ich mir ein Element als aus nicht polymerisierten Urstoffatomen  $d$ , das zweite Element sei ein im Gleichgewichtsverhältnisses ständliches Gemisch der Gattungen  $M_1$  und  $M_2$ , ein Element bestehe aus den Gattungen  $M_1, M_2, M_3$  usw. Ich vermute ferner an, daß die Temperaturstrahlung dieser Gase dem RAYLEIGHschen Strahlungsgesetze gehorche, so läßt sich aus dem zweiten Hauptsatze schließen, daß eine Beziehung zwischen konstanter Verteilungskoeffizienten unter sich identisch  $c_v/c_p - c_p$  seien, wodurch sich die erwähnte Beziehung ergibt.

Dieselben Annahmen haben mich neuerdings auf eine Theorie der Serienspektren geführt, welche nicht nur die Verschiebung der Serienlinien, sondern namentlich auch die Druckverschiebung der Serienlinien und auch das Verhalten der Bandenspektren mitumfaßt. Auch Beziehungen zu anderen physikalischen Gesetzen haben sich ergeben.

Die neuen Hypothesen sind allerdings nötig. Aus den neuen Versuchen von PFLÜGER<sup>1)</sup> wissen wir endlich gewiß, daß sich die Wellenlänge des Quecksilberbogens mit steigender Belastungsdichte nach kürzerer Wellenlänge verschiebt. Wir haben also willkürlich die Entropie  $S = k \cdot \lg \cdot \frac{U}{h\nu}$ .  $h$  ist das

Wirkungsquantum,  $\nu$  die Schwingungszahl,  $U$  die Energie. Diese Gleichung würde sich als extremer Fall der PLANCKschen Gleichung<sup>2)</sup> für die Entropie der Strahlung ergeben, wenn die extreme Energiekonzentration eine einzige Wellenlänge so groß wird, daß 1 gegen unendlich schlüssigen wäre.

Wir haben in Analogie des Partialdruckes der ein- und auskühlgattungen  $M_1, M_2, M_3, M_4$  usw. deren Partialdrucke definieren. Assoziiert sich ein Gas vom Volumen  $v_0$  und Molekulargewicht  $M_1$  vollkommen zu Molekülen  $M_2$ ,

<sup>1)</sup> Physik (4) 26, 789, 1906.

<sup>2)</sup> Die Wärmestrahlung, S. 153. Leipzig 1906.

so sinkt das Volumen auf den Wert  $\frac{v_0}{2}$ , bei totaler Ionisierung auf  $\frac{v_0}{3}$  usw. Wählen wir  $v_0$  zur Einheit, so spricht der Reihe dieser spezifischen Partialvolumina die Reihe der reziproken ganzen Zahlen.

Endlich brauchen wir noch eine bestimmte Zustandsgleichung für den ionisierten Metalldampf. Nach REINGANUM<sup>1)</sup> ergibt der Virialsatz streng die Form

$$RT = \left( p + \frac{\varphi(T)}{v^2} \right) (v - b).$$

In Anlehnung an empirische Resultate von SÄRRÉN<sup>2)</sup> setzen wir  $\varphi(T) = \frac{e^{\alpha T} + e^{-\alpha T}}{2} - k$  setzen, wo  $k$  und  $\alpha$  konstanten des Dampfes bedeuten.

Wir finden so schließlich die Relation

$$v = N \left( \frac{k}{p} - \frac{1}{m^2} - \frac{e^{\frac{gp}{m}} + e^{-\frac{gp}{m}}}{2p} \right).$$

Dabei ist  $g = \frac{\alpha}{R}$  und  $N$  ist eine universelle Konstante. Vorläufig wird  $b = 0$  angenommen. Ersetzt man die Funktionen durch ihre Reihen, so wird

$$v = N \left( \frac{k-1}{p} - \frac{2+g^2 p}{2! m^2} - \frac{g^4 p^2}{4! m^4} - \frac{g^6 p^3}{6! m^6} \dots \right).$$

Wir haben also eine unendliche Reihe mit individuellen Konstanten  $g$  und  $k$ , welche mit der Reihe (1) identisch ist<sup>3)</sup>. Brechen wir mit dem Glied  $\frac{1}{m^4}$  ab, so geht unsere Formel in die BALMERSche Formel über. Ferner weiß man aus der Erfahrung, daß die Gleichung von VAN DER WAALSschen Gleichung und ebenso die GIBBSsche Gleichung mit steigendem Atomgewicht bei verwand-

<sup>1)</sup> Ann. d. Phys. (4) 6, 533, 1901.

<sup>2)</sup> C. R. 101, 994 und 1145, 1895.

<sup>3)</sup> Ann. d. Physik (4) 25, 665, Gl. 7, 1908; (4) 12, 26.

wächst, aber weit langsamer als das Atomgewicht. Es ist, daß die Grenze der Serien mit steigendem Atomgewicht oder Vertikalreihe des periodischen Systems sich nach oben schieben muß, ein Resultat, welches empirisch längst

Ferner ergibt die Formel, daß der Koeffizient des  $\frac{1}{m^2}$  sehr nahe universell und größer als  $N$  sein muß.

serer rein optischen Serienformel lassen sich aber leicht Rückschlüsse auf das mechanische Verhalten der

Gase und Dämpfe ziehen. Gilt die Formel von RUNGE, ist also  $g > 0$ , so wird das Kohäsionsglied gleichung positiv und das Gas dehnt sich bei konstantem Druck stärker aus als ein ideales Gas. Dies ist ja bei allen Gasen außer Wasserstoff der Fall. Ist dagegen gilt die BALMERSche Formel und gleichzeitig ist zu sehen, daß sich der Wasserstoff weniger als ein ideales Gas verhält. Man kann also direkt aus der Gültigkeit der Rydberg'schen Formel, d. h. aus rein optischen Messungen, schließen, daß der Wasserstoff, wie REGNAULT sich ausdrückt, „*us que parfait*“ ist.

Man kann ferner mit Hilfe des DALTONSchen Gesetzes an Partialdruckes den Gesamtdruck der die Lichtquelle

Gasatmosphäre ein, so ergibt unsere Gleichung alle Gesetze der Druckverschiebung der Serienlinien, ein Ergebnis besonders für die Astrophysik von Bedeutung ist. STREYER und MOHLER<sup>1)</sup> verschiebt sich mit steigendem Druck die Serie nach Rot, und zwar zunächst proportional dem Druck. Hierin wächst die Verschiebung mit steigender Wellenlänge. Hier gibt die Formel auch noch die zweite Annäherung an, indem nach Messungen von HUFF<sup>2)</sup> im Cadmiumspektrum bei sehr großem Druck die Verschiebung rascher als der ersten Potenz wächst.

Ein weiteres Problem der Spektroskopie, welches ebensowenig wie das vorherige bisher theoretisch behandelt werden können,

<sup>1)</sup> Phys. Journ. 6, 169, 1897; l. c. 3, 114, 1896.

<sup>2)</sup> Phys. Journ. 14, 41, 1901.

<sup>3)</sup> Theorie der Druckverschiebung von RICHARDSON (Phil. Mag.) ergibt die Verschiebung 40- bis 200mal zu groß.

## Atomgewichtstabelle.

| Element             | Internationale Werte 1908 | Kinetische Werte | Beobachtete reduz. Werte<br>Ag = 107,617<br>O = 16,000 | (zu RICHARDSON) |
|---------------------|---------------------------|------------------|--|-----------------|
| Silber, Ag . . . .  | 107,93                    | 107,617          | 107,615  | RICHARDSON      |
| Aluminium, Al . .   | 27,1                      | 27,190           | —  |                 |
| Argon, A . . . .    | 39,9                      | 39,390           | 39,92  | RAMSAY          |
| Arsen, As . . . .   | 75,0                      | 75,323           | —  |                 |
| Gold, Au . . . .    | 197,2                     | 196,000          | 196,43   | KRÜSS           |
| Bor, B . . . .      | 11,0                      | 11,042           | —  |                 |
| Baryum, Ba . . .    | 137,4                     | 137,160          | 137,046  | RICHARDSON      |
| Beryllium, Be . .   | 9,1                       | 9,094            | —  |                 |
| Wismut, Bi . . .    | 208,0                     | 207,323          | —  |                 |
| Brom, Br . . . .    | 79,96                     | 79,600           | 79,723   | BAXTER          |
| Kohlenstoff, C . .  | 12,00                     | 12,000           | —  |                 |
| Calcium, Ca . . .   | 40,1                      | 39,822           | 39,822   | RICHARDSON      |
| Cadmium, Cd . . .   | 112,4                     | 112,583          | —  |                 |
| Cer, Ce . . . .     | 140,25                    | 140,554          | —  |                 |
| Chlor, Cl . . . .   | 35,45                     | 35,504           | 35,503   | RICHARDSON      |
| Kobalt, Co . . . .  | 59,0                      | 59,086           | —  |                 |
| Chrom, Cr . . . .   | 52,1                      | 51,981           | —  |                 |
| Cäsium, Cs . . . .  | 132,9                     | 132,501          | 132,482  | RICHARDSON      |
| Kupfer, Cu . . . .  | 63,6                      | 63,328           | 63,304   | HAMPEL          |
| Dysprosium, Dys .   | 162,5                     | 163,139          | —  |                 |
| Erbium, Er . . . .  | 166,0                     | 167,103          | —  |                 |
| Europium, Eu . . .  | 152,0                     | 152,210          | —  |                 |
| Fluor, F . . . .    | 19,0                      | 19,026           | 19,04  | MOISSAN         |
| Eisen, Fe . . . .   | 55,9                      | 55,713           | 55,89  | RICHARDSON      |
| Gallium, Ga . . .   | 70,0                      | 70,261           | —  |                 |
| Gadolinium, Gd . .  | 156,0                     | 155,942          | —  |                 |
| Germanium, Ge . .   | 72,5                      | 72,478           | —  |                 |
| Wasserstoff, H . .  | 1,008                     | 1,010            | 1,010  | D. BERTHOLD     |
| Helium, He . . . .  | 4,0                       | 3,959            | 3,96   | RAMSAY          |
| Quecksilber, Hg .   | 200,0                     | 200,817          | —  |                 |
| Indium, In . . . .  | 115,0                     | 115,344          | —  |                 |
| Iridium, Ir . . . . | 193,0                     | 192,000          | —  |                 |
| Jod, J . . . .      | 126,97                    | 126,656          | 126,617  | BAXTER          |
| Kalium, K . . . .   | 39,15                     | 38,986           | 38,930   | RICHARDSON      |
| Krypton, Kr . . .   | 81,8                      | 81,569           | 81,76  | RAMSAY          |
| Lanthan, La . . . . | 138,9                     | 138,586          | —  |                 |
| Lithium, Li . . . . | 7,03                      | 7,038            | —  |                 |
| Magnesium, Mg . .   | 24,36                     | 24,249           | —  |                 |
| Mangan, Mn . . . .  | 55,0                      | 55,139           | —  |                 |
| Molybdän, Mo . . .  | 96,0                      | 96,000           | —  |                 |

| t     | Internationale<br>Werte<br>1908 | Kine-<br>tische<br>Werte | Beobachtete<br>reduz. Werte<br>Ag = 107,817<br>O = 18,000 | Beobachter<br>(zu „Reduzierte Werte“) |
|-------|---------------------------------|--------------------------|---|---------------------------------------|
| . . . | 14,01                           | 13,928                   | 13,905  | RICHARDS, PH. A. GUYE                 |
| . . . | 23,05                           | 22,860                   | 22,861  | RICHARDS                              |
| . . . | 94,0                            | 93,681                   | —   |                                       |
| . . . | 143,6                           | 143,490                  | —   |                                       |
| . . . | 20,0                            | 19,911                   | 19,94   | RAMSAY                                |
| . . . | 58,7                            | 58,271                   | —   |                                       |
| . . . | 16,00                           | 16,000                   | —   |                                       |
| . . . | 191,0                           | 189,352                  | —   |                                       |
| . . . | 31,0                            | 30,906                   | 30,90   | VAN DER PLAATS                        |
| . . . | 206,9                           | 205,741                  | 206,320   | BAXTER                                |
| . . . | 106,5                           | 106,511                  | —   |                                       |
| ) . . | —                               | 210,084                  | 210,0   | MARCKWALD                             |
| r . . | 140,5                           | 142,014                  | —   |                                       |
| . . . | 194,8                           | 193,995                  | —   |                                       |
| . . . | 225,0                           | 225,167                  | —   |                                       |
| . . . | 85,5                            | 85,315                   | 85,252  | ARCHIBALD                             |
| . . . | 103,0                           | 102,893                  | —   |                                       |
| u . . | 101,7                           | 101,452                  | —   |                                       |
| . . . | 32,06                           | 32,000                   | 32,00   | SVANBERG, DUMAS, STRUVE               |
| . . . | 120,2                           | 120,666                  | —   |                                       |
| . . . | 44,1                            | 44,167                   | —   |                                       |
| . . . | 79,2                            | 78,781                   | —   |                                       |
| . . . | 28,4                            | 28,539                   | —   |                                       |
| l . . | 150,3                           | 150,613                  | —   |                                       |
| . . . | 119,0                           | 119,464                  | —   |                                       |
| . . . | 87,6                            | 87,425                   | 87,428  | RICHARDS                              |
| . . . | 181,0                           | 181,000                  | 181,0   | HINRICHSSEN                           |
| . . . | 159,0                           | 159,200                  | —   |                                       |
| . . . | 127,6                           | 128,000                  | —   |                                       |
| . . . | 232,5                           | 233,085                  | —   |                                       |
| . . . | 48,1                            | 48,000                   | —   |                                       |
| . . . | 204,1                           | 202,903                  | —   |                                       |
| . . . | 171,0                           | 170,630                  | —   |                                       |
| . . . | 238,5                           | 238,800                  | —   |                                       |
| . . . | 51,2                            | 51,446                   | —   |                                       |
| . . . | 184,0                           | 185,438                  | —   |                                       |
| . . . | 128,0                           | 129,330                  | —   |                                       |
| . . . | 89,0                            | 89,578                   | —   |                                       |
| b . . | 173,0                           | 173,016                  | —   |                                       |
| . . . | 65,4                            | 65,569                   | —   |                                       |
| . . . | 90,6                            | 90,500                   | —   |                                       |

ist das Problem der Bandenspektren. Mit wachsendem Druck geht die Dissoziation und somit auch die elektromagnetische Absorption des Gases zurück, dagegen ist jetzt  $b$  und  $b^2$  zu betrachten. Ist also  $g$  klein und  $b > 0$ , so ergibt sich bei nicht zu großer  $m$  die DESLANDRESSCHE Bandenformel.

Endlich sind noch gewisse Resonanzprobleme zu betrachten. Zwei Elektronen von gleicher Schwingungszahl, wenn sie an demselben Molekül getragen werden, befinden sich in einem Abstand von höchstens  $\frac{1}{10}$  Wellenlänge. Bei diesen kleinen Abständen (nach EKMAN<sup>1)</sup> an Stelle der sechs möglichen Linien treten nur drei Linien auf: zwei von geringer, aber gleicher Dämpfung und eine von drei stärker gedämpfte und drei sehr schwach gedämpfte. Von jeder Gattung fallen zwei zusammen. Sichtbar sind nur das stark gedämpfte Dublett. Die Schwingungszahl der Linien in bestimmter Weise mit dem Quadrat der Wellenlänge der Grundschwingung ab. Aus dem Abstand der  $D$ -Linien kann berechnet sich so die Dublettbreite des nächstfolgenden Dubletts zu 5,5 Å.-E. Die Messung ergibt 5,4 Å.-E. Ferner beobachtet, die Intensität von  $D_2$  zu  $\frac{3}{2}$  mal der Intensität von  $D_1$ .

Neben diesem von EKMAN behandelten Fall ist noch der andere zu betrachten, wo die gekoppelten Elektronen auf verschiedenen Molekülen sitzen<sup>2)</sup>, also sich in einem größeren Abstand befinden (Größenordnung der mittleren Weglänge). Die stark gedämpften Dubletts der Hauptserie ergeben eine weitere Serie von Dubletts mit konstanten Abständen. Diese sind die starken nach Rot verbreiterten Linien (II. Nebenserie). Die schwach gedämpfte, also äußerst lichtschwache und nicht beobachtete Dublett jedes Moleküls ergibt analog eine weitere Nebenserie mit relativ scharfen, aber lichtschwachen Linien, also die I. Nebenserie. Theorie und Erfahrung zeigen, dass beide Nebenserien die gleiche Grenze haben.

<sup>1)</sup> Arkiv för Matematik, Astr. och Fys. 3, Nr. 22, S. 1-10. d. Physik (4) 24, 267 und 579, 1907.

<sup>2)</sup> B. GALITZIN, Bull. St. Pétersbourg (5) 2, 397 und Wied.

*Lumineszenzerscheinungen an blauem  
Flussspat;  
von Edgar Meyer.*

1 der Sitzung der physikalischen Abteilung der 80. Versammlung  
Naturforscher und Ärzte zu Cöln am 21. September 1908.)

(Vgl. oben S. 619.)

Die Figuren sind auf besonderer Tafel beigelegt.

kanntlich ist ein thermophosphoreszenzfähiger Körper  
nge Zeit nach seiner Belichtung imstande, zu thermo-  
eren. Die Helligkeit dieser Thermolumineszenz nimmt  
r Zeit, die nach der Belichtung verstrichen ist, ab,  
einer genügend langen Zeit thermoluminesziert der  
haupt nicht mehr.

un von Interesse, zu wissen<sup>1)</sup>, ob während der langen  
, in der der Körper nicht sichtbar strahlt, die auf-  
Energie, wenigstens zum Teil, doch in Form von Licht  
r mit außerordentlich geringer Intensität, oder aber,  
rungen, welche in dem Körper durch die Belichtung  
n sind, bei der sehr langsamen Rückwandlung bei  
Temperatur die aufgenommene Energie in einer  
m abgeben.

iesem Gesichtspunkte habe ich besonders einige Fluß-  
ie bekanntlich stark thermolumineszieren, untersucht  
n, daß es tatsächlich bestimmte Varietäten gibt, die  
lich lange Zeit hindurch Licht aussenden. Bei der  
ehrzahl der untersuchten Kristalle wurde aber ein  
halten nicht gefunden. Da zu dem Lichtnachweise  
aphische Platte benutzt wurde, so wäre es noch  
ß bei diesen letzteren vielleicht extrem kurz- oder  
Licht ausgesandt würde. Hierüber bringen die nach-

1. B. H. KAYSER, Handbuch der Spektroskopie 4, 792; Leipzig  
18, im folgenden einfach als „Handbuch“ zitiert.



folgenden Versuche keine Entscheidung. Platten nach  
wurden z. B. nicht verwandt.

§ 2. Die zur Untersuchung verwandte Methode  
An den Phosphoren wurde eine ebene Fläche ang  
mit einer Lichtquelle bestrahlt. Nachdem eine ge  
Zeit bis zur vollständigen Abklingung jeder sich  
phoreszenz gewartet worden war, wurde der Körper  
Fläche auf eine photographische Platte aufgelegt un  
Zeit auf dieser exponiert.

Verfuhr man auf diese Weise und verwandte z. B.  
Strahlung diffuses Tageslicht, so ergab sich folge

A. Schwärzung der Platte wurde hervorgerufen  
stehende, stark thermolumineszierende Körper:

1. Flußspat von Wölsendorf in Oberbayern<sup>1)</sup>.  
Flußspatvarietät von tief schwarzblauer Farbe, die bei  
Kohlenwasserstoffe abgibt<sup>2)</sup>, und wegen des dadurch  
Geruches auch unter dem Namen Stinkfluß bekannt

2. Flußspat vom Säntis, Schweiz, ebenfalls v  
Farbe, jedoch nicht ganz so dunkel wie der Wölsen

3. Chlorophan von Nertschinsk in Sibirien<sup>3)</sup>  
violetter Farbe, ebenfalls eine Flußspatart.

4. Flußspat von unbekannter Herkunft, blaß v

B. Keine Schwärzung der Platte bewirkten f  
falls stark thermolumineszierende Varietäten.

5. Farbloser, klarer Fluorit von Oltschialp, Ber

6. Roter Flußspat aus dem Göschenenthal, Uri

7. Grüner Fluorit von dem Lanchernstock, Nid

8. Tiefblauer Fluorit von Cumberland, mit Quar

9. Klarer Flußspat mit wenigen bläulichen  
Cumberland<sup>4)</sup>.

<sup>1)</sup> V. SCHUMANN, Ann. d. Phys. (4) 5, 349, 1901.

<sup>2)</sup> Bezogen von dem Rheinischen Mineralien-Kontor von  
in Bonn a. Rh.

<sup>3)</sup> F. KLOCKMANN, Lehrbuch der Mineralogie, Stuttgart  
S. 378.

<sup>4)</sup> Die Flußspatproben Nr. 2 und Nr. 5 bis 9 verdank  
des Herrn Prof. Dr. GRUBENMANN in Zürich. Für ihre leihw  
bin ich ihm zu großem Danke verpflichtet.

er Flußspat, wahrscheinlich vom Gotthard.

ner Flußspat, wahrscheinlich vom Gotthard, durch Bogenlicht schön blau fluoreszierend<sup>1)</sup>).

falls keine Wirkung übten folgende, stark phosphoreszierende Körper aus:

es Steinsalz von Berchtesgaden.

nes Steinsalz von Berchtesgaden.

ternschalen.

d bei den Proben Nr. 1 bis 4 die photographische Wirkung durch Belichtung mit elektrischem Bogenlichte verstärkt wird, so man bei den Proben Nr. 5 bis 14 auch bei dieser Strahlungsquelle keine Wirkung. Schloß man gut die Platte aus, so erhielt man in keinem Falle eine Wirkung der Platte, wenn auch z. B. der grüne Fluorit durch ultraviolettes Licht bestrahlt und darauf 23 Tage exponiert wurde.

1) unter A. genannten Fluoriten gibt der Flußspat von der am längsten andauernde Wirkung. Die Varietät zeigt nach kurzer Zeit nach der Belichtung etwas stärker, die Wirkung schneller ab. Im Vergleich mit diesen beiden Proben Nr. 3 und noch mehr Nr. 4 bedeutend weniger, auch die Wirkung ziemlich schnell ab. (Über die Wirkung vgl. § 3.)

Alle Proben Nr. 1 bis 4 alle eine blaue Färbung, und zwar die tief blau gefärbten Proben Nr. 1 und 2 strahlen am stärksten. Wenn man hierdurch auf den ersten Blick sieht, daß die Strahlung mit der Färbung in Zusammenhang stehe, so widerspricht dem Probe Nr. 8, die eine tief blaue Färbung zeigt, aber nur durch elektrische Funken etwas erregt werden kann.

Wenn man den Wölsendorfer Fluorit pulverisiert, so wirkt die Belichtung kaum auf die Platte ein; nur etwa noch größere Körnchen lassen eine schwache Wirkung erkennen, vielleicht in Zusammenhang hiermit stehende Beob-

achtungen Proben Nr. 10 und 11 wurden mir von Herrn cand. chem. Dr. J. J. Zürlin in Zürich überlassen, wofür ich ihm auch hier meinen besten

achtung machte DESSAIGNES<sup>1)</sup>. Nach ihm lum  
im allgemeinen erst bei weit höheren Temperat  
Stücke<sup>2)</sup>. Diese Beobachtung konnte leicht best

§ 3. Abklingung der Wirkung. Wird  
Fluorit mit diffusem Tageslicht, das durch ein F  
gegangen ist, also keine Wellen kleiner als e  
enthält, bestrahlt, so wirkt er auf die photograp  
48stündiger Exposition noch gut ein, wenn er  
der Zwischenzeit im Dunkeln gelegen hat<sup>3)</sup>. Ein  
achtungsreihe wurde mit dem gleichen Stücke aus  
es 15 Minuten mit elektrischem Bogenlichte in  
bestrahlt worden war. Nach der Belichtung  
1 Stunde und 20 Minuten im Dunkeln und wurde  
gewöhnliche Lumièreplatte aufgelegt. Nach eine  
42 Stunden und Entwicklung mit Rodinal (1  
Bild von Fig. 1 erhalten. Man sieht eine schön  
vielen Details, deren Ursachen aber nicht imm  
stellen sind. Teilweise entsprechen die nicht w  
eingesprengetem Quarz, teilweise etwas heller gefä  
Bei vielen nicht wirkenden Stellen jedoch ist  
wirkenden am Kristall kein Unterschied zu erken  
spat verblieb nun weiter im Dunkeln und wurde  
wieder exponiert. Aus dieser Beobachtungsrei  
Beispiele angeführt. Fig. 2 a zeigt ein Bild, das  
Exposition erhalten wurde, nachdem der Fluori  
belichtet war. Fig. 3 ist bei 46 stündiger Expos  
Tagen erhalten; Fig. 4 nach 84 Tagen bei 384 stün

<sup>1)</sup> J. PHIL. DESSAIGNES, Journ. de phys., de chim. et c  
444; 69, 169, 1809; 71, 67, 1810. Angabe nach KAYSERS

<sup>2)</sup> Geringere Erregung von Flußspatpulvern gegenü  
durch Röntgenstrahlen erwähnen auch A. WINKELMANN  
Wied. Ann. 59, 341, 1896.

<sup>3)</sup> Herr A. DAHMS, Ann. d. Phys. (4) 13, 453, 1904,  
Wirkung von Flußspat (von blaßvioletter an Amethyst  
auch schon beobachtet zu haben. Er fand, daß Flußsp  
photographische Wirkung ausübt, wenn auch sein Phos  
dem Auge schon lange nicht mehr wahrgenommen wer  
die verstrichene Zeit zwischen Erregung und Beginn der  
er aber keine Angaben. Er schloß schon aus diesem  
CaFl<sub>2</sub> ultraviolette Strahlung aussendet.

och Fig. 5 nach 150 Tagen Dunkelzeit bei 60tägiger Man erkennt sofort, daß die Strahlung immer geringer 75 Tagen Dunkelzeit muß man die Expositionszeit vergrößern, um noch merkbare Schwärzungen zu erkennen ist, daß die Stärke der Wirkung von Kristall variiert, und auch an verschiedenen Teilen desselben nicht gleich ist (ein parallel gehender Unterschied entlang des Kristalls ist nicht zu erkennen). So rühren Nr. 2 a und 2 b von verschiedenen Seiten desselben und sind unter ganz analogen Bedingungen erhalten. Aber nicht so intensiv wie 2 a, auch nahm bei 2 b die Intensität ab.

Analoge Resultate erhält man mit dem Flußspat vom 6 zeigt ein Bild (47stündige Exposition) nach vorheriger Belichtung mit Bogenlicht, Fig. 7 (47stündige Exposition) in der Dunkelzeit von 22 Tagen.

Gleich mit diesen starken Wirkungen strahlen der 1 und die Probe Nr. 4 nur sehr gering. Bei dem ersteren schon nach 10 Tagen Dunkelzeit (38 Tage exponiert), letzteren nach etwa 6 Tagen die Lichtaussendung fast abgeklungen. Aus diesem Grunde wurden nur die 1 und 2 genauer untersucht.

Quantitative Bestimmung der Abklingung war nicht möglich. Dazu wären größere, gleichmäßig strahlende Proben nötig, die ich nicht erhalten konnte. Es kann nur soviel festgestellt werden, daß die Abklingung zuerst scheinbar schneller ist und dann später. Sind die Steine stark abgeklungen, so wird die Wirkung der Bestrahlung ihre photographische Wirkung wieder

in Intensitätsvergleich der photographischen Wirkungen Nr. 1 bis 4, wie er in § 3 gegeben wurde, ist auch interessant, weil die Proben verschiedene Thermolumineszenz besitzen. Um diese zu vergleichen, wurden möglicherweise große Stücke zusammen in einen elektrischen Tiegel, der auf etwa 300° C erhitzt war, gebracht: Der Chlorophan aus dem Gebiet von Wölsendorf und vom Säntis strahlten ziemlich

gleich stark rosa<sup>1)</sup>, ersterer etwas mehr. Die Platte zeigt ein grünliches Licht von geringerer Intensität als Chlorophan. Bekanntlich thermoluminesziert der Chlorophan bei Temperaturen<sup>2)</sup> von 25 bis 30° C (er kann durch die Wärme der Hand erregt werden), während man für Chlorophan Proben auf etwa 100° gehen muß. Die nicht thermolumineszierenden Proben Nr. 5 bis 7 und Nr. 9 bis 11 zeigen etwa gleich stark, Nr. 8 dagegen weniger, als Nr. 6. Der Zusammenhang zwischen der Thermolumineszenz und der beschriebenen Wirkung besteht demnach nicht, wenigstens in dem Sinne, daß derjenige CaF<sub>2</sub>, der schon bei niedriger Temperatur thermoluminesziert, auch die stärkste Wirkung auf die Platte ausübt. Dieses wird noch durch folgenden Versuch erwiesen. Ein Wölsendorfer Fluorit wurde für 30 Minuten lang auf 100° gehalten, wodurch seine photographische Wirksamkeit verliert (§ 9). Darauf wurde er gebracht und nun bei dieser Temperatur mit elektrischem Licht bestrahlt. Nachdem er sich im Dunkeln abgekühlt wurde er auf die photographische Platte aufgelegt und für 10 Minuten exponiert. Die sehr gleichmäßige Temperatur des Fluorits betrug dabei 15,8° C. Durch diese Versuchsanordnung wurde die Thermolumineszenz bedingte Strahlung ausgeschlossen, wirkte aber wie sonst auf die Platte ein, nur schwächer und schneller ab.

Ebenso scheint kein direkter Zusammenhang zwischen der Intensität der sichtbaren Phosphoreszenz und der photographischen Wirkung zu bestehen. Die Platte zeigt dazu in einem einfachen Funkenphosphoroskop Chlorophan phosphoreszierte schön grün oder bläulich, Wölsendorfer Fluorit hell rosa bis bläulich rosa mit lauter Abklingen. Nach einer vorhergegangenen Erhitzung

<sup>1)</sup> Bei tieferen Temperaturen thermolumineszieren auch die Wölsendorfer Flußspat auf etwa 400° C erhitzt gewesene Funken zwischen Zn-Elektroden belichtet worden, so thermolumineszieren schön blau. Diese letztere Beobachtung machte H. Becquerel Chlorophan. C. R. 112, 557, 1891.

<sup>2)</sup> E. BECQUEREL, La Lumière ses Causes et ses Effets.

<sup>3)</sup> EDGAR MEYER, diese Verhandlungen, S. 658—661.

folgender Belichtung mit elektrischen Funken phosphoreszierend bläulicher. Die Probe vom Sántis leuchtete violettlich rosa. Die Intensitäten des Phosphoreszenzlichtes sind etwa wie bei der Thermolumineszenz. Zu bemerken ist bei der Phosphoreszenz als auch bei der Thermolumineszenz die einzelnen Stücke nicht gleichmäßig verhielten, dem gleichen Stücke kamen verschiedene Farben vor. Erregende Strahlung. Um festzustellen, welche Strahlung den beschriebenen Effekt hervorrufen, wurden vollgeklungene Steine durch verschiedene Filter<sup>1)</sup> hindurchgeführt in Verbindung mit Wasserfiltern zur Absorption der Wärme abgeleitet. Die Ergebnisse sind folgende:

Wölsendorfer Flußspat wird durch den (ungefähren) Sántis

|   |                              |                         |
|---|------------------------------|-------------------------|
| = 750 $\mu\mu$ bis $\lambda = 500 \mu\mu$ | nicht erregt <sup>2)</sup> , |                         |
| = 500 „ $\lambda = 470$                   | sehr schwach,                |                         |
| = 470 „ $\lambda = 410$                   | gut                          | } Diese beiden Bereiche |
| = 380 „ $\lambda = 340$ <sup>2)</sup>     | gut                          |                         |

Strahlung der Quarzquecksilberlampe erregt sehr stark. Die beschriebenen Funken zwischen Zn-Elektroden erregen am

dem Flußspat vom Sántis erregten:

|   |           |
|---|-----------|
| = 750 $\mu\mu$ bis $\lambda = 555 \mu\mu$ | nicht,    |
| = 555 „ $\lambda = 470$                   | gut,      |
| = 470 „ $\lambda = 410$                   | sehr gut. |

Chlorophan wurde erregt durch:

|   |        |
|---|--------|
| = 750 $\mu\mu$ bis $\lambda = 470 \mu\mu$ | nicht, |
| = 470 „ $\lambda = 410$                   | gut.   |

Filter wurden zum größten Teile die Flexoidlichtfilter nach LOMBERG benutzt; ferner auch gewöhnliche, verschieden gefärbte Gelatine, sowie CuSO<sub>4</sub>-Lösung, Kobaltglas, Quarz, Glas, Glimmer usw. In den Versuchen mit längeren Wellen wurden panchromatische Filter nach LOMBERG verwandt.

Herstellung dieses Bereiches geschah vermittelt eines Woodschen Lichtfilters (bezogen von Leyboldt in Cöln) in Verbindung mit einer Wasserleitung. Vgl. hierüber: R. W. Wood, Phys. ZS. 4, 337, 1903 und ebenda 5, 415, 1904.

Bei dem Vergleich dieser Resultate sieht man, daß die fallende Strahlung die Flußspate um so mehr erregt, je sie nach dem Ultraviolett hin reicht. Bemerkenswert ist der Fluorit vom Säntis auch schon durch Strahlung mit  $\lambda = 555 \mu\mu$  an erregt wird, bei ihm reicht also die Erregungsgrenze am weitesten in das sichtbare Gebiet hin.

Bekanntlich haben die roten und ultraroten Strahlen die Eigenschaft, daß sie bei vielen Körpern (nach einer gewissen Anfachung) die Phosphoreszenz auslöschten. Dies ist auch der Fall. Nach Erregung eines Kristalls wurde er im Dunkeln gehalten, die andere nochmals mit Strahlung  $\lambda = 750$  bis  $595 \mu\mu$  bestrahlt. Es zeigte sich, daß nachher noch mit rotem Lichte bestrahlte Spectrographische Platte weniger geschwärzt hatte, wo die auslöschende Wirkung des Bereiches  $\lambda = 750$  bis  $595 \mu\mu$  gezeigt wird.

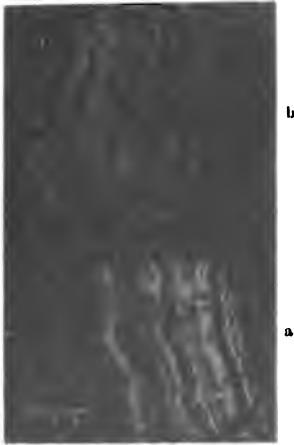
§ 6. Einfluß der Belichtungsdauer. Mit zunehmender erregenden Strahlung wächst auch die Intensität der Phosphoreszenz. Doch gilt dies nur für kurze Zeiten. Hat die Belichtungsdauer einen gewissen Betrag überschritten, so ist die weitere Erregung keine Wirkung mehr aus. Als Beispiel sei das oben angeführt. Ein Wölsendorfer Fluorit gibt bei einer Erregung durch Strahlung  $\lambda = 410$  bis  $470 \mu\mu$  und einer Belichtungsdauer von 5 Sekunden bei 71 stündiger Exposition keine Wirkung mehr. Bei einer Belichtungsdauer von 30 Sekunden bei 47 stündiger Exposition eine geringere Wirkung als bei einer Belichtungsdauer von 60 Sekunden bei 47 stündiger Exposition. Noch eine geringere Wirkung bei einer Belichtungsdauer von 600 Sekunden bei 47 stündiger Exposition.

Bei dem Fluorit vom Säntis macht es keinen Unterschied, ob er 22 Minuten oder 45 Minuten bestrahlt wird, er ist von dem Einflusse der Belichtungsdauer frei zu sein, er ist mindestens 30 Minuten, meistens aber 45 Minuten lang aktiv.

§ 7. Ausgesandte Strahlung. Um festzustellen, in welcher Art die von den Fluoriten ausgesandte Strahlung ist,

<sup>1)</sup> Sehr bemerkenswert ist, daß J. PRECHT (Wied. Ber. 1898) bei Flußspat, der durch Röntgenstrahlen erregt wurde, die Phosphoreszenz mit der Zeit beobachtete.

Fig. 2.



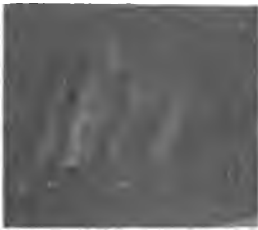
Platte Nr. 69. Wölsend. Fluorit.  
46<sup>h</sup> Exp. 5 Tage unbelichtet.

Fig. 3.



Platte Nr. 75. Wölsend. Fluorit.  
46<sup>h</sup> Exp. 9 Tage unbelichtet.

Fig. 5.



Platte Nr. 230. Wölsend. Fluorit.  
1440<sup>h</sup> Exp. 150 Tage unbelichtet.

Fig. 6.



Platte Nr. 88. Säntis-Fluorit.  
47<sup>h</sup> Exp. Vorher 15' mit Bogen-  
licht bestrahlt. Dunkelzeit 30'.

Fig. 8.



Platte Nr. 240. Säntis-Fluorit.  
Belichtet mit  $\lambda = 700 - 470 \mu\mu$ .  
Halb auf Filter durchlässig für  
 $\lambda = 470 - 410 \mu\mu$ .

Fig. 9.



Platte Nr. 296. Säntis-Fluorit.  
Belichtet mit  $\lambda = 700 - 250 \mu\mu$ .  
Halb auf Filter durchlässig für  
 $\lambda = 470 - 410 \mu\mu$ .

id. Fluorit.  
mit Bogen-  
zeit 1<sup>h</sup> 20'.

end. Fluorit.  
unbelichtet.

antis-Fluorit.  
unbelichtet.





1. Nachdem die Stücke im allgemeinen mit Bogen-  
= 750 bis 250  $\mu\mu$ , bestrahlt worden waren, wurden  
f die photographische Platte, aber unter Zwischen-  
chiedener Filter, aufgelegt.

ische Einwirkung ausgeschlossen ist, wurde dadurch  
die ganze Platte mit Glimmer oder Glas bedeckt  
durch diese Filter hindurch bildeten sich die Steine  
ils ab<sup>1)</sup>.

irchlässig erwiesen sich schwarzes Papier, sowie  
twa 0,002 mm Dicke (auch bei 60 tägiger Exposition).  
irchlässig war Kobaltglas von 2,25 mm Dicke.

hhlässig (in abnehmender Reihenfolge) zeigten sich:  
, farblose Gelatine (0,07 mm), Glas (1 mm), Glimmer

assende Verwendung dieser, sowie der in § 5 er-  
r konnte festgestellt werden, daß:

ilsendorfer Flußspat Strahlung aussendet von ungefähr

$\lambda = 750 \mu\mu$  bis  $\lambda = 515 \mu\mu$  nicht,  
 $\lambda = 515$  „  $\lambda = 410$  wenig,  
 $\lambda = 410$  „  $\lambda = 340$  viel,  
 $\lambda < 340$  noch etwas,

eschlossen wurde, daß Glas etwas mehr absorbierte

luorit vom Säntis strahlte von ungefähr

$\lambda = 750 \mu\mu$  bis  $\lambda = 595 \mu\mu$  nicht,  
 $\lambda = 595$  „  $\lambda = 470$  gut,  
 $\lambda = 470$  „  $\lambda = 410$  gut,  
 $\lambda = 410$  „  $\lambda = 340$  sehr gut.

i diesen Versuchen wurden bei den längeren Wellen  
uch rotempfindlichen panchromatischen Platten von  
wandt.

sich also ergeben, daß die von dem Wölsendorfer  
andte Strahlung zum größeren Teile im Ultraviolett  
= 400 bis 340  $\mu\mu$ ), im sichtbaren Gebiet reicht sie

natürlich die Dicke der Filter sehr groß war, etwa 4 mm Glas,  
ein verschwommenes Bild.

aber noch bis etwa  $\lambda = 500 \mu\mu$ . Die Strahlung vom Söntis reicht etwas weiter nach längeren  $\lambda = 590 \mu\mu$ .

§ 8. Das STOKESSsche Gesetz scheint gültig zu gehen schon allgemein aus einer Vergleichung der Zahlen in § 7 hervor, wird aber noch durch folgende Versuche bestätigt.

1. Ein Stück vom Söntis wurde eine Stunde durch ein gelbgrünes Filter, durchlässig von etwa  $\lambda = 410 \mu\mu$  bis  $430 \mu\mu$  in Verbindung mit einem Wasserfilter mit Bogenlicht in eine Kugel. Nach § 5 wird hierdurch der Fluorit erregt. Wenn man die Kugel der Exposition zwischen dem  $\text{CaFl}_2$  und der Platte durch ein Filter gebracht, das nur von etwa  $\lambda = 410$  bis  $430 \mu\mu$  durchlässig war, so entstand unter dem Filter keine Schwärzung. Fig. 8 zeigt dieses Resultat (Exposition 240 Stunden). Fig. 9 zeigt gleiches Resultat (48 Stunden exponiert), die Kugel durch ein Filter durchläßt, wenn der Stein mit  $\lambda = 750 \mu\mu$  durch ein Filter erregt wurde.

2. Erregt man Wölsendorfer  $\text{CaFl}_2$  mit  $\lambda = 470 \mu\mu$  bis  $410 \mu\mu$  so absorbiert Glas (1 mm) stärker als Quarz (1 mm). Die Erregung jedoch durch  $\lambda = 470$  bis  $410 \mu\mu$  wird durch die Absorption von Glas und Quarz kein Unterschied in der Erregung dieses besagt, daß im zweiten Falle keine Strahlung von etwa  $\lambda = 340 \mu\mu$  ausgesandt wurde.

§ 9. Einfluß einer Erhitzung. Interessante Resultate ergeben sich, wenn man die Steine nach der Belichtung erhitzt. Hält man sie etwa auf  $98,5^\circ \text{C}$ , so wirken sie nicht mehr auf eine Platte ein, selbst bei Expositionszeiten von 38 Tagen. Durch erneute Bestrahlung mit Tages- oder Bogenlicht wird erregt.

Ist man aber bei der Erhitzung z. B. bei der Erhitzung von  $\text{CaFl}_2$  bis etwa  $230$  bis  $260^\circ$  gegangen, so ist die Erregung verschwunden; es ist aber jetzt nicht mehr möglich, die Kugel durch Tages- oder Bogenlicht zu erregen. Es ist nicht bekannt, ob bei dieser Temperatur eine Änderung in der Erregung sich ginge. Nur mit Funken oder der Quarzquecque wird eine erneute Erregung immer möglich. Dieselbe Kugel, wenn die Steine auf helle Weißglut erhitzt worden, verliert sie ihre blaue Farbe vollkommen verloren und ga

zung auf 250°C behalten die Steine ihre Farbe, es ist  
den zu beobachten. Zu bemerken ist, daß die Ab-  
durch Funken neu erregten Strahlung durch die  
ne Erhitzung auf helle Rotglut nicht merklich be-

Stück eines Wölsendorfer Kristalls nach der Er-  
ber 250°C lange Zeit intensiv mit Funken zwischen  
bestrahlt, so zeigt er sich nach vollkommener Ab-  
leicht wieder etwas empfindlicher für Bogenlicht.  
rierung ist aber jedenfalls sehr gering<sup>1)</sup>.

auch die Phosphoreszenz der Kristalle parallel diesen  
suchen im Funkenphosphoroskop untersucht. Es  
doch, daß die Phosphoreszenzfähigkeit sich nicht  
dert, auch wenn die Kristalle stark geglüht und  
geworden waren.

ie von dem Wölsendorfer und dem Säntis-Fluoriten  
trahlung rührt von der in den Kristallen bei der  
tgespeicherten Energie her, die sich als sichtbares  
Thermolumineszenz offenbart. Wenn dieses schon  
§ 3 Mitgeteilten hervorgeht, so beweisen das noch  
uche:

dem Wölsendorfer Fluoriten, der 214 Tage im Dunkeln  
, wobei seine photographische Wirksamkeit stark  
war, wurden zwei möglichst gleich große Stücke  
und zusammen in einen elektrischen Tiegelofen  
auf 160°C gehalten wurde. Das eine Stück wurde  
dem Versuche 30 Sekunden mit Bogenlicht bestrahlt.  
, daß die Thermophosphoreszenz des nicht bestrahlten  
viel später erst sichtbar wurde, und dann auch bei  
so hell war, wie die des bestrahlten.

ebensolche Wölsendorfer Fluorite, die aber schon  
64°C erhitzt worden waren, wurden wie unter a)  
er eine Stein war vor dem Versuch mit Bogenlicht,  
mit elektrischen Funken bestrahlt worden. Jetzt

---

it steht hiermit in Zusammenhang, daß, wie PH. PEARSALL  
Flußspat sich unter der Einwirkung von Funken blau färbt.  
77, 267, 1881.

zeigte sich, daß der erstere überhaupt nicht oder kaum lumineszierte, der letztere aber gut<sup>1)</sup>. Erst bei etwa 200°C lumineszierte das mit Bogenlicht bestrahlte Stück gar nicht, noch schwächer als das mit Funken belichtete.

Man sieht also, daß hier immer die photographische Linie parallel der aufgespeicherten Energie verläuft, was bei der Thermolumineszenz bei niedrigerer Temperatur der Fall ist. § 9 wirkt ja ein einmal auf 264°C erhitzt gewesenem Fluorit nach Bestrahlung mit Bogenlicht nicht anders als wenn die Platte ein, wohl aber bei Erregung mit Funkenlicht.

Ein analog ausgeführter Versuch mit dem Fluorit Nr. 11 ergab auch eine starke Abnahme der Thermolumineszenz in 132 Tagen Dunkelzeit. Da aber dieser Kristall nicht auf die Platte einwirkt, so muß hier die aufgespeicherte Energie ebenso wie bei den Proben Nr. 5 bis 10 in anderer Weise, leicht als Wärme, ausgegeben werden.

§ 11. Um zu untersuchen, ob auch noch bei Wölsendorfer Fluorit strahlt, wurde ein größeres Stück durchgebrochen, und nun die natürliche Bruchfläche mit der Luft exponiert. Bei einer Exposition von 60 Tagen trat tatsächlich eine sehr geringe Schwärzung<sup>2)</sup> auf. Zur Erklärung dieser Erscheinung mag folgendes dienen. Wenn man ein nicht sehr dichtem Material große Blöcke nimmt, sie im Ofen erhitzt, und die innersten Teile, welche also nicht der Luft ausgesetzt haben, erhitzt, so thermolumineszieren sie auch, wenn sie vorher also aufgespeicherte Energie. E. WIEDEMANN<sup>3)</sup> v

<sup>1)</sup> Auch ein bis zur Weißglut erhitzter Wölsendorfer Fluorit zeigt nach Funkenbelichtung seine Thermolumineszenzfähigkeit wieder. Das Verhalten ist für verschiedene Flußspatarten gefunden worden. DESSAIGNES, Journ. de phys., de chim. et d'histoire naturelle, 1830. — PL. HEINRICH, Die Phosphoreszenz der Körper ..., II. Abhandlung, Th. J. PEARSON, Pogg. Ann. 20, 262, 1830. — Dasselbe für Fluorit: Bestrahlung mit elektrischer Büschelentladung und Röntgenstrahlung: Magnesium- und Sonnenlicht: J. TROWBRIDGE und J. E. BURTON, Journ. Chem. Phys. (5) 45, 100, 1898. — Dasselbe für Radiumstrahlung: H. KAYSER, Journ. Chem. Phys. 129, 912, 1899. — Vgl. auch H. KAYSER, Handbuch IV, § 11.

<sup>2)</sup> Man könnte hier an eine Erregung durch die bei der Exposition auftretende Tribolumineszenz denken. Doch widerspricht dies der Erfahrung, daß bei einer solchen Fläche, wobei starke Tribolumineszenz entsteht, die Schwärzung nicht merklich steigert.

<sup>3)</sup> Siehe H. KAYSER, Handbuch IV, S. 669.

vorhergehende Erregung durch die Strahlen sehen, welche von dem im Erdinnern vorhandenen Radium ausgehen. Hiermit würde auch folgendes übereinstimmen. Da violetter  $\text{CaFl}_2$ , der durch Erhitzen auf Rotglut entfärbt worden ist, durch Radium wieder gefärbt wird, so meint BERTHELOT<sup>1)</sup>, daß auch in der Natur der blaue Fluorit dem Radium seine Farbe verdanke.

§ 12. Photoelektrischer Effekt. Von ELSTER und GEITEL<sup>2)</sup> ist nachgewiesen worden, daß der Wölsendorfer Fluorit photoelektrisch wirksam ist, und daß bei vielen Substanzen die photoelektrische Wirksamkeit der Phosphoreszenzfähigkeit parallel läuft. Es wurde daher untersucht, ob etwa auch der photoelektrische Effekt bei den Proben Nr. 1 bis 4 der hier beschriebenen Wirkung parallel verläuft. Es ist dies aber nicht der Fall, denn die Größe des Photoeffektes ist bei allen Arten Nr. 1 bis 4 ziemlich gleich, bei Nr. 1 sogar etwas kleiner.

§ 13. Wie in § 7 gezeigt worden ist, wird von den untersuchten Fluoriten zum größten Teil ultraviolettes Licht ausgesandt. Ob dieses nun aus einem kontinuierlichen Spektrum besteht oder nicht, konnte bei der schwachen Strahlung nicht untersucht werden. Anzunehmen ist aber, daß man es mit einem diskontinuierlichen Spektrum zu tun hat, da schon von DE WATTEVILLE<sup>3)</sup> gefunden wurde, daß das durch Funken erregte Phosphoreszenzspektrum des Flußspates auch aus scharfen Linien im Ultraviolett besteht<sup>4)</sup>.

Die hier beschriebenen Versuche stehen auch in einem gewissen Zusammenhange mit einem Resultat, das früher LENARD und KLATT<sup>5)</sup> gefunden haben. Nach diesen Beobachtern verhält

<sup>1)</sup> M. P. E. BERTHELOT, C. R. 143, 477, 1906.

<sup>2)</sup> J. ELSTER und H. GEITEL, Wied. Ann. 44, 722, 1891.

<sup>3)</sup> C. DE WATTEVILLE, C. R. 142, 1078, 1906.

<sup>4)</sup> Ferner fand G. URBAIN (C. R. 143, 825, 1906), daß Chlorophan unter Kathodenstrahlen ein diskontinuierliches Spektrum aussendet, das ebenfalls Ultraviolett enthält. P. SCHÜHNICHT (Dissert. Leipzig 1905) fand dasselbe für Erregung durch Röntgen- und Kathodenstrahlen. A. WINKELMANN und R. STRAUBEL (Wied. Ann. 59, 336, 1896) finden ultraviolette Strahlung bei Flußpatkristallen, die durch Röntgenstrahlen erregt sind, wohingegen W. RADEBOLDT bei Erregung seiner Flußpatkristalle durch Röntgenstrahlen nur sichtbares Licht nachweisen konnte (Dissert. Rostock 1903).

<sup>5)</sup> P. LENARD und F. KLATT, Ann. d. Phys. (4) 15, 458, 1904; vgl. auch H. KAYSER, Handbuch IV, S. 669.

sich nämlich Flußspat etwas anders als die üblichen. Wenn man ihn auf konstanter höherer Temperatur gehalten hat, bis er nicht mehr phosphoresziert, im Dunkeln abkühlen und erhitzt ihn wieder auf, so erregt von neuem Licht, wenn auch schwächeres, und das wieder mehrere Male wiederholen, bevor das Leuchten aufhört. LENARD und KLATT erklären dies durch die Annahme, daß der Spat sende außer dem sichtbaren auch ultraviolettes Licht, welches viel langsamer abklingt, und sichtbares Licht zu erregen vermöge. Ist er also bei 90° abgekühlt geworden, so strahlt er in Wahrheit noch Ultraviolettes Licht ein Teil durch den Kristall selbst wieder auf, welches beim nächsten Erwärmen als sichtbares Licht kommt.

Wenn sich diese Versuche von LENARD und KLATT mit den blauen Varietäten beziehen, was aus der Arbeit hervorgeht, scheint, so wird durch die vorliegenden Versuche die Hypothese nur teilweise gestützt. Der Erhitzungsversuch in § 9 würde ihr widersprechen.

§ 14. Was die verwendeten Plattensorten angeht, ist folgendes zu sagen. Gewöhnliche Platten von Flußspat eignen sich am besten zu den Versuchen, weniger empfindlich sind orthochromatischen (grüngelb empfindlichen) Platten und die Perortoplatten (grün Siegel) von PERUT. Empfindlicher sind ferner auch die panchromatischen (violett empfindlichen) Platten von LOMBERG (in Langenlonsdorf). Ganz Gar keine Wirkung zeigen merkwürdigerweise Platten aus Quarz.

§ 15. Zusammenfassung. Es ist gezeigt worden, daß einige blau gefärbte, stark thermolumineszierende Fluorite, besonders die von Wölsendorf und vom Säntis, nach einer langgedauerten Belichtung während der langsamen Abkühlung Thermolumineszenz bei gewöhnlicher Temperatur aussenden. Die größten Teile ultraviolette Strahlung aussenden. Die abklingende Strahlung allmählich abklingt, konnte bisher in einem Zeitraum von 150 Tagen Dunkelzeit nachgewiesen werden. Bei Erwärmen auf 230 bis 260° C verlieren die Fluorite diese Lumineszenz. Bestrahlung mit Tages- oder Bogenlicht. Funkenstrahlung der Quarzquecksilberlampe ruft aber d

, auch wenn die Fluorite auf helle Rotglut erhitzt  
des die wahrscheinliche innere Ursache<sup>1)</sup> der Er-  
, muß wegen des Mangels einer guten Theorie der  
z dahingestellt bleiben.

DENTOFF (diese Verh. 9, 621, 1907; Phys. ZS. 8, 851, 1907)  
n worden, daß sich auf frischen Spaltflächen von Flußspat  
ve Färbung mit Kathodenstrahlen metallisch glänzende Über-  
stellen lassen. Es konnte daher vermutet werden, daß viel-  
riebene Wirkung auf eine an der Oberfläche ausgeschiedene  
Schicht zurückzuführen sei. Ein Versuch zeigte aber, daß  
lich nicht der Fall ist. Nachdem ein Wölsendorfer Stück  
nicht bestrahlt worden war, wurde es mit Salzsäure und  
elt, um das eventuell ausgeschiedene Ca fortzubringen. Die  
: Wirksamkeit des  $\text{CaFl}_2$  wurde aber durch diese Behand-  
t im geringsten geändert.

im Sept. 1908. Physikal. Institut der Universität.



**Notiz über ein einfaches Phosphoroskop  
von Edgar Meyer.**

---

Im folgenden möchte ich kurz ein einfaches beschreiben, das sich mit sehr geringen Mitteln und bei der Untersuchung phosphoreszierender Substanzen Dienste leistet.

Neben dem komplizierteren Phosphoroskop von WATTEVILLE oder dem durch E. WIEDEMANN<sup>2)</sup> etwas modifizierten, bei denen beiden zur Erregung der Phosphoreszenz eine elektrischer Lichtquelle verwandt wird, sind noch andere Phosphoroskope angegeben worden. Diese werden durch Erregung den elektrischen Funken oder Kathodenstrahl derartigen Konstruktionen seien genannt die von WATTEVILLE<sup>1)</sup>, CROOKES<sup>4)</sup>, WIEDEMANN und SCHMIDT<sup>5)</sup>, WATTEVILLE<sup>6)</sup> besonders einfache von LENARD<sup>7)</sup>. Der von mir beschriebene Apparat schließt sich zwar den erwähnten Ausführungen an, doch glaube ich, daß eine kurze Beschreibung nicht überflüssig ist. Er verbindet die Vorteile eines Quecksilberunterbrechers mit dem Primärkreis des Induktoriums mit dem Vorteile des Kathodenstrahl-Anordnung von LENARD), daß man die Zeit zwischen der Erregung der phosphoreszierenden Substanz und ihrer Beobachtung verhältnismäßig starkem Grade variieren kann.

<sup>1)</sup> C. BECQUEREL, Recherches sur divers effets lumineux de l'action de la lumière sur les corps. Ann. chim. phys. 34, 446, 1888.

<sup>2)</sup> E. WIEDEMANN, Über Fluoreszenz und Phosphoreszenz. Ann. Phys. 34, 446, 1888.

<sup>3)</sup> LABORDE, Phosphoroscope électrique, C. R. 68, 1869.

<sup>4)</sup> W. CROOKES, On radiant matter spectroscopy: Part I. residual glow. Proc. Roy. Soc. 42, 111, 1887.

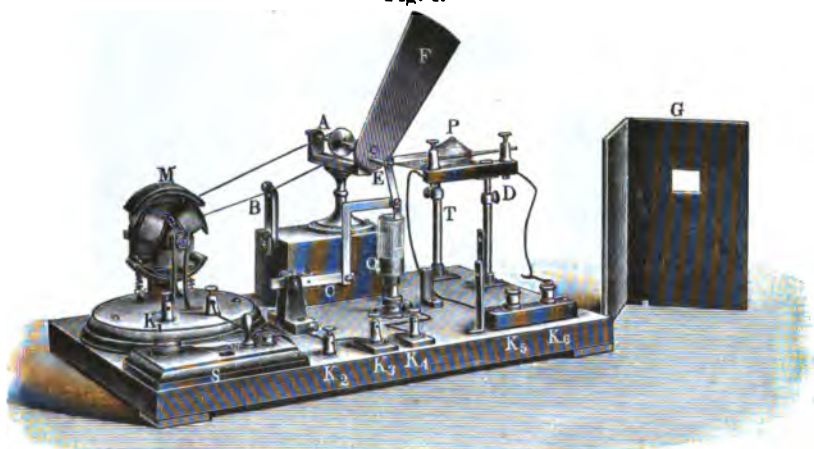
<sup>5)</sup> E. WIEDEMANN und G. C. SCHMIDT, Über Lumineszenz in festen Körpern und festen Lösungen. Wied. Ann. 56, 239, 1896. Das angegebenen Phosphoroskop dient eine Influenzmaschine zum Erregen des Funken.

<sup>6)</sup> C. DE WATTEVILLE, Sur un nouveau dispositif pour l'observation des corps phosphorescents. C. R. 142, 1078, 1906.

<sup>7)</sup> PH. LENARD, Notiz über ein Phosphoroskop mit Kathodenstrahl. Ann. 46, 637, 1892.

In etwa 9,6 cm über dem Grundbrette des Apparates (vgl. Fig. 1) befindet sich eine Achse  $A$ , die durch einen kleinen Elektromotor<sup>1)</sup>  $M$  angetrieben wird. Als Motor ist ein solcher verwendet, wie man ihn für 3 bis 4  $\mathcal{M}$  in Spielwarengeschäften kaufen kann. Er wird mit 4 Volt, unter Vorschaltung von Widerstand, betrieben. Dadurch ist es ermöglicht, die Umdrehungsgeschwindigkeit zu regulieren.  $S$  ist der Einschalter für den Motor,  $K_1$  und  $K_2$  die zugehörigen Klemmen.  $B$  ist eine kleine Vorrichtung, die in leicht ersichtlicher Weise zum Spannen des Schnurlaufes dient. Auf der Achse  $A$  sitzt der Flügel  $F$ , ein

Fig. 1.

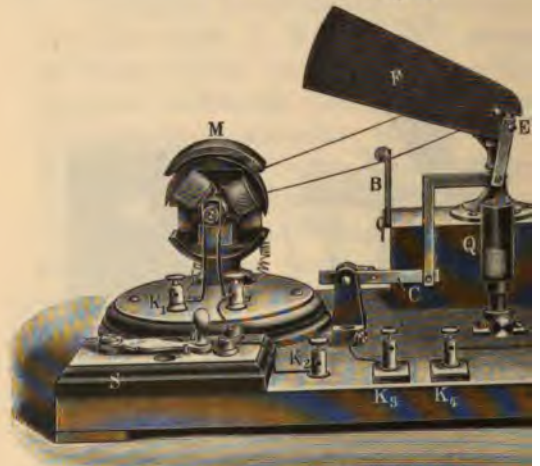


Kreissegment aus Weißblech von etwa 9 cm Länge und 4 cm Breite an der Peripherie, das mit schwarzem Mattlack angestrichen ist. Gleichzeitig wird durch die Achse  $A$  mittelst des Exzentrers  $E$  der Quecksilberunterbrecher  $Q$  angetrieben.  $C$  ist eine Führung für den sich auf und ab bewegenden Unterbrecherstift, der an dem unteren Ende einen angeschweißten Platindraht trägt. Das Quecksilbergefäß läßt sich durch eine Schraube in veränderlicher Höhe festklemmen. Die Klemmen des Unterbrechers, der in den primären Kreis eines Induktoriums eingeschaltet wird, sind  $K_3$  und  $K_4$ .  $D$  ist die Funkenstrecke, die von zwei Zinkelektroden

<sup>1)</sup> Man tut gut daran, einen Motor mit dreiteiligem Anker zu verwenden. damit er in jeder Lage von selbst angeht.

gebildet wird, und die sich auch, wie man in der Höhe verstellen läßt.  $K_5$  und  $K_6$  sind die zu dieser Strecke gehörenden Klemmen, die mit dem Induktorium, bei parallel geschalteter Kapazität  $T$  ist ein kleines Tischchen, auf das die zu untersuchende Substanz (in der Figur  $P$ ) aufgelegt wird; es läßt sich in der Höhe verstellen.  $G$  ist eine Blende aus Holz, die vor die Funkenstrecke gesetzt und mittelst dreier kleiner Stützen festgehalten

Fig. 2.



das Auge des Beobachters vor reflektiertem Licht dem Funken des Unterbrechers zu schützen. Der Apparat bei eingesetzter Blende.

Durch Verstellen von  $Q$  und  $D$ , sowie der Funkenstrecke ist es nun leicht zu erreichen, daß die Funken des Induktoriums bei  $D$  überspringen, dann, wenn der Flügel  $F$  sich zwischen den Funken der Blende  $G$  befindet. Das vor die Blende gesetzte Tischchen, das dem Beobachters sieht also dann den Funken unmittelbar nach dem Funkenübergang hat sich dann in der Höhe verstellen, so daß man die zu untersuchende Substanz, die die Funkenstrecke aufgestellt ist, sehen kann. Ein etw. Phosphoreszenz, d. h. Phosphoreszenz, ist dann zu

Die Anzahl der Umdrehungen des Flügels  $F$  ließ sich durch den Widerstand, der dem Motor vorgeschaltet war, zwischen 4 bis 15 pro Sekunde variieren, wie mit einem Tourenzähler konstatiert wurde. Da der Abstand der Funkenstrecke von der Achse  $A$  7 cm beträgt, die Breite des Flügels  $F$  an dieser Stelle 3,8 cm, so kann man also die Zeit zwischen der Erregung der phosphoreszierenden Substanz und ihrer Beobachtung etwa zwischen 0,01" und 0,003" variieren. Dabei ist angenommen, daß der Funke gerade dann überspringt, wenn die Mitte des Flügels ihn passiert. Verwendet man einen etwas besseren Motor, so wird man dieses Zeitintervall nach beiden Seiten hin noch bedeutend vergrößern können.

Zum Schlusse sei noch bemerkt, daß man sich auf noch einfachere Weise ein gutes Phosphoroskop herstellen kann, falls ein Turbinenunterbrecher vorhanden ist. Zu diesem Zwecke braucht man nur auf dessen Achse eine Scheibe aufzusetzen, die an ihrer Peripherie ein Loch besitzt. Die Funkenstrecke wird unter der Scheibe angebracht, der Beobachter sieht in vertikaler Richtung von oben her.

Zürich, im August 1908. Physikal. Institut der Universität.

**Über Hysterese bei einigen Eisenverbindungen;  
von G. Berndt.**

(Vorgetragen in der Sitzung der physikalischen Abteilung der 80. Versammlung  
Deutscher Naturforscher und Ärzte zu Cöln am 21. September 1908.)

(Vgl. oben S. 620.)

Ob die Suszeptibilität  $\kappa$  der para- und diamagnetischen Körper (abgesehen von denen der Eisengruppe und einigen Legierungen) konstant ist oder mit der Feldstärke  $H$  variiert, ist trotz der zahlreichen Arbeiten hierüber<sup>1)</sup> noch nicht entschieden. Nur beim Eisenoxyd hatten KÖNIGSBERGER<sup>2)</sup> und ST. MEYER<sup>3)</sup> eine Abnahme von  $\kappa$  mit wachsendem  $H$ , ferner Andeutungen von Hysterese und remanentem Magnetismus beobachtet.

Es wurde deshalb versucht, mit Hilfe des ballistischen Verfahrens eine vollständige Hysteresschleife beim Eisenoxyd aufzunehmen. Die zu untersuchende Substanz wurde in die Form eines Stabes von 20 cm Länge und etwa 4 cm Durchmesser gebracht und befand sich in einem geschlitzten Messing- oder einem Glasrohre. Die unmittelbar darüber gewickelte Sekundärspule besaß gegen 12000 Windungen, die Primärspule 200 Windungen pro Centimeter. Da die in der kernlosen Spule induzierte elektromotorische Kraft sehr groß war, wurde sie durch eine zweite Spule von ähnlichen Dimensionen fast völlig kompensiert und der kleine übrig bleibende Galvanometerausschlag in Rechnung gesetzt. Die Substanzen wurden bei verschiedener Dichte, fest gestampft und lose eingefüllt, untersucht. Eine Korrektion wegen des entmagnetisierenden Einflusses der Enden dieser verhältnismäßig starken Stäbe war nicht nötig, da die erzielte Intensität der Magnetisierung  $I$  nur von der Größenordnung 0,2 absoluter Einheiten im Maximum war. Ebenso kam auch die Korrektion in Fortfall, die dadurch bedingt ist, daß nicht der ganze Quer-

<sup>1)</sup> Die Literatur siehe bei WINKELMANN, Handbuch der Physik, 2. Aufl. 5, 283 ff.

<sup>2)</sup> J. KÖNIGSBERGER, Wied. Ann. 66, 727, 1898.

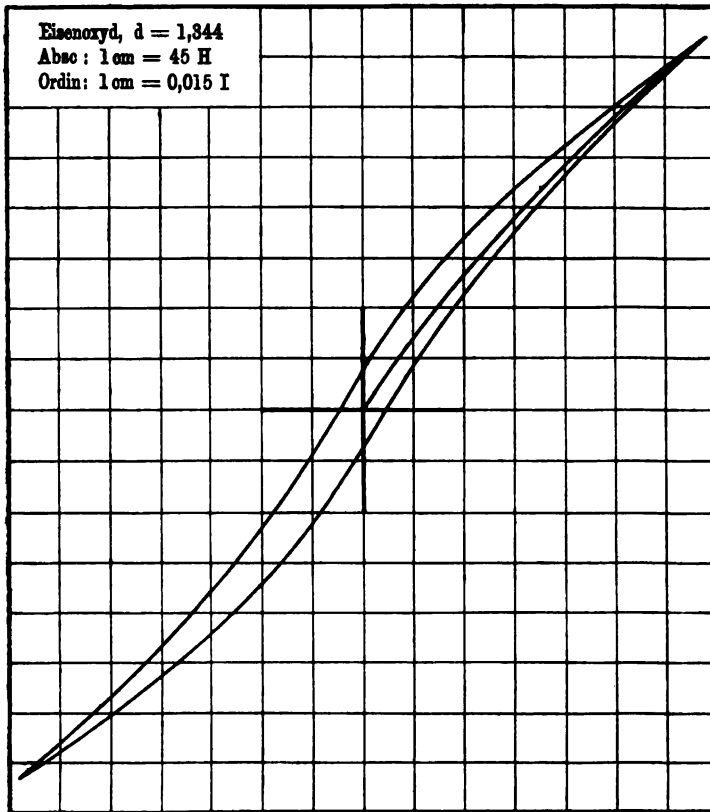
<sup>3)</sup> St. MEYER, Wied. Ann. 69, 236, 1899.

schnitt von der zu untersuchenden Substanz erfüllt ist, weil der Ausschlag direkt proportional  $I$  war. Die mittlere Feldstärke wurde nach der Formel

$$H = \frac{2\pi ni}{10} \frac{2}{l-2a} (\sqrt{r^2 + (l-a)^2} - \sqrt{r^2 + a^2})$$

berechnet, wo bedeuten:  $n$  die Windungszahl pro Centimeter,  $i$  die Stromstärke in Ampere,  $l$  die Länge der Spule,  $r$  ihren mittleren

Fig. 1.

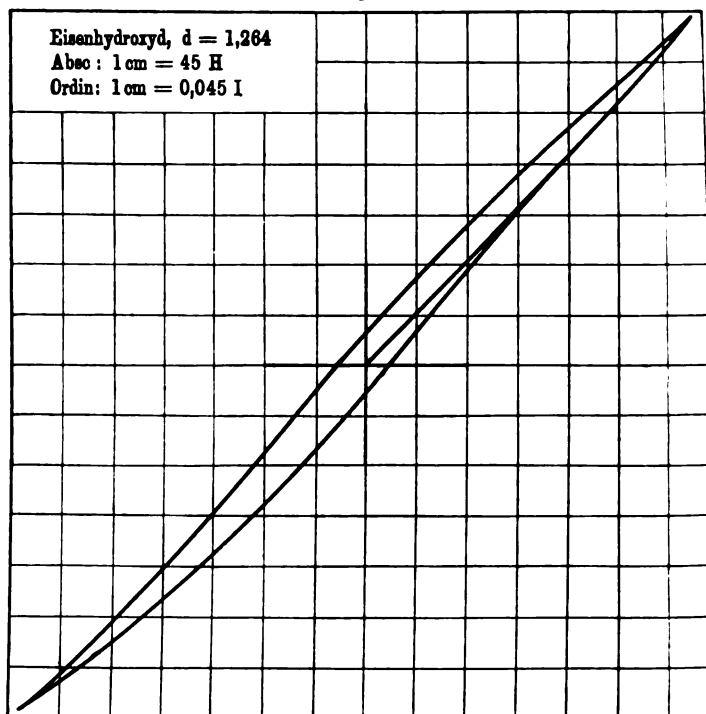


Radius und  $a$  den Abstand des Kernendes vom Spulenende. Das Feld der Primärspule ist wegen ihres verhältnismäßig großen Querschnittes nicht ganz homogen; da indes die Suszeptibilität

nur wenig mit der Feldstärke variiert, ist der hierdurch verursachte Fehler nicht beträchtlich.

Von den untersuchten Substanzen zeigen Eisenoxyd und Eisenhydroxyd (entstanden durch allmähliche Oxydation des Carbonats und deshalb verunreinigt durch Carbonat und Oxyd) ausgesprochene Hysteresis und remanenten Magnetismus. Bei Eisenchlorid, Ferro- und Ferrisulfat ließ sich mit meinen Hilfsmitteln keine Hysteresis nachweisen. Als Beispiel für das Ver-

Fig. 2.



halten der Substanzen sind in Tabelle 1 und 2, sowie in Fig. 1 und 2 die Ergebnisse eines vierstufigen Versuches an Eisenoxyd (Dichte  $d = 1,344$ ) und Eisenhydroxyd ( $d = 1,264$ ) wiedergegeben.

Die Abhängigkeit der Suszeptibilität von der Feldstärke ergibt sich aus Tabelle 3.  $\chi$  ist angegeben für 1 g, multipliziert mit  $10^6$ .

Tabelle 1. Eisenoxyd.

| <i>H</i> | <i>I</i> | <i>H</i> | <i>I</i> | <i>H</i> | <i>I</i> | <i>H</i> | <i>I</i> | <i>H</i> | <i>I</i> |
|----------|----------|----------|----------|----------|----------|----------|----------|----------|----------|
| + 49,9   | + 0,0230 | + 154,9  | + 0,0612 | - 49,9   | -0,0186  | -152,5   | -0,0611  | + 49,9   | + 0,0184 |
| + 102,0  | + 0,0427 | + 100,9  | + 0,0469 | -100,9   | -0,0401  | -100,9   | -0,0470  | + 102,0  | + 0,0397 |
| + 154,1  | + 0,0591 | + 49,0   | + 0,0306 | -154,8   | -0,0582  | - 49,9   | -0,0307  | + 152,9  | + 0,0576 |
| + 205,0  | + 0,0737 | 0,0      | + 0,0072 | -203,9   | -0,0730  | - 0,0    | -0,0076  | + 202,7  | + 0,0723 |

Tabelle 2. Eisenhydroxyd.

| <i>H</i> | <i>I</i> | <i>H</i> | <i>I</i> | <i>H</i> | <i>I</i> | <i>H</i> | <i>I</i> | <i>H</i> | <i>I</i> |
|----------|----------|----------|----------|----------|----------|----------|----------|----------|----------|
| + 52,9   | + 0,0548 | + 151,9  | + 0,1674 | - 51,9   | -0,0436  | -151,6   | -0,1638  | + 51,5   | + 0,0455 |
| + 101,6  | + 0,1064 | + 101,6  | + 0,1231 | -101,5   | -0,1008  | -101,5   | -0,1217  | + 101,6  | + 0,1035 |
| + 152,3  | + 0,1582 | + 51,9   | + 0,0756 | -152,0   | -0,1554  | - 52,0   | -0,0739  | + 151,6  | + 0,1578 |
| + 202,6  | + 0,2078 | 0,0      | + 0,0191 | -202,1   | -0,2058  | - 0,0    | -0,0169  | + 202,0  | + 0,2072 |

Tabelle 3. Suszeptibilität.

| Eisenoxyd |          | Eisenhydroxyd |          |
|-----------|----------|---------------|----------|
| <i>H</i>  | $\alpha$ | <i>H</i>      | $\alpha$ |
| + 27,0    | 354      | + 27,1        | 811      |
| + 45,6    | 344      | + 45,2        | 819      |
| + 67,6    | 325      | + 67,1        | 818      |
| + 88,4    | 314      | + 87,8        | 815      |
| + 113,6   | 301      | + 111,8       | 809      |
| + 133,3   | 290      | + 131,0       | 804      |
| + 155,5   | 280      | + 153,1       | 797      |
| + 175,7   | 271      | + 176,1       | 791      |
| + 201,7   | 262      | + 203,0       | 782      |

Um den Einfluß der Stufenzahl hervortreten zu lassen, sind in Tabelle 4 zusammengestellt: die Remanenz in Prozenten der maximalen Intensität der Magnetisierung (*R* Proz.), die Koerzitivkraft in Prozenten der maximalen Feldstärke (*C* Proz.), die für 200 Gauss erreichte Intensität der Magnetisierung (*I*), der Energieverlust pro Zyklus und Cubikcentimeter in Erg (*E*), die Temperatur *t* und die maximale Feldstärke.

Bei beiden Substanzen wachsen *R* Proz., *C* Proz., *I* und *E* mit abnehmender Stufenzahl; die Suszeptibilität nimmt beim Eisen-



Tabelle 4. Zusammenstellung.

| Material und Dichte            | Stufenzahl | R Proz. | C Proz. | I      | E     | t    | Max. Feldstärke |
|--------------------------------|------------|---------|---------|--------|-------|------|-----------------|
| $\text{Fe}_2\text{O}_3$ 1,344  | 9          | 8,2     | 5,4     | 0,0713 | 2,33  | 18,6 | 200             |
|                                | 4          | 10,1    | 6,8     | 0,0721 | 3,09  | 18,1 | 200             |
|                                | 2          | 10,9    | 7,1     | 0,0740 | 3,11  | 18,3 | 200             |
|                                | 1          | 11,2    | 8,6     | 0,0760 | 3,14  | 18,0 | 200             |
| $\text{Fe}_2\text{O}_3$ 1,344  | 4          | 11,8    | 6,5     | 0,0763 | 10,81 | 22   | 400             |
|                                | 1          | 11,8    | 7,3     | 0,0777 | 11,18 | 27   | 400             |
| $\text{Fe}_2\text{O}_3$ 0,576  | 4          | 9,1     | 5,3     | 0,0329 | 1,06  | 17,5 | 200             |
|                                | 1          | 12,0    | 7,2     | 0,0338 | 1,64  | 17,5 | 200             |
| $\text{Fe}(\text{OH})_3$ 1,264 | 9          | 7,6     | 6,9     | 0,1952 | 6,90  | 16,6 | 200             |
|                                | 4          | 8,6     | 7,5     | 0,2048 | 8,16  | 16,6 | 200             |
|                                | 2          | 8,7     | 7,8     | 0,2073 | 9,61  | 16,6 | 200             |
| $\text{Fe}(\text{OH})_3$ 0,734 | 1          | 9,2     | 8,7     | 0,2106 | 10,15 | 16,6 | 200             |
|                                | 4          | 8,2     | 7,1     | 0,1223 | 4,80  | 17,3 | 200             |
|                                | 1          | 9,5     | 7,7     | 0,1207 | 5,80  | 17,3 | 200             |

oxyd mit wachsender Feldstärke ab, und zwar um so langsamer, je größer die Feldstärke; beim Eisenhydroxyd wächst sie dagegen zunächst mit wachsender Feldstärke, erreicht ein Maximum und nimmt dann erst wieder ab.

Cöthen (Anhalt), Physik. Labor. des Polytechnikums.

*Über Gnomone und Sonnenuhren, ihre  
Geschichte und Literatur<sup>1)</sup>;  
von J. Drecker.*

(Vorgetragen in der Sitzung der physikalischen Abteilung der 80. Versammlung  
Deutscher Naturforscher und Ärzte zu Cöln am 22. September 1908.)

(Vgl. oben S. 620.)

In den ältesten Zeiten der Menschheit war das kleinste Zeitmaß der Tag, d. h. die Zeit zwischen Sonnenauf- und -untergang und die Nacht. Für eine weitere Einteilung dieser Zeiten war bei der einfachen Lebensweise kein Bedürfnis. Erst mit steigender Kultur kam die Festlegung des Mittags hinzu. Die ersten, die die genaue Mittagszeit bestimmen konnten, waren die Chinesen, die bereits 1100 Jahre vor unserer Zeitrechnung den täglichen Gang des Schattens einer senkrechten Säule, eines Gnomon, beobachteten und daraus den Mittag, aber auch die Solstitien und die Schiefe der Ekliptik bestimmten. Ein gleiches wird ebenfalls in sehr früher Zeit in Babylonien und Ägypten der Fall gewesen sein. In Ägypten dienten die Obelisken als Gnomone und als Kaiser Augustus den ersten ägyptischen Obelisken nach Rom bringen ließ, stellte er ihn auf dem Marsfelde auf und ließ durch ehernen Marken auf dem Boden die Mittagslinie und die Tierkreiszeichen festlegen, genau in der Art, wie wir es heute noch auf dem Platze vor der Peterskirche in Rom unter dem Obelisken sehen, den Sixtus V. dort aufstellte. In späterer Zeit konstruierte man solche Gnomone in vielen hohen Kirchen, bei denen an Stelle der schattenwerfenden Säule ein kleines Loch im Gewölbe trat, durch welches ein Bildchen der Sonne auf dem Boden der Kirche erzeugt wurde. Manche dieser Gnomone, z. B. der von

---

<sup>1)</sup> Eine ausführliche Arbeit über dasselbe Thema erscheint demnächst.

Ign. Danti 1575 hergestellte und von Dorotheo Besserte in der Kirche S. Petronio in Bologna, daß man den Mittag bis auf einen kleinen Bruchteil daran bestimmen kann.

Die weitere Einteilung des Tages veranlassen haben nach Herodots Zeugnis die Griechen erlernt. Als Erfinder wird der chaldäische Astronom genannt, der um 640 v. Chr. auf die Indische Astronomie lehrte. Von dort verbreitete sich der Gebrauch der Sonnenuhr langsam nach Westen und verdrängte allmählich eine andere Methode, die darin bestand, daß man die Länge des eigenen Körpers angab.

Von den Griechen kam die Sonnenuhr nach Rom. Im Jahre 293 v. Chr. wurde die erste im Tempel der Minerva gestellt. Über die verschiedenen Arten von Sonnenuhren berichtet uns Vitruvius in seinem Buch von unserer Zeitrechnung geschriebenen Buch. Er zählt 14 verschiedene Arten auf (Erklärungen durch Zeichnungen). Unter diesen finden sich schon Sonnenuhren, die älteste ist in Herkulanum gefunden, die vor 79 angefertigt. Es sind die ersten Taschenuhren, sie waren so genau gearbeitet, daß man daran genau den Breitengrad, für den sie gebraucht werden können, rechnen kann.

In den nächsten Jahrhunderten nach Christus im Mittelmeeres Weltreich finden wir wenige Zeugnisse von Sonnenuhren. Die ältesten Schriften darüber sind die der nächsten Erben griechischer Gelehrter.

Aus dem frühen Mittelalter sind uns noch einige Sonnenuhren erhalten, so von Gerbert, der die erste Sonnenuhr herstellte, von Herimann den Reichen und von dem britischen Mönch Beda (672-735). An Gebäuden aus dieser Zeit gibt es in Italien noch Sonnenuhren, wohl aber in England (Lichtbilder).

Die Verbesserung der mechanischen Uhr durch die Erfindung der Gewichts- und Federuhren am Ende des Mittelalters und Wasseruhren war nicht von so großer

stellung und die Verbreitung der Sonnenuhren und das wurde auch noch nicht anders, als Peter Hele um 1500 die erste Taschenuhr konstruierte. Der Grund hierfür ist jedenfalls der, daß man auch von diesen Uhren sagen konnte, was Seneca von den alten römischen Wasseruhren sagt, es sei leichter, daß zwei Philosophen übereinstimmen als zwei Uhren. Dagegen hatte das Bekanntwerden der Magnetnadel die Folge, daß nun gerade recht viele Taschensonnenuhren hergestellt wurden. Bisher waren die Taschensonnenuhren nichts anderes als Instrumentchen, mit denen man die Zeit aus der Höhe der Sonne bestimmte, da diese aber zur gleichen Tagesstunde an verschiedenen Tagen im Jahre verschieden ist, so fordern diese Uhren eine Einstellung auf das Datum. Hierhin gehören die Zylinder, die Sonnenringe und die Sonnenquadranten (Lichtbilder). Mit Hilfe einer kleinen Magnetnadel aber konnte man die Uhr von Süden nach Norden orientieren und brauchte bei der Konstruktion dieser Art keine weitere Einstellung auf das Datum. Die ersten, von denen wir wissen, daß sie solche Uhren gemacht haben, waren die großen Nürnberger Gelehrten Regiomontanus, Prätorius und Georg Hartmann, alle noch dem 15. Jahrhundert angehörend. Bald aber traten gewerbsmäßige Kompaßmacher auf (Kompaß bedeutete ursprünglich eine Sonnenuhr mit Magnetnadel). Im Jahre 1510 bildeten 20 Nürnberger Meister eine besondere Kompaßmachergilde, die noch in der Mitte des 18. Jahrhunderts bestand. Die Nürnberger trieben auch lebhaften Handel mit Sonnenuhren nach Italien und Spanien. Durch Vorführung zahlreicher Lichtbilder werden die verschiedenen Arten und Formen dieser ältesten Kompassse erläutert. Neben Nürnberg traten dann auch in anderen Städten, ganz besonders in Augsburg, sehr kunstreiche Kompaßmacher auf, besonders erwähnenswert ist Christoph Schißler, dessen Arbeiten nicht nur durch mathematische Genauigkeit, sondern auch durch Schönheit der Form und Ausführung sich vorteilhaft vor anderen auszeichneten (Lichtbild). In anderen Lichtbildern wird die weitere Entwicklung der Sonnenuhr bis in die neuere Zeit verfolgt.

Die Literatur über Sonnenuhren ist eine sehr reiche. Schon vor dem Jahre 1600 erschienen über 60 Bücher, die nur über Sonnenuhren handeln. Im ganzen gibt es etwa 500 gnomonische Druckwerke.

Die Einführung des elektromagnetischen Telegraphen und die dadurch überallhin vermittelten Uhrzeichen haben den allgemeinen Gebrauch der Sonnenuhr eingeschränkt. Nur selten einmal benutzt ein sinniger Architekt dies alte Kulturdenkmal zum Schmuck eines neuen Gebäudes, wie Herr Prof. PÜTZER an dem Verwaltungsgebäude der Stadt Aachen. Der Spruch, den man auf alten Sonnenuhren findet: „Tempus edax rerum“, gilt eben auch für die Sonnenuhr selber.

---

***Gitterspektroskop mit nach Wellenlängen bezifferter  
Mikrometerschraube***<sup>1)</sup>;

**von F. Löwe.**

(Vorgetragen in der Sitzung der physikalischen Abteilung der 80. Versammlung Deutscher Naturforscher und Ärzte zu Cöln am 22. September 1908.)

(Vgl. oben S. 620.)

Zur Ausmessung von Absorptionsspektren hat man bisher ausschließlich das seit etwa 50 Jahren weit verbreitete Prismenspektroskop nach KIRCHHOFF und BUNSEN benutzt; die bereits bekannten Gitterspektroskope, z. B. von ADAM HILGER und von R. und J. BECK Ltd., London, sind für Absorptionsspektren nicht verwendbar, weil deren Dispersion für diesen Zweck erheblich zu groß ist. Andererseits dürfte auch bei der Untersuchung von Absorptionsspektren eine bequeme Einrichtung zur mikrometrischen Messung und direkten Ablesung der Wellenlänge willkommen sein, wie sie nur bei Gitterspektroskopen möglich ist. Rüstet man nämlich ein Gitterspektroskop mit einer sogenannten Sinusschraube<sup>2)</sup> aus, die mit einem Umdrehungszähler und einer Mikrometertrommel versehen ist, so besteht die ganze Ermittlung der Wellenlänge, wenn man die Dimensionen der Schrauben passend wählt, nur aus der Ablesung des Umdrehungszählers (z. B. 48 in Fig. 1) und der Ablesung der Mikrometertrommel (z. B. 61); die aus den beiden Ablesungen gebildete Zahl 4861 bedeutet alsdann ohne weiteres die Wellenlänge in dem internationalen Maße, 4861 Ångströmeinheiten = 486,1  $\mu\mu$ . Die mittlere Dispersion des Beugungsgitters ist derjenigen des Flintprismas eines der üblichen Spektroskope etwa gleich; vermöge der Eigenart des Gitterspektrums ist jedoch das Rot im Verhältnis zum mittleren Teil des Spektrums weiter auseinandergezogen und das Violett enger zusammengedrängt, als in einem Prismenspektroskop.

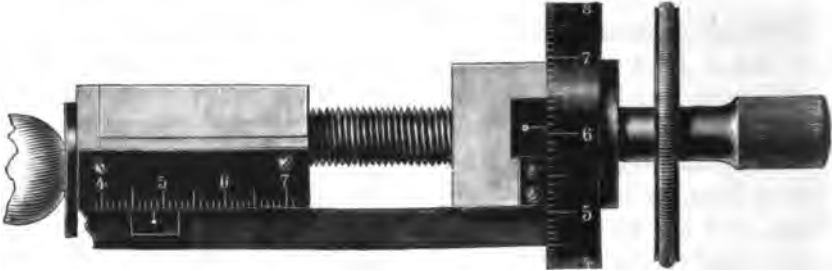
<sup>1)</sup> Eine ausführlichere Beschreibung ist in der ZS. f. Instrumentenkunde 28, 261 ff., 1908, erschienen.

<sup>2)</sup> Vgl. C. PULFRICH, ZS. f. Instrumentenkde. 27, 340, 1907.

Dies bringt den Vorteil mit sich, daß der an und für sich lichtschwache violette Teil des Spektrums heller erscheint.

Das Spektroskop (Fig. 2) besteht im wesentlichen aus einem Dreifuß, der auf einem schrägen Arme den festgelagerten Kollimator trägt und auf einem wagerechten Arme die Mikrometereinrichtung und das um die Achse *A* drehbare Fernrohr. Der Kollimator *C* hat einen symmetrischen Spalt<sup>1)</sup> mit einer Mikrometertrommel *M*, an der man die hundertstel Millimeter ablesen kann. Mittels des Griffes *G* kann man das Objektiv des Kollimators (Durchmesser 30 mm, Brennweite 240 mm) parallel mit sich verschieben, um das Spektrum genau auf die Ebene des Fadenkreuzes im Fernrohre einzustellen. Auf das Objektivende

Fig. 1.



Die Wellenlängenschraube, schematisch dargestellt (natürliche Größe).  
Ableseung am Umdrehungszähler: 48, an der Mikrometertrommel: 61. Wellenlänge = 4861 Ångströmeinheiten = 486,1  $\mu\mu$ .

des Kollimators ist der Gitterträger mit dem durchsichtigen Beugungsgitter aufgeschoben. Das Fernrohr ist mittels der Schraube *N* um eine horizontale Achse in Zapfen neigbar. Das Okular *Ok* ist auswechselbar, verstellbar und festklemmbar, zwei Schieber *Sch* dienen dazu, das Gesichtsfeld von rechts nach links einzuengen, um bei der Beobachtung schwacher Absorptionsbanden die störende Nachbarschaft heller Spektralgebiete abzublenden. Einem gemeinsamen Zwecke dienen der Spiegel *S*, der kleine Rohrstützen *B* und der auf das Objektivende des Fernrohres aufgeschobene Spiegelträger *R*, nämlich dem Zwecke, im Gesichtsfelde, d. h. im Spektrum, auf Wunsch eine schmale, horizontale, weiße Ein-

<sup>1)</sup> Vgl. F. Löwe, Über einen Spektralapparat mit fester Ablenkung, Phys. ZS. 8, 837—840, 1907; Fig. 5.

zu liefern, deren Breite und Höhenlage man nach  
1 kann. Der Spiegel *S* wirft das von einer Lampe  
cht nach unten, auf einen in der Figur nicht  
symmetrisch verstellbaren Schlitz in dem Rohr-  
n dem Schlitz gelangt das Licht durch ein kleines

Fig. 2.



Gitterspektroskop (etwa  $\frac{1}{6}$  natürlicher Größe).  
Schutz zwischen *R* und *K* ist in der Figur weggelassen.

ma im Innern des Fernrohres zum Fernrohrobjektiv,  
em aus und fällt auf einen kleinen Spiegel außer-  
rohres, den man mittels der Schraube *R* ein wenig  
Von dem Spiegel wird das Licht wieder durch das  
urch in die Mitte des Gesichtsfeldes, d. h. auf den  
des Fadenkreuzes geworfen, es entsteht also in der



Ebene des Fadenkreuzes ein reelles, weißes Bild des kleinen wagerecht liegenden Schlitzes. Der Nutzen dieser zuerst von FORMANEK, wenn auch in anderer Anordnung, angegebenen Einrichtung ist erstens, daß man den Schnittpunkt des Fadenkreuzes auch erkennen kann, wenn das Fadenkreuz sich mitten in einer absolut dunkeln Absorptionsbande befindet; die Einrichtung hat sich als ein unentbehrliches Hilfsmittel bei der Untersuchung von Absorptionsspektren bewährt. Zweitens ist die Einrichtung von erheblichem Vorteil, wenn man in einem Emissionsspektrum eine schmale, helle Linie auf absolut dunklem Grunde genau auf den Schnittpunkt des Fadenkreuzes einstellen will. Man läßt dann durch Drehen an der Wellenlängenschraube die Linie wandern, bis sie zwischen den Fäden des Fadenkreuzes steht und bis die Verlängerung der oben und unten über den weißen Streifen hinausragenden Linie anscheinend durch den Schnittpunkt des Fadenkreuzes geht. Alsdann schaltet man das weiße Licht aus, so daß nur die helle Linie und das Fadenkreuz im Gesichtsfelde sind. Jetzt ist es leicht, die Linie auf den Schnittpunkt, dem sie jedenfalls schon ganz nahe stand, mit aller Schärfe einzustellen. Die bereits in Fig. 1 schematisch dargestellte Mikrometereinrichtung zur Ablesung der Wellenlänge besteht aus der Wellenlängenschraube *W* mit Trommel, dem Umdrehungszähler *J* und dem Federgehäuse *F*; eine Lupe erleichtert die Ablesung. Die Prüfung des Spektroskopes mit Sonnenlicht ergab unter anderen die Auflösung der Eisenlinie 5270, ein in Anbetracht der geringen Dispersion des Gitters überraschendes Zeugnis für die auflösende Kraft des Spektralapparates.

Zum Schlusse ist es dem Verfasser eine angenehme Pflicht Herrn Professor J. FORMANEK, Prag, für seine wertvolle Mitarbeit an der Anpassung des Instruments für die speziellen, dem Verfasser zunächst fremden Aufgaben der Messung von Absorptionsspektren an dieser Stelle seinen verbindlichsten Dank auszusprechen.

***Beitrag zur Frage über den Einfluß der Temperatur  
auf die Umwandlung radioaktiver Substanzen;  
von Heinrich Willy Schmidt und Paul Cermak.***

(Vorgetragen von H. W. SCHMIDT in der Sitzung der physikalischen  
Abteilung der 80. Versammlung Deutscher Naturforscher und Ärzte zu Cöln  
am 22. September 1908.)

(Vgl. oben S. 621.)

Von verschiedenen Seiten sind im Laufe der letzten Jahre Untersuchungen angestellt worden, ob die Umwandlungsgeschwindigkeit radioaktiver Substanzen durch die Temperatur beeinflusst würde.

H. L. BRONSON<sup>1)</sup> maß die  $\gamma$ -Strahlung eines in ein Quarzröhrchen eingeschlossenen Radiumpräparates und konnte während des Erhitzens bis 1500° C keine über 1 Proz. (seine mögliche Fehlergrenze) betragende Strahlungsänderung finden.

MAKOWER<sup>2)</sup> hat in Quarz eingeschmolzene Emanation bis 1200° C erhitzt und die  $\beta$ -Strahlung vor und nach dem Erhitzen beobachtet. Dabei konnte er nach dem Abkühlen eine Verminderung der Aktivität feststellen, die nach drei Stunden wieder verschwand. Diese Untersuchung wurde von MAKOWER und RUSS<sup>3)</sup> fortgesetzt. Diese Forscher kamen zu dem Schlusse, daß beim Erhitzen die Zerfallskonstante von Radium B oder Radium C eine Änderung erleidet.

W. ENGLER<sup>4)</sup> hat in Quarzröhrchen eingeschmolzene aktivierte Drähte und Emanation untersucht und gibt als Resultate seiner Messungen an, „daß die radioaktiven Erscheinungen einen Temperaturkoeffizienten haben und daß durch Temperaturerhöhung die Umwandlungsprozesse von Emanation, Ra A, B und C beschleunigt werden“.

Wie ENGLER aber zu diesem Schlusse kommt, geht nicht aus seiner Arbeit hervor. Er findet nämlich beim Erhitzen stets eine

<sup>1)</sup> H. L. BRONSON, Chem. News 95, 39, 1907.

<sup>2)</sup> W. MAKOWER, Proc. Roy. Soc. (A) 77, 241, 1906.

<sup>3)</sup> W. MAKOWER und S. RUSS, Proc. Roy. Soc. (A) 79, 158, 1907.

<sup>4)</sup> W. ENGLER, Freiburger Diss. 1908; Ann. d. Phys. (4) 26, 483, 1908.

Aktivitätsverminderung der aktivierten Dri  
 Aufhören der Erhitzung bestehen bleibt.  
 mit eingeschmolzener Emanation hingegen  
 fänglich eine Zunahme der Aktivität, beim  
 nahme der Aktivität nachzuweisen; nach ein  
 Zeit (etwa zwei bis drei Stunden) wird das  
 wieder erreicht.

Schließlich hat der eine von uns<sup>1)</sup> c  
 Radium C mit Hilfe der  $\gamma$ -Strahlung bei Z  
 Temperaturen bis zu 1300° C untersucht un  
 der Zerfallsgeschwindigkeit nachweisen kö  
 klingungskurve eines aktivierten Platindrah  
 genau wie bei Zimmertemperatur.

Die Folgerungen der verschiedenen Be  
 Teil in direktem Gegensatz zueinander. V  
 daß die Beobachter der harten  $\gamma$ -Strahlung  
 Beobachter der  $\beta$ -Strahlung einen recht  
 der Temperatur feststellen konnten. Zum  
 ENGLER davon, daß bei einem beiläufig a  
 mit sehr harten Strahlen eine kaum wahr  
 der Strahlen stattfand.

Bevor wir diese scheinbaren Widerspri  
 suchen, wollen wir uns darüber klar werde  
 radioaktiver Substanzen eintreten kann.  
 Möglichkeiten denkbar:

1. Es kann eine Beeinflussung de  
 sität allein stattfinden, es kann z. B. be  
 die  $\gamma$ -Strahlung ungeändert bleiben, während  
 mit einer kleineren oder größeren Geschwind  
 werden und deshalb im umgebenden Gase  
 Ionen erzeugen. Ist das der Fall, so muß  
 und  $\beta$ -Strahlen während des Erhitzens ein  
 und nach dem Erhitzen. Nach dem Erhitze  
 der Strahlungsintensität genau so groß sei  
 dem vorliegenden Beobachtungsmaterial sch  
 da von MAKOWER, MAKOWER und RUSS und

<sup>1)</sup> H. W. SCHMIDT, Phys. ZS. 9, 113, 1908.

rung der gemessenen Strahlungsintensität nach dem Erhitzen festgestellt ist.

2. Es kann eine Beeinflussung der Zerfallsgeschwindigkeit allein stattfinden, z. B. kann durch Temperaturerhöhung die Geschwindigkeit des Atomzerfalls vergrößert werden.

Was in diesem Falle eintritt, ist aus der folgenden Überlegung zu erkennen. Die Anzahl der vorhandenen radioaktiven Atome einer einheitlichen radioaktiven Substanz, etwa Ra C, sei zu einer bestimmten Zeit  $N_t$ . Dann gilt für die während der Zeiteinheit zerfallenden Teilchen  $n_t$ :

$$n_t = \lambda N_t,$$

wo  $\lambda$  die Zerfallskonstante bedeutet. Wird jetzt zur Zeit  $t$  plötzlich die Zerfallskonstante geändert, so wird

$$n'_t = \lambda' N_t,$$

wo  $n'_t$  und  $\lambda'$  von  $n_t$  und  $\lambda$  verschieden sind,  $N_t$  dagegen in beiden Gleichungen denselben Wert hat. Es ist also

$$N_t = \frac{n_t}{\lambda} = \frac{n'_t}{\lambda'},$$

d. h. die Anzahl der in der Zeiteinheit zerfallenden Atome ist direkt proportional der Zerfallsgeschwindigkeit. Wenn also plötzlich der Atomzerfall schneller vor sich geht, so wird ebenfalls die gemessene Strahlungsintensität plötzlich ansteigen.

Graphisch ist dieser Fall in Fig. 1 dargestellt. Es ist dieser Abklingungskurve eine anfängliche Halbwertszeit von 1 Stunde zugrunde gelegt. Bei  $t = 1^h$  soll die Zerfallsgeschwindigkeit plötzlich auf den doppelten Wert anwachsen. Dann springt die gemessene Strahlung ebenfalls auf den doppelten Wert, um dann mit einer Halbwertszeit von 30' abzuklingen. Die Flächenstücke, die von der Abszissenachse, von der Ordinate  $t = 1^h$  und von den Abklingungskurven begrenzt werden (und in Fig. 1 schraffiert gezeichnet sind), sind einander gleich, weil durch sie die gesamte zur Zeit  $t$  vorhandene Anzahl der in Frage kommenden radioaktiven Atome dargestellt wird und diese selbstverständlich unveränderlich ist.

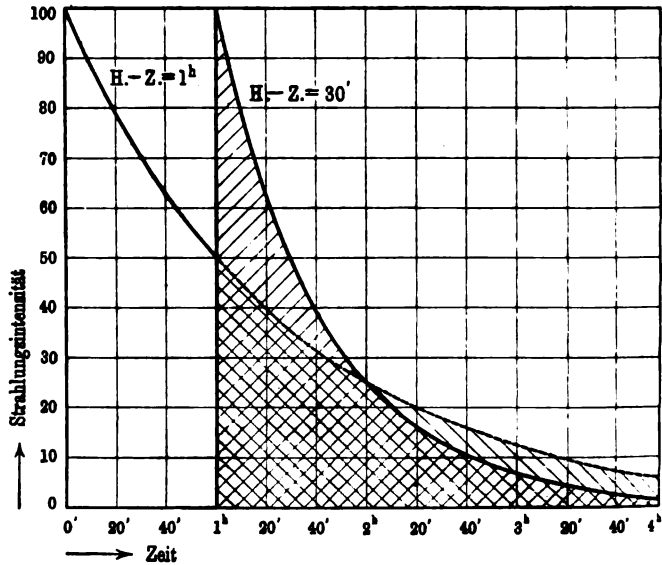
Wird durch Temperaturänderung eine Verlangsamung der Zerfallsgeschwindigkeit herbeigeführt, so tritt eine anfängliche

Verminderung der Strahlungsintensität ein. Die Intensität klingt dann langsamer ab.

Haben wir ein Gemisch verschiedener radioaktiver Substanzen, von denen mehrere in ihrem Zerfall durch Temperaturerhöhung beeinflusst werden, so muß einer Aktivitätszunahme beim Erhitzen stets eine Aktivitätsabnahme beim Abkühlen die Wage halten.

Wir wollen der Einfachheit halber zuerst annehmen, daß eine langsam zerfallende Substanz, z. B. ein festes Radiumpräparat oder Radiumemanation, mit seinen schnell zerfallenden Produkten

Fig. 1.

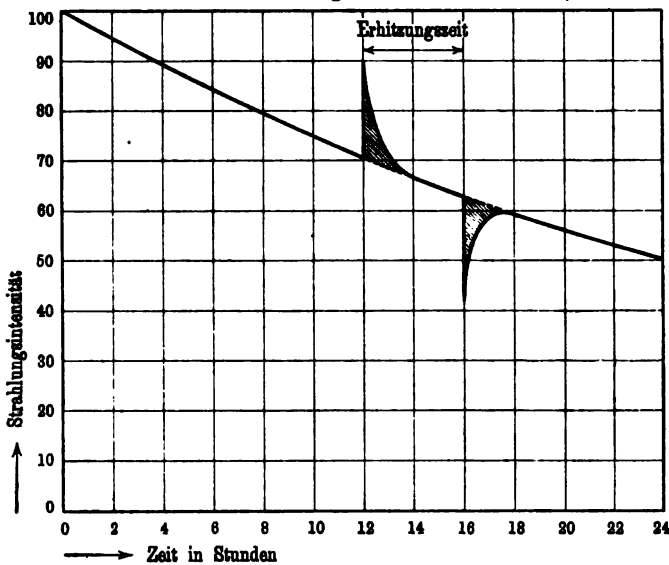


im Zustande des radioaktiven Gleichgewichtes vorhanden ist und das letzte der Produkte, also Ra C, die ionisierenden Strahlen aussendet und in seiner Umwandlungsgeschwindigkeit durch Temperaturerhöhung beeinflusst wird. Dann muß bei einer Beschleunigung des Zerfalls eine anfängliche Zunahme der Strahlungsintensität eintreten. Da nach kürzerer oder längerer Zeit, je nach der Halbwertszeit der beeinflussten Substanz, sich ein neuer Gleichgewichtszustand herstellt, bei dem die Anzahl der entstehenden Atome (angenähert) gleich der Anzahl der verschwindenden ist, so nimmt die Strahlungsintensität allmählich den

normalen Wert an. Wird jetzt die Temperatur plötzlich erniedrigt, so nimmt die Strahlungstemperatur erst plötzlich ab und wächst dann wieder langsam auf den normalen Wert an.

Graphisch ist dieser Fall in Fig. 2 dargestellt. Die Kurve ändert sich nur unwesentlich, wenn nicht das letzte der radioaktiven Produkte oder mehrere Produkte in ihrem Zerfall beeinflußt werden. Da durch Erhitzen und darauffolgendes Abkühlen die Anzahl der während einer genügend langen Zeit zerfallenden Atome nicht geändert werden kann, so müssen die Flächenstücke,

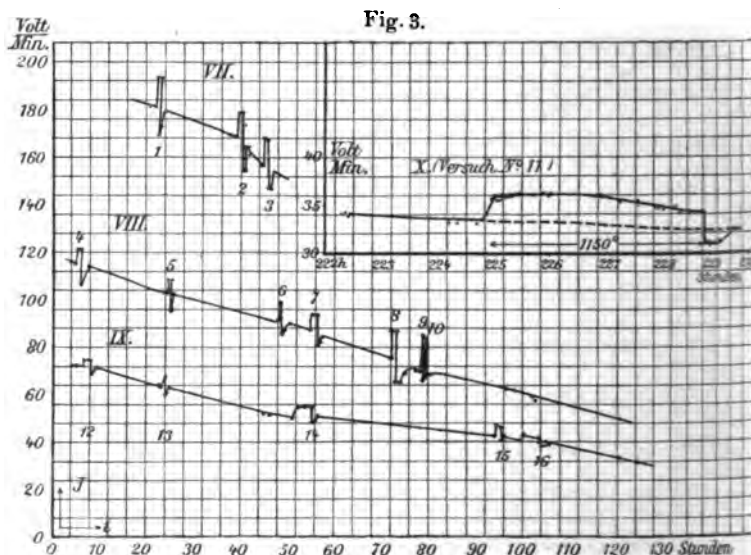
Fig. 2.



die durch die Verlängerung der normalen Kurve und die Intensitätskurve eingerahmt werden (und die in Fig. 2 schraffiert sind), einander gleich sein. Wenn wir also beim Erhitzen irgendeine anfängliche Aktivitätszunahme erhalten, so muß, wenn sich die Erscheinung durch eine Änderung der Zerfallsgeschwindigkeit erklären lassen soll, beim Abkühlen eine entsprechende Aktivitätsverminderung eintreten.

Auf den ersten Blick will es scheinen, als ob die ENGLERSchen Kurven, die in Fig. 3 abgedruckt sind, der Kurve der Fig. 2 entsprechen. ENGLER hatte bei den hier in Frage kommenden Ver-

suchen Radiumemanation in ein Quarzröhrchen eingeschmolzen und die Änderung der  $\beta$ -Strahlung während des Erhitzens beobachtet. Er fand dabei eine Erhöhung der Strahlungsintensität, die aber nicht auf den anfänglichen Wert herabging, sondern während der Dauer des Erhitzens anhielt. Und dies läßt sich nicht durch eine Beeinflussung der Umwandlungsgeschwindigkeit einer der in Frage kommenden Substanzen deuten. Ebenfalls sind die ENGLERSchen Versuche mit aktivierten Drähten nicht dadurch zu erklären, daß die Wandlungsgeschwindigkeiten von Ra B



oder Ra C durch erhöhte Temperatur beschleunigt werden. Denn bei einer durch Temperaturerhöhung bedingten Beschleunigung des Zerfalles von Ra C müßte die Abklingungskurve anfangs überspäter unter der normalen Kurve zu liegen kommen. Die Abklingungsgeschwindigkeit wird nach einigen Stunden genau wie bei der normalen Abklingungskurve vor sich gehen. — Bleibt Ra C unbeeinflusst, wird aber die Zerfallsgeschwindigkeit von Ra B beschleunigt, so wird ein allmähliches Anwachsen der harten  $\beta$ -Strahlenintensität nachzuweisen sein. Nach einiger Zeit wird die Abklingung schneller vor sich gehen, als unter normalen Verhältnissen. Auf jeden Fall muß das von der Ordinaten- und

Abszissenachse und der Abklingungskurve eingerahmte Flächenstück bei irgendwelchen Veränderungen der Zerfallskonstante dieselbe Größe behalten.

3. Es kann eine Beschleunigung der Strahlungsintensität und der Zerfallsgeschwindigkeit eintreten.

Dann müssen sich die unter 1 und 2 beschriebenen Erscheinungen überlagern. Man wird nach dem bisher Gesagten verhältnismäßig einfach die „dauernden“ und „anfänglichen“ Veränderungen auseinander halten können.

Neben diesen direkten Einflüssen der Temperatur auf Strahlung und Zerfall sind noch andere Einflüsse denkbar, durch die eine Änderung der gemessenen Strahlungsintensität herbeigeführt werden kann. Das ist z. B. möglich durch eine Änderung der Strahlenverteilung oder durch eine Änderung der Absorptionfähigkeit der das Präparat umgebenden Materie. Man darf deshalb aus einer Veränderung der gemessenen Strahlungsintensität noch lange nicht auf eine Veränderung der radioaktiven Konstanten eines Radioelementes schließen.

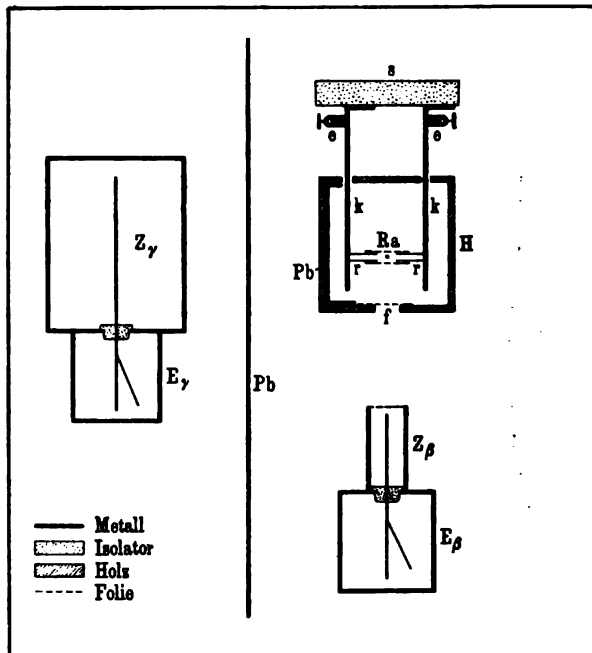
Bei Temperaturerhöhung verdampft das eine oder andere der Radiumprodukte. Dadurch verändert sich die Strahlenverteilung und es werden mehr oder weniger Strahlen in das Meßgefäß gelangen. Bei Röhren von langgestreckter Form, in denen die radioaktiven Substanzen erhitzt werden, kann sich eine solche Änderung recht deutlich nach außen bemerkbar machen. Aber es ist auch noch der Fall möglich, daß die verdampfte Substanz in die glühenden Röhrenwände hinein und eventuell durch sie hindurch diffundiert. Dann kann, je nach den Versuchsbedingungen, im Meßgefäße eine Erhöhung oder Erniedrigung der Strahlenintensität gemessen werden. Die Abweichung vom normalen Werte kann nach Aufhören des Erhitzens im gleichen Sinne bestehen bleiben (ENGLERS Versuche mit aktivierten Drähten) oder sich verändern und allmählich verschwinden, so daß nach genügend langer Zeit der normale Wert wieder erreicht wird. (ENGLERS Versuche mit Emanation.) Es wird ganz davon abhängen, ob die beeinflusste radioaktive Materie allein vorhanden ist oder ob sie sich aus einer anderen Substanz bildet, die beim Erhitzen nicht durch die Wände diffundiert.



Unserer Ansicht nach erklären sich die bisher angeführten Versuche dadurch, daß bei hohen Temperaturen Ra B oder Ra C oder beide Substanzen (eventuell auch Ra A) durch die Quarzwände diffundieren, und daß vielleicht auch das Absorptionsvermögen des Quarzes bei erhöhter Temperatur eine Vergrößerung erfährt.

Bei den von uns angestellten Versuchen kam es zunächst auf den Nachweis an, daß je nach der Stellung des Ionisierungsgefäßes, nach der Art der benutzten Strahlen die gemessene Strahlungsintensität ganz verschieden beeinflußt wird. Unsere

Fig. 4.



Versuchsanordnung ist in Fig. 4 skizziert. Bei Ra befindet sich etwa 0,8 mg reines Radiumbromid, das in ein evakuiertes Quarzröhrchen von 0,8 cm Länge und 3 mm Durchmesser eingeschmolzen ist. Das Röhrchen liegt in einem etwas weiteren Rohre aus Platin von etwa 0,003 mm Wandstärke, 15 mm Länge und 6,5 mm Durchmesser. Das dünne Platinrohr wurde nach dem Vorgang von ENGLER durch Aufwickeln von Platinfolie auf zwei Platinröhrchen *rr*

erhalten, die durch Zwischenschaltung von Kupferbacken  $kk$  auf einem Schieferklotz  $s$  fest montiert sind. Durch zwei an den Kupferbacken befindliche Klemmschrauben  $ee$  kann ein starker Strom durch das Platinfolieröhrchen geschickt werden. Die Heizvorrichtung selbst war zur Vermeidung von Luftströmen mit einem Holzkasten umgeben, der direkt unter dem Radiumpräparate ein mit dünner Aluminiumfolie bedecktes Loch  $f$  von etwa 3 cm Durchmesser hatte. Weiter unter der Mitte der Platinfolie stand das Zerstreungsgefäß eines geeichten Blattelektrometers  $E_\beta$  von der Form, die der eine von uns angegeben hat<sup>1)</sup>. Das Zerstreungsgefäß  $Z_\beta$  war ein Messingzylinder von 3 cm Durchmesser und 7 cm Höhe, der oben mit dünner Aluminiumfolie verschlossen war. Seitlich vom Radiumpräparate war ein zweites geeichtetes Elektrometer  $E_\gamma$  aufgestellt, das einen messingenen Zerstreungskörper  $Z_\gamma$  von 10,5 cm Durchmesser und 15 cm Höhe hatte und vom strahlenden Körper durch zwei je 1,5 mm dicke Bleiplatten  $Pb$  und den an der einen Seite mit Blei ausgeschlagenen Holzkasten getrennt war. Außerdem waren noch verschiedene Bleischirme aufgestellt, um auch die Wirkung etwa reflektierter  $\beta$ -Strahlen nach Möglichkeit zu vermeiden.

Während in das zuerst genannte Elektroskop Strahlen gelangten, die nur das Quarzrohr, die dünne Platin- und Aluminiumfolie durchsetzt hatten, konnten im zweiten Elektroskop nur solche Strahlen ionisierend wirken, die mindestens durch eine Bleischicht von 4,5 mm Dicke hindurchgegangen waren. Der im ersten Elektroskop beobachtete Effekt ist deshalb auf Rechnung der  $\beta$ -Strahlen zu setzen, während in das zweite Elektroskop praktisch nur  $\gamma$ -Strahlen gelangten. Wir werden deshalb das eine Elektroskop kurz das  $\beta$ -Strahlelektroskop, das zweite als  $\gamma$ -Strahlelektroskop bezeichnen.

Die Zerstreungsgefäße waren deshalb so verschieden groß gewählt worden, damit bei gleicher Entfernung der Elektrometer vom Radium die Wanderungsgeschwindigkeit der Aluminiumblättchen ungefähr gleich groß war. Irgendwelche Veränderungen in der Strahlungsintensität ließen sich so am leichtesten feststellen.

<sup>1)</sup> H. W. SCHMIDT, Phys. ZS. 6, 561, 1905.

Die Entladungszeiten beider Elektrometer wurden zunächst in kaltem Zustande mehrere Male beobachtet, dann wurde das Quarzröhrchen auf 1000 bis 1400° C erhitzt, während etwa zwei Stunden beobachtet, dann der Heizstrom (20 bis 30 Ampere) ausgeschaltet und die Beobachtungen fortgesetzt. Die Temperaturmessung geschah mit einem Platin-Platinrhodiumthermoelement und einem zugehörigen, nach Centigraden geeichten Präzisionsmillivoltmeter von SIEMENS u. HALSKE. Das Thermoelement, das sich in einem Porzellanrohre von ungefähr gleicher Wandstärke befand, wie das mit Radium gefüllte Quarzröhrchen, gab etwa drei Minuten nach dem Einschalten eine konstante Spannung.

Eine ziemlich große Änderung der Strahlungsintensität wurde im  $\beta$ -Strahlenelektroskop beobachtet. Das geht beispielsweise aus einem Versuche hervor, bei dem der Abstand des Zerstreungsgefäßes vom Ofen 20 cm betrug. Die dabei gefundenen Zahlen sind in Tabelle I zusammengestellt:

Tabelle I.

| Temperatur | Anfangszeit<br>der Beobachtung | Entladungsdauer<br>des Elektrometers |
|------------|--------------------------------|--------------------------------------|
| 20°        | 6h 10' 14"                     | 6' 16,3"                             |
| 20         | 6h 18' 35"                     | 6' 19,5"                             |
| 1350       | 6h 28' 40"                     | 7' 36,2"                             |
| 1350       | 6h 39' 18"                     | 7' 51,0"                             |
| 1350       | 6h 55' 33"                     | 7' 45,8"                             |
| 1350       | 7h 11' 44"                     | 7' 11,1"                             |
| 20         | 7h 18' 15"                     | 7' 06,6"                             |
| 20         | 7h 30' 5"                      | 8' 18,0"                             |
| 20         | 10h 18' 10"                    | 6' 10,0"                             |

Aus dieser Tabelle geht hervor, daß unmittelbar nach Einschalten des Heizstromes (6h 28' 40") eine starke Verminderung der gemessenen  $\beta$ -Strahlung einsetzte, die nach etwa 15 Minuten ein Maximum erreichte und dann allmählich wieder kleiner wurde. Schaltet man dann den Strom aus, so findet wieder eine starke Strahlungsverminderung statt, die nach mehreren Stunden vollkommen verschwindet.

Eine Beeinflussung der  $\gamma$ -Strahlungsintensität war bei nicht zu kleiner Entfernung des Elektrometers vom Heizofen und bei mög-

lichst vollständiger Ablendung der  $\beta$ -Strahlen nicht festzustellen. Das geht aus Tabelle II hervor:

Tabelle II.

| Temperatur | Anfangszeit<br>der Beobachtung | Entladungsdauer<br>des Elektrometers |
|------------|--------------------------------|--------------------------------------|
| 20°        | 9h 15'                         | 16' 53,0''                           |
| 20         | 9h 40'                         | 16' 47,0''                           |
| 20         | 9h 57'                         | 16' 48,3''                           |
| 1400       | 10h 25'                        | 16' 51,0''                           |
| 1400       | 10h 49'                        | 16' 52,0''                           |
| 20         | 11h 6'                         | 16' 52,8''                           |
| 20         | 11h 46'                        | 16' 49,8''                           |

Der Strom wurde in diesem Falle eingeschaltet um 10h 15', ausgeschaltet um 11h 0'. Während also hier keine Änderung in der Entladungszeit bemerkbar ist, wurde das auf eine vergleichbare Entladungsdauer gebrachte  $\beta$ -Strahlenelektrometer von 16' 43,8'' auf 20' 53,2'' verzögert. Wurde das Elektrometer ziemlich nahe an das strahlende Präparat herangebracht, so war beim Erhitzen eine allmähliche Verminderung der Strahlungsintensität um etwa 1 Proz. nachzuweisen, die nach Beendigung der Erhitzung anhielt, jedoch nicht größer wurde und allmählich verschwand.

Entschieden geht aus den mitgeteilten Versuchen hervor, daß die mit den Elektrometern meßbare  $\beta$ - und  $\gamma$ -Strahlung beim Erhitzen in verschiedener Weise beeinflußt wurde. Diese Verschiedenheit läßt sich bei einem im radioaktiven Gleichgewichte befindlichen Radiumpräparate auf keine Weise dadurch erklären, daß eine Beeinflussung der Wandlungskonstante irgendeines der in Frage kommenden Produkte statthat. Aber auch der Fall ist ausgeschlossen, daß beim Erhitzen etwa die  $\beta$ -Strahlung allein, die  $\gamma$ -Strahlung nicht verändert würde. Dann hätte, wie wir bereits erwähnten, keine Änderung nach dem Erhitzen nachgewiesen werden können.

Es bleiben zur Erklärung der Erscheinungen noch die vorhin erwähnten Möglichkeiten offen, daß beim Erhitzen und Abkühlen eine Veränderung in der Struktur des Quarzes oder eine Veränderung in der Verteilung der strahlenden Materie oder beides stattgefunden hat. Bei der geringen Größe des Quarz-

röhrchens (etwa 1 cm lang) ist eine Beeinflussung der Strahlungsintensität um etwa 25 Proz. (vgl. Tab. I) nur dadurch zu erklären, daß ein Teil der schnell zerfallenden radioaktiven Materie durch das Quarzrohr hindurch diffundiert ist und sich an kälteren Partien des Ofens niedergeschlagen hat. Einen direkten Beweis für diese Vermutung konnten wir dadurch erbringen, daß wir die benutzte Platinfolie nach dem Erhitzen auf ihre Aktivität untersuchten. Die erhaltenen Abklingungskurven ließen erkennen, daß Ra A, Ra B und Ra C durch die Röhrenwand diffundiert waren und zwar Ra B und Ra C im Überschuß.

Bei näherer Untersuchung dieses Vorganges hielt leider das benutzte Quarzrohr den wiederholten Erhitzungen nicht stand. Es hatte schon vorher eine eigentümliche Veränderung an einer bestimmten Stelle gezeigt. Wir schmolzen deshalb das Radiumbromid in ein neues Röhrchen aus klarem Quarz ein und wiederholten die Versuche. Da ergab sich das merkwürdige Resultat, daß beim Erhitzen bis zu  $1500^{\circ}$  nicht die geringste Veränderung der  $\beta$ -Strahlaktivität nachzuweisen war. Und wir hätten, wie aus Tabelle II zu ersehen ist, eine Änderung der Strahlungsintensität um 1 Proz. mit dem exakt anzeigenden Elektrometer nachweisen können.

Nach oftmaligem Erhitzen und Abkühlen konnte auch für die  $\beta$ -Strahlung dieses Quarzröhrchens eine Veränderung im  $\beta$ -Strahlelektroskop nachgewiesen werden. Und zwar trat eine Verminderung der Strahlungsintensität erst beim Abkühlen ein, während die meßbare Strahlung beim Erhitzen selbst unverändert blieb. Wir vermuteten, daß während des Abkühlens eine Strukturveränderung des Quarzrohres eingetreten und dann aktive Materie hindurchdiffundiert war. Bei einem bestimmten Versuche, bei dem die Verminderung der  $\beta$ -Strahlenintensität freilich nur 3 Proz. betrug, war das aber nicht der Fall. Denn einesteils war der Ofen nicht aktiv geworden und dann bewirkte das Quarzröhrchen in einem besonders aufgestellten  $\gamma$ -Strahlelektroskop vor und nach dem Erhitzen dieselbe Zerstreung. Aber die Abweichung von 3 Proz. in der gemessenen  $\beta$ -Strahlung erklärt sich ja schon, wenn ein Teil der strahlenden aktiven Materie in die Quarzwände hinein diffundiert ist. Dann wird ein Teil der  $\beta$ -Teilchen nach dem Erhitzen in der Quarzwand einen

rößeren Weg zurücklegen müssen als vorher und deshalb stärker absorbiert werden. Schließlich ist nicht ausgeschlossen, daß eine allmählich wieder verschwindende Strukturänderung die Durchdringungsfähigkeit der  $\beta$ -Strahlen vermindern kann.

Es ist sehr merkwürdig, daß sich verschiedene Quarzröhrchen beim Erhitzen unter scheinbar denselben Verhältnissen nicht gleichmäßig verhalten, ja, daß ein und dasselbe Quarzröhrchen mit der Zeit merkwürdige Veränderungen in seinem Verhalten der aktiven Materie gegenüber durchmacht. Etwas Ähnliches ist übrigens schon von ENGLER beobachtet. Er schreibt l. c., S. 45: Es war ungemein überraschend, daß ich bei öfterer Wiederholung dieser Erhitzungsversuche die Aktivitätsabnahme nach dem Erhitzen nicht mehr feststellen konnte.“ Und S. 46: „Am auffallendsten ist, daß das dritte Quarzrohr, dessen erste Erhitzungen eine deutliche Abnahme der Aktivität nach dem Erhitzen zeigten, bei späteren Versuchen eine solche nicht erkennen ließ.“ Und: Eine große Anzahl neuer mit Emanation gefüllter Quarzröhren zeigte schon bei den ersten Versuchen keine Abnahme der Aktivität unter den normalen Wert nach vorangegangener Erhitzung.“

Weitere Versuche über diese merkwürdige Erscheinung haben bisher noch nicht durchgeführt werden können. Entschieden darf aber als sicheres Resultat der vorliegenden Untersuchung gelten, daß irgendwelche direkten Temperatureinflüsse auf Strahlung und Wandlungsgeschwindigkeit der Radiumzerfallsprodukte bis zum Ra C bei Temperaturen bis zu 1500° C mit den empfindlichsten Instrumenten nicht nachweisbar sind.

Gießen, Physikalisches Institut der Universität, Septbr. 1908.

**Messungen an Becquerelstrahlen.  
Die experimentelle Bestätigung der Lorentz-  
Einsteinschen Theorie;  
von A. H. Bucherer.**

Mit einer Figurentafel.

(Vorgetragen in der Sitzung der physikalischen Abteilung der 80. Versammlung Deutscher Naturforscher und Ärzte zu Cöln am 22. September 1902.)

(Vgl. oben S. 621.)

In dem Maße wie die Elektrizitätslehre andere Gebiete der Erscheinungswelt zu ihren eigenen macht und sich so zur Grundlage der ganzen Physik ausgestaltet, steigert sich das Bedürfnis einer widerspruchsfreien Theorie der eigentlichen elektromagnetischen Erscheinungen. Lange hat es geschienen, als ob das FARADAY-MAXWELLSche Bild des Äthers als eines Vermittlers der elektromagnetischen Vorgänge eine ausreichende endgültige Grundhypothese hergäbe. Indem man nun das Ätherbild erkenntnistheoretisch ausbaute, geriet man unversehens in eine dualistische Auffassung von Äther und Materie. Man faßte den Äther als etwas von der Materie getrennt Existierendes auf und sah sich so vor die Frage gestellt, ob der Äther sich mit der Materie bewege oder ob er ruhe. Man erkannte bald, daß die Hypothese des ruhenden Äthers die einfachere sei und LORENTZ machte sie zur Grundlage seiner älteren Elektronentheorie. In dieser Theorie tritt der Äther als eine Quasimaterie auf. So muß der Äther in ein dynamisches System mit einbezogen werden, um die Gültigkeit des dritten NEWTONschen Axioms aufrecht zu erhalten. An und für sich übt eine gleichförmige sich bewegende Ladung A auf eine ruhende B eine andere Kraft aus als B auf A. Die große innere Unwahrscheinlichkeit dieser Annahme bereitete der älteren Theorie Schwierigkeiten; noch mehr der innere Widerspruch, der darin besteht, daß durch den Äther, trotzdem er ein unendlich ausgedehntes homogenes Medium darstellt, ein Bezugssystem festgelegt werden soll.

Am verhängnisvollsten war aber der experimentelle Nachweis, daß entgegen der Forderung der Theorie die optischen Er-

scheinungen keinen Einfluß der jährlichen Bewegung der Erde durch den Äther erkennen lassen. Wenn nun auch noch vereinzelt diese Theorie mathematisch bearbeitet wurde, so stand doch bei dem Physiker unumstößlich fest, daß nur auf dem Prinzip der Relativität der Bewegungen weiter gebaut werden konnte. Es mußte die Forderung gestellt werden, daß bei der gleichförmigen Bewegung zweier Körper A und B relativ zueinander ihre Wechselwirkung davon unabhängig sein sollte, ob A oder B als ruhend bzw. als bewegt angenommen wird.

Den Weg zu einer solchen Theorie bahnte LORENTZ im Jahre 1904. Er zeigte, daß durch eine geeignete Transformation der Zeit und der Koordinaten in den MAXWELLSchen Gleichungen der Einfluß gleichförmiger Bewegung auf die Optik des bewegten Systems verschwindet und daß alle damals bekannten Beobachtungen mit den ferneren Konsequenzen dieser neuen Theorie übereinstimmen. Charakteristisch für diese Theorie ist die Deformation, welche die Körper durch ihre Bewegung erleiden. Alle Dimensionen, die in die Bewegungsrichtung fallen, werden im Verhältnis  $\sqrt{1 - \beta^2}$  verkürzt, wo  $\beta$  das Verhältnis der Körpergeschwindigkeit zur Lichtgeschwindigkeit bedeutet. Von EINSTEIN wurde dann gezeigt, daß man zu genau denselben experimentellen Konsequenzen gelangt, wenn man die von LORENTZ eingeführte Ortszeit schlechthin als Zeit definiert und gleichzeitig die Raumkoordinaten in den MAXWELLSchen Gleichungen so transformiert, daß sie mit dieser Zeitdefinition im Einklang sind. Die EINSTEINSche Fassung läßt nun das Relativitätsprinzip klar hervortreten. Während bei der LORENTZschen Fassung noch die Deformation und die Bewegungstheorie eindeutig lokalisiert sind, wird die Lokalisierung bei EINSTEIN relativ. Von EINSTEIN und PLANCK wurde auf die bedeutsamen Folgerungen, die aus dem Relativitätsprinzip fließen, hingewiesen. Ich erinnere daran, daß die Bewegungsgleichungen nach einfacher Umformung die klassische Form der LAGRANGEschen Gleichungen annehmen; daß man vom Prinzip der kleinsten Wirkung ausgehend zu wichtigen Aufschlüssen über die Entropie und die Temperatur bewegter Körper gelangt. Höchst bemerkenswert ist auch die Erweiterung des Begriffes der mechanischen Masse, welche von Geschwindigkeit und Energieinhalt abhängig, auch relativen Charakter besitzt, und zwar wird das Gesetz von



der Konstanz der Massen nunmehr mit dem Gesetz der Erhaltung der Energie logisch verknüpft. Das Gesetz der Erhaltung des Schwerpunktes wird erweitert, indem es auch auf strahlende Systeme ausgedehnt wird; denn eine elektromagnetische Strahlung ist mit einer Massenausstrahlung verbunden. Daß diese Theorie auch für die Astronomie von grundlegender Bedeutung sein wird und durch eine Erweiterung der NEWTONschen Gesetze eine bessere Übereinstimmung mit den astronomischen Beobachtungen herbeizuführen bestimmt ist, mag ebenfalls erwähnt werden.

Eine eigentümliche Umgestaltung erfährt der Begriff des Äthers. Denn wenn eine rein translatorische Bewegung eines Systems die sich auf ihm abspielenden Erscheinungen nicht beeinflusst, so müssen dem Äther als dem Vermittler dieser Vorgänge Eigenschaften zugeschrieben werden, die mit dem bisherigen Ätherbilde unverträglich sind. Die bisherige dualistische Auffassung von Äther und Materie muß einer monistischen weichen.

So zeigt sich das Relativitätsprinzip als ein weitreichendes, überraschend vereinheitlichendes Prinzip und mußte deshalb gebieterisch eine direkte experimentelle Prüfung fordern.

Es war von vornherein klar, daß nur solche Erscheinungen zum Beweise der Gültigkeit der im Wettstreit stehenden Theorie herangezogen werden konnten, bei denen Körper sich mit großer Geschwindigkeit bewegen. Hierzu boten sich Messungen an Becquerelstrahlen dar und Herr W. KAUFMANN unternahm die schwierige Aufgabe, dahinzielende Versuche anzustellen. Die Methode KAUFMANNs ist allen bekannt, ebenso die Tatsache, daß KAUFMANN mit Bestimmtheit den Schluß gezogen hat, daß die Relativtheorie durch seine Versuche als widerlegt zu betrachten sei.

Durch dieses Ergebnis war eine Situation von einzigartiger Schwierigkeit geschaffen.

Während einige Physiker das Relativitätsprinzip weiter ausbauten, in der Erwartung, daß genauere Messungen schließlich doch seine Bestätigung bringen würden, sahen andere, und dazu gehörte ich auch, damals die KAUFMANNschen Resultate als entscheidend an. Da alle sonstigen Beobachtungen auf das Bestehen





irgendeines noch unbekanntes Relativitätsprinzips hinwiesen, so entwickelte ich ein neues Relativitätsprinzip, welches aber nur den Charakter einer Rechenvorschrift beanspruchte. Die KAUFMANNschen Messungen waren mit diesem Prinzip vereinbar und es handelte sich, wie ich damals erwähnte, nur noch um die Untersuchung der Ablenkung von schief gegen das magnetische Feld fliegenden Elektronen. Hier mußten Unterschiede gegen die MAXWELLSche Theorie auftreten.

Eine Klärung der geschilderten Sachlage konnte nur durch neue mit wesentlich erhöhter Präzision angestellte Versuche bewirkt werden. Ich arbeitete zu diesem Zweck eine neue Versuchsanordnung aus, die ich bereits in der Physikalischen Zeitschrift beschrieben habe. Die gewählte Methode gestattet sowohl eine Prüfung meines Relativitätsprinzips, d. h. eine Untersuchung der Ablenkung schief gegen die Feldrichtung fliegender Elektronen, als auch eine experimentelle Entscheidung zwischen dem LORENTZ-EINSTEINSchen Relativitätsprinzip und der ursprünglichen MAXWELLSchen Theorie. Letztere ist allerdings bereits auf anderen Gebieten durch die Erfahrung widerlegt. Man läßt Becquerelstrahlen durch ein Kondensatorfeld fliegen und kompensiert die auf die Elektronen wirkenden elektrischen Kräfte durch Überlagerung eines den Kondensatorplatten parallelen Magnetfeldes. Nach dem Austritt aus dem Kondensator wirkt dann das Magnetfeld allein auf die Strahlen. Die abgelenkten Elektronen fallen auf eine photographische Platte oder auf einen Film, so daß die Ablenkung gemessen werden kann. Da die von dem Magnetfelde herrührende Kraft der Geschwindigkeit der Elektronen proportional ist, so kann die Kompensation nur für eine ganz bestimmte Geschwindigkeit bestehen, und nur Elektronen von dieser Geschwindigkeit können unabgelenkt das Kondensatorfeld durchfliegen und deshalb austreten.

Die Einzelheiten der Versuchsanordnung sind nun folgende: Der Kondensator besteht aus zwei kreisrunden, horizontal liegenden Platten, deren Durchmesser etwa 8 cm und deren Abstand voneinander etwa  $\frac{1}{4}$  mm beträgt. Als Strahlungsquelle wird ein Körnchen Radiumsalz in Form einer kleinen Kugel und zwar das Fluorid anstatt des bisher verwandten Bromids zwischen die Platten in den Mittelpunkt des Kondensators gebracht. Da die

spezifische Konzentration des Radiums im Fluorid mehr als doppelt so groß ist wie im Bromid, so wird die Expositionszeit durch Verwendung des Fluorids ganz wesentlich herabgesetzt, was bei diesen Versuchen von großer Bedeutung ist. Der Kondensator befindet sich in einer zylinderförmigen Dose aus Messing und zwar in halber Höhe vom Boden, so daß seine Flächen genau senkrecht zur Zylinderachse liegen, die durch den Mittelpunkt des Kondensators geht. Die sehr exakt gearbeitete zylinderförmige Dose hat einen inneren Durchmesser von etwa 16 cm und eine innere Höhe von 8 cm. Die Dose kann durch einen aufgeschliffenen Glasdeckel luftdicht verschlossen werden, so daß sie evakuiert werden kann. Die zur Verwendung kommende Luftpumpe war eine Gaedepumpe, die sich vorzüglich bewährte. Durch passende Durchbohrungen werden die Zuleitungen von einer Akkumulatorenbatterie isoliert in das Messinggefäß eingelassen. Der photographische Film wird durch zwei Federn gegen die Innenwand der Dose angepreßt. Letztere läßt sich in das Innere eines Solenoids einschieben, dessen rechteckiger Querschnitt den Dimensionen der Dose angepaßt ist. Das Solenoid ist 103 cm lang und hat zwei Wickelungen von je etwa 103 Windungen. Die mit dem Solenoid erreichbare Feldstärke war rund 140 Gauss.

Der Zweck meiner Anordnung ist leicht zu erkennen. Da die Richtungen der Strahlen nämlich alle möglichen Winkel  $\alpha$  mit der Richtung der magnetischen Kraft bilden, so wird die Kraft, die nach der MAXWELLSchen Theorie auftritt, alle möglichen Werte annehmen. Wird die elektrodynamische Kraft durch die elektrische Kraft  $F$  kompensiert, so ist

$$\frac{u}{v} = \beta = \frac{F}{vH \sin \alpha}.$$

Vermittelst dieser Anordnung finden Strahlen einer bestimmten Geschwindigkeit ganz automatisch den Winkel, für den bei gegebenen Feldstärken die Kompensation eintritt und der ihnen gestattet, den Kondensator zu verlassen.

Es werden also Elektronen aller Geschwindigkeiten mit ihren entsprechenden Massen auf den Film auftreffen und so eine Kurve erzeugen, welche die spezifische Ladung als Funktion der Ge-

schwindigkeit zu bestimmen gestattet. Es genügt demgemäß eine einzelne Exposition zur Prüfung der verschiedenen Theorien des Elektrons. Die Bewegungsgleichungen der Elektronen nehmen folgende Form an:

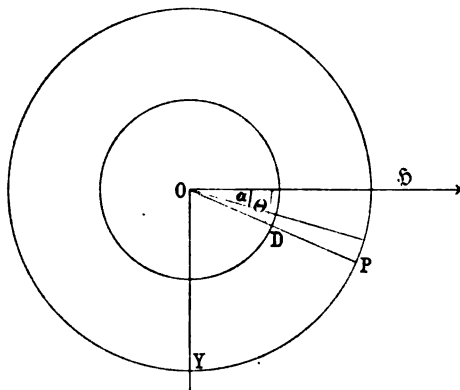
$$\left. \begin{aligned} \frac{d}{dt}(mx') &= 0 \\ \frac{d}{dt}(my') &= \varepsilon Hs' \\ \frac{d}{dt}(ms') &= -\varepsilon Hy' \end{aligned} \right\} \text{I)}$$

Hier bedeuten  $\varepsilon$ ,  $m$  die spezifische Ladung und die Masse des Elektrons. Die Richtung der zunehmenden  $x$  ist die Richtung des Magnetfeldes  $\mathfrak{H}$ . Während die  $X$ - und  $Y$ -Achsen in die Ebene der Kondensatorplatten fallen, steht  $z$  senkrecht auf dieser Ebene. Innerhalb des Kondensators bildet die Bewegungsrichtung mit  $\mathfrak{H}$  den Winkel  $\alpha$ . Infolge der Spiralbewegung im reinen Magnetfelde weicht aber diese Richtung von der ursprünglichen ab, so daß die Auftreffstelle  $P$  auf dem Film in der von  $\alpha$  etwas abweichenden Richtung  $\mathfrak{H}$  liegt. Integriert man die Gleichungen und setzt  $\varphi = \frac{\varepsilon}{m} Ht$ , so folgt

$$\left. \begin{aligned} x' &= u \cos \alpha \\ y' &= u \sin \alpha \cos \varphi \\ s' &= -u \sin \alpha \sin \varphi \end{aligned} \right\} \text{II)}$$

Setzt man ferner  $OD = DP = a$  und  $u = \frac{F}{H \sin \alpha}$ , so erhält man durch nochmalige Integration:

Fig. 1.



$$\left. \begin{aligned} x &= a \cos \alpha + \frac{m}{\varepsilon} \frac{F}{H^2} \varphi \cot \alpha \\ y &= a \sin \alpha + \frac{m}{\varepsilon} \frac{F}{H^2} \sin \varphi \\ z &= \frac{m}{\varepsilon} \frac{F}{H^2} (1 - \cos \varphi) \end{aligned} \right\} \text{III)}$$

Bezeichnet man den an der Auftreffstelle des Elektrons auf dem Film bestehenden Wert von  $x$ ,  $y$ ,  $z$  und  $\varphi$  durch den Index 0 und setzt man ferner  $\frac{F}{2aH^2} = K$ , so findet man:

$$\frac{x_0}{2a} = \cos \Theta = \frac{1}{2} \cos \alpha + K \frac{m}{\varepsilon} \varphi_0 \cot \alpha \quad 1)$$

$$\frac{y_0}{2a} = \sin \Theta = \frac{1}{2} \sin \alpha + K \frac{m}{\varepsilon} \sin \varphi_0 \quad 2)$$

$$\frac{z_0}{2a} = \frac{Km}{\varepsilon} (1 - \cos \varphi_0). \quad 3)$$

Durch Einsetzen von 3) in 1) und 2) folgt

$$\sin \Theta = \frac{1}{2} \sin \alpha + \frac{z_0 \sin \varphi_0}{2a(1 - \cos \varphi_0)} \quad 1a)$$

$$\cos \Theta = \frac{1}{2} \cos \alpha + \frac{z_0 \varphi_0 \cot \alpha}{2a(1 - \cos \varphi_0)}. \quad 2a)$$

Aus diesen Gleichungen ergibt sich  $\alpha$  und daraus die Geschwindigkeit des in  $P$  auftreffenden Strahles.

Da  $\Theta$  wenig von  $\alpha$  abweicht, so verfährt man weiterhin gerade so, als ob das in  $P$  auftreffende Elektron sich mit der so berechneten Geschwindigkeit auf einer kreisförmigen Bahn in einer durch das Radiumkorn und  $P$  gehenden Vertikalebene bewegt hätte.

Nun ist die im Magnetfelde wirkende Kraft

$$\frac{mu^2}{r} = \varepsilon H u \sin \alpha. \quad 4)$$

Wie aber eine einfache Rechnung zeigt, ist:

$$\frac{1}{r} = \frac{a^2}{2z} \left( 1 + \frac{z^2}{a^2} \right). \quad 5)$$

Nach LORENTZ ist bekanntlich:

$$\frac{\varepsilon}{m} = \frac{\varepsilon}{m_0} (1 - \beta^2)^{1/2}. \quad 6)$$

Daher ist nach 4), 5) und 6)

$$\frac{\varepsilon}{m_0} = \frac{2sv}{a^2 \left(1 + \frac{v^2}{a^2}\right) H \sin \alpha} \tan \arcsin \beta. \quad 7)$$

Dagegen erhält man nach der ursprünglichen MAXWELLSchen Theorie, wenn man die ABRAHAMSche Formel für  $\frac{\varepsilon}{m}$  anwendet und wenn man  $\beta = \tan h \delta$  setzt:

$$\frac{\varepsilon}{m_0} = \frac{2sv}{a^2 \left(1 + \frac{v^2}{a^2}\right) H \sin \alpha} \left\{ \frac{3(2\delta - \tan h 2\delta)}{4\beta \tan h 2\delta} \right\}. \quad 8)$$

Offenbar ist diejenige Theorie die gültige, für welche  $\frac{\varepsilon}{m_0}$  innerhalb der Beobachtungsfehler für beliebige Werte von  $\beta$  eine wirkliche Konstante ist.

### Die Versuche.

Ich übergehe an dieser Stelle die Versuche, welche ich zur Prüfung meines Relativitätsprinzips unternommen hatte. Es genüge die Mitteilung, daß ich durch meine Versuche diese Theorie widerlegt habe.

Es handelte sich deshalb weiterhin nur noch um die Frage, ob LORENTZ-EINSTEINSche Theorie oder MAXWELLSche Theorie.

Bei der Untersuchung dieser Frage ließ ich mich von folgenden Gesichtspunkten leiten.

1. Es war anzustreben, einen möglichst großen Geschwindigkeitsbereich von Strahlen der Untersuchung zu unterziehen, denn nur so kann die gesuchte Geschwindigkeitsfunktion mit Zuverlässigkeit bestimmt werden. Zu schnelle Strahlen waren auszuschließen, weil die prozentischen Fehler bei ihrer geringen Ablenkbarkeit zu groß werden.

2. Da die spezifische Ladung bei sehr geringen Geschwindigkeiten für die zur Entscheidung stehenden Theorien denselben



Wert annimmt, so waren zum Zweck der Bestimmung von  $\frac{\epsilon}{N_0}$  unter anderen auch möglichst langsame Strahlen zu untersuchen.

Es ist mir in der Tat gelungen, Strahlen von  $\frac{1}{3}$  Lichtgeschwindigkeit zur Ablenkung und radiographischen Fixierung zu bringen. Es ist dies auch deshalb von besonderer Wichtigkeit, weil damit die Untersuchung auf ein einziges Gebiet beschränkt bleibt. Ein Zurückgreifen auf Vergleiche mit Kathodenstrahlwerten wird vermieden. Die bisherigen Kathodenstrahlmessungen sind nämlich mit Ausnahme der BESTELMEYERSCHEN meines Erachtens unter schwer kontrollierbaren Umständen gemacht, indem bei der Berechnung der Geschwindigkeit eine Energiegleichung verwandt wird, die wohl kaum den komplizierten Energieänderungen in der Nähe der Kathode gerecht wird. Die Vorgänge, die sich an der Kathode abspielen, sind noch zu wenig aufgeklärt, um den Berechnungen als Grundlage dienen zu können. Daß auch der Zeemaneffekt bei dem heutigen Stande der Forschung keinen Aufschluß über die spezifische Ladung des Elektrons geben kann, geht aus den abweichenden Werten hervor, welche sich aus der Untersuchung der Spektren verschiedener Metalle bei starken und schwachen Feldern ergeben haben.

3. Ein Haupterfordernis war die Genauigkeit der Messung der Apparatkonstanten. Ich glaube in dieser Hinsicht so weit gegangen zu sein, als es die gegenwärtige physikalische Technik nur gestattet. Die Apparate wurden mit großem Geschick und Verständnis von der bekannten Firma M. WOLZ in Bonn angefertigt. Ich gebe in der Folge einen kurzen Überblick über die wichtigsten Hilfsmessungen.

### I. Das elektrische Feld.

Das elektrische Feld des Kondensators ergab sich aus der Messung der Potentialdifferenz einer Akkumulatorenbatterie von 320 Elementen und der Dicke der Quarzplättchen, die den Abstand der Kondensatorplatten bestimmen. Nach jeder Messung wurde die Potentialdifferenz nach der Kompensationsmethode gemessen. Die Dickenmessung beruht auf folgender Anordnung: Der Wagebalken einer feinen Wage wurde als Hebel benutzt, dessen Drehachse die Schneide war, das andere Ende des Hebeis

ruhte auf einer optisch ebenen Platte. Auf dem Wagebalken war ein vertikal stehender Spiegel befestigt, in dem sich ein feiner Platindraht spiegelte. Ein feines WOLZSches Kathetometer wurde auf das Bild eingestellt, schob man dann das zu messende Quarzplättchen zwischen Hebel und optische Platte, so verschob sich das Spiegelbild. Das Kathetometer wurde wieder eingestellt und abgelesen. Eine leichte Rechnung ergab dann die Dicke der Plättchen zu 0,250 75 mm.

## II. Das Magnetfeld.

Das Solenoidfeld wurde in der Weise gemessen, daß seine magnetische Wirkung auf eine im Innern an einem Quarzfaden aufgehängte Magnetnadel durch eine genau ausmeßbare auf Marmor gewickelte Spule kompensiert wurde, welche über das Solenoid geschoben war. Es ergab sich als durchschnittliche Feldstärke  $H = 23,24 J$ , während im Mittelpunkt des Solenoids  $H = 23,19 J$  war, wo  $J$  in Ampere gemessen ist. Der Strom wurde von der städtischen Zentrale geliefert und vermittelt eines SIEMENSschen Präzisionsamperemeters und eines Konstantanwiderstandes beständig reguliert. Die Konstanz war im allgemeinen so gut, daß man sicher sein konnte, daß der Solenoidstrom und damit das Magnetfeld auf ein Promille konstant blieb.

### Die Resultate.

Jede einzelne der erhaltenen Kurven gestattet die spezifische Ladung des Elektrons als Funktion der Geschwindigkeit zu bestimmen und damit die Frage nach dem gesuchten Naturgesetz zu entscheiden. Für den Zweck dieses Vortrages habe ich es aber vorgezogen, von einer Reihe von Kurven die Maxima der Ablenkung  $s_m$ , welche mittels des Kathetometers abgelesen wurden, der Berechnung zu unterziehen. Man erhält so Ergebnisse, die unter mannigfaltigen Versuchsbedingungen erzielt wurden. Man vermeidet die bereits angegebenen, etwas umständlichen Berechnungen, deren Erörterung an dieser Stelle zu weit führen würde.

Ich habe in der folgenden Tabelle die Resultate zusammengestellt. Ich bemerke noch bezüglich der ersten Reihe, daß die kleine Abweichung des Wertes von  $\frac{\epsilon}{m_0}$  wohl auf die Schwierigkeit

der Stromregulierung bei der abnorm langen Exposition zurückzuführen ist, die bei so langsamen Strahlen erforderlich wird. Ein Blick auf die beiden letzten Spalten beweist, daß die Entscheidung zugunsten der LORENTZ-EINSTEINischen Theorie fällt.

| Nummer<br>des<br>Versuchs | $\beta_m$ | H in Gauss | $z_m$ in<br>Millimeter | $\frac{\varepsilon}{m_0} \times 10^{-7}$ | $\frac{\varepsilon}{m_0} \times 10^{-7}$ |
|---------------------------|-----------|------------|------------------------|--|--|
|                           |           |            |                        | nach<br>LORENTZ                          | nach<br>MAXWELL                          |
| 10 u. 11                  | .3178     | 104,54     | 16,37                  | 1,695                                    | 1,676                                    |
| 8                         | .3792     | 115,76     | 14,45                  | 1,706                                    | 1,678                                    |
| 7                         | .4286     | 127,35     | 13,5                   | 1,706                                    | 1,670                                    |
| 13                        | .5160     | 127,35     | 10,18                  | 1,704                                    | 1,648                                    |
| 3                         | .6879     | 127,54     | 6,23                   | 1,705                                    | 1,578                                    |

Es erübrigt noch, auf die Möglichkeit der Anbringung einer gewissen Korrektur an den Werten der Ablenkungen zurückzukommen. Meine Berechnungen beziehen sich auf die Ablenkungen, welche die innerhalb des Kondensators kompensierten Strahlen im reinen Magnetfelde erfahren. Es treten aber außer diesen normalen Strahlen noch anormale auf, nämlich Strahlen, welche innerhalb des Kondensators keine vollständige Kompensation der wirkenden Kräfte erfahren haben und deshalb den Kondensator auf gekrümmter Bahn durchfliegen. Sie machen die Kurve etwas weniger scharf und verschieben unter Umständen etwas die Schwerpunktslinie der Kurve. Ich habe die Ablenkung dieser extremen Strahlen berechnet und mich davon überzeugt, daß sie die Resultate nicht merklich beeinflussen.

Ferner möchte ich noch zu der auffälligen Konstanz der Werte von  $\frac{\varepsilon}{m_0}$  bemerken, daß es ein Vorzug der von mir verwandten Methode ist, daß, wie eine Berechnung zeigt, kleine Fehler in der Bestimmung der Feldstärke nur in geringem Maße diese Konstanz beeinflussen, vorausgesetzt, daß diese kleinen Fehler gleichmäßig bei allen Versuchen gemacht worden sind. Wenn also der Wert von  $\frac{\varepsilon}{m_0} = 1,705 \times 10^7$  einen möglichen

Fehler enthalten kann, so wird dadurch das wesentliche Ergebnis meiner Untersuchung nicht geändert. Dieses Ergebnis ist die Bestätigung des Relativitätsprinzips.

Nachtrag. Wie eine erst nachträglich angestellte, auf einen wohlgelungenen Versuch sich stützende Berechnung zeigt, ist die Wirkung eines Schutzringes um den Kondensator nicht ohne Einfluß, wie ich anfangs glaubte und auch äußerte. Theoretisch ist die Randwirkung gerade so, als ob der Radius des Kondensators um einen kleinen Betrag — hier um 0,31 mm — vergrößert würde. Hieraus ergeben sich bei Anwendung der LORENTZschen Formel die Werte von  $\frac{\epsilon}{m_0} \times 10^7$  für die Versuche Nr. 8, 7, 13, 3 bezüglich: 1,730, 1,730, 1,729, 1,730.

***Eine Neubestimmung von  $\epsilon/\mu$  für Kathodenstrahlen:  
von J. Classen.***

(Vorgetragen in der Sitzung der physikalischen Abteilung der 80. Versammlung Deutscher Naturforscher und Ärzte zu Köln am 22. September 1906.)  
(Vgl. oben S. 621.)

Die vorliegende Neubestimmung des Wertes von  $\epsilon/\mu$  für Kathodenstrahlen benutzt einerseits die magnetische Ablenkbarkeit der Kathodenstrahlen, andererseits das Potentialgefälle, durch welches die Elektronen ihre Geschwindigkeit erhalten. Um ein möglichst homogenes, genau bekanntes Magnetfeld zu erhalten, waren zwei Spulen gewickelt, jede von 28 cm mittlerem Radius mit gegen 900 Windungen, die in 30 Lagen übereinander lagen. Die beiden Spulen waren in HELMHOLTZscher Anordnung im Abstände ihres Radius voneinander aufgestellt und erzeugten so ein Feld bei 1 Amp. von 28,33 Gauss, das in einer Ausdehnung von 5 cm radial und 4 cm axial von der Mitte aus gerechnet bis auf 1 Promille konstant war.

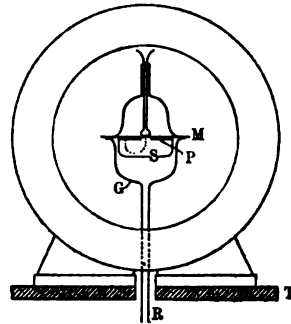
Um dieses Feld zur Ablenkung von Kathodenstrahlen benutzen zu können, mußten diese selbst an einer Stelle inmitten des homogenen Teiles des Feldes erzeugt werden. Ferner war es wünschenswert, daß die Kathodenstrahlen auf einer möglichst kurzen Strecke ihre volle Geschwindigkeit erreichten, damit der Teil ihrer Bahn, der noch nicht die genaue Kreisform hat, möglichst klein war gegenüber der ganzen der Messung zugänglichen Bahn. Die Anordnung, die nach verschiedenen Vorversuchen aus dieser Überlegung schließlich hervorging, war folgende. Einer Wehneltkathode mit sehr kleinem Oxydfleck stand in etwa 1 mm Abstand ein ausgedehntes Platinblech als Anode gegenüber, das gerade vor dem Oxydfleck eine 1 mm große Öffnung hatte. Wurde die Kathode im Vakuum zum Glühen gebracht und etwa 1000 Volt Potentialdifferenz angelegt, so trat ein scharf ausgebildeter Kathodenstrahl durch die Öffnung in der Anode hindurch. Befand sich das Ganze in dem homogenen Teil des Magnetfeldes, so wurde dann der Kathodenstrahl beim Erregen eines Feldes von

56 Gauss hinter der Anode, aus der er senkrecht heraustrat, zu einem vollen Halbkreis von etwa 37 cm Durchmesser herumgebogen. Lag an der Rückseite der Anode eine photographische Platte, so erzeugte der Kathodenstrahl auf dieser beim Einschalten des Feldes einmal in der einen Richtung, dann in der anderen zwei Spuren, deren Abstand den vierfachen Krümmungsradius der Bahn des Kathodenstrahles genau wiedergab.

Die Versuchsanordnung selbst ist in untenstehender Skizze gezeichnet. Das Magnetfeld selbst steht auf einer Tischplatte *T*, die in der Mitte eine Durchbohrung hat; ein in die Durchbohrung eingesetztes Rohr dient als Führung, um welches als Achse das Magnetfeld herumgedreht werden kann, so daß es in jede Orientierung zum Erdfelde gebracht werden kann. Durch die Durchbohrung des Tisches geht das Glasrohr *R*, das unten an einer Gaedepumpe befestigt ist; oben trägt es den Vakuumpapparat, in dem die Kathodenstrahlen beobachtet werden. Dieser besteht aus der Glocke *G*, auf diese ist der Metallteller *M* aufgekittet, der in der Mitte die Anode mit der kleinen Öffnung bildet. Auf dem Teller ist die obere Glocke aufgekittet, in die von oben durch zwei Zu- leitungsdrähte die Wehneltkathode eingeführt ist. Eine ringförmige photographische Platte *P* wurde von unten her gegen die Platte *M* gelegt und mit der Metallschachtel *S* überdeckt. Die Kathodenstrahlen nahmen dann innerhalb dieser Schachtel den Verlauf der punktierten Linien.

Der Verlauf einer Messung war folgender: Nach Einlegen der photographischen Platte wurde unter Glühen der Oxydkathode möglichst hohes Vakuum hergestellt, das Magnetfeld erregt und dann das Potential von 1000 Volt angelegt, zwei Sekunden exponiert und das Magnetfeld umgeschaltet, wieder zwei Sekunden exponiert und das Potential abgeschaltet. Dann wurde das Magnetfeld um  $60^\circ$  um die Vertikalachse gedreht, wobei der ganze Vakuumpapparat unberührt blieb, und die Aufnahme wiederholt. In gleicher Weise wurden auf jeder Platte sechs Aufnahmen ge-

Fig. 1.



macht. Als Quelle der Spannung diente eine Hochspannungsbatterie. Die Spannung wurde gemessen durch eine Kompensationseinrichtung, in welcher durch ein Westonnormalelement ein Strom von genau 0,01 Amp. hergestellt wurde. Bei 1000 Volt wurde daher ein Widerstand von 100 000 Ohm, bei 4000 Volt vier solche Widerstände als Maß gebraucht. Die Ströme im Magnetfelde wurden gemessen, indem bei der Feldstärke von 56 Gauss die Spannung von zwei Westonelementen an den Enden eines Normalohm hergestellt wurde. Bei dem doppelten Felde wurde die Spannung der gleichen Westonelemente an zwei parallel geschalteten Normalohm hergestellt. Die Ausmessung der Platte geschah mit einem Komparator von ZEISS.

Die Theorie der Versuche ist folgende:

Ist  $V$  die angelegte Potentialdifferenz,  $v$  die Geschwindigkeit des Elektrons,  $H$  die magnetische Feldstärke,  $r$  der Krümmungsradius der Bahn, so haben wir die beiden Gleichungen:

$$\varepsilon V = \frac{1}{2} \mu v^2 \quad \text{und} \quad \varepsilon v H = \mu \frac{v^2}{r},$$

aus denen sich leicht ergibt:

$$\frac{\varepsilon}{\mu} = \frac{2V}{r^2 H^2}.$$

Auf diese Weise wurde für 1000 Volt als Mittel aus 17 Messungen der Wert gefunden  $\varepsilon/\mu = 1,774$ , wobei die größte Abweichung einer Messung von diesem Mittelwert nur vier Einheiten der letzten Stelle betrug.

Zeigten diese Messungen recht gut untereinander übereinstimmende Werte, so blieb jedoch noch die Möglichkeit eines systematischen Fehlers zu erörtern. Bei der Versuchsanordnung wird angenommen, daß das ganze Potentialgefälle voll zur Erzeugung der Geschwindigkeit der Kathodenstrahlen zur Geltung kommt, während doch die Möglichkeit eines Potentialsprunges an der Kathode infolge von Arbeitsleistung beim Austritt der Elektronen aus der glühenden Fläche nicht ausgeschlossen ist. Wenn dies der Fall ist, so durfte nicht das volle Potentialgefälle in Rechnung gesetzt werden; die gefundene Zahl wäre also zu groß.

Um eine Vorstellung von der Größe des hierdurch bewirkten Fehlers zu erlangen, wurde ermittelt, mit wie geringen Span-

nungen schon ein Elektronenstrom erzeugt werden konnte. Es zeigte sich, daß bei geringerem Glühen bei 3 bis 4 Volt, bei stärkerem Glühen schon bei 1 Volt ein Elektronenstrom zweifellos nachweisbar war. Demnach war es nicht wahrscheinlich, daß ein etwa störender Potentialsprung größer als 1 bis 3 Volt sein könnte, was einem Fehler im Endresultate von höchstens 1 Promille entsprechen würde.

Zur weiteren Bestätigung wurden auf der gleichen Platte Aufnahmen gemacht erst mit 4000 Volt und der doppelten Stromstärke im Felde und dann mit 1000 Volt und der einfachen Stromstärke. Durch Ausmessung einer solchen Platte erhält man nach obiger Formel direkt das Verhältnis:

$$\frac{\mu_{4000}}{\mu_{1000}} = \frac{V_{1000} r_{4000}^2 H_{4000}^2}{V_{4000} r_{1000}^2 H_{1000}^2}$$

Hierbei ist die Messung des Verhältnisses der Spannungen und der Feldstärken lediglich zurückgeführt auf Vergleichung von Normalwiderständen, also mit außerordentlicher Genauigkeit erreichbar. Die Messung von  $r_{4000}:r_{1000}$  ist ebenfalls, weil auf derselben Platte geschehend, von allen störenden Unsicherheiten vollständig frei. Auf diese Weise wurden für  $\frac{\mu_{4000}}{\mu_{1000}}$  die Werte 1,008, 1,010, 1,006, 1,004 erhalten. Die Theorie von LORENTZ verlangt 1,006. Die beobachteten Zahlen weichen untereinander und im Mittel von der theoretisch erwarteten mehr ab, als die Versuchsgenauigkeit zulassen sollte. Hieraus ist zu schließen, daß in der Tat in den Messungen noch eine Fehlerquelle liegt, die die vierte Ziffer des Resultats um zwei bis drei Einheiten unsicher macht. Bestände ein konstanter Potentialsprung an der Kathode von 3 Volt, so würden in der Formel für  $\mu_{4000}:\mu_{1000}$  beide  $V$  um 3 Einheiten, also das Endresultat um 2 bis 3 Promille zu verkleinern sein. Die für  $\mu_{4000}:\mu_{1000}$  gefundenen Zahlen deuten darauf hin, daß Potentialsprünge von dieser Größenordnung vorkommen können, aber nicht gleichmäßig vorhanden sind.

Schließlich wurde noch unmittelbar vor die glühende Kathode in etwa 0,2 mm Abstand ein starkes Platinblech gebracht, das an ein Ende des glühenden Bleches angeschlossen war und gerade vor dem Oxydfleck ein kleines Loch von nur 0,3 mm Durchmesser



hatte. Wenn bei dieser Anordnung überhaupt Elektronen aus dem Oxydfleck heraustraten, so konnten sie nur durch das zwischen Oxydfleck und vorgelagertem Blech bestehende Potentialgefälle von höchstens 1 Volt (je nach dem Glühgrad) herausgetrieben sein. Gerieten diese Elektronen durch die kleine Öffnung, so erhielten sie nun durch das volle Potentialgefälle von 1000 bzw. 4000 Volt ihre große Geschwindigkeit. In diesem Falle war also nicht mit einem Potentialsprung zu rechnen, sondern im Gegenteil die Elektronen konnten schon eine Anfangsgeschwindigkeit haben; die erhaltenen Zahlen müßten dann zu klein ausfallen. Auf diese Weise wurde gefunden für

$$\frac{\varepsilon}{\mu} = 1,7728 \quad \text{und} \quad \frac{\mu_{4000}}{\mu_{1000}} = 1,004.$$

Die nahe Übereinstimmung dieser Zahl für  $\varepsilon/\mu$  mit der vorher gefundenen läßt wohl jetzt den Schluß zu, daß die Zahl  $1,773 \cdot 10^8$  für 1000 Volt um nicht mehr als zwei Einheiten der letzten Ziffer unsicher sein wird.

*Über positive Strahlen;*  
von *W. Wien.*

(Vorgetragen in der Sitzung der physikalischen Abteilung der 80. Versammlung  
Deutscher Naturforscher und Ärzte zu Cöln am 22. September 1908.)

(Vgl. oben S. 621.)

Vor einem halben Jahre habe ich in den Sitzungsberichten der Münchener Akademie über Versuche berichtet, aus denen hervorging, daß die positiven Strahlen bei der Gasentladung, die sogenannten Kanalstrahlen, sich in einem Gleichgewichtszustande befinden, bei welchem die in Bewegung befindlichen Atome ihre Ladung kürzere oder längere Zeit behalten und wieder abgeben. Dieser Gleichgewichtszustand scheint sich, wenn er durch äußere Einwirkungen gestört wird, von selbst wieder herzustellen. Ich möchte nun über weitere Versuche über diese eigentümlichen Verhältnisse berichten, dabei aber besonders hervorheben, daß noch eine große Anzahl von Fragen unbeantwortet bleiben. Es werden noch sehr viele und mannigfaltige Versuche nötig sein, um diese offenbar sehr verwickelten Vorgänge auch nur einigermaßen vollständig zu klären.

Meine Versuche gingen zunächst in der Richtung, ob die eben erwähnten Experimente dieselben Ergebnisse haben, wenn man die Kanalstrahlen in das äußerste, mit den heutigen Hilfsmitteln erreichbare Vakuum treten läßt.

Ein solches kann man erreichen, wenn man den Beobachtungsraum mit der Entladungsröhre durch eine Kapillare von 2 mm Durchmesser und 6 cm Länge verbindet, durch welche die Kanalstrahlen hindurchgehen, während mit dem Beobachtungsraum durch eine weite Röhre ein mit ausgeglühter Kohle gefülltes Gefäß, das durch flüssige Luft gekühlt werden kann, verbunden wird.

Die durch die Kapillare in den Beobachtungsraum strömende Luft wird sofort von der Kohle aufgenommen und das Vakuum hält sich dadurch auf bedeutender Höhe. In die Entladungsröhre muß dann durch eine lange enge Kapillare Luft nachströmen.

Diese Strömung läßt sich durch Regulierung des Überdrucks leicht so einrichten, daß man eine gewünschte konstante Spannung für die Entladung erhält.

Die in das hohe Vakuum eintretenden Kanalstrahlen wurden nun, genau wie bei den früheren Versuchen, hintereinander zwei unabhängig voneinander zu erregenden Magnetfeldern ausgesetzt. Die Ergebnisse waren, daß auch in dem erhöhten Vakuum die Kanalstrahlen wieder neugeladene Teilchen bilden, wenn durch das erste Magnetfeld die zunächst vorhandenen abgelenkt sind, da das zweite Feld ein vom ersten Feld beeinflusstes Kanalstrahlenbündel prozentisch ebenso schwächt, wie ein vorher nicht beeinflusstes.

Die Beobachtungen waren nur weniger genau, weil in dem mit flüssiger Luft erzeugten Vakuum die Ablenkbarkeit der Strahlen überhaupt wesentlich geringer ist, eine von mir schon viel früher gemachte Beobachtung. Versuche, im hohen Vakuum exakte Wirkungen der elektrostatischen Ablenkung auszuführen, schlugen fehl, weil auch hier noch in dem Kanalstrahlenbündel eine erhebliche Leitfähigkeit sich zeigt.

Bei den weiteren Versuchen wurde nun zunächst der Zusammenhang zwischen der von den Kathodenstrahlen hervorgerufenen Lichtemission und der transportierten Elektrizitätsmenge untersucht. Zu dem Zwecke wurde ein Kanalstrahlenbündel untersucht, das durch die Öffnung einer Eisenelektrode austrat und gleich nach seinem Austritt zwischen die konischen Pole eines starken Elektromagneten gelangte. Es zeigte sich, daß trotz des aus sehr dicken Eisenplatten bestehenden Schutzes der Entladungsröhre bei der Erregung starker Felder der Magnetismus doch schon auf die Kanalstrahlen einwirkte, bevor sie die Eisenelektrode erreicht oder verlassen hatten. Es ging dies daraus hervor, daß ein aus einer 23 cm langen, vorn offenen Messingröhre, die das Glasrohr völlig ausfüllte, bestehender Auffänger, der mit einem Galvanometer verbunden war und den gesamten Kanalstrahlenstrom auffing, eine ebenso große Schwächung des aufgefangenen Stromes anzeigte, wenn er bei erregtem Magnetfeld ganz nahe an die Eisenelektrode herangeschoben wurde, als in größerer Entfernung. Trotz des sehr kräftigen Magnetfeldes bemerkt man an dem austretenden Kanalstrahlenbündel in un-

| Spannung<br>Volt | Abstand von<br>der<br>Elektrode<br>mm | Intensität nach der Magneterregung in<br>Prozenten des Wertes ohne Magnet-<br>erregung |             |    |
|------------------|---------------------------------------|--|-------------|----|
|                  |                                       | der Helligkeit   | des Stromes |    |
| 1 800            | 330                                   | 35   | 35          |    |
| 2 700            | 330                                   | 24   | 24          |    |
| 2 700            | 330                                   | 24   | 25          |    |
| 2 600            | 50                                    | { 100  | 49          |    |
|                  |                                       | { 99   |             |    |
|                  |                                       | { 92   |             |    |
| 2 700            | 100                                   | { 98   | 53          |    |
|                  |                                       | { 100  |             |    |
|                  |                                       | { 92   |             |    |
|                  |                                       | { 94   |             |    |
|                  |                                       | { 100  |             |    |
| 10 500           | { 120                                 | { 92   | 35          |    |
|                  |                                       | { 100  |             |    |
|                  |                                       | 1060 A   |             | 81 |
|                  |                                       | B  |             | 43 |
|                  |                                       | A  |             | 87 |
| 17 000           | 1060 A                                | B  | 42          |    |
|                  |                                       | A  | 87          |    |
|                  |                                       | B  | 42          |    |
|                  |                                       | A  | 67          |    |
|                  |                                       | B  | 42          |    |
| 12 000           | 650 A                                 | B  | 42          |    |
|                  |                                       | A  | 88          |    |
|                  |                                       | B  | 64          |    |
|                  |                                       | A  | 88          |    |
|                  |                                       | B  | 64          |    |
| 10 200           | 120                                   | { 91   | 24          |    |
|                  |                                       | { 100  |             |    |
|                  |                                       | { 93   |             |    |
|                  |                                       | { 94   |             |    |
|                  |                                       | { 94   |             |    |

mittelbarer Nähe der Eisenelektrode keine Veränderung der ausgesandten Lichtintensität. Erst in einem Abstände von etwa 12 cm beginnen sich die abgelenkten Strahlen zu bilden an einer Stelle, wo das Kanalstrahlenbündel nicht mehr ganz scharf begrenzt, sondern etwas diffus geworden ist. Eine genaue photo-

<sup>1)</sup> Auffänger übers Gesichtsfeld geschoben.

metrische Messung mit Hilfe eines WEBERSchen Photometers, das vertikal von oben auf das Kanalstrahlenbündel gerichtet war, während die magnetischen Kraftlinien horizontal verliefen, zeigte auch nur eine äußerst geringe Änderung der Lichtintensität im Kanalstrahlenbündel an, während die transportierte Elektrizitätsmenge auf 50 bis 25 Proz., je nach den näheren Verhältnissen der Entladung, bei Erregung des Magnetfeldes sank, wie aus der die Beobachtungen darstellenden Tabelle genauer zu ersehen ist. Es ist also das aus der Eisenelektrode austretende Kanalstrahlenbündel durch Erregung des Magneten wesentlich ärmer an positiven Teilchen geworden, während die Lichtintensität so gut wie ungeschwächt ist.

Aus diesen Beobachtungen geht hervor, daß die magnetisch wenig beeinflussbaren Teilchen der Kanalstrahlen die hauptsächlichsten Träger der Lichtemission sind.

Beobachtet man nun die von den Kanalstrahlen emittierte Lichtintensität in größerem Abstände, so zeigt sich ein immer mehr wachsender Einfluß des Magnetfeldes auf die Lichtemission. Um diese Verhältnisse genauer zu untersuchen, wurde das gesamte, in größerer Entfernung völlig diffus gewordene Kanalstrahlenbündel photometriert und gleichzeitig an derselben Stelle die transportierte Elektrizitätsmenge gemessen, beides mit und ohne Magneterregung. In größerer Entfernung ist die Lichtintensität des Kanalstrahlenbündels recht schwach und eine Messung mit einem gewöhnlichen Photometer nicht ausführbar, da die beleuchteten Flächen zu klein sind. Es wurde deshalb ein Stück der Röhre von 6 cm Länge durch schwarzes Papier abgegrenzt und unmittelbar unter die Röhre eine Milchglasplatte in Größe des beobachteten Stückes der Röhre, gestellt. Diese Milchglasplatte wurde von einer GEISSLERSchen Röhre beleuchtet, die mit Wasserstoff gefüllt war. Es ist bei dieser Photometrie notwendig, daß beide miteinander verglichenen Flächen von Licht derselben spektralen Zusammensetzung erleuchtet werden.

In genügend großer Entfernung ergab sich nun, daß die Helligkeit des Kanalstrahlenbündels prozentisch in gleicher Weise durch den Magneten geschwächt wurde, wie die transportierte Elektrizitätsmenge. Die Entfernung, in welcher die Schwächung

der Lichtintensität ebenso groß war wie die der Elektrizitätsmenge, hängt wesentlich von der Entladungsspannung ab. Bei niedriger Spannung ist sie kleiner als bei höherer. Man ersieht diese Beobachtungen ebenfalls aus der Tabelle. Die mit *A* und *B* bezeichneten Wirkungen beziehen sich auf kommutierten magnetisierenden Strom. Da die lange Glasröhre nicht ganz gerade war, lag das Kanalstrahlenbündel in größerer Entfernung von der Eisenelektrode nicht mehr genau in der Achse der Röhre. Dadurch war eine Unsymmetrie bedingt, welche sich in einer verschiedenen Schwächung der Kanalstrahlen zu erkennen gab, wenn das Magnetfeld kommutiert wurde. Man sieht aber, daß die verschiedene Schwächung sich in gleicher Weise bei der Lichtintensität und beim Strom zu erkennen gibt.

Es geht aus diesen Beobachtungen hervor, daß sich der durch den Magneten gestörte Gleichgewichtszustand erst nach einem längeren Wege herstellt, bei dem die von Kanalstrahlen ausgesandte Lichtintensität wieder der transportierten Elektrizitätsmenge entspricht. Die Länge dieses Weges ist bei höherer Spannung eine größere als bei tieferer.

Wenn man in die Entladungsröhre zwischen der bisherigen Kathode und der Anode eine zweite Eisenelektrode einsetzt und diese zur Kathode macht, so haben die Kanalstrahlen einen längeren Weg zurückzulegen, ehe sie in den Beobachtungsraum gelangen. Das magnetische Feld schwächt hier die Stromstärke bis ungefähr die Hälfte bei 10000 Volt, wenn der Auffänger nahe an die Eisenelektrode gerückt ist. Die Schwächung ist hier geringer, als wenn die Elektrode Kathode ist und daher die Entladung unmittelbar hinter ihr stattfindet. Aber auch hier ist die Schwächung des Stromes viel stärker als die des Leuchtens.

---

**Änderung des Emissionsvermögens der Metalle mit  
der Temperatur. Nach gemeinsam mit Herrn  
E. Hagen ausgeführten Versuchen;  
von H. Rubens.**

(Vorgetragen in der Sitzung der physikalischen Abteilung der 80. Versammlung Deutscher Naturforscher und Ärzte zu Cöln am 22. September 1908.)

(Vgl. oben S. 621.)

In einer Reihe der früheren Abhandlungen haben Herr E. HAGEN und ich gezeigt, daß das Emissionsvermögen  $J$  der Metalle im Gebiete langer Wellen durch die Formel dargestellt wird:

$$J = 100 - R = \frac{K}{\sqrt{\kappa \lambda}}. \quad 1)$$

Hierin bedeutet  $J$  das Emissionsvermögen des Metalles, wenn dasjenige des schwarzen Körpers für die gleiche Wellenlänge gleich 100 gesetzt wird;  $R$  das Reflexionsvermögen in Prozenten;  $\kappa$  das Leitvermögen und  $\lambda$  die Wellenlänge in  $\mu$ . Die Konstante  $K$  ist keine empirische Größe, sondern ergibt sich aus der MAXWELLSchen Theorie zu

$$K = 2 \sqrt{\frac{10^{13}}{c}} = 36,5 \quad 2)$$

wenn man für die Lichtgeschwindigkeit  $c$  ihren Wert  $3 \cdot 10^{10}$  cm/sec einsetzt.

Die Abhängigkeit des Emissionsvermögens von der Temperatur haben wir bereits früher für ein bestimmtes Metall, nämlich Platin, geprüft und befriedigende Übereinstimmung mit den nach Formel 1) berechneten Werten erhalten. Diese Versuche haben wir neuerdings fortgesetzt und nach verschiedenen Richtungen erheblich erweitert, indem wir an mehreren Stellen des Spektrums und für eine größere Zahl von Metallen und Legierungen den Temperaturkoeffizienten des Emissionsvermögens ermittelten und mit den Werten verglichen, welche sich hierfür aus der Änderung der elektrischen Leitfähigkeit unter Berücksichtigung der Formel 1) ergeben.

Solche Messungen erschienen uns aus zwei Gründen wichtig. Erstens nämlich läßt sich die Änderung des Emissionsvermögens mit der Temperatur viel leichter und genauer messen, als der Absolutwert des Emissionsvermögens für eine bestimmte Temperatur. Es läßt sich also auch an der Hand jener Messungen eine exaktere Prüfung der Formel 1) vornehmen. Zweitens muß die Untersuchung der Änderung des Temperaturkoeffizienten mit der Wellenlänge zu interessanten Ergebnissen führen; denn im sichtbaren Spektrum ist dieser Temperaturkoeffizient verschwindend klein, wie aus optischen Versuchen hinreichend bekannt ist; im Gebiete langer Wellen dagegen sind nach der elektromagnetischen Lichttheorie für reine Metalle sehr hohe, für Legierungen dagegen im allgemeinen sehr geringe Temperaturkoeffizienten zu erwarten.

Unsere bisherigen Messungen beziehen sich auf zwei Stellen des langwelligen ultraroten Spektrums, welche den Reststrahlen von Flußspat (vier Reflexionen,  $\lambda = 26 \mu$ ) und den Reststrahlen von Quarz (drei Reflexionen,  $\lambda = 8,85 \mu$ ) entsprechen. Mit der Fortsetzung der Versuche im kurzwelligen ultraroten Spektrum sind wir zurzeit noch beschäftigt.

Die Ermittlung des Emissionsvermögens geschah wie bei unseren früheren Versuchen durch Vergleichung der Strahlung des untersuchten Metallspiegels mit derjenigen eines „schwarzen Körpers“ von gleicher Temperatur. Unsere Versuchsanordnung weicht von der früher verwendeten nur insofern ab, als die strahlenden Metalle nicht durch ein Flüssigkeitsbad, sondern in einem besonders eingerichteten elektrischen Ofen erhitzt wurden. Durch geeignete Stickstoffspülung konnte die Oxydation der blanken strahlenden Oberflächen bis zu ziemlich beträchtlichen Temperaturen (300 bis 500°) verhindert werden. Die Temperaturmessung geschah mit Hilfe von Thermoelementen aus Silber und Konstantan. Von der Strahlung der Seitenwände des Ofens konnten wir uns durch Verwendung eines Rohres mit doppelter Wasser-spülung freimachen, welches in dem elektrischen Ofen bis nahe an die strahlende Metallfläche heranreichte.

Unsere Messungen ergaben für die drei untersuchten Metalle (Ag, Ni, Pt) und die vier untersuchten Legierungen (Messing, Konstantan, Platinsilber, Nickelstahl) sowohl für  $\lambda = 26 \mu$  als



auch für  $\lambda = 8,85 \mu$  Werte des Temperaturkoeffizienten des Emissionsvermögens, welche sehr nahe mit den aus Formel 1) berechneten Werten übereinstimmen; nur bei Platin ist die beobachtete Änderung des Emissionsvermögens mit der Temperatur merklich größer, als man dies nach dem elektrischen Verhalten dieses Metalles erwarten sollte. Es stimmt dies mit unserem früheren Befunde vollkommen überein. Bei dem Nickel tritt die bekannte Anomalie, welche die Widerstandskurve dieses Metalles in der Nähe des magnetischen Umwandlungspunktes zeigt, auch in den Emissionskurven deutlich hervor.

Daß in dem betrachteten Spektralgebiet die „optischen“ Temperaturkoeffizienten der Metalle noch vollkommen den „elektrischen“ entsprechen, beweist, daß die erwarteten Übergänge in dem kurzwelligeren Teile des ultraroten Spektrums zwischen  $\lambda = 0,7$  und  $\lambda = 8,8 \mu$  zu suchen sind. Wir hoffen hierüber bald Näheres berichten zu können.

---

***Neue Beobachtungen an Kanalstrahlen in Beziehung zur Lichtquantenhypothese;***

***von J. Stark.***

(Vorgetragen in der Sitzung der physikalischen Abteilung der 80. Versammlung Deutscher Naturforscher und Ärzte zu Cöln am 22. September 1908.)

(Vgl. oben S. 621.)

Im folgenden wird eine vorläufige Mitteilung über Untersuchungen gegeben, welche ich gemeinsam mit Herrn Dr. W. STEUBING im Physikalischen Institut der Universität Greifswald ausgeführt habe. Die eingehende Beschreibung derselben, insbesondere die Diskussion der Fehlerquellen, soll von mir und Herrn STEUBING in den Annalen der Physik veröffentlicht werden.

Über die technische Seite der Untersuchungen seien hier kurz folgende Angaben gemacht. Als Stromquelle zur Erzeugung der Kanalstrahlen in Wasserstoff diente bis zu einer Spannung von 440 Volt das städtische Leitungsnetz, bis zu 1200 Volt eine Batterie kleiner Akkumulatoren, für Spannungen größer als 1600 Volt ein mittelgroßes Induktorium, das mit Wechselstrom betrieben wurde. Das wichtigste der ganzen Technik war die Optik. Es kam zur Verwendung der bereits an einer früheren Stelle <sup>1)</sup> beschriebene lichtstarke Spektrograph, zu dessen Bau die Preußische Akademie der Wissenschaften die Mittel bewilligt hatte. Als Dispersionskörper diente in ihm ein großes ROWLAND'sches Plangitter (15 000 Furchen auf 1 Zoll,  $8 \times 16$  cm<sup>2</sup> Fläche), das Herr Geheimrat VOIGT im Einverständnis mit seinem Eigentümer, Herrn Dr. HAUSWALDT (Magdeburg), bereitwilligst zu den Untersuchungen mir überlassen hatte. Die Dispersion betrug für  $H_{\alpha}$  ( $\lambda = 6563,0$  Å.) 1,980 Å., für  $H_{\beta}$  ( $\lambda = 4861,5$  Å.) 1,423 Å., für  $H_{\gamma}$  ( $\lambda = 4340,7$  Å.) 0,926 Å., für  $H_{\delta}$  ( $\lambda = 4101,8$  Å.) 1,341 Å. auf 0,1 mm der photographischen Platte. Speziell an  $H_{\gamma}$  und  $H_{\delta}$  wurden wichtige neue Beobachtungen gemacht, welche über meine früheren Untersuchungen an Kanalstrahlen hinausgehen. Der

<sup>1)</sup> Ann. d. Phys. (4) 26, 806, 1908.

Grund, warum ich jene Beobachtungen nicht schon früher machte, liegt darin, daß die Dispersion der früher von mir verwendeten Spektrographen (auf 0,1 mm mehr als  $1,8 \text{ \AA}$ .) nicht groß genug war.

Bevor ich zu den experimentellen Resultaten unserer Untersuchung übergehe, erscheint es mir notwendig, die theoretischen Überlegungen<sup>1)</sup> mitzuteilen, welche mich zu den Experimenten anregten und bei ihrer Ausführung leiteten. Ich tue dies selbst auf die Gefahr hin, die experimentellen Resultate zu diskreditieren. Die Arbeit wurde nämlich zur Prüfung der Lichtquantenhypothese unternommen, welche von PLANCK aufgestellt worden ist, und auf deren theoretische und experimentelle Bedeutung A. EINSTEIN<sup>2)</sup> frühzeitig in mehreren Abhandlungen hingewiesen hat; und diese Hypothese ist so eigenartig und widerspricht so sehr den bisher üblichen Anschauungen über die Emission und Absorption des Lichtes, daß die allenthalben bemerkbare Zurückhaltung ihr gegenüber begreiflich ist. Indes scheint es mir nicht richtig, ihr gegenüber auf einem passiven Widerstand zu verharren und zu verlangen, daß man, ausgehend von bereits bekannten Eigenschaften elektromagnetischer Resonatoren, das neue hypothetisch eingeführte Charakteristikum verständlich mache; vielleicht verlangt man hiermit etwas Unmögliches, insofern es nicht ausgeschlossen ist, daß das neue Charakteristikum elektromagnetischer Resonatoren ebenso eine primäre, elementare Eigenschaft ist, wie etwa die elektrische Ladung und die Masse negativer Elektronen. Der Experimentalphysiker jedenfalls wird gut tun, gegenüber der Lichtquantenhypothese den objektiven Standpunkt des experimentell prüfenden Forschers zu wählen. An ihm ist es, Versuchsanordnungen auszudenken und zu realisieren, welche direkte Folgerungen aus der Lichtquantenhypothese in der Erfahrung nachzuweisen gestatten. Bestätigen sich diese Folgerungen nicht, dann ist jedenfalls der Erfolg erzielt, daß die Lichtquantenhypothese aus theoretischen Deduktionen zu verschwinden hat.

<sup>1)</sup> Die hier skizzierten theoretischen Überlegungen habe ich bereits an einer früheren Stelle (Phys. ZS. 8, 913, 1907) in einer etwas anderen Form auf das bis dahin vorliegende Beobachtungsmaterial angewendet.

<sup>2)</sup> A. EINSTEIN, Ann. d. Phys. (4) 17, 131, 1905; 20, 199, 1906; 22, 180, 1907.

Es sei  $e$  die oszillatorische elektromagnetische Energie, welche einem Resonator mitgeteilt oder von ihm ausgestrahlt werden kann,  $s$  sei eine ganze Zahl (0, 1, 2, 3 . . .),  $h = 6,55 \cdot 10^{-27} \text{ Erg sec}^{-1}$  sei das PLANCKSche Wirkungselement,  $n$  die Schwingungszahl des Resonators,  $\lambda$  die Wellenlänge der emittierten Strahlung im Vakuum,  $c$  ihre Fortpflanzungsgeschwindigkeit, so gilt nach der Lichtquantenhypothese (Elementargesetz):

$$e = shn = sh \frac{c}{\lambda}.$$

Gemäß diesem Elementargesetz variiert also die von einem Resonator aufgenommene oder abgegebene Energiemenge nicht stetig von Null bis zu beliebigen Werten, sondern sprungweise im Verhältnis ganzer Zahlen. Nach meinem Dafürhalten braucht man nicht eine diskontinuierliche Struktur der im Äther mit Lichtgeschwindigkeit strömenden Strahlungsenergie zu postulieren, sondern man hat in dem Vorgange, welchen das Elementargesetz regelt, eine spezifische Wirkungsweise der elektromagnetischen Resonatoren zu sehen.

An einem einzelnen Kanalstrahlenteilchen ist einerseits eine gewisse Menge kinetischer Energie  $\frac{1}{2}mv^2$  lokalisiert. Andererseits sitzt auf ihm ein elektromagnetischer Resonator, welcher eine Spektrallinie zu emittieren vermag, wie die Beobachtung des Dopplereffektes an dieser lehrt. Geht das Kanalstrahlenteilchen mit seinem Resonator durch die Wirkungssphäre eines anderen materiellen Teilchens im verdünnten Gas, so ist in der damit verbundenen Erschütterung die Möglichkeit gegeben, daß ein Bruchteil der kinetischen Energie des Kanalstrahlenteilchens in oszillatorische Energie des Resonators verwandelt und dann von diesem in der ihm eigentümlichen Spektrallinie wieder ausgestrahlt wird.

Es sei  $\alpha$  eine zwischen 0 und 1 liegende Zahl,  $\frac{\alpha mv^2}{2}$  sei der Bruchteil der kinetischen Energie, welcher beim Durchgang durch die Wirkungssphäre für die Transformation in die oszillatorische Form disponibel wird. Trifft die Lichtquantenhypothese zu, so kann so lange in der Spektrallinie des vom Kanalstrahlenteilchen mitgeführten Resonators keine Energie ausgestrahlt werden, als

\*

$\frac{\alpha m v^2}{2} < h\nu$  ist. Erst wenn  $\frac{\alpha m v^2}{2} = h\nu$  geworden ist, wenn also die kinetische Energie des Kanalstrahlteilchens einen gewisser Schwellenwert erreicht hat, kann abrupt die Strahlung des Resonators einsetzen. Aus der Lichtquantenhypothese ergibt sich demnach als erste Folgerung, daß der Dopplereffekt bei Kanalstrahlen, der aus einer Lichtemission infolge einer Bewegung im Visionsradius resultiert, unterhalb einer gewissen Grenzggeschwindigkeit ( $v_1$ ) nicht auftritt. Quantitativ weniger genau läßt sich diese Folgerung auch so formulieren: Positiv geladene Kanalstrahlenteilchen von kleiner Geschwindigkeit führen zwar eine positive Ladung, aber kein Licht mit sich; positive Teilchen von großer Geschwindigkeit dagegen können außer positiver Ladung auch Licht mit sich führen.

Die Erfahrung bestätigt diese erste theoretische Folgerung in allen bis jetzt untersuchten Fällen. Schon bei meinen ersten Beobachtungen <sup>1)</sup> über den Dopplereffekt bei Kanalstrahlen fiel mir die merkwürdige Erscheinung auf, daß zwischen der sogenannten ruhenden Linie, welche wahrscheinlich durch sekundäre Kathodenstrahlen erzeugt wird, und dem von mir als Dopplereffekt bezeichneten Streifen ein lichtloser Raum (von mir als Intensitätsminimum bezeichnet) auftritt. Diese Beobachtung wurde von anderen Autoren, vor allem von F. PASCHEN <sup>2)</sup>, bestätigt. Und die erste Aufgabe der neuen Untersuchungen war, sie in weiten Grenzen der Wellenlänge und des Kathodenfalles zu prüfen. Es ergaben sich folgende Resultate. An den vier Wasserstofflinien  $H_\alpha$ ,  $H_\beta$ ,  $H_\gamma$ ,  $H_\delta$  ist unterhalb eines gewissen Grenzwertes der Geschwindigkeit der Kanalstrahlen eine bewegte Lichtintensität (Dopplereffekt) nicht nachweisbar; wenn genügend lange exponiert, also eine Unterexposition vermieden wird, ergibt sich sowohl für einen kleinen Kathodenfall (390 Volt) als für einen großen Kathodenfall (10000 Volt) derselbe Grenzwert  $v_1$  für den Beginn der Lichtemission im Dopplereffekt. Die nachstehende Tabelle I zeigt, daß der Grenzwert  $v_1$  langsam mit abnehmender Wellenlänge zunimmt <sup>3)</sup>.

<sup>1)</sup> Ann. d. Phys. (4) 21, 438, 1906.

<sup>2)</sup> F. PASCHEN, Ann. d. Phys. (4) 23, 247, 1907.

<sup>3)</sup> In der an meinen Vortrag sich anschließenden Diskussion machte

Tabelle I.

| Wellenlänge $\lambda$ | Grenzwert $v_1$                        |
|-----------------------|--|
| $H_\alpha$ 6563,0     | $1,07 \cdot 10^7$ cm sec <sup>-1</sup> |
| $H_\beta$ 4861,5      | 1,25 "                                 |
| $H_\gamma$ 4340,7     | 1,28 "                                 |
| $H_\delta$ 4101,8     | 1,39 "                                 |

Als zweite Konsequenz aus der Lichtquantenhypothese ergibt sich folgende Überlegung. Wächst die kinetische Energie nach dem Überschreiten eines  $v_1$  entsprechenden Grenzwertes weiter, so kann zunächst auch nur ein Lichtquantum in der betrachteten Spektrallinie durch Zusammenstoß erzeugt werden. Sowie aber die kinetische Energie so groß geworden ist, daß  $\frac{\alpha m v^2}{2} = 2 h \nu$  ist, so ist nunmehr die Möglichkeit geboten, daß

bei einem Zusammenstoß zwei Lichtquanten in der betrachteten Spektrallinie erzeugt werden. Man beachte wohl, es ist nicht notwendig, daß zwei Lichtquanten bei allen Zusammenstößen oberhalb eines zweiten Schwellenwertes der kinetischen Energie erzeugt werden; die Zusammenstöße werden vielmehr zum Teil auch so verlaufen, daß nur ein Lichtquantum erzeugt wird. In diesem Umstande liegt nun offenbar die Schwierigkeit des experimentellen Nachweises der theoretisch vorhergesagten Erscheinung.

Die Intensitätsverteilung im Dopplereffekt bei Kanalstrahlen hängt in erster Linie von der Geschwindigkeitsverteilung der

mich Herr DEBYE (München) darauf aufmerksam, daß die zunächst auf experimentellem Wege gefundene Abhängigkeit des Grenzwertes  $v_1$  von der Geschwindigkeit in Übereinstimmung steht mit einer Folgerung aus der Theorie. Wenn nämlich der Koeffizient  $\alpha$  in der Formel

$$\alpha \frac{m v_1^2}{2} = h \frac{c}{\lambda}$$

in weiten Grenzen konstant ist, dann verlangt die Theorie, daß

$$v_1 = \sqrt{\frac{2 h c}{\alpha m \lambda}} = \frac{k}{\sqrt{\lambda}}$$

ist. In der Tat zeigt die von mir über  $v_1$  mitgeteilte Tabelle, daß  $v_1$  der Quadratwurzel aus dem reziproken Wert der Wellenlänge angenähert proportional ist.

Kanalstrahlen ab; aus dem Umstande, daß der Dopplereffekt eine kontinuierliche Folge verschobener Linien darstellt, folgt ja direkt, daß in einem Kanalstrahlenbündel alle möglichen Geschwindigkeiten zwischen Null und einer oberen Grenze vorkommen, welche durch den wirksamen Kathodenfall bestimmt wird. Würden nun bei allen Zusammenstößen oberhalb der kinetischen Energie  $\frac{2hn}{\alpha}$

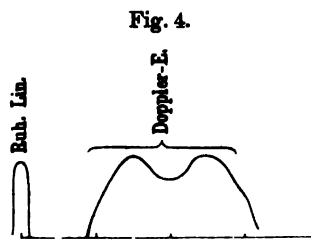
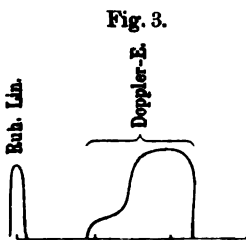
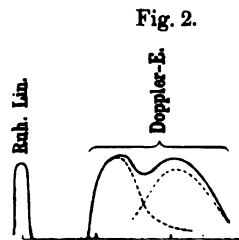
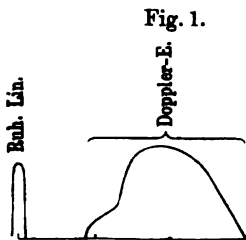
immer zwei Lichtquanten erzeugt, so würde die Kurve der Intensitätsverteilung im Dopplereffekt (Vollkommenheit der photographischen Methode vorausgesetzt) in allen Fällen einen bei der Grenzgeschwindigkeit  $v_1$  scharf einsetzenden Knick aufweisen, etwa wie es Fig. 1 schematisch zeigt. In Wirklichkeit aber wird die Kurve der Intensitätsverteilung im Dopplereffekt resultieren aus der Superposition zweier Kurven, von denen die eine den Geschwindigkeiten entspricht, welche nur ein Lichtquantum infolge eines Zusammenstoßes emittieren, die andere dagegen denjenigen Geschwindigkeiten, welche zwei Lichtquanten emittieren. In Fig. 2 ist ein derartiger Fall schematisch dargestellt; die resultierende ausgezogene Kurve zeigt zwei Maxima und dazwischen ein Minimum im Dopplereffekt oder wie man sich auch ausdrücken kann, „eine Zweiteilung des Dopplereffektes“. Wie direkt ersichtlich ist, entspricht das Minimum in der resultierenden Kurve nicht dem oben charakterisierten Schwellenwert der Geschwindigkeit ( $v_1$ ), welcher den Beginn der Erzeugung von zwei Lichtquanten markiert. Nach diesen vorbereitenden theoretischen Überlegungen möge nunmehr die Erfahrung sprechen.

Es ist das Verdienst von F. PASCHEN<sup>1)</sup>, zuerst eine Zweiteilung des Dopplereffektes bei Kanalstrahlen beobachtet zu haben; es war ihm dies möglich dank der großen Dispersion (0,85 bis 0,95 Å. auf 0,1 mm), mit welcher er arbeitete. Wir können alle seine Angaben über die Zweiteilung bestätigen; in einigen Punkten gehen indes unsere Resultate infolge größerer Lichtstärke oder längerer Expositionsdauer über diejenigen PASCHENS hinaus. Insbesondere suchten wir, entsprechend dem leitenden theoretischen Gesichtspunkte, auch Spektrogramme zu gewinnen, welche eine Messung des oben charakterisierten zweiten

<sup>1)</sup> F. PASCHEN, Ann. d. Phys. (4) 23, 247, 1907.

Schwellenwertes der Geschwindigkeit ( $v_2$ ) gestatten. Da es unmöglich ist, gerade die wichtigsten Details der Spektrogramme in einer Reproduktion auf Papier wiederzugeben, so muß ich mich hier darauf beschränken, die Intensitätsverteilung im Dopplereffekt unserer Spektrogramme schematisch in Kurvenform wiederzugeben. Ich bin bereit, denjenigen, welche sich für die Spektrogramme interessieren, auf Wunsch Reproduktionen auf photographischen Platten oder Films zu übersenden.

Bei einem Kathodenfall von 390 bis etwa 600 Volt ist die Intensitätsverteilung im Dopplereffekt von  $H_\gamma$  angenähert so, wie sie in Fig. 3 dargestellt ist. Der Dopplereffekt besteht aus einer



niedrigen, schwach ansteigenden Stufe, und aus einer auf sie folgenden höheren zweiten Stufe, die nach beiden Seiten steil abfällt. Wird kurz exponiert oder ist die Lichtstärke gering (z. B. bei  $H_\delta$ ), so erscheint die erste Stufe infolge von Unterexposition überhaupt nicht auf der photographischen Platte. Diejenige Geschwindigkeit, bei welcher die zweite Stufe sich zu erheben beginnt, sei mit  $v_2$  bezeichnet, mit  $v_1$  diejenige, bei welcher die erste Stufe anfängt. In Tabelle II ist für verschiedene Linien das Verhältnis  $v_2/v_1$  und sein Quadrat zusammengestellt. Unsicher ist in ihr die Zahl für  $H_\gamma$ .



Tabelle II.

| Wellenlänge       | $\frac{v_2}{v_1}$ | $\left(\frac{v_2}{v_1}\right)^2$ |
|-------------------|-------------------|----------------------------------|
| $H_\beta$ 4861,5  | 1,57              | 2,46                             |
| $H_\gamma$ 4340,7 | 1,39              | 1,93                             |
| $H_\delta$ 4101,8 | 1,37              | 1,88                             |

Von etwa 600 Volt ab nimmt für  $H_\gamma$  die erste Stufe offenbar infolge einer günstigeren Geschwindigkeitsverteilung rasch an Höhe relativ zur zweiten zu, während gleichzeitig der Anstieg der zweiten Stufe oder des „zweiten Streifens“ sanfter wird. Bei 1000 bis 1400 Volt Kathodenfall zeigt der Dopplereffekt von  $H_\gamma$  angenähert die in der Fig. 4 dargestellte Intensitätsverteilung; eine Messung von  $v_2$  ist nun nicht mehr möglich. Schon wenn man für 1200 Volt Kathodenfall bei großer Lichtstärke lange exponiert, so verwachsen infolge der Unvollkommenheit der photographischen Methode die zwei Streifen in einen einzigen, wenigstens bei der von uns angewendeten Dispersion. Das gleiche tritt bei  $H_\gamma$  auch bei kurzer Exposition dann ein, wenn der Kathodenfall beträchtlich größer als 1200 Volt, nämlich 3000 bis 10000 Volt, wird. Der Grund dafür, daß bei großem Kathodenfall das Maximum im Dopplereffekt der nur ein Lichtquantum emittierenden Kanalstrahlenteilchen nach größeren Werten der Geschwindigkeiten in das Gebiet des Maximums für die Emission von zwei Lichtquanten rückt, ist offenbar in der geänderten Geschwindigkeitsverteilung der Kanalstrahlen zu suchen.

Da bereits die Zweiteilung des Dopplereffekts bei Kanalstrahlen nur unter ganz bestimmten Versuchsbedingungen deutlich ausgeprägt zu beobachten ist, so erschien es mir aussichtslos nach einer Dreiteilung des Dopplereffekts zu suchen. Theoretisch ist allerdings eine solche zu erwarten; erreicht nämlich die kinetische Energie eines Kanalstrahlenteilchens den Wert  $\frac{3 h \nu}{\alpha}$ , so ist die Möglichkeit gegeben, daß an ihm bei einem Zusammenstoß drei Lichtquanten von der Frequenz  $\nu$  erzeugt werden; die beobachtbare Intensitätsverteilung im Dopplereffekt resultiert dann aus der Superposition dreier Verteilungskurven, von denen die erste der Emission von einem Lichtquantum, die zweite der

Emission von zwei Lichtquanten, die dritte der Emission von drei Lichtquanten entspricht. Wider Erwarten habe ich nun in der Tat im Dopplereffekt von  $H_\beta$  eine Dreiteilung beobachtet. Ich habe ihr zunächst großes Mißtrauen entgegengebracht; indes kehrte sie oberhalb 3600 Volt bei Variation des Kathodenfalles und der Expositionsdauer in allen Spektrogrammen wieder, die drei Streifen sind viel breiter als die ruhenden oder Bandenlinien, die sonst noch auf den Spektrogrammen vorkommen. Eine Aufnahme, bei welcher die Kanalstrahlen orthogonal zum Visionsradius liefen, ergab das Gebiet unmittelbar hinter  $H_\beta$  linienfrei, auch auf meinen früheren derartigen Spektrogrammen sind unmittelbar hinter  $H_\beta$  keine Linien wahrzunehmen. So komme ich zu der Folgerung, daß die beobachtete Dreiteilung des Dopplereffekts von  $H_\beta$  für einen Kathodenfall größer als 3600 Volt nicht durch störende Bandenlinien vorgetäuscht ist, sondern in der Tat eine Eigenschaft der Intensitätsverteilung im Dopplereffekt selbst ist.

#### A n h a n g.

Wie bei jedem naturwissenschaftlichen Problem, so sind auch bei den hier behandelten Erscheinungen die tatsächliche Beobachtung und ihre theoretische Deutung auseinander zu halten; jene bleibt bestehen, auch wenn diese wechselt. Man kann versuchen, die eigenartigen Verhältnisse der Intensitätsverteilung im Dopplereffekt bei Kanalstrahlen in anderer Weise zu erklären, als es von meiner Seite geschehen ist. Die bereits von PASCHEN versuchte Erklärung allerdings scheint mir ungenügend zu sein. PASCHEN nämlich nimmt an, daß die Zweiteilung im Dopplereffekt davon herrühre, daß in den Kanalstrahlen Wasserstoffionen vorkämen, deren Masse gleich derjenigen eines Wasserstoffatoms sei, und Wasserstoffionen, deren Masse infolge von Anlagerung eines neutralen Wasserstoffatoms gleich derjenigen von zwei Wasserstoffatomen sei. Dieser Erklärungsversuch muß erstens die unbegründete Hilfshypothese machen, daß die Lage der Spektrallinien positiver Atomionen vollkommen unabhängig sei von der Anlagerung neutraler Atome, zweitens die ebenfalls unbegründete Hilfshypothese, daß bei kleinem Kathodenfall (300 bis 600 Volt) im Kanalstrahlenbündel die Strahlen von einer Masseneinheit, bei großem Kathodenfall (3000 bis 10000 Volt) die Strahlen von

zwei Masseneinheiten an Zahl überwiegen. Vollkommen unerklärt wird von der Annahme PASCHENS die Erscheinung gelassen, daß die bewegte Intensität in allen Fällen erst oberhalb eines bestimmten Schwellenwertes der kinetischen Energie einen von Null verschiedenen Wert annimmt.

Der Lichtquantenhypothese muß man demgegenüber jedenfalls die Gerechtigkeit widerfahren lassen, daß sie ohne eine weitere-Hilfshypothese alle beobachteten Erscheinungen qualitativ und soweit die bis jetzt erzielte Genauigkeit reicht, auch quantitativ erklärt. Durch die vorliegenden Beobachtungen scheint eine erste direkte experimentelle Bestätigung der Lichtquantenhypothese gewonnen zu sein. Es mag darum angebracht sein, hier kurz noch auf andere Erscheinungen hinzuweisen, welche ebenfalls von dem PLANCKSchen Elementargesetz beherrscht zu sein scheinen.

A. EINSTEIN<sup>1)</sup> hat die Lichtquantenhypothese zur Erklärung des lichtelektrischen Effektes angewandt; ihm folgend hat A. JOFFÉ<sup>2)</sup> gezeigt, daß die Beobachtungen von E. LADENBURG<sup>3)</sup> über die maximale Geschwindigkeit der von Licht unterhalb  $\lambda 0,25 \mu$  zur Emission gebrachten Kathodenstrahlen wesentlich in Übereinstimmung mit der EINSTEINSchen Erklärungsweise stehen. Die Differenz zwischen Beobachtung und Theorie, daß die Abhängigkeit der maximalen Geschwindigkeit von der Wellenlänge nicht für alle Metalle die gleiche ist, braucht nicht zuungunsten der Theorie ausgelegt zu werden; es ist nämlich sehr wohl möglich, daß das Kontaktpotential in einer von Metall zu Metall verschiedenen Weise mit der bestrahlenden Wellenlänge variiert.

Von W. WIEN<sup>4)</sup> und mir<sup>5)</sup> ist gezeigt worden, daß auch die Erzeugung der Kathodenstrahlen durch die Absorption von Röntgenstrahlen auf Grund der Lichtquantenhypothese erklärt werden kann. In Übereinstimmung mit der Theorie ist die maximale Geschwindigkeit dieser Strahlen unabhängig vom Material

<sup>1)</sup> A. EINSTEIN, Ann. d. Phys. (4) 17, 182, 1905.

<sup>2)</sup> A. JOFFÉ, Münch. Ber. 37, 279, 1907.

<sup>3)</sup> E. LADENBURG, Verh. D. Phys. Ges. 9, 504, 1907.

<sup>4)</sup> W. WIEN, Gött. Nachr. 1907.

<sup>5)</sup> Phys. ZS. 8, 882, 1907.

des emittierenden Körpers und von der Intensität der Röntgenstrahlen, dagegen abhängig von deren Wellenlänge.

Ferner wurde von mir gezeigt, daß die Lage der im ultraroten, sichtbaren und ultravioletten Spektrum liegenden Banden von chemischen Verbindungen<sup>1)</sup> und ihre Verschiebung durch Substitution und Kondensation auf Grund der Lichtquantenhypothese in Übereinstimmung mit der Erfahrung erklärt werden kann.

Endlich sei hier noch auf eine neue Möglichkeit hingewiesen, die Lichtquantenhypothese einer experimentellen Prüfung zu unterziehen. Ich habe bereits an früheren Stellen<sup>2)</sup> dargelegt, daß auch die kinetische Energie von Kathodenstrahlen in Strahlungsenergie von Spektrallinien positiver Atomionen verwandelt werden kann. Ein Kathodenstrahlteilchen kann entweder auf ein fertiges positives Atomion oder auf ein neutrales Atom stoßen und dieses ionisieren. In beiden Fällen ist nach dem Stoß ein positives Atomion vorhanden, auf welchem ein oder mehrere Resonatoren sitzen, welche die Serienlinien des Atomions emittieren. Infolge der Erschütterung beim Auftreffen des Kathodenstrahles kann der Resonator einen Teil von dessen Energie in oszillatorischer Form aufgenommen haben und mag sie danach wieder ausstrahlen. Auf diese Weise kommt nach meiner Auffassung die Emission von Serienlinien in der positiven Lichtsäule und in der negativen Glimmschicht bei niedriger Temperatur zustande, ebenso die Emission der ruhenden Serienlinien im Kanalstrahlenlicht. Aus der Kombination der vorstehenden Auffassung mit der Lichtquantenhypothese ergeben sich nachstehende Folgerungen.

Es sei  $\beta \frac{mv^2}{2}$  der Bruchteil der kinetischen Energie eines Kathodenstrahlteilchens, welcher beim Stoß auf ein fertiges oder entstehendes positives Ion an einen Resonator auf diesem in oszillatorischer Form abgegeben werden kann;  $\lambda$  sei die Wellenlänge der Strahlung des Resonators. Solange  $\beta \frac{mv^2}{2} < h \frac{c}{\lambda}$  ist, kann dann die betreffende Serienlinie des Atomions durch den Stoß des Kathodenstrahles nicht erregt werden. Diese Folgerung

<sup>1)</sup> Phys. ZS. 9, 85, 481, 661, 1908.

<sup>2)</sup> J. STARK, Die Elektrizität in Gasen. Leipzig 1903, S. 447. Phys. ZS. 8, 398, 917, 1907.

kann auch so formuliert werden. Es sei  $v_m$  die größte in einem Gasvolumen vorkommende Kathodenstrahlgeschwindigkeit; die in dem gleichen Gasvolumen vorkommenden Atomionen mögen in allen Teilen des Spektrums auch im äußersten Ultraviolett Spektrallinien besitzen. Es können dann von den Kathodenstrahlen nicht beliebig kurze Wellen in dem betrachteten Volumen zur Emission gebracht werden, sondern das infolge von Emission wahrnehmbare Spektrum hört auf bei  $\lambda = \frac{2hc}{\beta mv_m^2}$ .

In der positiven Lichtsäule von nicht zu kleinem Querschnitt besitzen nur wenige Kathodenstrahlen, indem sie zufällig eine große Weglänge frei durchlaufen, eine Geschwindigkeit, die größer ist, als 30 Volt frei durchlaufener Spannungsdifferenz entspricht. Dagegen kommen in der negativen Glimmschicht auch zahlreiche Strahlen vor, deren Geschwindigkeit größer als 300 Volt ist. Aus diesem Grunde ist zu erwarten, daß das Spektrum der positiven Atomionen weiter in das äußerste Ultraviolett hineinreicht, wenn es an der negativen Glimmschicht, als wenn es an der positiven Lichtsäule beobachtet wird.

Mehr quantitatives Gewicht wäre folgender Versuchsanordnung beizulegen. Die Kathodenstrahlen werden an einer WEHNELT-schen Oxydkathode erzeugt; ihre maximale Geschwindigkeit wird durch den an dieser wirksamen Kathodenfall gegeben; dieser kann von etwa 7 Volt an zu beliebig größeren Werten erhöht werden. Diese langsamen Kathodenstrahlen läßt man in einer Gas- oder Dampf-atmosphäre verlaufen, welche die Oxydkathode nicht zu rasch verändert. Beobachtet wird für die verschiedenen Werte des Kathodenfalles die Ausdehnung des von ihnen an den Atomionen zur Emission gebrachten Spektrums im äußersten Ultraviolett. Diese Ausdehnung hängt wesentlich auch ab von dem Werte des Koeffizienten  $\beta$ . Nehmen wir den extremen Fall an, daß  $\beta = 1$  sei. Die Emission einer Linie bei  $\lambda = 250 \mu\mu$  verlangt dann eine Kathodenstrahlgeschwindigkeit von 7,8 Volt, die Emission von  $\lambda = 186 \mu\mu$  eine Geschwindigkeit von 10,4 Volt. Bis zu  $\lambda = 186 \mu\mu$  kann das Spektrum noch mit dem kleinen Quarzfluoritspektrographen von ZEISS in atmosphärischer Luft, insbesondere bei Anwendung SCHUMANN-scher Platten, photographiert werden.

Durch äußere Umstände bin ich gegenwärtig verh  
im vorstehenden angedeuteten Untersuchungen selbst a  
Vielleicht mag ein anderer Autor aus folgenden bereits  
Beobachtungen einen ersten Fingerzeig für die Inar  
dieses Problems gewinnen.

C. RUNGE und F. PASCHEN<sup>1)</sup> ist es bereits aufge  
das Linienspektrum des Sauerstoffs, wenn es von de  
Lichtsäule gewonnen wird, nicht weit in das Ultravio  
reicht. Die gleiche Erscheinung fiel mir bei meine  
veröffentlichten Untersuchungen<sup>2)</sup> über Sauerstoff auf,  
einige Linien mehr als die genannten Autoren beobacht  
diese Erscheinung damit zusammenhängen, daß in de  
Lichtsäule in Sauerstoff der Spannungsabfall und son  
schwindigkeit der Kathodenstrahlen klein ist? Ist da  
der negativen Glimmschicht im Ultraviolett reicher an

Ferner fiel mir bei meinen Untersuchungen<sup>3)</sup>  
äußersten ultravioletten Linien des Zinks, Kadmiums  
silbers folgendes auf. Die Beobachtungen wurden an  
tiven Lichtsäule gemacht; bei Gegenwart von etwa  
war der Spannungsabfall in der positiven Säule etwa  
groß als nach guter Reinigung in reinem Metallde  
kleinerer Stromstärke erschienen aber im ersten Falle di  
ultravioletten Linien der drei Metalle intensiver als  
Falle. Es dürfte interessant sein, das ultraviolette  
dieser drei Metalle in der negativen Glimmschicht un  
auch in den langsamen Strahlen einer WEHNELTSchen C  
zu untersuchen. Auffallend ist an sich schon die g  
dieser Metalle an Linien im äußersten Ultraviolett fi  
daß ihr Spektrum an der positiven Säule niedriger  
untersucht wird.

<sup>1)</sup> C. RUNGE und F. PASCHEN, Wied. Ann. 61, 666, 1897.

<sup>2)</sup> Ann. d. Phys. (4) 26, 817, 1908.

<sup>3)</sup> J. STARK und S. KINOSHITA, Ann. d. Phys. (4) 21, 470,

**Über eine neue Wirkung des elektrischen Stromes;  
von Mathias Cantor.**

(Vorgetragen in der Sitzung der physikalischen Abteilung der 80. Versammlung Deutscher Naturforscher und Ärzte zu Köln am 23. September 1906.)

(Vgl. oben S. 621.)

Wenn man sich von der Vorstellung leiten läßt, daß die elektrische Strömung auch in metallischen Leitern mit der Translation träger Teile verbunden ist, so konnte man erwarten, daß der experimentelle Nachweis dieser Teile an solchen Stellen gelingen würde, an welchen die Strömfäden eine plötzliche Richtungsänderung erfahren. Durch die Versuchsanordnung, welche ich hier vorführen möchte, gelangt man in der Tat zu Ergebnissen, welche der erwähnten Vorstellung entsprechen.

Eine Glasplatte, welche eine möglichst scharfe Kante besitzt, ist mit einer äußerst dünnen Metallhaut überzogen. Der Metallüberzug ist in der bekannten Weise durch Einbrennen von Gold hergestellt und bildet gut spiegelnde Flächen, die sehr durchsichtig sind. Ähnlich wie der Goldüberzug verhalten sich ein-gebranntes Platin und sehr dünne chemische Versilberung.

Die Goldbelegung der Glasplatte wird beim Schließen des Stromschlüssels mit einer Batterie von 70 Volt verbunden und dann durchfließt ein Strom die Metallschicht so, daß die Strömfäden an der scharfen Kante geknickt werden. Parallel mit der scharfen Kante im Abstände von 2 bis 3 mm ist ein Draht isoliert aufgestellt und mit einem BRAUNschen Voltmeter verbunden. Das Voltmeter wird zunächst auf einige hundert Volt geladen. Wenn man jetzt den Strom durch die Platte schließt, so bemerkt man, daß sogleich eine kräftige Entladung des Instrumentes stattfindet. Es verschwinden positive und negative Ladungen, doch erfolgt die Entladung der positiven rascher.

Eine photographische Platte, welche im Abstand von etwa 2 mm von der wirksamen Kante entfernt durch 30 Minuten exponiert wurde, während der Strom in der beschriebenen Weise den Goldbelag durchfloß, ergab nach der Entwicklung ein kräftiges

Negativ, das ein scharfes Abbild der wirksamen Kante zeigt, und dessen Projektion ich mir hier vorzuführen erlaube. Das photographische Bild verhält sich so, als ob geladene Teile in bestimmter Richtung die scharfe Kante verlassen würden und daneben noch einige zufällige Emissionszentra vorhanden wären.

Durch demnächst im Vakuum auszuführende Versuche sollen Geschwindigkeit und Orientierung der emittierten Teile bestimmt und ihr Verhalten im elektromagnetischen Felde untersucht werden. Es läßt sich vielleicht hoffen, daß diese Versuche zu einer klaren Anschauung über den Zustand, in welchem sich ein vom Strom durchflossenes Metall befindet, führen werden. Es sei noch hinzugefügt, daß das in elektrolytischen Leitern stattfindende Phänomen der Stenolyse, welches von F. BRAUN entdeckt worden ist, mit den hier beschriebenen Erscheinungen im nahen Zusammenhang zu stehen scheint.



**Bemerkungen zum Prinzip der Aktion und Reaktion  
in der allgemeinen Dynamik;  
von Max Planck.**

(Vorgetragen in der Sitzung der physikalischen Abteilung der 80. Versammlung  
Deutscher Naturforscher und Ärzte zu Cöln am 23. September 1908.)

(Vgl. oben S. 622.)

Meine Herren! Das NEWTONSche Prinzip der Gleichheit von Aktion und Reaktion hat bekanntlich zum eigentlichen Inhalt den Satz der Konstanz der Bewegungsgröße oder des Bewegungsimpulses; ich möchte daher von jenem Prinzip auch nur im Sinne dieses Satzes reden, und zwar in seiner Bedeutung für die allgemeine Dynamik, welche nicht nur die Mechanik im engeren Sinne, sondern auch die Elektrodynamik und die Thermodynamik umfaßt.

Vielen von uns ist wohl noch in Erinnerung das Aufsehen, das es erregte, als H. A. LORENTZ bei seinem Aufbau der atomistischen Elektrodynamik auf der Grundlage des ruhenden Äthers dem dritten NEWTONschen Axiom die Allgemeingültigkeit absprach, und es konnte nicht fehlen, daß dieser Umstand, so z. B. von seiten H. POINCARÉS, als ein schwerwiegender Einwand gegen die LORENTZsche Theorie geltend gemacht wurde. Eine Art Beruhigung trat erst wieder ein, als sich zeigte, besonders durch die Untersuchungen von M. ABRAHAM, daß das Reaktionsprinzip doch noch zu retten ist, und zwar in seiner vollen Allgemeinheit, falls man nur außer der bisher allein bekannten mechanischen Bewegungsgröße noch eine neue Bewegungsgröße, die elektromagnetische, einführt. ABRAHAM hat das noch näher dadurch plausibel gemacht, daß er die Erhaltung der Bewegungsgröße in Vergleich brachte mit der Erhaltung der Energie. Ebenso, wie das Energieprinzip verletzt wird, wenn man auf die elektromagnetische Energie keine Rücksicht nimmt, und erfüllt wird, wenn man diese Energieart einführt, so wird das Reaktionsprinzip verletzt, wenn man allein die mechanische Bewegungsgröße betrachtet, dagegen erfüllt, sobald man noch die elektromagnetische Bewegungsgröße berücksichtigt.

Indessen läßt dieser an sich gewiß unanfechtbare Vergleich doch noch einen wesentlichen Unterschied unberührt. Denn bei der Energie kennen wir ohnehin schon eine ganze Reihe verschiedener Arten: die kinetische Energie, die Gravitation, die elastische Deformationsenergie, die Wärme, die chemische Energie, und es bedeutet daher keine prinzipielle Neuerung, wenn man diesen verschiedenen Formen als eine weitere Form noch die elektromagnetische Energie angliedert. Dagegen bei der Bewegungsgröße kannte man bisher nur eine einzige: eben die mechanische. Während die Energie von vornherein schon einen universellen physikalischen Begriff darstellt, war die Bewegungsgröße bisher speziell ein mechanischer Begriff, das Reaktionsprinzip ein speziell mechanischer Satz, und daher mußte die als notwendig erkannte Erweiterung immerhin auch als eine Umwälzung prinzipieller Art empfunden werden, durch welche der bisher verhältnismäßig einfache und einheitliche Begriff der Bewegungsgröße einen erheblich komplizierteren Charakter erhält.

Ist es nun nicht möglich, auch vom Standpunkt der allgemeinen Dynamik aus die Definition der Bewegungsgröße, trotzdem sie jetzt sowohl die mechanische als auch die elektromagnetische Form umfaßt, dennoch ebenso einheitlich zu gestalten, wie das früher in der Mechanik geschah? Eine Bejahung dieser Frage würde jedenfalls auch zu einem Fortschritt in der Erkenntnis der eigentlichen Bedeutung des Reaktionsprinzips führen.

In der Tat scheint eine solche einheitliche Definition der Bewegungsgröße möglich und durchführbar zu sein, wenigstens wenn man zugleich die EINSTEINSche Theorie der Relativität gelten läßt<sup>1)</sup>. Nun muß allerdings hervorgehoben werden, daß diese Theorie heutzutage noch keineswegs als gesichert anzusehen ist. Allein da ihre Abweichungen von den übrigen in Betracht kommenden Theorien sich nur auf äußerst kleine Glieder beschränken, so wird man jedenfalls sagen dürfen, daß sie eben bis auf jene Abweichungen als richtig gelten kann, und insofern behalten also die folgenden Betrachtungen unter allen Umständen eine gewisse Bedeutung.

---

<sup>1)</sup> Vgl. insbesondere F. HASENÖHEL (Sitzungsbericht d. Akad. d. Wiss. zu Wien vom 31. Oktober 1907, S. 1400), der zwar nicht direkt von der Relativitätstheorie ausgeht, aber doch, soweit ich sehe, zu ganz den nämlichen Resultaten gelangt wie diese.

In der Relativitätstheorie läßt sich nun die Bewegungsgröße ganz allgemein auf denjenigen Vektor zurückführen, welcher die Energieströmung ausdrückt, aber nicht allein die POYNTINGSche elektromagnetische Energieströmung, sondern die Energieströmung ganz im allgemeinen. Vom Standpunkt der Nahwirkungstheorie aus betrachtet, kann ja eine jede Energieart nur durch kontinuierliche Fortpflanzung, nicht durch sprungweise Änderung ihres Ort im Raum verändern. Daher erfordert das Energieprinzip allgemein, daß die Änderung der gesamten in einem Raum befindlichen Energie gleich ist einem Oberflächenintegral, nämlich der algebraischen Summe der im ganzen durch die Oberfläche des Raumes einströmenden Energie. Die Strömung kann erfolgen durch Strahlung, wie beim POYNTINGSchen Vektor, durch Leitung, wie beim Druck oder Stoß und bei der Wärmeleitung, und durch Konvektion, wie beim Eintritt von ponderablen Atomen oder Elektronen durch die betrachtete Oberfläche. In jedem Falle ist die gesamte Energieströmung an jeder Stelle des Raumes, auf die Flächen- und Zeiteinheit bezogen, ein bestimmter endlicher Vektor, und der Quotient dieses Vektors durch das Quadrat der Lichtgeschwindigkeit  $c$  ist ganz allgemein die auf die Volumeneinheit bezogene Bewegungsgröße.

Nehmen wir als Beispiel eine mit der Geschwindigkeit  $q$  bewegte ponderable Flüssigkeit unter dem Drucke  $p$ . Durch ein Flächenelement  $df$  einer ruhenden normal zu  $q$  gerichteten Ebene strömt in der Zeit  $dt$  Energie durch Leitung und durch Konvektion. Die geleitete Energie ist die mechanische Arbeit:  $p \cdot df \cdot q dt$ . Die mitgeführte Energie ist:  $df \cdot \epsilon \cdot q dt$ , wobei  $\epsilon$  die Energiedichte bezeichnet. Folglich ist nach der Definition die Bewegungsgröße der Volumeneinheit:

$$\frac{(\epsilon + p)q}{c^2}.$$

Vergleicht man diesen Ausdruck mit der gewöhnlichen mechanischen Bewegungsgröße  $kq$ , wo  $k$  die Dichtigkeit der Flüssigkeit bedeutet, so findet man:

$$k = \frac{\epsilon + p}{c^2},$$

eine bekannte Beziehung der Relativitätstheorie<sup>1)</sup>.

<sup>1)</sup> Vgl. z. B. M. PLANCK, Ann. d. Phys. (4) 25, 27, 1906. Gleichung (45).

Von dem geschilderten Standpunkte aus kann das Prinzip der Gleichheit von Aktion und Reaktion ganz allgemein als der „Trägheitssatz der Energie“ bezeichnet werden.

Wir können aber noch einen Schritt weitergehen. Wie die Konstanz der Energie den Begriff der Energieströmung, so zieht notwendig auch die Konstanz der Bewegungsgröße den Begriff der „Strömung der Bewegungsgröße“, oder kürzer gesprochen: der „Impulsströmung“, nach sich. Denn die in einem bestimmten Raum befindliche Bewegungsgröße kann sich nur durch äußere Wirkungen, also nach der Theorie der Nahewirkung nur durch Vorgänge an der Oberfläche des Raumes ändern, also ist der Betrag der Änderung in der Zeiteinheit ein Oberflächenintegral, welches als die gesamte Impulsströmung in das Innere des Raumes hinein bezeichnet werden kann. Ein wesentlicher Unterschied aber gegenüber der Energieströmung liegt darin, daß die Energie ein Skalar, die Bewegungsgröße dagegen ein Vektor ist. Daher wird die in einen Raum einströmende Energie durch ein einziges Oberflächenintegral ausgedrückt, und die Energieströmung ist ein Vektor. Dagegen wird die in einen Raum einströmende Bewegungsgröße durch drei Oberflächenintegrale ausgedrückt, entsprechend den drei Komponenten der Bewegungsgröße, und die Impulsströmung an einem Orte ist ein Tensortripel, in der Bezeichnungsweise von W. VOIGT<sup>1)</sup>, charakterisiert durch sechs Komponenten.

Um eine Vorstellung von der Bedeutung dieses Tensortripels zu gewinnen, betrachten wir zuerst die mechanische Bewegungsgröße und die ihr entsprechende mechanische Impulsströmung. Der gesamte Impulsstrom in das Innere eines Raumes hinein, also die Zunahme der im Innern befindlichen Bewegungsgröße pro Zeiteinheit, ist gleich der resultierenden mechanischen Kraft, welche auf die gesamte in dem Raume befindliche Masse wirkt. Folglich ist die Impulsströmung durch ein Oberflächenelement nichts anderes als der mechanische Druck auf das Oberflächenelement, und die Komponenten desselben von der Form:

$$\begin{aligned} X_n &= X_x \cos (nx) + X_y \cos (ny) + X_z \cos (nz) \\ Y_n &= Y_x \cos (nx) + Y_y \cos (ny) + Y_z \cos (nz) \\ Z_n &= Z_x \cos (nx) + Z_y \cos (ny) + Z_z \cos (nz) \end{aligned}$$

<sup>1)</sup> Vgl. M. ABRAHAM, Enzyklopädie d. math. Wiss. IV, 14, S. 28.

wenn  $n$  die innere Normale des Oberflächenelementes bezeichnet,  $X_x, Y_y, Z_z, X_y = Y_x, Y_z = Z_y, Z_x = X_z$  sind die sechs Komponenten des Tensortripels, welches den Impulsstrom darstellt.

Ganz ebenso verhält es sich mit der elektromagnetischen Impulsströmung im Vakuum. Die Komponenten dieses Tensortripels sind nichts anderes als die bekannten MAXWELLSchen Spannungen. Ihre Integration über eine geschlossene Oberfläche liefert den gesamten Impulsstrom in das Innere und somit die Zunahme der im eingeschlossenen Raume enthaltenen gesamten mechanischen und elektromagnetischen Bewegungsgröße. Es ist bemerkenswert, wie durch diesen Satz die MAXWELLSchen Spannungen auch für die Theorie des ruhenden Äthers eine physikalische Bedeutung gewinnen. Denn als Druckkraft haben diese Spannungen in dieser Theorie keinen rechten Sinn, da man doch einer Kraft, die auf etwas absolut Unbewegliches wirkt, nicht wohl eine Bedeutung beimessen kann<sup>1)</sup>. Daß die MAXWELLSchen Spannungen sich dennoch, trotzdem sie sozusagen offiziell abgeschafft waren, in der Theorie des ruhenden Äthers behauptet haben, indem sie sich eben für gewisse Rechnungen häufig als bequemes mathematisches Hilfsmittel erwiesen, konnte schon den Gedanken nahelegen, daß ihnen doch irgendeine besondere physikalische Rolle zufällt, durch die sie auch für den ruhenden Äther legitimiert werden.

Es liegt nahe, den Begriff der Impulsströmung auch auf das Gravitationsfeld zu übertragen, wobei sich, abgesehen von dem fatalen Vorzeichen, eine bemerkenswerte Anzahl von Analogien ergeben; doch würde eine nähere Erörterung dieses Problems hier zu weit führen.

---

<sup>1)</sup> Vgl. H. A. LORENTZ, Versuch einer Theorie der elektrischen und optischen Erscheinungen, S. 28. Leiden 1895.

**Über den Einfluß der Dispersion auf  
den Gangunterschied beim Interferenzspektroskop  
nach Lummer-Gehrcke;**

von **O. v. Baeyer.**

(Mitteilung aus der Physikalisch-Technischen Reichsanstalt.)

Vorgetragen in der Sitzung der physikalischen Abteilung der 80. Versammlung Deutscher Naturforscher und Ärzte zu Cöln am 23. September 1908.)

(Vgl. oben S. 622.)

Bei der Bestimmung von Wellenlängendifferenzen mittels der Interferenzen an planparallelen Platten hat man sich bisher einer angenäherten Theorie<sup>1)</sup> bedient, bei der die Dispersion der benutzten planparallelen Platte vernachlässigt wird. Während in der Theorie des Stufengitters, die von MICHELSON<sup>2)</sup> abgeleitet wurde, dieser Punkt Berücksichtigung gefunden hat, ist dies für die Interferenzen an planparallelen Platten bisher noch nicht geschehen. Nun ist bei den planparallelen Luftplatten die Dispersion naturgemäß bedeutungslos. Auch bei den älteren ungenauen planparallelen Glasplatten ist die Vernachlässigung der Dispersion zulässig<sup>3)</sup>, bei den neueren guten Platten und insbesondere bei der Anwendung von Interferenzpunkten aber keineswegs. Die Berücksichtigung der Dispersion hat also eine praktische Bedeutung und deshalb soll im folgenden der Einfluß der Dispersion auf den Gangunterschied abgeleitet, das Ergebnis auf einige praktische Fälle angewendet werden.

Der Gangunterschied  $\gamma$  der von einer planparallelen Platte erzeugten interferierenden Strahlenbündel ist bekanntlich:

$$\gamma = 2dn \cos r = 2d \sqrt{n^2 - \sin^2 i},$$

wo

$d$  die Dicke des Glasstreifens,

$n$  der Brechungsindex,

<sup>1)</sup> O. LUMMER und E. GEHRCKE, Theorie und Leistungsfähigkeit der Dispersionsapparate hoher Auflösungskraft. *Wiss. Abh. d. Phys.-Techn. Reichsanst.* 4, Heft 1.

<sup>2)</sup> A. A. MICHELSON, *Astrophys. Journ.* 8, 36, 1898.

<sup>3)</sup> CH. FABRY und A. PEROT, *Ann. chim. phys.* (7) 16, 115, 1899.

$r$  der Winkel der Strahlen innerhalb der Platte mit der  
Plattennormale,  
 $i$  der Austrittswinkel der Strahlen.

Die Ordnungszahl  $q$  eines Interferenzstreifens ist dann

$$q = \frac{\gamma}{\lambda},$$

wo  $\lambda$  die Wellenlänge der interferierenden Strahlen ist.

Daher ist

$$q\lambda = 2dn \cos r = 2d\sqrt{n^2 - \sin^2 i}$$

oder

$$q^2\lambda^2 = 4d^2n^2 - 4d^2\sin^2 i. \quad 1)$$

Setzt man in 1) für  $q$ :  $q + 1$  ein und subtrahiert davon Gleichung 1), so ergibt sich (da 1 klein gegen  $q$ ):

$$2q\lambda^2 = -4d^2(\sin^2 i_1 - \sin^2 i) = 2\gamma\lambda, \quad 2)$$

wo  $i_1$  der zur Ordnung  $q + 1$  gehörige Austrittswinkel ist.

Läßt man andererseits in Gleichung 1)  $q$  konstant und setzt für  $\lambda$ :  $\lambda + \Delta\lambda$  ein und subtrahiert davon Gleichung 1), so ergibt sich (wenn  $\Delta\lambda$  eine gegenüber  $\lambda$  kleine Wellenlängendifferenz):

$$2q^2\lambda\Delta\lambda = 4d^2(n_{\lambda+\Delta\lambda}^2 - n_{\lambda}^2) - 4d^2(\sin^2 i_0 - \sin^2 i). \quad 3)$$

Für  $n_{\lambda+\Delta\lambda}^2 - n_{\lambda}^2$  kann man bei den sehr kleinen Wellenlängendifferenzen  $\Delta\lambda$ , die hier in Betracht kommen,  $2n\frac{dn}{d\lambda}\Delta\lambda$  setzen. Dann ergibt sich aus 2) und 3):

$$\Delta\lambda = \frac{\sin^2 i_0 - \sin^2 i}{\sin^2 i_1 - \sin^2 i} \frac{q\lambda^2}{q^2\lambda - 4d^2n\frac{dn}{d\lambda}}. \quad 4)$$

Für  $i_0 = i_1$  erhält man die Wellenlängendifferenz  $\Delta\lambda_m$ , die dem Abstand zweier Interferenzstreifen der Ordnung  $q$  und  $q + 1$  entspricht:

$$\Delta\lambda_m = \frac{q\lambda^2}{q^2\lambda - 4d^2\frac{dn}{d\lambda}n} = \frac{\lambda^2}{q\lambda - \frac{4d^2}{q}n\frac{dn}{d\lambda}}. \quad 5)$$

Setzt man in Gleichung 5)  $\frac{dn}{d\lambda} = 0$ , so ergibt sich:

$$\Delta\lambda'_m = \frac{\lambda^2}{\lambda q} = \frac{\lambda^2}{\gamma}.$$

Dies ist die sonst angewandte vereinfachte Formel. Wie man sieht, wird durch den Einfluß der Dispersion das sogenannte Dispersionsgebiet  $\Delta\lambda_m$  verkleinert (da  $\frac{dn}{d\lambda}$  negativ).

Die kleinste wahrnehmbare Wellenlängendifferenz ergibt sich aus dem Dispersionsgebiet und der Anzahl ( $p$ ) der interferierenden Strahlenbündel. Es ist nämlich

$$\Delta\lambda_{\min} = \frac{\Delta\lambda_m}{p},$$

wobei allerdings vorausgesetzt ist, daß die  $p$  interferierenden Strahlenbündel gleiche Intensität haben. Für Interferenzen an planparallelen Platten bei streifender Inzidenz ist diese Bedingung angenähert erfüllt, so daß man in diesem Falle eine obere Grenze für die Leistungsfähigkeit des Apparates aus der obigen Gleichung erhält.

Das Auflösungsvermögen wird definiert durch die Größe

$$\frac{\lambda}{\Delta\lambda_{\min}} = \frac{p\lambda}{\Delta\lambda_m}.$$

Da bei Berücksichtigung der Dispersion  $\Delta\lambda_m$  etwas kleiner ausfällt, wird das Auflösungsvermögen in diesem Falle entsprechend höher sich ergeben.

Zur Berechnung von Wellenlängendifferenzen aus den gemessenen Winkeldifferenzen ergibt sich aus Gleichung 5) und 4) folgende Gleichung:

$$\Delta\lambda = \frac{\sin^2 i_0 - \sin^2 i}{\sin^2 i_1 - \sin^2 i} \Delta\lambda_m.$$

Nach einfacher Umformung läßt sich diese Gleichung schreiben:

$$\Delta\lambda = \frac{\sin(\Delta i + 2i) \sin \Delta i}{\sin(\Delta i_m + 2i) \sin \Delta i_m} \Delta\lambda_m,$$

wo

$$\begin{aligned} \Delta i &= i_0 - i, \\ \Delta i_m &= i_1 - i \end{aligned}$$

gesetzt ist.

Aus dieser Gleichung folgt, daß für nicht zu große  $\Delta i$  und  $\Delta i_m$  bei  $i = 45^\circ$  die Wellenlängendifferenzen angenähert proportional den Winkeldifferenzen sind. Bei senkrechter Inzidenz ( $i = 0$ ) und streifender Inzidenz ( $i = 90^\circ$ ) verhalten sich dagegen die Wellenlängendifferenzen wie die Quadrate der Winkeldifferenzen.



Für die Berechnung von Wellenlängendifferenzen muß man also außer  $\lambda_m$  den zu jeder Winkeldifferenz  $i_0 - i$  gehörigen Wert des Quotienten:

$$\frac{\sin^2 i_0 - \sin^2 i}{\sin^2 i_1 - \sin^2 i}$$

kennen. Diese Berechnung läßt sich auf folgende Weise ausführen.

Aus der Ausmessung der Interferenzstreifen der Wellenlänge  $\lambda$  ergeben sich die Winkeldifferenzen für die Gangunterschiedsdifferenzen  $\lambda, 2\lambda, 3\lambda \dots$

Durch Interpolation (z. B. graphisch) kann man auch die einer anderen Winkeldifferenz  $i_0 - i$  zugehörige Gangunterschiedsdifferenz  $\alpha\lambda$  bestimmen.

Aus Gleichung 4) folgt nun

$$2\gamma\lambda = -(\sin^2 i_1 - \sin^2 i) 4d^2$$

$$2\gamma\alpha\lambda = -(\sin^2 i_0 - \sin^2 i) 4d^2,$$

daher

$$\alpha = \frac{\sin^2 i_1 - \sin^2 i}{\sin^2 i_0 - \sin^2 i}.$$

Aus dem Vorhergehenden ergibt sich, daß die nach der vereinfachten Theorie berechneten Wellenlängendifferenzen etwas zu groß ausfallen müssen. Tatsächlich zeigen alle Zahlen für Wellenlängendifferenzen, die nach der vereinfachten Formel gewonnen wurden, diese Tendenz gegenüber den Resultaten anderer Beobachter, die mit Stufengitter gearbeitet haben. Auf diese allerdings teilweise an der Fehlergrenze der Beobachtungen liegende Abweichung haben E. GEHRCKE und Verfasser<sup>1)</sup> schon in einer früheren Arbeit hingewiesen und auch schon die Möglichkeit eines systematischen Fehlers erwähnt.

In den am Schlusse folgenden Tabellen sind die mittels der Methode der Interferenzpunkte nach den neuen Formeln gewonnenen Resultate zusammengestellt und außerdem die früheren Resultate<sup>1) 2)</sup> und die Ergebnisse von JANICKI<sup>3)</sup> zum Vergleich angeführt.

Die hier zur Umrechnung verwandten Resultate der Messungen von E. GEHRCKE und O. v. BAEYER<sup>1)</sup> und von O. v. BAEYER<sup>2)</sup> sind erhalten mittels folgender planparallelen Platten:

<sup>1)</sup> E. GEHRCKE und O. v. BAEYER, Ann. d. Phys. (4) 20, 262, 1906.

<sup>2)</sup> O. v. BAEYER, Verh. d. Deutsch. Phys. Ges. 9, 88, 1907.

<sup>3)</sup> L. JANICKI, Ann. d. Phys. (4) 19, 36—79, 1906.

1. Platte *C* von ZEISS (Jena) gekreuzt mit Platte  
Dicke 5,035 mm, Länge 20 cm.
2. Platte von HILGER (London) gekreuzt mit Platte  
Dicke 9,71 mm, Länge 30 cm.

Die für die Umrechnung nötigen Konstanten der ZEISS und HILGER hat mir Herr Dr. L. JANICKI in der Weise zur Verfügung gestellt; ich möchte nicht von dieser Stelle meinen besten Dank dafür auszusprechen.

Die für einige Wellenlängen nach der HARTMAN Dispersionsformel berechneten Werte für  $\frac{dn}{d\lambda}$  und  $\Delta\lambda_m$  folgender Tabelle zusammengestellt:

| $\lambda$ Å.-E.                                     | 5790  | 5769   | 5461   | 5086  | 4678  |
|---|-------|--------|--------|-------|-------|
| $-\frac{dn}{d\lambda} \cdot 10^7$ { Zeissplatte . . | 47,0  | 47,0   | 54,1   | 64,9  | 77,0  |
| { Hilgerplatte . .                                  | 77,0  | 77,8   | 92,0   | —     | —     |
| $\Delta\lambda_m$ { Zeissplatte . .                 | 0,284 | 0,282  | 0,251  | 0,216 | 0,182 |
| { Hilgerplatte . .                                  | 0,185 | 0,184  | 0,119  | —     | —     |
| $\lambda$   | 4678  | 4359   | 4348   | 4072  | 4072  |
| $-\frac{dn}{d\lambda} \cdot 10^7$ { Zeissplatte . . | 80,9  | 97,9   | 98,6   | 117,0 | 117,0 |
| { Hilgerplatte . .                                  | —     | 194,1  | 195,9  | 248,0 | 248,0 |
| $\Delta\lambda_m$ { Zeissplatte . .                 | 0,182 | 0,156  | 0,155  | 0,119 | 0,119 |
| { Hilgerplatte . .                                  | —     | 0,0724 | 0,0721 | —     | —     |

Die Zusammenstellung der Resultate in der folgenden Tabelle zeigt, daß durch die Berücksichtigung der Dispersion die Einstimmung der Resultate eine vorzügliche geworden ist. Besonders gilt dies von den mit der vortrefflichen Methode und dem Stufengitter gewonnenen Zahlen. Bei einzelnen Linien wie 4359 und 5461, treten scheinbar etwas größere Abweichungen auf. Bei diesen Linien sind die Hauptlinien stark verbreitert, wodurch eine Unsicherheit in der Bestimmung des Standortes der Hauptlinien eintritt. Daß tatsächlich die Lage der Hauptlinien bei den einzelnen Beobachtern ebensogut übereinstimmt, wie bei den anderen untersuchten Linien, erkennt man, wenn man die

Quecksilberspektrum.  
Ångströmeinheiten.

| λ    | E. GEHRCKE und O. v. BARYER |                   |                   |                   | JANICKI                 | O. v. BARYER                 |            |
|------|-----------------------------|-------------------|-------------------|-------------------|-------------------------|------------------------------|------------|
|      | Platte<br>C und B           | Platte<br>C und D | Platte<br>C und B | Platte<br>C und D | Stufen-<br>gitter       | Hilgerplatte und<br>Platte D |            |
|      | alte Werte                  |                   | neue Werte        |                   |                         | neue Werte                   | alte Werte |
|      |                             |                   |                   |                   |                         |                              |            |
| 4047 | -0,111                      | -0,113            | -0,101            | -0,104            | -0,111                  | -0,111                       | -0,113     |
|      | -0,053                      | -0,049            | -0,048            | -0,045            | -0,051                  | -0,053                       | -0,056     |
|      | +0,077                      | +0,077            | +0,071            | +0,071            | +0,067                  | +0,066                       | +0,073     |
|      | +0,148                      | +0,138            | +0,131            | +0,127            | —                       | +0,126                       | +0,143     |
| 4078 | -0,086                      | -0,077            | -0,079            | -0,071            | -0,076                  | -0,076                       | -0,076     |
|      | -0,049                      | -0,044            | -0,045            | -0,041            | -0,046                  | -0,047                       | -0,053     |
|      | —                           | —                 | —                 | —                 | +0,032                  | +0,033                       | +0,037     |
|      | +0,050                      | +0,053            | +0,046            | +0,053            | +0,049                  | +0,048                       | +0,057     |
| 4348 | +0,7                        | +0,089            | +0,7..            | +0,081            | +0,074                  | +0,073                       | +0,082     |
|      | —                           | -0,048            | —                 | -0,044            | -0,046                  | -0,049                       | -0,054     |
|      | —                           | +0,055            | —                 | +0,051            | +0,053                  | +0,050                       | +0,056     |
|      | —                           | +0,082            | —                 | +0,076            | +0,083                  | +0,080                       | +0,088     |
| 4359 | -0,168                      | -0,171            | -0,156            | -0,159            | (-0,161)                | -0,159                       | -0,173     |
|      | (-0,112 <sup>1)</sup> )     | -0,118            | —                 | -0,109            | -0,112                  | -0,107                       | -0,115     |
|      | 0,102                       | -0,108            | -0,095            | -0,100            | -0,097                  | -0,093                       | -0,103     |
|      | —                           | —                 | —                 | —                 | -0,052                  | -0,045                       | -0,049     |
|      | —                           | -0,017            | —                 | -0,016            | -0,023                  | -0,017                       | -0,019     |
|      | —                           | —                 | —                 | —                 | —                       | +0,019                       | +0,021     |
|      | —                           | +0,027            | —                 | +0,025            | +0,020                  | +0,028                       | +0,030     |
|      | +0,045                      | +0,051            | +0,044            | +0,047            | +0,043                  | +0,044                       | +0,048     |
| 5461 | +0,118                      | +0,121            | +0,109            | +0,113            | +0,105                  | +0,114                       | +0,126     |
|      | +0,203                      | +0,202            | +0,189            | +0,188            | (+0,121 <sup>2)</sup> ) | +0,185                       | +0,204     |
|      | -0,242                      | -0,241            | -0,231            | -0,229            | -0,232                  | -0,237                       | -0,250     |
|      | -0,111                      | -0,103            | -0,106            | -0,098            | -0,099                  | -0,101                       | -0,107     |
| 5461 | -0,071                      | -0,055            | -0,068            | -0,052            | -0,066                  | -0,068                       | -0,072     |
|      | —                           | —                 | —                 | —                 | —                       | -0,049                       | -0,051     |
|      | —                           | —                 | —                 | —                 | —                       | -0,024                       | -0,025     |
|      | +0,088                      | +0,093            | +0,084            | +0,088            | +0,088                  | +0,082                       | +0,087     |
|      | +0,137                      | +0,140            | +0,132            | +0,134            | +0,133                  | +0,125                       | +0,132     |
|      | —                           | +2,...            | —                 | +2,...            | —                       | +0,211                       | +0,222     |

<sup>1)</sup> Der Wert -0,112 bei E. GEHRCKE und O. v. BARYER ist durch einen Rechenfehler bedingt.

<sup>2)</sup> Der Wert +0,121 ist irrtümlich. Wenn man richtig zuordnet, ergibt sich -0,161.

## Quecksilberspektrum (Fortsetzung).

| $\lambda$ | E. GEHRCKE und O. v. BAEYER |                   |                   |                   | JANICKI           | O. v. BAEYER                 |            |
|-----------|-----------------------------|-------------------|-------------------|-------------------|-------------------|------------------------------|------------|
|           | Platte<br>C und B           | Platte<br>C und D | Platte<br>C und B | Platte<br>C und D | Stufen-<br>gitter | Hilgerplatte und<br>Platte D |            |
|           | alte Werte                  |                   | neue Werte        |                   |                   | neue Werte                   | alte Werte |
| 5769      | —                           | —                 | —                 | —                 | — 0,113           | —                            | —          |
|           | —                           | — 0,056           | —                 | — 0,054           | — 0,050           | — 0,048                      | — 0,050    |
|           | —                           | + 0,047           | —                 | + 0,045           | + 0,046           | + 0,044                      | + 0,046    |
|           | —                           | —                 | —                 | —                 | + 0,087           | —                            | —          |
|           | —                           | —                 | —                 | —                 | + 0,120           | —                            | —          |
| 5790      | —                           | —                 | —                 | —                 | — 0,251           | —                            | —          |
|           | —                           | — 0,202           | —                 | — 0,193           | — 0,187           | — 0,18                       | — 0,19     |
|           | —                           | — 0,128           | —                 | — 0,122           | — 0,119           | — 0,122                      | — 0,127    |
|           | —                           | —                 | —                 | —                 | + 0,084           | —                            | —          |
|           | —                           | + 0,143           | —                 | + 0,136           | + 0,132           | + 0,133                      | + 0,139    |
|           | —                           | —                 | —                 | —                 | + 0,168           | —                            | —          |
|           | —                           | + 0,241           | —                 | + 0,230           | + 0,230           | + 0,228                      | + 0,237    |

Cadmiumspektrum.  
Ångströmeinheiten.

| $\lambda$ | E. GEHRCKE und O. v. BAEYER<br>Platte C und D |            | JANICKI      |
|-----------|---|------------|--------------|
|           | alte Werte                                    | neue Werte | Stufengitter |
| 4678      | — 0,058                                       | — 0,055    | — 0,056      |
|           | + 0,037                                       | + 0,035    | + 0,030      |
| 4800      | — 0,088                                       | — 0,083    | — 0,080      |
|           | — 0,041                                       | — 0,038    | — 0,034      |
|           | + 0,067                                       | + 0,063    | + 0,059      |
| 5086      | + 0,085                                       | + 0,081    | + 0,076      |
|           | —   | —          | — 0,026      |

Wismutspektrum.  
Ångströmeinheiten.

| $\lambda$ | E. GEHRCKE u. O. v. BAEYER<br>Platte C und D |            | O. v. BAEYER<br>Hilgerplatte und Platte D |            |
|-----------|--|------------|---|------------|
|           | alte Werte                                   | neue Werte | neue Werte                                | alte Werte |
| 4722      | + 0,066                                      | + 0,057    | + 0,058                                   | + 0,063    |
|           | + 0,112                                      | + 0,104    | + 0,100                                   | + 0,108    |
|           | + 0,261                                      | + 0,242    | + 0,242                                   | + 0,263    |
|           | + 0,307                                      | + 0,289    | + 0,283                                   | + 0,307    |
|           | + 0,336                                      | + 0,316    | + 0,318                                   | + 0,345    |

Hauptlinien bei den einzelnen Messungen entsprechend verschoben annimmt. So sind bei der Linie 4359 die Abweichungen der Zahlen von JANICKI und v. BAEYER im Mittel =  $0,005 \text{ \AA.-E.}$ , während durch Verschiebung der Hauptlinie in den beiden Messungen um  $0,005 \text{ \AA.-E.}$  die mittlere Abweichung nur mehr  $0,002 \text{ \AA.-E.}$  beträgt. Die Abweichungen der zueinander gehörigen Zahlen sind hier im allgemeinen kleiner als die kleinsten auflösbaren Wellenlängendifferenzen. Es folgt daraus, daß die Intensitätsverteilung in den verschiedenen Apparaten fast vollkommen der von der Theorie geforderten entsprechen muß.

---

*Das elektromagnetische Feld u  
und die Theorie des Re*

*von P. Deby*

(Vorgetragen in der Sitzung der physikalischen A  
Deutscher Naturforscher und Ärzte zu Cöln

(Vgl. oben S. 622.)

§ 1. Die übliche äußerst zweckmäßig-  
der Beugungserscheinungen, wie sie von  
KIRCHHOFF schärfer begründet wurde, be-  
allgemein anerkannt wird, aus einer e  
Verschmelzung der theoretischen Grund-  
tischen Erfahrungstatsachen. Ganz abg-  
welches unter diesen Umständen eine  
scheinungen allein aus den (MAXWELL  
der Optik ohne Hinzunahme irgendwel-  
wohl beanspruchen dürfte, sind auch  
tischer Art vorhanden, die eine solche )  
erscheinen lassen. Unter diesen möcht  
Frage nach dem Einfluß des Materia-  
nennen, wie er z. B. von GOUY<sup>1)</sup>, WIEN<sup>2)</sup>,  
beobachtet wurde, und welcher bei der  
weise, die die Schirme stets als vollko-  
setzt, natürlich aus der Betrachtung he-  
dürfte es sich zeigen, daß die direkte  
allein systematischer, sondern sogar ei-  
Schließlich sei noch hervorgehoben, )  
Wege leichter diejenigen Näherungen  
tracht kommen, sobald die Dimensio-  
nicht mehr als außerordentlich groß  
auffallenden Strahlung betrachtet wer-

<sup>1)</sup> C. R. 96, 697, 1883; 98, 1573, 1884;  
phys. (6) 8, 145, 1886.

<sup>2)</sup> Wied. Ann. 28, 117, 1886.

<sup>3)</sup> Ebenda 46, 552, 1892; 49, 593, 1893

rechnung nach der (erweiterten) gewöhnlichen Methode zum mindesten fraglich erscheint. Zwei Arbeiten in der oben angedeuteten Richtung liegen meines Wissens vor; die erste von Herrn SOMMERFELD<sup>1)</sup> verfaßte behandelt die Beugung am geradlinigen Rande eines vollkommen reflektierenden Schirmes, die zweite an die erste anschließende von Herrn SCHWARZSCHILD<sup>2)</sup> die Beugung beim Spalt. Lösungen der MAXWELLSchen Gleichungen kennt man allerdings noch in verschiedenen anderen Fällen; so behandelt z. B. RAYLEIGH<sup>3)</sup> und MIE<sup>4)</sup> das elektromagnetische Feld um kugelförmige, SEITZ<sup>5)</sup> und IGNATOWSKY<sup>6)</sup> um zylindrische Hindernisse. Die optische Verwertung der betreffenden Formeln hat aber ihre eigenartigen Schwierigkeiten. Es gelten zwar die in den genannten Arbeiten benutzten Reihenentwickelungen ganz allgemein für jedes beliebige Verhältnis Radius zur Wellenlänge; praktisch brauchbar sind dieselben nur, solange dieses Verhältnis klein gegen eins bleibt, da die Zahl der zu berücksichtigenden Reihenglieder bei abnehmender Wellenlänge immer mehr ansteigt. Ich möchte nun im folgenden zeigen, wie man unter Zuhilfenahme geeigneter Näherungsformeln für die in den oben gemeinten Reihen auftretenden Zylinderfunktionen den optischen Grenzfall sehr kleiner Wellenlänge behandeln kann. Der Kürze halber wollen wir zunächst an dem möglichst einfach gewählten Beispiel des vollkommen reflektierenden Zylinders die Methode in ihren Hauptzügen erläutern. Die wesentlichen Punkte, auf die es bei dem dielektrischen Zylinder ankommt, sollen dann im letzten Paragraphen hervorgehoben werden, wo auch auf ihren Zusammenhang mit der Theorie des Regenbogens kurz hingewiesen wird.

§ 2. Das elektromagnetische Feld um einen vollkommen reflektierenden Zylinder. Man führe um die Achse des Zylinders vom Radius  $a$  Polarkoordinaten  $r, \varphi$  ein, während die in der Richtung des Zylinders gemessene Koordinate  $z$  heiße, und bestimme die Komponenten der elektrischen bzw. magnetischen

<sup>1)</sup> Math. Ann. 47, 317, 1895.

<sup>2)</sup> Ebenda 55, 177, 1902.

<sup>3)</sup> Phil. Mag. (4) 12, 86, 1881.

<sup>4)</sup> Ann. d. Phys. (4) 25, 377, 1908.

<sup>5)</sup> Ebenda (4) 16, 746, 1905; 19, 554, 1906.

<sup>6)</sup> Ebenda (4) 18, 495, 1078, 1905.

Feldstärke, in der Richtung der wachsenden  $r$ -,  $\varphi$ -,  $z$ -Koordinaten gemessen, als reellen Teil der Größen  $R e^{i\omega t}$ ,  $F e^{i\omega t}$ ,  $Z e^{i\omega t}$  bzw.  $P e^{i\omega t}$ ,  $\Phi e^{i\omega t}$ ,  $Z e^{i\omega t}$ , wobei  $\omega$  die Anzahl Schwingungen in  $2\pi$  sec bedeutet. In den vorher genannten Arbeiten wird dann gezeigt, daß, falls die in der negativen  $x$ -Richtung einfallende Welle eine ebene geradlinig polarisierte ist, deren einzige elektrische Komponente in der  $z$ -Richtung liegt und den Wert hat:

$$Z = Z_0 = e^{ikz} \quad 1)$$

mit  $k = \frac{\omega}{c} = \frac{2\pi}{\lambda}$  ( $c =$  Lichtgeschwindigkeit,  $\lambda =$  Wellenlänge), die elektrische  $z =$  Komponente des hinzukommenden „Streufeldes“ dargestellt wird durch die Formel:

$$Z = - \sum e^{in\frac{\pi}{2}} \frac{J_n(ka)}{H_n(ka)} H_n(kr) \cos n\varphi. \quad 2)$$

Dabei bedeutet  $J_n$  die gewöhnliche BESSELsche und  $H_n$ , in der NIELSENschen Bezeichnungsweise, die zweite HANKELsche Zylinderfunktion, während das erste Glied der Summe halb zu nehmen ist.

Neben 2) möchte ich nun noch eine andere Darstellung in Integralform erwähnen, die für unsere Zwecke geeigneter erscheint und welche leicht unter Zuhilfenahme der FOURIERschen Darstellung einer willkürlichen Funktion erhalten wird; sie lautet:

$$Z = - \frac{1}{\pi} \int_{-\infty}^{+\infty} d\beta e^{ik\alpha \cos\beta} K, \quad 3)$$

wobei:

$$K = \int_0^{\infty} d\alpha \frac{H_\alpha(kr)}{H_\alpha(ka)} \cos \alpha \varphi \cos \alpha \beta. \quad 4)$$

Wie man sieht, ist die „charakteristische Funktion  $K$ “ ganz unabhängig von der Art der einfallenden Welle, sie wird nur bestimmt durch die Eigenschaften des Zylinders. Man überzeugt sich z. B. leicht, daß die einzige Änderung beim Übergang vom vollkommen reflektierenden zum dielektrischen Zylinder darin besteht, daß in  $K$  die Größe  $\frac{1}{H_\alpha(ka)}$  ersetzt wird durch

$$\frac{n J'_\alpha(nka) - i J_\alpha(nka) \cos \beta}{n H_\alpha(ka) J'_\alpha(nka) - H'_\alpha(ka) J_\alpha(nka)}, \quad 5)$$

wenn  $n$  den Brechungsindex bedeutet.



Die Schwierigkeit, an der die Diskussion der Formeln bis jetzt scheiterte, tritt ebenso in der Integraldarstellung auf wie in der Reihenentwicklung; in beiden Fällen durchläuft nämlich der Index der Zylinderfunktionen sowohl Werte, die klein, wie auch solche, die vergleichbar und groß sind gegen das Argument  $ka = 2x \frac{a}{\lambda}$ , das ja in den Fällen der Optik selbst eine große Zahl ist. Angesichts dieser Verhältnisse liegt es nun nahe, die Konstruktion von Näherungsformeln zu versuchen, die die Zylinderfunktionen asymptotisch ersetzen können für große Werte des Arguments bei beliebig veränderlichen Werten des Index. Solche Näherungsfunktionen, die in der Form semikonvergenter Reihen erscheinen und von denen die bekannten HANKELschen Entwicklungen einen Spezialfall bilden, habe ich nun in meiner Münchener Dissertation<sup>1)</sup> abgeleitet; das Resultat ist, was die erste Näherung anbelangt, folgendes:

Solange der Index  $\alpha$  kleiner ist als das Argument, gilt für unendlich wachsende Werte des letzteren:

$$H_\alpha(x) = \sqrt{\frac{2}{\pi x \sin \tau}} e^{i\frac{\pi}{4}} e^{-ix(\sin \tau - \tau \cos \tau)}, \quad 6)$$

wenn man den Hilfswinkel  $\tau$  definiert durch die Formel:

$$\cos \tau = \frac{\alpha}{x}; \quad 6')$$

ebenso gilt für die gewöhnliche BESSELsche Funktion:

$$J_\alpha(x) = \sqrt{\frac{2}{\pi x \sin \tau}} \cos \left[ x(\sin \tau - \tau \cos \tau) - \frac{\pi}{4} \right] \quad 7)$$

Wird der Index größer als das Argument, so gelten ähnliche Formeln, die zeigen, daß beide Funktionen mit wachsendem  $x$  wie eine Exponentialfunktion verschwinden.

Daraufhin wird man zunächst die Integration in 4) nur bis  $\alpha = ka$  auszudehnen brauchen, auch wird man, wenn man sich in genügendem Abstand vom Zylinder befindet, ( $r \gg a$ )  $H_\alpha(kr)$  durch ihren (HANKELschen) Näherungswert

$$H_\alpha(kr) = \sqrt{\frac{2}{\pi kr}} e^{i\frac{\pi}{4}} e^{-ikr} e^{i\frac{\pi}{2}\alpha} \quad 8)$$

<sup>1)</sup> Über den Lichtdruck auf Kugeln von beliebigem Material.

für den Fall  $a \ll kr$  ersetzen können. Die Funktion 4) nimmt dann die Form an:

$$K = \rho \sqrt{\frac{a}{r}} e^{-ikr} \int_0^{\pi/2} e^{i\rho(\sin \tau - \tau \cos \tau)}$$

$$\cos(\rho \varphi \cos \tau) \cos(\rho \beta \cos \tau) e^{i\frac{\pi}{2}\rho \cos \tau} \sin$$

wobei  $\rho = ka$  gesetzt wurde.

Drückt man noch das Produkt

$$e^{i\frac{\pi}{2}\rho \cos \tau} \cos(\rho \varphi \cos \tau) \cos(\rho \beta \cos$$

in bekannter Weise durch die Summe von Funktionen aus, so sieht man, daß die charakteristisch sich aufbaut aus vier Integralen vom Typus

$$\int_0^{\pi/2} e^{i\rho \varphi(\tau)} \psi(\tau) d\tau,$$

wobei  $\rho = 2\pi \frac{a}{\lambda}$  eine sehr große Zahl ist und

$\psi(\tau)$  mit  $\tau$  langsam veränderliche Funktionen; näherungsweise Auswertung eines solchen Integrals einfachster Weise folgendermaßen: man führe zu als neue Variable ein, das Integral nimmt dann

$$\int_{\varphi(0)}^{\varphi(\pi/2)} e^{i\rho t} \frac{\psi(\tau)}{\varphi'(\tau)} dt,$$

wobei wieder  $\frac{\psi(\tau)}{\varphi'(\tau)}$  eine langsam veränderliche

bedeutet. Solange nun im vorgeschriebenen Intervall  $\varphi'(\tau)$  nicht verschwindet, bleibt der Faktor  $\frac{\psi}{\varphi}$

dann verschwindet das Integral bekanntlich vor

weil die Funktion  $e^{i\rho t}$  um so schneller oszilliert. Wird indessen  $\varphi'(\tau)$  einmal Null im Intervall,

Stelle  $\tau = \tau_0$  wie  $(\tau - \tau_0)^{2-1}$ , so wird dort

und die Umgebung dieser Stelle liefert den

Integral, welches jetzt nur mehr von der Ordnung  $\varrho^{-\frac{1}{2}}$  verschwindet. Man erhält den fraglichen Wert, indem man  $\frac{\psi(\tau)}{\varphi'(\tau)}$  in der Umgebung der Stelle  $\tau_0$  nach Potenzen von  $t - t_0$  [mit  $t_0 = \varphi(\tau_0)$ ] entwickelt und die Integrationsgrenzen ins Unendliche verlegt. Da

$$t = \varphi(\tau) = \varphi(\tau_0) + \frac{(\tau - \tau_0)^2}{2} \varphi''(\tau_0) + \dots, \quad 12)$$

so erhält man in erster Näherung:

$$\frac{\psi(\tau)}{\varphi'(\tau)} = \frac{\psi(\tau_0)}{(\tau - \tau_0) \varphi''(\tau_0)} = \frac{\psi(\tau_0)}{\sqrt{2} \varphi''(\tau_0)} \frac{1}{\sqrt{t - t_0}}, \quad 13)$$

womit dann der fragliche Wert zurückgeführt ist auf das Integral:

$$\int_{t_0}^{\infty} e^{i \varrho t} \frac{dt}{\sqrt{t - t_0}} = e^{i \varrho t_0} \sqrt{\frac{\pi}{i \varrho}}. \quad 14)$$

Bedenkt man, daß in den Teilintegralen von 9) im Exponenten die Integrationsvariable  $\beta$  vorkommt, die von  $-\infty$  bis  $+\infty$  gehen kann, so sieht man, daß es von dem jeweiligen Werte dieser Größe abhängen wird, ob die charakteristische Funktion endlich ist oder wie  $\sqrt{\varrho}$  mit wachsendem  $\varrho$  unendlich wird. Die Ausrechnung ergibt nun das Resultat: geht man auf der  $\beta$ -Achse von  $-\infty$  bis  $+\infty$ , so ist die Funktion  $K$  im allgemeinen endlich für endliche Werte von  $\beta$ , nur für

$$-\varphi - \pi/2 < \beta < -\varphi + \pi/2$$

und

$$\varphi - \pi/2 < \beta < \varphi + \pi/2$$

verhält sie sich wie  $\sqrt{\varrho}$ . Im ersten Intervall hat sie den Wert

$$K = \frac{1}{2} \sqrt{\frac{a}{r}} e^{-i(kr + \frac{\pi}{4})} \sqrt{\frac{\pi \varrho}{2}} e^{i \varrho \cos(\varphi + \varphi)} \cos(\beta + \varphi) \quad 15)$$

und im zweiten

$$K = \frac{1}{2} \sqrt{\frac{a}{r}} e^{-i(kr + \frac{\pi}{4})} \sqrt{\frac{\pi \varrho}{2}} e^{i \varrho \cos(\beta - \varphi)} \cos(\beta - \varphi). \quad 15')$$

In erster Näherung ist also  $K$  eine unstetige Funktion, deren Werte wir nur in den genannten Gebieten in Betracht zu ziehen brauchen.

Setzt man nun die eben angegebenen Werte 15) und 15') in 3) ein, so erhält man die  $Z$ -Komponente wieder in Form eines Integrals vom Typus 10), das genau in der vorher angegebenen Weise ausgewertet wird und das Resultat liefert:

$$Z = - \sqrt{\frac{a \cos \varphi/2}{2r}} e^{-ik(r-2a \cos \varphi/2)}. \quad 16)$$

Man überzeugt sich leicht, daß 16) übereinstimmt mit dem, was man nach den Gesetzen der geometrischen Optik erwarten muß. Überdies zeigt aber die Integraldarstellung, daß in der Nähe von  $\varphi = \pi$  der Exponent von  $e$  auch für große Werte von  $\rho$  keine große Zahl ist, so daß hier der Wert des Integrals anders bestimmt werden muß; dies entspricht den Beugungserscheinungen an der Schattengrenze. Schließlich sei nochmals hervorgehoben, daß die Wertbestimmung 15) und 15') für  $K$  ganz unabhängig von der Art der einfallenden Welle ist, deren Beschaffenheit erst bei der Ausrechnung des zweiten Integrals 3) in Frage kommt und z. B. bei der vorher betrachteten ebenen Welle durch den angegebenen Integranden  $e^{i\rho \cos \beta}$  repräsentiert wird.

§ 3. Der dielektrische Zylinder. Der einzige Unterschied gegen den vollkommen reflektierenden Zylinder besteht, wie im vorigen Paragraph angegeben, darin, daß in der charakteristischen Funktion

$$\frac{1}{H_a(\rho)} \left( \rho = ka = 2\pi \frac{a}{\lambda} \right)$$

ersetzt wird durch den Ausdruck 5). Mit demselben Recht wie vorher, wird man jetzt bei der Ausrechnung von  $K$  wieder nur bis  $\alpha = \rho$ , d. h.  $\tau = 0$  integrieren und die Zylinderfunktionen durch ihre Näherungen ersetzen. Der Ausdruck 5) nimmt dann die Form an:

$$\sqrt{\frac{\pi \rho \sin \tau}{2}} e^{i\left(\rho r - \frac{\pi}{4}\right)} \frac{(n \sin \tau_1 - \cos \beta) - (n \sin \tau_1 + \cos \beta) e^{-2i\left(n\rho r_1 - \frac{\pi}{4}\right)}}{(n \sin \tau_1 + \sin \tau) - (n \sin \tau_1 - \sin \tau) e^{-2i\left(n\rho r_1 - \frac{\pi}{4}\right)}} \quad 17)$$

\*

wenn man neben dem durch  $\cos \tau = \frac{\alpha}{\rho}$  definierten Winkel  $\tau$  noch den durch  $\cos \tau_1 = \frac{\alpha}{n\rho}$  definierten Winkel  $\tau_1$  einführt und zur Abkürzung setzt:

$$f = \sin \tau - \tau \cos \tau, f_1 = \sin \tau_1 - \tau_1 \cos \tau_1. \quad (17)$$

Da  $\frac{n \sin \tau_1 - \sin \tau}{n \sin \tau_1 + \sin \tau}$  im ganzen Integrationsintervall kleiner als 1 bleibt, liegt es nahe, den Bruch nach Potenzen der Größe

$$\frac{n \sin \tau_1 - \sin \tau}{n \sin \tau_1 + \sin \tau} e^{-2i(n \rho f_1 - \frac{\pi}{4})}$$

zu entwickeln und dann die auftretende Reihe gliedweise auszuwerten. Dieses geschieht nach dem Schema des vorigen Paragraphen, da die Glieder alle dem Typus 10) angehören. Man kann sich nun überzeugen, daß die verschiedenen Glieder Werte für die Z-Komponente erzeugen, die den aufeinander folgenden Reflexionen und Brechungen entsprechen, mit denen man in der geometrischen Optik rechnet. Zugleich sind natürlich Intensität und Polarisationszustand zahlenmäßig festgelegt. Es möge hier unterbleiben, das Gesagte näher auszuführen und zu begründen, es soll nur noch kurz gezeigt werden, wie auch die Erscheinungen des Regenbogens sich schon in dem Verhalten der charakteristischen Funktion ankündigen. Betrachtet man z. B. das zweite Glied der Reihe und bildet nach 13) den zweiten Differentialquotienten des Exponenten nach  $\tau$  genommen, so sieht man, daß derselbe sich bewegt zwischen den Größen

$$1 \quad \text{und} \quad 1 - \frac{2}{n},$$

während  $\beta$  dasjenige Intervall durchläuft, in dem die charakteristische Funktion sich wie  $\rho^{1/2}$  verhält und deshalb zu berücksichtigen ist. Sobald also  $n < 2$  ist, wird in diesem Intervall

$\varphi''(\tau_0)$  einmal Null. Da nach 13) die Größe  $\frac{1}{\sqrt{\varphi''(\tau_0)}}$  als Faktor

bei  $K$  vorkommt, so würde das heißen, daß in dem betrachteten Intervall die charakteristische Funktion einmal unendlich wird. Diesem Verhalten entspricht eine unendliche Anhäufung der

1908.]

P. Debye.

Energie, die man auch aus der geometrischen C  
tung des ersten Regenbogens ableiten würde. D  
indessen, daß die so geführte Rechnung falsch  
Wirklichkeit für das Integral in  $K$  ein Verhalt  
genauere Diskussion der Verhältnisse in der u  
gebung dieser Stelle liefert dann weiter die  
nungen, wie diese als sogenannte sekundäre B  
achtet werden.

Schließlich sei noch hervorgehoben, daß die  
Kugeln in der analogen Form ohne Schwierig

---

***Spektralanalytische Untersuchung der magnetischen  
Felder auf der Sonne;***

**von P. Zeeman.**

(Vorgetragen in der Sitzung der physikalischen Abteilung der 80. Versammlung  
Deutscher Naturforscher und Ärzte zu Cöln am 23. September 1903.)

(Vgl. oben S. 622.)

Ich möchte eine kurze Mitteilung machen aus Anlaß von Untersuchungen, die Professor HALE in Mount Wilson Solar Observatory, Kalifornien, gemacht hat über die magnetische Spaltung der Sonnenfleckenlinien. Über diesen Gegenstand ist bisher nur sehr wenig veröffentlicht worden. Ein Aufsatz von HALE ist im Auszug in der englischen Zeitschrift „Nature“, No. 2025, mitgeteilt, und in derselben Nummer von „Nature“ befindet sich eine Notiz von mir, worin ich auf Wunsch von Prof. HALE meine Meinung sage über einige photographische Aufnahmen, die er mir zugesandt hatte, und die sich auf das Spektrum der Sonnenflecken beziehen.

Vor einiger Zeit hat HALE sehr schöne Photographien erhalten (Contributions Mount Wilson Observatory, Nr. 20), welche die Existenz von Wirbelbewegungen in der Umgebung der Sonnenflecken beweisen, und er hat die Vermutung ausgesprochen, daß in diesen Wirbeln elektrische Ströme mit herumkreisen. Ein System solcher Ströme würde dann ein magnetisches Feld verursachen, mit Kraftlinien senkrecht zur Ebene des Wirbels. Ein Sonnenfleck in der Mitte der Sonnenscheibe wird uns demnach Licht zustrahlen parallel den Kraftlinien.

Jetzt gehen wir ins Laboratorium. Seit 1896 wissen wir, daß die Spektrallinien einer Lichtquelle im magnetischen Felde parallel den Kraftlinien Dupletts werden. Wenigstens gilt dies im einfachsten von der LORENTZschen elementaren Theorie vorausgesehenen Fall. Die Linien des Dupletts sind entgegengesetzt zirkular polarisiert. Kurz bezeichnen wir diesen Fall nach der Terminologie des Herrn VOIGT als Longitudinaleffekt. Der Transversaleffekt wird beobachtet in der Richtung senkrecht zu den Kraftlinien.

Man kann bekanntlich die entgegengesetzt zirkularen Schwingungen des Dupletts mit einem FRESNELschen Rhombus in normal zueinander orientierte geradlinige verwandeln. Mit einem Nicol kann man dann entweder die eine oder die andere Linie auslöschen.

Ist das magnetische Feld nicht gleichförmig oder ist die Lichtquelle nicht homogen, so werden nur die Ränder der verbreiterten Linie die Zirkularpolarisation zeigen.

Prof. HALE hat nun nach dieser charakteristischen Erscheinung gesucht, bei den Doppellinien oder den verbreiterten Linien der Sonnenflecken, indem er den FRESNELschen Rhombus mit Nicol vor den Spalt seines Spektroskops brachte.

Ich möchte Ihnen schon jetzt ein paar Vergrößerungen projizieren, welche ich von der ursprünglichen Aufnahme von HALE gemacht habe.

In der Mitte des Bildes sehen Sie das Sonnenfleckenspektrum nach der Analyse mit Rhombus und Nicol. Als Vergleichsspektren befinden sich oben und unten das Penumbra- und Photosphärenspektrum. Die durch einen Punkt bezeichnete Linie hat die Wellenlänge 6302,7. Es ist eine Eisenlinie. Die Distanz der beiden dunkeln Linien ist fast genau 1 Ängström-Einheit.

Rechts sind die größeren Wellenlängen. Sie sehen, daß wirklich die bezeichnete Linie nach Violett dunkel ist.

Die dünnen vertikalen Linien sind atmosphärische Linien; glücklicherweise zeigt sich hier kein Effekt. Jetzt wird der Nicol gedreht zwischen 90° und 45°. War die bezeichnete Linie soeben nach Violett dunkel, jetzt ist sie es nach Rot.

Hiermit ist die Zirkularpolarisation bewiesen.

Ein zweites Beispiel gibt uns die Linie 6363,1. Hier zeigen sich die Erscheinungen noch deutlicher als soeben. Es fallen aber hier eine Cr- und Fe-Linie übereinander.

HALE hat bei sehr vielen Fleckenlinien den Effekt beobachtet, z. B. zwischen 6230 und 6241 bei 30 Linien. Es gibt aber merkwürdige Ausnahmen. Die Einzelheiten kann ich nicht erwähnen.

Die geschilderten Erscheinungen werden beobachtet, falls der Sonnenfleck sich in der Nähe der Mitte der Sonnenscheibe befindet.



Man kann noch wichtige Fragen stellen:

Wird es möglich sein, auch den Transversaleffekt, wobei die Linien linear polarisiert sind, zu beobachten? Offenbar muß dann der Fleck am Rande der Sonne sich befinden.

Wird wirklich die Polarität der Zirkularpolarisation umgekehrt, falls die Drehungsrichtung des Wirbels umgekehrt wird?

Die Antwort auf diese Fragen ist noch sehr neu, sie wird gegeben in einer Depesche von HALE, welche ich vorgestern Nacht erhielt. Die Depesche lautet: *Vortices rotating opposite directions show opposite polarities; spot lines near limb plane polarized.*

Es ist also in den Sonnenflecken der Transversaleffekt beobachtet worden; und weiter bei Umkehrung der Rotationsrichtung des Wirbels wird das magnetische Feld der Flecke umgekehrt.

Meine Herren! Gleich nachdem ich die Negative HALEs gesehen hatte und die Notiz in der „Nature“ schrieb, war ich davon überzeugt, daß Prof. HALE einen durchschlagenden Beweis dafür gab, daß Sonnenflecke intensive Magnetfelder sind.

Jetzt, nachdem sich die Beweise, ich darf wohl sagen, vielfach haben, hoffe ich, daß Sie alle von der Realität der so überaus schönen und wichtigen Entdeckung HALEs überzeugt sind.

Als ich vorgestern Abend HALE eine Depesche schickte, worin ich ihm mitteilte, ich möchte der Deutschen Naturforscherversammlung etwas über die magnetische Spaltung in den Sonnenflecken erzählen, erhielt ich eine zustimmende Antwort, die auch die oben mitgeteilten neuen Tatsachen enthielt.

Offenbar legt HALE, ebenso wie ich, hohen Wert darauf, daß über den Gegenstand, worüber wir handeln, berichtet wird in dem Lande, wo die große Fundamentalwahrheit gefunden ist, welche den Namen KIRCHHOFFS unsterblich gemacht.

---

*Demonstration einer neuen Saug- und  
Druckluftpumpe nach Gaeде;  
von Georg Meyer.*

(Vorgetragen in der Sitzung der physikalischen Abteilung der 80. Versammlung  
Deutscher Naturforscher und Ärzte zu Cöln am 23. September 1908.)

(Vgl. oben S. 622.)

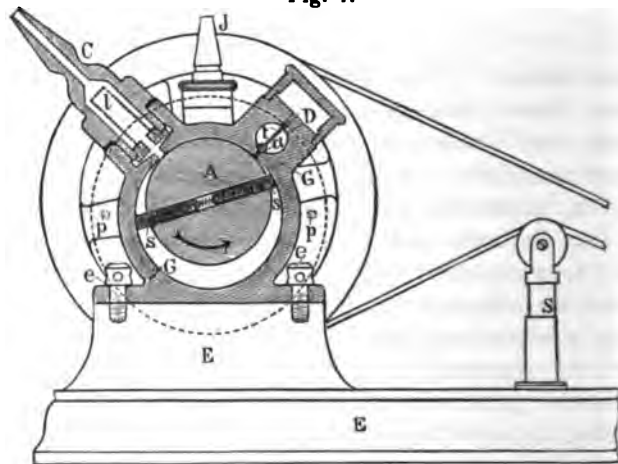
Meine Herren! Ich möchte Ihnen heute eine neue Luftpumpe vorführen. Diese Pumpe ist von Dr. GAEDE zunächst zur bequemen Erzeugung des Vorvakuums bei seiner rotierenden Quecksilberluftpumpe konstruiert worden. Sie eignet sich aber hervorragend für alle im physikalischen Laboratorium und Auditorium vorkommenden Versuche und wird daher sicher Ihr Interesse gewinnen. Sie sehen hier, daß die Pumpe wenig Raum einnimmt; der kleine Antriebsmotor ist zusammen mit dem Pumpwerkchen auf einer gemeinsamen Grundplatte montiert, so daß der ganze Apparat ein handliches Ganzes bildet. Die Stärke des Motors beträgt etwa  $\frac{1}{10}$  PS. und er läßt sich leicht an jede Lichtleitung anschließen, da sein Stromverbrauch minimal ist (bei 110 Volt etwa 1 Amp.).

Der Hauptvorteil dieser Kapselpumpe besteht aber in der glänzenden Wirkung, und ich will Ihnen davon sogleich einen Beweis liefern. Die Pumpe ist mit einem Rezipienten von vier Liter Inhalt verbunden. Das darin angebrachte Manometer zeigt, wie das Vakuum fortschreitet und gestattet ohne weiteres einen Vergleich mit anderen Systemen.

Auf welche Weise diese Leistung erzielt wird, will ich Ihnen kurz an der Hand einer Konstruktionszeichnung erläutern. Die Fig. 1 stellt einen Schnitt senkrecht zur Achse, und Fig. 2 den vertikalen Schnitt längs der Achse dar. In dem durch die Platte *P* luftdicht abgeschlossenen zylindrischen Raume dreht sich exzentrisch gelagert der massive Zylinder *A*, und zwar in dem Drehungsinne, den der Pfeil angibt. Die mit *C* bezeichnete Öffnung dient zum Anschluß an den Rezipienten. Zum

Schutz gegen das Eindringen von Fremdkörperchen ist bei *l* ein feinmaschiges Drahtsieb angebracht. Der massive Stahlzylinder *A* enthält zwei Schieber *s*, welche radial angeordnet sind und durch Federkraft auseinander gepreßt werden. Sie legen sich daher mit Druck an die Gefäßwandung an und schließen auch mit den ebenen Begrenzungsflächen des zylindrischen Hohlraumes dicht ab, so daß sie den sichelförmigen leeren Raum in zwei Teile teilen. Bei der Drehung drücken nun die Schieber abwechselnd den ganzen

Fig. 1.



Luftinhalt des Hohlraumes dem Ventil *D* zu, indem sie gleichzeitig hinter sich eine Luftleere erzeugen, welche durch die Bohrung *C* dem Rezipienten die Luft entnimmt.

Das Ventil *D* öffnet sich schon bei geringem Überdruck und läßt die Luft durch den Kanal *k*, der durch Zirkularprojektion in dem Längsschnitt sichtbar gemacht und deshalb punktiert angedeutet ist, in das Gefäß *O* gelangen. Hier laufen die von dem Luftstrom mitgerissenen Öltröpfchen an der inneren Wandung ab und sammeln sich unten im Becken *O*, welches zugleich als Ölbehälter für die selbsttätige Schmierung dient. Die Luft entweicht durch die Öffnung *J*. Etwa mit dem Luftstrom eingesangte Feuchtigkeit vermischt sich mit dem Öl und sammelt sich mit diesem in dem Behälter *O*. Die Feuchtigkeit setzt sich infolge ihrer spezifischen Schwere unterhalb des Ölvorrates ab, und wird

so für den weiteren Betrieb unschädlich; denn das umlaufende Öl wird von der Oberfläche entnommen.

Die konstruktive Anordnung läßt leicht erkennen, daß sich das Kapselwerk wie zum Saugen auch zum Drücken verwenden lassen muß, indem man in die Öffnung *C* die atmosphärische Luft frei eintreten läßt, und den Druckluftstrom bei dem Auslaß *J* entnimmt. Auch das will ich Ihnen in einigen Experimenten zeigen.

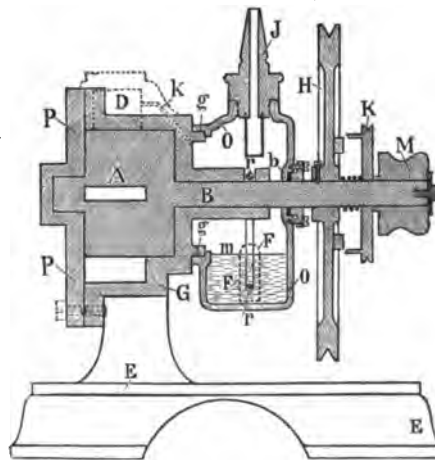
Um die Kapselpumpe als Vorpumpe für GAEDES rotierende Quecksilberluftpumpe zu gebrauchen, ist ein Schnurlauf *K* vorgesehen, welcher mit der Gaedepumpe durch einen Rundriemen verbunden wird. Er sitzt mit leicht ein- und ausschaltbarer Reibungskuppelung auf der Achse des Pumpwerkes. Zum Betriebe der Gaedepumpe hat man also zuerst den Motor einzuschalten und zu warten, bis das Manometer an der Pumpenarmatur ein genügendes Vakuum zeigt. Dann rückt man die Kuppelung ein, und die Quecksilberpumpe ist in Betrieb.

Sie sehen hier ein solches Aggregat rotierender Luftpumpen zusammengestellt. Das von der Kapselpumpe geleistete Vakuum ist an der äußeren Quecksilbersäule des Ventilmanometers, das von der Quecksilberpumpe geleistete an dem Stande des

Quecksilbers in dem inneren Röhrchen zu erkennen. Ein besseres Urteil über das Feinvakuum hat man durch die Entladungserscheinungen. Deshalb ist hier ein Universalentladungsrohr aufgesetzt, durch welches der sekundäre Strom eines Induktoriums geht. Das Arbeiten gestaltet sich auf diese Weise sehr bequem.

Einen Versuch über latente Verdampfungswärme, der sonst leicht mißlingt, will ich Ihnen mit der neuen Kapselpumpe noch demonstrieren. Derselbe zeigt auch, daß die Pumpe Wasser-

Fig. 2.



dämpfe verträgt. Der obere Behälter dieses Glasapparates ist mit etwas Wasser, der untere Raum mit konzentrierter Schwefelsäure gefüllt. Im Vakuum geschieht das Verdampfen des Wassers mit solcher Heftigkeit, daß dessen Temperatur, auf deren Kosten die Verdampfung vor sich geht, bis zum Gefrierpunkt sinken kann. Wir werden hier also die Eisbildung beobachten können.

Nun zeige ich Ihnen die Wirkung der Kapselpumpe als Druckluftpumpe in einigen Anwendungen. Zunächst habe ich hier einen kleinen Ball, den ich auf dem Luftstrahl tanzen lassen will, wie man ein Ei od. dgl. auf einem Wasserstrahl tanzen läßt. Von größerem physikalischen Interesse ist der Versuch, den Luftstrahl aus einer Ebene austreten zu lassen. Sie sehen hier die bekannte paradoxe Erscheinung, daß der Ball vom Druckstrom angezogen wird.

Ferner kann man einen Gebläsebrenner mit dem Luftstrom der Pumpe versorgen. Zu diesem Zwecke hat Dr. GAERDE einen besonderen Injektor angegeben, welcher ähnlich wie ein Bunsenbrenner benachbarte Luft mit in den Strom hineinzieht, und so die geförderte Luftmenge vergrößert. Der Luftinjektor ist auch bei der Benutzung des Luftstromes für akustische Demonstrationen (Pfeifen, Sirenen usw.) von Vorteil.

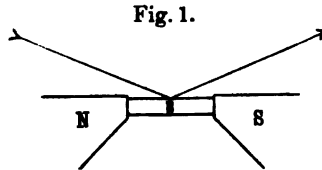
***Eine Einwirkung natürlich aktiver Körper auf das  
an ihnen reflektierte Licht  
(nach Beobachtungen von K. Försterling);  
von W. Voigt.***

(Vorgetragen in der Sitzung der physikalischen Abteilung der 80. Versammlung Deutscher Naturforscher und Ärzte zu Cöln am 23. September 1908.)

(Vgl. oben S. 622.)

Die bekannten Beobachtungen von KERR, die später von RIGHI, SISSINGH, DUBOIS, DRUDE, ZEEMAN u. A. erweitert worden sind, haben einen Einfluß der magnetischen Rotationspolarisation auf das an den aktiven Körpern reflektierte Licht sicher gestellt.

Ein spezieller Fall, den ich denjenigen der meridionalen Beobachtung nenne, sei besonders hervorgehoben. Hier handelt es sich um einen Spiegel  $s$  aus einem ferromagnetischen Metall, der zwischen den Polen  $N$ ,  $S$  eines Magneten befestigt ist, und um Licht, das in einer Ebene reflektiert wird, welche den Kraftlinien parallel liegt. Ist das einfallende Licht parallel oder normal zur Einfallsebene polarisiert und ist der Analysator vor der Erregung des Magneten auf dunkel gestellt, so tritt bei Erregung Aufhellung ein. Dies deutet auf das Auftreten einer zu der einfallenden Schwingung normalen Komponente im reflektierten Lichte, die in der Literatur als KERRSche Komponente bezeichnet wird.



Die KERRSche Komponente ist auch unter den günstigsten Verhältnissen außerordentlich klein; sie erreicht kaum  $\frac{1}{100}$  der zur einfallenden parallelen, reflektierten Komponente; ihre Intensität bleibt sonach unter  $\frac{1}{10\,000}$  der einfallenden, und ihre Untersuchung bildet ein sehr schwieriges Problem.

Ähnliche Wirkungen, wie die beschriebene, werden bei andersartigen Magnetisierungen beobachtet. Die Abhängigkeit der

Amplitude und der Phase der KERRschen Komponente von der Magnetisierungsrichtung, sowie von dem Einfallswinkel sind sehr kompliziert; um ihre vollständige Theorie ist lange gekämpft worden. Ansätze von DRUDE haben keine Übereinstimmung mit der Beobachtung gegeben, solche von GOLDHAMMER und LEATHAM sind gut bestätigt worden. Die allgemeine (Elektronen-)Theorie der magnetischen Erscheinungen, die ich vertreten habe, stimmt in ihren Resultaten mit denen von LEATHAM und GOLDHAMMER merklich überein.

Die Vergleichung mit der Beobachtung leidet unter der prinzipiellen Schwierigkeit, daß die allgemeine Theorie der Metallreflexion noch nicht ganz abgeschlossen ist. Wir kennen die Gesetze dieser Erscheinung sehr genau für eine bestimmte Farbe, aber die Dispersionsgesetze sind noch nicht recht klar. Während bei selektiv absorbierenden Medien die Darstellung von Absorption und Brechungsindex mit Hilfe der bekannten zuerst von MAXWELL und HELMHOLTZ gegebenen, von DRUDE aus der Elektronentheorie gewonnenen Formeln in sehr befriedigender Weise geschieht, ist Analoges bezüglich der Metalle bisher noch nicht gelungen.

Nun verhält sich die Substanz des magnetisch erregten Spiegels (bei KERR) bekanntlich durchaus analog einem natürlich aktiven Körper. In jeder Richtung, die nicht allzuweit von derjenigen der Kraftlinien abweicht, pflanzen sich zwei in Annäherung zirkular schwingende Wellen fort. Es war also sicher zu erwarten, daß auch das an natürlich aktiven Körpern reflektierte Licht ein Kerrphänomen zeigen mußte. Nach demselben ist mehrfach, aber bisher vergeblich gesucht worden, und die Theorie läßt auch erkennen, daß die Wirkung der Aktivität in dem Falle natürlich drehender Körper im allgemeinen sehr klein sein muß; bleibt doch auch die natürliche Drehung stets weit hinter der erreichbaren magnetischen in Eisen, Nickel, Kobalt zurück.

Der Nachweis einer solchen Wirkung der natürlichen Aktivität auf das reflektierte Licht würde nun aber doch einiges Interesse haben. Einmal würde dadurch überhaupt eine neue Prüfung der Theorie der natürlich drehenden Körper gewonnen werden, und diese Theorie steht noch keineswegs so fest, daß

eine solche Prüfung nicht erwünscht wäre. Sodann aber könnte eine Vergleichung mit der Theorie auch in weiterem Umfange, als bei dem Kerreffekt, vorgenommen werden, weil, wie gesagt, bei den selektiv absorbierenden Medien die Gesetze von Dispersion und Absorption (welche auch der Theorie der Aktivität zugrunde zu legen sind) ziemlich vollständig bekannt sind. Dies hat mich veranlaßt, das Problem der Einwirkung der natürlichen Aktivität eines nicht metallisch absorbierenden Körpers nochmals und auf neue Weise der Untersuchung zu unterwerfen.

Ich ging dabei von der bekannten Erfahrung aus, daß die Dispersion und ebenso die Doppelbrechung eines Mediums außerordentlich stark wirksam wird, wenn der Lichtstrahl die Grenzfläche nahe bei dem Winkel der beginnenden totalen Reflexion durchsetzt. Diese Tatsache beruht darauf, daß in der aus dem Brechungsgesetz  $\sin \varphi = n \sin \psi$  folgenden Gleichung:

$$\cos \varphi \delta \varphi = n \cos \psi \delta \psi,$$

$\delta \psi$  unendlich groß werden muß, wenn  $\cos \psi$  verschwindet. Es war demgemäß denkbar, daß auch die Wirkung der zirkularen Doppelbrechung auf das reflektierte Licht ausnahmsweise stark werden möchte, wenn die Reflexion in der Nähe der beginnenden totalen Reflexion stattfände.

Einer meiner Schüler, Herr FÖRSTERLING, hat die betreffende Rechnung auf Grund der von mir aufgestellten Differentialgleichungen für natürlich aktive Körper durchgeführt.

In dem Grenzfall, daß von den beiden in dem aktiven Medium fortgepflanzten Wellen die eine parallel der Grenze fortläuft (d. h. eben total reflektiert), die andere aber noch ganz flach eindringt, ist die Rechnung, wie das Resultat, sehr einfach. Man erhält hier für die Amplitude  $R_p$  der KERRschen Komponente, die dem normal zur Einfallsebene polarisierten einfallenden Licht mit der Amplitude  $E_s$  entspricht, den Ausdruck

$$R_p = \frac{-2iNN'\gamma_1 E_s}{(N^2 + N'^2)\gamma_1 + 2NN'\gamma}, \quad i = \sqrt{-1}.$$

Hierin bezeichnet  $N$  den Brechungsindex des ersten,  $N'$  den mittleren Brechungsindex des zweiten (aktiven) Mediums;  $\gamma$  ist der Kosinus des Einfallswinkels,  $\gamma_1$  derjenige des Brechungswinkels der nicht total reflektierten Welle. Eine analoge Formel gilt für



die KERRsche Komponente, wenn das einfallende Licht parallel zur Einfallsebene polarisiert ist.

Bezeichnen  $n_1$  und  $n_2$  die Brechungsindices der beiden im aktiven Medium fortschreitenden zirkularen Wellen [wobei  $N' = \frac{1}{2}(n_1 + n_2)$ ], so ergibt sich unter der gemachten Annahme, wie leicht erkennbar:

$$\gamma_1 = \sqrt{2(n_1 - n_2)/n_1}.$$

Daß sich hier  $R_p$  (bzw.  $R_s$ ) mit der Wurzel aus  $(n_1 - n_2)n_1$  proportional findet, ist der erste vorteilhafte Umstand. Denn  $(n_1 - n_2)/n_1$  hat bei den natürlich aktiven Körpern überaus kleine Werte; bei Quarz längs der optischen Achse beträgt derselbe rund 0,00005, bei Natriumchlorat ist er nur ungefähr der siebente Teil hiervon. Für  $\gamma_1$  ergibt sich jedoch etwa  $\frac{1}{100}$  bzw.  $\frac{1}{250}$ .

Nun bietet aber die Formel für  $R_p$  noch einen weiteren Vorteil; sie zeigt, daß man  $R_p$  (bzw.  $R_s$ ) sehr wesentlich steigern kann, indem man  $\gamma$  klein, d. h., den Einfallswinkel, bei dem die totale Reflexion eintreten soll, groß macht. Dies erfordert die nahe Gleichheit des Brechungsindex des ersten und des zweiten Mediums, somit auch von  $N$  und  $N'$ , d. h., man muß die Beobachtung nicht in Luft vornehmen, sondern in einer geeignet gewählten Flüssigkeit. Hiernach reduziert sich die Formel für  $R_p$  auf

$$R_p = - \frac{i\gamma_1 E_s}{\gamma_1 + \gamma}.$$

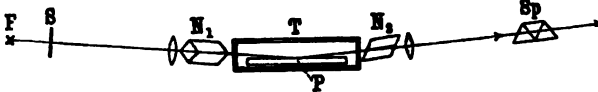
Die Vergrößerung des Einfallswinkels kann nun allerdings nicht sehr weit getrieben werden, weil sonst die reflektierende Fläche sich als ganz schmaler Streifen darstellt und dann als Beugungsspalt wirkt. Nimmt man aber den Einfallswinkel =  $89^\circ$ , so wird  $\gamma = 0,017$  und  $R_p/iE_s$  bei Quarz etwa gleich  $\frac{1}{2,7}$ , d. h. das Intensitätsverhältnis gleich  $\frac{1}{8}$  rund. Bei  $\text{NaCl}_2$  gilt bzw.  $\frac{1}{2}$  und  $\frac{1}{50}$ . Man sieht, das sind außerordentlich günstige Verhältnisse, die weit das übertreffen, was bei dem eigentlichen Kereffekt erreichbar ist. Allerdings sind die Voraussetzungen für ihr Eintreten ganz spezielle, die im allgemeinen nur für eine Spektralfarbe erreichbar sind. Der Brechungsindex der Flüssigkeit in der beobachtet wird, muß ein klein wenig größer sein, als derjenige des stärker brechbaren Strahles im aktiven Körper, derart

daß bei einem Einfallswinkel von  $89^\circ$  für diesen Strahl streifender Austritt stattfindet. Bei jeder merklichen Abweichung von diesem Zustand wird nach der Theorie die Amplitude  $R_p$  statt mit  $F \sqrt{(n_1 - n_2)/n_1}$  merklich mit  $(n_1 - n_2)/n_1$  proportional, also die Wirkung unsichtbar.

Die Kurven für die Brechungsindices zweier durchsichtiger Körper schneiden sich für sichtbare Farben in der Regel, wenn überhaupt, nur einmal; der Effekt war also nur für eine Farbe zu erwarten. Wir trafen die Anordnung so, daß wir mit weißem Licht operierten und das Spaltbild nach der Reflexion durch ein Okularspektroskop zerlegten. Die Anordnung war die in der Fig. 2 angegebene.

Das Licht eines Nernstfadens  $F$  wurde durch den ersten Nicol  $N_1$  parallel oder normal zur Einfallsebene polarisiert. Die aktive Platte  $P$  befand sich in dem mit der gewählten Flüssigkeit

Fig. 2.



gefüllten Trog  $T$ ; das austretende Licht wurde durch den Nicol  $N_2$ , dessen Polarisationssebene zu der von  $N_1$  gekreuzt war, und das Okularspektroskop  $Sp$  betrachtet.

Als isotroper aktiver Körper wurde Natriumchlorat benutzt. Anisol gibt eine Kurve für  $N$ , welche die für  $N'$  im Roten schneidet; es sollte somit die theoretisch geforderte Wirkung im Gelbroten eintreten. Dies fand in der Tat statt. Innerhalb des matten Spektrums, das infolge der Depolarisation des Lichtes durch den Trog stets auftrat, zeigte sich eine deutliche Aufhellung im Gelbroten. Durch Zusatz von Xylol zum Anisol läßt sich der Schnittpunkt der  $N$ - und der  $N'$ -Kurve nach Blau hintreiben; dem entsprach völlig die Wanderung der Aufhellung.

Da die beiden gebrochenen Strahlen äußerst nahe parallel der Schnittlinie von Einfallsebene und Grenzfläche verlaufen, so kann man die obigen theoretischen Überlegungen auch auf einen einachsigen aktiven Kristall anwenden, dessen Hauptachse in jene Richtung fällt. So ist Quarz innerhalb Äthylenbromid beobachtet worden. Bei dieser Kombination war  $N = N'$  im Blauen.

Wegen der stärkeren Drehung, welche Quarz liefert, war hier die Wirkung äußerst intensiv; im matten diffusen Spektrum erschien eine glänzende hellblaue Linie. Zur Kontrolle wurde ein inaktiver Kristall (Turmalin in Schwefelkohlenstoff) gleichfalls beobachtet. Dieser ergab, wenn die optische Achse die geforderte Lage hatte, keine Aufhellung, — wohl aber (der allgemeinen Theorie der gewöhnlichen Kristallreflexion entsprechend) dann, wenn die Achse aus dieser Lage etwas herausgedreht war. In dieser Position zeigte der Quarz dann andere spezifische Wirkungen seiner Aktivität, auf die aber hier nicht eingegangen werden soll.

Die beschriebenen Untersuchungen haben zum ersten Male eine Wirkung der natürlichen optischen Drehung auf das reflektierte Licht ergeben und besitzen hiernach unzweifelhaft ein Interesse.

---

# **Über Funkenpotentiale bei zwei hintereinander geschalteten Funkenstrecken;**

**von P. Nordmeyer.**

(Vorgetragen in der Sitzung der physikalischen Abteilung der 80. Versammlung Deutscher Naturforscher und Ärzte zu Köln am 23. September 1908.)

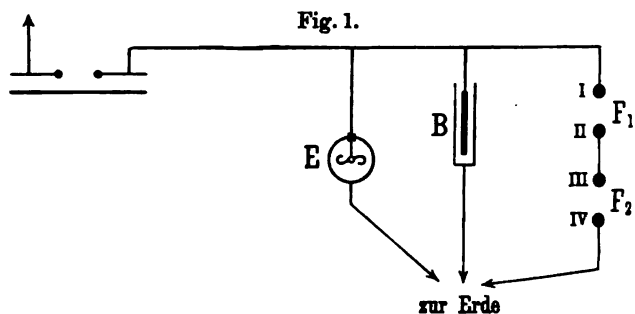
(Vgl. oben S. 623.)

Läßt man eine elektrische Funkenentladung über zwei hintereinander geschaltete Funkenstrecken übergehen, so sollte man von vornherein annehmen, daß das hierzu nötige Funkenpotential nicht wesentlich verschieden ist von dem Potential der Summe beider Strecken. So fand ich auch nach Vollendung meiner Messungen eine Bemerkung von Herrn HEYDWEILLER<sup>1)</sup> in seiner Arbeit über „Dämpfung und Widerstand der Kondensatorfunken“: „Eine Unterteilung der Funkenstrecke ist für die Verkleinerung der Dämpfung unvorteilhaft; denn ersetzt man eine Funkenstrecke von der Länge  $d$  durch andere hintereinander geschaltete von der Gesamtlänge  $d_1 + d_2 + \dots + d_n = d$ , so wird wahrscheinlich das Entladungspotential dadurch nicht sehr erheblich vergrößert; Messungen darüber sind mir allerdings nicht bekannt.“ Diese Ansicht ist aber, wie meine Messungen zeigen, durchaus nicht allgemein zutreffend, sondern gilt bei meiner Versuchsanordnung nur für einen speziellen Fall.

Die Versuchsanordnung (Fig. 1) war folgende: Der eine Pol einer einfachen HOLTZschen Influenzmaschine, welche durch einen Elektromotor getrieben wurde, war sowohl mit der Kugel I eines Funkenmikrometers  $F_1$ , wie mit einem HEYDWEILLERschen Elektrometer  $E$  und einer Batterie Leidener Flaschen  $B$  verbunden. Das Schutzgehäuse des Elektrometers und die äußeren Belegungen der Batterie waren zur Erde abgeleitet, ebenso der andere Pol der Influenzmaschine. Kugel II der Funkenstrecke  $F_1$  war durch ein Drahtstück mit der einen Kugel (Kugel III) eines zweiten

<sup>1)</sup> HEYDWEILLER, *Ann. d. Phys.* (4) 25, 57, 1908.

gleichartigen Funkenmikrometers  $F$ , verbunden, dessen andere Kugel (Kugel IV) geerdet war. Die Kugeln waren aus Messing und hatten einen Durchmesser von 1,5 cm. Das HEYDWEILLERsche Elektrometer<sup>1)</sup> war bis etwa 26 000 Volt benutzbar; sein Reduktionsfaktor war durch Vergleichen mit einem geeichten SIEMENSschen Zeigerelektrometer mehrfach bestimmt worden. Inwieweit die von mir so bestimmten Potentialdifferenzen für einfache, sowohl unbelichtete wie mit ultraviolettem Licht bestrahlte Funkenstrecken mit denen früherer Beobachter übereinstimmen, ergibt sich aus Tabelle 1. Die Werte von BAILLE<sup>2)</sup>, PASCHEN<sup>3)</sup>, FREYBERG<sup>4)</sup> und HEYDWEILLER<sup>5)</sup> sind auf einen Kugelradius von 0,75 cm



interpoliert; die Zahlen von ORGLER<sup>6)</sup> gelten für einen Radius von 1,25 cm und für ultraviolett bestrahlte Funkenstrecken. Wie man sieht, ist die Übereinstimmung meiner beiden Reihen unter sich und mit den anderen Reihen eine gute. Meine mit Belichtung gewonnenen Funkenspannungen habe ich allen angestellten Berechnungen zugrunde gelegt. Die Bestrahlung wurde durch eine Quecksilberbogenlampe bewirkt; der Bogen war meist 20 cm von der Funkenstrecke entfernt.

Die Potentialmessungen wurden in der Weise ausgeführt, daß die Spannung langsam erhöht wurde, bis die Funkenentladung

<sup>1)</sup> Hergestellt vom Aachener Institutsmechaniker Herrn FELDHAUS nach den Angaben von HEYDWEILLER; ZS. f. Instrumentenkunde 12, 377 bis 381, 1892.

<sup>2)</sup> BAILLE, Ann. de Chim. 25, 486, 1882.

<sup>3)</sup> PASCHEN, Wied. Ann. 37, 69, 1889.

<sup>4)</sup> FREYBERG, ebenda 38, 231, 1889.

<sup>5)</sup> HEYDWEILLER, ebenda 40, 464, 1890.

<sup>6)</sup> ORGLER, Ann. d. Phys. (4) 1, 159, 1900.

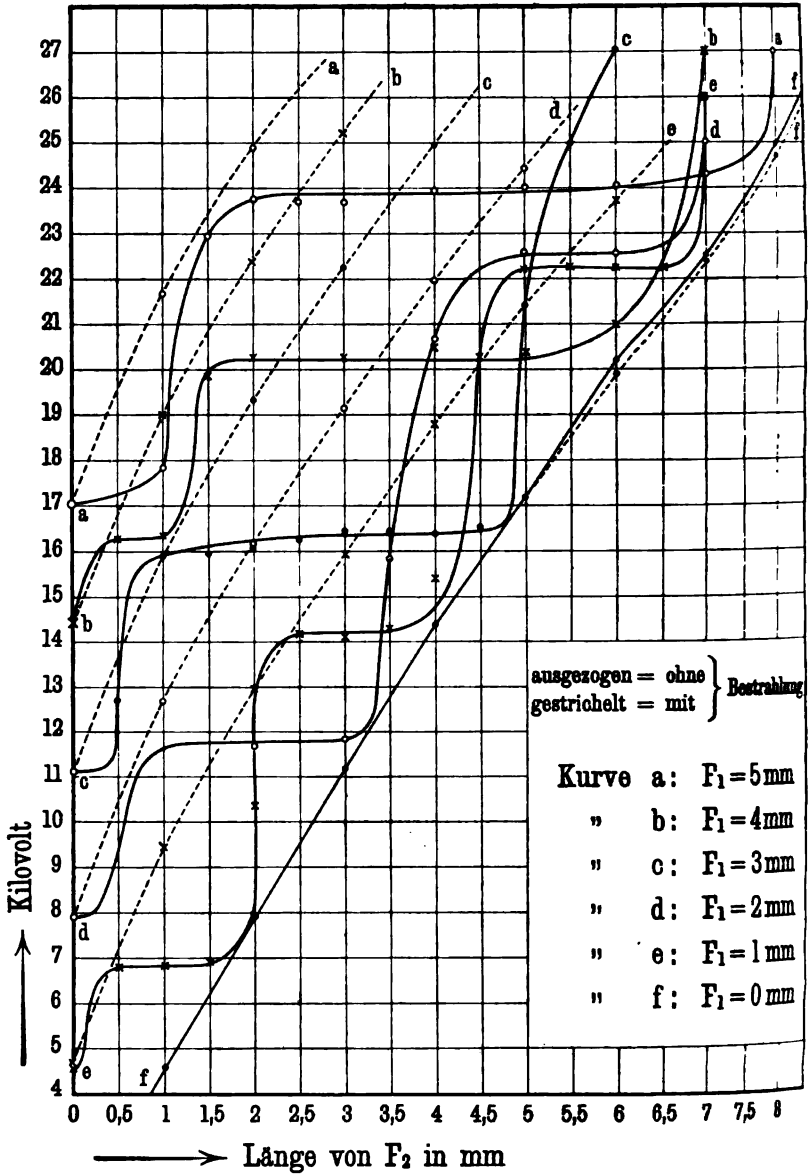
eintrat, und daß der Umkehrpunkt des Elektrometers abgelesen wurde. Die Motorgeschwindigkeit wurde so reguliert, daß das scheinbare Fortschreiten des Fadenkreuzes auf der Skala bequem verfolgt werden konnte. Von jeder Funkenstreckenkombination wurden eine Reihe solcher Einzelentladungen hintereinander beobachtet. Vor jeder Meßreihe wurden meist die Elektroden neu geputzt und neu eingestellt.

Tabelle 1.  
Funkenpotentiale in Kilovolt. Atmosphärendruck.

| Schlag-<br>weite<br>mm | NORD-<br>MEYER<br>bestr. | NORD-<br>MEYER<br>unbestr. | BAILLE<br>unbestr. | PASCHEN<br>unbestr. | FREY-<br>BERG<br>unbestr. | HEYD-<br>WEILLER<br>unbestr. | ORGLER<br>bestr. |
|------------------------|--------------------------|----------------------------|--------------------|---------------------|---------------------------|------------------------------|------------------|
| 1                      | 4,57                     | 4,56                       | 4,56               | 4,81                | 4,61                      | 4,75                         | 4,57             |
| 2                      | 7,93                     | 7,91                       | 7,97               | 8,30                | 9,10                      | 8,23                         | 8,20             |
| 3                      | 11,15                    | 11,10                      | 11,14              | 11,64               | 11,65                     | 11,37                        | 11,57            |
| 4                      | 14,35                    | 14,45                      | 14,22              | 14,77               | 14,20                     | 14,40                        | 14,65            |
| 5                      | 17,17                    | 17,13                      | 16,47              | 17,81               | 16,90                     | 17,40                        | 17,45            |
| 6                      | 19,87                    | 20,26                      | 19,57              | 20,56               | 19,40                     | 20,10                        | —                |
| 7                      | 22,44                    | 22,48                      | 21,80              | 23,03               | 21,75                     | 23,50                        | —                |
| 8                      | 24,71                    | 24,96                      | 23,82              | 25,45               | 23,90                     | 25,05                        | —                |

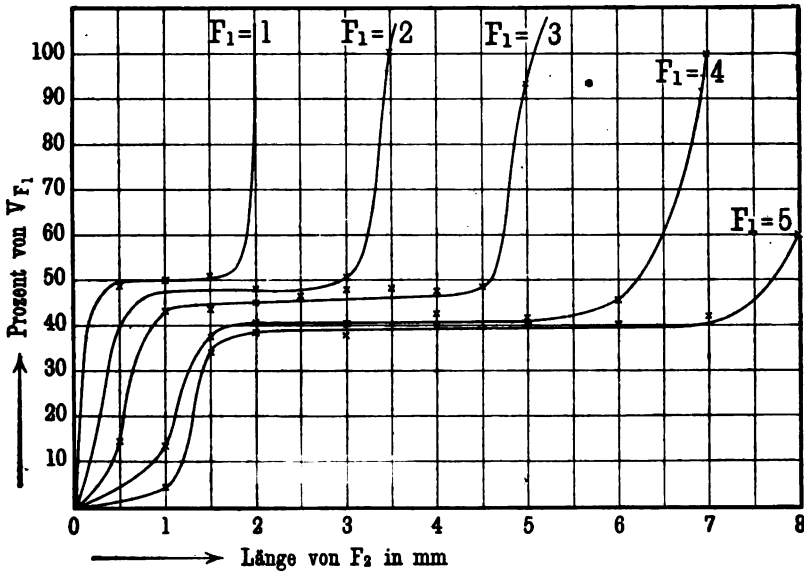
Bei bestrahlter Funkenstrecke war die Übereinstimmung der Einzelmessungen (meist 10) einer Meßreihe vollkommen. Bei den Messungen ohne Bestrahlung — zum größten Teil wurden sie sogar unter Ausschluß des Tageslichtes gemacht, da in manchen Fällen, wie wir sehen werden, auch eine geringe Ionisation großen Einfluß auf die Höhe der Funkenspannung haben kann — war die Übereinstimmung der Einzelbeobachtungen innerhalb einer Meßreihe nicht so gut. Es wurde daher eine große Zahl (meist bis 40) von aufeinanderfolgenden Einzelablesungen gemacht. Aus dieser Anzahl ließ sich dann ein Intervall von 10 bis 15 aufeinanderfolgenden Ablesungen herauschneiden, bei welchem die Abweichungen der Extremwerte innerhalb etwa 3 Proz. des Mittelwertes lagen. Nahm man ein größeres Intervall (20 bis 30), so erhielt man fast denselben Mittelwert, nur die Abweichungen der Extremwerte waren größer. Nur bei einigen ganz bestimmten Funkenstreckenkombinationen wichen die Werte einer Meßreihe beträchtlich voneinander ab, die Mittelwerte aus solchen Reihen

Fig. 2.



habe ich in den Tabellen mit einem \* bezeichnet. Aus den Mittelwerten von meist 3, manchmal auch 2 oder 4 oder 5 Meßreihen für jede einzelne Funkenstreckenkombination sind die Werte gebildet, welche in Tabelle 2 angegeben sind. Die Angaben dieser Tabelle habe ich in Fig. 2 durch die ausgezogenen Kurven dargestellt. Aus diesen ist nun ohne weiteres folgender allgemeiner Verlauf der Erscheinung zu erkennen: für jedes  $F_1$  (von 1 bis 5 mm) steigt bei wachsendem  $F_2$  das Funkenpotential der Kombination zunächst um einen gewissen Betrag, bleibt bei

Fig. 3.



weiter wachsendem  $F_2$  eine ganze Strecke lang in gleicher Höhe, steigt von einem gewissen Punkte ziemlich stark wieder an, um dann wieder für eine Strecke das gleiche zu bleiben. Eine solche mehrfache Wiederholung der Erscheinung ließ sich natürlich nur bei kleinen  $F_1$  (1 und 2 mm) beobachten, da ich ja nicht über 26 Kilovolt hinaus messen konnte.

Das Funkenpotential von  $F_1 + F_2$  ist also bei wachsendem  $F_2$  und gleichbleibendem  $F_1$  nicht von  $F_2$ , sondern von  $F_1$  abhängig. Ich habe daher das Anwachsen des Potentials  $F_1 + F_2$  in Prozenten von  $F_1$  ausgerechnet; diese Zahlen stehen in Tabelle 2



Tabelle 2. Funkenpotentiale von zwei Funkenstrecken hintereinander in Kilovolt. Ohne Bestrahlung. Drahtlänge zwischen Kugel II und III = 8 cm.

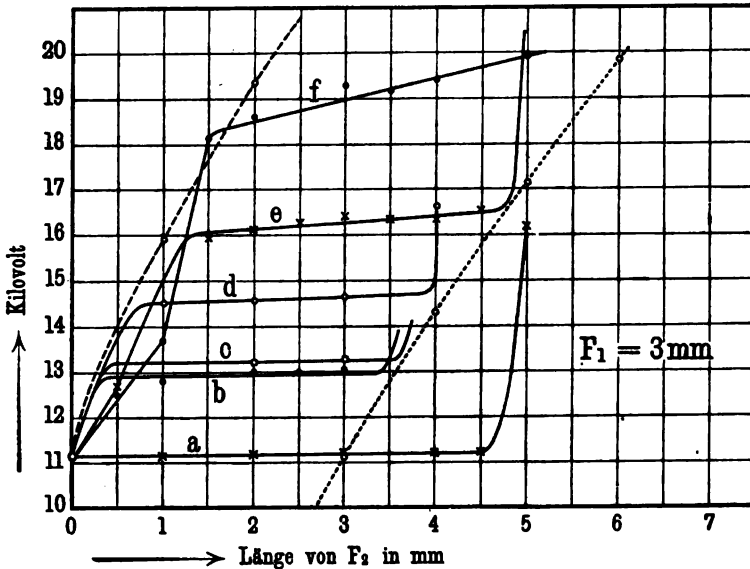
| $F_2$ | $F_1 = 1 \text{ mm}$<br>[V = 4,57] |      | $F_1 = 2 \text{ mm}$<br>[V = 7,93] |       | $F_1 = 3 \text{ mm}$<br>[V = 11,15] |       | $F_1 = 4 \text{ mm}$<br>[V = 14,35] |       | $F_1 = 5 \text{ mm}$<br>[V = 17,17] |       | $A$<br>Korr. | $A$<br>Proz. | $A$<br>Korr. |
|-------|------------------------------------|------|------------------------------------|-------|-------------------------------------|-------|-------------------------------------|-------|-------------------------------------|-------|--------------|--------------|--------------|
|       | Beob.                              | Ber. | $\Delta$                           | Proz. | $\Delta$                            | Proz. | $\Delta$                            | Proz. | $\Delta$                            | Proz. |              |              |              |
| 0,0   | 4,56                               | —    | —                                  | —     | 11,10                               | —     | 14,45                               | —     | 17,13                               | —     | —            | —            | —            |
| 0,5   | 6,81                               | —    | —                                  | —     | *12,70                              | —     | *16,33                              | —     | *17,86                              | —     | —            | —            | —            |
| 1,0   | 6,84                               | —    | —                                  | —     | 15,90                               | —     | *16,38                              | —     | 23,00                               | —     | —            | —            | —            |
| 1,5   | 6,90                               | —    | —                                  | —     | 15,96                               | —     | 43,1                                | —     | 37,5                                | —     | —            | —            | —            |
| 2,0   | *10,37                             | —    | —                                  | —     | 16,11                               | —     | 44,5                                | —     | 40,5                                | —     | —            | —            | —            |
| 2,5   | 14,18                              | —    | —                                  | —     | 16,27                               | —     | 46,0                                | —     | 46,5                                | —     | —            | —            | —            |
| 3,0   | 14,12                              | —    | —                                  | —     | 11,88                               | —     | 50,0                                | —     | 50,5                                | —     | —            | —            | —            |
| 3,5   | 14,29                              | —    | —                                  | —     | *15,88                              | —     | 100,2                               | —     | 100,5                               | —     | —            | —            | —            |
| 4,0   | 15,42                              | —    | —                                  | —     | 20,68                               | —     | 161,0                               | —     | 161,5                               | —     | —            | —            | —            |
| 4,5   | *20,27                             | —    | —                                  | —     | 16,54                               | —     | 48,3                                | —     | 48,5                                | —     | —            | —            | —            |
| 5,0   | 22,21                              | —    | —                                  | —     | *21,53                              | —     | 98,0                                | —     | 99,5                                | —     | —            | —            | —            |
| 5,5   | 22,45                              | —    | —                                  | —     | *25,00                              | —     | 124,0                               | —     | 124,5                               | —     | —            | —            | —            |
| 6,0   | 22,50                              | —    | —                                  | —     | etwa 27,00                          | —     | 184,4                               | —     | 184,5                               | —     | —            | —            | —            |
| 6,5   | 22,45                              | —    | —                                  | —     | —                                   | —     | —                                   | —     | —                                   | —     | —            | —            | —            |
| 7,0   | etwa 26,00                         | —    | —                                  | —     | etwa 25,00                          | —     | —                                   | —     | —                                   | —     | —            | —            | —            |
| 8,0   | —                                  | —    | —                                  | —     | etwa 480,0                          | —     | —                                   | —     | —                                   | —     | —            | —            | —            |

Tabelle 3.  $F_1$  und  $F_2$  bestrahlt.

| $F_2$ | $F_1 = 1 \text{ mm}$ |       | $F_1 = 2 \text{ mm}$ |       | $F_1 = 3 \text{ mm}$ |       | $F_1 = 4 \text{ mm}$ |       | $F_1 = 5 \text{ mm}$ |       |
|-------|----------------------|-------|----------------------|-------|----------------------|-------|----------------------|-------|----------------------|-------|
|       | Beob.                | Ber.  | $\Delta$             | Proz. | Beob.                | Ber.  | $\Delta$             | Proz. | Beob.                | Ber.  |
| 0     | 4,57                 | 4,57  | ± 0,0                | —     | 7,98                 | 7,98  | ± 0,0                | —     | 17,17                | 17,17 |
| 1     | 9,45                 | 9,14  | + 3,1                | —     | 12,70                | 12,50 | + 2,0                | —     | 19,03                | 18,92 |
| 2     | 12,98                | 12,50 | + 4,8                | —     | 15,86                | 15,94 | - 0,8                | —     | 21,70                | 21,74 |
| 3     | 15,98                | 15,72 | + 2,6                | —     | 19,08                | 19,34 | - 2,6                | —     | 24,98                | 25,10 |
| 4     | 19,79                | 19,92 | - 1,3                | —     | 22,28                | 22,37 | - 0,9                | —     | —                    | —     |
| 5     | 21,48                | 21,94 | - 4,6                | —     | 24,97                | 25,80 | - 8,3                | —     | —                    | —     |
| 6     | 24,70                | 24,44 | + 2,6                | —     | 26,10                | 26,50 | - 4,0                | —     | —                    | —     |

unter  $\Delta$  und zwar in Prozenten von den für  $F_1$  mit Bestrahlung gewonnenen Werten (siehe Tabelle 1). Unter „ $\Delta$  Korr.“ sind dieselben Zahlen auf 0 korrigiert und abgerundet angegeben; in Fig. 3 sind sie graphisch dargestellt. Hieraus sieht man, daß beim Zuschalten von  $F_2$  das Funkenpotential von  $F_1$  für alle Größen von  $F_1$  um etwa 45 Proz. erhöht wird. Für  $F_1 = 1$  mm beträgt die Erhöhung 50 Proz., für  $F_1$  bis 5 mm etwa 40 Proz. Sie nimmt also ein wenig mit wachsendem  $F_1$  ab, ist aber sonst für verschiedene  $F_1$  ungefähr gleich. Also ist die Spannung, die zum

Fig. 4.



Durchschlagen von  $F_1 + F_2$  nötig ist, nur abhängig von  $F_1$  und unabhängig von  $F_2$ , bis zu einer bestimmten Größe von  $F_2$ . Sobald die Kurve für  $F_1 + F_2$  die Kurve für einfache Funkenstrecken erreicht ( $F_1 = 0$  in Fig. 2), biegt sie nach oben um, d. h. also: wird  $F_2$  so groß, daß das Funkenpotential von  $F_2$  allein größer sein würde, als das tatsächliche Funkenpotential von  $F_1 + F_2$ , dann steigt letzteres beträchtlich an. Es geht dann von diesem Zeitpunkte ab in ungefährer Höhe der vorigen gleich gebliebenen Spannung bei  $F_1$  (also zwischen Kugel I und II) meist ein kleines Fünkchen (oft auch zwei) über, während die eigentliche Entladung bei einer

Tabelle 4. Ohne Bestrahlung.

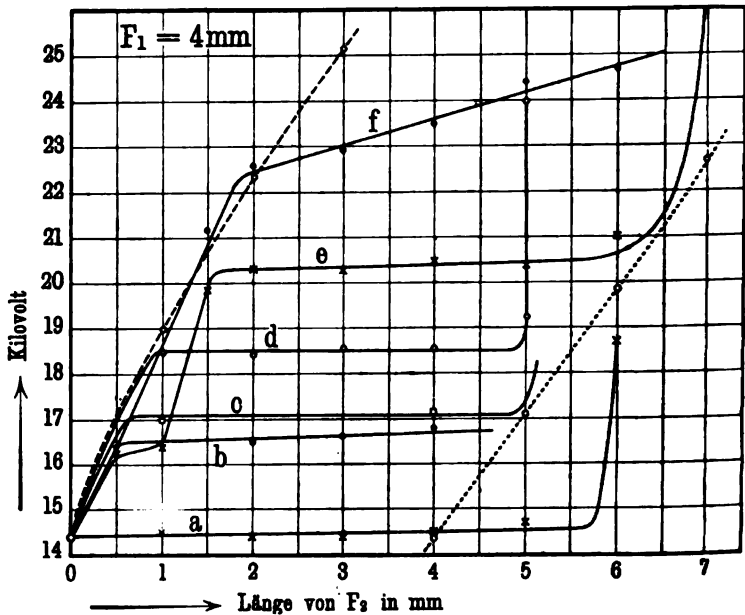
| $F_1$ | $F_2$          | Zwischen Kugel I u. IV nur eine Kugel (III) | $\lambda$ | Proz.           | Korr.     | Drahtlänge 21 cm | $\lambda$ | Proz. | Korr. | Drahtlänge 90 cm | $\lambda$ | Proz. | Korr. | Drahtlänge 120 cm | $\lambda$ | Proz. | Korr. | An Kugel II eine Leitener Flasche | $\lambda$ | Proz. | Korr.         | $F_2$ | $F_1$ |   |
|-------|----------------|---|-----------|-----------------|-----------|------------------|-----------|-------|-------|------------------|-----------|-------|-------|-------------------|-----------|-------|-------|-----------------------------------|-----------|-------|---------------|-------|-------|---|
| 1     | 0,0            | 4,49  | 1,8       | +               | $\pm 0,0$ | —                | —         | —     | —     | —                | —         | —     | —     | —                 | —         | —     | —     | 4,25                              | 7,0       | +     | $\pm 0,0$     | 0,0   | 1     |   |
|       | 0,5            | 7,27  | 59,1      | +               | 61,0      | —                | —         | —     | —     | —                | —         | —     | —     | —                 | —         | —     | —     | 4,83                              | 5,3       | —     | 2,0           | 0,5   |       |   |
|       | 1,0            | 8,19  | 79,2      | +               | 81,0      | —                | —         | —     | —     | —                | —         | —     | —     | —                 | —         | —     | —     | * 4,80                            | 6,0       | +     | 12,0          | 1,0   |       |   |
|       | 1,5            | 8,71  | 90,6      | +               | 92,5      | —                | —         | —     | —     | —                | —         | —     | —     | —                 | —         | —     | —     | 8,31                              | 81,8      | +     | 89,0          | 1,5   |       |   |
|       | 2,0            | 8,75  | 91,5      | +               | 93,5      | —                | —         | —     | —     | —                | —         | —     | —     | —                 | —         | —     | —     | 8,40                              | 83,8      | +     | 90,0          | 2,0   |       |   |
|       | 2,5            | 12,60                                       | 175,5     | +               | 177,5     | —                | —         | —     | —     | —                | —         | —     | —     | —                 | —         | —     | —     | 11,25                             | 146,0     | +     | 153,0         | 2,5   |       |   |
|       | 3,0            | 15,26                                       | 234,0     | +               | 236,0     | —                | —         | —     | —     | —                | —         | —     | —     | —                 | —         | —     | —     | 11,40                             | 149,0     | +     | 156,0         | 3,0   |       |   |
|       | 3,5            | —   | —         | —               | —         | —                | —         | —     | —     | —                | —         | —     | —     | —                 | —         | —     | —     | 14,04                             | 207,2     | +     | 214,5         | 3,5   |       |   |
|       | 0,0            | 8,02  | 1,0       | +               | $\pm 0,0$ | $+ 7,2 \pm 0,0$  | 8,50      | —     | —     | —                | —         | —     | —     | —                 | —         | —     | —     | 7,91                              | —         | —     | $0,3 \pm 0,0$ | 0,0   |       | 2 |
|       | 0,5            | 8,88  | 11,4      | +               | 10,5      | —                | 11,55     | —     | 36,0  | —                | —         | —     | —     | —                 | —         | —     | —     | —                                 | —         | —     | —             | 0,5   |       |   |
| 1,0   | 12,82          | 61,7  | +         | 60,5            | —         | —                | —         | —     | —     | —                | —         | —     | —     | —                 | —         | —     | 8,05  | +                                 | 1,5       | 1,5   | 1,0           |       |       |   |
| 1,5   | 14,10          | 77,7  | +         | 76,5            | —         | —                | —         | —     | —     | —                | —         | —     | —     | —                 | —         | —     | —     | —                                 | —         | —     | 1,5           |       |       |   |
| 2,0   | 14,20          | 79,0  | +         | 78,0            | —         | 11,65            | —         | 37,0  | —     | —                | —         | —     | —     | —                 | —         | —     | —     | 7,99                              | +         | 0,8   | 1,0           | 2,0   |       |   |
| 2,5   | 14,50          | 82,8  | +         | 82,0            | —         | —                | —         | —     | —     | —                | —         | —     | —     | —                 | —         | —     | —     | * 8,90                            | +         | 12,2  | 12,5          | 2,5   |       |   |
| 3,0   | 14,41          | 81,7  | +         | 80,5            | —         | *15,50           | —         | 80,0  | —     | —                | —         | —     | —     | —                 | —         | —     | —     | *14,04                            | +         | 77,0  | 77,5          | 3,0   |       |   |
| 3,5   | —              | —   | —         | —               | —         | —                | —         | —     | —     | —                | —         | —     | —     | —                 | —         | —     | —     | 14,40                             | +         | 81,6  | 82,0          | 3,5   |       |   |
| 4,0   | 15,7 oder 21,8 | 98,0 oder 175,0                             | +         | 97,0 oder 174,0 | —         | 21,85            | —         | 157,0 | —     | —                | —         | —     | —     | —                 | —         | —     | —     | 14,86                             | +         | 81,1  | 81,5          | 4,0   |       |   |
| 4,5   | —              | —   | —         | —               | —         | —                | —         | —     | —     | —                | —         | —     | —     | —                 | —         | —     | —     | 14,69                             | +         | 85,8  | 85,5          | 4,5   |       |   |
| 5,0   | —              | —   | —         | —               | —         | 22,00            | —         | 159,0 | —     | —                | —         | —     | —     | —                 | —         | —     | —     | 19,08                             | +         | 140,5 | 141,0         | 5,0   |       |   |
| 5,5   | —              | —   | —         | —               | —         | 22,15            | —         | 160,0 | —     | —                | —         | —     | —     | —                 | —         | —     | —     | 19,11                             | +         | 141,0 | 141,5         | 5,5   |       |   |
| 6,0   | —              | —   | —         | —               | —         | —                | —         | —     | —     | —                | —         | —     | —     | —                 | —         | —     | —     | 19,35                             | +         | 141,0 | 144,5         | 6,0   |       |   |

| F <sub>1</sub> | Zwischen Kugel I u. IV nur eine Kugel (III) |       | J    | Drahtlänge 21 cm | J     |           | Drahtlänge 90 cm | J     |       | Drahtlänge 120 cm | An Kugel II eine Leidener Flasche | Δ      |       | F <sub>2</sub> | F <sub>1</sub> |
|----------------|---|-------|------|------------------|-------|-----------|------------------|-------|-------|-------------------|-----------------------------------|--------|-------|----------------|----------------|
|                | Proz.                                       | Korr. |      |                  | Proz. | Korr.     |                  | Proz. | Korr. |                   |                                   | Proz.  | Korr. |                |                |
| 0,0            | 11,18                                       | ± 0,0 | 0,3  | 11,90            | + 6,7 | + 0,0     | 12,05            | + 8,0 | + 0,0 | 11,95             | 11,46                             | + 2,8  | ± 0,0 | 0,0            | 3              |
| 0,5            | 12,48                                       | 11,5  | 11,9 | —                | —     | —         | —                | —     | —     | 13,5              | —                                 | —      | —     | 0,5            |                |
| 1,0            | 13,72                                       | 23,0  | 22,5 | 15,35            | —     | 29,0      | —                | —     | —     | 18,57             | 11,46                             | + 2,8  | 0,0   | 1,0            |                |
| 1,5            | 18,16                                       | 62,9  | 62,5 | —                | —     | —         | —                | —     | —     | —                 | —                                 | —      | —     | 1,5            |                |
| 2,0            | 18,61                                       | 67,0  | 66,5 | 15,50            | —     | 80,0      | 14,05            | —     | —     | 13,88             | 11,55                             | + 3,6  | 1,0   | 2,0            |                |
| 3,0            | 19,34                                       | 73,4  | 73,0 | 15,56            | —     | 91,0      | 14,17            | —     | —     | 19,88             | 11,50                             | + 3,1  | 0,5   | 3,0            |                |
| 3,5            | 19,24                                       | 72,5  | 72,0 | —                | —     | —         | —                | —     | —     | —                 | —                                 | —      | —     | 3,5            |                |
| 4,0            | 19,45                                       | 74,4  | 74,0 | *17,38           | —     | 45,0      | *24,70           | —     | —     | *14,65            | 11,55                             | + 3,6  | 1,0   | 4,0            |                |
| 5,0            | 19,90                                       | 78,5  | 78,0 | —                | —     | —         | —                | —     | —     | —                 | *16,54                            | + 48,0 | 45,0  | 5,0            |                |
| 0,0            | 14,41                                       | ± 0,0 | 0,4  | 15,00            | + 4,5 | + 0,0     | 14,93            | + 4,0 | + 0,0 | 15,00             | 14,60                             | + 1,7  | ± 0,0 | 0,0            | 4              |
| 0,5            | *16,44                                      | 14,5  | 14,0 | —                | —     | —         | —                | —     | —     | —                 | —                                 | —      | —     | 0,5            |                |
| 1,0            | *16,33                                      | 6,8   | 6,5  | 19,20            | —     | 28,0      | 17,57            | —     | —     | —                 | 14,65                             | + 2,1  | 0,5   | 1,0            |                |
| 1,5            | 21,23                                       | 49,8  | 49,5 | —                | —     | —         | —                | —     | —     | —                 | —                                 | —      | —     | 1,5            |                |
| 2,0            | 22,62                                       | 56,9  | 56,5 | 19,24            | —     | 28,5      | —                | —     | —     | 17,12             | 14,65                             | + 2,1  | 0,5   | 2,0            |                |
| 3,0            | 22,96                                       | 60,0  | 59,5 | 19,29            | —     | 29,0      | —                | —     | —     | 17,25             | 14,65                             | + 2,1  | 0,5   | 3,0            |                |
| 4,0            | 23,55                                       | 64,0  | 63,5 | 19,30            | —     | 29,0      | 17,70            | —     | —     | 17,50             | 14,69                             | + 2,1  | 0,5   | 4,0            |                |
| 5,0            | 24,39                                       | 70,0  | 69,5 | etwa 22,00       | —     | etwa 80,0 | —                | —     | —     | —                 | 14,69                             | + 2,1  | 0,5   | 5,0            |                |
| 6,0            | 24,70                                       | 72,0  | 71,5 | —                | —     | —         | —                | —     | —     | —                 | *19,72                            | + 37,4 | 35,5  | 6,0            |                |
| 7,0            | —   | —     | —    | —                | —     | —         | —                | —     | —     | —                 | *19,90                            | + 38,7 | 37,0  | 7,0            |                |
| 8,0            | —   | —     | —    | —                | —     | —         | —                | —     | —     | —                 | 22,61                             | + 57,0 | 55,5  | 8,0            |                |
| 0,0            | —   | —     | —    | 17,63            | + 2,7 | + 0,0     | 17,90            | + 4,3 | + 0,0 | 17,77             | 17,51                             | + 2,0  | ± 0,0 | 0,0            | 5              |
| 1,0            | —   | —     | —    | 22,50            | —     | 27,5      | 20,93            | —     | —     | —                 | 17,64                             | + 2,8  | 1,0   | 1,0            |                |
| 2,0            | —   | —     | —    | —                | —     | —         | —                | —     | —     | 20,18             | 17,55                             | + 2,2  | 0,0   | 2,0            |                |
| 3,0            | —   | —     | —    | —                | —     | —         | —                | —     | —     | —                 | 17,55                             | + 2,2  | 0,0   | 3,0            |                |
| 4,0            | —   | —     | —    | —                | —     | —         | —                | —     | —     | 20,65             | 17,55                             | + 2,2  | 0,0   | 4,0            |                |
| 5,0            | —   | —     | —    | 22,95            | —     | 30,0      | 21,05            | —     | —     | —                 | 17,47                             | + 1,8  | 0,0   | 5,0            |                |
| 6,0            | —   | —     | —    | 23,57            | —     | 34,0      | 26,00            | —     | —     | —                 | 17,56                             | + 2,2  | 0,0   | 6,0            |                |

höheren Spannung erfolgt, die mit weiter wachsendem  $F_2$  wieder gleich bleibt und zwar wiederum so lange, wie sie größer ist, als die zum Durchschlagen von  $F_2$  allein erforderliche Potentialdifferenz.

Die Höhenlage des horizontalen Stückes relativ zum Anfangspunkt der Kurve erwies sich nun als stark abhängig von der Kapazität, welche die Kugeln II und III nebst Verbindungsdraht besitzen. Die Messungen zur Feststellung dieser Abhängigkeit sind in Tabelle 4 zusammengestellt. Auch hier habe ich wieder

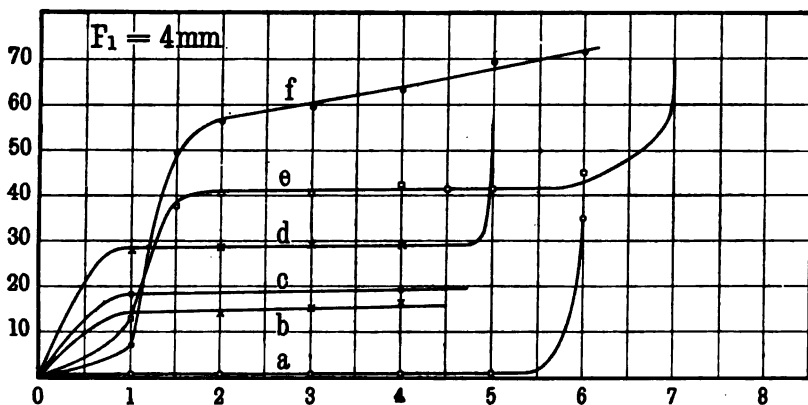
Fig. 5.



die Erhöhung, die das Potential  $F_1 + F_2$  gegen das von  $F_1$  zeigt, in Prozent von  $F_1$  angegeben. In Fig. 4 und 5 sind die verschiedenen Spannungskurven für  $F_1 = 3$  und  $F_1 = 4$  gezeichnet, in Fig. 6 und 7 die Kurven der prozentischen Erhöhung für  $F_1 = 4$  und  $F_1 = 5$  mm. Zunächst wurden Kugel II und der Verbindungsdraht entfernt, so daß die beiden Funkenstrecken mit nur drei Kugeln hergestellt waren. Dies ist der Fall der kleinstmöglichen Kapazität. Bei den in Tabelle 2 angegebenen sehr ausführlich untersuchten Zahlenreihen befand sich zwischen Kugel II und III ein Drahtstück

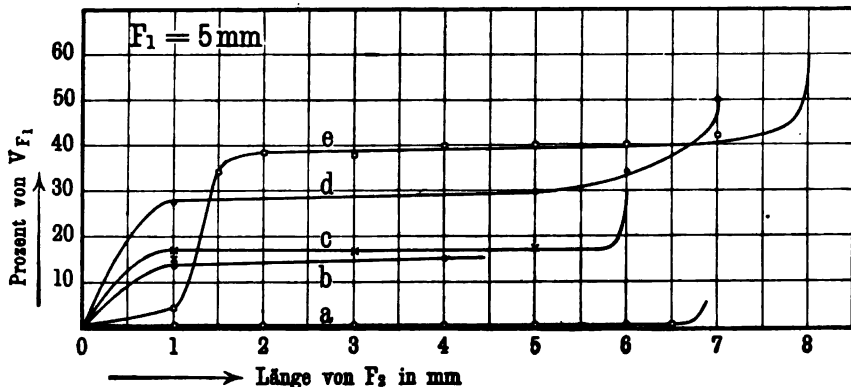
von 3 cm Länge; die Dicke des Drahtes war 1,6 mm. Bei weiteren Versuchen war der Draht 4, 21, 90 und 120 cm lang. Die Abweichungen der Werte von  $F_1$  für  $F_2 = 0$  von den in Tabelle 1

Fig. 6.



angegebenen Werten sind bei diesen Versuchen etwas größer, weil weniger Wert auf die Nullpunktseinstellung der Funkenmikrometer gelegt wurde. Die prozentische Erhöhung habe ich

Fig. 7.



daher auch in Prozent des jedesmal gefundenen Wertes von  $F_1$  für  $F_2 = 0$  ausgerechnet. Überhaupt habe ich mich bei diesen Versuchsreihen mehr auf Stichproben beschränkt. Endlich wurde noch eine Versuchsreihe vollständig durchgeführt, bei der zwischen

Kugel II und Kugel III mit dem Drahtstück noch die innere Belegung einer kleinen Leidener Flasche (0,001 31 MF) verbunden war, deren äußere Belegung geerdet war.

Tabelle 5.

Ohne Bestrahlung. Erhöhung in Prozent von  $V_{F_1}$ .

1: Draht zwischen II und III = 4 cm. 2 und 3: Draht zwischen II und III = 21 cm. 1 und 2: Entfernung von I zu IV die gleiche.

| $F_2$     | $F_1 = 3 \text{ mm}$ |        |      | $F_1 = 4 \text{ mm}$ |      |      |
|-----------|----------------------|--------|------|----------------------|------|------|
|           | 1.                   | 2.     | 3.   | 1.                   | 2.   | 3.   |
| 1         | 36,5                 | 30,0   | 29,0 | 32,0                 | 28,0 | 28,0 |
| 2         | 38,3                 | (31,0) | 30,0 | 36,0                 | 29,3 | 28,5 |
| 3         | (38,3)               | 32,0   | 31,0 | (36,8)               | 30,0 | 29,0 |
| 4         | —                    | —      | —    | 37,5                 | 31,1 | 29,0 |
| Im Mittel | 37,7                 | 31,0   | 30,0 | 35,8                 | 29,6 | 28,6 |

Der absolute Abstand von Kugel I zu Kugel IV hat vielleicht nur bei geringer Größe (unter 2 bis 3 cm) Einfluß auf den Verlauf der Kurven. Bei größerem Abstände ist ein solcher Einfluß sicher nicht vorhanden, wie aus Tabelle 5 hervorgeht, in der ich die Resultate dreier Versuchsreihen zusammengestellt habe: 1. betrug die Drahtlänge zwischen II und III 4 cm; 2. war ein 21 cm langer Draht zwischen II und III so zusammengebogen, daß der Abstand von II gegen III derselbe war, wie in 1.; 3. war die Drahtlänge = 21 cm und der Draht war ausgestreckt. Wie man sieht, differieren die beiden letzteren Reihen nur wenig, während die erste gegen die beiden anderen nach oben hin abweicht.

Ein ganz anderer Verlauf der Funkenpotentiale ergab sich nun aber, wenn beide Funkenstrecken mit ultraviolettem Licht bestrahlt wurden. Die Werte sind in Tabelle 3 unter „Beob.“ angegeben. Die Verhältnisse bezüglich Funkenstrecken usw., unter denen die Zahlen der Tabelle 3 beobachtet wurden, waren genau die gleichen, wie bei Tabelle 2. Die Ergebnisse aus Tabelle 3 sind in den gestrichelten Linien der Fig. 2 graphisch dargestellt. In Tabelle 3 habe ich unter „Ber.“ die Summe des Funkenpotentials von  $F_1$  plus dem Funkenpotential von  $F_2$  angegeben und unter  $\Delta$  die Differenz der beobachteten und berechneten Werte in Prozent von den berechneten Werten. Man

sieht, daß diese Differenzen gering sind und meist innerhalb der Fehlergrenzen liegen. Ob die regelmäßige Abnahme der Differenzen innerhalb der einzelnen Reihen für  $F_1$  von positiven Werten durch Null hindurch zu negativen Werten eine mehr zufällige Erscheinung ist, oder nicht, vermag ich nicht zu entscheiden. Jedenfalls ist das Funkenpotential bei bestrahlten Funkenstrecken nahezu gleich der Summe der Einzelpotentiale. Ferner habe ich den Spannungsverlauf untersucht, wenn nur  $F_1$ , und weiter, wenn nur  $F_2$  bestrahlt wurde. Wenn nur  $F_1$  bestrahlt wird, so ist die Wirkung nahezu dieselbe, als wenn beide Funkenstrecken bestrahlt werden, wie aus Tabelle 6 hervorgeht. In dieser habe ich zum

Tabelle 6.

| $F_1$          | $F_2$ | $F_1$ und $F_2$<br>bestrahlt | Anwachsen<br>in Prozent<br>von $\sqrt{F_1}$ | $F_1$ allein<br>bestrahlt | Anwachsen<br>in Prozent<br>von $\sqrt{F_1}$ | $\Delta$<br>der<br>Prozente |
|----------------|-------|------------------------------|---|---------------------------|---|-----------------------------|
| 2              | 0     | 7,98                         | —   | 8,85                      | —   | —                           |
|                | 1     | 12,70                        | 60,1  | 12,55                     | 50,3  | 9,8                         |
|                | 2     | 16,17                        | 103,9                                       | 15,80                     | 89,2  | 14,7                        |
|                | 3     | 19,17                        | 141,7                                       | 19,00                     | 127,5                                       | 14,2                        |
|                | 4     | 21,98                        | 177,2                                       | 22,05                     | 164,1                                       | 13,1                        |
|                | 5     | 24,45                        | 208,3                                       | 25,15                     | 201,2                                       | 7,1                         |
| Im Mittel 11,8 |       |                              |   |                           |   |                             |
| 3              | 0     | 11,15                        | —   | 11,47                     | —   | —                           |
|                | 1     | 15,94                        | 42,9  | 15,10                     | 31,5  | 11,4                        |
|                | 2     | 19,34                        | 73,4  | 18,50                     | 63,0  | 10,4                        |
|                | 3     | 22,27                        | 99,7  | 21,60                     | 88,4  | 11,3                        |
|                | 4     | 24,97                        | 124,0                                       | 24,92                     | 117,2                                       | 6,8                         |
| Im Mittel 10,0 |       |                              |   |                           |   |                             |
| 4              | 0     | 14,35                        | —   | 14,50                     | —   | —                           |
|                | 1     | 19,03                        | 32,6  | 17,91                     | 23,5  | 9,1                         |
|                | 2     | 22,38                        | 56,0  | 21,34                     | 47,1  | 8,9                         |
|                | 3     | 25,19                        | 74,8  | 24,60                     | 69,6  | 5,2                         |
| Im Mittel 7,7  |       |                              |   |                           |   |                             |
| 5              | 0     | 17,17                        | —   | 17,20                     | —   | —                           |
|                | 1     | 21,70                        | 26,4  | 20,25                     | 17,7  | 8,7                         |
|                | 2     | 24,93                        | 45,2  | 23,90                     | 38,9  | 6,3                         |
| Im Mittel 7,5  |       |                              |   |                           |   |                             |



Vergleich noch die Zahlen für den Fall, daß beide  $F$  bestrahlt waren, hinzugefügt und habe für beide Fälle das Anwachsen des Funkenpotentials von  $F_1 + F_2$  in Prozent von  $F_1$  berechnet. Die Differenz letzterer Zahlen ist unter  $\Delta$  angegeben. Hieraus ergibt sich, daß die Werte für Bestrahlung nur von  $F_1$  um ungefähr 10 Proz. von  $F_1$  niedriger sind, als wenn beide  $F$  bestrahlt werden.

Wurde dagegen nur  $F_2$  bestrahlt, so ergaben sich die bekannten Kurven, die ich ganz ohne Bestrahlung erhielt. Nur die Erhöhung des Potentials war sowohl für verschiedene  $F_1$ , wie auch für verschiedene Drahtlängen zwischen Kugel II und III stets ungefähr 13 Proz. von  $F_1$ . Dieses Verhalten zeigt Tabelle 7. in welcher die Funkenpotentiale von  $F_1 + F_2$  in Prozent von  $F_1$  mitgeteilt sind. Die verschiedenen Reihen für dasselbe  $F_1$  entsprechen verschiedenen Drahtlängen zwischen Kugel II und III.

Tabelle 7.  $F_1$  unbestrahlt,  $F_2$  bestrahlt.  
Erhöhung in Prozent von  $V_{F_1}$ .

| $F_2$<br>mm | $F_1 = 2$ mm | $F_1 = 3$ mm   |      |                   | $F_1 = 4$ mm |                |      |      | $F_1 = 5$ mm |      |                |      |
|-------------|--------------|----------------|------|-------------------|--------------|----------------|------|------|--------------|------|----------------|------|
| 1           | 13,5         | Mittel<br>13,5 | 11,2 | 9,5 <sup>1)</sup> | 13,0         | Mittel<br>11,9 | 13,7 | 11,4 | 10,6         | 16,4 | Mittel<br>13,1 | 13,5 |
| 2           | 13,5         |                | 11,6 | 10,3              | 13,8         |                | 13,7 | 11,1 | 10,7         | 16,6 |                | 13,5 |
| 3           | 99,0         |                | 12,0 | 11,1              | 14,6         |                | 14,4 | 10,8 | 10,8         | 16,8 |                | 13,5 |
| 4           | 103,5        |                | 85,0 | 70,0              | 81,0         |                | 15,0 | 10,5 | 10,9         | 17,1 |                | 13,3 |
| 5           | 110,0        |                | 80,0 | —                 | 81,0         |                | 80,0 | —    | —            | —    |                | 13,2 |
| 6           | 184,0        |                | —    | —                 | —            |                | —    | —    | —            | —    |                | —    |
| 7           | 195,0        |                | —    | —                 | —            |                | —    | —    | —            | —    |                | —    |

Befand sich zwischen Kugel II und III noch die Leidener Flasche, und wurden beide Funkenstrecken bestrahlt, so schwankten bei schnellerem Aufladen die Werte bei den Einzelentladungen stark hin und her und blieben unterhalb der sonstigen mit Bestrahlung gewonnenen Werte. Ließ ich den Motor aber genügend langsam laufen, so erreichten auch die aufeinander folgenden Einzelentladungen dieselben und zwar die für bestrahlte Funkenstrecken geltenden Spannungen.

Um zu einer Erklärung all dieser eigentümlichen Erscheinungen zu gelangen, gehe ich von der von J. J. THOMSON<sup>2)</sup> auf-

<sup>1)</sup> Bei dieser Reihe war die Bestrahlung intensiver, als bei den anderen.  
<sup>2)</sup> J. J. THOMSON, Phil. Mag. 50, 278, 1900. Siehe auch: THOMSON-MAN. Elektr.-Durchgang in Gasen, S. 399. Leipzig 1906.

gestellten Theorie über den Mechanismus der selbständigen Funkenentladung aus. Nach ihr wird die Ionisation des Gases, die notwendig ist, um dieses in den für den Funkenübergang erforderlichen leitenden Zustand zu versetzen, dadurch bewirkt, daß negative Ionen, welche stets im Gase vorhanden sind, unter dem Einfluß des elektrischen Feldes bewegt werden und durch den Anprall an Gasmoleküle, den „Ionenstoß“, neue negative Ionen erzeugen. Es würden jedoch bald alle negativen Ionen von der Elektrode fortgetrieben sein und damit würde der Strom erlöschen, wenn nicht auch die positiven Ionen auf dem Wege zur Kathode negative Ionen erzeugen könnten. Dieses geschieht nun nach J. J. THOMSON durch das „Kathodenbombardement“ der positiven Ionen. Letztere machen durch ihren Anprall auf die Kathode aus deren Metall bzw. aus der ihr unmittelbar anliegenden Gasschicht negative Elektronen frei. Diese werden von der negativen Ladung der Kathode abgestoßen, bzw. bewegen sich unter dem Einfluß des elektrischen Feldes und erzeugen nun ihrerseits wieder Ionen durch Spaltung der Gasmoleküle. Dieser Nachschub der negativen Ionen infolge des Kathodenbombardements ist also wesentlich für den Eintritt der Funkenentladung.

Schließen wir uns dieser Auffassung an, so ist es klar, daß wir von dem Augenblicke an, wo der Ionentransport beginnt, kein rein statisches, sondern ein dynamisches Feld haben. Die eigentliche Entladung ist also ein rein elektrodynamischer Vorgang. Bis zur Entladung aber ist das elektrostatische Feld von größter Wichtigkeit. Insbesondere wird auch das Kathodenbombardement durch elektrostatische Influenz beeinflusst werden können.

Nehmen wir den Fall an, daß der Funke zwischen einer positiv geladenen und einer geerdeten Kugel übergehen soll, so ist die ganze geerdete Kugel vor der Entladung durch Influenz mit negativer Elektrizität bedeckt. Steht dagegen der positiv geladenen Kugel eine isolierte gegenüber, so ist auf dieser die Verteilung der Influenzladung eine ganz andere: der Punkt, an dem die Verbindungslinie der Kugelmittelpunkte die zweite Kugel trifft, muß am stärksten negativ elektrisch sein. Die Dichtigkeit der negativen Elektrizität muß mit Entfernung von diesem Punkte abnehmen, auf einem Kreise Null werden, und hinter diesem Kreise muß die Kugel in gleicher Verteilung positiv werden.

Im zweiten Falle wird natürlich die Bewegung, welche die durch den Aufprall positiver Ionen emittierten Elektronen erfahren, eine wesentlich geringere sein, als in dem Falle, wo die zweite Kugel geerdet ist. Es werden also in dem Falle der isolierten Kathodenkugel erheblich weniger negative Ionen als Folge des Kathodenbombardements wirksam sein können, als in dem Falle, wo diese Kugel geerdet ist. Also muß bei isolierter Kathode die Spannung erheblich steigen, um eine für den Funkendurchgang hinreichende Ionisation des Gases zu bewirken. Aus der Verteilung der Influenzladung geht also hervor, daß das Funkenpotential bei isolierter Kathodenkugel höher sein muß, als bei einer geerdeten.

Derartig sind nun die Verhältnisse bei den von mir untersuchten Erscheinungen. Aus dem experimentellen Befunde ging hervor, daß bei dem Zuschalten von  $F_2$  (einer zweiten Funkenstrecke) das Funkenpotential um einen bestimmten Prozentsatz von dem Funkenpotential von  $F_1$  stieg, innerhalb einer bestimmten Größe von  $F_2$ . Wuchs  $F_2$  über diese Größe hinaus, so ging trotzdem bei dem vorigen (um einen bestimmten Prozentsatz erhöhten) Funkenpotential ein kleiner Funke zwischen Kugel I und II über. Daraus geht hervor, daß wir in diesem (um einen gewissen Prozentsatz erhöhten) Funkenpotential diejenige Spannung haben, die nötig ist, um Entladung zwischen einer geladenen und einer isolierten Kugel hervorzubringen. Am reinsten tritt dies in Erscheinung, wenn die beiden Funkenstrecken aus nur drei Kugeln gebildet werden. Dann erhalten wir beim Anwachsen von  $F_2$  in der mittleren Kugel eine isolierte Kathode und dementsprechend die oben erörterte Funkenpotentialerhöhung. Diese beträgt für  $F_1 = 2 \text{ mm}$  80 Proz. und für ein  $F_1 = 4 \text{ mm}$  etwa 65 Proz.

Haben wir dagegen an der Kugel II noch eine Leidener Flasche, so wird die Verteilung der Influenzladung auf Kugel II so sein, als wenn sie geerdet wäre: eine Erhöhung des Funkenpotentials kann nicht stattfinden. In der Tat sehen wir in diesem Falle, daß beim Zuschalten von  $F_2$  sich das Potential nicht erhöht.

Fügen wir nun an die Kugel II, wenn nur diese zwischen Kugel I und IV vorhanden ist, eine geringe Kapazität an, etwa indem wir durch ein kurzes Drahtstück an Kugel II die Kugel III anschließen, so muß sich dadurch die Verteilung der Influenz-

ladung auf Kugel II gleich ziemlich stark ändern, also muß auch die prozentische Erhöhung der Spannung ziemlich stark abnehmen: für ein Drahtstück von 3 cm Länge beträgt die Erhöhung nur noch 40 bis 50 Proz. Bei weiterem Anwachsen der Kapazität ändert sich das Funkenpotential immer weniger und wird schließlich erst bei relativ großer Kapazität gleich dem, wenn die Kugel geerdet ist. Der Abfall des Funkenpotentials ist also nicht proportional dem Zuwachs an Kapazität, wie es ja auch aus den Kurven der Fig. 3 hervorgeht.

In jedem Falle wird aber die zweite Funkenstrecke mit durchschlagen, solange das Funkenpotential von  $F_2$  allein kleiner ist, als das zum Durchschlagen von  $F_1$  erforderliche, je nach der Kapazität von Kugel II erhöhte Funkenpotential von  $F_1$ . Wird nun aber  $F_2$  so groß, daß dieses nicht mehr hinreicht, um Funkenentladung bei  $F_2$  herbeizuführen, so erhält durch den kleinen Funken bei  $F_1$  die Kugel II eine Ladung. Diese Ladung und die durch Influenz erzeugte Ladung ergeben eine neue Verteilung der Elektrizität auf Kugel II; infolgedessen muß die Spannung, die nunmehr nötig ist, um  $F_1$  zu durchschlagen, wieder soweit anwachsen, bis sie hinreicht, auch  $F_2$  mit zu durchschlagen. Bei weiterem Anwachsen von  $F_2$  bleiben die Verhältnisse dann wieder eine Zeitlang dieselben, bis wiederum  $F_2$  so groß wird, daß sein Eigenpotential größer ist, als das von  $F_1$  usw.

Da nun bei dem Funkendurchgang durch  $F_1$  an die Kugel III sehr plötzlich eine Spannung angelegt wird, so wird sich die Funkenentladung durch  $F_2$  für solche Werte von  $F_2$ , bei welchen der Knick der Kurve erfolgt, leicht verzögern; man beobachtet daher auch, daß dann die Funkenpotentiale der aufeinander folgenden Einzelentladungen stark schwanken. Ebenso haben wir bei sehr kleinen  $F_2$  nicht mehr volle Isolation der Kugel II, daher auch dann die erforderlichen Spannungen sehr schwanken. Niemals aber können natürliche Spannungen auftreten, die größer wären, als die Summe der Einzelpotentiale jeder Funkenstrecke. Die Kurven für diese Summen bzw. die damit fast identischen Kurven für bestrahlte Funkenstrecken tangieren daher (Fig. 2) die Kurven, die man für die betreffenden  $F_1 + F_2$  erhält.

Nach der anderen Seite hin werden diese Kurven durch die Kurve für eine einfache Funkenstrecke begrenzt. Nur in dem

Falle, daß an Kugel II + III die Leidener Flasche angeschlossen ist, gehen die Kurven für zusammengesetzte Funkenstrecken über die einer einfachen hinaus. Dort haben wir nämlich durch  $F_1$  hindurch die Entladung zwischen einem großen und einem kleinen Kondensator; es werden also bei der Entladung Oszillationen auftreten. Der Maximalwert der Spannung an Kugel III kann während dieser Schwingungen auf einen erheblich größeren Wert anwachsen, als der ursprüngliche Wert von Kugel I war. Also können auch noch größere  $F_2$  durchschlagen werden, als der gemessenen Spannung entsprechen. Befindet sich an Kugel II—III keine einigermaßen beträchtliche Kapazität, so können Schwingungen höchstens sehr schwach auftreten. Ist also die Kapazität an Kugel II gering, so muß der Knick in den Kurven für  $F_1 + F_2$  beim Erreichen der Kurve für eine einfache Funkenstrecke erfolgen, wie es ja auch der Fall ist.

Ganz anders muß nun aber der Funkenpotentialverlauf sein, wenn die Funkenstrecken mit ultraviolettem Lichte bestrahlt werden. Wie die Wirkung des ultravioletten Lichtes ist, d. h. ob dieses das Gas selbst ionisiert, oder nur aus dem Metall der Kugeln, insbesondere aus der Kathode, negative Ionen freimacht, ist für die vorliegende Untersuchung einerlei. Der zweite, also der photoelektrische Effekt auf die Kathode ist wohl sicher der überwiegende; auf jeden Fall werden durch die Bestrahlung zahlreiche negative Ionen in das Gas hineingebracht. Unter dem Einfluß des elektrischen Feldes werden diese einen ständigen Strom bewirken, bis die Ionisation des Gases so stark wird, daß die Funkenentladung eintreten kann. Bestrahle ich also beide Funkenstrecken, so habe ich nur eine Spannung zwischen der Kugel I und der Kugel IV bzw. eine Spannungsdifferenz zwischen Kugel I und II und eine zweite zwischen Kugel III und IV. Ich muß also ein Funkenpotential erhalten gleich der Summe der Einzelpotentiale, falls ich so langsam auflade, daß der Spannungsausgleich zwischen Kugel I und II, auch III und IV vollzogen ist, ehe die wirkliche Funkenentladung eintritt. Sogar für den Fall, daß an Kugel II die Leidener Flasche angebracht war, konnte ich ja durch hinreichend langsames Aufladen erreichen, daß das Funkenpotential gleich der Summe der Einzelpotentiale war.

Bestrahle ich nur  $F_1$ , so hat das ungefähr denselben Erfolg, als wenn ich beide  $F$  bestrahle, doch habe ich dann bei  $F_2$  erst kurz vor der Entladung durch Kathodenbombardement den nötigen Anstieg der Ionisation, während in  $F_1$  die Ionisation vom ultravioletten Licht übernommen wird. Dies ist ein weiterer Beweis dafür, daß nur die Vorgänge in  $F_1$  den eigentümlichen Verlauf der Kurven für unbestrahlte Funkenstrecken verursachen.

Tabelle 8. Ohne Bestrahlung.  
Erhöhung in Prozent von  $V_{F_1}$ .

| $F_1$ | $F_2$ | Kugel I positiv |      | Kugel I negativ |      |
|-------|-------|-----------------|------|-----------------|------|
|       |       |                 |      |                 |      |
| 3     | 1     | 26,8            | 26,3 | 29,3            | 27,6 |
| 3     | 2     | 28,4            | 27,2 | 31,0            | 27,8 |
| 3     | 3     | 29,7            | 28,9 | 31,0            | 28,1 |
|       |       | 28,3            | 27,6 | 30,4            | 27,8 |
|       |       | + 28,0          |      | + 29,1          |      |
| 4     | 1     | 27,4            | 27,4 | 27,2            | 28,8 |
| 4     | 2     | 27,4            | 31,3 | 27,6            | 27,4 |
| 4     | 3     | 27,4            | 31,0 | 27,2            | 31,3 |
| 4     | 4     | 27,4            | 31,2 | 27,6            | 31,2 |
|       |       | 27,4            | 30,2 | 27,4            | 29,8 |
|       |       | + 28,8          |      | + 28,6          |      |

Bestrahle ich andererseits nur  $F_2$ , so ist, wie oben angegeben, der allgemeine Verlauf der Kurven derselbe, wie ohne Bestrahlung. Doch ist dann die Erhöhung des Funkenpotentials von  $F_1$  auch für verschiedene Kapazitäten an Kugel II ungefähr dieselbe. Wir haben bei bestrahltem  $F_2$  die Kugeln III und IV gewissermaßen durch einen konstanten Widerstand verbunden. Es wird also auch die Elektrizitätsverteilung auf Kugel II trotz verschiedener Kapazitäten (innerhalb einer gewissen Größe derselben) bei bestrahltem  $F_2$  stets dieselbe sein, und wir erhalten daher eine für verschiedene Kapazität gleiche, einer relativ großen Kapazität entsprechende Erhöhung des Funkenpotentials von  $F_1$ .

Bei fast allen beschriebenen Messungen war Kugel I positiv geladen worden, Kugel II war also Kathode. Kontrollversuche

(Tabelle 8) zeigten aber, daß negative Ladung der Kugel I keinen meßbaren Unterschied in den Erscheinungen bedingte, sowohl dann nicht, wenn beide Funkenstrecken unbestrahlt waren (wie in Tabelle 8 angegeben), wie auch nicht, wenn nur  $F_1$  oder nur  $F_2$  bestrahlt wurden. Bei bestrahlten Funkenstrecken ist die Gleichheit ohne weiteres einzusehen, da dann die Ionen durch fremde Kraft erzeugt werden. Aber auch ohne Bestrahlung wird der polare Unterschied sich nur in so geringer Weise bemerkbar machen können, daß etwaige Differenzen in die Grenzen der Meßgenauigkeit fallen. Denn durch indirekte Influenzwirkung wird die Dichte der Ladung an Kugel I, auch wenn diese Kathode ist, verändert werden müssen. Durch das so geänderte elektrische Feld wird in gleicher Weise, wie vorher angegeben, die Wirkung des Kathodenbombardements geändert, so daß fast dieselben Erscheinungen auftreten müssen, wie in dem Falle, daß Kugel I Anode ist.

Wir haben gefunden, daß durch Ionisierung von  $F_1$  bei zwei hintereinander geschalteten Funkenstrecken das tatsächlich beobachtete Funkenpotential stark steigt, z. B. bei  $F_1 = 4$  mm,  $F_2 = 4$  mm und einer Drahtlänge zwischen Kugel II und III von 21 cm um 6500 Volt. Es wird also eine solche Funkenstreckenkombination äußerst empfindlich sein gegen Ionen, welche von außen zwischen Kugel I und II gebracht werden. Ich habe zur Probe etwas unterhalb in 10 bzw. 20 cm Entfernung von der Funkenstrecke  $F_1$  eine nichtleuchtende Flamme aufgestellt. Je nach der Entfernung der Flamme stieg das Funkenpotential mehr oder weniger stark an. Eine derartige Anordnung könnte sich also vielleicht in manchen Fällen zur Untersuchung der Ionisierung als zweckmäßig erweisen.

Die im vorigen eingeführte Anschauung, daß infolge des veränderten Effektes des Kathodenbombardements das Funkenpotential erheblich vergrößert wird, hat die Erklärung einer Reihe verwickelter Erscheinungen bei der von mir untersuchten Funkenentladung über zwei hintereinander geschaltete Funkenstrecken ermöglicht. Aber auch für die Erscheinungen der einfacher Funkenentladung scheint sie mir von Wichtigkeit zu sein. Nach dem Bisherigen wäre also das Funkenpotential insofern ein relativer Begriff, als es wesentlich von der Anzahl und der Bewegung der negativen Ionen zwischen den Elektroden abhängt. Ein absolut statisches Funkenpotential — falls dieses überhaupt

möglich ist — würde also wesentlich höher liegen, als die bisher gemessenen, stets mehr oder weniger dynamischen. Daß das Funkenpotential durch starke Ionisation mittels Kathodenstrahlen beträchtlich sinkt, hat vor kurzem Herr HERWEG<sup>1)</sup> experimentell nachgewiesen. Falls aber durch starke Ionisation das Funkenpotential stark herabgesetzt wird, muß auch notwendig durch geringe Ionisation eine geringe Herabsetzung erfolgen, d. h. also: wird das Gas einer Funkenstrecke ionisiert, so muß je nach dem Grade der Ionisation eine mehr oder weniger große Erniedrigung des Funkenpotentials erfolgen. Nun ist aber in scheinbarem Gegensatz hierzu das Potential einer Funkenstrecke, deren eine Kugel geladen wird und deren andere geerdet ist, bei langsamer Aufladung mit und ohne ultraviolette Bestrahlung fast das gleiche, wie es ja auch aus meinen beiden Reihen der Tabelle 1 hervorgeht. Herr WARBURG<sup>2)</sup> erklärt diesen Umstand dadurch, daß die Bestrahlung mit ultraviolettem Lichte nicht das Funkenpotential herabsetze, sondern nur die im Dunkeln stets vorhandene „Verzögerung“ aufhebe. Unter der von JAUMANN<sup>3)</sup> entdeckten Verzögerung ist die Erscheinung zu verstehen, daß namentlich bei plötzlichem Anlegen der Spannung sich nicht hinreichend schnell Ionen bilden können; ehe daher die wirkliche Entladung eintritt, steigt die Spannung oft noch um ein beträchtliches. Die Verzögerung wird also durch Ionenarmut des Gases hervorgerufen. Ein „verzögertes“ Funkenpotential ist demnach ein Funkenpotential, welches sich mehr oder weniger dem rein statischen nähert. Insofern hat Herr WARBURG natürlich Recht, als durch Ionenerzeugung die Verzögerung aufgehoben wird, da die Ionenkargheit aufgehoben wird. Gleichzeitig tritt aber eine Erniedrigung des Funkenpotentials ein, wenn man das rein statische (wahrscheinlich unmögliche) Funkenpotential zur Grundlage aller Funkenpotentiale wählt. Der scheinbare Gegensatz, der darin liegt, daß unbestrahltes und bestrahltes Funkenpotential gleich sind, würde sich also dahin erklären, daß bei unbestrahlter Funkenstrecke (bei langsamem Aufladen) durch das Kathoden-

<sup>1)</sup> HERWEG, Ann. d. Phys. (4) 24, 326, 1907.

<sup>2)</sup> WARBURG, Wied. Ann. 59, 1, 1896 (siehe auch sein Autoreferat in J. J. THOMSON, Elektrizitätsdurchgang in Gasen, Seite 370 ff.), Leipzig 1906.

<sup>3)</sup> JAUMANN, Wied. Ann. 55, 656, 1894.



bombardement ebenso viele Ionen erzeugt werden, als bei ultravioletter bestrahlter Funkenstrecke (einerlei ob bei schnellem oder langsamem Anlegen der Spannung) eben durch primäre oder sekundäre Ionisierung des Gases durch ultraviolettes Licht. Da nun die Stärke der durch Kathodenbombardement bewirkten Ionisierung naturgemäß sehr leicht schwankt, so ist die Folge davon, daß die im Dunkeln beobachteten Funkenpotentiale stets mehr oder weniger variieren. Hingegen sind die Funkenpotentiale bei Bestrahlung stets genau gleich, da die Bestrahlung eine gleichmäßigere Ionenerzeugung bewirkt. Auf diese Weise wäre also der Forderung genüge geschehen, daß jede Ionisierung des Gases eine Herabsetzung des Funkenpotentials zur Folge haben muß.

Die zu Anfang zitierte Folgerung des Herrn HEYDWEILLER, daß eine Unterteilung der Funkenstrecke das Funkenpotential nur unwesentlich beeinflussen könne, trifft nach meinen Messungen also nur für ultraviolett bestrahlte Funkenstrecken zu. Dasselbe wird höchst wahrscheinlich der Fall sein bei Messungen mit Induktorbetrieb, wenn also nicht die eine Kugel geerdet ist. Sonst hätte eine größere Verschiedenheit, wie sie bei meinen Messungen hervortrat, Herrn EICKHOFF<sup>1)</sup> bei seiner Untersuchung auffallen müssen, in welcher er nebenher das Funkenpotential einer unterteilten Funkenstrecke mit dem einer parallel geschalteten Funkenstrecke verglich. Dagegen kann sich also das Funkenpotential bei einseitig geerdeter unterteilter Funkenstrecke ganz beträchtlich ändern. Welchen Einfluß derartige Verhältnisse auf die Dämpfung haben, wäre eine weitere, möglicherweise für die funkentelegraphische Praxis wichtige Frage.

Diese Untersuchung habe ich auf die liebenswürdige Anregung des jüngst verstorbenen Herrn Geheimrats WÜLLNER hin angestellt, der die Tatsache des eigentümlichen Spannungsverlaufs bei zwei hintereinander geschalteten Funkenstrecken bereits vor einer Reihe von Jahren beobachtet hatte. Meine dankbare Verehrung dem Dahingeschiedenen gegenüber möchte ich auch an dieser Stelle aussprechen.

<sup>1)</sup> EICKHOFF, Physik. ZS. 8, 497, 1907.

**Über scheinbare Abweichungen vom  
Mariotteschen Gesetz und deren Einfluss auf die  
Messung kleiner Drucke;  
von Karl Scheel und Wilhelm Heuse.**

(Mitteilung aus der Physikalisch-Technischen Reichsanstalt.)

(Vorgetragen in der Sitzung der physikalischen Abteilung der 80. Ver-  
sammlung Deutscher Naturforscher und Ärzte zu Cöln am 23. September 1906.)

(Vgl. oben S. 623.)

In einer Untersuchung über die Gültigkeit des MARIOTTE-GAY-LUSSACSchen Gesetzes bei kleinen Drucken oberhalb 2,5 mm gelangten BALY und RAMSAY<sup>1)</sup> zu dem Resultat, daß verdünnte Luft, die in einem MC LEODSchen Manometer komprimiert wurde, der Bedingung  $pv = \text{const}$  nicht genügte. Die Abweichungen von diesem Gesetz waren für verschiedene Manometer verschieden und um so größer, je weiter die Kompression fortschritt. Als typisches Beispiel geben die Verfasser folgende Reihe, in welcher  $p$  den Druck bedeutet, unter dem sich das Gas in der Kapillare befindet, und  $pv$  in willkürlichem Maße ausgedrückt ist.

| $p$    | $pv$   | $p$    | $pv$  |
|--------|--------|--------|-------|
| 4,1 mm | 100    | 4,6 mm | 41,78 |
| 4,1 "  | 81,83  | 4,9 "  | 33,47 |
| 4,1 "  | 69,921 | 5,0 "  | 29,09 |
| 4,3 "  | 67,25  | 6,3 "  | 15,09 |
| 4,6 "  | 59,57  | 8,0 "  | 9,427 |

BALY und RAMSAY suchen den Grund für diese scheinbare Abweichung der Luft vom MARIOTTEschen Gesetz, die sie übrigens für Wasserstoff nicht beobachten konnten, in Oberflächeneinflüssen.

Lord RAYLEIGH<sup>2)</sup>, welcher mit Drucken zwischen 0,01 und 1,5 mm und mit Kompressionen vom Einfachen auf das Fünf-

<sup>1)</sup> Phil. Mag. (5) 33, 301—327, 1894.

<sup>2)</sup> Phil. Trans. (A) 196, 205—223, 1901.

fache in weiten Gefäßen arbeitete, fand das MARIOTTEsche Gesetz für Stickstoff, Wasserstoff und Sauerstoff bis auf 0,001 mm Druck voll bestätigt. Er zieht aus seinen Resultaten den Schluß, daß sie den üblichen Gebrauch des MC LEODschen Manometers für Stickstoff und Wasserstoff und, soweit die sogenannte BOHRsche Anomalie nicht störend einwirke, auch für Sauerstoff rechtfertigen.

Wenn man, was selbstverständlich erscheint, diesen Schluß Lord RAYLEIGHs auf Luft verallgemeinert, so ergibt sich eine Abweichung gegenüber den Resultaten von BALY und RAMSAY, deren Grund wohl nur darin gesucht werden kann, daß jener die Kompression in weiten Gefäßen, diese in Kapillaren ausführten. Es scheint also das Verhältnis von Oberfläche zu Volumen des benutzten Gefäßes für das Verhalten von Luft bezüglich des MARIOTTEschen Gesetzes maßgebend zu sein.

In Übereinstimmung mit dieser Auffassung stehen die Resultate einer Arbeit von E. HERING<sup>1)</sup>, welcher fand, daß das MARIOTTEsche Gesetz für Anfangsdrucke von 0,05 bis 1 mm und Kompressionen auf etwa  $\frac{1}{2}$  des Volumens und bei einer Mindestrohrweite von 10 mm gültig bleibt, aber wenig oder garnicht befolgt wird, wenn die Luft in Kapillaren von etwa 0,7 und 1,5 mm Weite komprimiert wird.

Diese Verhältnisse zu klären, ist der Zweck der nachstehend mitgeteilten Untersuchung.

Die benutzte Anordnung besteht im wesentlichen aus dem Manometer und dem Kompressionsapparat.

Das Manometer *M* (Fig. 1) ist demjenigen von Lord RAYLEIGH<sup>2)</sup> nachgebildet. Es besteht aus zwei miteinander fest verbundenen Glaskugeln als Druckkammern, welche zur Hälfte von einem gemeinsamen Reservoir aus mit Quecksilber gefüllt sind und in welche von oben her je eine Glasspitze eingeschmolzen ist. Die Einstellung auf Berührung von Spitze und ihrem Spiegelbild gleichzeitig in beiden Kammern geschieht durch Neigen des ganzen Manometers; die Größe der Neigung, welche durch Spiegel und Skala bestimmt wird, gibt unter Berücksichtigung der geometrischen Verhältnisse ein absolutes Maß für den Druckunterschied in beiden

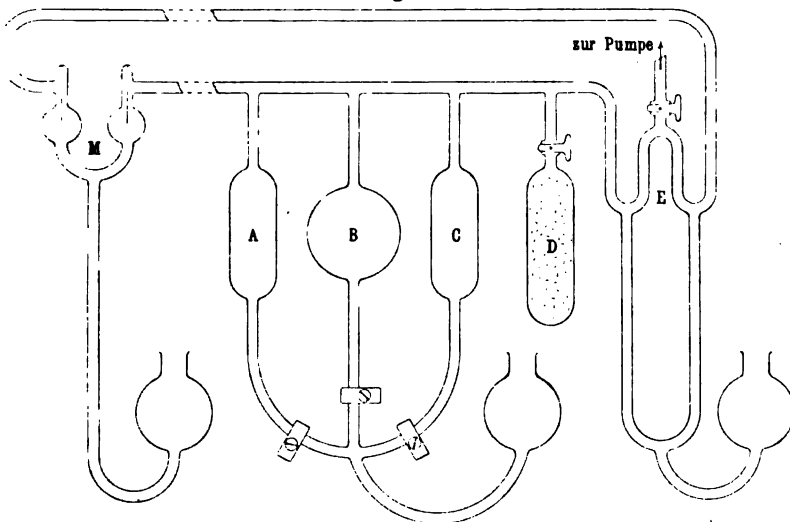
<sup>1)</sup> Ann. d. Phys. (4) 21, 319—341, 1906.

<sup>2)</sup> l. c. S. 208.

Kammern. Die Verbindung zwischen den Kammern und dem Kompressionsapparat ist durch Glasfedern hergestellt. Das Manometer erlaubte, in Übereinstimmung mit den Angaben Lord RAYLEIGHs, Druckunterschiede in beiden Kammern von 0,001 mm noch mit Sicherheit festzustellen.

Der Kompressionsapparat bestand aus drei parallel geschalteten kalibrierten kugel- bzw. zylinderförmigen Volumenometergefäßen (*A*, *C*, *B*) von rund 100, 200 und 400 ccm, welche durch aufsteigendes Quecksilber unabhängig voneinander gefüllt werden

Fig. 1.



konnten. Das gesamte schädliche Volumen betrug 77,0 ccm; es wurde nach einer von Lord RAYLEIGH<sup>1)</sup> angegebenen Methode bestimmt, welche die Gültigkeit des MARIOTTESchen Gesetzes nur zur Ermittlung einer Korrekptionsgröße voraussetzt.

Mit dem Kompressionsapparat konnte nach Bedarf ein viertes ebenfalls ausgemessenes zylindrisches Gefäß *D* von rund 100 ccm in Verbindung gesetzt werden. Das Gefäß diente zur Verwirklichung des leitenden Gedankens, das Verhältnis von Oberfläche und Volumen eines Hohlraumes zu ändern, zu welchem Zwecke es mit 10 bzw. 20 g Glaswolle angefüllt wurde. Aus der

<sup>1)</sup> l. c. S. 215.

Fadendicke der Glaswolle, 0,02 mm, berechnet sich die Oberfläche von 1 g derselben zu etwa 8 qdm, diejenige der benutzten Füllungen also zu etwa 80 bzw. 160 qdm. Durch die Anwesenheit der Glaswolle wird das Verhältnis von Oberfläche zu Volumen des 100 ccm fassenden und  $2\frac{1}{3}$  cm weiten Gefäßes gleich demjenigen in einer Kapillarröhre von 0,5 bzw. 0,25 mm Durchmesser. — Verzögerungen im Druckausgleich zufolge Anwesenheit der Glaswolle wurden nicht beobachtet.

Die Versuche mit dem geringeren Quantum Glaswolle sind als orientierende zu betrachten, und darum hier nicht näher diskutiert.

Bei den endgültigen Versuchen, bei welchen 20 g Glaswolle verwendet wurden, wurde der Anfangsdruck von der Nullage des Manometers ausgehend direkt bestimmt; die Nullage ihrerseits wurde gefunden, indem die eine Kammer des Manometers konstant auf einem sehr niedrigen Druck blieb, während man die andere, mit dem Kompressionsapparat verbundene, mittels Holzkohle in flüssiger Luft scharf evakuierte, wobei die Güte des Vakuums durch Kompression auf halbes Volumen kontrolliert wurde.

Die Versuche ohne Glaswolle werden durch Wiedergabe des folgenden Beispiels dargestellt:

| $p$      | $v$       | $p v$ |
|----------|-----------|-------|
| 0,068 mm | 804,2 ccm | 54,9  |
| 0,145 "  | 382,2 "   | 55,5  |
| 0,310 "  | 179,8 "   | 55,8  |
| 0,726 "  | 77,0 "    | 55,9  |

Demgegenüber ist bei dem folgenden Versuch mit Glaswolle die von BALY und RAMSAY beobachtete scheinbare Abweichung vom MARIOTTESchen Gesetze ganz augenfällig.

| $p$      | $v$       | $p v$ |
|----------|-----------|-------|
| 0,152 mm | 899,2 ccm | 136,6 |
| 0,704 "  | 172,0 "   | 121,1 |
| 0,159 mm | 899,2 ccm | 142,8 |
| 0,277 "  | 477,2 "   | 132,2 |
| 0,457 "  | 274,8 "   | 125,5 |
| 0,708 "  | 172,0 "   | 121,7 |

Die Abweichung verschwindet aber mehr und mehr, je weiter die Austrocknung des Apparates fortschreitet. Nach zwei Tagen, während welcher Zeit das Glaswollegefäß mit einem Trockengefäß (Phosphorpentoxyd) zeitweilig im hohen Vakuum in Kommunikation gewesen war, wurde beobachtet:

| $p$      | $v$       | $pv$  |
|----------|-----------|-------|
| 0,158 mm | 899,2 ccm | 141,9 |
| 0,296 "  | 477,2 "   | 141,1 |
| 0,511 "  | 274,8 "   | 140,5 |
| 0,812 "  | 172,0 "   | 139,6 |

Dagegen konnten durch Einbringen von Wasserdampf<sup>1)</sup> in das ganze System die Verhältnisse sofort wieder erheblich verschlechtert werden, wie folgende Reihe zeigt:

| $p$      | $v$       | $pv$  |
|----------|-----------|-------|
| 0,173 mm | 899,2 ccm | 155,5 |
| 0,377 "  | 172,0 "   | 64,9  |

Durch kurzes Trocknen im Vakuum (etwa 10 Minuten) konnte bereits eine erhebliche Verbesserung erzielt werden.

| $p$      | $v$       | $pv$  |
|----------|-----------|-------|
| 0,172 mm | 899,2 ccm | 155,0 |
| 0,811 "  | 172,0 "   | 139,5 |

Länger, etwa 24 Stunden fortgesetztes Trocknen im Vakuum ergab einen ähnlichen Zustand wie vor Einbringen von Wasserdampf:

| $p$      | $v$       | $pv$  |
|----------|-----------|-------|
| 0,169 mm | 899,2 ccm | 152,0 |
| 0,320 "  | 477,2 "   | 152,9 |
| 0,553 "  | 274,8 "   | 151,9 |
| 0,880 "  | 172,0 "   | 151,4 |

<sup>1)</sup> Wasser konnte aus einem zu diesem Zweck angeschlossenen Röhrchen bis zu dem der Zimmertemperatur entsprechenden Sättigungsdruck in das Vakuum des Apparates hinein verdampfen.

Die vorstehend mitgeteilten Beobachtungsergebnisse berechtigen zu der Annahme, daß die scheinbaren Abweichungen der Luft vom MARIOTTESchen Gesetz auf der Bildung einer Wasserhaut auf den Oberflächen im Innern der Kompressionsgefäße beruhen, nach deren Entfernung sie verschwinden.

Dieser Schluß legt die Vermutung nahe, daß die Brauchbarkeit des MCLEODSchen Vakuummeters in hohem Grade durch die Anwesenheit von Feuchtigkeit bzw. einer Wasserhaut beeinträchtigt wird.

Um dies zu untersuchen, wurde ein MCLEODSches Manometer aus Thüringer Glas an das Kompressionsgefäß angeschlossen. Der Rezipient desselben faßte etwa 100 ccm; die Kapillare hatte, bei einer Länge von etwa 40 cm, etwa 0,6 mm Durchmesser. Dieselbe Weite hatte das zur Ablesung benutzte Steigrohr. Das MCLEODSche Manometer wurde vor seiner Aufstellung sorgfältig mit konzentrierter Salpetersäure und destilliertem Wasser gereinigt.

In den folgenden Zusammenstellungen der wesentlichen Beobachtungsergebnisse bezeichnet  $p$  den Druck, unter dem die Luft in der Kapillare des MCLEODSchen Manometers steht,  $v$  das zugehörige Volumen,  $P$  den hieraus in der üblichen Weise abgeleiteten Druckwert, endlich  $\wp$  den aus den Angaben des RAYLEIGHSchen Manometers durch Kompression auf die Hälfte des Volumens berechneten absoluten Druck.

1. Die erste Versuchsreihe, bei welcher das Vakuum durch Kohle in flüssiger Luft schnell hergestellt war, ergab folgendes Resultat:

$$\wp = 0,011 \text{ mm.}$$

| $p$    | $v$      | $pv$ | $P$      |
|--------|----------|------|----------|
| 9,3 mm | 67,4 cmm | 626  | 0,007 mm |
| 14,0 " | 38,8 "   | 543  | 0,006 "  |
| 27,4 " | 17,7 "   | 484  | 0,005 "  |
| 80,7 " | 5,3 "    | 425  | 0,004 "  |

Es zeigt sich hier nicht nur der erwartete Unterschied zwischen den Angaben des RAYLEIGHSchen und des MCLEODSchen

Manometers, sondern auch, daß das MC LEODSche Manometer je nach der Stelle der Ablesung nur  $\frac{2}{3}$  bis  $\frac{1}{3}$  des wahren Druckes ergibt. Hierin trat eine Änderung ein, nachdem der Apparat bis zum nächsten Tage im Vakuum mit Phosphorpentoxyd in Verbindung gestanden hatte.

$$\text{§} = 0,011 \text{ mm.}$$

| $p$     | $v$      | $pv$ | $P$      |
|---------|----------|------|----------|
| 14,7 mm | 66,2 cmm | 978  | 0,010 mm |
| 25,8 "  | 40,0 "   | 1038 | 0,011 "  |
| 45,4 "  | 22,9 "   | 1038 | 0,011 "  |
| 102,7 " | 10,5 "   | 1077 | 0,011 "  |
| 76,5 "  | 14,2 "   | 1086 | 0,011 "  |
| 33,0 "  | 32,5 "   | 1072 | 0,011 "  |
| 15,6 "  | 67,8 "   | 1057 | 0,011 "  |

2. Die folgende Serie gibt Resultate wieder, wie sie erhalten wurden, wenn man den Apparat 20 Stunden lang mit Wasserdampf von etwa 10 mm Druck hatte stehen lassen und dann kurze Zeit mit Zimmerluft von Atmosphärendruck gefüllt und 10 Minuten lang mit einer Gaedepumpe evakuiert hatte.

$$\text{§} = 0,010 \text{ mm.}$$

| $p$    | $v$      | $pv$ | $P$                   |
|--------|----------|------|-----------------------|
| 3,0 mm | 74,0 cmm | 222  | 0,002 <sub>3</sub> mm |
| 5,7 "  | 38,3 "   | 218  | 0,002 <sub>3</sub> "  |
| 12,2 " | 17,7 "   | 216  | 0,002 <sub>2</sub> "  |
| 80,6 " | 2,2 "    | 181  | 0,001 <sub>5</sub> "  |
| 36,0 " | 6,0 "    | 214  | 0,002 <sub>2</sub> "  |
| 4,7 "  | 31,9 "   | 150  | 0,001 <sub>5</sub> "  |
| 4,6 "  | 50,8 "   | 234  | 0,002 <sub>4</sub> "  |
| 3,3 "  | 73,3 "   | 242  | 0,002 <sub>3</sub> "  |

Hier gibt das MC LEODSche Manometer in allen Einstellungen innerhalb 0,001 mm den gleichen Druck, der aber tatsächlich nur  $\frac{1}{3}$  des wahren Wertes ist. Nach halbstündigem Stehen des Apparates ohne Verbindung mit einem Trockenmittel war nicht nur die Übereinstimmung der Einzeleinstellungen des MC LEODSchen Manometers verschwunden, sondern auch die Abweichung seiner



Angaben vom wahren Druckwert, welcher infolge Gasabgabe von den Wänden höher als zuvor ist, für die stärkeren Kompressionen noch gewachsen.

$$\beta = 0,024 \text{ mm.}$$

| $p$     | $v$      | $pv$ | $P$      |
|---------|----------|------|----------|
| 12,5 mm | 72,8 cmm | 909  | 0,010 mm |
| 15,7 "  | 43,1 "   | 676  | 0,007 "  |
| 25,9 "  | 15,9 "   | 411  | 0,004 "  |
| 76,0 "  | 3,3 "    | 252  | 0,003 "  |
| 57,0 "  | 4,7 "    | 269  | 0,003 "  |
| 16,0 "  | 30,4 "   | 487  | 0,005 "  |
| 10,5 "  | 50,9 "   | 532  | 0,006 "  |
| 12,5 "  | 69,3 "   | 867  | 0,009 "  |

Durch weiteres (halbständiges Pumpen) und darauf folgendes Einlassen von trockener Luft zeigte sich bei einem Druck von 0,023 mm kein Unterschied mehr zwischen den Angaben des RAYLEIGHschen und des MC LEODschen Manometers in seinen verschiedenen Einstellungen. Ein ähnliches Resultat wurde durch bloße halbständige Verbindung des Apparates mit dem unter gleichem Druck stehenden Trockenmittel erzielt.

3. Bei einer weiteren Reihe war der getrocknete Apparat mit atmosphärischer Luft gefüllt und nach Ablauf von 20 Stunden während 8 Minuten mit der Gaedepumpe evakuiert.

$$\beta = 0,017 \text{ mm.}$$

| $p$     | $v$      | $pv$ | $P$      |
|---------|----------|------|----------|
| 20,4 mm | 70,2 cmm | 1432 | 0,015 mm |
| 106,2 " | 12,4 "   | 1315 | 0,014 "  |
| 89,9 "  | 14,7 "   | 1320 | 0,014 "  |
| 21,7 "  | 70,3 "   | 1525 | 0,016 "  |

Es zeigte sich also auch hier ein deutlicher Unterschied zwischen  $\beta$  und  $P$ , sowie der Werte von  $pv$  untereinander. Unterschiede, die nach einer halben Stunde, während welcher der Apparat unter Abschluß vom Trockenmittel sich selbst überlassen blieb, noch erheblich gewachsen waren.

$$\vartheta = 0,042 \text{ mm.}$$

| $p$     | $v$      | $pv$ | $P$      |
|---------|----------|------|----------|
| 29,1 mm | 69,8 cmm | 2031 | 0,021 mm |
| 103,1 " | 14,3 "   | 1479 | 0,015 "  |
| 99,1 "  | 14,9 "   | 1482 | 0,015 "  |
| 23,8 "  | 70,9 "   | 1687 | 0,018 "  |

Nach halbstündiger Verbindung mit dem Trockenmittel waren dann diese Unterschiede wieder verschwunden.

Die vorstehenden Untersuchungen ergeben, daß das MC LEODSche Manometer sehr wohl zur exakten Messung kleiner Drucke in atmosphärischer Luft zu brauchen ist, nur muß sorgfältig alle Feuchtigkeit aus der Luft und von den Glaswänden entfernt werden. Bei einem Manometer aus Thüringer Glas mit 0,6 mm weiten Kapillaren, welches vor Inbetriebsetzung und vor Zuschmelzen der Kapillare sorgfältig mit konzentrierter Salpetersäure und destilliertem Wasser gereinigt ist, genügt hierfür eine halbstündige Verbindung mit Phosphorpentoxyd unter niedrigem Druck. Es genügt aber nicht bei Anwendung schnell wirkender Pumpen die Verbindung mit dem Trockenmittel nur während der Zeit des Pumpens. Druckmessungen, welche 10 Minuten nach Inbetriebsetzung einer solchen Pumpe mit dem MC LEODSchen Manometer vorgenommen werden, führen notwendigerweise zu falschen Druckwerten, die um so unrichtiger sind, je höher die Kompression der Luft bei der Messung getrieben wird.

Diese Resultate gelten zunächst nur innerhalb des benutzten Druckintervalls abwärts bis 0,01 mm Hg. Unterhalb 0,01 mm lassen sich die Drucke mit dem RAYLEIGHschen Manometer nicht mehr mit der genügenden Genauigkeit messen, doch sind Versuche im Gange, um mit Benutzung eines empfindlicheren Manometers die hier behandelten Fragen auch in niedrigeren Druckbereichen zu studieren.

Charlottenburg, den 27. Juli 1908.

**Über Demonstration  
langsamer elektrischer Schwingungen;  
von W. König.**

(Vorgetragen in der Sitzung der physikalischen Abteilung der 80. Versammlung:  
Deutscher Naturforscher und Ärzte zu Köln, am 23. September 1908.)  
(Vgl. oben S. 623.)

Auf der vorjährigen Naturforscher-Versammlung hat uns Herr WIENER<sup>1)</sup> in Leipzig ganz langsame elektrische Schwingungen vorgeführt, die in einem Schwingungskreise von sehr großer Selbstinduktion und großer Kapazität erzeugt wurden. Da mir im Gießener Institut auch ein großer Transformator mit einer Sekundärspule von etwa 1100 Henry zur Verfügung steht, so habe ich die Versuche nachgemacht, habe mich aber anderer Mittel zur Demonstration der Schwingungen bedient und möchte mir erlauben, darüber eine kurze Mitteilung zu machen. — Man kann die Erscheinungen sehr einfach und bequem mit der BRAUNschen Röhre demonstrieren, wie sie Herr RICHARZ zuerst für die Demonstration elektrischer Schwingungen angewandt hat<sup>2)</sup>; nur bedarf man bei der Langsamkeit des Vorganges keiner Zerlegung mit dem rotierenden Spiegel. Benutzt man eine Röhre in der von WEHNELT<sup>3)</sup> angegebenen Form mit eingebautem Kondensator, so kann man sowohl die Potentialschwingung wie die Stromschwingung damit demonstrieren. Wird der Röhrenkondensator an die beiden Seiten der Kapazität direkt angeschlossen, so bedarf es nur einer Erregung der Schwingungen von passender Stärke, um den Fluoreszenzfleck in Richtung der elektrischen Kraftlinien langsam hin und her pendeln zu sehen. Die Erregung geschah durch Unterbrechung eines Stromes von passender Stärke im primären Kreise des Transformators. Die Empfindlichkeit der Röhre war derart, daß eine

<sup>1)</sup> O. WIENER, Phys. ZS. 8, 752—755, 1907; Verhandl. der D. Phys. Ges. 9, 470—477, 1907.

<sup>2)</sup> J. RICHARZ, Ann. d. Phys. (4) 1, 468—473, 1900.

<sup>3)</sup> A. WEHNELT, Verhandl. der D. Phys. Ges. 5, 31, 1903.

Spannungsdifferenz von 145 Volt an den Platten des Kondensators eine Ablenkung des Fleckes um 4,2 mm bewirkte. Um die Stromschwingung durch die magnetische Ablenkung des Fleckes zu demonstrieren, bedarf es bei der geringen Stärke dieser Ladungsströme eines ablenkenden Magneten von hoher Windungszahl. Am einfachsten benutzt man dazu einen kleinen Induk-

Fig. 1.



tionsapparat von 8 bis 10 cm Schlagweite, dessen Sekundärspule man zwischen die Kapazität und die Selbstinduktion in den Schwingungskreis einschaltet. Später habe ich mich eines Hufeisenmagnets bedient, dessen Schenkel von dünnadrätigen Wickelungen in vielen Lagen umgeben waren, und zwischen dessen Polen die Röhre lag. Hier wurden 4 mm Ablenkung des Fleckes durch eine Stromstärke von 0,0006 Amp. erzeugt. Diese Empfindlichkeit konnte durch Nebenschlüsse zu dem Magneten in bequemer Weise herabgesetzt und reguliert werden. — Das Interesse der ganzen

\*

Versuchsordnung liegt nun wesentlich darin, daß sich der Versuch mit gleichzeitiger gekreuzter Ausführung der beiden Ablenkungen, den Herr WIENER in seiner Mitteilung bereits andeutet, hier sehr einfach und sehr anschaulich ausführen läßt. Werden die

Fig. 2.



elektrische und die magnetische Ablenkung senkrecht zueinander gerichtet und gleichzeitig erregt, so beschreibt der Fleck eine je nach der Dämpfung mehr oder weniger steile Spirale. Da diese bei wiederholten Unterbrechungen unter sonst unveränderten Versuchsbedingungen immer die gleiche Lage inne hat, so läßt sie sich durch eine geeignete Anzahl wiederholter Expositionen gut photographieren. In dieser Form kann ich Ihnen das Resultat

<sup>1)</sup> S. Verhandl. der D. Phys. Ges. 9, 475, 1907.

dieser Versuche vorführen. Fig. 1 zeigt eine derartige Spirale allerdings bei starker Dämpfung. Auch die schnelleren Schwingungen, wie sie in den Sekundärspulen von Induktorien bei angehängten Kapazitäten entstehen, geben Spiralen, die trotz der kürzeren Dauer der Lichterscheinung doch, wenigstens aus der Nähe betrachtet, sehr deutlich sichtbar sind und sich natürlich ebensogut photographieren lassen. Fig. 2 zeigt eine Spirale, die in einem solchen Falle erhalten wurde.

---

***Die Erklärung des periodischen Systems  
der Elemente mit Hilfe der Elektronentheorie;  
von H. Strache.***

(Auszug.)

(Vorgetragen in der gemeinsamen Sitzung der physikalischen und chemischen  
Abteilung der 80. Versammlung Deutscher Naturforscher und Ärzte zu G. z.  
am 25. September 1908.)

(Vgl. oben S. 625.)

Der Vortrag faßt in viel umfangreicherer Weise, als dies der Titel desselben zu erkennen gibt, die gesamten physikalischen und chemischen Naturerscheinungen auf Grund der Einheitlichkeit der Materie und des Weltäthers, sowie der Einheit aller Naturkräfte zusammen. Die Annahmen, welche danach nötig sind, um nahezu alle Naturerscheinungen durch die Gegenwart einer einzigen Art von materiellen Uratomen (Korpuskeln) zu erklären, welche aufeinander mit einer einzigen Kraft — der allgemeinen Attraktion — wirken, widersprechen dabei den jetzt geltenden Theorien durchaus nicht und schließen sich eng an die sogenannte Elektronentheorie, die nur geringe Änderungen erleidet. Nach der Elektronentheorie faßt man auch die Elektrizität atomistisch — also aus kleinsten Teilchen bestehend — auf, wobei jedes Teilchen (Elektron genannt) eine bestimmte Ladung repräsentiert. Manche nehmen zweierlei Arten von Elektronen (der positiven und negativen Elektrizität entsprechend) an; es tritt jedoch bereits vielfach die Ansicht auf, daß man die elektrischen Erscheinungen auch durch Annahme einer einzigen Gattung von Elektronen, nämlich den negativen, erklären könne, indem man die positive elektrische Ladung als durch einen Mangel an Elektronen verursacht bezeichnet.

Auch die Ansicht, daß die Elektronen mit den kleinsten Teilchen des Weltäthers identisch seien, ist schon hervorgetreten. Dem schließt sich der Vortragende an und erweitert die Hypothese, indem er auch die kleinsten Teilchen, aus denen man sich

die Atome zusammengesetzt denken kann (die Korpuskeln), als identisch mit den Ätherteilchen und Elektronen betrachtet.

Die anziehende Kraft, welche die Korpuskeln in großer Entfernung aufeinander ausüben, bildet die Gravitation (Schwerkraft). Diese anziehende Kraft geht jedoch bei den geringen Entfernungen der Atome und Moleküle voneinander in eine abstoßende Kraft über, anderenfalls würden sich alle Atome der Welt zu einem Klumpen zusammenballen. Der Vortragende nimmt an, daß diese zwischen den Korpuskeln wirkende Kraft bei Annäherung über eine gewisse Grenze in Abstoßung übergeht, bei weiterer Annäherung in stärkere Anziehung, bei noch weiterer Annäherung in noch stärkere Abstoßung übergeht usw., und zeigt dann, daß sich mit Hilfe dieser Annahme nahezu alle Naturerscheinungen einheitlich erklären lassen. Die Ursache dieser rätselhaften Kraft bleibt dabei natürlich ebenso verborgen, wie es die Ursache der Gravitation bisher war.

Zwischen jenen Entfernungen, innerhalb welchen sich die Korpuskeln anziehen und jenen, innerhalb welchen sie sich abstoßen, befinden sich Stellen, wo sie sich weder abstoßen noch anziehen, also Gleichgewichtslagen. Befinden sich eine Anzahl von Korpuskeln in solchen Gleichgewichtslagen gegeneinander und verrückt man eine Korpuskel aus ihrer Gleichgewichtslage, so kehrt sie in dieselbe zurück. Denkt man sich den ganzen Weltraum mit Korpuskeln angefüllt, so werden sich dieselben alle in solche Gleichgewichtslagen gegeneinander stellen. Nach obiger Annahme gibt es aber mehrere Gleichgewichtslagen zwischen zwei Korpuskeln, solche in größerer und solche in geringerer Entfernung. Man kann nun annehmen, daß der ganze Weltraum mit Korpuskeln erfüllt ist, welche in einer größeren Entfernung in Gleichgewichtslagen stehen, und daß diese den Weltäther bilden. Dagegen müssen Korpuskeln, welche sich in näher gelegenen Gleichgewichtslagen anhäufen, natürlich andere Gebilde hervorbringen, die sich vom Weltäther unterscheiden müssen, und diese Anhäufungen von Korpuskeln betrachtet der Vortragende als Atome unserer materiellen Substanzen. Die Atome bewegen sich durch die verhältnismäßig weit voneinander abstehenden Ätherteilchen hindurch wie durch die Maschen eines Siebes. Der Äther durchdringt daher alle Stoffe.



Der Weltäther wird also nicht als außerordentlich feines Gas oder dergleichen aufgefaßt, sondern als aus Teilchen bestehend betrachtet, welche im Raume ihre bestimmten Gleichgewichtslagen haben und dahin zurückkehren, wenn man sie daraus verschiebt. Es ist dies eine Ansicht, die schon P. SECCHI vor 40 Jahren ausgedrückt hat. In diesem Äther können Spannungszustände eintreten wie in einer Kautschukmasse, deren Teilchen ebenfalls verschiebbar sind, aber in ihre Gleichgewichtslagen zurückzukehren suchen. Diese Spannungen können von zweierlei verschiedener Art sein. Entweder es wirkt eine abstoßende oder anziehende Kraft von einem Punkte aus in radialer Richtung, wodurch die Ätherteilchen auseinandergedrückt oder zusammengezogen werden, dann entspricht dies einer elektrischen negativen oder positiven Ladung, die ein elektrisches Feld im Äther erzeugt, oder die Verschiebung der Ätherteilchen erfolgt parallel zur Oberfläche eines Körpers, z. B. eines Drahtes, dann ergibt dies ein magnetisches Feld. Die Wirkung, welche ein Magnetstab auf den ungeladenen Äther ausübt, kann man sich denken, wenn man sich einen runden Stab in eine Kautschukmasse eingeleimt denkt und unter Festhalten der äußeren Teile des Kautschuks dem Stabe eine Drehung erteilt. Der elektrische Strom wird als eine Bewegung von Ätherteilchen (Elektronen) durch die Substanz des Leiters hindurch betrachtet, und zwar in der Richtung vom negativen zum positiven Pol. Man kann dann beweisen, daß diese Spannungszustände im Äther alle anziehenden und abstoßenden Wirkungen ergeben, welche man zwischen elektrischen und magnetischen Feldern und elektrischen Strömen kennt, und ebenso sind die Erscheinungen der elektrischen und magnetischen Induktionen erklärbar, wenn man noch die sehr naheliegende Annahme hinzufügt, daß durch einen elektrischen Strom, der einen Draht durchfließt, die Ätherteilchen des den Draht umgebenden Stromes in der Richtung des Stromes (vom negativen zum positiven Pol) eine Strecke weit mitgezogen, also aus ihren Gleichgewichtslagen unter Hervorrufung eines elektromagnetischen Feldes verschoben werden.

Die materiellen Atome der Körper üben natürlich ebenfalls eine Kraft auf den sie umgebenden Äther aus. Ob diese Kraft eine anziehende oder abstoßende ist, hängt davon ab, wie weit

die Korpuskeln an der Oberfläche des Atoms von den nächsten Korpuskeln, welche den Äther bilden, entfernt sind. Wirkt ein kleines Atom noch anziehend auf die umgebenden Ätherteilchen, so wird ein größeres, dessen Korpuskeln sich in sehr geringer Entfernung von den nächsten Ätherteilchen befinden, bereits eine abstoßende Wirkung auf dieselben ausüben, ein noch größeres wegen der wechselnden Wirkung der Attraktion wieder eine anziehende usw. Die Wirkung auf die Ätherteilchen ist aber gleichbedeutend mit einer elektrischen Ladung. Ist also ein kleines Atom elektropositiv, so wird ein größeres elektronegative Wirkungen üben, ein noch größeres wieder positive usw. Daraus erklärt es sich, daß bei zunehmendem Atomgewicht (zunehmender Größe der Atome) die Elemente abwechselnd elektropositiven und negativen Charakter tragen. Durch Zufügen von einem oder mehreren Korpuskeln (Ätherteilchen) in die Ätherhülle eines Atoms kann der durch die anziehende Wirkung des Atoms hervorgerufene Spannungszustand des Äthers beseitigt werden. Ein elektropositives Atom kann also durch Zugabe von einem oder mehreren Ätherteilchen (Elektronen) entladen werden; ebenso verliert ein elektronegatives Atom durch Wegnahme eines oder mehrerer Ätherteilchen (Elektronen) aus seiner Umgebung seine Wirkung auf den Äther. Je nachdem, ob eines oder mehrere Ätherteilchen (Elektronen) zur Absättigung erforderlich sind, nennt man die Elemente ein-, zwei-, dreiwertige usw. Entgegengesetzt geladene Atome ziehen sich an; steht jedoch z. B. einem zweiwertigen positiven Atom, welches zwei Ätherteilchen zu wenig in seiner Ätherhülle hat, nur ein einwertiges negatives Atom gegenüber, das einen Überschuß von nur einem Ätherteilchen in seiner Umgebung besitzt, so wird nach deren Vereinigung noch immer ein Mangel von einem Ätherteilchen vorhanden sein, und erst nach Hinzutreten eines zweiten negativen Atoms wird die Spannung und damit die die Atome vereinigende elektrische Ladung beseitigt oder die „Valenzen gesättigt“ sein, wie man sich in der Chemie auszudrücken pflegt.

Nicht nur die Wertigkeit, sondern auch die meisten anderen Eigenschaften der Elemente hängen von dem Einfluß ihrer Atome auf den Äther ab und verändern sich daher periodisch mit dem Atomgewicht. Dies drückt aber das periodische System der

Elemente aus. Der Vortragende gab sodann eine graphische Darstellung des periodischen Systems, in welcher die Abhängigkeit der Wertigkeit vom Atomgewicht dargestellt ist und wonach der Vortragende vier weitere neue Elemente mit den Atomgewichten 99, 176, 223, 235 vorhersagen zu können glaubt.

In höchst einfacher Weise ergibt sich nach dieser Hypothese, daß die Ätherteilchen (Elektronen), welche sich zwischen den Atomen von Metallen (d. h. elektropositiven Stoffen) befinden, nicht bestimmte stabile Gleichgewichtslagen haben können, sondern sich zwischen diesen wie die Moleküle einer Flüssigkeit verhalten müssen, d. h. frei beweglich sind. Daraus ergibt sich die Leitfähigkeit der Metalle für den elektrischen Strom und die Undurchsichtigkeit der Metalle, denn die Lichtstrahlen können nur Stoffe durchdringen, in denen die Ätherteilchen stabile Gleichgewichtslagen besitzen, denn nur solche vermögen die Transversalwellen des Lichtes fortzupflanzen. Auch die Entstehung der HERTZschen elektrischen Wellen, die in der drahtlosen Telegraphie eine so ausgebreitete Anwendung gefunden haben, erklärt sich aus den Schwingungen, in welche die Ätherteilchen geraten, wenn sie von einem Wechselstrom längs eines Drahtes hin und her gezogen werden. Diese Wellen unterscheiden sich von den Lichtwellen nur durch ihre Schwingungsdauer und sie werden mit den Lichtwellen identisch, wenn die Frequenz des Wechselstromes die Zahl der Lichtschwingungen erreicht. Die schwer verständliche elektromagnetische Polarisierung im Äther, welche der MAXWELLSchen elektromagnetischen Lichttheorie zugrunde liegt, ist somit durch die wesentlich einfachere der magnetischen Verschiebung der Ätherteilchen in der Richtung des elektrischen Stromes ersetzt.

Der Vortragende erläuterte dann noch die Ursache der Drehung der Polarisierungsebene des Lichtes durch das magnetische Feld, durch Kristalle und durch asymmetrisch gebaute Moleküle, die ebenfalls eine einfache, präzise Erklärung finden; ferner die Tatsache, daß chemische Reaktionen nur bei einer bestimmten Temperatur — der Reaktionstemperatur — auftreten können; die bei den Reaktionen auftretende oder verbrauchte Wärme; die Reaktionsgeschwindigkeit; schließlich den Einfluß der Katalysatoren, d. h. an der Reaktion nicht beteiligter Stoffe, welche

Die Reaktionsgeschwindigkeit stark beeinflussen, und verweist darauf, daß auch die Aggregatzustände und die Erscheinungen bei Änderung derselben (Schmelzen, Verdampfen, Lösungen), sowie die Erscheinungen auf dem Gebiete der Elektrizität und des Magnetismus, wie Thermoelektrizität, Berührungselektrizität, Elektrolyse, Entladungserscheinungen, Kathodenstrahlen, die Strahlung des Radiums usw. anschauliche Erklärungen finden, welche der Vortragende in Form einer Broschüre zusammenzufassen beabsichtigt.

---

***Über chemisch wirkende elektrische Strahlungen:  
von A. Remelé.***

(Vorgetragen in der gemeinschaftlichen Sitzung der physikalischen und chemischen Abteilung der 80. Versammlung Deutscher Naturforscher und Ärzte zu Köln am 24. September 1908.)

(Im Auszug.)

(Vgl. oben S. 625.)

Der Vortragende hat schon vor 2 $\frac{1}{2}$  Jahren eine merkwürdige Beobachtung am Borstickstoff (BN) gemacht, einer weißen, feinpulverigen Substanz, welche, wenn sie nach dem alten

Fig. 1.



Photographisches Strahlungsbild von Borstickstoff, durch schwarzes Papier bei Lufttemperatur erhalten.

WÖHLERSchen Verfahren durch heftiges Glühen von gebranntem Borax mit der doppelten Menge trockenen Salmiaks dargestellt worden ist, durch einen hohen Grad von Unveränderlichkeit, sowohl Glutbeständigkeit als auch Unangreifbarkeit durch chemische Agenzien, sich auszeichnet. Von dieser Substanz wurde ungefähr 1 g in der Form eines großen lateinischen B auf eine in undurchsichtiges schwarzes Papier eingewickelte, mit der Bildschicht nach oben gewendete Bromsilber-Gelatineplatte gelegt und bei völligem Lichtausschluß sich selbst überlassen. Nach einer Expositionszeit von 2 Jahren 2 Monaten und 8 Tagen, bei deren Dauer der Zufall etwas mitgewirkt hat

wurde die Platte entwickelt und lieferte nun ein in Positivkopie (Fig. 1) wiedergegebenes Strahlungsnegativ von ganz demselben

Charakter und ebenso ausgeprägt wie diejenigen, welche man mit den Uran- und Thorsubstanzen und schneller mit Radiumpräparaten bekommt: genau entsprechend der Borstickstoff-Auflage in Buchstabenform zeigt das sonst, auch nebenan unter einer Aufschichtung von Thalliumchlorür klar gebliebene Negativ sich geschwärzt. Ein ebensolcher Versuch, bei dem die Exposition aber nur auf 9 Monate weniger 2 Tage sich erstreckte, ergab, wenn auch viel schwächer, dieselbe photographische Wirkung.

Es ist dem Chemiker bekannt, daß der Borstickstoff mit schönem grünlichweißem Lichte aufleuchtet, wenn er in einer nichtleuchtenden Gasflamme erhitzt wird. Diese Lichterscheinung tritt auch in den Flammen anderer brennender Gase oder Dämpfe ein; sie ist aber nicht, wie bisher allgemein angenommen wurde, an ein Erglühen gebunden, im Gegenteil hört sie hierbei auf, und in der Bunsenflamme zeigt sie sich mindestens schon bei 110° C. Der auf einer geeigneten Unterlage (anfangs wurde hierzu der Deckel eines Platintiegels, später nur Bergkristallglas genommen) einfach mit Hilfe von destilliertem Wasser aufgeschichtete Borstickstoff wirkt nun, wenn er in dieser Flamme leuchtet, weit energischer und noch bei 8 cm und mehr Abstand durch schwarzes Papier hindurch auf die photographische Platte; die Expositionszeit, um auf diese Art kräftige Strahlungsbilder zu bekommen, bemißt sich nach Stunden. Allein ein solches Verhalten ist nicht auf den Borstickstoff beschränkt: es kommt auch Metallen (wie Platin, Nickel, Silber) und selbst nichtmetallischen Substanzen (z. B. Asbest) zu, jedoch in diesen Fällen nur in voller Glühhitze.

Die Strahlung des leuchtenden Borstickstoffs geht nicht bloß durch photographisches Schleierpapier hindurch, sondern auch durch andere undurchsichtige Medien, wie Leder und Kautschuk, weiter noch durch bedecktes Glas; auch von einem Präparat vom menschlichen Körper wurde damit durch schwarzes Papier ein Schattenbild erhalten. Dagegen wird dieselbe durch Metalle, Blech oder selbst dünne Folie, absorbiert. In erster Linie wird jene Strahlung durch die Elektrizität der Flamme erregt, außerdem aber auch durch Radiumbestrahlung und durch den elektrischen Funkenstrom, dagegen nicht durch Röntgenstrahlen. Andererseits wird sie auch durch Reibung hervorgerufen, und wenn

ein Glas mit Borstickstoff gut geschüttelt wird, so kann man beim Öffnen desselben öfter einen deutlichen ozonartigen Geruch wahrnehmen.

Es lag nahe, dem Borstickstoff radioaktive Eigenschaft im CURIESchen Sinne zuzuschreiben, allein keine Spur einer solchen ließ sich mit den empfindlichsten Elektrometern nachweisen. Sonach können nur rein elektrische Vorgänge in Spiele sein, und dies wurde durch ausgedehnte elektroskopische Versuche bestätigt. Nähert man den in einer Flamme zu starken Leuchten gebrachten Borstickstoff rasch einem negativ geladenen Elektroskop, so wird dieses entladen, ebenso aber geschieht dies auch durch glühende Metalle und andere feste Körper; hierbei handelt es sich offenbar bloß um die Einwirkung der in Berührung mit dem erhitzten festen Körper positiv geladenen heißen Gase. Bringt man dagegen an einem Elektrometer in leitender Verbindung mit den jetzt gewöhnlich benutzten Aluminiumblättchen eine Metalltrommel an und schüttet in diese das Borstickstoffpulver, so nimmt das entladene Instrument in kurzer Zeit eine rasch zunehmende negative Ladung an, während das positiv geladene Elektrometer umgekehrt sofort durch diese nämliche Substanz entladen wird. Daraus folgt, daß negativ-electrische Teilchen vom Borstickstoff ausgesendet werden. Diese elektroskopische Reaktion teilt der Borstickstoff mit verschiedenen anderen Körpern in gepulvertem Zustande, insbesondere solchen, die durch Reibung leicht elektrisch werden, wie Schwefel, Kolophonium, Bernstein, Bergkristallglas, sowie ferner mit fluoreszierendem Flußspat bei hinreichend starker Belichtung.

Der Vortragende bezeichnet mit dem Namen Elektroaktivität die photographische und elektroskopische Wirksamkeit, wie sie beim Borstickstoff sich äußert. Dieses auffallende Verhalten muß eine Beziehung haben zu dessen chemischer Natur; denn bei keiner anderen Borverbindung, Mineralien oder Kunstprodukten, und ebensowenig beim freien Bor, fand sich etwas Derartiges. Man kommt also zu der Vermutung, daß der Stickstoff im Spiele ist, und es wurden deshalb noch weitere Verbindungen des letzteren mit einem anderen Element, sogenannte Nitride, untersucht. In der Tat wirkte Magnesiumnitrid und mehr noch

Lithiumnitrid bei Lufttemperatur durch schwarzes Papier hindurch langsam auf die Trockenplatte. Am auffälligsten aber geschah dies durch frisch bereitetes Urannitrid, indem genau unter der Stelle, wo es neben vier anderen Uranpräparaten und einem Stück Uranpecherz auf dem Papier gelegen hatte, nicht bloß, wie durch diese letzteren, eine Schwärzung im Negativ, sondern an dessen Oberfläche eine glänzend-grünliche, auf einen besonders kräftigen Vorgang hinweisende metallische Ausscheidung entstand.

---



***Über die Ermittlung des Winkels zwischen Gradient  
und Windrichtung;***

***von E. van Everdingen.***

(Vorgetragen in der Sitzung der Abteilung für Geographie, Hydrographie und Kartographie, vereinigt mit der Abteilung für Geophysik, Meteorologie und Erdmagnetismus der 80. Versammlung Deutscher Naturforscher und Ärzte zu Köln am 22. September 1908.)

(Vgl. oben S. 626.)

Der Gegenstand dieses Vortrages gehört zu den ältesten Fragen der Meteorologie; schon bald nach Aufstellung des BÉTTENHOFENSchen Gesetzes haben CLEMENT LEY, LOOMIS, GULDBERG und MOHN sich damit beschäftigt, und wenn man die Zahlen sieht, welche schon in alle Lehrbücher aufgenommen sind, oder die umfangreiche Abhandlung betrachtet, welche vor fast zehn Jahren Dr. POLIS in dem Archiv der Deutschen Seewarte<sup>1)</sup> veröffentlicht hat, möchte man fragen, was jetzt noch Neues darüber zu berichten sei.

Die Beobachtungen in höheren Luftschichten haben jedoch aufs neue die Aufmerksamkeit auf diese Frage gelenkt; ÅKERBLOM<sup>2)</sup> hat die Beobachtungen auf dem Eiffelturm in dieser Hinsicht mit denen von Paris und Parc St. Maur verglichen, und kurz vor der Fertigstellung meiner Arbeit ist auch eine Arbeit von GOLD<sup>3)</sup> erschienen, welche sich mit den normalen Winden bei verschiedenen Gradienten in verschiedenen Höhen über dem Erdboden beschäftigt.

Bei dieser Sachlage scheint es mir nicht überflüssig, darauf hinzuweisen, daß der am meisten üblichen Methode zur Ermittlung der Gradientenrichtung meiner Ansicht nach ein prinzipieller Fehler anhaftet. Mit wenigen Ausnahmen hat man dazu Wetterkarten benutzt, indem zu den Isobaren Normalen gefällt wurden und diese mit den beobachteten Windrichtungen verglichen.

<sup>1)</sup> Aus dem Archiv der Deutschen Seewarte, 1899, Nr. 2.

<sup>2)</sup> Nova Acta Upsala (4) 2, No. 2, 1908.

<sup>3)</sup> Report on barometric gradient and wind force. London 1908.

Nun weiß aber jedermann, der sich mit der Praxis der Wetterprognose beschäftigt hat, daß in vielen Fällen die Barometerzahlen allein nicht genügen zur richtigen Bestimmung der Isobaren; daß ein ziemlich großer Freiheitsgrad übrig bleibt, den man nur herabsetzen kann, indem man die Windrichtungen heranzieht und aus diesen angenähert die Richtung der Isobaren, das Vorhandensein von Teilminima u. dgl. ableitet.

Wenn man also nachher den Winkel zwischen Gradient und Windrichtung wieder aus der Wetterkarte bestimmen will, ist jedenfalls die Gefahr für einen Zirkelschluß nicht zu verkennen.

Ich glaube deshalb, daß man, wo es sich um Ermittlung von Normalen handelt, auf jede Benutzung von Windbeobachtungen verzichten und nur Barometerzahlen verwenden muß. Wenn auch im einzelnen Falle die so ermittelte Gradientenrichtung etwas unrichtig auskommen mag, wird der Fehler im Mittel doch verschwinden.

Für die Bestimmung des Gradienten aus Barometerzahlen allein kann man z. B. die Formel von MOHN benutzen; in dieser Weise wird jedoch die Rechnung ziemlich umständlich. Ich möchte deshalb auf die graphische Methode hinweisen, welche von meinem Vorgänger Prof. WIND ausgearbeitet wurde und in den Verhandlungen des Meteorologischen Instituts in De Bilt publiziert worden ist<sup>1)</sup>.

Bekanntlich genügen die Barometerstände dreier Stationen, um, unter Voraussetzung geradliniger Isobaren, die Gradientenrichtung zu bestimmen, und auf diesen Fall beziehen sich die graphischen Tabellen, von denen hier eine in vergrößertem Maßstabe vorgeführt ist. Für ein Stationendreieck braucht man drei Tabellen, je nachdem die erste, zweite oder dritte Station den mittleren Barometerstand aufweist. Man geht in die Tabelle ein mit den Differenzen zwischen dieser mittleren und den beiden anderen Stationen, und liest direkt Richtung und Stärke des Gradienten ab — die Richtung auf Zehntel-Kompaßstriche, die Stärke auf Zehntel-Millimeter genau.

---

<sup>1)</sup> Kon. Ned. Meteor. Instituut, No. 102. Mededeelingen en Verhandelingen, No. 2.

Für unsere Verhältnisse, wo die Zentralstation De Bilt von vier telegraphisch meldenden Hauptstationen umgeben ist, war es angebracht, vier Dreiecke zu benutzen, und für jedes Dreieck gesondert die Gradienten zu bestimmen. Weil der mittlere Gradient auf die tägliche Wetterkarte eingeschrieben wird, war es leicht, für einige Jahre einen Vergleich zwischen Gradientenrichtung und Windrichtung in De Bilt anzustellen; der Fehler, den man durch Vernachlässigung der Krümmung der Isobaren macht, dürfte in diesem Falle äußerst gering sein, solange es sich nicht um sehr schwache Gradienten handelt.

Für eine Erweiterung dieser Untersuchung auf andere Gegenden habe ich die Methode etwas abgeändert, indem ich nur drei Stationen für die Ermittlung des Gradienten benutzte, die Windrichtung jedoch einer vierten Station entnahm, welche im Schwerpunkt des betreffenden Dreiecks gelegen war. Auch in dieser Weise wird bei nicht zu stark gekrümmten Isobaren die Gradientenrichtung noch sehr genau ermittelt. Ich habe hier zwei Tabellen, eine für das Dreieck Vlissingen—Metz—Frankfurt und die Station Aachen, eine für Swinemünde—Magdeburg—Grünberg und die Stationen Berlin und Potsdam. Der Raum dieser Blätter, 20 × 26 cm, reicht vollständig für eine in allen praktischen Fällen genügende Genauigkeit, und die Arbeit, zur Herstellung der Tabellen verwendet, betrug jedesmal einen einzigen Tag — deswegen braucht also keiner sich den Nutzen dieser Tabellen zu versagen!

|                        | Gradient nach |    |    |                    |                    |    |    |    | Mittl. |
|------------------------|---------------|----|----|--------------------|--------------------|----|----|----|--------|
|                        | N             | NE | E  | SE                 | S                  | SW | W  | NW |        |
| De Bilt 1905/06 . . .  | 68            | 82 | 84 | 78                 | 64                 | 62 | 59 | 63 | [69]   |
| Aachen 1905/06 . . .   | 56            | 50 | 64 | 54                 | 52                 | 52 | 71 | 70 | [59]   |
| Aachen 1881—1890 . . . | 78            | 70 | 56 | 60                 | 48                 | 45 | 63 | 85 | [63]   |
| Potsdam 1903 . . . . . | 62            | 58 | 50 | 68                 | (61 <sup>1</sup> ) | 62 | 56 | 60 | [60]   |
| Berlin 1905 . . . . .  | 65            | 64 | 47 | (56 <sup>1</sup> ) | 61                 | 66 | 68 | 70 | [63]   |

Während ich für Näheres über die Konstruktion der Tabellen auf die genannte Publikation verweise, möchte ich hier nur

<sup>1</sup>) Zu wenig Beobachtungen.

einzelne vorläufige Resultate nennen, welche mittels dieser Methode gewonnen wurden. Ich beschränke mich dabei auf die Fälle, wo der ermittelte Gradient über 1 mm pro 100 km war.

Für De Bilt wurden die Gradienten um 7 und 9,30 Gr. Z. benutzt, und die Windrichtungen dem Anemographen entnommen; für die anderen Stationen sind nur 7 Gr. Z. Beobachtungen benutzt. Jede Beobachtung erhielt das Gewicht der zugehörigen Windgeschwindigkeit oder Windstärke, und die mittlere Richtung wurde einfach arithmetisch ermittelt; dies erscheint wenig bedenklich, weil die Gradienten ursprünglich nach 16 Richtungen unterschieden wurden und deshalb die tatsächlichen mittleren Gradientenrichtungen sehr nahe diesen angenommenen Richtungen entsprachen. Nachher sind die Zahlen für den Winkel zwischen Gradient und Windrichtung auf acht Richtungen verteilt.

Für Aachen sind auch die Resultate, welche Dr. POLIS für 1881—1890 aus den HOFFMEYERSchen synoptischen Karten erhalten hat, zum Vergleiche herangezogen.

Die Zahlen für De Bilt zeigen einen sehr regelmäßigen Charakter; sehr deutlich tritt die größere Abweichung vom Gradienten bei nordöstlichen und östlichen Gradienten hervor, welche von CLEMENT LEY zuerst hervorgehoben wurde und hier auf die geringere Reibung auf der Nordsee zurückgeführt wird; für südöstliche Gradienten findet man diese große Abweichung nur im Winter. Die hohe mittlere Abweichung, noch höher als von POLIS für den Küstenort Furnes gefunden wurde, ist wohl in erster Linie der freien Lage der Station De Bilt zuzuschreiben. Die Zahlen für die einzelnen Jahre 1905 und 1906 stimmen untereinander bis auf 3 bis 4°; nur in einem Falle beträgt die Differenz etwa 7°.

Ganz anders gestalten sich die Zahlen für Aachen — und merkwürdigerweise ist ein ziemlich großer Unterschied vorhanden zwischen den von mir erhaltenen Resultaten für 1905/06 und den von Dr. POLIS ermittelten für 1881 bis 1890. Die Übereinstimmung, welche auch hier 1905 und 1906 untereinander zeigen, läßt es sehr unwahrscheinlich erscheinen, daß nach unserer Methode für 1881 bis 1890 erheblich geänderte Zahlen ermittelt wären. Entweder muß also der Unterschied auf der veränderten und verbesserten Lage der Station Aachen beruhen oder es sind die

Wetterkarten daran schuld, daß für gewisse Windrichtungen die Gradientenrichtung nicht richtig angenommen wurde.

Daß letzteres auch auf Mittelwerte Einfluß ausüben kann, zeigt ein Vergleich zwischen den von GOLD für Berlin in 1905 ermittelten Isobarenrichtungen mit den von mir aus den Barometerzahlen abgeleiteten Gradientenrichtungen. Für Juli 1905 z. B. ist der Winkelunterschied für die Isobaren 17 mal negativ und nur zehnmal positiv — die Abweichung variiert zwischen  $-67^\circ$  und  $+56^\circ$  — im Mittel ist die Isobarenrichtung nach meiner Rechnung um fast  $4^\circ$  nach links gedreht; für Januar ergibt sich im Mittel ebenfalls ein Unterschied von  $4^\circ$  im selben Sinne. Wenn dies für ein mittleres Resultat auch nicht allzu bedenklich erscheint, muß die Möglichkeit doch zugegeben werden, daß für spezielle Gradientenrichtungen viel stärker abweichende Resultate erhalten werden könnten.

Betrachtet man die neuen Resultate für Aachen als die richtigeren und vergleicht diese mit den Zahlen für Potsdam, so sieht man, daß von einem allgemeinen Maximum der Abweichung für östliche Gradienten, wie es für De Bilt gefunden wurde, nicht mehr die Rede sein kann. Aachen hat nur für E, Potsdam für SE ein Maximum, aber Aachen für NE, Potsdam für E daneben das Hauptminimum. Es ist möglich, daß in beiden Fällen orographische Verhältnisse mitspielen — aber man muß sagen, daß jedenfalls die Allgemeingültigkeit des CLEMENT LEYschen Satzes stark in Frage gestellt wird.

Auch weitere Einzelheiten — Unterschied zwischen Sommer und Winter, zwischen Zyklonen und Antizyklonen — müßten meiner Meinung nach aufs neue untersucht werden durch Herstellung eines umfangreichen Materials an Gradienten, nur aus Barometerständen abgeleitet.

Jedenfalls erscheint es mir wünschenswert, für mehrere Orte und längere Zeiträume nach dieser Methode den normalen Winkel zwischen Gradient und Wind und die normale Windstärke für jeden Gradienten zu bestimmen. Erst dann wird es gelingen können, die Bedeutung von abnormalen Windrichtungen oder Windstärken für die Prognose, wie dies z. B. von GUILBERT behauptet wird, zu beurteilen.

Schließlich möchte ich noch bemerken, daß die schnelle und genaue Ermittlung des Gradienten bei Benutzung der graphischen Tabellen auch bei der täglichen Prognose Vorteil bringen kann; besonders wenn nach dem Vorschlage der Deutschen Seewarte beschlossen wird, in den Morgendepeschen auch eine Angabe der Barometeränderung in den letzten zwei oder drei Stunden vor der Morgenbeobachtung aufzunehmen. Die Änderung des Zustandes in diesem kurzen Zeitraume wird durch die Änderung von Richtung und Stärke des Gradienten am klarsten dargestellt werden.

***Über eine neue Methode zur fortlaufenden Analyse von Gasgemischen auf elektrischem Wege mit Anwendung auf die Bestimmung der Strömungsgeschwindigkeit von Gasen;***

***von Adolf Koepsel.***

(Vorgetragen in der Sitzung vom 3. Juli 1908.)

(Vgl. oben S. 449.)

Die Analyse von Gasgemischen geschah bisher meist auf mechanischem Wege, indem der zu analysierende Bestandteil durch irgendwelche Mittel, wie z. B. Absorption oder Verbrennung, aus dem Gemisch ausgeschieden und aus dem übrig gebliebenen Volumen das ausgeschiedene bestimmt wurde.

Diese Methode ist meist mit vielen Umständlichkeiten verknüpft, welche noch wachsen und zu sehr komplizierten Einrichtungen führen, sobald es sich darum handelt, einen in seiner Zusammensetzung beständig wechselnden Gasstrom fortlaufend zu analysieren, wie z. B. bei dem ADOSschen Apparat, der die Methode der Absorption und selbsttätige Abmessung benutzt, oder bei dem Apparat von KRELL-SCHULTZE für Rauchgasanalyse, der auf der Bestimmung des spezifischen Gewichtes des Gasgemisches beruht, oder bei dem Autolysator von STRACHE und JAHODA, der auf Druckmessung unter Zuhilfenahme der Absorption basiert.

Alle diese Apparate sind nur der subjektiven Beobachtung zugänglich, und sobald es sich darum handelt, ihre Resultate auch nur auf geringe Entfernung zu übertragen, kommt man zu sehr kostspieligen und umständlichen Einrichtungen, welche eine Anwendung in der Praxis erschweren.

Da ich seit einiger Zeit einer Firma nahestehe, welche derartige Apparate baut, so unternahm ich es auf Anregung derselben, eine andere Methode für solche Analysen ausfindig zu machen. Eine weitere Förderung erhielt diese Anregung durch eine Anfrage der Maschinenfabrik Augsburg nach einem Apparat, der gestattet, den Wasserstoffgehalt des für ihre Sauggasanlagen benutzten Generatorgases kontinuierlich abzulesen. Letztere Firma

hatte auch schon das Grundprinzip in ihrem Patent Nr. 165 349 etwa gleichzeitig mit dem Beginn meiner Arbeiten niedergelegt, wie indessen die Anfrage zeigt, ohne greifbaren Erfolg in der Anwendung dieser Methode zu haben.

Zu wirklich kontinuierlicher Analyse sind eben noch eine ganze Reihe von Nebenbedingungen zu erfüllen, deren Nichtbeachtung zu ganz falschen und wertlosen Resultaten führen würde.

Die neue Methode benutzt die verschiedene Leitungsfähigkeit für Wärme, welche im Verein mit der Strahlung einem durch konstante Energiezufuhr erwärmten Körper eine von der Art des umgebenden Mediums bestimmte Temperatur erteilt. Um diese Temperatur bequem und genau zu bestimmen, werden elektrisch geheizte Drähte benutzt, deren Widerstandsänderung unter dem Einfluß des Gasmisches gemessen wird. Da indessen die Temperatur der Drähte außer von der Art des Gasmisches auch noch von vielen anderen Faktoren, z. B. von benachbarten wärmeleitenden Körpern, vom Druck und vor allem von der Strömungsgeschwindigkeit des Gases usw. beeinflußt wird, so kam es darauf an, diese anderen störenden Faktoren zu eliminieren, und letzteres ist wohl auch der Hauptgrund, weshalb das an sich bekannte Prinzip bisher zu keinen praktischen Resultaten geführt hat, weil eben diese störenden Faktoren entweder nicht gehörig beachtet und gewürdigt worden sind oder man keine Mittel fand, diese Störungen unschädlich zu machen.

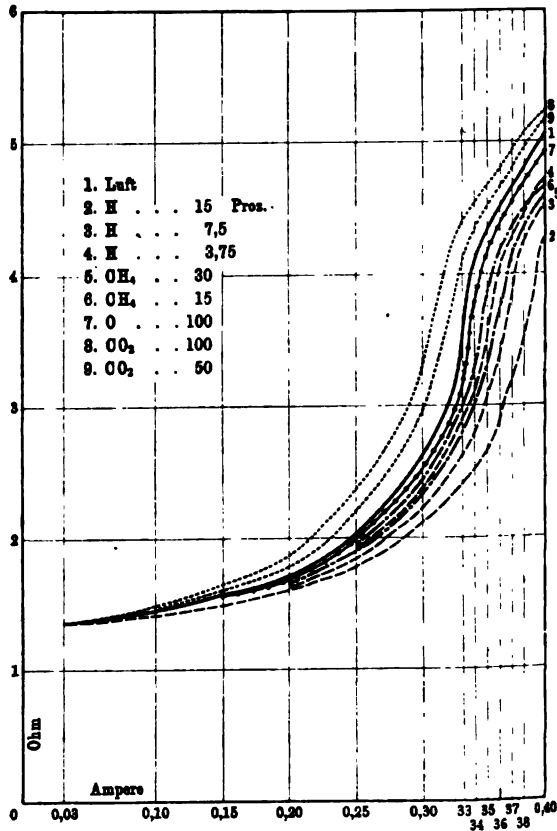
Die zu lösende Aufgabe läuft also im wesentlichen darauf hinaus, den Widerstand eines von einem konstanten Strom durchflossenen Leiters, der sich in dem zu analysierenden, in seiner Zusammensetzung wechselnden Gasmisch befindet, mit dem Widerstande eines anderen Leiters zu vergleichen, der sich unter genau denselben Verhältnissen in Luft oder in einem anderen Gasmisch von konstanter Zusammensetzung befindet.

Als grundlegende Daten für die Konstruktion eines solchen Gasanalysators mußten zunächst die bei steigender Strombelastung eines Drahtes erfolgenden Widerstandszunahmen in verschiedenen Gasen und Gasmischen bestimmt werden, wobei recht interessante und wie ich glaube, bisher völlig unbekannte Versuchsergebnisse erzielt wurden.



Die Resultate dieser Untersuchung sind in der nachstehenden Tabelle dargestellt. Darin bedeutet Amp. die Belastungsstromstärke,  $w_l$  den entsprechenden Widerstand des Drahtes in Luft,  $w_H$ ,  $w_{CH_4}$ ,  $w_{CO_2}$ ,  $w_0$  die Widerstände des Drahtes in Gemischen von Luft mit Wasserstoff, Methan, Kohlensäure und Sauerstoff, wobei:

Fig. 1.



die dem Index beigefügte Zahl den Prozentgehalt der Mischung bedeutet;  $\Delta = 100 \frac{w_H - w_l}{w_l}$  ist die prozentuale Widerstandsänderung in dem Gasgemisch gegen Luft,  $t$  ist die Temperatur des Drahtes in Luft bei den entsprechenden Belastungsstromstärken, welche aus Fig. 2 entnommen ist, die das Verhältnis

| Amp. | $r_1$ Ohm       | $r_{H\ 15}$ Proz. | $r_{H\ 7,5}$ Proz. | $r_{H\ 3,75}$ Proz. | $r_{H\ 1,875}$ Proz. | $r_{CH_4\ 80}$ Proz. | $r_{CH_4\ 15}$ Proz. | $r_{CO_2\ 100}$ Proz. | $r_{CO_2\ 50}$ Proz. | $r_{Proz.}$ | $r_{100}$ Proz. | $r_{Proz.}$ | $t$ °C |
|------|-----------------|-------------------|--------------------|---------------------|----------------------|----------------------|----------------------|-----------------------|----------------------|-------------|-----------------|-------------|--------|
| 0,08 | 1,369           | —                 | 1,369              | —                   | 1,369                | —                    | 1,369                | —                     | 1,369                | —           | 1,369           | —           | 16     |
| 0,10 | 1,468           | — 3,3             | 1,421              | — 2,6               | 1,436                | — 1,6                | 1,436                | — 1,6                 | 1,497                | — 2,7       | 1,498           | — 2,1       | 32     |
| 0,15 | 1,562           | — 4,4             | 1,506              | — 3,6               | 1,528                | — 2,2                | 1,535                | — 1,7                 | 1,667                | — 6,7       | 1,618           | — 3,6       | 50     |
| 0,20 | 1,721           | — 6               | 1,653              | — 4                 | 1,691                | — 1,8                | 1,674                | — 2,2                 | 1,894                | — 11        | 1,888           | — 6,5       | 66     |
| 0,25 | 2,020<br>178° C | — 10,7            | 1,857              | — 8,1               | 1,924                | — 4,7                | 1,907                | — 3,5                 | 2,328                | — 15,2      | 2,186           | — 8,2       | 110    |
| 0,30 | 2,571<br>260° C | — 18,5            | 2,212              | — 14                | 2,398                | — 9,1                | 2,345                | — 6,2                 | 3,228                | — 26,4      | 2,929           | — 14        | 178    |
| 0,33 | 3,536<br>320° C | — 32,1            | 2,586              | — 25,5              | 2,846                | — 19,5               | 2,788                | — 16,5                | 4,348                | — 28        | 4,123           | — 16,6      | 280    |
| 0,34 | 4,090           | — 38,4            | 2,812              | — 31,1              | 3,069                | — 24,5               | 2,984                | — 20,4                | 4,540                | — 11        | 4,376           | — 7         | 320    |
| 0,35 | 4,333           | — 38,3            | —                  | —                   | 3,536                | — 18,5               | 3,261                | — 11,9                | 4,682                | — 8,1       | 4,526           | — 4,5       | 338    |
| 0,36 | 4,510           | — 35,2            | 3,352              | — 25,7              | 4,128                | — 8,5                | 3,717                | — 7,9                 | 4,797                | — 6,4       | 4,666           | — 3,5       | 351    |
| 0,37 | 4,682           | —                 | —                  | —                   | 4,305                | — 8,1                | 4,128                | — 7,1                 | 4,917                | — 5         | 4,800           | — 2,5       | 365    |
| 0,38 | 4,814           | — 27,6            | 4,268              | — 11,5              | 4,504                | — 6,4                | 4,348                | — 6,7                 | 5,061                | — 5,1       | 4,952           | — 2,9       | 378    |
| 0,40 | 5,053           | — 14,3            | 4,596              | — 9                 | 4,797                | — 5                  | 4,650                | — 6,7                 | 5,262                | — 4,1       | 5,192           | — 2,8       | 406    |
| 0,45 | 5,663           | — 12,6            | 5,173              | — 8,7               | 5,329                | — 5,9                | 5,173                | — 6,2                 | 5,757                | — 1,7       | 5,720           | — 1         | 546    |
| 0,50 | 6,169           | — 11,8            | 5,676              | — 8                 | 5,826                | — 5,5                | 5,623                | — 6,2                 | 6,194                | — 0,4       | 6,194           | — 0,4       | 646    |

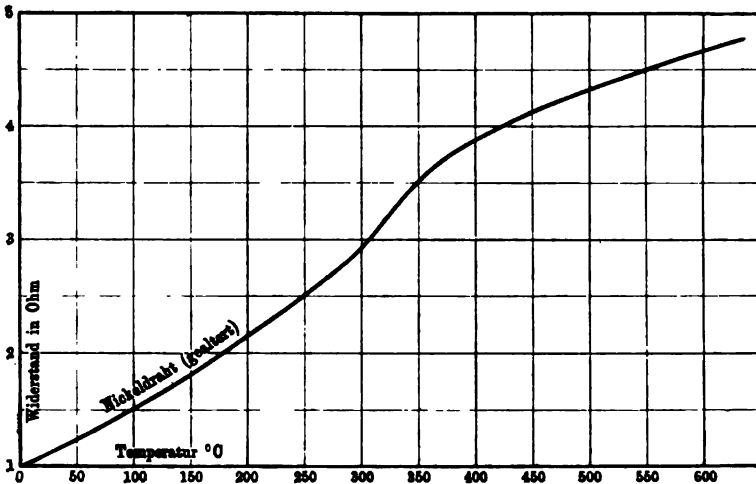
$$r_{Proz.} = 100 \cdot \frac{r_H - r_1}{r_1}, \quad w_0 \text{ °C} = 1,285 \text{ Ohm.}$$

$\frac{w_t}{w_0}$  des benutzten Drahtes als Funktion der Temperatur darstellt.

Fig. 1 stellt die Resultate der Tabelle graphisch dar.

Bei näherer Betrachtung der Kolumne  $\Delta$  ergibt sich, daß bei einer bestimmten Belastung des Drahtes, d. h. bei einer bestimmten Temperatur, die prozentuale Widerstandsänderung ein Maximum wird und die Betrachtung der Fig. 3, welche diese Widerstandsänderung als Funktion der Belastungsstromstärke graphisch darstellt, zeigt, daß dies ein sehr ausgesprochenes Maximum ist. Vergleicht man die Maxima für verschiedene Gemische von Wasser-

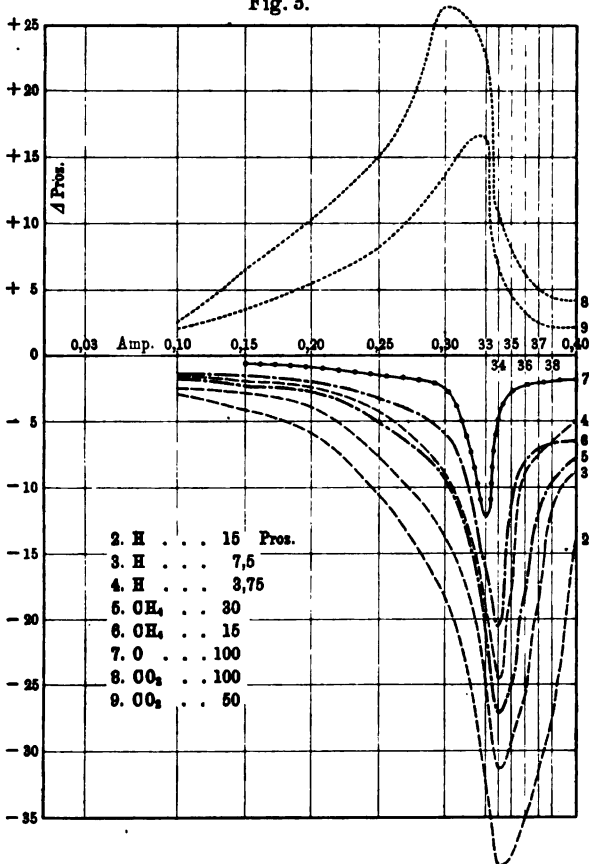
Fig. 2.



stoff mit Luft, so ergibt sich, daß diese Maxima für alle Gemische bei einer ganz bestimmten Stromstärke etwa 0,34 Amp. liegen, die einer Temperatur von etwa 320°C entspricht. Unterhalb und oberhalb dieser Temperatur erscheint also die Abkühlungsfähigkeit des Gasgemisches stets kleiner. Ja noch mehr: dieses Maximum liegt für alle untersuchten Gase und deren Gemische mit Luft fast an derselben Stelle und zwar zwischen 0,30 und 0,34 Amp., was etwa den Temperaturen 180 und 320°C entspricht, gleichgültig, ob das Gas eine erwärmende oder abkühlende Wirkung ausübt. Bei gut leitenden Gasen verschiebt sich das Maximum etwas nach der Seite der höheren, bei schlecht leitenden etwas

nach der Seite der niederen Temperatur. Eine Erklärung für diese auffallende Erscheinung dürfte in dem Verhältnis zwischen Leitung und Strahlung zu suchen sein, indem bei niedriger Temperatur die eine, bei hoher Temperatur die andere überwiegt.

Fig. 3.



Ich möchte an dieser Stelle nicht unterlassen, für diejenigen, welche diese Versuche zu wiederholen beabsichtigen, zu bemerken, daß die angegebenen Zahlenwerte nicht auf die äußerste Genauigkeit Anspruch erheben. Es handelte sich im vorliegenden Falle nur um eine Voruntersuchung, um ein Urteil über die Empfindlichkeit der Methode zu gewinnen, welche zur Entdeckung

des Maximums der Abkühlungsfähigkeit führte. Wahrscheinlich liegt hier nicht eine Eigenschaft der Gase, sondern eine solche der erhitzten Drähte vor, worüber Versuche mit Drähten verschiedener Dimensionen und verschiedenen Materials bzw. Oberflächenbeschaffenheit Aufschluß erteilen müßten. Aus einigen Beobachtungen glaube ich auch den Schluß ziehen zu dürfen, daß diese Methode wichtige Aufschlüsse über den Vorgang der Diffusion und ihren zeitlichen Verlauf zu geben geeignet sein dürfte, da beim Einleiten des Gases und zwar vornehmlich reinen Gases in den Apparat fast stets anfangs ein Ausschlag nach der entgegengesetzten Seite erfolgte, d. h. es trat eine Erwärmung ein, wo eine Abkühlung erwartet werden mußte und umgekehrt. Da dieses Verhalten aber stets nur kurze Zeit anhielt, so glaube ich es auf Diffusionsvorgänge zurückführen zu müssen.

Eine wissenschaftliche Untersuchung der Gase nach dieser Methode scheint mir sehr aussichtsreich zu sein und dazu berufen, wichtige Aufschlüsse über gewisse Erscheinungen zu geben, welche von so kurzer Dauer sind, daß sie sich den rein chemischen oder anderen physikalischen Methoden entziehen, und vielleicht tragen diese Zeilen dazu bei, zu derartigen Untersuchungen anzuregen.

Als Resultat der beschriebenen Versuche ergibt sich eine für die Konstruktion des Gasanalysators höchst wichtige Forderung: daß stets mit einer ganz bestimmten Stromstärke gearbeitet werden muß, wenn anders die Angaben des Apparates auf Genauigkeit Anspruch machen sollen. Um die größtmögliche Empfindlichkeit zu erreichen, muß die Belastung des Drahtes etwa 160 Amp. für 1 mm<sup>2</sup> Querschnitt betragen.

Hierbei ist die Empfindlichkeit der Methode eine außerordentlich große und Versuche haben gezeigt, daß auf diesem Wege mit nicht gerade hochempfindlichen Meßinstrumenten noch das Vorhandensein von 0,001 Proz. Wasserstoff deutlich nachgewiesen werden kann. Bei anderen Gasen, welche nicht die enorme Abkühlungsfähigkeit des Wasserstoffs besitzen, ist natürlich auch die Empfindlichkeit eine geringere, immerhin ist sie für die meisten Gase ausreichend, um diese Methode mit Vorteil anzuwenden.

Die Anwendungsgebiete für einen solchen Apparat sind ziemlich ausgedehnte und als deren hauptsächlichste will ich hier nur

anführen die Analyse von Generatorgasen in bezug auf ihren Wasserstoffgehalt, von Verbrennungsgasen auf ihren Kohlensäuregehalt, und von Grubengasen auf ihren Methangehalt.

Die Konstruktion des Apparates ist für alle die Anwendungsgebiete im wesentlichen dieselbe und ich kann mich daher auf die Konstruktion des Gasanalysators zur Bestimmung des Wasserstoffgehaltes der Generatorgase beschränken.

Das Generatorgas hat folgende Zusammensetzung:

|            |                       |
|------------|-----------------------|
| 10 bis 20  | Proz. H,              |
| 4    "   6 | "   CO <sub>2</sub> , |
| 15   "  25 | "   CO,               |
| 1    "   2 | "   CH <sub>4</sub> . |

Der Rest ist N und etwas schweflige Säure, die durch Waschen entfernt wird. Bezeichnet man mit — die abkühlende, mit + die erwärmende Wirkung, so ergeben die einzelnen Gase etwa folgende Vergleichszahlen, bezogen auf Luft = 0:

|                 |   |        |
|-----------------|---|--------|
| H               | = | — 300, |
| CO <sub>2</sub> | = | + 30,  |
| CO              | = | + 5,   |
| CH <sub>4</sub> | = | — 150, |
| N               | = | 0.     |

Unter der Voraussetzung, daß die Gemische proportional den einzelnen Bestandteilen wirken, die annähernd zuzutreffen scheint, würde sich für die zwei am meisten voneinander verschiedenen Zusammensetzungen folgendes ergeben:

| Zusammensetzung I. Wirkung. |          |                      | Zusammensetzung II. Wirkung. |          |                     |
|-----------------------------|----------|----------------------|------------------------------|----------|---------------------|
| H                           | 10 Proz. | — 300 . 0,1 = — 30   | H                            | 20 Proz. | — 300 . 0,2 = — 60  |
| CO <sub>2</sub>             | 4   "    | + 30 . 0,04 = + 1,2  | CO <sub>2</sub>              | 6   "    | + 30 . 0,06 = + 1,8 |
| CO                          | 15   "   | + 5 . 0,15 = + 0,75  | CO                           | 25   "   | + 5 . 0,25 = + 1,25 |
| CH <sub>4</sub>             | 1   "    | — 150 . 0,01 = — 1,5 | CH <sub>4</sub>              | 2   "    | — 150 . 0,02 = — 3  |
|                             |          | — 29,55              |                              |          | — 59,95             |

Da die Zahl 59,95 nur etwa 1,4 Proz. von  $2 \times 29,55$  abweicht, so wäre bei diesen sehr voneinander abweichenden Zusammensetzungen die Angabe des Apparates immer noch bis  $1\frac{1}{2}$  Proz. genau, wenn andere Fehlerquellen eliminiert sind.

Eine derartige Fehlerquelle ist, wie bereits oben erwähnt, die Beeinflussung des Hitzdrahtes durch die Strömung des Gases.

Fig. 4.

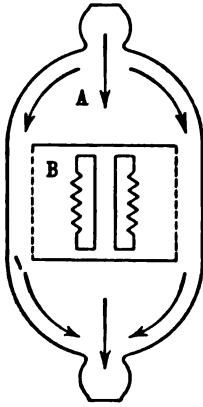


Fig. 5.



Der Hitzdraht muß also vor der Strömung geschützt werden, ohne daß aber dadurch der Zutritt des Gases zu ihm verhindert wird.

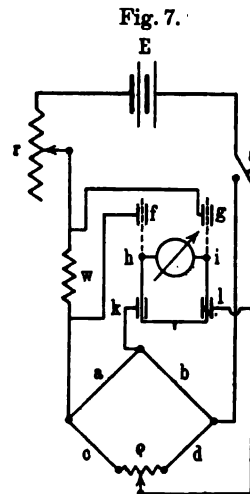
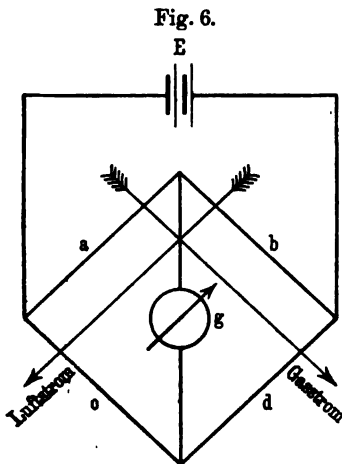
Dies wurde erreicht durch Verwendung zweier zylindrischer Gefäße *AB*, deren Achsen senkrecht aufeinander stehen, wie Fig. 4 zeigt.

Fig. 5 zeigt die konstruktive Ausführung dieser Einrichtung.

Das innere wagerecht angeordnete Gefäß *B* enthält die Hitzdrähte und durch das äußere *A* wird der Gasstrom hindurchgeleitet. Der Zylinder *B* enthält zweckmäßig wenig Masse, um möglichst schnell den stationären Zustand zu erreichen; er wird daher aus dünnem Glimmer hergestellt; seine Enden werden zum weiteren Schutz gegen Strömung durch feine sogenannte Müllergaze verschlossen. Da indessen der Gasstrom, auch wenn der Hitzdraht vor der direkten Strömung geschützt ist, doch von der durch Strahlung erwärmten schützenden Hülle Wärme abführt, so wurde ein zweites, dem beschriebenen gleiches Gefäß hinzugenommen, durch welches ein mit der Geschwindigkeit des Gasstromes fließender Luftstrom hindurchgeschickt wird. Jedes der beiden Gefäße enthält zwei Hitzdrähte *ad* und *bc*, welche zu einer WHEATSTONESchen Brücke geschaltet werden und zwar, wie Fig. 6 zeigt, so, daß je zwei in demselben Gefäß befindliche Drähte die gegenüberliegenden Zweige der Brücke bilden. Die vier Widerstände *abcd* werden möglichst gleich gemacht oder wenigstens  $a = b$ ,  $c = d$  und aus gleichem Material der gleichen Dimension hergestellt, so daß bei

Erwärmung durch den Strom immer  $ad = bc$  bleibt und das Gleichgewicht nicht gestört wird, wenn das zu analysierende Gasgemisch nicht durch den Apparat geleitet wird. Eventuelle kleine, durch die Verschiedenheit des Materials bedingte Ungleichheiten werden durch Nebenschlüsse kompensiert.

Leitet man nun durch beide Gefäße einen Luftstrom, so wird auch hierdurch das Gleichgewicht nicht gestört. Sobald indessen dem einen dieser Luftströme ein Gas von anderer Leitungsfähigkeit als der der Luft beigemischt wird, bleibt die Differenz  $ad - bc$  nicht mehr Null, sondern nimmt je nach nach der Leitungs-



fähigkeit des beigemischten Gases einen positiven oder negativen Wert an, dessen Größe von dem Prozentgehalt der Mischung abhängig ist.

Da die Widerstandsänderungen, wie oben gezeigt, in hohem Maße von der Belastungsstromstärke abhängig sind, so muß diese letztere konstant erhalten werden. Um einen besonderen Strommesser hierfür zu ersparen, wird der Kontrollapparat selbst hierzu benutzt, wie Fig. 7 zeigt.

In den Hauptstromkreis der Batterie wird außer dem Regulierwiderstand  $r$  noch ein konstanter Widerstand  $w$  von gleichem Material, wie die Galvanometerwicklung, geschaltet, an dem vermittelst des Umschalters  $fghikl$  in bekannter Weise die Strom-



stärke durch den Kontrollapparat gemessen werden kann. Die Stromstärke, mit welcher der Apparat geeicht ist, wird durch eine rote Kontrollmarke bezeichnet. Da bei hohem Prozentgehalt die normale Stromstärke wegen der Abkühlung der Heizdrähte *ad* etwas größer als die in Luft bestimmte ist, so dient eine

Fig. 8.



zweite Kontrollmarke für hohen Prozentgehalt, welche etwas höher liegt, dazu, die Stromstärke auch zu kontrollieren, wenn der Apparat in Tätigkeit ist, indem je nach dem Prozentgehalt zwischen diesen beiden Kontrollmarken eingestellt wird.

Wenn nicht sehr niedrige Prozentgehalte angezeigt werden sollen, so kann man die Temperatur der Drähte unter  $100^{\circ}\text{C}$  halten, wobei dann die Wärmeableitung infolge der Strömung

des Gases so gering ist, daß der zur Erhaltung des Nullpunktes durch das zweite Gefäß geleitete Luftstrom entbehrt werden kann. In diesem Falle braucht das Gefäß mit den Hitzdrähten *bc* nur ruhende Luft zu enthalten, welche mit dem strömenden Gase verglichen wird, wodurch sich der Betrieb des Apparates vereinfacht.

Den kompletten Apparat mit den entsprechenden Bezeichnungen zeigt Fig. 8. Die beiden Gefäße, welche die Drahtsysteme *ad* und *bc* enthalten, sind aus Metall hergestellt und durch Bajonettverschluß mit Gummidichtung auf der Grundplatte befestigt, so daß der Deckel schnell entfernt werden kann, wenn es darauf ankommt, den Analysator rasch zu entleeren.

Die Abbildung zeigt die Konstruktion, wie sie gegenwärtig von der Firma G. A. SCHULTZE, Charlottenburg, ausgeführt wird, welche den Bau dieser Apparate übernommen hat.

Wie gesagt, kann die beschriebene Vorrichtung auch dazu dienen, andere Gase als Wasserstoff zu analysieren, indem entweder das Vergleichsgefäß *bc* mit dem betreffenden reinen Gase gefüllt und mit dem zu analysierenden Gasgemisch verglichen wird, oder wenn der zu analysierende Bestandteil absorbierbar ist, indem das Gemisch zunächst durch das Gefäß *ad* und nachdem ihm der zu analysierende Bestandteil durch Absorption entzogen ist, durch das Gefäß *bc* geleitet wird. Letztere Methode gibt offenbar die genauesten Resultate, da hierbei die Angaben des Apparates von anderen in der Mischung etwa noch enthaltenen Gasen vollkommen unabhängig sind, vorausgesetzt natürlich, daß das Absorptionsmittel nur das zu analysierende Gas und keine anderen in der Mischung noch enthaltenen Gase absorbiert.

In dieser Form erweist sich der Apparat zur Bestimmung der in den Rauchgasen enthaltenen Kohlensäure als sehr brauchbar und dürfte in der Einfachheit der Handhabung und in Genauigkeit von keinem der bisher diesem Zweck dienenden Apparate übertroffen werden.

Von den oben erwähnten Anwendungsgebieten dieses Verfahrens ist wohl das, welches sich auf die Bestimmung des Methangehaltes der Grubengase bezieht, eins der wichtigsten. Die sich mit dem Umfange des Bergwerksbetriebes immer mehr

häufigen Katastrophen, welche durch die Explosion der sogenannten schlagenden Wetter verursacht werden, lassen eine Kontrolle dieser gefährlichen Gasgemische als besonders aktuell erscheinen. Hiervon zeugen auch die unzähligen Versuche, welche bisher in dieser Richtung gemacht wurden.

Keiner dieser Versuche hat indessen bis jetzt zu einem positiven Resultate geführt. Der Grund hierfür mag teils darin gesucht werden, daß die angewendeten Methoden nicht einwandfrei waren, teils darin, daß die Apparate für den Bergwerksbetrieb zu subtil und daher oft Störungen ausgesetzt waren, die ihre Betriebssicherheit in Frage stellten, endlich wohl auch darin, daß ein so ausgedehntes Netz von Kontrolleinrichtungen, wie es hier in Frage kommt, schwer zu übersehen und in Ordnung zu halten ist, zumal wenn, wie es der Betrieb mit sich bringt, der Standort der Kontrolleinrichtungen fortwährend verändert werden muß.

Was nun die vorliegende Methode betrifft, so dürften hierfür irgendwelche Bedenken nicht Platz greifen, da sie sich bereits anderweitig gut bewährt hat; auch ließen sich zweitens die Apparate wohl kompakt genug konstruieren, um auch in der Faust des Bergmannes noch ihre Schuldigkeit zu tun, und was den letzteren Grund betrifft, so müßte die Praxis erweisen, ob er allgemein zutrifft; jedenfalls dürften bei der Wichtigkeit einer solchen Kontrolle und bei dem beträchtlichen Schaden, den eine Katastrophe infolge mangelnder Kontrolle anrichtet, die Kosten derselben schon recht erhebliche sein können, um sich trotzdem bei sicherem Funktionieren noch gut bezahlt zu machen.

Der oben beschriebene Apparat kann nun mit geringen Veränderungen ohne weiteres zu diesem Zweck benutzt werden, entweder als transportabler Apparat unter Tage, oder als stationärer Apparat teils über, teils unter Tage, oder endlich ohne Veränderung als stationärer Apparat über Tage, wenn die Gase durch ein Röhrensystem nach oben abgesaugt und durch den Apparat geleitet werden. Im zweiten Falle ist darauf zu achten, daß die Angaben des Apparates von Temperaturänderungen unabhängig sind, da über Tage gewöhnlich eine ganz andere Temperatur herrscht als unter Tage, deren Differenz bedeutenden Schwankungen unterworfen ist. Dies kann auf zweierlei Weise erreicht werden. Entweder werden die Drähte *a* und *b* aus dickem Draht

von kleinem Temperaturkoeffizienten hergestellt und die beiden unter Tage befindlichen Hitzdrähte *c* und *d* mit hohem Temperaturkoeffizienten sind je in ein besonderes Gefäß eingeschlossen, von denen das eine dem Grubengase freien Zutritt gestattet, während das andere geschlossen und mit reiner atmosphärischer Luft gefüllt ist, oder die Drähte *a* und *c* werden dünn gewählt, die Drähte *b* und *d* dick, aber aus demselben Material von hohem Temperaturkoeffizienten; *a* und *b* einerseits und *c* und *d* andererseits werden je in ein Gefäß eingeschlossen, welches ersteres sich über Tage, letzteres unter Tage befindet und den Gasen freien Zutritt gestattet.

Welche von den drei angeführten Methoden die vorteilhafteste ist, dürfte wohl nur von Fall zu Fall zu entscheiden sein.

Schließlich will ich noch eine sehr wichtige Anwendung des Verfahrens nicht unerwähnt lassen. Es wurde bereits oben bemerkt, daß die beschriebene Anordnung sehr empfindlich auf Luftströmungen reagiert, so daß besondere Vorsichtsmaßregeln getroffen werden mußten, um die Angaben des Apparates davon unabhängig zu machen.

Läßt man nun diese Schutzvorrichtungen fort, so erhält man einen Apparat, welcher auf die geringsten Luftbewegungen reagiert. Durch zweckmäßige Anordnung der Hitzdrähte kann man es dahin bringen, noch Geschwindigkeiten von 1 mm pro Sekunde und weniger zu konstatieren. Ein derartig empfindlicher Apparat, welcher die bisher üblichen Anemometer in den Schatten stellt, dürfte dazu berufen sein, in der Messung von Luftgeschwindigkeiten, welche in der Lüftungstechnik eine große Rolle spielt, eine vollständige Umwälzung hervorzurufen.

Die hierauf bezüglichen Versuche sind indessen noch nicht abgeschlossen und ich behalte mir vor, hierüber in einer späteren Arbeit zu berichten.

Im Anschluß an den Vortrag wurde der Apparat in Tätigkeit vorgeführt und die Analyse eines 20proz. Gemisches von Wasserstoff mit Luft vorgenommen. Die Angaben des Apparates erfolgten schnell und exakt.

***Über einige Versuche mit lichtelektrischen Gaszellen  
bei großen Stromstärken;***

***von Josef Rosenthal.***

(Vorläufige Mitteilung.)

Gelegentlich von Versuchen, welche ich unternahm, um die Übertragung von Photographien nach dem KORNschen oder einem ähnlichen Verfahren in kürzester Zeit zu ermöglichen, habe ich auch einige Versuche mit lichtelektrischen Gaszellen angestellt, über welche ich im nachfolgenden kurz berichten möchte.

KORN hat bekanntlich das Hindernis, welches die Trägheit der Selenzelle seinem Verfahren entgegenstellte, durch eine sinnreiche Kompensationsmethode, wenn auch nicht vollständig, so doch zum Teil beseitigt. Da ich bei den von mir verwendeten lichtelektrischen Gaszellen, wenigstens mit den zu meinen Versuchen benutzten Hilfsmitteln (Einthovensches Saiten-Galvanometer) eine Trägheit selbst bei relativ großen Stromstärken nicht konstatieren konnte, eine solche also, wenn überhaupt nachweisbar, jedenfalls sehr klein ist, so müßte sich, nach meiner Ansicht, für schnelle Übertragung von Lichteffekten die lichtelektrische Gaszelle besser eignen als die Selenzelle, und müßte durch ihre Verwendung auch das Problem des Fernsehens der Verwirklichung näher gerückt werden können.

Soweit mir bekannt, waren die bisher bei lichtelektrischen Gaszellen verwendeten Ströme außerordentlich schwach; ich versuchte daher zunächst, Zellen für größere Stromstärken — wie sie für den oben angegebenen Zweck wünschenswert sind — zu erhalten und ist es mir auch bereits gelungen, natürlich bei entsprechend starker Belichtung, Stromstärken von mehreren Milliampere zu erreichen. Als lichtelektrische Substanz benutzte ich Rubidium, das bekanntlich schon von ELSTER und GEITEL als hierfür besonders gut geeignet erkannt wurde.

Die Anode meiner Zellen<sup>1)</sup> bildete ich als Heizdraht aus, so daß sie während des Evakuierens mittels elektrischen Stromes

<sup>1)</sup> Von der Polyphos-Elektrizit.-Gesellsch. München zu beziehen.

erhitzt und dadurch besser von den in und an ihr befindlichen Gasen und Dämpfen befreit werden konnte, was zur Erzielung möglichst großer Empfindlichkeit nicht unwichtig ist; außerdem konnte man dadurch das während der Herstellung der Zellen an der Anode niedergeschlagene Rubidium durch Verdampfung entfernen; dies ist besonders dann von Wichtigkeit, wenn die Zelle als Ventil benutzt werden soll, z. B. zur Messung oder Konstatierung schwacher Wechselströme mittels Gleichstrominstrumenten.

Die Zellen wurden entweder mit Wasserstoff oder mit Helium gefüllt. Beim Vergleich beider zeigte sich, daß die Stromstärke (Ordinate) der Rubidium-Wasserstoffzelle, als Funktion der Spannung (Abszisse) dargestellt, schon bei relativ niederen Spannungen sich asymptotisch (der Abszissenachse) einem Maximalwert nähert, der mit der Stärke der Belichtung zunimmt. Bei der Rubidium-Heliumzelle dagegen konnte ich ein solches Maximum — wenigstens soweit meine bisherigen Versuche reichen — nicht konstatieren. Die Charakteristik steigt hier vielmehr nahezu geradlinig an, und zwar, wie zu erwarten, um so steiler, je stärker die Belichtung gewählt wurde. Die von mir bisher verwendeten Spannungen betragen allerdings maximal nur 220 Volt. Während die Helium-Rubidiumzelle für möglichst intensive Ströme besser geeignet sein dürfte als die Wasserstoff-Rubidiumzelle, ist letztere sehr gut als Stromregulator zu verwenden, da von einer bestimmten relativ geringen Spannung ab eine Änderung der letzteren keine oder fast keine Stromänderung verursacht und andererseits, wenn man nur genügend hohe Spannung an die Zelle anlegt, auch eine bedeutende Änderung des Widerstandes im Stromkreise keine oder wenigstens keine wesentliche Stromänderung hervorrufen kann. Wegen seiner verschwindend geringen Nachwirkung kann dieser lichtelektrische Stromregulator auch bei sehr schnell sich ändernden Strömen verwendet werden, was möglicherweise bei der Übertragung telegraphischer Zeichen durch lange Leitungen Anwendung finden könnte.

München, 18. September 1908.

# Preisausschreiben

der

## Deutschen Meteorologischen Gesellschaft.

---

Die Deutsche Meteorologische Gesellschaft schreibt einen Preis von 3000 (drei Tausend) Mark aus für die beste Bearbeitung der bei den internationalen Aufstiegen gewonnenen meteorologischen Beobachtungen, soweit sie veröffentlicht vorliegen.

### Bedingungen.

1. Es steht den Preisrichtern frei, geeignetenfalls den Preis zu teilen.
2. An der Preisbewerbung können sich Angehörige aller Nationen beteiligen.
3. Die anonym einzureichenden Bewerbungsschriften sind in deutscher, englischer oder französischer Sprache zu verfassen, müssen einseitig und gut lesbar geschrieben, ferner mit einem Motto versehen und von einem versiegelten Umschlag begleitet sein, der auf der Außenseite dasselbe Motto trägt und inwendig den Namen und Wohnort des Verfassers angibt.
4. Die Zeit der Einsendung endet mit dem 31. Dezember 1911, und die Zusendung ist an den unterzeichneten Vorsitzenden der Gesellschaft (Geheimen Regierungsrat Prof. Dr. G. Hellmann, Berlin W. 56, Schinkelplatz 6) zu richten.
5. Die Resultate der Prüfung der eingegangenen Schriften durch fünf Preisrichter werden 1912 in der Meteorologischen Zeitschrift bekannt gegeben werden.

Der Vorsitzende der Deutschen Meteorologischen Gesellschaft.

Hellmann.

Verlag von Friedr. Vieweg & Sohn in Braunschweig.

# Physikalisches Spielbuch für die Jugend.

Zugleich eine leichtfaßliche Anleitung zu selbständigem  
Experimentieren und fröhlichem Nachdenken

von

**Dr. B. Donath.**

===== Zweite vermehrte und verbesserte Auflage. =====

Mit 166 eingedruckten Abbildungen.

**Preis geheftet 5 Mark, gebunden 6 Mark.**

In verhältnismäßig kurzer Zeit ist eine neue Auflage des „Physikalischen Spielbuches“ notwendig geworden. Der Gedanke, nach Pestalozzischer Art auch auf dem Gebiete exakter Wissenschaft spielend zu belehren und zum fröhlichen Nachdenken und verständnisvollen Betrachten der Naturerscheinungen anzuregen, hat sich als überaus glücklich erwiesen und ist von allen Seiten mit Freude begrüßt worden. Die neue Auflage hat, trotz einer weitgehenden Durcharbeitung und Erweiterung des Stoffes, an diesem Prinzip nichts geändert. An der Hand sehr einfacher und unterhaltender Versuche wird der junge Leser in die Grundlagen der Physik eingeführt und über den Zusammenhang der Erscheinungsformen belehrt. Auch werden die dem jungen Gehirn erfahrungsgemäß entgegretenden Schwierigkeiten keineswegs umgangen, sondern vielmehr aufgesucht und soweit als möglich beseitigt. Als Vorbereitung für den ernsteren Schulunterricht ist das liebenswürdig plaudernde, in seinem Kern aber durchaus wissenschaftliche Buch daher ganz besonders zu empfehlen. Hinsichtlich des Alters sowie des Bildungsganges werden dem jungen Leser keine Beschränkungen auferlegt; auch der Erwachsene dürfte das „Physikalische Spielbuch“ in seinen Mußstunden gern einmal zur Hand nehmen. Das stattliche Werkchen ist in überaus gediegener Weise ausgestattet und als Geschenkbuch für die deutsche Jugend, sowie für alle Bibliotheken, ganz hervorragend geeignet.

~ Zu beziehen durch alle Buchhandlungen. ~



# E. Leybold's Nachfolger

»»»»»»»»»» Cöln a. Rh. ««««««««««

Neu!

Neu!

## Universal-Luftpumpe

nach Dr. Gaede.

Die neue rotierende Universal-Luftpumpe nach Dr. Gaede eignet sich für alle üblichen Demonstrationen, sowohl als Vakuumpumpe wie als Druckpumpe, resp. Gebläse.



Evakuieren einer elektrischen Röhre bis zur grünen Glasfluoreszenz in einer Minute.

Gefrierenlassen des Wassers im Vakuum in wenigen Sekunden.

Evakuieren eines 5 Liter-Rezipienten für die gewöhnlichen Vakuumversuche in ca. einer Minute.

Versuche mit Druckluft.

Verwendung für akustische Versuche (Anblasen mehrerer Orgelpfeifen, großer Schnarrpfeife, Sirene usw.)

Die besonderen Vorzüge der Gaede'schen Universalpumpe sind: Große mechanische Festigkeit, Unempfindlichkeit gegen Wasserdämpfe, außerordentlich hohe Leistung bei geringen Dimensionen und kleinem Gewicht, rotierender, automatischer Antrieb mittels Elektromotor, bequeme Handhabung.

**Illustrierte Preisliste auf Verlangen.**

Diesem Hefte ist beigegeben: Ein Prospekt von Turnham Green, 16, Heathfield Gardens, London W, betr. Walter and Soddy, „ION“, a Journal of Electronics, Atomistics, Ionology, Radioactivity and Raumchemistry.

**Berichte**  
der  
**Deutschen Physikalischen Gesellschaft**

enthaltend

**Verhandlungen**

der Deutschen Physikalischen Gesellschaft  
im Auftrage der Gesellschaft herausgegeben

von

**Karl Scheel**

und

**Halbmonatliches Literaturverzeichnis**

der „Fortschritte der Physik“, dargestellt von der  
Deutschen Physikalischen Gesellschaft

redigiert von

**Karl Scheel**  
für reine Physik

**Richard Assmann**  
für kosmische Physik

---

**Braunschweig**

Druck und Verlag von Friedrich Vieweg und Sohn

1908

# Inhalt.

| <b>1. Verhandlungen der Deutschen Physikalischen Gesellschaft.</b>   |       |
|--|-------|
|  | Seite |
| Bericht über die Sitzung vom 23. Oktober 1908. . . . .   | 831   |
| E. Bollé, Über eine selbstregulierende Bogenlampe von großer Intensität mit horizontal rotierender positiver Kohle. (Vorgetragen in der Sitzung vom 28. Oktober 1908.) . . . . .   | 833   |
| M. Laue, Die Wellenstrahlung einer bewegten Punktladung nach dem Relativitätsprinzip. (Vorgetragen in der Sitzung vom 23. Oktober 1908.) . . . . .   | 838   |
| Richard Thölldt, Die Ursache der Leitfähigkeit eines Kohärrers infolge mechanischer Erschütterungen. (Vorgelegt in der Sitzung vom 23. Oktober 1908.) . . . . .  | 845   |
| G. Costanzo, Über die Natrium-Emanation. (Vorgelegt in der Sitzung vom 23. Oktober 1908.) . . . . .  | 854   |
| Rudolf Ladenburg und Stanislaw Loria, Über die Dispersion des leuchtenden Wasserstoffs. (Vorgetragen in der Sitzung der physikalischen Abteilung der 80. Versammlung Deutscher Naturforscher und Ärzte zu Köln am 22. September 1908.) . . . . . | 858   |
| <b>2. Halbmonatliches Literaturverzeichnis der Fortschritte der Physik.</b>  |       |
| I. Allgemeine Physik. S. 379. — II. Akustik. S. 381. — III. Physikalische Chemie. S. 381. — IV. Elektrizität und Magnetismus. S. 384. — V. Optik des gesamten Spektrums. S. 388. — VI. Wärme. S. 390. — VII. Kosmische Physik. S. 392.           |       |

---

Verlag von Friedr. Vieweg & Sohn in Braunschweig.

Wilhelm Budde's  
**Physikalische Aufgaben**  
für die oberen Klassen höherer Lehranstalten  
nebst den Lösungen.

Vierte Auflage, neu bearbeitet und vermehrt von  
**Professor P. Johannesson,**  
Oberlehrer am Sophienrealgymnasium in Berlin.  
gr. 8. Preis geheftet 2 *M*, gebunden 2,40 *M*

---

**Die Anwendung der Interferenzen**  
in der Spektroskopie und Metrologie.

Von **Dr. E. Gehroke,**  
Privatdozent an der Universität Berlin, technischer Hilfsarbeiter an der Physikalisch-Technischen Reichsanstalt.

Mit 73 eingedruckten Abbildungen. gr. 8. Preis geh. 5,50 *M*, geb. 6,20 *M*

**Verhandlungen**  
der  
**Deutschen Physikalischen Gesellschaft**

---

Im Auftrage der Gesellschaft herausgegeben

von

**Karl Scheel**

---

10. Jahrg.

15. November 1908.

Nr. 21.

---

**Sitzung vom 23. Oktober 1908.**

---

Vorsitzender: Hr. H. RUBENS.

Der Vorsitzende gedenkt des am 6. Oktober verstorbenen

**Professor Dr. A. Wüllner,**

welcher der Gesellschaft seit dem Jahre 1855 als Mitglied angehörte. Die Anwesenden erheben sich zu Ehren des Entschlafenen von ihren Sitzen.

---

Als Bibliothekar wird an Stelle des verstorbenen E. LADENBURG Hr. E. REGENER gewählt.

---

Sodann berichtet Hr. E. Bollé über eine selbstregulierende Bogenlampe von großer Intensität mit horizontaler rotierender positiver Kohle.

---

Ferner sprach Hr. E. Aschkinass über Wirkungsbereich und Absorption der  $\alpha$ -Strahlen.

---

Weiter trug Hr. **M. Laue** über  
die Wellenstrahlung einer bewegten Punktladung nach  
dem Relativitätsprinzip  
vor.

Endlich legte Hr. **Karl Scheel** folgende während der Ferien  
zur Veröffentlichung in den Verhandlungen der Gesellschaft ein-  
gegangenen Mitteilungen vor:

1. **K. Killehling** und **J. Koenigsberger**: Über die Abhängig-  
keit der selektiven Absorption von der Temperatur  
und das Verhalten der ersten Elektronen eines  
Moleküls im Innern der Substanz. (Vgl. diese Verh.  
S. 537—541.)
2. **Heinrich Erfle**: Bemerkung zu der Arbeit von Herrn  
FR. SCHÖN: „Beiträge zur Kenntnis der anomalen  
Dispersion von Metaldämpfen.“ (Vgl. diese Verh.  
S. 591—596.)
3. **Erich Marx**: Antwort auf die zweite Mitteilung der  
Herren FRANCK und POHL betreffend die Frage der  
Geschwindigkeit der Röntgenstrahlen. (Vgl. diese  
Verh. S. 597—603.)
4. **M. Thiesen**: Berichtigung zu dem Aufsätze: Die Zu-  
standsgleichung der Metalle. (Vgl. diese Verh. S. 604.)
5. **A. Wehnelt** und **F. Jentzsch**: Über die bei der Elek-  
tronenemission glühender Körper auftretenden  
Temperaturänderungen. (Vgl. diese Verh. S. 605—614.)
6. **G. Quincke**: Flüssige Kristalle, Myelinformen und  
künstliche Zellen mit flüssig-kristallinen Wän-  
den. (Vgl. diese Verh. S. 615—618.)
7. **Edgar Meyer**: Notiz über ein einfaches Phosphoroskop.  
(Vgl. diese Verh. S. 658—661.)
8. **Josef Rosenthal**: Über einige Versuche mit licht-  
elektrischen Gaszellen bei großen Stromstärken.  
(Vgl. diese Verh. S. 828—829.)
9. **Richard Thöldte**: Die Ursache der Leitfähigkeit eines  
Kohäerers infolge mechanischer Erschütterungen.
10. **G. Costanzo**: Über die Natrium-Emanation.

***Über eine selbstregulierende Bogenlampe von großer Intensität mit horizontal rottierender positiver Kohle;***  
**von E. Bollé.**

(Vorgetragen in der Sitzung vom 23. Oktober 1906.)

(Vgl. oben S. 831.)

In dem Zentralblatt für Optik und Mechanik (Jahrg. 1904) ist von Herrn BECHSTEIN eine von der Firma SCHMIDT u. HAENSCH als Versuchsmodell ausgeführte Bogenlampe beschrieben worden, bei welcher die positive Kohle horizontal steht und während des Brandes von einem kleinen Motor in Umdrehung versetzt wird, während die negative Kohle feststeht, einen stumpfen Winkel mit der Achse der positiven bildend. Die Regulierung auf konstanten Strom erfolgt ebenfalls durch einen Motor, dessen Feld der Differentialwirkung einer Hauptstrom- und einer Nebenschlußspule unterworfen ist.

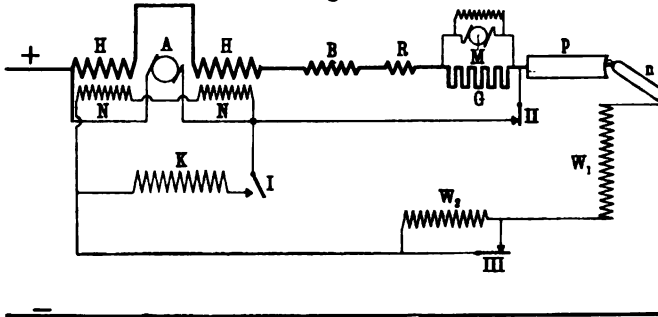
Eine derartige Lampe würde bei sicherem Betrieb und ruhigem Abbrand nicht nur, wie l. c. ausgeführt ist, für die Anwendung der Bogenlampe bei Projektionsapparaten einen großen Fortschritt bedeuten, sondern sie käme auch bei allen Anwendungen in Betracht, bei denen es auf eine Strahlungsquelle von großer Intensität und zuverlässig konstanter Strahlenrichtung ankäme. Zu Registrierversuchen, bei denen an die Strahlungsquelle die genannten Anforderungen gestellt werden mußten, auf die im übrigen aber hier nicht eingegangen werden kann, wurde dem Verf. von der genannten Firma das Versuchsmodell zur Benutzung überlassen. Da ich im Verlaufe derselben, nach einigen Abänderungen in der Schaltung, außerordentlich günstige Erfahrungen mit der Lampe gemacht und die Überzeugung gewonnen habe, daß nach einigen weiter unten zu bezeichnenden konstruktiven Änderungen im Aufbau, in dieser Bogenlampe eine für viele physikalische Anwendungen sehr geeignete Strahlungsquelle gegeben ist, so möchte ich hier kurz das Prinzip der Lampe erläutern und diejenigen Schaltungsänderungen angeben, durch welche ich

bereits an dem Versuchsmodell ein nahezu einwandfreies Brennen der Lampe erreicht habe.

Fig. 1 stellt die Schaltung der Lampe dar, wie sie in der oben erwähnten Zeitschrift mitgeteilt wurde und auch an dem Versuchsmodell zunächst ausgeführt war, welches durch das Entgegenkommen der Firma SCHMIDT u. HAENSCH in die Hände des Verf. kam.

Der Betrieb der Lampe nach dieser Schaltung ist folgender: Ehe sich der Lichtbogen durch Zusammenführen der Kohlen mittels des Motors, dessen Anker oben mit *A* bezeichnet ist, bilden konnte, ist der Hauptstromkreis geöffnet und die Spule *R*

Fig. 1.



eines Relais nicht vom Strom durchflossen. Da die Kontakte *II* und *III* erst bei Stromdurchgang durch diese Spule vermittelt eines in diese hineingezogenen Eisenkernes geschlossen und gleichzeitig der Kontakt *I* geöffnet wird, so sind vor Berührung der Kohlen die Kontakte *II* und *III* geöffnet und der Kontakt *I* geschlossen. Der Motor *A* läuft demnach als Serienmotor an, wobei seinen Feldspulen der Widerstand *K* parallel geschaltet ist und die Widerstände *W*<sub>1</sub> und *W*<sub>2</sub> als Vorschaltwiderstände dienen. Sobald der Motor die beiden Kohlen zusammengeführt hat, setzt der Hauptstrom ein, das Relais *R* tritt in Wirksamkeit und die Kontakte *II* und *III* werden bei gleichzeitiger Öffnung des Kontaktes *I* geschlossen. Jetzt wird, wie aus der Fig. 1 ersichtlich, der Anker *A* von dem Spannungsabfall eines Gefällwiderstandes *G* gespeist, während die Feldspulen *N* jetzt an der Lichtbogenspannung liegen, die etwa 65 Volt, also geringer als die Betriebsspannung von 110 (bzw. 220) Volt ist, weshalb der Teil *W*<sub>2</sub> des früheren

Vorschaltwiderstandes  $W_1 + W_2$  nunmehr kurz geschlossen ist. Das bei erfolgter Berührung der Kohlen nun ebenfalls erregte Feld der Hauptstromspulen  $H$  wirkt dem Feld  $N$  entgegen, und da es im Moment der Berührung sehr stark ist, und außerdem die Bremsspule  $B$  eine stark bremsende Wirkung auf eine auf der Motorachse befestigte Metallscheibe ausübt, so kehrt der Motor nahezu plötzlich um und zieht die Kohlen so weit auseinander, bis die Stromstärke (etwa 30 A) gerade ausreicht, um durch die Spulen  $H$  das Feld der Spulen  $N$  aufzuheben. Bei jedem Anwachsen der Stromstärke läuft der Motor in einer solchen Richtung, daß er den Bogen verlängert und umgekehrt bei jeder Stromabnahme. Diese Regulierung ist eine sehr feine und die Lampe brannte außerordentlich ruhig, und für eine Projektionslampe wäre die beschriebene Anordnung vollkommen ausreichend, wenn man etwa mittels eines außerhalb des Gehäuses angebrachten Handgriffes die Kohle  $p$  von Zeit zu Zeit etwas weiter dreht. Kommt es aber auf eine selbsttätig und möglichst exakt konstant gehaltene Strahlungsrichtung, also auf eine zur Achse der Kohle vollständig symmetrische Ausbildung des Kraters an, so liegt der Gedanke nahe, dies durch eine fortdauernde Rotation der Kohle zu erreichen. Diese wurde bei dem Versuchsmodell durch einen kleinen Nebenschlußmotor  $M$  bewerkstelligt, der ebenfalls von dem Spannungsabfall des Widerstandes  $G$  gespeist wurde.

Wie mir Herr F. RITTER zuerst bemerkte, und wie leicht einzusehen ist, ist eine derartige Schaltung des Motors prinzipiell falsch. Ist nämlich, beispielsweise durch das Vorhandensein eines Vorsprungs oder infolge schiefer Stellung der Kraterfläche zur Achse der positiven Kohle, der Entladungsweg für den Lichtbogen gering, so ist die Stromstärke und somit die Spannung des Motors  $M$  groß, und dieser wird bei solchen vorstehenden Stellen schnell, bei zurücktretenden Stellen dagegen langsam laufen. Hierdurch werden aber diese Unsymmetrien vergrößert, und es kommt leicht dazu, daß die Lampe verlöscht, wenn der Weg für den Lichtbogen einmal zu groß wird.

Es wurde daher an dem Versuchsmodell, unter Zwischenschaltung eines geeigneten Widerstandes, der Motor statt an das Gefälle  $G$  direkt an die Lichtbogenspannung gelegt, so daß jetzt gerade umgekehrt der Motor beim Auftreten von Vorsprüngen



besonders langsam läuft, diese also durch Abbrand beseitigt werden können, und selbst unsymmetrische Kohlen allmählich völlig rund gebrannt werden. Gleichzeitig wurde der kleine Motor durch einen kräftigeren ersetzt, wobei auf möglichst starke Erregung des Motorfeldes geachtet wurde, um einen nicht zu schnell laufenden Motor zu erhalten. Immerhin ist es empfehlenswert, derartige kleine Motoren möglichst schnell laufen zu lassen, und im vorliegenden Falle eine große Übersetzung anzuwenden. Soweit dies ohne wesentliche Abänderung der Konstruktion der Lampe geschehen konnte, wurde die Übersetzung zwischen der Tourenzahl des Motors und der Kohle noch vergrößert. Bei einer Neukonstruktion der Lampe behalte ich es mir vor, den Motor  $M$  möglichst entfernt von der Kohle  $p$  fest aufzustellen, so daß er unter der strahlenden Wärme des Lichtbogens nicht zu leiden hat, und die Rotation der positiven Kohle mittels eines auf einer in Richtung der Kohlenachse gleitenden Muffe angebrachten Zahnrades bei möglichst großer Übersetzung zu bewerkstelligen.

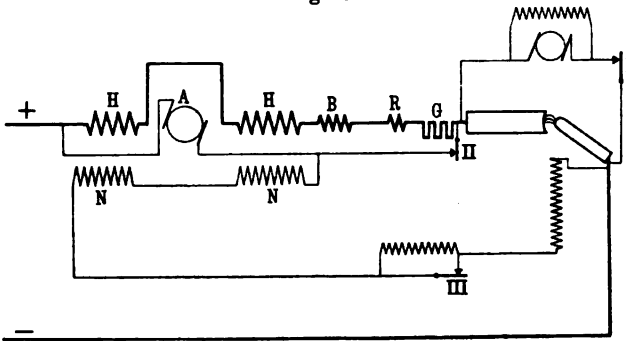
Eine weitere Veränderung in der Schaltung betrifft die Beseitigung des Widerstandes  $K$  und des Kontaktes  $I$ . Da beim Brennen der Lampe der Kontakt  $I$  geöffnet ist, der Widerstand  $K$  also nicht gebraucht wird, beim Einschalten der Lampe der Motor  $A$  als Serienmotor nur die Aufgabe hat, möglichst kräftig anzulaufen und schnell die Kohlen zusammenzuführen, so ist dieser Widerstand nicht nur überflüssig, sondern sogar einem kräftigen Anzugsmoment zur Überwindung der Reibungswiderstände in der Ruhe hinderlich. Ich habe daher die Spule  $K$  entfernt, wodurch die mechanische Ausführung der inneren Schaltung nicht unwesentlich erleichtert und diese erheblich übersichtlicher wird. An Stelle des frei gewordenen Kontaktes  $I$  könnte man einen anderen einführen, welcher den Motor  $M$  erst nach Berührung der Kohlen einschaltet.

Bei der nunmehrigen Schaltung der Lampe, die aus Fig. 2 ersichtlich ist, brennt bereits das Versuchsmodell, welches von Herrn BECHSTEIN sehr geschickt und trotz des teilweise provisorischen Aufbaues ziemlich dauerhaft konstruiert worden ist, zufriedenstellend, nachdem einige Mängel in der Isolation, als welche sich ausschließlich Asbest und Glimmer empfiehlt, beseitigt wurden. Ein wesentlich ruhigeres Brennen habe ich erreicht,

indem ich die anfangs verwandte negative Homogenkohle durch eine Dochkohle mit verkupfertem Docht ersetzt, welche mir die Firma Gebr. SIEMENS in vorn scharf zugespitztem Zustande lieferte, während die Kraterhöhlung der positiven Kohle bereits ebenfalls von vornherein vorgebildet ist.

Wenn noch die angedeuteten konstruktiven Änderungen angebracht werden, so läßt, wie bereits an dem Verhalten des

Fig. 2.



Versuchsmodells ersichtlich ist, sich zweifelsohne voraussehen, daß das beschriebene Prinzip zur Konstruktion einer Bogenlampe führen muß, die den bisherigen Lampen in vieler Hinsicht überlegen ist und für manche physikalischen Anwendungen von Nutzen sein kann.

**Die Wellenstrahlung einer bewegten Punktladung  
nach dem Relativitätsprinzip;**

**von M. Laue.**

(Vorgetragen in der Sitzung vom 23. Oktober 1906.)

(Vgl. oben S. 832.)

Die Wellenstrahlung einer bewegten Punktladung wurde auf Grund der Elektronentheorie schon vor einer Reihe von Jahren von HEAVISIDE <sup>1)</sup> und besonders ausführlich von ABRAHAM <sup>2)</sup> behandelt. Die Relativitätstheorie hat schon LORENTZ <sup>3)</sup> zur Ermittlung des Feldes eines schwingenden Dipols verwandt, ohne jedoch die ausgestrahlte Energie und Bewegungsgröße, sowie die Rückwirkung der Strahlung auf den Dipol anzugeben. Nun stimmen beide Theorien in den elektromagnetischen Grundgleichungen, sowie im Ausdruck für die ponderomotorische Kraft überein. Der Unterschied liegt allein in der Form, die sie den bewegten Ladungen zuschreiben; denn die eine nimmt diese als durch die Bewegung nicht beeinflusst an, während sie sich nach der anderen in Richtung der Geschwindigkeit kontrahieren. Aber dieser Unterschied kann in Entfernungen, die gegen die Dimensionen des mit Ladung erfüllten Raumteils groß genug sind, nicht mehr in Frage kommen, beide Theorien müssen hier dasselbe elektromagnetische Feld, daher dieselbe ausgestrahlte Energie und Bewegungsgröße, dieselbe auf das Elektron wirkende Kraft ergeben. Wenn wir dennoch die Frage hier neu behandeln, so geschieht es, um zu zeigen, wie viel einfacher die Relativitätstheorie sie löst. Außerdem besteht freilich zwischen beiden Theorien ein gewichtiger, die vom Relativitätsprinzip geforderte Trägheit der Energie auf das deutlichste veranschaulichender Unterschied hinsichtlich der Wirkung dieser Kraft.

<sup>1)</sup> O. HEAVISIDE, Nature 67, 6, 1902.

<sup>2)</sup> M. ABRAHAM, Ann. d. Phys. (4) 14, 236, 1904. Theorie der Elektrizität II, Leipzig 1905, besonders § 13 bis 15.

<sup>3)</sup> H. A. LORENTZ, Proc. Amsterdam 1904, S. 803.

a) Die Rückwirkung der Wellenstrahlung auf die Punktladung.

LORENTZ hat als Näherung für die Kraft  $\mathfrak{R}$ , welche das Elektron infolge der Strahlung erfährt, die Gleichung

$$\mathfrak{R} = \frac{2}{3} \frac{e^2}{c^3} \ddot{q}$$

angegeben <sup>1)</sup>. Dabei ist  $e$  die Ladung,  $c$  die Lichtgeschwindigkeit und  $\ddot{q}$  der zweite Differentialquotient der Geschwindigkeit  $q$  nach der Zeit. Bei der Ableitung sind alle Glieder, welche in  $q$ ,  $\dot{q}$ ,  $\ddot{q}$  usw. quadratisch oder von noch höherer Ordnung sind, vernachlässigt, doch überzeugt man sich leicht, daß kein von den Dimensionen unabhängiges Glied außer dem angegebenen auftreten kann, das nicht  $q$  als Faktor enthielte. Für  $q = 0$  und Punktladungen gilt demnach diese Gleichung streng, wie groß auch  $\dot{q}$ ,  $\ddot{q}$  usw. sein mögen.

Wir führen nun wie üblich zwei rechtwinklige, in den Achsenrichtungen übereinstimmende, parallel der  $x$ -Achse gleichförmig mit der Geschwindigkeit  $v$  gegeneinander bewegte Koordinatensysteme ein, das gestrichene ( $x'$ ,  $y'$ ,  $z'$ , dazu die Zeit  $t'$ ) und das ungestrichene ( $x$ ,  $y$ ,  $z$ ,  $t$ ). Es läßt sich stets so einrichten, daß in dem Augenblick, den wir herausgreifen, das Elektron im gestrichenen System die Geschwindigkeit 0 hat. Es erfährt dann die Kraft

$$\mathfrak{R}' = \frac{2}{3} \frac{e^2}{c^3} \ddot{q}'$$

die wir auf das ungestrichene System transformieren wollen.

Bei EINSTEIN <sup>2)</sup> sind die Transformationsformeln für die Geschwindigkeit angegeben (die  $z$ -Koordinate ist der  $y$ -Koordinate gleichberechtigt):

$$q'_x = (q_x - v) \cdot \frac{c^2}{c^2 - v q_x}, \quad q'_y = q_y \frac{c \sqrt{c^2 - v^2}}{c^2 - v q_x}.$$

Daraus folgt durch Differentiation nach  $t'$ , bzw.  $t$  unter Berücksichtigung der Gleichung

<sup>1)</sup> H. A. LORENTZ, Enzykl. d. math. Wissensch. V, 1, S. 188, 1903.

<sup>2)</sup> A. EINSTEIN, Ann. d. Phys. (4) 17, 891, 1905, § 5 und Jahrb. d. Radioakt. u. Elektronik 4, 411, 1907, Gleichung 3).

$$\frac{dt'}{dt} = \frac{c^2 - v q_x}{c \sqrt{c^2 - v^2}} \quad 1)$$

$$\dot{q}'_x = \left( \frac{c \sqrt{c^2 - v^2}}{c^2 - v q_x} \right)^2 \dot{q}_x; \quad \dot{q}'_y = \left( \frac{c \sqrt{c^2 - v^2}}{c^2 - v q_x} \right)^2 \left( \dot{q}_y + \frac{v q_y \dot{q}_x}{c^2 - v q_x} \right);$$

$$\ddot{q}'_x = \left( \frac{c \sqrt{c^2 - v^2}}{c^2 - v q_x} \right)^4 \left( \ddot{q}_x + \frac{3 v \dot{q}_x^2}{c^2 - v q_x} \right);$$

$$\ddot{q}'_y = \left( \frac{c \sqrt{c^2 - v^2}}{c^2 - v q_x} \right)^4 \left( \ddot{q}_y + v \frac{3 \dot{q}_y \dot{q}_x + q_y \ddot{q}_x}{c^2 - v q_x} + \frac{3 v^2 q_y \dot{q}_x^2}{(c^2 - v q_x)^2} \right).$$

Im vorliegenden Fall, wo  $q' = 0$  ist, ist  $q_x = v$ ,  $q_y = q_z = 0$ . Nimmt man dazu, daß unter derselben Voraussetzung

$$\mathfrak{K}_x = \mathfrak{K}'_x, \quad \mathfrak{K}_y = \mathfrak{K}'_y \sqrt{1 - \frac{v^2}{c^2}} \quad 2)$$

ist, so findet man:

$$\mathfrak{K}_x = \frac{2 e^2 c}{3 (c^2 - q^2)^2} \left( \ddot{q}_x + \frac{3|q|}{c^2 - q^2} \dot{q}_x^2 \right)$$

$$\mathfrak{K}_y = \frac{2 e^2}{3 c (c^2 - q^2)} \left( \ddot{q}_y + \frac{3|q|}{c^2 - q^2} \dot{q}_y \dot{q}_x \right)$$

$$\mathfrak{K}_z = \frac{2 e^2}{3 c (c^2 - q^2)} \left( \ddot{q}_z + \frac{3|q|}{c^2 - q^2} \dot{q}_z \dot{q}_x \right).$$

Man kann das Ergebnis in die Vektorgleichung umschreiben:

$$\mathfrak{K} = \frac{2 e^2}{3 c (c^2 - q^2)} \left[ \ddot{q} + \dot{q} \frac{3(q \dot{q})}{c^2 - q^2} + \frac{q}{c^2 - q^2} \left( (q \ddot{q}) + \frac{3(q \dot{q})^2}{c^2 - q^2} \right) \right],$$

es stimmt mit ABRAHAMs Resultat<sup>3)</sup> genau überein.

Quasistationär ist die Bewegung eines Elektrons, solange diese Kraft zu vernachlässigen ist gegen die zur Beschleunigung proportionale Trägheitswirkung seines Feldes. Da diese in beiden Theorien der Größenordnung nach dieselbe ist, stimmen auch die Grenzen der quasistationären Bewegung in ihnen überein.

#### b) Die Strahlung gleichförmig bewegter Lichtquellen.

Das einfachste Modell einer Lichtquelle ist ein molekularer, aus zwei gleich, aber entgegengesetzt geladenen Ionen bestehender,

<sup>1)</sup> Vgl. M. PLANCK, Ann d. Phys. (4) 28, 1, 1906, Gleichung 13) u. 14).

<sup>2)</sup> M. PLANCK, l. c., Gleichung 21); A. EINSTEIN, l. c., Gleichung 21).

<sup>3)</sup> Vgl. ABRAHAMs Lehrbuch, Gleichung 85).

im Vakuum befindlicher Dipol von schnell wechselndem Moment. Wir setzen voraus, daß seine Dimensionen klein gegen die Wellenlänge der ausgesandten Strahlung sind, oder bei nichtperiodischen Vorgängen klein gegen die Wellenlängen aller derjenigen Schwingungen, welche bei der FOURIERSchen Zerlegung der Strahlung in Betracht kommen. Der Einfachheit halber nehmen wir noch an, daß sich nur das eine Ion an den Schwingungen beteiligt. Die Verallgemeinerung ergibt sich leicht, wenn man bedenkt, daß gleiche Verschiebungen der beiden Ladungen im entgegengesetzten Sinne gleichwertig sind.

Auf diesen Dipol wollen wir einige der Gleichungen anwenden, welche PLANCK<sup>1)</sup> für die Dynamik bewegter Körper entwickelt hat. Dabei ist aber zu bedenken, daß molekulare Gebilde weder Temperatur, noch Volumen im Sinne der Thermodynamik besitzen, daß ihr kinetisches Potential  $H$  also von diesen Veränderlichen nicht abhängt. Die Folge ist, daß man dort überall den Druck

$$p = \frac{\partial H}{\partial V}$$

und die Entropie

$$S = \frac{\partial H}{\partial T}$$

Null zu setzen hat.

Dieser Dipol soll nun im gestrichenen System ruhen. Nach Formel 33) der genannten Abhandlung ist dann, da die Bewegungsgröße im gestrichenen System,  $\mathcal{G}'$ , verschwindet, seine Energie, bezogen aufs ungestrichene System:

$$E = \frac{cE'}{\sqrt{c^2 - v^2}}.$$

Die pro Zeiteinheit ausgestrahlte Energie ist daher:

$$-\frac{dE}{dt} = -\frac{c}{\sqrt{c^2 - v^2}} \frac{dE'}{dt'} \frac{dt'}{dt},$$

da aber wegen  $q_x = v$

$$\frac{dt'}{dt} = \frac{\sqrt{c^2 - v^2}}{c}$$

<sup>1)</sup> M. PLANCK, l. c.

<sup>2)</sup> Gleichung 7) daselbst.

ist, folgt

$$-\frac{dE}{dt} = -\frac{dE'}{dt'}$$

das ausgestrahlte Energiequantum pro Zeiteinheit ist in beiden Systemen dasselbe.

Bekanntlich berechnet sich nun die Strahlung eines ruhenden Dipols aus der Beschleunigung  $\dot{q}$  des bewegten Ions nach der Gleichung<sup>1)</sup>:

$$-\frac{dE'}{dt'} = \frac{2}{3} \frac{e^2}{c^3} \dot{q}'^2 = \frac{2}{3} \frac{e^2}{c^3} (\dot{q}'_x^2 + \dot{q}'_y^2 + \dot{q}'_z^2);$$

setzt man in den oben angegebenen Transformationsgleichungen für  $\dot{q}$   $q_x = v$ ,  $q_y = q_z = 0$ , so folgt hieraus:

$$-\frac{dE}{dt} = \frac{2e^2c^3}{3(c^2 - q^2)^2} \left( \frac{\dot{q}_x^2}{c^2 - q^2} + \frac{\dot{q}_y^2 + \dot{q}_z^2}{c^2} \right) = \frac{2e^2c}{3(c^2 - q^2)^2} \left( \dot{q}^2 + \frac{(q\dot{q})^2}{c^2 - q^2} \right),$$

was ebenfalls mit ABRAHAMs Ergebnis<sup>2)</sup> übereinstimmt.

Nach Gleichung 46) der genannten Abhandlung hat die Bewegungsgröße im ungestrichenen System den Wert

$$\mathcal{G} = q \cdot \frac{E}{c^2}.$$

Ein ruhender Dipol kann nun im Mittel keinen Bewegungsantrieb erfahren, weil zu jeder Richtung die entgegengesetzte gleichberechtigt ist. In dem betrachteten Fall ruht der Dipol im gestrichenen System. Eine etwaige Beschleunigung wäre ein Zeichen für absolute Bewegung dieses Systems, widerspräche also dem Relativitätsprinzip. Es muß daher seine Geschwindigkeit  $q$  zum ungestrichenen konstant bleiben. Er verliert demnach durch Ausstrahlung pro Zeiteinheit die Bewegungsgröße

$$-\frac{d\mathcal{G}}{dt} = -q \cdot \frac{1}{c^2} \frac{dE}{dt} = q \frac{2e^2}{3c(c^2 - q^2)^2} \left( \dot{q}^2 + \frac{(q\dot{q})^2}{c^2 - q^2} \right).$$

Auch dies Ergebnis leitet die ältere Theorie ab<sup>3)</sup> und schließt, daß der Dipol eine Kraft  $\mathcal{R}$  erfährt, die der Bewegung entgegen

<sup>1)</sup> Vgl. ABRAHAMs Lehrbuch, Gleichung 55) oder M. PLANCK, Ann. d. Phys. (4) 9, 619, 1902.

<sup>2)</sup> Dasselbst, Gleichung 82b).

<sup>3)</sup> Dasselbst, Gleichung 83).

gerichtet ist. Die Relativitätstheorie muß diesem Schluß zustimmen. Denn auch in ihr gilt der Impulssatz:

$$\mathfrak{R} = \frac{d\mathcal{G}}{dt}.$$

Aber während der Impuls  $\mathcal{G}$  in der älteren Theorie Funktion der Geschwindigkeit allein ist und jede Kraft die letztere ändern muß, ist es in der Relativitätstheorie möglich, daß eine Kraft statt dessen die Energie und die mit ihr verbundene Trägheit ändert. Dieser Fall tritt bei der bewegten Lichtquelle ein. Die ältere Theorie braucht ferner zur Aufrechterhaltung der gleichförmigen Bewegung eine Kraft, deren Arbeit einen Teil der Energiestrahlung deckt. Nach der Relativitätstheorie stammt diese dagegen ganz aus der Energie der Lichtquelle.

Die angegebenen Werte für die Energie- und Impulsstrahlung gelten, da sie nur von der Beschleunigung des bewegten Elektrons abhängen, auch dann, wenn dies nicht im Verbands eines Dipols schwingt, sondern sich sonst in irgend einer Weise bewegt. Daß die unter a) berechnete Kraft  $\mathfrak{R}$  dieselben Werte für die Energie- und Impulsstrahlung liefert, wenn man die Mittelwerte

$$\frac{1}{T} \int_t^{t+T} (\mathfrak{R} \cdot \mathfrak{q}) dt \quad \text{und} \quad \frac{1}{T} \int_t^{t+T} \mathfrak{R} dt$$

bildet, ist schon bei ABRAHAM bewiesen.

Für eine ausgedehnte Strahlungsquelle können wir unter Umständen einen ähnlichen Schluß ziehen. Im allgemeinen freilich hat die von einem ruhenden Körper ausgehende Strahlung eine resultierende Bewegungsgröße und übt dementsprechend einen Bewegungsantrieb aus, wie man am einfachsten an dem Beispiel eines mit Strahlung erfüllten Hohlraumes aus vollkommen spiegelnder Substanz ersieht, der nur an einer Stelle eine kleine Öffnung hat. Ist der Körper aber isotrop, homogen und von einer überall konvexen Oberfläche begrenzt, so erleidet er von der Strahlung einen normalen, überall gleichen Druck, welcher keine resultierende Kraft ergibt. Ruht ein solcher im gestrichenen System, so hat er zum ungestrichenen die konstante Geschwindig-



keit  $q$ . Seine Bewegungsgröße ist nach Gleichung 46) der PLANCKschen Abhandlung

$$\mathcal{G} = q \cdot \frac{E + pV}{c^2}.$$

Die Strahlung entführt ihm pro Zeiteinheit die Energie

$$W = - \left( \frac{dE}{dt} + p \frac{dV}{dt} \right),$$

so daß die Bewegungsgröße abnimmt um

$$- \frac{d\mathcal{G}}{dt} = \frac{q}{c^2} \left( W - V \frac{dp}{dt} \right).$$

Bleibt die Strahlungsintensität konstant, so gilt dies auch vom Strahlungsdruck und man findet mit LORENTZ<sup>1)</sup> eine der Geschwindigkeit entgegen gerichtete Kraft

$$\mathcal{R} = - q \cdot \frac{W}{c^2}.$$

Aber im Gegensatz zur älteren Theorie bewirkt diese keine Hemmung der Bewegung, sondern nur eine Verminderung der Trägheit.

Zu erklären ist noch, wie es möglich ist, daß bei demselben Vorgang ein Körper im ungestrichenen System eine Kraft erfährt, im gestrichenen System dagegen keine. Dies scheint zunächst den Transformationsgleichungen der Kraftkomponenten zu widersprechen. Aber die obige Kraft  $\mathcal{R}$  ist keine momentane elektrodynamische Kraft auf eine Punktladung  $1$ , sondern entsteht, indem man solche Kräfte über den ganzen Körper, soweit er von Elektronen erfüllt ist, integriert und dann noch das Mittel für Zeiten bildet, die gegen Lichtperioden lang sind. Die Grenzen der Zeitintegration sind natürlich vom Ort unabhängig. Nun ist aber  $t'$  nicht nur Funktion der Zeit  $t$ , sondern auch der Koordinate  $x$ . Analog gebildete Integrale dieser Art im gestrichenen und im ungestrichenen System beziehen sich daher niemals auf einander entsprechende Integrationsgebiete der Variablen  $x', y', z', t'$  und  $x, y, z, t$ . Daher kann man von dem einen nicht unmittelbar auf das andere schließen.

<sup>1)</sup> H. A. LORENTZ, Enzykl. d. math. Wissenschaften V, 1, S. 270, 1903.

**Die Ursache der Leitfähigkeit eines Kohärrers  
infolge mechanischer Erschütterungen;  
von Richard Thöldte.**

(Vorgelegt in der Sitzung vom 23. Oktober 1908.)

(Vgl. oben S. 832.)

---

In einer früheren Arbeit<sup>1)</sup> bin ich zu der Ansicht gelangt, daß der Eintritt der Leitfähigkeit eines Kohärrers, wenn dieselbe durch eine mechanische Erschütterung hervorgerufen wird, ebenso einen elektrischen Vorgang bedingt, wie es bei Einwirkung elektrischer Schwingungen, die von einer Nebenleitung ausgehen, der Fall ist. Und zwar muß hierbei durch eine elektrische Ausgleichung an den Kohärrerenden das Dielektrikum durch eine Verkohlung für den elektrischen Strom leitend gemacht werden. Den Beweis für eine stattfindende Verkohlung glaube ich bei Anwendung von Rizinusöl als Dielektrikum erbracht zu haben; es erschien mir aber wichtig, auch andere Öle und Fette einer Untersuchung zu unterwerfen; ich will in vorliegender Arbeit meine erhaltenen Resultate mitteilen, wodurch mir zugleich Gelegenheit gegeben ist, eine Berichtigung zu geben.

Die Anordnung ist dieselbe, wie in meiner früheren Arbeit, nur war in den Stromkreis des Kohärrers noch ein Telephon eingeschaltet, so daß die entstehenden Schwingungen der Aluminiumstifte des von mir gebrauchten Carolykohärrers hörbar gemacht wurden. Dadurch ist zwar der Widerstand in dem Stromkreise vergrößert, die angelegte Potentialdifferenz blieb aber auch jetzt unter der kritischen; ein Schließen oder Öffnen der Leitung hatte auch jetzt keine Leitfähigkeit des Kohärrers zur Folge. Bezeichnen wir mit  $\alpha$  den Hauptstrom, mit  $\beta$  den Kohärrerstrom, so ergeben sich folgende Werte, welche bei meinen Untersuchungen zugrunde gelegt wurden.

---

<sup>1)</sup> R. THÖLDTE, Ann. d. Phys. (4) 21, 155, 1906.

|                    | 1   | 2    | 3    | 4    | 5    |
|--------------------|-----|------|------|------|------|
| $\alpha$ . . . . . | 7   | 10,4 | 11,2 | 11,9 | 14,1 |
| $\beta$ . . . . .  | 6,6 | 10,1 | 10,8 | 11,5 | 13,7 |

Um ein möglichst genaues Bild vom Eintritt der Leitfähigkeit zu erhalten, habe ich vier verschiedene Arten derselben unterschieden:

1. Wenn der Kohärerstrom seine volle Stärke erreicht, d. h. wenn er 3 bis 5 mm hinter dem Hauptstrom zurückbleibt, so ist die herbeigeführte Leitfähigkeit des Kohäriers eine vollkommene; ich will sie die absolute nennen. Nur ein bestimmtes Erschüttern läßt den anfänglich hohen Widerstand wieder eintreten.

2. Es kommt aber vor, daß der Kohärerstrom nicht mit seiner vollen Stärke eintritt; z. B. wenn der Hauptstrom einen Ausschlag des Galvanometers bis 6 cm bedingt, so wird mit eingeschaltetem Kohärer nur ein Ausschlag bis 3,5 oder 4 cm erreicht. Hier ist also auch eine Leitfähigkeit eingetreten, aber nicht mit voller Stärke; diese will ich die partielle Leitfähigkeit nennen.

3. Nun zeigten sich Fälle, bei welchen die Stärke des Kohärerstromes sich nur in einer minimalen Schwankung von einigen Millimeter um den Nullpunkt bemerkbar machte; diese will ich die minimale Leitfähigkeit nennen.

4. Endlich kamen Fälle vor, bei welchen das Galvanometer absolut keinen Ausschlag, auch keinen minimalen, zeigte, aber die Stöße, die auf den Tisch oder gegen die Wand des Kohäriers geführt wurden, ließen sich im eingeschalteten Telephon hören; es war also auch in gewissem Sinne eine Leitfähigkeit eingetreten, denn durchaus nicht alle Stöße wurden im Telephon gehört; diese will ich die telephonische Leitfähigkeit nennen.

Die Versuche wurden so ausgeführt, daß die Aluminiumstifte zuerst mit Smirgelpapier mehrfach abgerieben, mit Äther gereinigt und ihre Beschaffenheit unter dem Mikroskop untersucht wurde; nunmehr wurden dieselben durch die Mikrometerschraube so eng aneinander gelegt, daß eben gerade die Leitfähigkeit eintrat. Hierauf wurden sie in gleicher Weise behandelt; nur wurde noch durch Eintauchen derselben in das betreffende Lösungsmittel die

dielektrische Schicht hergestellt, die Ätherdämpfe weggeblasen und die Stifte zur Beobachtung eingeschraubt.

### Beobachtungen.

1. Mohnöl; Lösungsmittel Äther; Verhältnis 1:1000. Durch einen einfachen Stoß eines Bleistiftes auf den Tisch, oder durch das Hinlegen desselben, wurde die absolute Leitfähigkeit hergestellt; das Aufheben desselben genügte schon, um sie verlieren zu lassen. Bei derselben war im Telephon, aber nur während der Dauer des Galvanometerausschlages, ein deutliches Geräusch zu hören, alsdann war Ruhe. Bei der partiellen Leitfähigkeit, die bei geringeren Stößen eintrat, ließ das Telephon ein fortwährendes Summen vernehmen, welches um so stärker war, je näher an Null heran der Ausschlag erfolgte, also je kleiner er war; ja, sogar war zuweilen ein singender Ton wahrnehmbar, als der Bleistift leicht hin und her gerollt wurde. Bei geringen Stößen zeigte sich auch nur die telephonische Leitfähigkeit. Ein Unterschied war bei den verschiedenen Stromstärken nicht zu bemerken. Bei der mikroskopischen Untersuchung zeigte sich am negativen Pol ein schwarzer Fleck, der mit Fließpapier leicht abgewischt werden konnte; die Berührungsstelle am positiven Pol war sehr blank geschabt.

2. Rüböl; Lösungsmittel Äther; Verhältnis 1:1000. Nach mehrfachen Stößen auf den Tisch wurde die telephonische Leitfähigkeit, aber auch nur vereinzelt, erreicht. Die absolute konnte nur dadurch hergestellt werden, daß die Kohärenden näher zusammengeschraubt wurden; von jetzt ab wurde, obwohl wieder zurückgeschraubt war, der Kohärer auch durch Klopfen leitend, und ebenso durch Klopfen auf den Tisch nichtleitend; er zeigte jetzt das frühere Verhalten; im Telephon wurde das eigentümliche Geräusch lebhaft gehört. Im allgemeinen zeigte sich, daß der Kohärer schwerer nichtleitend wurde, wenn er einmal leitend war. Die mikroskopische Untersuchung zeigte sicher am negativen Pol einen kleinen schwarzen Fleck schon nach wenigen Untersuchungen; am positiven Pol schien die Stelle blank geschabt zu sein, auch zeigten sich einige versprengte Kohlepartikelchen.

3. Leinöl; Lösungsmittel Äther; Verhältnis 1:1000. Die Leitfähigkeit konnte durch Erschüttern erst nach einigen Stößen hergestellt werden, während die Nichtleitfähigkeit durch einen geringen Stoß zu erreichen war. Nach mehreren Versuchen stellte sich die Leitfähigkeit leichter ein, und je mehr Versuche angestellt wurden, desto leichter kam dieselbe, während die Nichtleitfähigkeit immer sich sehr leicht einstellte. Erst nach mehrstündigen Versuchen konnte dieselbe nur schwer erreicht werden: es war aber auch erst jetzt am negativen Pol ein schwarzer Fleck mit voller Bestimmtheit nachweisbar, während die Berührungsstelle am positiven Pol blank geschabt war.

4. Leinölfirnis; Lösungsmittel Äther; Verhältnis 1:1000. Nach mehrfachen Untersuchungen wurden sehr starke Stöße mit der Faust auf den Tisch auch im Telephon, wenn auch zunächst nur ganz vereinzelt, wahrgenommen. Nach weiteren Versuchen zeigte das Galvanometer eine minimale Schwankung von einigen Millimeter, aber irgend eine konstante Leitfähigkeit trat nicht ein. Nun wurden durch die Mikrometerschraube die Kohärerenden einander genähert, und zwar mußten sie stark näher gestellt werden, damit die partielle Leitfähigkeit sich einstellte. Ein einmaliges Abklopfen stellte die Nichtleitfähigkeit wieder her. Aber kein Klopfen auf den Tisch oder gegen die Wand des Kohäriers konnte denselben wieder leitend machen. Erst nochmaliges Näherstellen ergab einen Ausschlag bis 5,2 cm, der durch Stöße auf den Tisch nur schwer beseitigt wurde. Im Telephon wurde nunmehr jede Änderung der Leitfähigkeit durch ein Summen gehört. Von nun an wurde der Kohärer durch jeden leichten Stoß auf den Tisch leitend, aber nicht durch jeden Stoß wieder nichtleitend, sondern etwas schwerer. Ein Unterschied bei den verschiedenen Stromstärken war nicht zu bemerken. Unter dem Mikroskop zeigte sich die Berührungsstelle am positiven Pol blank geschabt, am negativen Pol war nichts zu bemerken.

5. Terpentinöl; Lösungsmittel Äther; Verhältnis 1:1000. Die telephonische Leitfähigkeit stellte sich nach mehrmaligem Klopfen ein, die absolute war aber durch Klopfen auf den Tisch nicht zu erreichen, sondern nur durch Näherschrauben der Aluminiumstifte, und ebenso stellte sich die Nichtleitfähigkeit erst ein, wenn die Berührungsstellen weiter voneinander entfernt

wurden. Jetzt aber trat Leitfähigkeit und Nichtleitfähigkeit bei dem leisesten Stoße mit dem Bleistift auf die Tischplatte ein, etwa acht- bis zehnmal, aber dann wurde es schwerer und schwerer, die Leitfähigkeit durch Stöße auf den Tisch zu erreichen; schließlich konnte dieselbe nur durch sehr starkes und ununterbrochenes Klopfen hergestellt werden. Danach ging es wieder zunächst sehr leicht, bis es abermals nach mehreren Versuchen schwerer und schwerer wurde und endlich nur durch sehr starkes Klopfen sich wieder einstellte, worauf sich dieselbe Art und Weise, wie bisher, wiederholte. Nach etwa  $\frac{3}{4}$  stündigen Untersuchungen konnte die Leitfähigkeit auch durch das stärkste Klopfen nicht hergestellt werden, sondern nur durch abermaliges Näherschrauben der Teile, während die Nichtleitfähigkeit sich jetzt abermals nur durch Auseinanderschrauben einstellte; von jetzt ab wiederholte sich dasselbe Spiel. Am positiven Pol war die Stelle sehr blank geschabt, am negativen Pol war nichts zu bemerken.

6. Wachs; Lösungsmittel Äther; Verhältnis 1:1000. Durch Näherschrauben der Kohärerenden wurde zunächst nur die telephonische Leitfähigkeit vereinzelt hergestellt, und bei noch weiterem Näherschrauben zeigte sich auch die minimale, aber nur ganz vereinzelt, bis sich schließlich bei immer weiterem Näherschrauben die totale einstellte. Abklopfen machte den Kohärer nichtleitend. Und nunmehr stellte sich auch durch Klopfen auf den Tisch die Leitfähigkeit ein; aber so gut wie gar nicht wurde der Kohärer durch Erschüttern wieder nichtleitend, d. h. er blieb vollständig ein Leiter, und als schließlich er wieder nichtleitend gemacht wurde, konnte er durch Erschüttern nicht wieder leitend gemacht werden, sondern nur durch Näherschrauben, und die Nichtleitfähigkeit konnte abermals nur sehr schwer durch Erschüttern hergestellt werden. Es stellte sich also die Leitfähigkeit jedesmal nur dadurch ein, daß die Kohärerenden näher aneinander geschraubt wurden. Wenn dieselbe auf diese Weise hergestellt war, so konnte sie unmittelbar danach auch durch Erschüttern erreicht werden; das dauerte aber nur kurze Zeit, und man mußte wieder näher schrauben, bis schließlich die Aluminiumstifte so weit genähert waren, daß die Leitfähigkeit sich überhaupt nicht wieder verlor. Dieselbe konnte durch Erschüttern im allgemeinen sehr schwer hergestellt werden. Unter dem Mikro-

skop zeigte sich am negativen Pol ein kleiner schwarzer Fleck mit voller Bestimmtheit schon nach wenigen Beobachtungen, am positiven Pol war nichts nachzuweisen.

7. Walrat; Lösungsmittel Äther; Verhältnis 1:1000. Die Leitfähigkeit wurde durch leichtes Klopfen auf den Tisch hergestellt; etwas schwerer seine Nichtleitfähigkeit. Es zeigte sich, daß die Leitfähigkeit leichter bei Stromstärke 5, als bei 1 sich einstellte. Nach etwa sechs bis acht Beobachtungen stellte sich dieselbe gar nicht mehr ein, weder bei starkem, noch bei schwachem Strom. Die Beständigkeit des Kohärenstroms war nicht sehr groß, vielmehr variierte dieselbe. Nach einiger Zeit stellte sich die Leitfähigkeit wieder sehr leicht ein und ebenso, wie früher, die Nichtleitfähigkeit; aber immer stellte sich die Leitfähigkeit leichter bei Stromstärke 5 als bei 1 ein. Nach vielen Beobachtungen stellte sich eine Periode wieder ein, in welcher nur sehr schwer die Leitfähigkeit durch Klopfen erreicht werden konnte, worauf es wieder nach einiger Zeit leichter ging. Am negativen Pol war ein kleiner schwarzer Punkt nachzuweisen, der mit Fließpapier abgewischt wurde; am positiven Pol zeigte sich nichts.

8. Ceresin; Lösungsmittel Petroläther; Verhältnis 1:1000. Bei Ceresin mußten gegen die früheren Beobachtungen die Kohärerenden sehr genähert werden, damit die telephonische Leitfähigkeit sich zeigte; bei weiterem Klopfen auf den Tisch zeigte sich auch neben dieser die minimale, und nach weiterem Nähern der Kohärerenden stellte sich die absolute Leitfähigkeit ein, welche durch Klopfen auf den Tisch auch wieder verloren ging. Wenn der Kohärer längere Zeit nichtleitend war, mußten die Stifte wieder näher geschraubt werden, damit durch Klopfen auf den Tisch sich die Leitfähigkeit wieder einstellen konnte, während einfaches Klopfen genügte, den Kohärer nichtleitend zu machen. Schließlich stellte sich die Leitfähigkeit sehr leicht ein, verlor sich aber immer etwas schwerer, bis bei weiterem Zusammenschrauben der Enden dauernde Leitfähigkeit eingetreten war. Am negativen Pol zeigte sich ein schwarzer Fleck, der mit Fließpapier abgewischt wurde, und auf demselben auch noch nachweisbar war; der positive Pol war frei. Mehrfach habe ich hierbei ein stoßweises Ausschlagen des Galvanometers beobachtet,

sowohl wenn der Kohärer leitend, als auch wenn er nichtleitend wurde.

9. Vaseline; Lösungsmittel Petroläther; Verhältnis 1:1000. Die absolute Leitfähigkeit stellte sich infolge einiger Stöße mit dem Finger oder mit dem Bleistift auf den Tisch ein; die Nichtleitfähigkeit erfolgte schwerer; nach einigen Versuchen ging infolge des Abklopfens die absolute in die partielle über und erst nach weiterem Abklopfen sank das Galvanometer auf Null. Nach etwa zehn bis zwölf Beobachtungen war eine Ermüdung des Kohärrers eingetreten; es mußten deshalb die Stifte näher aneinander geschraubt werden. Hierauf stellte sich aber durch Erschütterung zunächst nur die partielle Leitfähigkeit ein, welche durch nochmaliges Klopfen in die absolute überging; beim Abklopfen ging die absolute auf die partielle zurück und verschwand erst nach nochmaligem Abklopfen. Gar bald war wiederum eine Ermüdung des Kohärrers eingetreten, und es mußten die Stifte näher geschraubt werden; hierauf stellte sich die Leitfähigkeit leicht ein, aber nur schwer war die Nichtleitfähigkeit zu erreichen. Unter dem Mikroskop zeigte sich am negativen Pol ein schwarzer Fleck; am positiven war nichts zu bemerken. —

Diese Beobachtungen, welche aus vielen Einzelbeobachtungen hervorgegangen sind und mehrfach wiederholt wurden, zeigen, obwohl sie unter sich große Unterschiede aufweisen, auf die es aber hier nicht ankommt, übereinstimmend, daß am negativen Pol eine Verkohlung stattgefunden hat. Zwar konnte bei Leinölfirnis und Terpentinöl eine Verkohlung nicht nachgewiesen werden, aber auch die Ergebnisse bei diesen beiden Dielektriken widersprechen nicht meiner Ansicht, da beim positiven Pol die Berührungsstelle blank geschabt war. Ein Unterschied findet sich aber gegen meine frühere Beobachtung insofern, als bei Rizinusöl sich am positiven Pol ein kleiner schwarzer Fleck zeigte, während die Kathode frei war. Um hierüber Klarheit zu erhalten, habe ich die Versuche mit Rizinusöl unter denselben Bedingungen wie bei den anderen Zwischenmedien wiederholt und teile sie hier mit.

10. Rizinusöl; Lösungsmittel Äther; Verhältnis 1:1000. Nach Näherschrauben der Stifte stellte sich die partielle Leitfähigkeit ein; aber meist nur die minimale, welche in Schwan-



kungen um den Nullpunkt bestand, selten die absolute, bei welcher jedoch die Nichtleitfähigkeit durch einen leichten Stoß zu erreichen war. Nach weiterem Näherschrauben stellten sich größere Ausschläge, bis zu 5 bis 6 cm ein, ohne daß meist eine konstante Leitfähigkeit eintrat. Das Abklopfen des Kohärers ging jetzt schwerer vonstatten. Nach mehreren Versuchen stellte sich auch wohl die absolute Leitfähigkeit stoßweise ein. Aber bald war eine Ermüdung des Kohärers eingetreten, so daß die Stifte abermals näher gestellt werden mußten. Aber auch jetzt gelang es nicht immer, die absolute Leitfähigkeit zu erhalten, sondern auch wohl nur die partielle. Die Nichtleitfähigkeit stellte sich durch Abklopfen immer schwerer ein. Nach einer längeren Pause sprach der Kohärer gut an, auch das Abklopfen ging leicht vonstatten.

Im allgemeinen trat hier von allen meinen Untersuchungen die Leitfähigkeit am unregelmäßigsten auf; die Ermüdung besonders dann, wenn mehrere Versuche schnell hintereinander angestellt waren, so daß die Stifte des Kohärers noch nicht zur Ruhe gekommen waren. Bei der mikroskopischen Untersuchung zeigte sich am negativen Pol ein schwarzer Fleck, während die Anode frei war.

Es zeigt also Rizinusöl dasselbe Verhalten, wie alle übrigen von mir untersuchten Zwischenmedien. Worin die Unstimmigkeit des früheren Resultates gegen mein jetziges liegt, vermag ich, da die früheren Untersuchungen unter ganz anderen Bedingungen ausgeführt waren, jetzt nicht zu erklären.

Wir erhalten also folgendes

#### Resultat:

1. Wenn die Leitfähigkeit eines Kohärers durch eine Erschütterung hervorgerufen wird, so vollzieht sich dieselbe in der Weise, daß einzelne Moleküle durch die entstehenden Schwingungen mechanisch einander so weit genähert werden, daß eine elektrische Ausgleichung an den Kohärerenden eine Verkohlung des Zwischenmediums herbeiführen kann.

2. Diese zunächst nur in einzelnen Punkten herbeigeführte Leitfähigkeit kann durch Erschüttern verloren

gehen, aber durch fortgesetzte Versuche kann die Verkohlung so stark werden, daß eine dauernde Leitfähigkeit sich einstellt.

3. Die Verkohlung zeigt sich am negativen Pol.

Damit erscheint mir die Ursache der Leitfähigkeit eines Kohärrers durch mechanische Erschütterungen aufgeklärt.

Dessau, im September 1908.

*Über die Natrium-Emanation;  
von G. Costanzo.*

(Vorgelegt in der Sitzung vom 23. Oktober 1906.)

(Vgl. oben S. 832.)

---

Im Hefte der „Nature“ vom 28. Mai d. J. berichtet Prof. CHARLES E. S. PHILLIPS<sup>1)</sup> über die Ergebnisse einiger seiner Untersuchungen, welche darauf gerichtet waren, die Existenz einer Emanation des metallischen Natriums nachzuweisen. Bei einigen Untersuchungen über die Kontaktpotentialdifferenz zwischen den alkalischen Metallen und dem Glase beobachtete er, daß ein frisch abgeschnittenes Stück Natrium ein Elektroskop schnell entlud. Bei weiterer Untersuchung der Erscheinung stellte PHILLIPS fest, daß der Effekt nur dann stattfand, wenn das Elektroskop negativ geladen war, während er für positive Ladungen gering oder gar nicht zu spüren war.

Weiter genügte ein Celluloidhäutchen, so dünn, daß die Interferenzfarben auftraten, um das Phänomen gänzlich zum Verschwinden zu bringen, woraus man schließen könnte, der Entladungseffekt wäre einem Dampfe zuzuschreiben. Solche Annahme war auch dadurch wahrscheinlich gemacht, daß ein Luftstrom, derart gerichtet, daß er den vermuteten Dampf von der Elektroskopplatte fortblies, die Entladung verhinderte.

PHILLIPS berichtet noch, daß nach Erwärmung bis zum Schmelzpunkte des Metalles jede Wirkung aufhörte, daß sie aber nach einigen Stunden wieder erschien.

Da das Natrium als Trockenmittel in den Elektroskopen, besonders bei Radioaktivitätsuntersuchungen, benutzt wird, so unternahm ich einige messende Bestimmungen über die von PHILLIPS mitgeteilten Untersuchungen, hauptsächlich um zu sehen, bis zu welchem Grade die Versuche über elektrische Zerstreungen bei Verwendung des Natriums als Trockenmittel beeinflußt werden könnten.

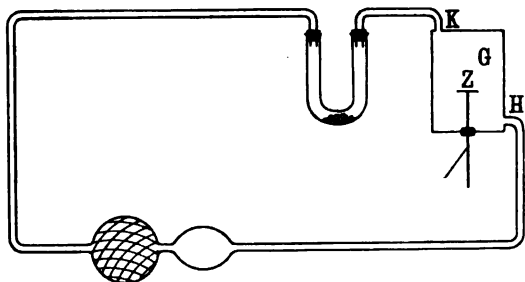
---

<sup>1)</sup> CHARLES E. S. PHILLIPS, Nature 78, 79, 1908

Obwohl die schnelle Oxydation der Oberfläche des Natriums die Existenz oder Nichtexistenz einer Emanation nicht verdecken kann, führte ich meine Versuche vorsichtshalber zuerst in einem inerten Gase aus. Als solches wählte ich Stickstoff, trocknete denselben mit konzentrierter Schwefelsäure und füllte damit das mit hermetischem Verschuß versehene Untersuchungsgefäß. Das Natrium befand sich, frisch abgeschnitten, in einer kleinen Glaskapsel auf der metallischen Platte, welche als Zerstreuungskörper diente. Dann benutzte ich die negative Ladung, weil die Emanation, nach PHILLIPS Behauptung, mit dieser erscheint.

Ich maß nun die vom Elektroskop im trockenen Stickstoff angegebene gewöhnliche elektrische Zerstreuung ohne Natrium; der Apparat zerstreute durchschnittlich 0,37 Volt in 5 Min. Bei Beschickung des Untersuchungsgefäßes mit einem (etwa 1 g)

Fig. 1.



Stück Natrium in der Stickstoffatmosphäre erfolgte eine durchschnittliche Zerstreuung von 0,33 Volt in 5 Min. Das Potential des Elektrometers lag bei diesen Versuchen zwischen 329 und 305 Volt.

Nach diesem ersten negativen Ergebnisse beschloß ich die Untersuchung anders zu gestalten, indem ich die oxydierende Wirkung der Luft zuließ, zugleich aber die Luftmenge, welche mit dem Natrium in Berührung kommen sollte, einschränkte. Von der Annahme ausgehend, daß eine Emanation wirklich existiere, transportierte ich dieselbe durch einen Luftstrom auf den Zerstreuungskörper des Elektrometers. Die Anordnung des Experimentes ist aus der Figur 1 ersichtlich.

Das Aluminiumblattelektroskop trug den Zerstreuungskörper Z von oxydiertem Messing, in dem metallischen Gefäß G einge-

schlossen, in Verbindung mit der Erde. Dies Gefäß, mit hermetischem Verschuß, war mit zwei Öffnungen, *H* und *K*, versehen, worin die zwei Enden eines Gummiballons mündeten. Dieser aspirierte die Luft des Gefäßes durch *H* und blies sie durch *K* wieder hinein, nachdem dieselbe über das in der U-Röhre enthaltene frisch geschnittene Natrium gegangen war. Um die Ladungszerstreuungsdifferenzen zu bestimmen, stellte ich drei Reihen Beobachtungen an:

1. Bestimmte ich den Ladungsabfall, welcher im Laufe von 30 Sek. von der Luftzirkulation erzeugt wurde, während welcher Zeit ich den Gummiballon 30 Aspirationen machen ließ. So erhielt ich den Wert der von mir sogenannten selbsterfolgenden Zerstreuung.

2. Bestimmte ich den Ladungsabfall nach demselben Verfahren, aber nachdem ich ein frisch geschnittenes Stückchen Natrium (1 g) in die U-Röhre hineingebracht hatte.

3. Machte ich die gleiche Beobachtung wie die vorige, nachdem ich aber eine doppelte Menge Natrium als bei dem Versuche 2 eingebracht hatte.

Die numerischen Resultate, zu denen ich gelangte, sind folgende:

#### Negative Ladung.

1. Durchschnittliche selbsterfolgende Zerstreuung in 30 Sek.  
= 0,25 Volt.

2. Zerstreuung in 30 Sek. mit 1 g Natrium:

|               |           |                           |
|---------------|-----------|---------------------------|
| 1. Wert . . . | 0,30 Volt | } Mittelwert = 0,27 Volt. |
| 2. " . . .    | 0,30 "    |                           |
| 3. " . . .    | 0,21 "    |                           |

3. Zerstreuung in 30 Sek. mit 2 g Natrium:

|               |           |                           |
|---------------|-----------|---------------------------|
| 1. Wert . . . | 0,25 Volt | } Mittelwert = 0,25 Volt. |
| 2. " . . .    | 0,25 "    |                           |
| 3. " . . .    | 0,24 "    |                           |

#### Positive Ladung.

1. Durchschnittliche selbsterfolgende Zerstreuung in 30 Sek.  
= 0,50 Volt.

2. Zerstreuung in 30 Sek. mit 1 g Natrium:

|               |           |                           |
|---------------|-----------|---------------------------|
| 1. Wert . . . | 0,36 Volt | } Mittelwert = 0,37 Volt. |
| 2. " . . .    | 0,37 "    |                           |
| 3. " . . .    | 0,37 "    |                           |

## 3. Zerstreuung in 30 Sek. mit 2 g Natrium:

|               |           |                           |
|---------------|-----------|---------------------------|
| 1. Wert . . . | 0,30 Volt | } Mittelwert = 0,33 Volt. |
| 2. " . . .    | 0,35 "    |                           |
| 3. " . . .    | 0,34 "    |                           |

Diese Zahlen bestätigen meines Erachtens, anstatt die Existenz irgend einer Natriumemanation festzustellen, vielmehr seine Wirkung auf die Verminderung der selbsterfolgenden Zerstreuungen in den Elektroskopen. Diese Wirkung hängt, meine ich, davon ab, daß das Natrium die Tröpfchen des Wasserdampfes, welche sich auf den isolierenden Stützen kondensiert finden können, absorbiert. Das läßt sich besonders vermuten, wenn man die unter 3 aufgeführten Beobachtungen ansieht, aus denen sich ergibt, daß die Ladungszerstreuung, trotz der größeren Menge des verwendeten Natriums, einen kleineren Wert hat, als in den anderen beiden Reihen.

Eine kleine Zunahme in der Zerstreuung der negativen Ladung wäre aus den Beobachtungen der zweiten Reihe zu ersehen; da aber diese Zunahme so gering ist, daß sie nur in der zweiten Dezimalstelle auftritt, so kann sie für die reelle Existenz der Natriumemanation keinen vollgültigen Beweis liefern. Auch darf man aus den gewonnenen Resultaten nicht ein verschiedenes Verhalten der Zerstreuung für die beiden Arten Ladungen folgern. Nach alledem glaube ich, daß es wünschenswert ist, den von PHILLIPS beobachteten Effekt daraufhin eingehend zu untersuchen, ob er nicht eher besonderen Eigenschaften des von ihm benutzten Natriums zuzuschreiben sei; es könnte in der Tat auch vorkommen, daß dieses Verunreinigungen enthielt oder daß es zuvor Emanation absorbiert hätte.

. Lissabon, Oktober 1908.

**Über die Dispersion des leuchtenden Wasserstoffs;  
von Rudolf Ladenburg und Stanislaw Loria.**

(Vorgetragen in der Sitzung der physikalischen Abteilung der 80. Versammlung Deutscher Naturforscher und Ärzte zu Köln am 22. September 1908.)

(Vgl. oben S. 621.)

(Hierzu eine Tafel, die Fig. 2 und 3 enthaltend.)

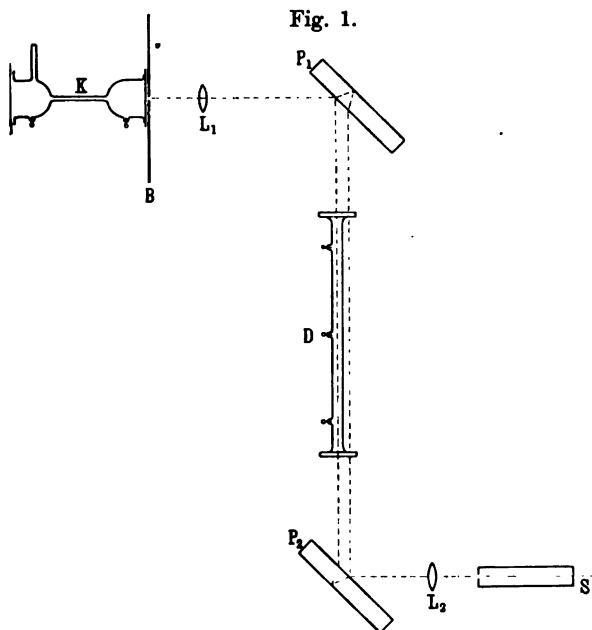
Vor kurzem konnte der eine von uns<sup>1)</sup> selektive Absorption in einem mit Wasserstoff gefüllten kapillaren Geisslerrohr quantitativ messen, indem als Lichtquelle ein zweites Geisslerrohr benutzt wurde, welches in Serie mit dem ersten in den Sekundärkreis eines Induktoriums mit paralleler Leidener Flasche geschaltet war. Bei weiteren Röhren und bei niedrigem Wasserstoffdruck war es zur Erzielung genügend kräftiger Erregungen notwendig, ein enges, mit Wasserstoff von beinahe einer Atmosphäre Druck gefülltes Kapillarrohr in Serie vorzuschalten. Benutzte man zugleich das von diesem Rohr in Längsdurchsicht ausgehende Licht, das ein kontinuierliches Spektrum mit nur flachen Maximis in der Nähe der Wasserstofflinien liefert, als Lichtquelle und ließ es das weitere Rohr durchsetzen, so sah man bei genügender Dispersion im kontinuierlichen Spektrum dunkle Absorptionslinien an Stelle der bekannten roten und blaugrünen Wasserstofflinie.

In Analogie zu den Erscheinungen in einer Natriumflamme muß man erwarten, daß in unmittelbarer Nähe dieser Absorptionslinien die Dispersion des leuchtenden Wasserstoffs von der des nichtleuchtenden abweicht und einen anormalen Verlauf nimmt<sup>2)</sup>. Um diese Konsequenz zu prüfen, haben wir uns eines JAMINSchen Interferentialrefraktors bedient (s. Fig. 1). *K* ist jenes enge, stark leuchtende Kapillarrohr, *B* eine Blende, die sich im Brennpunkt der Linse *L*<sub>1</sub> befindet. Das nahezu parallel gemachte

<sup>1)</sup> RUDOLF LADENBURG, Verh. d. D. Phys. Ges. 10, 550, 1908.

<sup>2)</sup> Eine derartige Erscheinung hat bereits J. LILIENTHAL (Verh. d. D. Phys. Ges. 8, 637, 1906) gesucht, ohne jedoch ein positives Resultat zu erhalten; unserer Ansicht nach lag dies einerseits an der nicht genügend empfindlichen optischen Versuchsanordnung und andererseits an ungeeigneten elektrischen Erregungsbedingungen.

Licht wird nun an der ersten Platte  $P_1$  in zwei Teile zerlegt, von denen der eine ein wenige Millimeter weites (mit der Pumpe verblasenes) Geisslerrohr  $D$  durchsetzt, der andere nur die beiden planparallelen Glasplatten, die diesem Rohr als Verschluss dienen. Die wiedervereinigten beiden Strahlen werden mittels der Linse  $L_2$  auf den vertikalen Spalt eines Spektralapparats konzentriert. Bei geeigneter Stellung („Nullstellung“) der



Platten  $P_1 P_2$  sieht man das kontinuierliche Spektrum von horizontalen Interferenzstreifen durchzogen, die bei nicht erregtem Rohre  $D$  vollständig kontinuierlich verlaufen und nach dem violetten Ende des Spektrums hin konvergieren<sup>1)</sup>. Diese Interferenzstreifen zeigen direkt den Verlauf des Brechungsindex mit der Wellenlänge und sind deshalb ein sehr empfindliches Reagens auf geringe diskontinuierliche Änderungen desselben. Erregt man nun bei einem Wasserstoffdruck von 3 bis 4 mm Hg das Rohr  $D$ , das wieder in Serie zu  $K$  mit paralleler Leidener Flasche geschaltet

<sup>1)</sup> L. PUCCIANTI, Cim. (5) 2, 257, 1901.



ist, so sieht man in der Tat zu beiden Seiten der roten Wasserstofflinie eine plötzliche Verzerrung der Interferenzstreifen, wie sie in Fig. 2 dargestellt ist. Die Maxima sind zu beiden Seiten der Wasserstofflinie nach entgegengesetzten Richtungen abgelenkt und zwar auf der violetten Seite (rechts) „nach oben“, auf der roten Seite umgekehrt. Man kann sich leicht davon überzeugen, daß die Richtung der Ablenkung rechts eine Abnahme, links eine Zunahme des Brechungsindex bedeutet. Dies ist der bekannte Verlauf der Dispersion in der Nähe eines Absorptionsstreifens. Der eigentlich „anomale“ Teil der Dispersionskurve innerhalb der Absorptionslinie ist nicht sichtbar. Auch erscheint die letztere nicht als dunkle Linie, da der eine der zur Interferenz kommenden Strahlen das Absorptionsrohr *D* nicht durchlaufen hat. Dadurch sieht es unter den Versuchsbedingungen der Fig. 2 so aus, als ob der abgelenkte Interferenzstreifen in den nach unten folgenden überginge, während in Wahrheit als Fortsetzung des nach unten gebogenen Minimums das durch das Maximum getrennte obere Minimum anzusehen ist. Benutzten wir nämlich als Absorptionsrohr statt des 23 cm langen Rohres *D* ein solches von 81 cm, so erschienen die Interferenzstreifen viel stärker abgelenkt (vgl. Fig. 3), so daß zwei aufeinanderfolgende Streifen in der Tat nicht mehr zusammenhingen. Jedoch waren jetzt die Streifen wohl infolge der stärkeren Absorption in dem langen Rohr viel weniger scharf, als beim kurzen Rohr; auch war die ganze Erscheinung lichtschwächer und undeutlicher und zitterte häufig hin und her, da die JAMINSchen Spiegel getrennt voneinander montiert werden mußten; deshalb haben wir quantitative Messungen nur mit kurzem Rohr (in dem in Fig. 2 dargestellten Falle) ausführen können.

Die verschiedenen Theorien der Dispersion führen in dem vorliegenden Falle eines isolierten schwachen Absorptionsstreifens unter einigen Vernachlässigungen, die wir weiter unten noch besprechen werden, auf dieselben Gleichungen, wie sie z. B. VOIGT in seinem Buche über Magneto- und Elektro-Optik, S. 114, ableitet. Wir wollen uns im folgenden seiner Bezeichnungsweise anschließen. Die betreffenden Gleichungen, die den Brechungs- und Extinktionsindex als Funktion der Schwingungszahl darstellen, lauten:

Fig. 2

6708 (Li)

6563 (H $\alpha$ )

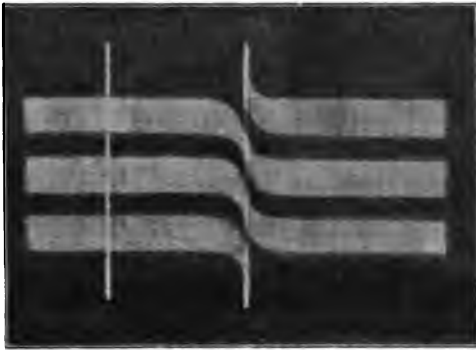
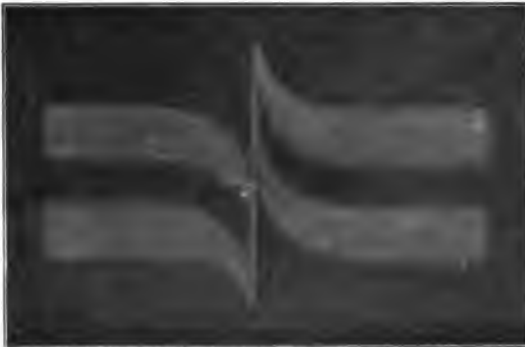


Fig. 3.





$$n - n_0 = -M \frac{\Delta}{\Delta^2 + 1} \quad 1a)$$

$$nk = \frac{M}{\Delta^2 + 1} \quad 1b)$$

wobei

$$M = \frac{\varrho}{2 n_0 \nu_0 \nu'} \quad \nu' = \frac{h}{m} \quad \Delta = \frac{2\mu}{\nu'}$$

$$\varrho = 4\pi \mathfrak{N} e^2/m$$

$$\mu = \nu - \nu_0$$

ist und die Buchstaben folgende Bedeutung haben:

$n$  ist der Brechungsindex für die Frequenz  $\nu$ ,

$n_0$  ist der als merklich konstant angenommene Brechungsindex, der in dem betrachteten Bereiche um die Frequenz  $\nu_0$  der einen Elektronenart herrschen würde, wenn diese nicht vorhanden wäre,

$e$  die Ladung eines Elektrons,

$m$  die Masse eines Elektrons,

$\mathfrak{N}$  die Anzahl der Elektronen pro Volumeneinheit,

$h$  die Dämpfungskraft, die durch die Bewegungsgleichung eines Elektrons

$$m \frac{d^2 x}{dt^2} + h \frac{dx}{dt} + kx = eX \quad 2)$$

gegeben ist ( $X$  die äußere Kraft),

$k$  schließlich ist der Extinktionskoeffizient<sup>1)</sup>, der durch das Absorptionsgesetz

$$J = J_0 \cdot e^{-\frac{4\pi n k}{\lambda_0}} \quad 3)$$

( $J$  eindringende,  $J_0$  durchgelassene Lichtintensität,  $\lambda_0 = \frac{2\pi c}{\nu_0}$ )

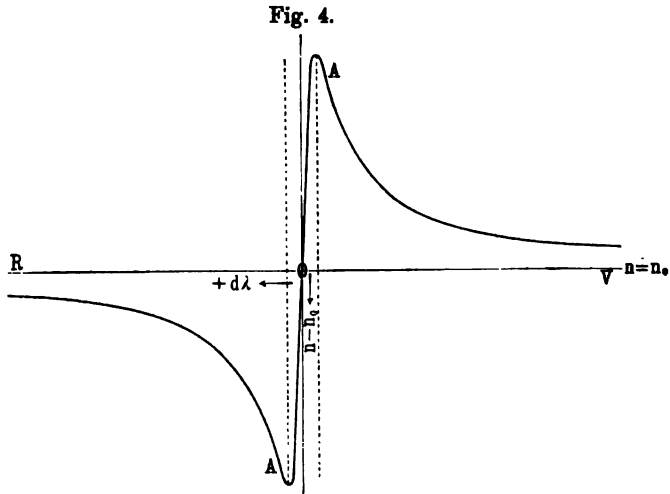
definiert ist.

Der Verlauf von  $n$  in der Umgebung des Absorptionsstreifens ist entsprechend der Gl. 1a) als Funktion der Wellenlänge in Fig. 4 dargestellt, indem für  $M$  ein beliebiger Wert benutzt ist. — Wie aus Gleichung 1a) hervorgeht, sollte dieser Verlauf, abgesehen von den Dimensionen der Koordinaten, in der Nähe jeder Absorptionslinie derselbe sein; die von uns beobachteten, abge-

<sup>1)</sup> Vgl. KAYSERS Definitionen in Winkelmanns Handbuch der Physik, 2. Aufl., Bd. VI, S. 740.

lenkten Interferenzstreifen stellen nun direkt den Verlauf von  $n$  als Funktion der Wellenlänge dar und liefern dadurch einen bequemen Vergleich zwischen Theorie und Experiment.

Leider haben wir nur sehr kleine Photographien dieser anomalen Dispersion an der roten Wasserstofflinie ausführen können — einerseits wegen der Lichtschwäche und der kleinen Dimensionen der Erscheinung, andererseits, weil häufige Schwankungen des Bildes keine längere Exposition erlaubten —, so daß wir die Photographien hier nicht direkt reproduzieren können. Jedoch



haben wir die quantitativen Verhältnisse mittels geeigneter Okularmikrometer im Spektrometerfernrohr direkt ausgemessen und dann nach diesen Messungen die folgenden Berechnungen ausgeführt und an der Hand jener kleinen Photographien obige Zeichnung (Fig. 2) angefertigt.

Diese beobachtete „Dispersionskurve“ gibt nur den annähernd geradlinigen Verlauf von  $n$  kurz vor seinem Maximal- bzw. Minimalwert wieder, da der Verlauf innerhalb des Absorptionsstreifens und die asymptotische Annäherung an  $n_0$  nicht sichtbar sind. Daß aber  $n$  außerhalb der plötzlichen Knicke der Interferenzstreifen nicht genau den ursprünglichen Wert  $n_0$  hat, war durch scharfe Einstellung des Okularfadens auf den Rand eines Maximums deutlich zu erkennen: beim Einschalten des Rohres  $D$

(Fig. 1) rückte der in der Fig. 2 links von der Absorptionslinie befindliche Teil ein wenig nach „unten“, der rechts befindliche nach „oben“.

Fig. 3 stellt einen größeren Teil der Dispersionskurve dar, und der Rand zwischen einem Maximum und Minimum z. B. verläuft sehr ähnlich der theoretischen Kurve, doch ist diese Figur aus den oben erwähnten Gründen quantitativ nicht zu verwenden.

Was die Ausmessung der Erscheinung bei kurzem Rohr (Fig. 2) betrifft, so sind die Abszissen aus der Dispersion des benutzten Prismas gegeben und die Ordinaten durch die Tatsache, daß eine Verschiebung um eine ganze Streifenbreite einer Änderung des Brechungsexponenten um  $\frac{\lambda}{l}$  entspricht, wenn  $\lambda$  die betreffende Wellenlänge,  $l$  die Länge des leuchtenden Teiles des Rohres  $D$  (in unserem Falle 23,3 cm) bezeichnet<sup>1)</sup>.

Wir haben nun erstens die Ablenkung (Ordinate) desjenigen Punktes gemessen, in dem sich der ziemlich scharfe Rand zwischen Maximum und Minimum mit dem der Emissionslinie ( $H_\alpha$ ) schneidet, und unter den oben beschriebenen Bedingungen Werte erhalten, die einer Änderung des Brechungsexponenten um sechs bis neun Einheiten der siebenten Dezimale entsprechen<sup>2)</sup>. Als Abszisse dieses Punktes ist offenbar die halbe scheinbare „Breite“ der Emissionslinie einzusetzen, die freilich bei der hier verwandten Dispersion noch als scharfe Linie erschien und nicht aufgelöst werden konnte. Bei größerer Dispersion erhielten wir, indem wir auf die Grenze zwischen „wesentlich hell“ „wesentlich dunkel“<sup>3)</sup> einstellten, unter denselben Druck- und Stromverhältnissen Werte, die zwischen 2 und 3 Å lagen. Zweitens haben wir den Winkel bestimmt, den der sehr angenähert geradlinig verlaufende Teil des abgelenkten Interferenzstreifens in der Nähe der Emissionslinie mit der Richtung  $n_0$  einschließt. Die Tangente dieses Winkels haben wir bis

<sup>1)</sup> Aus diesem Grunde sind alle Ordinaten der Kurven der Fig. 3 relativ zur Streifenbreite größer als die entsprechenden der Fig. 2; andererseits konnten wir durch Anwendung größerer Dispersion die Abszissen der beobachteten Ablenkungen bei konstanten Ordinaten vergrößern.

<sup>2)</sup> Der absolute Brechungsexponent des nichtleuchtenden Wasserstoffs beträgt unter den verwendeten Verhältnissen 1,000 000 68.

<sup>3)</sup> Vgl. L. GZIGER, Ann. d. Phys. (4) 23, 790, 1907.

auf einen Faktor  $C$  als identisch betrachtet mit der Tangente an die  $n$ -Kurve (Fig. 4) im Inflexionspunkte  $A$  oder  $A'$ . In diesen Punkten erhält man als Wert der geometrischen Tangente durch Differentiation der Gl. 1 a) den Ausdruck

$$\left(\frac{d(n-n_0)}{d\lambda}\right)_A = \frac{2\pi c}{\lambda_0^2} \left(\frac{d(n-n_0)}{d\mu}\right)_A = \frac{2\pi c}{\lambda_0^2} \cdot \frac{M}{4\nu'} = C \cdot \operatorname{tg} \alpha \quad 4)$$

Der konstante Faktor  $C$ , der von den Dimensionen des verwendeten Spektrometers usw. abhängt, mußte experimentell ausgewertet werden. Betrachtet man das Viereck, welches von entsprechenden Rändern der roten Lithium- und Wasserstofflinie einerseits und zweier unabgelenkter Interferenzmaxima andererseits gebildet wird (vgl. Fig. 2), so gilt für den Winkel  $\beta$  der Diagonale dieses Vierecks mit der Richtung der unabgelenkten Interferenzstreifen die Beziehung

$$\operatorname{tg} \beta = \frac{1}{C} \cdot \frac{\lambda_0}{l} \cdot \frac{1}{\lambda_{L_4} - \lambda_0} \quad 5)$$

Für  $\alpha$  erhielten wir  $74,8^\circ \pm 2$ , für  $\beta$   $25,8^\circ \pm 2$ .

Aus diesen Messungen ergibt sich mittels der Gl. 1) bzw. 4) und 5)

$$\nu' = 1,1 \cdot 10^{12} \quad 6)$$

(die extremsten erhaltenen Werte betragen  $0,7$  bzw.  $1,5 \cdot 10^{12}$ ) und

$$M = 1,5 \cdot 10^{-6}$$

(mit entsprechenden Grenzwerten). Der Wert von  $M$  ist (vgl. VOIGT, l. c.) identisch mit dem Maximalwert der Größe  $nk$  in dem betreffenden Absorptionsstreifen. Bezeichnet man die Größe

$$a = 4\pi \frac{nk}{\lambda_0}$$

als Absorptionskonstante, so folgt aus obigen Messungen für ihren Maximalwert  $0,28$ . Wir haben den Mittelwert dieser Größe im Gebiete der Emissionslinie analog den oben zitierten Messungen des einen von uns in demselben Rohre  $D$  bestimmt und entsprechend einem Absorptionsvermögen von  $79$  Proz. in einer Wasserstoffschicht von  $11,6$  cm Länge  $a = 0,13$  erhalten.

Ein derartiger Wert wurde bei den früheren Messungen bei etwa dem zehnfachen Druck gefunden; die hier erhaltene, so viel

stärkere Absorption scheint durch das Vorschalten der Kapillaren  $K$  (Fig. 1) hervorgerufen.

Von theoretischem Interesse ist ferner der Wert des Ausdrucks  $\frac{q}{\nu_0 \nu'}$ , da ihn die Theorie als klein gegen  $n_0^2$ , also praktisch als klein gegen 1 voraussetzt. Aus den obigen Zahlen ergibt sich

$$\frac{q}{\nu_0 \nu'} = 2 M n_0 = 3 \cdot 16^{-6},$$

woraus die Zulässigkeit der Vernachlässigung erwiesen ist. Ebenso zeigt sich, daß die in der allgemeinen DRUDESchen Theorie gegen die PLANCKsche gemachte Vernachlässigung<sup>1)</sup>  $\nu^2 - \nu_0^2$  groß gegen  $\frac{4}{3} \pi \mathfrak{N} e^2/m$ , hier unbedenklich ist, da sie nur verlangt, daß das betrachtete Intervall  $\lambda_0 - \lambda$  groß ist gegen  $3 \cdot 10^{-14}$  cm, d. h. gegen drei Milliontel Ångströmeinheiten.

Auch die Anzahl Elektronen pro Cubikcentimeter läßt sich aus den erhaltenen Werten mittels der Gleichungen 1) schätzen, falls man für  $e$  und  $e/m$  die bei Kathodenstrahlen gefundenen Werte benutzt; wir finden  $\mathfrak{N} = 4 \cdot 10^{12}$ , während die Anzahl Moleküle Wasserstoff, die bei den betr. Versuchsbedingungen und Zimmertemperatur in der Volumeinheit vorhanden, sich nach der kinetischen Theorie zu  $2 \cdot 10^{17}$  berechnen, d. h. auf rund 50 000 Moleküle entfällt ein „Dispersionselektron“. Aus den magnetorotatorischen Versuchen von HALLO<sup>2)</sup> und GEIGER<sup>3)</sup> an Natriumdampf wird dasselbe Verhältnis auf etwa 200:1 geschätzt.

Die bisherigen Betrachtungen bezogen sich alle auf die rote Wasserstofflinie bei einem Quecksilberdruck von 4 mm. Dieser erwies sich unter den benutzten Verhältnissen am günstigsten: höherer Druck vergrößert zwar die Absorption, würde also auch die Dispersion deutlicher hervortreten lassen; allein die Röhre  $D$  wurde dann nicht mehr vollständig mit Licht gefüllt und die in ihr stattfindende Absorption ließ die Interferenzen der Lichtquelle unscharf erscheinen. Bei niedrigeren Drucken zog sich die Erscheinung auf ein immer engeres Gebiet zusammen, so daß quantitative Messungen nicht mehr ausgeführt werden konnten.

<sup>1)</sup> Vgl. L. NATHANSON, Bull. de l'Ac. de Crac. Apr. 1907, S. 327.

<sup>2)</sup> J. J. HALLO, Diss. Amst. 1902. Arch. Neerl. (2) 10, 148, 1905.

<sup>3)</sup> l. c.



An der blaugrünen Wasserstofflinie konnten wir bei der angängigen Belastung des Induktoriums keine anomale Dispersion mit Sicherheit nachweisen. Daß die anomale Dispersion hier weit geringer als an der roten Wasserstofflinie ist, wurde durch Absorptionsmessungen bestätigt, die für den Mittelwert der Absorptionskonstante im Gebiete der Emissionslinie nur ein Sechstel von dem bei  $H_{\alpha}$  gefundenen Werte lieferte<sup>1)</sup>.

Jedenfalls ist aber durch die beschriebenen Versuche die Tatsache der anomalen Dispersion des leuchtenden Wasserstoffs nachgewiesen. Zur theoretischen Darstellung seiner Dispersion muß man also neben der einen Gattung von „Dispersions-elektronen“ des nicht leuchtenden Wasserstoffs im Ultraviolett neue „Dispersions-elektronen“ einführen, als deren Frequenz man die von  $H_{\alpha}$  und daneben vielleicht die der anderen Linien der sogenannten ersten Nebenserie des Wasserstoffs anzusehen hat, da dieselben nach den bisherigen Erfahrungen sich in jeder Beziehung ähnlich zu verhalten scheinen.

Schließlich möchten wir auch an dieser Stelle dem Direktor des Physikalischen Instituts zu Breslau, Herrn Professor O. LUMMER, unsern aufrichtigen Dank sagen für die liebenswürdige Überlassung aller zur Ausführung der beschriebenen Versuche notwendigen Apparate.

---

<sup>1)</sup> Die JULIUSsche Sonnentheorie, die ja in einer großen Zahl spektroskopischer Erscheinungen auf der Sonne die Wirkung anomaler Dispersion, speziell von leuchtendem Wasserstoff, sieht, setzt voraus, daß die anomale Dispersion an der roten Wasserstofflinie von annähernd derselben Größe ist wie an der blaugrünen.

Breslau, Physik. Inst. d. Univ., Oktober 1908.

Verlag von Friedr. Vieweg & Sohn in Braunschweig.

# Die Erdströme

im Deutschen Reichstelegraphengebiet  
und ihr Zusammenhang mit den erdmagnetischen Erscheinungen.

Auf Veranlassung und mit Unterstützung des Reichs-Postamts sowie mit  
Unterstützung der Königlich preussischen Akademie der Wissenschaften

Im Auftrage des Erdstrom-Comités des Elektrotechnischen Vereins

bearbeitet und herausgegeben von

**Dr. B. Weinstein,**

Kaiserlicher Regierungsrath und Universitäts-Professor.

Mit einem Atlas, enthaltend 19 lithographirte Tafeln. gr. 8. Preis geh. 4 *M*

Verlag von Friedr. Vieweg & Sohn, Braunschweig.

# Thermodynamik und Kinetik der Körper von Professor Dr. B. Weinstein.

**Erster Band. Allgemeine Thermodynamik und Kinetik und  
Theorie der idealen und wirklichen Gase und Dämpfe.  
Mit eingedruckten Abbildungen. gr. 8. (XVIII u. 484 Seiten.)  
Preis geh. *M* 12.—.**

**Zweiter Band. Absolute Temperatur. — Die Flüssigkeiten.  
— Die festen Körper. — Thermodynamische Statik und  
Kinetik. — Die (nicht verdünnten) Lösungen. (XVIII  
und 586 Seiten.) gr. 8. Preis geh. *M* 16.—.**

**Dritter Band, 1. Halbband. Die verdünnten Lösungen. —  
Die Dissociation. — Thermodynamik der Elektrizität  
und des Magnetismus. (Erster Teil.) (XVI und 464 Sei-  
ten.) gr. 8. Preis geh. *M* 12.—.**

**Dritter Band, 2. Halbband. Thermodynamik der Elektrizität  
und des Magnetismus. (Zweiter Teil.) — Elektrochemie.  
gr. 8. Preis geh. *M* 24.—.**

Zu beziehen durch alle Buchhandlungen.

Verlag von Friedr. Vieweg & Sohn in Braunschweig.

# Physikalisches Spielbuch für die Jugend.

Zugleich eine leichtfaßliche Anleitung zu selbständigem  
Experimentieren und fröhlichem Nachdenken

von

**Dr. B. Donath.**

————— Zweite vermehrte und verbesserte Auflage. —————

Mit 166 eingedruckten Abbildungen.

**Preis geheftet 5 Mark, gebunden 6 Mark.**

**I**n verhältnismäßig kurzer Zeit ist eine neue Auflage des „Physikalischen Spielbuches“ notwendig geworden. Der Gedanke, nach Pestalozzischer Art auch auf dem Gebiete exakter Wissenschaft spielend zu belehren und zum fröhlichen Nachdenken und verständnisvollen Betrachten der Naturerscheinungen anzuregen, hat sich als überaus glücklich erwiesen und ist von allen Seiten mit Freude begrüßt worden. Die neue Auflage hat, trotz einer weitgehenden Durcharbeitung und Erweiterung des Stoffes, an diesem Prinzip nichts geändert. An der Hand sehr einfacher und unterhaltender Versuche wird der junge Leser in die Grundlagen der Physik eingeführt und über den Zusammenhang der Erscheinungsformen belehrt. Auch werden die dem jungen Gehirn erfahrungsgemäß entgegnetretenden Schwierigkeiten keineswegs umgangen, sondern vielmehr aufgesucht und soweit als möglich beseitigt. Als Vorbereitung für den ernsteren Schulunterricht ist das liebenswürdig plaudernde, in seinem Kern aber durchaus wissenschaftliche Buch daher ganz besonders zu empfehlen. Hinsichtlich des Alters sowie des Bildungsganges werden dem jungen Leser keine Beschränkungen auferlegt; auch der Erwachsene dürfte das „Physikalische Spielbuch“ in seinen Mußestunden gern einmal zur Hand nehmen. Das stattliche Werkchen ist in überaus gediegener Weise ausgestattet und als Geschenkbuch für die deutsche Jugend, sowie für alle Bibliotheken, ganz hervorragend geeignet.

Zu beziehen durch alle Buchhandlungen.

# Berichte der Deutschen Physikalischen Gesellschaft

enthaltend

## Verhandlungen

der Deutschen Physikalischen Gesellschaft  
im Auftrage der Gesellschaft herausgegeben

von

Karl Scheel

und

## Halbmonatliches Literaturverzeichnis

der „Fortschritte der Physik“, dargestellt von der  
Deutschen Physikalischen Gesellschaft

redigiert von

Karl Scheel

Richard Assmann

für reine Physik

für kosmische Physik

### Inhalt.

1. Verhandlungen der Deutschen Physikalischen Gesellschaft. Bericht über die Sitzung vom 6. November 1908. S. 867. — G. J. Elias, Über anomale Dispersion der magnetischen Rotationspolarisation. (Vorgelegt in der Sitzung vom 6. November 1908.) S. 869. — E. Gerland, Bemerkung zu E. Jacobs' das Berliner Exemplar von Guericques Luftpumpe behandelnder Mitteilung. (Vorgelegt in der Sitzung vom 6. November 1908.) S. 877. — I. Traube, Der Haftdruck. Beitrag zur Theorie der Lösungen. S. 880. — 2. Halbmonatliches Literaturverzeichnis der Fortschritte der Physik. I. Allgemeine Physik. S. 399. — II. Akustik. S. 402. — III. Physikalische Chemie. S. 402. — IV. Elektrizität und Magnetismus. S. 404. — V. Optik des gesamten Spektrums. S. 409. — VI. Wärme. S. 411. — VII. Kosmische Physik. S. 413.

Braunschweig

Druck und Verlag von Friedrich Vieweg und Sohn

1908

**Photometer**  
**Spektral-Apparate**  
**Projektions-Apparate**  
**Glas-Photogramme**  
**Physik. Apparate n. Prof. Grimsehl**  
**Optisches Institut von A. Krüss**  
 Inhaber: Dr. Hugo Krüss.                      - HAMBURG.

**Max Kohl \* Chemnitz i. S.**

Werkstätten für Präzisions-Mechanik

liefert als Spezialität:

**Komplette Einrichtungen f. physikalische und chemische Laboratorien.**

**Physikalische und chemische Apparate und Gerätschaften.**

**Elektrotechnische Abteilung.**

Notiz: Außer den in meinem Etablissement vorhandenen modern eingerichteten  
 Mechaniker-Werkstätten habe ich auch eigene Dampfischlerei, Holz-,  
 Metall- und Fein-Lackiererei, Klempnerei, Schlosserei, 2 Präzisions-  
 Teilmaschinen usw. in meiner Fabrik und bin deshalb in der Lage, alle vor-  
 kommenden Arbeiten durch mein eigenes Personal ausführen zu lassen. Meine  
 Herren Abnehmer haben dadurch Gewähr, zu mäßigen Preisen solid ausgeführte  
 Apparate zu erhalten, bei deren Konstruktion stets die neuesten auf dem Gebiete  
 der Wissenschaft gemachten Fortschritte Berücksichtigung finden! 350 Arbeiter,  
 40 Beamte, 9600 qm Arbeitsfläche.

**Einrichtungen kompl. Röntgenkabinette**  
 mit Funkeninduktoren aller Größen und für jede Betriebs-  
 art. (Die Kohl'schen Funkeninduktoren werden allseitig als die  
 preiswertesten und leistungsfähigsten anerkannt.)

**Neu! Demonstrations-Apparat für Fern-  
 photographie** nach Prof. Dr. Arthur Korn, München.

**Neu! Experimentier-Schalttafeln** für die kleinsten  
 und größten Stromentnahmen aus dem Leitungsnetze städtischer  
 Zentralen. Man verlange Spezial-Prospekt.

Preislisten mit ausführlichen Beschreibungen, Referenzen usw. kostenfrei.

Verlag von Friedr. Vieweg & Sohn in Braunschweig.

**Leitfaden der Wetterkunde.**

Gemeinverständlich bearbeitet

von Dr. R. Börnstein,

Professor an der Königl. landwirtschaftlichen Hochschule zu Berlin.

Zweite Auflage. Mit 81 Abb. u. 22 Taf. gr. 8. Preis geh. 6  $\mathcal{M}$ , geb. 6,80  $\mathcal{M}$

**Verhandlungen**  
der  
**Deutschen Physikalischen Gesellschaft**

---

Im Auftrage der Gesellschaft herausgegeben

von

**Karl Scheel**

---

**10. Jahrg.**

**30. November 1908.**

**Nr. 22.**

---

**Sitzung vom 6. November 1908.**

---

Vorsitzender: Hr. H. RUBENS.

---

Hr. I. Traube berichtet über den  
Haftdruck. Beitrag zur Theorie der Lösungen.

---

Ferner spricht Hr. F. Dolezalek über die  
Theorie der binären Gemische und konzentrierten  
Lösungen.

---

Endlich legt Hr. Karl Scheel folgende beiden Mitteilungen vor:

1. von Hrn. E. Gerland: Bemerkung zu E. JACOBS' das Berliner Exemplar von GUERICKE'S Luftpumpe behandelnder Mitteilung.
  2. von Hrn. G. J. Elias: Über anomale Dispersion der magnetischen Rotationspolarisation.
-

Als Mitglieder wurden in die Gesellschaft aufgenommen:

- Hr. Dr. A. EUCKEN, Berlin NW 7, Bunsenstr. 1.  
(Vorgeschlagen durch Hrn. W. NERNST.)
- Hr. Prof. P. LEBEDEV, Moskau.  
(Vorgeschlagen durch Hrn. H. RUBENS.)
- Hr. Dr. M. BORN, Breslau, Zimmerstr. 5.  
(Vorgeschlagen durch Hrn. J. FRANCK.)
- Hr. Dr. GUSTAV RÜMELIN, Assistent am Physikalischen Institut  
zu Freiburg i. B.
- Hr. HERMANN v. DECHEND, desgl.
- Hr. ODO TAUERN, Freiburg i. B., Physikalisches Institut der  
Universität.  
(Alle drei vorgeschlagen durch Hrn. F. HIMSTEDT.)
- Hr. Prof. Dr. EUGEN KLUPATHY, Budapest, Esterhazy-Gasse 3,  
Physikalisches Institut.  
(Vorgeschlagen durch Hrn. E. GEHRCKE.)
- Hr. FR. KLINGELFUSS, Basel.  
(Vorgeschlagen durch Hrn. KARL SCHEEL.)
- Hr. stud. phil. G. HERTZ, Charlottenburg 2, Schlüterstr. 63.  
(Vorgeschlagen durch Hrn. W. WESTPHAL.)
- Hr. Oberlehrer Dr. KRÜSS, Hilfsarbeiter im Kultusministerium,  
Berlin W 64, Wilhelmstr. 68.  
(Vorgeschlagen durch Hrn. R. ASSMANN.)
- Hr. Dr. R. STEINHEIL, München, Theresienhöhe 7.  
(Vorgeschlagen durch Hrn. H. ERFLE.)
-

***Über anomale Dispersion der magnetischen  
Rotationspolarisation;***

**von G. J. Elias.**

(Vorgelegt in der Sitzung vom 6. November 1908.)

(Vgl. oben S. 867.)

Die Resultate der Untersuchungen von SCHMAUS über etwaige Anomalien der magnetischen Rotationspolarisation in der Nähe von Absorptionsbanden sind durch BATES, unter Hinweis auf eine Fehlerquelle, in Frage gestellt; da Versuche WOODS mir nicht gründlich genug auf die Sache einzugehen schienen, habe ich schon im Sommer 1906 angefangen, mich mit diesen Erscheinungen zu beschäftigen, und fand damals bereits beträchtliche Anomalien<sup>1)</sup>. Bei diesen Versuchen, die nach der Halbschattenmethode ausgeführt wurden, stellte es sich heraus, daß es unbedingt erforderlich ist, mit möglichst intensivem, homogenem Lichte, und mit möglichst kleinen Intervallen der Wellenlänge zu arbeiten; ich mußte daher die damals angefangenen Versuche aufschieben, bis ich über einen Apparat verfügen konnte, der jenen Anforderungen genügte. Der von der Firma ZEISS ausgeführte Bau eines sehr lichtstarken Autokollimations-Spektralapparates, dessen vorläufige Beschreibung erschienen ist<sup>2)</sup>, hat außerordentlich viel Zeit erfordert, so daß ich erst im Sommer 1908 die Versuche wieder aufnehmen konnte.

In der Zwischenzeit waren noch Arbeiten von WOOD<sup>3)</sup> und J. BECQUEREL<sup>4)</sup> über diesen Gegenstand erschienen. Die WOODSchen Versuche habe ich schon an anderer Stelle kritisch besprochen<sup>5)</sup>.

Was die beiden eleganten, mehr demonstrativen, BECQUERELschen Methoden anbelangt, so scheint mir diejenige mit dem

<sup>1)</sup> G. J. ELIAS, Phys. ZS. 7, 931, 1906, wo auch weitere Literaturzusammenstellung zu finden ist.

<sup>2)</sup> H. DU BOIS, G. J. ELIAS u. F. LÖWE, Versl. Amsterd. 16, 744, 1908.

<sup>3)</sup> R. W. WOOD, Phys. ZS. 9, 148, 1908.

<sup>4)</sup> J. BECQUEREL, Phil. Mag. (6) 16, 156, 1908; Phys. ZS. 8, 641, 1907.

<sup>5)</sup> G. J. ELIAS, Phys. ZS. 9, 855, 1908.



BABINETSchen Kompensator schon deswegen keine genauen Resultate ergeben zu können, weil es in der Nähe der Absorptionsbanden unmöglich sein dürfte, den genauen Verlauf des schwarzen Horizontalbalkens zu verfolgen, besonders bei eng zusammenliegenden Banden. Außerdem werden die Intensitätsverhältnisse mehr oder weniger beeinflusst vom zirkularen Dichroismus, der auch elliptische Polarisation veranlaßt.

Die zweite BECQUERELSche Methode, diejenige mit dem Kalkspatrhomboider, läßt sich wohl überhaupt nicht für messende Versuche verwerten, weil es dabei zu sehr auf die subjektive Beurteilung von Intensitätsunterschieden ankommt.

Ganz frei von diesen Fehlerquellen ist die einfache und direkte Halbschattenmethode, die ich auch bei den jetzt vorliegenden Versuchen wieder durchweg benutzt habe. Nur in dem Falle, daß die Präparate undurchsichtig sind, oder bei ganz feinen Banden (was freilich bei den BECQUERELSchen Versuchen wohl öfters der Fall war) wird diese Methode vermutlich versagen.

Als Lichtquelle benutzte ich die Sonne. Das mit dem Öffnungsverhältnis 1 : 4 einfallende Licht wurde von dem oben genannten Spektralapparat — Brennweite 260 mm, Dispersion des Prismensystems  $C$  bis  $F$  etwa  $24\frac{1}{2}^\circ$ , theoretisches Auflösungsvermögen 65 000 — spektral zerlegt und dessen Austrittsspalt als eigentliche monochromatische Lichtquelle benutzt. Dadurch war es möglich, eine Homogenität des Lichtes zu erreichen von etwa 0,15 bis  $0,2\mu\mu$  für eine mittlere Wellenlänge; im Blau konnte sogar, bei nicht allzu starker Absorption, eine Homogenität innerhalb  $0,07\mu\mu$  erzielt werden. Die Intervalle der Wellenlängen wurden in vielen Fällen kleiner als  $0,1\mu\mu$  genommen. Als Halbschattenwinkel wurde meistens  $2^\circ$  gewählt, in einzelnen Fällen, bei sehr starker Absorption, oder elliptischer Polarisation, die bisweilen recht störend war, bis zu  $4^\circ$ . Zur Erzeugung des magnetischen Feldes diente ein großer DU BOISScher Ringelektromagnet; die Feldstärken variierten zwischen etwa 8 und 24 Kilogauss; die Polabstände zwischen 5,5 und 13 mm. Betreffs weiterer Einzelheiten des Strahlenganges usw. muß ich mich mit einem Hinweise auf eine später erscheinende ausführliche Publikation begnügen.

Von den vier ungeraden Reihen ausgesprochen paramagnetischer Elemente, welche in einer Arbeit über den Einfluß von Temperatur und Magnetisierung bei selektiven Absorptions- und Fluoreszenzspektren<sup>1)</sup> unterschieden wurden, gelangten hier wieder mehrere Verbindungen zur Untersuchung.

Von der ersten paramagnetischen Reihe wurde vorläufig nur flüssige Luft untersucht. Versuche mit flüssigem Sauerstoff sind in Vorbereitung.

Von der dritten Reihe kämen zuerst die Chromverbindungen in Betracht, doch wäre ihre Untersuchung mit erheblichen Schwierigkeiten verknüpft, weil ihre Absorptionsbanden erheblich weit im Rot liegen, wo Lichtintensität und Dispersion beträchtlich geringer sind; außerdem gab der untersuchte künstliche Rubin keine vollständige Auslöschung in der Achsenrichtung (vielleicht wäre der natürliche von diesem Fehler frei), während der Smaragd zu undurchsichtig war. Vorläufig habe ich die Chromverbindungen daher noch nicht untersucht, hoffe aber später hierauf zurückzukommen.

Weiter gelangten eine wässrige Lösung von Kaliumpermanganat und eine blaue (salzsaure) von Kobaltochlorid zur Untersuchung. Ferrichlorid erwies sich überhaupt als sehr stark absorbierend, auch wenn die Banden nur schwach sichtbar sind; hierauf gedenke ich ebenfalls zurückzukommen.

Hauptsächlich habe ich mich aber beschäftigt mit der fünften Reihe, den seltenen Erdmetallen, da hier die Effekte ganz enorme sind, und diese Elemente auch in betreff des ZEEMAN-Effektes eine sehr interessante Stellung einnehmen<sup>2)</sup>. Hiervon wurden untersucht wässrige Lösungen der Nitrate von Praseodym, Neodym, Samarium und Erbium, in verschiedenen Konzentrationen und bei verschiedenen Feldstärken, ferner die amorphen, festen Nitrate von Neodym, Samarium und Erbium, dann Didymgläser, schließlich das hexagonal kristallisierte Neodym-Mangannitrat. Die festen Präparate wurden sowohl bei Zimmertemperatur als in flüssiger Luft untersucht; zwecks dieser letzteren

---

<sup>1)</sup> H. DU BOIS und G. J. ELIAS, *Ann. d. Phys.* (4) 27, 233, 1908.

<sup>2)</sup> l. c. S. 262.

Messung wurde ein Vakuumgefäß von 12 mm äußerem Durchmesser zwischen die Pole des Magnets aufgestellt.

Auf die Beobachtung von Salzlösungen in Alkohol oder anderen Lösungsmitteln bei der Temperatur der flüssigen Luft mußte verzichtet werden; diese Präparate wurden nämlich alle undurchsichtig, entweder durch das Auftreten einer großen Anzahl von Rissen oder durch Kristallisation beim Erstarren. Ebenso mußte von festen Lösungen in Borax Abstand genommen werden, weil diese sich als accidentell doppeltbrechend erwiesen. Das zur Verfügung stehende Erbiumglas enthielt zuviel Blasen, wodurch zu starke Depolarisation auftrat. Das einfache monoklin kristallisierte Neodymnitrat, in der Richtung der einen der optischen Achsen durchleuchtet, konnte wegen der sehr starken Doppelbrechung, wodurch die Öffnung des Lichtbüschels sogar bei einer Dicke des Präparates von nur 1,5 mm zu klein hätte sein müssen, um noch eine genügende Lichtintensität zu erreichen, ebensowenig untersucht werden<sup>1)</sup>. Auch ist es überhaupt sehr schwer, von den seltenen Erden, besonders von den Yttererden, gute Kristalle, die außerdem noch der Achse nach gelagert sein müssen, zu bekommen. Auch die Untersuchung zu dieser Gruppe gehörender natürlicher Kristalle (Bastnäsit, Tysonit, Hussakit, Xenotim usw.) würde sich nach dieser Methode sehr schwer gestalten, da nur gut durchsichtige Präparate in Betracht kommen können.

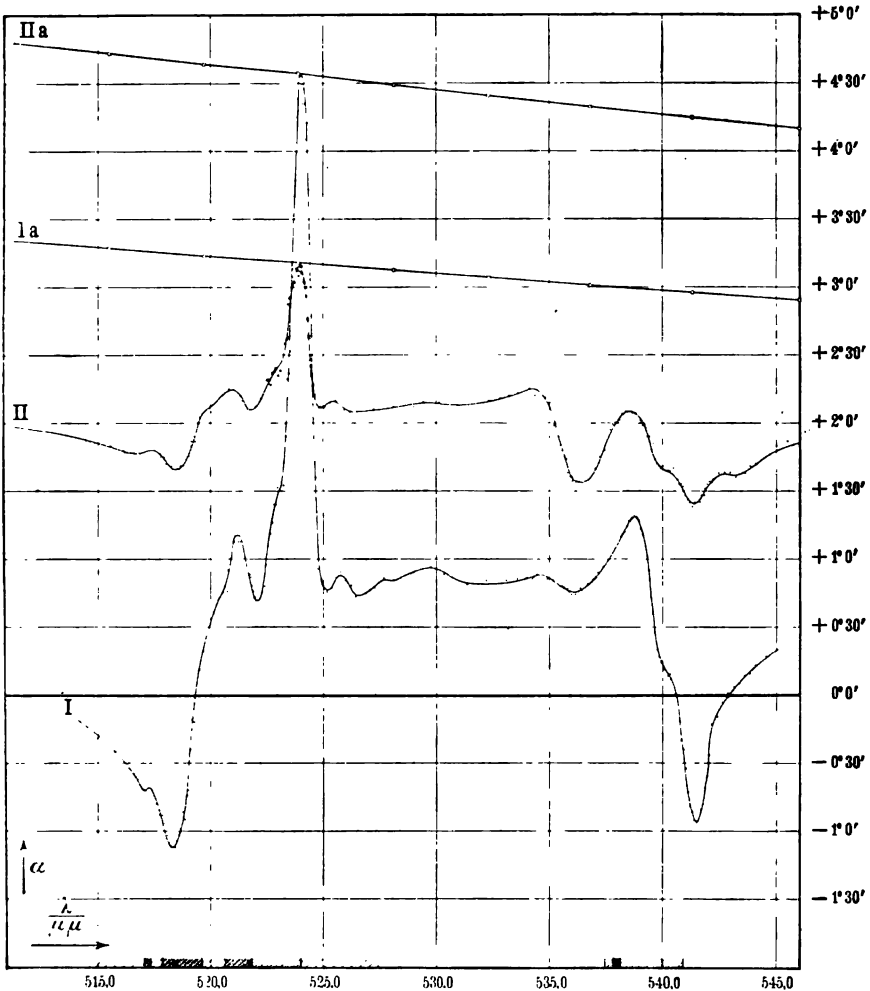
Von der siebenten Reihe schließlich wurde dunkelgrünes Uranglas untersucht, sowohl bei gewöhnlicher Temperatur als in flüssiger Luft.

Was die Resultate betrifft, so kann ich hier nur einige Beispiele anführen; für weiteres muß ich wieder auf eine spätere ausführliche Publikation hinweisen. Als Beispiele habe ich einige Kurven der seltenen Erden ausgewählt, an denen die sehr starken Anomalien sofort ersichtlich sind. Die Kurven sind so gut wie möglich den Beobachtungen angepaßt; jedoch dürften stellenweise, wo die Beobachtungsfehler verhältnismäßig groß sind, wohl noch kleinere Fehler im Kurvenverlauf vorkommen. Die verschiedenen Beobachtungsdaten sind bei den Kurven angegeben; bei Lösungen

---

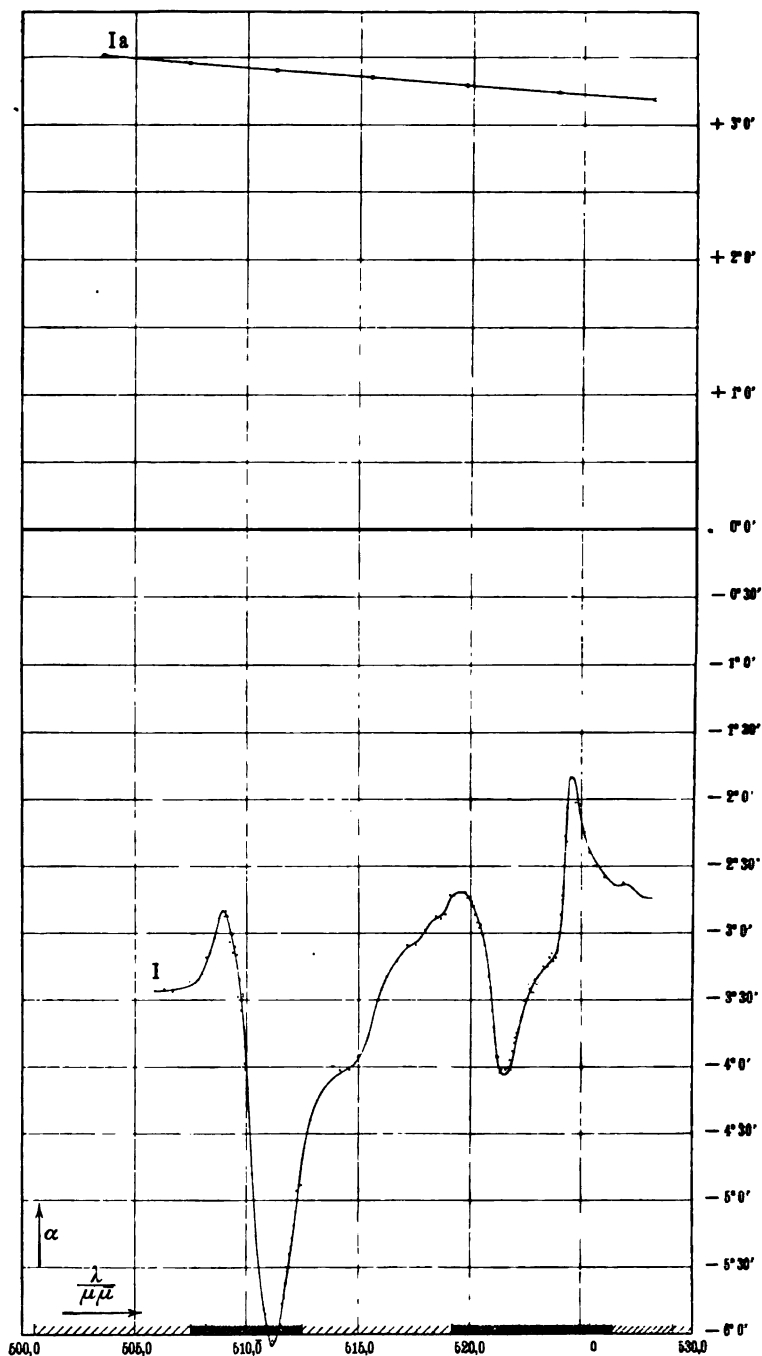
<sup>1)</sup> Vgl. W. VOIGT u. K. HONDA, Phys. ZS. 9, 585, 1908.

Fig. 1.



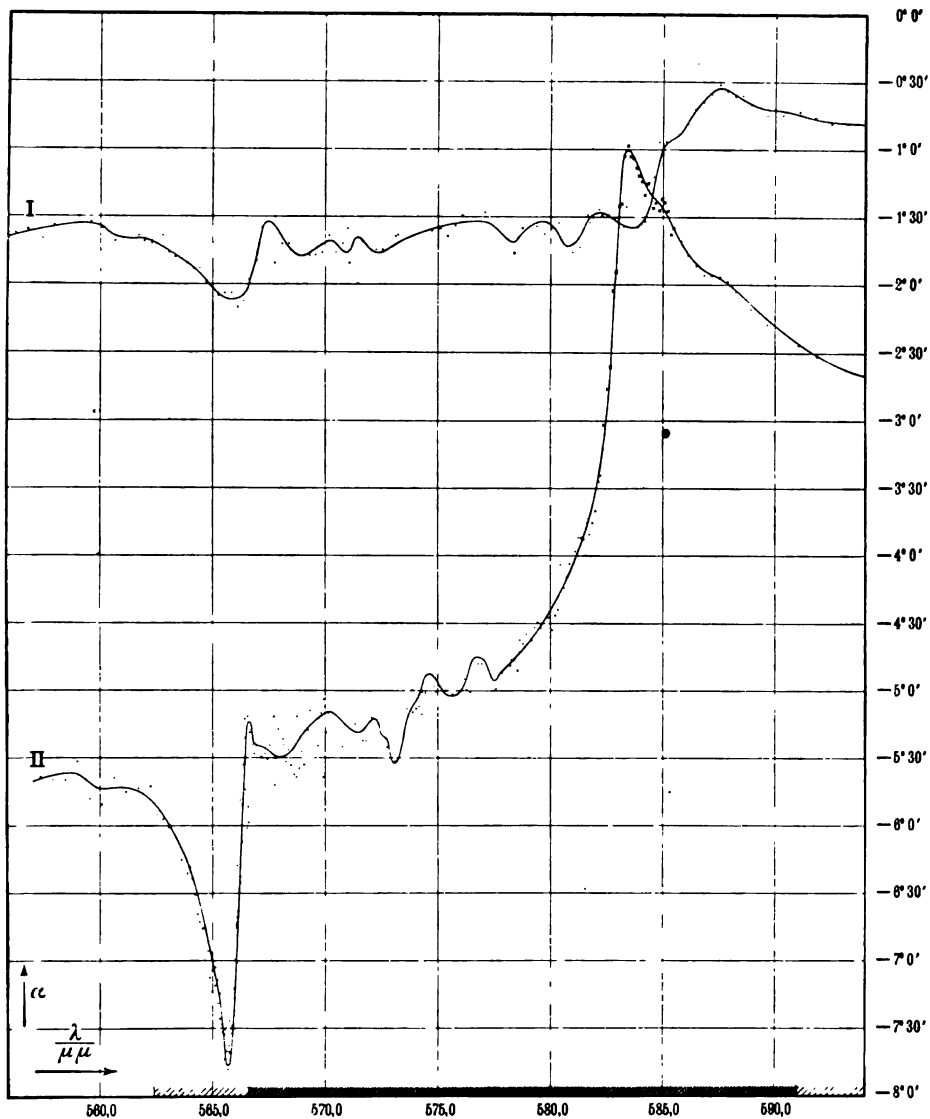
- I. Magnetische Drehung einer wässrigen Lösung von Erbiumnitrat (Cleve, 1899), enthaltend in 1000 g Lösung 204,7 g  $\text{Er}_2\text{O}_3$ . Bandengruppe in Grün. Durchleuchtete Schichtdicke 0,470 cm. Feldstärke 24,0 kgs. Temperatur  $18^\circ$ .
- Ia. Magnetische Drehung einer gleich dicken Schicht Wasser, unter denselben Umständen.
- II. Magnetische Drehung einer wässrigen Lösung von Erbiumnitrat (Drossbach, 1908), enthaltend in 1000 g Lösung 150,6 g  $\text{Er}_2\text{O}_3$ . Bandengruppe in Grün. Durchleuchtete Schichtdicke 0,969 cm. Feldstärke 16,7 kgs. Temperatur  $18^\circ$  (die Punkte dieser Kurve sind da mit Kreuzen gekennzeichnet, wo sie mit den Punkten der Kurve I vertauscht werden könnten).
- IIa. Magnetische Drehung einer gleich dicken Schicht Wasser, unter denselben Umständen.

Fig. 2.



I. Magnetische Drehung einer wässrigen Lösung von Neodymnitrat (Schottländer, 1899), enthaltend in 1000g Lösung 261,6 g  $\text{Nd}_2\text{O}_3$ . Bandengruppe in Grün. Durchleuchtete Schichtdicke 0,479 cm. Feldstärke 24,0 kgs. Temperatur  $18^\circ$ .  
 Ia. Magnetische Drehung einer gleich dicken Schicht Wasser, unter denselben Umständen.

Fig. 3.



- I. Magnetische Drehung einer 0,8 mm dicken Schicht von amorphem, geschmolzenem Neodymnitrat (Schottländer, 1899). Bandengruppe in Gelb. Feldstärke 14,1 kgs. Temperatur 189.
- II. Dasselbe bei der Temperatur  $-190^{\circ}$  (die Punkte dieser Kurve sind da mit Kreuzen gekennzeichnet, wo sie mit den Punkten der Kurve I vertauscht werden könnten).

ist die Drehung des Wassers mit eingezeichnet. Auch ist die Lage der Absorptionsgebiete durch Schraffierung einigermaßen gekennzeichnet.

Die Berechnung des sehr ausgedehnten Beobachtungsmaterials und die Anbringung der erforderlichen Korrekturen — für Deckgläser, Vakuumgefäß, flüssige Luft usw. — ist sehr zeitraubend. Aus dem bis jetzt verarbeiteten Material geht hervor, daß die Drehung das Vorzeichen in vielen Fällen nicht wechselt. Aus dem weiteren Material muß sich ergeben, ob dieses Resultat sich für die meisten Fälle bestätigen wird; früher fand ich beim Erbiumchlorid bereits einen Zeichenwechsel<sup>1)</sup>.

Der anscheinend sehr komplizierte Kurvenverlauf läßt sich vermutlich durch Superposition von einfacheren Kurven für die Komponenten einer Bandengruppe darstellen, wovon ich mich durch willkürlich gewählte Beispiele vorläufig überzeuge.

Auf weitere Einzelheiten werde ich hier nicht eingehen. Jedenfalls ist für die genauere theoretische Deutung der Rotationskurven die Kenntnis der Absorptionskurven absolut erforderlich; die hierauf bezüglichen Versuche sind bereits in Angriff genommen worden. Auch refraktometrische Versuche sind in Vorbereitung, sowohl bei gewöhnlichen als bei tiefen Temperaturen.

---

<sup>1)</sup> Ebensovienig wie diese Versuche mit Erbiumnitrat liefern übrigens meine früheren Versuche mit Erbiumchlorid eine Bestätigung der „Hypothese des HALL-Effektes“, wie Hr. J. BECQUEREL (l. c. S. 156) annimmt: denn das Absorptionsmaximum liegt violettseitig vom Drehungsmaximum.

***Bemerkung zu E. Jacobs' das Berliner Exemplar  
von Guericques Luftpumpe behandelnder Mitteilung;  
von E. Gerland.***

(Vorgelegt in der Sitzung vom 6. November 1908.)

(Vgl. oben S. 867.)

Auf S. 473 des 13. Heftes des laufenden Jahrganges der „Verhandlungen“ hat E. JACOBS die Frage nach dem Zeitpunkt, zu welchem das in Berlin befindliche (jetzt an das Deutsche Museum in München abgegebene oder abzugebende) Exemplar der GUERICKEschen Luftpumpe in den Besitz des Großen Kurfürsten gekommen sei, zu lösen versucht mit dem Ergebnis, daß die von mir früher ausgesprochene Ansicht<sup>1)</sup>, es sei erst seit 1715 in der Königlichen Bibliothek nachzuweisen, falsch sei. Vielmehr sei die Luftpumpe bereits vor dem Jahre 1668 dort vorhanden gewesen, wie sich aus dem in diesem Jahre von RAUE verfaßten, handschriftlichen Katalog der genannten Bibliothek ergebe. Dieser erwähnt aber nur GUERICQUES „Duo Hemisphaeria cuprea conjungenda ad extrahendum aërem“ und einer solchen ganz bestimmten Aussage gegenüber sollte man eigentlich den Schluß ziehen, daß 1668 die Luftpumpe noch nicht auf der Berliner Bibliothek gewesen sei, und das um so mehr, als auch eine 1680 von HENDREICH dem Katalog RAUES zugefügte Randbemerkung die Luftpumpe ebenfalls nicht erwähnt. Zu einer anderen Folgerung würde man nur gelangen können, indem man die Quellen korrigiert und dazu glaubt sich JACOBS berechtigt, weil ihre Urheber über den Gegenstand, über welchen sie berichteten, ausreichende Kenntnisse nicht besessen hätten. Wenn er aber von RAUE als bekannt voraussetzt, daß er oberflächlich gearbeitet habe, wenn er vermutet, daß derselbe Mann, der die Halbkugeln mit aller nur wünschenswerten Genauigkeit bezeichnet, schwerlich eine Ahnung davon gehabt habe, wie er die Luftpumpe — denn allein

<sup>1)</sup> Bericht über die wissenschaftlichen Apparate auf der Londoner internationalen Ausstellung im Jahre 1876, 1. Abt., S. 36. Herausgegeben von A. W. HOFMANN. Braunschweig 1878.



um diese handelt es sich — benennen sollte und sie deshalb in seinem Verzeichnis einfach weggelassen habe, wenn er ferner hinsichtlich HENDREICHs daran denkt, daß dieser entweder keine Vorstellung von der Wichtigkeit des Apparates gehabt, oder ihn absichtlich nicht erwähnt habe, so ist das wohl kaum zulässig. Besonders bedenklich dürfte es sein, die Glaubwürdigkeit der Gewährsmänner, auf deren Zeugnis man doch allein angewiesen ist, herabzusetzen. Andererseits aber ist nicht einzusehen, wie RACE den Zweck der Halbkugeln so genau bezeichnen konnte, wenn er keine Ahnung von der der Luftpumpe zu gebenden Benennung hatte.

Lassen demnach die vorhandenen Urkunden keineswegs direkt bestimmen, wann die Luftpumpe nach Berlin kam, so wird man sich nach Tatsachen umsehen müssen, die diesen Zeitpunkt vielleicht auf indirektem Wege ergeben. Die dazu von JACOBS angezogene Bestätigung des O. VON GUERICKE vom Magdeburger Magistrat erteilten Immunitätsbriefes durch den Großen Kurfürsten vom 6. Oktober 1666 als Belohnung für die Überweisung der Luftpumpe scheint dazu freilich weniger geeignet zu sein, als die folgende Stelle aus dem vierten Kapitel des dritten Buches der GUERICKEschen *Experimenta nova*, wo er sagt<sup>1)</sup>: „Ideo varias construxi Machinas (ita ut Antlia pneumatica tam inferius quam superius, aquâ circumfundi posset), quas *Rev. Pat. Gaspar Schottus* primùm in *Arte Hydraulico-Pneumatica*, deinde in *Technica curiosa* lib. I de *Mirabilibus Magdeburgicis* descripsit. Cum verò hae omnes ad portandum essent difficiles, Serenissimus autem Potentissimusque Dominus Elector Brandenburgicus, Dom. meus clementissimus, gratiose desideraret Experimentum hoc (*dictum à praenominato R. D. Pat. Schot Magdeburgicum*) ideoque Machinam sequentem inveni.“ Und nun beschreibt er die zweite Konstruktion seiner Pumpe. Diese hat er also deshalb gebaut, um mit ihrer Hilfe dem Großen Kurfürsten seine Versuche vorzuführen, dann aber ist es so gar unwahrscheinlich nicht, daß er sie wieder mit zurücknahm, da er doch nur die einzige zunächst hatte, während es ihm an Halbkugeln nicht fehlte, er solche sich auch leicht wieder herstellen lassen konnte. Die Luftpumpe wäre dann erst später wieder nach Berlin gekommen.

<sup>1)</sup> O. VON GUERICKE, *Experimenta nova etc.*, p. 75. Amstelodami 1672.

Ich bin weit davon entfernt, auf diese Hypothese besonderes Gewicht zu legen, es liegt mir nur daran, zu zeigen, daß man auch andere aufstellen kann, die nicht weniger annehmbar sind, als die von JACOBS gemachte. Jedenfalls aber scheint die Aufzeichnung RAUES kaum dazu angetan, es wahrscheinlich zu machen, daß die Luftpumpe bereits 1668 auf der Berliner Bibliothek war, viel weniger aber den Beweis dafür zu liefern. Man wird also nach wie vor der Ansicht sein müssen, daß die uns bis jetzt zur Verfügung stehenden Akten ihr Vorhandensein in Berlin vor dem Jahre 1715 nachzuweisen nicht gestatten.

---

***Der Haftdruck. Beitrag zur Theorie der Lösungen;  
von I. Traube<sup>1)</sup>.***

Inhalt: 1. Physiologische Betrachtungen. 2. Der Intensitätsfaktor der Lösungsenergie. 3. Haftdruck und osmotischer Druck. 4. Haftdruckmessungen. 5. Hydratbildung und Haftdruck. 6. Löslichkeit, Binnendruck und Haftdruck. 7. Löslichkeitsbeeinflussung und Haftdruck. 8. Der Haftdruck der Kolloide. 9. Adsorption, Teilungskoeffizient und Haftdruck. 10. Kompressibilität und Haftdruck. 11. Plasmolyse und Haftdruck. 12. Dampfdruck und Haftdruck. 13. Gefrierpunkt und Haftdruck. 14. Reibung und Haftdruck. 15. Diffusionskoeffizient und Haftdruck. 16. Ionengeschwindigkeit, elektrisches Leitvermögen und Haftdruck. 17. Zersetzungsspannung, elektrochemischer Gegensatz und Haftdruck. 18. Die spezifische Wärme und Haftdruck. 19. Lösungs- und Verdünnungswärme, sowie Haftdruck. 20. Neutralisationswärme, Ionisation und Haftdruck. 21. Drehung der Polarisations ebene und Haftdruck. 22. Lichtabsorption und Haftdruck. 23. Reaktionsbeschleunigung, Massenwirkung und Haftdruck. 24. Covolumen und Haftdruck. 25. Molekularvolumen, molekulares Lösungsvolumen und Haftdruck. 26. Lichtbrechung und Haftdruck. 27. Valenz und Haftdruck. 28. Die Theorie der elektrolytischen Dissoziation.

**1. Physiologische Betrachtungen.**

ERNST OVERTON<sup>2)</sup> hat eine große Anzahl von Flüssigkeiten und insbesondere wässrige Lösungen auf ihre Fähigkeit hin untersucht, in die pflanzliche und tierische Zelle einzudringen. Die Versuche an pflanzlichen Zellen wurden insbesondere nach der bekannten plasmolytischen Methode ausgeführt; zu den Versuchen an tierischen Zellen dienten lebende Muskeln; es wurde

<sup>1)</sup> Dieser Arbeit sind frühere Abhandlungen vorausgegangen, vgl. namentlich Pfügers Arch. f. d. ges. Physiol. 105, 541 u. 559, 1904 und 123, 419, 1908. I. TRAUBE u. F. BLUMENTHAL, Arch. f. exper. Pathol. u. Therap. 2, 117, 1905. A. BICKEL, Deutsch. med. Wochenschr. 1905, Nr. 28, ferner I. TRAUBE, Verhandl. d. Deutsch. Phys. Ges. 6, 326, 1904 und Biochem. ZS. 10, 371—403, 1908.

<sup>2)</sup> OVERTON, Vierteljahrsschr. d. naturf. Ges. Zürich 44, 88, 1899 und Pfügers Arch. 92, 115, 1902; vgl. Physikal. Chemie und Medizin, Handb. KORANYI u. RICHTER I, S. 431, 1907.

die Gewichtsänderung bestimmt, welche der Muskel beim Einlegen in die Lösungen erfuhr.

Beide Methoden führten zu dem durchaus gleichen Ergebnis, daß die Zellwände der lebenden Zellen im allgemeinen impermeabel sind für gelöste anorganische Salze, dahingegen durchlässig für zahlreiche organische Stoffe, insbesondere diejenigen, welche in Lipoiden, wie Lecithin, Cholesterin, Öl usw. leicht löslich sind.

„Zu den Verbindungen<sup>1)</sup>, die schnell in den Protoplasten hineindiffundieren, gehören nach OVERTON die einwertigen Alkohole, Aldehyde, Ketone, Aldoxime, Ketoxime, Mono-, Di- und Trihalogenkohlenwasserstoffe, Nitroalkyle, Alkylcyanide, die neutralen Ester, die anorganischen und viele organische Säuren, Anilin usw.

Langsamer diosmieren die zweiwertigen Alkohole und die Amide der einwertigen Säuren, noch langsamer Glycerin, alsdann folgen<sup>2)</sup> Harnstoff, Thioharnstoff, schließlich auch Erythrit, und kaum merklich die sechswertigen Alkohole, Hexosen, Aminosäuren und Neutralsalze der organischen Säuren.“

Von mir sind nun in früheren<sup>3)</sup> und zum Teil noch nicht veröffentlichten Arbeiten die Oberflächenspannungen zahlreicher wässriger Lösungen nach der Steighöhenmethode gemessen worden; dabei ergab sich, daß das osmotische und kapillare Verhalten der Lösungen ausnahmslos parallel geht. Stoffe, wie die anorganischen Salze, welche die Oberflächenspannung des Wassers erhöhen, dringen im allgemeinen nicht ein in die Zellen; Stoffe, welche die Oberflächenspannung des Wassers erniedrigen, dringen ein, und zwar um so leichter, je größer die molekulare Erniedrigung der Oberflächenspannung ist.

Die folgende Tabelle enthält für 1,  $\frac{1}{2}$  und  $\frac{1}{4}$  molekulare Lösungen einen Auszug meiner Messungen. Die Konstante  $\gamma = \frac{r h s}{2}$  ist in mg/mm angegeben und wurde bei 15° C gemessen. Die Konstante  $\gamma$  für Wasser wurde = 7,30 gesetzt.

<sup>1)</sup> Vgl. HÖBER, Physik. Chem. d. Zelle u. Gewebe, 2. Aufl., S. 162.

<sup>2)</sup> Vgl. Physik. Chemie u. Medizin, I. c. S. 496.

<sup>3)</sup> Vgl. u. a. Journ. f. prakt. Chem. (N. F.) 31, 177, 1885, und Liebigs Ann. d. Chem. u. Pharm. 265, 27.

| Osmose   | Lösung von                      | 1<br>norm. $\gamma$ | 0,5<br>norm. $\gamma$ | 0,25<br>norm. $\gamma$ |
|--|---------------------------------|---------------------|-----------------------|------------------------|
| Kaum merklich . . .  | Rohrzucker . . . . .            | —                   | 7,40                  | 7,35                   |
|  | Dextrose . . . . .              | 7,42                | 7,36                  | 7,33                   |
|  | Mannit . . . . .                | —                   | 7,36                  | 7,33                   |
|  | Glykokoll . . . . .             | —                   | 7,35                  | 7,32                   |
|  | Natriumacetat . . . . .         | 7,34                | 7,32                  | 7,31                   |
| Sehr langsam . . . . .   | Harnstoff . . . . .             | 7,33                | 7,31                  | 7,30                   |
|  | Thioharnstoff . . . . .         | 7,31                | 7,30                  | 7,30                   |
| Langsam . . . . .  | Glycerin . . . . .              | 7,26                | 7,28                  | 7,29                   |
| Ein wenig schneller.<br>(Etwa gleich schnell) . .  | Glykol . . . . .                | 7,04                | 7,18                  | 7,24                   |
|  | Acetamid . . . . .              | 6,92                | 7,10                  | 7,20                   |
| Schnell<br>(Geschwindigkeit zunehmend<br>in homologen Reihen mit wachsendem<br>Molekulargewicht) | Methylalkohol . . . . .         | 6,56                | 6,89                  | 7,05                   |
|  | Äthylalkohol . . . . .          | 5,67                | 6,29                  | 6,73                   |
|  | Propylalkohol . . . . .         | 4,32                | 5,15                  | 5,89                   |
|  | i-Butylalkohol . . . . .        | 2,70                | 3,60                  | 4,49                   |
|  | i-Amylalkohol . . . . .         | —                   | —                     | 3,05                   |
|  | Dimethyläthylcarbinol . . . . . | —                   | 3,63                  | 4,35                   |
|  | Phenol . . . . .                | —                   | 4,48                  | 5,31                   |
|  | Anilin . . . . .                | —                   | —                     | 5,30                   |
|  | Propylamin . . . . .            | 4,63                | 5,26                  | 5,91                   |
|  | Methylacetat . . . . .          | 4,70                | 5,51                  | 6,12                   |
|  | Äthylacetat . . . . .           | —                   | 4,23                  | 5,07                   |
|  | Butylaldehyd . . . . .          | —                   | 4,26                  | 5,12                   |
|  | Paraldehyd . . . . .            | —                   | 4,28                  | 5,10                   |
|  | Aceton . . . . .                | 5,51                | 6,04                  | 6,48                   |
|  | Acetonitril . . . . .           | 6,14                | 6,64                  | 6,97                   |
| Acetaldoxim . . . . .  | 5,80                            | 6,35                | 6,73                  |                        |

Ich ziehe aus OVERTONS und meinen Ergebnissen zunächst den folgenden Schluß:

Werden zwei wässrige Lösungen beliebiger Stoffe durch eine Membran getrennt, so wird die Richtung und Geschwindigkeit der Osmose durch die Differenz der Oberflächenspannungen beider Lösungen gegen Luft bestimmt. Die Lösung mit geringerer Oberflächenspannung und demnach auch geringerem Binnendruck, und insbesondere die in derselben enthaltenen Stoffe, welche die Oberflächenspannung des Wassers vermindern, haben

das Bestreben, in Richtung der Lösung von größerem Binnendruck zu diosmieren.

Eingedenk der Beziehungen zwischen Oberflächenspannung und Binnendruck<sup>1)</sup> ziehe ich es vor, in dieser Arbeit möglichst den Binnendruck beiseite zu lassen, da die Oberflächenspannung leichter dem Experiment zugänglich ist, und — qualitativ — jedenfalls die Schlüsse gleichlautend werden, gleichgültig, ob wir von Oberflächenspannungen oder Binnendrucken reden.

Es ist allbekannt, wie bedeutungsvoll für den osmotischen Vorgang die Natur der Membran ist, — kann doch durch Wahl verschiedener Membranen die Richtung der Osmose entgegen dem kapillaren Gefälle sich umkehren.

Solange wir indessen von wässerigen Lösungen sprechen, wie dieselben allgemein bei physiologischen Vorgängen in Betracht kommen, solange wir also zu beiden Seiten der Membran dasselbe Lösungsmittel annehmen, führen unsere Betrachtungen zu demselben Ergebnisse, gleichgültig, ob wir die Membran mit in Betracht ziehen oder nicht. Indessen läßt sich über die Wirkung der Membranen folgendes sagen:

W. GIBBS verdanken wir ein Theorem, welches besagt, daß Stoffe, welche die Oberflächenspannung eines Lösungsmittels erniedrigen, das Bestreben haben, sich in der Oberfläche anzusammeln und umgekehrt. Je mehr ein Stoff die Oberflächenspannung des Lösungsmittels vermindert, um so größer wird sein Bestreben sein, die Flüssigkeit zu verlassen und sich von einer mit der Lösung in Berührung befindlichen festen oder flüssigen Phase, z. B. Zellen, Membranen, Lipoiden, adsorbieren oder lösen zu lassen. GIBBS Theorem führt somit zu einer einfachen Beziehung zwischen Erniedrigung der Oberflächenspannung, Adsorption und Teilungskoeffizienten (Lipoidlöslichkeit), welche naturgemäß von größter Bedeutung ist.

Ist nämlich hiernach eine indifferente Zellulosemembran ein-

---

<sup>1)</sup> Beide Größen gehen jedenfalls parallel. Binnendrucke von Lösungen sind in größerer Zahl berechnet worden von TAMMANN: Die Beziehungen zwischen den inneren Kräften und Eigenschaften der Lösungen; Voss, Hamburg 1907. Indessen habe ich Bedenken gegen viele dieser *K*-Werte, ganz insbesondere der wässerigen Lösungen organischer Stoffe; siehe die Kritik WINTER, ZS. f. phys. Chem. 55, 256 und 56, 703, 1906.

seitig mit einer Lösung in Berührung, welche Stoffe enthält, die die Oberflächenspannung stark erniedrigen, so wird sie sich mit diesen Stoffen umhüllen, und nach dem Verteilungsprinzip wird die meist lipidartige Hüllsubstanz eine weitere Entziehung des betreffenden Stoffes aus der Lösung herbeiführen und somit die Osmose befördern. Die Membranen gleichen den Felsblöcken inmitten eines Gebirgsbaches, nur mit dem Unterschiede, daß man ihnen je nach ihrer Natur mehr oder weniger magnetische Eigenschaften verleihen muß. Sind die Membranen, wie dieses vielfach für die tierischen Zellen zutrifft, lipidartig, so wird ihre Wirkung, da die meisten Stoffe, welche die Oberflächenspannung des Wassers vermindern, lipidlöslich sind, um so magnetischer sein, und es konnte somit OVERTON zu der vielfach bestätigten, aber doch zu verwerfenden Theorie<sup>1)</sup> gelangen, daß ausschließlich die Lipoide die Osmose vermitteln, und der Teilungskoeffizient zwischen Lipoid und Wasser die Richtung und Geschwindigkeit der Osmose bestimmt.

Den auf S. 882 der vorliegenden Mitteilung ausgesprochenen Satz müssen wir demnach dahin erweitern, daß für die Richtung und Geschwindigkeit der Osmose im allgemeinsten Falle nicht nur die Oberflächenspannung der durch die Membran getrennten Flüssigkeiten, sondern die Adsorptions- bzw. Lösungsfähigkeit der Membran selbst von ausschlaggebender Bedeutung sind. Diese Adsorptions- und Lösungsfähigkeit der Membranen steht aber in einer einfachen Beziehung zu der Verminderung der Oberflächenspannung, welche die betreffenden Stoffe auf das Lösungsmittel hervorbringen.

In bezug auf die mannigfaltige physiologische Bestätigung meiner theoretischen Ansichten, auch überall da, wo die osmotische Theorie uns im Stich läßt, muß ich mich damit begnügen, auf meine neuesten Veröffentlichungen in Pflügers Archiv und die Biochemische Zeitschrift hinzuweisen, so sehr diese Ausführungen auch für das Verständnis der folgenden Mitteilungen förderlich sein mögen<sup>2)</sup>.

<sup>1)</sup> Vgl. darüber meine Abhandlung, Pflügers Arch. 123, 423, 1908.

<sup>2)</sup> Ich möchte jeden Fachgenossen, welcher sich für die vorliegenden Fragen interessiert, bitten, meine physiologischen und biologischen Abhandlungen l. c. lesen zu wollen.

## 2. Der Intensitätsfaktor der Lösungsenergie.

Wenn in einer bestimmten Menge eines Lösungsmittels eine bestimmte Menge eines Stoffes gelöst wird, so erfährt der Energieinhalt des Systems Lösungsmittel eine Änderung, welche von zwei Faktoren abhängt:

1. Der Zahl der gelösten Teilchen, welche wir als gleichartig voraussetzen wollen;
2. dem Drucke, welchen die Summe der gelösten Stoffteilchen auf das System Lösung ausübt.

Dieser Druck, mit welchem der gelöste Stoff an dem Lösungsmittel haftet, sei der Haftdruck genannt, und molekularer Haftdruck sei somit der Druck, welchen 1 Mol des gelösten Stoffes auf 1 Liter Lösung<sup>1)</sup> ausübt.

Es liegt nahe, diesen Haftdruck — den Intensitätsfaktor der Lösungsenergie — mit den von TAMMANN, l. c., gemessenen Binnendruckdifferenzen in Beziehung zu setzen, indessen ob der Haftdruck nichts anderes ist als die Binnendruckdifferenz, oder ob beide Größen nur einander parallel gehen, möge einstweilen unentschieden bleiben.

Der molekulare Haftdruck ist nach dem, was vorstehend über GIBBS Theorem gesagt wurde, nichts anderes als die molekulare Oberflächenspannungserniedrigung einer Lösung und als solche leicht meßbar, während Binnendruckdifferenzen einstweilen unter weniger zuverlässigen Voraussetzungen bestimmbar sein dürften.

GIBBS Theorem nimmt hiernach die folgende Form an: Je mehr ein Stoff die Oberflächenspannung des reinen Lösungsmittels erhöht oder erniedrigt, um so größer bzw. geringer ist sein Haftdruck.

Außer obigem Kapazitäts- und Intensitätsfaktor der Lösungsenergie: Teilchenzahl und Haftdruck, unterscheiden wir noch die maximale Kapazität einer Lösung, das ist die Löslichkeit, sowie den Lösungsdruck, beides Größen, die sowohl von dem

---

<sup>1)</sup> Richtiger ist es vielleicht, auf 1 Liter Lösungsmittel zu beziehen, aber einstweilen nötigte mich das vorhandene Zahlenmaterial, die erstere Definition zu wählen.



Haftdrucke in dem Lösungsmittel, wie dem Binnendrucke des zu lösenden Stoffes an sich abhängen.

### 3. Haftdruck und osmotischer Druck.

Nach der Theorie von VAN'T HOFF ist bekanntlich nur die Zahl der Teilchen des in einem Lösungsmittel gelösten Stoffes, nicht aber seine Qualität entscheidend für den Verlauf des osmotischen Vorganges. Sind zu beiden Seiten einer Membran eine gleiche Anzahl Teilchen verschiedener Stoffe gelöst, so sind die Lösungen isosmotisch und — es sollte in diesem Falle überhaupt kein osmotischer Vorgang stattfinden.

Es ist nun genügend bekannt, in wie zahlreichen Fällen insbesondere bei physiologischen Vorgängen die Forderungen der osmotischen Theorie nicht erfüllt sind; der Deus ex machina ist in diesen Fällen meist die vorhandene oder mangelnde Semipermeabilität, oder gar Impermeabilität der Membranen, ohne daß man allerdings die Frage hätte beantworten können, weshalb in dem einen Falle die Membranen semipermeabel sind, in dem anderen Falle dagegen nicht.

Meine Anschauungen sind wesentlich andere:

Nicht die Teilchenzahl allein ist maßgebend, sondern auch der Haftdruck, und nur, wenn der Haftdruck der zu beiden Seiten der Membran in Lösung befindlichen Stoffe gleich groß ist, kann man bei gleicher Teilchenzahl von einem Gleichgewichte der osmotischen Kräfte reden.

Ein unglücklicher Zufall, welcher einigermaßen an THOMSONS Berechnung der elektromotorischen Kräfte aus den Wärmetönungen erinnert, wollte, daß für jene Stoffe (Zucker, Harnstoff, Mannit usw.), welche bei den für VAN'T HOFFS Theorie grundlegenden Versuchen von PFEFFER und DE VRIES eine Rolle spielen, der molekulare Haftdruck nur innerhalb sehr enger Grenzen schwankt, und so kam es, daß der Intensitätsfaktor der Lösungs- bzw. osmotischen Energie bei den osmotischen Vorgängen und, wie wir weiter unten sehen werden, in der elektrolytischen Dissoziationstheorie bisher übersehen wurde.

So wenig wie wir daran denken würden, bei den elektrochemischen Vorgängen nur die Elektrizitätsmenge zu berücksichtigen, welche ja auch der Teilchenzahl proportional ist und etwa die elektromotorische Kraft zu vernachlässigen, ebensowenig dürfen wir bei den osmotischen Vorgängen fortfahren, den einen Energiefaktor einfach auszuschalten.

Für Stoffe, wie Zuckerarten, Mannit, Harnstoff, Glykokoll usw. ist, wie erwähnt, der molekulare Haftdruck nahezu gleich groß (siehe S. 882 dieser Arbeit), und für die binären Salze der Alkalimetalle (siehe weiter unten) schwankt der molekulare Haftdruck innerhalb der engen Grenzen 0,05 bis 0,20; auch für andere Salze sind die Differenzen nicht viel größer. Hier ist es daher nicht wunderbar, daß bei Berücksichtigung des sogenannten Dissoziationsfaktors (siehe weiter unten) auch bei Vernachlässigung des Haftdruckes die osmotische Theorie eine — allerdings vielfach rohe — Bestätigung fand. Ganz anders aber liegen die Dinge, sobald man zu den wässrigen Lösungen von Alkoholen, Estern, Fettsäuren usw. übergeht. Während sich die Oberflächenspannung einer 0,25 normalen Chlornatriumlösung von derjenigen des Wassers nur um 0,04 mg/mm unterscheidet, beträgt die gleiche Differenz für eine 0,25 normale wässrige Lösung von Isoamylalkohol 4,33 mg/mm, also mehr als das 100fache! Hier versagt die osmotische Theorie durchaus, und wenn bei dem bekannten PFEFFERSchen Versuche für Rohrzucker die Membran „semipermeabel“ ist, und jener — hydrostatische Gegendruck — sich einstellt, welcher als osmotischer Druck bezeichnet wird, während beim Ersatze des Zuckers durch einen Alkohol von einem solchen osmotischen Drucke nichts beobachtet wird, so erscheint uns die hier mangelnde Semipermeabilität in ganz anderem Lichte, da nach unserer Ansicht die Differenz der Oberflächenspannungen die treibende Kraft ist, der Zucker aber die Oberflächenspannung des Wassers erhöht, dagegen die Alkohole dieselbe erniedrigen.

Im folgenden wird nun gezeigt werden, wie die Wirkung des Haftdruckes sich in bezug auf sämtliche Eigenschaften der Lösungen zu erkennen gibt, und ich freue mich, hier vorausschicken zu können, daß meine Ergebnisse in mancher Hinsicht mit denen anderer Forscher, wie FREUNDLICH, GEFFKEN u. a., welche die Oberflächenspannung mit anderen

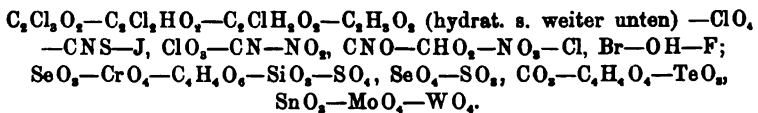
Eigenschaften in Beziehung gesetzt haben, übereinstimmen. Allerdings haben jene Autoren meine in Pflügers Archiv erschienenen früheren Arbeiten übersehen, in denen ich zuerst die Beziehungen zwischen Oberflächenspannung, Löslichkeit und Teilungskoeffizienten usw. behandelte.

#### 4. Haftdruckmessungen.

Es war dringend erforderlich, in dieser Beziehung ein größeres Material zu sammeln, und es kam mir zustatten, daß ich vor mehr als 10 Jahren eine große Anzahl Kapillaritätsbestimmungen von namentlich Salzlösungen nach der Steighöhenmethode ausgeführt habe, die bisher nicht veröffentlicht wurden. Ich begnüge mich einstweilen damit, mit Hilfe dieses Materials die molekularen Haftdrucke zu berechnen, wobei allerdings in manchen Fällen (die Werte sind eingeklammert) eine Extrapolation erforderlich war. Die mit \* versehenen Lösungen wurden zurzeit zur Ergänzung des Materials gemessen, auch wurden meine früheren Veröffentlichungen<sup>1)</sup> mit verwertet. Die mit V bzw. F bezeichneten Werte sind den Abhandlungen von VOLKMANN<sup>2)</sup> bzw. FORCH<sup>3)</sup> entlehnt.

Die für die Haftdruckberechnungen erforderlichen einstweilen nicht veröffentlichten spezifischen Gewichte wurden von mir pyknometrisch bestimmt, die Steighöhen, wie in der früheren Abhandlung angegeben, gemessen, und die Differenz der Oberflächenspannungen ( $\gamma = \frac{r h s}{2}$ ) der molekularen Lösung, sowie des Wassers ist alsdann nach obigem diejenige Größe, welche als molekularer Haftdruck bezeichnet wird.

Aus der Gesamtheit der Zahlenwerte ergibt sich für die Verbindungen der Alkalimetalle folgende Reihenfolge der Anionen:



<sup>1)</sup> TRAUBE, Journ. f. prakt. Chem. (N. F.) 31, 177, 1885 u. Ann. Chem. Pharm. 265, 27.

<sup>2)</sup> VOLKMANN, Wied. Ann. 17, 353, 1882.

<sup>3)</sup> FORCH, Ann. d. Phys. (4) 17, 744, 1905.

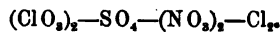
|  | Mol. Haftdruck bei 15° pro<br>1 Mol in 1 Liter der Lösung |       |               |
|--|---|-------|---------------|
| Isobutylalkohol <sup>1)</sup> , C <sub>4</sub> H <sub>10</sub> O . . . . .         | -   | 4,40  |               |
| Acetamid, C <sub>2</sub> H <sub>5</sub> NO . . . . .                               | -   | 0,38  |               |
| Glycerin, C <sub>2</sub> H <sub>5</sub> O <sub>2</sub> . . . . .                   | -   | 0,04  |               |
| Thioharnstoff, CH <sub>4</sub> NS . . . . .  | +   | 0,01  |               |
| Harnstoff, CH <sub>4</sub> NO . . . . .  | +   | 0,03  |               |
| Glykokoll, C <sub>2</sub> H <sub>5</sub> O <sub>2</sub> N . . . . .                | +   | 0,08  |               |
| Mannit, C <sub>6</sub> H <sub>14</sub> O <sub>6</sub> . . . . .                    | +   | 0,12  |               |
| Dextrose, C <sub>6</sub> H <sub>12</sub> O <sub>6</sub> . . . . .                  | +   | 0,12  |               |
| Rohrzucker, C <sub>12</sub> H <sub>22</sub> O <sub>11</sub> . . . . .              | +   | 0,20  |               |
| * Cäsiumchlorid, CsCl . . . . .  | +   | 0,09  |               |
| Rubidiumchlorid, RbCl . . . . .  | +   | 0,12  |               |
| Kaliumvanadinat, KVO <sub>3</sub> . . . . .  | (+)   | 0,01  |               |
| Kaliumsulfocyanat, KCNS . . . . .  | +   | 0,04  |               |
| Kaliumpermanganat, KMnO <sub>4</sub> . . . . .                                     | (+)   | 0,05  |               |
| * Kaliumjodid, KJ . . . . .  | +   | 0,06  |               |
| Kaliumcyanid, KCN . . . . .  | +   | 0,08  |               |
| Kaliumcyanat, KCNO . . . . .   | +   | 0,12  |               |
| * Kaliumnitrat, KNO <sub>3</sub> . . . . .   | +   | 0,125 | 0,11 V 0,12 F |
| Kaliumchlorid, KCl . . . . .   | +   | 0,14  | 0,17 V 0,14 F |
| * Kaliumbromid, KBr . . . . .  | +   | 0,16  |               |
| Kaliumhydroxyd, KOH . . . . .  | +   | 0,165 |               |
| * Kaliumfluorid, KF . . . . .  | +   | 0,20  |               |
| Kaliumselenit, K <sub>2</sub> SeO <sub>3</sub> . . . . .                           | +   | 0,24  |               |
| Kaliumchromat, K <sub>2</sub> CrO <sub>4</sub> . . . . .                           | +   | 0,27  |               |
| Kaliumsilikat, K <sub>2</sub> SiO <sub>3</sub> . . . . .                           | +   | 0,30  |               |
| Kaliumsulfat, K <sub>2</sub> SO <sub>4</sub> . . . . .                             | (+)   | 0,34  | 0,28 V 0,24 F |
| Kaliumsulfid, K <sub>2</sub> SO <sub>3</sub> . . . . .                             | (+)   | 0,36  |               |
| Kaliumcarbonat, K <sub>2</sub> CO <sub>3</sub> . . . . .                           | -   |       | 0,28 V 0,28 F |
| Kaliumtellurit, K <sub>2</sub> TeO <sub>3</sub> . . . . .                          | (+)   | 0,40  |               |
| Kaliumstannat, K <sub>2</sub> SnO <sub>3</sub> . . . . .                           | (+)   | 0,40  |               |
| Kaliummolybdat, K <sub>2</sub> MoO <sub>4</sub> . . . . .                          | (+)   | 0,42  |               |
| Kaliumwolframat, K <sub>2</sub> WO <sub>4</sub> . . . . .                          | (+)   | 0,58  |               |
| * Natriumtrichloracetat, NaC <sub>2</sub> Cl <sub>3</sub> O <sub>2</sub> . . . . . | -   | 0,74  |               |
| * Natriumdichloracetat, NaC <sub>2</sub> Cl <sub>2</sub> HO <sub>2</sub> . . . . . | -   | 0,19  |               |
| * Natriumchloracetat, NaC <sub>2</sub> ClH <sub>2</sub> O <sub>2</sub> . . . . .   | +   | 0,01  |               |
| * Natriumjodid, NaJ . . . . .  | +   | 0,045 |               |
| * Natriumacetat, NaC <sub>2</sub> H <sub>3</sub> O <sub>2</sub> . . . . .          | +   | 0,04  |               |
| * Natriumperchlorat, NaClO <sub>4</sub> . . . . .                                  | +   | 0,045 |               |
| * Natriumchlorat, NaClO <sub>3</sub> . . . . .                                     | +   | 0,075 |               |

<sup>1)</sup> Weitere Haftdrucke von Lösungen organischer Stoffe siehe in meiner Abhandlung Ann. Chem. Pharm. 265, l. c.

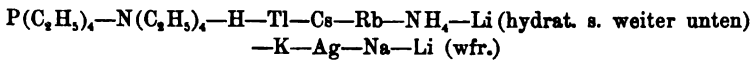
|  | Mol. Haftdruck bei 15° pro<br>1 Mol in 1 Liter der Lösung |
|--|---|
| Natriumnitrit, $\text{NaNO}_2$ . . . . .                                       | + 0,12  |
| *Natriumformiat, $\text{NaCHO}_2$ . . . . .                                    | + 0,135   |
| *Natriumnitrat, $\text{NaNO}_3$ . . . . .                                      | + 0,14 0,13 V 0,14 F                                      |
| Natriumchlorid, $\text{NaCl}$ . . . . .  | + 0,16 0,18 V 0,18 F                                      |
| *Natriumtartrat, $\text{Na}_2\text{C}_4\text{H}_4\text{O}_6$ . . . . .         | + 0,30  |
| Natriumsilikat, $\text{Na}_2\text{SiO}_3$ . . . . .                            | + 0,32  |
| Natriumcarbonat, $\text{Na}_2\text{CO}_3$ . . . . .                            | — 0,21 V 0,27 F   |
| *Natriumsuccinat, $\text{Na}_2\text{C}_4\text{H}_4\text{O}_6$ . . . . .        | + 0,36  |
| Natriumsulfat, $\text{Na}_2\text{SO}_4$ . . . . .                              | (+ 0,38) 0,28 V 0,28 F                                    |
| Natriumselenat, $\text{Na}_2\text{SeO}_4$ . . . . .                            | (+ 0,38)  |
| Natriummolybdat, $\text{Na}_2\text{MoO}_4$ . . . . .                           | (+ 0,38)  |
| Natriumwolframat, $\text{Na}_2\text{WO}_4$ . . . . .                           | (+ 0,50)  |
| Ammoniumnitrat, $\text{NH}_4\text{NO}_3$ . . . . .                             | — 0,12 F  |
| Ammoniumchlorid, $\text{NH}_4\text{Cl}$ . . . . .                              | + 0,13 0,14 V 0,15 F                                      |
| Ammoniumbromid, $\text{NH}_4\text{Br}$ . . . . .                               | + 0,14  |
| Ammoniumsulfat, $(\text{NH}_4)_2\text{SO}_4$ . . . . .                         | — 0,26 F  |
| Teträthylammoniumjodid, $\text{N}(\text{C}_2\text{H}_5)_4\text{J}$ . . . . .   | (— 0,39)  |
| Teträthylphosphoniumjodid $\text{P}(\text{C}_2\text{H}_5)_4\text{J}$ . . . . . | (— 0,71)  |
| *Lithiumnitrat, $\text{LiNO}_3$ . . . . .                                      | + 0,09  |
| *Lithiumbromid, $\text{LiBr}$ . . . . .  | + 0,14  |
| *Lithiumchlorid, $\text{LiCl}$ . . . . .                                       | + 0,15  |
| *Lithiumsulfat, $\text{Li}_2\text{SO}_4$ . . . . .                             | + 0,30  |
| *Silbernitrat, $\text{AgNO}_3$ . . . . .                                       | + 0,13  |
| Thalliumnitrat, $\text{TlNO}_3$ . . . . .                                      | (+ 0,00)  |
| Thalliumfluorid, $\text{TlF}$ . . . . .  | + 0,09  |
| Quecksilberchlorid, $\text{HgCl}_2$ . . . . .                                  | — 0,07  |
| Magnesiumchlorat, $\text{Mg}(\text{ClO}_3)_2$ . . . . .                        | + 0,06  |
| Magnesiumchlorid, $\text{MgCl}_2$ . . . . .                                    | — 0,33 V  |
| Magnesiumsulfat, $\text{MgSO}_4$ . . . . .                                     | + 0,17 0,26 V 0,21 F                                      |
| Calciumchlorat, $\text{Ca}(\text{ClO}_3)_2$ . . . . .                          | + 0,09  |
| Calciumchlorid, $\text{CaCl}_2$ . . . . .                                      | — 0,41 V  |
| Strontiumchlorat, $\text{Sr}(\text{ClO}_3)_2$ . . . . .                        | + 0,15  |
| Strontiumchlorid, $\text{SrCl}_2$ . . . . .                                    | — 0,37 V  |
| Baryumchlorat, $\text{Ba}(\text{ClO}_3)_2$ . . . . .                           | + 0,18  |
| Baryumchlorid, $\text{BaCl}_2$ . . . . .                                       | + 0,30 0,35 V   |
| Bleichlorat, $\text{Pb}(\text{ClO}_3)_2$ . . . . .                             | + 0,08  |
| Cadmiumchlorat, $\text{Cd}(\text{ClO}_3)_2$ . . . . .                          | + 0,07  |
| Cadmiumsulfat, $\text{CdSO}_4$ . . . . .                                       | + 0,19  |
| Zinkchlorat, $\text{Zn}(\text{ClO}_3)_2$ . . . . .                             | + 0,11  |
| Zinksulfat, $\text{ZnSO}_4$ . . . . .  | — 0,20 F  |
| Kupferchlorat, $\text{Cu}(\text{ClO}_3)_2$ . . . . .                           | + 0,11  |

|  | Mol. Haftdruck bei 15° pro<br>1 Mol in 1 Liter der Lösung |        |
|--|---|--------|
| Kupfersulfat, $\text{CuSO}_4$ . . . . .                                    | + 0,18  | 0,19 F |
| Ferrosulfat, $\text{FeSO}_4$ . . . . .                                     | —   | 0,18 F |
| Nickelnitrat, $\text{Ni}(\text{NO}_3)_2$ . . . . .                         | + 0,29  |        |
| Nickelsulfat, $\text{NiSO}_4$ . . . . .                                    | + 0,21  |        |
| Kobaltnitrat, $\text{Co}(\text{NO}_3)_2$ . . . . .                         | + 0,27  |        |
| Kobaltsulfat, $\text{CoSO}_4$ . . . . .                                    | + 0,21  |        |
| Mangansulfat, $\text{MnSO}_4$ . . . . .                                    | + 0,23  |        |
| Isobuttersäure, $\text{C}_4\text{H}_8\text{O}_2$ . . . . .                 | — 4,04  |        |
| Buttersäure, $\text{C}_4\text{H}_8\text{O}_2$ . . . . .                    | — 3,99  |        |
| Propionsäure, $\text{C}_3\text{H}_6\text{O}_2$ . . . . .                   | — 2,48  |        |
| * Trichloressigsäure, $\text{C}_2\text{HCl}_3\text{O}_2$ . . . . .         | — 2,48  |        |
| * Dichloressigsäure, $\text{C}_2\text{H}_2\text{Cl}_2\text{O}_2$ . . . . . | — 2,10  |        |
| * Monochloressigsäure, $\text{C}_2\text{H}_3\text{ClO}_2$ . . . . .        | — 1,31  |        |
| Essigsäure, $\text{C}_2\text{H}_4\text{O}_2$ . . . . .                     | — 1,26  |        |
| Bernsteinsäure, $\text{C}_4\text{H}_6\text{O}_4$ . . . . .                 | — 1,0   |        |
| Ameisensäure, $\text{CH}_2\text{O}_2$ . . . . .                            | — 0,46  |        |
| * Chlorsäure, $\text{HClO}_3$ . . . . .                                    | — 0,19  |        |
| * Jodwasserstoffsäure, $\text{HJ}$ . . . . .                               | — 0,145   |        |
| * Salpetersäure, $\text{HNO}_3$ . . . . .                                  | — 0,11  |        |
| * Chlorwasserstoffsäure, $\text{HCl}$ . . . . .                            | — 0,05  |        |
| * Bromwasserstoffsäure, $\text{HBr}$ . . . . .                             | — 0,075   |        |
| Weinsäure, $\text{C}_4\text{H}_6\text{O}_6$ . . . . .                      | — 0,02  |        |
| * Schwefelsäure, $\text{H}_2\text{SO}_4$ . . . . .                         | — 0,03  |        |
| Selenige Säure, $\text{SeO}_2$ . . . . .                                   | + 0,04  |        |
| Tellursäure, $\text{H}_2\text{TeO}_4$ . . . . .                            | + 0,15  |        |

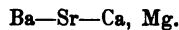
In den Reihen der Verbindungen der alkalischen Erden und Schwermetalle ist die Reihenfolge der Anionen:



Die Reihenfolge der einwertigen Kationen ist die folgende:



und der zweiwertigen:

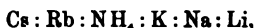


### 5. Hydratbildung und Haftdruck.

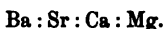
Unter den in den Tabellen S. 889 bis 891 enthaltenen Salzen sind eine größere Anzahl, welche sowohl in Lösung, wie in

kristallisiertem Zustande Kristallwasser enthalten. Es ist nun leicht einzusehen, daß einem Hydrat ein geringerer Haftdruck zukommt, als dem freien Ion oder Salz-molekül an sich; denn durch den Hydratisierungsvorgang ist ja schon, wie auch die thermochemischen Daten zeigen, ein großer Teil der vorhandenen — Anziehungen — erschöpft. So sehen wir beispielsweise, daß trotz des höheren Haftdruckes von Natrium gegenüber dem Kalium, das Jodid des Natriums einen geringeren Haftdruck hat, als dasjenige des Kaliums und ebenso sind die Haftdrucke der Sulfate und Carbonate beim Natrium zum mindesten nicht größer als beim Kalium.

Besonders bemerkenswert werden diese Ausführungen in bezug auf die Beurteilung der Stellung des Lithiums in der Haftdruckreihe. Sämtliche untersuchten Lithiumsalze sind hydratisiert, und bekanntlich<sup>1)</sup> nimmt die hydratisierende Kraft in der Reihe der Alkali-Ionen zu von



bei den alkalischen Erden von



Dies ist auch die Reihenfolge der Haftdrucke, bis auf die scheinbare Ausnahme des Lithiums, und es ist ja leicht einzusehen, weshalb mit zunehmendem Haftdruck die Fähigkeit der Hydratbildung zunehmen muß. Das hydratisierte Lithiumion hat daher einen kleineren Haftdruck, als selbst das Kalium, das wasserfreie Lithiumion dagegen einen größeren Haftdruck als das Natriumion.

Sehr bemerkenswert ist es, daß man bei den Anionen nach dem Grade der Hydratationsfähigkeit nicht mit derselben Sicherheit eine Reihe aufstellen kann, wie bei den Kationen trotz der größeren Haftdruckdifferenzen.

Der Irrtum, welchen JONES, l. c., in seiner Theorie der Gefrierpunktsanomalien begeht — und ebenso SMIRNOW, l. c., besteht darin, daß sie den Begriff des Haftdruckes nicht kennen, und nun alles auf unmögliche Hydrate zurückführen.

---

<sup>1)</sup> Vgl. JONES und GETMAN, ZS. f. phys. Chem. 49, 432, 1904 und SMIRNOW, ebenda 58, 678, 1907.

## 6. Löslichkeit, Binnendruck des zu lösenden Stoffes und sein Haftdruck in der Lösung.

Löslichkeit (sowie Lösungsdruck) eines Stoffes sind abhängig von dem Unterschiede seines Haftdruckes in der Lösung und seinem Binnendruck.

Wenn bei großem Binnendrucke<sup>1)</sup> (Sulfate, Carbonate usw.) der Stoff löslich ist, so darf man auf einen entsprechend großen Haftdruck schließen. Ein Salz wie Kaliumsulfat würde sich in Anbetracht seines großen Binnendruckes nicht in Wasser lösen, wenn nicht sein Haftdruck so groß wäre. Wenn Kaliumjodid trotz geringeren Haftdruckes löslicher ist als Kaliumchlorid, so liegt dies an dem geringeren Binnendrucke des Jodids.

Wenn zwei Stoffe gleiche Löslichkeit haben, so verhalten sich ihre Binnendrucke wie ihre Haftdrucke. Wenn beispielsweise irgend ein anorganisches Salz trotz seines wesentlich größeren Binnendruckes die gleiche molekulare Löslichkeit wie etwa eine Fettsäure, ein Ester oder ein Alkohol usw. hat, so ist dies nur deshalb der Fall, weil der Haftdruck des Salzes um so viel größer ist als derjenige der organischen Verbindung, als den Unterschieden der Binnendrucke entspricht.

Bei gleichem Binnendruck hat die Verbindung von größerem Haftdrucke die größere Löslichkeit.

Bereits vor 20 Jahren<sup>2)</sup> habe ich auf diese Beziehungen von Löslichkeit und Oberflächenspannungserniedrigung hingewiesen, was wohl von den Herren FREUNDLICH, GEFFKEN u. a., l. c., übersehen wurde.

Die meisten organischen Flüssigkeiten (Alkohole, Ester usw.) haben nämlich einen nicht sehr verschiedenen Binnendruck bzw. Oberflächenspannung, so daß sich obiger Satz an einem großen Materiale prüfen läßt. Besonders bei isomeren Verbindungen hat stets der Stoff, welcher die Oberflächenspannung des Wassers am

---

<sup>1)</sup> Siehe meine Arbeit über Kapillaritätskonstanten geschmolzener Salze, Ber. d. Deutsch. Chem. Ges. 24, 3079, 1891 und MOTYLEWSKY, ZS. f. anorg. Chem. 38, 417, 1904. Alkalisalze mit zweibasischen Säuren haben danach wesentlich größere Oberflächenspannungen und Binnendrucke als solche mit einbasischen Säuren.

<sup>2)</sup> TRAUBE, Ber. d. Deutsch. Chem. Ges. 17, 2304, 1884, und Pfügers Arch. 105, 548, 1904.



meisten erniedrigt, die geringere Löslichkeit. Beispielsweise sind die Ester der Ameisensäure weniger löslich, entsprechend ihrem geringen Haftdruck, als die isomeren Ester der übrigen Fettsäuren; ebenso gehen Löslichkeit und Haftdruck parallel bei den normalen, iso- und tertiären Alkoholen, den normalen und Isofettsäuren, den Aldehyden und isomeren Ketonen usw. In homologen Reihen (Alkohole, Ester, Ketone usw.) nehmen bei nicht sehr verschiedenem Binnendrucke der einzelnen Glieder Haftdruck und Löslichkeit ab mit wachsendem Molekulargewichte; bemerkenswert ist es aber, wie mit Hilfe der kapillarimetrischen Methode in vortrefflicher Weise nachgewiesen werden kann<sup>1)</sup>, daß von einem gewissen Reihengliede an die Löslichkeit = 0 wird, daß also ein vom Binnendrucke abhängiger Schwellenwert des Haftdruckes besteht, unterhalb dessen eine Lösung nicht erfolgt. In irrthümlicher Weise werden vielfach minimale Löslichkeiten angenommen, wo dieselben in Wirklichkeit nicht vorhanden sind.

Endlich sei noch hingewiesen auf meine früheren Ausführungen<sup>2)</sup>, wonach die Oberflächenspannung der gesättigten Lösung nie (wesentlich) kleiner sein kann, als die Oberflächenspannung des Stoffes an sich. Vielfach (bei den Stoffen mit geringem Haftdruck, Ester, Alkohole usw.) sind die Oberflächenspannungen des Stoffes an sich und der gesättigten Lösung annähernd gleich groß. Ein solches Oberflächenspannungsgleichgewicht besteht auch beispielsweise für die wässrige Lösung von Äthyläther und die ätherische Lösung von Wasser; selbst ternäre Mischungen, wie Isobutylalkohol, Anilin und Wasser, führen zu einem derartigen Gleichgewichte. In einem Kapillarrohre, in welchem Wasser bei 15° 92,4 mm hoch stieg, war die Steighöhe der beiden Schichten 45,5 bzw. 44,5 mm.

<sup>1)</sup> Die kapillarimetrische und stalagmometrische Methode hat für Konzentrations-Bestimmungen in wässrigen Lösungen zahlreicher organischer Stoffe, von Teilungskoeffizienten, Löslichkeiten eine ebenso große Bedeutung wie die Bestimmung der elektrischen Leitfähigkeit für die Elektrolyte. Beide Methoden ergänzen sich; die eine Methode ist anwendbar für die Stoffe mit großem Haftdruck (elektrolytische Leitfähigkeit), die andere für Stoffe mit geringem Haftdruck (kapillarimetrische Methoden), vgl. TRAUBE, Pflügers Arch. 105, 562 und MOTYLEWSKY, ZS. f. anorg. Chem. 38, 417, 1904.

<sup>2)</sup> I. TRAUBE, Pflügers Arch. 105, 549, 1904.

Auch hier zeigt sich also die nahe Beziehung von Binnendruck, Haftdruck und Löslichkeit.

Die Oberflächenspannung des Stoffes an sich bestimmt den Verlauf der Kurve, welcher die Abhängigkeit der Oberflächenspannungen von der Konzentration darstellt.

Stoffe, wie Alkohole, Ester, Fettsäure usw., vermögen die Oberflächenspannung des Wassers weit mehr zu erniedrigen, als — feste — Stoffe, wie Zuckerarten, Harnstoff, Amidosäuren, auch Glycerin usw., weil Oberflächenspannung und Binnendruck der Stoffe an sich entsprechende Unterschiede zeigen. Auch Gase von geringem Haftdruck in Wasser, wie Wasserstoff, Sauerstoff, Stickstoff usw., haben einen weit geringeren Binnendruck als die in Wasser löslichen Gase, wie Kohlensäure, schweflige Säure, Ammoniak usw., deren leichtere Kondensierbarkeit ja schon auf größeren Binnendruck hinweist.

## 7. Löslichkeitsbeeinflussung und Haftdruck.

Dieses Kapitel ist in neuerer Zeit von verschiedenen Seiten mit Erfolg behandelt worden, und wenn die betreffenden Autoren auch von meinen früheren Veröffentlichungen über die Beziehung von Oberflächenspannung, Löslichkeit, Lösungsdruck und Teilungskoeffizient wohl aus Unkenntnis derselben keine Notiz genommen haben, so freue ich mich doch, in wesentlichen Punkten mein Einverständnis mit den schönen Arbeiten von namentlich GEFCKEN<sup>1)</sup>, FREUNDLICH<sup>2)</sup>, EULER<sup>3)</sup>, HOFMANN und LANGBECK<sup>4)</sup>, DRUCKER<sup>5)</sup>, ROTHMUND<sup>6)</sup>, SMIRNOW<sup>7)</sup>, RITZEL<sup>8)</sup> u. a. hier feststellen zu können.

Aus diesen Arbeiten folgt zur Evidenz, daß die einfache Löslichkeitstheorie, wie dieselbe auf Grund der osmo-

<sup>1)</sup> GEFCKEN, ZS. f. physik. Chem. 49, 257, 1904.

<sup>2)</sup> FREUNDLICH, ebenda 57, 385, 1907.

<sup>3)</sup> EULER, ebenda 31, 360, 1899 und 49, 303, 1904.

<sup>4)</sup> HOFMANN und LANGBECK, ebenda 51, 385, 1905.

<sup>5)</sup> DRUCKER, ebenda 52, 641, 1905.

<sup>6)</sup> ROTHMUND, ebenda 33, 401, 1900.

<sup>7)</sup> SMIRNOW, ebenda 58, 678, 1907.

<sup>8)</sup> RITZEL, ebenda 60, 319, 1907.

tischen Theorie von NERNST gegeben wurde, nicht haltbar ist, sondern daß sich die engsten Beziehungen von Löslichkeitsbeeinflussung und Oberflächenspannung, sowie Binnendruck ergeben. Allerdings fehlte es bisher an weitgehenderen Bestimmungen der Oberflächenspannungen von Lösungen und da ich mich bemüht habe, diese Lücke auszufüllen, so sind meine Schlüsse fester begründet.

Die Sätze, zu denen ich gelangt bin, bilden eine wesentliche Erweiterung der Ansichten der genannten Forscher, und möchte ich dieselben wie folgt zusammenfassen:

1. Stoffe mit negativem Haftdruck, das heißt Stoffe, welche die Oberflächenspannung des Lösungsmittels verringern<sup>1)</sup>, erfahren eine Verminderung ihrer Löslichkeit durch Stoffe von positivem Haftdruck.

2. Stoffe von negativem Haftdruck erfahren eine Erhöhung ihrer Löslichkeit durch andere Stoffe, welche die Oberflächenspannung (in erheblichem Maße) verringern.

3. Je geringer der Haftdruck eines Stoffes mit negativem Haftdruck, ist, in um so höherem Maße wird derselbe durch einen Stoff mit positivem Haftdruck aus seiner Lösung verdrängt.

4. Je größer der positive Haftdruck eines Stoffes ist, um so mehr vermindert derselbe die Löslichkeit eines Stoffes von negativem Haftdruck.

5. Befinden sich mehrere Salze, also Stoffe von positivem Haftdruck, in einer Lösung, so findet eine Verschiebung der Löslichkeit zuungunsten desjenigen Salzes statt, welches den geringeren Haftdruck hat.

6. Zeigt die Kurve der Oberflächenspannungen eines Flüssigkeitsgemisches in der Abhängigkeit von der Konzentration ein Maximum oder Minimum, so entspricht diesem Maximum oder Minimum der Oberflächenspannung ein Minimum der Löslichkeit eines Gases oder sonstigen Stoffes mit negativem Haftdruck.

Zu Satz 1 sei bemerkt, daß keineswegs nur Elektrolyte die Löslichkeit organischer Stoffe, sowie von Gasen herabdrücken, denn beispielsweise Rohrzucker verdrängt wegen seines hohen

---

<sup>1)</sup> Vgl. über den Begriff des negativen und positiven Haftdruckes meine Ausführungen weiter unten S. 922.

Haftdruckes Gase wie Wasserstoff in noch stärkerem Maße als selbst Salze mit zweibasischen Säuren.

Was Satz 2 betrifft, so ist es ja hinlänglich bekannt, daß die Löslichkeit von beispielsweise Amylalkohol erhöht wird, wenn man etwa Methylalkohol, Äthylacetat oder einen ähnlichen Stoff von niederem Haftdruck hinzufügt. Dagegen verringern Stoffe von geringem negativen Haftdruck zuweilen die Löslichkeit von Stoffen mit größerem negativen Haftdruck. So verringert beispielsweise Chloressigsäure und selbst Essigsäure die Löslichkeit von Wasserstoff in Wasser in merklicher Weise<sup>1)</sup>.

Zu Satz 3 sei bemerkt, daß ein Stoff wie Isobutyl- oder Isoamylalkohol wegen seines geringen Haftdruckes von den verschiedensten Salzen ausgesalzen wird. Dahingegen wird Äthylalkohol nur durch Salze mit sehr großem Haftdruck wie beispielsweise Kaliumcarbonat oder Ammoniumsulfat aus seiner Lösung verdrängt<sup>2)</sup>.

Satz 4 wird am besten erläutert, wenn in der folgenden Tabelle die Anionen und Kationen nach dem Grade der Löslichkeitsbeeinflussung<sup>3)</sup>, sowie nach der Größe der Haftdrucke geordnet werden.

#### Kationen.

Löslichkeitsverminderung  $\text{Na} > \text{K} > \text{Li} > \text{NH}_4 > \text{Rb} > \text{Cs} > \text{H}$ .

Haftdrucke . . . . .  $\text{Na} > \text{K} > \text{Li} (\text{hydr.}) > \text{NH}_4 > \text{Rb} > \text{Cs} > \text{H}$ .

#### Anionen aus Alkalisalzen.

Löslichkeitsverminderung  $\text{NO}_3 < \text{ClO}_3 < \text{NO}_2 < \text{J} < \text{Br} < \text{C}_2\text{H}_3\text{O} < \text{Cl} < \text{OH} < \text{SO}_4 < \text{CO}_3$ .

Haftdrucke . . . . .  $(\text{C}_2\text{H}_3\text{O}_2 \text{ hydr.}), < \text{ClO}_3, < \text{J}, < \text{NO}_2, < \text{NO}_3 < \text{Cl} < \text{Br} < \text{OH} < \text{SO}_4 < \text{CO}_3$ .

#### Anionen aus Säuren.

Löslichkeitsverminderung  $\text{C}_2\text{H}_3\text{O}_2 < \text{C}_2\text{H}_2\text{ClO}_2 < \text{NO}_3 < \text{Cl} < \text{SO}_4$ .

Haftdrucke . . . . .  $\text{C}_2\text{H}_2\text{ClO}_2, \text{C}_2\text{H}_3\text{O}_2 < \text{NO}_3 < \text{Cl} < \text{SO}_4$ .

<sup>1)</sup> GEFFKEN, l. c., S. 268. Interessant sind in dieser Beziehung die experimentellen Ergebnisse der Arbeit von HOFMANN und LANGBECK, l. c., namentlich über die Löslichkeitsbeeinflussung von Benzoesäure, Salicylsäure und von Nitrobenzoesäure in Wasser durch Nichtelectrolyte, wie Harnstoff, Zuckerarten, Alkohole usw. Die Ergebnisse stehen in bestem Einklang mit obigem Satze.

<sup>2)</sup> I. TRAUBE und O. NEUBERG, ZS. f. physik. Chem. 1, 509, 1887; vgl. auch SMIRNOW, l. c.

<sup>3)</sup> GEFFKEN, l. c., S. 284.

Es sei indessen bemerkt, daß in manchen Fällen, beispielsweise in bezug auf die Löslichkeitsverminderung der Isobuttersäure in Wasser nach SMIRNOW, l. c., die Reihenfolge der Kationen nicht ist  $\text{NaKLiNH}_4\text{RbCsH}$ , sondern  $\text{LiNaKNH}_4\text{RbCs}$ . Der Haftdruck des wasserfreien Lithiumions (vgl. S. 892) würde also hier in Betracht kommen.

Zu Satz 5 sei bemerkt:

Die Löslichkeit von Thalliumchlorid<sup>1)</sup> wächst in den Nitratlösungen der Alkalisalze von  $\text{Li:Na:K:NH}_4$ , also dem Haftdruck entsprechend, ebenso wächst die Löslichkeit von  $\text{KBrO}_3$ , von  $\text{NaCl:NaNO}_3$ . Siehe auch die Bestätigung jenes Satzes in der Arbeit von EULER<sup>2)</sup>.

Satz 6 hat hinlängliche Bestätigung gefunden durch die Arbeiten von SKIRROW<sup>3)</sup> und CHRISTOFF<sup>4)</sup>.

## 8. Der Haftdruck der Kolloide.

Wässrige Eiweißlösungen haben nahezu dieselbe Oberflächenspannung, wie reines Wasser. Peptone dagegen erniedrigen die Oberflächenspannung des Wassers in erheblichem Maße, und die letzten Abbauprodukte des Eiweißes, wie das Glykokoll, beeinflussen wiederum die Oberflächenspannung des Wassers sehr wenig. Trotzdem besteht ein sehr bedeutender Unterschied zwischen dem Verhalten des Glykokolls und demjenigen des Eiweißes. Die Reihenfolge ist in bezug auf die Oberflächenspannung in Wahrheit nicht Pepton—Glykokoll—Eiweiß, sondern Eiweiß—Pepton—Glykokoll.

Eiweiß und andere Kolloide mit großem Molekulargewicht beeinflussen die Oberflächenspannung des Wassers deshalb nicht, weil ihr Haftdruck ebenso, wie derjenige suspendierter Teilchen, gleich oder nahezu gleich Null ist. Auch wässrige und methylalkoholische Suspensionen von Stoffen, wie Mastix, Lecithin, haben nach meinen

<sup>1)</sup> GEFFKEN, l. c., S. 296.

<sup>2)</sup> EULER, l. c., S. 315 u. 316.

<sup>3)</sup> SKIRROW, ZS. f. physik. Chem. 41, 139, 1902.

<sup>4)</sup> CHRISTOFF, ebenda 55, 622, 1906.

Versuchen<sup>1)</sup> eine Oberflächenspannung nahezu wie Wasser, oder das betreffende alkoholische Lösungsmittel.

Nach GEFFKEN beeinflussen ferner Kolloide auch die Lösbarkeit des Wassers für Gase nicht. Dieselben werden aus ihren Lösungen durch Salze verdrängt und Eiweiß bildet ebenso wie Peptone eine Haut an der Oberfläche der Flüssigkeit. Alle diese Tatsachen, auch das abweichende osmotische und sonstige Verhalten der Kolloide zeigt, daß wir Kolloide mit großem Molekulargewicht als Stoffe zu betrachten haben, welche auf das Wasser so gut wie keinen Haftdruck ausüben. Das Verhalten von Pepton und Eiweiß zeigt ferner, daß es sich nur um graduelle Unterschiede handelt, und daß Kolloide, wie Eiweiß, die natürliche Brücke bilden zwischen den Lösungen und Suspensionen.

Auch die Suspensionen verhalten sich ja in bezug auf die Fällbarkeit durch Salze wie die Kolloide. Folgendes ist die Anordnung der Kationen und Anionen der Alkalisalze in bezug auf die Löslichkeitsbeeinflussung von Kolloiden und Suspensionen und in bezug auf die Haftdrücke<sup>2)</sup>.

Ausflockung per Mol von Mastix nach HARDY:

Ausflockung . .  $H_2SO_4 > HNO_3, HCl > (COOH)_2 > C_2H_3O_2$ .

Haftdruck . .  $H_2SO_4 > HCl > HNO_3 > (COOH)_2 > C_2H_3O_2$ .

Fällung von  $As_2S_3$  nach FREUNDLICH durch Chloride und Sulfate:

Fällung . . . . .  $Li > Na > K > H$ .

Haftdruck . . . . .  $Li$  (wfr.)  $> Na > K > H$ .

Fällung per Mol .  $SO_4 > Cl$ .

Haftdruck . . . . .  $SO_4 > Cl$ .

Fällung von Eiweiß nach HOFMEISTER und PAULI<sup>3)</sup>:

<sup>1)</sup> In einem Stalagmometer, welches bei 15° für Wasser 46 Tropfen ergab, wurden für eine 1proz. Lecithinemulsion 48,5 Tropfen gefunden für eine 0,25proz. Cholesterin- sowie eine 0,5proz. Mastixemulsion, in 10proz. Methylalkohol 57 bzw. 58 Tropfen, während der 10proz. Methylalkohol als solcher 56,5 Tropfen ergab.

<sup>2)</sup> Siehe die betreffende Literatur: HÖBER, Physik. Chem. der Zelle u. Gewebe, II. Aufl., S. 219.

<sup>3)</sup> Je nachdem das Eiweiß sich in alkalischer oder saurer Lösung befindet, kehrt sich die Reihenfolge der Ionen in bezug auf das Fällungsvermögen um.

Fällung . . . .  $\text{SO}_4 > \text{C}_2\text{H}_3\text{O}_2 > \text{Cl} > \text{NO}_3 > \text{Br} > \text{J}, > \text{CNS},$   
 sowie  $\text{NH}_4 : \text{K} : \text{Na} : \text{Li}.$   
 Haftdruck . . .  $\text{SO}_4 > \text{Br} > \text{Cl}, > \text{NO}_3 > \text{J}, > \text{CNS} > (\text{C}_2\text{H}_3\text{O}_2 \text{ hydr.})$   
 sowie  $\text{NH}_4 : \text{K} : \text{Na} : \text{Li} (\text{wfr.}).$

Auch in bezug auf die Beförderung der Gelbildung und der Quellung der Gelatine zeigt sich die obige Reihenfolge der Kationen und Anionen <sup>1)</sup>).

### 9. Adsorption, Teilungskoeffizient und Haftdruck.

Auf die Beziehung von Teilungskoeffizient und Oberflächenspannung ist zuerst von mir <sup>2)</sup>, auf diejenige von Adsorption und Oberflächenspannung zuerst von FREUNDLICH <sup>3)</sup> hingewiesen worden.

FREUNDLICH hat eine größere Anzahl von Adsorptionskoeffizienten gemessen, aber leider es unterlassen, gleichzeitig die Oberflächenspannungen zu bestimmen; auch hat er seine Versuche nur auf Säuren und Basen ausgedehnt, obwohl sich mit Hilfe der Kapillaritätskonstante die Verteilung auch leicht sehr scharf für indifferente Stoffe von geringem Haftdruck bestimmen läßt. Man hat nur nötig, für verschiedene Konzentrationen des gelösten Stoffes die Oberflächenspannung etwa nach der Steighöhenmethode zu messen, und man vergleicht damit die Oberflächenspannung der wässerigen Phase nach eingetretenem Gleichgewicht.

Ich habe für eine Reihe 0,25 molekularer Lösungen bei 16 bis 18°

1. die kapillaren Steighöhen bestimmt,
2. die Teilungskoeffizienten für je 30 ccm Benzol und 30 ccm der wässerigen Lösung,
3. die Teilungskoeffizienten  $\frac{x}{a-x}$  für je 1 g Tierkohle (MERCKs gereinigte Blutkohle) und 30 ccm der 0,25 normalen Lösung.  $a$  ist die anfängliche Menge in der Lösung, und  $a-x$

<sup>1)</sup> Vgl. HÖBER, Biochem. ZS. 14, 209, 1908. Bei zahlreichen physiologischen Vorgängen (Erregbarkeit von Muskeln usw., Hämolyse von Blutkörperchen) finden wir obige Reihenfolge der Ionen wieder.

<sup>2)</sup> I. TRAUBE, Pflügers Arch. l. c.

<sup>3)</sup> FREUNDLICH, l. c.

die kapillarimetrisch oder titrimetrisch festgestellte Menge in derselben nach eingetretenem Gleichgewicht.

Die minimale Löslichkeit von Benzol in Wasser wurde durch eine Korrektur der Steighöhe berücksichtigt.

Die vierte Spalte enthält die weiter unten zu besprechenden relativen Dampfdrucke und die fünfte Spalte die absoluten Siedetemperaturen der gelösten Stoffe als solche.

| 0,25 Mol./Liter                 | Kapillare Steighöhe in mm | Teilungskoeffizient Benzol : Wasser | Adsorptionskoeffizient $\frac{x}{a-x}$ Kohle : 30 ccm Lösung | Relative Dampfdrucke in cm | Absolute Siedetemperatur |
|---------------------------------|---------------------------|-------------------------------------|--|----------------------------|--------------------------|
| Wasser . . . . .                | 91,5                      | —                                   | —  | n. b.                      | 373                      |
| Ammoniak . . . . .              | 91,0                      | —                                   | —  | 6,0                        | —                        |
| Oxalsäure . . . . .             | 90,0                      | —                                   | 0,273  | n. b.                      | —                        |
| Schwefelsäure . . . . .         | 89,6                      | —                                   | 0,075  | "                          | —                        |
| Weinsäure . . . . .             | 89,6                      | —                                   | 0,203  | "                          | —                        |
| Zitronensäure . . . . .         | 87,75                     | —                                   | 0,192  | "                          | —                        |
| Bernsteinsäure . . . . .        | 86,7                      | —                                   | 0,289  | "                          | —                        |
| Essigsäure . . . . .            | 85,0                      | —                                   | 0,244  | "                          | 391                      |
| Chloressigsäure . . . . .       | 85,0                      | —                                   | 0,980  | "                          | 457                      |
| Äthylalkohol . . . . .          | 84,0                      | —                                   | 0,136  | 5,8                        | 351                      |
| Acetaldoxim . . . . .           | 83,5                      | —                                   | 0,289  | 4,4                        | —                        |
| Aceton . . . . .                | 80,85                     | 0,825                               | 0,288  | 15,1                       | 329                      |
| Urethan . . . . .               | 79,35                     | —                                   | 0,428  | 0,5                        | 453                      |
| Oxyisobuttersäure . . . . .     | 78,45                     | —                                   | 0,239  | n. b.                      | 485                      |
| Propionitril . . . . .          | 77,1                      | 4,0                                 | 0,405  | 12,0                       | 371                      |
| Propionsäure . . . . .          | 75,75                     | 0,19                                | 0,366  | n. b.                      | 413                      |
| Methylacetat . . . . .          | 75,0                      | 2,0                                 | 0,471  | 29,4                       | 329,5                    |
| Methyläthylketon . . . . .      | 72,85                     | 2,33                                | 0,330  | 22,2                       | 353                      |
| Diäthylamin . . . . .           | 68,8                      | 0,54                                | 0,746  | 39,5                       | 330,5                    |
| Piperidin . . . . .             | 67,5                      | 0,60                                | 0,603  | 31,2                       | 383                      |
| Anilin . . . . .                | 65,5                      | 10,4                                | 1,252  | 0,2                        | 457                      |
| Äthylacetat . . . . .           | 62,8                      | 10,0                                | 0,543  | 42,6                       | 346                      |
| Buttersäure . . . . .           | 61,3                      | 1,29                                | 0,573  | 0,7                        | 435,5                    |
| Methylpropylketon . . . . .     | 58,2                      | 12,2                                | 0,701  | 32,1                       | 376                      |
| Dimethyläthylcarbinol . . . . . | 54,5                      | 1,15                                | 0,480  | 21,8                       | 375,5                    |
| Isoamylalkohol . . . . .        | 37,4                      | 2,84                                | 0,786  | 14,5                       | 404,5                    |

Die Tabelle lehrt zunächst, daß, ganz der Erwartung gemäß, im großen und ganzen Haftdruck, Teilungskoeffizient und Adsorp-



tion parallel gehen. Mehr ist nach dem, was oben S. 883 ausgeführt wurde, nicht zu erwarten, da die letzten beiden Größen auch vom Haftdruck Substanz: Benzol und Substanz: Kohle abhängen. Dahingegen wäre es vielleicht möglich, durch Bestimmung der Oberflächenspannung der betreffenden Benzollösungen den Teilungskoeffizienten als die Differenz der Haftdrucke zu bestimmen.

Es sei hingewiesen auf die nahezu gleichen Oberflächenspannungen, aber sehr ungleichen Teilungskoeffizienten der Isomeren Methylacetat: Propionsäure und Äthylacetat: Buttersäure, ferner auf das Ansteigen der Teilungs- und Adsorptionskoeffizienten in homologen Reihen wie Essigsäure: Propionsäure: Buttersäure. Am bemerkenswertesten ist aber das Ergebnis, daß, erst wenn der Haftdruck des Stoffes in Wasser unter einen gewissen Schwellenwert (Steighöhe etwa 81 mm) sinkt, ein Eintritt in das Benzol stattfindet. Stoffe, wie Essigsäure und Äthylalkohol, gehen selbst nicht spurenweise in das Benzol, und umgekehrt, selbst wenn diese Stoffe in größten Mengen im Benzol gelöst werden, gehen sie vollständig in das Wasser über.

Als eine 20proz. Alkohollösung mit Wasser geschüttelt wurde, ergab die Kapillaritätsbestimmung der wässrigen Phase, daß schon beim ersten Schütteln so gut wie sämtlicher Alkohol in das Wasser gewandert war, und beim nochmaligen Schütteln zeigte die wässrige Phase die Oberflächenspannung des reinen Wassers. Von einem Teilungskoeffizienten und der Anwendung von HENRY'S Satze kann also hier nicht die Rede sein.

Wird die Lösung eines Stoffes in Benzol oder anderen ähnlichen organischen Lösungsmitteln mit Wasser in Berührung gebracht, so findet eine Verteilung nur statt, wenn der Haftdruck des Stoffes in Wasser kleiner ist als ein gewisser Schwellenwert, anderenfalls wandert der Stoff vollständig in das Wasser. Ist der Haftdruck des betreffenden Stoffes dagegen in Wasser = 0, so bleibt der Stoff völlig im Benzol gelöst.

Es ist nicht unmöglich, daß in Wasser lösliche Stoffe von sehr geringem Haftdruck, wie Chloroform, Äthylchlorid, Äthyl-

jodid usw.<sup>1)</sup> beim Schütteln mit Benzol völlig in dieses Lösungsmittel übergehen. Die Verteilung wäre alsdann an eine untere und eine obere Grenze gebunden, welche von dem relativen Haftdruck abhängt.

Es seien schließlich noch einige Teilungskoeffizienten bei 16 bis 18° von mir veröffentlicht, welche die Abhängigkeit von den relativen Mengenverhältnissen dartun.

| Mol./Liter |                                 | Wässrige<br>Lösung<br>ccm | Benzol<br>ccm                  | $\frac{x}{a-x}$ |
|------------|---------------------------------|---------------------------|--------------------------------|-----------------|
| 0,25       | Dimethyläthylcarbinol . . . . . | 30                        | 30                             | 1,15            |
| 0,125      | Dimethyläthylcarbinol . . . . . | 30                        | 30                             | 1,00            |
| 0,25       | Methyläthylketon . . . . .      | 30                        | 5                              | 0,330           |
| 0,25       | Methyläthylketon . . . . .      | 30                        | 30                             | 2,33            |
| 0,125      | Methyläthylketon . . . . .      | 30                        | 30                             | 3,03            |
| 0,25       | Methylpropylketon . . . . .     | 30                        | 30                             | 12,2            |
| 0,125      | Methylpropylketon . . . . .     | 30                        | 30                             | 9,0             |
| 0,25       | Anilin . . . . .                | 30                        | 30                             | 10,4            |
| 0,125      | Anilin . . . . .                | 30                        | 30                             | (10,4)          |
| 0,25       | Propionitril . . . . .          | 30                        | 5                              | 0,543           |
| 0,25       | Propionitril . . . . .          | 30                        | 20                             | 2,086           |
| 0,25       | Propionitril . . . . .          | 30                        | 30                             | 4,000           |
| 0,25       | Propionitril . . . . .          | 30                        | Schwefel-<br>kohlenstoff<br>30 | 0,667           |

### 10. Kompressibilität und Haftdruck.

In bezug auf die nahen Beziehungen von Kompressibilität, Oberflächenspannung und Binnendruck kann ich mich kurz fassen und auf die Ausführungen von GEFFKEN, l. c., S. 290, sowie FREUNDLICH, l. c., S. 436, verweisen.

VAN DER WAALS hat in seinem berühmten Buche über die Kontinuität usw. zuerst eine Gleichung abgeleitet, nach welcher Binnendruck und Kompressionskoeffizient in reziproker Beziehung stehen. Es sind ferner zu erwähnen die Arbeiten von RÖNTGEN

<sup>1)</sup> I. TRAUBE, Pflügers Arch., l. c., S. 549.

und SCHNEIDER<sup>1)</sup>, GUINCHANT<sup>2)</sup>, GUILBAUT<sup>3)</sup>, DRUCKER<sup>4)</sup> und TH. W. RICHARDS<sup>5)</sup>.

Folgendes ist nach RÖNTGEN und SCHNEIDER die Anordnung der Ionen für die Alkalisalze und Säuren:

Kationen.

Kompressibilität . . . Na < K < Li < NH<sub>4</sub> < H.  
Haftdruck . . . . . Na > K > Li (hydr.) > NH<sub>4</sub> > H.

Anionen.

Kompressibilität . . . CO<sub>3</sub> < SO<sub>4</sub> < OH < Cl < Br < NO<sub>3</sub> < J.  
Haftdruck . . . . . CO<sub>3</sub> > SO<sub>4</sub> > OH > Br > Cl > NO<sub>3</sub> > J.

Man erkennt die vortreffliche Übereinstimmung.

Auch auf die Beziehungen wurde bereits hingewiesen<sup>6)</sup>, welche zwischen Oberflächenspannung und der Verschiebung der Temperatur des Dichtemaximums für Wasser bestehen. Indessen die Reihenfolge der Ionen ist hier weniger gut übereinstimmend als für die Kompressibilität und Haftdruck. Gut kommt aber die Übereinstimmung zum Ausdruck, wenn man die Messungen von MÜLLER<sup>7)</sup> über den Einfluß organischer Stoffe auf jene Temperatur mit der von mir gemessenen Oberflächenspannung der betreffenden Lösungen vergleicht. Ich möchte indessen nicht näher hierauf eingehen; es besteht eine anscheinend völlige Parallelität.

## 11. Plasmolyse und Haftdruck.

DE VRIES<sup>8)</sup> berechnet auf Grund seiner plasmolytischen Versuche nebenstehende isotonische Koeffizienten.

Es ist unverkennbar, daß hier eine Parallelität der Werte statthat. Die erhebliche Abweichung bei Weinsäure darf nicht befremden, da bei plasmolytischen und ebenso bei hämolytischen

<sup>1)</sup> RÖNTGEN und SCHNEIDER, Wiedem. Ann. 29, 165, 1886.

<sup>2)</sup> GUINCHANT, C. R. 132, 469, 1901.

<sup>3)</sup> GUILBAUT, ZS. f. physik. Chem. 24, 385, 1897.

<sup>4)</sup> DRUCKER, ebenda 52, 641, 1905.

<sup>5)</sup> RICHARDS, ebenda 61, 449, 1908.

<sup>6)</sup> Siehe GEFFKEN und FREUNDLICH, l. c.

<sup>7)</sup> W. MÜLLER, ZS. f. physik. Chem. 43, 109, 1903.

<sup>8)</sup> DE VRIES, ZS. f. physik. Chem. 2, 427, 1888 und 3, 109, 1889.

|                            | Isotonische<br>Koeffizienten | Haftdrucke $\times 100$ |
|----------------------------|------------------------------|-------------------------|
| Harnstoff . . . . .        | 100                          | 3                       |
| Glycerin . . . . .         | 105                          | — 4                     |
| Dextrose . . . . .         | 107                          | 12                      |
| Rohrzucker . . . . .       | 111                          | 20                      |
| Weinsäure . . . . .        | (119)                        | 3                       |
| Magnesiumsulfat . . . . .  | 125                          | 17                      |
| Kaliumnitrat . . . . .     | 176                          | 9,5                     |
| Natriumnitrat . . . . .    | 176                          | —                       |
| Kaliumacetat . . . . .     | 176                          | —                       |
| Kaliumchlorid . . . . .    | 169 (181)                    | 14                      |
| Ammoniumchlorid . . . . .  | 176 (182)                    | 13                      |
| Natriumchlorid . . . . .   | 181                          | 16                      |
| Lithiumchlorid . . . . .   | 192                          | 16,5                    |
| Kaliumsulfat . . . . .     | 23 <sup>1)</sup>             | 34                      |
| Strontiumchlorid . . . . . | 269                          | 37                      |
| Calciumchlorid . . . . .   | 278                          | 41                      |
| Magnesiumchlorid . . . . . | 279                          | 39                      |

Versuchen Säuren nicht mit indifferenten Stoffen verglichen werden dürfen<sup>1)</sup>.

Bei den Anionen der Alkalisalze haben wir in beiden Fällen die Reihenfolge  $\text{NO}_3\text{—Cl—SO}_4$ . Bei den Kationen der alkalischen Erden ist die Reihenfolge  $\text{SO}_4\text{—Cl}$  und  $\text{Sr—Ca}$ <sup>2)</sup>.

## 12. Dampfdruck und Haftdruck.

Nach GIBBS Theorem konzentrieren sich Stoffe von geringem Haftdruck im Lösungsmittel in der Oberfläche. Je geringer der Haftdruck ist, um so größer muß somit auch das Bestreben sein, die Oberfläche zu verlassen, und von Stoffen, welche gleichen Siedepunkt haben, muß der Dampfdruck um so größer sein, je geringer der Haftdruck ist; umgekehrt müssen Stoffe von gleichem Haftdruck immer um so größeren Dampfdruck zeigen, je niedriger der Siedepunkt ist.

<sup>1)</sup> I. TRAUBE, Biochem. ZS. 10, 376, 1908.

<sup>2)</sup> Vgl. HÖBER, Biochem. ZS. 14, 209, 1908. Der Einfluß auf die Hämolyse ist für  $\text{SO}_4 < \text{Cl} < \text{Br}$ ,  $\text{NO}_3 < \text{J}$  und  $\text{Li}$ ,  $\text{Na} < \text{Cs}$ ,  $\text{Rb} < \text{K}$ .

Die Tabelle auf S. 901 zeigt die volle Bestätigung dieser Forderungen der Theorie. Da es mir nur auf relative Dampfdrucke ankam, habe ich mich einstweilen damit begnügen können, die Bestimmungen in dem für technische Zwecke vielfach angewandten GEISSLERschen Vaporimeter bei 100° vorzunehmen. Der Nullpunkt mußte demnach willkürlich angenommen werden. Es ist daher allen Dampfdruckwerten eine gewisse unbekannte Größe  $a$  cm hinzuzufügen. Bei den Lösungen der Stoffe, wo sich die Bezeichnung n. b. (nicht bestimmbar) findet, ist der Dampfdruck in bezug auf den willkürlich gewählten Nullpunkt negativ.

Da die Stoffe nach der Größe des Haftdruckes (der kapillaren Steighöhe) geordnet sind, so haben zwei benachbarte Glieder annähernd gleichen Haftdruck; man erkennt beim Vergleiche zweier solcher Glieder allgemein, daß eine Zunahme des Siedepunktes einer Abnahme des Dampfdruckes entspricht und umgekehrt. Ebenso hat bei annähernd gleichem Siedepunkte (vgl. Methylacetat und Diäthylamin; Methyläthylketon und Äthylalkohol; Propionitril und Methylpropylketon) die Lösung von geringerer Oberflächenspannung den größeren Dampfdruck. Bei Lösungen von Stoffen homologer Reihen (Äthylalkohol—Amylalkohol usw.) nimmt der Dampfdruck zu mit wachsendem Molekulargewicht trotz des höheren Siedepunktes der gelösten Substanz. Bei Feststellung der quantitativen Beziehungen zwischen Dampfdruck, Haftdruck und Siedepunkt sind vielleicht die sogenannten assoziierten Stoffe besonders zu behandeln.

Wenn gelöste Stoffe die Oberflächenspannung des Wassers vergrößern, so zeigt nach GIBBS die Oberfläche eine Konzentrationsabnahme. Je größer der molekulare Haftdruck eines solchen Stoffes, beispielsweise eines Salzes ist, um so geringer müßte die Konzentration der Oberfläche sein, um so größer müßte die molekulare Dampfdruckverminderung werden; andererseits aber muß der größere Haftdruck bzw. Binnendruck die Verdampfung erschweren, so daß sich hier also entgegengesetzt wirkende Einflüsse geltend machen; auch die Hydratbildungen müssen die Konzentration der Oberfläche beeinflussen.

Obwohl somit die Verhältnisse hier keineswegs ganz einfach liegen, zeigt sich doch eine ziemlich weitgehende Parallelität zwischen molekularer Dampfdruckverminderung oder Siedepunkts-

erhöhung und molekularem Haftdruck. Ich begnüge mich damit, auf die Dampfdruckmessungen von TAMMANN <sup>1)</sup>, sowie die Siedepunktsbestimmungen von KAHLBERG <sup>2)</sup>, SMITS <sup>3)</sup>, LANDSBERGER <sup>4)</sup> und BILTZ <sup>5)</sup> hinzuweisen und fasse die Folgerungen in folgende Tabelle zusammen:

## Kationen:

- Mol. Dampfdruckverminderung:  $\text{NH}_4 < \text{K} < \text{Rb} < \text{Na} < \text{Li}$ ;  
 $\text{Ba} < \text{Sr} < \text{Mg} < \text{Ca}$ .  
 „ Siedepunktserhöhung:  $\text{Cs} < \text{Rb} < \text{K} < \text{Na} < \text{Li}$ ;  $\text{Ba} < \text{Ca}$ .  
 „ Haftdruck:  $\text{Cs} < \text{Rb} < \text{NH}_4 < \text{K} < \text{Na} < \text{Li}$ ;  $\text{Ba} < \text{Sr} < \text{Mg} < \text{Ca}$ .

## Anionen der Alkalisalze:

- Mol. Dampfdruckverminderung:  $\text{NO}_3 < \text{ClO}_3 < \text{F}, \text{ClO}_4 < \text{CNS} < \text{Cl} < \text{Br}$   
 $< \text{J} < \text{SO}_4 < \text{OH} < \text{CO}_3 < \text{MO}_4 < \text{WO}_4$ .  
 „ Siedepunktserhöhung:  $\text{NO}_3 < \text{Cl} < \text{Br} < \text{ClO}_3 < \text{J}$ .  
 „ Haftdruck:  $\text{ClO}_3 < \text{CNS}, \text{J} < \text{NO}_3 < \text{Cl} < \text{Br} < \text{OH} < \text{F} < \text{SO}_4$ ,  
 $\text{CO}_3 < \text{MO}_4 < \text{WO}_4$ .

## Anionen der Salze der Magnesiumreihe:

- Mol. Dampfdruckverminderung:  $\text{SO}_4 < (\text{ClO}_3)_2 < \text{Cl}_2$ .  
 „ Siedepunktserhöhung:  $\text{SO}_4 < \text{Cl}_2$ .  
 „ Haftdruck:  $\text{SO}_4 < (\text{ClO}_3)_2 < \text{Cl}_2$ .

## 13. Gefrierpunkt und Haftdruck.

In Anbetracht der nahen Beziehungen von Dampfdruck- und Gefrierpunktserniedrigung gilt für die Gefrierpunkte der Salzlösungen dasselbe, was soeben über die Dampfdrucke jener Lösungen mitgeteilt wurde.

Unter Benutzung der Werte von JONES <sup>6)</sup> und BILTZ <sup>7)</sup> ziehe ich die in der Tabelle enthaltenen Folgerungen:

<sup>1)</sup> TAMMANN, Ak. St. Petersburg 35, No. 9, 1887. Ref. ZS. f. physik. Chem. 2, 42, 1888.

<sup>2)</sup> KAHLBERG, Journ. phys. chem. 5, 366, 1901.

<sup>3)</sup> SMITS, ZS. f. physik. Chem. 39, 418, 1902.

<sup>4)</sup> LANDSBERGER, ZS. f. anorg. Chem. 17, 452, 1898.

<sup>5)</sup> BILTZ, ZS. f. physik. Chem. 40, 208, 1902.

<sup>6)</sup> JONES und GETMAN, ZS. f. physik. Chem. 46, 244, 1902 u. 49, 385, 1904, sowie Publ. of the Carnegie Instit. 1907.

<sup>7)</sup> BILTZ, ZS. f. physik. Chem. 40, 186, 1902.

Kationen:

Mol. Gefrierpunktserniedrigung  $Cs < Rb < K < NH_4 < Na < Li < H$ ;  
 $Ba < Sr < Ca < Mg$ .  
 „ Haftdruck . . . . .  $H < Cs < Rb < NH_4 < K < Na < Li$ ;  
 $Ba < Sr < Mg < Ca$ .

Anionen der Alkalisalze:

Mol. Gefrierpunktserniedrigung  $NO_3 < SCN < CN < F < Cl < Br < J$   
 $< OH < SO_4 < CO_3$ .  
 „ Haftdruck . . . . .  $SCN, J < CN < NO_3 < Cl < Br < OH$   
 $< F < SO_4 < CO_3$ .

Anionen in der Magnesiumreihe:

Mol. Gefrierpunktserniedrigung  $SO_4 < Cl_2$ .  
 „ Haftdruck . . . . .  $SO_4 < Cl_2$ .

Man erkennt vielfache Übereinstimmungen, aber auch mehrfache beträchtliche Abweichungen in der Reihenfolge; am auffallendsten ist die Abweichung in der Stellung des Wasserstoffes.

#### 14. Reibung und Haftdruck.

Auf die immer wiederkehrende Reihenfolge der Ionen  $NO_3$ ,  $Cl$  und  $SO_4$  in bezug auf innere Reibung der Salzlösungen ist schon von FREUNDLICH u. a. hingewiesen worden.

Auf Grund der Arbeiten von REYHER<sup>1)</sup>, WAGNER<sup>2)</sup> und EULER<sup>3)</sup> gelange ich zu folgender Zusammenstellung:

Kationen:

Zunahme der inneren Reibung  $Li > Na > H > Ag > K > NH_4 > Rb > Cs$ ;  
 $Mg > Ca > Sr > Ba$ .  
 Haftdruck . . . . .  $Li(wfr.) > Na > Ag > K > NH_4 > Rb > Cs > H$ ;  
 $Ca > Mg > Sr > Ba$ .

Anionen:

Zunahme der inneren Reibung  $SO_4 > OH > Cl > Br > NO_3$ .  
 Haftdruck . . . . .  $SO_4 > OH > Br > Cl > NO_3$ .

Man erkennt, daß wiederum insbesondere der Wasserstoff sich anormal verhält.

<sup>1)</sup> REYHER, ZS. f. phys. Chem. 2, 744, 1888.

<sup>2)</sup> WAGNER, ebend. 5, 30, 1890.

<sup>3)</sup> EULER, ebend. 25, 536, 1898.

### 15. Diffusionskoeffizient und Haftdruck.

Aus den Arbeiten von VOIGTLÄNDER<sup>1)</sup> und HAUSMANN<sup>2)</sup> ergibt sich folgende Reihenfolge der Kationen in bezug auf die Geschwindigkeit der Diffusion:

Diffusionskoeffizient  $\text{Li} < \text{Na} < \text{NH}_4 < \text{K} < \text{H}; \text{Ca} < \text{Mg} < \text{Sr} < \text{Ba}.$   
 Haftdruck . . . .  $\text{Li} > \text{Na} > \text{K} > \text{NH}_4 > \text{H}; \text{Ca} > \text{Mg} > \text{Sr} > \text{Ba}.$

### 16. Ionengeschwindigkeit, elektrisches Leitvermögen und Haftdruck.

In umstehender Tabelle finden sich die aus den Natriumsalzen berechneten Anionengeschwindigkeiten nach BREDIG<sup>3)</sup>, und daneben die von mir gefundenen molekularen Haftdrucke für die freien Säuren, sowie deren Natrium- und Kaliumsalze bei 15°.

Ein Vergleich der Werte der ersten beiden Kolonnen zeigt, daß mit wenigen Ausnahmen die Geschwindigkeiten der Anionen um so größer sind, je größer die Haftdrucke der Wasserstoffverbindungen sind.

Diese Beziehung erscheint mir sehr beachtenswert; auch sei darauf hingewiesen, daß für die Natrium- (und ebenso Kalium-) Verbindungen die Parallelität weniger vollkommen ist.

Die folgende Tabelle (S. 911) enthält die Geschwindigkeiten der Kationen und die molekularen Haftdrucke der betreffenden Nitrate und Chloride.

Es ist wohl unverkennbar, daß im allgemeinen die Geschwindigkeit der Kationen um so größer ist, je kleiner der Haftdruck der betreffenden Salze ist.

Eine Ausnahme bildet anscheinend nur das Thallium<sup>4)</sup>.

Während somit die Geschwindigkeit der Anionen mit wachsendem Haftdrucke zunimmt, nimmt die Geschwindigkeit der Kationen mit zunehmendem Haftdrucke ab. Dieses Ergebnis erscheint mir höchst bedeutungsvoll

<sup>1)</sup> VOIGTLÄNDER, ebend. 3, 333, 1888.

<sup>2)</sup> HAUSMANN, ZS. f. anorg. Chem. 40, 129, 1904.

<sup>3)</sup> BREDIG, ZS. f. phys. Chem. 13, 228, 1894.

<sup>4)</sup> Über das Lithium vgl. S. 892 dieser Arbeit.



|   | Geschwindigkeit | Mol. Haftdruck<br>der Säure | Mol. Haftdruck<br>des Natriumsalzes: |
|---|-----------------|-----------------------------|--------------------------------------|
| OH. . . . .   | 167,0           | ± 0,0                       | (+ 0,18)                             |
| Cl . . . . .  | 70,2            | — 0,05                      | + 0,16                               |
| Br . . . . .  | 73,0            | — 0,075                     | (+ 0,18)                             |
| NO <sub>3</sub> . . . . .   | 65,1            | — 0,11                      | + 0,14                               |
| J . . . . .   | 72,0            | — 0,14                      | + 0,04                               |
| ClO <sub>3</sub> . . . . .  | 59,0            | — 0,19                      | + 0,075                              |
| HCO <sub>2</sub> . . . . .  | 51,2            | — 0,46                      | + 0,135                              |
| CH <sub>3</sub> CO <sub>2</sub> . . . . .                             | 38,3            | — 1,25                      | + 0,04                               |
| CH <sub>2</sub> ClCO <sub>2</sub> . . . . .                           | 37,3            | — 1,31                      | + 0,01                               |
| CH <sub>2</sub> BrCO <sub>2</sub> . . . . .                           | 36,2            | — 1,45                      | —                                    |
| CHCl <sub>2</sub> CO <sub>2</sub> . . . . .                           | 35,4            | — 2,10                      | — 0,19                               |
| C <sub>2</sub> H <sub>5</sub> CO <sub>2</sub> . . . . .               | 34,3            | — 2,48                      | —                                    |
| CCl <sub>3</sub> CO <sub>2</sub> . . . . .                            | 32,8            | — 2,48                      | — 0,74                               |
| C <sub>3</sub> H <sub>7</sub> CO <sub>2</sub> <sup>1)</sup> . . . . . | 30,9            | — 4,04                      | —                                    |
| C <sub>3</sub> H <sub>7</sub> CO <sub>2</sub> <sup>2)</sup> . . . . . | 30,7            | — 3,99                      | —                                    |
| SO <sub>4</sub> . . . . .   | 73,5            | — 0,03                      | + 0,38                               |
| C <sub>6</sub> H <sub>5</sub> O <sub>4</sub> <sup>3)</sup> . . . . .  | 62,2            | (— 0,7)                     | —                                    |
| C <sub>4</sub> H <sub>7</sub> O <sub>4</sub> <sup>4)</sup> . . . . .  | 59,6            | (— 0,6)                     | —                                    |
| C <sub>4</sub> H <sub>5</sub> O <sub>4</sub> <sup>5)</sup> . . . . .  | 58,9            | (— 0,8)                     | —                                    |
| C <sub>4</sub> H <sub>3</sub> O <sub>4</sub> <sup>6)</sup> . . . . .  | 57,9            | — 0,03                      | + 0,30                               |
| C <sub>4</sub> H <sub>1</sub> O <sub>4</sub> <sup>7)</sup> . . . . .  | 56,2            | — 1,0                       | + 0,36                               |

und steht gewiß mit dem elektrochemischen Gegensatze der beiden Ionenarten und ihrem elektrokapillaren Verhalten im engsten Zusammenhange.

Es sei daran erinnert, daß das Fällungsvermögen der Ionen für Eiweiß<sup>8)</sup> sich umkehrt, je nachdem das Eiweiß sich in saurer oder alkalischer Lösung befindet (siehe auch w. u. spezifische Wärme und Zersetzungsspannung).

<sup>1)</sup> Isobuttersäure.

<sup>2)</sup> Buttersäure.

<sup>3)</sup> Malonsäure.

<sup>4)</sup> Maleinsäure.

<sup>5)</sup> Fumarsäure.

<sup>6)</sup> Weinsäure.

<sup>7)</sup> Bernsteinsäure.

<sup>8)</sup> Vgl. HÖBER, Physikalische Chemie der Zelle und Gewebe. 2. Aufl., S. 245, 1906.

|                           | Geschwindigkeit<br>bei 25° | Mol. Haftdruck<br>der Nitrate | Mol. Haftdruck<br>der Chloride |
|---------------------------|----------------------------|-------------------------------|--------------------------------|
| H. . . . .                | 325                        | — 0,11                        | — 0,05                         |
| Cs . . . . .              | 73,6                       | —                             | + 0,09                         |
| Rb . . . . .              | 73,5                       | —                             | + 0,12                         |
| NH <sub>4</sub> . . . . . | 70,4                       | + 0,12                        | + 0,13                         |
| K. . . . .                | 70,6                       | + 0,125                       | + 0,14                         |
| Tl . . . . .              | 69,5                       | (0,0)                         | —                              |
| Ag . . . . .              | 59,1                       | 0,13                          | —                              |
| Na . . . . .              | 49,2                       | 0,14                          | 0,16                           |
| Li (hydr.) . . .          | 39,8                       | (0,09)                        | (0,15)                         |
| Ba . . . . .              | (64)                       | —                             | 0,35                           |
| Sr . . . . .              | (63)                       | —                             | 0,37                           |
| Ca . . . . .              | (62)                       | —                             | 0,41                           |
| Mg . . . . .              | (58)                       | —                             | 0,39                           |

Daß übrigens die Geschwindigkeit zum mindesten bei den komplizierten zusammengesetzten Kationen nicht allein vom Haftdrucke abhängt, zeigt das Verhalten der Kationen  $N(C_2H_5)_4$  und  $P(C_2H_5)_4$ . Die Ionengeschwindigkeiten sind nach BREDIG 32,2 bzw. 30,6; die aus den Jodiden berechneten molekularen Haftdrucke indessen nur — 0,39 bzw. — 0,71.

GARRARD und OPPERMANN<sup>1)</sup> haben, indem sie einem Elektrolyten einen Nichtelektrolyten zusetzten, durch Bestimmung der Konzentrationsänderung des letzteren die Wassermenge bestimmt, welche mit dem Elektrolyten wanderte und sie sind zu dem Ergebnisse gelangt, daß in den von ihnen untersuchten Fällen die Zahl der wandernden Wassermoleküle sich für die Ionen  $NO_3$ , Br, Cl,  $SO_4$  verhielt wie 2,5:4:5:9. Also auch hier erkennen wir die Reihenfolge der Haftdrucke wieder.

### 17. Zersetzungsspannung, elektrochemischer Gegensatz der Ionen und Haftdruck.

Nach WILSMORE und NERNST<sup>2)</sup> ist folgendes die Reihenfolge der Anionen in bezug auf die Zersetzungsspannung; daneben

<sup>1)</sup> Siehe GARRARD und OPPERMANN, Gött. Nachr. 1900, S. 86 und SMIRNOW, ZS. f. phys. Chem. 58, 681, 1907.

<sup>2)</sup> WILSMORE, ZS. f. phys. Chem. 35, 318, 1900 und NERNST, Theor. Chem.

finden sich die Haftdrucke der Kaliumverbindungen und freien Säuren:

|                           | Zersetzungsspannung | Haftdruck<br>des Kaliumsalzes | Haftdruck<br>der Säure |
|---------------------------|---------------------|-------------------------------|------------------------|
| SO <sub>4</sub> . . . . . | — 1,9               | 0,34                          | — 0,03                 |
| Fl . . . . .              | — 1,87              | 0,20                          | —                      |
| OH . . . . .              | — 1,68              | 0,165                         | —                      |
| Cl . . . . .              | — 1,35              | 0,14                          | — 0,05                 |
| Br . . . . .              | — 0,99              | 0,16                          | — 0,075                |
| J . . . . .               | — 0,52              | 0,06                          | — 0,145                |

Je größer der Haftdruck der Anionen ist, um so größer ist im allgemeinen die Zersetzungsspannung. Bei den Kationen scheint es umgekehrt zu sein, denn nach WILSMORE nimmt die Zersetzungsspannung ab von K:Na, von Ba:Sr:Ca, Mg, indessen wir dürfen nicht vergessen, daß neben dem Haftdruck auch der Binnendruck<sup>1)</sup> des Metalls entscheidend ist für Größe und Vorzeichen der Zersetzungsspannung. Kalium hat eben einen geringeren Binnendruck als Natrium usw.

Die künftige Theorie der galvanischen Ketten wird weder den Begriff des osmotischen Druckes noch denjenigen der elektrolytischen Lösungstension kennen, sondern den Binnendruck der Elektrodenelemente und den Haftdruck der Elektrolyte in die Gleichungen einzuführen haben.

Wenn man die einwertigen Ionen nach der Größe ihres Haftdruckes in der Weise in einer Reihe ordnet, daß man mit dem Kation von geringstem Haftdruck beginnt und mit dem Anion mit größtem Haftdrucke aufhört, so ergibt sich folgende Reihenfolge:

H, Cs, Rb, NH<sub>4</sub>, K, Na, Li . . . J, Br, Cl, OH, Fl.

Die Beziehung von Haftdruck und elektrochemischem Gegensatz ist hier unverkennbar. An einem Ende der Reihe

<sup>1)</sup> Siehe die von mir berechneten Binnendrucke der Elemente. ZS. f. anorg. Chem. 34, 413, 1903.

steht der Wasserstoff, am anderen Ende Fluor und die Hydroxylgruppe.

### 18. Die spezifische Wärme und der Haftdruck.

Während die spezifische Wärme des Wassers durch Auflösung von Stoffen, von Salzen usw., also von Stoffen mit großem Haftdrucke, im allgemeinen verringert wird, erfährt dieselbe durch Auflösung organischer Stoffe, insbesondere von geringem Haftdruck, eine Vergrößerung.

Aus den Werten der Alkali- und Silbersalze und -säuren von MARIIGNAC<sup>1)</sup> und J. THOMSEN<sup>2)</sup> ergibt sich, wie ich fand, folgende Reihenfolge der Ionen:

#### Anionen:

Verminderung der Molekularwärme  $C_2H_5O < NO_3 < J < Cl < Br < OH$   
 $< SO_4, CO_3.$   
 Mol. Haftdruck . . . . .  $C_2H_5O < J < NO_3 < Cl < Br < OH$   
 $< SO_4 < CO_3.$

#### Kationen:

Verminderung der Molekularwärme  $NH_4 < Na < K < Ag < H.$   
 Mol. Haftdruck . . . . .  $Na > K > NH_4 > Ag > H.$

Während demnach die spezifische Wärme in der Reihe der Anionen mit zunehmendem Haftdrucke abnimmt, nimmt dieselbe in der Reihe der Kationen, wenn man von dem zusammengesetzten Ion  $NH_4$  absieht, mit wachsendem Haftdrucke zu.

Wir haben hier somit dieselbe Heterogenität im Verhalten der Ionen, wie bei den Ionengeschwindigkeiten, sowie in bezug auf die Fällung des Eiweiß (vgl. S. 910 dieser Mitteilung).

Leider fehlt es einstweilen noch an einer methodischen Untersuchung von spezifischen Wärmen wässriger Lösungen organischer Stoffe<sup>3)</sup>, aber die vorhandenen Werte<sup>4)</sup> sprechen durchaus dafür,

<sup>1)</sup> MARIIGNAC, Ann. chim. phys. (5) 8, 410, 1876. Vgl. OSTWALD, Lehrb. allg. Chem. 1, 599, 1891.

<sup>2)</sup> THOMSEN, Thermochemie. Übersetzt von I. Traube. Stuttgart, Enke. Vgl. auch OSTWALD, l. c., S. 597.

<sup>3)</sup> Dieselbe ist von mir beabsichtigt.

<sup>4)</sup> Vgl. LANDOLT-BÖRNSTEIN-MEYERHOFFERS Tabellen.

daß die Vergrößerung der spezifischen Wärme des Wassers der Verminderung des Haftdruckes parallel geht.

Bemerkenswert sind die folgenden Zahlenwerte aus den Untersuchungen von MARIIGNAC:

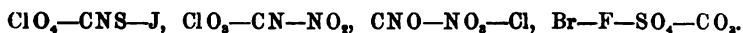
|                              | Molekularwärme<br>von 2 Äqu. in 200 Mol.<br>Wasser in cal. | Differenz |
|------------------------------|--|-----------|
| $K_2Cl_2$ . . . . .          | 3558   | + 14      |
| $H_2Cl_2$ . . . . .          | 3544   |           |
| $K_2N_2O_8$ . . . . .        | 3608   | + 19      |
| $H_2N_2O_8$ . . . . .        | 3584   |           |
| $K_2SO_4$ . . . . .          | 3571   | - 33      |
| $H_2SO_4$ . . . . .          | 3604   |           |
| $K_2C_2O_4$ . . . . .        | 3579   | - 42      |
| $H_2C_2O_4$ . . . . .        | 3621   |           |
| $K_2(C_2H_3O_2)_2$ . . . . . | 3625   | - 48      |
| $H_2(C_2H_3O_2)_2$ . . . . . | 3673   |           |

### 19. Lösungs- und Verdünnungswärmen, sowie Haftdruck.

In der folgenden Tabelle wurden auf Grund der Angaben von LANDOLT-BÖRNSTEIN-MEYERHOFFERS Tabellen die molekularen Lösungswärmen einiger Kalium- und Ammoniumsalze zusammengestellt.

|                     | Mol.<br>Wasser | Lösungs-<br>wärme<br>in Cal. |                          | Mol.<br>Wasser | Lösungs-<br>wärme<br>in Cal. |
|---------------------|----------------|------------------------------|--------------------------|----------------|------------------------------|
| $KClO_4$ . . . . .  | 200-400        | - 12,1                       | $K_2CO_3$ . . . . .      | 100            | + 6,5                        |
| $KClO_3$ . . . . .  | 200-400        | - 9,95                       | $NH_4NO_3$ . . . . .     | 200            | - 6,32                       |
| $KNO_3$ . . . . .   | 200            | - 8,5                        | $NH_4CNS$ . . . . .      | ?              | - 5,7                        |
| $K_2SO_4$ . . . . . | 100            | - 6,58                       | $NH_4NO_2$ . . . . .     | 400            | - 4,75                       |
| $KCNS$ . . . . .    | 200            | - 6,1                        | $NH_4CN$ . . . . .       | 820            | - 4,4                        |
| $KCNO$ . . . . .    | 660            | - 5,2                        | $NH_4Br$ . . . . .       | 200            | - 4,4                        |
| $KBr$ . . . . .     | 100            | - 5,24                       | $NH_4Cl$ . . . . .       | 200            | - 3,9                        |
| $KJ$ . . . . .      | 200            | - 5,1                        | $NH_4J$ . . . . .        | 200            | - 3,55                       |
| $KCl$ . . . . .     | 100            | - 4,49                       | $[NH_4]_2SO_4$ . . . . . | 400            | - 2,4                        |
| $KCN$ . . . . .     | 180            | - 2,9                        | $NH_4F$ . . . . .        | -              | - 1,5                        |

Die Reihenfolge der Haftdrucke der Anionen ist:



Bedenkt man, daß die Lösungswärme auch vom Binnendruck des zu lösenden Stoffes abhängt, und nur bei gleichem Binnendrucke einfache Beziehungen zum Haftdrucke zu erwarten sind, so wird man mit der ziemlich weitgehenden Übereinstimmung der Reihen zufrieden sein können.

Vermutlich größer dürfte die Übereinstimmung sein für die Lösungswärmen organischer Stoffe, sowie vor allem auch die Verdünnungswärmen von Salzlösungen usw. Leider fehlt es einstweilen noch an Zahlenmaterial<sup>1)</sup>.

## 20. Neutralisationswärme, Ionisation und Haftdruck.

Dieses Kapitel ist hinreichend bedeutungsvoll, um etwas ausführlicher dabei zu verweilen, denn gerade die Neutralisationswärme hat in der Geschichte der elektrolytischen Dissoziations-theorie eine erhebliche Rolle gespielt und, wie so oft, wenn es sich um die Begründung dieser Theorie handelte, hat man sich mit den Schwierigkeiten in zu leichter Weise abgefunden. Der Umstand, daß eine schwache Säure, wie die Essigsäure, fast die gleiche Neutralisationswärme (13,4 Cal) mit Natron ergibt, wie die starke Salzsäure (13,7 Cal), hätte zu Bedenken Veranlassung geben sollen, anstatt dessen wurde von Herrn OSTWALD die Schwierigkeit beseitigt durch die Annahme, daß die Dissoziationswärme der Essigsäure = 0 sei<sup>2)</sup>.

Man hat den Haftdruck bei diesen Betrachtungen vernachlässigt.

Die Größe der Neutralisationswärme ist abhängig sowohl vom Ionisationsgrade wie von der Differenz der Haftdrucke von Säure bzw. Basis und Salz.

Ist jene Haftdruckdifferenz und ebenso der Ionisationsgrad nur wenig verschieden, wie bei  $\text{NaCl—HCl}$ ,  $\text{NaBr—HBr}$ ,  $\text{NaNO}_3\text{—HNO}_3$ , ferner  $\text{KCl—HCl}$ ,  $\text{LiCl—HCl}$  usw., so ist auch die Neutralisationswärme in erster Annäherung gleich groß. Doch selbst

---

<sup>1)</sup> Ich habe die Absicht, Lösungs- und Verdünnungswärmen zu bestimmen.

<sup>2)</sup> OSTWALD, ZS. f. phys. Chem. 3, 588, 1889.

hier (siehe die folgende Tabelle) gehen die Haftdruckdifferenzen von Salz und freier Säure bzw. Basis den kleinen Differenzen der Neutralisationswärmen parallel.

Wenn aber eine nicht ionisierte schwache Säure, wie die Essigsäure mit Natron, fast dieselbe Neutralisationswärme ergibt, wie die starken Säuren, so liegt dies daran, daß wegen des weitaus geringeren Haftdruckes der Essigsäure die Arbeit, welche erforderlich ist, um die Essigsäure vom Lösungsmittel zu trennen, um so viel geringer ist als die entsprechende Arbeit für Salzsäure, als dem Unterschiede der Ionisationsarbeiten entspricht. Die Ionisationsarbeit ist annähernd gleich der Haftarbeit; aber die Ionisationsarbeit ist nicht, wie OSTWALD u. a. annehmen, gleich 0.

Je stärker ein Stoff oder seine Ionen am Lösungsmittel haften, um so größer wird im allgemeinen auch der Ionisationsgrad sein. Alkalisalze mit zwei basischen Säuren ( $K_2SO_4$ ,  $Na_2CO_3$  usw.), sowie die Chloride, Chlorate usw. der alkalischen Erden haben einen größeren Haftdruck und sind dementsprechend stärker ionisiert als die binären Alkalisalze. Diese wiederum, sowie die starken Säuren  $HCl$ ,  $HNO_3$  usw. sind entsprechend ihrem größeren Haftdruck stärker ionisiert als die schwachen organischen Säuren usw.

Die Sulfate von Magnesium usw. sind weniger ionisiert als die entsprechenden Chloride, haben auch einen geringeren Haftdruck; der Haftdruck (vgl. S. 890, S.-A.) des nicht ionisierten Quecksilberchlorides ist negativ usw. Trotz dieser großen Übereinstimmung ist indessen die Parallelität von Haftdruck und Ionisation keineswegs allgemein, wie das Verhalten der Essigsäure und der halogenierten Essigsäuren (siehe die nebenstehende Tabelle) beweist.

Wie weit die Beziehungen von Neutralisationswärme und Haftdruck gehen, mag nebenstehende Tabelle zeigen.

Bei den einfachen einbasischen anorganischen Säuren ist, wie man erkennt, die Reihenfolge der Anionen in bezug auf die Neutralisationswärmen:  $F-ClO_3$ ,  $Br$ ,  $Cl-NO_3$ .J; und in bezug auf die Haftdrucke der Natriumsalze:  $F-ClBr-NO_3-ClO_3$ .J.

| Anionen  | Neutralisationswärme pro Äqu. in Kalorien nach THOMSEN | Mol. Haftdruck vom Natriumsalz | Mol. Haftdruck der freien Säure | Diff. Na—H |
|--|--|--------------------------------|---------------------------------|------------|
| F . . . . .  | 16,27  | (+ 0,22)                       | —                               | —          |
| Br . . . . .   | 13,75  | (+ 0,14)                       | — 0,07                          | + 0,21     |
| Cl . . . . .   | 13,74  | + 0,16                         | — 0,05                          | + 0,21     |
| J . . . . .  | 13,68  | + 0,04                         | — 0,14                          | + 0,18     |
| NO <sub>3</sub> . . . . .                                | 13,68  | + 0,14                         | — 0,11                          | + 0,25     |
| ClO <sub>3</sub> . . . . .                               | 13,76  | + 0,075                        | — 0,19                          | + 0,26     |
| HCO <sub>2</sub> . . . . .                               | 13,45  | + 0,135                        | — 0,46                          | + 0,60     |
| CH <sub>2</sub> CO <sub>2</sub> . . . . .                | 13,40  | + 0,04                         | — 1,25                          | + 1,29     |
| C <sub>2</sub> H <sub>3</sub> CO <sub>2</sub> . . . . .  | 13,48  | —                              | — 2,48                          | —          |
| C <sub>3</sub> H <sub>7</sub> CO <sub>2</sub> . . . . .  | 13,7   | —                              | — 4,04                          | —          |
| C <sub>4</sub> H <sub>9</sub> CO <sub>2</sub> . . . . .  | 14,0   | —                              | —                               | —          |
| CH <sub>2</sub> ClCO <sub>2</sub> . . . . .              | 14,28  | + 0,01                         | — 1,31                          | + 1,34     |
| CHCl <sub>2</sub> CO <sub>2</sub> . . . . .              | 14,83  | — 0,19                         | — 2,10                          | + 1,91     |
| CCl <sub>3</sub> CO <sub>2</sub> . . . . .               | 13,92  | — 0,74                         | — 2,48                          | + 1,74     |
| ½ SO <sub>4</sub> . . . . .                              | 15,5   | + 0,19                         | — 0,015                         | + 0,20     |
| ½ C <sub>4</sub> H <sub>4</sub> O <sub>4</sub> . . . . . | 12,6   | + 0,15                         | — 0,01                          | + 0,16     |
| ½ C <sub>6</sub> H <sub>4</sub> O <sub>4</sub> . . . . . | —  | + 0,18                         | — 0,50                          | + 0,68     |

Bis auf die Fluorwasserstoffsäure sind die in Anbetracht des nahezu gleichen Ionisationsgrades von Säure und Salz maßgebenden Haftdruckdifferenzen nur wenig verschieden. Die große Neutralisationswärme der Fluorwasserstoffsäure steht vermutlich in engstem Zusammenhange mit der größeren Haftdruckdifferenz. Leider ist indessen der Haftdruck der freien Säure noch unbekannt.

Die Neutralisationswärme nimmt etwas zu von der Essigsäure zur Valeriansäure. Der Ionisationsgrad der freien Säure ist in allen Fällen fast = 0. Dahingegen nimmt der Haftdruck der Säure mit zunehmendem Molekulargewicht erheblich ab und die Haftdruckdifferenz Na—H zu, und demgemäß muß die Neutralisationswärme zunehmen.

Interessant ist das Verhalten der Essigsäure und der chlorierten Essigsäuren.

Die Haftdruckdifferenz Na—H ist für Essigsäure und Monochloressigsäure nahezu gleich, demgemäß müßten auch die Neutralisationswärmen annähernd gleich groß sein, wenn der Ioni-



sationsgrad der beiden Säuren derselbe wäre. Aber entsprechend dem größeren Ionisationsgrade der Chloressigsäure finden wir eine größere Neutralisationswärme. Dem Maximum der Neutralisationswärme bei der Dichloressigsäure entspricht auch ein Maximum der Haftdruckdifferenz.

Von den zweibasischen Säuren, Schwefelsäure, Weinsäure und Bernsteinsäure, haben die ersteren beiden Säuren eine nur wenig verschiedene Haftdruckdifferenz gegenüber den Natriumsalzen. Wegen der größeren Ionisation der Schwefelsäure muß deren Neutralisationswärme auch erheblich größer sein.

Auch die Differenz der spezifischen Wärme von Säure und Natriumsalz (vgl. Tabelle, S. 914) ist übrigens bei den Betrachtungen über Neutralisationswärme nicht zu vernachlässigen.

## 21. Drehung der Polarisations Ebene und Haftdruck.

Ob das Gesetz von OUDEMANS wirklich so streng gültig ist, wie vielfach behauptet wird, mag dahingestellt bleiben. Jedenfalls werden in konzentrierten Lösungen die Drehungen aktiver Säuren und Basen durch Kationen bzw. Anionen derart beeinflußt, daß man an die Reihenfolge der Haftdrucke erinnert wird.

So befolgt beispielsweise die Drehung der Morphinsalze <sup>1)</sup> in konzentrierter Lösung die Reihenfolge  $\text{NO}_3:\text{Cl}:\text{SO}_4$  und der Cinchoninsalze <sup>2)</sup> die Reihenfolge  $\text{Cl}:\text{NO}_3:\text{HCO}_2$ , das ist beidemale die Reihe der Haftdrucke. Die Reihenfolge der Kationen in konzentrierten Lösungen der apfelsauren und weinsauren Salze <sup>3)</sup> ist  $\text{Li}:\text{Na}:\text{K}, \text{NH}_4$ .

Aus den Versuchen von Long <sup>4)</sup> berechne ich, daß eine Lösung von 20 g Seignettesalz in 100 ccm Lösung durch den Zusatz von 0,5 Mol Salz die folgenden Drehungsänderungen erfährt:

|   |        |  |        |
|---|--------|--|--------|
| $\text{KNO}_3$ . . . . .                  | + 0,36 | $\text{KCl}$ . . . . .                     | + 0,53 |
| $\text{KCNS}$ . . . . .                   | + 0,37 | $\text{KBr}$ . . . . .                     | + 0,65 |
| $\text{KC}_2\text{H}_3\text{O}$ . . . . . | + 0,42 | $\text{K}_2\text{C}_2\text{O}_4$ . . . . . | + 0,77 |
| $\text{KJ}$ . . . . .                     | + 0,53 | $\text{K}_2\text{SO}_4$ . . . . .          | + 1,37 |

<sup>1)</sup> Vgl. LANDOLT, Drehungsvermögen II, S. 193, 1898.

<sup>2)</sup> Ebenda, S. 198.

<sup>3)</sup> Vgl. LANDOLT, Drehungsvermögen II, S. 192, 1898.

<sup>4)</sup> Ebenda, S. 217 und Sil. Journ. (3) 36, 351, 1888; 38, 264, 1889 u. 40. 275, 1890.

Die Reihenfolge der Anionen in bezug auf den Haftdruck ist:  
 $C_2H_3O < CNS, J < NO_3 < Cl < Br < Cl < C_2O_4 < SO_4$   
 $< MoO_4 < WO_4$ .

Es ist vielleicht kein Zufall, daß Molybdänsäure und Wolframsäure die Drehung am meisten beeinflussen und den größten Haftdruck haben.

PATTERSON und WINTHER<sup>1)</sup> haben den Einfluß verschiedener Lösungsmittel auf die spezifische Drehung aktiver Stoffe untersucht. Wenn das Molekulargewicht sich nicht ändert, so gilt die Gleichung  $\Delta\alpha = k\Delta v$ , d. h. die Änderung der Drehung ist der Änderung des molekularen Lösungsvolumens proportional. Die Kontraktion ist also maßgebend und damit der Haftdruck der drehenden Substanz zum Lösungsmittel.

## 22. Farb-, Lichtabsorption und Haftdruck.

Hier begnüge ich mich damit, auf die Untersuchungen von J. N. LEWIS<sup>2)</sup> hinzuweisen. LEWIS stellt die Farbänderung fest, welche Lösungen von  $CuBr_2$ ,  $CuCl_2$  und  $CoCl_2$  durch die Gegenwart von Metallchloriden und -bromiden erleiden.

Er findet die Reihenfolge in bezug auf den Einfluß der Färbung:  $K < NH_4, Na < Li < H$ , ferner  $Ba < Sr < Ca < Mg < Be < Al$ . Die mehrwertigen Ionen wirken stärker als die einwertigen Ionen. Man erkennt unschwer die Reihenfolge der Kationen in bezug auf den Haftdruck wieder, denn wegen der großen hydratisierenden Kraft hat zweifellos Beryllium und namentlich Aluminium einen sehr großen Haftdruck. Interessant ist das anomale Verhalten des Wasserstoffs, welches an die Gefrierpunktsanomalie erinnert.

## 23. Reaktionsbeschleunigung, Massenwirkung und Haftdruck.

Sowohl bei der Esterverseifung durch Basen, wie bei der Rohrzuckerinversion durch Säuren übt bekanntlich die Gegenwart von Neutralsalzen einen Einfluß auf die Geschwindigkeitskonstanten aus.

<sup>1)</sup> WINTHER, ZS. f. phys. Chem. 55, 256 u. 56, 703, 1906; 60, 563, 1907.

<sup>2)</sup> LEWIS, ZS. f. phys. Chem. 52, 228, 1905; vgl. auch SMIRNOFF, l. c.

Nach SPOHR<sup>1)</sup> nimmt beispielsweise bei der Essigester-verseifung durch Kalihydrat unter Zusatz molekularer Mengen die Geschwindigkeitskonstante zu von J:Br:NO<sub>3</sub>:ClO<sub>3</sub>:Cl:C<sub>2</sub>O<sub>4</sub>:SO<sub>4</sub>. Die Reihe der Haftdrücke ist J, ClO<sub>3</sub>—NO<sub>3</sub>—Cl, Br—C<sub>2</sub>O<sub>4</sub>—SO<sub>4</sub>. Auch hier spielt, wie sich gleichfalls aus dem weiteren Material<sup>2)</sup> ergibt, der Haftdruck der Ionen eine Rolle.

Während bekanntlich das Massenwirkungsgesetz im Sinne der elektrolytischen Dissoziationstheorie für die starken Elektrolyte nicht gilt, hat BILTZ (l. c.) gezeigt, daß insbesondere Cäsiumnitrat hiervon eine Ausnahme macht. Zweifellos steht dieser Umstand mit dem geringen Haftdruck des NO<sub>3</sub>- und vor allem des Cs-Ions im Zusammenhange.

#### 24. Covolumen und Haftdruck.

In einer größeren Anzahl von Arbeiten über das Volumen der Stoffe<sup>3)</sup> habe ich gezeigt, daß man das Molekularvolumen zerlegen kann in zwei Räume: die Größe  $b$  von VAN DER WAALS, das eigentliche Volumen der Atome, und das Covolumen  $v-b$ , d. i. der Raum, in welchem die Atome sich bewegen. Für dieses Covolumen gilt in allen drei Aggregatzuständen die Zustandsgleichung.

Für Lösungen entspricht dem Molekularvolumen der von mir als molekulares Lösungsvolumen bezeichnete Volumbegriff, d. i. das Volumen der Lösung vermindert um das Volumen des Lösungsmittels bezogen auf 1 Mol. Auch dieses aus der Dichte der Lösung berechenbare Lösungsvolumen ist zerlegbar in die Größe  $b$  und ein Covolumen. Wir begehen nun sicherlich einen keineswegs großen Fehler, wenn wir annehmen, daß die Größe  $b$  in Lösung gleichzusetzen ist der Größe  $b$  im homogenen Zustande. In erster Annäherung dürfte diese Annahme auch für wässrige Lösungen erlaubt sein, obwohl infolge des größeren Binnendruckes auch die Atomräume  $b$  eine Kontraktion erfahren.

<sup>1)</sup> SPOHR, ZS. f. phys. Chem. 2, 209, 1888.

<sup>2)</sup> Vgl. HÖBER, Physik. Chemie der Zelle und Gewebe, II. Auflage, S. 241, 1906.

<sup>3)</sup> Vgl. u. a. Jahrb. d. Radioakt. 3, 168, 1907 und Ann. d. Phys. (4) 22, 519, 1907.

Die Größe  $b_{273}$  ist nun auf verschiedenen Wegen <sup>1)</sup> berechenbar. Durch Subtraktion dieser Werte  $b$  von den experimentell bestimmten molekularen Lösungsräumen für wässrige Lösungen kann man alsdann die molekularen Covolumina berechnen. Diese Räume sind ein Maß der gesamten Kontraktion, welche das Covolumen von 1 Mol der gelösten Stoffe und der zugehörigen Wassermenge bei der Lösung erfährt, und diese Räume müssen in einfachster Beziehung zum Haftdruck stehen. Da für das Covolumen das Gasgesetz gilt<sup>2)</sup>, so muß das Produkt aus Covolumen und Haftdruck der absoluten Temperatur proportional sein.

Es bietet sich hier somit ein neuer Weg, auf welchem man den Haftdruck quantitativ bestimmen kann, und vor allem gelangen wir auf diesem Wege zu der Zustandsgleichung für Lösungen und erkennen, daß das Produkt aus Haftdruck und Covolumen, die Haftarbeit =  $RT$ , und bei gegebener Temperatur eine Konstante ist.

Die umstehende Tabelle enthält für eine Reihe wasserlöslicher, organischer Stoffe die molekularen Volumina  $v_{273}$  im homogenen Zustande <sup>3)</sup>, die molekularen Lösungsvolumina  $v_l$  bei 15° für wässrige Lösungen; ferner die Werte  $b$  für 0° C, die Covolumina  $v-b$ , und die aus der Oberflächenspannung der Lösungen <sup>4)</sup> berechneten molekularen Haftdrucke  $P$ .

Man erkennt, daß im allgemeinen Haftdruck und Covolumen parallel gehen. Am meisten interessiert aber folgendes Ergebnis:

Die Tabelle lehrt, daß mit abnehmendem negativen Haftdruck das Covolumen  $v_l-b$ , d. i. der Überschuß des Covolumens der Lösung, über dasjenige des reinen Lösungsmittels abnimmt, und daß bei einem Haftdruck von  $-0,46$  bei der Ameisensäure jener Überschuß nur noch 3,9 ccm beträgt. Daraus dürfen wir folgern, daß Stoffe, wie Acetamid, Glykol, Glycerin usw., von noch geringerem negativen Haftdruck ein noch kleineres positives Covolumen ergeben, und daß

<sup>1)</sup> Vgl. TRAUBE, Ann. d. Phys. (4) 5, 552, 1901 u. 22, 519, 1907.

<sup>2)</sup> Vgl. meine Volumarbeiten, I. c.

<sup>3)</sup> Vgl. TRAUBE, Ber. d. Deutsch. Chem. Ges. 28, 2726, 1895. Die selbst gegebene Berechnung der Covolumina ist falsch; siehe meine neuesten Volumarbeiten.

<sup>4)</sup> TRAUBE, Ann. d. Chem. u. Pharm. 265, 27.

|                          | $v_{273}$ | $v_l$ | $l_{273}$ | $v_l - l$ | $P$    |
|--------------------------|-----------|-------|-----------|-----------|--------|
| Ameisensäure . . . . .   | 37,0      | 34,5  | 30,6      | 3,9       | — 0,46 |
| Methylalkohol . . . . .  | 39,5      | 37,0  | 33,0      | 4,0       | — 0,74 |
| Essigsäure . . . . .     | 56,1      | 51,0  | 46,4      | 4,6       | — 1,25 |
| Acetonitril . . . . .    | 49,1      | 46,2  | 40,3      | 5,9       | — 1,16 |
| Äthylalkohol . . . . .   | 57,1      | 52,8  | 46,7      | 6,1       | — 1,63 |
| Propionsäure . . . . .   | 72,9      | 66,7  | 60,3      | 6,4       | — 2,48 |
| Allylalkohol . . . . .   | 66,5      | 63,3  | 55,0      | 8,1       | — 2,20 |
| Propylalkohol . . . . .  | 73,3      | 68,9  | 60,8      | 8,1       | — 2,98 |
| Propylamin . . . . .     | 81,0      | 71,2  | 63,1      | 8,1       | — 2,67 |
| Buttersäure . . . . .    | 89,9      | 82,6  | 74,3      | 8,3       | — 3,99 |
| i-Butylalkohol . . . . . | 90,6      | 84,8  | 75,0      | 9,8       | — 4,60 |
| Methylacetat . . . . .   | 77,4      | 71,7  | 61,3      | 10,4      | — 2,59 |

Stoffe mit positivem Haftdruck, wie Salze, Rohrzucker usw., ein negatives Covolumen ergeben.

Das Covolumen der wässrigen Lösung eines Stoffes mit negativem bzw. positivem Haftdruck ist somit größer bzw. kleiner als dasjenige des reinen Lösungsmittels.

Das Produkt aus molekularem Haftdruck und Covolumen ist gleich dem Produkte aus der Gaskonstante und der absoluten Temperatur<sup>1)</sup>.

Es wird hiernach verständlich, weshalb in dem bekannten Versuche von PFEFFER, welcher für VAN'T HOFFS Theorie so grundlegend ist, der osmotische Druck gleich dem Gasdruck ist. Die osmotische Arbeit, welche der Zucker leistet, ist indessen eine Wirkung seines Haftdruckes und der „osmotische“ Druck ist nichts anderes als ein hydrostatischer Gegendruck, also durchaus nicht die treibende Kraft der Osmose.

## 25. Molekularvolumen, molekulares Lösungsvolumen und Haftdruck.

Ein Ergebnis, welches auf das höchste überraschen muß, ist die Feststellung, daß nicht nur das Covolumen, dessen Berech-

<sup>1)</sup> Siehe meine Volumarbeiten. Aus denselben folgt übrigens auch in anderer Hinsicht, daß das Covolumen in Wasser gelöster Salze = 0 oder negativ ist. Siehe insbesondere meine früheren Mitteilungen über die Kontraktion der Ionen, welche pro Ionäquivalent gleich groß zu sein scheinen.

nung doch eine gewisse Unsicherheit anhaftet, sondern im allgemeinen auch: Molekularvolumen, molekulares Lösungsvolumen und Haftdruck einander parallel gehen.

Die Stoffe auf S. 922 seien nach der Größe ihres Molekularvolumens geordnet:

|                     | $v_{273}$ | $v_1$ | $b_{273}$ | $P$   | $\frac{v \cdot 10^{-1}}{\sqrt{P}}$ | $\frac{v_1 \cdot 10^{-1}}{\sqrt{P}}$ | $\frac{b \cdot 10^{-1}}{\sqrt{P}}$ |
|---------------------|-----------|-------|-----------|-------|------------------------------------|--------------------------------------|------------------------------------|
| Ameisensäure . .    | 37,0      | 34,5  | 30,6      | -0,46 | 5,4                                | 5,1                                  | 4,5                                |
| Methylalkohol . .   | 39,5      | 37,0  | 33,0      | -0,74 | 4,6                                | 4,3                                  | 3,8                                |
| Acetonitril . . .   | 49,1      | 46,2  | 40,3      | -1,16 | 4,5                                | 4,3                                  | 3,7                                |
| Essigsäure . . . .  | 56,1      | 51,0  | 46,4      | -1,25 | 5,0                                | 4,5                                  | 4,1                                |
| Äthylalkohol . . .  | 57,1      | 52,8  | 46,7      | -1,63 | 4,5                                | 4,1                                  | 3,7                                |
| Allylalkohol . . .  | 66,5      | 63,3  | 55,0      | -2,20 | 4,5                                | 4,3                                  | 3,7                                |
| Propionsäure . . .  | 72,9      | 66,7  | 60,3      | -2,48 | 4,6                                | 4,3                                  | 3,8                                |
| Propylalkohol . . . | 73,3      | 68,9  | 60,8      | -2,98 | 4,3                                | 4,0                                  | 3,5                                |
| Methylacetat . . .  | 77,4      | 71,7  | 61,3      | -2,59 | 4,8                                | 4,4                                  | 3,8                                |
| Propylamin . . .    | 81,0      | 71,2  | 63,1      | -2,67 | 5,0                                | 4,4                                  | 3,9                                |
| Buttersäure . . . . | 89,9      | 82,6  | 74,3      | -3,99 | 4,5                                | 4,1                                  | 3,7                                |
| i-Butylalkohol . .  | 90,6      | 84,8  | 75,0      | -4,60 | 4,2                                | 4,0                                  | 3,5                                |

Die letzten drei Spalten der Tabelle zeigen, daß für Stoffe, welche die Oberflächenspannung des Wassers erniedrigen, das Molekularvolumen, die Konstante  $b$ , ganz besonders aber das molekulare Lösungsvolumen der Quadratwurzel des Haftdruckes annähernd proportional ist. Ungültig wird dieser Satz, auf dessen theoretische Bedeutung ich noch in einer späteren Abhandlung zurückkomme, für Stoffe mit großem Haftdruck, wie Ameisensäure, Glykol, Glycerin usw.

Die Beziehungen von Volumen und Haftdruck erstrecken sich aber keineswegs nur auf die Stoffe mit negativem Haftdruck. Die folgende Tabelle enthält für binäre Kaliumsalze die von mir berechneten Molekularvolumina, ferner für 5 proz. wässrige Lösungen die molekularen Lösungsvolumina bei etwa  $15^{\circ}$ ), sowie die molekularen Haftdrucke.

<sup>1)</sup> I. TRAUBE, ZS. f. anorgan. Chem. 3, 1, 1892.

|  | Molekular-<br>volumen | Mol. Lösungs-<br>volumen einer<br>5proz. Lösung | Mol.<br>Haftdruck |
|--|-----------------------|---|-------------------|
| KF . . . . .   | 23,4                  | (10)  | 0,20              |
| KOH . . . . .  | 27,5                  | 6,2   | 0,165             |
| KCl . . . . .  | 37,5                  | 27,6  | 0,14              |
| KBr . . . . .  | 44,2                  | 35,1  | 0,16              |
| KCHO <sub>2</sub> . . . . .                            | 44,1                  | 37,0  | 0,12              |
| KNO <sub>3</sub> . . . . .                             | 48,0                  | 38,3  | 0,125             |
| KBrO <sub>3</sub> . . . . .                            | 51,1                  | 45,0  | —                 |
| KClO <sub>3</sub> . . . . .                            | 52,3                  | 46,8  | 0,06              |
| KJ . . . . .   | 54,0                  | 45,4  | 0,06              |
| K <sub>2</sub> H <sub>2</sub> O <sub>7</sub> . . . . . | —                     | 51,2  | 0,02              |
| KClO <sub>4</sub> . . . . .                            | —                     | 52,3  | 0,03              |

Die Werte für die letzten beiden Salze sind aus den entsprechenden Natriumsalzen berechnet.

Die hier sich ergebende Beziehung zwischen Volumen und Haftdruck bzw. Oberflächenspannung ist gewiß äußerst beachtenswert.

Namentlich die Kontraktion der Salze beim Auflösen in Wasser (Molekularvolumen — molekulares Lösungsvolumen) ermöglicht weitgehende Schlüsse über den Haftdruck. So sind beispielsweise, ihren Haftdrucken entsprechend, die Kontraktionen der Kaliumsalze mit zweibasischen und dreibasischen Säuren weit größer als mit einbasischen Säuren.

## 26. Lichtbrechung und Haftdruck.

Die Beziehungen von VAN DER WAALS Größe  $b$  zur Molekularrefraktion weisen schon darauf hin, daß bei den Stoffen, welche die Oberflächenspannung des Wassers stärker erniedrigen, einfache Beziehungen zur Molekularrefraktion bestehen müssen.

Die folgende Tabelle enthält unter  $MR$  die Molekularrefraktionen  $\frac{m}{d} \cdot \frac{\mu^2 - 1}{\mu^2 + 2}$  nach BRÜHL für die Wasserstofflinie; unter  $\sqrt{P}$  finden sich die Quadratwurzeln aus den von mir experimentell festgestellten molekularen Haftdrucken und unter  $\frac{MR}{\sqrt{P}}$  die

Quotienten. Die Bedeutung der letzten beiden Spalten siehe weiter unten.

|   | $MR$  | $\sqrt{P}$ | $MR/\sqrt{P}$ | $\Sigma V$ | $\Sigma V/\sqrt{P}$ |
|---|-------|------------|---------------|------------|---------------------|
| Methylalkohol, $\text{C}_2\text{H}_5\text{O}$ . .   | 8,16  | 0,86       | 9,5           | 10         | 11,6                |
| Ameisensäure, $\text{H}_2\text{CO}_2$ . .           | 8,52  | 0,68       | 12,5          | 10         | 14,7                |
| Acetonitril, $\text{C}_2\text{H}_3\text{CN}$ . .    | 11,05 | 1,08       | 10,2          | 14         | 12,9                |
| Äthylalkohol, $\text{C}_2\text{H}_5\text{O}$ . .    | 12,71 | 1,28       | 9,9           | 16         | 12,5                |
| Essigsäure, $\text{C}_2\text{H}_4\text{O}_2$ . .    | 12,93 | 1,12       | 11,5          | 16         | 14,3                |
| Acetaldoxim, $\text{C}_2\text{H}_5\text{ON}$ . .    | 15,56 | 1,24       | 12,5          | 18         | 14,5                |
| Aceton, $\text{C}_3\text{H}_6\text{O}$ . . . . .    | 16,05 | 1,33       | 12,1          | 20         | 15,0                |
| Allylalkohol, $\text{C}_3\text{H}_6\text{O}$ . .    | 16,85 | 1,48       | 11,4          | 18         | 12,2                |
| Propylalkohol, $\text{C}_3\text{H}_7\text{O}$ . .   | 17,42 | 1,72       | 10,1          | 22         | 12,2                |
| Propionsäure, $\text{C}_3\text{H}_6\text{O}_2$ . .  | 17,42 | 1,57       | 11,1          | 22         | 14,0                |
| Methylacetat, $\text{C}_3\text{H}_6\text{O}_2$ . .  | 18,03 | 1,61       | 11,2          | 22         | 13,7                |
| Allylamin, $\text{C}_3\text{H}_7\text{N}$ . . . .   | 18,81 | 1,38       | 13,6          | 20         | 14,5                |
| Propylamin, $\text{C}_3\text{H}_7\text{N}$ . . .    | 19,31 | 1,63       | 11,9          | 24         | 14,8                |
| i-Butylalkohol, $\text{C}_4\text{H}_{10}\text{O}$ . | 21,96 | 2,15       | 10,2          | 28         | 13,0                |
| Buttersäure, $\text{C}_4\text{H}_8\text{O}_2$ . .   | 22,05 | 2,00       | 11,0          | 28         | 14,0                |

Die Molekularrefraktionen von Stoffen mit geringerem Haftdruck sind in roher Annäherung den Quadratwurzeln aus den Haftdrucken proportional.

Es zeigt sich aber zweifellos ein Einfluß der Konstitution und insbesondere des sogenannten Assoziationsfaktors<sup>1)</sup>. Für ringförmige Stoffe (Anilin, Paraldehyd) wird obiger Quotient wesentlich größer; stellungsisomere Stoffe, wie Methylacetat und Propionsäure, haben gleiche Werte, dagegen sättigungsisomere Stoffe, wie Allylalkohol und Aceton, einen verschiedenen Wert. Für Stoffe homologer Reihen (abgesehen vom ersten Gliede) ist der Quotient  $MR/\sqrt{P}$  sehr angenähert gleich groß. Die Quadratwurzeln aus den Haftdrucken wachsen daher für homologe Stoffe arithmetisch, während die Haftdrucke selbst in geometrischer Progression wachsen<sup>2)</sup>.

<sup>1)</sup> Vgl. darüber übrigens meine Abhandlung im Ber. d. Deutsch. Chem. Ges. 40, 734, 1907.

<sup>2)</sup> Vgl. meine Abhandlung, Pfügers Arch. f. d. ges. Physiol. 123, 429, 1908.



## 27. Valenz und Haftdruck.

In Bd. 22, S. 519 der Annalen der Physik 1907 habe ich gezeigt, daß im allgemeinen die Molekularrefraktionen, insbesondere kohlenstoffhaltiger Verbindungen, der Summe der Valenzen der das Molekül zusammensetzenden Atome proportional sind.

In der vorhergehenden Tabelle auf S. 925 finden sich nun unter  $\Sigma V$  jene Valenzsummen, und die letzte Spalte zeigt, daß wiederum — in erster Annäherung — die Quadratwurzel aus den Haftdrucken der Summe der Valenzen proportional ist. Es gilt hier ganz dasselbe, was in bezug auf die Lichtbrechung gesagt wurde. Bemerkenswert sind die gleichen Werte der Allyl- und Propylverbindungen, welche unter der Annahme berechnet wurden, daß das „doppelt“ gebundene Kohlenstoffatom dreiwertig ist.

Ganz besonders sei hier darauf hingewiesen (vgl. die Tabelle S. 889 u. f.), daß ganz allgemein die Haftdrucke zweiwertiger Anionen bzw. Kationen ganz wesentlich größer sind als die Haftdrucke einwertiger Anionen bzw. Kationen<sup>1)</sup>. Es scheint, daß der Haftdruck eines Ions einmal der Zahl der Valenzen (Elektronen) proportional ist, außerdem aber stark von der Konstitution des betreffenden Ions beeinflußt wird. Hiernach ist der Haftdruck in erster Linie elektrischen Ursprungs.

Diese Beziehungen von Valenz und Haftdruck verdienen danach vom Standpunkte der elektrokapillaren und andererseits elektrochemischen Beziehungen aus die größte Beachtung.

## 28. Die Theorie der elektrolytischen Dissoziation und der Haftdruck.

Wenn wir eine Energiemenge, etwa ein Quantum im Stromkreise erzeugter elektrischer Energie, um eine bestimmte Größe vermehren wollen, so können wir dieses Ziel auf zwei Wegen er-

<sup>1)</sup> Dreiwertige Kationen, wie Al, Fe usw., haben zweifellos einen noch größeren Haftdruck, wie sich unter anderem schon aus der großen Hydrationsfähigkeit ergibt.

reichen: durch Erhöhung der elektromotorischen Kraft oder durch Vermehrung der Elektrizitätsmenge.

Die elektrolytische Dissoziationstheorie leidet nun aber an einem fundamentalen Irrtume.

Als Hilfstheorie der osmotischen Theorie in die Erscheinung getreten, haben ihre Begründer und Verfechter geglaubt, bei allen den Stoffen, welche zu größeren osmotischen Energiewerten führten, als die einfache Theorie voraussehen läßt, eine Vermehrung der Teilchenzahl annehmen zu müssen, also den Kapazitätsfaktor der osmotischen Energie zu vergrößern, ohne zu berücksichtigen, daß noch ein zweiter Faktor vorhanden ist, der Haftdruck, dessen Erhöhung dieselbe Wirkung hervorzubringen imstande ist, wie die Vermehrung der Teilchenzahl, d. h. der elektrolytische Dissoziationsvorgang.

Wenn wir die Gefrierpunktskurven der Salzlösungen betrachten, und die Molekulardepressionen als Ordinaten, die Prozentgehalte als Abszissen aufzeichnen, so zeigt sich zunächst, wenn wir von der verdünntesten Lösung ausgehen, mit wachsendem Prozentgehalt eine Abnahme der Molekulardepressionen, die meist bei einem Gehalte von 0,5 Molen pro Stunde Lösung zu einem Minimum führt und von ARRHENIUS auf die Abnahme der elektrolytischen Dissoziation, d. h. Verminderung der Teilchenzahl, zurückgeführt wird. Dies sei mit einem gewissen Vorbehalt (s. weiter unten) zugegeben. Die Theorie würde nun aber weiter verlangen, daß von einem bestimmten Punkte ab, sobald alle Ionen in den undissoziierten Zustand übergegangen sind, die Kurve mit wachsender Konzentration der Abszissenachse parallel läuft, oder wenn komplexe Moleküle sich bilden sollten, nach der Abszissenachse hin konvergiert.

Dieses ist in einigen Fällen auch der Fall: beispielsweise für  $\text{CsNO}_3$ , wenn es sich um Ionen handelt, wie Cs und  $\text{NO}_3$ , welche sich durch besonders geringen Haftdruck auszeichnen. Im allgemeinen aber steigt die Kurve mit wachsender Konzentration, und zwar, von wenigen Ausnahmen abgesehen, vgl. S. 887, um so mehr, je geringer der Haftdruck ist.

Ist das Ansteigen der Kurve bei großen Verdünnungen mit zunehmenden Verdünnungen wesentlich<sup>1)</sup> auf die Vermehrung der Teilchenzahl, d. h. der Vergrößerung der Kapazitätsfaktoren, infolge der großen Haftdrucke der Ionen zum Wasser zurückzuführen, so hat das Ansteigen der Kurven jenseits des Minimums mit wachsender Konzentration wesentlich<sup>1)</sup> seine Ursache in der bloßen Erhöhung des Haftdruckes, d. h. des Intensitätsfaktors der betreffenden Energiegröße.

Die Vernachlässigung des Intensitätsfaktors der Lösungsenergie ist aber noch viel bedeutsamer.

Es handelt sich nicht nur um quantitative Verbesserungen des sogenannten Dissoziationskoeffizienten, sondern die Grundlagen der elektrolytischen Dissoziationstheorie müssen als völlig unhaltbar verworfen werden.

Bekanntlich hat CLAUDIUS bereits mit ständigen Dissoziationen der Salzmolekeln in den Lösungen gerechnet, aber es bestand ein fundamentaler Unterschied mit den späteren Vorstellungen von ARRHENIUS. CLAUDIUS nahm an, daß auch in verdünntesten Lösungen die Ionen sich trennten, um im nächsten Augenblicke sich mit anderen Partnern wieder zu vereinigen. Es war eine *grande chaîne* ständiger Dissoziationen und Assoziationen. Anders dachte ARRHENIUS. Die Beobachtungen bez. des elektrischen Leitvermögens und die Ergebnisse der osmotischen Theorie gaben Veranlassung zu der Vorstellung, daß in verdünntesten Lösungen nur Dissoziationen stattfanden. Aber mit dieser Vorstellung war eine Schwierigkeit verbunden, die allein hätte genügen sollen, die elektrolytische Dissoziationstheorie im Sinne von ARRHENIUS als unhaltbar zu erweisen. Die Erscheinungen der Diffusion u. a. nötigten zu der Annahme, daß die Ionen zwar chemisch getrennt, aber elektrostatisch verbunden sind. Wer an die elektrolytische Dissoziationstheorie von ARRHENIUS glaubt, erzeugt einen Gegensatz von chemischen und elektrischen Kräften, welcher den Vorstellungen von FARADAY und

---

<sup>1)</sup> Dieses „wesentlich“ sollte man nicht außer acht lassen, wenn es sich um die Berechnung von Dissoziationskoeffizienten handelt. Man wird nach diesen Ausführungen gewiß zugeben müssen, daß die bisher berechneten Dissoziationskoeffizienten nur grobe Annäherungen ergeben können.

HELMHOLTZ, auf welche man sich so gern beruft, diametral entgegengesetzt ist; denn das Atom ist in erster Linie der Sitz elektrischer Kräfte, und diese Kräfte sind zum mindesten bei den Ionen mit den chemischen Kräften identisch.

Ich habe die Anschauungen von ARRHENIUS stets bekämpft. In Anlehnung an eine Arbeit von POYNTING<sup>1)</sup> habe ich gezeigt, daß man zu den Anschauungen von CLAUSIUS zurückkehren kann, wenn man annimmt, daß in jedem Zeitmoment je ein Molekül eines gelösten Nichtleiters und je ein Ion eines Elektrolyten mit einem Wassermolekül zu einem höchst labilen Monohydrat verbunden ist. Dann gelangt man zu den osmotischen Gleichungen, und es war ganz gleichgültig, ob man annahm, daß in verdünnten Lösungen nur freie Ionen vorhanden sind, oder ob man abwechselnd Assoziationen und Dissoziationen mit CLAUSIUS voraussetzte. Ich wies darauf hin, das VAN DER WAALS' Berechnung des Durchmessers der Wirkungssphäre mit diesen Vorstellungen im Einklang stand, ferner das Ionisationsvermögen assoziierter Lösungsmittel, vor allem auch die Kontraktionsgrößen. Sehr bemerkenswert ist es nun, daß A. WERNER in Zürich<sup>2)</sup>, von ganz anderen Betrachtungen ausgehend, bei seinen Arbeiten über komplexe Verbindungen zu einer Theorie der Monohydrate gelangt, welche, ein wenig erweitert, sich völlig mit der Theorie von TRAUBE-POYNTING deckt.

Aber vor allem sei darauf hingewiesen, daß die Berücksichtigung des Haftdruckes die unannehmbaren Grundannahmen von ARRHENIUS in jeder Beziehung überflüssig macht.

Ein Salz wird in Wasser ionisiert und ein Nichtleiter nicht, weil in erster Linie der Haftdruck des Salzes wesentlich größer ist als derjenige der Nichtleiter; eine Säure ist vielfach weniger ionisiert als das Salz, weil das Wasserstoffion den geringsten Haftdruck hat. Alkalisalze mit zweibasischen Säuren sind stärker ionisiert als binäre Salze, weil ihr Haftdruck größer ist. Salze mit relativ geringem Haftdruck, wie  $\text{HgCl}_2$ ,  $\text{MgSO}_4$  usw., sind

<sup>1)</sup> Vgl. u. a. meinen Grundriß Physik. Chem.; Stuttgart, Enke, 1904.

<sup>2)</sup> WERNER, Ber. d. Deutsch. Chem. Ges. 40, 4133, 1907.

entsprechend wenig ionisiert. Wenn sich in anderen Lösungsmitteln die Ionisationsgrade verschieben, so ist es kaum zweifelhaft, daß die Änderungen des Haftdruckes auf das engste hiermit parallel gehen. Die Größe des Haftdruckes ist in erster Linie entscheidend für das Ionisationsvermögen und den Ionisationsgrad.

Lösen wir im Wasser einen Nichtleiter, so ist es verständlich, daß ein Molekül desselben von Wasserteilchen zu Wasserteilchen wandert, einen lockeren Bund schließend, den es alsbald wieder trennt. Anders ein Salzteilchen. In konzentrierteren Lösungen würde zwar vielfach ein Salzmolekül sich mit einem Wasserteilchen begnügen müssen, in verdünnteren Lösungen dagegen, wo kein Mangel an Wasser ist, wird der starke Haftdruck der meisten Ionen es fertig bringen, daß jedes Ionäquivalent ein Wasserteilchen an sich reißt. Ganz gleichgültig ist es hierbei, ob die Ionenhydrate im Sinne von ARRHENIUS dauernd getrennt sind, oder im Sinne von CLAUSIUS sich trennen und wieder vereinigen. Beide Annahmen führen, wie ich früher ausführlich erörtert, zu den osmotischen Gleichungen und wenn auch die jetzige Zeit mit einer mir unbegreiflichen Zähigkeit trotz aller Widersprüche an den Annahmen von ARRHENIUS festhält, so zweifle ich nicht, daß die Zeit nicht mehr fern ist, in welcher die Theorie von ARRHENIUS der Geschichte angehört.

Charlottenburg, Technische Hochschule.

# Leitfaden der Physik und Chemie

mit Berücksichtigung der

## Mineralogie und der Lehre vom Menschen.

Für die oberen Klassen von Bürgerschulen, höheren Töchterschulen  
und anderen höheren Lehranstalten in zwei Kursen bearbeitet

von

**H. Sattler,**

Schulinspektor.

31. bis 34. verbesserte und vermehrte Auflage.

Mit 291 eingedruckten Abbildungen und einer Tafel.

Preis geheftet 1.35 Mark, gebunden 1.50 Mark.

Der vorliegende Leitfaden ist für die oberen Klassen von Bürgerschulen, höheren Töchterschulen und anderen höheren Lehranstalten bestimmt. In methodischer Anordnung bietet er dem Schüler ein Gesamtbild von dem in der Schule Gehörten und Gesehenen, dem Lehrer sichere Anhaltspunkte zur Erteilung eines erspriesslichen Unterrichts.

Die Form der Darstellung ist durchweg die entwickelnde; es wird von Beobachtungen und Versuchen ausgegangen, daraus das Gesetz abgeleitet und den Anwendungen Rechnung getragen.

Eingestreute Fragen regen den Schüler zu weiterem Nachdenken an. Die zahlreichen und guten Holzsätze werden die Klarheit und Sicherheit in der Auffassung der Erscheinungen und Gesetze zweifellos in der nachhaltigsten Weise unterstützen.

Die gegenwärtig vorliegende 31. Auflage des Buches entspricht den für das Königreich Preußen festgesetzten hygienischen Anforderungen in bezug auf Typengröße und Zeilendurchschuß und ist auch sonst vielfach vervollständigt und verbessert, insbesondere ist der Kleindruck vollständig beseitigt. Leider mußte, da durch diese Verbesserungen der Umfang des Buches ein größerer geworden ist, der Preis desselben etwas erhöht werden; doch dürfte, wenn die gediegene Ausstattung in Betracht gezogen wird, der Preis des Buches immer noch ein sehr mäßiger genannt werden können.

Zu beziehen durch alle Buchhandlungen.

# E. Leybold's Nachfolger

»»»»»»»»»»» Cöln a. Rh. ««««««««««««

Neu!

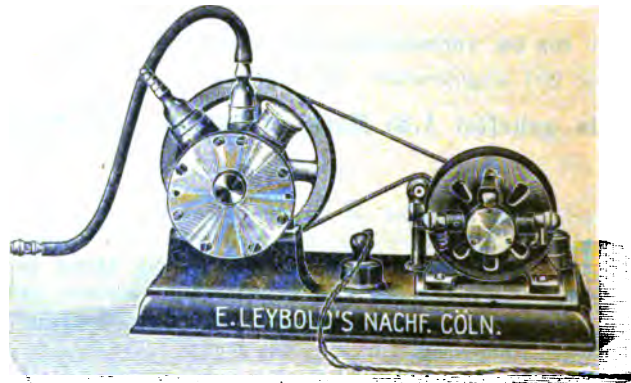
Neu!

## Universal-Luftpumpe

nach Dr. Gaede.

— D. R. P. ang. —

Die neue rotierende Universal-Luftpumpe nach Dr. Gaede eignet sich für alle üblichen Demonstrationen, sowohl als Vakuumpumpe wie als Druckpumpe, resp. Gebläse.



**Evakuieren einer elektrischen Röhre bis zur grünen Glasfluoreszenz in einer Minute.**

**Gefrierenlassen des Wassers im Vakuum in wenigen Sekunden.**

**Evakuieren eines 5 Liter-Rezipienten für die gewöhnlichen Vakuumversuche in ca. einer Minute.**

**Versuche mit Druckluft.**

**Verwendung für akustische Versuche (Anblasen mehrerer Orgelpfeifen, großer Schnarrpfeife, Sirene usw.)**

Die besonderen Vorzüge der Gaede'schen Universalpumpe sind: Große mechanische Festigkeit, Unempfindlichkeit gegen Wasserdämpfe, außerordentlich hohe Leistung bei geringen Dimensionen und kleinem Gewicht, rotierender, automatischer Antrieb mittels Elektromotor, bequeme Handhabung.

**Illustrierte Preisliste auf Verlangen.**

# Berichte der Deutschen Physikalischen Gesellschaft

enthaltend

## Verhandlungen

der Deutschen Physikalischen Gesellschaft  
im Auftrage der Gesellschaft herausgegeben

von

Karl Scheel

und

## Halbmonatliches Literaturverzeichnis

der „Fortschritte der Physik“, dargestellt von der  
Deutschen Physikalischen Gesellschaft

redigiert von

Karl Scheel

für reine Physik

Richard Assmann

für kosmische Physik

### Inhalt.

1. Verhandlungen der Deutschen Physikalischen Gesellschaft. Berichte über die Sitzungen vom 20. November und 4. Dezember 1908. S. 931 bis 933. — Franz Kiebitz, Gerichtete drahtlose Telegraphie. Mitteilung aus dem Kaiserlichen Telegraphen-Versuchsamt. (Vorgetragen in der Sitzung vom 20. November 1908.) S. 934. — 2. Halbmonatliches Literaturverzeichnis der Fortschritte der Physik. I. Allgemeine Physik. S. 419. — II. Akustik. S. 421. — III. Physikalische Chemie. S. 421. — IV. Elektrizität und Magnetismus. S. 428. — V. Optik des gesamten Spektrums. S. 427. — VI. Wärme. S. 429. — VII. Kosmische Physik. S. 431.

---

Braunschweig

Druck und Verlag von Friedrich Vieweg und Sohn

1908

*Monatlich zwei Nummern. — Abonnementspreis pro Jahrgang 8 Mark. — Zu beziehen durch alle Buchhandlungen und Postanstalten.*



**Photometer**  
**Spektral-Apparate**  
**Projektions-Apparate**  
**Glas-Photogramme**  
**Physik. Apparate n. Prof. Grimsehl**  
**Optisches Institut von A. Krüss**  
 Inhaber: Dr. Hugo Krüss. HAMBURG.

|   |  |
|---|--|
|                  | <b>Präzisions-Reißzeuge (Rundsystem)</b><br><b>Nickelstahl-Kompensationspendel</b> |
|   | <b>Astronomische Uhren.</b><br><b>Paris 1900 Grand Prix.</b>                       |
| <b>Clemens Riefler</b><br>Fabrik mathemat. Instrumente<br><b>Nesselwang u. München</b><br>Bayern. |  |
| <small>Illustrierte Preislisten gratis.</small>   |  |

**Original Lambrecht's Normal-Quecksilber-Barometer**

zu Preisen von 50 Mark an hat eine Anzahl wesentlicher Unterscheidungsmerkmale anderen derartigen Instrumenten gegenüber, die es zu einem **Normal-Instrument** machen, das jeder Besitzer selbst auf seine Genauigkeit prüfen kann. Außer diesem gibt es kein bis auf  $\frac{1}{100}$  mm genau zeigendes Barometer, das in völlig gebrauchsfähigem Zustande per Bahn und Schiff unter Garantie der guten Überkunft zu versenden ist. Seines leichten Transportes wegen ist es für Tropen besonders geeignet. Lambrecht's Instrumente sind in den Kulturstaaten gesetzlich geschützt. Man verlange Gratis-Drucksache Nr. 119.

**Wilh. Lambrecht, Göttingen (Georgia Augusta)**  
 Gegründet 1859.

Verlag von Friedr. Vieweg & Sohn in Braunschweig.

**Gesammelte Abhandlungen**  
 aus den Gebieten der  
**Meteorologie und des Erdmagnetismus**  
 von **Wilhelm von Bezold.**  
 In Gemeinschaft mit **A. Coym** herausgegeben  
 vom Verfasser.  
 Mit 66 Abbildungen im Text und drei Tafeln.  
 gr. 8. Preis geh. 14 *M.*, geb. 16 *M.*

# Verhandlungen der Deutschen Physikalischen Gesellschaft

---

Im Auftrage der Gesellschaft herausgegeben

von

**Karl Scheel**

---

10. Jahrg.

15. Dezember 1908.

Nr. 23.

---

**Sitzung vom 20. November 1908.**

---

Vorsitzender: Hr. H. RUBENS.

---

Auf Vorschlag des Vorstandes beschließt die Gesellschaft als Grundlage für die Instruktion ihrer Vertreter in der Unterrichtskommission die folgenden Leitsätze aufzustellen.

Leitsätze betr. den Hochschulunterricht der Lehramtskandidaten in Physik.

---

1. Bezüglich der einleitenden Vorlesung über Experimentalphysik spricht die Deutsche Physikalische Gesellschaft den Wunsch aus, es möchten die an die Zuhörer zu stellenden Anforderungen dem Bildungsniveau angepaßt sein, welches durch Absolvierung eines Gymnasiums oder einer anderen neunklassigen Schule nachgewiesen wird. Aufgabe dieser Vorlesung ist es, dem Studierenden ein möglichst vollständiges, dem derzeitigen Stande der Wissenschaft entsprechendes, einheitliches Bild der Tatsachen, der Gesetze und der sich daraus ergebenden physikalischen Anschauungen zu entwerfen. Nach Ansicht der Gesellschaft ist dieses Ziel zu erreichen, ohne daß die oben gekennzeichneten Anforderungen in irgend einer Richtung, auch bezüglich der Mathematik, überschritten zu werden brauchen.

2. Die der zweisemestrigen, fünfstündigen Vorlesung über Experimentphysik wegen des stetig anwachsenden Tatsachenmaterials längere mathematische Erörterungen kein Raum bleibt, so ist dem mathematischen Bedürfnis der Lehramtskandidaten anderer Zuhörergruppen durch eine mathematische Ergänzungsvorlesung Rechnung zu tragen. In dieser Vorlesung wird es sich empfehlen, von den Elementen der Infinitesimalrechnung Gebrauch zu machen. Andererseits kann aber auch auf die praktischen Anwendungen der physikalischen Gesetze in der Hauptvorlesung aus Zeitmangel nicht genügend eingegangen werden. Deshalb empfiehlt die Gesellschaft neben der Einrichtung einer mathematischen, auch diejenige einer technischen Ergänzungsvorlesung.

3. Für Lehramtskandidaten wünscht die Gesellschaft die Einrichtung eines Handfertigkeitsspraktikums und eine Erweiterung des physikalischen Übungspraktikums nach der technischen Seite hin.

4. Hinsichtlich der Ausbildung der Lehramtskandidaten in der theoretischen Physik ist nach Ansicht der Gesellschaft mehr Gewicht zu legen auf eine gründliche Vertiefung in bestimmte Gebiete, als auf eine zwar gleichmäßigere, aber oberflächlichere Beschäftigung mit dem gesamten Lehrgebäude.

---

Ferner berichtet Hr. **Franz Kiebitz** über  
Gerichtete drahtlose Telegraphie.

---

Als Mitglieder wurden in die Gesellschaft aufgenommen:  
Hr. Prof. Dr. E. GERLAND, Clausthal.  
(Vorgeschlagen durch Hrn. KARL SCHEEL.)  
Hr. Dr. P. PRINGSHEIM, Berlin W, Wilhelmstr. 67.  
(Vorgeschlagen durch Hrn. H. RUBENS.)  
Hr. Dr. E. TIEDE, Berlin SW, Belle-Alliancestr. 37.  
(Vorgeschlagen durch Hrn. FRANZ KIEBITZ.)

---

**Sitzung vom 4. Dezember 1908**

---

Vorsitzender: Hr. H. RUBENS.

Der Vorsitzende teilt mit, daß das Mitglied der Gesellschaft

**Dr. James Moser**

am 23. September verstorben ist. Die Anwesende erheben sich zum Gedächtnis des Entschlafenen von ihren Sitzen.

---

Hr. H. Rubens berichtet:

1. über das ultrarote Absorptionsspektrum des Wassers (nach gemeinsam mit ERICH LADENBURG† angestellten Versuchen),
  2. über Apparate zur Untersuchung des ultraroten Spektrums.
- 

Sodann demonstriert Hr. G. Bode einige Vorlesungsversuche.

---

Endlich legt Hr. Karl Scheel eine Mitteilung von Hrn. Robert Fürstenau vor:

Über die Abhängigkeit des Verhältnisses der spezifischen Wärmen der Gase von der Temperatur.

---

Als Mitglied wurde in die Gesellschaft aufgenommen:

Hr. Privatdozent Dr. W. MATTHIES, Münster i. W., Physikalisches Institut der Universität.

(Vorgeschlagen durch Hrn. KARL SCHEEL.)

---

**Gerichtete drahtlose Telegraphie;  
von Franz Kiebitz.**

(Mitteilung aus dem Kaiserlichen Telegraphen-Versuchsamt.)

(Vorgetragen in der Sitzung vom 20. November 1906.)

(Vgl. oben S. 932.)

Bei einer früheren Gelegenheit<sup>1)</sup> habe ich einen Interferenzversuch mit 1 m langen HERTZschen Wellen vorgeführt; dabei wurden zwei HERTZsche Sender im Abstand einer halben Wellenlänge mit gleicher Amplitude zu Schwingungen von einer halben Periode Phasendifferenz erregt. In der Richtung, in der die beiden Sender hintereinander gesehen werden, addierten sich alsdann ihre Wirkungen, während sie sich aufhoben in der Richtung, in der die Sender nebeneinander erscheinen.

BRAUN<sup>2)</sup> hat in größerem Maßstabe Versuche angestellt, bei denen drei Antennen mit phasenverschobenen Schwingungen gespeist wurden und auf diese Weise Richtungsunterschiede in der Ausstrahlung erhalten.

Will man die Versuche mit zwei Antennen in die Verhältnisse der drahtlosen Telegraphie übertragen, so stößt man auf große technische Schwierigkeiten bei der Konstruktion eines Systems, das die Antennen in dem großen Abstand einer halben Wellenlänge wirksam erregen soll. Außerdem würde eine Änderung der Wellenlänge eine Änderung des Abstandes der benutzten Masten oder Türme erfordern.

Es ist aber nicht nötig, an der Forderung festzuhalten, daß die Antennen den Abstand einer halben Wellenlänge haben sollen. Wenn sie mit 180° Phasenunterschied schwingen, wird sich ihre Strahlung in der Richtung, in der sie nebeneinander erscheinen, unabhängig von dem gegenseitigen Abstand aufheben. In der dazu senkrechten Richtung wird die Strahlung dem doppelten Betrage der Strahlung einer Antenne (bzw. dem Betrage Null)

<sup>1)</sup> F. KIEBITZ, Verh. d. Deutsch. Phys. Ges. 8, 577, 1906. Ann. d. Phys. (4) 22, 943, 1907.

<sup>2)</sup> F. BRAUN, Electrician 57, 222—224, 244—248, 1906. Jahrb. d. drahtl. Telegr. u. Teleph. 1, 1, 1907.

um so näher kommen, je genauer der Antennenabstand mit einem ungeraden (bzw. geraden) Vielfachen der halben Wellenlänge zusammenfällt.

Ein zweiter Punkt, der bei der Übertragung von Laboratoriumsversuchen über HERTZsche Wellen in die Verhältnisse der drahtlosen Telegraphie stets einer besonderen Erörterung bedarf, ist das Verhalten der Erde. Schon die ersten Versuche von MARCONI sind auf der Voraussetzung aufgebaut, daß sie die Schwingungen in der Antenne spiegelt. Daß sie sich auch Luftleitern gegenüber, die gar keine Erdleitung besitzen, wie ein Spiegel verhält, dürfte aus den Versuchen von TOSI und BELLINI<sup>1)</sup> zu schließen sein.

Diese Beobachter benutzten Antennen, die von einem Mast aus in verschiedener Form, jedenfalls aber symmetrisch zum Mast in einer Vertikalebene ausgespannt waren, und in der Form einer halben Welle zu Schwingungen symmetrisch zum Mast erregt wurden.

Im freien Raume angeordnet würde ein solches Gebilde einem Dipol mit wesentlich horizontalen elektrischen Komponenten äquivalent sein, und ein Strahlungsmaximum in der Ebene senkrecht zu der Achse des Dipols besitzen.

Dicht über einem Spiegel angeordnet, ergibt ein solches Gebilde auch vertikale elektrische Komponenten, und die Strahlung der Antenne mit ihrem Spiegelbild ist äquivalent der Strahlung zweier vertikaler Dipole, die symmetrisch zum Mast in einem mittleren Abstand angeordnet sind und mit 180° Phasendifferenz schwingen.

Soweit vertikale elektrische Komponenten in Frage kommen, besitzt die Strahlung also ein Maximum in der Ebene des Luftleitergebildes. Dieses Verhalten haben TOSI und BELLINI tatsächlich beobachtet.

Es ist also zu erwarten, daß auch zwei Antennen, die in einem Abstand voneinander dicht über der Erdoberfläche zu Schwingungen von einer halben Periode Phasenunterschied erregt werden, ein Strahlungsmaximum in der Ebene der Antennen er-

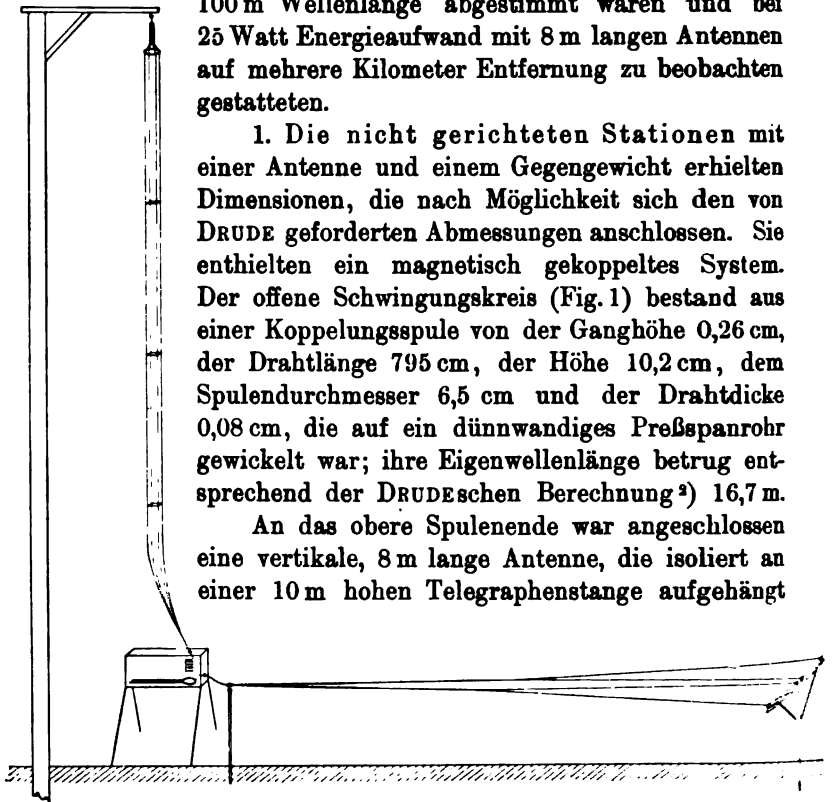
---

<sup>1)</sup> TOSI und BELLINI, *Electrician* 60, 749, 1908; *El. World* 50, 1203 1907; *El. Engineering* 46, II; 20, 771, 1907.

geben. Diese Erwartung ist bei den hier beschriebenen Versuchen geprüft worden. Sie ist auch neuerdings von BELLINI und TOSI ausgesprochen worden <sup>1)</sup>).

Für die vorliegenden Versuche wurden Sende- und Empfangsstationen benutzt, die mit 1, 2 oder 4 Antennen von stets gleichen Abmessungen ausgerüstet waren, durchgehend auf 100 m Wellenlänge abgestimmt waren und bei 25 Watt Energieaufwand mit 8 m langen Antennen auf mehrere Kilometer Entfernung zu beobachten gestatteteten.

Fig. 1.



1. Die nicht gerichteten Stationen mit einer Antenne und einem Gegengewicht erhielten Dimensionen, die nach Möglichkeit sich den von DRUDE geforderten Abmessungen anschlossen. Sie enthielten ein magnetisch gekoppeltes System. Der offene Schwingungskreis (Fig. 1) bestand aus einer Koppelungsspule von der Ganghöhe 0,26 cm, der Drahtlänge 795 cm, der Höhe 10,2 cm, dem Spulendurchmesser 6,5 cm und der Drahtdicke 0,08 cm, die auf ein dünnwandiges Preßspanrohr gewickelt war; ihre Eigenwellenlänge betrug entsprechend der DRUDESchen Berechnung <sup>2)</sup> 16,7 m.

An das obere Spulenende war angeschlossen eine vertikale, 8 m lange Antenne, die isoliert an einer 10 m hohen Telegraphenstange aufgehängt

war. Sie hatte quadratischen Querschnitt und bestand aus vier 1 mm starken Kupferdrähten von 14 cm Abstand. Zwei solche Antennen, an die Spulendenen angeschlossen, erhöhen die Eigen-

<sup>1)</sup> E. BELLINI und A. TOSI, Elektrot. ZS. 29, 1093, 1908.

<sup>2)</sup> P. DRUDE, Ann. d. Phys. (4) 9, 609 u. 322, 1902.

wellenlänge nach den Formeln und Tabellen von DRUDE<sup>1)</sup> auf den ungefähren Wert 100 m.

Als Gegenantenne wurde ein Drahtfächer von 8 m Länge und 1,6 m größter Breite von der aus Fig. 1 ersichtlichen Form 1 m über dem Erdboden isoliert ausgespannt. Um einer Antenne von den angegebenen Dimensionen das elektrische Gleichgewicht durch eine Metallplatte zu halten, ist es nach DRUDE<sup>2)</sup> notwendig, ihr eine Oberfläche von 6,6 m<sup>2</sup> zu geben. Der Drahtfächer bedeckte 6,4 m<sup>2</sup>.

Gemessen wurde für dieses System eine Eigenwelle von 114 m. Die Abweichung von dem berechneten Werte ist erheblich größer als die Genauigkeitsgrenze der Formeln von DRUDE. Durch Vergrößerung der Kapazität des Gegengewichtes wegen der Erdnähe dürfte sie nach DRUDES Beobachtungen<sup>3)</sup> auch nicht völlig zu erklären sein. Doch ist anzunehmen, daß der benutzte Drahtfächer eine größere Selbstinduktion besitzt als eine gleich große Platte. Aus diesem Grunde wurde die Eigenwelle nicht durch Verkürzen des Gegengewichts, sondern durch Verkleinern der Koppelungsspule (von 39 auf 34 Windungen) auf den gewünschten Betrag von 100 m gebracht.

Die Drahtführung des Gegengewichts ist so gewählt, daß in der Nähe der Kuppelungsspule keine Wirbelströme in geschlossenen Schleifen erregt werden können<sup>4)</sup>.

Dieser offene Schwingungskreis wurde erregt durch einen magnetisch gekoppelten abgestimmten Kreis, der aus zwei parallelen Leidener Flaschen ( $C$  in Fig. 2) von je 5000 cm Kapazität und einem einfachen Drahtkreis  $L$  von 10 cm Durchmesser und 0,5 cm Drahtdicke bestand; er enthielt eine symmetrische Funkenstrecke  $F$  zwischen pilzförmigen Zinkelektroden. Dicht an den Elektroden befanden sich die Zuleitungen zu einem kleinen Induktorium  $J$  mit Deprezunterbrecher der Firma Leppin u. Masche, das mit vier Beutelementen  $E$  der Firma Siemens u. Halske gespeist wurde. Diese gaben bei 6 Volt Spannung 4 Amp.; die Flaschen wurden 180- bis 200 mal pro Sekunde geladen, die

<sup>1)</sup> P. DRUDE, *Ann. d. Phys.* (4) 11, 978, 1903.

<sup>2)</sup> P. DRUDE, *Ebenda* (4) 11, 990, 1903.

<sup>3)</sup> P. DRUDE, *Ebenda* (4) 21, 123, 1906.

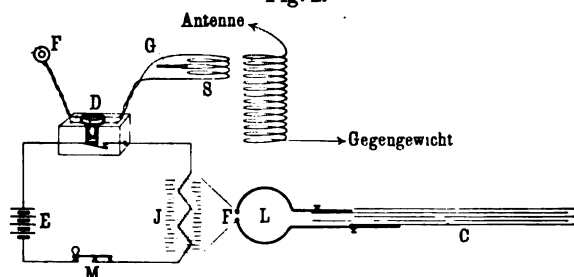
<sup>4)</sup> P. DRUDE, *Ebenda* (4) 11, 991, 1903.



Funkenlänge betrug 0,5 bis 0,6 mm; daraus ergibt sich ein Sekundäreffekt des Induktoriums von 9 bis 10 Watt, entsprechend dem günstigen Wirkungsgrad des Induktoriums von fast 40 Proz. Kleinere Kondensatoren werden durch dasselbe Induktorium mit sehr viel kleinerem Wirkungsgrad geladen. *M* ist ein Morsetaster.

Für Empfangsversuche induzierte der offene Schwingungskreis einen aperiodischen Kreis, bestehend aus einer Spule *S* von 10 Windungen, deren Enden an einen Bleiglanzdetektor *D* der Gesellschaft für drahtlose Telegraphie führten. Parallel zum Detektor lag ein Telephon *T*; außerdem enthielt die Spule einen kleinen Glimmerkondensator *G* von 2500 cm Kapazität, der die Telephonströme blockierte. Durch das Gehäuse des Detektors war die Speiseleitung des Induktoriums über einen Federkontakt

Fig. 2.

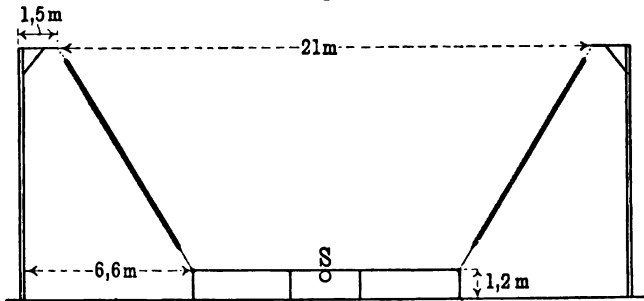


derart geführt, daß dieser Kontakt geöffnet war, sobald der Detektor eingesetzt wurde, so daß niemals Funken spielen konnten, wenn der empfindliche Detektor eingeschaltet war. Die ganze Anordnung der Fig. 2 war in einem tragbaren, 100 cm breiten, 40 cm hohen und 35 cm tiefen Stationskasten untergebracht.

Die magnetische Koppelung eines aperiodischen Detektorkreises mit dem Luftleiterkreise bewährt sich auch auf großen Stationen beim Gebrauch von Bleiglanzzellen, elektrolytischen Zellen und Kohärern. Über die günstigste Dimensionierung des aperiodischen Kreises liegen noch keine abgeschlossenen Messungen vor; sie hängt ab von der ungefähren Wellenlänge, die man empfangen will, und von den Eigenschaften des Detektors, der entweder auf Integralwerte des Stromes oder der Spannung, oder auf Momentanwerte von Strom oder Spannung wesentlich ansprechen kann.

2. Eine Station mit vier Masten wurde im Juli d. J. in einem von Wald, Hügeln, Telegraphenleitungen und Eisenbahnschienen freien Gelände zwischen Buckow und Lichtenrade südlich von Berlin erprobt. Sie enthielt zwei unter rechtem Winkel gekreuzte kongruente Systeme von je zwei Antennen mit denselben Abmessungen, die auf Seite 936 angegeben sind. In Fig. 3 sind die Maße eines Systems eingetragen. Die Koppelungsspule *S* besitzt sechs rechteckige Windungen von der Größe  $17 \times 12$  cm; in diesem Falle besaß jedes der beiden gekreuzten Systeme die Eigenschwingung 100 m. Vom Stationskasten aus standen die vier Masten in den Haupthimmelsrichtungen. In ungefähr 1 km Entfernung war südlich, südsüdwestlich und westlich von dieser

Fig. 3.

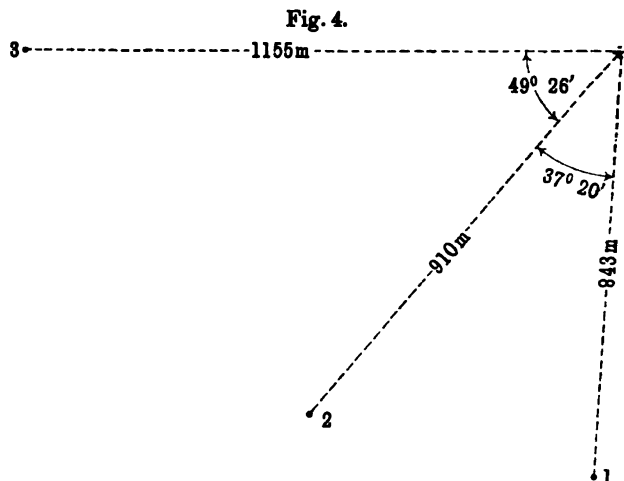


Hauptstation eine Außenstation mit einer Antenne aufgestellt. In den Lageplan Fig. 4 sind Abstände und Winkel eingetragen.

Die Verwendung zweier gekreuzter Systeme ist TOSI und BELLINI nachgebildet. Die beiden Koppelungsspulen werden gekreuzt auf einem drehbaren Rahmen befestigt, die eine an die Nord-Süd-Antennen angeschlossen, die andere an die Ost-West-Antennen. Ein Flaschenkreis von der oben beschriebenen Größe und Erregungsweise war fest aufgestellt; durch Drehen des Rahmens konnte die eine oder die andere Koppelungsspule in die Ebene des Flaschenkreises eingestellt werden.

Wurde mit dieser Vorrichtung das Nord-Süd-System allein erregt, so empfing die Station 1 laute Zeichen, die Station 2 ebenfalls, während 3 nichts empfing. Wurde der Rahmen um  $90^\circ$  gedreht, so wurden auf Station 3 laute Zeichen gehört, auf 2 schwache, auf 1 nichts.

Es wurde außerdem eine fliegende Empfangsstation verwendet. Sie enthielt dieselbe Antenne und Gegenantenne wie die Außenstationen, nur eine 10 m lange Bambusstange statt des Mastes; Koppelungsspule und aperiodischer Detektorkreis waren in einem kleinen Lederfutteral untergebracht, so daß die ganze Empfangsstation von zwei Radfahrern befördert und binnen zwei Minuten aufgestellt werden konnte. Telegraphierte nun die Hauptstation in Ost-West-Richtung, so konnte diese fliegende Station aus Süden auf 150 m genähert werden, ohne die Zeichen zu hören, während



sie noch in 3000 m Entfernung südlich deutlichen Empfang hatte, wenn die Hauptstation mit dem Nord-Süd-System Zeichen gab.

Für Empfangsversuche wurden die beiden gekreuzten Koppelungsspulen fest in einen Kasten eingebaut und die Spule des aperiodischen Detektorkreises drehbar angeordnet. Wurde dann auf den Stationen 1 und 3 gleichzeitig telegraphiert, so wurden die Zeichen von der Südstation laut gehört, wenn die Ebene der Detektorkreisspule in der Ebene des Nord-Süd-Systems lag. Wurde sie gedreht, so wurden die Zeichen schwächer, gleichzeitig wurden die Zeichen der Weststation hörbar; nach einer Drehung von  $90^\circ$  wurden diese allein gehört.

Die Zeichen der Station 2 wurden bei schräger Stellung der Detektorspule am lautesten gehört, was auch nach den Beobach-

tungen von TOSI und BELLINI zu erwarten war. Das Maximum war jedoch unscharf; dagegen war in der Richtung senkrecht dazu eine sehr deutlich ausgeprägte Nullstelle zu beobachten.

3. Im Oktober d. J. wurden weiterhin an einem System mit zwei Antennen im Gelände zwischen Gr.-Machnow und Mittenwalde mit der gütigen Genehmigung des Herrn Rittergutsbesitzers Dr. VON SCHIERSTÄDT Versuche angestellt, die vor allem entscheiden sollten, wie sich die Reichweite der gerichteten Station in der günstigsten Richtung zur Reichweite einer nach allen Seiten gleichmäßig strahlenden Station verhält.

Zu dem Zwecke war es zunächst notwendig, die Gleichmäßigkeit der Wirkungsweise der Stationen zu prüfen. Es hat sich mit einer Ausnahme, die am Schluß besprochen werden soll, ergeben, daß beim Telegraphieren mit der beschriebenen Station mit einem Mast auf einer fliegenden Station in 3600 m Entfernung stets mühelos die Zeichen gehört werden konnten. In größerer Entfernung wurden sie schwächer, in 3900 bis 4000 m verschwanden sie, in 4100 m wurden sie nie gehört. Diese Entfernungen wurden übereinstimmend beobachtet über ebenes und hügeliges Gelände, bei 35° Wärme und 6° Kälte, in grellestem Sonnenschein, bei bedecktem Himmel und im Finstern. Nur bei Regen waren die Reichweiten kleiner, weil die benutzten Isolationen dann versagten. Bei strenger Kälte und wenn die Beutelemente stark verbraucht waren, mußten fünf oder sechs Elemente benutzt werden, um dem Induktorium 25 Watt zuführen zu können.

Der Umstand, daß das Sonnenlicht keine nachweisbare Änderung verursachte, erklärt sich durch die Berechnung von ZENNECK<sup>1)</sup>, nach der erst Luftschichten von mehr als 6 km Höhe infolge der Ionisation durch Sonnenlicht Einfluß auf die Fortpflanzung der Wellen gewinnen können.

Es wurde ferner festgestellt, daß weder in mittleren Entfernungen, noch an der Grenze, wo die Zeichen noch soeben hörbar waren, wahrnehmbare Unterschiede der Lautstärke durch Drehen des Gegengewichts hervorgerufen werden konnten. K. E. F. SCHMIDT<sup>2)</sup> hat bolometrisch eine deutliche Abhängigkeit

---

<sup>1)</sup> J. ZENNECK, Ann. d. Phys. (4) 23, 864, 1907.

<sup>2)</sup> K. E. F. SCHMIDT, Phys. ZS. 8, 5, 1907.

der Empfangswirkung von der Orientierung des Gegengewichtes gefunden, und zwar in Abständen der Antennen von zwei bis drei Wellenlängen, während hier in 20 bis 40 Wellenlängen Abstand beobachtet wurde, allerdings mit dem Telephon, das nur größere Intensitätsunterschiede erkennen läßt.

Die Koppelung wurde auf sämtlichen Stationen so stark gewählt, daß soeben nicht mehr zwei Koppelungswellen mit dem Wellenmesser wahrgenommen werden konnten.

Es wurde zunächst eine der Station Fig. 3 ähnliche Station errichtet, deren Masten ungefähr in Ost-West-Richtung standen. Die Antennenspitzen waren 18 m voneinander entfernt. Die Reichweite dieser Station betrug in westlicher Richtung wenig mehr als 2000 m. Die Koppelungsspule besaß acht Windungen, und es war möglich, eine Koppelung von 15 Proz. herzustellen. Die beiden Koppelungswellen waren aber noch bei dem Koppelungsgrad 0,04 zu trennen.

Infolgedessen wurden die oberen Antennenenden auf 28 m entfernt und als Zuleitungen zu den Antennen mehrfache Drähte verwendet. Dann hatte die Koppelungsspule bei 100 m Wellenlänge des Systems sieben Windungen, und es konnte bei stärkster Koppelung der Koppelungskoeffizient 0,04 noch erreicht werden.

Mit dieser Station wurde eine Reichweite in östlicher Richtung erreicht, die etwa 4 km betrug und jedenfalls nicht kleiner war als die Reichweite einer Station mit einer Antenne.

Eine solche einfache Station war 200 m südlich in der Richtung des Minimums der gerichteten Station aufgestellt und war während der Versuche für Vergleichszwecke beständig in Betrieb.

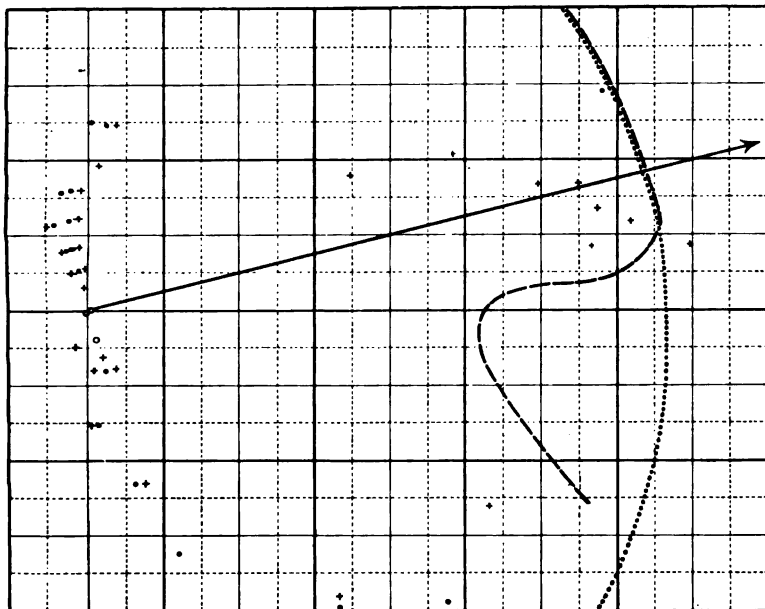
Um eine ungefähre Kurve gleicher Energie aufzunehmen, wurde im Gelände nördlich, südlich und östlich der gerichteten Station mit der fliegenden Empfangsstation die Grenze aufgesucht, bis zu der die Zeichen der gerichteten Station gehört werden konnten.

In Fig. 5 sind die Stellen der Masten durch kleine Kreise bezeichnet; der lange Pfeil bezeichnet die Richtung, in der die Masten der Station mit zwei Antennen hintereinander erscheinen. Die punktierte Kurve ist ein Kreis um die einfache Station mit 3,8 km Radius. Die Kreuze bezeichnen Stellen, an denen die Zeichen von der gerichteten Station deutlich gehört wurden, die

Punkte solche Stellen, wo nichts zu hören war. Die Grenze des Empfanges in weiter Annäherung liegt auf zwei Kreisen, die sich in der Mitte zwischen den Masten berühren.

Von den Unregelmäßigkeiten interessiert besonders, daß nördlich der Station, wo freies Feld vorhanden war, schon in 200 m Abstand eine Nullstelle festgestellt werden konnte, südlich jedoch erst in 350 m Abstand, jedenfalls in Folge störender Reflexionen

Fig. 5.



an dem benachbarten Dorfrand und an Windmühlen. Die gestrichelte Kurve begrenzt das Gebiet, in dem von der einfachen Station kein deutlicher Empfang vorhanden war. Diese Kurve besitzt dem Kreise gegenüber eine sehr merkwürdige Einbuchtung. Für diese Erscheinung habe ich keinen Grund finden können, vielleicht ist sie durch die Bodenbeschaffenheit verursacht. Dieses Gebiet, in dem niemals die Zeichen von einer der beiden Stationen gehört werden konnten, unterscheidet sich von dem übrigen untersuchten Gelände in geologischer Hinsicht dadurch, daß es ein ausgedehntes Tonlager enthält.

Es wurden auch Versuche angestellt, die zeigen sollten, ob in der Umgebung der Zweiantennenstation ein starkes horizontales elektrisches Feld vorhanden sei. Zu dem Zweck wurde nördlich dieser Station — also in der Richtung des Minimums des Empfanges mit vertikaler Antenne — ein 20 m langer Draht 1 m über dem Erdboden isoliert ausgespannt; in der Mitte enthielt er eine Spule, die mit einem aperiodischen Detektorkreis gekoppelt wurde. Das ganze System war auf 100 m Wellenlänge abgestimmt. Waren die Drähte parallel zur Verbindungslinie der zwei Masten geführt, so wurden in 200 m Abstand die Zeichen der gerichteten Station laut gehört; in 400 m Abstand konnten sie jedoch in keiner Lage der Drähte gehört werden.

Die Zeichen der einfachen Station konnten mit dieser Empfangseinrichtung noch in 1300 m Entfernung verstanden werden, falls der Draht genau nach dieser Station hinzeigt. Diese Anordnung ist der von BRAUN<sup>1)</sup> und SIGSFELD benutzten sehr ähnlich; ihre Wirkungsweise bildet eine neue Bestätigung des von ZENNECK<sup>2)</sup> gefolgerten Vorhandenseins horizontaler elektrischer Komponenten bei der Fortpflanzung elektrischer Wellen über schlecht leitenden Boden.

An den beschriebenen Versuchen haben die Herren K. BANGERT und C. FISCHER mitgearbeitet.

---

<sup>1)</sup> F. BRAUN, Jahrb. d. drahtl. Telegr. u. Teleph. 1, 3, 1908.

<sup>2)</sup> J. ZENNECK, Ann. d. Phys. (4) 23, 846, 1907.

# Schieß- und Sprengmittel.

Von

**Oscar Guttman,**

Ingenieur-Konsulent in London, Mitglied verschiedener Ingenieur- und gelehrter Institute.

Mit 88 Abbildungen. (Erweiterter Sonderabdruck aus „Muspratts theoretische, praktische und analytische Chemie“, 4. Auflage. VII. Band.)

Preis Mark 8,—, geb. in Hlbfrz. Mark 10,—.

**Berg- und Hüttenmännische Zeitung:** Ist natürlich mit den neuesten Erfahrungen bereichert und bis zur Gegenwart fortgeführt worden, so daß er verdienten Beifall finden dürfte.

**Zeitschrift für angewandte Chemie:** Besonders mit Bezug auf die Neuerungen der letzten Jahre bildet das Werk eine wertvolle Ergänzung des umfangreicheren Buches. Daß die Darstellung in jeder Hinsicht interessant und anregend ist, bedarf bei Guttmanns bekannter Schilderungsgabe wohl kaum der besonderen Erwähnung.

**Zeitschrift für Berg-, Hütten- und Salinenwesen im Preußischen Staate:** Wie das große Werk des Verfassers, so zeichnet sich auch das vorliegende Handbuch nicht nur durch seine vortreffliche, übersichtliche Darstellung, sondern auch durch gediegene Ausstattung aus.

# Die Industrie der Explosivstoffe.

Von

**Oscar Guttman,**

Ingenieur-Konsulent in London, Mitglied verschiedener Ingenieur- und gelehrter Institute.

Mit 327 Abbildungen. Preis Mark 30,—.

**Archiv für die Artillerie- und Ingenieur-Offiziere:** Die streng wissenschaftliche Behandlungsart des Stoffes, die Gründlichkeit der theoretischen und praktischen Darlegungen durch den vielerfahrenen Verfasser dürften das hier besprochene Buch für den Fachmann unentbehrlich machen.

**Gaes:** Das obige Werk darf daher wirklich als ein wissenschaftliches Ereignis auf diesem Gebiete bezeichnet werden, als ein Buch, das in Hinsicht auf Gründlichkeit der theoretischen und praktischen Behandlung des Stoffes einzig dasteht.

• • • • • Ausführliches Verlagsverzeichnis kostenlos. • • • • •



Verlag von Friedr. Vieweg & Sohn in Braunschweig.

# Die Telegraphie ohne Draht

VON

**Augusto Righi** und **Bernhard Dessau**

o. Professor an der Universität Bologna. a. o. Professor an der Universität Perugia.

Zweite vervollständigte Auflage.

Mit 312 in den Text eingedruckten Abbild. Preis geh. *M* 15,—, geb. *M* 16,50

Physikalische Zeitschrift: A. Righi ist einer der Klassiker auf dem Gebiete der elektrischen Wellen, und von ihm hat sein Schüler Marconi den wissenschaftlichen Impuls zu seiner energischen Inangriffnahme des praktischen Problems erhalten. Das Buch ist populär gehalten, aber im besten Sinne wissenschaftlich populär. Dementsprechend orientiert der erste Teil über die grundlegenden elektrischen Erscheinungen. Der zweite Teil spezialisiert sich auf die Grundlagen des Gebietes, die elektromagnetischen Wellen, behandelt dort in sehr schöner und kritisch klarer Weise die elektrischen Schwingungen, die elektrischen Wellen und die Radioduktoren. Der dritte Teil bringt dann die praktischen Arbeiten über Telegraphie ohne Draht, wo überall erfolgreich getrachtet ist, das Prinzipielle zu sondern und hervorzuheben. Keine Zusammenstellung, sondern eine kritische Bearbeitung haben wir hier, dabei gründliche und vollständige historische Übersichtlichkeit und gerechte Würdigung der Anteile jedes Arbeiters. Der vierte Teil bringt die Versuche über drahtlose Telegraphie mit Hilfe der photoelektrischen Wirkungen des ultravioletten Lichtes (Zickler), dann die Photophonie (Bull) und deren vom Referenten begründete praktische Ausgestaltung, die Flammtelephonie.

# Die internationalen absoluten Maße

insbesondere **Die elektrischen Maße**

für Studierende der Elektrotechnik in Theorie und Anwendung dargestellt  
und durch Beispiele erläutert von

**Dr. A. von Waltenhofen.**

Dritte, zugleich als Einleitung in die Elektrotechnik bearb. Auflage.

Mit 42 Abbildungen. Preis geheftet *M* 8,—, gebunden *M* 9,—.

Zeitschrift für Heizung, Lüftung und Beleuchtung: Diese dritte Auflage muß infolge der bedeutenden Bereicherung und Ausdehnung auf die Elektrotechnik als ein von den früheren Auflagen völlig verschiedenes, viel umfassenderes Werk, namentlich aber mehr dem Bedürfnisse des praktischen Elektroingenieurs angepaßt, bezeichnet werden. Überall sind die Lehraufträge durch Beispiele der praktischen Anwendung nutzbar gemacht, und dabei die neuere Arbeit überall hinzugefügt und in den Zahlenangaben verwertet. . . . Wir begrüßen in diesem Buche freudig ein Werk, das in ungemein leicht faßlicher und klarer Weise die aus den Naturgesetzen nach der Gauss'schen Lehre entwickelten absoluten Maße und Einheiten allen Zweigen der Physik und der darin begründeten Technik einheitlich dienstbar macht, und damit gewissermaßen den Schlüsselstein für die praktische Durchführung zu der Lehre von der Einheit der Naturkräfte liefert. Wir können dieses Werk allen denen bestens empfehlen, die als Studierende sowie praktisch mit den auf theoretischer Grundlage anzustellenden Berechnungen für elektrische Anlagen jeder Art zu tun haben. Dem Physiker von Beruf aber scheint uns dies Werk ein wertvolles Nachschlagewerk zu sein.

Ausführliches Verlagsverzeichnis kostenlos.

**Berichte**  
der  
**Deutschen Physikalischen Gesellschaft**

enthaltend

**Verhandlungen**

der Deutschen Physikalischen Gesellschaft  
im Auftrage der Gesellschaft herausgegeben

von

**Karl Scheel**

und

**Halbmonatliches Literaturverzeichnis**

der „Fortschritte der Physik“, dargestellt von der  
Deutschen Physikalischen Gesellschaft

redigiert von

**Karl Scheel**  
für reine Physik

**Richard Assmann**  
für kosmische Physik

---

**Braunschweig**

Druck und Verlag von Friedrich Vieweg und Sohn

1908

---

*monatlich zwei Nummern. — Abonnementspreis pro Jahrgang 8 Mark. — Zu beziehen durch alle Buchhandlungen und Postanstalten.*

# Inhalt.

| <b>1. Verhandlungen der Deutschen Physikalischen Gesellschaft.</b>   |              |
|--|--------------|
| Bericht über die Sitzung vom 18. Dezember 1908. . . . .  | Seite<br>945 |
| M. Thiesen, Über die spezifische Wärme fester Körper. (Eingegangen am 12. Dezember 1908, vorgelegt in der Sitzung vom 18. Dezember 1908.) . . . . .  | 947          |
| O. v. Baeyer, Reflexion und Sekundärstrahlung langsamer Kathodenstrahlen. (Vorgetragen in der Sitzung der physikalischen Abteilung der 80. Versammlung Deutscher Naturforscher und Ärzte zu Cöln am 23. September 1908.) . . . . .     | 953          |
| Robert Fürstena u, Über die Abhängigkeit des Verhältnisses der spezifischen Wärmen der Gase von der Temperatur. (Vorgelegt in der Sitzung vom 4. Dezember 1908.) . . . . .   | 965          |
| Edgar Meyer, Zur Deutung der Versuche des Herrn M. Cantor. (Eingegangen am 10. Dezember 1908, vorgelegt in der Sitzung vom 18. Dezember 1908.) . . . . .   | 980          |
| Mitgliederliste der Deutschen Physikalischen Gesellschaft. . . . .   | 983          |
| Alphabetisches Namenregister zu Jahrgang 10 (1908) der Verhandlungen der Deutschen Physikalischen Gesellschaft. . . . .  | 995          |
| Titel und Inhalt zum 6. Jahrgange. . . . .   | I bis X      |
| <b>2. Halbmonatliches Literaturverzeichnis der Fortschritte der Physik.</b>  |              |
| I. Allgemeine Physik. S. 437. — II. Akustik. S. 439. — III. Physikalische Chemie. S. 439. — IV. Elektrizität und Magnetismus. S. 441. — V. Optik des gesamten Spektrums. S. 445. — VI. Wärme. S. 447. — VII. Kosmische Physik. S. 449. |              |

**Photometer**  
**Spektral-Apparate**  
**Projektiens-Apparate**  
**Glas-Photogramme**  
**Physik. Apparate n. Prof. Grimseh!**  
**Optisches Institut von A. Krüss**  
Inhaber: Dr. Hugo Krüss. **HAMBURG.**

Verlag von Friedr. Vieweg & Sohn in Braunschweig.

## Die physikalischen Eigenschaften der Seen.

Von Dr. Otto Freiherr von und zu Aufsess,

Assistent für Physik an der Königlichen Technischen Hochschule München.

Mit 36 eingedruckten Abbildungen. gr. 8. Preis geh. 3 *M.*, geb. 3,60 *M.*

**Verhandlungen**  
der  
**Deutschen Physikalischen Gesellschaft**

Im Auftrage der Gesellschaft herausgegeben

von

**Karl Scheel**

---

10. Jahrg.

30. Dezember 1908.

Nr. 24.

---

**Sitzung vom 18. Dezember 1908.**

Vorsitzender: Hr. H. RUBENS.

Hr. **Erich Lehmann** berichtet  
über das ultraviolette Ende des Sonnenspektrums.

Ferner spricht Hr. **O. Hahn**  
über eine neue Erscheinung bei der Aktivierung von  
Aktinium.

Hr. **O. Reichenheim** legt eine Mitteilung:  
Über die Fluoreszenzfarben von Glas und Quarz unter  
dem Einfluß von Kathodenstrahlen;  
ferner Hr. **Erich Regener** eine Arbeit von Hrn. **Edgar Meyer**:  
Zur Deutung der Versuche des Hrn. **M. Cantor**;  
endlich Hr. **Karl Scheel** folgende Mitteilungen vor:

1. von Hrn. **M. Thiesen**: Über die spezifische Wärme fester Körper;
2. von Hrn. **R. Lindemann**: Über Dämpfungsmessungen mittels ungedämpfter elektrischer Schwingungen.

Als Mitglieder wurden in die Gesellschaft aufgenommen:

Hr. stud. phys. FRITZ SPAHN, Berlin NW. 52, Werftstraße 4.

(Vorgeschlagen durch Hrn. R. POHL.)

Hr. Dr. OTTO CURIO, Berlin N. 24, Friedrichstraße 134.

(Vorgeschlagen durch Hrn. R. NAHRWOLD.)

Hr. Dr. R. FÜRSTENAU, Charlottenburg 2, Uhlandstraße 18/19.

(Vorgeschlagen durch Hrn. KARL SCHEEL.)

---

**Über die spezifische Wärme fester Körper;  
von M. Thiesen.**

(Vorgelegt in der Sitzung vom 18. Dezember 1908.)

(Vgl. oben S. 945.)

Eingegangen am 12. Dezember 1908.

1. In einer früheren Veröffentlichung<sup>1)</sup> habe ich für die Ausdehnung und für die spezifische Wärme fester Körper gewisse Formeln aufgestellt und zunächst an Platin geprüft, zugleich auch hervorgehoben, daß eine genauere Prüfung nur auf Grund der Originalarbeiten erfolgen könne. Ich habe nun die Literatur über Bestimmungen der spezifischen Wärme fester Elemente einer eingehenden Durchsicht unterzogen und andererseits versucht, eine sichere Grundlage für eine Theorie zu gewinnen. Das allgemeine vorläufige Ergebnis dieser Untersuchungen möchte ich hier schon jetzt vorlegen.

2. Die erwähnten Formeln sagen aus, daß spezifische Wärme und Ausdehnungskoeffizient einer und zwar derselben Potenz der absoluten Temperatur proportional seien; abgeleitet wurden sie aus einem empirischen Satze des Herrn GRÜNEISEN, nach dem das Verhältnis der beiden Größen konstant sein sollte. Nun habe ich schon in einer Berichtigung bemerkt, daß die Formeln nicht notwendig aus dem Satze GRÜNEISENS folgen<sup>2)</sup>. Außerdem geht aber aus dem Beobachtungsmaterial bei kritischer Behandlung wohl mit Sicherheit hervor, daß der GRÜNEISENSCHE Satz nicht richtig ist; der Ausdehnungskoeffizient wächst meist viel schneller mit der Temperatur als die spezifische Wärme<sup>3)</sup>. Gegen die Richtigkeit der Formel für die spezifische Wärme spricht ferner, daß sie mit dem Gesetze von DULONG und PETIT unvereinbar ist.

Scheinen damit die Grundlagen für die Formeln vollständig zusammengebrochen zu sein und muß man jedenfalls für Aus-

<sup>1)</sup> M. THIESEN, Verh. D. Phys. Ges. 10, 409, 1908.

<sup>2)</sup> M. THIESEN, ebend. 10, 604, 1908.

<sup>3)</sup> Dies gilt auch für Platin. Nach der anderen Seite hin weicht ein Satz von TOMLINSON von den Tatsachen ab; H. TOMLINSON, Proc. London Roy. Soc. 37, 111, 1884.

dehnung und spezifische Wärme verschiedene Werte des Exponenten annehmen, so zeigt sich doch andererseits, insbesondere für die spezifische Wärme, daß die Formel die Aufgabe, welche ich ihr von Anfang an allein zugewiesen hatte, recht gut erfüllt. Sie stellt die Abhängigkeit der spezifischen Wärme von der Temperatur in den beobachteten Intervallen für die meisten Körper im großen und ganzen dar und erweist sich für Extrapolationen den bisher angewandten Potenzreihen weit überlegen. Leitet man die Konstanten aus GAEDES zwischen  $0^{\circ}$  und  $100^{\circ}$  liegenden Beobachtungen ab, so werden Beobachtungen bei der Temperatur der flüssigen Luft noch befriedigend wiedergegeben.

Dies liegt wohl daran, daß die Formel doch wesentliche Eigenschaften mit dem wahren Gesetze gemeinsam hat. Man kann es als Tatsache ansehen, daß die spezifische Wärme der festen Körper (d. i. der Kristalle) mit der Temperatur wenigstens nahezu verschwindet, daß sie mit wachsender Temperatur zwar nicht, wie die Formel für einen gebrochenen Exponenten aussagt, sogleich unendlich schnell, aber doch bei meist noch sehr niedriger Temperatur sehr rasch ansteigt, und daß dieser Anstieg dann mit einer stark verminderten Geschwindigkeit andauert, bis der Schmelzpunkt oder eine andere Umwandlungstemperatur den stetigen Gang der Änderung unterbricht.

3. Die richtige Grundlage für eine Theorie der spezifischen Wärme fester Körper dürfte durch Herrn EINSTEIN<sup>1)</sup> gegeben sein. Im Anschluß an diese Theorie nehmen wir an, daß die chemischen Atome eines festen Körpers bei der Temperatur des absoluten Nullpunktes durch elastische Kräfte in einer bestimmten Stellung, etwa den Gitterpunkten eines Raumgitters, festgehalten werden. Bei höherer Temperatur werden dann die Atome um ihre Gleichgewichtslage nahezu isochrone gedämpfte Schwingungen ausführen; die Frequenzen dieser Schwingungen werden in drei bestimmten Richtungen unabhängig voneinander sein. Der Anstoß zu diesen Schwingungen wird durch die schwarze Strahlung gegeben, die den Körper erfüllt; die Energie der Schwingungen muß sich mit der Energie der schwarzen Strahlung ins Gleichgewicht setzen. Damit ist das Mittel gegeben, den Wärme-

<sup>1)</sup> A. EINSTEIN, Ann. d. Phys. (4) 22, 184 und 800, 1907.

inhalt des Körpers und demnach auch seine spezifische Wärme zu berechnen.

Aus den bisher angegebenen Voraussetzungen läßt sich das Gesetz von DULONG und PETIT nebst seinen Erweiterungen für zusammengesetzte Körper als Grenzgesetz für hohe Temperaturen ableiten, auch erhält man den zuerst von BOLTZMANN<sup>1)</sup> angegebenen theoretischen Wert des Koeffizienten dieses Gesetzes. Gleichzeitig wird aber auch die Abnahme der spezifischen Wärme mit sinkender Temperatur erklärt.

Freilich versagt die dafür von Herrn EINSTEIN angegebene Formel, wenn man sie an dem hierfür besonders geeigneten Diamanten prüft; schon die von Herrn EINSTEIN selbst benutzten Versuche des Herrn A. F. WEBER lassen starke systematische Fehler übrig, und bei der Temperatur der flüssigen Luft erklärt die Formel nicht den tausendsten Teil der an sich schon kleinen von Herrn DEWAR gefundenen Wärme. Der Grund dafür ist aber leicht zu finden. Die von EINSTEIN benutzte Formel des Herrn PLANCK berücksichtigt nur diejenige Energie des Resonators, welche von Schwingungen herrührt, die sehr nahe der Eigenschwingung des Resonators entsprechen; ist nun aber diese Eigenschwingung in der erregenden Schwingung äußerst klein gegenüber der gesamten Energie, so kann auch die von PLANCK berücksichtigte Energie noch klein gegen die wahre sein. Dies muß für sehr niedrige Temperaturen zutreffen, für diese wird dann die spezifische Wärme annähernd der dritten Potenz der Temperatur proportional sein und nicht mehr der Formel EINSTEINs entsprechen.

Nach einer zunächst nur beiläufig durchgeführten Rechnung kann man erwarten, daß der Gang der spezifischen Wärme des Diamanten auch quantitativ durch die in der angedeuteten Weise vervollständigte Theorie wiedergegeben wird; allerdings muß dann eine ziemlich erhebliche Dämpfung angenommen werden.

4. Bei der bisher gemachten Annahme von isochronen gedämpften Schwingungen liegt kein Grund vor, zwischen der spezifischen Wärme bei gleichem Volumen und gleichem Drucke zu unterscheiden, falls wir die elastischen Kräfte nur von der Lage,

---

<sup>1)</sup> L. BOLTZMANN, Sitzungsber. d. Wiener Akad. 63 [2], 732, 1871.



nicht auch von der Bewegung der Atome abhängen lassen. Die mittlere Lage der Atome und das mittlere Potential der elastischen Kräfte wird sich durch kleine Schwingungen nicht merklich ändern; also wird auch die Gestalt des Körpers oder bei festgehaltener Gestalt der Druck zunächst bei einer Erhöhung der Temperatur ungeändert bleiben; die Theorie fordert also, daß die Ausdehnungskoeffizienten bei niedriger Temperatur verschwindend klein sind <sup>1)</sup>).

Bei etwas höheren Temperaturen werden aber die Schwingungen nicht mehr isochron sein. Man darf nämlich keinesfalls annehmen, daß bei gewöhnlicher Temperatur die Schwingungsamplituden klein gegen die mittleren Abstände der Atome oder gleichwertiger Atomgruppen sind. Schmelzen oder Übergang in eine andere Modifikation wird eintreten, wenn die Schwingungsamplituden von der Ordnung dieser Abstände sind, da dann die bestimmte Lage im System nicht mehr bestehen bleibt. Nun sind, wie der Gang der spezifischen Wärme zeigt, für die meisten Körper, mit Ausnahme etwa des Diamanten und einiger bei gewöhnlicher Temperatur gasförmiger Körper, schon bei ziemlich niedrigen Temperaturen die Schwingungsamplituden nahezu proportional der Quadratwurzel aus der absoluten Temperatur, also schon bei mäßigen Temperaturen ziemlich groß. Die Atome oder Atomgruppen eines Körpers, der bei 1000° absolut schmilzt, werden bei der Temperatur des schmelzenden Eises schon Schwingungen ausführen, deren Amplitude der Hälfte ihres Abstandes gleichkommt <sup>2)</sup>). Bei so großen Amplituden darf man aber selbst bei Annahme sehr einfacher Elementargesetze für die elastischen Kräfte nicht mehr voraussetzen, daß diese der Entfernung aus der Gleichgewichtslage proportional sind; die Kräfte, welche der Annäherung entgegenwirken, werden im allgemeinen schneller wirken als die entgegengerichteten Kräfte; daraus folgen bei festgehaltener Gestalt Druckkräfte, bei gleichen äußeren Kräften Gestaltsänderungen, bei denen die Ausdehnung überwiegt. Jetzt ist auch die lebendige Kraft der Schwingung nicht mehr gleich der potentiellen Energie und damit die Gültigkeit des DULONG-

<sup>1)</sup> Körper wie Quarzglas und Jodsilber entsprechen nicht der Theorie.

<sup>2)</sup> Die wirkliche Annäherung der Atome wird natürlich kleiner sein, da die nach den Lücken gerichteten Schwingungen bevorzugt sind.

PETITSchen Gesetzes für höhere Temperaturen wieder aufgehoben; in der Tat zeigt die Erfahrung, daß die spezifische Wärme beim Schmelzpunkt (oder (beim grauen Zinn) beim Umwandlungspunkt um etwa 20 Proz. größer ist, als es der einfachen Theorie entspricht.

Die Berücksichtigung der Abweichung der Schwingungen vom Isochronismus würde die Durchführung der Theorie sehr erschweren. Doch kommt demgegenüber in Betracht, daß bei höheren Temperaturen die Abhängigkeit der Erscheinungen von der Frequenz, wie sie die EINSTEINSche Theorie kennzeichnet, keine erhebliche Rolle mehr spielt und hier daher die Theorien von BOLTZMANN und RICHARZ wieder an Bedeutung gewinnen.

5. Die Theorie EINSTEINS beseitigt zum Teil eine Schwierigkeit der älteren Theorie, welche darin liegt, daß man außer den Atomen noch andere Gebilde annehmen muß, welche durch Strahlung veranlaßt werden, periodische Schwingungen auszuführen. Ordnet man jedem Atom auch nur noch eine weitere Schwingung von einem Freiheitsgrade bei, so führt die ältere Theorie schon auf unzulässige Werte für die spezifische Wärme. Die Theorie EINSTEINS beseitigt diese Schwierigkeit, da der Beitrag dieser anderen Gebilde zur Körperwärme bei ihren großen Frequenzen erst bei Temperaturen merklich werden würde, die nicht mehr zur Beobachtung kommen<sup>1)</sup>.

Die modifizierte Theorie läßt diesen Betrag zwar größer erscheinen, wird aber auch im allgemeinen von der Berücksichtigung dieser anderen Gebilde absehen müssen. Eine solche ist unnötig, da für die Abweichungen von der einfachen Theorie bei hohen Temperaturen ein anderer Grund vorliegt, sie ist aber auch unzulässig, da ein überhaupt merklicher Einfluß zunächst viel schneller mit der Temperatur zunehmen müßte, als es der Beobachtung entspricht.

Dagegen wäre es denkbar, daß bei gut leitenden Metallen der Einfluß der frei beweglichen Elektronen zur Geltung käme, die man als Ursache der Leitungsfähigkeit annimmt. Es müßte sich dann die spezifische Wärme solcher Metalle mit sinkender

---

<sup>1)</sup> EINSTEIN selbst läßt die Frage, wieviel Schwingungen zur Geltung kommen, offen, nimmt auch immer drei Freiheitsgrade von gleicher Frequenz an.

Temperatur nicht der Null, sondern einem kleinen konstanten Werte nähern, und aus diesem Werte würde man die bisher noch ganz unbekannte Zahl der Leitungselektronen berechnen können.

Jedenfalls wäre es zur Prüfung und Weiterführung der Theorie äußerst erwünscht, daß das brauchbare Material an Bestimmungen der spezifischen Wärme hauptsächlich bei niederen Temperaturen wesentlich vermehrt würde. Soweit tunlich wären dafür am besten getrennte Kristalle zu wählen, bei denen vielleicht die Nachwirkungserscheinungen der quasiisotropen Körper fehlen.

---

***Reflexion und Sekundärstrahlung langsamer  
Kathodenstrahlen;  
von O. v. Baeyer.***

(Vorgetragen in der Sitzung der physikalischen Abteilung der 80. Versammlung  
Deutscher Naturforscher und Ärzte zu Cöln am 23. September 1908).

(Vgl. oben S. 621.)

In einer früheren Arbeit<sup>1)</sup> hatte Verfasser gezeigt, daß langsame Kathodenstrahlen, die von einer glühenden Oxydkathode ausgehen, beim Auftreffen auf Metallflächen in einem von elektrischen Kräften freien Raum eine recht beträchtliche diffuse Kathodenstrahlung auslösen. Diese Versuche sind inzwischen durch eine Veröffentlichung von E. LADENBURG † und K. MARKAU<sup>2)</sup> auch für lichtelektrisch erzeugte Kathodenstrahlen bestätigt worden. Es wurde hier gezeigt, daß durch Vermeidung der Reflexion die früher erhaltenen Resultate über die Geschwindigkeitsverteilung lichtelektrischer Elektronen wesentlich modifiziert werden.

Als Ursache dieser Erscheinung nahm ich damals das Vorhandensein einer wirklichen Reflexion an, wie sie auch bei schnellen Kathodenstrahlen bekannt ist.

Diese Anschauung wurde dadurch gestützt, daß die Stärke des Reflexionsvermögens mit wachsender Geschwindigkeit der Primärstrahlen abzunehmen schien, während nach den LENARDschen Versuchen für die eigentliche Sekundärstrahlung ein Anwachsen bis zu Geschwindigkeiten von 400 Volt zu erwarten war.

Im folgenden sollen nun eingehendere Versuche beschrieben werden, aus welchen hervorgeht, wie dies Reflexionsvermögen, d. h. die Stärke der von der bestrahlten Platte ausgehenden Strahlung in Prozenten der auftreffenden, von der Geschwindigkeit abhängt.

Zur Messung des Reflexionsvermögens war in der früheren Arbeit ein Hilfsfeld an der bestrahlten Platte verwendet worden.

<sup>1)</sup> O. v. BAeyer, Über langsame Kathodenstrahlen. Verh. d. D. Phys. Ges. 10, 96, 1908.

<sup>2)</sup> E. LADENBURG † und K. MARKAU, Über die Anfangsgeschwindigkeiten lichtelektrischer Elektronen. Verh. d. D. Phys. Ges. 10, 562, 1908.

Diese Methode leidet aber, wie schon seinerzeit erwähnt, an verschiedenen Mängeln, die vor allem durch das verwendete Netz durchdringende Streufeld bedingt sind. Ich habe deshalb die beiden anderen Methoden zur Vermeidung der Reflexion, die l. c. erwähnt wurden, untersucht, nämlich Auswahl eines geeigneten Materials und Anwendung eines Faradayzylinders.

Zunächst wurden durch Vorversuche verschiedene Materialien auf ihr Reflexionsvermögen geprüft. Es ergab sich, daß Ruß jedenfalls nur geringes Reflexionsvermögen für Strahlgeschwindigkeiten zwischen 0 und 20 Volt besitzt. Der Versuch wurde so angestellt, daß in den Weg der Kathodenstrahlen eine durch Schliff drehbare Messingplatte gestellt wurde, die einerseits beruht war. Es ergab sich dann, daß der von der Messingplatte abfließende Strom mehr als doppelt so groß wurde, wenn die Messingplatte durch die Rußschicht ersetzt wurde.

Dieser Versuch führte zu einer einwandfreien Anordnung zur Bestimmung des Reflexionsvermögens. Zu einer einigermaßen zuverlässigen Messung ist nämlich unbedingt erforderlich, daß die gesamte Umgebung des Reflektors möglichst wenig reflektiert, um zu vermeiden, daß die vom Reflektor zurückgeworfene Strahlung durch nochmalige Reflexion wieder an den Reflektor zurückgelangt. Deshalb wurde in allen folgenden Versuchen der Reflektor umgeben mit beruhten Metallflächen, die außerdem möglichst weit vom Reflektor entfernt angebracht waren. Auf diese Weise konnte die Störung durch zweimalige Reflexion fast vollkommen beseitigt werden.

#### Messung der Reflexion mittels Faradayzylinders.

Das Prinzip der Methode besteht darin, daß ein Kathodenstrahlbündel das eine Mal auf den zu untersuchenden Reflektor fällt, das andere Mal von einem Hohlzylinder aufgefangen wird, bei dem praktisch keine Reflexion auftritt. Mißt man den vom Reflektor bzw. Hohlzylinder abfließenden Strom, so kann aus dem Verhältnis der beiden Ströme das Reflexionsvermögen berechnet werden.

Die Versuchsanordnung war folgende: In der zu evakuierenden Glasröhre war als Kathodenstrahlenquelle eine kleine Spirale *B*

aus Platindraht mit Calciumoxydüberzug angebracht, die gegläht werden konnte. *A* (Fig. 1) ist ein Messingrohr von 3 cm Durchmesser und 3 cm Höhe, in dessen Mitte ein 4 mm weites, sehr dünnwandiges Röhrchen *a* angebracht ist. Wurde *B* gegläht und zwischen *A* und *B* eine Potentialdifferenz angelegt, so trat durch das Röhrchen ein Kathodenstrahlbündel, das auf die als Reflektor dienende Platte *C* fällt. Die Dimensionen des Diaphragmas *a* waren so gewählt, daß ein Übertreten von Kraftlinien des Feldes zwischen *A* und *B* nach dem Reflektorraum ausgeschlossen war, und daß das austretende Kathodenstrahlbündel (bei geradliniger Bahn der Teilchen) in allen Fällen ganz auf Platte *C* fallen mußte.

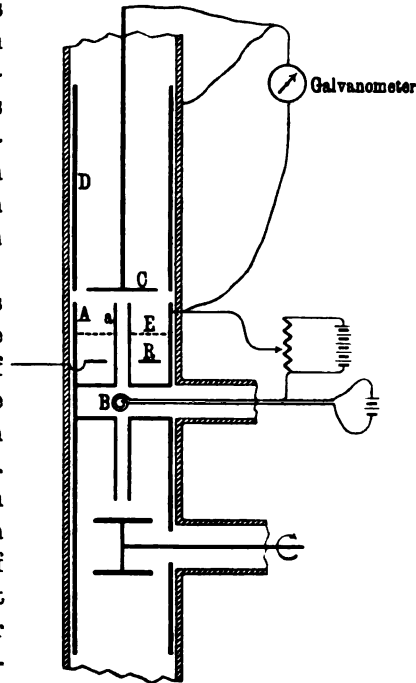
Die Oberfläche des Rohres *A* war berußt, und es ist ohne weiteres ersichtlich, daß auf diese Weise von *C* reflektierte Strahlen nur zum geringsten Teil zurückgelangen können. Die Platte *C* war beweglich und hing an einem dünnen Kupferdraht, der mittels Schliff auf eine Achse aufgewickelt werden konnte. Dadurch war es möglich, die Platte *C* innerhalb des berußten Messing-

zylinders *D* von 3 cm Weite und 7 cm Länge beliebig heben und senken zu können. War die Platte *C* am oberen Ende von *D*, so wurde durch *D* und *C* ein Hohlzylinder gebildet.

Die Länge dieses Hohlzylinders war derartig, daß die am oberen Ende diffus reflektierten Kathodenstrahlen (geradlinige Ausbreitung vorausgesetzt) praktisch vollkommen von den Wänden des Hohlzylinders aufgenommen wurden.

Der vom Zylinder *D* und der Platte *C* nach *A* abfließende

Fig. 1.



Strom konnte durch ein Galvanometer gemessen werden (Empfindlichkeit etwa  $5 \cdot 10^{-10}$  Amp. pro Skalenteil). War  $i_1$  der von  $C$  abfließende Strom, wenn die Platte  $C$  am unteren Rande von  $D$  stand,  $i_2$  der von  $C$  und  $D$  abfließende Strom, wenn die Platte  $C$  am oberen Rande von  $D$  stand, so ergab  $1 - \frac{i_1}{i_2} = R$  das Reflexionsvermögen der Platte.

Bei diesen Messungen sind nun zwei Fehlerquellen zu berücksichtigen. Zunächst muß für einwandfreie Messungen die Ionisation, d. h. die Bildung von positiven und negativen Ionen aus ungeladenen Gasmolekülen zu vernachlässigen sein. Für sehr langsame Kathodenstrahlen von 0 bis 10 Volt Geschwindigkeit, ist, wie LENARD gezeigt hat, die Ionisation außerordentlich gering, auch bei weniger vollkommenem Vakuum. Bei höheren Geschwindigkeiten steigt dagegen die Ionisation stark an, wenn man nicht außerordentlich hohes Vakuum verwendet. Wie ich schon an anderen Orte erwähnte, gelingt es durch Evakuierung mittels Kokosnußkohle und flüssiger Luft die Ionisation für die hier in Betracht kommenden Kathodenstrahlgeschwindigkeiten auf ein genügend kleines Maß herabzudrücken.

Die Verwendung sehr guten Vakuums ist aber noch aus einem anderen Grunde nötig. Es haben nämlich gerade die sehr langsamen Elektronen in besonderem Maße die Eigenschaft, sich mit Gasteilchen zu beladen. Auf diese Weise werden negative Ionen gebildet, die von LENARD „Träger“ genannt werden. Diese Trägerbildung verursacht besonders bei langsamen Kathodenstrahlen und einem nicht genügend hohen Vakuum eine starke diffuse Zerstreuung; so daß dann von geradliniger Ausbreitung keine Rede mehr sein kann. Für einwandfreie Reflexionsmessungen nach der hier verwendeten Methode ist aber natürlich eine einigermaßen geradlinige Ausbreitung Vorbedingung.

Mit Verbesserung des Vakuums nimmt die Trägerbildung ab. Vollkommen vermeiden läßt sie sich mit den zur Verfügung stehenden Mitteln nicht. Besonders gilt dies bei der Verwendung glühender Kathoden, die fortwährend Gase abgeben.

Um ein Urteil über das erreichte Vakuum zu erhalten, wurde bei allen folgenden Versuchen die durch Trägerbildung hervorgerufene Streuung der Kathodenstrahlen gemessen.

Zu diesem Zwecke wurde Zylinder *D* mit *A* direkt verbunden, während durch das Galvanometer nur der auf die Platte *C* fallende Strom floß. Die Abnahme des so gemessenen Stromes bei Verschiebung der Platte *C* ergab ein Maß für die Größe der Streuung, da, wie schon erwähnt, bei Abwesenheit der Streuung bei allen Stellungen von *C* die gesamte Kathodenstrahlenmenge auf die Platte *C* hätte fallen müssen. Wie zu erwarten war, nahm die Menge der auf den Reflektor *C* treffenden Strahlung annähernd linear mit der Entfernung ab. Als Beispiel einer solchen Messung ist in folgender Tabelle der von *C* abfließende Strom bei einer Geschwindigkeit der Kathodenstrahlen von 10 Volt für verschiedene Abstände des Reflektors vom Diaphragma aufgeführt. Die Zahlen in Kolumne 2 beziehen sich auf ein mit flüssiger Luft hergestelltes Vakuum, während in Kolumne 3 die Werte, die bei Anwendung der Hg-Pumpe allein erhalten wurden, wiedergegeben sind.

Bei der Messung ohne Anwendung flüssiger Luft war der mit McLEOD-Manometer gemessene Druck 0,005 mm.

Tabelle I.

| Abstand<br>des Reflektors vom<br>Diaphragma | Strom, der vom Reflektor nach <i>A</i> fließt,<br>in Skalenteilen |                    |
|---|---|--------------------|
|   | mit flüssiger Luft  | ohne flüssige Luft |
| 7   | 18  | —                  |
| 6   | 21  | —                  |
| 5   | 27  | —                  |
| 4   | 33  | 2                  |
| 3   | 39  | 4                  |
| 2   | 44  | 7                  |
| 1   | 48  | 10                 |

Wie man sieht, wird durch die Anwendung der flüssigen Luft die Streuung bedeutend herabgemindert. Bei geringeren Geschwindigkeiten als 10 Volt war sie natürlich beträchtlich größer.

Bei allen folgenden Messungen wurde auf die angegebene Weise die Streuung für 10 Volt Strahlen gemessen. Es war dadurch eine gewisse Sicherheit gegeben, daß das Vakuum genügende Höhe erreicht hatte.



Im folgenden sollen zunächst die Werte wiedergegeben werden, die bei verschiedenen Kathodenstrahlgeschwindigkeiten für den Reflexionsfaktor gefunden wurden. Die Kathodenstrahlgeschwindigkeiten sind in allen Fällen ausgedrückt durch das zwischen  $A$  und  $B$  herrschende Potential<sup>1)</sup>.

In einem Fall diente z. B. als Reflektor eine mit Schmirgelpapier abgeschmirgelte Messingplatte. Die Messungen erfolgten in der Weise, daß für eine Primärstrahlgeschwindigkeit der Wert  $i_1$ , dann  $i_2$  und hierauf wiederum  $i_1$  gemessen wurden.

Tabelle II.

| Primärgeschw.<br>Volt | $i_1$ | $i_2$ | $i_1$ | $\frac{i_2 - i_1}{i_2} = R$ |
|-----------------------|-------|-------|-------|-----------------------------|
| 5                     | 14    | 39    | 18    | 0,59                        |
| 8                     | 27    | 107   | 32    | 0,72                        |
| 10                    | 36    | 143   | 41    | 0,74                        |
| 12                    | 52    | 165   | 56    | 0,67                        |
| 15                    | 57    | 192   | 64    | 0,68                        |
| 20                    | 15    | 215   | 19    | 0,93                        |

Aus den Werten für  $R$  folgt zunächst, daß auch nach der hier angewandten Methode Reflexionsfaktoren gefunden werden, die der Größenordnung nach mit den seinerzeit mit Hilfsfeld gefundenen übereinstimmen.

Betrachtet man die Werte von  $R$  bei den angegebenen Primärgeschwindigkeiten, so erkennt man einen eigentümlichen Gang. Es steigt nämlich der Wert von  $R$  bis etwa 10 Volt an, um dann bis 15 Volt abzufallen, worauf wieder ein starker Anstieg stattfindet.

Dem kleinen Werte für  $R$  bei 5 Volt wird man meines Erachtens keine große Sicherheit beilegen dürfen. Es lassen sich dafür zweierlei Gründe angeben. Erstens muß man, wie schon oben erwähnt, annehmen, daß bei diesen geringen Geschwindig-

<sup>1)</sup> Infolge des durch den Heizdraht fließenden Heizstromes ist auf dem Heizdraht ein Potentialgefälle von etwa 2 Volt. Es ergibt also die angelegte Potentialdifferenz  $V$  nicht die wirkliche Geschwindigkeit der Primärstrahlung; sie ist vielmehr aus dem angegebenen Grunde nicht ganz homogen, sondern entspricht einem Intervall von  $V$  bis  $(V + 2)$  Volt. Das am anderen Orte angegebene Verfahren zur Vermeidung dieser Inhomogenität wurde der Einfachheit halber hier nicht verwendet.

keiten ein großer Teil der Elektronen Träger bildet. Träger können naturgemäß eine Reflexion oder Sekundärstrahlung nicht hervorrufen, da ja ihre Geschwindigkeit außerordentlich viel kleiner ist als die der Elektronen. Andererseits ist aber auch möglich, daß die Reflexion bei kleinen Geschwindigkeiten durch die jedenfalls den Metallen anhaftende Gasschicht vermindert wird. Es ist sehr wahrscheinlich, daß bei Herstellung eines sehr viel besseren Vakuums, wie es z. B. bei den lichtelektrisch erzeugten Kathodenstrahlen möglich ist, sich diese Abnahme des Reflexionsvermögens erst bei sehr viel kleineren Werten finden würde oder überhaupt verschwinden wird. Immerhin steht so viel fest, daß auch noch bei 2 Volt Geschwindigkeit beträchtliche Reflexion vorhanden ist.

Bei 10 Volt Primärgeschwindigkeit tritt nun die Trägerbildung bei dem angewandten Vakuum nur mehr unbedeutend auf, wie die Messung der Streuung des Strahles nach der oben beschriebenen Methode ergab. Es war nämlich in diesem Falle der vom Reflektor allein nach  $A$  fließende Strom für 1 cm und 5 cm Abstand vom Diaphragma 48 und 32 Skalenteile.

Von diesem Punkt an tritt eine deutliche Abnahme des Reflexionsvermögens mit wachsender Geschwindigkeit ein bis zu etwa 15 Volt, was die von mir früher geäußerte Anschauung unterstützt, daß man es in diesem Bereich mit einer wirklichen Reflexion zu tun hat. Bei 15 Volt Geschwindigkeit tritt wieder ein rapider Anstieg des Reflexionsvermögens ein.

Man muß annehmen, daß dieser Anstieg auf die von LENARD bei höherer Geschwindigkeit beobachtete Sekundärstrahlung zurückzuführen ist. Um dies zu untersuchen, wurde die Geschwindigkeit der Primärstrahlung weiter gesteigert.

Bei 25 Volt ergab sich  $R$  bereits zu 0,99, d. h. es wurde fast ebensoviel vom Reflektor emittiert, wie auf ihn auftraf. Man erkennt dieses enorme Ansteigen schon aus der rapiden Abnahme des vom Reflektor allein abfließenden Stromes.

Steigert man die Primärgeschwindigkeit, so sinkt der vom Reflektor abfließende Strom noch weiter, kehrt seine Richtung um und steigt nun bei wachsender Primärgeschwindigkeit immer weiter an. Verfolgt wurde diese Erscheinung bis zu 80 Volt Geschwindigkeit. Es ergab sich am Messing als Reflektor ein

positiver Strom von + 120 Skt., während die auffallende Strahlung — 320 Skt. entsprach.

Man könnte nun annehmen, daß diese Erscheinung durch Ionisation des Gasinhaltes hervorgerufen wird. Um dies zu untersuchen, wurde eine Spannungsquelle von 40 Volt zwischen Faradayzylinder und Galvanometer eingeschaltet, so daß der Faradayzylinder gegen die Anode *A* auf — 40 Volt geladen wurde. Ließ man nun durch das Diaphragma 30 Volt-Strahlen treten, so konnten sie den Faradayzylinder nicht erreichen, eine beträchtliche Ionisation hätte jedoch Bildung von +-Ionen veranlassen und einen merkbaren Stromübergang vom Faradayzylinder zur Anode bewirken müssen. Die beobachteten Ströme waren aber bei dem hier angewandten Vakuum kaum bemerkbar, jedenfalls unter 1 Proz. der in dem Raum eintretenden negativen Strahlung.

Ein direkter Beweis, daß der vom Reflektor abfließende positive Strom auf Sekundärstrahlung beruht, ergibt sich dadurch, daß bei Anlegen eines +-Potentials das bei Vorhandensein von Leitfähigkeit den +-Strom hätte verstärken müssen, der vom Reflektor abfließende +-Strom kleiner wird und bei genügender Höhe des angelegten Potentials negative Werte annimmt. Es zeigt diese Erscheinung, daß durch das +-Potential des Reflektors gegenüber der Umgebung die Sekundärstrahlung zurückgehalten wird.

Oben war die Ansicht ausgesprochen worden, daß zwischen 10 und 15 Volt eine wirkliche Reflexion, dagegen von 15 Volt aufwärts Sekundärstrahlung vorliegt. Ist diese Ansicht richtig, so müßte sich ein Unterschied im Charakter der vom Reflektor ausgehenden Strahlung bemerkbar machen. Es ist zu erwarten, daß die reflektierte Strahlung im wesentlichen die Geschwindigkeit der primären habe, während bei Sekundärstrahlung ein so einfacher Zusammenhang zwischen Primär- und Sekundärgeschwindigkeit nicht zu erwarten ist.

Um diese Frage zu entscheiden, wurde die Geschwindigkeit der reflektierten Strahlen nach derselben Methode wie in meiner früheren Arbeit<sup>1)</sup> untersucht, nur daß jetzt alle in Betracht kommenden Teile berußt wurden; die Anordnung war folgende.

<sup>1)</sup> O. v. BAUER, l. c.

Die Kathodenstrahlen traten wieder (Fig. 1) durch das in der Mitte von  $A$  befindliche Röhrchen  $a$  und fielen auf den Reflektor  $D$ , der in geringem Abstand von dem oberen Ende von  $a$  angebracht war. Der ringförmige Hohlraum zwischen  $A$  und  $a$  war durch das Drahtnetz  $E$  in zwei Teile geteilt. In der unteren Hälfte war von  $A$  isoliert ein Ring  $R$  angebracht; der von  $R$  nach  $A$  fließende Strom konnte durch das Galvanometer gemessen werden, wobei gleichzeitig dem Ring  $R$  beliebige negative Potentiale gegen  $A$  erteilt werden konnten.

Die von  $D$  ausgehende Strahlung trat also durch das Drahtnetz in ein verzögerndes Feld. Durch Messung des Stromes zwischen Ring und  $A$  bei verschiedener Größe des verzögernden Feldes kann man die Geschwindigkeitsverteilung erkennen.‡

Es wurden Messungen angestellt bei 10, 15, 30 und 80 Volt. Wie die Kurven in Fig. 2 zeigen, ergeben sich deutliche Unterschiede in dem Charakter der Kurven für 10 und 15 Volt gegenüber den Kurven bei 30 und 80 Volt.

Bei den Primärgeschwindigkeiten 30 und 80 Volt liegt der stärkste Abfall zwischen 0 und 5 Volt. Dies zeigt, daß dem größten Teil der Sekundärstrahlung Geschwindigkeiten in dieser Größenordnung zukommen. Es ist jedoch bei den 30 Volt-Strahlen noch bis zu 28 Volt Spannung zwischen  $R$  und  $A$  ein merkbarer Strom vorhanden. Dies deutet an, daß hier auch noch Reflexion vorhanden ist. Wird das negative Potential von  $R$   $A$  gegenüber über 30 Volt gesteigert, so bleibt der von  $R$  abfließende Strom = 0, was wiederum beweist, daß Ionisation des Gasinhaltes hierbei keine Rolle spielt.

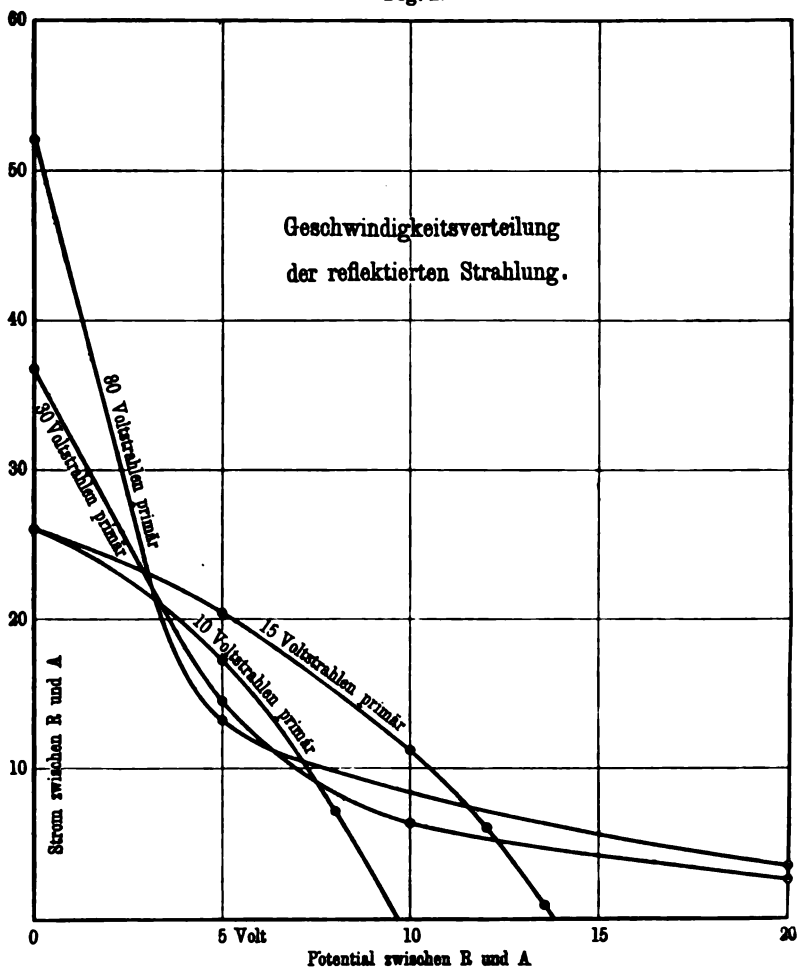
Bei 80 Volt Primärstrahlung überwiegt die Sekundärstrahlung derartig, daß schon bei 30 Volt die Stromstärke auf 1 Proz. des Maximalwertes gesunken ist.

Ganz anders verhalten sich die Kurven bei 15 und 10 Volt Primärgeschwindigkeit. Bei 15 Volt Primärstrahlen z. B. liegt der stärkste Abfall oberhalb 10 Volt. Es ergibt sich also, daß die bei 10 Volt Geschwindigkeit reflektierte Strahlung jedenfalls größtenteils die Geschwindigkeit der Primärstrahlung besitzt, während kleinere Geschwindigkeiten in sehr viel geringerem Maße als bei Vorhandensein der Sekundärstrahlung vertreten sind.

\*

Diese Messungen können nur als qualitativ richtig gelten. Der diffuse Verlauf der vom Reflektor kommenden Strahlen und vor allem das für kleine Geschwindigkeiten nicht ausreichende Vakuum

Fig. 2.



muß große Fehler bedingen. In Wirklichkeit wird der Unterschied im Charakter der beiden Strahlungsarten noch viel schroffer sein.

Die erwähnten Versuche wurden, wie schon hervorgehoben, bei möglichst hohem Vakuum ausgeführt, das durch die Stärke der Streuung beurteilt werden konnte. Ein direkter Einfluß des Druckes auf die Größe der Reflexion bzw. Sekundärstrahlung konnte allerdings nicht mit Sicherheit nachgewiesen werden. Es muß aber berücksichtigt werden, daß das zur Untersuchung geeignete Druckintervall ziemlich beschränkt war, da bei schlechterem Vakuum eine solche Abnahme der durch das Diaphragma tretenden Strahlenmenge eintrat, daß die Messung unmöglich wurde. Dagegen trat eine deutliche Beeinflussung des Reflexionsvermögens von adhärierenden Gasschichten zutage. Wurde nämlich eine Röhre frisch zusammengesetzt, so war die Reflexion und Sekundärstrahlung anfangs schwach und stieg erst zu einem einigermaßen konstanten Wert an, wenn das Vakuum mindestens einige Stunden aufrecht erhalten worden war. Dies deutet darauf hin, daß Gasschichten an der Oberfläche des Reflektors die Resultate wesentlich beeinflussen können.

---

Die hier beschriebene Erscheinung, daß eine von Kathodenstrahlen getroffene Platte mehr negative Teilchen, als auftreten, aussendet, ist analog zu der Beobachtung von AUSTIN und STARKE<sup>1)</sup> an schnellen Kathodenstrahlen. Während aber bei letzteren nur bei schiefer Inzidenz eine so starke Sekundärstrahlung auftritt, ist dies bei meinen Versuchen auch bei senkrechter Inzidenz der Fall.

In neuerer Zeit hat LAUB<sup>2)</sup> die Versuche von AUSTIN und STARKE dadurch erklärt, daß durch die Vergrößerung des Einfallwinkels die Absorption der in dem Reflektor entstehenden Sekundärstrahlen geringer wird, da ja bei schiefer Inzidenz die Primärstrahlen in den äußersten Schichten des Metalls absorbiert werden.

Mit dieser Anschauung stehen meine Versuche in bestem Einklang. Die hier benutzten langsamen Kathodenstrahlen werden in der äußersten Schicht der Metalloberfläche absorbiert. Infolge-

---

<sup>1)</sup> AUSTIN und STARKE, Ann. d. Phys. (4) 9, 271, 1902.

<sup>2)</sup> J. LAUB, ebenda (4) 23, 285, 1907.

dessen können die Sekundärstrahlen in beträchtlicher Menge aus dem Metall austreten.

Die Geschwindigkeit der Sekundärstrahlung ergab sich bei meinen Versuchen zu etwa 5 Volt. Dies steht in gewissem Widerspruch mit Versuchen bei schnellen Kathodenstrahlen. Hier findet sich eine von der Primärgeschwindigkeit unabhängige Geschwindigkeit von 27 bis 34 Volt<sup>1)</sup>.

Nimmt man als Hypothese an, daß die Anfangsgeschwindigkeit der Sekundärstrahlenteilchen aus der Energie der Metallatome stammt, so müßte man für diese langsamen Sekundärstrahlen entweder eine andere Art des Atomzerfalls annehmen, oder es müßte sich der hier beschriebene Vorgang gar nicht an den Metallatomen selbst, sondern an anderen Atomen abspielen, z. B. an okkludierten Gasteilchen. Gegen letztere Anschauung spricht der Umstand, daß eine Ermüdung der bestrahlten Platte bisher sich nicht nachweisen ließ.

#### Einfluß des Materials auf die Reflexion und Sekundärstrahlung.

Mit der eben beschriebenen Methode wurden auch andere Materialien, wie das oben als Beispiel angeführte Messing untersucht.

Zunächst konnte festgestellt werden, daß Ruß, wie schon die erwähnten Vorversuche ergeben hatten, außerordentlich geringes Reflexionsvermögen besitzt. Zwischen 5 und 15 Volt Primärgeschwindigkeit war bei einer Rußplatte das Reflexionsvermögen im Mittel = 0,1, bei 30 Volt 0,2. Es tritt also an Ruß, wenn auch in geringem Maße, sowohl Reflexion wie Sekundärstrahlung auf. Blanke Metalle wie Silber, Platin, Aluminium ergaben, was die Abhängigkeit, den Verlauf des Reflexionsfaktors von der Primärgeschwindigkeit anbelangt, qualitativ dieselben Resultate wie Messing, d. h. es wurde zwischen 9 und 15 Volt eine Abnahme des Reflexionsvermögens konstatiert, während über 15 Volt ein Ansteigen des Reflexionsvermögens stattfand. Quantitativ aber treten Unterschiede bei den verschiedenen Materialien hervor; so

<sup>1)</sup> CHR. FÜCHTBAUER, Ann. d. Phys. (4) 23, 901, 1907.

schwankte das Reflexionsvermögen bei 10 Volt Primärgeschwindigkeit zwischen 0,5 und 0,8. Auch der durch Sekundärstrahlung bedingte Anstieg war von Fall zu Fall verschieden. Als Maß kann hierfür die Größe der Primärgeschwindigkeit, bei der  $R = 1$  wird, dienen. Dies trat z. B. ein bei einer Messingplatte bei 32 Volt, bei Platin bei 28 Volt, bei Aluminium erst bei 49 Volt. Für ausgedehntere Untersuchungen war aber die verwandte Methode unbequem, da für jedes Material die Röhre auseinandergenommen werden mußte.

Es wurden deshalb die weiteren Untersuchungen derart ausgeführt, daß dem Austrittsdiaphragma verschiedene Platten, die auf einer Achse drehbar angebracht waren, gegenübergestellt werden konnten (siehe Fig. 1). Auf diese Weise war es möglich, drei verschiedene Materialien hinsichtlich ihres Reflexionsvermögens unmittelbar hintereinander mit einer Rußplatte zu vergleichen. Die einzelnen Versuche hier anzuführen ist unnötig. Denn es ergab sich im allgemeinen keine eindeutige Abhängigkeit des Reflexionsvermögens vom Material allein, dagegen ist die Oberflächenbeschaffenheit von wesentlichem Einfluß. Dies ist auch nicht zu verwundern, da ja bei dem geringen Durchdringungsvermögen der langsamen Kathodenstrahlen, alle beschriebenen Erscheinungen sich unmittelbar an der Oberfläche abspielen müssen.

Den deutlichsten Beweis für diese Anschauung ergab das Verhalten von Platin. Während blankes Platin hohes Reflexionsvermögen gibt und die Sekundärstrahlung schon bei 25 bis 30 Volt Primärgeschwindigkeit die Stärke der auffallenden Strahlung erreicht, verhält sich Platinmohr fast ebenso wie Ruß.

Bei verschiedenen Ruß- oder Platinmohrüberzügen machten sich Unterschiede geltend. Ein tiefschwarzer Überzug ergab immer die kleinsten Reflexionsvermögen. So trat der Fall ein, daß ein weniger guter, grau erscheinender Rußüberzug mehr reflektierte als ein tiefschwarzer Platinmohrüberzug.

Durch verschiedenartige Behandlung wie Abschaben, Abschmiegeln usw. einer Platinoberfläche ließen sich Zwischenstufen zwischen blankem Platin und Platinmohr herstellen. Aluminium, das bekanntlich bei schnellen Kathodenstrahlen durch geringes Reflexionsvermögen sich auszeichnet, ergab abgeschmiegelt Werte,



die unter denen von Messing und Platin lagen. Auch die Sekundärstrahlung trat bei Aluminium erst bei größeren Primärgeschwindigkeiten auf.

Nach dem Vorhergehenden ist es aber möglich, daß dieser Unterschied durch die Eigenschaften der Aluminiumoberflächen, die trotz Abschmiegeln immer ein graues Aussehen zeigen, bedingt ist.

Ob wirklich kleine Unterschiede zwischen verschiedenen Materialien bestehen, ließe sich nur entscheiden, wenn man bei den verschiedenen Materialien gleiche Oberflächenbeschaffenheit erzielen könnte. Dies macht aber schon bei verschiedenen Stücken ein und desselben Materials Schwierigkeiten.

Was die Abhängigkeit der Reflexion von der Geschwindigkeit anbelangt, ergibt die zuletzt beschriebene Methode, die auf dem Vergleich mit einer Rußfläche beruht, dieselben Resultate wie die erste Methode.

So wurden in ein und derselben Röhre (Fig. 1) Messungen an zwei blankgeschmiegelten Messingplatten, deren Oberfläche vollkommen gleich behandelt worden war, nach beiden Methoden angestellt. Das Ergebnis ist in folgender Tabelle zusammengestellt.

Tabelle III.

| Primär-<br>geschwindigkeit<br><br>Volt | Reflexionsvermögen $R$             |   |         |
|--|------------------------------------|---|---------|
|  | Erste Methode<br>(Faradaysylinder) | Zweite Methode (Vergleich mit Platinmohr) |         |
|  |                                    | gemessen (relativ zu<br>Platinmohr)       | absolut |
| 8                                      | 0,67                               | 0,67                                      | 0,70    |
| 12                                     | 0,58                               | 0,54                                      | 0,59    |
| 15                                     | 0,66                               | 0,65                                      | 0,68    |
| 25                                     | 0,93                               | 0,91                                      | 0,93    |

Die nach der zweiten Methode als absolut angegebenen Werte sind aus den durch Vergleich mit Platinmohr sich ergebenden Werten berechnet, wobei als Reflexionsvermögen von Platinmohr für 8 bis 15 Volt Primärgeschwindigkeit  $R = 0,1$  und für 25 Volt Geschwindigkeit  $R = 0,2$  eingesetzt wurde. Letztere Werte wurden nach der Methode 1 für die verwendeten Platinmohrplatten gefunden. Die Übereinstimmung der nach den beiden Methoden erhaltenen Werte ist befriedigend.

### Resultate.

In Übereinstimmung mit meinen früheren Untersuchungen wurde bei Kathodenstrahlen, die von einer glühenden Oxydkathode ausgehen, bei Primärgeschwindigkeiten von 5 Volt an aufwärts eine beträchtliche Reflexion bzw. Sekundärstrahlung an Metallplatten festgestellt. Die Reflexion nimmt mit wachsender Primärgeschwindigkeit ab, die Sekundärstrahlung zu. Die Sekundärstrahlung ist so intensiv, daß schon bei etwa 30 Volt Primärgeschwindigkeit ebensoviele Elektronen die Platte verlassen wie auftreffen. Die Oberflächenbeschaffenheit des Reflektors wirkt wesentlich auf die Erscheinung ein, während ein Einfluß des Materials nicht mit Sicherheit konstatiert werden konnte. Ruß und Platinmohr zeigen Reflexion und Sekundärstrahlung in nur ganz geringem Maße.

Berlin, Physik. Institut der Universität.

**Über die Abhängigkeit des Verhältnisses der  
spezifischen Wärmen der Gase von der Temperatur;  
von Robert Fürstenau.**

(Vorgelegt in der Sitzung vom 4. Dezember 1903.)

(Vgl. oben S. 933).

**I. Die Versuchsanordnung.**

Zur Messung der Größe des Verhältnisses der spezifischen Wärmen der Gase  $k = c_p/c_v$  ist in neuerer Zeit eine von KALÄHNE<sup>1)</sup> angegebene „Resonanzmethode“ verwendet worden. Ihr Prinzip ist folgendes: Man erzeugt in einem einseitig geschlossenen Rohr durch Interferenz der direkt in dasselbe hineingesandten Schallwellen mit den von der Rückwand reflektierten stehende Wellen, und mißt durch Verschiebung eines Stempels die Länge derselben, indem man die Tonmaxima durch eine seitlich am Versuchsrohr angeordnete Öffnung, an der ein Hörschlauch angebracht ist, beobachtet. Die Schallquelle bildete bei den KALÄHNESchen Messungen ein von einem Saitenunterbrecher auf bestimmter Tonhöhe gehaltenes Telephon, welches vor der Mündung des Versuchsrohres angebracht war.

Bei Messungen in beliebigen Gasen bei hohen Temperaturen stößt man bei Verwendung der beschriebenen Versuchsanordnung auf Schwierigkeiten (KALÄHNE hat seine Messungen in Luft angestellt). Es wurde deshalb bei nachstehend beschriebenen Messungen die Resonanzmethode derart umgestaltet, daß sie zur Messung der Schallgeschwindigkeit in beliebigen Gasen bei hohen Temperaturen brauchbar wurde.

Bei der Wahl der Versuchsanordnung wurde vor allem darauf gesehen, vollkommen gasdicht abgeschlossene Räume für die Erzeugung und Ausmessung der Schallwellen zu verwenden, ferner darauf, durch zweckmäßige Ausgestaltung der Heizvorrichtungen die größtmögliche räumliche und zeitliche Temperaturkonstanz

<sup>1)</sup> M. KALÄHNE, Ann. d. Phys. (4) 11, 225, 1903; 20, 398, 1906.

zu erreichen. Ferner wurde die Notwendigkeit einer Bestimmung der Schwingungszahl dadurch umgangen, daß ähnlich der bekannten KUNDTschen Versuchsanordnung zur Ermittlung der Schallgeschwindigkeit mittels Staubfiguren in zwei Rohren Töne gleicher Schwingungszahl erzeugt wurden. Von diesen beiden Rohren wurde das eine (Kontrollrohr) auf Zimmertemperatur gehalten, während das andere (Meßrohr) bis auf die Temperatur, bei welcher die Schallgeschwindigkeit gemessen werden sollte, erhitzt wurde. Bei Füllung beider Rohre mit demselben Gase gilt dann, wenn  $t_2$  die Temperatur des Meßrohres,  $t_1$  die des Kontrollrohres ist, ferner  $k_2$  und  $k_1$  die Werte für das Verhältnis der spezifischen Wärmen bei den genannten Temperaturen,  $\lambda_2$  und  $\lambda_1$  die dazu gehörigen Wellenlängen sind, und endlich  $\alpha$  der Ausdehnungskoeffizient des betreffenden Gases ist, die einfache Beziehung

$$\frac{\lambda_2^2}{\lambda_1^2} = \frac{k_2}{k_1} \cdot \frac{(1 + \alpha t_2)}{(1 + \alpha t_1)}$$

oder

$$\frac{k_2}{k_1} = \frac{\lambda_2^2 (1 + \alpha t_1)}{\lambda_1^2 (1 + \alpha t_2)}$$

In der Gleichung ist die Schwingungszahl  $n$  unter Benutzung der Beziehung  $V = n \cdot \lambda$  herausgefallen. Ein weiterer Vorteil dieser Vergleichsmethode besteht darin, daß bei gleichen Abmessungen der beiden Rohre die Korrekturen, welche durch die Verzögerungen, die der Schall infolge Wärmeleitung, Reibung des Gases in den Röhren usw. erleidet, herausfällt, unter der Voraussetzung, daß die KIRCHHOFFsche<sup>1)</sup> Konstante  $\gamma$ , in welche die Koeffizienten der Wärmeleitfähigkeit und der inneren Reibung des Gases eingehen, keine Änderung der Temperatur erleidet.

Um für das untersuchte Gas endlich den Wert von  $k$  für Zimmertemperatur zu ermitteln, ist es nur nötig, eins der Rohre mit Luft, für welche der Wert von  $k$  hinlänglich genau bekannt ist, zu füllen, während das andere mit dem betreffenden Gase gefüllt wird. Ist dann bei der Temperatur  $t$  die Wellenlänge in Luft  $\lambda_1$ , in dem betreffenden Gase  $\lambda_2$ , ferner  $\alpha_2$  der Ausdehnungskoeffizient des letzteren,  $\alpha_1$  der für Luft, und sind  $k_1$  und  $k_2$

<sup>1)</sup> G. KIRCHHOFF, Pogg. Ann. 134, 177, 1868.

die entsprechenden Werte für das Verhältnis der spezifischen Wärmen, so erhält man  $k_2$  aus der Beziehung:

$$k_2 = \frac{\lambda_2^3 (1 + \alpha_1 t) \cdot d_2}{\lambda_1^3 (1 + \alpha_2 t) \cdot d_1} \cdot k_1$$

( $d_1$  und  $d_2$ : Dichte von Luft und dem betreffenden Gas bei  $0^\circ$ ). Dadurch ist die Möglichkeit gegeben, wenn für Luft bei  $t^0$  (z. B. Zimmertemperatur) der Wert von  $k$  als bekannt vorausgesetzt wird, mit Hilfe der Vergleichsmethode  $k$  zu ermitteln für ein beliebiges Gas bei beliebiger Temperatur.

Der eigentliche Meßraum, d. h. das Rohr, in welchem durch Verschieben des beweglichen Stempels Resonanz erzeugt werden sollte, wurde gebildet durch eine glasierte Porzellanröhre, die gleichzeitig als Mantel für die Heizspiralen diente.

Das Porzellanrohr befand sich in einem etwa 7 cm weiten Glasmantel, dessen Boden aus einer Messingscheibe, auf welche ein Stück Rohr aus dem gleichen Metall aufgesetzt war, bestand.

Der Boden des Meßrohres enthielt eine Reihe von Bohrungen für Zu- und Ableitung der Gase, Einleiten der Schallwellen usw. Ferner war in ihn ein Messingrohr eingeschraubt, welches als Führung für den verschiebbaren Stempel diente. Der Stempel selbst bestand aus einem Porzellanrohr, welches an seinem oberen Ende eine durchbohrte Porzellanscheibe trug.

Die Beobachtung des Schalles geschah durch den Stempel hindurch, wodurch natürlich die Anbringung eines seitlichen Rohransatzes, wie es von KALÄHNE ausgeführt war, überflüssig wurde. Die Deutlichkeit dieser Beobachtungsweise war außerordentlich groß und übertraf, wie bei Vorversuchen ermittelt wurde, die, welche bei Anbringung eines seitlichen Rohransatzes erreicht wurde, nicht unbedeutlich.

Abgesehen von den geringen Änderungen, die sich aus der Verwendung des Kontrollrohres für die Vergleichsmessungen bei Zimmertemperatur ergaben, war dasselbe in genau derselben Weise und in denselben Abmessungen ausgeführt wie das Meßrohr.

Um eine recht große Temperaturkonstanz zu erzielen, war auch das Umhüllungsrohr des Meßrohres als elektrischer Ofen ausgebildet.

Die durch diese Art der Heizung erreichte Konstanz war eine recht gute, besonders bei Füllung des Rohres mit schwefliger Säure und mit Chloräthyl, da in diesen wegen ihrer großen Dichte nur relativ kleine Wellenlängen auszumessen waren, so daß Temperaturkonstanz überhaupt nur auf eine Strecke von 15 bis 20 cm erforderlich war. Bei den genannten beiden Gasen bestand in den ungünstigsten Fällen bei den höchsten Temperaturen (etwa 500°) im Rohr eine maximale Temperaturdifferenz von 1 bis 5°, die jedoch durch wiederholtes Hin- und Herschieben des Stempels ausgeglichen werden konnte. Bis zu 300° konnte jedoch häufig von vornherein vollkommene Temperaturkonstanz längs der ganzen für die Messungen in Betracht kommenden Strecke des Rohres erzielt werden.

Nicht ganz so günstig lagen die Verhältnisse in Kohlensäure und vor allem in Luft. Es betrug jedoch die größte beobachtete Temperaturdifferenz bei 500° in Luft kaum 10°, und auch diese ließ sich auf die angegebene Weise durch Verschiebung des Stempels fast ganz beheben.

Die Messung der Temperatur geschah mit Hilfe eines von Siemens u. Halske bezogenen Thermoelementes aus Silber-Konstantan.

Zur Erregung der beiden erwähnten Telephone wurde ein Saitenunterbrecher benutzt.

Die Schwingungszahl der Saite ließ sich in ziemlich weiten Grenzen regulieren. Es zeigte sich bald, daß eine bestimmte Wellenlänge die günstigsten Resultate in bezug auf Lautstärke bei der Beobachtung ergab. Durch Spannen und Entspannen der Saite ließ sich vor Beginn der Messungen meist eine „günstige Wellenlänge“ im Meßrohr herstellen, wodurch es ermöglicht wurde, auch bei hohen Temperaturen, bei denen die geringe Dichte der Gase eine Abschwächung der Tonstärke hervorruft außerordentlich scharfe und deutliche Maxima zu erhalten. Der Einfluß der Wellenlänge auf die Schallstärke war so beträchtlich, daß sogar Schwingungszahlen des Saitenunterbrechers festgestellt werden konnten, bei denen eine Beobachtung wegen der geringen Schallintensität so gut wie unmöglich wurde. Wahrscheinlich hängt das Phänomen mit Resonanzerscheinungen im Umhüllungsrohr zusammen.

Die zur Messung benutzte Luft wurde mittels einer Wasserstrahlpumpe durch Kontrollrohr und Meßrohr hindurch gesaugt, nachdem sie eine Reihe von Waschflaschen mit konzentrierter Schwefelsäure und solche mit Kalilauge passiert hatte.

Die Kohlensäure wurde hergestellt durch Einwirkung von Salzsäure auf Marmor. Um einen lang anhaltenden Gasstrom von der nötigen Stärke erzeugen zu können, wurde anstatt eines KIPPSchen Apparates ein 50 cm hohes Standgefäß benutzt, in welches von oben her ein Glaszylinder hineinragte, der an seinem unteren Ende eine enge Öffnung besaß. Das Standgefäß wurde mit Salzsäure, der innere Zylinder mit Marmorstücken angefüllt. Der Kohlensäurestrom passierte drei Waschflaschen, die mit konzentrierter Schwefelsäure gefüllt waren, und zwei mit Natriumkarbonat beschickte Glasröhren.

Die schweflige Säure wurde erhalten durch Auftropfen von verdünnter Schwefelsäure auf Natriumbisulfitlauge. Getrocknet wurde das Gas durch Überleiten über konzentrierte Schwefelsäure. Durch die Eigenschaft der schwefligen Säure, die Schleimhäute der Nase und der Luftwege außerordentlich stark zu reizen, war eine scharfe Kontrolle dafür gegeben, ob die an den Rohren befindlichen Abdichtungen usw. wirklich genügten. Es zeigte sich, daß auch bei den höchsten Temperaturen aus den Rohren kein Gas austrat.

Das Äthylchlorid, welches bis zu etwa 300° untersucht wurde, da oberhalb dieser Temperatur eine Zersetzung zu befürchten war, wurde in zugeschmolzenen Glaskolben von je 100 g Inhalt von C. A. F. Kahlbaum in Berlin bezogen. Eine Reinigung des Gases war unnötig; wie sich nach Verbrauch des Inhaltes zeigte, blieb in den Glasgefäßen kein Rückstand, ein Zeichen für die hohe Reinheit der Substanz.

## II. Die Messungen.

Zur Prüfung der Genauigkeit der Methode wurde eine Reihe von Vorversuchen in der Weise angestellt, daß sowohl Meßrohr als auch Kontrollrohr mit trockener, kohlensäurefreier Luft von Zimmertemperatur angefüllt und in beiden Rohren die halbe Wellenlänge gemessen wurde. Die Resultate dieser Messungen ergaben eine Übereinstimmung bis auf 0,08 mm zwischen den beiden

halben Wellenlängen, eine Übereinstimmung, wie sie bei einer Ablesungsmöglichkeit von 0,1 mm recht befriedigend genannt werden kann.

Bei höheren Temperaturen wurden natürlich die Abweichungen der einzelnen Beobachtungen untereinander größer, jedoch kamen Abweichungen von 2 mm nur sehr selten vor; sie hielten sich gewöhnlich in den Grenzen von etwa  $\pm 1$  mm.

### Messungen in Luft.

Den Messungen in Luft wurde der von STEVENS ermittelte und von BUCKENDAHL ebenfalls benutzte Wert für das Verhältnis der spezifischen Wärmen  $k = 1,4006$  zugrunde gelegt. Der Wert von  $k$  für die Beobachtungstemperaturen wurde aus der schon erwähnten Gleichung (s. S. 969)

$$\frac{k_2}{k_1} = \frac{\lambda_2^2(1 + \alpha t_1)}{\lambda_1^2(1 + \alpha t_2)}$$

berechnet, wo  $\alpha = 0,003667$  gesetzt ist.

Beobachtet wurde im ganzen bei sechs verschiedenen Temperaturen, deren höchste 527,2° betrug. In der folgenden Tabelle sind die im Meßrohr und Kontrollrohr beobachteten halben Wellenlängen nebeneinander gestellt und in der dritten Spalte der Tabelle der aus ihrem Verhältnis berechnete Wert der Größe  $\frac{k_2}{k_1}$  angegeben.

Tabelle 1.

| Temperatur | $\lambda/2$<br>im Meßrohr | $\lambda/2$ im<br>Kontrollrohr | $k_2/k_1$ |
|------------|---------------------------|--------------------------------|-----------|
| 191,5      | 194,16                    | 153,53                         | 0,9906    |
| 197,9      | 195,71                    | 153,98                         | 0,9990    |
| 299,0      | 229,66                    | 163,93                         | 0,9987    |
| 362,6      | 222,02                    | 150,29                         | 0,9989    |
| 393,8      | 245,25                    | 162,18                         | 0,9978    |
| 527,2      | 254,76                    | 153,70                         | 0,9985    |

Bis zu 527,2° findet demnach eine Abnahme von  $k$  um etwa 0,2 Proz. statt. KALÄHNE hat bei seinen Messungen zwischen 200° und 700° eine Abnahme von  $k$  um 0,4 Proz. erhalten.



Gewisse Korrekturen, die sich aus der Abhängigkeit der oben erwähnten Größe  $\gamma$  von der Temperatur und der thermischen Ausdehnung des Stempelschaftes im Meßrohr ergaben, und die an anderer Stelle ausführlich behandelt werden sollen, würden aus der geringen Abnahme von  $k$  freilich eine minimale Zunahme machen. Bei der Unsicherheit dieser Korrekturen kann man jedoch  $k$  bis auf 1 Proz. als unveränderlich mit der Temperatur zwischen  $0^\circ$  und  $500^\circ$  ansehen.

Messungen in Kohlensäure.

Für Kohlensäure wurde zunächst auf die oben beschriebene Weise der Wert von  $k$  für Zimmertemperatur ermittelt. Als Mittelwert der Beobachtungen bei  $13,5^\circ$  bis  $16,5^\circ$  wurde erhalten:

$$k = 1,3008.$$

Die Messungen anderer Beobachter haben folgende Daten ergeben:

| Beobachter         | $k$    | Beobachter             | $k$    |
|--------------------|--------|------------------------|--------|
| DULONG . . . . .   | 1,336  | LUMMER u. PRINGSHEIM . | 1,2961 |
| MASSON . . . . .   | 1,287  | MANUEVRIER . . . . .   | 1,298  |
| REGNAULT . . . . . | 1,368  | CAZIN . . . . .        | 1,291  |
| WÜLLNER . . . . .  | 1,311  | RÖNTGEN . . . . .      | 1,3052 |
| LOW . . . . .      | 1,2911 | BUCKENDAHL . . . . .   | 1,2990 |

Zur Berechnung dieses, wie auch aller übrigen  $k$ -Werte für Kohlensäure, ist die Größe des Ausdehnungskoeffizienten der in Winkelmanns Handbuch<sup>1)</sup> gegebenen Tabelle nach Messungen von AMAGAT entnommen. Da jedoch aus den zitierten früheren Arbeiten über die Abnahme von  $k$  mit der Temperatur in Kohlensäure es nicht mit Gewißheit hervorgeht, daß die Abweichungen dieses Gases von den Gasgesetzen berücksichtigt worden sind, so habe ich aus jeder Messung  $k$  sowohl unter Berücksichtigung dieser Abweichungen, als auch unter der Annahme berechnet, daß die Kohlensäure sich wie ein ideales Gas verhält ( $\alpha = 0,003667$ ). Unter letzterer Voraussetzung erhält man als Mittelwert für  $k$  bei  $13,5^\circ$  bis  $16,5^\circ$ :

$$k = 1,3014.$$

<sup>1)</sup> Winkelmanns Handbuch der Physik 3, 127, 1906.

von  $k$  derartig  
röhnten Tabelle  
erwalle benutzt  
egenden Beob-  
AMAGATschen  
)°, bei welcher  
nend mit dem  
Temperaturen  
 $t = 0,003682$

die verschie-

---

---

$(k_2/k_1)$

---

0,9981  
0,9950  
0,9910  
0,9828  
0,9648

Werte von  
wie oben  
palte an-  
gung der  
ind. Aus  
ezifischen  
nd etwa  
len Mes-  
r findet  
,7 Proz.,  
nd 100°

ng des  
ebenen

Temperaturen berechnet worden; neben ihnen stehen wiederum die sich für  $k$  unter der Voraussetzung ergebenden Werte, daß die Kohlensäure sich wie ein ideales Gas verhält. Unter dieser Voraussetzung ergibt sich eine Abnahme von  $k$  zwischen  $0^\circ$  und  $500^\circ$  um nur etwa 3,5 Proz.

Tabelle 3.

| Temperatur | $k$    | ( $k$ ) | Temperatur | $k$    | ( $k$ ) |
|------------|--------|---------|------------|--------|---------|
| 13,5—16,5  | 1,3008 | 1,3014  | 284,5      | 1,2842 | 1,2897  |
| 149,7      | 1,2946 | 1,2989  | 393,2      | 1,2736 | 1,2790  |
| 190,2      | 1,2900 | 1,2949  | 484,5      | 1,2506 | 1,2556  |

## Messungen in schwefliger Säure.

Die Werte für den Ausdehnungskoeffizienten der schwefligen Säure bei den Meßtemperaturen wurden ebenfalls einer an der gleichen Stelle, wie die oben erwähnte Tabelle für  $\text{CO}_2$ , enthaltenen Tabelle von AMAGAT entnommen; oberhalb  $250^\circ$  wurde Konstanz von  $\alpha$  angenommen ( $\alpha = 0,003685$ ).

Tabelle 4.

| Temperatur | $\lambda/2$<br>im Meßrohr | $\lambda/2$<br>im Kontrollrohr | $k_2/k_1$ | ( $k_2/k_1$ ) |
|------------|---------------------------|--------------------------------|-----------|---------------|
| 143,0      | 138,43                    | 113,80                         | 0,9888    | 1,0159        |
| 234,7      | 172,30                    | 128,92                         | 0,9772    | 1,0133        |
| 313,4      | 146,16                    | 101,82                         | 0,9729    | 1,0120        |
| 325,4      | 166,85                    | 115,23                         | 0,9697    | 0,9930        |
| 394,7      | 179,99                    | 118,13                         | 0,9593    | 0,9950        |
| 489,5      | 182,16                    | 112,82                         | 0,9520    | 0,9785        |

Zunächst wurde wiederum das Verhältnis der spezifischen Wärmen bei Zimmertemperatur durch vergleichende Messungen in schwefliger Säure (Meßrohr) und trockener, kohlendioxidfreier Luft (Kontrollrohr) ermittelt. Als Mittelwert aller einzelnen Beobachtungsreihen ergab sich bei einer Temperatur von  $12$  bis  $13^\circ$ :

$$k = 1,2742.$$

Die Messungen von CAZIN haben  $k = 1,262$ , die von MÜLLER  $k = 1,256$  ergeben; der von mir ermittelte Wert ist also größer

als diese beiden. Die übrigen Messungen wurden bei sechs Temperaturen vorgenommen, deren niedrigste 143° und deren höchst 489,5° betrug. Es wurden dabei im Meßrohr und Kontrollrohr die folgenden, in Tabelle 4 zusammengestellten halben Wellenlängen gemessen; in der vierten Spalte der Tabelle sind wiederum die sich aus dem Verhältnis der halben Wellenlängen ergebende Werte für  $k_2/k_1$  angeführt, während in letzter Spalte die Wert von  $k_2/k_1$  unter der Annahme berechnet sind, daß sich  $\text{SO}_2$  wie ein ideales Gas verhält.

Unter Zugrundelegung des Wertes  $k_1 = 1,2742$  erhält man für die Veränderlichkeit von  $k$  mit der Temperatur folgende Übersicht:

Tabelle 5.

| Temperatur | $k$    | $(k^1)$ | Temperatur | $k$    | $(k^1)$ |
|------------|--------|---------|------------|--------|---------|
| 12—13      | 1,2742 | 1,2811  | 325,4      | 1,2356 | 1,2722  |
| 143,0      | 1,2599 | 1,3015  | 394,7      | 1,2223 | 1,2753  |
| 234,7      | 1,2452 | 1,2981  | 489,5      | 1,2130 | 1,2535  |
| 313,4      | 1,2397 | 1,2965  |            |        |         |

Es nimmt also  $k$  zwischen 0° und 500° etwa ab um 4,8 Proz.

#### Messungen in Äthylchlorid ( $\text{C}_2\text{H}_5\text{Cl}$ ).

Die Auswertungen der für das Äthylchlorid gewonnenen Beobachtungsreihen bereiten etwas größere Schwierigkeiten als bei den bisher behandelten Gasen. Für das Äthylchlorid ist nämlich bisher der Ausdehnungskoeffizient noch nicht gemessen worden. Es mußte deshalb zur Berechnung der Dichte bei der jeweiligen Beobachtungstemperatur das immerhin umständliche Verfahren der Berechnung aus der VAN DER WAALSschen Zustandsgleichung

$$\left(p + \frac{a}{v^2}\right)(v - b) = R \cdot T$$

herangezogen werden.

<sup>1)</sup> ( $k$ ) ist wiederum unter der Annahme berechnet, daß  $\text{SO}_2$  den Gasgesetzen folgt. Wie man sieht, steigt unter dieser Annahme  $k$  zuerst, um dann nach Überschreitung eines Höchstwertes zu fallen.

Die beiden Konstanten  $a$  und  $b$  sind aus Beobachtungen der kritischen Größen von VINCENT und CHAPPUIS <sup>1)</sup> hergeleitet worden; die beiden Autoren fanden

$$a = 0,02174$$

und  $b = 0,003862.$

Das Molekulargewicht des Äthylchlorids beträgt 64,49.

Führt man in der Zustandsgleichung für  $T$  die verwendeten Meßtemperaturen ein, so findet man folgende Werte des Quotienten  $v_1/v_0$  ( $v_1 =$  Volumen bei der Meßtemperatur,  $v_0 =$  Volumen bei  $0^\circ$ ):

Tabelle 6.

| Temperatur | $v_1/v_0$ | Temperatur | $v_1/v_0$ |
|------------|-----------|------------|-----------|
| 15,4       | 1,0314    | 206,0      | 1,8504    |
| 117,3      | 1,41019   | 280,6      | 2,0132    |

Bei der Temperatur von  $15,4^\circ$  wurde als Mittelwert für  $k$  aus den vergleichenden Messungen in Äthylchlorid (Messrohr) und trockener, kohlenstofffreier Luft (Kontrollrohr) ermittelt:

$$k = 1,1542.$$

Von CAPSTICK ist  $k = 1,187$ , von MÜLLER  $k = 1,127$  ermittelt worden, so daß vorliegender Wert in der Mitte zwischen diesen beiden liegt.

Bei den drei übrigen Temperaturen wurden im Meßrohr und Kontrollrohr folgende, in Tabelle 7 zusammengestellten halben Wellenlängen gemessen, aus denen sich für das Verhältnis  $k_2/k_1$  die in der vierten Spalte der Tabelle angeführten Zahlen ergeben. Die eingeklammerten Werte in Tabelle 7 und 8 sind wie oben unter der Voraussetzung berechnet, daß das Äthylchlorid den Gasgesetzen folge.

Tabelle 7.

| Temperatur | $\lambda/2$ im Meßrohr | $\lambda/2$ im Kontrollrohr | $k_2/k_1$ | $(k_2/k_1)$ |
|------------|------------------------|-----------------------------|-----------|-------------|
| 117,3      | 149,86                 | 128,59                      | 0,9933    | 1,0036      |
| 206,0      | 160,73                 | 121,16                      | 0,9809    | 1,0596      |
| 280,6      | 173,22                 | 126,13                      | 0,9663    | 0,9826      |

<sup>1)</sup> VINCENT und CHAPPUIS, Journal de Physique 5, 58, 1886.

Benutzt man zur Berechnung von  $k_2$  den Wert  $k_1 = 1,15$  so erhält man folgende Zusammenstellung:

Tabelle 8.

| Temperatur | $k$    | ( $k$ ) |
|------------|--------|---------|
| 15,4       | 1,1542 | 1,1504  |
| 117,3      | 1,1465 | 1,1545  |
| 206,0      | 1,1321 | 1,2190  |
| 280,6      | 1,1153 | 1,1304  |

Es nimmt also das Verhältnis der spezifischen Wärmen  $c$  Äthylchlorids seinem Werte nach zwischen etwa  $0^\circ$  und  $300^\circ$  um etwa 3,4 Proz.

Herrn Prof. Dr. KÖNIG spreche ich auch an dieser Stelle für das für die vorliegende Arbeit erwiesene Interesse meinen ergebenen Dank aus.

Gießen, im März 1908, Physik. Institut der Universität.

***Zur Deutung der Versuche des Herrn M. Cantor;  
von Edgar Meyer.***

(Vorgelegt in der Sitzung vom 18. Dezember 1908.)

(Eingegangen am 10. Dezember 1908.)

(Vgl. oben S. 945.)

Kürzlich hat Herr M. CANTOR<sup>1)</sup> eine neue Wirkung des elektrischen Stromes beschrieben, und die interessanten Versuche auch auf der Naturforscherversammlung in Cöln demonstriert. Es handelt sich um folgendes:

Schickt man durch eine sehr dünne Metallschicht (Au, Ag, Pt), die an einer Stelle einen scharfen Knick besitzt, einen elektrischen Strom, so wird ein elektrisch geladener Körper, den man in 2 bis 3 mm Abstand der scharfen Kante gegenüberstellt, entladen.

Herr CANTOR erklärt den Vorgang folgendermaßen. Auf Grund der Vorstellung, daß die elektrische Strömung in metallischen Leitern mit der Translation träger Teile verbunden sei, ist zu erwarten, daß die Teile an solchen Stellen vermöge ihrer Trägheit das leitende Metall verlassen, an denen die Stromfäden eine plötzliche Richtungsänderung erfahren.

Gegen diese Erklärung sprechen meiner Ansicht nach die Vorstellungen, die man sich bisher in der Elektronentheorie der Metalle gemacht hat. Die Teilchen, die nach der CANTORSchen Auffassung aus den Metallen heraustreten sollen, könnten nur die Elektrizitätsträger sein, da diesen allein durch die elektrische Kraft im Metall eine Richtungsbevorzugung erteilt wird. Der Geschwindigkeitszuwachs aber, den diese Träger während ihrer freien Weglänge durch die elektrische Kraft erhalten, ist klein gegenüber der Geschwindigkeit, die sie vermöge ihres Temperaturgleichgewichtes mit dem Metall besitzen. Wäre dieses nicht der Fall, so würde das OHMSche Gesetz nicht gelten<sup>2)</sup>.

<sup>1)</sup> M. CANTOR, Über eine neue Wirkung des elektrischen Stromes. Verh. d. D. Phys. Ges. 10, 726, 1908; Phys. ZS. 9, 887, 1908.

<sup>2)</sup> Vgl. z. B. J. J. THOMSON, Die Korpuskulartheorie der Materie, S. 52. Braunschweig, Friedr. Vieweg & Sohn, 1908.

Es ist nun nicht gut anzunehmen, daß dieser geringe Geschwindigkeitszuwachs die Teilchen befähigt, das Metall verlassend zu können, man müßte fordern, daß auch ohne Stromdurchgang durch die Metalle elektrisch geladene Teilchen ausgesandt würden, was aber nicht beobachtet ist.

Folgende Versuche aber führen zu einer anderen Deutung der neuen Erscheinung.

1. Die Versuche wurden analog den CANTORSchen ausgeführt und zwar mit Glas-, Glimmer- und amorphen Quarzplättchen die mit einer dünnen Schicht eingebrannten Platins überzogen waren. Es zeigte sich nun, daß der Hauptwiderstand der Metallschichten gerade an der scharfen Kante liegt, woraus mit großer Wahrscheinlichkeit hervorzugehen scheint, daß dort die Metallschichten nicht vollständig zusammenhängend sind. Ein in der Stromkreis (verwendet wurde eine Batterie von 60 Volt) eingeschaltetes Telephon gab immer dann ein andauerndes Geräusch wenn Entladung des Elektroskops eintrat. Schwing das Telephon beim Stromdurchgang, so wurde auch das Elektroskop nicht entladen. Diesen letzteren Zustand kann man erreichen, wenn man die Kante vorsichtiger frisch platinirt, und dadurch einen vollständig zusammenhängenden Metallüberzug erzeugt.

2. Im Dunkeln sieht man bei ausgeruhtem Auge an der Kante eine leuchtende Entladung, und zwar auch nur immer in dem Falle, wenn das Telephon tönt. Unter dem Mikroskop beobachtet man teils hin und her huschende Fünkchen, teils ruhig an einer Stelle verharrende Lichtpunkte.

3. Die entladende Wirkung wird aufgehoben, wenn vor die Kante eine 0,002 mm dicke Al-Folie oder eine 1 mm dicke Quarzplatte gesetzt wird. Die von Herrn CANTOR beschriebene photographische Wirkung der Kante ist aber auch durch die Quarzplatte hindurch zu erhalten.

4. Ein scharfer Knick der Metallschicht ist nicht notwendig. Man kann die Erscheinung auch so erhalten, daß man in der Mitte einer auf einer ebenen Glasplatte befindlichen Platinschicht einen feinen Riß macht, also hier dieselben Bedingungen herstellt, wie sie bei den Versuchen von CANTOR an der scharfen Kante vorhanden sind. Es ist leicht zu erreichen, daß der Kontakt noch genügend ist, um dem Strom den Durchgang zu gestatten.



Vertikal über diesem Riß und parallel mit ihm bringt man in 2 bis 3 mm Entfernung den mit dem geladenen Elektroskop verbundenen Draht an. Auch in diesem Falle tritt Entladung des Elektroskops ein, gleichzeitig tönt das Telephon, und im Dunkeln sind an dem Risse Fünkchen zu beobachten.

5. Es gelingt manchmal durch einen in der Nähe überspringenden Funken eines Induktoriums die Erscheinung zu unterdrücken. Sie tritt wieder auf nach starkem Klopfen auf die Schicht. Hierbei sei bemerkt, daß auch eine entladende Wirkung in der Nähe folgender Vorrichtung zu beobachten war. Zwei Elektroden wurden durch lose aufgeschichtete Kohlekörnchen (aus einem Mikrophon von MIX und GENEST) verbunden. Auch hier trat Entladung dann ein, wenn das Telephon tönte.

Aus diesen Versuchen scheint mir hervorzugehen, daß man die CANTORSche Erscheinung auch durch eine Ionisation der Luft erklären kann, die durch die leuchtende Entladung an der scharfen Kante hervorgerufen wird.

Zürich, Physikalisches Institut der Universität.

# Mitgliederliste

der

## Deutschen Physikalischen Gesellschaft.

Im Jahre 1908 verlor die Gesellschaft durch den Tod:

Dr. U. BEHN, Dr. JOHANNES FRIEDEL, Dr. ERICH LADENBURG, Dr. JAMES MOSEER, Prof. Dr. A. PAALZOW, Oberlehrer Dr. O. PUND, Prof. Dr. WALTER WOLFF, Prof. Dr. A. WÜLLNER.

Am Ende des Jahres 1908 waren Mitglieder der Gesellschaft:

### A. Berliner Mitglieder.

1. Herr E. ALTENKIRCH, Fredersdorf.
2. " Dr. M. ALTSCHUL\*), W. 15, Fasanenstraße 51.
3. " Dr. R. APT, NW. 52, Lüneburgerstraße 25.
4. " F. S. ARCHENHOLD, Treptow, Sternwarte, Köpenicker Landstraße 49.
5. " cand. phil. MAX ARNDT, S. 59, Dieffenbachstraße 14.
6. " Prof. Dr. H. ARON, W. 15, Kaiserallee 219/220.
7. " Dr. L. ARONS, NW. 23, Brückenallee 3.
8. " Prof. Dr. E. ASCHKINASS, Wilmersdorf, Kantenerstraße 7.
9. " Dr. OTTO V. BARYER, NW. 7, Reichstagsufer 7/8.
10. " Dr. KARL BANGERT, W. 9, Königgrätzerstraße 20.
11. " Dr. H. BARKHAUSEN, Charlottenburg 5, Spandauerstraße 17.
12. " Ingenieur HEINZ BAUER, W. 10, Lützow-Ufer 2.
13. " Dr. W. BEIN, W. 15, Emserstraße 25.
14. " Dr. G. BENISCHKE, Groß-Lichterfelde W. 3, Holbeinstraße 25.
15. " Prof. A. BERBERICH, SW. 68, Lindenstraße 91.
16. " Dr. A. BERLINER, W. 35, Lützowstraße 63.
17. " W. BIEGON v. CZUDNOCHOWSKI, Wilmersdorf, Hohenzollerndamm 17.
18. " Prof. Dr. E. BLASIUS, Charlottenburg 4, Schillerstraße 22.
19. " Oberlehrer A. BLÜMEL, SO. 16, Melchiorstraße 22.
20. " H. BOAS, O. 27, Krautstraße 52.
21. " Dr. GÜNTHER BODE, NW. 7, Reichstagsufer 7/8.
22. " Prof. Dr. R. BÖRNSTEIN, Wilmersdorf, Landhausstraße 10.
23. " Prof. Dr. H. BÖTTGER, Grunewald, Trabenerstraße 21.
24. " Prof. Dr. H. DU BOIS, NW. 40, Herwarthstraße 4.
25. " A. DU BOIS-REYMOND, SW. 13, Alexandrinenstraße 137.

\*) Berlin ist in dem Verzeichnis weggelassen.

26. Herr Dr. E. BOLLÉ, Charlottenburg 1, Cauerstraße 7.  
 27. " Dr. F. BREMER, Nikolassee (Wannseebahn), Villa Bremer.  
 28. " Stabsarzt a. D. Dr. GEORG BRINKMANN, Wilmersdorf, Pfalzburgerstraße 53.  
 29. " Reg.-Rat Dr. W. BRIX, Steglitz, Hohenzollernstraße 1.  
 30. " Prof. Dr. E. BRODHUN, Grunewald, Hubertusallee 15.  
 31. " Prof. Dr. E. BUDDÉ, Charlottenburg 1, Berlinerstraße 54.  
 32. " Dr. HARRY BÜRGER, Charlottenburg 1, Nonnendamm, Wernerwerk.  
 33. " Oberlehrer Dr. ROBERT BURG, Friedenau, Friedrich-Wilhelmsplatz 13.  
 34. " Dr. A. BYK, Charlottenburg 4, Mommsenstraße 43.  
 35. " Prof. Dr. C. CRANZ, Charlottenburg 2, Fasanenstraße 87.  
 36. " Dr. OTTO CURIO, N. 24, Friedrichstraße 134.  
 37. " cand. phil. LEO DIESENER, S. 59, Am Urban.  
 38. " Prof. Dr. H. DIESSELHORST, Charlottenburg 2, Werner Siemensstr. 8/12.  
 39. " Prof. Dr. F. DOLEZALEK, Charlottenburg 1, Kaiser-Friedrichstraße 5.  
 40. " Prof. Dr. B. DONATH, Charlottenburg 4, Stuttgarterplatz 16.  
 41. " Dr. A. EBELING, Charlottenburg 5, Neue Kantstraße 3.  
 42. " Dipl.-Ing. KURT EISENMANN, N. 4, Chausseestraße 3.  
 43. " Prof. Dr. TH. W. ENGELMANN, NW. 7, Neue Wilhelmstraße 15.  
 44. " F. ERNECKE, Tempelhof, Ringbahnstraße 4.  
 45. " Dr. A. EUCKEN, NW. 7, Bunsenstraße 1.  
 46. " Prof. Dr. C. FÄRBER, S. 53, Wilmstraße 13.  
 47. " Dr. HEINRICH FASSBENDER, Charlottenburg 4, Kantstraße 96.  
 48. " Dr. W. FELGENTRAEBER, Charlottenburg 2, Werner Siemensstr. 27/28.  
 49. " Prof. Dr. K. FEUSSNER, Charlottenburg 1, Berlinerstraße 80a.  
 50. " Dr. R. FEUSTEL, Charlottenburg 2, Marchstraße 25.  
 51. " Dr. C. FISCHER, NW. 21, Pritzwalkerstraße 3.  
 52. " Ingenieur FLOREY, Tegel, Brunowstraße 31.  
 53. " GUSTAV FÖRSTER, Potsdam, Geodät. Institut.  
 54. " Dr. K. FORCH, Groß-Lichterfelde 3, Manteuffelstraße 5 a.  
 55. " Dr. JAMES FRANCK, NW. 7, Reichstagsufer 7/8.  
 56. " Reg.-Rat Dr. A. FRANKE, SW. 29, Gneisenaustraße 30.  
 57. " Dr. A. FRANKE, Grunewald, Brahmsstraße 15.  
 58. " Dr. F. FRANKENHÄUSER, Waidmannslust.  
 59. " Oberlehrer OTTO FREESE, Pankow, Breitestraße 16.  
 60. " Dr. G. A. FREUND, NW. 7, Unter den Linden 69.  
 61. " Dr. HERMANN FRICKE, Westend, Nußbaumallee 23.  
 62. Frl. LOUISE FRIEDBURG, Wilmersdorf, Motzstraße 37.  
 63. Herr Dr. O. FRÖLICH, W. 15, Fasanenstraße 48.  
 64. " R. FUESS, Steglitz, Düntherstraße 8.  
 65. " Dr. ROBERT FÜRSTENAU, Charlottenburg 2, Uhlandstraße 18/19.  
 66. " Dr. GEORG GEHLHOFF, Friedenau, Cranachstraße 20.  
 67. " Dr. E. GEHRCKE, SW. 47, Hornstraße 13.  
 68. " AUG. GEHRTS, Charlottenburg 4, Pestalozzistraße 98.  
 69. " Dr. H. GERSTMANN, W. 15, Meiserttostraße 4.  
 70. " Dr. BRUNO GLATZEL, SW. 29, Gneisenaustraße 4.  
 71. " Reg.-Rat Dr. A. GLEICHEN, S. 59, Freiligrathstraße 13.  
 72. " Prof. Dr. E. GOLDSTEIN, W. 50, Bambergerstraße 6.

Mitgliederliste.

73. Herr Dr. A. GRADENWITZ, W. 50, Regensburgerstraße 3.  
 74. „ Oberlehrer WILLY GREINERT, NO. 55, Prenzlauerallee 48.  
 75. „ Dr. FR. GRÜNBAUM, Charlottenburg 1, Cauerstraße 35.  
 76. „ Dr. E. GRÜNEISEN, Charlottenburg 2, Marchstraße 25.  
 77. „ Prof. Dr. L. GRUNMACH, Wilmersdorf, Tübingerstraße 4.  
 78. „ Prof. Dr. R. GÜNTSCHE, W. 30, Hohenstaufenstraße 7.  
 79. „ Prof. Dr. E. GÜMLICH, Charlottenburg 2, Schlüterstraße 71.  
 80. „ W. HAENSCH, S. 53, Urbanstraße 185.  
 81. „ Prof. Dr. E. HAENTZSCHEL, W. 30, Gleditschstraße 43.  
 82. „ Prof. Dr. E. HAGEN, Charlottenburg 2, Werner Siemensstraße 7  
 83. „ Prof. H. HAHN, Grunewald, Dachsberg 13.  
 84. „ WERNER HAHN, W. 15, Uhlandstraße 183.  
 85. „ F. HANDKE, N. 37, Lottumstraße 12.  
 86. „ Dr. O. HAUSER, Friedenau, Taunusstraße 29.  
 87. „ Dr. W. HECHLER, S. 42, Prinzenstraße 101.  
 88. „ CARL HEIDRICH, Charlottenburg 2, Grolmannstraße 64.  
 89. „ P. HEITCHEN, Charlottenburg 4, Goethepark 13.  
 90. „ Prof. Dr. G. HELLMANN, W. 10, Margarethenstraße 2/3.  
 91. „ Dr. FR. HENNING, Charlottenburg 2, Marchstraße 25.  
 92. „ stud. phil. G. HERTZ, Charlottenburg 4, Schlüterstraße 63.  
 93. „ Dr. W. HEUSE, Friedenau, Stubenrauchstraße 11.  
 94. „ Prof. Dr. R. HEYNE, W. 30, Zietenstraße 3.  
 95. „ Prof. Dr. J. HIRSCHWALD, Grunewald, Wangenheimstraße 29.  
 96. „ Dr. CHRIST. VON HOPE, Wilmersdorf, Hildegardstraße 24.  
 97. „ Prof. Dr. VOM HOPE, Gr.-Lichterfelde, Ringstraße 104.  
 98. „ Prof. Dr. J. H. VAN 'T HOFF, W. 15, Lietzenburgerstraße 54.  
 99. „ Dr. FR. HOFFMANN, W. 62, Nettelbeckstraße 21.  
 100. „ Prof. Dr. L. HOLBORN, Charlottenburg 5, Friedrich-Karlplatz 15.  
 101. „ Oberlehrer Dr. K. HOLLEFREUND, SW. 61, Großbeerenstraße 83.  
 102. „ Dr. W. HOWE, Westend, Kastanienallee 4.  
 103. „ Prof. Dr. A. HUPE, Charlottenburg 4, Schlüterstraße 60.  
 104. „ cand. phil. ERICH HUPKA, Charlottenburg 4, Pestalozzistraße 42.  
 105. „ Dr. ERICH F. HUTH, W. 30, Landshuterstraße 9.  
 106. „ Prof. Dr. W. JAEGER, Friedenau, Lauterstraße 38.  
 107. „ Prof. Dr. E. JAHNKE, W. 15, Pariserstraße 36.  
 108. „ Dr. LUDWIG JANICKI, Charlottenburg 1, Tegelerweg 4.  
 109. „ Oberlehrer P. JOHANNESSEN, N. 58, Schönhauserallee 134.  
 110. „ Dr. HANS JORDAN, Wilmersdorf, Hildegardstraße 17.  
 111. „ Geh. Reg.-Rat Dr. K. KAHLE, Westend, Akazienallee 20.  
 112. „ Prof. Dr. S. KALISCHER, W. 15, Kostnitzerstraße 2.  
 113. „ Dr. FRANZ KIEBITZ, W. 9, Königgrätzerstraße 20.  
 114. „ Dr. WILLY KIESEWETTER, Tempelhof, Albrechtstraße.  
 115. „ Oberlehrer Dr. KIESSLING, Tegel, Brunowstraße 10.  
 116. „ O. KIEWEL, W. 56, Schinkelplatz 6.  
 117. „ Dipl.-Ing. Dr. phil. KOCK, Charlottenburg 5, Suarezstraße 40.  
 118. „ Dr. A. KÖPSEL, Charlottenburg 1, Lützowerstraße 6.  
 119. „ Prof. Dr. F. KÖTTER, Charlottenburg 5, Oranienstraße 16.  
 120. „ Dr. FRITZ KOHLRAUSCH, Charlottenburg 4, Waitzstraße 6.

121. Herr Prof. Dr. M. KOPPE, SO. 33, Schlesische Straße 18.  
 122. " Prof. Dr. G. KRECH, W. 50, Ansbacherstraße 44/45.  
 123. " Prof. Dr. V. KREMSEK, NW. 52, Spenerstraße 34.  
 124. " Dr. H. KREUSLER, Wilmersdorf, Ringbahnstraße 20.  
 125. " Prof. Dr. O. KRIGAR-MENZEL, Westend, Ulmenallee 28.  
 126. " Oberlehrer Dr. P. KRÜSS, W. 64, Wilhelmstraße 68.  
 127. " Prof. Dr. F. KURLBAUM, W. 15, Meinekestraße 5.  
 128. " Dr. AYAO KUWAKI, Charlottenburg 4, Leibnizstraße 44.  
 129. " Prof. Dr. E. LAMPE, W. 15, Fasanenstraße 64.  
 130. " Prof. Dr. H. LANDOLT, W. 15, Kaiserallee 222.  
 131. " Dr. G. LANGBEIN, Charlottenburg 2, Schillerstraße 119.  
 132. " Dr. W. LANZRATH, Charlottenburg 2, Leibnizstraße 104.  
 133. " Dr. MAX LAUE, W. 15, Pariserstraße 47.  
 134. " Dr. E. LEHMANN, Charlottenburg 2, Techn. Hochschule.  
 135. " Oberlehrer Dr. W. LEICK, Groß-Lichterfelde 3, Roonstraße 22.  
 136. " Dr. G. LEITHÄUSER, Charlottenburg 2, Marchstraße 25.  
 137. " Ingenieur OTTO LEPPIN, SO. 16, Engelufer 17.  
 138. " Dr. E. LESS, NW. 23, Bachstraße 11.  
 139. " Dr. A. LESSING, W. 35, Potsdamerstraße 121 h.  
 140. " Dr. L. LEVY, W. 35, Steglitzerstraße 85.  
 141. " Oberlehrer L. LEWENT, W. 30, Motzstraße 87.  
 142. " Prof. Dr. TH. LIEBISCH, Charlottenburg 4, Kantstraße 31.  
 143. " ERIK LIEBREICH, W. 15, Meinekestraße 22.  
 144. " Prof. Dr. ST. LINDECK, Charlottenburg 4, Bismarckstraße 61.  
 145. " Dr. ROB. LINDEMANN, Charlottenburg 1, Lohmeyerstraße 9.  
 146. " Dr. WALTER LISSAUER, Charlottenburg 4, Wielandstraße 18.  
 147. " C. LORENZ, Aktiengesellschaft, SO. 26, Elisabethufer 5/6.  
 148. " Dr. K. LUYKEN, Halensee, Ringbahnstraße 121.  
 149. " Dr. KARL MARKAU, Grunewald, Margarethenstraße 1.  
 150. " Prof. Dr. F. F. MARTENS, NW. 23, Claudiusstraße 4.  
 151. " Dr. O. MARTIENSEN, W. 50, Würzburgerstraße 21.  
 152. " Dr. W. MEISSNER, W. 15, Joachimthalerstraße 36.  
 153. Frä. Dr. LISE MEITNER, Charlottenburg 2, Kantstraße 19.  
 154. Herr Kapitän z. See a. D. A. MENSING, W. 62, Kurfürstenstraße 99.  
 155. " Reg.-Rat Dr. ERNST MEYER, Friedenau, Schmargendorferstraße 26.  
 156. " Prof. Dr. EUGEN MEYER, Charlottenburg 2, Schlüterstraße 78.  
 157. " stud. phil. ULFILAS MEYER, Friedenau, Hauptstraße 83.  
 158. " Prof. Dr. MICHAELIS, W. 57, Kurfürstenstraße 14.  
 159. " Prof. Dr. C. MICHAELIS, Potsdam, Schützenplatz 1 b.  
 160. " Ministerialdirektor a. D. Dr. P. MICKÉ, W. 9, Leipzigerplatz 14.  
 161. " Prof. Dr. METHE, Charlottenburg 4, Kantstraße 42.  
 162. " Dr. H. G. MÖLLER, Charlottenburg 2, Techn. Hochschule.  
 163. " Dr. CARL MÜLLER, NW. 52, Alt-Mosbit 14.  
 164. " Prof. Dr. H. MUNK, W. 10, Matthäikirchstraße 4.  
 165. " Dr. R. NAHRWOLD, C. 19, Niederwallstraße 12.  
 166. " Prof. Dr. FB. NEESEN, W. 50, Ansbacherstraße 31.  
 167. " Prof. Dr. W. NEENST, W. 35, Am Karlsbad 26 a.  
 168. " Prof. Dr. E. ORLICH, Charlottenburg 2, Werner Siemensstraße 8/12.

169. Herr Prof. Dr. R. PICTET, Wilmersdorf, Hildegardstraße 36.  
 170. " Dr. M. v. PIRANI, Wilmersdorf, Hohenzollerndamm 198.  
 171. " Prof. Dr. M. PLANCK, Grunewald, Wangenheimstraße 21.  
 172. " Dr. ROBERT POHL, NW. 7, Reichstagsufer 7/8.  
 173. " Prof. Dr. F. POSKE, Friedenau, Fregestraße 71.  
 174. " Dr. P. PRINGSHEIM, W. 64, Wilhelmstraße 67.  
 175. " Dr. WALTHER RADEBOLDT, Wilmersdorf, Nassauische Straße 1.  
 176. " Prof. Dr. A. RAPS, Westend, Ulmenallee 14.  
 177. " Obering. Dr. P. RASEHORN, Halensee, Joachim-Friedrichstraße.  
 178. " Dr. ERICH REGENER, Wilmersdorf, Schrammstraße 4.  
 179. " FRITZ REICHE, W. 10, Bendlerstraße 35.  
 180. " Prof. Dr. O. REICHEL, Charlottenburg 4, Bismarckstraße 38.  
 181. " Dr. O. REICHENHEIM, W. 15, Kurfürstendamm 26 a.  
 182. " BODO FRHR. v. REITZENSTEIN, W. 50, Augsburgstraße 51.  
 183. " Dr. L. RELLSTAB, Südende, Bahnstraße 8.  
 184. " Prof. Dr. E. RICHTER, Charlottenburg 2, Knesebeckstraße 90.  
 185. " Dr. ing. W. ROGOWSKI, Charlottenburg 2, Werner Siemensstraße 8 1/2  
 186. " Dr. H. ROHBECK, Halensee, Anguste Viktoriastraße 1.  
 187. " Bergrat VON ROSENBERG-LIPINSKY, Wilmersdorf, Prager Platz 3.  
 188. " K. ROTTGARDT, Charlottenburg 2, Herderstraße 11.  
 189. " Prof. Dr. H. RUBENS, NW. 7, Neue Wilhelmstraße 16.  
 190. " Rechtsanwalt LEO SCHACHTEL, SW. 68, Wilhelmstraße 100.  
 191. " Prof. Dr. G. SCHAFFHEITLIN, W. 15, Schaperstraße 17.  
 192. " Prof. Dr. KARL SCHEEL, Wilmersdorf, Gützelstraße 43.  
 193. " Dr. E. SCHENCK, Charlottenburg 2, Schillerstraße 115.  
 194. " Dr. H. SCHEING, Charlottenburg 1, Königin-Luisenstraße 4.  
 195. " Reg.-Rat Dr. ERICH SCHMIDT, W. 15, Kurfürstendamm 58.  
 196. " cand. phil. HANS SCHMIDT, Steglitz, Rothenburgstraße 25.  
 197. " Oberlehrer HEINRICH SCHMIDT, Pankow, Cavalierstraße 9.  
 198. " Dr. O. SCHÖNROCK, NW. 87, Jagowstraße 10.  
 199. " Prof. Dr. P. SCHOLZ, Steglitz, Fichtestraße 34.  
 200. " Dr. R. SCHOLZ, Charlottenburg 1, Luisenplatz 3.  
 201. " Dr. W. SCHULER, Charlottenburg 4, Leibnizstraße 46.  
 202. " Dr. H. SCHULTZE, Charlottenburg 2, Werner Siemensstraße 7.  
 203. " Dr. G. SCHWALBE, Zehlendorf (Wanneseebahn), Königstraße 13.  
 204. " Dr. BRUNO SEEGER, NO. 18, Große Frankfurterstraße 71.  
 205. " Frhr. v. SEHERR-THOSS, W. 10, Hohenzollernstraße 16.  
 206. " Dr. GEORG SEIBT, Schöneberg, Berchtesgadenerstraße 15.  
 207. " Prof. Dr. G. SIEBEN, Groß-Lichterfelde 3, Sternstraße 9.  
 208. " Prof. Dr. A. SIEBERT, Groß-Lichterfelde 3, Bellevuestraße 30.  
 209. " Geh. Reg.-Rat WILH. v. SIEMENS, SW. 11, Askanischer Platz 3.  
 210. " Prof. Dr. W. SKLAREK, W. 62, Landgrafenstraße 7.  
 211. " Prof. Dr. A. SLABY, Charlottenburg 2, Sophienstraße 4.  
 212. " THEODOR SONNENSCHNIG, NW. 21, Lübeckerstraße 18.  
 213. " stud. phys. FRITZ SPAHR, NW. 52, Werftstraße 4.  
 214. " Dr. W. STARCK, Friedenau, Südwest-Corso 6.  
 215. " Dr. PAUL STEINER, W. 8, Kanonierstraße 17/20.  
 216. " Dr. H. v. STEINWEHR, Friedenau, Kaiserallee 83.

217. Herr Prof. Dr. K. STRECKER, W. 62, Burggrafenstraße 15.  
 218. „ Prof. Dr. R. SÜRING, Wilmersdorf, Nassauische Straße 3.  
 219. „ Prof. Dr. P. SZYMANSKI, SW. 29, Gneisenaustraße 9.  
 220. „ Prof. Dr. M. THIESEN, Friedrichshagen, Ahornallee 10.  
 221. „ Dr. ERICH TIEDE, SW. 29, Belle-Alliancestraße 37.  
 222. „ EDDY TIEFFENBACH, Charlottenburg 4, Schlüterstraße 66.  
 223. „ Prof. Dr. I. TRAUBE, Charlottenburg 1, Am Lützow 13a.  
 224. Frl. stud. rer. nat. GERTA v. UBISCH, NW. 7, Reichstagsufer 7/8.  
 225. Herr Dr. AUG. UHRIG, Spandau, Achenbachstraße 11.  
 226. „ L. VÖLZOW, Charlottenburg 2, Schlüterstraße 13.  
 227. „ Prof. Dr. E. WARBURG, Charlottenburg 2, Marchstraße 25 b.  
 228. „ Geh. Reg.-Rat Dr. C. L. WEBER, Groß-Lichterfelde-West 3, Fontane-  
 straße 17.  
 229. „ Prof. Dr. W. WEDDING, Groß-Lichterfelde 1, Wilhelmstraße 2.  
 230. „ Prof. Dr. A. WEHNELT, Friedenau, Niederstraße 16.  
 231. „ Dr. FRANZ WEIDERT, Charlottenburg 1, Eosanderstraße 11.  
 232. „ Prof. Dr. B. WEINSTEIN, Charlottenburg 2, Kantstraße 148.  
 233. „ Dr. K. VON WESENDONK, NW. 7, Reichstagsufer 10.  
 234. „ Ingenieur J. H. WEST, W. 9, Postdamerstraße 127.  
 235. „ Dr. WILHELM WESTPHAL, NW. 7, Reichstagsufer 7/8.  
 236. „ Prof. Dr. H. F. WIEBE, Charlottenburg 5, Friedbergstraße 10.  
 237. „ Prof. Dr. J. WINZER, Groß-Lichterfelde 1, Gerichtsstraße 11.  
 238. „ Dr. M. v. WOGAU, W. 15, Kurfürstendamm 58.  
 239. „ Prof. Dr. R. WURTZEL, NW. 40, Platz vor dem neuen Tore 1.  
 240. „ Prof. Dr. L. ZEHNDER, Halensee, Joachim-Friedrichstraße 56.  
 241. Gesellschaft für drahtlose Telegraphie, SW. 61, Tempelhoferufer 9.  
 242. Kgl. Preuß. Militärversuchsammt, Berlin-Jungfernheide (Post Plötzensee).

#### B. Auswärtige Mitglieder.

243. Herr Prof. Dr. R. ABEGG, Breslau 16, Parkstraße 13.  
 244. „ Prof. Dr. M. ABRAHAM.  
 245. „ Dr. A. ACKERMANN-TRUBNER, Leipzig, Poststraße 3.  
 246. „ Hauptlehrer Dr. HEINRICH ALT, München, Südl. Auffahrtsallee 3 b.  
 247. „ Prof. Dr. K. ÅNGSTRÖM, Upsala.  
 248. „ Prof. Dr. R. ASSMANN, Lindenberg b. Beeskow, Kgl. Aeronaut.  
 Observatorium.  
 249. „ Dr. PAUL ASTEROTH, Treysa (Bez. Cassel).  
 250. „ Prof. Dr. F. AUERBACH, Jena.  
 251. „ Frhr. Dr. OTTO VON UND ZU AUFSSESS, München 31, Barerstraße 46.  
 252. „ Prof. Dr. L. AUSTIN, Washington, National Bureau of Standards.  
 253. „ Prof. Dr. AUGUST BECKER, Heidelberg, Bergstraße 70.  
 254. „ Dr. O. BERG, Göttingen, Nikolausberger Weg 56.  
 255. „ Dr. G. BERNDT, Cöthen (Anhalt), Schalaunische Straße 3.  
 256. „ Dr. ARCIBRO BERNINI, Bologna, Physik. Institut der Universität.  
 257. „ Dr. A. L. BERNOULLI, Aachen, Phys. Institut d. Techn. Hochschule.  
 258. „ Dr. R. BERNOULLI, Cöln, Brüderstraße 7.

## Mitgliederliste.

259. Herr Dr. G. BERTHOLD, Ronsdorf.  
 260. " Dr. A. BESTELMEYER, Göttingen, Gaußstraße 8.  
 261. " Dr. VICTOR BIERNACKI, Warschau, Phys. Institut d. Polytech  
 262. " Prof. Dr. MAX BODENSTEIN, Hannover, Ellernstraße 6a.  
 263. " cand. math. O. BÖTTCHER, Jena, Engelstraße 14.  
 264. " Dr. M. BORN, Breslau, Zimmerstraße 5.  
 265. " Prof. Dr. E. BOSE, Oliva bei Danzig, Georgstraße 22.  
 266. " Prof. Dr. F. BRAUN, Straßburg i. E., Physik. Institut.  
 267. " Dr. C. BRODMANN, Karlsruhe, Stefaniestraße 47.  
 268. " Dr. W. BRÜCKMANN, Potsdam, Meteorol.-Magn. Obs.  
 269. " Prof. Dr. H. BRUNS, Leipzig, Sternwarte.  
 270. " Prof. Dr. F. BURCKHARDT, Basel, Elisabethstraße 30.  
 271. " Dr. PAUL CERMAK, Gießen, Physik. Institut.  
 272. " Exzellenz Prof. Dr. O. CHWOLSON, St. Petersburg, Universität.  
 273. " Prof. Dr. A. COEHN, Göttingen, Prinz-Albrechtstraße 14.  
 274. " Prof. Dr. E. COHN, Straßburg i. E., Orangeriering 17.  
 275. " Prof. Dr. GIOVANNI COSTANZO, Lissabon, Egreja do Loreto-  
     S. Roque, 2.  
 276. " Prof. Dr. MAX CREMER, München 10, Bavariaring 43.  
 277. " Dr. A. DAHMS, Leipzig, Kaiser Wilhelmstraße 18.  
 278. " Dr. A. DAY, Washington, U. S. A., Geological Survey.  
 279. " H. v. DECHEND, Freiburg i. B., Physik. Institut.  
 280. " Dr. R. DEFREGGER, München 4, Königinstraße 43.  
 281. " Dr. HARRY DEMBER, Dresden-A. 20, Residenzstraße 9.  
 282. " Prof. Dr. A. DENIZOT, Lemberg, k. k. Techn. Hochschule.  
 283. " Prof. Dr. B. DESSAU, Perugia, Universität.  
 284. " Chefingenieur FRIEDRICH DESSAUER, Aschaffenburg 2, Elektrotec  
     Laboratorium.  
 285. " Dr. M. DIECKMANN, München, Schellingstraße 106.  
 286. " Prof. Dr. C. DIETERICI, Kiel, Moltkestraße 13.  
 287. " Prof. Dr. E. DORN, Halle a. S., Paradeplatz 7.  
 288. " Prof. Dr. DRECKER, Aachen, Lousbergstraße 26.  
 289. " Prof. HENRY DUFOUR, Lausanne, Universität.  
 290. " Prof. Dr. H. EBERT, München, Karl Theodorstraße 12 a.  
 291. " Dr. JOH. EHLEERS, Jena, Erfurterstraße 4.  
 292. " Prof. Dr. J. ELSTER, Wolfenbüttel, Lessingstraße 7.  
 293. " Dr. R. EMDEN, München, Gabelsbergerstraße 77.  
 294. " Dr. HEINRICH ERFLE, München 30, Heßstraße 86.  
 295. " Dr. PAUL EWERS, Stolberg i. H.  
 296. " Dr. G. FALKENBERG, Greifswald, Physik. Institut.  
 297. " Dr. H. W. FISCHER, Goldschmieden b. Deutsch-Lissa, Villa Concord  
 298. " Prof. Dr. KARL T. FISCHER, München-Solln, Albrecht Dürerstraße  
 299. " Dr. J. FRIEDLÄNDER, Neapel-Vomero, Via Luigia Sanfelice, Villa Hertl  
 300. " Prof. Dr. C. FROMME, Gießen.  
 301. " Prof. Dr. J. GAD, Prag.  
 302. " Dr. H. GÄDEKE, Heidelberg, Brückenstraße 40.  
 303. " Prof. Dr. A. GALLE, Potsdam, Behlertstraße 36.  
 304. " Dr. R. GANS, Tübingen.



305. Herr Prof. Dr. H. GEITEL, Wolfenbüttel, Lessingstraße 7.  
 306. " Prof. Dr. JOSEF RITTER VON GEITLER, Czernowitz, Physik. Institut  
 der Universität.  
 307. " Prof. Dr. E. GERLAND, Clausthal.  
 308. " Prof. Dr. D. GOLDHAMMER, Kasan, Universität.  
 309. " Prof. Dr. L. GRAETZ, München, Friedrichstraße 26.  
 310. " Prof. E. GRIMSEHL, Hamburg, Immenhof 13.  
 311. " Prof. Dr. O. GROTRIAN, Aachen, Theresienstraße 13.  
 312. " Prof. Dr. PAUL GRUNER, Bern, Lindenrain 3.  
 313. " Prof. Dr. G. GRUSS, Smichow bei Prag, Schwedische Gasse 7.  
 314. " Prof. Dr. S. GÜNTHER, München 4, Akademiestraße 5.  
 315. " Dr. S. GUGGENHEIMER, Nürnberg, Kaiserstraße 23.  
 316. " Prof. Dr. K. E. GUTHE, Jowa City (Jowa), U. S. A.  
 317. " Realgymnasialdirektor L. HACKER, Brandenburg a. H.  
 318. " Prof. Dr. AUG. HAGENBACH, Basel, Missionsstraße 18.  
 319. " Prof. Dr. E. HAGENBACH-BISCHOFF, Basel, Missionsstraße 20.  
 320. " Prof. Dr. W. HALLWACHS, Dresden-A., Münchenerstraße 2.  
 321. " HAMMER, Freiburg i. B., Rheinstraße 3 a.  
 322. " Prof. Dr. HERMANN HAMMERL, Innsbruck, Müllerstraße 28.  
 323. " Elmer A. HARRINGTON, Wichendon, Mass., U.S.A.  
 324. " Prof. Dr. HARTMANN, Potsdam, Saarmunderstraße 15.  
 325. " Dr. H. HAUSWALDT, Magdeburg-Neustadt.  
 326. " Dr. HECKER, Potsdam, Geodät. Institut.  
 327. " Reallehrer GEORG HEINRICH, Neustadt a. d. H.  
 328. " Dipl.-Ing. L. HEIS, München, Mozartstraße 23.  
 329. " Dr. KARL HERMANN, Frankfurt a. M., Sophienstraße 21.  
 330. " Dr. PAUL HERTZ, Hamburg, Rothenbaum-Chaussee 162.  
 331. " Dr. OTTO HESS, Cassel, Weißenburgerstraße 12.  
 332. " Prof. Dr. A. HEYDWEILLER, Rostock, Kaiser-Wilhelmstraße 2.  
 333. " Prof. Dr. F. HIMSTEDT, Freiburg i. B., Goethestraße 8.  
 334. " Dr. RUD. FRHR. v. HIRSCH, München, Leopoldstraße 4.  
 335. " GEORG HIRZEL i. Fa. S. HIRZEL, Verlagsbuchh., Leipzig, Königstr. 2.  
 336. " Prof. Dr. W. HITTORF, Münster i. W.  
 337. " Dr. HEINRICH HÖRIG, Gautzsch-Leipzig, Walterstraße 12.  
 338. " Dr. M. W. HOFFMANN, Potsdam, Neue Königstraße 47.  
 339. " Prof. Dr. D. HURMUZESCU, Jassy, Rumänien, Universität.  
 340. " Dr. F. JENTZSCH, Gießen, Phys. Inst. d. Univ.  
 341. " Dr. M. IKLÉ, Zehlendorf (Wanseebahn), Königstraße 1 b.  
 342. " WERNER IMMLER, Karlsruhe i. B.  
 343. " Prof. Dr. ALFRED KALÄHNE, Danzig-Langfuhr, Steffensweg 7.  
 344. " Prof. Dr. W. KAUFMANN, Königsberg i. Pr., Bellevue.  
 345. " Prof. Dr. H. KATSER, Bonn, Humboldtstraße 2.  
 346. " Dr. H. KELLNER, p. A. BAUSCH and LOMB, Opt. Co., Rochester  
 (N.-Y.) U. S. A.  
 347. " LEO v. KLECKI, Krakau, Krupnicza 13.  
 348. " Prof. Dr. F. KLEIN, Göttingen, Wilhelm Weberstraße 3.  
 349. " FR. KLINGELFUSS, Basel.  
 350. " Prof. Dr. E. KLUPATHY, Budapest, Esterhazygasse 3.

## Mitgliederliste.

351. Herr Prof. Dr. O. KNOBLAUCH, München 4, Haydnstraße 8.  
 352. " Dr. D. KNÜTTEL, Freiburg i. B., Thurnseestraße 60.  
 353. " Prof. Dr. K. R. KOCH, Cannstatt bei Stuttgart, Taubenheimstr.  
 354. " Dr. PAUL PALLMER KÖNIG, Steinschönau (Böhmen), Langestraße  
 355. " Prof. Dr. W. KÖNIG, Gießen, Löberstraße 23.  
 356. " Prof. Dr. J. KOENIGSBERGER, Freiburg i. B., Hebelstraße 33, M.  
     phys. Institut.  
 357. " Prof. Dr. F. KOHLRAUSCH, Marburg a. L.  
 358. " Prof. Dr. W. KOHLRAUSCH, Hannover, Nienburgerstraße 8.  
 359. " Prof. Dr. H. KONEN, Münster i. W., Hoyasstraße 4.  
 360. " Univ.-Prof. a. D. Dr. A. KORN, München 23, Hohenzollernstraße  
 361. " Prof. Dr. J. v. KOWALSKI, Freiburg (Schweiz), Physik. Institut  
 362. " C. KRALL, Elberfeld, Roonstraße 54.  
 363. " Oberlehrer EWALD KRAUS, Barmen, Karlstraße 40.  
 364. " Prof. Dr. H. KRONECKER, Bern.  
 365. " Dr. H. KRÜSS, Hamburg, Adolfsbrücke 7.  
 366. " Prof. Dr. KÜHNEN, Potsdam, Geodät. Institut, Wilhelmsplatz 2  
 367. " Dr. K. KURZ, München, Arcisstraße 48.  
 368. " Dr. RUDOLF LADENBURG, Breslau, Kaiser-Wilhelmstraße 108.  
 369. " Dr. med. BRUNO LANDAU, Wandlitz (Mark).  
 370. " Prof. Dr. V. VON LANG, Wien IX, Türkenstraße 3.  
 371. " Prof. Dr. P. LEBEDEV, Moskau, Physik. Institut d. Universität  
 372. " Prof. Dr. E. LECHER, Prag II, 1594, Physik. Institut.  
 373. " Prof. Dr. O. LEHMANN, Karlsruhe, Techn. Hochschule.  
 374. " GEORG LEVINTHAL, Cöthen, Magdeburgerstraße 51.  
 375. " Dr. J. E. LILIENFELD, Leipzig, Simsonstraße 8.  
 376. " Prof. Dr. C. LINDE, München, Prinz Ludwigshöhe 44.  
 377. " Oberlehrer Dr. A. LINDEMANN, Hamburg, Petkumstraße 5.  
 378. " Dr. FR. LINKE, Frankfurt a. M., Kettenhofweg 181.  
 379. " Prof. Dr. H. A. LORENTZ, Leiden.  
 380. " Prof. Dr. LÜDELING, Potsdam, Meteor. Observatorium.  
 381. " Prof. Dr. O. LUMMER, Breslau, Göppertstraße 1.  
 382. " Prof. Dr. K. MACK, Hohenheim bei Stuttgart.  
 383. " Dr. A. MAHLKE, Hamburg 6, Kl. Schäferkamp 16d.  
 384. " Prof. Dr. E. MARX, Leipzig, Hohenzollernstraße 10.  
 385. " Dr. W. MATTHIES, Münster i. W., Physik. Institut.  
 386. " Dr. WERNER MECKLENBURG, Clausthal i. H.  
 387. " A. MEINER i. F. J. A. BARTH, Verlagsbuchhandlung, Leipz.  
     Dörrienstraße 16.  
 388. " Dr. G. MELANDER, Helsingfors, Skarpskyttegatan 17.  
 389. " Dr. EDGAR MEYER, Zürich-Fluntern, Hochstraße 63.  
 390. " Prof. Dr. GEORG MEYER, Freiburg i. B., Baselerstraße 19.  
 391. " Prof. Dr. O. E. MEYER, Breslau, Tiergartenstraße 24.  
 392. " Prof. Dr. G. MIE, Greifswald, Domstraße 10.  
 393. " Prof. Dr. K. VON DER MÜHLL, Basel, Rittergasse 10.  
 394. " Dr. E. MÜLLER, Heidelberg, Schulgasse 2.  
 395. " Prof. HANTARO NAGAOKA, Tokyo, Kaiserl. Universität.  
 396. " Prof. Dr. C. NEUMANN, Leipzig, Querstraße 10/12.

397. Herr Dr. A. NIPPOLDT, Potsdam, Meteorol.-Magnet. Observatorium.  
 398. " Dr. P. NORDMEYER, Aachen, Rütcherstraße 32.  
 399. " Prof. Dr. A. v. OETTINGEN, Leipzig, Mozartstraße 1.  
 400. " Prof. Dr. W. OSTWALD, Großbothen.  
 401. " Prof. Dr. L. PFAUNDLER, Graz, Halbärthgasse 1.  
 402. " Dr. A. PFLÜGER, Bonn, Koblenzerstraße 176.  
 403. " Prof. Dr. F. PÖCKELS, Heidelberg, Bergstraße 3.  
 404. " Prof. Dr. PRECHT, Hannover, Techn. Hochschule.  
 405. " Prof. Dr. E. PRINGSHEIM, Breslau, Kaiser Wilhelmstraße 64.  
 406. " Dr. E. PRÜMM, München, Wittelsbacherstraße 19.  
 407. " Prof. Dr. K. PRYTZ, Kopenhagen, Upsalagade 18.  
 408. " Dr. C. PULFRICH, Jena.  
 409. " Prof. Dr. G. QUINCKE, Heidelberg, Bergstraße 41.  
 410. " Dr. HEINRICH FRHR. RAUSCH VON TRAUBENBERG, Leipzig 13, Universität.  
 411. " Prof. Dr. WILLIAM J. RAYMOND, Dept. of Physics, University of California, Berkeley (Cal.) U. S. A.  
 412. " Dr. R. REIGER, Erlangen, Physik. Institut.  
 413. " Prof. Dr. M. REINGANUM, Freiburg i. B., Schloßbergstraße 28.  
 414. " Ingenieur H. RENISCH, Essen a. Ruhr, Ostfeldstraße 5.  
 415. " Prof. Dr. F. RICHARZ, Marburg a. L.  
 416. " Prof. Dr. E. RIECKE, Göttingen.  
 417. " Prof. Dr. W. C. RÖNTGEN, München 8, Äußere Prinzregentenstraße 1.  
 418. " Dr. M. v. ROHR, Jena, Tal 34.  
 419. " Prof. Dr. J. ROSENTHAL, Erlangen.  
 420. " Ing. Dr. J. ROSENTHAL, München, Bavariaring 10.  
 421. " Dr. G. RÜMELIN, Freiburg i. B., Physik. Institut.  
 422. " Prof. Dr. C. RUNGE, Göttingen, Universität.  
 423. " Prof. Dr. E. RUTHERFORD, Manchester, Victoria-Universität.  
 424. " Prof. Dr. K. SCHAUM, Probstheida.  
 425. " Prof. Dr. J. SCHEINER, Potsdam, Astrophysikal. Observatorium.  
 426. " Dr. R. SCHENCK, Aachen, Technische Hochschule.  
 427. " Ingenieur GERHARD SCHENDELL, Stuttgart, Kolbstraße 4c.  
 428. " Prof. Dr. K. SCHERING, Darmstadt, Saalbaustraße 85.  
 429. " Prof. Dr. A. SCHMIDT, Potsdam, Telegraphenberg.  
 430. " Prof. Dr. GERHARD SCHMIDT, Münster i. W.  
 431. " HANS SCHMIDT, Jena, Lutherstraße 17.  
 432. " Dr. WILLY SCHMIDT, Gießen, Nahrungsberg 8.  
 433. " Prof. Dr. SCHUBERT, Eberswalde, Forstakademie.  
 434. " Prof. Dr. F. A. SCHULZE, Marburg a. L., Gartenweg 1.  
 435. " Prof. Dr. A. SCHWEITZER, Zürich V, Wilfriedstraße 6.  
 436. " Dr. MAX SEDDIG, Spreudlingen (Kr. Offenbach).  
 437. " Dr. H. STEDENTOPF, Jena, Kahlaischestraße 2.  
 438. " Prof. Dr. P. SILOW, Kiew, Rußland, Nikolaistraße 9.  
 439. " Prof. Dr. H. TH. SIMON, Göttingen.  
 440. " Prof. Dr. SOMMERFELD, München 23, Leopoldstraße 87.  
 441. " Prof. Dr. P. SPIES, Posen, Helmholtzstraße 2.

442. Herr Prof. Dr. A. SPRUNG, Potsdam, Meteorol.-Magnet. Observatorium.  
 443. " Prof. Dr. JOH. STARK, Hannover-Waldhausen, Kurhausstraße 3.  
 444. " Prof. Dr. H. STARKE, Greifswald, Gutzkowstraße 30.  
 445. " Dr. O. STEFFENS, Hamburg, Rothenbaumchaussee 3.  
 446. " Dr. R. STEINHEIL, München, Theresienhöhe 7.  
 447. " Prof. Dr. K. STÖCKL, Passau, Kirchplatz 49.  
 448. " Dr. B. STRASSER, Danzig-Langfuhr, Birkenallee 13.  
 449. " Prof. Dr. R. STRAUBEL, Jena, Beethovenstraße 2.  
 450. " Prof. Dr. V. STROUHAL, Prag, Clementinum.  
 451. " Dr. KARL STUCHTEY, Marburg a. L., Physik. Institut.  
 452. " Dr. EMIL TAKE, Marburg a. L., Roserstraße 9.  
 453. " Prof. A. H. H. TALLQVIST, Helsingfors.  
 454. " ODO TAUBERN, Freiburg i. B., Physik. Institut. 11  
 455. " B. TERPELMANN, Braunschweig, Adolfstraße 19.  
 456. " S. TERESCHIN, Petersburg, Nicolajewskaya 40.  
 457. " Prof. Dr. THÖLDTE, Dessau, Askanische Straße 56.  
 458. " Prof. Dr. M. TOEPFLER, Dresden-A., Umlandstraße 40.  
 459. " L. B. TUCKERMANN, Physical Dept. University of Nebraska, Lincoln  
 (Nebraska), U. S. A.  
 460. " Prof. Dr. W. VON ULJANIN, Kasan.  
 461. " Dr. USENER, Kiel, Muhliusstraße 5.  
 462. " Prof. Dr. HENRI VEILLON, Basel, Eulerstraße 27.  
 463. " Prof. Dr. W. VOIGT, Göttingen.  
 464. " Prof. Dr. P. VOLKMANN, Königsberg i. Pr.-Mittelhofen, Hermann-  
 allee 14.  
 465. " Prof. Dr. A. VOLLER, Hamburg, Physik. Staatslaboratorium.  
 466. " Prof. VYKRUTA, Pilsen, Staatsgewerbeschule.  
 467. " Prof. Dr. R. WACHSMUTH, Frankfurt a. M., Kettenhofweg 136.  
 468. " Dr. J. WALLOT, Freiburg i. B., Goethestraße 58.  
 469. " Prof. Dr. B. WALTER, Hamburg, Physik. Staatslaboratorium.  
 470. " Prof. Dr. ANTON WEBER am Lyceum in Dillingen (Bayern).  
 471. " Prof. Dr. H. WEBER, Braunschweig, Spielmannstraße 21.  
 472. " Prof. Dr. H. F. WEBER, Zürich, Techn. Hochschule.  
 473. " Prof. Dr. L. WEBER, Kiel, Physik. Institut.  
 474. " Dr. RUDOLF H. WEBER, Rostock, Universität.  
 475. " Dr. MORITZ WERTH, Zwickau (Sa.), Annenstraße 12.  
 476. " Prof. Dr. E. WIECHERT, Göttingen.  
 477. " Prof. Dr. E. WIEDEMANN, Erlangen.  
 478. " Prof. Dr. M. WIEN, Langfuhr bei Danzig, Johannisberg 18.  
 479. " Prof. Dr. W. WIEN, Würzburg, Pleicherring 8.  
 480. " Prof. Dr. O. WIENER, Leipzig, Linnéstraße 4.  
 481. " Dr. A. WIGAND, Dresden A. 14, Umlandstraße 13.  
 482. " Prof. Dr. J. WILSING, Potsdam, Astrophysik. Observatorium.  
 483. " Prof. Dr. A. WINKELMANN, Jena.  
 484. " Ingenieur MARTIN WINKLER, Wien VII, Zieglergasse 51.  
 485. " Dr. HERMANN WOLFF, Davos-Platz, Schweiz, Villa des Alpes.  
 486. " Dr. H. ZAHN, München 31, Heßstraße 36.  
 487. " CARL ZEISS, Optische Werkstatt, Jena.

488. Herr Dr. W. ZIEGLER, Santiago de Chile, Cassilla 1389.  
489. „ Dr. R. ZSIGMONDY, Göttingen, Prinz-Albrechtstraße 4.  
490. Die mathem.-physik. Sammlung des bayerischen Staates (Direktor:  
Geheimrat RÖNTGEN) München 4, Neuhauserstraße 51.  
491. Das Phys. Institut der Universität, Jena.  
492. Das Phys. Institut der Universität, Leipzig, Linnéstraße 5.  
493. Das Phys. Institut der Technischen Hochschule, Danzig-Langfuhr.  
494. Das Phys. Institut der Technischen Hochschule, Dresden-A.  
495. Das Phys. Laboratorium des Friedrichs-Polytechnikums, Cöthen (Anhalt).
-

# Alphabetisches Namenregister

zu  
Jahrgang 10 (1908)  
der  
Verhandlungen der Deutschen Physikalischen Gesellschaft

---

## A.

- ARCHENHOLD, F. S.** Über eine mit dem großen Treptower Fernrohr beobachtete Veränderung der Mondoberfläche (624).  
— Stereoskopische Aufnahmen von dunklen Blitzen (626).
- ASCHKINASS, E.** Wirkungsbereich und Absorption der  $\alpha$ -Strahlen (831), 953.
- ASTEROOTH, PAUL.** Der Einfluß der thermischen und mechanischen Vorgeschichte auf die magnetischen Eigenschaften, insbesondere die Hysterese HEUSLERScher Legierungen (18), 21.

## B.

- BAEYER, O. v.** Über langsame Kathodenstrahlen (86, 301), 96.  
— Über den Zeemaneffekt in schwachen Magnetfeldern (318), 357.  
— Reflexion u. Sekundärstrahlung langsamer Kathodenstrahlen (621), 953.  
— Über den Einfluß der Dispersion auf den Gangunterschied beim Interferenzspektroskop nach LUMMER-GEHROCKE (622), 733.  
— u. GEHROCKE, E. Über den Zeemaneffekt in schwachen Magnetfeldern (422), 423.

- BARCKHAUSEN, H.** Das Prob Schwingungserzeugung (18).
- BERNDT, G.** Über Hysterese bei Eisenverbindungen (620), 66
- BERNOULLI, A. L.** Atomzer-Serienspektren (619), 636.
- BESTELMEYER, A.** Demonstration Luftdruckvariometers zur der Vertikalgeschwindigkeit ballon (620).
- BOAS, H.** Bemerkungen zu d von Hrn. BE. GLATZEL: Disilberfunkenstrecke und ihre dung zur Erzeugung schw dämpfter elektrischer Well 298.
- BODE, G.** Vorlesungsversuche
- BÖRNSTEIN, R.** Pilotbeobacht meteorologische Zwecke (11)
- BOIS, H. DU u. ELIAS, G. J.** Einfluß von Temperatur und sierung bei selektiven Absorption und Fluoreszenzspektren (8)
- BOLLÉ, E.** Über eine selbstreg Bogenlampe von großer mit horizontal rotierender Kohle (831), 833.
- BUCHERER, A. H.** Messungen querelstrahlen. Die experimentelle Bestätigung der LORENTZschen Theorie (621), 688.

\* Die in Klammern bzw. ohne Klammern stehenden Zahlen weisen auf hin, auf denen ein kürzerer bzw. längerer Bericht über die betr. Mitteilung abge-

BYK, A. Zur Berechnung photochemischer Reaktionen (33), 67.

## C.

CANTOR, M. Über eine neue Wirkung des elektrischen Stromes (621), 726.

CERMAK, PAUL sh. SCHMIDT, HEINRICH WILLY (621), 675.

CLASSEN, J. Eine Neubestimmung von  $\varepsilon/\mu$  für Kathodenstrahlen (621), 700.

COHEN, E. Neues über die Zinnpest: die Museumskrankheit (625).

CORSEPIUS. Die Fehlerquellen des ULBRICHTSchen Kugelphotometers und ihre Vermeidung, mit Berücksichtigung einer neuen Anordnung für hemisphärische Messung (624).

COSTANZO, G. Über die Natrium-Emanation (832), 854.

## D.

DEBYE, P. Das elektromagnetische Feld um einen Zylinder und die Theorie des Regenbogens (622), 741.

DIESSELHORST, H. Demonstrationsapparate zur Analyse elektrischer Schwingungen (244), 306.

— Erzeugung phasenverschobener Hochfrequenzströme (393, 450), 546.

DOLEZALEK, F. Theorie der binären Gemische und konzentrierten Lösungen (867).

DRECKER, J. Über Gnomone und Sonnenuhren, ihre Geschichte und Literatur (620), 667.

## E.

ECKART. Über die Änderung des Klimas in der geologischen Vergangenheit und der historischen Gegenwart (626).

ELIAS, G. J. Über anomale Dispersion der magnetischen Rotationspolarisation (867), 869.

— sh. BOIS, H. DU (355), 429.

EBFLE, HEINRICH. Zur anomalen Dispersion der Metalldämpfe (18), 35; (832), 591.

— Anzahl der quasielastisch gebundenen Elektronen im Heliumatom (318), 331.

EVERDINGEN, E. VAN. Über die Ermittlung des Winkels zwischen Gradient und Windrichtung (626), 808.

## F.

FABINYI, RUD. Beiträge zur Frage über Eigenschaftsänderungen des Chlors (625).

FASSBENDER, HEINRICH. Magnetische Messungen an Mangan-Zinn- und Mangan-Antimon-Legierungen, mit Beschreibung eines verbesserten Magnetoskops (116), 256.

FELGENTRAEGER, WILHELM. Der Einfluß der Schneiden auf die Bestimmung der Schwerebeschleunigung mit dem Reversionspendel (86), 87.

— Bemerkungen zu der Erwiderung der Herren F. KÜHNEN und PH. FURTWÄNGLER (394), 418.

— Die Verzeichnungsfehler von Mikroskopobjektiven (622).

FISCHER, C. Elektrische Kraftfelder in nächster Umgebung von Antennen (355), 366.

—, KARL T. Fixpunkte für tiefe Temperaturen (622).

FÖRSTERLING, K. sh. VOIGT, W. (622), 757.

FRANCK, J. und POHL, R. Zur Frage nach der Geschwindigkeit der Röntgenstrahlen (33), 117; (450), 489.

FREDENHAGEN, CHR. Temperaturstrahlung und Reaktionsstrahlung und ihre Bedeutung für die Spektroskopie und Photochemie (622).

FÜCHTBAUER, CHR. Versuche über die Sekundärstrahlen, die von sehr langsamen Kathodenstrahlen ausgehen (622).

FÜRSTENAU, ROBERT. Über die Abhängigkeit des Verhältnisses der spezifischen Wärmen der Gase von der Temperatur (933), 968.

FURTWÄNGLER, PH. sh. KÜHNEN, F. (394), 399.

## G.

GANS, B. Etalon für magnetische Feldstärke (620).

- GEHROCKE, E. sh. v. BAEYER, O. (422), 423.  
 — u. REICHENHEIM, O. Anodenstrahlen. Fünfte Mitteilung (85), 217.  
 GERLAND, E. Zur Geschichte der Magnetisierung von Kompaßnadeln mit Hilfe von natürlichen Magneten (356), 377.  
 — Bemerkung zu E. JACOBS' das Berliner Exemplar von GUEBICKES Luftpumpe behandelnder Mitteilung (867), 877.  
 GLATZEL, BR. Die Quecksilberfunkenstrecke und ihre Verwendung zur Erzeugung schwach gedämpfter elektrischer Wellen (85), 54, 242.  
 — Anordnung zur Demonstration der Eigenschaften elektrischer Strahlen unter Benutzung der Quecksilberfunkenstrecke (301).  
 — Das Verhalten der Quecksilberfunkenstrecke bei verschiedenen Entladespannungen und Koppelungen (421), 464.  
 GÖRGES, H. und RUBENS, H. Begriffsbestimmung für Potential, Potentialdifferenz, Elektromotorische Kraft, Spannung, Spannungsdifferenz 578.  
 GRÜNBAUM, F. Die räumliche Kontrastwirkung der Farben (115), 234.  
 GRUNER, P. Über eine Erweiterung der LORENTZschen Elektronentheorie der Metalle (450), 509.  
 GÜMLICH, E. Über die magnetischen Eigenschaften einer von Herrn Dr. KREUSLER hergestellten Probe reinen Eisens (355), 371.

## H.

- HÄNEL. Die Vergrößerung der Gestirne am Horizont (624).  
 HAGEN, E. sh. RUBENS, H. (621), 710.  
 HAHN, O. Über eine neue Erscheinung bei der Aktivierung des Aktiniums (945).  
 HAMEL, G. Über die Grundlagen der Mechanik (623).  
 HENNING, F. und HOLBORN, L. Der Sättigungsdruck des Wasserdampfes zwischen 50° und 100° C (620).  
 HERBMANN, KURT. Die Brechung und Dispersion des Heliums (244), 211; (422), 476.  
 HEUSE, WILHELM sh. SCHREIBER, KARL (623), 785.  
 HEYDWEILLER, ADOLF. Über die Oberflächenspannung verdünnter wässriger Salzlösungen (244), 245.  
 HOCHHEIM, ERNST. Bestimmung der Dielektrizitätskonstante von Helium (422), 446.  
 HOLBORN, L. sh. HENNING, F. (620).

## J.

- JACOBS, E. Das Berliner Exemplar von GUEBICKES Luftpumpe (421), 473.  
 JENTZSCH, FELIX. Über die Elektronenemission glühender Metalloxyde (393), 398.  
 — sh. WEHNELT, A. (832), 605.

## K.

- KAUFMANN, W. Erwiderung an Hrn. STARK (86), 91.  
 — Bunsenklemme (244).  
 KIEBITZ, FRANZ. Eine vereinfachte DRUDEsche Anordnung zur Demonstration gekoppelter Systeme (355), 386.  
 — Gerichtete drahtlose Telegraphie (932), 934.  
 KILCHLING, K. und KOENIGSBERGER, J. Über die Abhängigkeit der selektiven Absorption von der Temperatur und das Verhalten der ersten Elektronen eines Moleküls im Innern der Substanz (832), 537.  
 KLINGELFUSS, FR. Neuerungen an Induktorien, insbesondere für Strom- und Spannungsmessungen (620).  
 — Über ein neues Verfahren zur kontinuierlichen Ablesung der Härte einer Röntgenröhre (620).  
 — Über ein neues Meßverfahren zur Dosierung der Röntgenstrahlen mittels Strom- und Spannungsmessungen an der gedämpften Welle (620).  
 KÖNIG, W. Über Demonstration langsame elektrischer Schwingungen (623), 794.



- KOERNIGSBERGER, J. sh. KILCHLING, K. (832), 537.
- KOEPSSEL, A. Ein neues Verfahren zur Übertragung von Bewegungen geringer Energie (317), 395.
- Über eine neue Methode zur fortlaufenden Analyse von Gasgemischen auf elektrischem Wege, mit Anwendung auf die Bestimmung der Strömungsgeschwindigkeit von Gasen (449), 814.
- KORN, A. Über die Lösung der Grundprobleme der Elastizitätstheorie (619).
- Neue Resultate der Teleautographie (624).
- KREBS, W. Das meteorologische Jahr 1907/1908 (625).
- Vulkanismus im Planetensystem (625).
- Die Beobachtung der Sonnenfinsternis im Dezember 1908 und die Erforschung des Bouvet-Meeres (625).
- Das Bild der Erde in Mondentfernung (625).
- Demonstration von Photographien der Nachdämmerung des 30. Juni 1908 und einer BISHOP'schen Aureole (626).
- Demonstration einiger Vereinfachungen des meteorologischen Instrumentariums (626).
- KREUSLER, H. Über reines Eisen (317), 344.
- KÜHNEN, F. und FURTWÄNGLER, PH. Erwiderung auf den Vortrag des Hrn. W. FELGENTBAEGER: Der Einfluß der Schneiden auf die Bestimmung der Schwerebeschleunigung mit dem Reversionspendel (394), 389.

### L.

- LADENBURG, ERICH † (421).
- sh. RUBENS, H. (18); (115), 226; (933).
- und MARKAU, KARL. Über die Anfangsgeschwindigkeit lichtelektrischer Elektronen (394, 621), 562.
- , RUDOLF. Über die Absorption des Lichtes in leuchtendem Wasserstoff (449), 550.

- LADENBURG, RUDOLF und LORIA, STANISLAW. Über die Dispersion des leuchtenden Wasserstoffs (621), 858.
- LAMPE, E. Über zwei elementare Aufgaben aus der Mechanik über eine gewisse Klasse von Körpern (301), 303.
- LAUE, M. Über das Additionstheorem der Entropie (622).
- Die Wellenstrahlung einer bewegten Punktladung nach dem Relativitätsprinzip (832), 838.
- LEHMANN, ERICH. Über das ultraviolette Ende des Sonnenspektrums (945).
- , H. Über die ultraroten Spektren und noch nicht beobachtete Serienlinien von 20 Metallen (620).
- Über einen neuen Schirm mit metallischer Oberfläche zur Projektion farbiger und lichtschwacher Bilder (620).
- , O. Flüssige Kristalle, Myelinformen und Muskelkraft (318), 321.
- Künstliche Zellen mit flüssig-kristallinen Wänden (394), 406.
- LEITHÄUSER, G. und POHL, R. Über den Einfluß des Ozons auf die Kondensation von Wasserdampf (243), 249; (394), 420.
- und WARBURG, E. Über die Analyse der Stickoxyde mit Hilfe ihrer Absorptionsspektren im Ultrarot (243).
- LIESEGANG, PAUL. Konstruktionstypen des Kinematographen (619), 630.
- LINDEMANN, R. Über Dämpfungsmessungen mittelst ungedämpfter elektrischer Schwingungen (945).
- LÖWE, F. Gitterspektroskop mit nach Wellenlängen bezifferter Mikrometerschraube (620), 671.
- LORIA, STANISLAW sh. LADENBURG, RUDOLF (621), 858.
- LUTHER, R. sh. SCHEEL, KARL 584.

### M.

- MARKAU, KARL sh. LADENBURG, ERICH (394, 621), 562.
- MARX, ERICH. Theorie der Vorgänge im Nullapparat zur Geschwindigkeitsmessung der Röntgenstrahlen (83), 137; (394), 391.

## Alphabetisches Namenregister.

- MARX, ERICH.** Zur Frage der Geschwindigkeit der Röntgenstrahlen. Erwiderung auf die gleichlautende Arbeit der Herren **FRANCK** und **POHL** (83), 157; (832), 597.
- Einfluß der Röntgenstrahlen auf das Einsetzen der Glimmentladung (819), 627.
- MEYER, EDGAR.** Über Lumineszenzerscheinungen an blauem Flußspat (819), 643.
- Notiz über ein einfaches Phosphoroskop (832), 658.
- Zur Deutung der Versuche des Hrn. **M. CANTOR** (945), 980.
- und **REGENEER, ERICH.** Über Schwankungen der radioaktiven Strahlung und eine Methode zur Bestimmung des elektrischen Elementarquantums 1.
- , **GEORG.** Demonstration einer neuen Saug- und Druckluftpumpe nach **GAEDE** (622), 753.
- MINKOWSKI, H.** Raum und Zeit (623).
- MISES, R. v.** Probleme der technischen Hydromechanik (623).
- MÖLLER, H. G.** Zur Theorie der Überspannungen (85).
- MOSER, JAMES** † (933).

### N.

- NORDMEYER, PAUL.** Die spezifische Wärme einiger Elemente und Salze zwischen der Temperatur der flüssigen Luft und Zimmertemperatur (116), 202.
- Über Funkenpotentiale bei zwei hintereinander geschalteten Funkenstrecken (623), 763.

### P.

- PAALZOW, ADOLF** † (17, 449), 451.
- PLANCK, MAX.** Bemerkungen zum Prinzip der Aktion und Reaktion in der allgemeinen Dynamik (622), 728.
- POHL, R.** sh. **FRANCK, J.** (83), 117; (450), 489.
- sh. **LEITHÄUSER, G.** (243), 249; (394), 420.
- POLIS, P.** Bedeutung der drahtlosen Telegraphie für die moderne Witterungskunde (625).

- POLIS, P.** Wanderung der Ti gebiete über den Atlantische (625).

### Q.

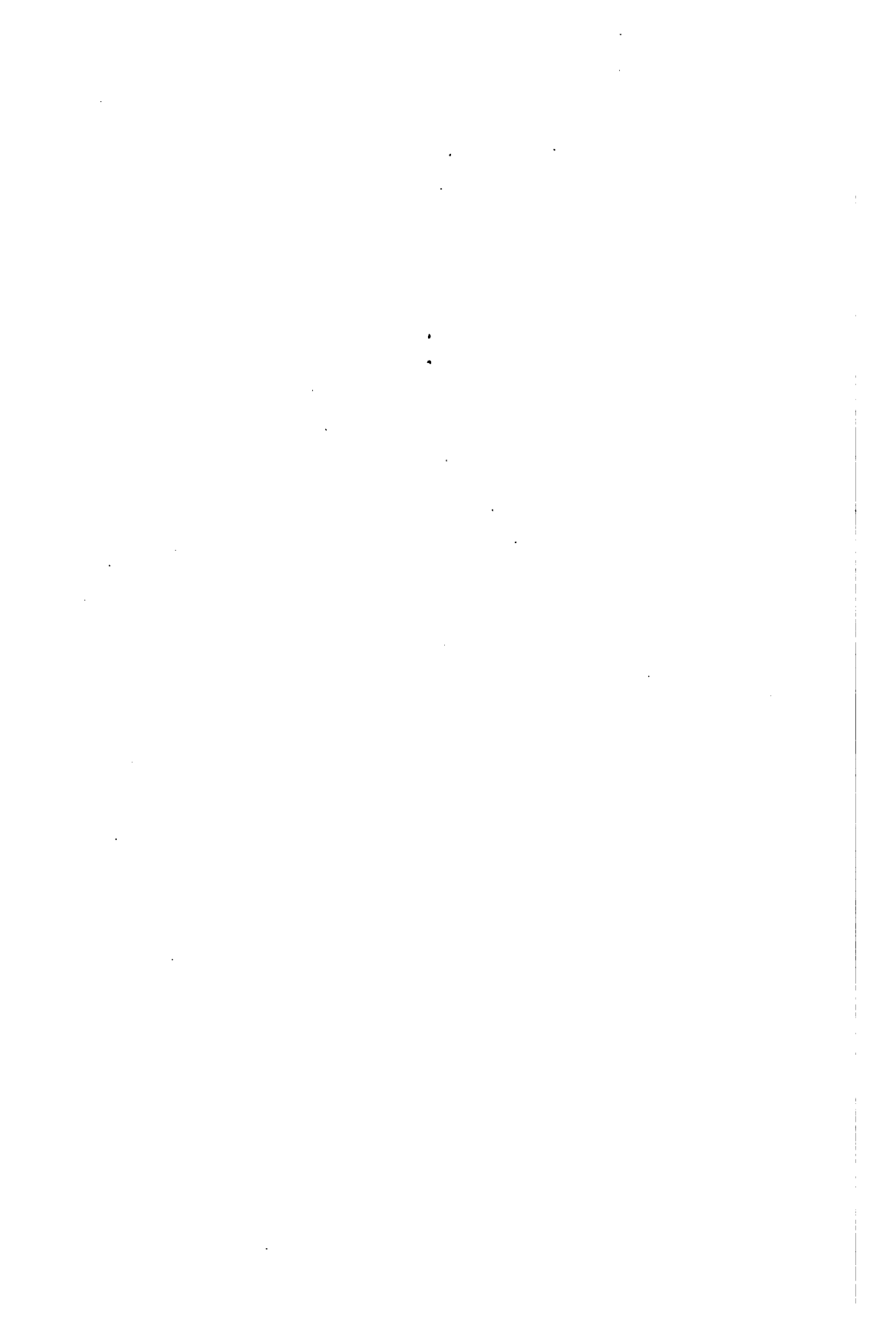
- QUINCKE, G.** Flüssige Kristalle, formen u. künstliche Zellen mit kristallinischen Wänden (832)

### R.

- REGENEER, ERICH.** Über Zahl  $\alpha$ -Teilchen durch die Szintillation und die Größe des elektrischen Elementarquantums (86, 115)
- Beobachtung szintillierender Resonanz, hervorgerufen durch Ionen (317), 351.
- Die **OTTO v. GUERICKE'schen** Apparate (393).
- sh. **MEYER, EDGAR** 1.
- REICHENHEIM, O.** Über die Fluorfarben von Glas und Quarz u. Einfluß von Kathodenstrahlung
- sh. **GEHCKE, E.** (85), 217.
- REISSNER, H.** Wissenschaftl. I. der Flugtechnik (624).
- REMÉLÉ, A.** Über chemisch v. elektrische Strahlungen (625)
- ROSENTHAL, JOSEF.** Über eine Suche mit lichtelektrischen C bei großen Stromstärken (8)
- RUBENS, H.** Gedächtnisrede **A. PAALZOW** (449), 451.
- Über Apparate zur Untersuchung des ultraroten Spektrums (9)
- sh. **GÖRGES, H.** 578.
- und **HAGEN, E.** Änderung des Emissionsvermögens der Metalle mit der Temperatur (621), 710.
- und **LADENBURG, ERICH.** I. lichtelektrische Erscheinungen an Goldblättchen (18).
- — Das Reflexionsvermögen des Wassers (115), 226.
- — Über das ultrarote Absorptionsspektrum des Wassers (933).

### S.

- SCHAEFFER, CL.** Beugung elektrischer Wellen an zylindrischen Hindernissen (622).



# Physikalische Wandtafeln

VON

**L. Pfaundler,**

Professor der Physik in Graz.

12 Tafeln im Format von 100:140 cm, in Mappe, Preis *M* 12,—.

☞ Einzelne Tafeln sind zum Preise von *M* 1,50 käuflich. ☛

- 
- Tafel I.** Isothermen eines vollkommenen Gases (Gesetz von Boyle-Gay-Lussac). Müller-Pouillet III, S. 105.
- Tafel II.** Isothermen und Adiabaten eines idealen zweiatomigen Gases (Poissons potenziertes Mariottesches Gesetz, Kreisprozesse). Müller-Pouillet III, S. 645.
- Tafel III.** Isothermen des Kohlendioxyds (Andrews Entdeckung, kritische Temperatur, Kontinuität des flüssigen und gasförmigen Zustandes). Müller-Pouillet III, S. 424.
- Tafel IV.** Spannkraft des Wasserdampfes von  $-10^{\circ}$  bis  $+40^{\circ}$  (Relative und absolute Feuchtigkeit, Hygrometrie). Müller-Pouillet III, S. 830.
- Tafel V.** Spannkraft des Wasserdampfes von  $0^{\circ}$  bis  $120^{\circ}$ , mit Tabelle. Müller-Pouillet III, S. 360.
- Tafel VI.** Régnaults klassischer Apparat zur Bestimmung der latenten Dampfwärme. Müller-Pouillet III, S. 538.
- Tafel VII.** v. Lindes und Hampsons Apparate zur Verflüssigung der Luft. Müller-Pouillet III, S. 436.
- Tafel VIII.** Kritische Daten der Gase. Müller-Pouillet III, S. 447.
- Tafel IX.** Ausdehnung des Wassers, Quecksilbers und anderer Flüssigkeiten, Dichtemaximum des Wassers. Müller-Pouillet III, S. 77.
- Tafel X.** Darstellung der Phasen des Wassers nach Gibbs, in idealer und naturgetreuer Darstellung. Müller-Pouillet III, S. 508.
- Tafel XI.** Tabelle der wichtigeren Schmelzpunkte. Müller-Pouillet III, S. 457.
- Tafel XII.** Tabelle der wichtigeren Siedepunkte. Müller-Pouillet III, S. 386.

---

Der Verfasser, der selbst Physik doziert, veröffentlicht, angeregt durch den Wunsch seiner Fachgenossen, mit den hier angezeigten Tafeln einen Teil des großen und wertvollen Materials, das er sich für seine Vorträge  
∴ ∴ ∴ anfertigte und das sich bewährte. ∴ ∴ ∴

---

∴ Ausführliches Verlagsverzeichnis kostenlos. ∴

# E. Leybold's Nachfolger

»»»»»»»»»» Cöln a. Rh. ««««««««««

Neu!

Neu!

## Universal-Luftpumpe

nach Dr. Gaede.

Die neue rotierende Universal-Luftpumpe nach Dr. Gaede eignet sich für alle üblichen Demonstrationen, sowohl als Vakuumpumpe wie als Druckpumpe, resp. Gebläse.



**Evakuieren einer elektrischen Röhre bis zur grünen Glasfluoreszenz in einer Minute.**

**Gefrierenlassen des Wassers im Vakuum in wenigen Sekunden.**

**Evakuieren eines 5 Liter-Rezipienten für die gewöhnlichen Vakuumversuche in ca. einer Minute.**

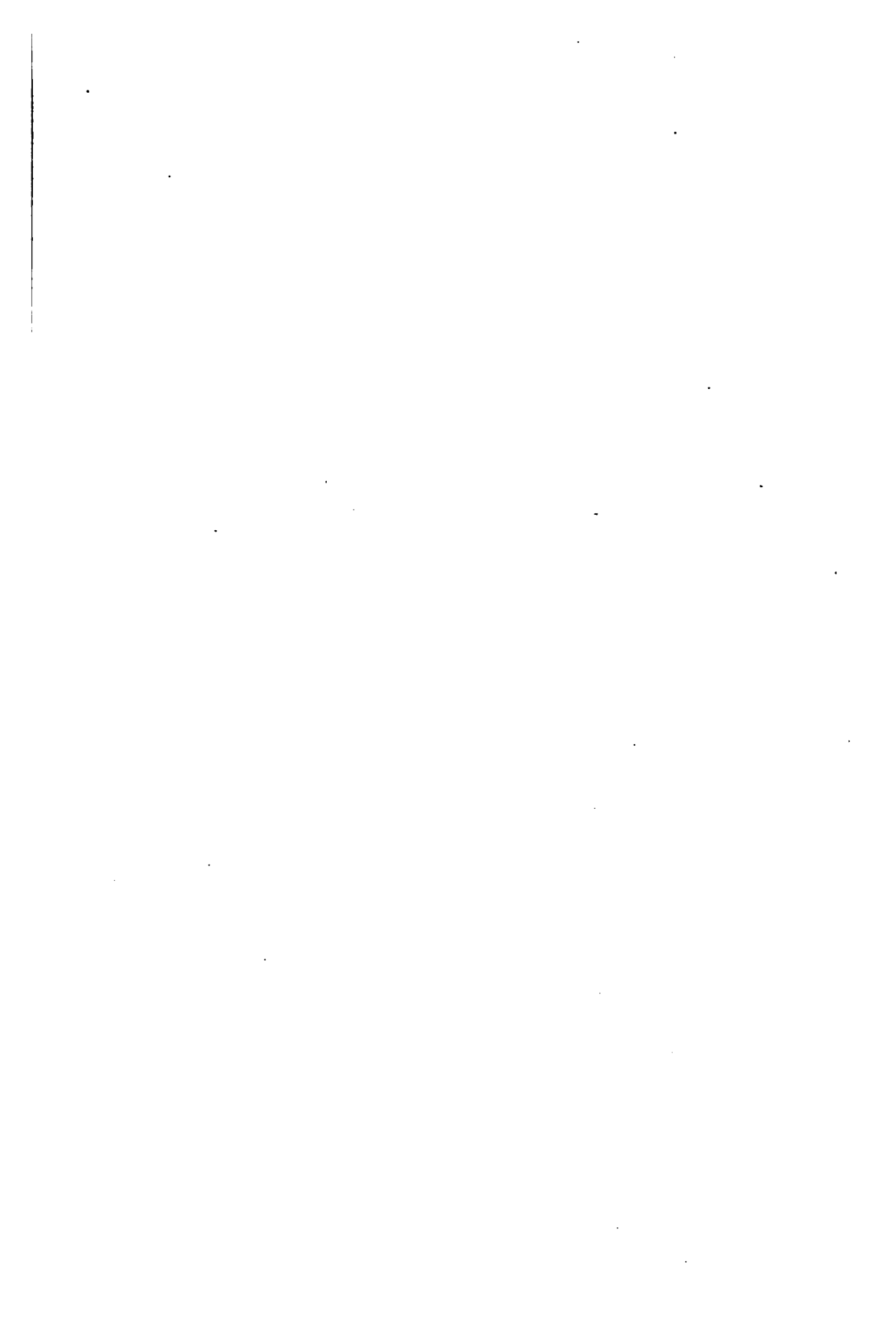
**Versuche mit Druckluft.**

**Verwendung für akustische Versuche (Anblasen mehrerer Orgelpfeifen, großer Schnarrpfeife, Sirene usw.)**

Die besonderen Vorzüge der Gaede'schen Universalpumpe sind: Große mechanische Festigkeit, Unempfindlichkeit gegen Wasserdämpfe, außerordentlich hohe Leistung bei geringen Dimensionen und kleinem Gewicht, rotierender, automatischer Antrieb mittels Elektromotor, bequeme Handhabung.

**Illustrierte Preisliste auf Verlangen.**









- SCHEEL, KARL und HEUSE, WILHELM. Über scheinbare Abweichungen vom MARIOTTESchen Gesetz und deren Einfluß auf die Messung kleiner Drucke (623), 785.
- und LUTHER, R. Der Wert des mechanischen Wärmeäquivalents 584.
- und SCHMIDT, RUDOLF. Über das Lichtbrechungsvermögen des Heliums (85, 622), 207.
- SCHMIDT, HEINRICH WILLY u. CERMAK, PAUL. Beitrag zur Frage über den Einfluß der Temperatur auf die Umwandlung radioaktiver Substanzen (621), 675.
- , RUDOLF sh. SCHEEL, KARL (85, 622), 207.
- SCHÖN, F. Erwiderung auf Hrn. ERFLES Abhandlung: Zur anomalen Dispersion der Metalldämpfe (422), 434.
- SCHULZ, J. F. H. Die Sonnenflecke als Abkühlungsprodukte eruptiver Protuberanzen (624).
- SEARLE, G. F. C. Über elektrische Untersuchungen (622).
- SIMON, HERM. TH. Über neuere Methoden zur Erzeugung elektrischer Schwingungen und Bedeutung derselben für die drahtlose Telegraphie (620).
- STÄCKEL, P. Ausgezeichnete Kreisbewegungen (623).
- STARK, J. Bemerkung zu Hrn. KAUFMANNs Antwort auf einen Einwand von Hrn. PLANCK (18), 14.
- Neue Beobachtungen an Kanalstrahlen in Beziehung zur Lichtquantenhypothese (621), 713.
- Spektrale Beobachtungen über die Fluoreszenz organischer Körper (624).
- STARKE, H. Einige Versuche über die Sekundärstrahlen des Radiums (243), 267.
- Akustische Notizen. I. Über die Erzeugung von Tönen durch künstliche Schwebungen. II. Zur Erklärung der sog. Reflexionstöne (243), 285.
- STEPHANI, ERNST. Bahnen der Sonnenflecke 1906 und 1907 (624).

- STEPHANI, ERNST. Sonnenflecke. Störungen der Magnetnadel und Witterung (625).
- STOCK, A. Poröse Materialien als Ersatz von Hähnen beim Arbeiten mit Gasen (18), 19.
- STRACHE, H. Die Erklärung des periodischen Systems der Elemente mit Hilfe der Elektronentheorie (625), 798.

## T.

- TEICHMÜLLER, J. und WIEN, M. Leitfähigkeit und Leitwert 581.
- THIESEN, M. Die Zustandsgleichung der Metalle (422), 410; (832), 604.
- Bemerkungen dazu (422), 415.
- Über die spezifische Wärme fester Körper (945), 947.
- THÖLDTE, RICHARD. Die Ursache der Leitfähigkeit eines Kohärrers infolge mechanischer Erschütterungen (832), 845.
- TIMERDING, E. Die historische Entwicklung des Kraftbegriffes (623).
- TRAUBE, I. Der Haftdruck. Beitrag zur Theorie der Lösungen (867), 880.

## V.

- VOIGT, W. Eine Einwirkung natürlich aktiver Körper auf das an ihnen reflektierte Licht (nach Beobachtungen von K. FÖRSTERLING) (622), 757.

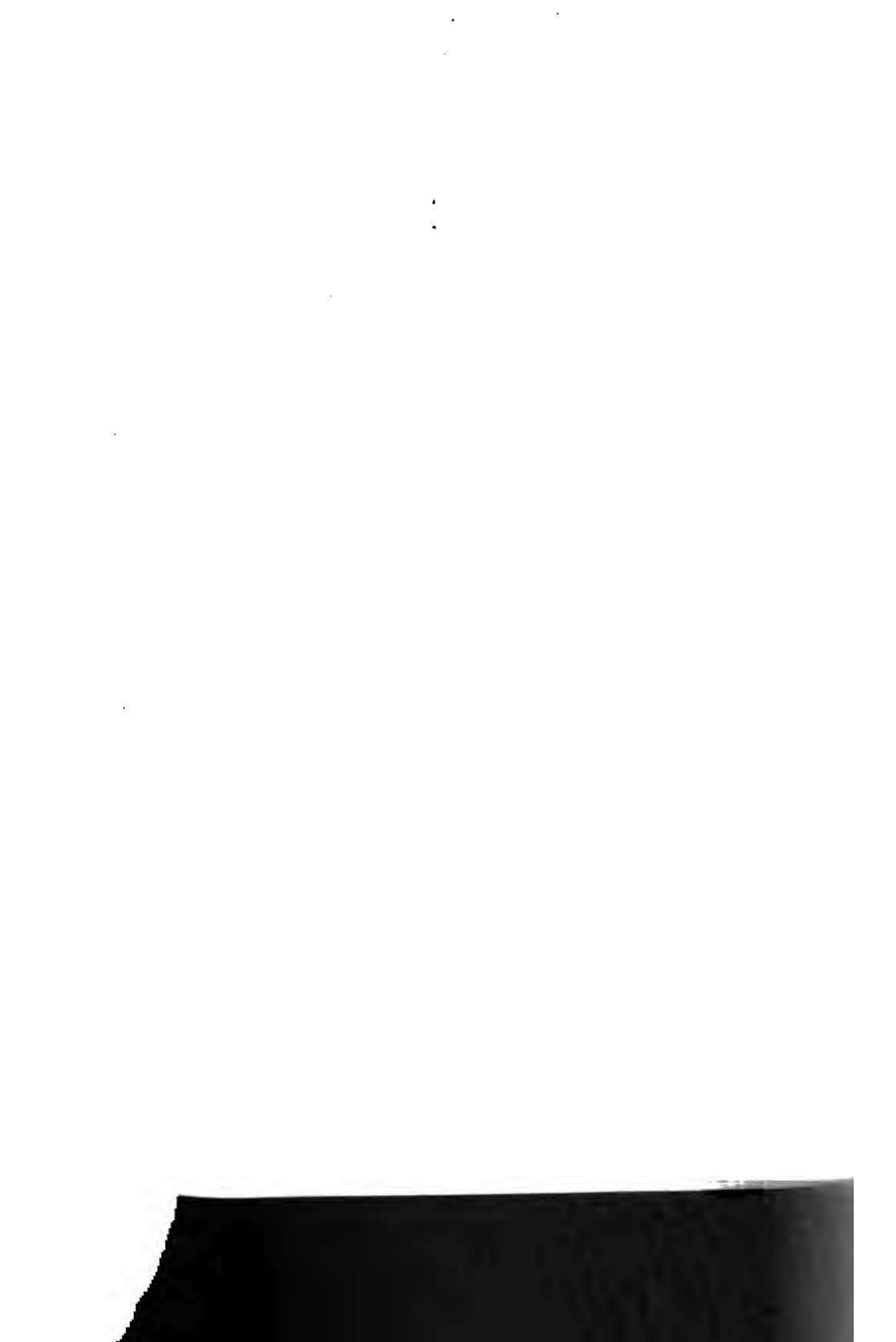
## W.

- WARBURG, E. sh. LEITHÄUSER, G. (243).
- WEHNELT, A. und JENTZSCH, F. Über die bei der Elektronenemission glühender Körper auftretenden Temperaturänderungen (832), 605.
- WEHNER, H. Das Innere der Erde und der Planeten (626).
- WESSENDONK, K. v. Bemerkungen zu der Erklärung der kritischen Opaleszenzerscheinungen aus derkinetischen Gastheorie (450), 483.
- WESTPHAL, WILHELM. Potentialmessungen an glühenden Oxydkathoden (393), 401.

- WIEDEMANN, EILHARD. Über das AL  
BÉRÛNISCHE Gefäß zur spezifischen  
Gewichtsbestimmung (301), 339.
- WIEN, M. sh. TRICHMÜLLER, J. 581.
- , W. Über positive Strahlen (621),  
705.
- WIENER, O. Über Farbenphotographie  
und verwandte naturwissenschaftliche  
Fragen (623).
- WIESSNER. Beitrag zur Bestimmung  
der Bahn des Lichtes (620).
- WIGAND, ALBERT. Die elektrische  
Leitfähigkeit des flüssigen Schwefels  
(450), 495.
- WOGAU, MAX v. Über die Berechnung  
von Diffusionskonstanten von Nicht-  
elektrolyten in flüssiger Lösung (449),  
542.
- WOLFF, WALTHER † (315).
- WÜLFING, A. Demonstration an großen  
Kaleidoskopen und anderen neuen  
Vorlesungsapparaten zur Erläuterung  
der kristallographischen Symmetrie  
(626).
- WÜLLNER, A. † (831).

## Z.

- ZEEMAN, P. Spektralanalytische Unter-  
suchung der magnetischen Felder  
auf der Sonne (622), 750.



# E. Leybold's Nachfolger

»»»»»»»»»»»» Cöln a. Rh. ««««««««««««

Neu!

Neu!

## Universal-Luftpumpe

nach Dr. Gaede.

Die neue rotierende Universal-Luftpumpe nach Dr. Gaede eignet sich für alle üblichen Demonstrationen, sowohl als Vakuumpumpe wie als Druckpumpe, resp. Gebläse.



**Evakuieren einer elektrischen Röhre bis zur grünen Glasfluoreszenz in einer Minute.**

**Gefrierenlassen des Wassers im Vakuum in wenigen Sekunden.**

**Evakuieren eines 5 Liter-Rezipienten für die gewöhnlichen Vakuumversuche in ca. einer Minute.**

**Versuche mit Druckluft.**

**Verwendung für akustische Versuche (Anblasen mehrerer Orgelpfeifen, großer Schnarrpfeife, Sirene usw.)**

Die besonderen Vorzüge der Gaede'schen Universalpumpe sind: Große mechanische Festigkeit, Unempfindlichkeit gegen Wasserdämpfe, außerordentlich hohe Leistung bei geringen Dimensionen und kleinem Gewicht, rotierender, automatischer Antrieb mittels Elektromotor, bequeme Handhabung.

**Illustrierte Preisliste auf Verlangen.**